



Digitized by the Internet Archive
in 2016

<https://archive.org/details/grandesvoutes34sejo>

GRANDES VOÛTES

GRANDES VOÛTES

PAR

Paul SÉJOURNÉ

INGÉNIEUR EN CHEF DES PONTS ET CHAUSSÉES
INGÉNIEUR EN CHEF DU SERVICE DE LA CONSTRUCTION
DE LA COMPAGNIE PARIS-LYON-MÉDITERRANÉE
PROFESSEUR A L'ÉCOLE NATIONALE DES PONTS ET CHAUSSÉES

TOME III

1^{RE} PARTIE — VOÛTES INARTICULÉES *(SUITE)*

**LIVRE I. — DESCRIPTION DES PONTS QUI ONT OU AVAIENT
DES VOÛTES INARTICULÉES DE 40^m ET PLUS DE PORTÉE**
(SUITE)

ARCS ASSEZ SURBAISSÉS
ARCS TRÈS SURBAISSÉS

**LIVRE II. — CE QUE L'EXPÉRIENCE ENSEIGNE
DE SPÉCIAL AUX VOÛTES INARTICULÉES**

BOURGES

IMPRIMERIE V^{VE} TARDY-PIGELET ET FILS
15, RUE JOYEUSE, 15

—
1913

Tous droits de reproduction, de traduction et d'adaptation
réservés pour tous pays.

Copyright by Paul Séjourné — 1913.

AVERTISSEMENT¹

DIVISIONS DE L'OUVRAGE

CLASSEMENT DES PONTS EN SÉRIES ET DANS CHAQUE SÉRIE PAR DATE

TABLEAUX SYNOPTIQUES — MONOGRAPHIES

SUITE, DANS CHAQUE MONOGRAPHIE,

DE FIGURES, PLANCHES, PHOTOGRAPHIES, RENVOIS, SOURCES.

DÉSIGNATION ABRÉGÉE DES MATÉRIAUX

UNITÉS AUXQUELLES ON RAPPORTE LES QUANTITÉS ET DÉPENSES

1. Divisions de l'ouvrage. — Cet ouvrage est ainsi divisé :

1^{re} Partie : Voûtes inarticulées². — Ce sont les voûtes ordinaires, ainsi qualifiées par opposition aux voûtes articulées.

2^e Partie : Voûtes articulées.

3^e Partie : Ce que l'expérience enseigne de commun à toutes les voûtes.

Appendice : Pratique des voûtes. — Instructions pour projeter et construire. — Ouvrages courants, Viaducs..... — Répertoires. — Tables numériques.....

Dans les 1^{re} et 2^e Parties, sont décrits les ponts qui ont — ou qui avaient — des voûtes de 40^m et plus de portée.

2. Classement des Ponts en séries. — J'ai classé par intrados les voûtes inarticulées, par type d'articulation les voûtes articulées.

Ce classement sera détaillé et justifié plus loin.

3. Classement dans chaque série par date d'exécution. — Dans chaque série, les ouvrages sont classés par date. On voit ainsi ce qui, dans un pont, est emprunté à un plus ancien.

4. Tableaux synoptiques. — Monographies. — Les dispositions comparables des ouvrages d'une série sont rapprochées dans des tableaux synoptiques : ainsi groupées, elles instruisent.

1. — déjà donné en tête des Tomes I et II.

2. — On les a quelquefois dites « encastrées » : à proprement parler, elles ne le sont pas.

En histoire naturelle, ce qui n'a pas d'articulation est justement qualifié « inarticulé ».

Viennent ensuite les monographies de chaque ouvrage : on y trouvera ce qui lui est spécial, description, histoire, dessins, photographies.

Pour tous les ponts, on a donné une élévation à la même échelle, 2^{mm}, de l'arche ou des arches de 40^m et plus.

Autant qu'on l'a pu, en restant clair, on n'a donné qu'une seule fois chaque indication, soit dans les tableaux synoptiques, soit dans la monographie, soit dans les dessins.

5. Suite, dans chaque monographie, de figures, planches, photographies, renvois, sources. — Chaque ouvrage a sa suite :

de figures : f_1, f_2, \dots ;

de planches : Pl_1, Pl_2, \dots ;

de photographies : Φ_1, Φ_2, \dots ;

de renvois au bas des pages : $^1, ^2, \dots$;

de sources : S_1, S_2, \dots indiquées à la fin de chaque monographie, quelquefois subdivisées : S'_1, S''_1, \dots ³.

6. Désignation abrégée des matériaux aux tableaux synoptiques et aux dessins.

Béton				B	
Moellons ordinaires		employés en blocage sans préparation spéciale		MO	
		choisis (c'est-à-dire avec sujétion)	employés en parement	à joints incertains	MOI
				grossièrement disposés par assises horizontales.	MOII
			employés en voûte	meplats, lités, prolongeant, soit chaque lit de douelle, soit un lit sur 2, sur 3.	MOV
Moellons à face rectangulaire, les 4 arêtes dans un même plan	Moellons équarris ¹	»		ME	
		taillés en voussoirs, lits pleins prolongeant exactement ceux de douelle. Joints et face de queue en partie pleins.		MEV	
	Moellons d'appareil ⁵	Dimensions imposées	»	MA	
			taillés en voussoirs, lits et joints pleins.	MAV	
Libages		Pierre de taille de grand appareil grossièrement équarrie.		L	
Pierre de taille		Blocs appareillés sur les 6 faces. Toutes les dimensions imposées.		PT	
Briques				Br	

3. — On peut ainsi contrôler et apprécier les renseignements donnés.

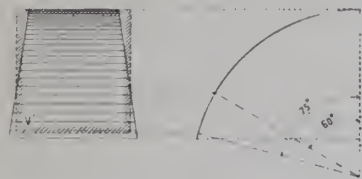
4. — Synonyme : Moellons têtus.

5. — Synonyme : Moellons smillés.

7. Unités adoptées pour comparer les quantités et dépenses.

A. — *Cintres*. — Dans la colonne 14 des Tableaux synoptiques, on a rapporté le cube de bois, le poids de fer et la dépense, au mètre carré de douelle d'une voûte V' à tympans verticaux, exigeant le même cintre.

La largeur uniforme de V' est celle de la voûte considérée :



au joint à 60° de la verticale pour les pleins cintres, les ellipses et les arcs de plus de 120° ;
aux naissances, pour les arcs de moins de 120° ;
c'est-à-dire, pour toutes les voûtes, au joint à partir duquel les voussoirs cessent de pouvoir être soutenus en faisant simplement déborder les couchis.

Comme il convient que les vaux se prolongent jusqu'à l'angle de 75° , on a pris pour surface de douelle celle de la voûte théorique V' :

à partir des angles de 75° pour les ellipses, pleins cintres, arcs de cercle de plus de 150° ;
à partir des naissances pour les arcs de cercle surbaissés de moins de 150° .

B. — *Ouvrage*. — La surface offerte à la circulation, S_p est le produit :

$$S_p = \left(\begin{array}{c} \text{Longueur totale entre les abouts} \\ \text{des parapets donnée colonne 2} \end{array} \right) \times \left(\begin{array}{c} \text{Largeur disponible entre parapets} \\ \text{donnée colonne 3} \end{array} \right)$$

S_p mesure l'utilité de l'ouvrage.

Soit S_e la surface vue d'élévation entre la voie portée, les murs en aile ou quarts de cône et le terrain naturel ;

Je considère le volume $W = S_e \times (\text{Largeur disponible entre parapets})$.

C'est le volume d'un mur plein ayant même surface d'élévation vue et même largeur utile que l'ouvrage. — Convenons de l'appeler le volume « utile ».

Soient Q et D le cube de maçonnerie de l'ouvrage et sa dépense.

$Q : S_p$ est le cube de maçonnerie à mortier par m. q. de surface horizontale utile. C'est l'épaisseur d'une dalle en maçonnerie de même cube que l'ouvrage et qui aurait même longueur et même largeur utile.

$Q : W$ est le cube de maçonnerie à mortier, par m. c. de volume « utile ».

$D : S_p$ est le prix du m. q. de surface offerte à la circulation.

$D : W$ est le prix du m. c. de volume « utile ».

Toutes ces quantités sont données à la colonne 18 des Tableaux synoptiques.

Quand les fondations sont très au-dessus de la vallée, on a donné de plus les rapports

$Q : W'$, $D : W'$.

$W' = (S'_e, \text{Surface d'élévation au-dessus des fondations}) \times (\text{Largeur disponible entre parapets})$.

W' est le volume « utile » au-dessus des fondations.

I^{re} PARTIE

VOÛTES INARTICULÉES

(SUITE)

PRÉLIMINAIRES

GROUPEMENT EN SÉRIES DES PONTS A VOÛTES INARTICULÉES

LIVRE I

DESCRIPTION DES PONTS

QUI ONT OU AVAIENT DES VOÛTES INARTICULÉES

DE 40^m ET PLUS DE PORTÉE

(SUITE)

LIVRE II

CE QUE L'EXPÉRIENCE ENSEIGNE

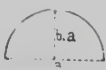
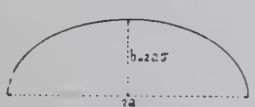
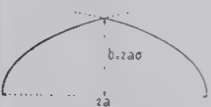
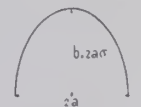

DE SPÉCIAL AUX VOÛTES INARTICULÉES

PRÉLIMINAIRES¹

GROUPEMENT EN SÉRIES DES PONTS A VOÛTES INARTICULÉES
 SÉRIES PAR INTRADOS — SYMBOLES
 PONTS A UNE SEULE GRANDE ARCHIE ET PONTS A PLUSIEURS GRANDES ARCHES
 SÉRIES PAR VOIE PORTÉE — PONTS EN DEUX ANNEAUX
 PONTS AYANT UNE VOÛTE OU DES VOÛTES DE 40^m OU PLUS DE PORTÉE
 EXEMPLES : SENS DE QUELQUES SYMBOLES

1. Groupement en séries des ponts à voûtes inarticulées. — On a rapproché, dans les mêmes séries, les Ponts qui ont les mêmes caractères principaux : intrados, — une seule grande arche ou plusieurs grandes arches, — voie portée.

2. Séries par intrados. — Symboles. — Le caractère dominateur, celui qui classe tout d'abord les voûtes inarticulées, c'est la forme de l'intrados. Voici le classement adopté :

Portée $2a$		Montée b	Surbaissement $\sigma = \frac{b}{2a}$	
DEMI-COURBES COMPLÈTES		Pleins Cintres. — Série C		$\sigma = \frac{1}{2}$ 
		Courbes surbaissées $\sigma = \frac{1}{2}$		
		continues	brisées (O)	
				
Tangentes verticales aux naissances		Série E Ellipses du 2 ^e degré - Courbes algébriques à forme d'ellipse - Courbes composées de segments de courbes - Anses de panier à m centres...	Série OE 2 ellipses, 2 anses de panier, 2 paraboles se coupant...	
ARCS SEGMENTS DE COURBES		Courbes surhaussées (h) $\sigma = \frac{1}{2}$		
		continues	brisées (O)	
				
		Série E_h Ellipses surhaussées - Anses de panier surhaussées...	Sér. O_hC 2 pleins-cintres se coupant...	
Tangentes inclinées aux naissances		Aires pour lesquels $\sigma \geq \frac{1}{2\sqrt{3}} = \frac{1}{3,464} = 0,288$		
		dits : peu surbaissés		
		Série Â	Série OÂ	
		Aires pour lesquels $\frac{1}{2\sqrt{3}} = 0,288 \geq \sigma \geq \frac{1}{7} = 0,143$		
		dits : assez surbaissés		
		Série Â	Série OÂ	
Série A		Aires pour lesquels $\sigma \leq \frac{1}{7} = 0,143$		
		dits : très surbaissés		
		Série Ā	Série OĀ	
		Segments d'ellipses, d'anses de panier surhaussées, de paraboles...		
		Série A_h	Sér. O_hA	

1. — Les mêmes qu'en tête des Tomes I et II.

3. Ponts à une seule grande arche et ponts à plusieurs grandes arches. — On traite de façon fort différente un ouvrage à une seule grande arche ou à plusieurs grandes arches.

De plus, la surcharge ne déforme pas également une voûte unique retombant sur deux culées et la même voûte buttant contre deux piles.

On a donc distingué les ponts à une seule grande arche : $\mathbf{C}^1, \mathbf{E}^1, \widehat{\mathbf{A}}^1, \widehat{\mathbf{A}}^1, \overline{\mathbf{A}}^1, \dots$ et les ponts à plusieurs : $\mathbf{C}^n, \mathbf{E}^n, \widehat{\mathbf{A}}^n, \widehat{\mathbf{A}}^n, \overline{\mathbf{A}}^n, \dots$

4. Séries par voie portée. — Le travail des voûtes, par conséquent leur épaisseur, dépend de ce qui passe dessus.

On distinguera donc :

les Ponts-route : $\mathbf{C}^{\text{r}^{\text{te}}}, \mathbf{E}^{\text{r}^{\text{te}}}, \mathbf{A}^{\text{r}^{\text{te}}}, \dots$

les Ponts sous chemin de fer à voie normale : $\mathbf{C}^{\text{f}^{\text{r}}}, \mathbf{E}^{\text{f}^{\text{r}}}, \mathbf{A}^{\text{f}^{\text{r}}}, \dots$

les Ponts sous chemin de fer à voie étroite : $\mathbf{C}^{\text{f}^{\text{r}}}, \mathbf{E}^{\text{f}^{\text{r}}}, \mathbf{A}^{\text{f}^{\text{r}}}, \dots$

les Ponts-aqueducs : $\mathbf{C}^{\text{aq}}, \mathbf{E}^{\text{aq}}, \dots$

.....

5. Ponts en deux anneaux. — Par économie, on a récemment, pour de larges ponts de ville, porté la chaussée sur deux minces anneaux, un à chaque tête.

Les voûtes seront désignées comme précédemment, mais en doublant la lettre de l'intrados, par exemple : $\widehat{\mathbf{A}}^1 \widehat{\mathbf{A}}^1 \text{r}^{\text{te}}, \dots$

6. Ponts ayant une voûte ou des voûtes de 40^m ou plus de portée. — Les symboles seront suivis de l'indication : $\geq 40^{\text{m}}$.

7. Exemples : Sens de quelques symboles.

$$\widehat{\mathbf{A}}^1 \text{f}^{\text{r}} (\geq 40^{\text{m}})^3$$

désigne un ouvrage en arc (\mathbf{A}) à une seule grande arche (\mathbf{A}^1) ; — assez surbaissé, c'est-à-dire de surbaissement compris entre $\frac{1}{2\sqrt{3}}$ et $\frac{1}{7}$ ($\widehat{\mathbf{A}}$) ; — inarticulé (pas de signe d'articulation sous \mathbf{A}) ; — sous voie étroite (f^r) ; — de portée de 40^m ou plus ($\geq 40^{\text{m}}$) ; — le 3^e, par ordre chronologique, de la série $\widehat{\mathbf{A}}^1 \text{f}^{\text{r}} (\geq 40^{\text{m}})$.

$$\mathbf{E}^n \text{f}^{\text{r}} (\geq 40^{\text{m}})^2$$

désigne un pont en ellipse (\mathbf{E}) à plusieurs grandes arches (\mathbf{E}^n) ; — inarticulé (pas de signe d'articulation sous \mathbf{E}) ; — sous chemin de fer à voie normale (f^r) ; — de portée de 40^m ou plus ($\geq 40^{\text{m}}$) ; — le 2^e, par date, de la série $\mathbf{E}^n \text{f}^{\text{r}} (\geq 40^{\text{m}})$.

$$\widehat{\mathbf{A}}^1 \widehat{\mathbf{A}}^1 \text{r}^{\text{te}} (\geq 40^{\text{m}})^2$$

désigne un pont à deux anneaux en arc ($\mathbf{A} \mathbf{A}$), chacun à une seule grande arche ($\mathbf{A}^1 \mathbf{A}^1$), de surbaissement $\sigma \geq \frac{1}{2\sqrt{3}}$ ($\widehat{\mathbf{A}}^1 \widehat{\mathbf{A}}^1$) ; — inarticulé (pas de signe d'articulation sous $\mathbf{A} \mathbf{A}$) ; — sous route (r^{te}) ; — de portée de 40^m ou plus ($\geq 40^{\text{m}}$) ; — le 2^e, par date, de la série $\widehat{\mathbf{A}}^1 \widehat{\mathbf{A}}^1 \text{r}^{\text{te}} (\geq 40^{\text{m}})$.

LIVRE I (*Suite*)

DESCRIPTION DES PONTS

QUI ONT OU AVAIENT

DES

VOÛTES INARTICULÉES

DE 40^m ET PLUS DE PORTÉE

TABLEAUX SYNOPTIQUES

MONOGRAPHIES

VOÛTES INARTICULÉES

EN

ARC ASSEZ SURBAISSÉ¹



Voir Préliminaires, Tome III, p. 3 et 4 :

1. pour la définition des arcs « assez surbaissés »,
2. pour le sens de ce symbole

VOÛTES INARTICULÉES EN ARC ASSEZ SURBAISSÉ ¹

PONTS A UNE SEULE GRANDE ARCHE
SOUS ROUTE

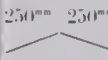
Série $\widehat{A}^1 r^{te} (\geq 40^m)$ ²

Voir Préliminaires, Tome III, p. 3 et 4.

1. — pour la définition des arcs « assez surbaissé ».

2. — pour le sens de ce symbole.

PONT A UNE SEULE GRANDE ARCHE SOUS ROUTE

PONT	PROJET							1° ÉVIDEMENTS DES TYMPANS
	ENSEMBLE	GRANDE VOÛTE					2° DÉCORATION DES TÊTES	
Date	Longueur entre abouts des parapets	Largeurs entre parapets entre tympans sous la plinthe	INTRADOS Portée	ÉPAISSEURS CORPS	TÊTES	MATÉRIAUX Mortier	PRESSIONS en kg / 0 ^m 01 ²	
Symbole	Déclivités	Fruit des tympans	Montée Surbaissement	Clef Retombées	Clef Retombées	Poids, pour 1 ^m de sable, de chaux ou de ciment	Hypothèse adoptée Surcharges supposées	
1	2	3	4	5	6	7	8	9
de <i>Trezzo</i> <i>Italie</i> 1370-1377 <u>ruiné en 1416</u> \widehat{A}^1 1 ^{le} (≈ 40 m)1		" 9 ^m 10 entre têtes " " "	Arc de cercle 72 ^m 00 21 ^m 10 $\frac{1}{3,412} = 0,293$ 41 ^m 25	2 ^m 05 Épaisseur uniforme		Bandeaux : Grès		1° " 2° Archivolte
Pont-y-tu-Pridd <i>Angleterre</i> 1749-1750 \widehat{A}^1 1 ^{le} (≈ 40 m)2	250 ^{mm} 250 ^{mm} 	3 ^m 353 1 ^m 394 La largeur croît par ressants de 5' à 7' 5 Largeur entre têtes aux reins : 1 ^m 826	Arc de cercle 42 ^m 672 10 ^m 668 $\frac{1}{4} = 0,25$ 26 ^m 67	0 ^m 457 Épaisseur uniforme	0 ^m 762 Épaisseur uniforme	Bandeaux : PT ¹ Grès dur hauteur uniforme : 0 ^m 76 épaisseur : 0 ^m 15 à 0 ^m 23 queue : 0 ^m 30 à 0 ^m 45 Donelle : Schiste Petits moellons, hauteur : 0 ^m 457 épaisseur : 2 ou 3 moellons pour un voussoir de tête Queutage : MOII ¹ Chaux		1° 6 voûtes transversales annulaires vues, de 1 ^m , 1 ^m 60, 2 ^m 60 environ 2° "
de <i>Chester</i> <i>Angleterre</i> 1833-1834 \widehat{A}^1 1 ^{le} (≈ 40 m)3	105 ^m	10 ^m 20 10 ^m 90 Pas de fruit	Arc de cercle 60 ^m 939 12 ^m 801 $\frac{1}{4,76} = 0,210$ 42 ^m 67	1 ^m 219 1 ^m 829		Aux naissances, 2 assises en PT ¹ Granit Bandeaux, Clef et contre-clefs : PT ¹ Marbre Douelle et Queutage : Grès (New red sandstone) Chaux du pays (0 ^m 6,5)		1° 2 étages de voûtes longitudinales en ogive : 4 en haut, 2 en bas. 2° Archivolte
des <i>Bains-de-Lucques</i> <i>Italie</i> 1845-1847 1874-1877 \widehat{A}^1 1 ^{le} (≈ 40 m)4		7 ^m 83 " " Pas de fruit "	Arc de cercle 47 ^m 835 7 ^m 128 $\frac{1}{6,71} = 0,149$ 43 ^m 69	1 ^m 80 3 ^m 00 Extrados à ressants		Bandeaux : PT ¹ Grès (490 ^k à 625 ^k) Corps : Br (130 ^k à 150 ^k) Chaux maigre en pâte — 0 ^m 666	Pression moyenne : Clef 16 ^k 3 Naissances 11 ^k 8 La courbe de pression passe au 1/3 supérieur de la clef et au milieu des naissances	1° 4 voûtes transversales cachées en arc 2° "

1 — Pour le sens de ces abréviations, voir Avertissement, Tome III, p. II, n° 6.

SÉRIE $\widehat{A}^1 r^{1e} (\geq 40m)$

TABLEAU SYNOPTIQUE

EXÉCUTION										CUBE DE MAÇONNERIE A MORTIER	
GRANDE VOÛTE										Q	
CINTRE										DÉPENSE	
FONDACTIONS	FERMES		Cube de bois Poids de fer Dépenses		MODE DE CONSTRUCTION	DÉCINTREMENT État d'avancement du pont Temps entre le dernier clavage et le décintrement Date	TASSEMENTS DE LA CLEF sur cintre t_c au décin- tremement t_v après t_v''		Totaux et par unité		
Nature du sol Profondeur sous l'étiage Pressions sur le sol en kg 0 ^m 01 ² Procédé	Type Matière Appareils de décintrement	Nombre Épaisseur Écartement d'axe en axe Surhaussement	Totaux	par mq de douelle 2					de surface utile S_p^3 de volume « utile » W^4		
10	11	12	13	14	15	16	17	18			

2. Pour le calcul de la surface de douelle, voir Avertissement, Tome III, p. III, n° 7 — A. 3. S_p = Longueur (col. 2) × Largeur entre parapets (col. 3) — C'est la surface offerte à la circulation.

4. W = Surface vue de l'élévation × Largeur entre parapets. 5. W' = Surface de l'élévation au-dessus des fondations × Largeur entre parapets.

Pour S_p , W , W' , voir Avertissement, Tome III, p. III, n° 7 — B.

PONT A UNE SEULE GRANDE ARCHE SOUS ROUTE

PONT	PROJET							
	ENSEMBLE		GRANDE VOÛTE					
	Longueur entre abouts des parapets Déclivités Hauteur maxima de la chaussée au-dessus du sol ou de l'étiage	Largeurs entre parapets entre tympans sous la plinthe Fruit des tympans Revanche de la chaussée sur l'extrados	INTRADOS Portée Montée Surbaissement Rayon	ÉPAISSEURS		MATÉRIAUX Mortier Poids, pour 1 ^m de sable, de chaux ou de ciment	PRESSIONS en kg 0 ^m 01 ² Hypothèse adoptée Surcharges supposées	ÉVIDEMENTS DES TYMPANS 1 ^o 2 ^o DÉCORATION DES TÊTES
1	2	3	4	5	6	7	8	9
de Claix <i>France</i> 1873-1874 \widehat{A}^1 1 ^{re} (30 ^m)5	76 ^m 15 ^m 15 ^m 11 ^m 20	7 ^m 30 (8 ^m 10 Pas de fruit »	Arc de cercle 52 ^m 00 8 ^m 05 $\frac{1}{6,46} = 0,155$ 46 ^m	1 ^m 50 (3 ^m 10 46 ^m	1 ^m 20 (2 ^m 60 46 ^m	Bandeaux : PT ¹ Bossages 7 tirants en fer de 55 ^{mm} × 15 ^{mm} scellés dans les bandeaux Douelle : MEV ¹ Queutage : MOV ¹ Ciment artificiel Vicat n° 1 — 1000 ^k	Pression moyenne à la clef : 19 ^k Dupuit	1 ^o Voûtes cachées en plein cintre de 1 ^m 50, sur piles de 0 ^m 80 : 3 en long, 14 en travers (Voûtes d'arête) 6 tirants entre murs de tête. 2 ^o »
du Saulnier <i>France</i> 1882 <u>écroulé en 1912</u> \widehat{A}^1 1 ^{re} (30 ^m)6	66 ^m » 17 ^m	3 ^m 80 (3 ^m 40 Pas de fruit (0 ^m 60)	Arc de cercle 43 ^m 00 8 ^m 60 $\frac{1}{5} = 0,20$ 31 ^m 17	1 ^m 30 (2 ^m 08 31 ^m 17		Bandeaux et Douelle : MAV ¹ 22 tirants en fer de 50 ^{mm} × 15 ^{mm} entre bandeaux Queutage : MEV ¹ Grès calcaire à 300 ^k Chaux du Teil	Pression moyenne : Clefs : 14 ^k 6 Retombées : 14 ^k 8 Dupuit 2 voitures de 16 ^t	1 ^o En travers : 2 étages de voûtes en plein cintre de 1 ^m 50, sur piles de 1 ^m 20. En long : 1 voûte en plein cintre de 1 ^m , sur murs de 1 ^m 20 2 ^o »
d' Elyria <i>États-Unis</i> 1886 \widehat{A}^1 1 ^{re} (30 ^m)7	50 ^m 29 » »	7 ^m 925 (6 ^m 096 Pas de fruit 1 ^m 219	Arc de cercle 45 ^m 72 8 ^m 23 $\frac{1}{5,55} = 0,18$ 35 ^m 81	1 ^m 143 (1 ^m 371 35 ^m 81		Voussoirs de toute l'épaisseur de la voûte, taillés sur 5 faces Épaisseur : 45 ⁷ Longueur : 76 ² Découpes d'au moins 30° Grès d'Elyria, à 437 ^k Ciment Portland 1 ^{re} joints suivant le rayon 6 ^{mm}	Pression sans surcharge : Clefs : 19 ^k 7 Retombées : 24 ^k 1	1 ^o Pas d'évidements. Remplissage en pierre cassée et gravier 2 ^o »
de Wheeling <i>États-Unis</i> 1891-1892 \widehat{A}^1 1 ^{re} (30 ^m)8	98 ^m 91 12 ^m 5 12 ^m 5 10 ^m 50	13 ^m 716 (11 ^m 528 Pas de fruit »	Arc de cercle 48 ^m 463 8 ^m 635 $\frac{1}{5,612} = 0,178$ 38 ^m 22	1 ^m 371 (1 ^m 829 38 ^m 22	1 ^m 324 (» 38 ^m 22	Bandeaux : PT ¹ à crossettes, de toute l'épaisseur de la voûte	Pression maxima aux retombées : 37 ^k 3 » 188 ^k m1	1 ^o 8 murs longitudinaux de 0 ^m 61, espacés de 0 ^m 888 et 0 ^m 863 2 ^o »

1. Pour le sens de ces abréviations, voir Avertissement, Tome III, p. 11, n° 6.

SÉRIE $\widehat{A}^1 r^{10} (\geq 40m)$

TABLEAU SYNOPTIQUE (Suite)

EXÉCUTION								CUBE DE MAÇONNERIE A MORTIER	
FONDATIONS	GRANDE VOÛTE							Q DÉPENSE D Totaux et par unité de surface utile S _p ³ de volume « utile » W ⁴	
	CINTRE				MODE DE CONSTRUCTION	DÉCINTREMENT État d'avancement du pont Temps entre le dernier clavage et le décintrement Date	TASSEMENTS DE LA CLEF sur cintre t _c au décin- tremement t' _v après t'' _v		
	FERMES		Cube de bois Poids de fer Dépenses						
	Type Matière	Nombre Épaisseur Écartement d'axe en axe Surhaussement	Totaux	par mq de douelle ²					
	Appareils de décintrement								
10	11	12	13	14	15	16	17	18	
Calcaire schisteux tendre taillé à redans. » Pression moyenne : 12 ^k 1 »	Fixe Poinçons et triangles » Boîtes à sable remplaçant, au dernier moment, des billots	<div><div>6</div><div>3,5^m</div><div>1^m50</div><div>»</div></div>	<div>»</div> <div>»</div> <div>32535^f</div>	<div>»</div> <div>»</div> <div>68^f9</div>	2 rouleaux A chaque rouleau, 4 tronçons	<div>»</div> <div>42 jours</div> <div>10 avril</div>	<div>t_c = 4^{mm}</div> <div>t'_v = 1 à 2^{mm}</div>	D = 139564 ^f D : S _p = 251 ^f 6 D : W = 26 ^f 6	
Rive droite : Rocher Schiste apparent Rive gauche : Schiste pourri et argile Pression maxima : 7 ^k 7	Fixe Pin Boîtes à sable	<div><div>3</div><div>20^m</div><div>1^m50</div><div>»</div></div>	<div>95^{mc}</div> <div>»</div> <div>»</div>	<div>0^{mc}59</div> <div>»</div> <div>»</div>	2 rouleaux	<div>»</div> <div>39 jours</div> <div>Octobre et novembre</div>	<div>t_c = 0</div> <div>t'_v = 52^{mm}</div>	D = 69000 ^f D : S _p = 275 ^f 1 D : W = 16 ^f 6	
Rocher solide Assiette taillée à la main : explosifs interdits							t' _v = 203 ^{mm}		
Rocher	Fixe » Boîtes à sable	<div><div>12</div><div>30^m</div><div>1^m346</div><div>»</div></div>						D = 699300 ^f D : S _p = 515 ^f 5 D : W = 65 ^f 0	

Pour le calcul de la surface de douelle, voir Avertissement, Tome III, p. III, n° 7 — A. 3. S_p = Longueur (col. 2) \times Largeur entre parapets (col. 3) — C'est la surface offerte à la circulation.

4. W = Surface vue de l'élévation \times Largeur entre parapets. 5. W' = Surface de l'élévation au-dessus des fondations \times Largeur entre parapets.

Pour S_p , W , W' , voir Avertissement, Tome III, p. III, n° 7 — B.

PONT A UNE SEULE GRANDE ARCHE SOUS ROUTE

PONT	PROJET							
	ENSEMBLE		GRANDE VOÛTE					
	Longueur entre abouts des parapets Déclivités Hauteur maxima de la chaussée au-dessus du sol ou de l'étiage	Largeurs entre parapets entre tympans sous la plinthe Fruit des tympans Revanche de la chaussée sur l'extrados	INTRADOS Portée Montée Surbaissement Rayon	ÉPAISSEURS		MATÉRIAUX Mortier Poids, pour 1 ^m de sable, de chaux ou de ciment	PRESSIONS en kg (0 ^m 01) ² Hypothèse adoptée Surcharges supposées	1° ÉVIDEMENTS DES TYMPANS 2° DÉCORATION DES TÊTES
1	2	3	4	5	6	7	8	9
de Bellefield à Pittsburg <i>États-Unis</i> 1896-1897 A ¹ 1 ^{re} (40 ^m) ⁹	103 ^m 94 » 21 ^m 34	24 ^m 08 24 ^m 993 Pas de fruit »	Arc de cercle 45 ^m 72 41 ^m 176 $\frac{1}{4,10} = 0,244$ 28 ^m 97	Douelle en PT ¹ : 4 ^m 219 4 ^m 829	1 ^m 219 1 ^m 829	Têtes, sur 2 ^m 13 PT ¹ Ciment lent = 0 ^m 5 Douelle : PT ¹ Épaisseur 0 ^m 61 Ciment lent = 0 ^m 5 Queutage : Béton Ciment Saylor 1 ^{er} Sable 2 ^{er} Pierre cassée à 5 ^e 4 ²⁵	en kg (0 ^m 01) ² Hypothèse adoptée Surcharges supposées	1° 7 voûtes longitudinales en Br ¹ , en arc, de 2 ^m 21 à 2 ^m 59, sur murs en MOH ¹ de 0 ^m 69 Murs transversaux en MO ¹ de 0 ^m 69 2° Cadres dans les tympans.
de Plauen <i>Allemagne</i> 1903-1905 A ¹ 1 ^{re} (40 ^m) ¹⁰	150 ^m 1 ^m 2 1 ^m 2	17 ^m 00 16 ^m 00 Pas de fruit 1 ^m 20	Arc d'anse de panier à 5 centres 90 ^m 00 48 ^m 00 $\frac{1}{5} = 0,20$ Rayons : Cerveau (sur 30 ^m) 105 ^m Reins 58 ^m 50 Retombées 30 ^m 10	1 ^m 50 2 ^m 00 à 32 ^m 50 de la clef	1 ^m 30 2 ^m 00 à 32 ^m 50 de la clef	Petits moellons (10 à 12 ^m d'épaisseur) de schiste dur (1580 ^k) Aux têtes, crépi de 7 ^{cm} : Ciment 1 ^{er} Sable blanc 5 ^{er} Cerveau Ciment Stern 1 ^{vol} Sable 3 ^{vol} Reins et Culées Ciment Vorwöhler 1 ^{vol} Gros sable 4 ^{vol}	Pression maxima : Clef : 32 ^k 4 A 32 ^m 50 de la clef : 53 ^k 4 Retombées : 26 ^k 9 Courbes de pression construites avec points de passage arbitrairement choisis Pression max. 69 ^k Tension max. 45 Arc élastique 575 ^k 1 ^m 3 rouleaux : 23 ^r	1° 6 voûtes longitudinales : $\frac{1}{4}$ de 1 ^m 50 entre 2 de 1 ^m 80, sur piles de 0 ^m 40. Aux reins : 6 voûtes transversales annulaires, vues, de 5 ^m . 2° »
de Guggersbach <i>Suisse</i> 1906 A ¹ 1 ^{re} (40 ^m) ¹¹	67 ^m 10 13 ^m 13 ^m	3 ^m 00 3 ^m 50 Pas de fruit 0 ^m 60	Arc de cercle 50 ^m 20 8 ^m 22 $\frac{1}{6,10} = 0,164$ 42 ^m 431	1 ^m 10 1 ^m 60	1 ^m 10 1 ^m 60	Béton 250 ^k de ciment par mètre cube de béton (aux culées, 180 ^k)	Pressions minima et maxima Intr. Extr. Clef 13 ^k 18 ^k 5 15 ^k 22 ^k 14 de 12 ^k 14 ^k Pare 17 ^k 5 19 ^k 5 Re- 16 ^k 6 ^k tombl. 22 ^k 5 12 ^k Arc élastique 250 ^k 1 ^m Voitures de 12 ^r	1° Plateforme en béton armé, sur piles de 0 ^m 60 aux têtes, espacées de 3 ^m 80. 2° »

1. Pour le sens de ces abréviations, voir Avertissement, Tome III, p. II, n° 6.

SÉRIE $\widehat{A}^1 r^{1e} (\geq 40m)$

TABLEAU SYNOPTIQUE (Suite)

EXÉCUTION										CUBE DE MAÇONNERIE A MORTIER	
GRANDE VOÛTE										Q	
CINTRE										DÉPENSE	
FERMES										D	
Cube de bois Poids de fer Dépenses										Totaux	
MODE DE CONSTRUCTION										et de surface utile S_p ³ de volume « utile » W ⁴	
DÉCINTREMENT										TASSEMENTS	
État d'avancement du pont										DE LA CLEF	
Temps entre le dernier clavage et le décintrement										sur cintre t_c au décin- trement t_v après t_v	
Date											
Rocher solide	Fixe	14		1062 ^{mc}	0 ^{mc} 82					Q = 9270 ^{mc} (maçonnerie à mortier et béton)	
	Sapin noir du Canada	1 m 88 entre les fermes								Q : S_p = 3 ^{mc} 70 Q : W = 0 ^{mc} 27	
	Boîtes à sable en fonte	54 ^{mm}				Septembre et octobre				D = 580 000 ^f D : S_p = 231 ^f 7 D : W = 17 ^f 2 D : Q = 62 ^f 6	
Rocher Diabase résistant à 1600 ^{kg} taille en gradins	Fixe	Étage supér. 21 Étage infér. 11	2000 ^{mc} (1 ^{re} pour 2 ^{me} de voûte)	1 ^{mc} 24	A pleine épaisseur	Tympan en construction				D = 614 742 ^f (non compris abords et achats de terrains)	
	Pin				6 tronçons, 11 clavages	8 mois				D : S_p = 241 ^f 4 D : W = 14 ^f 8	
Pression maxima : 23 ^{kg} 9	Billots et Coins	150 ^{mm}				Commencement de juillet					
Rocher (Grès) apparent	Fixe	4	75 ^{mc} (sans le plâlage)	0 ^{mc} 35	2 rouleaux : Le 1 ^{er} , par tranches séparées, d'abord des hautes, puis, entre elles, des basses ; le 2 ^e , en 8 tronçons embrassant plusieurs tranches du 1 ^{er} , séparés par 9 tranches minces	Pont achevé				Q = 626 ^{mc} Q : S_p = 1 ^{mc} 86 Q : W = 0 ^{mc} 19 (Poids de métal armant la plate-forme et ses piles : 8 ^{kg} 4)	
	Pin (Bois rond)	1 m 58 à la base	boulons 1182 ^{kg} boîtes à sable 192 ^{kg} sabots des pieux 200 ^{kg}			92 jours				D = 52537 ^f D : S_p = 156 ^f 6 D : W = 15 ^f 6 D : Q = 83 ^f 9	
Pression : 5 ^{kg}	Boîtes à sable	40 ^{mm}	1578 ^{kg}	7 ^{kg} 3		15 décembre					
	Coins aux retonibées		8100 ^f	37 ^f 5							

2 Pour le calcul de la surface de douelle, voir Avertissement, Tome III, p. III, n° 7 — A — 3. S_p = Longueur (col. 2) × Largeur entre parapets (col. 3) — C'est la surface offerte à la circulation.4. W = Surface vue de l'élévation × Largeur entre parapets. 5. W' = Surface de l'élévation au-dessus des fondations × Largeur entre parapetsPour S_p , W , W' , voir Avertissement, Tome III, p. III, n° 7 — B.

PONT A UNE SEULE GRANDE ARCHE SOUS ROUTE

PONT	PROJET								ÉVIDEMENTS DES TYMPANS 2° DÉCORATION DES TÊTES
	ENSEMBLE		GRANDE VOÛTE				PRESSIONS en kg 0 ^m 01 ² Hypothèse adoptée Surcharges supposées		
	Longueur entre abouts des parapets Déclivités Hauteur maxima de la chaussée au-dessus du sol ou de l'étiage	Largeurs entre parapets entre tympons sous la plinthe Fruit des tympons Revanche de la chaussée sur l'extrados	INTRADOS Portée Montée Surbaissement Rayon	ÉPAISSEURS		MATÉRIAUX Mortier Poids, pour 1 ^{me} de sable, de chaux ou de ciment			
				CORPS Clef Retombées	TÊTES Clef Retom- bées				
Date	1	2	3	4	5	6	7	8	9
Symbole									
de Montanges France 1908-1909 <									

1. — Pour le sens de ces abréviations, voir Avertissement, Tome III, p. II, n° 6.

TABLEAU SYNOPTIQUE (Suite)

2. Pour le calcul de la surface de douelle, voir Avertissement, Tome III, p. III, n° 7 — A. 3. S_p = Longueur (col. 2) \times Largeur entre parapets (col. 3) — C'est la surface offerte à la circulation.
4. W = Surface vue de l'élévation \times Largeur entre parapets. 5. W' = Surface de l'élévation au-dessus des fondations \times Largeur entre parapets
Pour S_p , W , W' , voir Avertissement, Tome III, p. III, n° 7 — B.



VOÛTES INARTICULÉES EN ARC ASSEZ SURBAISSÉ
PONTS A UNE SEULE GRANDE ARCHE SOUS ROUTE

SÉRIE \widehat{A}^1 1^{re} ($\geq 40^m$)

MONOGRAPHIES

PONT SUR L'ADDA, A TREZZO ^{1, 2} (ITALIE - Lombardie)

1370-1377
Détruit en 1416 **\widehat{A}^1 1^{re} ($\geq 40^m$)**¹

1. Dates. — Entre 1360 et 1370³, Bernabò Visconti, duc de Milan, « commença à reconstruire le château de Trezzo, en même temps, il fit faire un pont sur l'Adda, d'une seule arche... avec deux tours de chaque côté. Ce grand ouvrage fut achevé en 7 ans et 3 mois. » (S'₃).

En 1416⁴, le condottiere Carmagnola, alors au service de Philippe Visconti, duc de Milan, assiégeait le château de Trezzo : comme la garnison recevait, du territoire de Bergame, des secours par le pont (S'₁), il affaiblit sa culée rive gauche (S'''), et le jeta par terre le 21 décembre (S₂).

Le pont n'aurait donc existé que 40 ans environ.

En 1775, pour faciliter la navigation, on fit tomber un morceau d'arc (S₆).

2. Le pont était d'une seule arche. — Andrea Biglia, chroniqueur milanais contemporain, l'affirme (S''₁).

Donato Bosso (S₂) et Bernardin Corio (S₃), nés plus de 40 ans après la chute du pont, disent que le pont détruit avait plusieurs arches. Mais le même Corio avait affirmé précédemment que le pont construit par Bernabò Visconti n'en avait qu'une (S'₃).

L'Adda coule, là, rapide et profonde ; au XIV^e siècle, on n'aurait pas pu y fonder de pile⁵ : on n'en voit aucun vestige (S'₅, S₆, S₉).

1. — Trezzo est sur le tramway Bergame-Vimercate-Monza, à 17^{km} de Bergame.

2. — Après 1200, un seigneur de S. Gervasio, petit village en face de Trezzo, construisit en grosses pierres un pont d'une seule arche très pointue. Il fut coupé après 1275, puis refait vers 1279, puis détruit, probablement en 1320 (S₉, p. 24).

3. — Giulini précise 1370 (S'₁) : il semble que ce soit d'après Corio. Or Corio ne précise pas entre 1360 et 1370 (S'₃).

4. — Giulini (S''₁). D'après Corio, 1417 (S'₃).

5. — Pour traverser l'Adda, on a exécuté un grand arc métallique :
à Trezzo même, pour la route de Bergame (portée 62^m50, - 1884-86) ;
en aval, à l'aderno, pour le chemin de fer Bergame-Usmate, à 20^{km} de Bergame (portée 150^m, - 1887-88).

L'intrados des deux retombées, qui ont le même rayon ⁶, appartient au même arc.

Φ_1 — Vue d'ensemble — aval (S₁)



3. Ce qui reste de la culée rive droite ($\Phi_2, \Phi_3 - S_3$). — La douelle est cachée par la maçonnerie qui la soutient : on ne voit que les deux têtes.

La partie plate ef (f_1) est dans le plan du tympan ; cd est en recul de la saillie du cavet.

cd est en grès gris noir, assez tendre, très attaqué à la face Sud ; à la face Nord, il est moins creusé, mais a des fentes parallèles à la tête.

L'archivolte def est, par places, en grès jaune.

Biglia a écrit que l'ouvrage était en briques (S''_1).

Les têtes, les tympan, sont en pierre de taille de grès : on ne voit pas la douelle, ni le queutage.

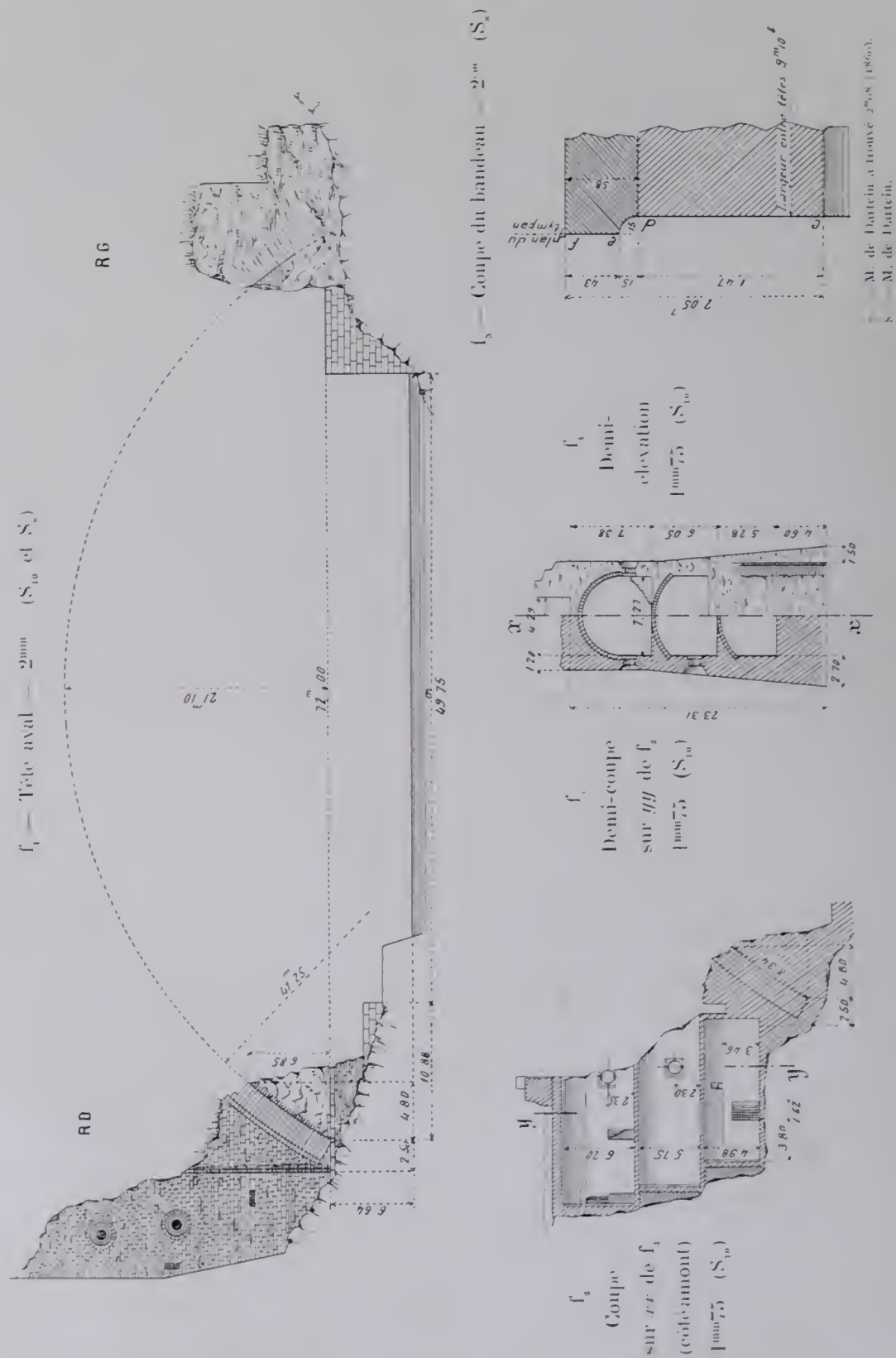
6. — M. de Dartin. — Voir plus loin, n° 5.

Culée rive droite — aval (S_2)
 Φ_2



Φ





4. Ce qui reste de la enlée rive gauche ($\Phi_4 - S_3$). — On y devine l'appareil en voûte d'une retombée. « *Les ruines même ont péri* »⁹.

 Φ_4 — Culée rive gauche — aval (S_3)

5. Intrados. — M. l'Inspecteur Général de Dartin a relevé la portée : 72^m, — déterminé le rayon d'après les coordonnées de trois points de l'intrados, — puis, avec ce rayon, calculé la montée : 21^m10.

Comme le pont de Vérone¹⁰, construit 20 ans avant, il était vraisemblablement en arc surbaissé (Trezzo : 1 3,41 ; Vérone ; 1 4,02). Comme lui, c'était un pont militaire : il assurait un passage entre le château (rive droite) et une tête de pont construite sur la rive gauche, peut-être un passage couvert (S'_3), peut-être, comme à Vérone, entre deux files de merlous.

9. — Quelques années avant 1886, on voyait encore sur les deux rives des restes assez importants des deux têtes avec leurs tours, et les retombées sur environ 4^m ; ceux de rive gauche ont en partie disparu par l'exploitation des carrières de poudingue (S_3 , p. 28).

10. — \widehat{A}^a 1^{re} ($\geq 40^m$)¹ — Tome III.

SOURCES :

S_3 . — « *Historia fratris Andrew Billii Patria Mediolanensis — Rerum Italicarum*

« *scriptores* » Muratori, tome XIX, Milan, MDCCXXI, Lib. III, col. 44 :

« *Ad Tricinum... castra posita....* »

S'_1 . — « *denique, cum videret Carnagnola non posse satis prohiberi, quo
« minus in Castellum multa ex ponte trans Abduam conuearent, statuit pontem
« diruere.* »

S''_1 . — « *Opus ferme, cui nullum ejus generis par : quippe omnem gorgitis
« amplitudinem uno fornice compieris altissimè tendebatur, nec quamvis lateritius
« ullo ferro solri poterat, super modum aretissima calceis coagmentatio, Castellum
« olim cum ponte Bernabos extruxerat....* »

S'''_1 . — « *Hunc pontem Carnagnola exteriorè planta succisum diruit...* »

(Andrea Biglia, de Milan, de l'ordre des Augustins ; mort en 1435).

S_2 . — « *Chronica Bossiana* » (Bibliothèque Nationale, Reserve K. 63 : Milan
MCCCLXXXII, non paginée :

« *Anno domini millesimo quadringentesimo septodecimo.....* »

Pons Tricii « *Vigesimo primo decèbris die Pons lapidens suppositus archi Tricii mirabili
diruitur* » « *opere : pluribus q. fornicibus ex silice fabrefactus diruitur* ».

(Donato Bosso, historien milanais, né en 1456. — Biographie Michaud).

S_3 . — « *L'istoria di Milano volgarmente scritta dall' eccellentissimo oratore M. Bernar-
« dio Corio, gentil'huomo milanese* », in Vineglia MDLIII, Bibliothèque Nationale, K. 3101.

Corio cite des événements de « *L'Anno mille trecento sessanta* » : puis écrit,

S'_3 . — page 243, verso :

Ponte sopra « *Et Bernabò diede principio alla riedification del castel di*
Adda fabricata « *Trezo. Similmente fece fare il ponte sopra il fiume Adda : que*
i un solo arco « *sto fu fabricato in un solo Arco, che parse mirabil cosa, da*
« *ogni banda edificò due Torri, et sì grande edificio fu compinto*
« *in sette anni, et tre mesi.* »

Corio cite ensuite des événements de janvier et février 1370.

S''_3 . — p. 312, verso. « *Poi l'Anno mille quattrocento diciasette.... il Duca....
« deliberò ridurre in sua deditione la fortezza di Trezo... Il perche Filippo Maria gli
« mandò Francesco Busoni di Cremagnola.....* »

« *....et il mirabile ponte, che già Bernabò Visconte in cinque archi sopra il vico
« sasso harea fatto fabricare fece roinare....* »

Puis vient un événement du 14 février.

(Bernardin Corio, 1459-1519, Milanais, chambellan du duc Ludovic Sforza, dit
le More. Chargé, par lui, d'écrire l'histoire de Milan. — *Biographie universelle de
Michaud*, tome IX).

S_4 . — Giulini : « *Memorie spettanti alla storia, al Governo ed alla descrizione della città
« e campagna di Milano.* » (Ouvrage publié en 1760-1765).

S'_4 . — Vol. V, Lib. LXX, Anno 1370, p. 536.

S''_4 . — Vol. VI, Lib. LXXIX, Anno 1416, p. 1416, p. 200, 201.

[d'après Biglia (S_1), Bosso (S_2), Corio (S_3)].

S₃. — G. B. Biadego : « *Del Ponte nuovo sull' Adige a Verona* », — Vérone et Turin, 1885. (Memoria V, p. 279 et Pl. XX). Cette planche XX reproduit une restitution de M. de Dartein, lithographiée à Milan en 1860.

S'₃. — id. Renseignements fournis à M. Biadego par l'Ingénieur Zucconi, de Milan.

S₆. — Luigi Ferrario : « *Borgo di Trezzo ed il suo Castello* », Milan 1867. (M. Ferrario était secrétaire à la section historique et diplomatique des Archives de Milan).

S₇. — Hann et Hosking donnent une restitution peu vraisemblable du pont : « *as it probably existed in 1390* » (*Theory, practice and architecture of bridges*) Londres 1839-1857, atlas, Pl. LXXI).

Croizette-Desnoyers reproduit, (*Construction des Ponts*, tome I, p. 41), cette restitution et celle de M. de Dartein de 1860.

S₈. — Ce que j'ai vu — juin 1908.

S₉. — Ing. Ariberto Crivelli : « *Gli Avanzi del Castello di Trezzo. L'Antico ed il Nuovo Ponte sul l'Adda* », Milan, 1886. (Mémoire que m'a gracieusement communiqué M. le Professeur Jorini de l'Ecole des Ingénieurs de Milan).

S₁₀. — Les dessins f₁, f₂, f₃, f₄, sont faits d'après les relevés de M. l'Inspecteur Général de Dartein, qui m'a très gracieusement prêté ses minutes.

PONT DIT « PONT-Y-TU-PRIDD »¹

SUR LA TAFE, PRÈS DE NEWBRIDGE (PAYS DE GALLES, Comté de Glamorgan)

Route de Lantrissant à Cardiff

1749-1750

\widehat{A}^1 1^{re} (40^m)²

1. Premier pont (1746-1748). — En 1746, un maçon, « qui avait acquis « quelque réputation dans le pays », William Edwards, construisit là un pont à 3 arches, qui fut emporté par une crue deux ans et demi après.

2. Deuxième pont. — Edwards devait, d'après son contrat, entretenir le pont 7 ans : il le reconstruisit avec une seule arche de 42^m672 (140 pieds) d'ouverture et 10^m668 (35 pieds) de montée ; mais, alors qu'il ne restait plus qu'à poser les parapets, la voûte, trop chargée aux reins, se souleva à la clef et s'écroula.

3. Troisième pont (pont actuel, terminé en 1750).

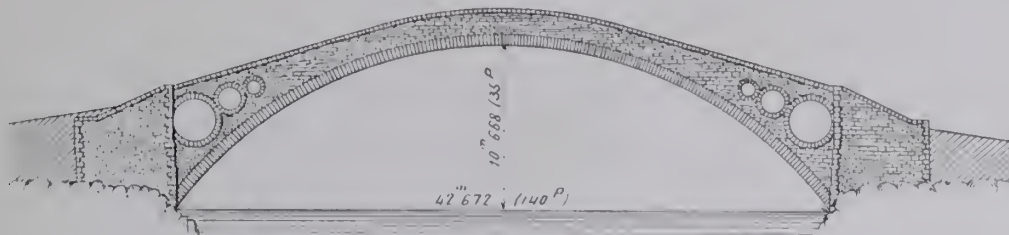
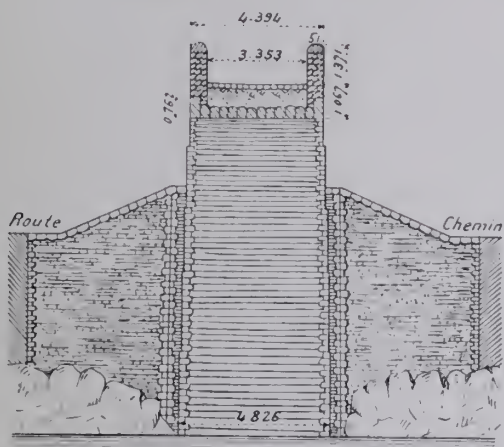
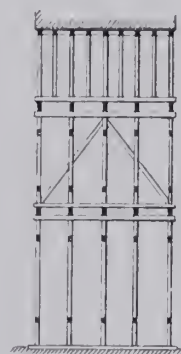
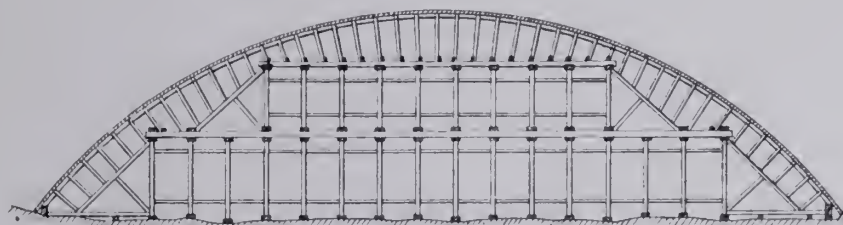
$\Phi_1^{2,3}$



1. — En gaelique : « Pont près de la hutte de terre ».

2. — Cliche de MM. T. Forrest et fils, Pontypridd.

3. — Photographie gracieusement communiquée, en juin 1907, par M. H. Waters, Agent général du « London and North Western » à Paris.

f_1 — Elevation — 2^{mm} f_2 — Coupe en travers à la clef — 4^{mm} f_3 — Coupe en travers du cintre — 4^{mm} f_4 — Cintre — 2^{mm}

4. — D'après un modèle, qui a été conservé (S₁).

Sans perdre courage, Edwards la reconstruisit avec les mêmes dimensions : mais, soit d'après les conseils de Smeaton qu'il avait consulté, soit instruit par son échec, il diminua la charge sur les reins :

1° - en élégissant les tympans par 3 voûtes annulaires ;

2° - en remplissant de charbon de bois l'intervalle entre les tympans.

Cette fois, la voûte a tenu :

Labor omnia vincit

Improbis,...

Vers 1818, on abaissa les rampes d'accès à 1/4.

4. Auteur : Edwards.

SOURCE :

S_r. — Institution of Civil Engineers — Minutes of Proceedings. 1846. p. 474, Pl. 40 à 43, n° 269 : « *Account of the Pont-y-tu-Pridd, over the River Tafe, near Newbridge, in the County of Glamorgan* », Th. Macdougall Smith (Mémoire lu le 4 avril 1838).

PONT DE GROSVENOR, SUR LA DEE, A CHESTER (PAYS DE GALLES)

1833-1834

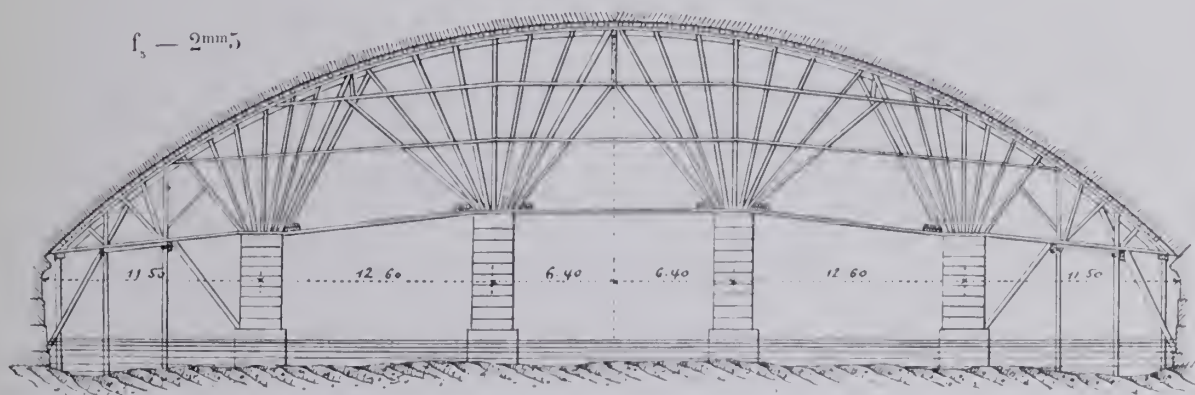
$\widehat{A}^1 r^{40} = 40m,3$

$\phi_1 (S_1)$



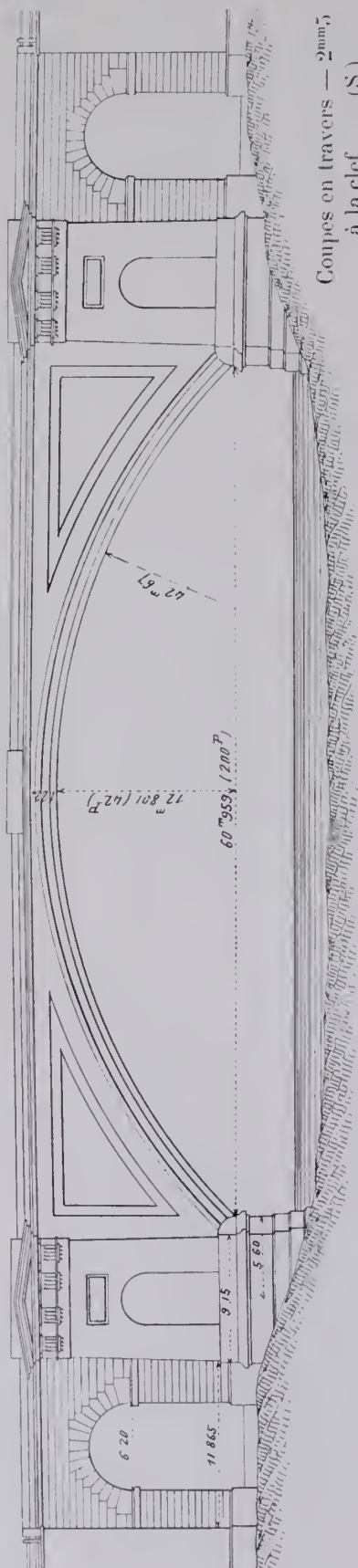
1. Cintre. — 6 fermes, à contrefiches isolées, disposées en éventail, portaient, par des sabots en fonte, sur 4 piles en maçonnerie. Elles étaient réunies en haut, suivant la courbe d'intrados, par deux cours de madriers de 0^m10 chacun (S_2).

$f_3 = 2m,5$

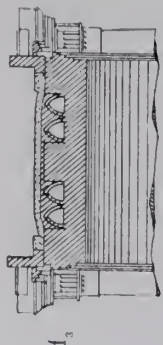


T. III. — 6.

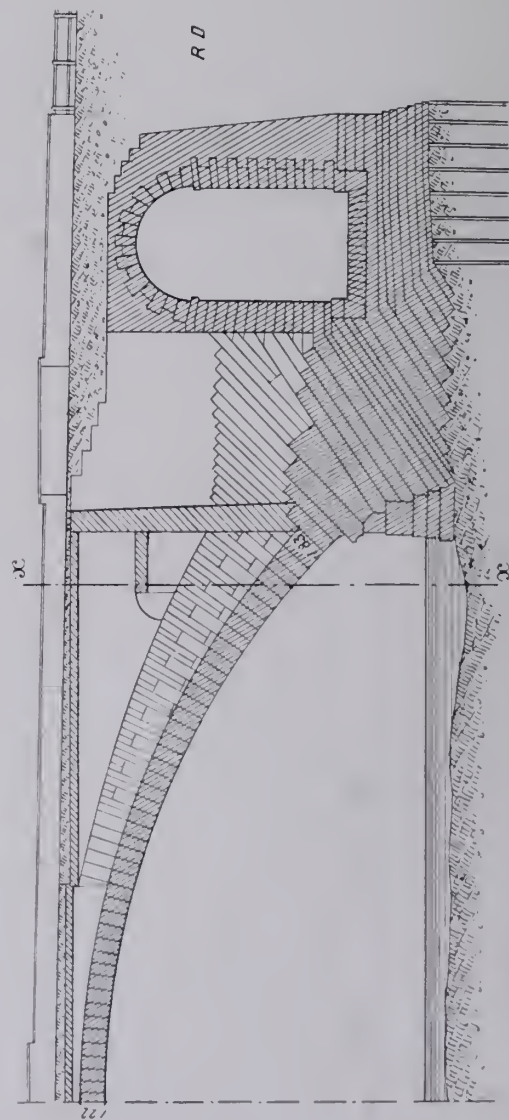
f_1 — Elevation — 2mm (S_2)



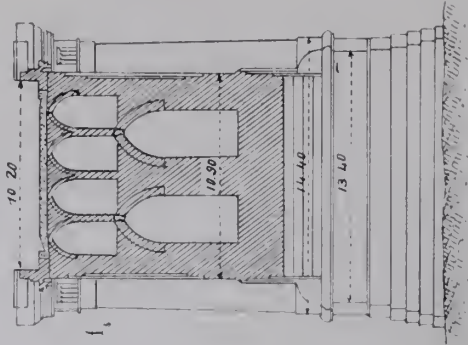
Coupes en travers — 2mm5 (S_2) à la clef



f_2 — Coupe en long — 2mm5 (S_2)



sur $x x'$ de f_2 (S_2)



Les couchis de 11^{cm} d'épaisseur, portaient sur des coins, — 2 sur chaque ferme, — de 0^m40 de longueur et 0^m25 à 0^m30 de largeur.

« Le cintre était divisé en parties indépendantes correspondant à l'intervalle entre les piles en maçonnerie. On pouvait, dès lors, décintrer par parties, en particulier lâcher le cintre aux reins en le maintenant à la clef. » (S₁).

2. Construction de la voûte. — « La première assise au-dessus des naissances fut placée sur un coin en plomb de 1 pouce 1 2 (38^{mm}) d'épaisseur en douelle, et finissant à rien à l'extrémité de son lit.... des bandes de plomb de 8 à 9 pouces (20 à 23^{cm}) de largeur furent aussi introduites dans les joints, de chaque côté, en montant jusqu'au point où la pression put être considérée comme passant de l'intrados à l'extrados des voussoirs, soit sur environ les 2 3 de la douelle... » (S₁).

On descendit à la sonnette les voussoirs de clef, après avoir recouvert leurs faces d'une épaisse couche de mastic de céruse et d'huile, et après avoir garni les parois des contre-clefs de feuilles de plomb (S₂).

3. Décintrement (S₂). — On décintra lentement, le mortier étant encore mou, en tenant la clef haute et les reins bas.

4. Personnel (S₃).

Ingénieurs { *Projet* : M. Harriison. — Le projet a été fait 25 ans avant l'exécution (S₁).
 Exécution : M. Hartley.

Entrepreneur : M. Trubshaw (auteur du projet du cintre).

SOURCES :

S₁. — Transactions of the Institution of Civil Engineers, vol. I, p. 207 et suivantes.

S₂. — Ecole des Ponts et Chaussées. — Collection de dessins distribués aux Elèves. — Série 3, section A, Pl. 3. « Pont de Chester ». — Légendes explicatives des Planches. — Tome I, p. 70.

S₃. — Ce que j'ai vu — juin 1903.

PONT SUR LE TORRENT FEGANA, PRÈS DES BAINS-DE-LUCQUES¹

(ITALIE, Province de Lucques)

Route Nationale de Livourne à Mantoue

{ 1845-1847
{ 1874-1877

\widehat{A}^1 1^{re} (40m)¹

Φ_1 (S₂)



1. Pourquoi on a fait une grande voûte. — Le Fegana a des crues violentes, qui roulent de gros blocs : il emporta là un pont à deux arches, qui remplaçait un pont plus ancien.

Le rocher, qui est à une faible profondeur sur les rives, plonge presque à pic : on ne le trouve plus au milieu.

Il fallait là une grande arche.

2. Histoire. — L'ouvrage fut commencé en 1845. On construisit les deux culées jusqu'au-dessus des niches, et deux amorces de voûte sur 3^m environ de chaque côté, soutenues par les murs d'un ancien pont.

A la révolution de 1847, on l'abandonna.

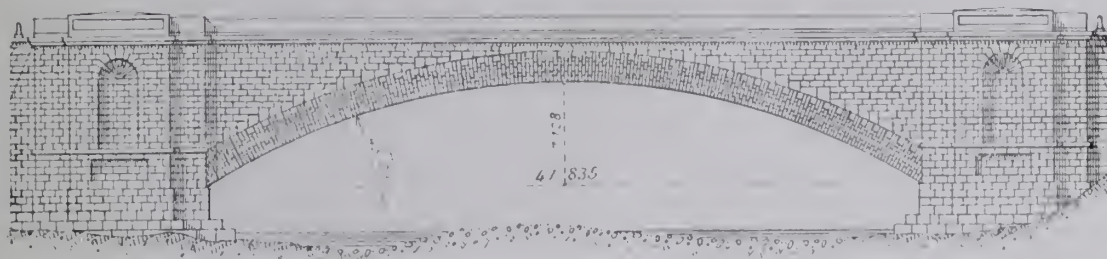
1. — Au point où le Fegana se jette dans le Serchio, à environ 3^{km} des Bains-de-Lucques, 28^{km} de Lucques.

On ne le reprit que 27 ans plus tard.

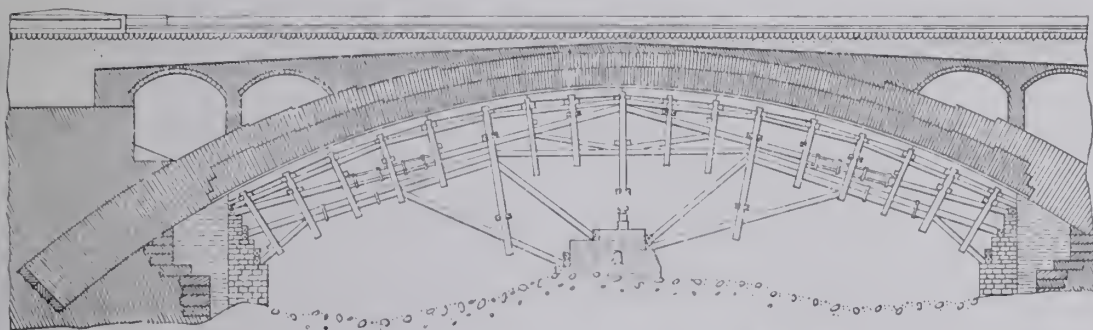
On respecta le projet primitif.

On élégit seulement les reins par deux voûtes transversales (f_1).

f_1 — Elevation — 2mm



f_2 — Coupe en long et cintre — 2mm,5



a — Débris d'une ancienne pile

3. Couronnement convexe. — En élévation, les parapets et la plinthe ont une flèche de 0^m08 pour ne pas paraître concaves.

4. Cintre (f_2). — Les pièces du cerveau du cintre portaient sur des caisses à sable ; celles des reins, sur des coins, qui ont mal fonctionné, et qu'il fallut ruiner.

5. Construction de la voûte. — On chargea le cintre à la clef, puis, le 31 août 1874, on commença le premier rouleau.

On mena d'abord en même temps les bandeaux et la douelle ; puis, pour hâter le clavage, on ne posa que le corps en briques, sans les bandeaux.

On changeait chaque jour de côté les équipes de maçons.

Près de la clef, on mit dans le mortier de la limaille de fer.

On termina le premier rouleau, ainsi réduit, le 6 octobre, et on commença, dès le lendemain, le deuxième, relié au premier par quelques harpes.

Aussitôt le deuxième rouleau terminé, on fit un premier décintrement partiel. Puis on chargea de briques l'emplacement à occuper plus tard par les bandeaux (anneau de 1^m20 à chaque tête).

On a donc opéré par rouleaux et par anneaux.

Voici la suite des principales opérations, et les tassements observés :

Opérations	Dates des observations	Abaissements de la clef en <i>mm.</i>		
		totaux	partiels	
			Cintre	Voûte
On charge le cerveau du cintre d'environ 100.000 briques (220 ^r).....	1874	40 ^{mm}	40 ^{mm}	
Construction du corps en briques. Clavage des rouleaux	1 ^{er} 6 octobre	57.5	17.5	
	2 ^e 3 novembre	75	17.5	
Premier décintrement partiel.....	3 novembre	95		20 ^{mm}
Après le deuxième décintrement.....	1875 commencement de janvier	169		74
Troisième décintrement partiel, avant de commencer les bandeaux (on abaisse les 4 fermes intermédiaires en maintenant celles de tête).....	fin avril	187		18
Exécution des bandeaux	Commencement.....	10 mai	187	
	Clavage (on relia les voussoirs des clefs avec ceux de la voûte par des crochets en fer plombés).....	28 juillet	198	11
Quatrième décintrement partiel (Achèvement du décintrement).....	août	200		2
Enlèvement en grand du cintre.....	9 août	210		10
Après la construction des tympanes jusqu'à la plinthe.....		220		10
Après celle des parapets (1250 ^k par mètre courant de parapet).....	commencement de novembre	230		10
	1876			28
	commencement de l'été	258	75	183

6. Fissures observées.

A. - Aux naissances. — Quand chaque attaque du premier rouleau avait environ 3^m, on constata à l'extrados du joint des naissances une ouverture « *presque capillaire* ». Quand on dépassa le milieu du demi-arc, soit à la 5^e moise pendante à partir de la naissance, la fissure atteignit 13^{mm} et n'augmenta plus jusqu'au clavage du rouleau.

A mesure que se réduisait la charge de briques du cerveau, les fermes tendaient à se relever et la fissure à diminuer.

Pendant la construction du deuxième rouleau, elle augmenta de 2^{mm} et atteignit 15^{mm}.

B. - *A la clef.* — Au décintrement final du 9 août 1875, on observa à la clef un fil à peine perceptible, — la fissure des naissances n'augmentant pas.

7. Composition de la voûte.

	Cube	Pour 1 ^{me} ; Journées		Le me. de voûte est ainsi composé :
		de maçon	de tailleur de pierre	
Corps en briques, exécuté d'abord sans les bandeaux.....	604 ^m 64	05 93	»	Briques..... 0 ^m 783 Mortier..... 0 ^m 217 (Poids moyen : 1751 ^k)
Têtes en pierre de taille..... 141 ^m 89	235 ^m 39	15 02	15 4	
Liaisons en brique..... 93 ^m 50				
Total.....	840 ^m 03			

8. Personnel.

Ingénieurs :

Projet : Nottolini, de Lucques.³

Travaux : de 1845 à 1847 : Nottolini ; de 1874 à 1877, MM. Giulio Marzocchi, Ingénieur en chef, Salvi, Ingénieur de section et Cappello, Ingénieur adjoint.

Entrepreneur : M. Alexandre Mugnaini.

3. — Architecte et Ingénieur distingué. Auteur de l'aqueduc de Lucques (459 arches), du projet du pont suspendu sur la Lima à Fornoli près des Bains-de-Lucques. Mort en 1851.

SOURCES :

S₁. — Giornale del Genio Civile : Gennaio 1878, p. 33 à 54, Tav. III e IV ; Febbraio 1878, p. 81 à 109. « Ponte sul torrente Fegana nella provincia di Lucca », Relazione del cav. Giulio Marzocchi, Ingegnere Capo del Genio Civile.

S₂. — Ce que j'ai vu — octobre 1906.

PONT SUR LE DRAC, A CLAI¹ (ISÈRE)

Route Nationale n° 75 de Châlon-sur-Saône à Sisteron

1873-1874

\widehat{A}^1 1^{re} ($\geq 40^m$)²

Φ_1 (S.)



1. Aspect (S.). — C'est un arc à culées perdues.

Il est accolé au pont de Lesdignières² : il en est comme la corde. Ces deux ponts, trop voisins, se font tort.

Le parapet est en grandes pierres de taille debout : au-dessus de cet arc très tendu, à tympan en moellons bruts, un léger garde-corps eût mieux convenu.

Le parapet et la plinthe ont noirci.

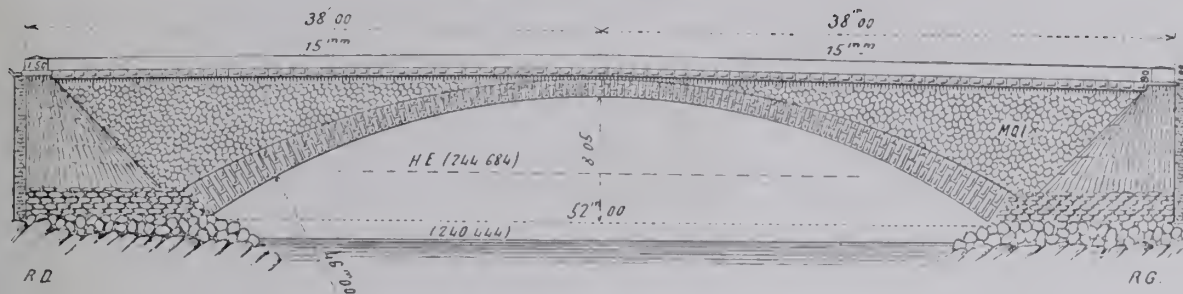
La plinthe, en forte saillie, a bien protégé les têtes.

2. Cintre. — *A. - Appui en rivière.* — Le cintre s'appuyait du côté de la rive droite, sur un caisson sans fond, échoué sur le gravier, rempli de béton, qui était à mortier de ciment sur les $\frac{3}{4}$ de la hauteur, et, pour le reste, à mortier bâtard de chaux et ciment.

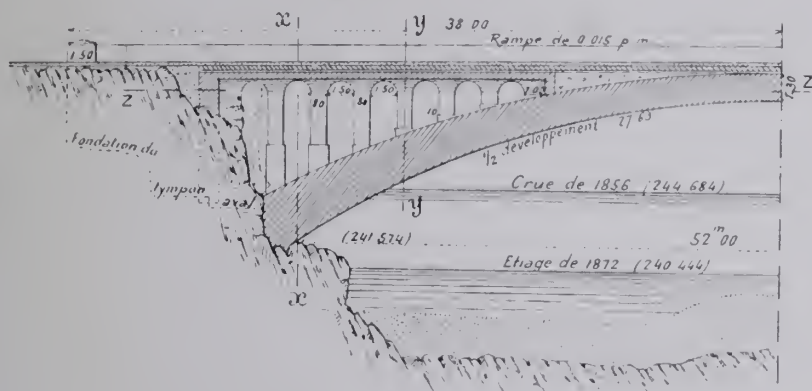
1. — A 8^{km} au sud de Grenoble.

2. — \widehat{A}^1 1^{re} ($\geq 40^m$)² — Tome II.

f_1 — Élévation aval — 2mm

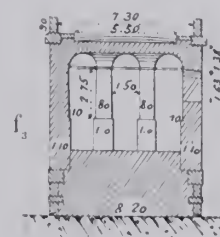


f_2 — Coupe en long — 2mm,5

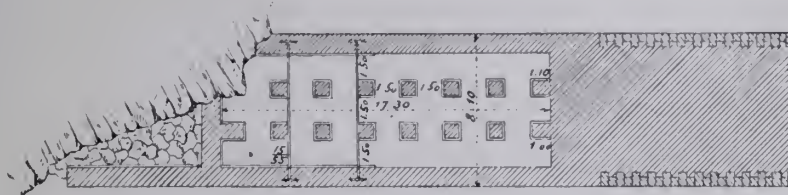


Coupes
en travers

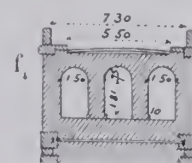
sur $x x$ de f_2



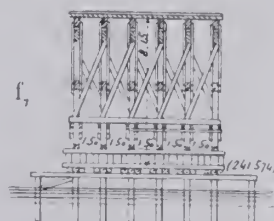
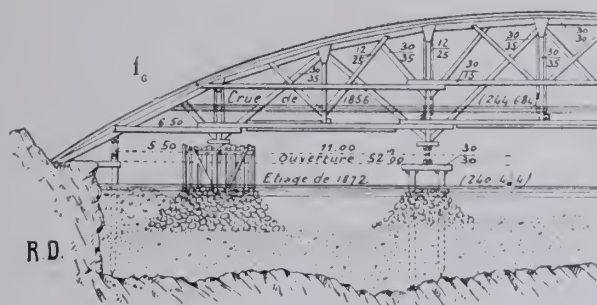
f_3 — Coupe horizontale sur $z z$ de f_2



sur $y y$ de f_2



Cintre — 2mm,5



B. - Dépenses (supports compris) :

Appuis	Dragages et déblais.....	2.326 ¹ 78	7.707 ¹ 98
	Maçonnerie.....	3.780 ¹ 64	
	Enrochements.....	4.600 ¹ 56	
	Charpente.....	5.562 ¹ 33	
Cintre proprement dit.....		19.264 ¹ 63	
Ensemble.....		32.534 ¹ 94	

3. Fondations. — On a taillé le calcaire schisteux tendre par redans parallèles aux lits des naissances, et rempli tout l'espace entre le rocher et les naissances de maçonnerie de moellons de choix à mortier de ciment.

4. Exécution de la voûte. — On l'a construite du 20 janvier au 26 février 1874, en deux rouleaux, chacun en 4 tronçons d'égal volume (S_2), commençant aux naissances et à 16^m63 de la clef, exécutés en même temps.

Aux naissances, on a posé sur cales les deux premiers voussoirs de tête (S_2); entre eux, on a fait une maçonnerie provisoire à pierres sèches; les deux autres tronçons étaient sur des taquets.

Après le clavage du rouleau à la clef et aux reins, on remplaça la maçonnerie à pierres sèches des naissances par de la maçonnerie pleine.

Pendant l'exécution, on changeait, au moins une fois par jour, l'emplacement des équipes de maçons « afin de ne pas accumuler sur la même partie les défauts qui auraient pu être particuliers à chaque ouvrier. »

On a clavé : le premier rouleau, aux têtes le 31 janvier, sur le reste le 3 février; le deuxième, le 27 février 1874.

Pour empêcher le mortier de ciment³ d'arriver à fleur de pierre, en donelle ou aux têtes, on a garni les joints vus, sur 2^m, de plâtre qu'on a gratté ensuite facilement.

Il a fallu 440 journées de maçon pour faire 827^m210 de maçonnerie (voûte), soit 1^m9 par journée.

5. Décintrement. — La voûte, clavée le 27 février 1874, a été décintrée le 10 avril, 42 jours après. On avait, la veille, substitué aux billots des boîtes à sable. L'opération a duré 20 minutes.

6. Dépenses.

Cintre.....		32.534 ¹ 94	
Maçonnerie de la voûte	{	Moellons.....	45.435 ¹ 40
		Pierre de taille.....	11.207 ¹ 71
Tympan, voûtes de décharge, murs et béton de remplissage.....		26.757 ¹ 42	
Bandeaux en pierre de taille.....	7.015 ¹ 49	15.208 ¹ 35	
Bahuts en pierre de taille.....	8.192 ¹ 86		
Trottoirs, rigoles, perrès et abords.....		8.419 ¹ 87	
		139.563 ¹ 69	

3. — Le mélange : sable 1^m ciment artificiel Vicat n° 1 : 1000^g, eau : 0^m363, donnait 1^m36 de mortier.

7. Mouvements dûs aux variations de température.

A. - *Observations faites par M. Cendre, avant 1879 (S₁).* — A la plinthe, au-dessus de la clef, on a constaté 0^m007 pour un écart de 52° (de — 7° à + 45°); 9 fissures dans le parapet et la plinthe, se rouvrant chaque hiver et se refermant l'été : une de chaque côté de l'axe et sur chaque tête, à 27^m environ de part et d'autre de la clef ; aucune dans la voûte.

On a observé aussi quelques légères fentes dans les tympans.

B. - *Observations faites, sur ma demande, par les soins de M. l'Inspecteur Général Rivoire-Vicat, en septembre 1908.*

JointS ouverts

Tête amont		Tête aval	
Rive gauche	Rive droite	Rive droite	Rive gauche
Les 5 premiers du parapet et de la plinthe.	Du 2 ^e au 6 ^e et le 8 ^e du parapet. La plinthe est recouverte de terre.	Les 6 premiers et le 8 ^e du parapet ; le 5 ^e de la plinthe.	Le 5 ^e du parapet et de la plinthe.
Le joint du parapet à la clef. La plinthe est couverte de boue.			

Pas de fissures dans les tympans.

8. Personnel (S₂).

Ingénieurs :

Projet. — en chef, M. Berthier ; — ordinaire, M. Pasqueau.

Exécution. — en chef, M. Gentil.

ordinaires : jusqu'au 15 octobre 1873, M. Pasqueau, ensuite,

M. Cendre.

Entrepreneurs : MM. Muguet frères.

SOURCES :

S₁. — Annales des Ponts et Chaussées, 1879, 1^{er} semestre, p. 5 à 27, Pl. I : « Notice sur la construction du pont de Clair », par M. Cendre, Ingénieur des Ponts et Chaussées.

S₂. — Exposition, Paris, 1878. — Notices, Travaux Publics, p. 8 à 13 : « Pont de Clair sur le Drac ».

S₃. — Ce que j'ai vu — juin 1908.

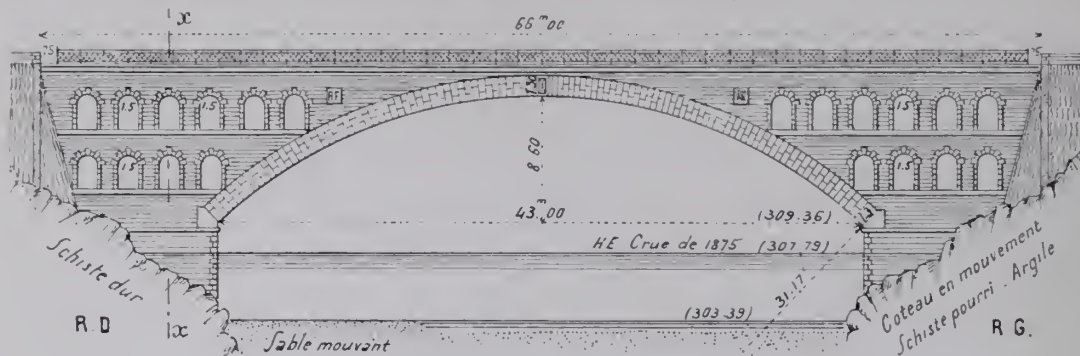
Ce qui n'est pas spécifié S₂ est de S₁.

(LOZÈRE)

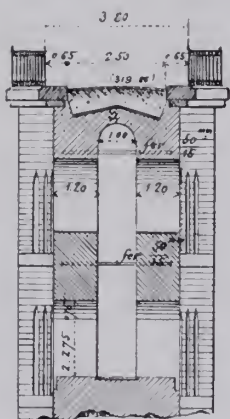
Chemin de Grande Communication n° 13 de Florac à Alais

1882

écroulé en 1912

$$\widehat{A}^1_{\text{ple}}(24)_m(6)$$
$$f_i = \text{Élévation aval} - 2^{\text{mm}} \quad (S_i)$$


f_2 — Coupe en travers
sur xx de f_1 — 5mm

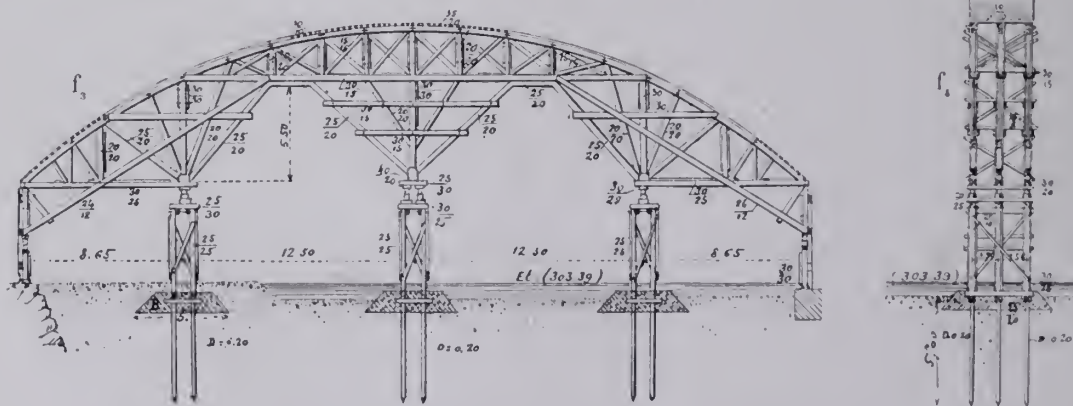


1. Pourquoi on a fait une grande voûte.

On n'a pas adopté un pont à deux arches, parce que la pile eût dû être fondée à 13^m. On voulait, d'ailleurs, exagérer le débouché, parce que, depuis la destruction des forêts qui protégeaient le sol, le Gardon exhausse rapidement son lit.

2. Cintre. — Les trois appuis en rivière reposaient sur des massifs de béton coulé sur des pieux de 5^m de fiche.

Le cintre a été taillé et monté, en 4 semaines, par 6 charpentiers.

Cintre — 2^{mm}5

1. — A 1°4 en amont du Collet de Dèze, à 8°3 en amont de Sainte-Gecile d'Andorge, au raccordement du Chemin de grande communication n° 13 à la Route nationale n° 107 bis.

3. Fondation de la culée rive gauche (26 juin - 9 août 1882). — La culée rive gauche devait reposer, à 1^m50 sous l'étiage, sur gravier compact. Le sol de fondation était protégé contre les affouillements par deux enceintes de pieux et palplanches, entre lesquelles on a coulé du béton sur 1^m30 de hauteur.

4. Exécution de la voûte (21 août - 4 octobre 1882). — Voici les dates et durées d'exécution :

	Commencement	Achèvement	Durée d'exécution en jours
Rouleaux..... { 1 ^{er}	21 août	9 septembre	18j
(épaisseur moyenne à la clef : 0 ^m 65) / 2 ^e	9 septembre	25 septembre	16
Remplissage aux reins.....	25 septembre	4 octobre	9
	En tout.....		43j

Les joints des premières assises de voussoirs ont été garnis d'étonpe sur 5^{cm} à l'intrados.

Quand les 1^{er} et 2^e rouleaux sont arrivés près de la clef, on les a clavés provisoirement au moyen de pièces de bois pour soulager le cintre.

Pendant la construction, le cintre n'a pas tassé.

5. Décintrement. — On l'opéra en trois fois :

Dates (1882)	Abaissements du cintre en mm	Mouvements de la voûte
11 octobre	10	La voûte suit le cintre, sauf aux naissances.
14 octobre	30	Le 14 au soir, la voûte est détachée sur 17 ^m , de chaque côté, à partir des naissances ; le lendemain, sur 11 ^m seulement.
4 novembre (39 jours après le clavage) du 2 ^e rouleau .	35	La voûte se sépare complètement.

Le tassement total de la voûte a été de 52^{mm}.

On n'y a constaté ni fissure ni écrasement (S₁).

6. Mouvements postérieurs au décintrement.

A. — *Mouvements de la culée rive gauche.* — Le coteau qui porte la culée rive gauche (schiste pourri et argile bleue mouillée), s'est avancé à chaque crue du Gardon² (S₂).

La culée rive gauche a marché avec lui, le haut plus vite que le bas. En mai 1909, son parement antérieur était en surplomb de 9^m (S₃) ; à la naissance, il était 14^m plus bas que le projet.

La culée rive droite, fondée sur du schiste en place, n'a jamais bougé.

2. — Le mouvement s'étendait, fin 1908, à plus de 300^m en plan. La Route nationale n° 107^{bs} était déformée et, pour fonder le mur du chemin de fer le long de cette route, on est descendu à 14^m sans trouver le solide (S₂).

B. — *Déformations de la voûte.* — La culée rive gauche s'avancant vers la culée rive droite, la portée diminuait : au niveau des naissances, elle était de 42^m80 en novembre 1907 après les grandes pluies d'automne (S_2) ; de 42^m68 en mai 1909 (S_3), de 42^m65 en juin 1911 (S_4), soit, par rapport au projet, une réduction de 0^m35³.

Φ_1 — amont (2 septembre 1908) (S_6)



Le dessous de la clef était, en mai 1909, de 0^m53 plus haut qu'au projet¹.

Il s'est élevé :

de 19^{cm} du 15 mars 1908 au 9 février 1911.

de 8^{cm} du 5 avril 1911 au 5 juin 1911.

Si la clef a été placée à la cote du projet, elle aurait été, à cette date, plus haute de 75^{cm}.

3. — Un accident analogue se serait produit à un pont en maçonnerie sur l'Alento (Italie), route de Bucciamico à Chieti, construit en 1896 : pont en arc de 18^m d'ouverture, 4^m50 de flèche ; voûte en briques de 0^m95 à la clef, 1^m40 à l'imposte, fondé sur des couches alternées d'argile et de sable.

Deux années après la construction, une culée s'étant avancée vers la rivière, la clef se souleva ; la voûte se fendit ; l'ouverture se réduisit à 17^m74 à l'amont, 17^m77 à l'aval.

Ce pont remplaçait un pont en maçonnerie à 3 arcs de 6^m, construit au même point en 1850, et qu'on dut interdire à la circulation à cause des déformations de la voûte.

(Revista de Obras Publicas, 30 novembre 1905 : « Accidente ocurrido en un puente de fábrica sobre el río Alento »).

4. — Dès 1892, on a constaté un relèvement de la voûte (S_1).

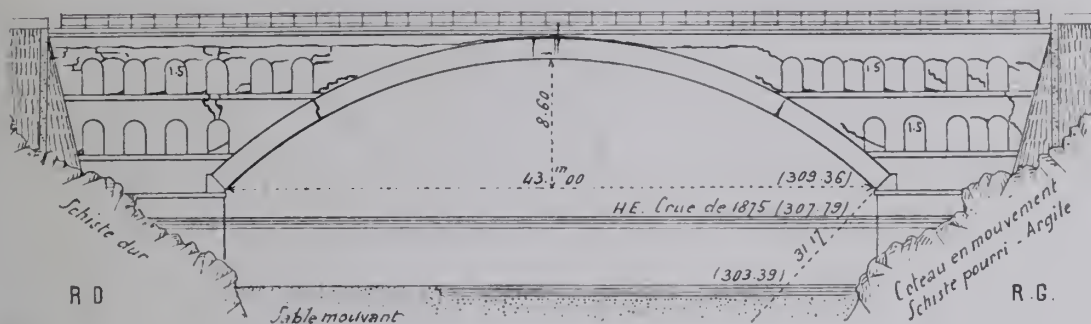
En septembre 1908, la voûte; à la clef, était ouverte à l'extrados et s'écraissait à l'intrados.

Aux reins, elle était ouverte à l'intrados.

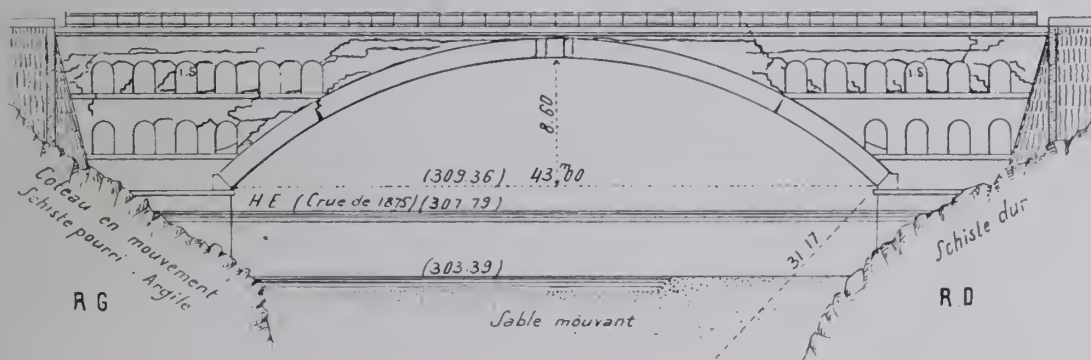
A ces deux points, il n'y avait plus, pour faire passer la pression, qu'une fraction fort réduite de l'épaisseur (environ le 1/3 à la clef, la moitié aux reins, — autant qu'on en pouvait juger d'en bas) (S_6).

État du Pont - décembre 1908 - 2^{mm} (S_2)

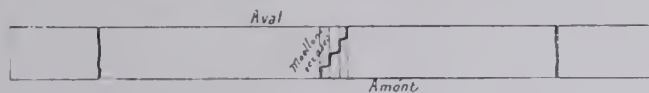
f_3 - Aval



f_4 - Amont



t_1 - Projection horizontale de la douelle



C. — Déformations des tympans (S_2, S_3) - (Φ_1, f_1, f_2). — Les tympans étaient coupés de longues fentes horizontales.

Les voûtes d'évidement, surtout celles de l'étage supérieur rive gauche, s'étaient ouvertes aux reins, et leurs pieds-droits s'étaient inclinés : il y avait, à leur pied, des ouvertures atteignant 9^m (S_2).

Les parapets étaient déformés.

7. Chute du Pont (28 janvier 1912). — Le 19 décembre 1911, 3 assises de douelle se détachèrent, au milieu de la demi-voûte rive gauche (S_1). 40 jours après, le 28 janvier 1912, à 2 heures du matin, le pont s'écroula.

ϕ_2 — amont (6 février 1912)



Voici les mesures faites après la chute (S_2) :

	Naissances]		Socle	
	amont	aval	amont	aval
Distance entre culées.....	42 ^m 60	42 ^m 57	42 ^m 67	42 ^m 64
<i>Réduction par rapport au projet (43^m).</i>	0 ^m 40	0 ^m 43	0 ^m 33	0 ^m 36

Surplomb des naissances sur le socle (culée rive gauche) : 7^{cm}.

Les fissures des tympanes au-dessus des culées se sont refermées (S_3).

8. Ingénieur. — *Projet et Travaux* : M. A. Charpentier, Agent-Voyer en chef.

SOURCES :

S₁. — Annales des Chemins Vicinaux, tome XXXIX, 1883, p. 3 à 25, Pl. I et II : « *Notice sur la construction d'un pont en maçonnerie au Saulnier, près le Collet de Dèze, sur le Gardon de Sainte-Cécile d'Andorge* », M. A. Charpentier, Agent-Voyer en chef de la Lozère.

Cette même notice a paru dans le Portefeuille des Conducteurs des Ponts et Chaussées, 1883, 18^e série, nos 2 et 3, p. 5 à 9, Pl. 3 et 4.

Relevés qu'ont gracieusement fait faire, sur ma demande :

S₂. — en décembre 1908, M. Chevalier, Ingénieur en chef des Chemins de fer Départementaux.

S₃. — en mai 1909, M. Thibeaud, Ingénieur en chef des Ponts et Chaussées à Mende.

Renseignements qu'ont bien voulu donner :

S₄. — à M. Thibeaud, M. Nosley, Conducteur principal des Ponts et Chaussées à Florac (février 1912) ;

S₅. — à M. Mense, Ingénieur de la Compagnie PLM à Alais, M. Michel, Agent-Voyer au Collet de Dèze (février 1912).

S₆. — Ce que j'ai vu, septembre 1908.

S₇. — Renseignements qu'a bien voulu m'adresser M. Michel (novembre 1912).

Tout ce qui est sans indication de source, est de S₁.

PONT SUR LA BLACK RIVER, A ELYRIA (ÉTATS-UNIS - Ohio)

1886

$\widehat{\mathbf{A}}^1 \mathbf{r}^{1e} \in (40^m) \bar{t}$

$\Phi_1 = (S_1)$



I. Personnel.

Ingénieur : M. E. C. Kinney, alors Ingénieur en chef adjoint à l'« Union Pacific Ry ».

Entrepreneur : M. John Weller.

SOURCE :

S₁. — Renseignements et photographie que M. Ralph Modjeski, « Consulting Engineer » à Chicago, a bien voulu demander à M. Kinney (mai 1909).

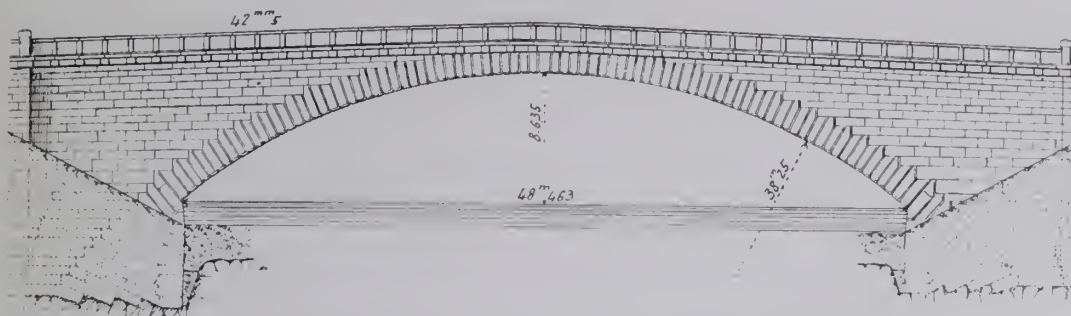
Dans l'« Engineering News » du 31 mai 1890, p. 506, M. Kinney donne une courte description du pont.

PONT DE LA MAIN STREET, SUR LE WHEELING CREEK,
A WHEELING (ÉTATS-UNIS - West Virginia)

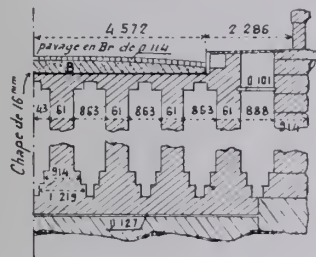
1891-1892

\widehat{A}^1 1^{re} (40m) 8

f₁ — Élévation — 2mm

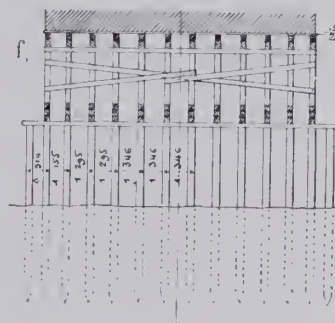


f₂ — Demi-coupe en travers — 5mm

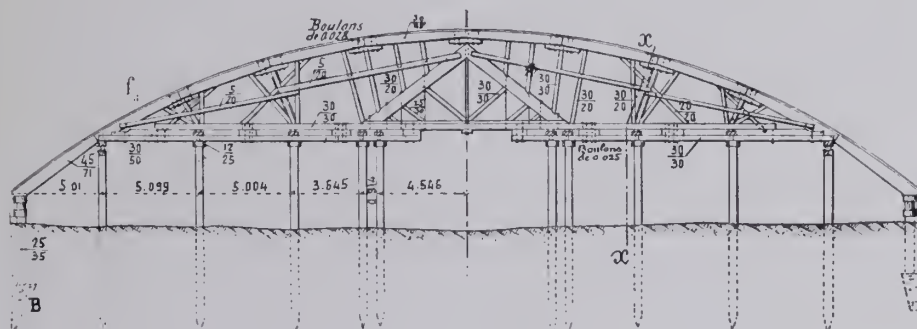


Cintre

Coupe en travers sur *xx* de f₁ — 2mm5



Cintre — Élévation — 2mm5





I. Personnel.

Ingénieurs : MM. Hoge et White.

Entrepreneurs : MM. Paige, Carey et C^{re}.

SOURCES :

S₁. — Dessins d'exécution, photographie et renseignements, gracieusement communiqués, en mai et juin 1908, par M. Malverd A. Howe, M. Am. Soc. C. E., Directeur du « Department of Civil Engineering and Architecture » du « Rose Polytechnic Institute » à Terre-Haute (Indiana).

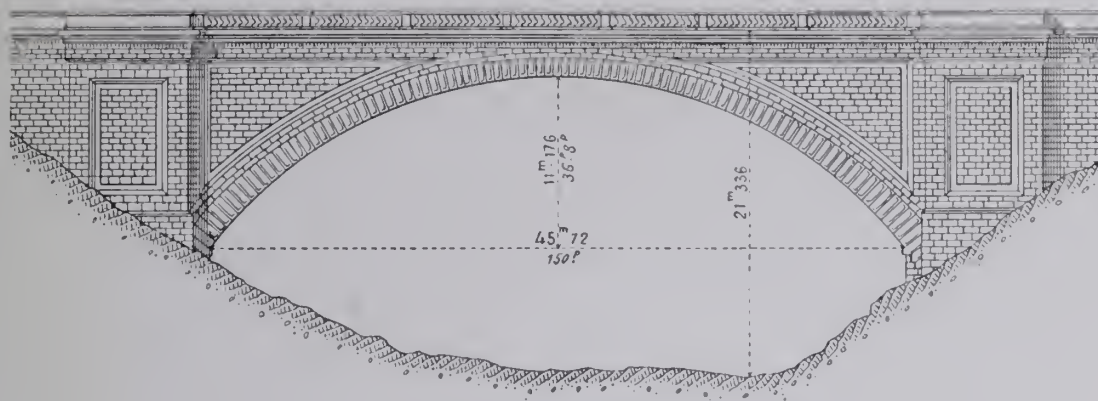
PONT DE BELLEFIELD, SUR LE CREUX DE SAINT-PIERRE,

A PITTSBURG¹ (ÉTATS-UNIS, - Pennsylvanie)

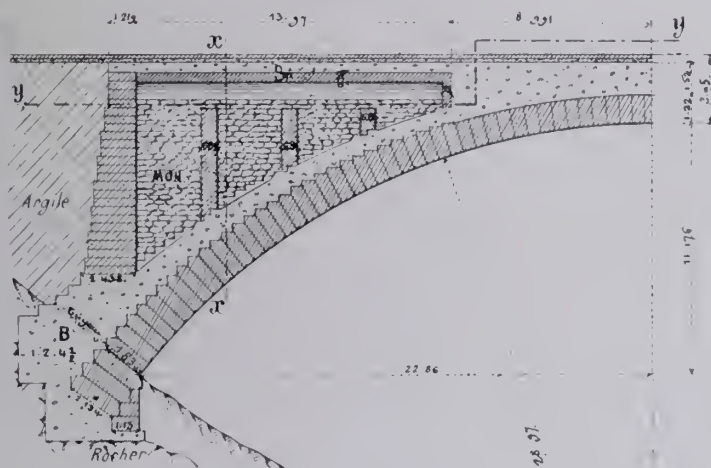
1896-1897

\widehat{A}^1 1^{re} (4m,9)

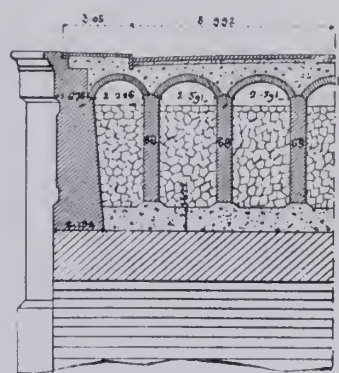
f_1 — Élévation² — 2^{mm}



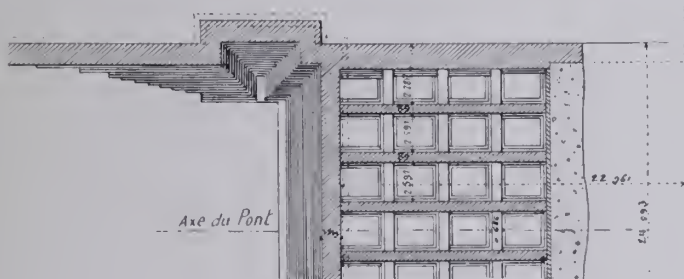
f_2 — Coupe en long — 3^{mm}



f_3 — Coupe en travers
sur xx de f_2 — 3^{mm}



f_4 — Coupe horizontale sur yy de f_2 — 2^{mm}



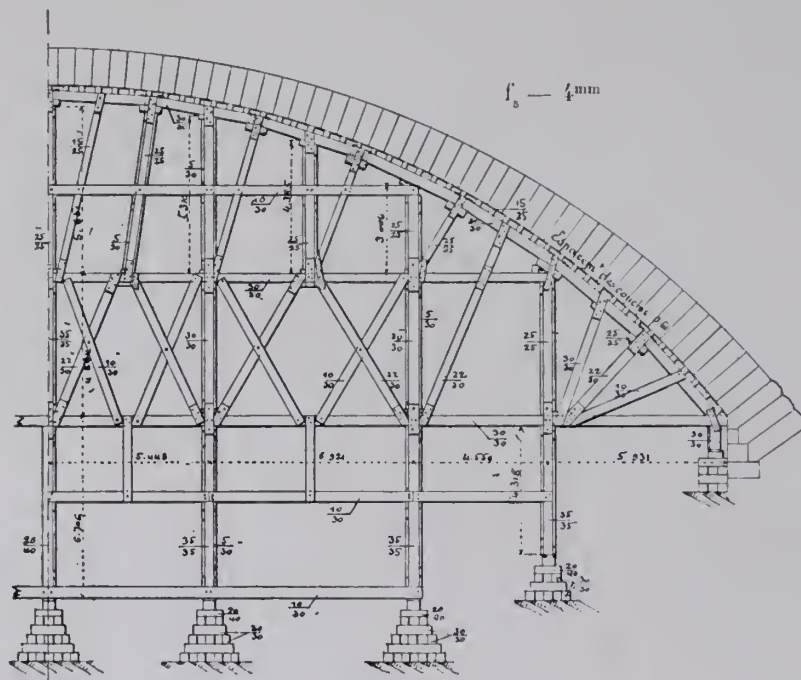
I. Matériaux de la voûte (f_2, f_3). — La douelle et les bandeaux sont en pierre de taille de 1^m219 à la clef, 1^m829 aux retom- bées.

Sauf sur 2^m13 à partir de chaque tête, la douelle porte un 2^{me} rouleau en béton.

1. — A l'entrée principale du Parc Schenley.
2. — Restituée d'après une photographie (S₁ - p. 540).

2. Chape. — Sous le pavage en bois de 30^m d'épaisseur, est une chape en asphalte de 16^m , sur une chape en mortier de ciment Portland de 25^m .

3. Cintre. — L'about inférieur des poteaux, arrondi, s'engage dans des boîtes à sable en fonte.



La partie supérieure des boîtes est garnie de ciment pour conserver sec le sable.

Il n'y a pas de platelage. Chaque assise de voussoirs repose sur un couchis.

Les vaux sont assemblés au sommet des poteaux par des plaques de tôle. Leur extradoss n'était pas en courbe; on a dû, après décintrement, retailer

nombre de voussoirs.

Au moment de commencer la voûte, les fermes furent mises exactement à leur place au moyen de coins en chêne.

4. Fondations. — Les culées sont en béton (1 volume de Portland, 2 volumes de sable de rivière, 4 volumes 1/2 de pierre cassée à 5^m); sur le béton, 3 assises de libages.

5. Exécution de la grande voûte. — L'extrados de la douelle a été laissé très irrégulier, pour bien lier la pierre au béton.

« Pendant la construction..., le cintre s'affaissa et provoqua plusieurs fissures...
 « L'une traversait l'arche d'une tête à l'autre, entre la 12^e et la 13^e assise de chaque
 « côté; une autre s'étendait de chaque côté, entre la 20^e et la 23^e; de plus, il y eut,
 « d'un côté seulement, 3 fissures plus courtes au-dessous des reins à une distance
 « de 16 à 26 pieds (4^m87 à 7^m92) en arrière des têtes. Les fissures avaient une largeur
 « de 1/16 à 5/32 de pouce (1^m5 à 3^m7) et furent soigneusement cimentées avant le
 « décintrement. » (S₁).

L'arche fut commencée à la fin de 1896, reprise en juin 1897, achevée le 18 septembre 1897.

6. **Décintrement.** — Du 30 septembre au 12 octobre 1897, on enleva graduellement le sable des boîtes, en commençant par les palées centrales.

7. Quantités.

Pierre de taille pour voûte.....	1.874 ^m
Maçonnerie 1 ^{er} choix.....	2.927
Maçonnerie ordinaire.....	1.462
Briques.....	300
Béton de ciment Portland.....	2.397
Béton de ciment naturel.....	310
Total.....	9.270 ^m

8. Personnel.

Ingénieurs :

Projet et exécution : M. Henry B. Rust, M. Am. Soc. CE.

Directeur des travaux : M. E. M. Bigelow, M. Am. Soc. CE.

Entrepreneurs : MM. Neeld et Foley.

M. A. D. Neeld a fait le projet du cintre.

SOURCE :

S₁. — Engineering Record, 9 juin 1900, p. 540 et 541 : « *The Bellefield stone arch bridge, « Pittsburgh.* »

PONT FRÉDÉRIC-AUGUSTE

SUR LA VALLÉE DE LA SYRA, PAR-DESSUS UNE PLACE

A PLAUE (SAXE, - Voigtland)

1903-1905

\widehat{A}^1 1^{re} ($\geq 40m$) 10

Φ_1 (S_1)



1. Pourquoi on a fait une grande voûte. — Le pont est entre deux manufactures qui empêchent de le voir : la vallée n'est vide que sous lui, et ce vide n'est que très partiellement occupé par des chemins.

On n'y voit pas de ruisseau.

Les lieux ne paraissent pas imposer, — ni même demander, — une voûte de 90^m.

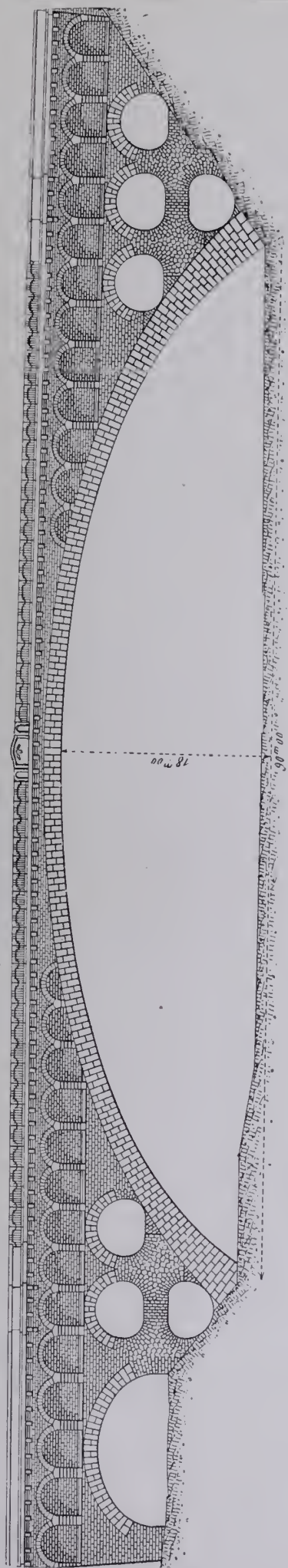
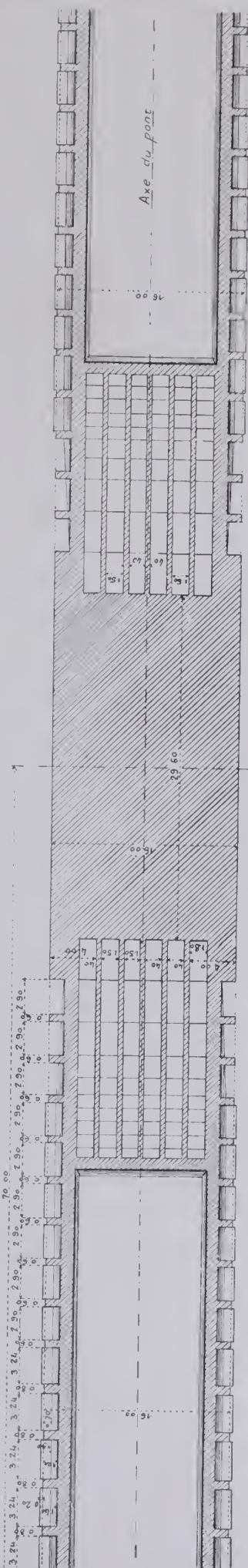
On l'a voulue.

2. Pourquoi on n'a pas articulé la voûte (S_2). — On n'a pas mis de rotules :

1° — parce qu'on n'était pas sûr de leur bon effet ;

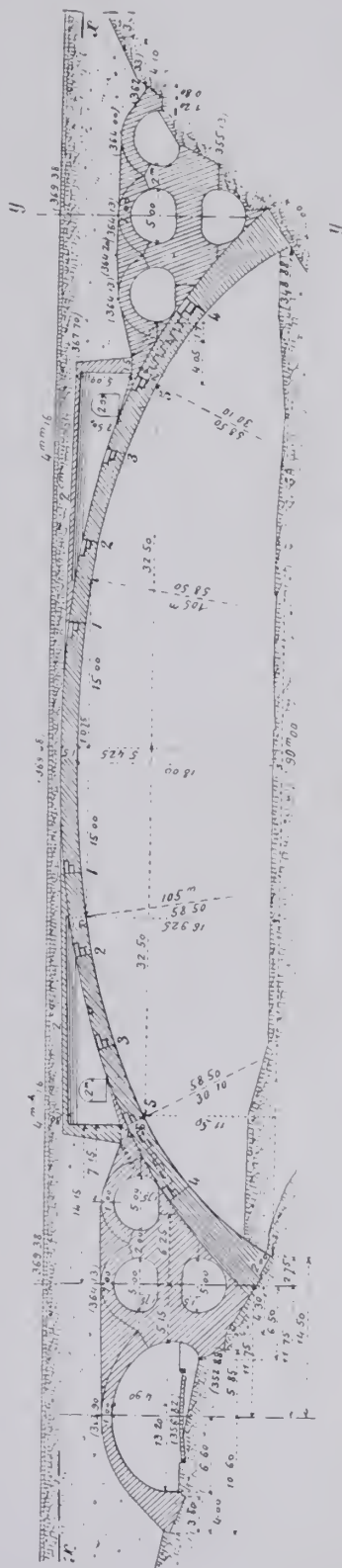
2° — parce que les clavages multiples devaient assurer à la voûte, jusqu'à la fin de sa construction, une souplesse suffisante ;

3° — parce que la voûte est large et que les rotules eussent coûté cher.


$$f_{21} = \text{Coupe sur } \mathcal{R} \text{ de } f_3 = 2\text{mm} \quad (S_1)$$


f_j — Coupe en long — 1 mm; (S_j)

f_i — Coupe en travers
sur III de $f_i - 3_{mm}$ (S_i)



3. **Tympans** (S_1) (f_2, f_3, f_4). — Sur les reins, l'intervalle entre les tympans est occupé par 7 murs longitudinaux supportant de petites voûtes recouvertes de fine cendre de coke. Les deux murs extrêmes, épais, à deux fruits, aveuglent les voûtes transversales d'évidement qui soutiennent le couronnement (f_1, f_5).

Le cerveau et les retombées sont recouverts de plaques d'asphalte : au-dessus, on a rempli en terre et sable.

On a ménagé dans les tympans, à 32^m50 de part et d'autre de la clef, des joints de dilatation, remplis d'une matière plastique (S_2).

4. **Couronnement. Chaussée.** — Le garde-corps est en encorbellement sur dalles et consoles de granit ancrées dans les tympans : il est plein aux culées et sur les reins, — à jour au milieu.

La chaussée porte deux voies de 1^m pour tramway (S_3).

5. Matériaux.

A. Pierres. — La grande voûte est en moellons de « *phylite* » de 10 à 12^{cm} d'épaisseur, schiste résistant à 1580^k en moyenne (S_2), des carrières de Teuma et Tirpersdorf près Plauen, bien lavés à l'eau sous pression (S_1).

Avec ces petits voussoirs, on a employé 42 à 45 % de mortier (S_2). Cette grande voûte est donc, pour près de moitié, en mortier.

Au lieu de montrer sur les têtes les petits moellons, on a simulé des pierres de taille de granit de gros appareil, par un crépi de 1 de ciment et 5 de sable blanc de la vallée de Lauten (S_1).

On a barbouillé la douelle d'un crépi uniforme, sans lits ni joints. On dirait d'un pont en béton (S_1).

Très évidemment, on s'est peu préoccupé de l'aspect.

B. Mortier. — Le ciment (Portland) devait avoir séjourné 14 jours au moins dans le hangar.

Le mortier à 1/3 de sable normal résistait (moyenne de 6 à 10 épreuves) : à 15 jours, à 407^k à la compression, à 40^k à la traction (S_1) ; après 24 semaines d'exposition à l'air, à 600^k à la compression (S_2).

6. **Calculs.** — On admis deux hypothèses de surcharge (S_1) :

1° — une file de véhicules à essieux de 1^m25, chargés de 15 tonnes, espacés de 3^m50, avec une foule de 560^k par mètre carré ;

2° — 3 rouleaux à vapeur pesant chacun 23 tonnes, avec une foule de 575^k par mètre carré.

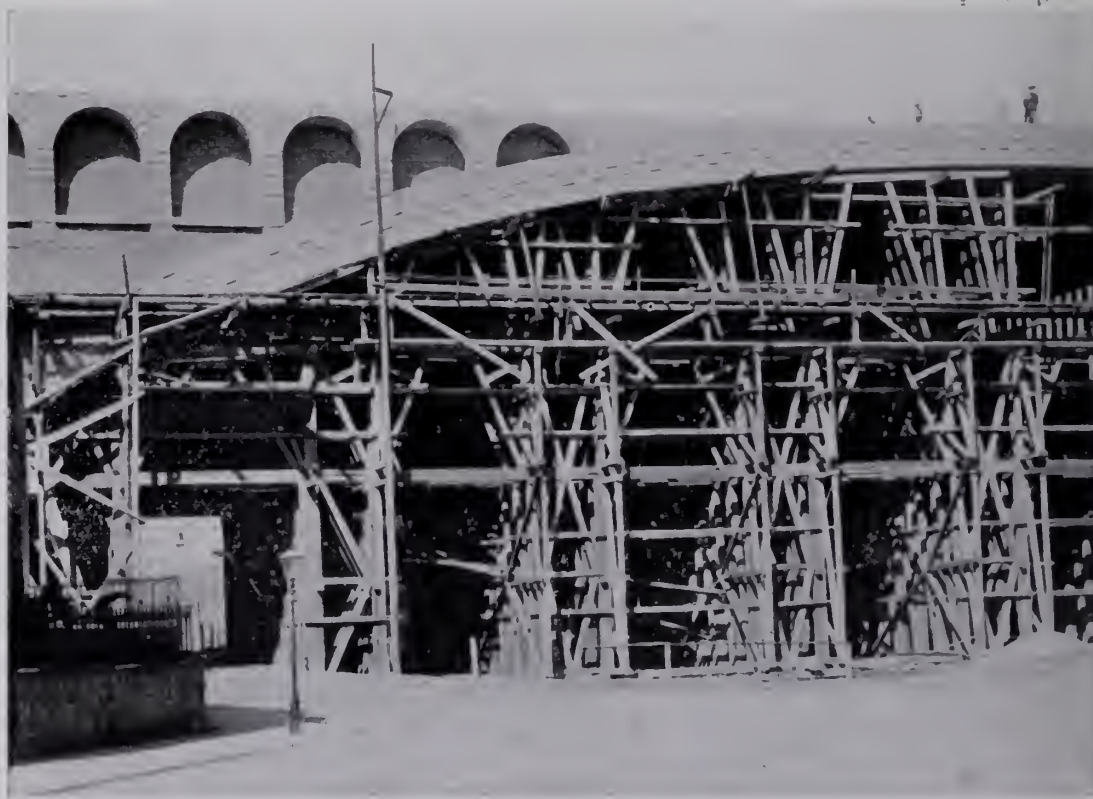
Les efforts ont été calculés par deux méthodes.

Des courbes de pression avec points de passage arbitrairement choisis¹, indiquent dans la voûte surchargée un effort maximum de 53^k 4, à 32^m 50 de la clef, aux « joints de rupture » (S_2).

En appliquant la théorie de l'élasticité, avec l'aide des lignes d'influence, à une voûte élastique de 65^m d'ouverture, 6^m 50 de flèche, portée par deux culées en surplomb de 12^m 50, reposant sur un rocher invariable, M. le Professeur Lucas, de l'École Polytechnique de Dresde, a trouvé, pour la position la plus défavorable de la surcharge et en tenant compte de la température (S_1), une pression maxima de 69^k et une tension maxima de 4^k 5 (S_2).

7. Cintre. — $\bar{\sigma}(\phi_2, f, f_v)$.

ϕ_2 (S'_1)



Il a 3 étages de pièces équarries : l'étage supérieur a 21 fermes reposant sur une ligne de coins $C(f_v, f_c)$ qui servent à régler la hauteur des fermes, puis à décintrer (S_1).

Les deux autres étages n'ont que 11 fermes (S_1).

Les palées de l'étage inférieur reposent sur des plate-formes en maçonnerie de ciment de 20^m de longueur.

1. « Stützlinien ».

9. Exécution de la grande voûte. — On l'a construite sur toute son épaisseur, — c'est-à-dire en un seul rouleau², — en 6 tronçons, séparés par des vides de 1 à 2^m de largeur, et soutenus par des étais en bois, serrés par des coins (S_2).

Les moellons étaient répartis d'avance sur le cintre, avec un poids supplémentaire représentant le mortier (S_2).

On avait préalablement disposé sur le cintre, dans le plan des têtes, des moules à surface intérieure grossièrement dressée avec des joints en saillie pour donner l'aspect de la pierre de taille. On jetait le crépi, à l'état de terre humide, contre ce moule, sur 7^{cm} d'épaisseur, puis on construisait la voûte, en reliant les moellons de tête au crépi avec du mortier de ciment (S_1).

Le crépi faisait ainsi corps avec la maçonnerie de la voûte, et ne s'est pas émietté, comme cela se produit souvent, quand on le pose sur la maçonnerie déjà faite (S_1).

On clava dans l'ordre des chiffres 1 à 5 (f_2), c'est-à-dire, d'abord à partir de la clef, puis à partir des naissances pour finir au joint de rupture (S_2).

10. Décintrement [11 juillet (S_2) - 7 septembre 1904]. — Sous le cintre, entre ses semelles inférieures et les socles maçonnés, avaient été disposés des billots de hêtre rouge de 7^{cm} d'épaisseur, b (f_2 , f_3) (S_2).

Pour décintrer, on les attaqua à la scie ; leur noyau s'écrasant peu à peu, on put desserrer facilement les coins entre les deux étages supérieurs (S_2 , S_2).

La voûte s'affaissa de 82^{mm} à la clef (S_1), sans se fissurer (S_2).

Les tympans s'ouvrirent (S_2), comme on l'avait prévu, à 32^m50 de part et d'autre de la clef, c'est-à-dire aux retombées du cerveau considéré comme une voûte élastique de 65^m sur culées en surplomb.

11. Durée de la construction. — On commença la préparation du terrain le 26 mars 1903 (S_2), les fondations le 1^{er} août, la maçonnerie de la voûte le 21 août. On travaillait le soir à la lumière électrique. On fit le dernier clavage le 8 novembre 1903 (S_1).

On reprit au printemps 1904. On construisit les voûtes d'élégissement, les tympans. Les maçonneries étaient terminées fin septembre (S_2).

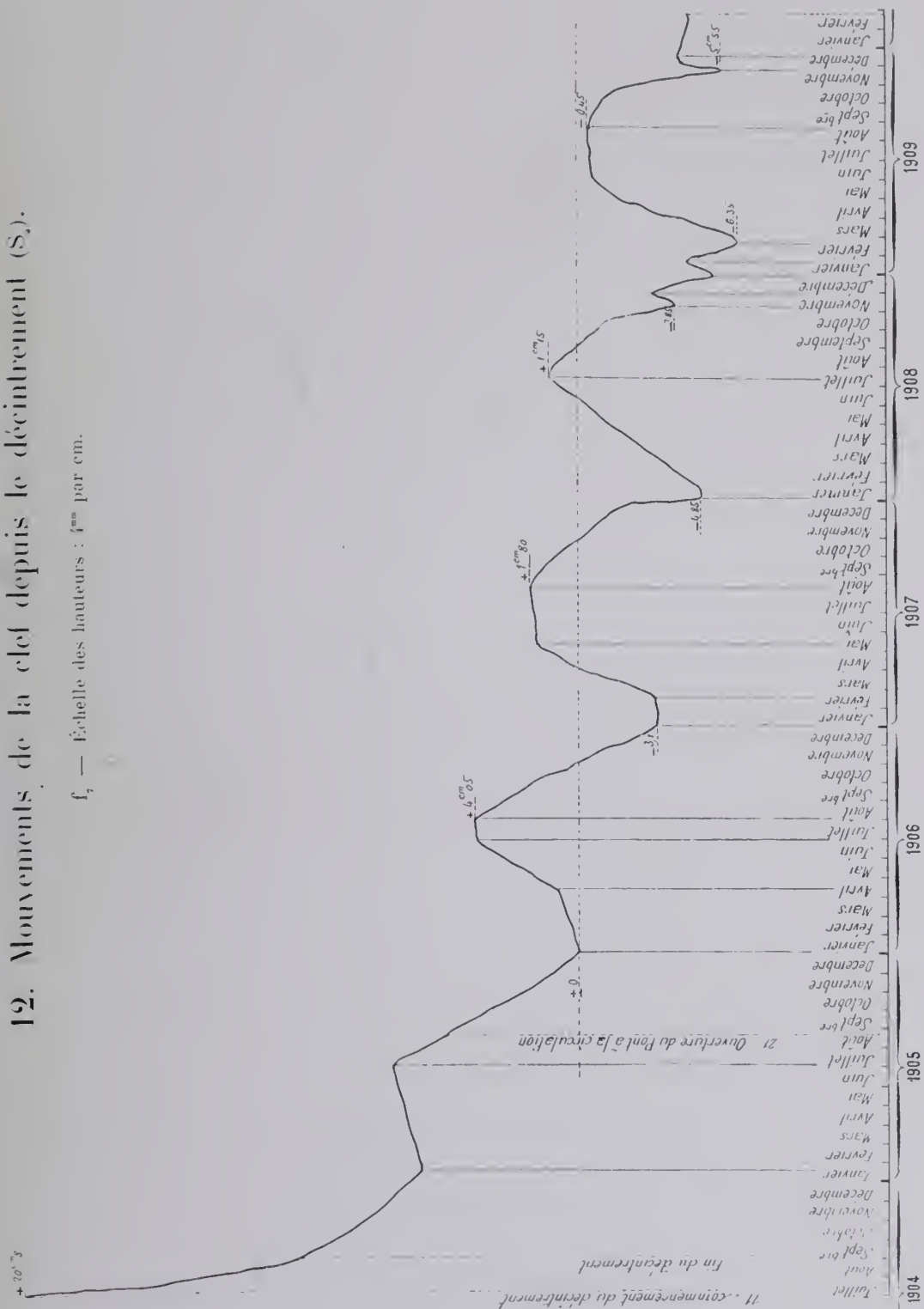
Le pont fut inauguré par le roi Frédéric-Auguste III, le 24 août 1905³.

2. — Les moellons de phyllite, bien lités, ont été exactement appareillés suivant le rayon (S_2).

3. — « Im Reisen seiner Majestät Friedrich August III König von Sachsen wurde diese Brücke am 24 August 1905 feierlich dem Verkehr übergeben. » (Inscription sur la culée rive droite amont).

12. Mouvements de la clef depuis le décimètre (S).

f_z — Échelle des hauteurs : f^{mm} par cm.



13. Dépenses (S.) (non compris les abords).

Fouilles.....	16.831 ⁷⁶
Maçonnerie et remplissage.....	465.575 ⁸⁶
Garde-corps en fer et appareils d'éclairage.....	32.185 ¹⁹
Chaussée et trottoirs.....	60.157 ⁵⁰
Divers.....	39.991 ⁴⁷
Total.....	614.741 ⁷⁸

14. Personnel.

Projet et Exécution : MM. Liebold et C^{ie}, de Langebrück, près de Dresde (Saxe).

Les travaux ont été surveillés par M. Fleck, Architecte de la ville de Plauen.

1. — Plaque culée rive droite amont : « *Entwurf und Ausführung Liebold u. C^{ie} Langebrück, in « Verein mit der Bauverwaltung Plauen, — Bauzeit 1903-1905, »* »

SOURCES :

S₁. — Deutsche Bauzeitung, 1904 — n° 57, 16 juillet, p. 354 à 358; n° 58, 20 juillet, p. 361 et 362 : « *Die Syrtalbrücke in Plauen, i. V.* » von Stadtbaurat Fleck, Reg. Baustr. a. D., in Plauen i. V.

S₂. — « Mitteilungen des Vereines der Ingenieure der k. k. österr. Staatsbahnen », 1^{er} décembre 1904, p. 139 à 142, Pl. VIII : « *Die weitest gespannte Wölbbücke der Welt* », von Ing. R. Jaussner, Bau-Oberkommissär der k. k. österr. Staatsbahnen in Görz.

S₃. — Renseignements qu'ont bien voulu me donner MM. Liebold.

S₄. — Ce que j'ai vu :

S'₄. — septembre 1906.

S''₄. — août 1908.

S₅. — Renseignements gracieusement communiqués par M. Fleck, — mars 1910.

PONT SUR LA SINGINE¹, PRÈS DE GUGGERSBACH² (SUISSE, - Berne³)

1906

$\widehat{A}^{1e} (\geq 40m) 11$

$\Phi_1 (S''_1)$



1. Matériaux. — Tout est en béton :
 en béton non armé, la voûte ;
 en béton armé, les murs transversaux sur la voûte, le hourdis sous chaussée
 et ses nervures (f_2, f_4).
 Le parement du béton n'a pas été retouché.

2. Joints de dilatation. Chape. — La plate-forme est coupée par
 deux joints de dilatation jj (f_1, f_2, f_4), recouverts de feuilles de tôle.
 Elle est, comme l'extrados de la voûte, revêtue d'une chape en ciment.

3. Efforts dans le béton armé, en $kg/\overline{0m01}^2$.

Béton (à 300^k de ciment par mc. de béton)..... 35^k

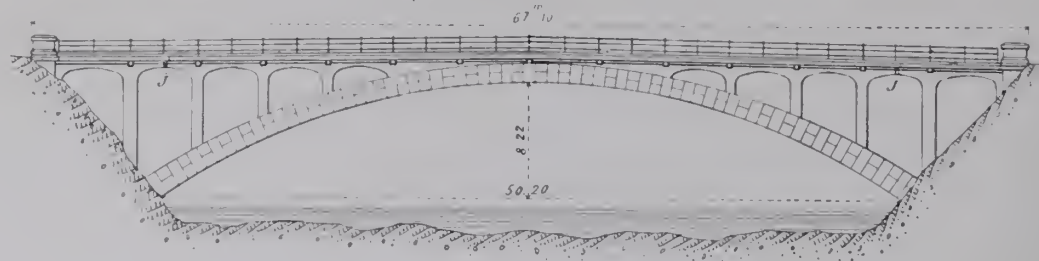
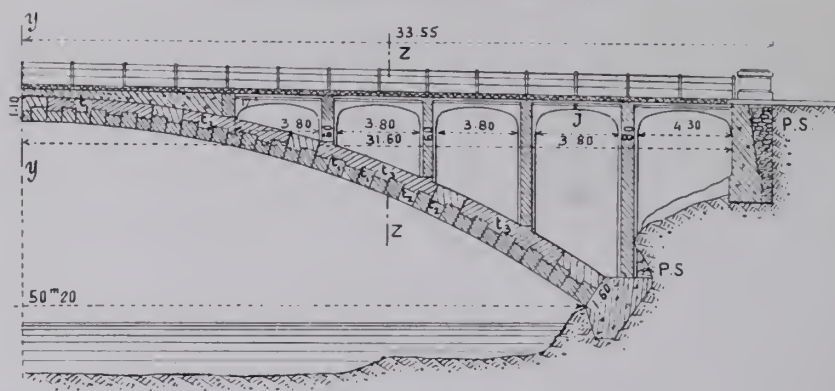
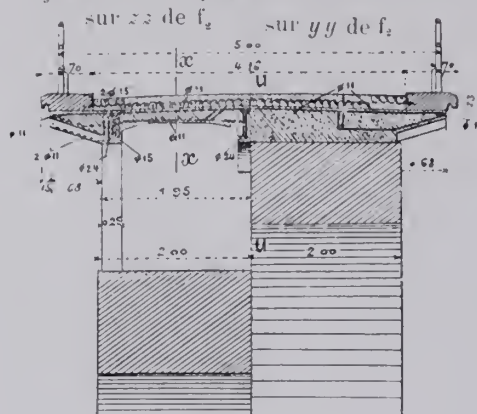
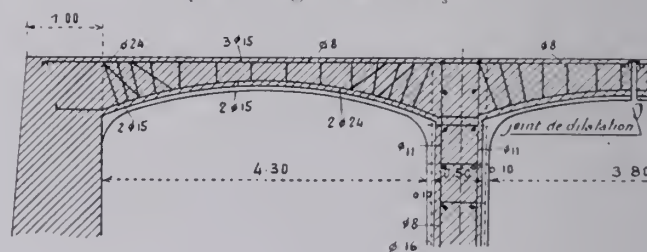
Acier..... 1.000^k (traction)

La plate-forme et les nervures ont été calculées comme des poutres continues.

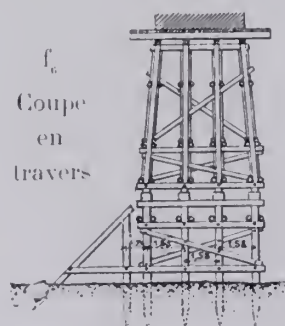
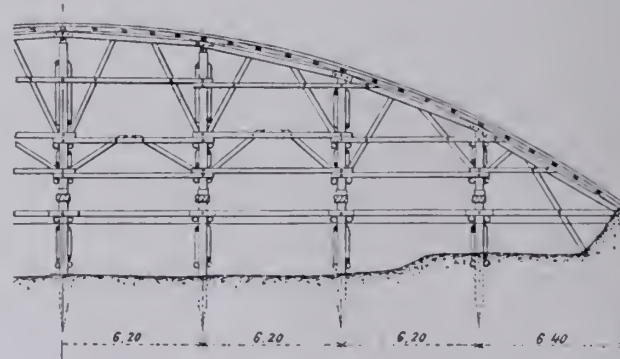
1. — En allemand : « Sense ».

2. — Entre Guggisberg et Planfayon (en allemand « Plaffeyen »).

3. — Le pont relie le district bernois de Guggisberg au district fribourgeois de la Singine.

f_1 — Élévation — 2mm f_2 — Demi-coupe en long sur xx de f_1 — 3mm f_3 — Demi-coupes en travers — 1^{cm} f_4 — Nervure du bourdis
Coupe en long sur uu de f_3 — 1^{cm}

Cintre — 3mm

 f_5
Élévation

4. Cintre (f_3, f_6). — Il était en bois en grume, sauf les vaux et les couchis. Des brise-lame protégeaient les palées contre les bois entraînés par les crues de la Singine, dangereuses en toute saison.

5. Exécution de la voûte.

A. 1^{er} rouleau. — On pilonnait le béton sur toute la largeur de la voûte, par tranches isolées t_1 (f_3) (S''_1); puis on remplissait, mais sur une hauteur moindre, les intervalles t_2 .

On clavait à la clef, aux retombées, et au droit des points fixes du cintre, dans l'ordre que paraissait imposer la déformation du cintre.

Le cerveau du cintre avait été peu chargé : il se releva pendant la construction. On l'abaissa en le chargeant de pierres (S_2).

B. 2^e rouleau (S_1). — Le 1^{er} rouleau achevé, on commença immédiatement le second, par paires symétriques de tranches t_3 de la largeur de la voûte (f_3), chaque tranche correspondant à plusieurs du premier rouleau.

6. Dates.

	1906
Commencement des travaux.....	28 mai
Commencement du bétonnage.....	13 août
Fin du premier rouleau.....	31 août
Fin du second rouleau.....	14 septembre
Achèvement de l'ouvrage.....	13 octobre
Décintrement.....	15 décembre

7. Personnel.

Projet : MM. Jäger et C^{re}, de Zurich.

Direction des travaux : M. G. d'Erlach, Ingénieur à Berne.

Entrepreneurs : MM. Gribi, Hassler et C^{re}, de Berthoud.⁴

4. — En allemand : « Burgdorf. »

SOURCES :

S_1 . — Schweizerische Bauzeitung, 29 février 1908, p. 107 à 110 : « Brücke über die Sense « bei Guggersbach », M. J. Bolliger, Ingénieur à Zurich.

S_2 . — Bulletin technique de la Suisse romande, 25 mai 1908 : « Pont sur la Singine à « Guggersbach », M. Am. Gremaud, Ingénieur cantonal à Fribourg.

S_3 . — Renseignements que l'Entreprise a bien voulu donner pour moi à M. d'Erlach.

S_4 . — Renseignements (S'_1) et photographie (S''_1) gracieusement communiqués par M. d'Erlach.

On a pris dans S_1 les dessins, et tout ce qui n'est pas spécifié comme d'une autre source.

PONT SUR LA VALSERINE, AU MOULIN DES PIERRES.

PRES DE MONTANGES¹ (AIN)

*Chemin de fer électrique d'intérêt local à voie de 1^m de Bellegarde à Chazery
et Chemin de Grande Communication n° 11*

1908-1910

\widehat{A} 1^{de} 40^m 12

Φ_1^2



1. Dispositions d'ensemble. — Là, dans cette brèche entre ces hautes falaises, une grande voûte est bien à sa place.

Les naissances avaient été prévues au même niveau. On a abaissé celle de rive droite au-dessous d'un banc de calcaire gélif, et élevé celle de rive gauche pour mieux placer les boîtes à sable. L'ouverture a été ainsi portée de 80^m à 80^m29 (S.).

Les piles des voûtes d'évidement reposent sur des gradins découpés dans la voûte sur 18^m de profondeur au plus (S.).

2. Chape. — Elle a 12^{cm}. Elle est faite d'un mélange de 1 partie de bitume liquide et 3 parties de mastic d'asphalte (S.).

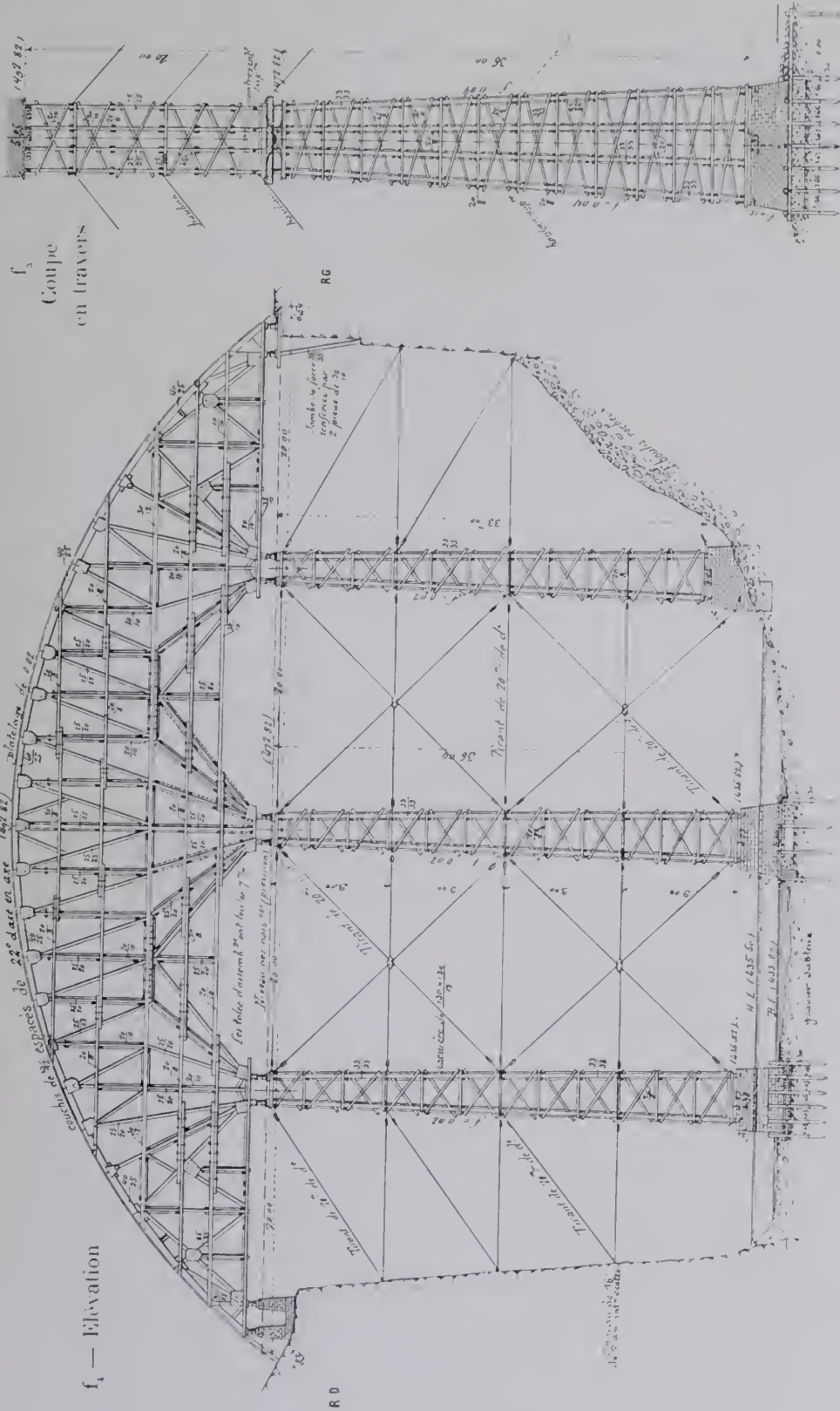
1. — A 8^{km} en avant de Bellegarde (Ain).

2. — Clé de M. Ed. Boulland. Photographie à Bellegarde.

Cintre — 2mm (S)

f₃
Coupe
en travers

f₃ — Elevation



B. Calcul — Les pièces ont été calculées³ pour supporter le poids du premier rouleau.

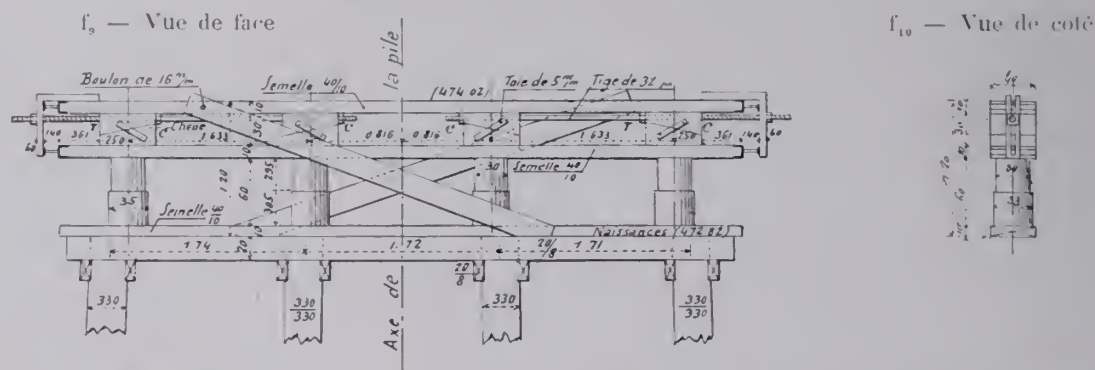
Voici les efforts maxima en $\text{kg}/0^{\text{m}}01^2$ (S_2) :

		Pour la charge	
		du premier rouleau	de la voûte entière
Conchis.....		77 ^k	144 ^k
Vaux.....		66	138
Pièces de l'étage	supérieur.....	20	38
	inférieur.....	35	64
Piles (avec vent horizontal de 250° par m.q. de surface verticale pressée)	poteaux, sans tenir compte des ferrures (S_1)	66	84
	moises.....	32	37
	croisillons.....	37	42

C. Appareils de décintrement. — Boîtes à sable et coins. — Le sable, grillé, était garanti de l'humidité par une corde goudronnée enroulée autour du piston, et par un chapeau en tôle (S_6).

Pour augmenter au-delà de 20^{cm} la course des boîtes à sable au décintrement, on avait disposé, au-dessus, les coins C, commandés par les tiges filetées T (f_1, f_{10}) : ils n'ont pas servi (S_2).

Appareil de décintrement — 1^m5



D. Mise en place. — Le cintre a été mis en place en 110 jours, par 5 charpentiers, 5 manœuvres, 2 mécaniciens, 1 chef de chantier (S_3).

Un transporteur électrique à câble a monté le cintre, et plus tard transporté les matériaux⁴.

4. Mouvements du cintre avant la construction de la voûte. — En février 1909, avant qu'il eut été chargé des matériaux de la voûte, un ouragan le fit tourner autour de son appui rive gauche, sur les semelles des boîtes à sable, de 32^{cm} à l'appui rive droite, 15^{cm} à la pile rive droite, 5^{cm} à la pile centrale.

On le remit en place en tendant les haubans amont (S_3).

3. — avec les formules données aux Annales des Ponts et Chaussées, octobre 1886, p. 503 et suivantes: « Construction des ponts du Castellet, de Lataur et Antoinette », M. Sejourne (S_4).

4. — Il a fait alors au maximum, en 11 heures, 145 transports de 800°.

5, Exécution de la grande voûte. — *A. - Division en rouleaux.*
Elle a été construite en 3 rouleaux :

le premier comprenait toute la douelle ; le troisième tout l'extrados ; le second, seulement la deuxième rangée de moellons aux reins.

p_4 — Construction du 1^{er} rouleau (S_4)

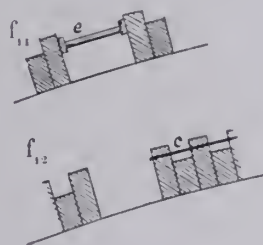


Dans tous les joints, arrosés (S_4), le mortier a été fiché, puis maté (S_5).

B. - 1^{er} rouleau. — Les joints secs des retombées étaient maintenus à l'intrados par des liteaux en chêne de $10^{mm} \times 60^{mm}$; à l'extrados, par 14 cales en plomb de 14^{mm} d'épaisseur, longues de 35^{cm} , larges de 16^{cm} ; on bourrait l'intervalle entre ces cales avec de l'étaupe goudronnée (S_5).

Les libages de douelle se découpent, non seulement par assise, mais aussi dans la même assise (Φ_2). Il est alors difficile de bien poser, et surtout de bien maçonner le queutage (S_4).

Étais e
et
Câbles c
soutenant les
tronçons
des
reins pendant
le clavage.



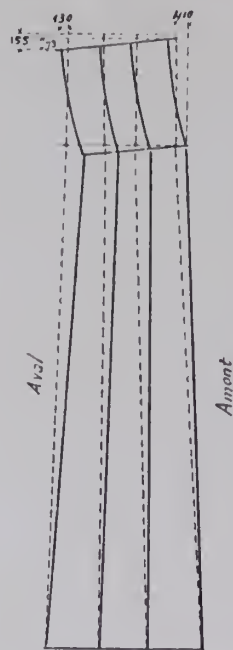
C. - Clavages (S_5). — On clava, des reins vers la clef, et on termina aux retombées.

Pendant le clavage aux reins, on soutenait les tronçons supérieurs par des étais e (f_{11}), ou on les retenait par des câbles c (f_{12}).

Le mortier était fiché, puis énergiquement maté à la spatule, à partir des têtes.

6. Mouvements du cintre pendant la construction de la voûte.

A. 1^{er} rouleau (23 juin - 25 juillet 1909) (S_1). — Pendant le chargement et la construction du premier rouleau, le haut des piles du cintre s'inclina vers l'amont, le sommet du cintre vers l'aval (f_{12}).
 f_{12} = Coupe en travers du cintre, le 27 juillet 1909



La voûte suivit. Le 23 juillet, sa tête aval avait une flèche en plan de 70^{mm} (S'').

On observa ce jour-là 4 très minces fissures aux reins, deux de chaque côté.

La plus importante « avait l'épaisseur d'une fine « aiguille » (S_3). On refouilla le joint, et on le remplit d'un coulis de ciment.

Les autres, à peine perceptibles, disparurent quelques jours après le clavage.

On ajouta au cintre des contreventements et des haubans, indiqués en pointillé sur f_1 et f_2 .

On travailla jour et nuit pour claver promptement le premier rouleau.

Dès qu'il fut clavé, le mouvement en plan s'arrêta : la flèche de la tête aval était alors de 130^{mm} (f_{12}).

B. 2^e rouleau (25 juillet - 11 août 1909). — Pendant deux jours, les tassements continuèrent, un peu plus forts à l'aval qu'à l'amont.

Voici les tassements observés pendant la construction (S_4) :

Dates (1909)			Charge en tonnes	Tassement en <i>mm</i> de la clef		Différence de tassement aval — amont
				à l'amont	à l'aval	
Mai	22	On commence à charger	0	0	0	0
	28		13 ^r	6 ^{mm}	4 ^{mm}	— 2 ^{mm}
	2		40	9	13	4
Juin	7	On charge le cerceau du cintre.	48	9	13	4
	15		170	17	21	4
	21	180	22	28	6	
	23	On commence les maçonneries..	230	23	30	7
15	705		36	45	9	
20	1 ^{er} rouleau		810	42	63	21
24		69	108	39		
Juillet	25	matin, avant clavage soir, après clavage	1296	70	132	62
	27		76	145	69	
Août	27	2 ^e rouleau		82	155	73
	21			82	155	73

7. Décintrement. — On enleva le sable par hauteurs de 12^{mm} . Le cintre se détacha vers 40^{mm} .

On constata, avec l'appareil amplificateur Rabut, un tassement de 0mm2 à 0mm4 à la clef.⁵

8. Dates (S₃).

Fouilles.....	mai - juin 1908
Montage du cintre.....	1 ^{er} sept. 1908 - 16 janvier 1909
Grande voûte	
{ Construction.....	18 mai - 31 août 1909
{ Décintrement.....	6 novembre 1909
{ Rejointoient.....	16 mai - 15 juillet 1910
Achèvement des travaux.....	fin septembre 1910

Le 21 janvier 1910, une crue extraordinaire, charriant des arbres, emporta le cintre. On remboursa 21.000^f à l'entreprise.

9. Quantités et Dépenses (S_3).

9. Quantités et Dépenses (S ₃).		Prix de revient						
		Quantités	des fournitures			de la main-d'œuvre		de l'ensemble
			à l'unité	par nature de matériaux	par parties d'ouvrage	par nature de matériaux	par parties d'ouvrage	
Travaux préparatoires (installation, outillage).....				39.815'00		9.923'23	49.738'23	
Grand et petits cintres	Fouilles, pilotis, maçonnerie.....		5.758'53		8.240'71			
	Bois... { Centres.....	568 ^m 42	60 ^c	37.605'20				
	Passerelle de service	70 ^m	50 ^c		23.560'60			
	Fers.....	42.595 ^k	0'30 11 ^c	23.375'87				
Grande voûte de mortier	Bandeaux.....	232 ^m 830	68 ^c	15.832'44	66.739'60	31.801'31	98.540'91 6	
	Pierre { Douelle et queue.....	761 ^m 175	55 ^c	40.955'31				
	Transport.....			8.302'12				
	Sable (trié et lavé)....	130 ^m	1 ^c	130 ^c				
	Ciment.....	77 ^T 7	52 ^c	4.040'40				
	Divers.....			3.153'70				
Maçonnerie et remplissage au-dessus de la grande voûte...				72.413'97		26.499'44	98.913'41	
Rejointoiements.....				43.366'74		19.842'83	63.209'57	
Garde-corps { Panneaux.....		26.500 ^k	0'35	9.275 ^c	1.382 ^c	4.317'16	5.699'16	
en fonte { Accessoires.....				440 ^c				
				9.715 ^c		2.611'08	12.326'08	
Murs de soutènement et abords				12.647'60		10.312'86	22.960'46	
Travaux divers.....						3.562'15	3.562'15	
Totaux.....				246.079'91		108.870'06	354.949'97 7	

5. — Annales des Ponts et Chaussées, 1910-III, p. 191 à 193 : « *Notice sur les Travaux de construction du pont de Montanges* », par M. F. Lefort, Ingénieur des Ponts et Chaussées.

6. — Les 11 cintres des 11 voûtes d'évidement, — faites ensemble pour gagner du temps, — ont été payés au prix du cintre de la grande voûte : 115^{fr} le mètre cube, en tout 5106^{fr} (S.).

7. — Non compris 21.000' remboursés à l'entreprise pour perte du cintre.

10. Personnel (S_4).

Projet :

M. Picard, Ingénieur en chef des Ponts et Chaussées ;

M. Dor, Agent-Voyer en chef de l'Ain ;

M. Clermidy, Agent-Voyer principal.

Exécution :

M. Picard ;

M. Dor ;

M. Vallier, Ingénieur des Ponts et Chaussées.

Entrepreneur : M. Petit, à Bellegarde.

SOURCES :

S_1 . — Dessins d'exécution (S'_1) et renseignements (S''_1) qu'a bien voulu me communiquer M. Vallier.

S_2 . — Renseignements gracieusement donnés par M. Picard.

S_3 . — L'Ingénieur-Constructeur, - 1910, - 15 mars, p. 129 à 143 ; - 15 avril, p. 177 à 207, Pl. 1 : « *Pont du Moulin des Pierres, sur la Valserine* ». M. A. Reynaud, Chef de service à la construction du chemin de fer électrique de Bellegarde à Chézery.

S_4 . — Ce que j'ai vu — juillet 1909.

S_5 . — Annales des Ponts et Chaussées, 1911 - IV, p. 101 à 203, Pl. 11 à 14 : « *Notice sur la construction du Pont de Montanges* », M. Picard, Ingénieur en chef des Ponts et Chaussées.

Cette notice était achevée avec les sources S_1 à S_4 , quand a paru S_5 , qui a permis de la compléter très utilement.

S_6 . — L'Ingénieur-Constructeur, 15 octobre 1912, p. 485 à 516. — « *Pont du Moulin des Pierres, sur la Valserine* », M. A. Reynaud (*Suite et fin de S_3*).

VOÛTES INARTICULÉES EN ARC ASSEZ SURBAISSÉ ¹

PONTS A UNE SEULE GRANDE ARCHE
SOUS CONDUITE D'EAU
(AQUEDUCS)

Série $\widehat{\mathbf{A}}^1$ aq (40^m) ²

Voir Préliminaires, Tome III, p. 3 et 4

1. — pour la définition des arcs « assez surbaissés ».

2. — pour le sens de ce symbole.

PONT A UNE SEULE GRANDE ARCHE SOUS CONDUITE D'EAU

PONT	PROJET								
	ENSEMBLE		GRANDE VOÛTE				ÉVIDEMENT DES TYMPAN		
	Longueur de l'ouvrage	Largeur <i>entre tympan sous la plinthe</i>	INTRADOS Portée Montée Surbaissement Rayon	ÉPAISSEURS		MATÉRIAUX Mortier Poids, pour 1 ^m de sable, de chaux ou de ciment		PRESSIONS en kg / 0 ^m 01 ² Hypothèse adoptée Surcharges supposées	
				CORPS	TÊTES				
Clef <i>Retombées</i>				Clef <i>Retom- bées</i>					
Date	Déclivité	Fruit des tympan						1 ^o	
Symbole	1	2	3	4	5	6	7	8	2 ^o DÉCORATION DES TÊTES
de Cabin-John États-Unis 1857-1864 A ¹ au (10 ^m) ¹	137 ^m » 27 ^m	6 ^m 10 Pas de fruit	Are de cercle 67 ^m 10 17 ^m 47 1 / 3,84 = 0,260 40 ^m 87 8	1 ^m 27 sous la conduite d'eau 2 ^m 90 en dehors 6 ^m 10	1 ^m 27 1 ^m 88	1 ^{er} rouleau : <i>(voir col 15)</i> Granit Lits de 3 ^m 2 ^e rouleau : Grès		1 ^o 4 voûtes transvers cachées en plein ci 2 ^o »	

(AQUEDUCS)

SÉRIE \widehat{A}^1 aq ($\sim 40^m$)

TABLEAU SYNOPTIQUE

EXÉCUTION										CUBE DE MAÇONNERIE A MORTIER	
GRANDE VOÛTE										Q DÉPENSE D	
FONDATIONS	CINTRE				MODE	DÉCINTREMENT	TASSEMENTS				
Nature du sol	FERMES		Cube de bois		DE	État	DE LA CLEF				
Profondeur sous l'étiage	Type	Nombre	Poids de fer	Dépenses	CONSTRUCTION	d'avancement du Pont	sur cintre	t _c			
Pressions sur le sol en kg 0 ^m 01 ²	Matière	Épaisseur	Totaux	par mq de douelle ²		Temps entre le dernier clarage et le décintrement	au décintrement	t _v			
Procède	Appareils de décintrement	Ecartement d'axe en axe Surhaussement				Date	après	t _v			
10	11	12	13	14	15	16	17				
Rocher	Fixe	4			2 rouleaux indépendants						
»		»									
»	Sapin	»									
»		»									
On regularisa le rocher avec du beton											

2. Pour le calcul de la surface de douelle, voir Avertissement, Tome III, p. III, n° 7 — A. 3. S_p = Longueur (col. 2) \times Largeur entre parapets (col. 3) — C'est la surface offerte à la circulation.

4. W = Surface vue de l'élévation \times Largeur entre parapets. 5. W' = Surface de l'élévation au-dessus des fondations \times Largeur entre parapets.

Pour S_p , W , W' , voir Avertissement, Tome III, p. III, n° 7 — B.

VOÛTES INARTICULÉES EN ARC ASSEZ SURBAISSÉ

PONTS A UNE SEULE GRANDE ARCHE
SOUS CONDUITE D'EAU (AQUEDUCS)

SÉRIE \widehat{A}^1 aq (40m)

MONOGRAPHIES

PONT DE CABIN-JOHN, SUR LE CABIN-JOHN CREEK,
PRÈS DE WASHINGTON¹ (ÉTATS-UNIS)

1857-1864

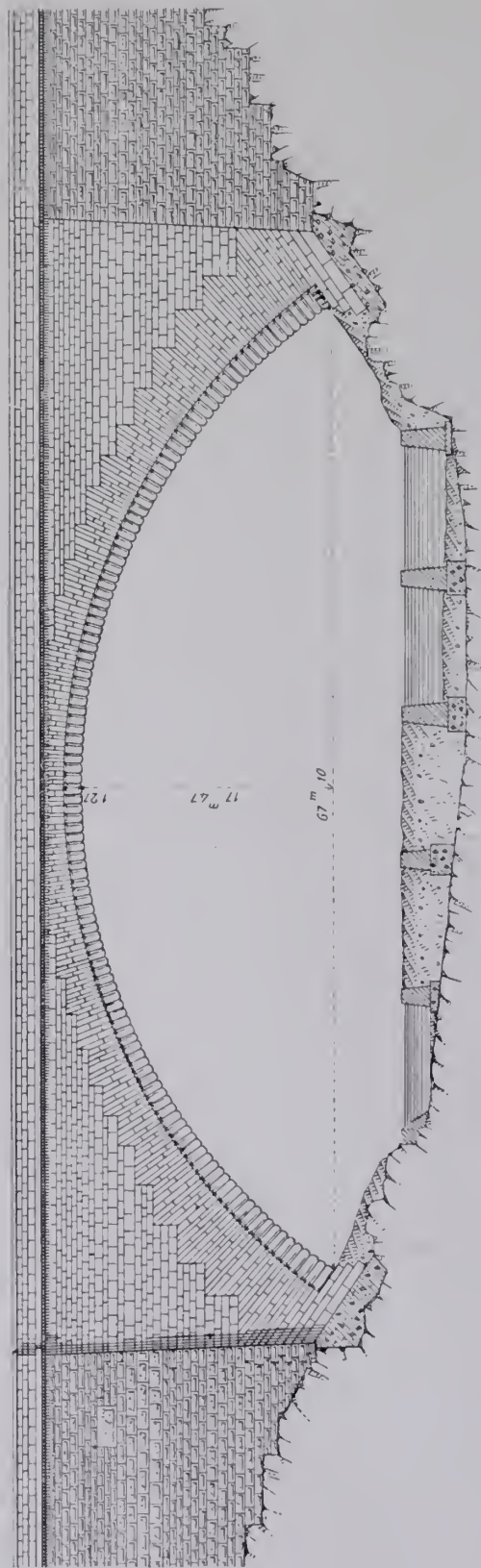
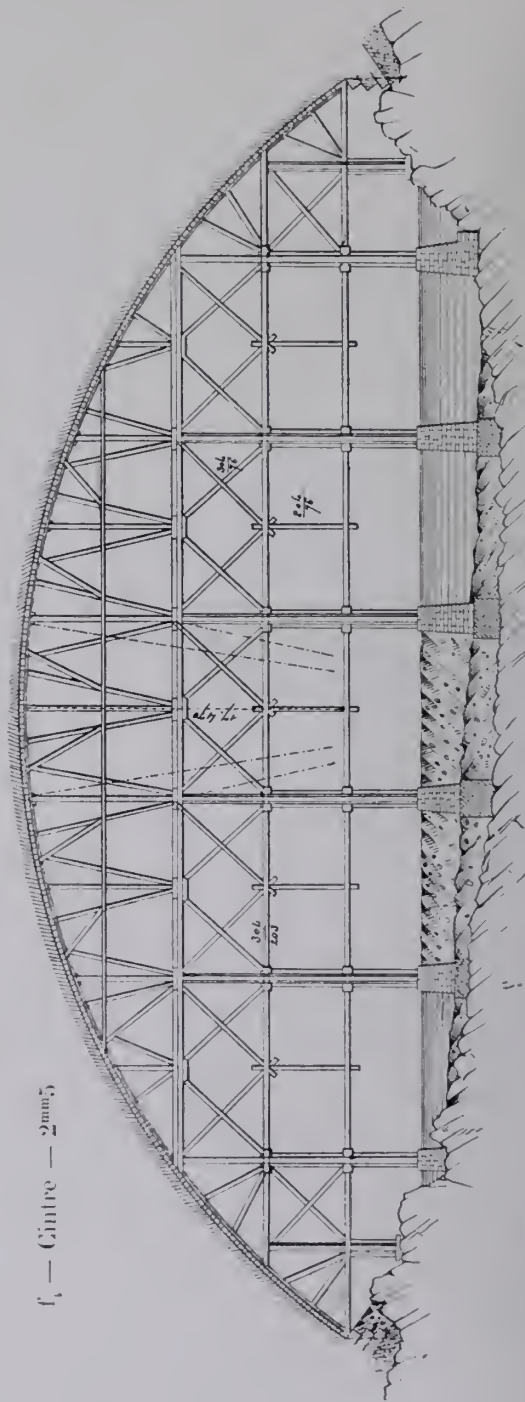
\widehat{A}^1 aq (40m) I

Φ_1 (S₂)



I. Conduite d'eau sur l'ouvrage. — Le pont porte une conduite circulaire (f_1), dans laquelle passe l'eau d'alimentation de Washington, prise au Potomac.

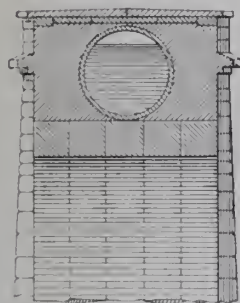
I. — A 10^m environ.

f₁ — Elevation — 2mmf₁ — Cintre — 2mm

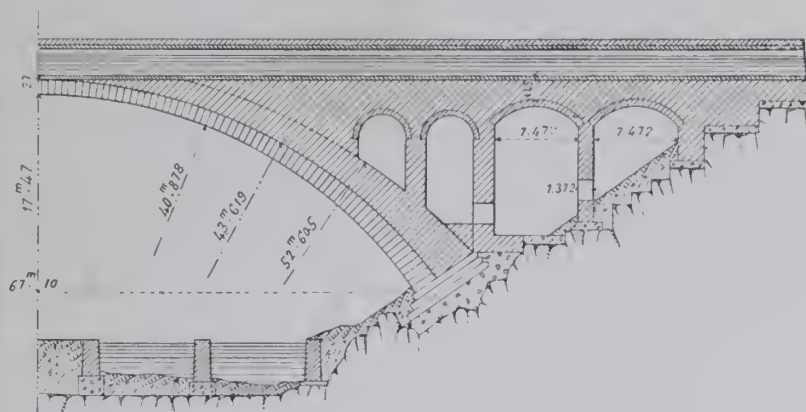
2. Voûte en deux rouleaux indépendants.

Le deuxième rouleau est échancré au cerveau par la conduite d'eau, laquelle, à la clef, s'appuie sur le premier.

f_1 — Coupe en travers
à la clef — 1^{mm}



f_2 — Coupe en long — 1^{mm}5



3. Fondations. — On a régularisé la surface du rocher avec du béton, sur lequel on a placé un large sommier fait de 3 assises de granit.

4. Décintrement. — La voûte, achevée en hiver, se détacha d'elle-même du cintre, l'été suivant.²

5. Ingénieur. — Général Meigs.³

2. — Zentralblatt der Bauverwaltung, 5, 8, 19 septembre 1906, p. 455 à 458, 462 à 465, 483 à 486 : « Fortschritte im Bau weitgesprengter flacher massiger Brücken, vom Landesbaurat Leibbrand in « Sigmaringen » ».

3. — Renseignement gracieusement communiqué par M. Malverd A. Howe, Directeur du « Rose Polytechnic Institute » à Terre Haute (Indiana).

SOURCES :

S_1 . — Collection des dessins distribués aux Elèves de l'Ecole des Ponts et Chaussées, Série 3, section A, Pl. 9 et 10 : « Pont de Cabin-John ». — Légendes explicatives des Planches, Tome II, p. 27 et 28.

S_2 . — Ce que j'ai vu — mai 1905.

VOÛTES INARTICULÉES EN ARC ASSEZ SURBAISSÉ ¹

PONTS A UNE SEULE GRANDE ARCHE
SOUS CHEMIN DE FER A VOIE NORMALE

Série $\widehat{\mathbf{A}}^1 \mathbf{F}^r (\geq 40^m)$ ²

Voir Préliminaires, Tome III, p. 3 et 4

1. — pour la définition des arcs « assez surbaissés »,

2. — pour le sens de ce symbole.

PONT A UNE SEULE GRANDE ARCHE SOUS CHEMIN DE FER

PONT	PROJET							
	ENSEMBLE		GRANDE VOÛTE					1° ÉVIDEMENT DES TYMPANS
	Longueur entre abouts des parapets Déclivités Hauteur maxima du rail au-dessus du sol ou de l'étiage	Largeurs entre parapets entre tympans sous la plinthe Fruit des tympans Revanche du rail sur l'extrados	INTRADOS Portée Montée Surbaissement Rayon	ÉPAISSEURS CORPS Clef Retombées	TÊTES Clef Retom- bées	MATÉRIAUX Mortier Poids, pour 1 ^m de sable, de chaux ou de ciment	PRESSIONS en kg 0 ^m 01 ² Hypothèse adoptée Surcharges supposées	
1	2	3	4	5	6	7	8	9
de Maretta \widehat{A}^1 P ^r (40 ^m) ¹	77 ^m	8 ^m 00 "	Arc de cercle aux têtes : 42 ^m 92 sur l'axe : 40 ^m 00 10 ^m 00 $\frac{1}{4} = 0,25$	1 ^m 80 9 ^m 10	1 ^m 80 "	Briques s'écrasant à 54° 74 (paraissant bien conservées) Dimensions : Longueur 26 ^m Largeur 13 ^m Épaisseur : 6' 5, 6' 7, 7' Briques spéciales en douelle Lits de mortier de 6 ^m au plus	Pression maxima à la clef : 12 ^k 51 <i>Méry</i> 9000 ^k par m. et	1° Pas d'évidement 2° "
de Prarolo \widehat{A}^1 P ^r (40 ^m) ² <i>Italie</i> 1851-1852	8 ^m 28 ^m	Fruit $\frac{1}{20}$ 1 ^m 20						2° "
d' Isola del Cantone (Pont en amont et Pont en aval) <i>Italie</i> 1852 \widehat{A}^1 P ^r (40 ^m) ³ et 4			40 ^m 00 " "			Briques		
de Calcio <i>Italie</i> 1877-1878 \widehat{A}^1 P ^r (40 ^m) ⁵	121 ^m 77 6 ^m 15 ^m 75 fond du lit	8 ^m 00 7 ^m 50 Pas de fruit 0 ^m 60	Arc de cercle 42 ^m 00 41 ^m 90 $\frac{1}{3,529} = 0,283$ 24 ^m 479	1 ^m 40 2 ^m 38 14 ressauts de 14 ^m à l'extrados	1 ^m 00 1 ^m 60	Briques rouges de Crémone s'écrasant à 35° Dimensions : 28' X 14' X 6' 5 Chaux hydraulique de Palazzolo — 450 ^k	Pression maxima : Clef : 12 ^k Retombées : 23 ^k 8000 ^k par m. et	1° Pas d'évidement 2° Bandeaux 8 assises en saillie, puis en retraite Cadres dans les tympans Angles des pilastr agros bossa
du Gour-Noir <i>France</i> 1888-1889 \widehat{A}^1 P ^r (40 ^m) ⁶	108 ^m 16 9 ^m 20 ^m 20	8 ^m 00 8 ^m 60 Fruit $\frac{1}{20}$ 1 ^m 06	Arc de cercle au niveau des fondations : 62 ^m 00 aux retombées : 60 ^m 00 16 ^m 10 $\frac{1}{3,726} = 0,268$ 36 ^m	1 ^m 70 1 ^m 20	1 ^m 70 3 ^m 70 à 50°	Bandeaux et Douelle : PT ¹ Bossages de 25 à 40 ^m Queutage : MEV ¹ Granit de Cabirol L'archivolte est en granit de Lonzac Au-dessus de 18' 16" Ciment artificiel Vicat n° 1 = 650 ^k Au-dessous : Ciment = 800 ^k	A la clef : Pression : max. 33 ^k 2 moy. 16 ^k 6 <i>Méry</i> "	1° 6 voûtes transversales vues, en plein cintre de 4 ^m 30, sur piles de 0 ^m 95 2° Archivolte

1 — Pour le sens de ces abréviations, voir Avertissement, Tome III, page II, n° 6.

VOIE NORMALE

SÉRIE \hat{A}^1 Fr ($> 40^m$)

TABLEAU SYNOPTIQUE

EXÉCUTION

GRANDE VOÛTE

CUBE DE MAÇONNERIE
A MORTIER

Q

DÉPENSE

D

Totaux

et

par unité de surface utile S_p^2
de volume utile W

18

FOUDATIONS	GRANDE VOÛTE							A MORTIER		
Nature du sol Profondeur ou l'éclage Pressions sur le sol 1 kg/cm ² Procédé	CINTRE				MODE DE CONSTRUCTION	DÉCINTREMENT État d'avancement du pont Temps entre le dernier clavage et le décintrement Date	TASSEMENTS DE LA CLEF sur cintre t _c au décintrement t' _v après t'' _v	Q		
	FERMES		Cube de bois Poids de fer Dépenses					DÉPENSE		
	Type Matériau Appareils de décintrement	Nombre Épaisseur Écartement d'axe en axe Surhaussement	Totaux	par mq de douelle 2				Totaux et par unité		
10	11	12	13	14	15	16	17	18		
Marella	Le même cintre a servi pour les 2 ponts.							Marella	Marella	
Recrit - 3 ^m	Retroussé sur 40 ^m	7 1 ^{re} de rive 10 3 interm. 30 1 ^m 50	Chêne 411 ^m 7			"	t _c 180 ^{mm}	Q = 17078 ^{mc}		
Prarolo RD - Roc	Type Pont de Neuilly		Mélèze 336 ^m 5			"	t' _v 15 ^{mm}	Q : S _p = 27 ^{mc} 72 Q : W = 1 ^{mc} 10		
RG - Argile impressible Grillage en chêne grand écartement	Chêne (Moises horizontales en mélèze)		Bois 448 ^m 2	1 ^{re} 2		Prarolo		D = 450 502 ^f		
			Fers 720 ^k	1 ^k 9		Voile nue	"	D : S _p = 731 ^f 3		
		25 ^{mm}	Dép. 26400 ^f	71 ^f		"	t' _v 80 ^{mm}	D : W = 27 ^f 2		
			(pour chaque pont)					D : Q = 26 ^f 4		
						A l'un des ponts :				
						30 jours	t' _v 35 ^{mm}			
						A l'autre :				
						60 jours	t' _v = 50 ^{mm}			
Gravier calcaire - 4 ^m 20 dans les eaux mouillées	Fixe	7 30 ^m	418 ^{mc}	1 ^{mc} 08		"	t _c 80 ^{mm}	D = 300 000 Lires		
Béton dans les sautoires pontifs planchettes la partie supérieure	Boîtes à sable		5675 ^k	14 ^k 6		32 jours	t' _v + t'' _v (2 j ^{rs}) 48 ^{mm}	environ D : S _p = 307 ^f 9 D : W = 27 ^f 5		
Granit dur - 4 ^m 35 à mo venne	Fixe Type Pont de Lavaur A ¹ F ¹ C ¹ 40 ^m 4 (Tome II)	7 25 ^m 1 ^m 56	515 ^{mc}	0 ^{mc} 71	A partir de 48' 46' de la clef 3 rouleaux. Au 1 ^{er} roul. :	Cerveau de la voûte (sur 88°) charge de 175 ^{mm} de moellons	t _c 14 ^{mm}	Q = 6717 ^{mc} Q : S _p = 7 ^{mc} 69 Q : W = 0 ^{mc} 45		
Pression Nima : 9 ^k 8	Sapin du Jura Pierre en chêne Boîtes à sable		20695 ^k	28 ^k 6	57360 ^f	79 ^f 2	52 jours	t' _v Clef : 1 ^{mm} 3 A 15° : 0 ^{mm} 8 A 35° : 0 ^{mm} 3	D = 334 334 ^f D : S _p = 383 ^f 2 D : W = 22 ^f 3 D : Q = 49 ^f 8	
		30 ^{mm}			Aux 2 ^e et 3 ^e roul. :	28 septembre				
					8 tronçons, 5 clavages.					

Pour le calcul de la surface de douelle, voir Avertissement, Tome III, p. III, n° 7 - A. 3. S_p = Longueur (col. 2) \times Largeur entre parapets (col. 3) - C'est la surface offerte à la circulation
4. W = Surface vue de l'élévation \times Largeur entre parapets. 5. W' = Surface de l'élévation au-dessus des fondations \times Largeur entre parapets
Pour S_p , W , W' , voir Avertissement, Tome III, p. III, n° 7 - B.

PONTS A UNE SEULE GRANDE ARCHE SOUS CHEMIN DE FER

PONT	PROJET							ÉVIDEMENT DES TYMPANS					
	ENSEMBLE		GRANDE VOÛTE										
	Longueur entre abouts des parapets	Largeurs entre parapets entre tympans sous la plinthe	INTRADOS Portée Montée Surbaissement Rayon	ÉPAISSEURS		MATÉRIAUX Mortier Poids, pour 1 ^m de sable, de chaux ou de ciment	PRESSIONS en kg 0 ^m 01 ² Hypothèse adoptée Surcharges supposées						
				CORPS Clef Retombées	TÊTES Clef Retom- bées								
Date	Declivités	Hauteur maxima du rail au-dessus du sol ou de l'évage	Fruit des tympans Revanche du rail sur l'extrados	1	2	3	4	5	6	7	8	9	
Symbole													
de Pouch France 1890	56 ^m 03 10 ^{mm} 15 ^m 42	8 ^m 90 (voie en courbe de 600 ^m de rayon) 8 ^m 30 Fruit : 1,33 (0 ^m 92	Arc de cercle 47 ^m 83 19 ^m 00 $\frac{1}{3,68} = 0,272$ 28 ^m 51	1 ^m 50 2 ^m 627	1 ^m 50 2 ^m 627	Bandeaux et Douelle : PT ¹ Queutage : MEV ¹ Granit Chaux du Teil = 350 ^k		1 ^o 4 voûtes transversales vues, en plein cintre de 4 ^m 50, sur piles de 1 ^m 10 2 ^o "					
Ⓐ ¹ Fr (40 ^m)7													
de Freyssinet France 1890-1891	51 ^m 79 10 ^{mm} 13 ^m 16	8 ^m 25 7 ^m 65 Fruit : 1,33 (0 ^m 92	Arc de cercle 45 ^m 00 11 ^m 00 $\frac{1}{4,09} = 0,245$ 28 ^m 51	1 ^m 50 2 ^m 45	1 ^m 50 2 ^m 45	Bandeaux et Douelle : PT ¹ Queutage : MEV ¹ Granit Ciment de Boulogne 500 ^k		1 ^o 4 voûtes transversales vues, en plein cintre de 4 ^m 50, sur piles de 1 ^m 00 2 ^o "					
Ⓐ ¹ Fr (40 ^m)8													
de Jaremcze Autriche 1893-1894	18,5 ^m 11 ^{mm} 27 ^m	4 ^m 50 1 ^m 50 Fruit : 1,20 1 ^m 40	Arc de cercle 65 ^m 00 17 ^m 90 $\frac{1}{3,63} = 0,275$ 38 ^m 454	2 ^m 10 3 ^m 40	2 ^m 10 3 ^m 40	PT ¹ Grès (480 ^k à 1180 ^k) Aux voussoirs du queutage, on acceptait un démaigrissement de 1/8 de la surface de lit Ciment Portland de Szczakowa (Galicie) 0 ^m 28,5 Joints de 18 ^{mm} au moins	Pression maxima (sans surcharge) 27 ^k 5 Arc élastique	1 ^o 8 voûtes transversales vues, en plein cintre de 3 ^m 60 2 ^o "					
Ⓐ ¹ Fr (40 ^m)9													
de Jamna Autriche 1893-1894	121 ^m 80 11 ^{mm} 19 ^m 19	4 ^m 50 " Fruit : 1,20 1 ^m 45	Arc de cercle 48 ^m 00 12 ^m 00 $\frac{1}{4} = 0,25$ 30 ^m	1 ^m 70 2 ^m 60	1 ^m 70 2 ^m 60	PT ¹ Grès En douelle, mêmes épaisseurs d'assises qu'aux bandeaux Aux voussoirs du queutage, on acceptait un démaigrissement de 1/8 de la surface de lit. Ciment = 0 ^m 28,5	Pression maxima (sans surcharge) 25 ^k 1 Arc élastique	1 ^o 6 voûtes transversales vues, en plein cintre de 3 ^m 50 2 ^o "					
Ⓐ ¹ Fr (40 ^m)10													
de Worochta Autriche 1893-1894	" 12 ^{mm} 16 ^m 20	4 ^m 50 " Fruit : 1,20 "	Arc de cercle 40 ^m 00 10 ^m 00 $\frac{1}{4} = 0,25$ 25 ^m	1 ^m 40 2 ^m 20	1 ^m 40 2 ^m 20	PT ¹ Grès En douelle, mêmes épaisseurs d'assises qu'aux bandeaux Aux voussoirs du queutage, on acceptait un démaigrissement de 1/4 de la surface de lit Ciment = 0 ^m 28,5	Pression maxima (sans surcharge) 21 ^k 4 Arc élastique	1 ^o 6 voûtes transversales vues, en plein cintre de 3 ^m 00 2 ^o "					
Ⓐ ¹ Fr (40 ^m)11													

1 Pour le sens de ces abréviations, voir Avertissement, Tome III, p. II, n° 6.

EXÉCUTION										CUBE DE MAÇONNERIE A MORTIER	
GRANDE VOÛTE										Q	
CINTRE										DEPENSE	
FERMES										D	
Nature du sol Profondeur en l'étiage Pressions sur le sol kg (mm) ² Procédé	Type	Nombre	Cube de bois Poids de fer Dépenses		MODE	DÉCINTREMENT	TASSEMENTS	DEPENSE			
	Matière	Épaisseur Écartement d'axe en axe Surhaussement	Totaux	par mq de douelle 2	DE CONSTRUCTION	État d'avancement du pont Temps entre le dernier clarage et le décintrement Date	DE LA CLEF sur cintre t _c au décim- trement t' _v après t'' _v	Totaux et par unité	de surface utile S _p ³ de volume « utile » W		
10	11	12	13	14	15	16	17	18			
Rocher résistant à sec — 2m50	Fixe Type Pont Antoinette A ¹ l ^r (≥ 40m) ³ (Tome II)	6 2,5 ^m 1m68			3 rouleaux. Aux 1 ^{er} et 2 ^e roul. 8 tronçons. au 3 ^e rouleau: 4 tronçons.	 55 jours 4 août	t _c = 2mm-2	Q = 4393 ^{mc} Q : S _p = 8 ^m 30 Q : W = 0 ^m 63			
Rocher résistant à sec — 2m50	On a remplacé le cintre du Pont de Pouch A ¹ l ^r (≥ 40m) ³				2 rouleaux. A chaque rouleau, 8 tronçons.	 137 jours 6 avril		Q = 4336 ^{mc} Q : S _p = 10 ^{mc} 03 Q : W = 0 ^{mc} 82	D = 143866 ^l D : S _p = 288 ^l 4 D : W = 20 ^l 6 D : Q = 32 ^l 8		
Rocher à sec	Fixe Coins	3 120mm			3 rouleaux. Au 1 ^{er} rouleau: 8 tronçons. Aux 3 rouleaux, moellons posés à sec, puis joints matés.	Tympan achevés Août	t _c = 115 ^{mm} t' _v + t'' _v = 60 ^{mm}				
Rocher	Fixe	120mm			2 rouleaux. Au 1 ^{er} rouleau: 6 tronçons	Tympan achevés	t = 105 ^{mm}				
Rocher Gros					A pleine épaisseur.						

Pour le calcul de la surface de douelle, voir Avertissement, Tome III, p. III, n° 7 — 4. S_p = Longueur (col. 2) \times Largeur entre parapets (col. 3) — C'est la surface offerte à la circulation

4. W = Surface vue de l'élévation \times Largeur entre parapets. 5. W' = Surface de l'élévation au-dessus des fondations \times Largeur entre parapets

Pour S_p , W , W' , voir Avertissement, Tome III, p. III, n° 7 — B.

PONTS A UNE SEULE GRANDE ARCHE SOUS CHEMIN DE FER

PONT	PROJET							1° ÉVIDENCE DES TYMPANS	
	ENSEMBLE		GRANDE VOÛTE						
	Longueur entre abouts des parapets Déclivités Hauteur maxima du rail au-dessus du sol ou de l'étiage	Largeurs entre parapets entre tympans sous la plinthe Fruit des tympans Revanche du rail sur l'extrados	INTRADOS Portée Montée Sorbaisement Rayon	ÉPAISSEURS CORPS TÊTES Clef Retombées Clef Retombées		MATÉRIAUX Mortier Poids, pour 1 ^m de sable, de chaux ou de ciment	PRESSIONS en kg/m ² Hypothèse adoptée Surcharges supposées		
Date	1	2	3	4	5	6	7	8	9
sur la Gutach <i>Allemagne</i> 1899-1900 \widehat{A}^1 Fr (40m) 12	110 ^m 82 0 34 ^m	3 ^m 00 1 ^m 20 Fruit : 1/30 1 ^m 15	Arc de cercle 64 ^m 00 16 ^m 10 $\frac{1}{3,974} = 0,251$ 39 ^m 851	2 ^m 00 2 ^m 80	2 ^m 00 2 ^m 80	PT ¹ Grès des Vosges (Saverne) (400k à 600k) Ciment Portland Schifferdecker 0 ^m 333 Sable de la Gutach			1° 8 voûtes transversales vues, en plein cintre de 4 ^m , sur piles de 1 ^m 35, 1 ^m 20, 1 ^m 00 2° "
sur le Schwändeholzdobel <i>Allemagne</i> 1899-1900 \widehat{A}^1 Fr (40m) 13	118 ^m 93 7 ^m 42 ^m	3 ^m 20 voûte en courbe de 8 ^m de rayon 1 ^m 10 Fruit : 1/30 1 ^m 20	Arc de cercle 57 ^m 00 14 ^m 25 $\frac{1}{4} = 0,25$ 35 ^m 625	1 ^m 80 2 ^m 60	1 ^m 80 2 ^m 60	PT ¹ Grès poreux, gelif. On refusa l'emploi de vissoirs Ciment Portland Schifferdecker 0 ^m 333			1° 8 voûtes transversales vues, en plein cintre de 3 ^m 50, sur piles de 1 ^m 35, 1 ^m 20, 1 ^m 00 2° "
Chemnitz <i>Allemagne</i> 1901-1902 \widehat{A}^1 Fr (40m) 14	116 ^m 10 ^m 9 10 ^m 25	" 2 ^m 70 Fruit : 1/10 "	Arc d'anse de panier 45 ^m 00 8 ^m 60 $\frac{1}{5,23} = 0,191$ Rayon au cerceau : 42 ^m 50	1 ^m 00 "	"	Petits moellons Aux têtes, crêpi jouant la pierre de taille (Granit) "			1° Pas d'évidence 2° "
sur la Diveria <i>Italie</i> 1901-1902 \widehat{A}^1 Fr (40m) 15	" 22 ^m 6 18 ^m	" 8 ^m 20 Fruit : 1/20 0 ^m 79	Arc de cercle 40 ^m 00 40 ^m 00 $\frac{1}{4} = 0,25$ 25 ^m	1 ^m 40 2 ^m 10	1 ^m 40 1 ^m 40	Briques de Novare, pressées (450k) Chaux hydraulique de Palazzolo — 100k			1° Pas d'évidence 2° "
sur le Strandeelven <i>Norvège</i> 1902-1904 \widehat{A}^1 Fr (40m) 16	58 ^m 70 15 ^m 19 ^m (sol)	4 ^m 70 1 ^m 80 Fruit : 1/20 1 ^m 35	Arc d'anse de panier à 3 centres 41 ^m 00 11 ^m 25 $\frac{1}{3,645} = 0,274$ Rayons : Cerceau : 26 ^m Reins : 21 ^m 75	1 ^m 50 2 ^m 40	1 ^m 50 2 ^m 40	PT ¹ grossière Gneiss (1000k à 2700k) Sur les reins, MOH ¹ à ciment Sable — 3 parties Ciment — 1 partie Joints de 25 ^{mm} 11 0 0 de mortier	Pression maxima : Clef : 20k Retombées : 35k "	15 tonnes par met	1° Pas d'évidence 2° "

VOIE NORMALE

SÉRIE A¹ Fr (≥ 40m)

TABLEAU SYNOPTIQUE (Suite)

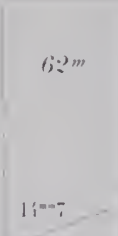
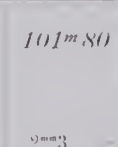
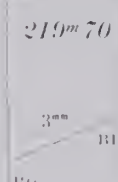
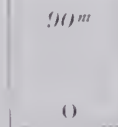
EXÉCUTION										CUBE DE MAÇONNERIE A MORTIER	
GRANDE VOÛTE										Q	
CINTRE										DEPENSE	
FONDATIONS		FERMES		Cube de bois		MODE	DÉCINTREMENT	TASSEMENTS	D		
Profondeur ou l'étiage	Type	Nombre	Poids de fer	DE	CONSTRUCTION	État d'avancement du pont	DE LA CLEF	sur cintre t _c	Totalux		
Pressions sur le sol kg (mm) ²	Matière	Epaisseur	Depenses			Temps entre le dernier clava je et le decintrement	au decin- trement t _v		et		
Procédé	Appareils de decintrement	Ecartement d'axe en axe Surhaussement	Totaux	par mq de douelle ²		Date	après t _v		par unite	de surface utile S _p ² de volume « utile » W ³	
10	11	12	13	14	15	16	17	18	18		
Gravité	Fixe	5	Cintre et Pont de service ensemble	2 rouleaux		Voûtes d'evidement clavées	t _c 80mm	Q = 4734 ^m			
"	Type	"	1000 ^{me}	Au 1 ^{er} rouleau,			t _v 21mm	Q : S _p = 6 ^{me} 75			
"	A ¹ Fr (≥ 40 ^m) ¹	1 m 20	"	6 tronçons			t _v 21mm	Q : W = 0 ^{me} 35			
"	(Tome II)		140000 ^f	Tous			t _v (247 j ^{rs})	D = 396 144 ^f			
"	Boîtes à sable	120mm	dont, pour montage et démontage	les voussoirs posés à sec		9 juin	58mm	D : S _p = 562 ^f 6			
			51250 ^f					D : W = 28 ^f 5			
								D : Q = 83 ^f 3			
Gravité	Fixe	5	Cintre et Pont de service ensemble	2 rouleaux		Voûtes d'evidement clavées	t _c 90mm	Q = 4000 ^{me}			
Assuré	Type	"	"				t _v 21mm	Q : S _p = 6 ^{me} 46			
N'est pas	A ¹ Fr (≥ 40 ^m) ¹	1 m 20	"			42 jours	t _v (215 j ^{rs})	Q : W = 0 ^{me} 32			
	(Tome II)		103750 ^f				80mm	D = 319 791 ^f			
	Boîtes à sable	120mm	dont, pour montage et démontage			13 juillet		D : S _p = 517 ^f 1			
			44775 ^f					D : W = 29 ^f 1			
								D : Q = 79 ^f 9			
Gravité								Q = 3700 ^{me}			
								D = 150 548 ^f			
	Fixe	7	355 ^{me}	0 ^{me} 93	Plusieurs attaques	"	t _c 30mm	D = 284 000 ^{Lires}			
	(Passe de 8 ^{me} 20)	2,5 cm	"	"		15 jours	t _v 60mm				
	"	1 m 37	"	"							
	Boîtes à sable										
Poulie	Fixe	5	"	"	2 rouleaux		t _c 12mm	Q = 2 150 ^{me}			
	Bois ronds	"	"	"			t _v 1mm 5	Q : S _p = 8 ^{me} 51			
	Fermes de rive 1 m 25	"	"	"	Jointes mates	357 jours		Q : W = 0 ^{me} 56			
	Fermes interm. 1 m 15	14582 ^f	49 ^f 1			14 septembre		D = 121 103 ^f			
	Boîtes à sable							D : S _p = 479 ^f 8			
								D : W = 31 ^f 9			
								D : Q = 56 ^f 3			

Sur le calcul de la surface de douelle, voir Avertissement, Tome III, p. III, n° 7 — 4 — 3. S_p = Longueur (col. 2) × Largeur entre parapets (col. 3) — C'est la surface offerte à la circulation

4 W = Surface vue de l'élévation × Largeur entre parapets. 5 W' = Surface de l'élévation au-dessus des fondations × Largeur entre parapets

Pour S_p, W, W', voir Avertissement, Tome III, p. III, n° 7 — B

PONT A UNE SEULE GRANDE ARCHE SOUS CHEMIN DE FER

PONT	PROJET								ÉVIDEMENT DES TYMPANS
	ENSEMBLE		GRANDE VOÛTE						
	Longueur entre abouts des parapets	Largeurs entre parapets entre tympans sous la plinthe	INTRADOS Portée Montée Surbaissment Rayon	ÉPAISSEURS CORPS Clef Retombées		TÊTES Clef Retom- bées	MATÉRIAUX Mortier Poids, pour 1 ^m de sable, de chaux ou de ciment	PRESSIONS en kg 0 ^m 01 ² Hypothèse adoptée Surcharges supposées	
Date	Déclivités	Hauteur maxima du rail au-dessus du sol ou de l'étiage							
Symbole	1	2	3	4	5	6	7	8	9
sur le Krenngraben <i>Autriche</i> 1904-1905		62 ^m 14 ^m 7	4 ^m 94 (voie en courbe de 320 ^m de rayon) 5 ^m 04 Fruit : 1:20	Arc de cercle 40 ^m 00 10 ^m 00 $\frac{1}{4} = 0,25$ 25 ^m 00	1 ^m 50 2 ^m 30	1 ^m 30 2 ^m 30	Bandeaux et Douelle : MEV ¹ Calcaire dur Aux têtes, bossages et ciselures Queutage : MOV ¹ Granit Ciment — 150 ^k	Pression maxima : 25 ^k Surcharge Ma. Ten- Wa moes ders gons Poids en 1 Long' entre tampons Essieux Nom- bre Ecar- tement Poids Circularre du Ministère des Chemins de fer 28 août 1904	1 ^o 6 voûtes transversales vues, en plein cintre de 2 ^m 50 sur pile de 1 ^m 20 2 ^o »
A¹ F ^r (40 ^m)17		28 ^m	1 ^m 10						
sur la Steyrling <i>Autriche</i> 1904-1905		101 ^m 80 2 ^m 3	4 ^m 75 1 ^m 50 Fruit : 1:20	Arc de cercle 70 ^m 00 15 ^m 70 $\frac{1}{4,45} = 0,225$ 46 ^m 86	2 ^m 00 3 ^m 40	2 ^m 00 3 ^m 40	PT ¹ Granit En douelle, mêmes épaisseurs d'assises qu'aux bandeaux Ciment Portland 0 ^m 333	Pression maxima : 37 ^k Surcharge : Comme au Pont sur le Krenngraben	1 ^o 10 voûtes transversales vues, en plein cintre de 3 ^m 25, sur piles de 1 ^m 25 à 1 ^m 40 2 ^o »
A¹ F ^r (40 ^m)18		46 ^m	1 ^m 50					A¹ F ^r (40 ^m)17	
de Salcano <i>Autriche</i> 1904-1906		219 ^m 70 3 ^m 30 110	3 ^m 50 ⁶ 5 ^m 60 ou niveau de la voie Fruit : 1:20	Arc de cercle 85 ^m 00 21 ^m 80 $\frac{1}{3,898} = 0,257$ 52 ^m 33	2 ^m 10 3 ^m 50	2 ^m 10 3 ^m 50	PT ¹ (0 ^m 2 à 0 ^m 7) Calcaire de Nabresina (1200 ^k en cubes de 6 ^m) Lats soigneusement taillés Ciment Portland 1 ^{er} choix de Spalata — 0 ^m 333 Sable de Usonzo lavé Joints de 16 ^{mm}	Pression maxima : Clef : 28 ^k Joint de rupture : 51 ^k Retombées : 40 ^k Arc élastique Surcharge : Comme au Pont sur le Krenngraben	1 ^o 10 voûtes transversales vues, en plein cintre de 3 ^m 40 à 3 ^m 50 sur pile de 1 ^m 35 à 1 ^m 40 2 ^o »
A¹ F ^r (40 ^m)19		37 ^m	0 ^m 87					A¹ F ^r (40 ^m)17	
de Svenkerud <i>Norvège</i> 1905-1907		90 ^m 0	4 ^m 70 1 ^m 80 Fruit : 1:20	Arc d'anse à 3 centres 44 ^m 00 6 ^m 60 $\frac{1}{6,56} = 0,15$ Rayons : Cerceau : 44 ^m Reins : 30 ^m 80	1 ^m 60 2 ^m 50	1 ^m 60 2 ^m 50	PT ¹ grossière Grès (900 ^k à 1500 ^k) Sur les reins, MOH ¹ à ciment Sable : 2,5 parties Ciment : 1 partie 23 % de mortier	Pression maxima : Clef : 30 ^k 3 Joint de rupture : 35 ^k 8 Retombées : 28 ^k 1 » 15 tonnes par m.c ²	1 ^o Pas d'évidement 2 ^o »
A¹ F ^r (40 ^m)20		16 ^m 50 Basses eaux 31 ^m Fond du lit	1 ^m 10 jusqu'au dessus de la plinthe						

VOIE NORMALE

SÉRIE A¹ 1^{re} (40m)

TABLEAU SYNOPTIQUE (Suite)

EXÉCUTION										CUBE DE MAÇONNERIE A MORTIER		
GRANDE VOÛTE										Q		
FONDATIONS	CINTRE				MODE DE CONSTRUCTION	DÉCINTREMENT État d'avancement du pont Temps entre le dernier clarage et le décintrement Date	TASSEMENTS DE LA CLEF sur cintre t _c au decin- trement après t _v	DEPENSE				
	FERMES		Cube de bois Poids de fer Dépenses					D				
	Type	Nombre						Totaux				
	Matière	Épaisseur						et				
Profondeur du sol	Appareils de décintrement	Écartement d'axe en axe Surhaussement	Totaux	par mq de douelle ²			par unite	de surface utile S _p ³ de volume utile ⁴ W				
Procede	11	12	13	14	15	16	17	18				
Eloutis à contacts hydrauliques	Fixe	5 Etage supérieur 20 ^m Au-dessous, bois ronds de 20 ^e à 25 ^e 1 ^m 60	"	"		Voûte nue	t _c 2 ^{mm}					
Pression maxima : 355	"		13125 ¹	49 ¹ 5		"						
Voûte forme en béton, armée en grillage I croisées	Billots à base évidée Zuffer	100 ^{mm}				8 mai						
Eloutis compacts	Fixe	5 30 × 12 ^e 1 ^m 50	866 ^{mc}	1 ^{me} 72	3 rouleaux	Piles sur la grande voûte achevées jusqu'aux retombées des voûtes d'évidement	t _c 130 ^{mm}	Q = 4395 ^{mc} Q : S _p = 9 ^{me} 52 Q : W = 0 ^{me} 33				
Pression maxima : 755	"		"	"	Même mode de construction qu'au Pont de Salcano	"	t _c 9 ^{mm}	Fon- Élé- En- dations- vation- semble				
A se	Billots à base évidée Zuffer	250 ^{mm}	42000 ¹	83 ¹ 3	A ¹ F ¹ (- 40 ^m) ¹⁹	"		D 42000 ¹ 525000 ¹ 567000 ¹				
Voûte forme en béton I-12, armée bois ronds						Fte		D : S _p 86 ¹ 9 1085 ¹ 71172 ¹ 6 D : W 3 ¹ 0 37 ¹ 5 40 ¹ 5 D : Q " " 123 ¹ 4				
Voûte gauche : majoncrat verneur.	Fixe	7 Etage supérieur 20 à 28 ^e Etage interm. 20 ^e à 25 ^e Etage infér. 21 ^e à 32 ^e 1 ^m 30 220 ^{mm}	1209 ^{mc}	1 ^{me} 51	5 assises à pleine épaisseur, puis, 3 rouleaux Au 1 ^{er} roul. 8 tronçons.	Piles sur la grande voûte achevées jusqu'aux retombées des voûtes d'évidement 38 jours 8 août	t _c 40 ^{mm} aux reins : 60 ^{mm} t _v 6 ^{mm}	Q 14300 ^{mc} Q : S _p 11 ^{me} 8 Q : W 0 ^{me} 49 D 1137360 ¹ 975030 ¹ D : S _p 941 ¹ 5 1598 ¹ 4 D : W 39 ¹ 32 50 ¹ 22 D : Q 79 ¹ 5 103 ¹ 5	Ouvrage entier Grand pon et pilastres			
Voûte droite : Eloutis.	Pin		10000 ¹	12 ^k 5								
Pression moyenne : 4 ^e			287910 ¹	353 ¹ 9								
Voûtes-formes en béton armé de 20 ^e 20 ^e	Billots à base évidée Zuffer		dont, pour la pile en rivière 142590 ¹									
Épaisseur												
Rocher	Retroussé sur 43°	5	"	"	3 rouleaux	Tympan achevés	t _c 40 ^{mm}	Q = 1800 ^{mc} Q : S _p = 4 ^{me} 65 Q : W = 0 ^{me} 26				
	Arc à treillis en bois et métal, à 2 articulations	"	"	"	Jointes matés	108 jours	t _v 5 ^{mm} 5 à 7 ^{mm}	D = 148300 ¹ D : S _p = 383 ¹ 2 D : W = 22 ¹ 4 D : Q = 82 ¹ 4				
		Fermes de rive 1 ^m 20 Fermes intermédiaires 1 ^m 00	"	"								
			22000 ¹	84 ¹		2 mai						
A se	Boîtes à sable	"										

1. Calcul de la surface de douelle, voir Avertissement, tome III, p. III, n° 7 - 4 - 3. S_p = Longueur (col. 2) × Largeur entre parapets (col. 3) - C'est la surface offerte à la circulation.

4. W = Surface vue de l'élévation × Largeur entre parapets. 5. W' = Surface de l'élévation au-dessus des fondations × Largeur entre parapets

Pour S_p, W, W', voir Avertissement, tome III, p. III n° 7 - B

PONT A UNE SEULE GRANDE ARCHE SOUS CHEMIN DE FER

PONT	PROJET							
	ENSEMBLE			GRANDE VOÛTE				1°
	Longueur entre abouts des parapets	Largeurs entre parapets entre tympans sous la plinthe	INTRADOS Portée Montée Surlassement Rayon	ÉPAISSEURS CORPS Clef Retombées	TÊTES Clef Retom- bées	MATÉRIAUX Mortier Poids, pour 1m ³ de sable, de chaux ou de ciment	PRESSIONS en kg 0m ³ 1 ² Hypothèse adoptée Surcharges supposées	ÉVIDEMENTS DES TYMPANS 2° DÉCORATION DES TÊTES
Date	Déclivités	Hauteur maxima du rail au-dessus du sol ou de l'étiage	Fruit des tympans Revanche du rail sur l'extrados					
Symbole	1	2	3	4	5	6	7	8
de Langenbrand <i>Allemagne</i> 1907-1909 \widehat{A}^1 Pr (40m) 21	156m 22mm	1m 70 1m 20 Fruit 1 30	Arc de cercle 59m 00 14m 75 $\frac{1}{4} = 0,25$	1m 80 2m 60	1m 80 2m 60	PT ¹ Granit Ciment 160k (1 ^r , 3 ^e) Joints de 2m	Pression maxima : avec surch. sans surch. Clef 30k5 21k5 Joint de rupt. 41k1 27k3 Re- tomb. 39k4 26k3	1° 8 voutes transversale vues, en plein entre de 3m90, sur piles de 1m00 à 1m35 2° »
de Lusserat <i>France</i> 1908-1910 \widehat{A}^1 Pr (40m) 22	84m 28 10mm	8m 08 8m 10 Pas de fruit	Arc de cercle 45m 70 9m 87 $\frac{1}{4,63} = 0,216$	1m 45 2m 80	1m 45 2m 80	Bandeaux : PT ¹ Douelle : MAX ¹ Queutage : MOV ¹ Ciment Portland de Boulogne = 150k Joints dans une même assise 3m entre 2 assises 1 a 3m	Pressions : MAX. moy. Clef 28k 18k A 11° de la clef 25k 15k Re- tomb. 12k 10k Arc élastique Méthode analytique de M. Résal 1150k m ²	1° Pas d'évidement 2° Archeraie
de Boilefos <i>Norvège</i> 1908-19... \widehat{A}^1 Pr (40m) 23	71m 11mm	4m 85 (voie en courbe de 250m) 1m 25 Fruit : 1 20	Arc d'anse de panier à 3 centres 40m 00 10m 00 $\frac{1}{4} = 0,25$ Rayons : Cerveau 28m50 Reins 21m678	1m 40 2m 30	1m 40 2m 30	PT ¹ grossière Gneiss 1100k à 2100k Sur les reins, MOI ¹ à ciment Ciment	Pression maxima : Clef : 20k Joint de rupture : 30k8 Retombées : 27k Surcharge : 15t par m ²	1° Pas d'évidement 2° »
de Lichtensteig <i>Suisse</i> 1907-1909 \widehat{A}^1 Pr (40m) 24	98m 50 0	7m 40 (1 voie 5m40 1 passage pour piétons 2m00) 5m 20 Pas de fruit	Arc de cercle 42m 82 11m 511 $\frac{1}{3,500} = 0,286$	1m 40 2m 70	1m 40 2m 70	MEV ¹ Grès calcaire, assise Ciment Portland 0m,333	Pression maxima sans surcharge : Clef : 19k8 avec surcharge : Clef : 27k5 Joint de rupture : 28k9 Retombées : 23k2 Arc élastique Méthode graphique Ritter 1800k m ²	1° 8 voutes transversale vues, en plein entre de 3m50, sur piles de 1m à 1m25 2° Clef et Contre clef en libages

VOIE NORMALE

SÉRIE \hat{A}^1 Fr ($\geq 40m$)

TABLEAU SYNOPTIQUE (Suite)

EXÉCUTION								CUBE DE MAÇONNERIE A MORTIER			
FONDATIONS	GRANDE VOÛTE							Q			
	CINTRE				MODE DE CONSTRUCTION	DÉCINTREMENT État d'avancement du Pont Temps entre le dernier clavage et le décintrement Date	TASSEMENTS DE LA CLIF sur cintre t_c au décintrement t_v après t_v''	DÉPENSE			
	Type Matière Appareils de décintrement	Nombre Épaisseur Écartement d'axe en axe Surhaussement	Cube de bois Poids de fer Dépenses					D			
			Totaux	par mq de douelle ²				Totaux et par unité			
								de surface utile S_p^3 de volume « utile » W^4			
Profondeur us l'étiage	11	12	13	14	15	16	17	18			
Pressions sur le sol $62\ 0m^2$											
Procédé											
Gravité	Fixe	4	270 ^m	0 ^m 74	2 rouleaux	Voûte nue			Q = 4120 ^{mc}		
		Étage supérieur			6 attaques		$t_c = 52^{mm}$		Q : $S_p = 5^{mc} 84$		
Pression aximale	"	Étage inférieur	5000 ^k	13 ^k 9	Voussoirs du 1 ^{er} rouleau	56 jours			Q : W = 0 ^{mc} 24		
avec charge 5 ^k 6		10			posés à sec,				Fon-	Élé-	En-
us		1 ^m 50			puis, après		$t_c' + t_v'' = 7^{mm}$	D	dations	vation	semble
charge : 5 ^k	Vérins		17893 ^f	48 ^f 8	fermeture	8 février		D : S_p	16536 ^f	291964 ^f	308500 ^f
	à vis	150 ^{mm}			de la voûte,			D : W	23 ^f 2	44 ^f 4	437 ^f 6
					remplis			D : Q	1 ^f 3	22 ^f 8	24 ^f 1
					de mortier à 1/3				"	"	74 ^f 9
Calcaire tendre (Luffan)	Retroussé sur 10 ^m	6	au dessus des boîtes à sable	au dessous des boîtes à sable	3 rouleaux	Voûte nue			Fon-	Élé-	En-
redroite - 12 ^m 80	(passe marinière)	25 ^m	184 ^m	208 ^m	Au 1 ^{er} roul. :		$t_c < 10^{mm}$	Q	dations	vation	semble
comprimé		1 ^m 49	8 ^r	4 ^r 9	13 tronçons.	18 jours		Q : S_p	2014 ^m	3535 ^m	5549 ^m
			19791 ^f	35619 ^f	14 clavages.		$t_c' = 3^{mm} 6$	Q : W	2 ^m 93	5 ^m 14	8 ^m 07
					Au 2 ^e :			D	0 ^m 22	0 ^m 38	0 ^m 60
gauche			Ensemble		(sur les reins seulement)			D : S_p	170550 ^f	206669 ^f	377219 ^f
u sements		10 ^{mm}	483 ^m	1 ^m 22	2 tronçons.	26 octobre		D : W	248 ^f 3	300 ^f 9	549 ^f 2
pressions	Boîtes à sable		12 ^r 9	32 ^k 4	Au 3 ^e :			D : Q	18 ^f 3	22 ^f 2	40 ^f 5
surcharge			55440 ^f	139 ^f 5	4 tronçons.				84 ^f 7	58 ^f 5	68 ^f 0
aximale - 10 ^k											
venne : 6 ^k 4											
	Retroussé sur 32 ^m	6			3 rouleaux			D = 132 000 ^f environ			
	Grands arbalétriers	"						D : $S_p = 383f 3$			
	Bois rond	1 ^m 00						D : W = 22 ^f 7			
	Boîtes à sable										
Mortier et	Fixe	6			2 rouleaux,	Piles des voûtes d'évidement construites.	$t_c = 40^{mm}$	Q = 3760 ^{mc}			
voûte (flut)	Poteaux	25 ^m			chacun en			Q : $S_p = 5^{mc} 15$			
de l'ouvrage	et	1 ^m 00			8 tronçons.			Q : W = 0 ^{mc} 49			
de l'ouvrage	contrefiches				Joints secs au-dessus des points fixes du cintre.	"	$t_v' = 0$	D = 128 200 ^f			
	"				1 ^{er} rouleau clavé avant la construction du 2 ^e .	Juin		D : $S_p = 175f 9$			
Pression aximale - 9 ^k	Billots à base évidée	80 ^{mm}						D : W = 16 ^f 8			
								D : Q = 34 ^f 1			

Sur le calcul de la surface de douelle, voir Avertissement, Tome III, p. III, n° 7 — A. 3. S_p = Longueur (col. 2) \times Largeur entre parapets (col. 3) — C'est la surface offerte à la circulation.

4. W = Surface vue de l'élévation \times Largeur entre parapets. 5. W' = Surface de l'élévation au-dessus des fondations \times Largeur entre parapets.

Pour S_p , W, W', voir Avertissement, Tome III, p. III, n° 7 — B.

PONT A UNE SEULE GRANDE ARCHE SOUS CHEMIN DE FER

PONT	PROJET							
	ENSEMBLE		GRANDE VOÛTE					1°
	Longueur <i>entre abouts des parapets</i>	Largeurs <i>entre parapets entre tympans sous la plinthe</i>	INTRADOS Portée Montée Surbaissement Rayon	ÉPAISSEURS		MATÉRIAUX Mortier Poids, pour 1 ^m de sable, de chaux ou de ciment	PRESSIONS en kg / 0 ^m 01 ² Hypothèse adoptée Surcharges supposées	
Date	Déclivité	Fruit des tympans		CORPS Clef Retombées	TÊTES Clef Retom- bées			DES TYMPANS
Symbole	Hauteur maxima du rail au-dessus du sol ou de l'étiage	Revanche du rail sur l'extrados						2° DÉCORATION DES TÊTES
1	2	3	4	5	6	7	8	9
de Krummenau	94 ^m 31	4 ^m 60 4 ^m 28	Arc d'anse de panier à 3 centres 63 ^m 26 13 ^m 85 $\frac{1}{1.567} = 0.218$	1 ^m 80 2 ^m 72	1 ^m 80 2 ^m 72	L ¹ Grès calcaire (Mollasse) 1200 ^k	Pressions : MAX. moy. sans surcharge : Clef 24 ^k 8 21 ^k 2 Re- tomb. 20 ^k 3 17 ^k 9 avec surcharge : et variation de température de ± 15 : sans tenir compte de la résistance à la tension. Clef 36 ^k 2 23 ^k 6 Re- tomb. 46 ^k 2 23 ^k 1	1° 10 voûtes transversales en plein cintre de 3 ^m 50 sur piles 1 ^m à 1 ^m 20
Suisse	21 ^m	Fruits : des tympans 1/50 des bandeaux 1/40	Rayons : Cerveau 44 ^m 46 Reins 38 ^m 14			Ciment Portland 0 ^m 333	Arc élastique 1700 ^k m ²	2°
1910-1911						Joints de 1 ^m à 6 ^m		
A ¹ Fr (40 ^m 25)	18 ^m 20	1 ^m 20						

1 Pour le sens de ces abréviations, voir Avertissement, Tome III, page II, n° 6.

EXECUTION										CUBE DE MAÇONNERIE A MORTIER	
GRANDE VOÛTE										Q	
FONDATIONS	CINTRE					MODE DE CONSTRUCTION	DÉCINTREMENT État d'avancement du Pont Temps entre le dernier clavage et le décintrement Date	TASSEMENTS DE LA CLEF sur cintre t_c au décin- tremement t_v après t_v''	DÉPENSE		
	FERMES		Cube de bois		Totaux				par mq de douelle ²	D	
	Type	Nombre	Poids de fer	Dépenses						Totaux	
	Matière	Épaisseur	Ecartement d'axe en axe							de surface utile S_p^2 de volume « utile » W^2	
Pressions sur le sol ¹ kg (mm) ²	Appareils de décintrement	Surhaussement							et		
Procédé									par unite		
10	11	12	13	14	15	16	17	18			
Neige et pluie engendrant un vent	Fixe	6	Cintre 217 ^{mc} Palées 49 ^{mc} 3 Divers 18 ^{mc} 7		4 rouleaux les 2 premiers en 8 tronçons.	Piles des voûtes d'évidement construites	moyenne des 2 têtes t_c 25 ^{mm} 2		Q = 2094 ^{mc}		
Pression maxima : 12 ^t	Poteaux et contrefiches	22 ^{cm} (0m96)	Bois 285 ^{mc} 0	0 ^{mc} 77	Joints secs, maintenus par des coins en bois, au-dessus des points fixes du cintre.	29 jours	t_v' 33 ^{mm} 2 t_v'' 23 ^{mm} (pont achevé)		Q : S _p = 4 ^{mc} 82 Q : W = 0 ^{mc} 36		
Voie gauche :		130 ^{mm}	Fers 8000 ^{kg} (sabots des pieux 900 ^{kg})	21 ^{kg} 6	Les 2 1 ^{ers} roul. clavés ensemble	8 septembre			Fondations : 25000 ^f Élévation : 104000 ^f		
Relevés dans l'atmosphère, sur béton ou argile.	Billots à base évidée Zuffer		Dép. 25500 ^f	68 ^f 9					D = 129000 ^f		
									D : S _p = 297 ^f 4 D : W = 22 ^f 2 D : Q = 61 ^f 6		

Sur le calcul de la surface de douelle, voir Avertissement, Tome III, p. III, n° 3. S_p = Longueur (col. 2) × Largeur entre parapets (col. 3) — C'est la surface offerte à la circulation.

4. W = Surface vue de l'élévation × Largeur entre parapets.

5. W' = Surface de l'élévation au-dessus des fondations × Largeur entre parapets.

Pour S_p, W, W', voir Avertissement, Tome III, p. III, n° 7 — B.



VOÛTES INARTICULÉES EN ARC ASSEZ SURBAISSÉ
PONTS A UNE SEULE GRANDE ARCHE
SOUS CHEMIN DE FER A VOIE NORMALE

SÉRIE \widehat{A}^1 Fr ($\approx 40m$)

MONOGRAPHIES

PONTS SUR LA SCRIVIA, PRÈS DE MARETTA ET DE PRAROLO

(ITALIE, - Province de Gênes)

Ligne de Novi à Gênes¹

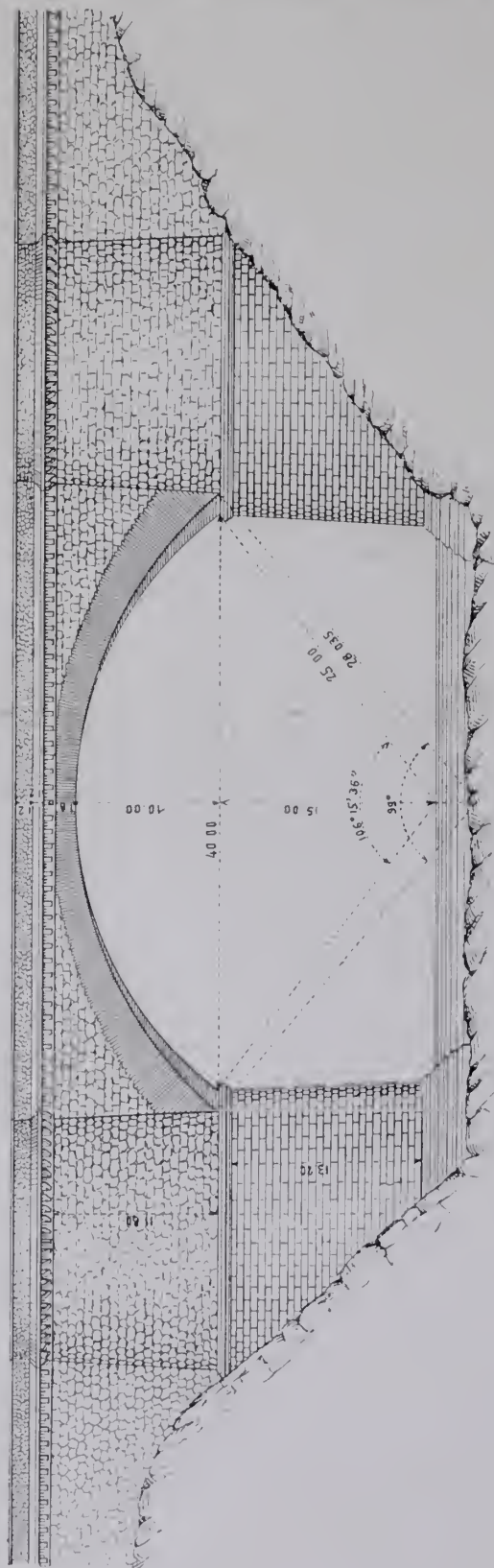
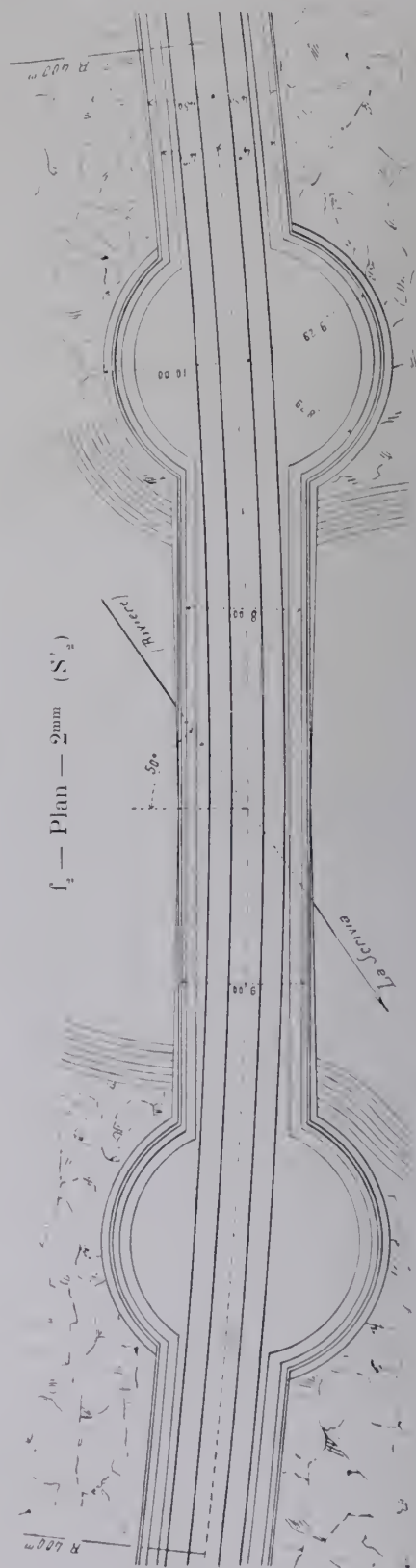
1851-1852

\widehat{A}^1 Fr ($\approx 40m$) 1 et 2

Φ_1 — Pont de Marettà (S₃)



1. — Entre les stations d'Arquata et d'Isola del Cantone, le pont de Marettà à 37620 de celle-ci, le pont de Prarolo à 2030.

f₁ — Élévation — 2^{mm} (S₁)f₂ — Plan — 2^{mm} (S₁)

1. Pourquoi on a fait une grande arche. — Parce que les eaux de crues montent à 12^m , et vont vite.

 Φ_3 — Pont de Prarolo (S_3)

2. Disposition en vue :

A. - du biais de 50° . — Pour éviter un appareil biais, on a construit les culées en forme de tronc de cône à fruit de 1/20, et engendré l'intrados par un arc de cercle de flèche constante (10^m) et de corde variable, se déplaçant parallèlement au plan vertical de l'axe du pont, et s'appuyant sur les circonférences, intersections des tours-culées avec le plan horizontal des naissances.

La donelle est ventrue au milieu : cela ne choque pas.

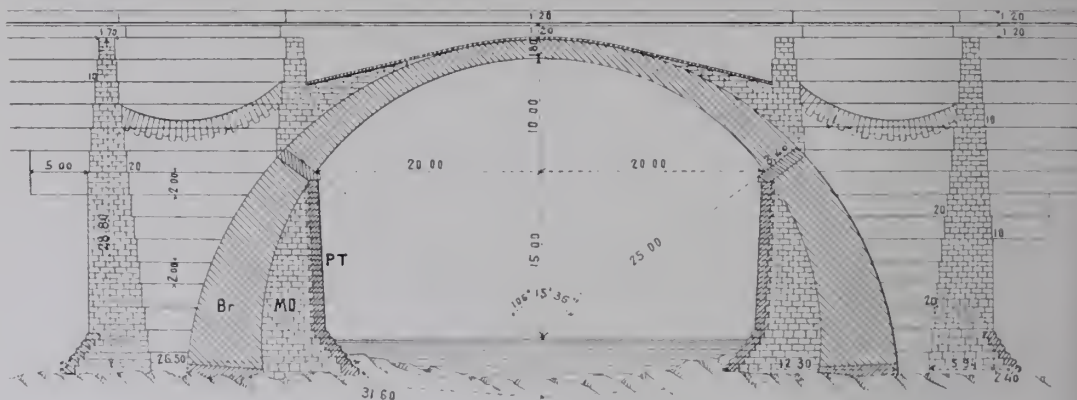
L'intrados sur l'axe est un arc de 40^m au 1/4 ; il se prolonge derrière ses pieds-droits, et est réellement un plein cintre complet de 50^m (f_3).

B. - de la courbe de 400^m . — Les têtes sont parallèles à la corde de 40^m du tracé.

C. - de la pente de 8^m . — Le parapet est horizontal : la pente est répartie sur les trottoirs et le ballast.

3. Matériaux. — Les voûtes et leur prolongement dans la culée sont en briques s'écrasant en moyenne à 54^k74, soit un peu plus de 4 fois la pression maxima, évaluée à 12^k51.

f_4 — Coupe en long — 1^mm5 (S₂)



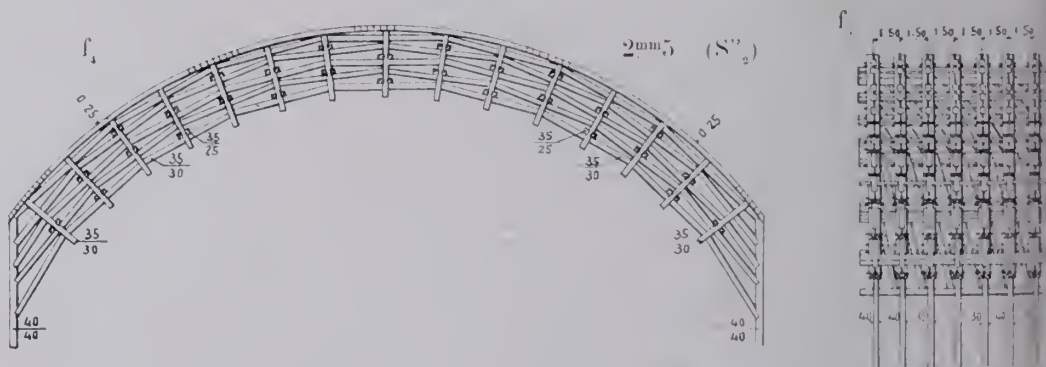
Les briques des voûtes, de 26^{cm} × 13^{cm}, n'étaient pas en forme de voussoirs : on en employait de diverses épaisseurs (6^{cm}5, — 6^{cm}7, — 7^{cm}), et on augmentait celle des lits de mortier jusqu'à 6^{mm}.

La brique paraît bien conservée.

L'extrados est en courbe continue à Maretta ; avec crossettes, à Prarolo.

Au-dessus du cordon, les tours sont revêtues de gros moellons gris à Prarolo, de briques à Maretta.

4. Cintre. — « Le cintre avait été projeté... pour une route en pierre de « taille.



« Il est constitué de 7 fermes composées chacune de cinq rangs d'arbalétriers « disposés suivant le système adopté par M. Peronnet au pont de Neuilly. » (S₁)

5. Fondations. — La culée rive droite du pont de Prarolo a été fondée sur le roc vif ; mais, à la culée rive gauche, on a trouvé un banc d'argile bleue, compressible. Quand on y battait un pieu, on faisait remonter le pieu voisin². On posa sur l'argile un fort grillage en chêne, et on donna un grand empatement³ au massif de fondation.

6. Dates. — Tassements.

	Maretta	Prarolo
Construction de la voûte.....	10 septembre / 1851 14 octobre \	1852
Décintrement.....	14 février 1852	immédiatement après l'achèvement de la voûte
Tassement } du cintre chargé des briques de la voûte..... de la voûte au décintrement En tout.....	180 ^{mm}	80 ^{mm} , sans aucune déformation
	15 ^{mm}	
	195 ^{mm}	
Surhaussement donné au cintre.....	250 ^{mm}	250 ^{mm}

7. Personnel. — Ingénieur en chef : M. Ranco.

2. — « La compression sur un point réagissait à des distances incroyables. Les remblais d'accès de la culée gauche du pont, lorsqu'ils sont arrivés à 18m de hauteur, ont causé la chute d'un moulin placé à la distance de 200m de ces remblais. » (S₁).

3. — L'étymologie impose « empattement ». Mais l'Académie, au regret de Littré, écrit « empatement ».

SOURCES :

S₁. — (Texte). — Notice sur le projet et la construction des Ponts de 40^m d'ouverture sur la Scrivia, près de Maretta et de Prarolo (Chemin de fer de Gènes à Turin), Chambéry, le 29 novembre 1860, M. Ranco (Bibliothèque de l'École des Ponts et Chaussées, Manuscrits, n° 1790).

S₂. — (Dessins).

S'₂. — Collection des Dessins distribués aux Elèves de l'École des Ponts et Chaussées, 3^e série, section A, Pl. 4.

(La légende explicative, tome I, p. 74 à 79, est empruntée à S₁).

S''₂. — Dessin à 1/50 communiqué par M. Ranco (Bibliothèque de l'École des Ponts et Chaussées, Manuscrits, n° 1790).

S₃. — Ce que j'ai vu — octobre 1908.

PONTS SUR LA SCRIVIA, PRÈS D'ISOLA DEL CANTONE^{1, 2}

(ITALIE, - Province de Gènes)

Ligue de Novi à Gènes

1852

\widehat{A}^1 Fr \odot 40m 3 et 4

Φ_1 — Pont en amont d'Isola del Cantone (S_2)



Voici les seuls renseignements que j'ai trouvés sur ces 2 ponts :

« Dans l'intervalle de tems qui s'est écoulé entre le décintrement du pont de Maretti et celui de Prarolo, nous avions dû achever deux autres ponts à un seul arc de la même ouverture (10^m), dont la route était aussi en briques. Nous avions décintré ces deux arcs, l'un après un mois et l'autre après deux mois de leur clôture. On avait obtenu un abaissement, mesuré à la clef de la route, de 3^m 1 2 pour le premier et de 5^m pour le second. » (S_1).

1. — L'un, à l'518 en amont, c'est-à-dire vers Ronco, de la station d'Isola del Cantone, l'autre, à l'437 en aval, c'est-à-dire vers Arquata.

2. — Dans la statistique des Annales des Ponts et Chaussées, octobre 1886, p. 542^{supplément}, Ponts n° 41, 42, j'ai, d'après M. Clericetti, Professeur à l'Ecole des Ingénieurs de Milan, donné ces deux ponts sous les noms de Battaglia et Premna : il n'y a pas, dans le voisinage, de villages de ce nom.

Au pont d'aval, l'extrados est à crossettes comme à Prarolo⁴. Au pont d'amont, il est en courbe continue comme à Maretta⁵.

La brique paraît bien conservée.

Φ_2 — Pont en aval d'Isola del Cantone (S₂)



Aux deux ponts, les murs en retour sont plans, et non arrondis comme à Prarolo⁴ et Maretta⁵ : ils sont revêtus de grosses assises de brèche.

4. — $\widehat{A}^1 \text{ Fr } (\approx 40^m)^2$

5. — $\widehat{A}^1 \text{ Fr } (\geq 40^m)^1$

SOURCES :

S₁. — Notice sur le projet et la construction des Ponts de 40^m d'ouverture, sur la Scrivia, près de Maretta et de Prarolo (Chemin de fer de Gènes à Turin), Chambéry, 29 novembre 1860, M. Ranco (Bibliothèque de l'École des Ponts et Chaussées, Manuscrits n° 1790).

S₂. — Ce que j'ai vu — octobre 1908.

PONT SUR L'OGLIO, PRÈS DE CALCIO¹ (ITALIE, - Lombardie)

Chemin de fer de Milan à Venise, - Section de Treviglio à Rovato

1877-1878

\widehat{A}^1 1^{er} (40m)⁵

Φ_1 (S.)



1. Choix de l'ouverture. — Les Ingénieurs avaient jugé suffisante pour les crues l'ouverture de 36^m. On l'a portée à 42^m, pour satisfaire la ville de Cremona, propriétaire du canal navigable partant de l'Oglio à 300^m en aval.

2. Matériaux. — Par économie, on a fait en briques (40^m50 le m. c.) toute la grande voûte : bandeaux, douelle et corps.

Pour accider les bandeaux, on a fait ressauter des groupes de 8 assises, séparés par deux assises en retraite.

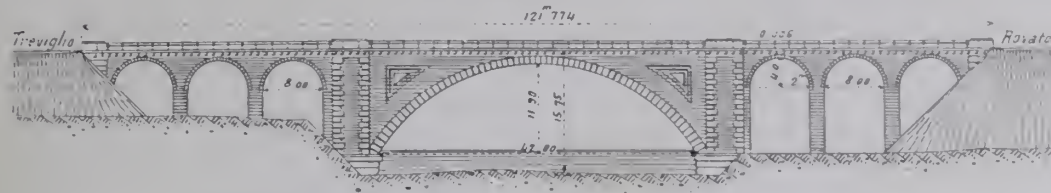
La différence de 0^m98 entre les épaisseurs de la voûte à la clef et aux reins est rachetée par 6 ressauts de 0^m14.

On a placé les matériaux les moins résistants, là où il y a le plus à porter.

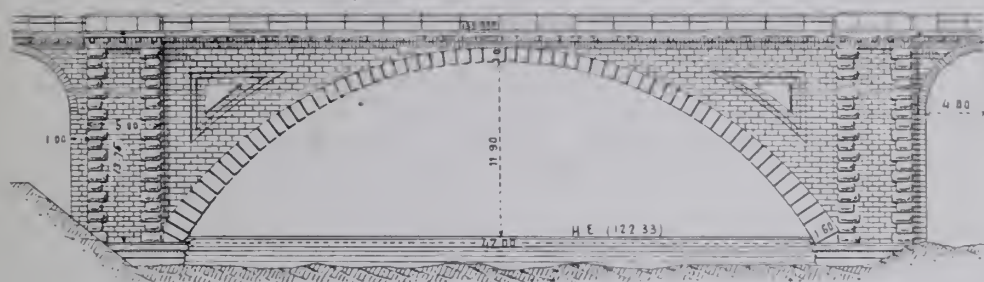
1. — Entre Calcio et Chiari, à 1600 environ de Calcio.

Dans la statistique (Annales des Ponts et Chaussées, octobre 1886, « Construction des Ponts du » Castelet, de Laraur et Antoinette », p. 542^{er}, n° 32), je l'ai appelé Pont de Rovato.

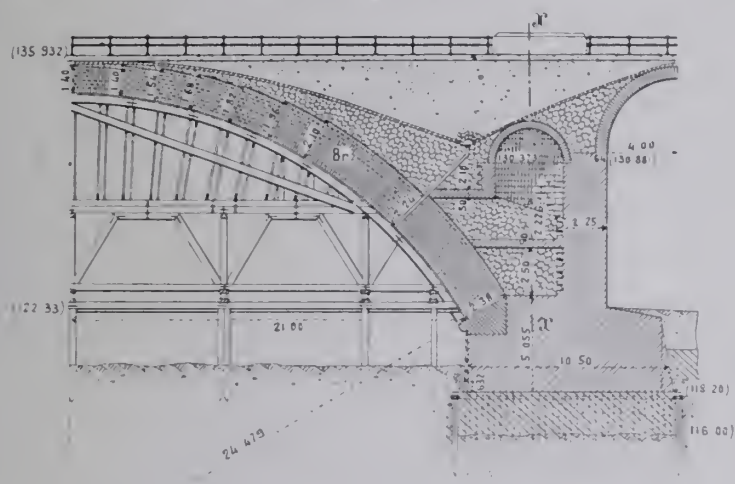
f₁ — Ensemble — 1mm



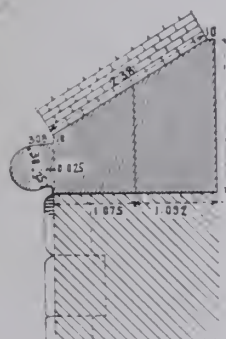
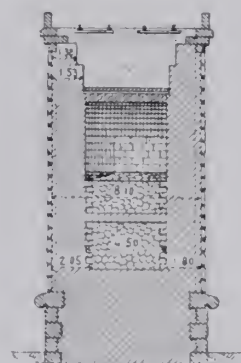
f₂ — Grande voûte — 2mm



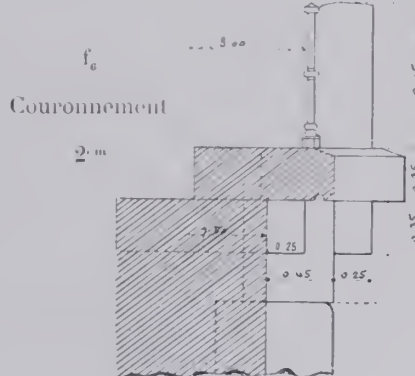
f₃ — Coupe en long et cintre — 2mm 5



f₄ — Coupe en travers sur l'axe de f₁ — 2mm 5



f₅
Imposte
1m



f₆
Couronnement
2m

Sur la grande voûte, qui est en briques, reposent les tympanes en calcaire assisé, faisant cadre autour d'un triangle de grosses pierres de taille.

Ce cadre eût pu demeurer vide, sans dommage pour l'aspect.

Aux pilastres, deux vigoureuses chaînes d'angle enserrant de petits moellons ; il eût fallu tout revêtir en gros appareil.

3. Construction de la grande voûte. — La voûte, en briques (785^m), a été construite en 25 jours par 24 maçons.

Quand la voûte fut montée à 21^m de ses naissances, on observa, à 14^m d'elles, une fente de 1 2^{mm} pénétrant à 0^m50.

4. Personnel².

Projet et Direction des Travaux : M. le Commandeur Cesare Bermani, Ingénieur de la Division des Chemins de fer de la Haute-Italie.

Entrepreneurs : MM. Bianchi-Bellati.

2. — Renseignements gracieusement communiqués, sur l'invitation de M. le Commandeur Cajo, par M. Edouard Garneri, Chef du Service de l'Entretien des Chemins de fer de l'Etat, à Bologne (Mars 1911).

SOURCES :

S₁. — La Ferrovia Treviglio-Rovato : « *Ponte Viadotto sul fiume Oglio* », p. 12 à 18, Pl. 4 et 5, note de M. Cesare Bermani, datée de Milan : 18 mars 1878.

S₂. — Ce que j'ai vu — juin 1908.

PONT SUR LA VÈZÈRE, AU GOUR-NOIR (CORRÈZE)

Ligne de Limoges à Brive, par Uzerche¹

1888-1889

\widehat{A}^1 Pr (40m) 6

Φ_1 — amont (S₄)



1. Pourquoi on a fait une grande voûte. — Le tracé coupe la rivière sous un angle de 56°. C'est pour éviter des piles biaises dans une rivière à crues fréquentes et brusques, qu'on a jeté cette grande voûte par-dessus un îlot de granit.

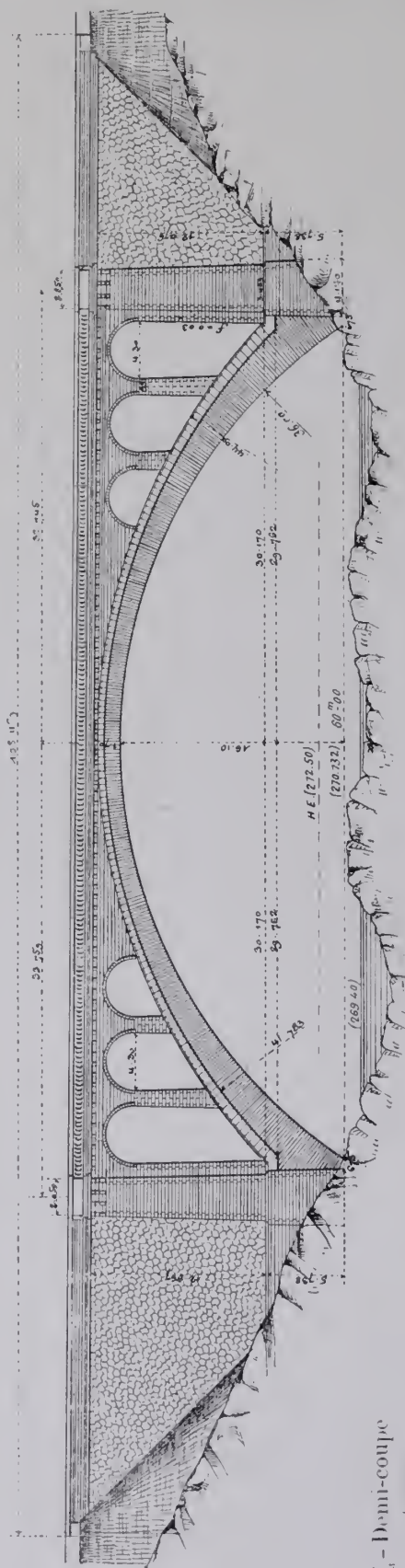
2. Bandeau et archivoltte (Φ_v, f_1). — Les queues des voussoirs du bandeau sont sur une courbe parallèle — à l'intrados, au-dessous du milieu de la voûte, — à l'extrados, au-dessus.

Le bandeau, en fruit de 5^m, est relevé par une archivoltte en fruit de 6^m, dont l'épaisseur est le 1/4 de celle du bandeau.

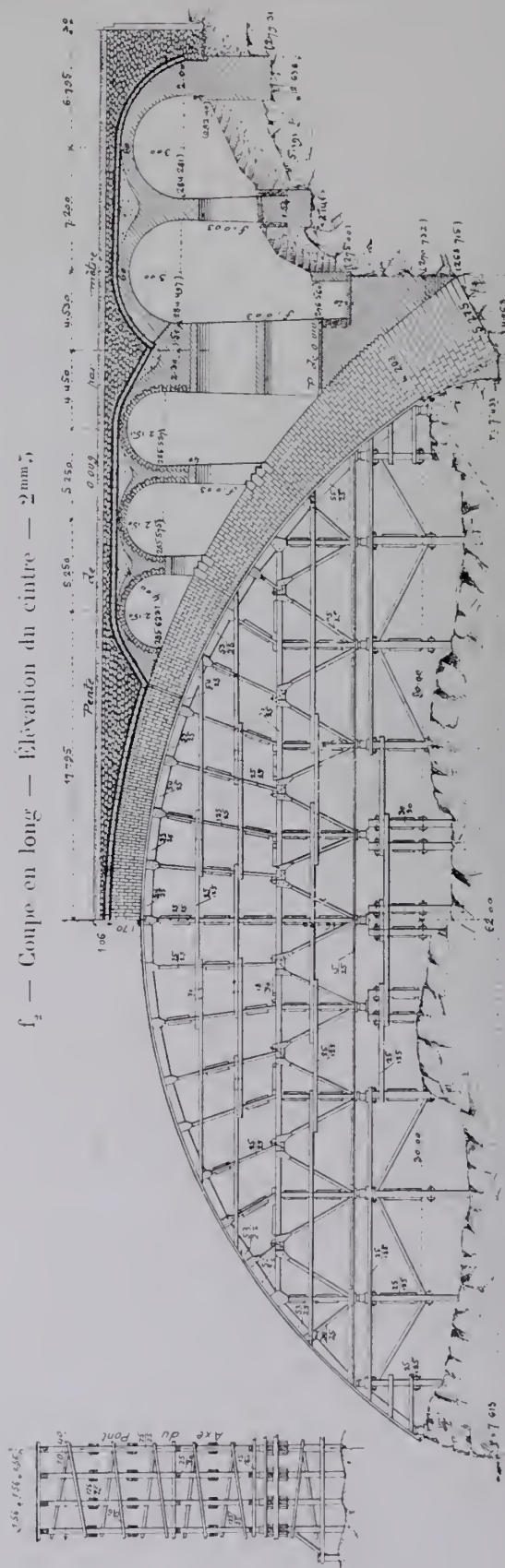
Sur un bandeau en moellons à bossages, une archivoltte lisse, et qui est restée claire, ne paraît pas à sa place. Son retour horizontal aux reins semble court.

3. Pilastres des culées (Φ_p, f_1). — Appliqués contre les murs pleins des culées, ils ne les arrêtent pas, ne les détachent pas du corps central.

1. — Entre les stations d'Uzerche et de Vigeois, à 3°40 d'Uzerche.

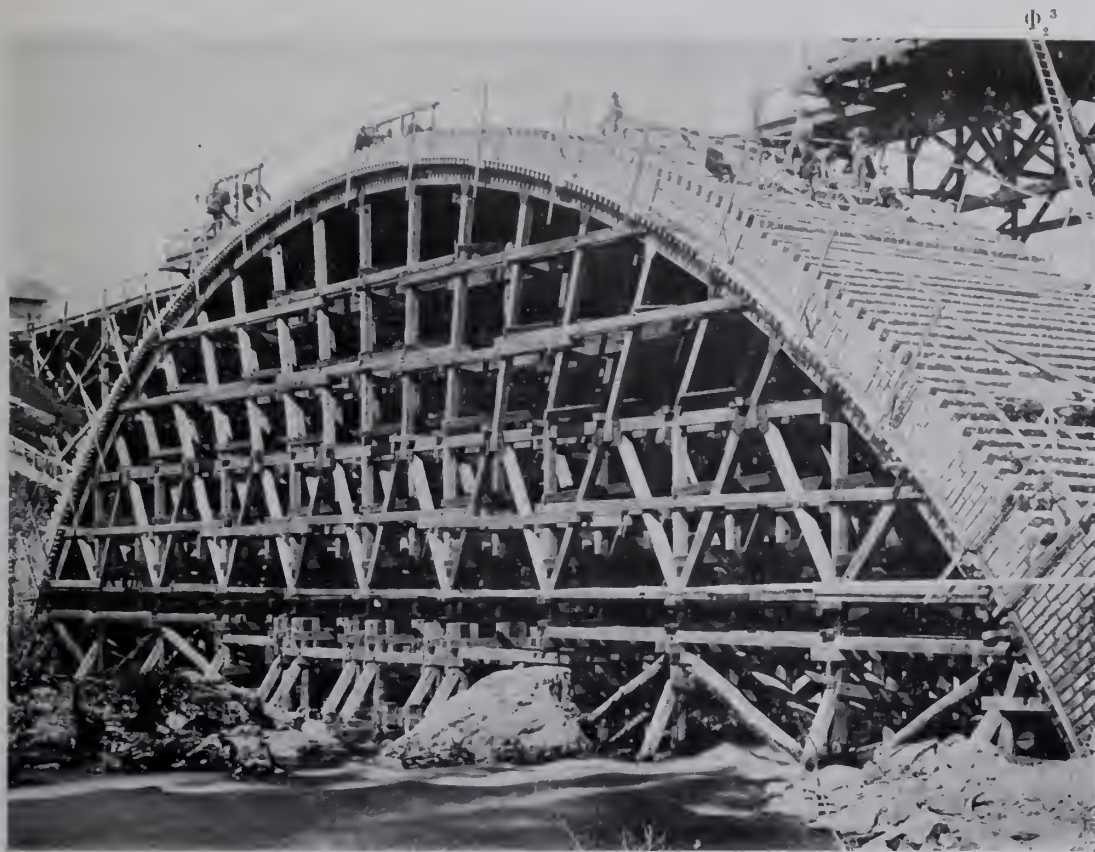
η — elevation — 2mm

f_3 — Coupe en long — Élévation du centre — 2 mm 5



4. Joints vus d'extrados. — Sur les parties vues de l'extrados, les joints ont été dégradés, puis bourrés de mortier pulvérulent de ciment.

5. Cintre. — A. Description. — Il est imité de celui du pont de Lavour².



Les pieux, coupés d'équerre, armés à leur base d'une tôle de 2^{mm}, étaient scellés au mortier pulvérulent de ciment, dans des trous forés⁴ dans le rocher, quelques-uns au trépan, la plupart à l'aiguille, à l'abri de batardeaux (10 mai-7 août 1888) (S₃).

Les vaux, d'une seule pièce, avaient 4^m de longueur au plus ; les couchis de 10^{cm} × 15^{cm}, d'une seule pièce, étaient espacés de 40^{cm} aux reins, de 21^{cm} à la clef.

Le platelage, de 25^{mm}, était en lames de 4^m au moins, assemblées à rainures et languettes.

Les assemblages étaient recouverts, sur leurs deux faces, de tôles de 7^{mm}.

Le cintre a été taillé du 25 juillet au 27 août 1888.

Pour tenir compte de la saillie des bossages de la douelle, on avait donné au cintre un rayon inférieur de 4^m à celui de la douelle. Les moellons de douelle, dont le bossage était inférieur à 4^m, étaient posés sur cales de chêne.

2. — \widehat{A}^1 Fr ($\geq 40m$)⁴ - 1882-1884 — Tome II.

3. — Photographie gracieusement communiquée par l'Ingénieur du Pont, M. Draux.

4. — Le mètre courant de forage a coûté : au trépan, 318'20 ; à l'aiguille, 40'90.

B. Quantités et dépenses.

	Au-dessous des boîtes à sable	Au-dessus des boîtes à sable	Ensemble
Cube de bois.....	169 ^m 359	345 ^m 911	515 ^m 270
Poids de fer.....	3795 ^k	16900 ^k	20695 ^k
Fourniture.....	11947 ^f 89	19121 ^f 85	31069 ^f 74
Main-d'œuvre.....	19000 ^f	7289 ^f 93	26289 ^f 93
Ensemble.....	30947 ^f 89	26411 ^f 78	57359 ^f 67
par metre cube de bois.....	182 ^f 74	76 ^f 36	259 ^f 10

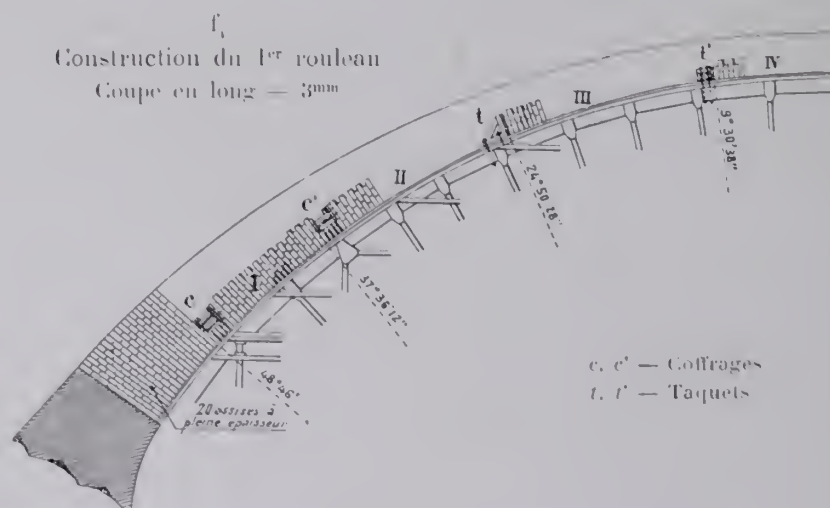
6. Exécution de la grande voûte. — *A. Division en rouleaux et tronçons* — Les 20 premières assises au-dessus de la retraite, jusqu'à la semelle supérieure des boîtes à sable à 48°46', ont été construites à pleine épaisseur, à mortier de ciment à 800^k.

Au-dessus, la voûte a été construite en 3 rouleaux (S_1), divisés chacun en 8 tronçons.

On chargea le cintre, du 27 février au 5 mars 1889, de 546^m de moellons et de pierres cassées : il tassa de 8^{mm} ; quand on enleva cette charge (7 mars–13 mars), le côté aval se releva de 3^{mm}.

B. 1^{er} Rouleau. — On a suivi le mode de construction du pont de Lavour⁵.

On construisit d'abord les tronçons I et I' sur coffrages c ; puis les autres simultanément : II et II' sur coffrages c' ; III et III', IV et IV' sur taquets t (t').



On ménageait, au-dessus de chaque point fixe du cintre, des joints secs, sur bandes de plomb de 30^{mm} de largeur et 18^{mm} d'épaisseur, à 2^m en arrière de l'intrados, et sur eales de chêne à l'extrados.

Les parties des bandeaux correspondant aux joints secs étaient construites immédiatement à mortier : on constata une fissure au droit de l'emplacement de chaque clavage. Ceci justifie bien la division en tronçons.

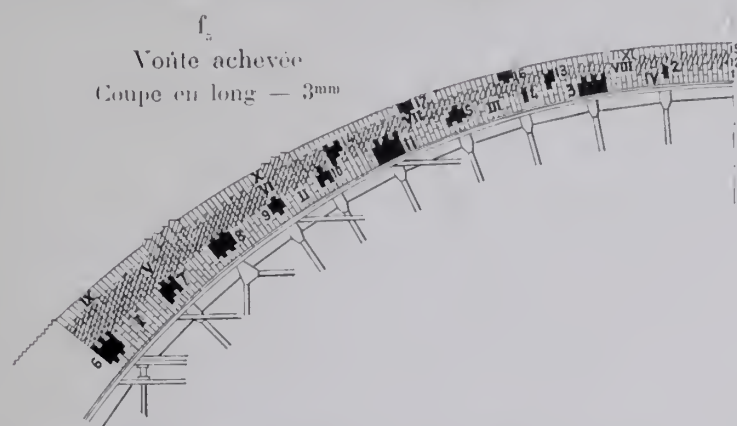
Lorsqu'on eut maçonné jusqu'aux 2-3 du premier vau (32^e assise), une fissure de 1 à 2^{mm} s'ouvrit dans les têtes, en face des premières assises posées à sec.

Peu après (35^e assise), le cerveau du cintre, sur 25° de chaque côté, se releva de 3^{mm} au sommet amont, de 5^{mm} au sommet aval : le point à 25° de la clef n'a pas bougé.

On le chargea de 100^{me} de moellons, qui l'abaissèrent de 1^{mm} à la tête amont, de 3^{mm} à la tête aval.

On clava, du 18 avril au 4 mai, à partir de la clef jusqu'à la 5^e contrefiche, puis à partir des naissances, au mortier de ciment à 650^k à l'état de sable humide⁶.

Il ne s'ouvrit pas de fissure pendant le clavage.



C. Renseignements sur l'exécution de la grande voûte.

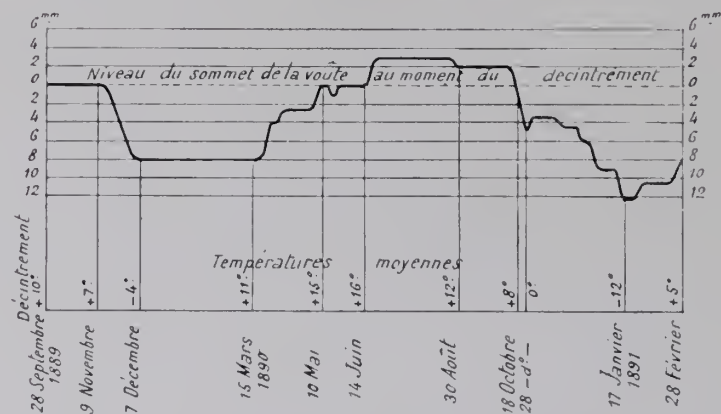
	Fondations (793 ^m)	Assises à pleine épaisseur (372 ^m)	1 ^{er} Rouleau (592 ^m)	2 ^e Rouleau (455 ^m)	3 ^e Rouleau (324 ^m)	Moyenne et ensemble pr la voûte
Dates						
du commencement	25 oct. 1888	20 déc. 1888	10 mars 1889	5 mai 1889	28 juin 1889	25 oct. 1888
de la fin.....	19 déc. 1888	22 fév. 1889	4 mai 1889	5 juin 1889	5 août 1889	5 août 1889
Nombre						
de tronçons.....	»	»	8	8	8	24
de clavages.....	»	»	21	5	5	31
Durée d'exécution en jour- nées (travail effectif).....	44 j	28 j	37 j	28 j	39 j	176 j
Cube de maçonnerie exécu- tée par jour de travail effectif.....	18 ^m 02	13 ^m 29	16 ^m 00	16 ^m 25	8 ^m 31	14 ^m 41
Cube de maçonnerie exécu- tée par journée de 10 ^h de maçon.....	1 ^m 48	1 ^m 08	1 ^m 04	1 ^m 03	0 ^m 82	1 ^m 06
1 ^{re} de maçonnerie de voûte à exigé :						
Heures de maçon.....	6 ^h 76	12 ^h 12	9 ^h 64	9 ^h 66	12 ^h 26	9 ^h 45
Heures de manœuvres.....	17 ^h 07	9 ^h 23	16 ^h 32	15 ^h 19	13 ^h 52	16 ^h 42
Poids de ciment.....	299 ^k	202 ^k	144 ^k	212 ^k	160 ^k	215 ^k
Nombre de maçons employés par jour.....	12	16	13	15	10	14
Prix de la main-d'œuvre d'un mètre-cube.....	8 ^f 54	12 ^f 21	10 ^f 31	9 ^f 87	11 ^f 92	10 ^f 16

6. — 9 à 12 litres d'eau pour 50^k de ciment.

7. Mouvements de la voûte dus aux variations de température. — Le premier rouleau avait été clavé par une température de 0° à 5°. Avant de claver les 2° et 3° rouleaux (juin et août), on arrosa continuellement, pendant 4 jours, les maçonneries, pour les abaisser à + 8°.

Voici les mouvements de la clef observés du 28 septembre 1889 (décintrement) au 28 février 1891.

f_u — Mouvements de la clef

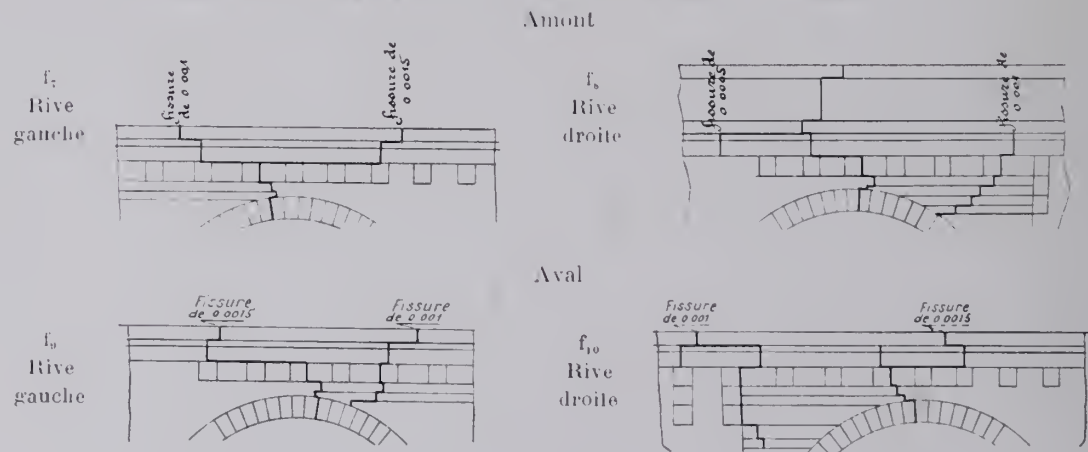


Pour un refroidissement de 20°, la clef baissa de 12^{mm} ; en juin 1891, elle remonta à sa position du décintrement et la dépassa de quelques millimètres en juillet et août (S_3).

La grande voûte ne s'est pas fissurée.

Les tympans et les parapets se sont ouverts, pendant l'hiver 1890-1891, à la clef des voûtes d'évidement voisines des pilastres (f_7 à f_{10}).

Fissures dans les dernières voûtes d'évidement et au-dessus — 8^{mm}



7. — Le développement moyen de l'arc est 83°06, savoir : joints, 14°76 ; granit, 68°90. En admettant pour les coefficients de dilatation : du mortier de ciment, 14×10^{-6} ; du granit, 8×10^{-6} , on trouve, pour un abaissement de 20°, un raccourcissement de : $20^\circ \times 10^{-6} [14 \times 76 + 68 \times 90 \times 8] = 0.015157$.

En supposant que la courbe déformée soit encore un arc de cercle, l'abaissement correspondant à la clef est 0°0115, au lieu des 0°012 mesurés. (Calcul donné par M. Draux) (S_4).

8. Personnel.

Ingénieurs. — en chef : M. Daigremont : — ordinaire : M. Draux.

Entrepreneur : M. Justin Prade (S₃).

SOURCES :

S₁. — Annales des Ponts et Chaussées, 1892, 1^{er} semestre, p. 545 à 596, Pl. 5 à 7 :
« Notice sur la construction du Viaduc du Gour-Noir », M. Draux, Ingénieur des Ponts et
Chaussées.

S₂. — Collection des Dessins distribués aux Elèves de l'Ecole des Ponts et Chaussées,
Série 4, section C, Pl. 51. — Légende explicative, tome III, p. 1054 à 1067.

S₃. — Chemin de fer de Limoges à Brive par Uzerche. — Rapport sur l'exécution des
travaux, p. 50 à 54, Pl. 12 et 13.

S₄. — Ce que j'ai vu — juin 1908.

Les dessins sont extraits de S₁ et de S₂.

PONT SUR LA VEZÈRE, A POUCH (CORRÈZE)

Ligne de Limoges à Brive, par Uzerche¹

1890

\widehat{A}^1 Fr (= 40m)

Φ_1 (S₂)



1. Pourquoi on a fait une grande voûte. — Le tracé est à 44° sur la Vézère : une grande voûte a évité des piles biaises en rivière.

2. Cintre. — Il est imité de celui du pont Antoinette².

Comme on ne pouvait creuser le rocher, même à l'aiguille, on nettoya sa surface, et on la régularisa avec du béton de ciment, sur 0^m20 à 0^m40.

On fixa dessus des lambourdes, sur lesquelles on appuya le pied des pieux.

3. Construction de la voûte. — Elle a été construite du 1^{er} mars au 10 juin 1890, en trois rouleaux.

1. — Entre les stations d'Estivaux et d'Allasac, à 2^h30 d'Estivaux.

2. — \widehat{A}^1 Fr (= 40m) — Tome II.

4^m65 de l'axe

4^m45 de l'axe

1:10

0.90

0.20

0.10

0.30

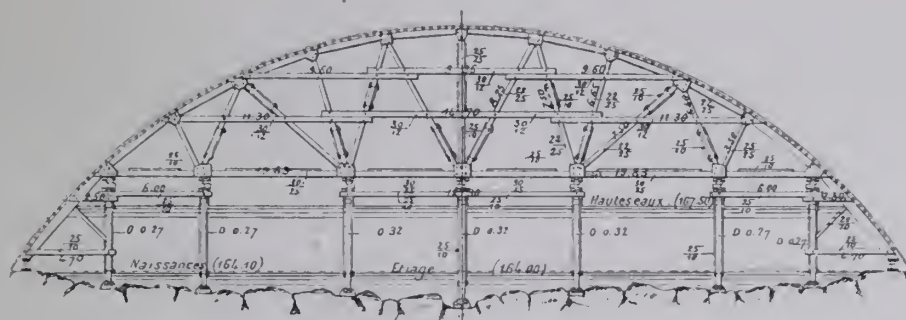
0.20

0.10

1:10

F=0.03

2.0 3.0 3.5 4.0 4.5 5.0



Entrepreneurs : MM. Paviot, Lafeuille et Chaumeil.

S_v. — Ce que j'ai vu — juin 1908.

PONT SUR LA VEZÈRE, A FREYSSINET (CORRÈZE)

Ligne de Limoges à Brive, par Uzerche¹

1890-1891

$\widehat{\mathbf{A}}^1 \text{ Fr } (\geq 40\text{m})^8$

$\Phi_1 (S_2)$



1. Pourquoi on a fait une grande voûte. — Le tracé coupe la Vézère sous un angle de 50° : une grande voûte a évité des piles biaises en rivière.

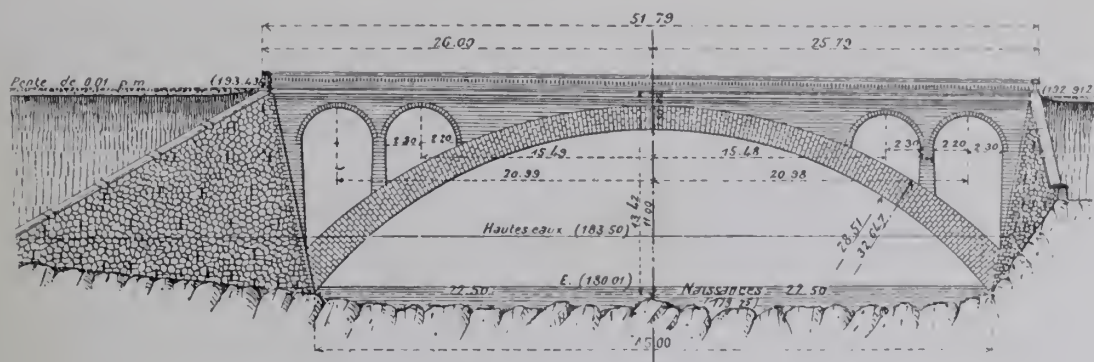
2. Appareil. — Couronnement. — Comme au pont de Pouch².

3. Cintre. — On y a réemployé celui du pont de Pouch.

Comme à Pouch, les pieux portent sur des lambourdes fixées sur un lit de béton régularisant la surface du rocher, mise à nu et nettoyée.

1. — Entre les stations d'Estivaux et d'Allasac, à 1260 d'Estivaux.

2. — $\widehat{\mathbf{A}}^1 \text{ Fr } (\geq 40\text{m})^7$ — Tome III.

$$f_1 = \text{Elevation} = 2^{\text{mm}}$$


4. Personnel. — Comme au pont de Pouch².

SOURCES :

S₁. — Chemin de fer de Limoges à Brive, par Uzerche, - Rapport sur l'exécution des travaux, p. 56 à 59, Pl. 15.

S.₅. — Ce que j'ai vu — juin 1908.

PONT SUR LE PRUTH, A JAREMCZE¹ (AUTRICHE, - Galicie)
Ligne de Stanislau (Galicie) — Woronienka — Szigeth (Hongrie)

1893-1894

\widehat{A}^1 Pr (40m)²

Φ_1 (S₁)



1. Pourquoi on a adopté une grande voûte (S₁). — La ligne traverse en biais la rivière.

On a accepté la portée de 65^m, après les essais sur les voûtes, faits en Autriche en 1890-1891².

2. Aspect (S₂). — Cette grande voûte porte sur de courts pieds-droits : sans eux, l'aspect serait meilleur, la voûte moins tendue.

Les dernières piles d'élégissement sont trop hautes.

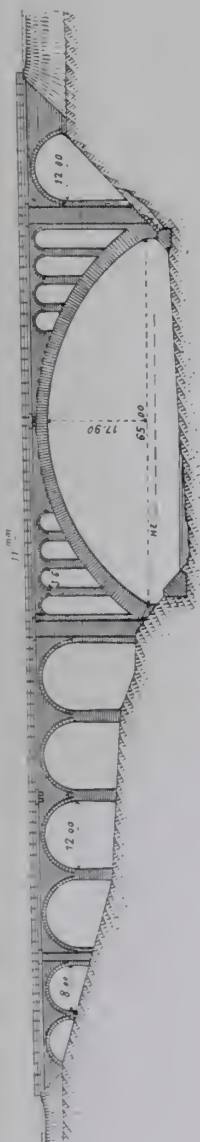
3. Chape (S₃). — Sur 5 à 9^m de béton, 2^m d'asphalte recouverte, après prise, de sable grossier³.

1. — A 650^m au-delà, vers Woronienka, de la station de Jaremcze.

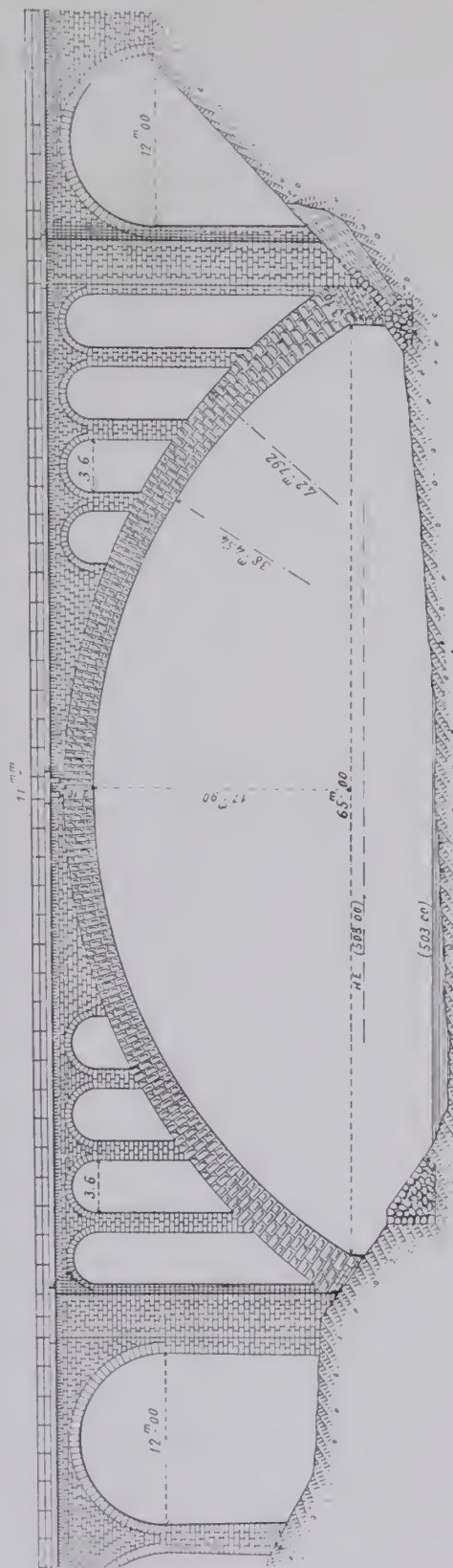
2. — Ils sont exposés plus loin : Tome III, Livre II.

3. — Prix du m. q. : 6^{fr} 88^{kr} = 14/45.

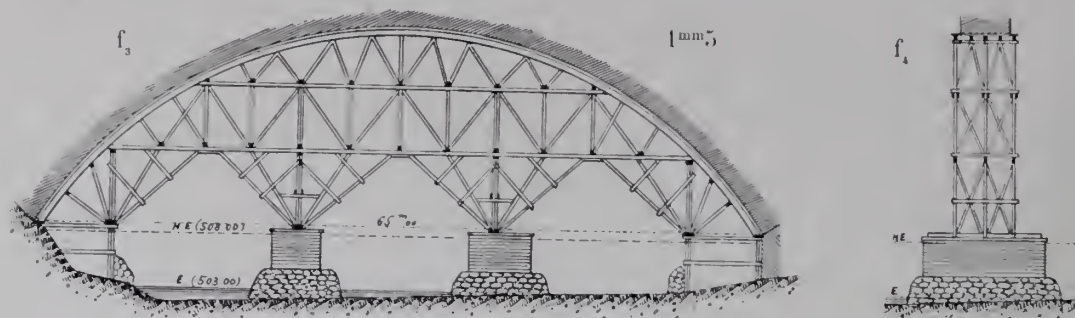
f₁ — Ensemble — 0mm75 (S₁)



f₂ — Grande voûte — 2mm



1. — Agrandi d'après S₁. — L'appareil est dessiné d'après mes photographies

4. Cintre (S_1).

5. Exécution de la grande voûte. — A l'exemple des ponts français⁵, la grande voûte a été construite en trois rouleaux (S_2).

Au 1^{er}, les voussoirs étaient posés à sec, d'abord en 6 attaques, plus tard en 8, avec joints de 18^{mm} au moins, sur liteaux en bois, matés ensuite en 5 jours à 2, au mortier humide.

En mars 1894, on posait 6 à 10 assises par jour (S_2).

6. Avantages du matage (S_2). — « L'expérience a montré qu'il était « très utile de poser à sec et de mater. Le mortier atteint une dureté inouïe; sa « liaison à la pierre est aussi intime qu'entre ses molécules elles-mêmes; il n'y a « pas d'espace vide, car on peut exercer une surveillance minutieuse en raison de la « courte durée de la construction. »

7. Main-d'œuvre et fournitures pour la grande voûte (S_2).

On y a employé :

		en tout	par m.c. de moellons (1060 m ^c)
Journées de	maçons	679 j	0 j 64
	manœuvres	1071 j	1 j 00
	chevaux	52 j	0 j 05
Ciment Portland		55 t 2	52 t 1
Mortier maté		121 m ^c	0 m ^c 114

8. Dates.

Achèvement du cintre (S_1)		décembre 1893
Commencement		mars 1894 (S_1)
Grande voûte	1 ^{er} rouleau	Fin de la pose
		Clavage (matage des joints)
	Clavage du 3 ^e rouleau	
Achèvement des voûtes d'élégissement et d'accès		fin juillet
Décintrement		2 ^e moitié d'août
Ouverture à la circulation		20 novembre 1894

5. — « Im Einklange mit französischen Bauausführungen... » (S_1).

9. Épreuves (S_2). — Aucune déformation sous un train de 3 locomotives, le 11 novembre 1894.

10. Grandes voûtes imitées de celle de Jaremcze. — Les dispositions principales de Jaremcze ont été reproduites à toutes les grandes voûtes sous chemin de fer :

d'Autriche (Ponts de Jamna, Worochta, Krenngraben, Steyrling, Salcano⁶, Palmgraben, Schalehgraben, Rothweinbach⁷).

du Grand Duché de Bade (Ponts sur la Gntach, sur le Schwändelholzobel, de Langenbrand⁸).

C'a été un pont type.

11. Personnel.

Ingénieurs :

Projet : M. Huss, Ingénieur en chef de la Direction des Chemins de fer, à Vienne (S_1).

Direction des Travaux : M. Kosinski, Inspecteur à Stanislau (Galicie) (S_2).

Entrepreneur : M. Johann Koller, à Stanislau (S_3).

6. — \widehat{A}^1 Fr ($\geq 40^m$) 10, 11, 17, 18, 19 — Tome III.

7. — \widehat{A}^1 Fr ($\geq 40^m$) 8, 9, 10 — Tome II.

8. — \widehat{A}^1 Fr ($\geq 40^m$) 12, 13, 21 — Tome III.

SOURCES :

Zeitschrift des österreichischen Ingenieur- und Architekten Vereins :

S_1 . — 20 octobre 1893, p. 545 à 547, Pl. XXIV : « *Mittheilungen über die grossen gewölbten Brücken der K. K. Staatsbahn Stanislau-Woronienka* », von Ober-Inspector Ludwig Huss, Vorstand des Bureaus für Unterbau und Brücken der K. K. General-Direktion der österreichischen Staatsbahnen, — octobre 1893.

(Cet article a été écrit avant la construction de la voûte).

S_2 . — 1894, p. 533 à 535 : « *Die Bauvollendung der grossen gewölbten Brücken der K. K. Staatsbahn Stanislau-Woronienka.* » Ludwig Huss.

S_3 . — Renseignements qu'a bien voulu me donner, sur place, M. G. Geyer, Directeur du réseau de Galicie, — septembre 1909.

S_4 . — Ce que j'ai vu — septembre 1909.

PONT SUR LE PRUTH, A JAMNA¹ (AUTRICHE, - Galicie)

Ligne de Stanislau (Galicie) — Woronienka — Szigeth (Hongrie)

1893-1894

$\widehat{A}^1 \text{ Fr } (\geq 40m)^{10}$

$\Phi_1 (S_1)$



1. Quelques observations (S_1). — Même appareil, mêmes maçonneries, même chape qu'à Jaremeze².

L'appareil du bandeau se continue dans le pilastre.

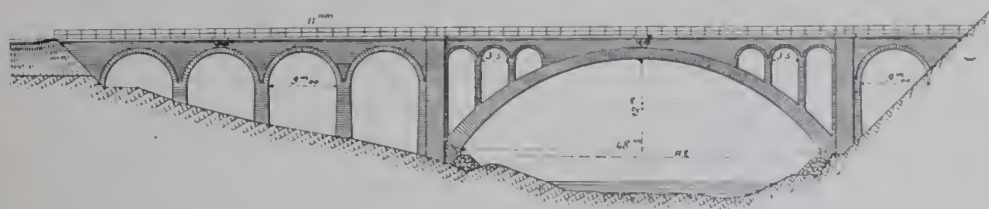
La plinthe paraît maigre.

2. Exécution de la grande voûte. — Même méthode qu'à Jaremeze², mais avec 2 rouleaux au lieu de 3.

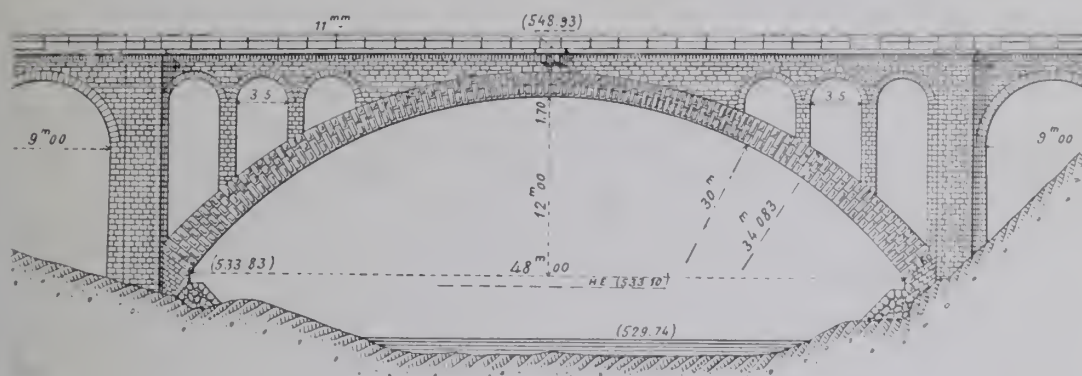
1. — A 1°096 en deçà, vers Stanislau, de la station de Jamna.

2. — $\widehat{A}^1 \text{ Fr } (\geq 40m)^{10}$ — Tome III, p. 114.

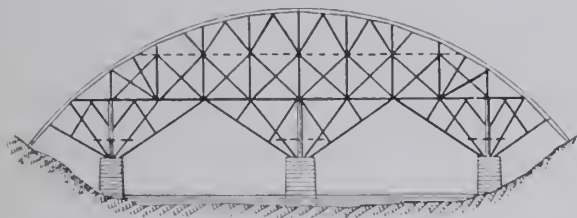
f_1 — Ensemble — 1mm



f_2^3 — Grande voûte — 2mm



f_3^1 — Cintre



3. Dates.

Commencement des travaux.....	1893
Achèvement du cintre.....	décembre (S_1)
	1894
Fin de la pose des moellons du premier rouleau.....	8 avril
Clavage du 2 ^e rouleau.....	10 mai
Achèvement des voûtes d'élégissement et d'accès.....	fin juillet
Décintrement.....	2 ^e moitié d'août
Épreuves (même résultat qu'au Pont de Jaremeze ²).....	11 novembre
Ouverture à la circulation.....	20 novembre

4. Personnel. — Comme au Pont de Jaremeze ².

3. — Agrandi d'après S_1 . — L'appareil est dessiné d'après Φ_1 .

4. — Calqué sur une photographie (S_2 , p. 534).

SOURCES :

Celles du Pont de Jaremeze \widehat{A}^1 Fr (40m) ⁹, p. 117.

PONT SUR LE PRUTH, PRÈS DE WOROCHITA^{1,2} (AUTRICHE, - Galicie)

Ligne de Stanislau (Galicie) — Woronienka — Szigeth (Hongrie)

1893-1894

\widehat{A}^1 Pr ($\geq 40m$)¹¹

Φ_1 (S₂)



1. Quelques observations (S₂). — Mêmes dispositions générales qu'à Jaremeze³ et à Janna⁴.

Les bandeaux ont un léger bossage ; la douelle, à taille plate, a mêmes épaisseurs d'assise.

La plinthe paraît maigre.

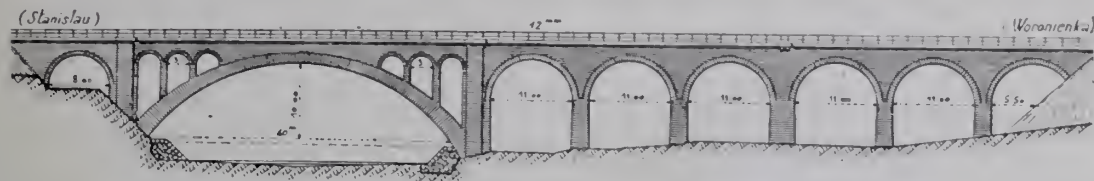
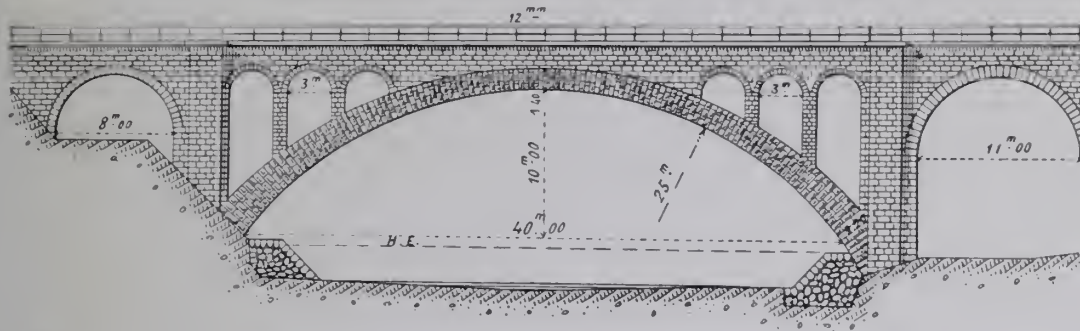
Beaucoup de moellons de douelle sont attaqués.

1. — A 523^m en deçà, vers Stanislau, de la station de Worochita.

2. — Il y en a un autre, — voûte en arc peu surbaissé, de 34^m60 d'ouverture, avec tympans élévis, entre deux viaducs d'accès (S₁).

3. — \widehat{A}^1 Pr ($\geq 40m$)⁹, — Tome III.

4. — \widehat{A}^1 Pr ($\geq 40m$)¹⁰, — Tome III.

f_1 — Ensemble — 1mm (S₁) f_2^3 — Grande voûte — 2mm

En août 1909, on refaisait la chape : le carton bitumineux employé en 1894 n'avait pas duré.

2. Personnel. — Comme au Pont de Jaremeze³.

5. — Agrandi d'après S₁. — L'appareil est dessiné d'après Φ_1 .

SOURCES :

S₁ du Pont de Jaremeze, $\widehat{A}^1 Fr (\geq 40m)^9$, p. 117.

S₂. — Ce que j'ai vu — septembre 1909.

PONT SUR LA GUTACH (ALLEMAGNE, - Grand Duché de Bade)

Ligne de Neustadt à Donaueschingen¹

1899-1900

\widehat{A}^1 Fr ($\geq 40m$) 12

Φ_1 — aval (S₂)



1. Pieds-droits de la grande voûte. — Comme au Pont de Jaremeze², dont celui-ci est une réplique, la grande voûte, au lieu de retomber directement sur le sol, porte sur de petits pieds-droits.

2. Joints de dilatation. — On a ménagé, au-dessus des voûtes d'élégissement voisines des pilastres, des joints verticaux secs j (f₁). Ils traversent la plinthe; ils sont prolongés, dans la voûte d'élégissement, par une feuille de plomb disposée suivant un joint normal à l'intrados.

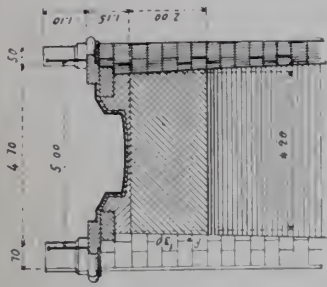
3. Chape. — L'extrados de la grande voûte a été peint à l'huile. La chape est en feuilles de « Tektolith ».³

1. — Cette ligne prolonge celle de Fribourg-en-Brigau à Neustadt, dite « Höllenthalbahn ».
Le pont est entre les stations de Kappel et de Böthenbach, près de celle de Kappel, à environ 39° de Fribourg.

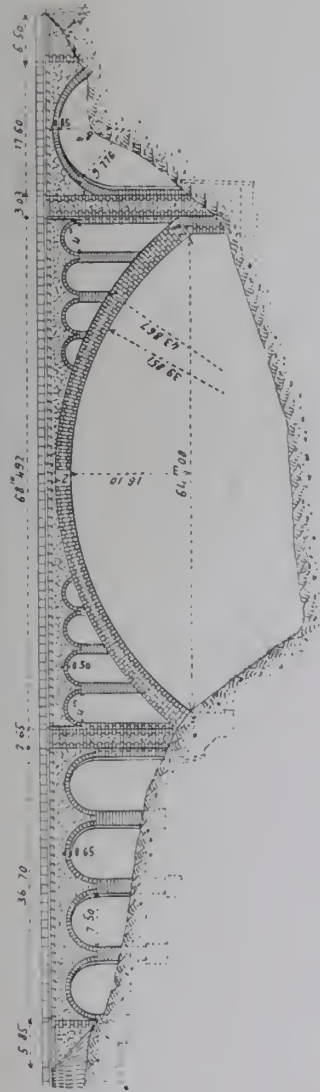
2. — \widehat{A}^1 Fr ($\geq 40m$) 9 — Tome III.

3. — Tissue asphalté.

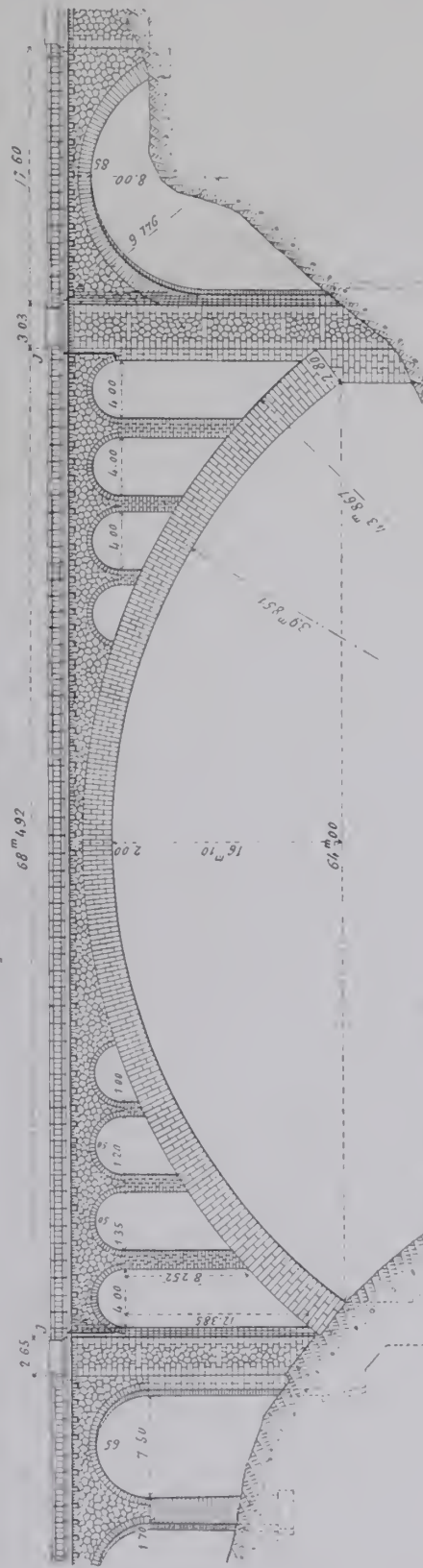
f₃ — Coupe en travers
à la clef — 5mm



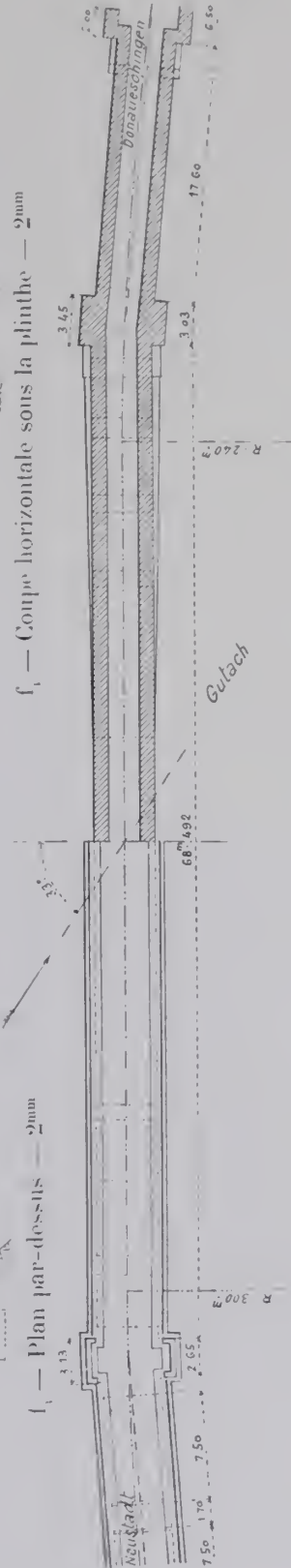
f₁ — Ensemble — 1mm



f₂ — Grande voûte — 2mm

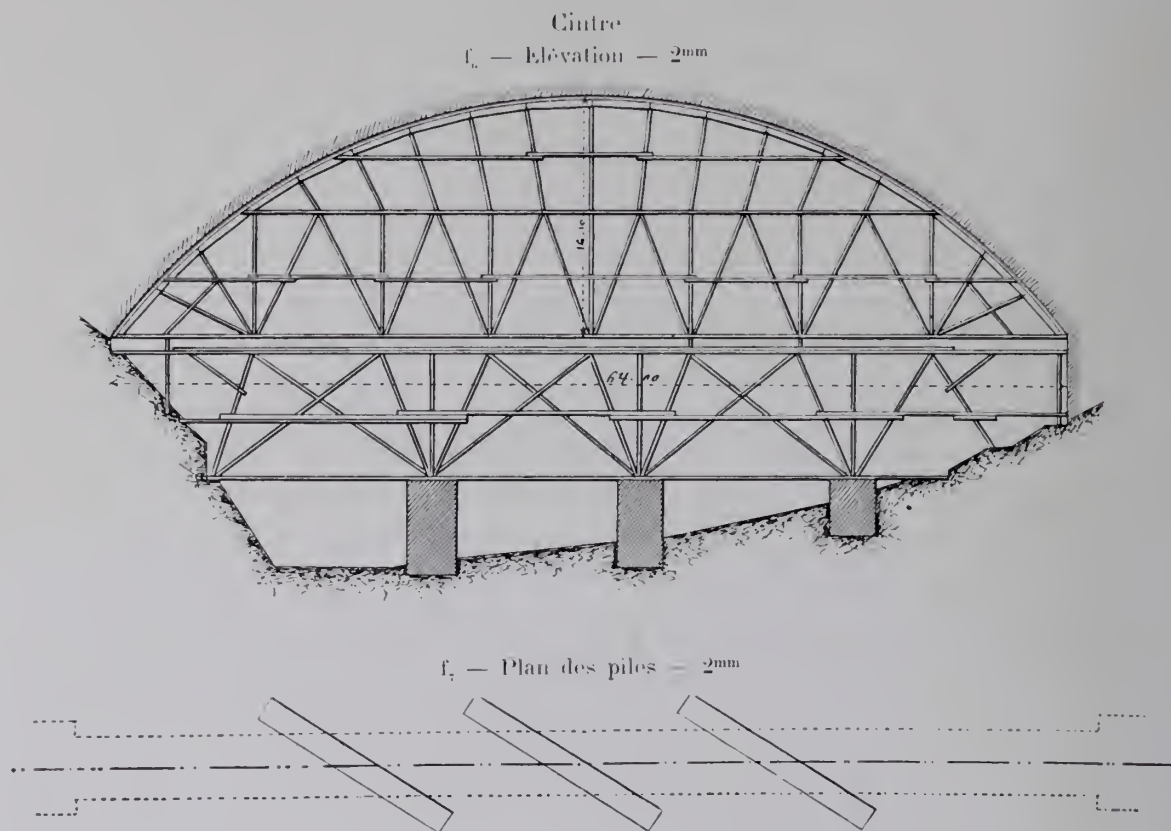


f₁ — Coupe horizontale sous la plinthe — 2mm



4. *Tlinthe*. — Elle est en encorbellement sur consoles ancrées dans les tympans.

5. *Cintre*. — Les deux étages supérieurs ont la même disposition qu'au pont de Lavour⁴.



6. *Exécution de la grande voûte*. — « Comme les constructions... *françaises... prises pour modèle* »⁵, elle a été faite en deux rouleaux.

Le premier a été construit du 24 septembre au 3 octobre 1899, en 6 attaques. On a posé à sec tous les voussoirs sur liteaux de 15^{mm} à 22^{mm}.

Ses moellons courts avaient la moitié de l'épaisseur totale de la voûte, soit 1^m à la clef et 1^m40 aux retombées ; ses longs dépassaient de 30^{cm}.

Les joints secs ont été matés au mortier de ciment, du 3 au 6 octobre 1899.

Le deuxième rouleau a été construit du 3 au 13 mai 1900 : on matait tous les joints sur la hauteur de ses moellons courts.

4. — \hat{A}^1 Fr ($\geq 40^m$)⁴ — Tome II.

5. — « Im Einklang mit den österreichischen oder vielmehr den französischen Bauausführungen die hierfür vorbildlich waren... » (S₂, p. 272).

7. Tassements moyens à la clef, comptés à partir du 24 septembre 1899, commencement de la construction du premier rouleau.

Dates		Tassements en mm	Température de l'air en degrés Celsius
1899			
Tassement du cintre	3 octobre (avant le clavage du 1 ^{er} rouleau) . .	53	»
	1900		
	1 ^{er} mai (avant la construction du 2 ^e rouleau).	79	»
	14 mai (après la construction du 2 ^e rouleau).	85	»
Tassement de la voûte	9 juin	89	+ 12°
	11 juin	110	+ 12°
	22 août	129	+ 19°
	30 novembre	141	+ 1°
	1901		
	14 février	168	— 12°
	10 juillet	150	+ 22°

Sans surcharge, la voûte porte 11 tonnes par mètre courant.

A aucun moment, on n'y a observé de fissure.

SOURCES :

S₁. — « Die Fortsetzung der Höllenthalbahn von Neustadt über Löffingen nach Hüfingen », — Karlsruhe, Chr. Fr. Müllers'sche Hofbuchdruckerei, 1901, p. 25 à 28, Pl. hors-texte : « Gutachbrücke ».

S₂. — La Schweizerische Bauzeitung du 21 décembre 1901 donne, p. 271 à 275, un article de M. R. Moser, Ingénieur en chef : « Grosse Steinbrücken im Grossherzogtum Baden » dont les renseignements sont extraits de S₁.

S₃. — Ce que j'ai vu — août 1908.

PONT SUR LE SCHIWANDEHOLZDOBEL

(ALLEMAGNE, — Grand-Duché de Bade)

Ligne de Neustadt à Donaueschingen ¹

1899-1900

$\widehat{\mathbf{A}}^1$ Fr $(\geq 40\text{m})^{13}$

Φ_1 (S₂)



1. Pieds-droits de la grande voûte. — Comme au Pont sur la Gutach ², construit en même temps, réplique comme lui du Pont de Jaremeze ³, la grande voûte, au lieu de retomber sur le sol, porte sur de petits pieds-droits.

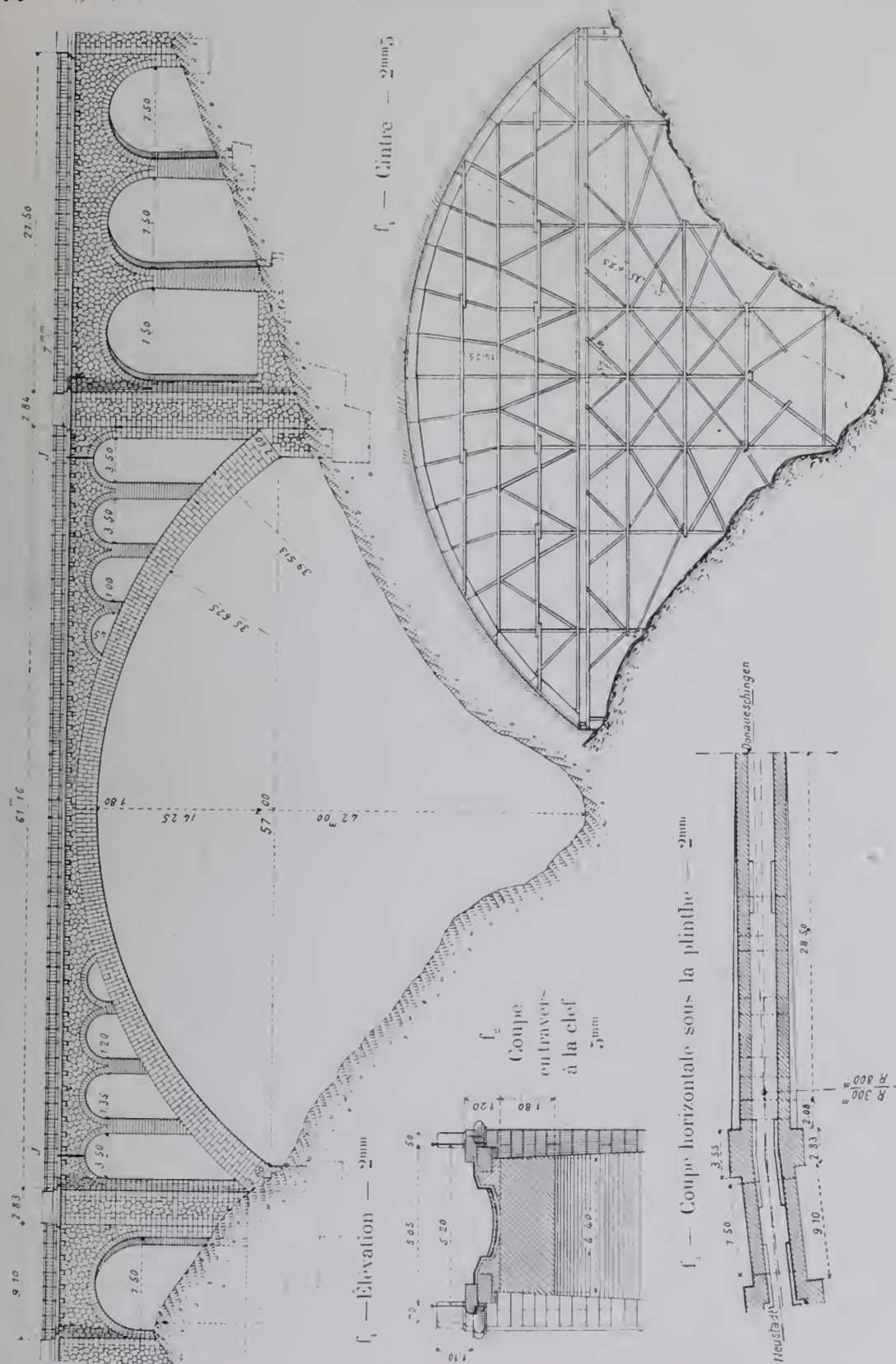
2. Joints de dilatation. — On a laissé vide un joint vertical j (f_1), depuis la clef de la voûte d'évidement voisine du pilastre, jusqu'à la plinthe.

3. Plinthe. — Elle est en encorbellement sur consoles ancrées dans les tympans.

1. — Le pont est entre les stations de Kappel et de Rothenbach, à 1^{er}5 environ du pont sur la Gutach $\widehat{\mathbf{A}}^1$ Fr $(\geq 40\text{m})^{12}$.

2. — $\widehat{\mathbf{A}}^1$ Fr $(\geq 40\text{m})^{12}$ - Tome III.

3. — $\widehat{\mathbf{A}}^1$ Fr $(\geq 40\text{m})^9$ - Tome III.



4. Cintre (f). — Les deux étages supérieurs ont la même disposition qu'au pont de Lavour ⁴.

5. Exécution de la grande voûte. — Même mode de construction qu'au pont sur la Gutach ⁵ : deux rouleaux avec découpe de 0^m30.

6. Dates.

1 ^{er} rouleau	} Construction.....	23-30 avril 1900
		Clavages.....
2 ^e rouleau		30 avril - 2 mai 1900
		23 mai - 1 ^{er} juin 1900

7. Tassements moyens à la clef, comptés à partir du 25 avril 1900, pendant la construction du premier rouleau.

Dates		Tassements en mm	Température de l'air en degrés Celsius
1900			
Tassement du cintre	6 mai (après clavage du 1 ^{er} rouleau)	66	»
	21 mai (avant construction du 2 ^e rouleau).....	79	»
	1 ^{er} juin (après construction du 2 ^e rouleau).....	87	+ 15°
	13 juillet (avant décintrement).....	99	+ 20°
	13 juillet (après décintrement).....	120	+ 20°
Tassement de la voûte	3 novembre.....	172	+ 10°
	14 février.....	200	- 17°
	10 juillet.....	183	+ 25°

On n'a pas constaté de fissure dans la voûte.

4. — \widehat{A}^1 Fr ($\geq 40^m$)⁴ - Tome II.

5. — \widehat{A}^1 Fr ($\geq 40^m$)¹² - Tome III.

SOURCES :

S₁. — « Die Fortsetzung der Höllenthalbahn von Neustadt über Löffingen nach Hüfingen », Karlsruhe, Chr. Fr. Müllers'sche Hofbuchdruckerei, 1901, p. 28 à 30, Pl. hors-texte : « Die »
« Schwarzwaldholzobelbrücke ».

S₂. — La Schweizerische Bauzeitung du 21 décembre 1901 donne, pages 271 à 275, un article de M. R. Moser, Ingénieur en chef : « Grosse Steinbrücken im Grossherzogtum Baden », dont les renseignements sont extraits de S₁.

S₃. — Ce que j'ai vu — août 1908.

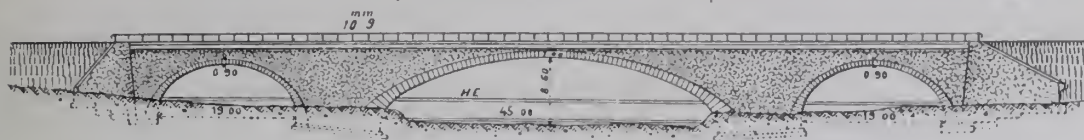
PONT SUR LA CHEMNITZ (SAXE)

Ligne¹ de Chemnitz à Wechselburg²

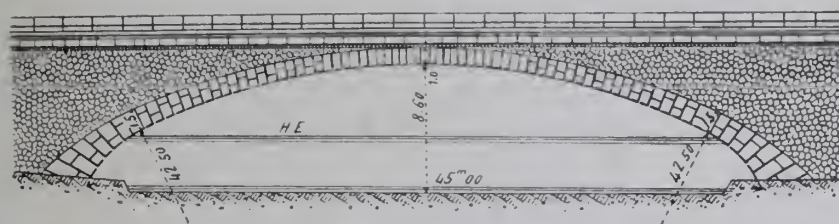
1901-1902

\widehat{A}^1 1^{er} ($\geq 40m$) 14

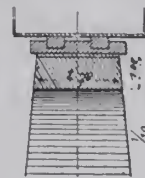
f_1 — Ensemble — 1^{mm} (S'_1)



f_2 — Grande voûte³ — 2^{mm} (S'_1)



f_3 — Coupe en travers à la clef — 4^{mm} (S'_1)



Φ_1 (S''_1)



1. Dispositions à signaler. — L'ouvrage traverse en biais la Chemnitz (S''_1).

Il n'a que 2^m70 de largeur en haut.

Le parapet et les trottoirs sont en encorbellement. On a simulé des bandeaux avec un crépi jouant le granit; la douelle est barbouillée de mortier (S''_1).

2. Personnel.

Exécution : MM. Liebold et C^{ie}, de Langebrück (Saxe).

1. — d'intérêt local à voie normale.
2. — au point 21⁶⁴⁷ de la ligne.
3. — La portée est 46^m d'après S''_1 .

SOURCES :

S'_1 — Dessins (S'_1) et album (S''_1) qu'a bien voulu me remettre M. Liebold, en 1908.

PONT SUR LE TORRENT DIVERIA (ITALIE, - Province de l'Ossola)
Ligne de Domodossola à Iselle¹ (Descente du Simplon à Milan)

1902

\widehat{A}^1 Fr ∇ 40m,15

Φ_1 (S_g)



1. Quelques observations. — Le pont traverse en biais le torrent : on l'y entonne par de longs guideaux.

Les guideaux, tympan, piédroits, plinthes, pilastres, sont en granit ; la voûte est en briques.

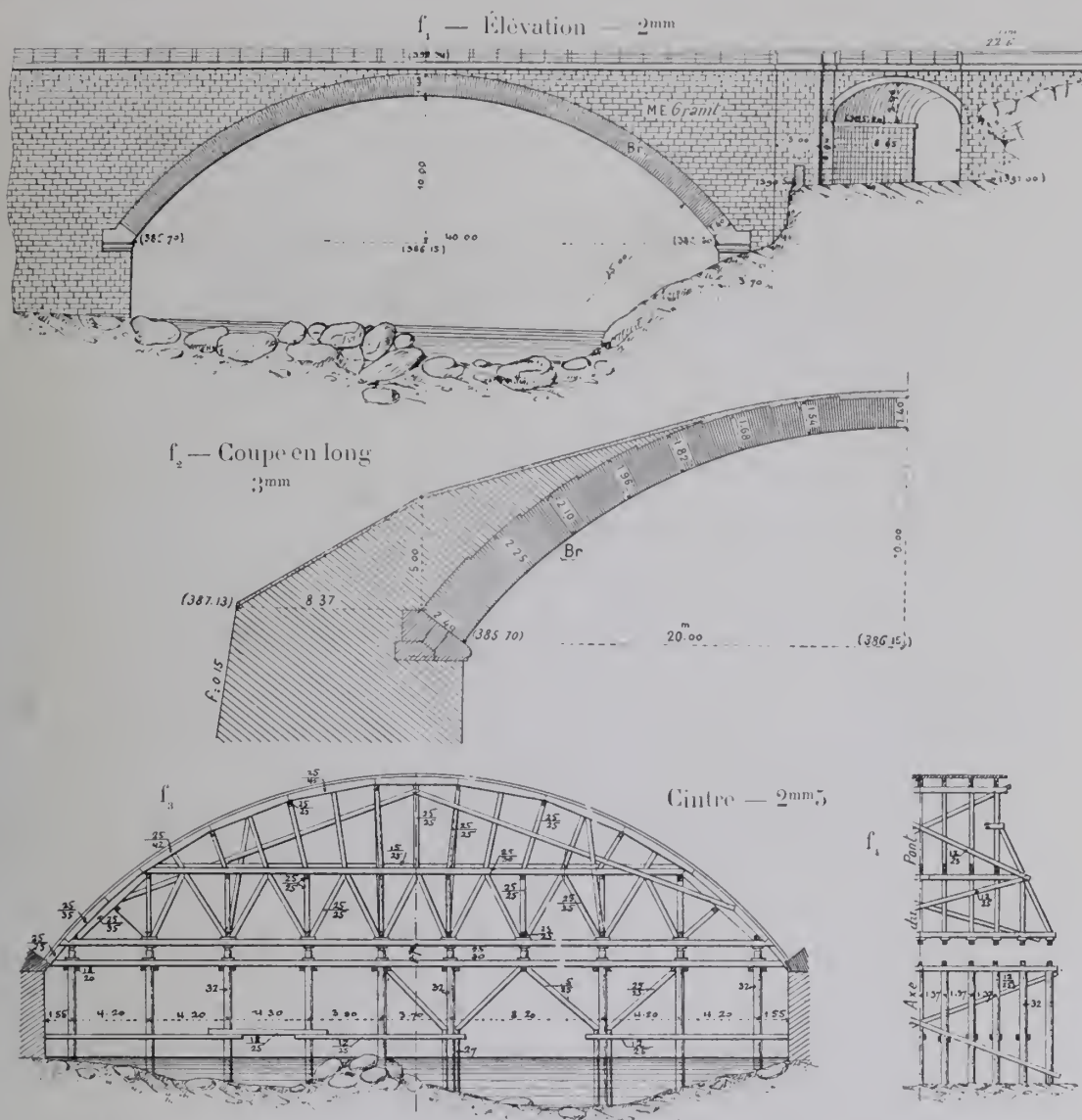
La plinthe paraît maigre.

2. Cintre.

Pieux.....	117 ^{mc}
Fermes.....	150
Brise-lame.....	7
Contreventement transversal.....	39
Platelage.....	42
En tout.....	355 ^{mc}

3. Dates. — La voûte fut commencée dans les premiers jours de mai 1902, terminée vers le milieu de juillet.

1. — au P^t. 6°911^m de cette ligne, entre les stations de Varzo et Preglia, à 3°1 environ en amont de Preglia.



4. Personnel².

Projet : M. Guiseppe Oliva, alors Directeur du Service de la Construction et de l'Entretien de la Société des Chemins de fer de la Méditerranée ; depuis, Directeur Général de cette Société.

Exécution en régie.

2. — Indication gracieusement donnée par M. Edouard Garneri, Chef du Service de l'Entretien des Chemins de fer de l'Etat, à Bologne.

SOURCES :

S₁. — Società Italiana per le Strade Ferrate del Mediterraneo. — Servizio delle Costruzioni : « *Relazione sugli Studi e Lavori eseguiti dal 1897 a 1905* », - texte : chapitre II, pages 99 et 100 ; - dessins : tav. XVII, - Rome 1906.

S₂. — Ce que j'ai vu — juillet 1908.

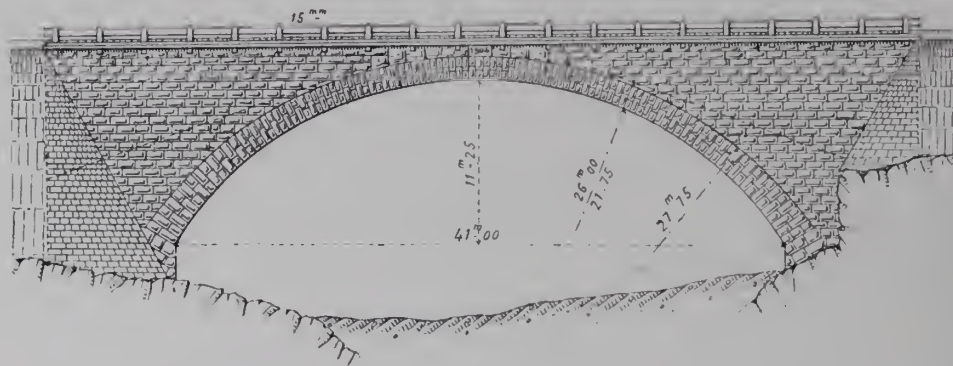
PONT SUR LE STRANDEELVEN, PRES DE VOSS (NORVÈGE)

Chemin de fer de Christiania à Bergen

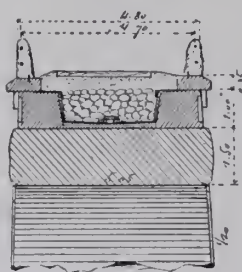
1902-1904

A¹ P^r 40m) 16

f₁ — Élévation — 2mm



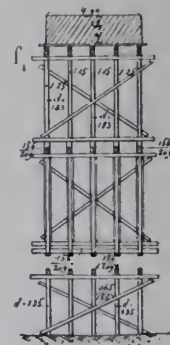
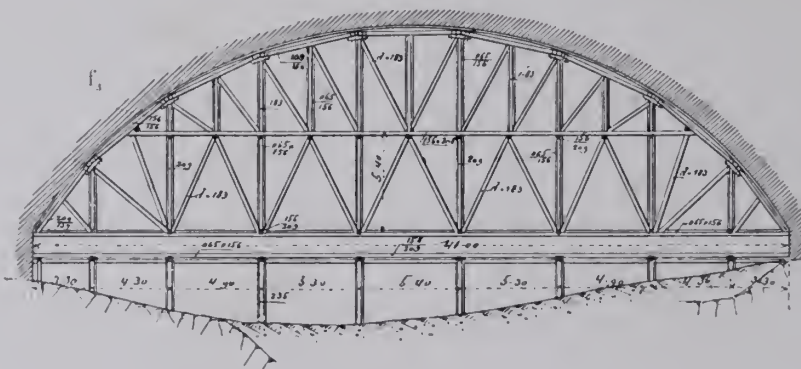
f₂ — Coupe en travers
à la clef — 5mm



1. Dates.

Commencement des travaux.....	automne 1902
Construction de la voûte.....	6 août — 22 septembre 1903
Décintrement.....	14 septembre 1904
Ouverture à la circulation.....	octobre 1904

Cintre — 2mm 5



2. Personnel.

Projet : Service de la Construction des Chemins de fer de l'État norvégien.

Direction des Travaux : L'Ingénieur en Chef du Chemin de fer de Bergen (partie ouest).

Φ_1 (S₁)



SOURCE :

S₁. — Dessins d'exécution, renseignements et photographies qu'a bien voulu me communiquer la Direction des Chemins de fer norvégiens, sur la gracieuse intervention de M. E. A. H. Sinding, Directeur de l'École Polytechnique de Christiania, — mai 1914.

PONT SUR LE KRENNGRABEN PRÈS DE DIRNBACH¹ (Haute-AUTRICHE)
Ligne de Klaus-Steyrling à Selzthal (Pyhrnbahn)

1904-1905

\widehat{A}^1 Fr (240m) 17

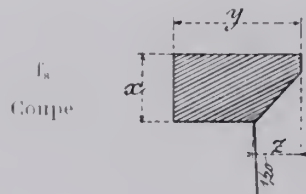
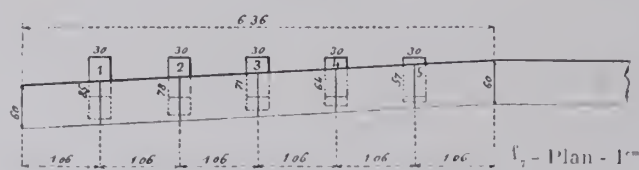
Φ_1 (S₁)



1. Dispositions en vue de la courbe² du tracé. — Les têtes sont planes.

A la tête du côté du centre, la plinthe est en ligne brisée. Les côtés extrêmes sont posés sur 5 corbeaux (Φ_1, f_1, f_2, f_3), dont voici les dimensions :

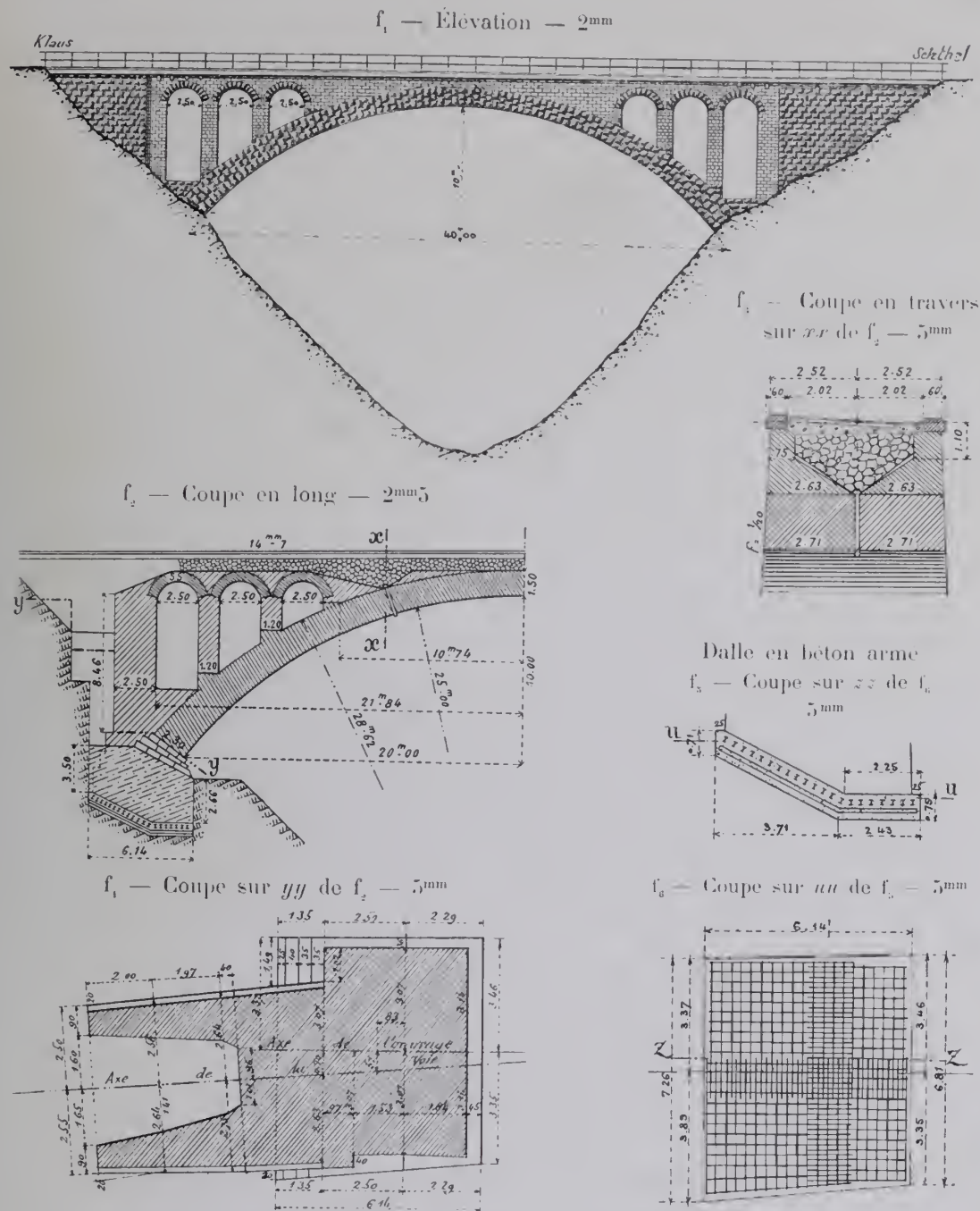
Corbeaux



N ^{os}	x	y	z
1	45 ^c	85 ^c	31 ^c
2	40	78	24
3	35	71	18
4	30	64	11
5	25	57	4

1. — entre la station de Dirnbach et la halte de St. Pankraz.

2. — Sur S₁, le rayon n'est pas coté. — D'après les ordonnées de la courbe, il est d'environ 320^m.



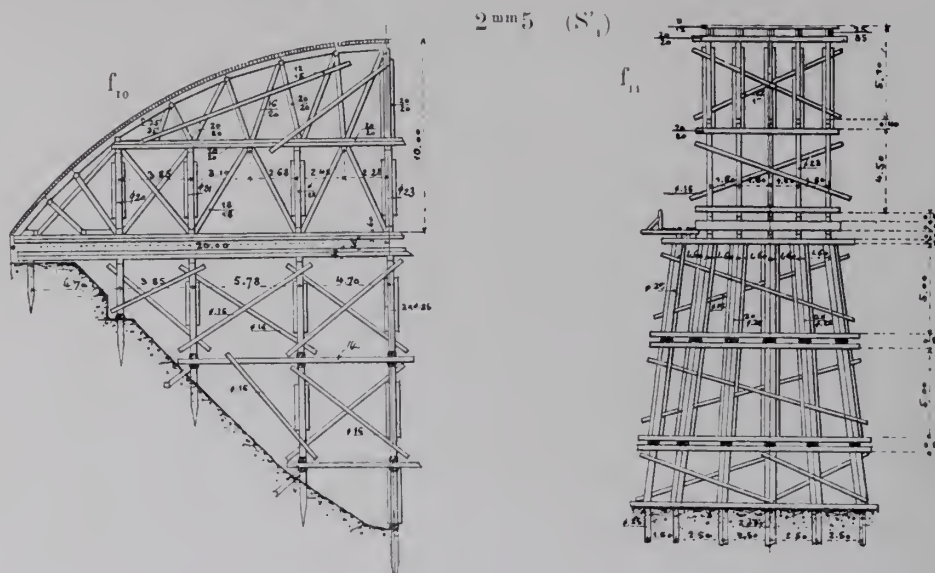
2. Viaduc d'évidement. — Les bandeaux et la douelle sont en calcaire ; les piles et tympans, en béton moulé (S_1).

Les crossettes d'appui des piles, en granit, dépassent l'extrados de la grande voûte : elle n'est pas entamée.

3. Aspect. — Il y a trop de tympan au-dessus de la clef.

Les piles d'élégissement sont trop épaisses (1^m20 pour une portée de 2^m50).

4. Cintre. — On a inauguré là le mode de décintrement inventé par M. l'Ingénieur en chef Zuffer³.



Il n'a fallu que deux traits de scie pour détacher le cintre (S_2).

5. Dates.

Fondations.....	1904
Grande voûte.....	1905
Ouverture à la circulation.....	novembre 1905

6. Personnel (S''_1).

Ingénieurs : *Projet et Direction des Travaux* : Service de la Construction des Chemins de fer de l'Etat.

Direction générale à Vienne : M. J. Zuffer, Directeur du Service.

Direction locale à Windischgarsten.

Entrepreneurs : MM. E. Prost et C^{ie}, à Vienne.

3. — décrit dans la monographie du Pont sur le Palmgraben \widehat{A}^1 Fr ($\geq 40^m$)⁸ — Tome II.

SOURCES :

S_1 . — Dessins (S'_1) et renseignements (S''_1) que m'a gracieusement communiqués le Ministère des Chemins de fer, à Vienne, sur la demande qu'en a bien voulu faire l'Ambassadeur de France à Vienne, M. Philippe Crozier.

S_2 . — Geschichte der Eisenbahnen der österreichisch-ungarischen Monarchie, VI Band, 1898-1908, II Band. « Der Brückenbau der neuen Alpenbahnen. — A. Steinbrücken ». Josef Zuffer, p. 74 à 87.

S_3 . — Zeitschrift des österreichischen Ingenieur-und Architekten Vereines, 1908, p. 174 à 176 : « Die Anrüstung der grossen Wölbbrücken im Zuge der neuen Alpenbahnen », J. Zuffer, K. K. Ober-Baurat.

S_4 . — Ce que j'ai vu — août 1909.

PONT SUR LA STEYRLING (*Haute-AUTRICHE*)

Ligne de Klaus-Steyrling à Selzthal¹ (Pyhrnbahn)

1904-1905

\widehat{A}^1 F^r ($\geq 40^m$) 18

Φ_1 — amont (S₁)



1. Tympane. — Les voûtes d'évidement sout, comme leurs piles, en béton moulé.

Ces piles sont trop épaisses : pour 3^m25 de portée, 1^m45, 1^m40, 1^m35, 1^m25.

Il y a trop de plein au-dessus des petites voûtes.

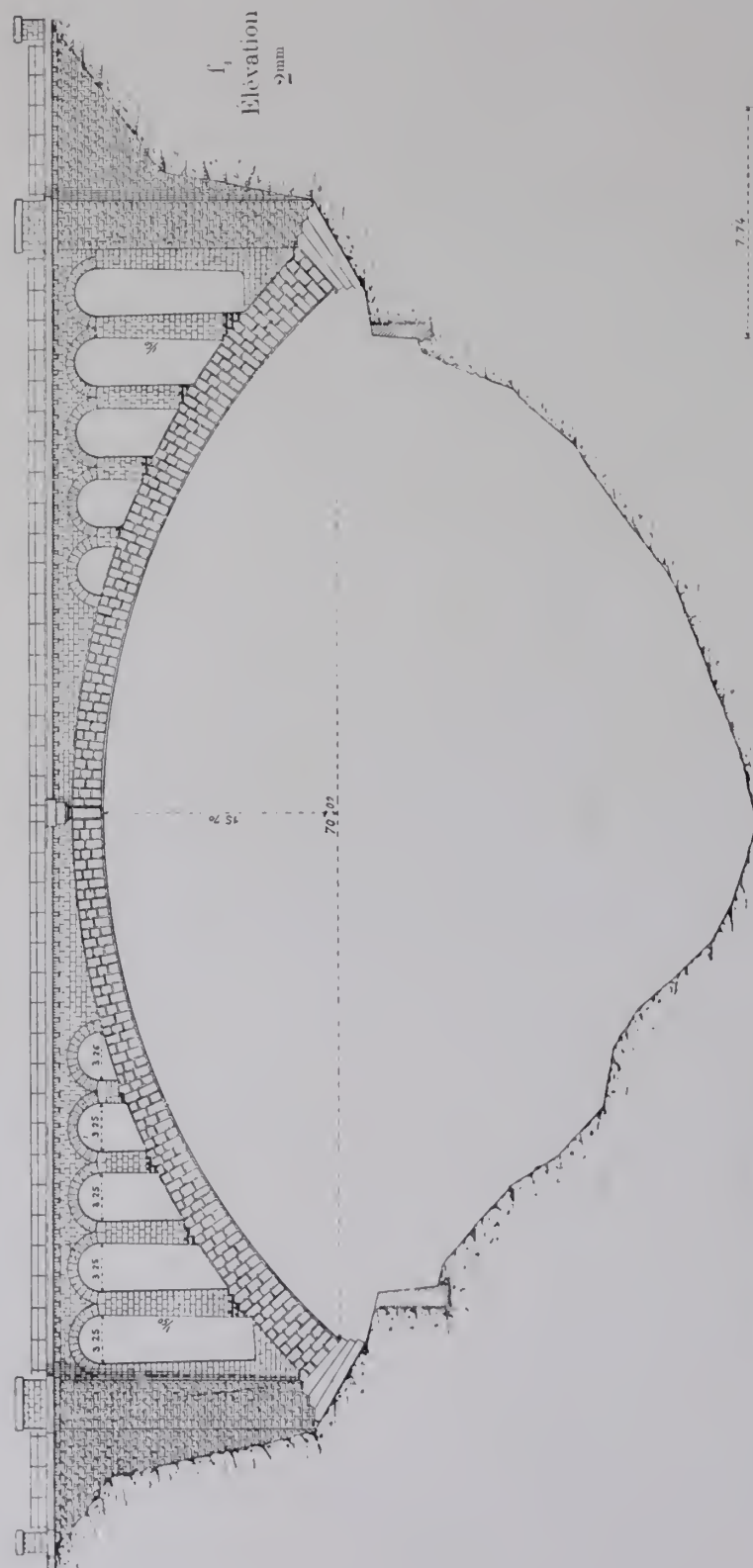
Les corbeaux sous la plinthe ne saillent pas assez.

2. Cartouche de clef (S₁). — Le refuge au-dessus de la clef porte, sur granit poli, cette inscription :

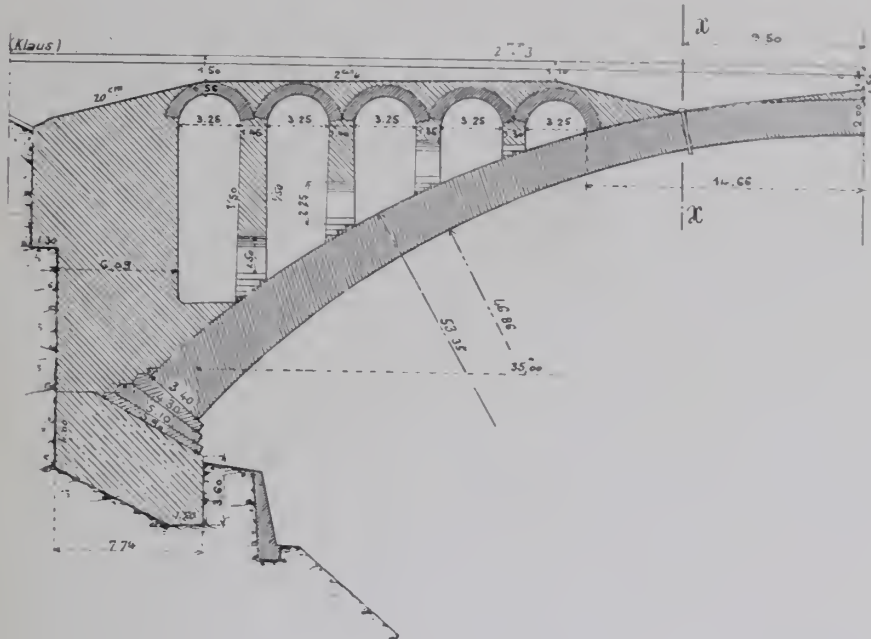
Steyrling
Brücke
erbaut
1905

On aurait pu la mieux placer.

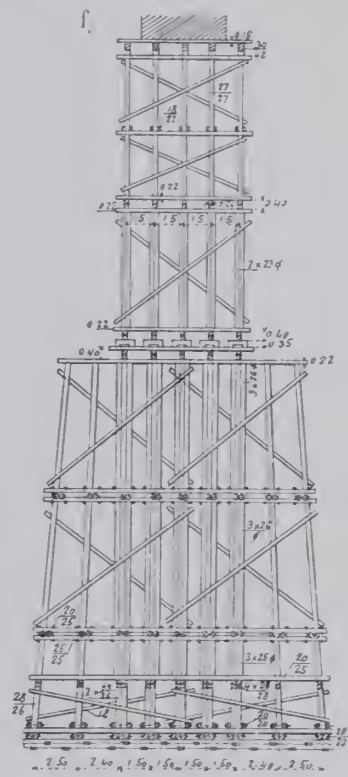
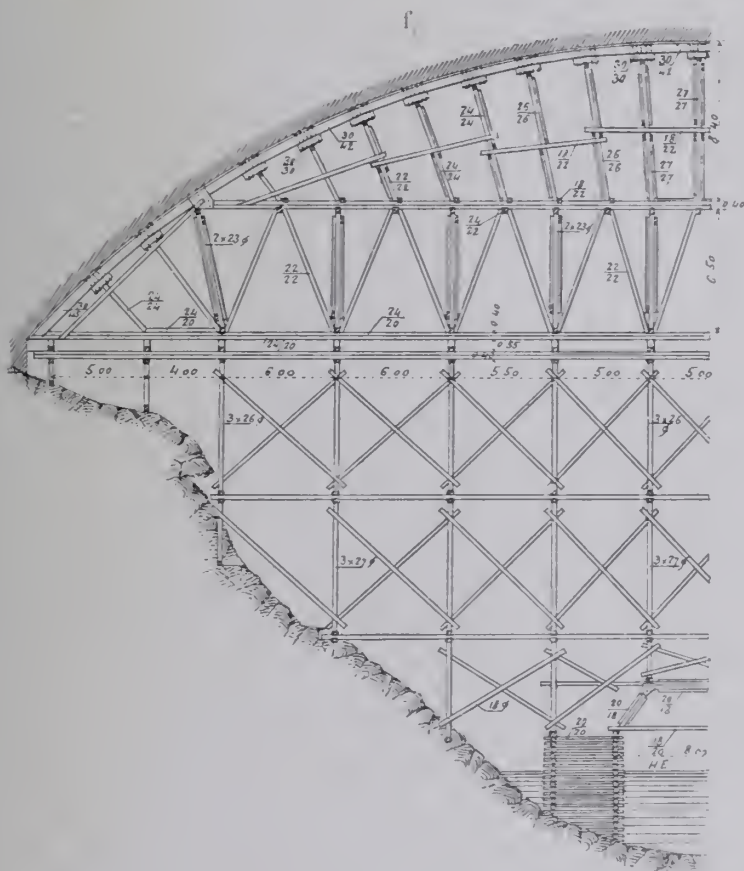
1. — Entre les stations de Klaus et Steyrling, tout près de la station de Steyrling.



f₂ — Coupe en long — 2mm,5



Cintre — 2mm,5 (S.)



Φ_2 (S_4)

3. Dates.

Commencement des travaux.....	été 1904
Grande voûte.....	automne 1904 — printemps 1905
Ouverture à la circulation.....	19 novembre 1905

4. Personnel (S''_1).

Projet et Direction des Travaux : Comme au Pont sur le Krenngraben ².

Entrepreneur : MM. E. Gross et C^{re}.

2. — $\widehat{\mathbf{A}}^1 \text{Fr} (\geq 40^m)$ ¹⁷, - Tome III.

SOURCES :

S_1, S_2 , du Pont sur le Krenngraben $\widehat{\mathbf{A}}^1 \text{Fr} (\geq 40^m)$ ¹⁷.

S_4 , — Dessins du cintre, gracieusement communiqués par M. H. Studer, Ingénieur des chemins de fer rhétiques, à Zuoz (Engadine), — novembre 1912.

S_6 , — Ce que j'ai vu — août 1909.

PONT SUR L'ISONZO, PRÈS DE SALCANO¹ AUTRICHE, — *Kustenland*

Ligne d'Assling (Carinthie) à Trieste, par Goritz² — Wocheinerbahn

1904-1906

\widehat{A}^1 170, 40m, 19

Φ_1 (S₁)



1. Pourquoi on a fait un pont en maçonnerie (S₁). — Un pont métallique était cher à monter, difficile à remplacer.

2. Pourquoi on a fait une voûte de 85^m. — On avait d'abord projeté une voûte de 80^m. En 1904, on en commença les fouilles. Mais sous le conglomérat dur de la surface, on trouva : à gauche, du sable, — à droite, un éboulis argileux³.

Après avoir reconnu le sol par des puits et une galerie de sondage, on déplaça la culée gauche (Goritz) de 14^m en avant sur le conglomérat, et on conserva la culée rive droite.

L'ouverture de la voûte fut ainsi portée à 85^m (S₁).

3. Aspect (S₁). — L'ouvrage est bien et simplement traité.

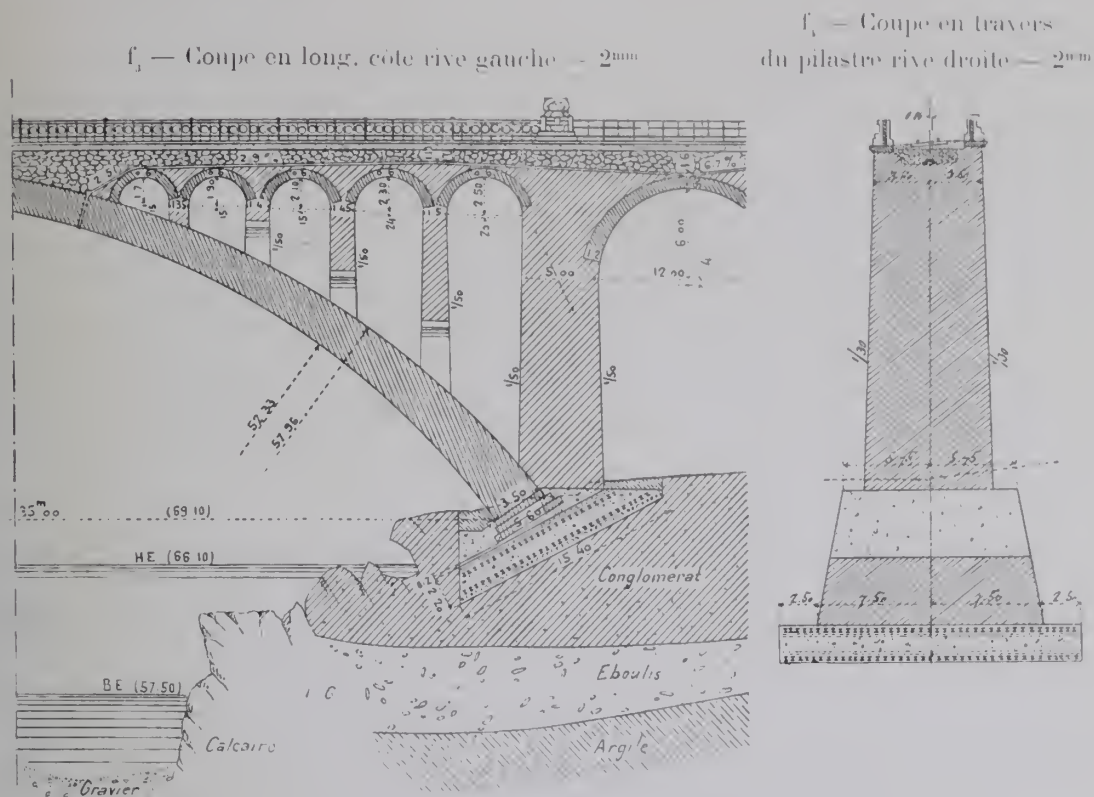
Le corps central est en calcaire blanc : les viaducs d'accès sont en calcaire gris-bleuâtre, à parements moins soignés.

1. — Près de Goritz, entre le « Staatsbahnhof » de Goritz et la station de Plava.

2. — En allemand : *Goriz*.

3. — « *Lehmiges Bergschuttmaterial* ».

Les pilastres qui encadrent la grande voûte sont secs, maigres, assez pauvrement couronnés.



La plinthe de la grande voûte pourtourne les pilastres, au lieu de s'y arrêter. Son garde-corps, bien que plus étoffé, se voit à peine.

Le viaduc de rive gauche a, entre les voûtes de 10^m et 12^m, une pile plus épaisse que les autres, sans contrefort ou saillie qui la distingue des voisines.

4. Chape (S₁). — La même qu'au Pont sur le Palmgraben¹.

5. Joints de dilatation (S₂). — Les deux dernières voûtes d'évidence retombent sur une couche d'amiante de 9^mm entre deux voussoirs à surface polie ; le tympan au-dessus est coupé par un joint vertical de feutre asphalté, caché aux têtes par du mortier, lequel s'est fissuré.

Au-dessus, la chape est recourbée : elle peut ainsi s'étendre sans se fendre.

A la fin de 1909, on n'avait pas observé de fissures dans les tympanaux.

6. Matériaux. — A. Grande voûte (S₃). — Elle est tout entière en pierre de taille de calcaire de Nabresina (résistant à 1200^k en cubes de 6^m), à mortier de ciment à 1^r 3^e.

Les efforts maxima sont :

Clef.....	28 ^k
Naissances.....	40 ^k
Joints de rupture.....	51 ^k

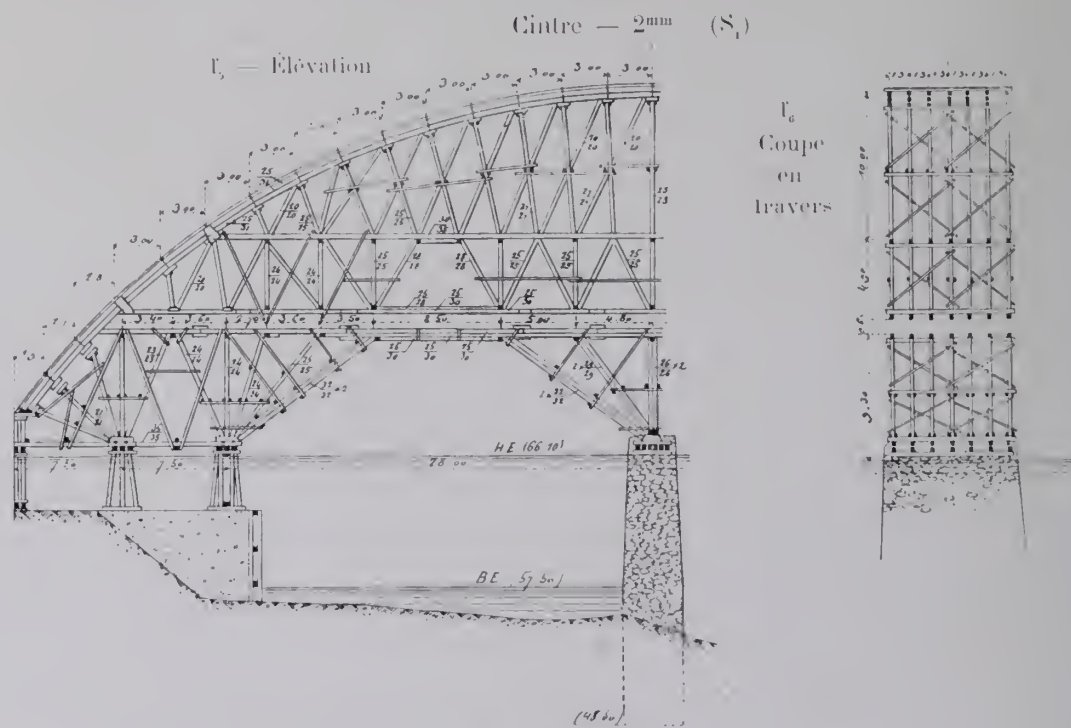
soit, par rapport à la résistance en cubes de 6^m, un coefficient de sécurité de 23[°].

B. Autres parties de l'ouvrage (S₁). — Sauf dans la grande voûte et les gradins des appuis, les maçonneries sont à mortier de ciment à 1/5, et moellons ordinaires, assisés en parement.

7. Cintre. — On n'osa pas retrousser le cintre entre les deux berges. D'autre part, dans un torrent à crues de 8^m60⁶, on ne pouvait pas l'appuyer sur une palée en bois ; on le soutint en son milieu par une pile en maçonnerie fondée à l'air comprimé, sur caisson en mélèze, encastré de 0^m50 dans le schiste, à 9^m sous l'étiage. On la fit sauter à la mine, l'ouvrage fini (S₂).

C'était, pourtant, la fondation toute faite d'un pont à deux arches.

Sur berges, le cintre s'appuyait sur des socles en béton.



5. — Soient : h_1 , la résistance d'une pierre taillée en cubes,
 h_2 , celle du mortier.

K , la résistance sur laquelle on peut compter pour la maçonnerie.

On a proposé la formule :

$$K = 1/3 h_1 + 2/3 h_2$$

formule indiquée dans la Zeitschrift für Architektur- und Ingenieurwesen, 1907, p. 403 à 440. « Über weitgespannte Wölbrücken » — Karlsruhe, mai 1907, - Dr Ing. Fr. Engesser, - p. 426.

Elle donne ici 570^k, soit un coefficient de sécurité de 11 (S₁).

6. — L'Isonzo monte de 8^m en quelques heures (S₂).

Pendant qu'on fondait la pile du cintre, il y eut, de mai à décembre 1904, 6 crues de plus de 3^m50. Le 24 juin, le bateau installé pour battre les pieux fut coulé ; le 14 septembre, une partie de l'échafaudage fut emporté, un charpentier tué ; le 24 novembre (crue de 6^m), l'échafaudage, le sas à air, la grue, furent emportés (S₃).

On soigna les assemblages (tenons et mortaises), et on boulonna tous les croisements (S_1).

Φ_2 — amont (S''_2)



Comme on ne comptait pas construire par rouleaux, le cintre a été calculé pour « presque tout le poids de la route » (S_1), avec un travail maximum de 60^k (S_1).

8. Fondations (S_1). — On rencontra dans le conglomérat de rive gauche des fissures et des cavernes qu'on bourra de béton à 1-12.

Pour ne pas dépasser 4^k , on établit, au fond de chaque fouille, une dalle en béton à 1-2-3 (S_1) de 2^m20 d'épaisseur, ayant, à la rive gauche, $15^m4 \times 14^m5$, — à la rive droite, $20^m \times 16^m5$, armée de 4 cours de fers en I croisés, badigeonnés au préalable d'un lait de ciment.

Il y a, dans les deux dalles, 100 tonnes de fer.

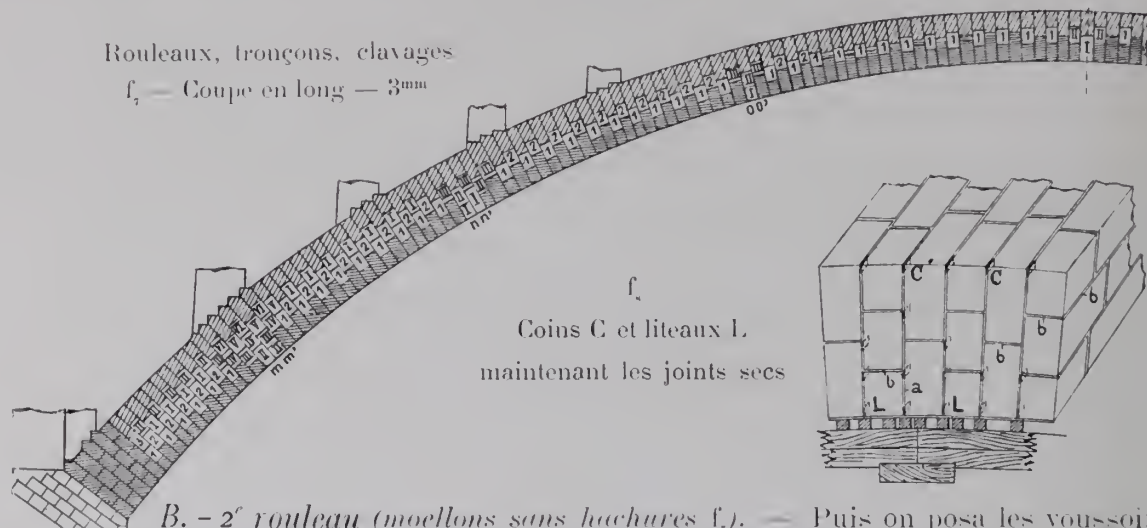
La pression de la voûte est étalée sur les dalles en béton par 3 assises de pierre de taille en gradins.

On eut soin de murer et de bétonner (béton à 1-12) la fouille abandonnée de la culée rive gauche, et on en protégea le pied.

9. Exécution de la grande voûte (S_1). — A. - 1^{er} rouleau (hachures serrées, f.). — On posa sur le cintre, à sec, tous les moellons de douelle ; on les répartit par des taquets en 8 tronçons (S_1).

7. — La pierre taillée avec soin, glisse sur le platelage à partir de 55° sur la verticale.

Les joints de 16^{mm} (S₂), étaient maintenus par des coins C (f₅), et des liteaux L (S₁). On les mata tous au mortier de ciment Portland⁹ à 1/3, à l'état de terre humide¹⁰, avec des spatules en fer¹¹ (S₁), les intervalles des taquets demeurant vides.

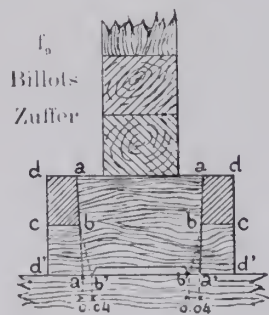


B. - 2^e rouleau (moellons sans hachures f₂). — Puis on posa les voussoirs 1, 2 (f₁) sur lits de mortier dans les joints b (f₈), en matant les joints montants a (f₁).

Après prise, on clava à la fois les deux rouleaux, aux taquets mm', nn', oo', par les moellons I et II (f₂) (S₁). On posa en même temps le queutage dans l'ordre I à VI (f₂) (S₁).

C. - 3^e rouleau (hachures espacées f₂). — On posa les voussoirs et on mata aussitôt les joints « sans s'astreindre à aucun ordre » (S₁).

10. Décintrement. — Les billots Zuffer, précédemment employés à Palmgraben¹², Schalehgraben¹³, Krenngraben¹⁴, Steyrling¹⁵, ont été, à Salcano, disposés comme l'indique le croquis f₉ (S₁).



La surface d'appui b'd' était calculée pour $60^m 0^m 01^m$.

On enleva d'abord les angles abcd — ce qui ne réduit pas encore la surface d'appui, mais diminue la hauteur à scier.

Ensuite, on donna les traits de scie bc', puis bb' (S₁).

On attaqua en même temps, aux 7 fermes, les billots de deux files transversales symétriques par rapport à la clef, en allant des retombées vers la clef au premier trait de scie, en sens inverse au deuxième (S₁).

Le premier fit tasser la clef de 4^{mm} . Le deuxième, donné après arrêt du tassement, détacha le cintre (S₁). En moins de 5 heures, on libéra l'arc.

8. — On les avait prévus à 12^{cm} . Mais, surtout dans les plus profonds ($1^m 20$), on ne pouvait introduire facilement le mortier à la truelle, bien que les lits eussent été dressés avec soin. On les élargit de 2 et 4^{cm} , ce qui augmenta le développement de l'arc : on compensa, en réduisant de 6^{cm} à 8^{cm} l'épaisseur des assises de clavage (S₆).

9. — de l'Adriatischen Portlandzement-Aktiengesellschaft de Spalato.

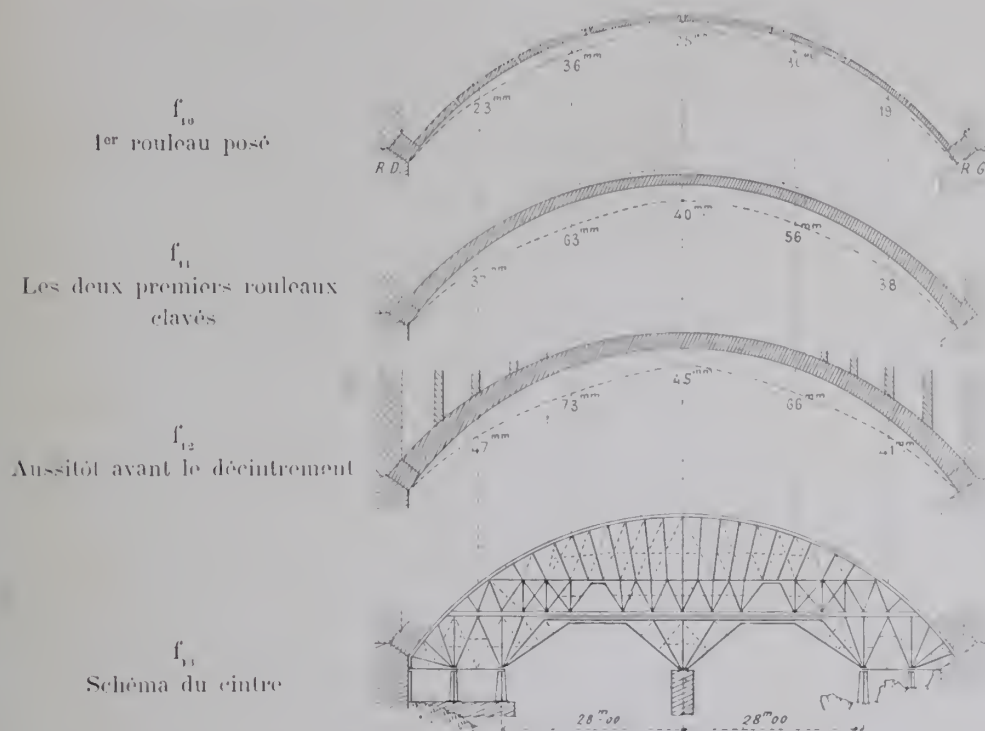
10. — A la fin du matage, l'eau reflua à la surface (S₆).

11. — A chaque coup de masse, on sentait vibrer le voussoir (S₆). On pouvait retirer à la main les coins C le lendemain du matage (S₁).

12. - \widehat{A}^1 Fr ($\geq 40^m$)⁸ ; 13. - \widehat{A}^1 Fr ($\geq 40^m$)⁹, Tome II. 14. - \widehat{A}^1 Fr ($\geq 40^m$)¹⁷ ; 15. - \widehat{A}^1 Fr ($\geq 40^m$)¹⁸, Tome III.

Les billots Zuffer se comportèrent « de manière véritablement remarquable »¹⁶.

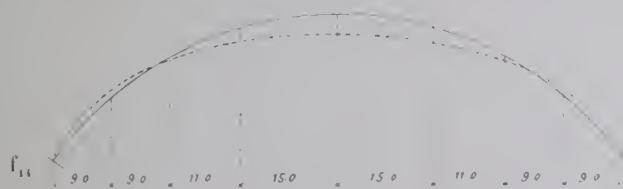
11. Tassements du cintre pendant la construction de la voûte (S_0).



Le tassement a continué après le clavage des 2 premiers rouleaux¹⁷.
Au-dessus des passes, la voûte a plus tassé qu'au droit des appuis.

12. Mouvements de la voûte au décintrement (S_0). — Tout

Axe de la voûte — avant /
 - - - après \ décintrement



Tassements (—) et relèvements (+) en mm

amont	0	+1	-1	-2	-5	-3	-0.5	+1.5	0
aval	0	+1	0	-2	-6	-3.5	-1.5	»	0

rière qu'à l'avant, et fait pivoter la culée vers l'arrière.

On n'a pas constaté de fissures dans la voûte.

Chaque culée a reculé de 0^{mm}2 environ.

On avait surhaussé la clef de 20^{cm} : elle n'a tassé que de 5^{cm}. On a racheté la différence (15^{cm}) en réduisant de 102^{cm} à 87^{cm} la revanche du rail sur l'extrados.

16. — « in wirklich ausgezeichnete Weise » (M. Zuffer, - S.).

17. — contrairement à ce qui s'est passé pour la plupart des grandes voûtes construites par rouleaux (voir Tome V).

au contraire, au décintrement, elle s'est aplatie au cerveau et cambrée aux reins.

On a donné cette explication :

D'après l'épure, la résultante des actions sur le sol agit sur la moitié arrière. Créée par le décintrement, elle a comprimé l'éboulis et le conglomerat plus à l'ar-

13. Mouvements de la clef dus aux variations de température (S_6).

Dates		Températures en degrés Celsius		Abais-sements par rapport au 15 septembre 1905	
		au soleil	à l'ombre	de la température à l'ombre	de la clef
Septembre	15 — 3 ^h s.	+ 35°	+ 27°	»	»
1905	18 — 8 ^h m.	»	+ 18°	9°	45 ^{mm}
Janvier	5 — 3 ^h s.	»	+ 3°	24°	55 ^{mm} 5
1906	8 — 3 ^h s.	+ 9°	+ 2°	25°	27 ^{mm} 5

14. Dates (S_1, S_3).

Fondations.....	juillet 1904 — mars 1905
Cintre	<div> <div>Pile en maçonnerie.....</div> <div>octobre 1904 — février 1905</div> </div> <div> <div>Fermes.....</div> <div>février — fin avril 1905</div> </div>
Grande voûte	<div> <div>Commencement (après pose et maçonnerie des 5 premières assises).....</div> <div>5 juin 1905</div> </div> <div> <div>1^{er} rouleau</div> <div> <div>Fin de la pose à sec.....</div> <div>10 juin</div> </div> </div> <div> <div>2^e rouleau. — Commencement.....</div> <div>14 juin</div> </div> <div> <div>3^e rouleau.....</div> <div>15 juin</div> </div> <div> <div>Décintrement.....</div> <div>25 juin — 1^{er} juillet</div> </div> <div> <div>8 août</div> </div>
Achèvement des maçonneries.....	mi-novembre 1905
Ouverture à la circulation.....	19 juillet 1906 (S_3)

15. Quantités et Dépenses (Partie centrale, entre les clefs des voûtes voisines de la grande arche, — 9420^{mc}) (S_6).

A. Quantités et Prix d'unité.

		Quantités	Prix d'unité
Fouilles dans la terre et le rocher.....		7600 ^{mc}	2 ^{fr} 18
Béton à 1/4/6.....		1189 ^{mc}	28 ^{fr} 98
Maçonneries	Moellons ordinaires.....	3338 ^{mc}	28 ^{fr} 98
à ciment	— appareillés en voûte.....	351 ^{mc}	39 ^{fr} 48
Portland	Moellons équarris id.	171 ^{mc}	54 ^{fr} 86
	Parements vus de moellons ordinaires.....	2800 ^{mq}	3 ^{fr} 02
	Pierres de taille pour la grande voûte.....	1941 ^{mc}	162 ^{fr} 75
Dalles en béton armé	Béton à 1/2/3.....	1270 ^{mc}	39 ^{fr} 90
des fondations	Poutrelles en fer.....	102 ^τ	340 ^{fr}
Pont de service (Bois ronds 510 ^{mc} ; bois équarris 116 ^{mc}).....		626 ^{mc}	»
Cintre	Bois	Partie supérieure.....	568 ^{mc}
	Chêne..... 23 ^{mc}	— inférieure.....	463 ^{mc}
	Bois tendre	Pieux.....	178 ^{mc}
	équarris 1066 ^{mc}		»
	Fers (Partie supérieure 4 ^τ 7).....		10 ^τ
Pile en maçonnerie	Fondation à l'air comprimé.....	716 ^{mc}	182 ^{fr} 70
	Élévation.....	336 ^{mc}	23 ^{fr} 62
Poids de ciment Portland de Spalato.....		1066 ^τ 3	

B. Prix totaux.

		Rive droite	Rive gauche	
Culées	Terrassements.....	19530 ^f	2544 ^f	
	Dalles en béton armé.....	52437 ^f	30355 ^f 5	
	Pierres de taille sous les retombées.....	17577 ^f	11896 ^f 5	
	Autres maçonneries.....	45486 ^f	6972 ^f	
		135030 ^f	51765 ^f	186795 ^f
	Pilastres, jusqu'au niveau des retombées des voûtes voisines (a).....			46620 ^f
	Grande voûte (b).....			286440 ^f
	Maçonneries au-dessus de a et b.....			64260 ^f
	Chape, gargouilles, remplissage.....			12180 ^f
	Plinthes, dés, parapets.....			46515 ^f
	Cintre (Pile en rivière : 142590 ^f).....			287910 ^f
	Défense et assèchement des fouilles.....			15750 ^f
	Sondages, précautions contre le feu, travaux en régie.....			13020 ^f
	Fouille rive gauche abandonnée.....			15540 ^f
				<hr/> 975030 ^f

16. Personnel (S₁, S₆).

Ingénieurs :

Projet d'ensemble et Direction générale des Travaux. — Service de la Construction des Chemins de fer de l'Etat.

« Hofrat » J. Zuffer, Directeur du Service, à Vienne.

Direction locale. M. Léopold di Gasperra, puis M. Otto v. Bertele, Ingénieurs en chef à Goritz. — M. Heinrich Bincer, Ingénieur (S₆).

Projet de détail et Surveillance des Travaux. M. Örley, Ingénieur à Salcano (S₆).

Calculs. M. Robert Schönhöfer, Ingénieur (S₆).

Entrepreneurs : (Grande voûte et ses deux pilastres) : les frères Redlich et Berger.

SOURCES :

S₁. — Zeitschrift des österreichischen Ingenieur- und Architekten Vereines, 29 octobre 1909, p. 701 à 705, Pl. IX : « Die gewölbte Brücke über den Isonzofluss bei Salcano », Ingenieur Rudolph Jaussner, Inspektor im K. K. Eisenbahn-Ministerium.

Les dessins f₁ à f₈ sont extraits de S₁.

S₂. — Geschichte der Eisenbahnen der österreichisch-ungarischen Monarchie, VI Band, 1898-1908, II Band. « Der Brückenbau der neuen Alpenbahnen. — A. Steinbrücken ». Josef Zuffer, p. 74 à 87.

S₃. — Renseignements (S'₃) et photographie (S''₃) gracieusement donnés par le Ministère des Chemins de fer à Vienne.

S₄. — Ce que j'ai vu : (S'₄) octobre 1908, (S''₄) août 1909.

S₅. — Zeitschrift des österreichischen Ingenieur- und Architekten Vereines, 1908, p. 174 à 176 : « Die Ausrüstung der grossen Wölbbbrücken im Zuge der neuen Alpenbahnen ». J. Zuffer, K. K. Ober-Baurat.

S₆. — Id., 1910. — 19 août, p. 529 à 532 ; 26 août, p. 541 à 546, « Erfahrungen und Beobachtungen beim Bau der 85^m weiten Wölbbbrücke über den Isonzo bei Salcano » von Ing. Dr. Leopold Örley, Baukommissär der K. K. österreichischen Staatsbahnen.

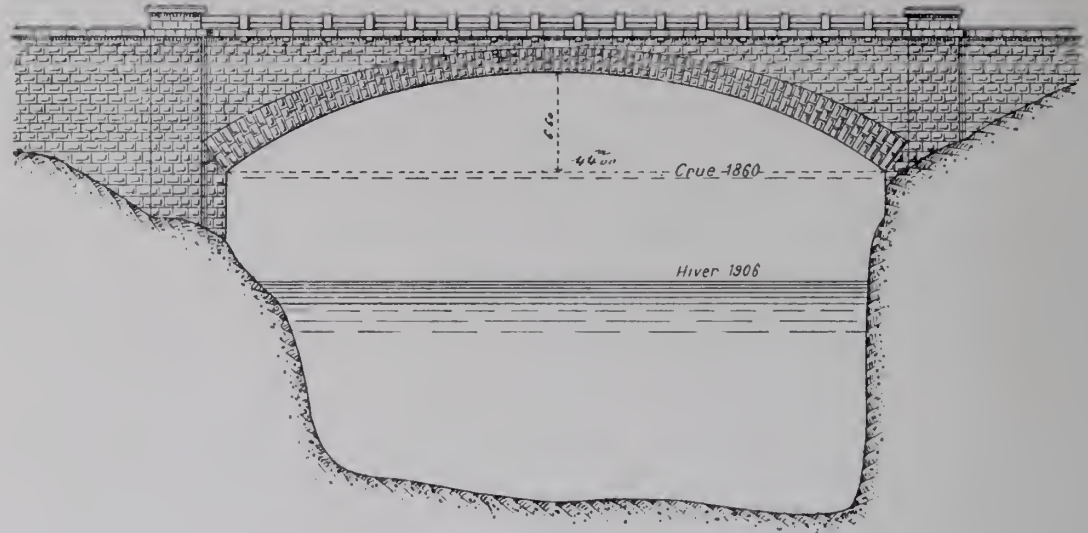
PONT SUR LE HALLINGDAELSELVEN, A SVENKERUD (NORVÈGE)

Chemin de fer de Christiania à Bergen

1905-1907

\widehat{A}^1 1^{re} (40m/20)

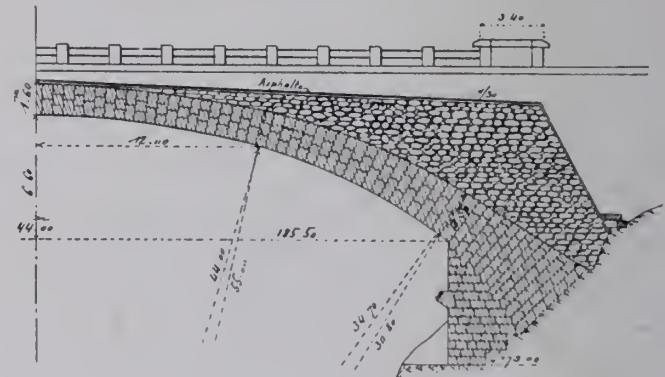
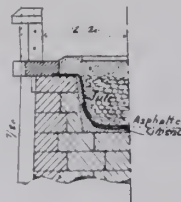
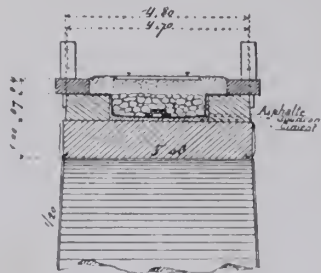
f₁ — Élévation — 2mm



f₃ — Coupe en travers
à la clef — 5mm

f₄ — Chape — 5mm

f₂ — Coupe en long — 2mm,5



1. Dates (S^{rs}).

Commencement des travaux.....	septembre 1905
Construction de la voûte.....	10 juillet - 26 octobre 1906
Décintrement.....	2 mai 1907
Ouverture à la circulation.....	13 mai 1907

2. Personnel (S^{rs}).

Projet : Service de la Construction des Chemins de fer de l'Etat norvégien.

Direction des Travaux : L'Ingénieur en chef du Chemin de fer de Bergen
(partie Est).

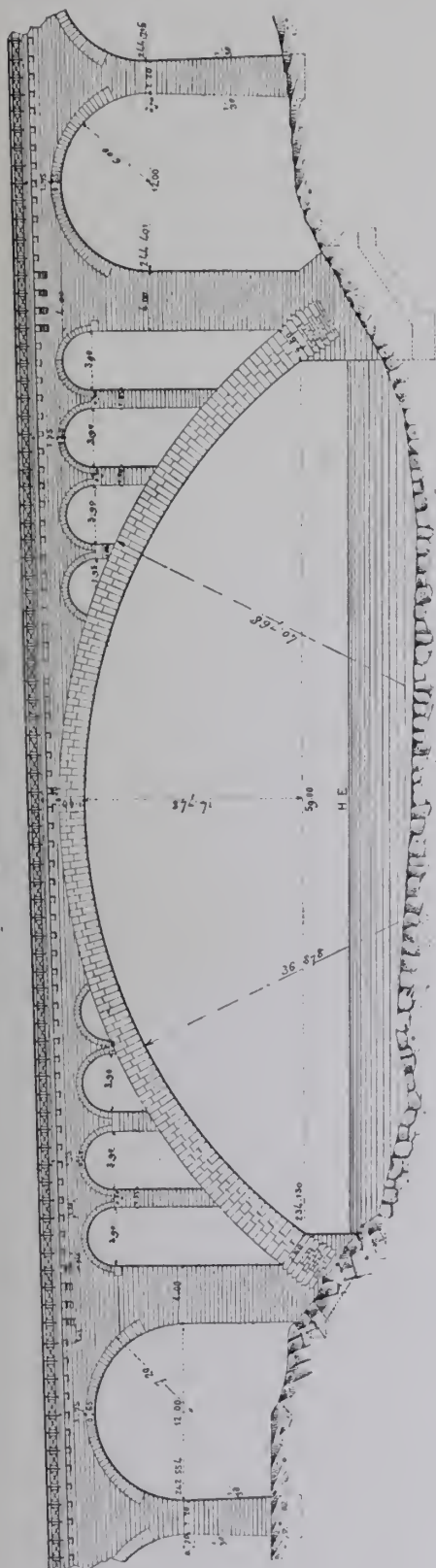
Chemin de fer de Weisenbach à Schönmünzach

$$\widehat{\mathbf{A}}^{\dagger} \text{Tr}(\gamma_{\mu} H) m_1 \geq 1$$

Fondations.....	1 ^{er} septembre 1907 - 1 ^{er} mai 1908
Grande voûte.....	30 septembre - 14 décembre 1908
Décintrement.....	8 février 1909
Achèvement des travaux.....	fin août 1909 (S ₂)

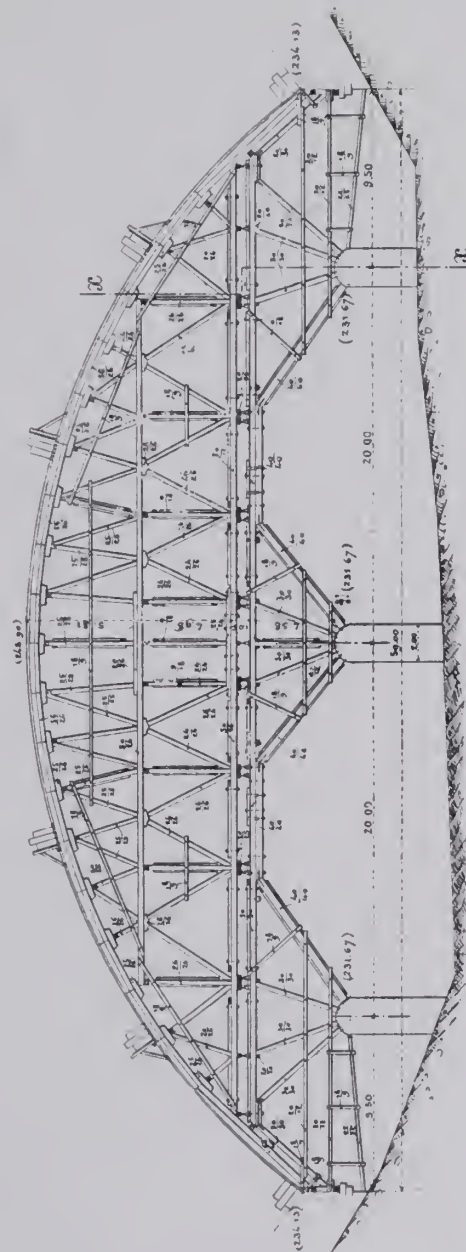
 $\phi_1(S_1)$ 

f_2 — Grande voûte — 2^{mm}

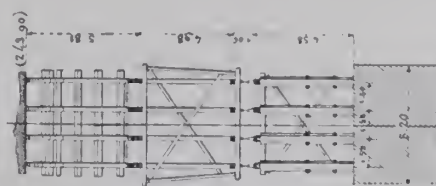


(Intre — 2^{mm})

f_6 — Elevation



f_7
Coupe
en travers
sur xy
de f_6



PONT SUR LA CHARENTE¹, PRÈS DE LUSSE² (CHARENTE-INFERIEURE)

Ligne de Saint-Jean-d'Angély à Saujon

1908-1910

\widehat{A}^1 Fr. 20m.22

Φ_1 (S₁)



1. Pourquoi on a fait une grande voûte. — Pour ne pas gêner la navigation.

2. Appareil. — *A. Bandeau.* — Le dessous de l'archivolte et les arcs passant par les queues des voussoirs divisent chaque joint en 5 parties égales.

B. Culées (S₂). — Au-dessus de murs à joints incertains et gros bossages, un couronnement en pierre de taille lisse ne semble pas à sa place.

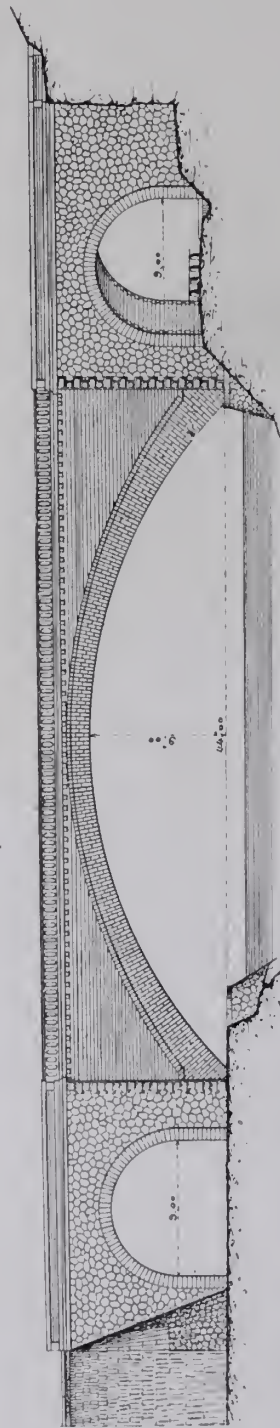
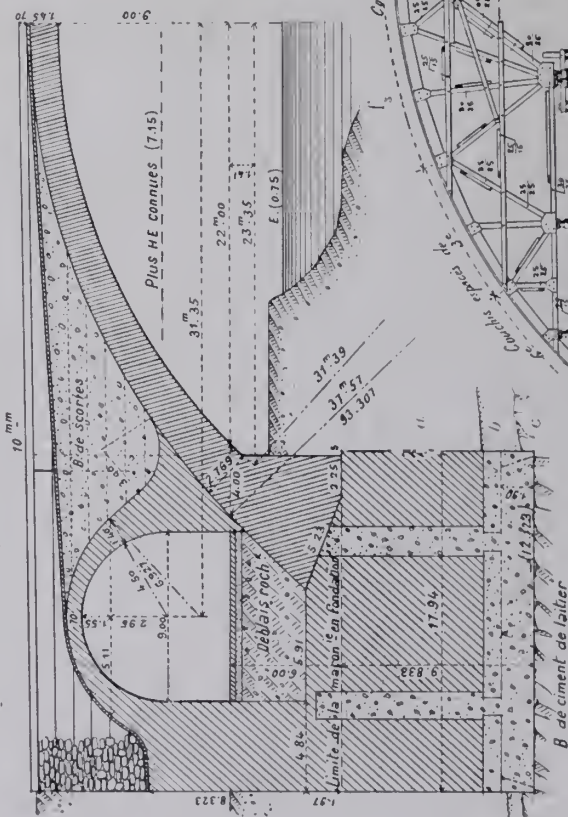
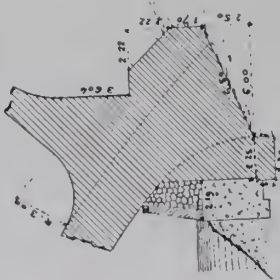
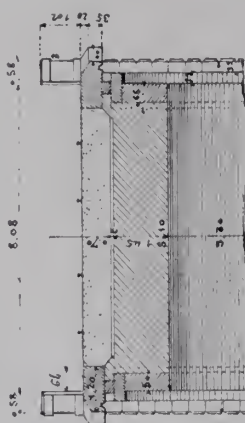
Les bandeaux des voûtes latérales paraissent maigres.

3. Fondation, à l'air comprimé, de la culée rive droite (C₂). On put, dans le caisson, déblayer l'argile à sec, jusqu'à 7m60 sous l'étiage.

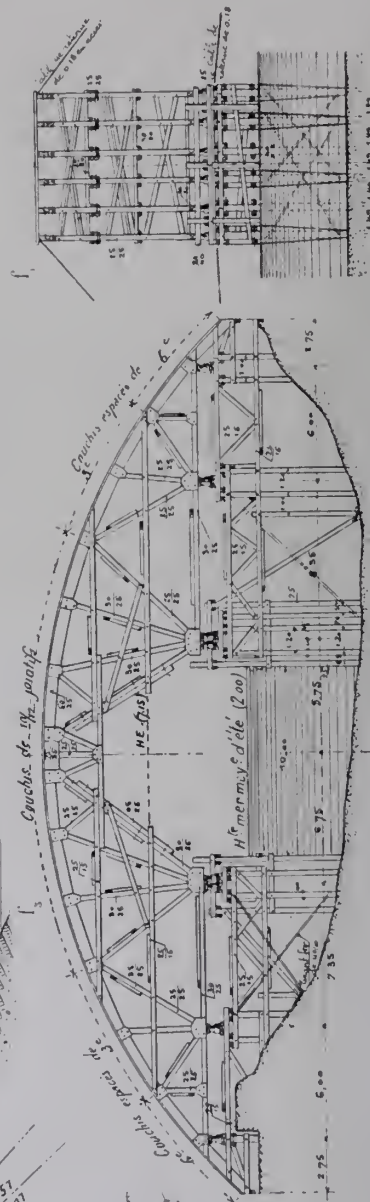
Après l'avoir rempli, on y comprima un coulis de ciment¹, à 2⁵0m01²; il en entra très peu.

1. — à 3⁵ en amont de Saintes.

2. — Comme au Pont de Marmande. (Annales des Ponts et Chaussées, février 1887) « *Pour la construction à l'air comprimé d'un pont sur la Garonne, à Marmande* » M. Seydune.

f₁ — Élévation — 2 mmf₂ — Demi-coupe en long, côté rive droite — 2 mm 5f₃ — Culée rive gauche — 2 mm 5f₄ — Coupe en travers à la clef — 5 mm

Cintre — 2 mm 5



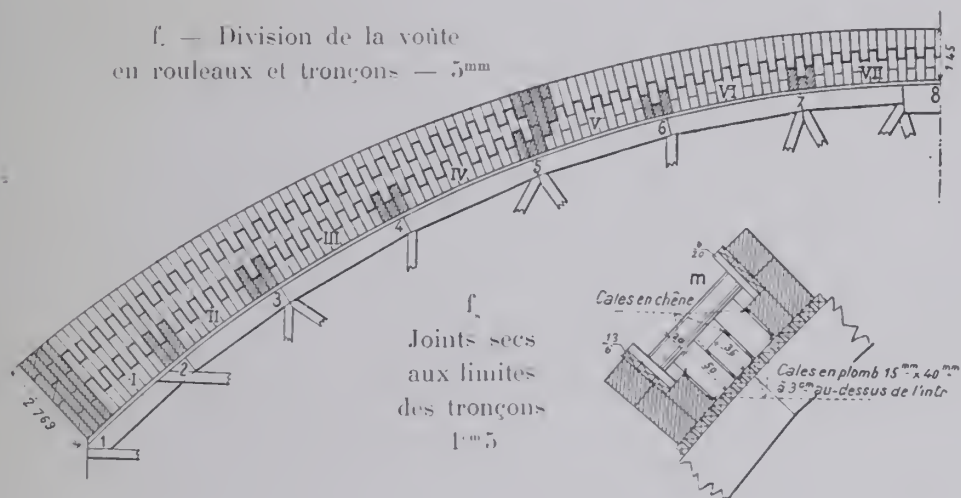
a) Argile d'alluvions.

b) Gravier.

c) Rocher calcaire.

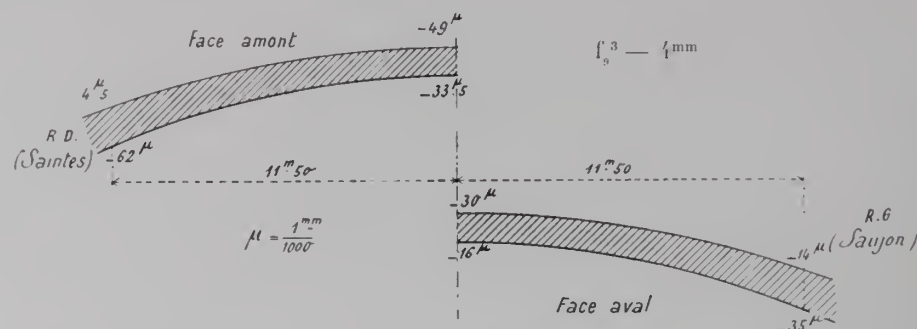


4. Exécution de la grande voûte (f. f.). — A. - *Division en rouleaux*. Elle a été construite en 3 rouleaux, le 2^e limité aux reins.



B. - 1^{er} Rouleau. — On l'a exécuté en 13 tronçons, séparés, au-dessus des points fixes du cintre, par 14 intervalles formés de 3 voussoirs posés à sec (f.). Les moellons de queutage du 1^{er} rouleau s'appuyaient sur des madriers *m* (f.).

5. Mouvements au décentrement (mesurés avec 8 appareils Manet-Rabut à tiges de 1^m) (S''₁).



6. Mouvements dus à la température (S''₁). — Pour un abaissement de température moyenne de 17° (de + 13° à - 4°), on a observé un abaissement à la clef de 6^{mm}.

7. Dates (S''₁).

Fondations.....	avril-décembre 1908
Grande voûte.....	août-octobre 1909
Décentrement.....	26 octobre 1909

8. Personnel (S''₁).

Ingénieurs en chef	{ jusqu'en 1908..... M. Meunier.
	{ après..... M. Perrier.
Ingénieur ordinaire.....	M. Alexandre.
Entrepreneurs :	MM. Marlaud.

3. — De ces chiffres, M. Alexandre conclut qu'au décentrement, la courbe de pression passait, à la clef, à 6^{mm} au-dessus de la fibre moyenne, — aux reins, près du 1/3 inférieur (S₂).

4. — M. Alexandre donne ce calcul :

Le développement moyen de la voûte est de 54^m, dont pour les joints de mortier : $0,4 \times 54^m = 21^m60$.

Si on admet pour le coefficient de dilatation du mortier de ciment, 11×10^{-6} , et si on considère la pierre calcaire comme non dilatable, on trouve, pour un abaissement de 17°, un raccourcissement de :

$$17^\circ \times 11 \times 10^{-6} \times 21^m60 \equiv 4^m$$

En supposant encore que la courbe déformée reste un arc de cercle, l'abaissement correspondant à la clef est 4^{mm}5 au lieu des 6 mesurés.

SOURCES :

S₁. — Dessins d'exécution (S'₁), renseignements (S''₁) et photographie (S'''₁) gracieusement communiqués par M. Alexandre.

S₂. — Ligne de Saint-Jean-d'Angély à Saujon. — Rapport sur l'exécution des travaux et les dépenses effectuées. — MM. Perrier et Alexandre, - p. 55 à 63, Pl. 8 et 9 : « Pont sur la Charente ».

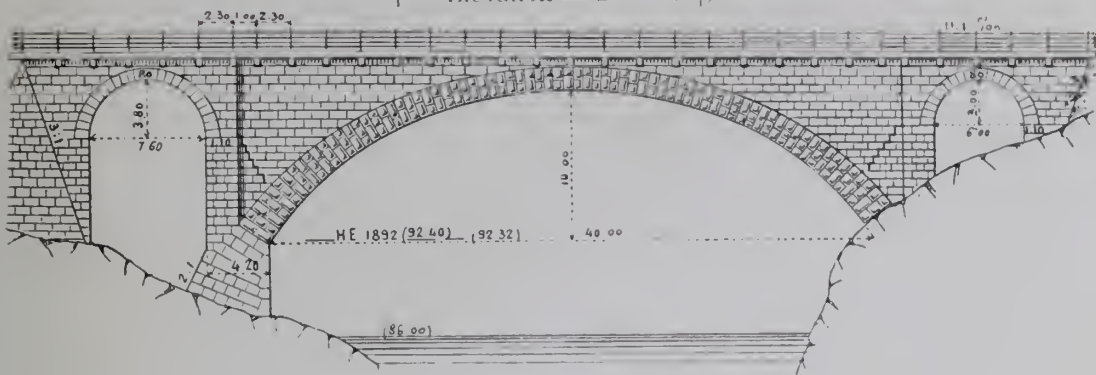
S₃. — Ce que j'ai vu — octobre 1909.

Ce qui n'est pas spécifié S₁ ou S₂ est de S₃.

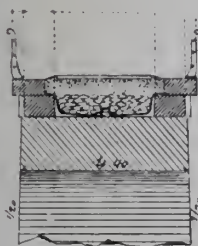
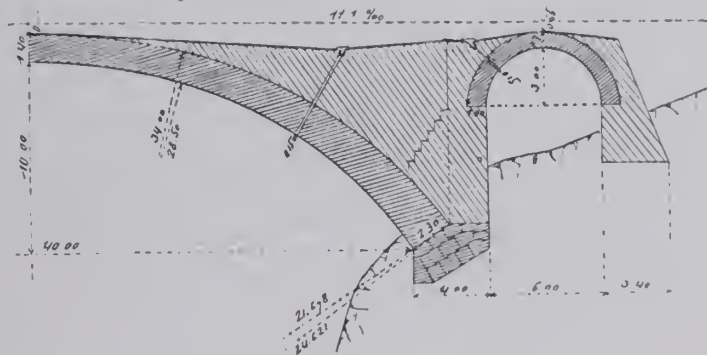
PONT SUR LE NIDELVEN, A BØILEFOS (NORVÈGE)

Ligne d'Arendal à Aamli

1908-19..

$$\widehat{\mathbf{A}}^1 \text{ Pr } (m)23$$
$$f_i = \text{Elevation} = 2^{\text{mm}} \quad (S_i)$$


f_1 — Coupe en travers
à la clef — 5^{mm} (S_1)

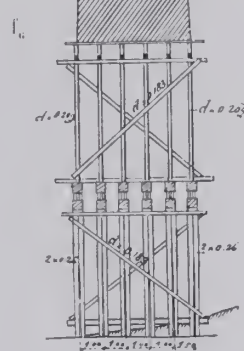
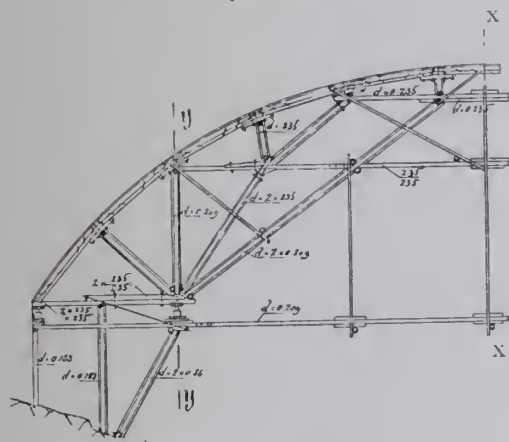

$$f_s = \text{Coupe en long} = 2^{mm}5 \quad (S_1)$$
Centre — 3^{mm} (S₂)

r_1 — Demi-élévation

Campes en travaux

sur X, X' de f_1

sur yy de t_1



1. Personnel (S_1).

Projet : Service de la Construction des Chemins de fer de l'Etat norvégien.

Direction des Travaux : L'Ingénieur de la ligne Arendal-Aamli.

Φ_1 (S_1)

SOURCES :

S_1 . — Dessins d'exécution gracieusement communiqués par M. O. Carlsen, Directeur de l'École Polytechnique de Bergen, — avril 1911.

S_2 . — Dessins du cintre et renseignements, gracieusement adressés par M. Fleischer, (Direction des Chemins de fer de l'État norvégien à Christiania), — mai 1912.

S_3 . — Photographie qu'a bien voulu me donner M. Jenssen (Direction des Chemins de fer de l'État norvégien à Christiania), — novembre 1912.

PONT SUR LA THUR, A LICHTENSTEIG (SUISSE, - Saint-Gall)
Ligne Romanshorn-St. Gall-Uznach (Bodensee-Toggenburg-Zurichsee)

1907-1909

\widehat{A}^1 177,1 — 40m, 24

Φ_1 (S₁)



1. Efforts dans la voûte en kg 0^m01², (Méthode Ritter).

sous une surcharge de 1800^k m²:

a. - sans tenir compte des variations de température (S''₁).....

b. — pour une variation de température de 15° (S₂).

$E = 1 \times 10^5$ en kg 0^m01²; $\alpha = 8,8 \times 10^{-6}$ (S''₁)

c. — pour un recul des culées de 1^m (S₂):

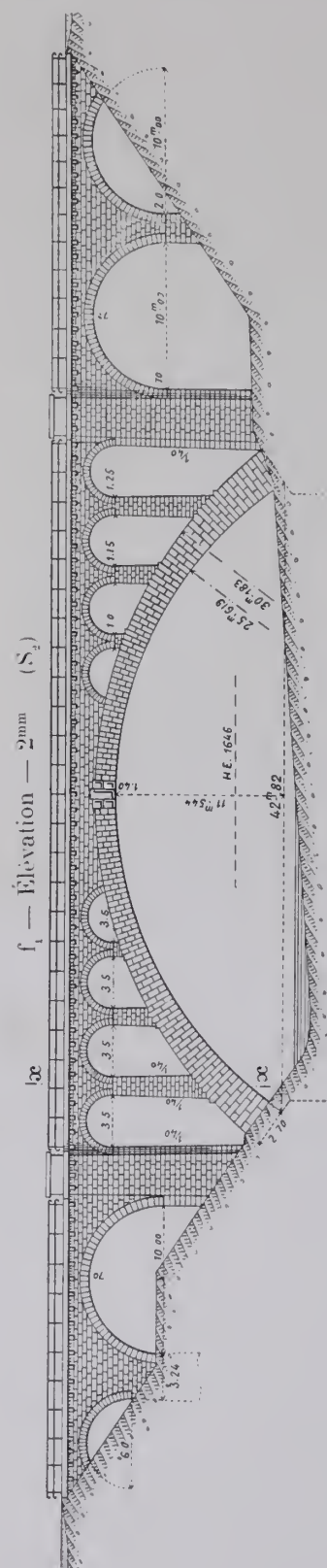
*c.*₁ — avec résistance à la tension.....

*c.*₂ — sans résistance à la tension.....

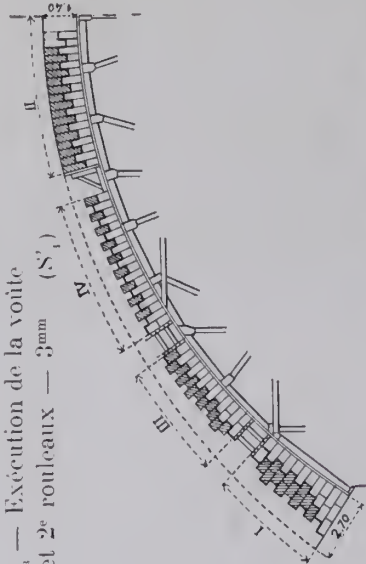
Clef	Joints de rupture	Retombées
27 ^k 5	28 ^k 9	23 ^k 2
31 ^k 5	- 1 ^k 5 (tension)	
38 ^k		- 9 ^k 9 (tension)
40 ^k		42 ^k

2. Cintre. — A. - Efforts (S''). — Les montants et contrefiches travaillent à 23^k5; les vaux à 80^k (limite admise); les billots de décintrement, à 20^k normalement aux fibres, à 60^k dans le sens des fibres.

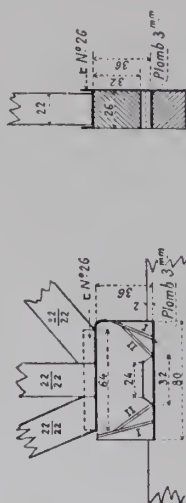
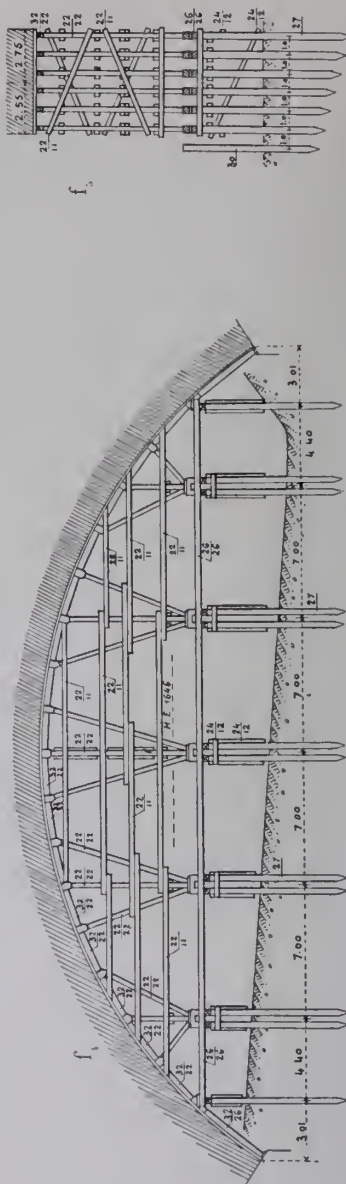
Les pieux portaient au plus 12^r5.



f₃ — Exécution de la route
1^{er} et 2^e rouleaux — 3^{mm} (S



Billots de décimement — 2^{m_i} — (S_i)

Centre — 2mm) (S_1')

B. - *Surhaussement de 80^{mm}* (S₁). — On l'a calculé par la formule :

$$4^{mm} + 2^{mm}5 \left[2 a \text{ (portée en mètres) } - b \text{ (montée en mètres) } \right].$$

3. Dates (S₁).

Commencement des travaux.....	automne 1907
Grande voûte.....	octobre 1908 — mai 1909
Décintrement.....	juin 1909
Ouverture à la circulation.....	octobre 1910

4. Personnel (S₁).

Projet : Service de la Construction du Bodensee-Toggenburgbahn.

Direction des Travaux : M. R. Weber, Ingénieur en Chef.

M. Hünérwadel, Ingénieur.

Exécution en régie.

SOURCES :

S₁. — Dessins (S₁) et renseignements (S₁) gracieusement communiqués, en septembre et novembre 1912, par M. Acatos, Ingénieur en chef du Bodensee-Toggenburgbahn, à Saint-Gall.

S₂. — Bodensee-Toggenburg-Zürichsee, - Denkschrift über die Eisenbahn-Verbindung Romanshorn-St.Gallen-Wattwil-Uznach, - p. 95, Pl. 11 : « *Der Thurriadukt bei Lichtensteig* ». — Zollikofer et C^{ie}, Saint-Gall, 1911.

S₃. — Ce que j'ai vu — juillet 1912.

PONT SUR LA THUR, A KRUMMENAU (SUISSE, - Saint-Gall)

Ligne d'Elmat à Nesslerau

1910-1911

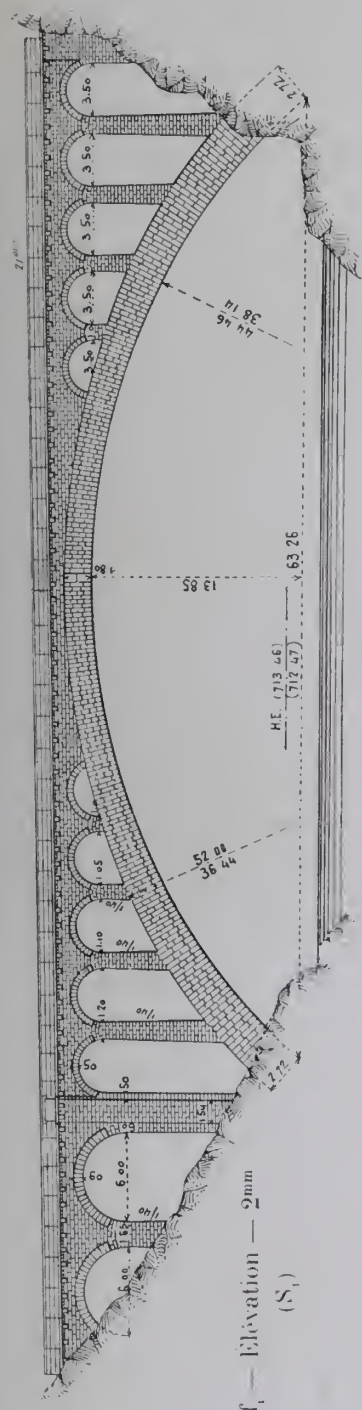
$\widehat{A}^1 \text{ I}^{1r} (\geq 40^m) 2^5$

$\Phi_1 (S_1)$



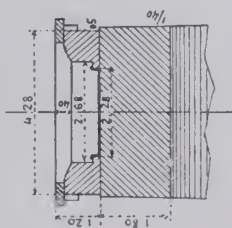
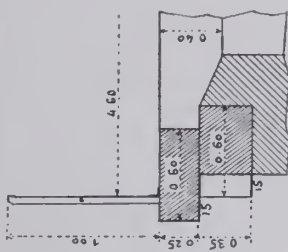
1. Efforts dans la voûte, en $\text{kg}/\sqrt{0^m01^2} (S_1)$, calculés sans tenir compte de la résistance à la tension.

		Côté Elmat (RD)					Côté Nesslerau (le plus haut) (RG)				
		Retombée		Clef			Retombée				
Distance horizontale du milieu du joint à la clef.....		32 ^m 5	28 ^m	18 ^m	9 ^m	0	9 ^m	18 ^m	28 ^m	32 ^m 5	
Sous le poids propre	Extrados.....	15 ^k	8 ^k	14 ^k	20 ^k	18 ^k	»	»	»	»	
	Intrados.....	20	31	26	22	25	»	»	»	»	
Sous la surcharge :											
1 ^{re} sans tenir compte des variations de température	Extrados	Effort MAX..	30	14	20	29	26	34	23	10	22
		— min..	7	5	8	12	15	17	9	3	0
	Intrados	— MAX..	31	33	33	32	31	27	31	35	39
		— min..	8	23	17	15	20	9	15	27	17
2 ^e pour une variation de température de $\pm 15^\circ$	Extrados	Effort MAX..	36	»	»	»	30	36	»	»	»
		— min..	»	»	7	»	11	»	»	»	»
	Intrados	— MAX..	»	»	34	»	36	»	»	37	46
		— min..	2	»	»	»	15	7	»	»	»

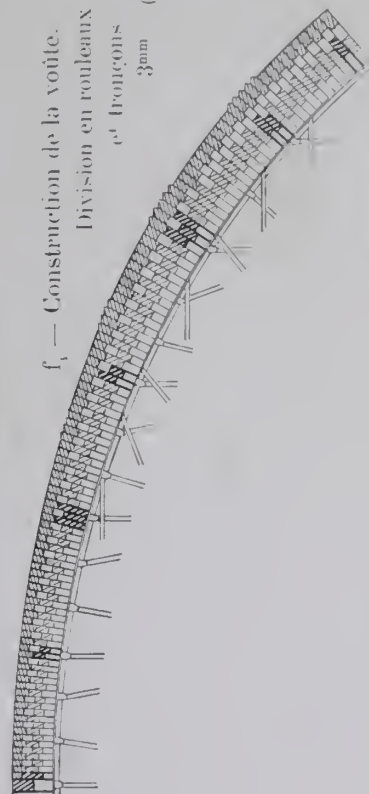
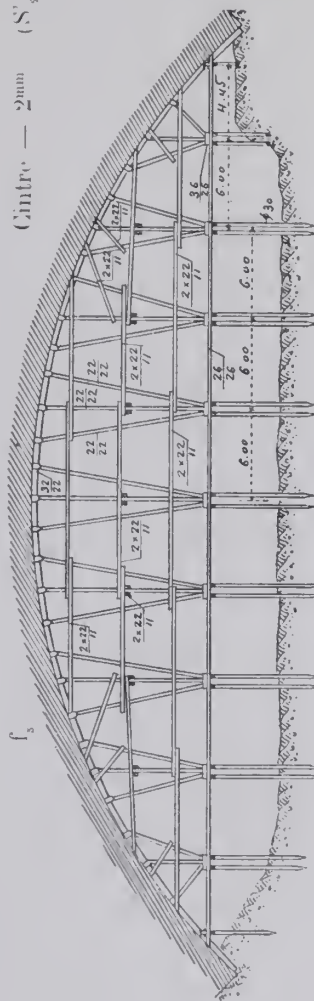

$$f_i = \text{Elevation} - 2\text{mm}$$

$$(S_i)$$

f_1 — Coupe en travers
à la clef — 5 mm (S_1)

 f_i — Couronnement — $\bar{g}_i^{\text{ou}}(S_i)$ 

f₁ — Construction de la voûte.
Division en rouleaux
et tronçons
3mm (S₁)


$$(\text{Centre} - \sum_{i=1}^n S_i)_{04}$$


2. Cintre (S'_2). — *A. - Efforts.* — Les montants et contrefiches travaillaient au plus à $18^k 6 \overline{0^m 01^2}$, les vaux à 60^k , le platelage à 87^k .

Les pieux, de 28^m , battus au refus de 7^m , avec un mouton de 480^k tombant de 4^m , portaient 13 tonnes.

B. - Surhaussement de 130^m . — On l'a calculé par la formule :

$$4^m + 2^m 5 \left[2a \text{ (portée en mètres)} - b \text{ (montée en mètres)} \right].$$

C. - Prix de revient.

1° Palées¹.

Fournitures	3.144 ¹ 60	
Pieux : $49^m 3$ à 33^m = 1626 ¹ 90.		
Main-d'œuvre	3.054 ¹ 25	
Outils et frais généraux (9 %) ²	557 ¹ 90	
Brise-lame pour protéger les palées	2.125 ¹	8.881 ¹ 75
<i>2° Cintre proprement dit.</i>		
Fournitures :		
Bois équarri : 194^m à 55^m	10.670 ¹	
Planches : 23^m à 50^m	1.150 ¹	
Fers	2.969 ¹	
Divers	350 ¹	15.139
Main-d'œuvre :		
Façon des bois ³	1.260 ¹	
Transport et montage ²	2.322 ¹ 60	
Abaissement du cintre, démontage, transport au dépôt	1.102 ¹ 50	4.685 ¹ 10
	19.824 ¹ 10	
Outils et frais généraux 9 % ²	1.785 ¹ 15	21.601 ¹ 25
Prix total du cintre		30.490 ¹
A déduire, valeur du matériel conservé		4.990 ¹
Prix net du cintre (sans bénéfice de l'Entrepreneur)		25.500 ¹
soit par mc. de maçonnerie de voûte ³	32 ¹ 70	
par mq. de surface d'élévation sous la douelle	37 ¹	

D. - Salaires. — Prix de l'heure (S''_2).

Maitre-charpentier	1 ¹
Charpentier	0 ¹ 63
Maçon	0 ¹ 63
Mineur	0 ¹ 50
Manœuvre	0 ¹ 43

1. — Longueurs moyennes : d'un pieu, $5^m 73$; de fiche, $1^m 51$. — Le mètre courant de pieu a coûté, y compris les sabots, $9^1 45$.

2. — La main-d'œuvre a coûté, par m. c. de bois équarri : façon des bois, $6^1 50$; transport et montage, 12^1 .

3. — Par m. c. de maçonnerie de voûte (780^m), on a employé $0^m 365$ de bois ; - par m. c. de bois (283^m), 28^1 de fer, 40 , 8 heures de travail.

3. Exécution de la voûte. — Comme au pont de Montanges⁴, les voussoirs se découpent, non seulement d'une assise à l'autre, mais dans la même assise (S'''_2).

Le mortier n'a pas été maté, mais seulement fiché (S_1).

4. Dates.

Commencement des travaux.....	juillet 1910
Grande voûte.....	mai — 10 août 1911
Décintrement.....	8 septembre 1911
Ouverture à l'exploitation.....	1 ^{er} octobre 1912

5. Tassement des fermes de rive, en *mm* (S_1).

		Côté Ebnat (RD)				Côté Nesslau (RG)					
Distance horizontale à la clef		22 ^m 40		11 ^m 60		Clef		12 ^m 20		22 ^m 20	
Dates (1911)		<i>am^s</i>	<i>av^s</i>	<i>am^s</i>	<i>av^s</i>	<i>am^s</i>	<i>av^s</i>	<i>am^s</i>	<i>av^s</i>	<i>am^s</i>	<i>av^s</i>
1 ^{er} rouleau.....	27 mai.....	-4	0.5	4	3	0.5	0.5	6	7	3	0.5
	6 juin.....	7	10.5	5	4	6	6.5	3.5	3	2	10
	16 juin.....	12.5	14	11	10.5	8.5	9	8	7.5	7.5	14.5
2 ^e et 3 ^e rouleaux.....	23 juin.....	13	13.5	11.5	11.5	5	6	7	7	8	15
	11 juillet....	29	34.5	24.5	26	18	18	24	25	26	37.5
4 ^e rouleau.....	19 juillet....	33.5	35	27	27	20.5	20.5	28	28.5	28	37.5
	1 ^{er} août....	30.5	33.5	27.5	27	24	24	28	28.5	28	36.5
	14 août.....	32.5	35.5	33	28.5	26.5	24	33	32	29.5	39.5

6. Tassement des bandeaux, en *mm* (S_1).

Distance horizontale à la clef	Côté Ebnat (RD)				Côté Nesslau (RG)					
	22 ^m 40		12 ^m 80		Clef		11 ^m 80		22 ^m 20	
	am^s	av^s	am^s	av^s	am^s	av^s	am^s	av^s	am^s	av^s
Dates des observations (1911)										
1 ^{er} août (par rapport au 19 juillet)...	0	1,5	2	1	4,5	4,5	2	2	0	0
14 août.....	2	2	5,5	1,5	2,5	0	5	3,5	1,5	3
8 septembre (décintrement)..... (toutes les piles et les 6 voûtes extrêmes d'évidement construites.)	0	1	2	2	4,5	2	2	2	1	1
19 septembre..... (les voûtes d'évidement achevées.)	9,5	6	9,5	17	11	11	12	14	8	8,5
1 ^{er} décembre..... (le pont achevé)	6	2	6	2	11	13	13,5	13,5	10	1,5

7. Personnel.

Ingénieurs.

Projet : Service de la Construction du Bodensee-Toggenburgbahn.

Direction des Travaux : M. R. Weber, Ingénieur en chef.

Entrepreneurs : MM. Aebli, Stambach et C^{ie}.

SOURCES :

S₁. — Dessins d'exécution gracieusement communiqués par M. Acatos, Ingénieur en chef du Bodensee-Toggenburgbahn, à Saint-Gall.

S₂. — Documents qu'ont bien voulu me communiquer, à Krummenau, MM. Aebli et Stambach :

S'₂. — Dessins et photographie du cintre. S''₂. — Etat des dépenses du cintre.

S'''₂. — Photographie de la voûte en construction.

S₃. — Ce que j'ai vu — juillet 1912.

S₄. — Schweizerische Bauzeitung, 1913 : 1^{er} février, p. 53 à 57 ; 8 février, p. 69 à 73.
« Die Bahnlinie Ebnat-Nesslau », von Ingenieur A. Acatos, Oberingenieur-Stellvertreter der B.T.

VOÛTES INARTICULÉES EN ARC ASSEZ SURBAISSÉ ¹

PONTS A PLUSIEURS GRANDES ARCHES

SOUS ROUTE

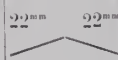
Série $\widehat{A}^{n^{\text{te}}}_{(\geq 40^{\text{m}})}$

Voir Préliminaires, Tome III, p. 3 et 4

1. — pour la définition des arcs « assez surbaissés ».

2. — pour le sens de ce symbole.

PONT A PLUSIEURS GRANDES ARCHES SOUS ROUTE

PONT	PROJET								1° ÉVIDEME DES TYMPA 2° DÉCORAT DES TE	
	Date Symbole En quoi consiste l'ouvrage	ENSEMBLE	GRANDES VOÛTES				PRESSIONS en kg 0 ^m 01 ² Hypothèse adoptée Surcharges supposées			
			Longueur entre abouts des parapets Déclivités Hauteur maxima de la chaussée au-dessus du sol ou de l'étiage	Largeurs entre parapets entre tympans sous la plinthe Fruit des tympans Renvanche de la chaussée sur l'extrados	INTRADOS Portée Montée Surbaissement Rayon	ÉPAISSEURS		MATÉRIAUX Mortier Poids, pour 1 ^m de sable, de chaux ou de ciment		
						CORPS Clef Retombées				TÊTES Clef Retom- bées
1	2	3	4	5	6	7	8	9		
du Vieux Château à Vérone Italie 1354-1356 Aⁿ 1^{re} (40 ^m)1 3 voûtes en arc : 1 de 48 ^m 70 à 1 4,021 (RD) ; 1 de 28 ^m 51 à 1 5,384 ; 1 de 24 ^m à 1 4,403 (RG).	119 ^m 44 entre culées  15 ^m	Clef Imposte 3 ^m 95 6 ^m 50 6 ^m 80 7 ^m 35	Arc de cercle 48 ^m 70 12 ^m 10 $\frac{1}{4,021} = 0,248$ 30 ^m 55		1 ^m 30 1 ^m 80 (RD) 2 ^m 00 en quelques points, RD.	Bandeaux : PT ¹ irrégulière Calcaire Douelle : Br ¹ Quelques chaînes de PT ¹				
de Seythenex France 1908-1911 Aⁿ 1^{re} (40 ^m)2 2 voûtes en arc de cercle de 44 ^m 19 et 39 ^m 665 ; sur chaque rive, une voûte en plein cintre de 44 ^m .	125 ^m 43 0 56 ^m	3 ^m 80 2 ^m 80 Pas de fruit 0m60	Arc de cercle Voûte rive droite 44 ^m 19 10 ^m 05 $\frac{1}{4,038} = 0,243$ 26 ^m 13 Voûte rive gauche 39 ^m 665 10 ^m 05 $\frac{1}{3,946} = 0,253$ 26 ^m 13	0 ^m 90 1 ^m 10	0 ^m 90 1 ^m 10	PT ¹ 2 rangées de voussoirs Pierre de Seythenex (1400 ^k à 1600 ^k) Ciment Vicat n° 1 — 600 ^k	Pression maxima sous la surcharge : Clef : 23 ^k Retombées : 23 ^k Méry Surcharge : 400 ^k 1 ^m Disage du béton : Ciment Sable Gravier	1° Chaus- surplate f en béton a portée des colon en béton contreve en lon et en tr à 4 ^m 50 s la chaus- 2° 9		

1. — Pour le sens de ces abréviations, voir Avertissement, Tome III, p. II, n° 6.

2. — La retombée rive gauche est à 1^m 78 au-dessus de la retombée rive droite.

SÉRIE $\widehat{A}^{n^{1e}} (\geq 40m)$

TABLEAU SYNOPTIQUE

EXÉCUTION										CUBE DE MAÇONNERIE A MORTIER	
GRANDES VOÛTES										Q	
FONDATIONS	CINTRES					MODE DE CONSTRUCTION	DÉCINTREMENT État d'avancement du pont Temps entre le dernier clavage et le décintrement Date	TASSEMENTS DE LA CLEF sur cintre t_c au décin- trement t_v après t_v''	DÉPENSE		
	FERMES		Cube de bois Poids de fer Dépenses		Totaux				par mq de douelle ²	et par unité ³ de surface utile S_p ³ de volume « utile » W ⁴	
	Type	Nombre	Appareils de décintrement	Écartement d'axe en axe Surhaussement							
	Matière	Épaisseur									
Profondeur de l'étiage											
Pressions sur le sol kg 0m01 ²											
Procédé											
10	11	12	13	14	15	16	17	18			
Culée gauche : Terre requête pierrailles Pression maxima : 2 ^s Mussif ton, arme ts, croises, fers ronds Pile, Culée droite : Rocher	Voûte rive droite Retroussé sur 40° Grands arbalétriers Voûte rive gauche Fixe Montants et contre-fiches Sapin Boîtes à sable	3 Cintre retroussé 27 ^c Cintre fixe 20 ^f 1m25 54mm	Pour les 2 cintres : 170 ^{mc} 3000 ^k 17248 ^f 6	0 ^{mc} 63 11 ^k 1 63 ^f 5	2 rouleaux, chacun en 7 tronçons. Joints secs au-dessus des points fixes du cintre.	Voûtes nues 15 jours 30 novembre	A chaque voûte : $t_c = 20^{mm}$ $t_v = 0$	Q = 2020 ^{mc} Q : $S_p = 4^{m} 23$ Q : $W = 0^{m} 20$ Q : $W' = 0^{m} 29$ 5 D = 136343 ^f D : $S_p = 286$ 1 D : $W = 13$ 6 D : $W' = 19$ 8 D : $Q = 67$ 5 5			

Sur le calcul de la surface de douelle, voir Avertissement, Tome III, p. III, n° 7 — A. 3. S_p = Longueur (col. 2) \times Largeur entre parapets (col. 3) — C'est la surface offerte à la circulation
4. W = Surface vue de l'élévation \times Largeur entre parapets. 5. W' = Surface de l'élévation au-dessus des fondations \times Largeur entre parapets
Pour S_p , W , W' , voir Avertissement, Tome III, p. III, n° 7 — B.
6. — Forfait comprenant aussi les cintres des voûtes d'accès.

VOÛTES INARTICULÉES EN ARC ASSEZ SURBAISSÉ
PONT A PLUSIEURS GRANDES ARCHES SOUS ROUTE

SÉRIE $\widehat{A}^{n 1^{te}}$ ($\geq 40m$)

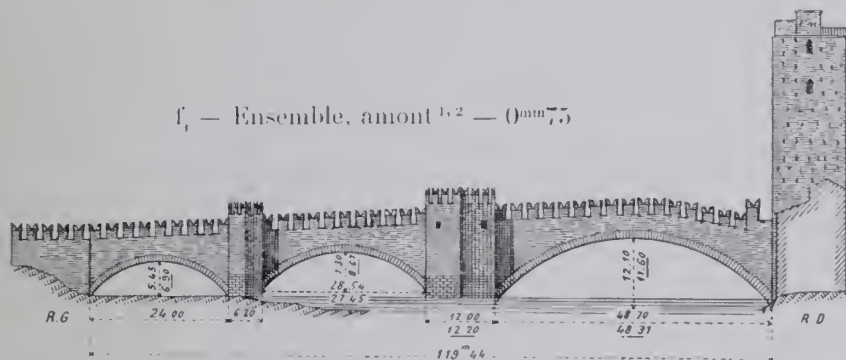
MONOGRAPHIES

PONT DU VIEUX-CHÂTEAU (CASTELVECCHIO) SUR L'ADIGE
A VÉRONE (ITALIE)

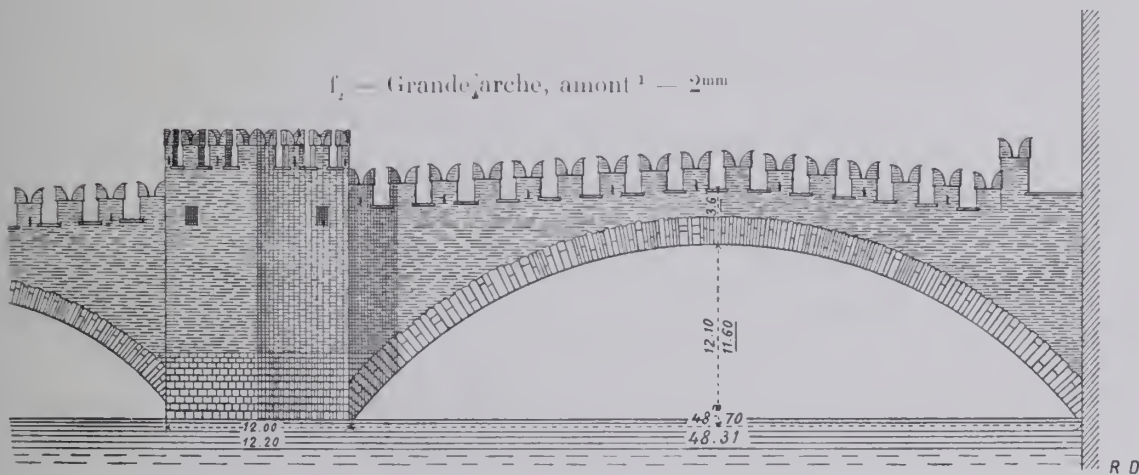
1354-1356

$\widehat{A}^{n 1^{te}}$ ($\geq 40m$) I

f_1 — Ensemble, amont $1,2$ — (mm) 7,5



f_2 — Grande arche, amont 1 — 2mm



1. — Ces deux figures, réduites de S_1 , Pl. XVIII, ont été rectifiées d'après mes photographies.

Les dimensions en ont été relevées par M. Biadego (S_1). On a souligné celles mesurées par M. l'Inspecteur Général de Dartein, qui a bien voulu me communiquer ses minutes.

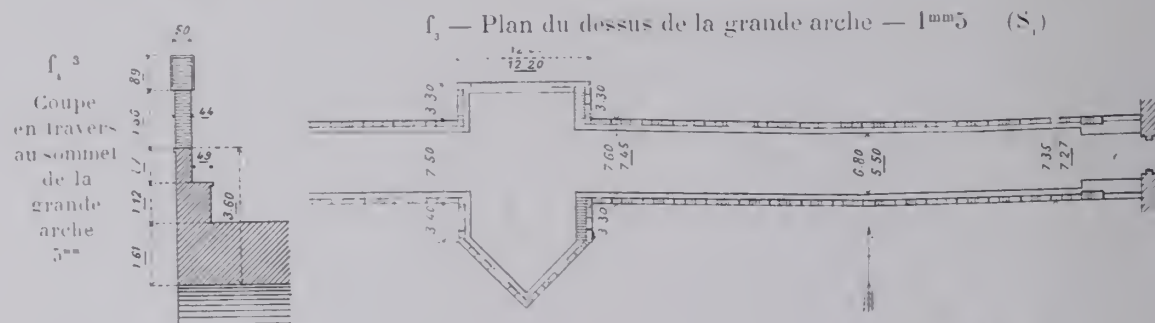
2. — Gauthey donne un dessin fort inexact du pont avec une grande arche en anse de panier de 48°73, 2 arches en plein cintre de 15°27 et 11°. (*Construction des Ponts*, tome I, p. 26, Pl. I, fig. 20, — Paris, 1809). Il a été reproduit par Croizette-Desnoyers. (*Construction des Ponts*, Pl. IV, fig. 5).

ϕ_1 — amont (S_1)

1. Grande arche. Courbe en plan. — La grande arche est en chevron courbe contre le courant.

La flèche est (S_1) :

à la tête amont.....	0 ^m 23
à la tête aval.....	0 ^m 78



La largeur est (S_1) :

	entre toles	entre parapets
au droit de l'imposte.....	7 ^m 35	6 ^m 50
au droit de la clef.....	6 ^m 80	5 ^m 95

3. — Relevé de M. de Dartin.

A-t-on voulu continuer la courbe du chemin d'accès ? Le cintre s'est-il déformé ? La voûte a-t-elle été mal exécutée ?



2. Matériaux. — *A. Pile* (S_1). — La base, jusqu'à 4^m environ au-dessus des eaux ordinaires, est revêtue d'assises horizontales de marbre blanc et rouge, de 0^m56 de hauteur, en morceaux de 1^m50 à 2^m et jusqu'à 2^m75 de longueur, quelques-uns empruntés à des monuments romains détruits.

Au-dessus, tout est en briques.

B. Bandeaux. — Les bandeaux ont des creux, des bosses, des surplombs.

Les voussoirs en pierre de taille calcaire, en général sans saillie sur les tympans ni sur la douelle, sont fort irréguliers d'épaisseur, de hauteur et d'extrados. Ils ne sont pas ravalés. Quelques-uns ont leur face oblique sur la tête. Aux reins, à l'amont, quelques-uns sont cassés.

C. Douelle. — La douelle, en briques dont beaucoup sont creusées, est traversée, d'une tête à l'autre, d'assises de pierre de taille calcaire.

D. Dimensions des briques (S_1). — $22^{cm} \times 13^{cm5} \times 6^{cm5}$ — $27^{cm} \times 13^{cm5} \times 5^{cm5}$.

3. Dates (S_1). — Le pont a été commencé en 1354 par Can Grande II della Scala, podestat de Vérone, en même temps que le Vieux-Château auquel il sert d'accès du côté du fleuve. La construction n'aurait duré que 3 ans (1354-1356) ⁴.

François 1^{er} d'Autriche le fit réparer en 1824.

4. Ingénieurs (S_1). — Peut-être Jean de Ferrare et Jacques de Gozzo, qui auraient, 20 ans après, construit le pont « *delle Nari* » à Vérone ⁵.

4. — De 1345 à 1377, on a construit en Italie 5 grands ponts :

1345 (date donnée par Ferroni). — Pont Vieux « *Ponte Vecchio* » dit aussi Pont des Orfèvres, sur l'Arno, à Florence, dû à Taddeo Gaddi. — Arc du milieu : 29^m189 , et 4^m476 de flèche.

« *De la véritable courbe des Arches du Pont de la Trinité, à Florence* ». — Mémoire géométrique et historique de Pierre Ferroni. — Inséré dans le tome XIV de la Société italienne des Sciences (1808).

1351-1356. — Pont couvert, sur le Tessin, à Pavie. — 6 arches : les 3 plus grandes en arc, - 2 petites en plein cintre, - une intermédiaire qui paraît en plein cintre (S_1).

D'après une inscription sur la première pile rive gauche, rapportée par Malibran, on a commencé en 1351 à le réparer ou à le refaire.

Morandière en donne (Pl. 61, fig. 1 à 5) des dessins d'après Malibran. — La plus grande arche, celle de rive droite, a, à l'échelle, environ 28^m .

J'ai contrôlé ces dessins par mes photographies.

Gauthey donne un dessin et une description fort détaillée d'un pont saugrenu, qui n'a rien de commun avec l'ouvrage existant : 7 ogives égales, tympans évidés en triangle, pile à coupe horizontale en forme de lentille (*Construction des Ponts*, tome I, p. 22, Pl. I, fig. 24, 24 bis, — Paris 1809).

1354-1356. — Pont du Vieux-Château, sur l'Adige, à Vérone. — 3 arcs — \widehat{A}^n 1^{re} ($\approx 40^m$) ¹

1373-1375. — Autre Pont sur l'Adige, à Vérone, dit « *delle Nari* », ruiné plusieurs fois par des crues. — 4 arcs de 16^m80 , 24^m50 , 15^m35 et 22^m40 (S_1), construit sous Can III della Scala (ou Can Signorino), frère de Can II.

1370-1377. — Pont de Trezzo, sur l'Adda, ruiné en 1446. — Arc de 72^m — \widehat{A}^1 1^{re} ($\approx 40^m$) ¹ — Tome III.

5. — Ils sont désignés comme Ingénieurs du Pont de Pavie par Torello Saraina dans son « *Histoire de Vérone* », 1649. — (Malibran : Mission d'Italie).

SOURCES :

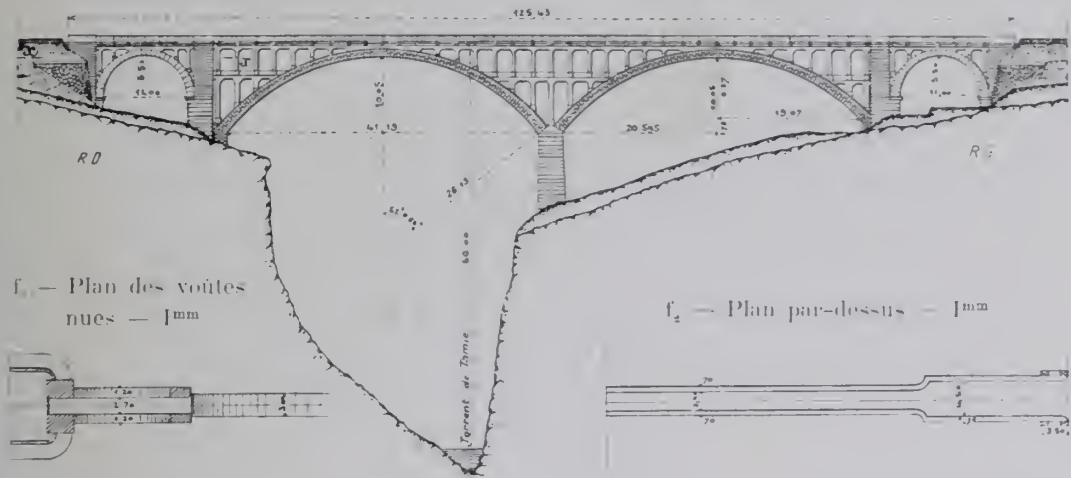
S_1 . — G. B. Biadego : « *Del Ponte nuovo sull' Adige a Verona* », Vérone, Turin, 1885. Memoria IV, p. 251, Pl. XVIII. — Cette planche indique le pont tel qu'il a été dessiné, à la fin du XVIII^e siècle, par l'Ingénieur Bertolini, Professeur au Collège militaire.

S_2 . — Ce que j'ai vu, — juin 1908.

HOLLAND-SEAVOIE

Chemin ricinal ordinaire

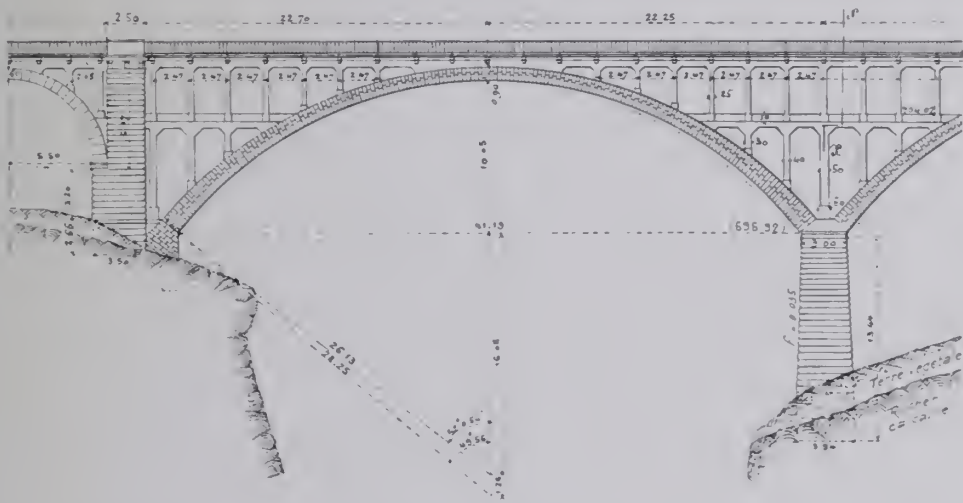
1908-1911

$$\widehat{\mathbf{A}}^n \text{ fide } \left(\frac{1}{2} \right)_{m,2}$$
$$f_1 = \text{Ensemble, aval} = 1^{mm}$$


1. Pourquoi deux grandes arches ? — L'arche de 39^m665, rive gauche, ne paraît pas imposée.

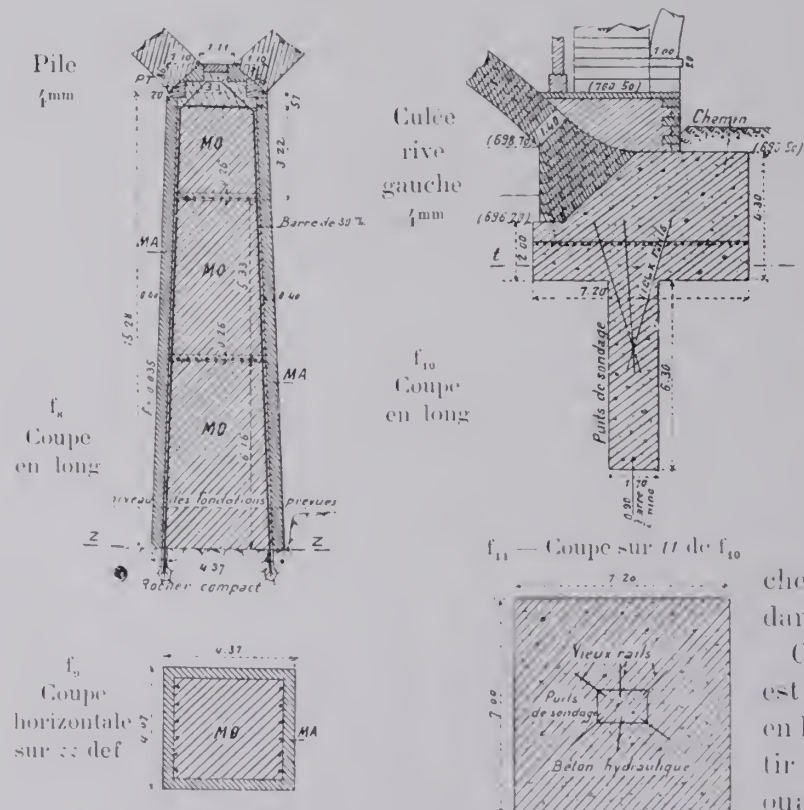
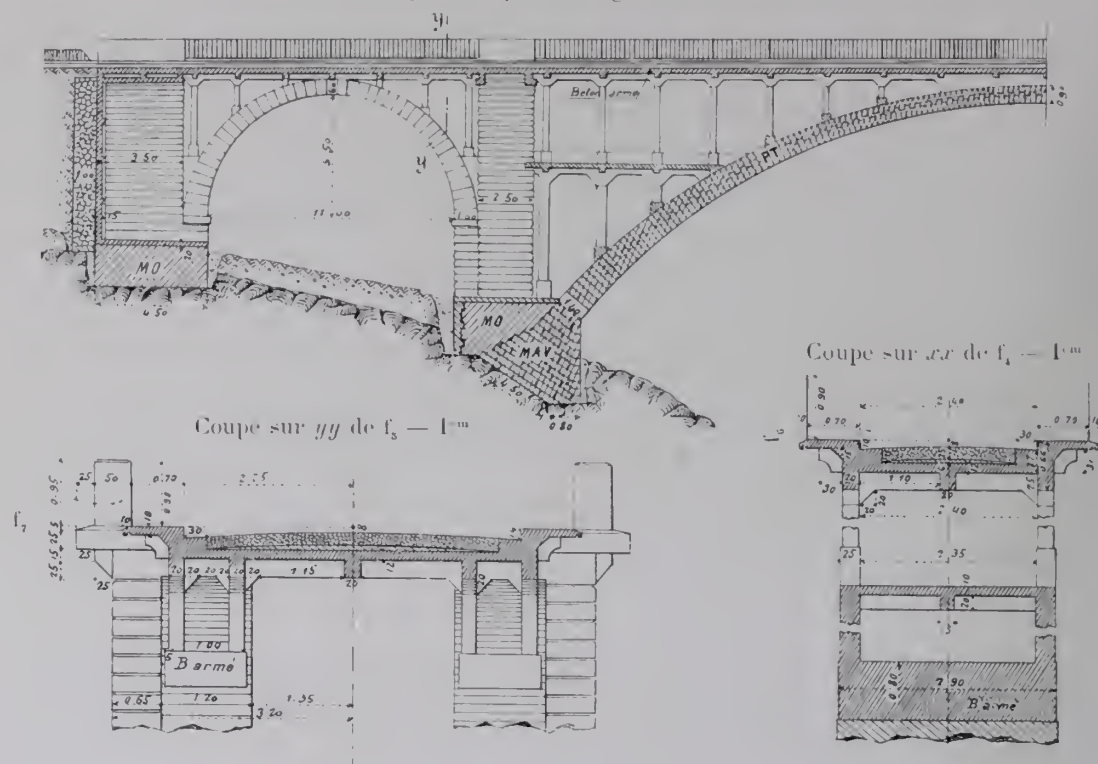
Peut-être aurait-on facilement ajusté aux lieux une grande voûte rampante au-dessus du creux, et un viaduc d'accès sur le glacié de rive gauche.

f_1 — Grande voûte rive droite — 2^{mm}



2. Arches d'accès en deux anneaux. — On a élargi à bon compte les entrées du pont, en plaçant un plancher en béton armé sur deux anneaux de voûte (f_3, f_7).

1. — A 4° de Faverges (station de la ligne d'Annecy à Albertville).

f_2 — Coupe en long — 3mm

3. Matériaux

(S_1). — Sont :

en béton armé : le tablier sous la chaussée, les colonnes qui le portent, le plancher entre les anneaux des arches d'accès (f_6 , f_7) ;
 en maçonnerie, le reste.

4. Pile et culées

(S''_1) (f_8 , f_9). — La pile est armée ; elle est ancrée dans des poches creusées à l'acide dans le rocher.

Comme les culées, elle est traversée par des dalles en béton armé pour répartir les pressions, prévenir ou arrêter les fissures (f_8 , f_{10}).

5. Joints de dilatation (S''_2). — Le tablier sous chaussée est coupé à 1m 70 de chaque côté des clefs et à l'aplomb des naissances.



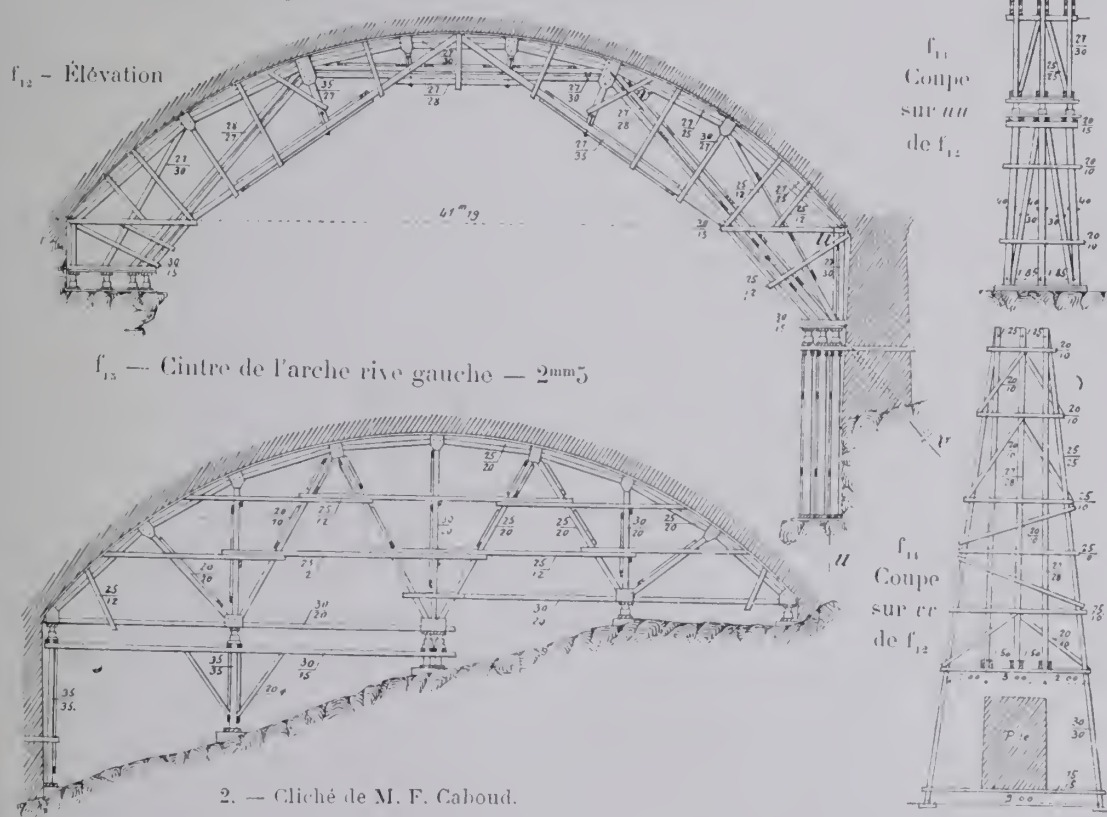
6. Fondation de la culée rive gauche (f_{10}, f_{11}). — Un sondage de 13^m50 n'a pas atteint le rocher.

On a fondé sur un massif de béton de 8^m × 7^m30 × 3^m50, armé dans les deux sens, de 54 barres de 25^{mm}.

On a rempli le puits de sondage de béton, qu'on a relié au massif de fondation par 6 vieux rails.

7. Cintres (S_2). Cintre de l'arche rive droite — 2^{mm}5

f_{12} — Élévation



2. — Cliché de M. F. Caboud.

8. Décintrement (S''_1). — En matant les joints secs, on a exhaussé et décintré les voûtes. Aussi, pas de tassement au décintrement.

9. Dates (S''_1).

Commencement des travaux.....	septembre 1908
Fondations.....	octobre-novembre 1909
Grandes voûtes (construites en même temps).....	2 avril 1910 - 15 novembre 1910
Décintrement.....	30 novembre 1911
Ouverture à la circulation.....	12 mars 1912

10. Quantités et Dépenses (S''_2).

1 ^o Travaux à l'Entreprise.		sans rabais		déduit	
Fouilles.....		1032 ^m 75	1'20à5'10	2565'94	
Béton de fondation.....		245 ^m 42	20'	4810'23	
Dalles armées, dans la pile et la culée rive gauche	} Béton... Acier...	21 ^m 58	50'	1057'42	
		3291 ^k 38	0'50	1612'78	
Cintres (<i>forfait</i>).....		»	»	17248'00	
Pierres sèches.....		313 ^m 44	6'60	2027'33	
Maçonnerie à mortier	} Moellons { ordinaires..... équarris..... d'appareil.....	779 ^m 01	14'10	10764'36	
		37 ^m 37	23'10	845'98	
		270 ^m 09	23'10	6114'30	
		Pierre de taille { de Seythenex..... de Ruoms (<i>dés des garde-corps</i>)	420 ^m 55	70'	28849'73
29 ^m 68	100'		2908'64		
Parements vus de maçonnerie	} Moellons { équarris..... d'appareil.....	158 ^m 34	1'65	256'03	
		816 ^m 62	4'40	3521'27	
		Pierre de taille { de Seythenex..... de Ruoms.....	1219 ^m 85	7'00	8368'17
			126 ^m 84	8'50	1056'58
Indemnités allouées.....				7997'00	
Plate-forme et piliers en béton armé (216 ^m), garde-corps en fer, chaussée (<i>forfait</i>)				30000'00	
Total des travaux à l'Entreprise...				130003'76	
2 ^o Travaux en régie, indemnités de terrains, divers.....				6339'57	
Prix de revient total.....				136343'33	

11. Personnel (S''_1).

Projet : M. Schœndœrffer, Ingénieur en chef ; — M. Pernoud, Agent-Voyer Principal.

Direction des travaux : M. Schœndœrffer, puis M. Reuss, Ingénieurs en chef ; — M. Pernoud ; — M. Millet, Ingénieur ordinaire.

Entrepreneurs { Maçonnerie et Cintres : M. Mercier ;
Béton armé : MM. Mazet et Limousin.

SOURCES :


S_1 . — Dessins d'exécution (S'_1), renseignements (S''_1) et photographie (S'''_1) gracieusement communiqués par MM. Schœndœrffer et Reuss.

S_2 . — Dessins du cintre (S'_2) et renseignements (S''_2) qu'a bien voulu m'adresser M. Pernoud.

VOÛTES INARTICULÉES EN ARC ASSEZ SURBAISSÉ ¹

PONTS A PLUSIEURS GRANDES ARCHES

SOUS CHEMIN DE FER A VOIE NORMALE

Série  ⁿ F^r ($\geq 40^m$) ²

Voir Préliminaires, Tome III, p. 3 et 4 :

1. — pour la définition des arcs « assez surbaissés ».

2. — pour le sens de ce symbole

PONTS A PLUSIEURS GRANDES ARCHES SOUS CHEMIN DE FER

[illegible]

1 — Pour le sens de ces abréviations, voir Avertissement, Tome III, page II, n° 6.

A VOIE NORMALE

SÉRIE \hat{A}^n Fr ($\geq 40^m$)

TABLEAU SYNOPTIQUE

EXÉCUTION										CUBE DE MAÇONNERIE A MORTIER		
GRANDES VOÛTES										Q		
DÉSIGNATIONS	CINTRES				MODE DE CONSTRUCTION	DÉCINTREMENT État d'avancement du pont Temps entre le dernier clarage et le décintrement Date	TASSEMENTS DE LA CLIF sur cintre t_c au décin- tremement après t_v	DÉPENSE				
	FERMES		Cube de bois Poids de fer Dépenses					D				
	Type	Nombre	Totaux	par mq de douelle 2				Totaux				
	Matière	Épaisseur						et				
re du sol	Appareils de décintrement	Écartement d'axe en axe Surhaussement	13	14	15	16	17	par unité	de surface utile S_p^3	de volume « utile » W^4		
fondeur l'étiage	11	12	13	14	15	16	17	18				
ssions le sol $\pm (mm) [^2$	Voûte centrale				2 rouleaux	Voûte centrale :		Q = 9200 ^{mc}				
ocède	Retroussé	5	120 ^{mc}	(0 ^{mc} 33)		$t_c = 40^{mm}$	Q : $S_p = 7^{mc} 43$					
on	"	"	2400 ^k	7 ^k 9		$t_v = 0$	Q : $W = 0^{mc} 53$					
her aire	"	1 ^m 28	18900 ^t	61 ^t 9			D					
ments ns les leauve, argile	Coins	120 ^{mm}				Fon- dations			Élé- vation	En- semble		
						D : S_p	78 ^t 4	389 ^t 3	467 ^t 4			
						D : W	5 ^t 7	28 ^t 3	34 ^t 4			
						D : Q	"	"	63 ^t 6			

le calcul de la surface de douelle, voir Avertissement, Tome III, p. III, n° 7 — A. 3. S_p = Longueur (col. 2) \times Largeur entre parapets (col. 3) = C'est la surface offerte à la circulation.

4. W = Surface vue de l'élévation \times Largeur entre parapets. 5. W' = Surface de l'élévation au-dessus des fondations \times Largeur entre parapets.

Pour S_p , W , W' , voir Avertissement, Tome III, p. III, n° 7 — B.

VOÛTES INARTICULÉES EN ARC ASSEZ SURBAISSÉ
PONTS A PLUSIEURS GRANDES ARCHES
SOUS CHEMIN DE FER A VOIE NORMALE

SÉRIE \widehat{A}^n I^{er} ($\geq 40^m$)¹

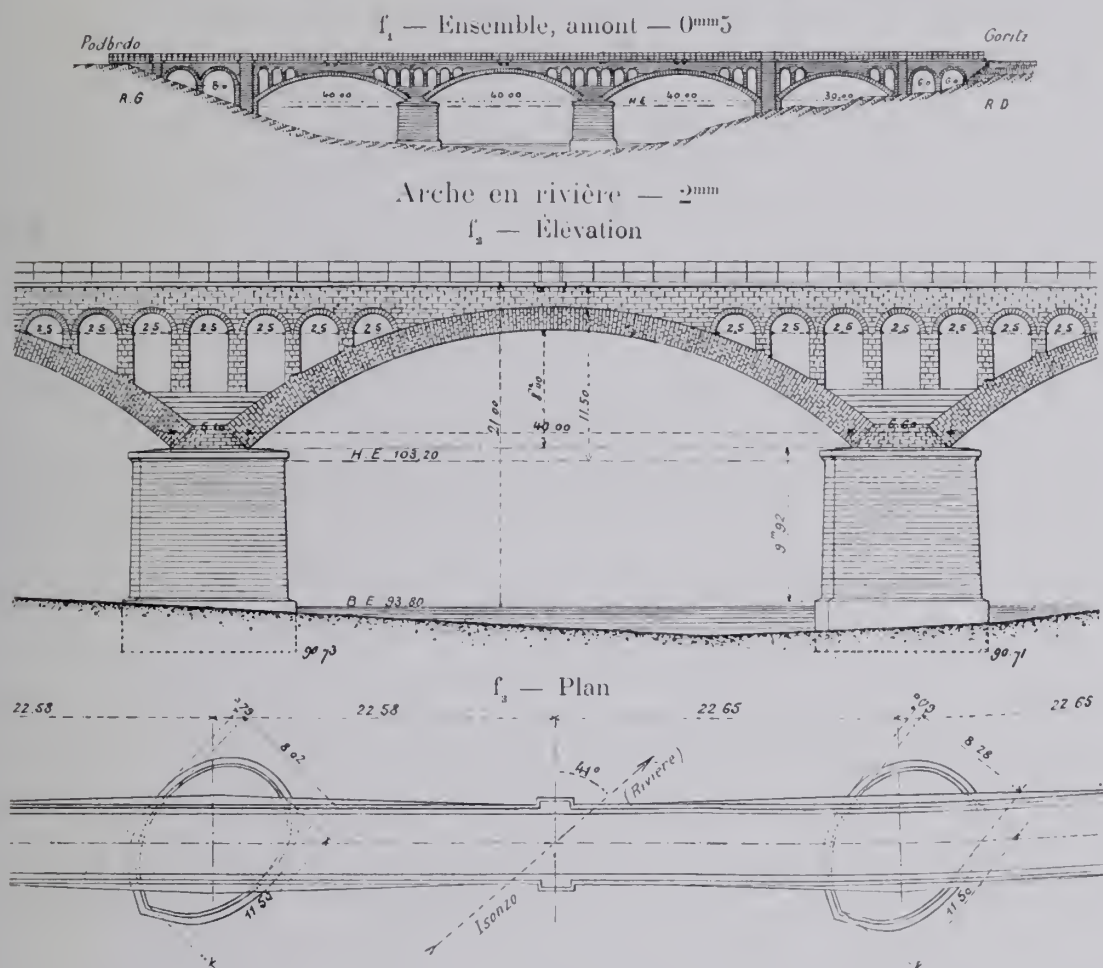
MONOGRAPHIES

PONT SUR L'ISONZO, PRÈS DE CANALE¹ (AUTRICHE, - *Kustenland*)

Ligne d'Assling (Carinthie) à Trieste, par Goritz² - Wocheinerbahn

1904-1906

\widehat{A}^n I^{er} ($\geq 40^m$)¹



1. Piles biaises. — Le pont est droit sur piles à section ovale (f_2) orientée suivant le courant des crues, là, très violentes (S_1).

1. — à l'environ en amont de la station de Canale.

2. — en allemand : Goritz.

2. Aspect (S_2). — Ces grosses tours qui engoncent les retombées, on les accepte, à la réflexion, sans trop de difficulté.

On voit trop de tympan au-dessus des clefs.

Les refuges ne paraissent pas à leur place aux clefs des voûtes de 40^m.

Les pilastres de la voûte de 30^m ne portent rien.

Φ_1 — Les 3 arches de 40^m (S_1)



3. Matériaux (S_3). — L'ouvrage est, comme il convient, simplement traité.

Les tympanes et les pilastres sont en moellons grossièrement équarris à assises horizontales inégales.

Les piles sont parementées en gros libages.

4. Exécution des grandes voûtes. — Après clavage du premier rouleau, on exécuta le deuxième en partant des retombées et de la clef. « Cette « méthode se montra excellente » (S'_1).

5. Dates (S'_1).

Commencement des travaux.....	mars 1904
Fondations.....	juillet — septembre 1904
Voûte centrale.....	11 mai — 5 juin 1905
Décintrement.....	9 août 1905
Ouverture à la circulation.....	juillet 1906

Φ_2 — Cintres (S''₁)

6. Personnel (S'₁).

Projet et Direction des Travaux : M. l'Ingénieur Pabo Yelic « Baukommissär ».

Entrepreneurs : MM. Sard, Lenassi et C^{re}.

SOURCES :

S₁ — Renseignements (S'₁) et photographies (S''₁) gracieusement donnés par le Ministère des Chemins de fer à Vienne.

S₂ — Geschichte der Eisenbahnen des österreich-ungarischen Monarchie, - VI Band. - 1898-1908, II Band, « Der Brückenbau der neuen Alpenbahnen. — A. Steinbrücken. » Josef Ziffer, p. 74 à 87.

S₃ — Ce que j'ai vu — octobre 1908.

S₄ — Le Génie Civil, 2 mai 1908 : « Les nouvelles lignes de chemins de fer dans les Alpes autrichiennes », F. Hofer, p. 4 à 6, Pl. I.

Les dessins sont réduits de S₁.

VOÛTES INARTICULÉES

EN

ARC TRÈS SURBAISSÉ ¹



Voir Préliminaires, Tome III, p. 3 et 4.
1. pour la définition des arcs « très surbaissés »,
2. pour le sens de ce symbole

VOÛTES INARTICULÉES EN ARC TRÈS SURBAISSÉ ¹

PONTS A UNE SEULE GRANDE ARCHE
SOUS ROUTE



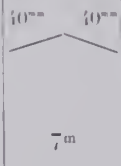
Série $\overset{\text{arc}}{\text{A}}^{\text{1}} \text{r}^{\text{te}} (\geq 40^{\text{m}})$ ²

Voir Préliminaires, Tome III, p. 3 et 4

1. — pour la définition des arcs « très surbaissés ».

2. — pour le sens de ce symbole

PONT A UNE SEULE GRANDE ARCHE SOUS ROUTE

PONT	PROJET							
	ENSEMBLE		GRANDE VOÛTE					
	Longueur entre abouts des parapets	Largeurs entre parapets entre tympans sous la plinthe	INTRADOS Portée Montée Surbaissément Rayon	ÉPAISSEURS		MATÉRIAUX Mortier Poids, pour 1 ^m de sable, de chaux ou de ciment	PRESSIONS en kg 0 ^m 01 ² Hypothèse adoptée Surcharges supposées	1 ^o ÉVIDEMENT DES TYMPANS 2 ^o DÉCORATION DES TÊTES
Date	Symbol			CORPS Clef	TÊTES Clef Retombées			
1	2	3	4	5	6	7	8	9
Mosca à Turin <i>Italie</i> 1834 \bar{A}^1 1 ^{re} (≥ 40 m)1	91 ^m	12 ^m 18 " Pas de fruit "	Arc de cercle 45 ^m 00 5 ^m 50 $\frac{1}{8,182} = 0,122$ 48 ^m 773	1 ^m 50 2 ^m 50	1 ^m 50 "	PT ¹ Granit Chaux grasse de Palazzolo — 450		1 ^o " 2 ^o Voutures en corne de r
de Teinach <i>Allemagne</i> 1882 \bar{A}^1 1 ^{re} (≥ 40 m)2	43 ^m 5 ^m 5 ^m 	6 ^m 20 5 ^m 60 Pas de fruit "	Au-dessus du sol, Arc de cercle 33 ^m 00 3 ^m 30 $\frac{1}{10} = 0,10$ 42 ^m 927 Sur le sol de fondation, Portée : 46 ^m 00	1 ^m 00 1 ^m 60 à 22° 36' 17"	1 ^m 00 1 ^m 60	Au-dessus du sol : PT ¹ Épaisseur : 60 ^{cm} 10 tirants de 60 ^{mm} x 10 ^{mm} Grès à 300 ^k Ciment Portland 1000 ^k A la clef et aux retombées : 1500 ^k	Pression maxima : Clef : 29 ^k 3 Retombées : 27 ^k 5 Sur le béton de fondation : 11 ^k Méry 400 ^k mq	1 ^o 3 voutures longitudinales en plein de 1 ^m sur 3 ^m de 0 ^m 70 Barres 1 ^{re} entre ty 2 ^o "
de Huzenbach <i>Allemagne</i> 1889 \bar{A}^1 1 ^{re} (≥ 40 m)3	35 ^m 75 30 ^{cm} 30 ^{cm} 	3 ^m 80 3 ^m 00 entre bandeaux Pas de fruit "	Aux retombées sur le béton : 35 ^m 00 4 ^m 70 $\frac{1}{7,44} = 0,134$ Sur le sol de fondation, Portée : 41 ^m 30	0 ^m 60 0 ^m 95	0 ^m 60 0 ^m 88	PT ¹ grossière Grès	Pression maxima : Clef : 40 ^k Retombées : 52 ^k Méry	1 ^o Pas d'évidement 2 ^o
de Wengern <i>Allemagne</i> 1904 \bar{A}^1 1 ^{re} (≥ 40 m)4	" 40 ^{cm} 40 ^{cm} 	7 ^m 00 5 ^m 50 Pas de fruit 0 ^m 35	Arc d'anse de panier 50 ^m 00 5 ^m 50 $\frac{1}{9,10} = 0,11$	1 ^m 20 2 ^m 00	1 ^m 20 2 ^m 00	Voûte en petits moellons Aux têtes, crépi simulant de grandes PT ¹ Ciment — 0 ^m 333	Pression à la clef : 20 ^k	1 ^o 2 vides longitudinaux de 1 ^m Mur entre de 0 ^m 50 Dessus une plate en béton 2 ^o

1. Pour le sens de ces abréviations, voir Avertissement, Tome III p. 11, n° 6

TABLEAU SYNOPTIQUE

CUBE DE MAÇONNERIE
A MORTIER

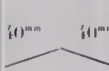
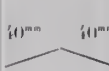
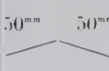
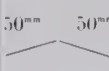


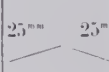
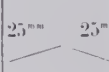
()

D

par unité $\left\{ \begin{array}{l} \text{de surface utile } S_p, \\ \text{de volume « utile » } W. \end{array} \right.$

4. W = Surface vue de l'élévation \times Largeur entre parapets. 5. W' = Surface de l'élévation au-dessus des fondations \times Largeur entre parapets.
Pour S_0 , W , W' , voir Avertissement, Tome III, p. III, n° 7 - B

PONT A UNE SEULE GRANDE ARCHE SOUS ROUTE

PONT	PROJET							1° ÉVIDENCE DES TYMPANS 2° DÉCOUVERTE DES TYMPANS	
	ENSEMBLE		GRANDE VOÛTE						
	Longueur <i>entre abouts des parapets</i> Déclivités Hauteur maxima de la chaussée au-dessus du sol ou de l'étiage	Largeurs <i>entre parapets entre tympans sous la plinthe</i> Fruit des tympans Revanche de la chaussée sur l'extrados	INTRADOS Portée Montée Surbaissément Rayon	ÉPAISSEURS CORPS Clef Retombées		TÊTES Clef Retombées	MATÉRIAUX Mortier Poids, pour 1 ^m de sable, de chaux ou de ciment		PRESSIONS en kg 0 ^m 01 ² Hypothèse adoptée Surcharges supposées
Date	1	2	3	4	5	6	7	8	9
de Ziegenhals <i>Allemagne</i> 1905 A ¹ r ^{te} (≥ 40 ^m) ⁵			Arc d'anse de panier à 3 centres 40^m,00 4^m20 $\frac{1}{9,52} = 0,105$ Rayons : Cerveau : 60 ^m Reins:25 ^m 676	0^m,85 1^m70	0^m,85 1^m70	Voûte en petits moellons Aux têtes, crêpi simulant de grandes PT ¹ Ciment — 0 ^m ,333		1° Pas d'évidence	
de Michelau <i>Allemagne</i> 1905-1906 A ¹ r ^{te} (≈ 40 ^m) ⁶			Arc d'anse de panier à 3 centres 42^m,00 5^m20 $\frac{1}{8,07} = 0,124$ Rayons : Cerveau : 50 ^m Reins:26 ^m 637	0^m,80 1^m30	0^m,80 1^m30	Comme au Pont de Ziegenhals A ¹ r ^{te} (≈ 40 ^m) ⁵ Le crêpi des têtes est à 1 de ciment, 4 de sable	Pression maxima : sans surch. avec surch. Clef 18k6 22k Joint de rupt. 25k1 29k4 Retombées 13k 15k3 Surcharge : 600k 1 ^m	1° 2 voûtes transversales en plein	
de Neuhammer <i>Allemagne</i> Projet : 1905 A ¹ r ^{te} (≈ 40 ^m) ⁷			Arc d'anse de panier à 3 centres 52^m,00 6^m00 $\frac{1}{8,7} = 0,115$	1^m,05 1^m80	1^m,05 1^m80	Comme au Pont de Ziegenhals A ¹ r ^{te} (≈ 40 ^m) ⁵ La douelle est enduite de ciment		1° Pas d'évidence	
de Schwusen <i>Allemagne</i> 1907 A ¹ r ^{te} (≈ 40 ^m) ⁸			Arc d'anse de panier à 3 centres 48^m,00 5^m75 $\frac{1}{8,347} = 0,119$ Rayons : Cerveau : 60 ^m Reins : 40 ^m	0^m,90 1^m30	0^m,90 1^m30	Comme au Pont de Ziegenhals A ¹ r ^{te} (≈ 40 ^m) ⁵		1° 2 voûtes transversales en plein	

1. — Pour le sens de ces abréviations, voir Avertissement, Tome III, p. II, n° 6.

TABLEAU SYNOPTIQUE (Suite)

4. $W = \text{Surface vue de l'élévation} \times \text{Largeur entre parapets}$. 5. $W' = \text{Surface de l'élévation au-dessus des fondations} \times \text{Largeur entre parapets}$
 Pour S_p , W , W' , voir Avertissement, Tome III, p. III, n° 7 : B.

PONT A UNE SEULE GRANDE ARCHE SOUS ROUTE

PONT	PROJET							
	ENSEMBLE		GRANDE VOÛTE					ÉVIDENCE
	Longueur entre abouts des parapets	Largeurs entre parapets entre tympans sous la plinthe	INTRADOS Portée Montée Surbaissement Rayon	ÉPAISSEURS		MATÉRIAUX Mortier Poids, pour 1 ^{me} de sable, de chaux ou de ciment	PRESSIONS en kg / 0 ^m 01 ² Hypothèse adoptée Surcharges supposées	
Date	Déclivités	Fruit des tympans		CORPS Clef Retombées	TÊTES Clef Retombées			TYMP
Symbole	Hauteur maxima de la chaussée au-dessus du sol ou de l'étiage	Revanche de la chaussée sur l'extrados						DÉCOM- DES TI
1	2	3	4	5	6	7	8	9
de	»	»					Pression maxima :	1 ^o
Kupferhammer			48 ^m ,00	0 ^m ,90		Comme	Clef Retom- bées	2 ^o vo-
Allemagne	33 ^{mm} 33 ^{mm}	»	5 ^m ,75 $\frac{1}{8,347} = 0,119$	1 ^m ,30		au Pont de Ziegenhals	sans sur- charge 21 ^k 1 17 ^k 2 avec surcharge, com- plète 24 ^k 5 19 ^k 7 sur une 1 ^{re} 2 ^{voûte} : 33 ^k 8	transve- rue en plei-
1907		»				A ¹ 1 ^{re} (40 ^m) ¹	Courbe de pression par le milieu de la clef et des retombées 400 ^k m ² Rouleau de 15 ^m	2 ^o
A ¹ 1 ^{re} (40 ^m) ¹	7 ^m 10 étiage	0 ^m 45						

1. — Pour le sens de ces abréviations, voir Avertissement, Tome III, p. 11, n° 6.

SÉRIE A¹ r^{te} (≥ 40m)

TABEAU SYNOPTIQUE (Suite)

EXECUTION										CUBE DE MAÇONNERIE A MORTIER	
GRANDE VOÛTE										Q	
FONDATIONS nature du sol profondeur de l'étiage pressions sur le sol kg (mm) ² Procédé	CINTRE				MODE DE CONSTRUCTION	DÉCINTREMENT État d'avancement du pont Temps entre le dernier clarage et le décintrement Date	TASSEMENTS DE LA CLEF sur cintre t _c au décim- trement t _v après t _v	DÉPENSE			
	FERMES		Cube de bois Poids de fer Dépenses Totaux	par mq de douelle 2				D			
	Type	Nombre						Totaux			
	Matière	Épaisseur						et			
	Appareils de décintrement	Écartement d'axe en axe Surhaussement						de surface utile S _p 3 de volume « utile » W 4			
11	12	13	14	15	16	17	18				
	</										

Sur le calcul de la surface de douelle, voir Avertissement, Tome III, p. III, n° 7 — A. 3. S_p = Longueur (col. 2) × Largeur entre parapets (col. 3) — C'est la surface offerte à la circulation
4. W = Surface vue de l'élévation × Largeur entre parapets. 5. W' = Surface de l'élévation au-dessus des fondations × Largeur entre parapets
Pour S_p, W, W', voir Avertissement, Tome III, p. III, n° 7 — B

VOÛTES INARTICULÉES EN ARC TRÈS SURBAISSÉ
PONTS A UNE SEULE GRANDE ARCHE SOUS ROUTE

SÉRIE \bar{A}^1 r^{te} ($\approx 40m$)

MONOGRAPHIES

PONT MOSCA, SUR LA DORA RIPARIA, A TURIN

ria Pont Mosca

1834 (S₂)

\bar{A}^1 r^{te} ($\approx 40m$)

Φ_1 (S₁)



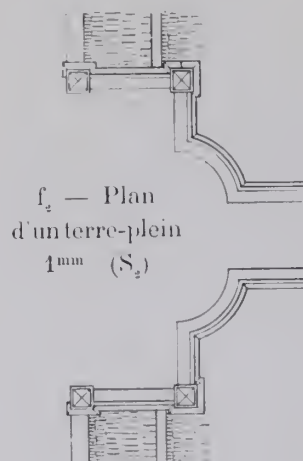
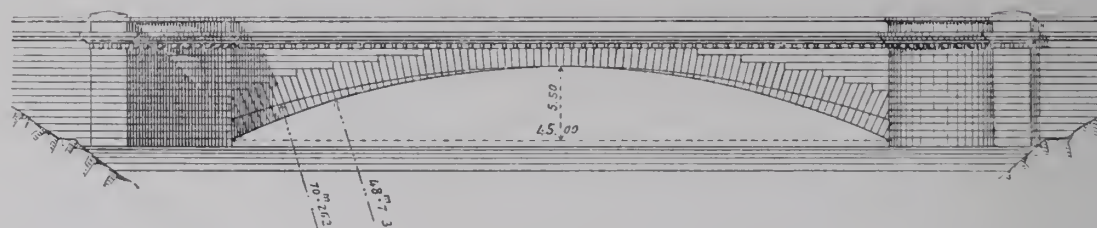
1. Le pont Mosca est imité du « Pont d'une arche de 150 pieds
« d'ouverture, projeté (par Perronet) pour être construit sur chacun
« des deux bras de la Seine à Melun »¹. — Le projet de Perronet compor-
tait, comme le pont Mosca, une arche unique en arc sur l'axe, avec cornes de
vache aux têtes, bandeaux à crossettes sans saillie sur les tympans. C'est bien le
même pont.

1. — Perronet : « Description des projets et de la construction des Ponts de Neuilly, de Mantes,
« d'Orléans, et autres », Tome second, Paris, Imprimerie Royale MDCCLXXXII, p. 31, 32, 33, Pl. XLIV.

Voici, comparées, les principales dimensions des deux projets :

		Projet de Perronet	Pont Mosca
Voici, comparées, les principales dimen- sions des deux projets :			
Portée.....		150 Pieds = 48 ^m 726	45 ^m
Intrados	Rayon { de la voûte.....	200 Pieds = 64 ^m 968	48 ^m 773
		300 Pieds = 97 ^m 452	70 ^m 262
	Surbaissement { de la corne de vache..	1 10,2	1 8,2
		1 15,7	1 12,2
Épaisseur à la clef.....		5 Pieds = 1 ^m 624	1 ^m 50
Largeur	{ entre têtes.....	39 Pieds = 12 ^m 668	12 ^m 18 (S ₂)
	{ entre parapets.....		

f_1 — Élévation — 2^{mm} (S_2)



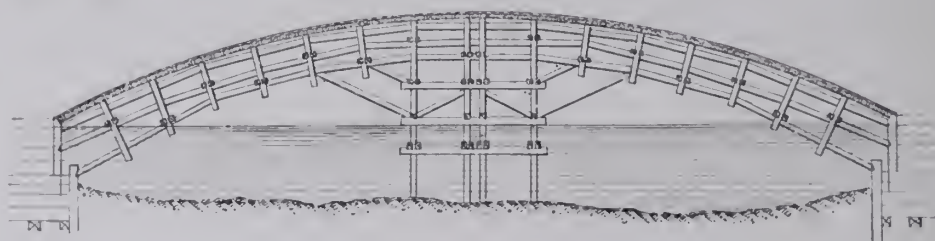
f_2 — Plan
d'inter-plein
 1^{mm} (S_2)

Les culées, beaucoup plus larges que le corps central, s'y raccordent :

au Pont de Perronet, par de courtes courbes concaves ;

au Pont Mosca, par deux tours rondes convexes (f_2), comme au Vieux Pont de Lavour ².

f_3 — Cintre — 2^{mm5} (S_2)



2. Cintre. — C'est à peu près exactement le projet de Perronet pour Melun ³. Les appuis au cerveau ne devaient servir qu'en cas de besoin. « L'apla-

2. — \bar{E}^1 ^{re} ($\geq 40^m$)² — Tome I.

3. — Perronet *Loc. cit. renvoi 1*, Pl. XLIV.

« tissement de la grande voûte exigera d'en soutenir le cintre.... avec trois files
 « de forts pieux dans leur milieu.... : le dessous du milieu de chaque ferme de
 « cintre sera disposé de manière qu'elle soit isolée à 2 pieds de distance de ce point
 « d'appui, pour n'y avoir recours que lorsqu'on le trouvera convenable pendant
 « la construction de la voûte. Cet intervalle de 2 pieds sera garni de pièces de
 « charpente, taillées en forme de coins, qui serviront, en les ôtant lors du décintrement, à faciliter le dérèglement des couchis. »⁴

On mit 45 jours à tailler et monter les fermes.

3. Fondations. — Cette grande voûte très plate a été fondée sur pilotis, comme Perronet l'avait prévu pour son pont de Melun⁵. C'était hardi.

4. Exécution de la voûte. — Deux maçons seulement, servis par quelques manœuvres, posèrent en 75 jours, sans aucun accident, les 651 voussoirs de la voûte : ils pesaient de 5 à 8 tonnes, sauf ceux de la première assise des naissances, qui pesaient de 15 à 18 tonnes.

Comme au pont de Nemours⁶, on tint les joints plus larges là où, d'après les expériences de Perronet et de Boistard, on craignait les écrasements, c'est-à-dire à l'intrados des reins, à l'extrados du cerveau.



Considérons 3 tronçons (f_i). Dans le tronçon I voisin des naissances, les joints étaient plus larges à l'intrados qu'à l'extrados ; dans le tronçon II, ils étaient égaux ; dans le tronçon III, ils étaient plus minces à l'intrados.

Les épaisseurs des joints dans les tronçons I et III variaient suivant une certaine progression.

Les intervalles entre les assises étaient maintenus aux reins de l'intrados et au sommet de l'extrados par des lames de plomb ; dans le corps de la voûte, par des coins en fer.

Les voussoirs des assises des naissances étaient liés par des crampons en fer.

Tous les voussoirs étant en place, sur cales, les joints vides furent remplis avec du mortier de chaux et de sable propre en parties égales, retenu en douelle par de l'étoupe.

Puis, on retira les coins en fer.

5. Décintrement. — Au moment de décintrer, on dégrada sur 3^m tous les joints d'intrados et d'extrados.

6. Durée d'exécution. — 4 ans.

4. — Perronet. *Loc. cit.*, renvoi 1, p. 31, in fine.

5. — id. Pl. XLIV.

6. — Projeté par Perronet en 1771, puis modifié. Construit par Boistard, de 1795 à 1804. — Arcs de 16^m25 au 1 15,3.

7. Dépense. — Pont et abords..... 1.348.552^{7, 8}

8. Ingénieur. — Mosca⁹.

7. — « *Sulle Cause che produssero la ruina del ponte in muratura sul Liri* », Conferenza dell' Ingegnere Pasquale Sasso, — Naples, 1880.
Morandière (S₂) donne 1.400.000¹.

8. — Il était estimé 710.000 liras dans un devis signé le 10 janvier 1823 par C. Mosca « Capitano Ingegnere di 1^a classe di Ponti e Strade ». « *Capitoli d'appalto per la costruzione d'un ponte ad un sol arco sulla Dora Riparia presso Torino* ». Turin, Imprimerie royale, 1823. (Bibliothèque de l'Ecole des Ponts et Chaussées. Fonds italien. N° 587).

9. — Il est porté comme Élève de notre École des Ponts et Chaussées, aux Annuaire de 1811-1812 (3^e classe), 1813 (1^{re}).

SOURCES :

S₁. — Transactions of the Institution of Civil Engineers. — volume I, 1836, p. 183 et suivantes : « *Details of the construction of a Stone Bridge erected over the Dora Riparia near Turin* » by chevalier Mosca, — M. Albano, A. Inst. C. E.

S₂. — Morandière, Construction des Ponts, p. 302, Pl. 61, fig. 8 à 11 ; Pl. 136, fig. 7 : « *Pont de Turin, sur la Dora* ».

S₃. — Ce que j'ai vu — octobre 1903.

Tout ce qui n'est pas spécifié S₂ ou S₃ est de S₁.

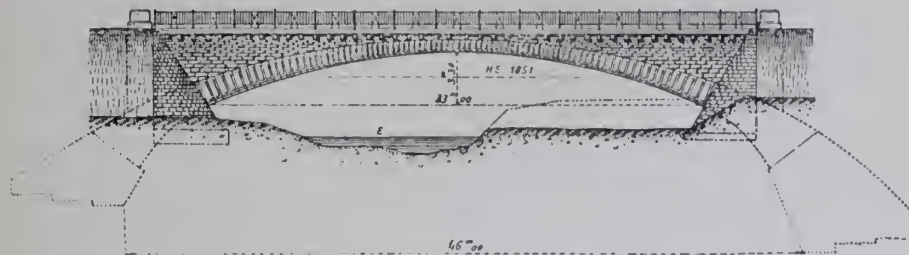
PONT SUR LA NAGOLD, A TEINACH¹ (ALLEMAGNE, - Wurtemberg)

Route de Nagold à Calw

1882

$\bar{A}^1 r^{1e} (\geq 40m)^2$

f_1 — Élévation — 2mm



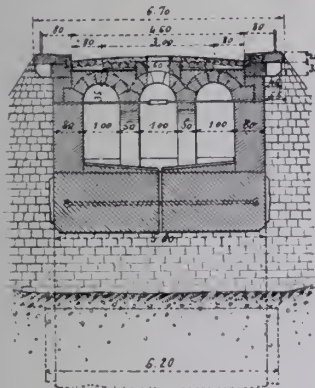
1. Grande voûte. — C'est la première grande voûte du Wurtemberg (S_2). On l'a faite par économie² et pour faciliter le flottage.

Les dimensions en ont été fixées « d'après les principes appliqués en France « pour de grands ponts récents » ».³

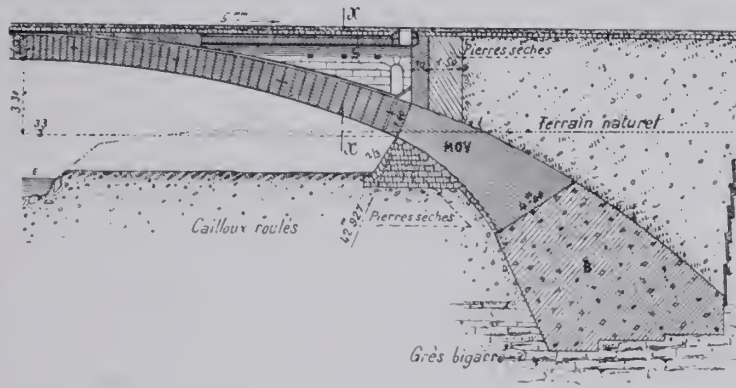
2. Chaussée. Trottoirs. — La chaussée est empierrée. Ses pentes de 5mm^{mm} écoulent mal les eaux.

Les trottoirs, asphaltés, sont en porte-à-faux de 0m55 sur consoles ancrées dans les tympans.

f_3 — Coupe en travers
sur xx' de f_2 — 5mm



f_2 — Coupe en long — 3mm



1. — Près de la gare, — Ligne de Pforzheim à Horb, à 30^e de Pforzheim.

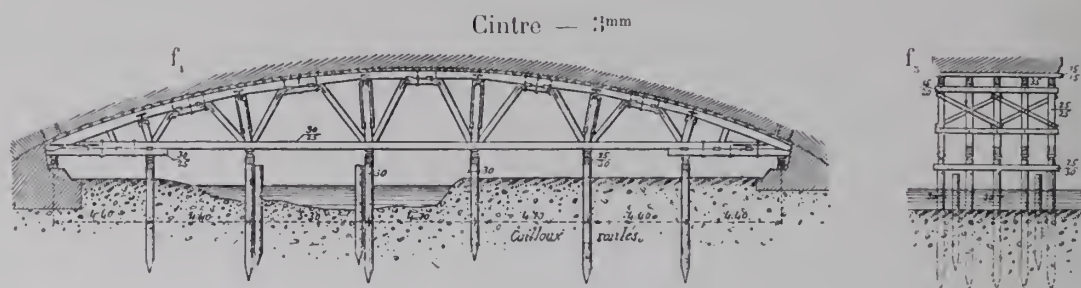
2. — On avait estimé (S_1) :

3 anes de panier de 11m40, 12m40, 11m40.....	63.000 Mark.
3 arcs de cercle de mêmes portées.....	60.000
2 arcs de cercle de 17m.....	55.000
1 arc de cercle de 33m à culées verticales.....	53.000
1 arc de cercle de 33m à culées perdues.....	46.000

3. — « Die Bemessung der Querschnittsdimensionen des Brückenbogens erfolgte nach den Grundsätzen « welche neuerdings bei grossen Brücken in Frankreich in Uebung gekommen sind. » (S_1).

3. Chape. — Sous la chaussée, enduit lissé de ciment, puis feutre asphalté de 7^{mm}, puis 10^{cm} de sable ; sous les évidements, chape en ciment.

La voûte n'a pas été traversée par l'eau.



4. Cintre. — Les bois travaillaient au plus à 30^k : on plaçait une feuille de plomb aux abouts des pièces fatiguées.

Pas de platelage : chaque assise était posée sur un couchis.

Les boîtes à sable, en fonte, à section carrée de 25 25, étaient reliées électriquement à la chambre du gardien.

Le sable était lavé, séché, et garanti de la pluie par une tôle.

5. Fondations. — On posa dans le béton 1 3 de grosses pierres, par assises normales à la courbe de pression.

Après 1 jour à l'air et 6 jours à l'eau, le mortier à 1 3 devait résister à une tension, par 0^m01², de 4^k (ciment prompt)⁴, 5^k (ciment lent)⁴.

La maçonnerie de moellons ordinaires lités, au-dessus du béton (f_2), fut faite au mortier de ciment à 1 3 en bas, 1 1 en haut, par assises normales à la courbe de pression.

Quand on fut arrivé aux retombées de la voûte, on s'arrêta pour laisser durcir le béton.

6. Exécution de la voûte. — On déposa tous les voussoirs près de leur place définitive. Les pistons des boîtes à sable s'enfoncèrent de 10^{mm}.

Avant de poser une assise, on vérifiait l'emplacement de son couchis.

On posa aux retombées 3 assises à sec⁵ : à l'extrados, sur lattes de peuplier tendre de 1^{cm} d'épaisseur et 40^{cm} de long ; à l'intrados, sur des cordes de chanvre entourées de caoutchouc, de 16^{mm} d'épaisseur, à 15^{cm} de la douelle.

Le caoutchouc employé se comprima trop : le joint se réduisit à l'intrados à 5^{mm}, au lieu des 10^{mm} prévus.

On posa les voussoirs à sec, assise par assise, en garnissant d'étoupe les joints par lesquels le mortier aurait pu s'échapper. On mouillait les joints et on versait du mortier très fluide qu'on fichait ensuite ; puis, une heure après, on enlevait l'étoupe.

4. — Stuttgarter Cementfabrik — Blaubeuren.

5. — « comme au pont de Claix » (Σ_2) \widehat{A}^1 1^{re} ($\geq 40^m$)⁵ — Tome III.

On a regretté de n'avoir pas donné aux joints 15^{mm} au lieu de 10^{mm}.

On coula du mortier en même temps aux assises de clef et aux joints secs des retombées.

On avait constaté que le cintre, mouillé par les pluies, s'était élevé de 15^{mm} à la clef : un peu avant de claver, on en arrosa copieusement le sommet.

7. Décintrement. — Il fut opéré par 20 hommes.

Les boîtes à sable n'avaient qu'un orifice : deux se rompèrent.

8. Fissures et tassements. — De légères fissures apparurent à l'extradós de la retombée rive droite⁶. Elles disparurent 6 semaines après, l'ouvrage achevé.

La voûte a tassé :

au décintrement (voûte nue), de..... 43^{mm}.

à l'achèvement de l'ouvrage, de..... 67^{mm}.

Au bout de 3 mois, le tassement atteignit son maximum.. 84^{mm}.

On ne constata aucune nouvelle fissure pendant 5 mois.

D'après les calculs basés sur les expériences de Banschinger, la contraction de l'arc devait être 34^{mm}, le tassement de la clef, 22^{mm}.⁷

Il est possible que les poches d'argile sableuse, que contient le rocher de fondation, se soient détremées et aient tassé sous le poids de la voûte.

9. Durée d'exécution.

	en semaines
Fouilles et bétonnage (travail de nuit avec des torches à l'huile minérale).	7
Maçonnerie de moellons ordinaires lités, en fondation, sur le béton (f ₂)...	3
Grande voûte en pierre de taille.....	3
Maçonneries au-dessus de la voûte.....	6

10. Personnel. — *Projet et Direction des Travaux* : M. Leibbrand, « Oberbaurat » à Stuttgart.

Direction locale : M. Paul Braun « Baumeister » à Calw.

6. — C'est pour les éviter, qu'en Wurtemberg on articulera désormais les grandes voûtes (S₂).

7. — La contraction en microns μ par mètre pour le grès de Bavière est de :
150 μ , sous 10° ; - 300 μ , sous 20° ; - 370 μ , sous 30° ; - 450 μ , sous 40°.

SOURCES :

S₁. — Zeitschrift für Baukunde, 1883, Heft 6, p. 347 à 356, Pl. 26 : « Steinbrücke über die « Nagold bei Teinach (Württemberg) », Stuttgart, im juni 1883, Leibbrand.

S₂. — Zeitschrift für Bauwesen 1888, p. 235 à 260, Pl. 38 et 40 : « Steinbrücken mit gelenk-
« artigen Einlagen », — Stuttgart, novembre 1887, Leibbrand, - Kgl. Ober-Baurath.

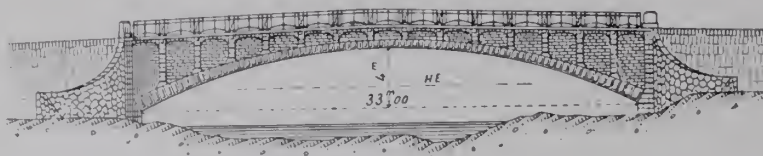
Tout ce qui n'est pas spécifié S₂ est de S₁.

PONT SUR LA MURG, A HUZENBACH¹ (ALLEMAGNE, - Wurtemberg)

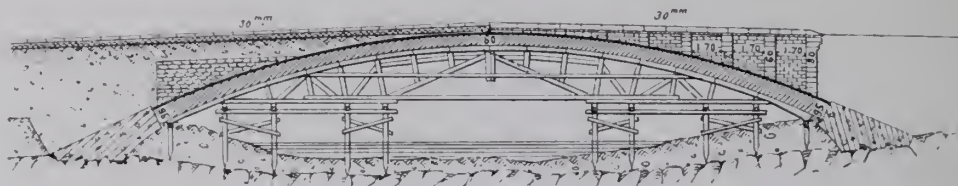
1889

$\bar{A}^1 r^{te} (> 40m^3)$

f_1 — Elevation — 2mm



f_2 — Cintre et demi-coupes en long — 2mm,5 (S'')
sur l'axe en avant du tympan



L. — à 10° environ en aval de Baiersbrunn.

SOURCES

S₁. — Fortschritte der Ingenieurwissenschaften. - Zweite Gruppe. 7 Heft : « *Gewölbte Brücken* », von Karl von Leibbrand. Präsident der K. Württ. Ministerial-Abteilung für den Strassen-und Wasserbau.

S' — Tableaux statistiques, p. 22.

S'' — Dessins, Pl. I, fig. 35 à 39.

PONT SUR LA MALAPANE, A WENGERN

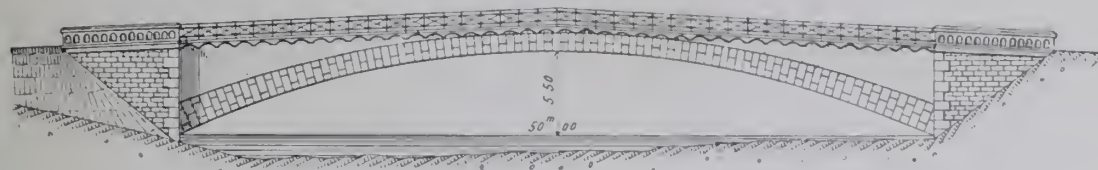
(ALLEMAGNE, - Silesie, - Cercle d'Oppeln)

Route d'Oppeln à Yellowa

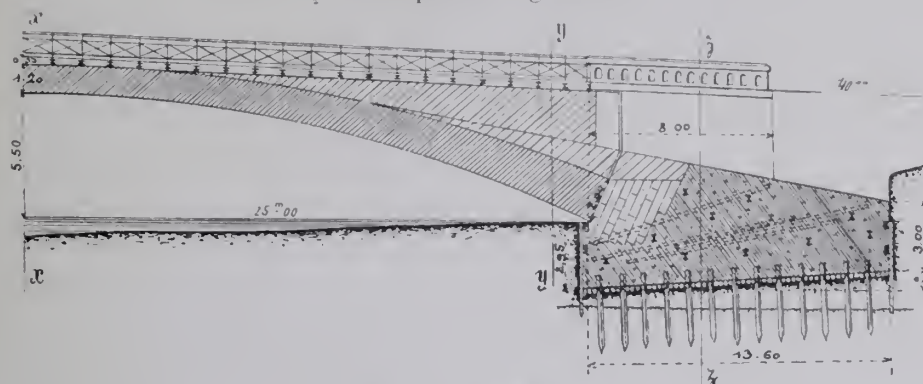
1904 (S₁)

A¹ 1^{re} 40m/4

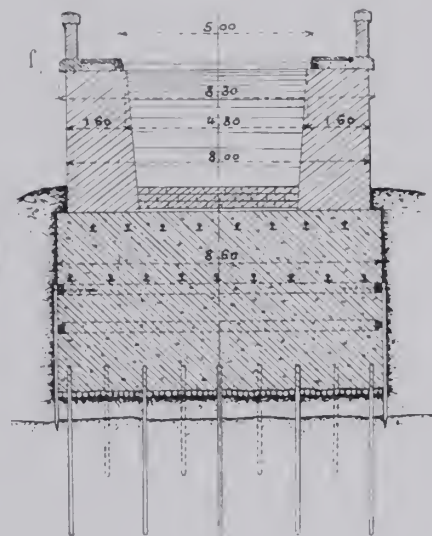
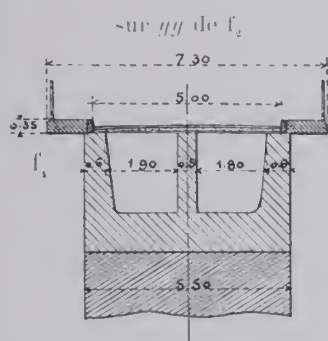
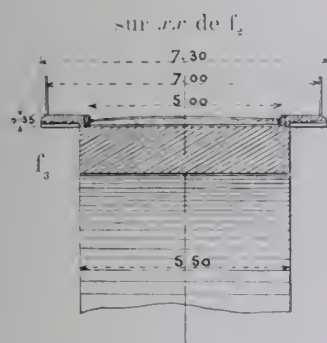
f₁ — Elevation — 2mm



f₂ — Coupe en long — 3mm



Coupes en travers — 5mm



I. Personnel. — *Projet et Entreprise* : MM. Liebold et C^e, de Langenbrück (Saxe).

SOURCE :

S₁. — Dessins d'exécution qu'ont bien voulu me remettre MM. Liebold, en 1908.

PONT SUR LA FREIWALDAUER BIELE, A ZIEGENHALS

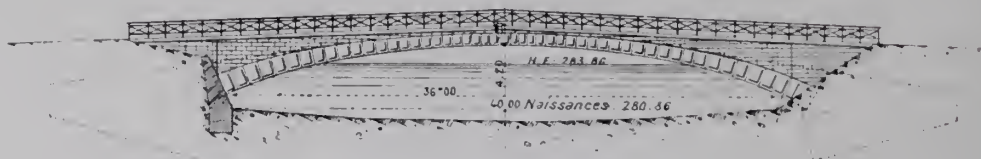
(ALLEMAGNE, - Silésie, - Cercle de Neisse)

Route de Ziegenhals à Zuckmantel

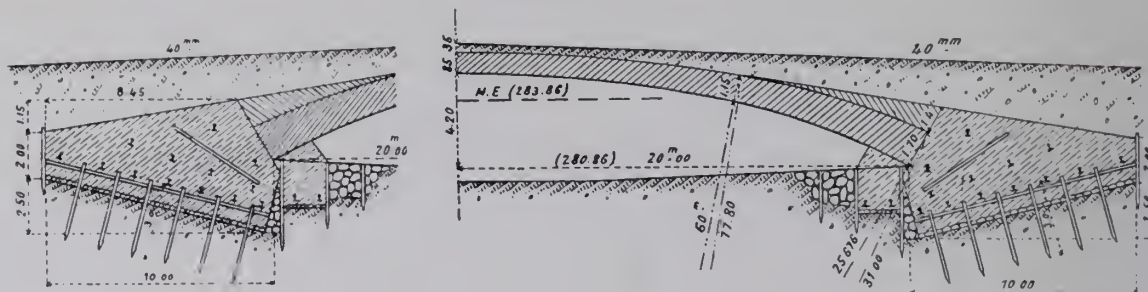
1905

$\bar{A}^1 r^{te} (\geq 40m)^5$

f_1 — Élévation — 2^{mm}



f_2 — Coupe en long — 3^{mm}



I. Personnel. — *Projet et Entreprise* : MM. Liebold et C^{ie}, de Langebrück (Saxe).

SOURCE :

S₁. — Dessins d'exécution que m'ont gracieusement remis MM. Liebold, en 1908.

PONT SUR LA GLATZER NEISSE, A MICHELAU

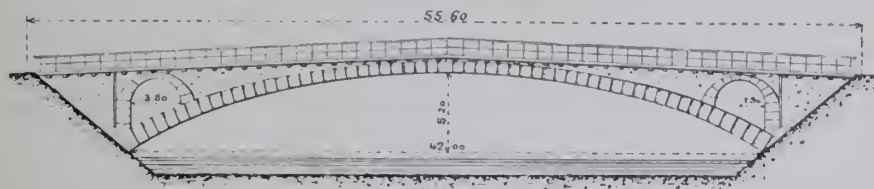
(ALLEMAGNE, - Silésie, - Cercle de Brieg)

Route de Michelau à Gross Saarne

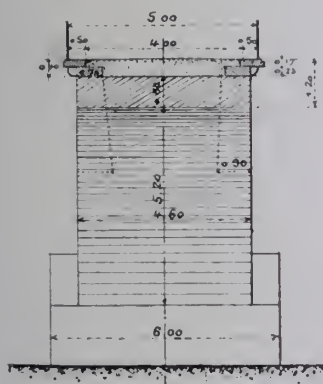
1905-1906

A¹ P^{te} (40m, 6)

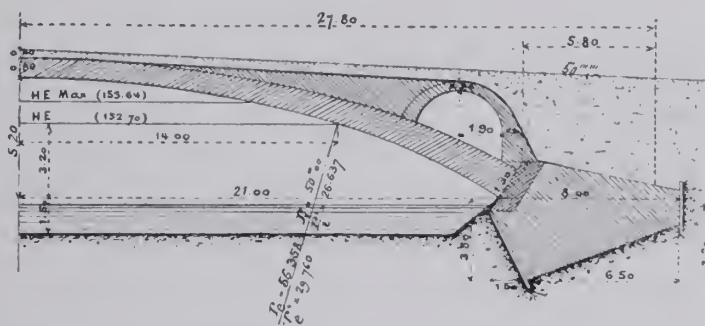
f₁ — Élévation — 2mm



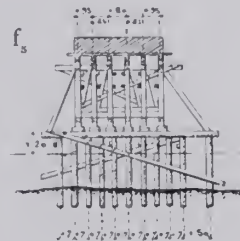
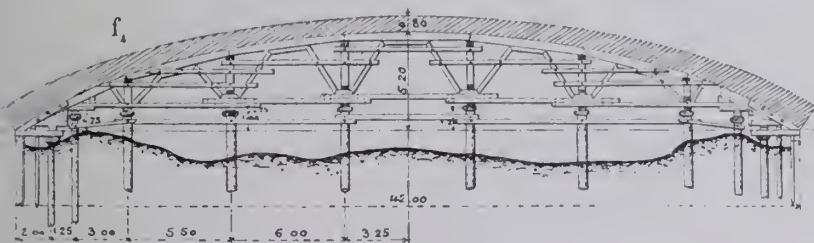
f₃ — Coupe en travers
à la clef — 5mm



f₂ — Coupe en long — 3mm



Cintre — 2mm, 5



I. Dates (S₂).

Commencement des travaux.....	27 septembre 1905
Grande voûte.....	15-26 mai 1906
Décintrement.....	6 juillet 1906
Ouverture à la circulation.....	24 août 1906

Φ_1 (S₂)

2. Personnel (S₂) — *Projet et Entreprise* : MM. Liebold et C^{ie}, de Langebrück (Saxe).

Direction des Travaux : M. Schleicher, « Regierungsbaumeister ».

SOURCES :

S₁ — Dessins d'exécution qu'ont bien voulu me remettre MM. Liebold, en 1908.

S₂ — Renseignements et photographie que m'a gracieusement adressés, en juillet 1909, M. Gretschele « Landesbaumeister », à Breslau.

PONT SUR LA QUEIS, A NEUHAMMER

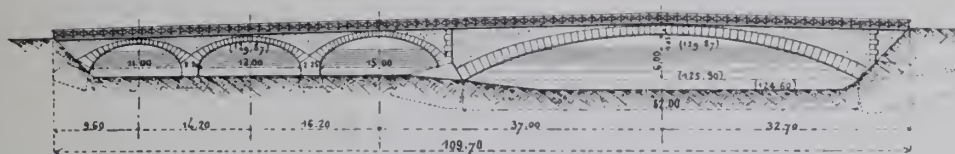
(ALLEMAGNE, - Silésie, - Cercle de Sagan)

Route du village à la gare

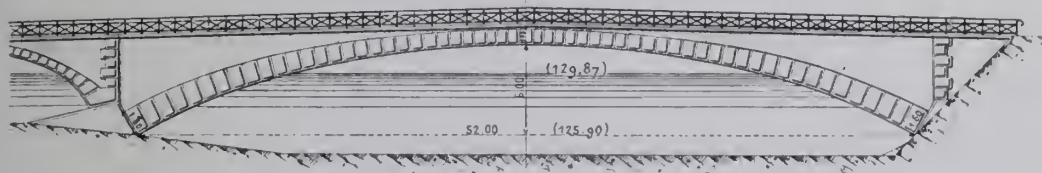
Projet : 1905 (S₁)

\overline{A}^1 1^{de} 1/40000

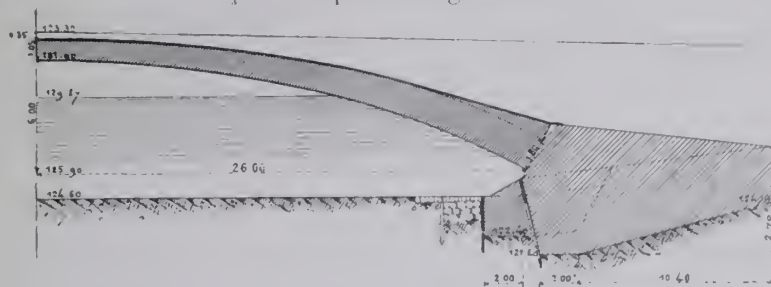
f₁ — Ensemble — 1mm



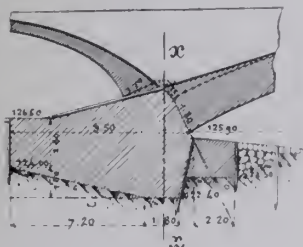
f₂ — Grande arche — 2mm



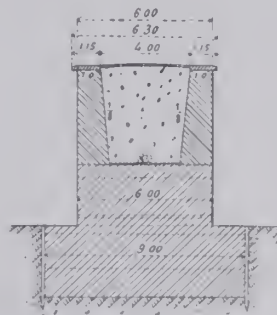
f₃ — Coupe en long — 2mm,5



f₄ — Culée — 2mm,5



f₅ — Coupe en travers sur xx' de f₄ — 3mm



1. Aspect (S_2). — On a simulé de très grosses pierres de taille aux têtes et aux chaînes d'angle.



Les tympanes sont crépis. La douelle est barbonillée de mortier.
On paraît s'être peu préoccupé de l'aspect.

2. Personnel. — *Projet et Entreprise* : MM. Liebold et C^{ie}, de Langbrück (Saxe).

SOURCES :

S_1 . — Dessins d'exécution qu'ont bien voulu me remettre MM. Liebold, en 1908.

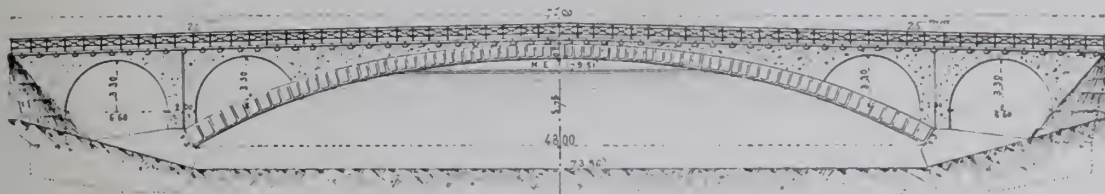
S_2 . — Ce que j'ai vu — août 1909.

PONT SUR LA BARTSCH, A SCHWUSEN

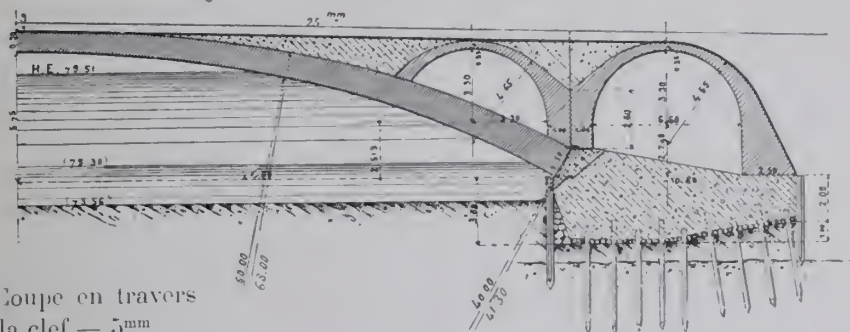
(ALLEMAGNE, - Silésie, - Cercle de Ciloquin)

Route de Schirusen à Fraustadt

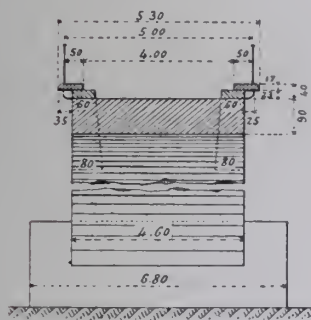
1907

$$\bar{A}^1 \text{ r}^{\text{te}} \quad (40\text{m})S$$
$$f_1 = \text{Élévation} = 2^{\text{mm}}$$


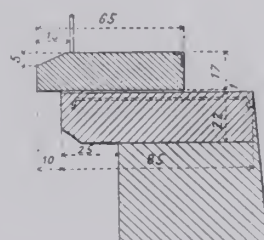
f₂ — Coupe en long — 3mm



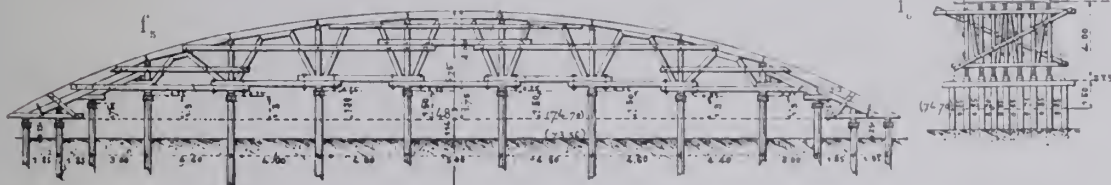
t₃ — Coupe en travers
à la clef — 5^{mm}



f₄
Couronnement
3^{cm}



Centre — 2mm5



I. **Personnel.** — *Projet et Entreprise* : MM. Liebold et C^{re}, de Langenbrück (Saxe).

SOURCE :

S₁. — Dessins d'exécution que m'ont gracieusement remis MM. Liebold, en 1908.

PONT SUR LA FREIWALDAUER BIELE, A KUPFERHAMMER

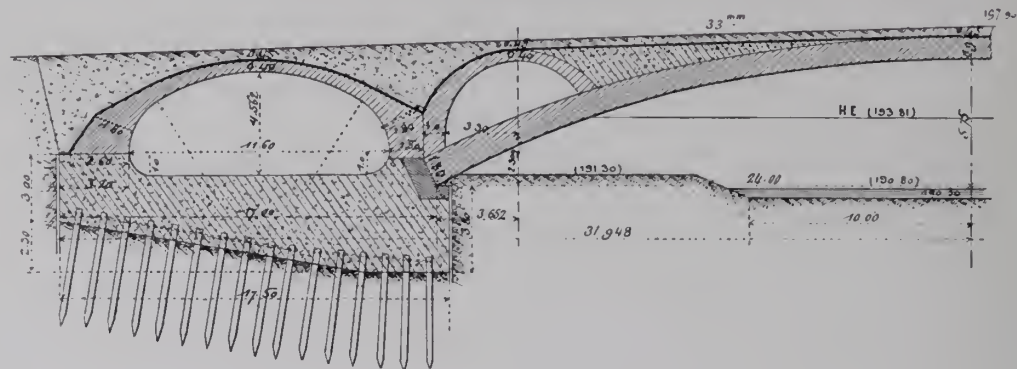
(ALLEMAGNE, - Silésie, - Cercle de Neisse)

Route de Weidenau à Neisse

1907

\bar{A}^1 1^{re} ($\geq 40m^3$)

f₁ — Coupe en long — 3mm



I. Personnel. — *Projet et Entreprise* : MM. Liebold et C^{ie}, de Langenbrück (Saxe).

SOURCE :

S₁. — Dessin qu'ont bien voulu me remettre MM. Liebold, en 1908.

VOÛTES INARTICULÉES EN ARC TRÈS SURBAISSÉ ¹

PONTS A UNE SEULE GRANDE ARCHE
SOUS CONDUITE D'EAU
(AQUEDUCS)

Série $\overset{\text{arc}}{\text{A}}^1 \text{aq} \approx 40^{\text{m}}$ ²

Voir Préliminaires, Tome III, p. 3 et 4.

1. — pour la définition des arcs « très surbaissés ».

2. — pour le sens de ce symbole.

PONT A UNE SEULE GRANDE ARCHE SOUS CONDUITE D'EAU

PONT	PROJET							
	ENSEMBLE		GRANDE VOÛTE					ÉVIDEMENT DES TYMPAN
	<i>Longueur de l'ouvrage</i>	<i>Largeur entre tympans sous la plinthe</i>	INTRADOS	ÉPAISSEURS		MATÉRIAUX	PRESSIONS	
	<i>Déclivité</i>	<i>Fruit des tympans</i>	<i>Portée</i> <i>Montée</i> <i>Surbaissément</i> <i>Rayon</i>	CORPS <i>Clef</i> <i>Retombées</i>	TÊTES <i>Clef</i> <i>Retom- bées</i>	<i>Mortier</i> <i>Poids, pour 1^m de sable, de chaux ou de ciment</i>	<i>en kg / 0^m1²</i> <i>Hypothèse adoptée</i> <i>Surcharges supposées</i>	2 ^e <i>DÉCLIVITÉ DES TÊTES</i>
1	2	3	4	5	6	7	8	9
de Weisenbach	»	1 ^m <i>entre bandeaux</i>	40 ^m ,00	1 ^m ,35		Béton fait à la main 1 ^v - 2 ^v ,5 - 5 ^v	Pression Clef : 20 ^k Naissances : 25 ^k	1 ^e Voûte transversale vues en plein
<i>Allemagne</i>	»	Largeur de la conduite : 2 ^m 20	5 ^m ,00 $\frac{1}{8} = 0,125$	1 ^m ,70		Ciment Dyckerhoff et fils de Biebrich	»	
1885						Aux têtes, joints simulant de grandes pierres de taille	4 ^m 5 d'eau par m. c ^t	2 ^e »
A ¹ au C ^t 40 ^m 1	»							

SÉRIE A¹ aq ($\geq 40^{\text{m}}$)

TABLEAU SYNOPTIQUE

4. W = Surface vue de l'élévation \times Largeur entre parapets. 5. W' = Surface de l'élévation au dessus des fondations \times Largeur entre parapets.
Pour S_p , W , W' , voir Avertissement, Tome III, p. III, n° 7 - B.

VOÛTES INARTICULÉES EN ARC TRÈS SURBAISSÉ

PONTS A UNE SEULE GRANDE ARCHE
SOUS CONDUITE D'EAU (AQUEDUCS)

SÉRIE \bar{A}^1 aq ($\geq 40^m$)

MONOGRAPHIES

PONT SUR LA MURG, PRÈS DE WEISENBACH¹

(ALLEMAGNE, - Grand Duché de Bade)

Canal d'aménée à l'usine Holzmann

1885

\bar{A}^1 aq ($\geq 40^m$)¹

$\Phi_1 (S_2)$



1. — à 3^e environ en amont (S_2).

1. Exécution de la voûte (S_1). — On pilonnait le béton par couches parallèles à la douelle, entre cloisons transversales espacées de 4 à 5^m. On enlevait ces cloisons, puis on dressait les parois des tranches.

On n'a pas eu à soutenir les tranches des reins.

2. Date (S_1). — Le pont a été achevé à la fin de l'automne 1885.

3. Personnel (S_1).

Ingénieur : M. Karl von Muller, de Fribourg en Brisgau.

Entrepreneurs : MM. Thormann et Schneller, d'Augsbourg.

Le projet de cintre est de MM. Thormann et Stiefel.

SOURCES :

S_1 . — Lettres de M. Karl von Muller à M. Max Leibbrand, Landesbaurat à Sigmaringen (7 et 9 août 1906), que M. Leibbrand a bien voulu me communiquer. — juillet 1909.

S_2 . — Ce que j'ai vu — septembre 1908.

VOÛTES INARTICULÉES EN ARC TRÈS SURBAISSÉ ¹

PONTS A UNE SEULE GRANDE ARCHE

SOUS CHEMIN DE FER A VOIE NORMALE

Série $\overset{\text{arc}}{\mathbf{A}}^1 \mathbf{F}^r (\geq 40^m)$ ²

Voir Préliminaires, Tome III, p. 3 et 4

1. — pour la définition des arcs « très surbaissés »,

2 — pour le sens de ce symbole.

PONT A UNE SEULE GRANDE ARCHE SOUS CHEMIN DE FER

PONT	PROJET								ÉVIDENCE DES TYMPAN
	ENSEMBLE		GRANDE VOÛTE						
	Longueur <i>entre abouts des parapets</i>	Largeurs <i>entre parapets entre tympans sous la plinthe</i>	INTRADOS	ÉPAISSEURS		MATÉRIAUX	PRESSIONS		
	Déclivités Hauteur maxima du rail au-dessus du sol ou de l'étiage	Fruit des tympans Revanche du rail sur l'extrados	Portée Montée Surbaissement Rayon	CORPS Clef Retombées	TÊTES Clef Retom- bées	Mortier Poids, pour 1 ^{me} de sable, de chaur ou de ciment	en kg 0 ^m 01 ² Hypothèse adoptée Surcharges supposées		
1	2	3	4	5	6	7	8	9	
de Bellows Falls	109 ^m 98	$\left\{ \begin{array}{l} \text{Pas de} \\ \text{parapets} \end{array} \right.$ $\left\{ \begin{array}{l} 8^m 23 \end{array} \right.$	Arc de cercle $\left\{ \begin{array}{l} 42^m 672 \\ 6^m 096 \\ \frac{1}{4} = 0,143 \end{array} \right.$	$\left\{ \begin{array}{l} 1^m 219 \\ 1^m 219 \end{array} \right.$	$\left\{ \begin{array}{l} 1^m 219 \\ 1^m 219 \end{array} \right.$	Bandeaux et Douelle : L ¹ Hauteur uniforme.. 1 ^m 219 Épaisseur : Intrados..... 0 ^m 616 Extrados..... 0 ^m 635	Pression Intrad. Extrad sans surcharge Clef 39 ^k 4 19 ^k 7 Retom- 58 ^k 6 14 ^k 6 bées (effort MAX.) avec surcharge 1 ^{re} sur toute la voûte Clef 49 ^k 7 24 ^k 1 A 16 ^m 25 ^k 8 54 ^k 7 de la clef (effort MAX.) Retom- 53 ^k 7 36 ^k 1 bées 2 ^{de} sur une 1 ^{re} voûte Clef 50 ^k 5 16 ^k a - 1 ^{re} voûte chargée Retom- 71 ^k 7 7 ^k 3 bées (effort MAX.) b - 1 ^{re} voûte non chargée A 4 ^m de la clef 57 ^k 1 10 ^k (effort MAX.) Retom- 29 ^k 8 50 ^k 8 bées » 8040 ^k 1 ^{me}	1 ^o Pas d'évidence	
États-Unis	»	Pas de fruit		rouleau d'épaisseur uniforme		Aux reins, à partir de 7 ^m de la clef, remplissage en maçonnerie de 0 à 3 ^m 50 d'épaisseur		2 ^o »	
1899		2 ^m 38 jusqu'au dessus du rail	40 ^m 386			Ciment Portland			
\overline{A}^1 Fr 40 ^m 1	24 ^m 38								
2 voûtes égales battant contre le même rocher.									
Ce sont deux \overline{A}^1 , ce n'est pas un \overline{A}^n .									

4. W = Surface vue de l'élévation \times Largeur entre parapets. 5. W' = Surface de l'élévation au-dessus des fondations \times Largeur entre parapets

Pour S_p , W , W' , voir Avertissement, Tome III, p. III, n° 7 - B

VOÛTES INARTICULÉES EN ARC TRÈS SURBAISSÉ
PONT A UNE SEULE GRANDE ARCHE
SOUS CHEMIN DE FER A VOIE NORMALE

SÉRIE \bar{A}^1 $I^r (\geq 4m)$

MONOGRAPHIES

PONT DE BELLOWS FALLS, SUR LE CONNECTICUT

(ÉTATS-UNIS, - Vermont)

Ligne de Boston¹ à Montreal, par Fitchburg et Rutland

(Boston and Maine R.R.)

1899

\bar{A}^1 $I^r (\geq 4m)$

Φ_1 (S_2)



1. Pourquoi il est dans la série \bar{A}^1 . — Ce n'est pas un pont à deux arches (A^n). Ce sont deux arches uniques buttant contre le même rocher.

— à 114 milles de Boston.

2. Pourquoi on a fait un pont en maçonnerie. — Il remplace un pont en bois à deux travées : on a adopté des arches en maçonnerie, comme les plus vite faites et les moins chères.

3. Couronnement. — La plinthe est en deux assises en porte-à-faux de 15^m chacune.

Il n'y a pas de garde-corps.

4. Cintres. — A. - *Partie au-dessus des naissances*. — Elle est la même pour les deux cintres.

Les montants et contrefiches sont en sapin de 25^m × 30^m.

Les assemblages tiennent par des broches : les pièces n'en sont pas entaillées.

Les vaux V (f₁) sont formés de 4 cours de planches de 7^m6 × 25^m4, clouées l'une sur l'autre en découpe.

Les couchis c, de 20^m × 20^m, portent sur des coins en chêne W de 15^m de largeur et 45^m7 de longueur. Il y a une paire de coins par couchis et par ferme, soit 72 par ferme, 432 par voûte.

Au décintrement, il a été très difficile de décoller ces coins, probablement parce qu'ils étaient en bois vert non raboté.

Les couchis portent un platelage p de 7^m6 (f₂).

Pour tenir compte des bosses des voussoirs en douelle, on a ménagé entre le platelage et la douelle théorique, un jeu e de 7^m6 (S₂). On a posé les voussoirs sur des liteaux taillés en V, puis bourré le vide de fil de caret².

B. - *Partie au-dessous des naissances*. — Les montants sont en pin dur de 35^m × 40^m.

A cause de la violence du courant, on a dû retrousser sur 11^m58 le cintre de l'arche en rivière : il porte sur deux montants inclinés s'appuyant sur une semelle posée sur une plate-forme en béton étalée sur le rocher.

Les autres montants du cintre en rivière, et tout l'étagé inférieur de l'autre, s'appuient directement sur le rocher préalablement nivelé.

Des goujons de 30^m de long, 38^{mm} de diamètre, pénètrent par moitié dans le rocher, par moitié dans les montants.

La charge sur les poteaux du milieu est d'environ 30 tonnes.

5. Exécution des voûtes. — Les joints des libages, de 13^{mm} à l'intrados et 51^{mm} à l'extrados, ont été matés³ au mortier de ciment Portland, avec des spatules⁴ en fer, de 13^{mm} d'épaisseur et 76^{mm} de largeur.

La voûte Est, cubant 458^m7, a été construite en 4 jours.

2. — « rope yarn ».

3. — « tamped ».

4. — « strips ».

6. Quantités.

Voûtes et socles.....	964 ^m 8
Plinthes.....	218 ^m 6
Tympan et remplissage.....	1886 ^m 6
Béton en fondation (cintre).....	137 ^m 6
	<hr/> 3207 ^m 0

7. Dates. — Les travaux ont commencé le 12 septembre 1899. Les trains ont passé sur le pont le 10 décembre 1899, soit 90 jours après.

8. Personnel.

Projet : M. A. S. Cheever, Ingénieur en chef de la Division de Fitchburg, (Boston and Maine R.R.)

Entrepreneur : M. J. W. Rollins, Jr, Ingénieur de la Maison Holbrook, Cabot et Daly.

SOURCES :

S_1 . — Engineering News, 21 juin 1900, p. 402 : « *New double 140 Ft. span stone arch « bridge for the Fitchburg R.R., at Bellows Falls, Vt.* »

S_2 . — Dessins d'exécution et photographies, gracieusement communiqués par M. A. S. Cheever, Member Am. Soc. C. E. « Superintendent Fitchburg Div. », Boston and Maine R. R.

Ce qui n'est pas spécifié S_2 est de S_1 .

VOÛTES INARTICULÉES EN ARC TRÈS SURBAISSÉ ¹

PONTS A PLUSIEURS GRANDES ARCHES

SOUS ROUTE

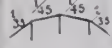
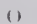
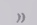
Série $\overline{\mathbf{A}}^{\mathbf{n}} \mathbf{r}^{\text{te}} (\geq 40^{\text{m}})$ ²

Voir Préliminaires, Tome III, p. 3 et 4.

1. — pour la définition des arcs « très surbaissés ».

2. — pour le sens de ce symbole.

PONTS A PLUSIEURS GRANDES ARCHES SOUS ROUTE

PROJET									
PONT	ENSEMBLE		GRANDES VOÛTES						
	Date	Longueur <i>entre abouts des parapets</i>	Largeurs <i>entre parapets entre tympans sous la plinthe</i>	INTRADOS <i>Portée</i> <i>Montée</i> <i>Surbaissement</i> <i>Rayon</i>	ÉPAISSEURS <i>CORPS</i> <i>TÊTES</i> <i>Clef</i> <i>Retombées</i> <i>Clef</i> <i>Retom- bées</i>		MATÉRIAUX <i>Mortier</i> <i>Poids, pour 1^m de sable, de chaux ou de ciment</i>	PRESSIONS <i>en kg 0^m01²</i> <i>Hypothèse adoptée</i> <i>Surcharges supposées</i>	ÉVIDEMENT <i>DES</i> <i>TYMPAN</i> <i>2^o</i> <i>DÉCORATI DES TÊTES</i>
Symbole	1	2	3	4	5	6	7	8	9
<i>En quoi consiste l'ouvrage</i>									
de Putney <i>Angleterre</i> 1882-1883 $\overline{A}^n 1^{te} (40^m) 1$ <i>5 voûtes en arc : une centrale de 13^m 891 à 1 7,16 2 intermédiaires de 30^m 319 à 1 7,94 2 de rive de 34^m 138 à 1 8,61</i>		13 ^m 411 11 ^m 325 Léger fruit	Arc de cercle 43 ^m 891 5 ^m 86 $\frac{1}{7,46} = 0,133$ 43 ^m 97	1 ^m 372 1 ^m 676 <i>vers les retombées</i>		Bandeaux : PT ¹ Granit Ciment Portland		1 ^o Dalles sur mur longitudinal de 0 ^m 57 espacés de 1 ^m 06 et 1 ^m	
Boucicaut <i>France</i> 1888-1890 $\overline{A}^n 1^{te} (40^m) 2$ <i>5 voûtes égales de 10^m</i>		233 ^m 94 8 ^m 00 8 ^m 70 Pas de fruit 11 ^m 36 0 ^m 55	Arc de projection de chaînette renflé par rapport à l'arc de cercle de 0 ^m 264 à 70° de la 1 ^{re} portée à partir de la clef 40 ^m 00 5 ^m 00 $\frac{1}{8} = 0,125$ 53 ^m 90 26 ^m 07	1 ^m 05 1 ^m 238 1 ^m 03 1 ^m 238	Bandeaux : PT ¹ Joints de 8 ^m Douelle et Queutage : MAV ¹ taillés sur les 6 faces Calcaire de Villebois (1096 ^{kg} en moyenne) Ciment artificiel Vicat — 600 ^{kg}	Pression moyenne à la clef : 19 ^{kg} 9 <i>Courbe de pression passant par les milieux des joints de clef et de retombées</i> "	1 ^o Pas d'évidement 2 ^o Medaille dans les tympans au-dessus des piles		
de Mehring <i>Allemagne</i> 1903-1904 $\overline{A}^n 1^{te} (40^m) 3$ <i>4 voûtes égales de 16^m</i>		237 ^m 6 ^m 50 6 ^m 30 " " 12 ^m 70	Arc d'anse de panier à 3 centres 46 ^m 00 6 ^m 17 $\frac{1}{7,455} = 0,134$ 64 ^m 31 ^m 95	1 ^m 00 1 ^m 30 1 ^m 00 1 ^m 30	Béton : 1 ^{re} , 3 ^{re} , 5 ^{re}	Pression MAX. moy. Clef : 21 ^{kg} 3 Retom- bées : 31 ^{kg} 5 18 ^{kg} 6 " " 520 ^{kg} mq et Rouleau à vapeur de 18 ^t	1 ^o 8 voûtes transverse- vues, en plein de 2 ^m 00 sur pile de 0 ^m 70 2 ^o		

1. — Pour le sens de ces abréviations, voir Avertissement, Tome III, p. 11, n° 6.

SÉRIE \bar{A}^n 1^{re} ($\geq 4(m)$)

TABLEAU SYNOPTIQUE

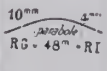
[illegible]

2. Pour le calcul de la surface de douelle, voir Avertissement, Tome III, p. III, n° 7 — A. 3. S_p = Longueur (col. 2) \times Largeur entre parapets (col. 3) — C'est la surface offerte à la circulation.

4. W = Surface vue de l'élévation \times Largeur entre parapets. 5. W' = Surface de l'élévation au-dessus des fondations \times Largeur entre parapets.

Pour S_p , W , W' , voir Avertissement, Tome III, p. III, n° 7 — B.

PONT A PLUSIEURS GRANDES ARCHES SOUS ROUTE

PONT	PROJET								
	ENSEMBLE	GRANDES VOÛTES							1° ÉVIDEMENT DES TYMPAN
		Longueur <i>entre abouts des parapets</i> Déclivités Hauteur maxima de la chaussée au-dessus du sol ou de l'étiage	Largeurs <i>entre parapets entre tympans sous la plinthe</i> Fruit des tympans Revanche de la chaussée sur l'extrados	INTRADOS Portée Montée Surbaissement Rayon	ÉPAISSEURS CORPS Clef Retombées		TÊTES Clef Retom- bées	MATÉRIAUX Mortier Poids, pour 1 ^{me} de sable, de chaux ou de ciment	
Date Symbole En quoi consiste l'ouvrage	1	2	3	1	5	6	7	8	9
d' Orléans <i>France</i> 1904-1906 \bar{A}^n r ^{te} $\geq 40^m$ 4 7 routes égales	353 ^m 42  10 ^m parabol RG = 48 ^m • RI 13 ^m 41	13 ^m 45 13 ^m 80 Pas de fruit 0 ^m 006	Arc de projection de chaînette renflé par rapport à l'arc de cercle de 0 ^m 13 à 72 0 0 de la 1 2 portée à partir de la clef. 43 ^m 83 5 ^m 80 $\frac{1}{7,56} = 0,132$ 48 ^m 827 »	1 ^m 25 1 ^m 45 8	1 ^m 23 1 ^m 45 8	Bandeaux : PT ¹ Douelle : MAV ¹ Calcaire de Massangis (Yonne) 710 ^k — Queutage : MAV ¹ Calcaire d'Ancy le Franc, de Larrys (dur), de Chassignelles (Yonne), etc. Parties vues de l'extrados : Calcaire de : Massangis (Yonne) Senozan (Saône-et-Loire), Saint-Florent (Cher), Comblanchien (Côte d'Or) 600 à 1100 ^k — Ciment lent Caudlot — 600 ^k	Pression MAX. MOY. sans surcharge Clef 26 ^k 8 18 ^k 9 (extr.) Retom- bées 33 ^k 9 18 ^k 9 (intr.) avec surcharge 1 ^{re} sur toute la voûte Clef 29 ^k 1 20 ^k 5 (extr.) Retom- bées 36 ^k 8 20 ^k 5 (intr.) 2 ^{de} sur les 3/5 de la 2 ^{de} portée à partir de l'appui (position la plus défavorable) Clef 29 ^k 6 19 ^k 7 (extr.) Retom- bées 39 ^k 5 19 ^k 6 (intr.) tension = 0 ^k 3 Arc élastique 500 ^k , mq	1° 8 voûtes transversales vues, en arc de cercle de 2 ^m 80 à 1 0,51, sur piles de 0 ^m 45, percées de 4 voûte en plein cintre de 1 ^m 60 2° Arche rectiligne	
de Krappitz <i>Allemagne</i> 1905 \bar{A}^n r ^{te} $\geq 40^m$ 5 Une route de 50 ^m ; entre 2 routes en arc, de 25 ^m à 1 5,55	» » 9 ^m (lit)	» » 0 ^m 40	Arc d'anse de panier à 3 centres 50 ^m 00 6 ^m 00 $\frac{1}{8,33} = 0,12$ 64 ^m 10 11 ^m 90	1 ^m 20 2 ^m 00	1 ^m 20 2 ^m 00	Voûte en petits moellons, Aux têtes, crépi simulant de grandes pierres de taille Ciment — 0 ^m 333		1° 12 voûtes transversales vues, en plein cintre de 1 ^m , sur piles de 1 ^m 2° »	
de Gross-Kunzendorf <i>Allemagne</i> \bar{A}^n r ^{te} $\geq 40^m$ 6 Une route de 40 ^m entre 2 routes en arc, de 20 ^m à 1 5,55	100 ^m 80 » 7 ^m (étiage)	8 ^m 30 7 ^m 20 » 0 ^m 45	40 ^m 00 4 ^m 20 $\frac{1}{9,523} = 0,105$	0 ^m 90 1 ^m 35	0 ^m 90 1 ^m 35	Comme au Pont de Krappitz \bar{A}^n r ^{te} $\geq 40^m$ 5		1° Pas d'évidement 2° »	

SÉRIE Aⁿ 1^{re} ($\geq 40^m$)

TABLEAU SYNOPTIQUE (Suite)

EXÉCUTION										CUBE DE MAÇONNERIE A MORTIER						
GRANDES VOÛTES										Q						
FONDATEMENTS	CINTRES					MODE DE CONSTRUCTION	DÉCINTREMENT État d'avancement du Pont Temps entre le dernier clavage et le décintrement Date	TASSEMENTS DE LA CLEF sur cintre t_c au décin- trement t_v après t_v	DÉPENSE							
	FERMES		Cube de bois		Totaux				par mq de douelle ²	Totaux et par unité	de surface utile S_p^3 de volume « utile » W^4 .	18				
	Type	Nombre	Poids de fer	Dépenses												
	Matière	Épaisseur														
Nature du sol	Appareils de décintrement	Ecartement d'axe en axe Surhaussement														
Profondeur sous l'étiage																
Pressions sur le sol en kg 0 ^m 01 ²																
Procédé																
10	11	12	13	14	15	16	17									
Marne 4 ^m 7 à - 18 ^m 6 Pression maxima : Onées : 17 ^k 3 Piles : 9 ^k 4 Air comprimé	Aux 2 arches RD :	9 2,5 ^m 1 ^m 70	Moyenne des 7 cintres Pieux compris		A pleine épaisseur 10 tronçons 11 clavages	Voûtes nues mari- niers	t_c (en mm) Clef Reins Cintres : courants : 20 à 25 à 29 38,5 38 à 14 à 59 29,5		Q	Fon- dations	Élé- vation	En- semble				
	Retroussé sur 9 ^m (marinier)		370 ^{mc}	0 ^{mc} 58			t_v (en mm) (moyenne des 2 têtes)									
	Aux 5 autres arches :		25443 ^f	40 ^f 1			Arches n° 1 (RD) : 73 j. 8 ^m 2 : 63 j. 6 ^m 6 3 : 51 j. 8 ^m 3									
	Fixe						29-31 mai		D	D : S _p	D : W	D : Q				
	Montants et contrefiches	»					Arches n° 4 et 5, décintrées partiellement avec 1, 2, 3, complètement avec 6 et 7									
	Sapin						Arches n° 6 : 68 j. 5 ^m 7 (RG) : 62 j. 7 ^m 4									
	Boîtes à sable						24-25 juillet									
Béton cône de rails, sur pilotis																
Argile ferme																
»																
»																
Béton cône de rails, sur pilotis																

² Pour le calcul de la surface de douelle, voir Avertissement, Tome III, p. III, n° 7 — A — 3. S_p = Longueur (col. 2) \times Largeur entre parapets (col. 3) — C'est la surface offerte à la circulation

4. W = Surface vue de l'élévation \times Largeur entre parapets. 5. W' = Surface de l'élévation au-dessus des fondations \times Largeur entre parapets.

Pour S_p , W , W' , voir Avertissement, Tome III, p. III, n° 7 — B.

PONT A PLUSIEURS GRANDES ARCHES SOUS ROUTE

PROJET									
PONT	ENSEMBLE			GRANDES VOÛTES					
Date	Longueur <i>entre abouts des parapets</i>	Largeurs <i>entre parapets entre tympans sous la plinthe</i>	INTRADOS	ÉPAISSEURS		MATÉRIAUX	PRESSIONS	ÉVIDEMENT	
Symbole	Déclivités	Fruit des tympans	Portée	CORPS	TÊTES	Mortier	en kg / m ²	DES	
En quoi consiste l'ouvrage	Hauteur maxima de la chaussée au-dessus du sol ou de l'étiage	Revanche de la chaussée sur l'extrados	Montée Surbassement Rayon	Clef	Clef	Poids, pour 1 ^{me} de sable, de chaux ou de ciment	Hypothèse adoptée Surcharges supposées	TYMPANS	
1	2	3	4	5	6	7	8	9	
de Schweich <i>Allemagne</i> 1905-1906 $\bar{A}^n r^{te} (\geq 40m) 7$ 15 voûtes en arc : 3 de 16 ^m , 3 de 10 ^m (RD), 9 de 10 à 15 ^m (RG).	309 ^m 15 0 au-dessus des voûtes de 46 ^m 15 ^m (lit)	7 ^m 00 6 ^m 60 Pas de fruit 0 ^m 30	Arc d'anse de panier à 3 centres 46 ^m 00 6 ^m 17 $\frac{1}{1,455} = 0,134$ 60 ^m 60 31 ^m 95	1 ^m 00 1 ^m 30		Béton Ciment 1 ^r Sable de la Moselle 2 ^r 5 Gravier de la Moselle 5 ^r	Pression avec surcharge : MAX. moy. Clef 33 ^k 8 21 ^k 1 Retom- bées 32 ^k 8 19 ^k 3 400 ^k mq et Rouleau à vapeur de 24 ^r	1 ^o 10 voûtes transversales vues, en plein cintre de 2 ^m , en béton armé sur piles de 0 ^m 70 à 1 ^m 2 ^o »	
d' Avignon <i>France</i> 1905-1909 $\bar{A}^n r^{te} (\geq 40m) 8$ 10 voûtes de 10 ^m .	465 ^m Dos d'âne Déclivités maxima : 6 ^m 3 (RD) 13 ^m (RG) 12 ^m 87 (étiage)	10 ^m 00 8 ^m 20 Pas de fruit 0 ^m 64	Arc de projection de chaînette renflé par rapport à l'arc de cercle de 0 ^m 263 à 70 o/o de la 1 ^{re} portée à partir de la clef 40 ^m 00 5 ^m 00 $\frac{1}{8} = 0,125$ 53 ^m 90 26 ^m 07	4 ^m 05 1 ^m 237	4 ^m 03 1 ^m 237	Bandeaux : PT ¹ Joints de 10 ^{mm} Douelle et Queutage : MAV ¹ Joints de 25 à 30 ^{mm} Calcaire de Ruoms Ciment maritime Pavin de Lafarge 600 ^k Mortier fait à la main	Pression maxima : Clef : 31 ^k 5 Retombées : 37 ^k 2 Arr. élastique	1 ^o Pas d'évidement Remplissage en gravier 2 ^o »	
de Trittenheim <i>Allemagne</i> 1907-1908 $\bar{A}^n r^{te} (\geq 40m) 9$ 1 routes en arc : 3 de 16 ^m , 1 de 30 ^m à 1 6,711.	208 ^m 30 ^{mm} 10 ^{mm} 10 ^m (lit)	6 ^m 50 6 ^m 10 Pas de fruit 0 ^m 35	Arc d'anse de panier à 3 centres 46 ^m 00 6 ^m 17 $\frac{1}{1,455} = 0,134$ 56 ^m 00 33 ^m 55	1 ^m 00 1 ^m 30		Béton Ciment 1 ^r Sable de la Moselle 2 ^r 5 Gravier de la Moselle 5 ^r	Pression avec surcharge : MAX. moy. Clef 22 ^k 5 Retom- bées 29 ^k 2 21 ^k 6 500 ^k mq et Rouleau à vapeur de 24 ^r	1 ^o 10 voûtes transversales vues, en plein cintre de 2 ^m , en béton armé 2 ^o »	

1 Pour le sens de ces abréviations, voir Avertissement, Tome III, page II, n° 6.

SÉRIE $\bar{A}^{n1e} (\geq 40m)$

TABLEAU SYNOPTIQUE (Suite)

EXÉCUTION										CUBE DE MAÇONNERIE A MORTIER		
FONDATIONS	GRANDES VOÛTES									Q DÉPENSE D Totaux et par unité { de surface utile S _p ² de volume « utile » W ⁴		
	CINTRES				MODE DE CONSTRUCTION	DÉCINTREMENT État d'avancement du pont Temps entre le dernier clavage et le décintrement Date	TASSEMENTS DE LA CLIEF sur cintre t _c au décin- tremement après t' _v					
	FERMES		Cube de bois Poids de fer Dépenses									
	Type Matière Appareils de décintrement	Nombre Épaisseur Ecartement d'axe en axe Surhaussement	Totaux	par mq de douelle ²								
10	11	12	13	14	15	16	17	18				
Nature du sol Profondeur sous l'étiage Pressions sur le sol en kg/cm ² Procédé												
Rocher	Arche centrale :	7	Cintre marinier :		A pleine épaisseur		t _c = 90mm (arche centrale)		Q = 6963 ^{mc} Q : S _p = 3 ^{mc} 05 Q : W = 0 ^{mc} 29			
"	Retroussé sur 16 ^m (marinier)	20 ^{cm} 1 ^m 06	Pieux 37 ^{mc} Etage inf ^r 46 ^{mc} Etage sup ^r 160 ^{mc} Platelage 16 ^{mc}		Tranches de 1 ^m 50 de largeur					Fon- dations	Élé- vation	En- semble
Pression maxima : 8 ^{kg} 6	Autres arches :		259 ^{mc}	0 ^{mc} 87			t' _v 20mm environ		D	80019 ^f	228181 ^f	308500 ^f
"	Fixes	100 ^{mm}							D : S _p	35 ^f 1	100 ^f 1	135 ^f 2
"	Coins								D : W	3 ^f 4	9 ^f 6	13 ^f 0
									D : Q	»	»	44 ^f 3
Culée RG et Piles 1 et 5 Marne -13 ^m 10 à -15 ^m 01 Piles 2, 3, 4 Gravier -13 ^m 87 à -16 ^m 34 Piles 6 à 9 et Culée RD Rocher calcaire -1 ^m 03 à -6 ^m Pression maxima : 12 ^{kg} 3 A r comprimé	Fixes	6	Moyenne des 5 cintres :		A pleine épaisseur	Voûtes nues	t _c min : 36 ^{mm} (v ¹ 10) MAX : 100 ^{mm} (v ¹ 4) t' _v moyenne des 2 têtes :		Q = 24504 ^{mc} Q : S _p = 53 ^{mc} 2 Q : W = 0 ^{mc} 48			
		30 ^{cm} 1 ^m 50	239 ^{mc}	0 ^{mc} 69	9 clavages.	N ^o N ^o Temps sur cintre Date du décint.				Fon- dations	Élé- vation	En- semble
			16574 ^k	48 ^k		1 (RG) 129 j 20-II 9 ^{mm}			D	663661 ^f	1019423 ^f	1683084 ^f
			16808 ^f	48 ^f 7		2 113 20-III 7 ^{mm} 7			D : S _p	146 ^f 5	219 ^f 2	365 ^f 7
						3 109 16-IV 6 2			D : W	13 ^f 0	20 ^f 2	33 ^f 2
						4 90 15-V 6 3			D : Q	»	»	68 ^f 9
						5 91 23-VI 8						
						6 86 23-VII 6						
						7 81 26-VIII 14 8						
						8 68 8-IX 14 8						
						9 57 29-IX 16 8						
						10 (RD) 76 18-XI 17 6						
Rocher	Arche centrale :	6			A pleine épaisseur				Q = 4920 ^{mc} Q : S _p = 3 ^{mc} 63 Q : W = 0 ^{mc} 27			
"	Retroussé sur 16 ^m (marinier)	20 ^{cm} 1 ^m 17			Tranches de 1 ^m 50 de largeur		t' _v 12 ^{mm} à 15 ^{mm}			Fon- dations	Élé- vation	En- semble
Pression : 4 ^{kg} 5	Autres arches :								D	69789 ^f	214031 ^f	283820 ^f
	Fixes	100 ^{mm}							D : S _p	51 ^f 6	158 ^f 3	209 ^f 9
									D : W	3 ^f 8	11 ^f 6	15 ^f 4
									D : Q	»	»	57 ^f 7

² Pour le calcul de la surface de douelle, voir Avertissement, Tome III, p. III, n° 7 - A. ³ S_p = Longueur (col. 2) \times Largeur entre parapets (col. 3) - C'est la surface offerte à la circulation.

⁴ W = Surface vue de l'élévation \times Largeur entre parapets. ⁵ W' = Surface de l'élévation au-dessus des fondations \times Largeur entre parapets.

Pour S_p , W, W', voir Avertissement, Tome III, p. III, n° 7 - B.

PONT A PLUSIEURS GRANDES ARCHES SOUS ROUTE

PONT	PROJET							
	ENSEMBLE		GRANDES VOÛTES					1°
	<i>Longueur</i> <i>entre</i> <i>abouts des</i> <i>parapets</i> Déclivités Hauteur maxima de la chaussée au-dessus du sol ou de l'étiage	<i>Largeurs</i> <i>entre parapets</i> <i>entre tympan</i> <i>sous la plinthe</i> Fruit des tympan Revanche de la chaussée sur l'extrados	INTRADOS <i>Portée</i> <i>Montée</i> Surbaissement <i>Rayon</i>	ÉPAISSEURS		MATÉRIAUX <i>Mortier</i> <i>Poids,</i> <i>pour 1^m de sable,</i> <i>de chaux</i> <i>ou de ciment</i>	PRESSIONS en kg / 0 ^m 01 ² <i>Hypothèse</i> <i>adoptée</i> Surcharges supposées	ÉVIDEMENT DES TYMPANS 2° DÉCORATION DES TÊTES
1	2	3	4	5	6	7	8	9
de Longuich <i>Allemagne</i> 1909-1911 Aⁿ 1^{re} (40 ^m) 10 <i>4 routes en arc :</i> <i>une de 46^m, 2 de 43^m,</i> <i>une de 34^m.</i>	248 ^m Dos d'âne Déclivité maxima : 60 ^{mm} 13 ^m 20	4 ^m 60 1 ^m 10 Pas de fruit 0 ^m 35	<i>Voûte de 46^m</i> Arc de cercle 46 ^m 00 6 ^m 17 $\frac{1}{7,455} = 0,134$ 45 ^m 95		1 ^m 05 1 ^m 20 1 ^m 03 1 ^m 20	Béton Ciment..... 1 ^r Sable naturel et gravier..... 8 ^r	» <i>Courbes</i> <i>de pression</i> <i>avec points de</i> <i>passage</i> <i>arbitrairement</i> <i>choisis</i> 500 ^{kg} /mq et Rouleau à vapeur de 24 ^r	1° Piliers en béton armé de 40 ^m × 40 ^m portant une plate-forme armée. 2° »
			<i>Voûtes de 43^m</i> Arc de cercle 43 ^m 00 5 ^m 34 $\frac{1}{8,052} = 0,124$ 45 ^m 95		0 ^m 95 1 ^m 10 0 ^m 93 1 ^m 10			

SÉRIE $\bar{A}^n r^{1e} (\geq 40^m)$

TABLEAU SYNOPTIQUE (Suite)

EXECUTION										CUBE DE MAÇONNERIE A MORTIER		
GRANDES VOÛTES										Q		
FONDATIONS	CINTRES					MODE	DÉCINTREMENT	TASSEMENTS	DÉPENSE			
Nature du sol	FERMES		Cube de bois		Poids de fer	DE	État	DE LA CLEF	sur			
Profondeur sous l'étiage	Type	Nombre	Épaisseur	Ecartement	d'axe en axe	CONSTRUCTION	d'avancement du Pont	sur cintre	t_c	Totaux		
Pressions sur le sol en kg/cm ²	Matière	Appareils de	Surhaussement	Totaux	par mq de douelle ²	Temps entre le dernier clavage et le décintrement	Date	au décin- trement	t_v	après		
Procédé	11	12	13	14	15	16	17	18	18	18		
										par unité { de surface utile S_p^3 de volume « utile » W^4		
										18		
										18		
										18		
										18		
										18		
										18		
										18		
										18		
										18		
										18		
										18		
										18		
										18		
										18		
										18		
										18		
										18		
										18		
										18		
										18		
										18		
										18		
										18		
										18		
										18		
										18		
										18		
										18		
										18		
										18		
										18		
										18		
										18		
										18		
										18		
										18		
										18		
										18		
										18		
										18		
										18		
										18		
										18		
										18		
										18		
										18		
										18		
										18		
										18		
										18		
										18		
										18		
										18		
										18		
										18		
										18		
										18		
										18		
										18		
										18		
										18		
										18		
										18		
										18		
										18		
										18		
										18		
										18		
										18		
										18		
										18		
										18		
										18		
										18		
										18		
										18		
										18		
										18		
										18		
										18		
										18		
										18		
										18		
										18		
										18		
										18		
										18		
										18		
										18		
										18		
										18		
										18		
										18		
										18		
										18		
										18		
										18		
										18		
										18		
										18		
										18		
										18		
										18		
										18		
										18		
										18		
										18		
										18		
										18		
										18		
										18		
										18		
										18		
										18		
										18		
										18		
										18		
										18		
										18		
										18		
										18		
										18		
										18		
										18		
										18		
										18		
										18		
										18		
										18		
										18		
										18		
										18		
										18		
										18		
										18		
										18		
										18		
										18		
										18		
										18		
										18		
										18		
										18		
										18		
										18		
										18		
										18		
										18		
										18		
										18		
										18		
										18		
										18		
										18		
										18		
										18		
										18		
										18		
										18		
										18		
										18		
										18		
										18		
										18		
										18		
										18		
										18		
										18		
										18		
										18		
										18		
										18		
										18		
										18		
										18		
										18		
										18		
										18		
										18		
										18		
										18		
										18		
										18		
										18		
										18		
										18		
										18		
										18		
										18		
										18		
										18		
										18		
										18		
										18		
										18		
										18		
										18		
										18		
										18		

2. Pour le calcul de la surface de douelle, voir Avertissement, Tome III, p. III, n° 7 - A. 3. S_p = Longueur (col. 2) \times Largeur entre parapets (col. 3) - C'est la surface offerte à la circulation.
4. W = Surface vue de l'élévation \times Largeur entre parapets. 5. W' = Surface de l'élévation au-dessus des fondations \times Largeur entre parapets.
Pour S_p , W , W' , voir Avertissement, Tome III, p. III, n° 7 - B.

VOÛTES INARTICULÉES EN ARC TRÈS SURBAISSÉ
PONTS A PLUSIEURS GRANDES ARCHES SOUS ROUTE

SÉRIE $\bar{A}^{n 1^{\text{e}}}$ ($\geq 40^{\text{m}}$)

MONOGRAPHIES

PONT DE PUTNEY ¹ SUR LA TAMISE (ANGLETERRE)

1882-1883

$\bar{A}^{n 1^{\text{e}}}$ ($\geq 40^{\text{m}}$)¹

Φ_1 (S_1)



1. Quelques dispositions. — Les tympanes (parements en granit et corps en briques) sont élégis par 7 murs longitudinaux en briques, portant une file de dalles, puis une plate-forme continue de dalles (S_2) (f_1, f_2).

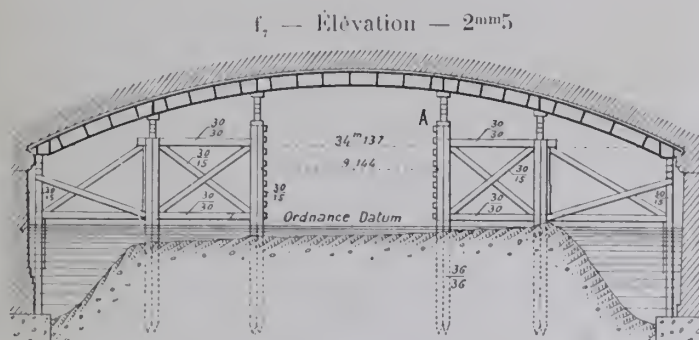
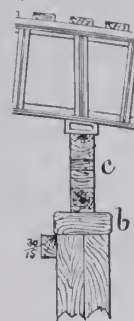
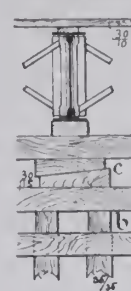
Sous chaque trottoir passent 3 tuyaux en fonte : deux de 0^m61, un de 0^m30.

La haute mer noye les piles jusqu'au chaperon (S_2)².

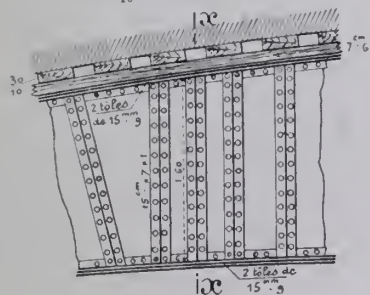
1. — Il relie Fulham (rive gauche) à Putney (rive droite), en amont et près de Londres.

2. — Voir la photographie du pont à marée haute (S_2 , p. 626).

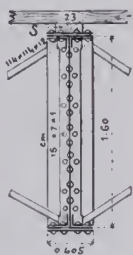
2. Cintres (f_7 à f_{12}). — Les fermes en tôle portent sur pieux de 36^{cm} 36^{cm} par des billots b , puis par des coins c (f_8, f_9), qui ont servi à mettre les fermes de niveau, puis à décintrer (S_1, S_2).

Cintre d'une arche de rive ³Support A — 1^{m} f_8 — Élévation f_9 — Coupe en travers

Cintre de l'arche centrale

Détails d'une ferme — $1^{m}5$ f_{10} — Élévation

Coupes en travers

 f_{11}
sur $S.F.F$
de f_{10}  f_{12}
à la
clef

Le cintre de l'arche centrale laissait une passe libre de $16^{m}76$ de largeur avec $3^{m}66$ de revanche au-dessus de la haute mer (S_2).

Aux autres arches, la passe avait $9^{m}14$ de largeur, $3^{m}35$ de revanche (S_2).

La semelle supérieure de chaque ferme portait une fourrure en bois s (f_{11}), sur laquelle on cloua un platelage non jointif (f_{10}, f_{11}).

On a chargé lourdement les cintres, pour prévenir leur tassement sous le poids des voûtes (S_2).

3. Fondations. — A. - Piles. — Les piles et culées sont fondées dans l'argile dure ⁴ (S_2). Chaque pile (f_1) repose sur trois caissons rectangulaires en fer C_1, C_2, C_3 , à deux parois, dont l'intervalle a été rempli de béton au fur et à mesure de la descente (S_1).

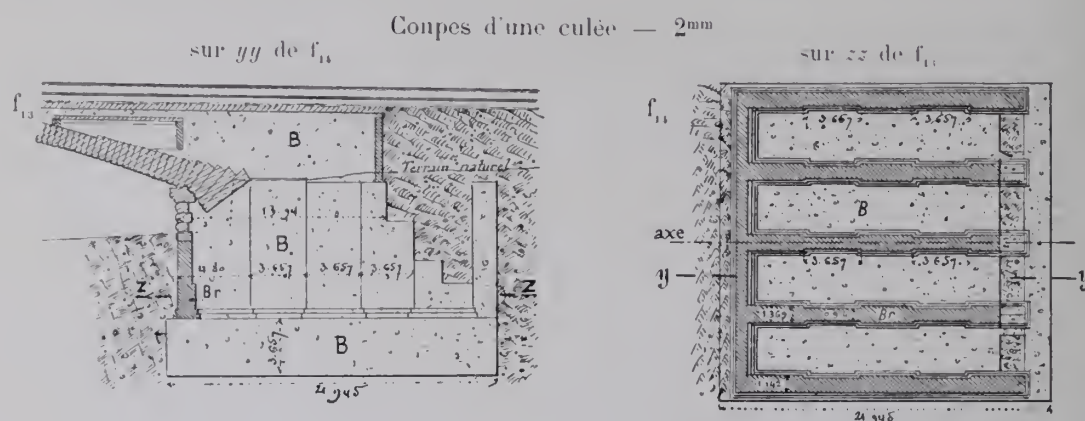
3. — S_1 ne donne pas le dessin d'ensemble du cintre de l'arche centrale, seulement celui d'une arche de rive, mais spécifie qu'ils sont, pour les 5 arches, du même type.

4. — «Stiff clay».

On descendit ces caissons dans l'argile, en les guidant par des files de pieux. On déblaya à l'intérieur, puis, sur 0^m91 de profondeur au-dessous des couteaux et 0^m61 de largeur en dehors. Au fond, on étala d'abord une couche de béton de 0^m30, et, sur ce béton et sous les couteaux, une file de libages de 0^m61 d'épaisseur (S_2).

On remplit ensuite de béton l'intérieur des caissons, par couches de 0^m30 (S_1), et on recouvrit l'intervalle de 0^m91 qui les sépare, de dalles de 1^m83 \times 0^m91 \times 0^m91 (S_2).

B. - Culées. — Les culées sont fondées dans des batardeaux à deux enceintes de pieux et palplanches (S_2).



Leurs murs sont en briques avec parements en granit ; le noyau est en béton dans des cloisons de briques (S_1 , S_2). Tout est à mortier de ciment (S_2).

4. Exécution des voûtes. — Les voussoirs avaient au moins 1^m22 de longueur suivant les génératrices de douelle, avec découpe de 46^{cm} (S_2) : on les posait sur deux bandes de plomb de 5^{mm} d'épaisseur et 5^{cm} de largeur, disposées suivant toute la hauteur du joint, à 15^{cm} des arêtes (S_1).

Lorsqu'une assise était posée, on remplissait les joints de mortier de ciment de Portland (S_1).

5. Personnel.

Ingénieurs / *Projet* : Sir J. W. Bazalgette.
 / *Exécution* : M. Edw. Bazalgette (S_1).
 Entrepreneur : M. John Waddell, d'Edimbourg.

SOURCES :

S_1 . — Engineering, 23 juillet 1886, p. 85 et 86. « *Bridge over the Thames at Putney ; Details of centering* ».

S_2 . — Engineering, 17 mai 1895, p. 624 à 626 : « *Thames Bridges. — Putney Road Bridge* ».

Ce qui n'est pas spécifié S_2 est de S_1 .

S_3 . — Ce que j'ai vu — juin 1903.

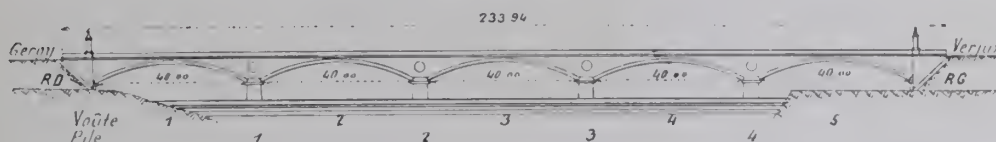
PONT BOUCICAUT¹ SUR LA SAÔNE, A VERJUX² (SAÔNE-ET-LOIRE)

Chemin d'intérêt commun

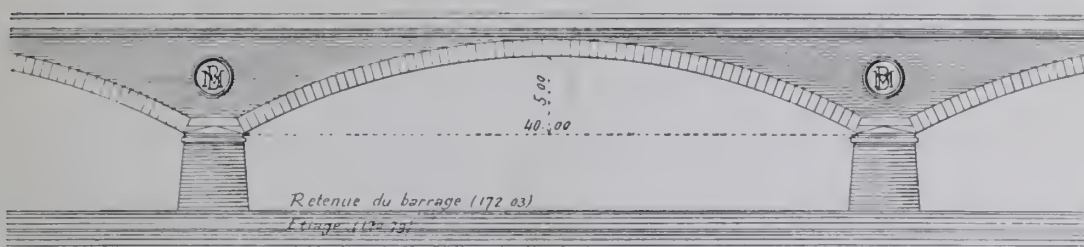
1888-1890

\bar{A}^n 1^{re} (40m)²

f_1 — Ensemble, aval — 0^{mm}5



f_2 — Une arche — 2^{mm}



1. Tracé de l'intrados. — L'intrados est défini par l'équation :

$$y = \frac{b}{2r} \left[e^{\frac{x}{a} + \omega \frac{x}{a} - 2} \right]^3$$

dans laquelle

$$a \text{ (1/2 portée)} = 20^m$$

$$b \text{ (montée)} = 5^m$$

$$r = 2,484138^4$$

$$\omega = 6,821685^4$$

On vérifie que l'intrados peut s'écrire ainsi :

$$y = 1,006486 \left[e^{\frac{x}{10,41608} + e^{-\frac{x}{10,41608} - 2} \right]$$

1. — Construit aux frais de M^{re} Marguerite Boucicaut, propriétaire des Magasins du Bon Marché, née à Verjux.

2. — entre Gergy et Verjux, à 16^{km} en amont de Chalon-sur-Saône.

3. — C'est une projection de chaînette.

Soient en effet :

$$\omega \frac{x}{a} = e^{\frac{x}{m}} \quad \text{et} \quad \frac{b}{2r} = K \times \frac{m}{2}$$

L'équation devient :

$$y = K \frac{m}{2} \left[e^{\frac{x}{m} + e^{-\frac{x}{m} - 2} \right] = KY'$$

Y' étant une chaînette de paramètre m .

Gauthey a profilé en chaînette le cerveau des voûtes, ou au moins de l'une des 5 voûtes du pont de Navilly sur le Doubs (1782-1790).

Cet emploi de la chaînette, ensuite abandonné et perdu, a été retrouvé et repris un siècle après, à 18^{km} environ de Navilly, par un arrière-successeur de Gauthey. (Annales des Ponts et Chaussées, 1904, 3^e trimestre : M. de Dartin : « La vie et les travaux d'Emiland Gauthey », p. 115 et 116).

4. — On trouvera plus loin, dans ce Tome III, Livre II, comment ont été déterminés r et ω .

La chaînette proprement dite, — courbe d'un fil pesant, — de mêmes termes en e est :

$$Y = \frac{10,41608}{2} \left[e^{\frac{x}{10,41608}} + e^{-\frac{x}{10,41608}} - 2 \right]$$

Ses ordonnées sont contractées dans le rapport $\frac{5,20804}{1,006486}$.

2. Renflement de l'intrados par rapport à l'arc de cercle de même portée et même montée.



Abscisses comptées à partir du sommet de l'arc.....	2 ^m	4 ^m	6 ^m	8 ^m	10 ^m	12 ^m	14 ^m	16 ^m	18 ^m	20 ^m
Ordonnées de l'arc de cercle de même portée et même montée.	0,047	0,189	0,426	0,760	1,193	1,729	2,372	3,127	4,000	5,000
Ordonnées de l'intrados.....	0,037	0,150	0,343	0,623	1,001	1,490	2,109	2,880	3,832	5,000
Différences (renflement).....	0,010	0,039	0,083	0,137	0,192	0,239	0,263	0,247	0,168	0,000

L'écart maximum est de 0^m263 à 14^m de la clef (70/100 de la demi-portée).

L'arc de cercle a 42^m50 de rayon. L'intrados adopté a un rayon de 53^m90 à la clef, de 26^m07 aux naissances : il retombe moins durement sur les piles.

3. Extrados. — « L'arc d'extrados a ses ordonnées, par rapport à l'horizontale tangente au sommet, proportionnelles à celles de l'arc d'intrados, et dans le rapport (S_1) :

$$\frac{y'}{y} = 0,919668$$

4. Pourquoi on a adopté des voûtes en projection de chaînette. — M. Tourtay⁵ les justifie ainsi⁶ :

« 1^o On peut y tracer une courbe de pression qui passe à très peu près par les milieux de tous les joints.....

5. — La méthode de M. Tourtay est exposée plus loin dans ce Tome III, Livre II.

6. — Exposition, Paris, 1900. — Notices, Travaux Publics, p. 27 et 28.

« 2° Cette courbe de pression moyenne ne sera pas, en général, réalisée avec les
« procédés habituels de clarage et de décintrement; mais les autres courbes de pression
« qu'on peut tracer, par exemple celle qui passe par le tiers supérieur du joint de clef et
« par le tiers inférieur du joint de naissance, restent... dans la région moyenne de
« la voûte. Dans la voûte en arc de cercle, au contraire, la courbe de pression se
« rapproche plus ou moins de l'extrados vers les reins... »

$$\Phi_1 = (S_3)$$



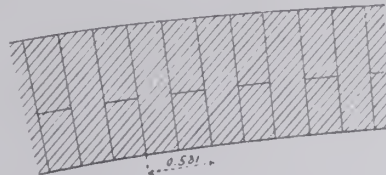
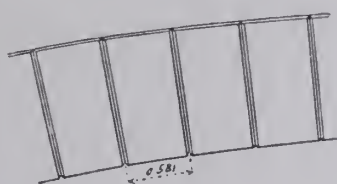
5. Pourquoi on a réduit l'épaisseur de la voûte. — « L'épaisseur
« des voûtes... (1^m 0,5 à la clef, 1^m 21 aux naissances) est sensiblement plus faible que
« celle adoptée pour les grandes arches de dimensions comparables... Dans les
« grandes arches surbaissées, on ne réduit pas sensiblement les pressions en
« augmentant l'épaisseur au-delà d'une certaine limite... »

« Ainsi la pression moyenne calculée à la clef, qui est de 19^k 9 par centimètre
« carré avec l'épaisseur de 1^m 0,5 adoptée, serait de 17^k 3 avec une épaisseur de 1^m 50
« et de 15^k 8 avec une épaisseur de 2^m ».

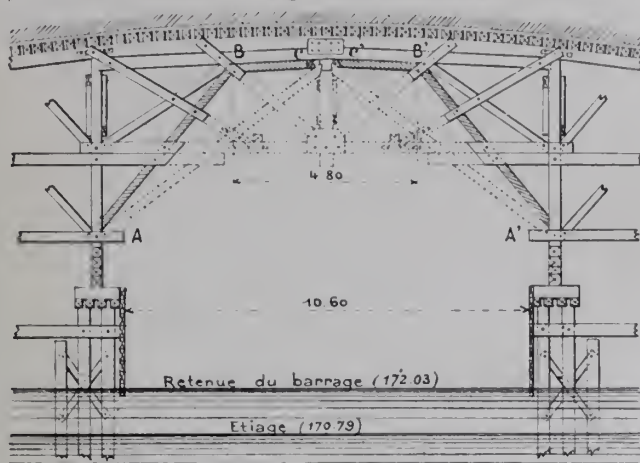
6. Appareil des voûtes.

f_1 — Bandeau

f_2 — Corps



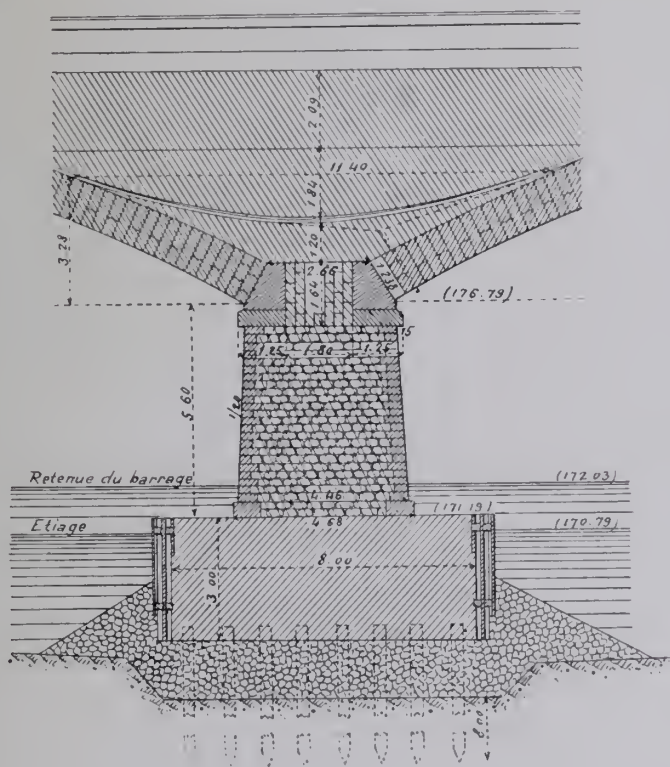
f_9 - Cintre marinier. - Agrandissement de la passe - 5^m



mouton à vapeur Lacour de 1200^k, tombant de 1^m en moyenne, c'est-à-dire avec mouton lourd et petite chute⁷.

On arrêtait le battage, soit quand la fiche sous le fond dragué atteignait

f_{10} - Coupe en long d'une pile - 5^{mm}



7. — Sur 1179 pieux, on n'en a cassé que 2. Dans un battage d'essai, on en avait cassé 3 sur 7 avec un mouton de 600^k tombant de 5^m20.

8. — Annales des Ponts et Chaussées, 1885, I, p. 776 à 780: « Note sur un procédé simple pour couler le béton sous l'eau », M. H. Heude, Ingénieur des Ponts et Chaussées.

Au dessin f_9 , on a indiqué par des lignes ponctuées les pièces supprimées, par des hachures les pièces ajoutées AB, A'B', qu'on a serrées par les coins cc' .

Cette opération n'a provoqué aucun tassement (S_2).

La voûte tassa plus tard de 44^{mm} au décintrement.

10. Fondations. - A. Piles.

A l'emplacement de chaque massif, on a dragué, puis battu 136 pieux en sapin de 0^m35, au

8^m, soit quand le refus était de 4^{mm} seulement par volée de 10 coups avec 1^m de chute.

On a ensuite immergé entre les pieux des enrochements (f_m) sur une hauteur de 2^m à la pile 1, 1^m50 à la pile 2, 1^m à la pile 3. Il n'y en a pas sous la pile 4.

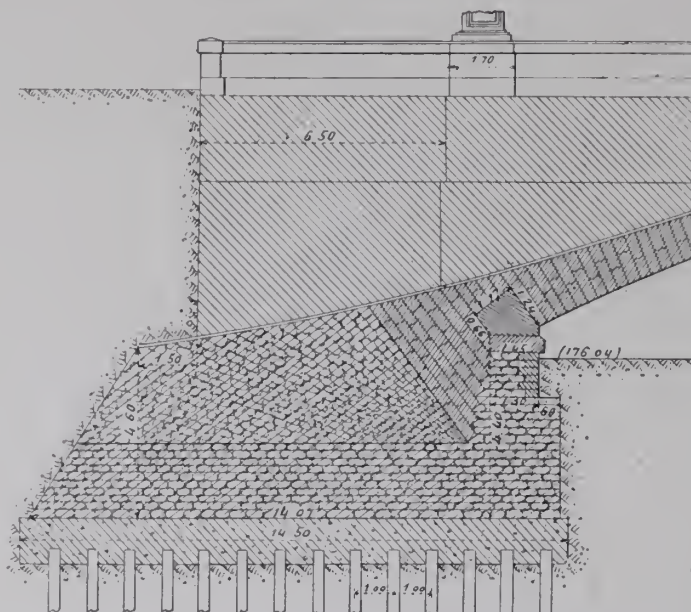
Les pieux furent recépés à 0^m50 au-dessus des enrochements : puis on échoua sur eux un caisson sans fond de 17^m de long, 8^m de large, 4^m20 de hauteur, dont le bordage était calfaté à sa partie supérieure sur 0^m60.

Dedans, on immergea du béton par couches d'au moins 40^{cm}, au moyen d'un tube en planches à débit continu⁸, de 0^m40 de côté.

On coula à chaque pile 400^m de béton (70^m à 80^m par jour).

B. Culées.

f₁₁ — Coupe en long d'une culée — 5^{mm}



11. Exécution des voûtes. — Elles ont été construites à pleine épaisseur en 6 tronçons menés de front : aux naissances, sur coffrages ; plus haut, sur taquets au sommet des poteaux du cintre.

On clava à partir de la clef.

Au moment où on allait claver la voûte 2 (f₁), les têtes des palées supportant le cintre, qui n'avaient peut-être pas été battues bien verticalement, se déplacèrent dans le sens longitudinal, de la pile 1 vers la pile 2, sous les fermes qui, au-dessus des coins, n'avaient pas bougé. Le déplacement atteignit 14^{cm} à la ferme aval.

On étré sillonna les palées entre elles et sur les piles.

Au cintre de la voûte 4, l'ensemble des pieux commençant à se déplacer transversalement, on battit, à quelques mètres de chaque palée en mouvement, un pieu vers la base duquel on appuya une contrefiche coincée à la partie supérieure de la palée.

12. Décintrement. — On dégagait, au moyen de deux vérins, chaque paire de coins en chêne supportant les montants verticaux : 1/6 de tour de vérin produisait un abaissement de 2^{mm} (48 vérins par voûte).

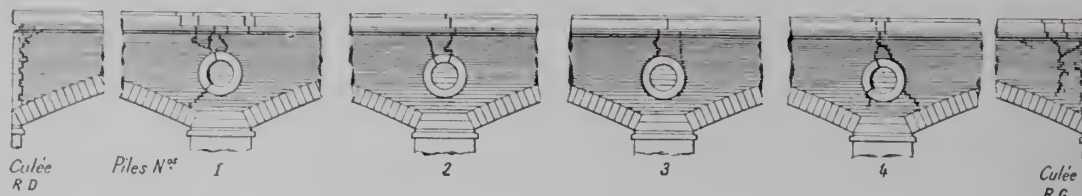
A. Voûte 1 (sur cintre marinier). — Pour satisfaire le Service de la Navigation, alors que les voûtes 1 et 2 étaient seules chargées, les 3 autres étant fermées

A partir du 11 octobre 1890, les voûtes tassèrent encore de 6 à 8^{mm}, probablement sous l'influence de la température. Le 13 mai 1891, elles étaient revenues à la position du 11 octobre 1890¹¹.

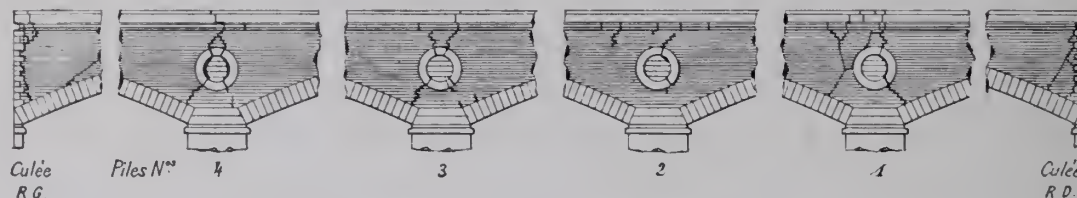
En mai 1909, on observait dans les tympans, au droit des piles, de minces fissures¹² (f_{12} , f_{13}) comme dans presque tous les ponts en arc très surbaissé.

Fissures dans les tympans

f_{12} — Tête aval — 2^{mm}

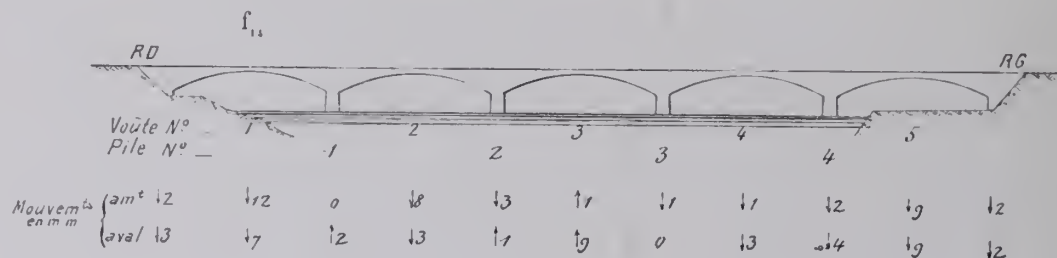


f_{13} — Tête amont — 2^{mm}



Aucune de ces fentes ne se continue dans les voûtes.

Voici les mouvements au-dessus des clefs et des appuis, entre le 28 mai et le 14 décembre 1909¹² : (abaissements ↓, relèvements ↑)



14. Personnel.

Ingénieurs :

Projet : M. Tourtay, Ingénieur des Ponts et Chaussées ;

Exécution : M. Jozon, Ingénieur en chef ;

M. Tourtay, Ingénieur ordinaire.

Entrepreneur : M. Bruno.

11. — S₁. Note additionnelle, p. 477.

12. — Observations de M. Bouteloup, Ingénieur des Ponts et Chaussées, à Chalon-sur-Saône.

SOURCES :

S₁. — Annales des Ponts et Chaussées, octobre 1892, p. 445 à 497, Pl. 29 : « *Notice sur la construction du Pont Boucicaud* », M. Tourtay.

S₂. — Renseignements qu'a bien voulu me communiquer M. Tourtay.

S₃. — Ce que j'ai vu — mai 1900.

Tout ce qui n'est pas spécifié d'une autre source est de S₁.

PONT SUR LA MOSELLE, A MEHRING (ALLEMAGNE, - Prusse-Rhenane)

Route du village à la station¹

1903-1904

$\bar{A}^{nle}_{r^{le}} (> 40m)^3$

Φ_1 — amont (S₂)

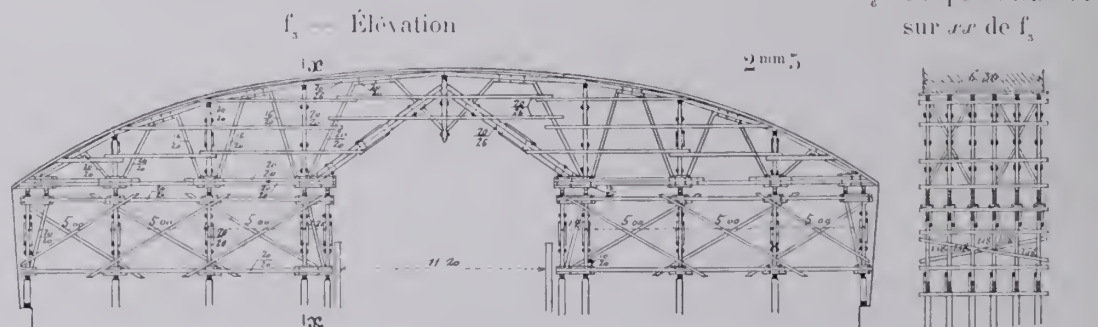


1. Matériaux. — Sauf les parements des avant-bees, qui sont en granit, tout est en béton, même les trottoirs et leurs bordures.

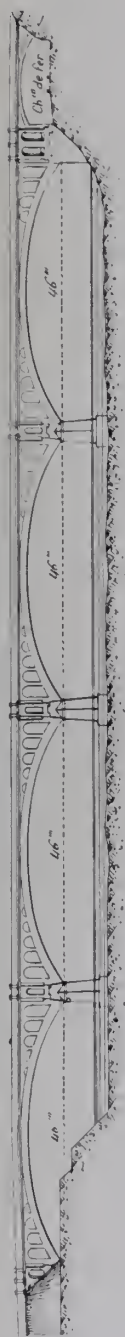
Sur les arrière-bees, on a dessiné des assises.

Pour l'aspect, on peut critiquer les dièdres de béton des retombées (r de f_3).

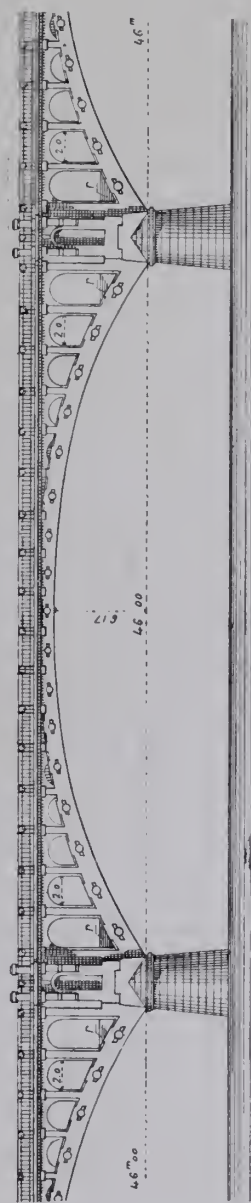
2. Cintre marinier.



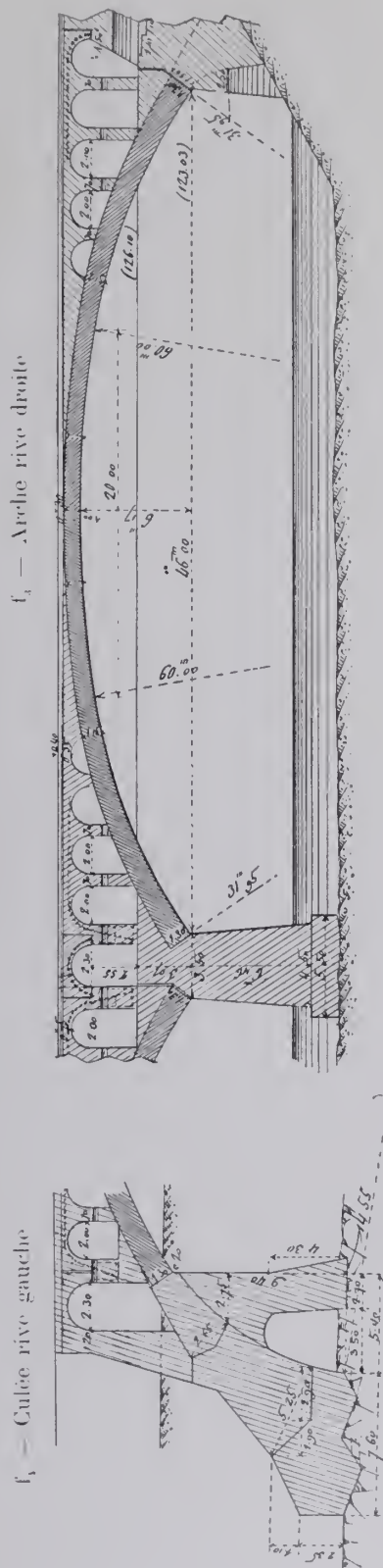
1. — Chemin de fer d'intérêt local de Trèves à Bullay (Moseltalbahn), à 17¹/₄ de Trèves. — Le pont est à 100^m en amont de la station.

f_i — Ensemble, amount — 0mm75

f₂₃ — Une grande arche — 9mm



(Coupes en long — 2mm.)



3. Dates.

Commencement des travaux.....	1 ^{er} novembre 1903
Achèvement des piles.....	1 ^{er} juillet 1904
Grandes voûtes (de la rive droite à la rive gauche) 1 ^{er} -6
 7 - 12
 18 - 23
 13 - 20
Décintrement.....	8 octobre 1904
Ouverture à la circulation.....	1 ^{er} janvier 1905

4. Personnel. — *Projet et Entreprise* : MM. B. Liebold et C^{ie},
d'Holzminden.
Direction des Travaux : M. Treplin, « Baurat » à
Trèves.

SOURCES :

S_1 . — Dessins d'exécution (S'_1) et renseignements (S''_1), gracieusement communiqués par
M. B. Liebold, en octobre 1910.

S_2 . — Ce que j'ai vu — septembre 1910.

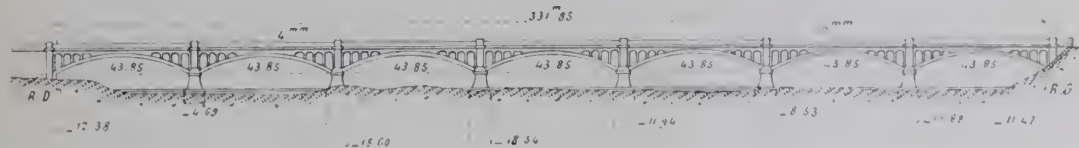
PONT SUR LA LOIRE, A ORLÉANS ¹ (LOIRET)

Route nationale n° 152 de Briare à Angers

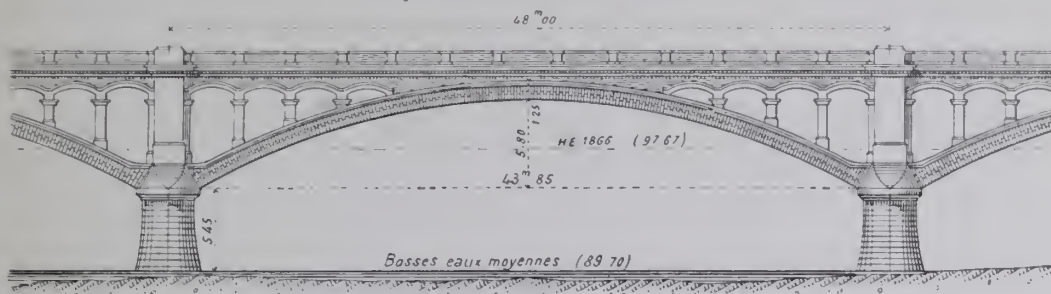
1904-1906

$\bar{A}^{n^{\text{e}}}$ 1^{re} (20m) 4

f_1 — Ensemble, aval — 0mm4



f_2 — Une arche — 2mm



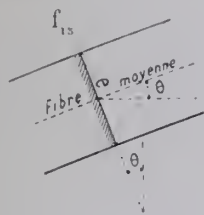
1. Déclivités. — A partir du milieu du pont, la chaussée est en pente de 10^{mm} vers la première voûte rive gauche, de 4^{mm} vers la culée rive droite; ces deux pentes sont raccordées par une parabole de 48^m de corde (S_1 , S_2).

Les 7 arches ont la même portée et la même montée (S_1).

Les naissances de deux arches voisines sont à des niveaux différents : les piles ont des hauteurs inégales (S_2).

2. Intrados. — Par rapport à l'arc de cercle de même portée et de même montée, l'intrados est cambré suivant une projection de chaînette ², comme l'indique ce tableau (S_1) :

Abscisses à partir du sommet.....	11 ^m 836	13 ^m 803	15 ^m 766	17 ^m 726	19 ^m 682	
Ordonnées {	de l'arc de cercle.....	1,609	2,203	2,898	3,697	4,608
	de l'intrados.....	1,505	2,082	2,771	3,582	4,527
Différences	0 ^m 104	0 ^m 121	0 ^m 127	0 ^m 115	0 ^m 081	



3. Épaisseur de la voûte. — L'épaisseur e de la voûte au point où la fibre moyenne est inclinée de θ sur l'horizon (f_{13}) est $\frac{e_0}{\cos. \theta}$.

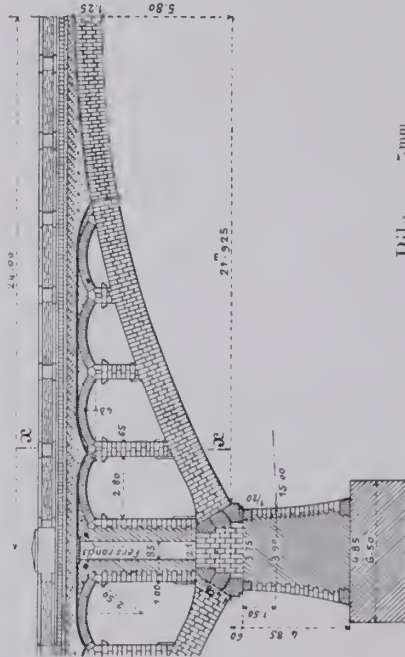
La pression moyenne par unité est ainsi à peu près constante dans la voûte ³.

1. — au droit du Boulevard des Princes.

2. — appelée « caténoïde » par l'auteur du projet (Annales des Ponts et Chaussées, - 1900, - 4^e trimestre : « Mémoire sur le tracé et le calcul des routes en maçonnerie », M. Legay).

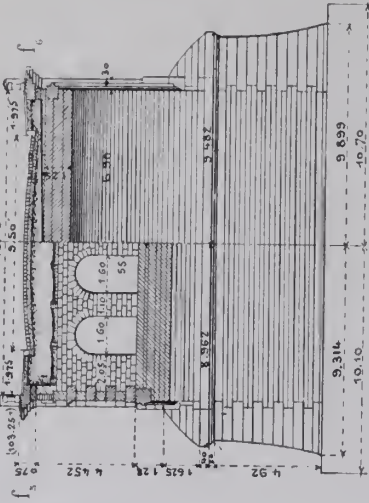
3. — Voir plus loin, Tome III, Livre II.

f_3 — Coupe en long sur l'axe — 3mm



Pile — 5mm

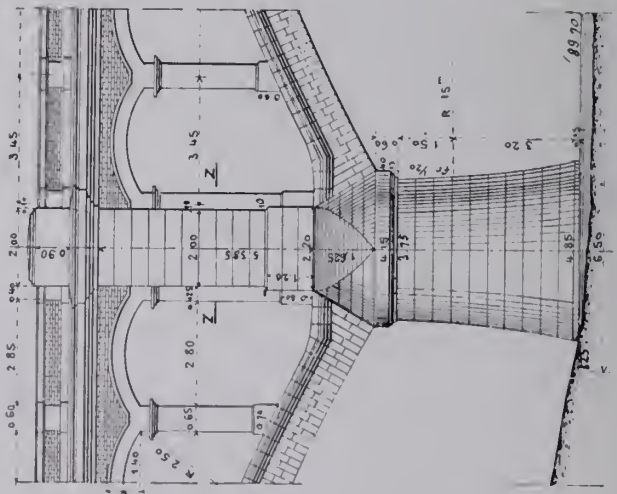
Demi-coupes en travers — 3mm
sur axe de f_3 à la clef



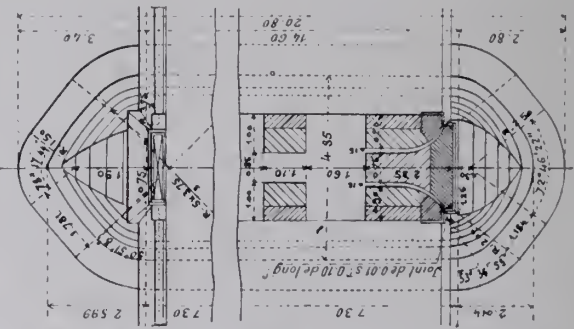
f_1 — Coupe en long
de la culée rive gauche — 3mm



f_7 — Elevation

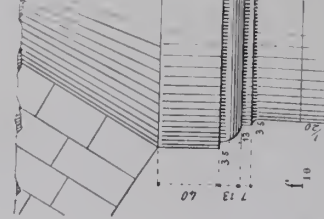


f_8 — Demi-plan par-dessus

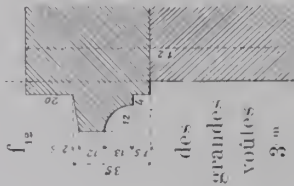


f_9 — Coupe horizontale sur f_7

Chaperon — 2mm

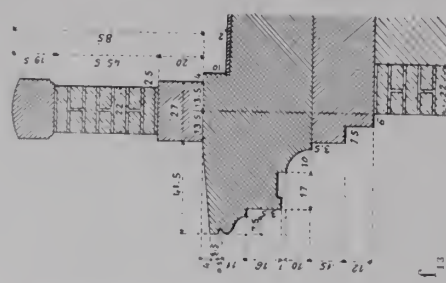


Archivoltes

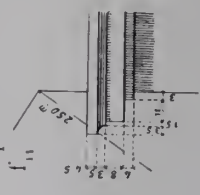


des
grandes
voûtes
3m

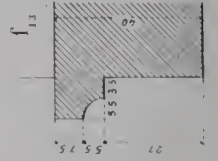
f_{11} — Couronnement — 3mm



Cordon des petites
piles — 3mm



des
voûtes
d'évide-
ment
5m



4. Piles. — Comme au pont de Charrey ⁴, les bees sont en ogives persanes, et les retombées des voûtes s'appuient sur le couronnement, qui est en saillie de 0^m20 (f₁₉).

Par suite, l'ouverture réelle de chaque arche est : 43^m85 + 2 × 0^m20 = 44^m25 ⁵.

L'épaisseur des piles se réduit à : 4^m15 - 2 × 0^m20 = 3^m75 (f₁).

Les chaperons sont imités du pont de Homps sur l'Aude (1781-1788) ⁶ (S₂).

Φ_1 — aval (S'')



5. Tympan. Couronnement. Aspect. — La corniche est empruntée aux pilastres du pont de Navilly sur le Doubs (1782-1790) ⁷ (S₂).

Les tympanes sont en briques ; elles y font bon effet.

Sur ce pont léger, le parapet plein, avec ses dés en pierre de taille, paraît un peu lourd.

4. — Annales des Ponts et Chaussées, 1893, 2^e semestre, p. 737 et suivantes : « Notice sur le grand pont en maçonnerie construit sur la Saône à Charrey », M. Mocquery, Ingénieur en chef des Ponts et Chaussées (5 arcs de 30^m au 1^{er} 8^e).

5. — Aux culées, le couronnement n'est pas en saillie : l'ouverture des arches de rive est 43^m85 + 0^m20 = 44^m05.

6. — M. de Dartin. Études sur les Ponts en pierre remarquables par leur décoration. Ponts français du XVIII^e siècle, volume III. — Languedoc. Paris, Béranger, 1908, p. 173 à 184, Pl. 41 à 44. « Le Pont de Homps sur l'Aude ».

7. — id. —, vol. IV. — Bourgogne, p. 173 à 189, Pl. 23 à 30. « Le Pont de Navilly sur le Doubs ».

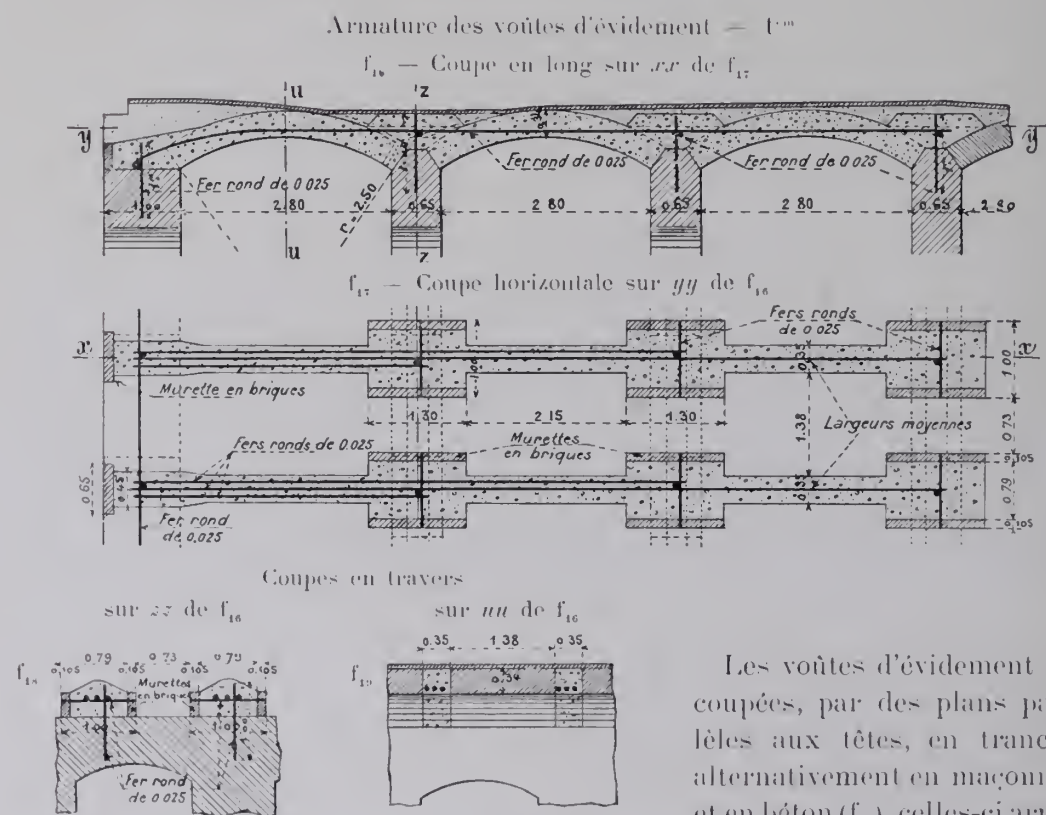
Il y a, à 660^m en amont, un fort beau pont du XVIII^e siècle⁸, vigoureux, robuste, solide.

Très sagement, on a traité le nouveau de façon tout opposée : ce pont léger, presque trop, à lignes fines, presque menues, fait un heureux contraste avec la lourde masse du vieux pont.

6. Dispositions pour permettre, sans fissures, les mouvements des tympans dus aux variations de température. — En s'abaissant par le froid, les grandes voûtes entraînent avec elles leurs tympans, d'où fissure inévitable au-dessus de la pile, point fixe.

Il fallait donc l'accepter, la cacher, et, en même temps, contre-buter la poussée de la dernière voûte d'évidement.

Voici le très judicieux dispositif adopté (S.) :



de fers longitudinaux qui absorbent la poussée de la dernière voûte (f₁₆ à f₁₈).

Entre la demi-pile du viaduc d'évidement et le pilastre, est ménagé, jusqu'au parapet, un vide masqué en élévation par le pilastre qui, lui, est fixe comme la pile (f₉).

C'est le premier grand ouvrage français en maçonnerie où l'on ait assuré le jeu de la dilatation.

8. — 1751-1760. — 9 arches en anse de panier à 3 centres. Arche centrale de 100 pieds (32^m48) d'ouverture, 28 pieds (9^m10) de montée ; arches de rive de 92 pieds (29^m89) d'ouverture, 25 pieds (8^m12) de montée. — Largeur entre têtes : 46 pieds (14^m94). — Longueur entre culées : 166 toises, 4 pieds (324^m84). — Projet de Hupeau, adjugé le 29 mars 1751. — On a mis 4 ans à le fonder, 4 ans à faire les voûtes, 2 ans à l'achever. — Livré au public fin 1760. — Fondé, après épuisements dans des batardeaux, sur pilons et grillage. Les fondations ont été fort difficiles. — On en lira la description avec intérêt et profit.

Perronet *Description des Projets et de la Construction des Ponts de Neuilly, de Mantes, d'Orléans et autres*. — Tome second, Paris, Imprimerie Royale, MDCCLXXXIII, « Pont d'Orléans », p. 1 à 24, Pl. XXXI à XXXIX.

A la première arche (rive droite), la fiche des pieux varia de 1^m50 à 3^m; à la deuxième, elle atteignit 10^m. Pour les autres, les pieux furent presque tous entés, quelques-uns eurent 3 entures et une fiche de plus de 20^m. Pour quelques-uns, on se contenta d'un refus de 5^{mm} (mouton de 700^k tombant de 1^m50 à 1^m80). Quand on ne l'obtenait pas, on battait à côté un autre pieu (S_2).

9. Fondations (S_2). — De janvier 1904 à janvier 1905, soit en moins d'un an, les 8 caissons furent descendus à l'air comprimé de 4^m69 à 18^m60 sous l'étiage, sur marne blanche supportant de 15^k à 20^k par 0^m01².

Pour atteindre la marne, on avait à traverser des couches calcaires avec veines de tuf ou de silex, et quelques cavernes.

A la culée rive droite, on dut abandonner la descente du caisson, à cause de la déformation de ses parois¹¹. On refoula l'eau à 0^m80 au-dessous du couteau en forçant la pression, et on battit dans les poches des pieux en sapin de 1^m80 de hauteur, 0^m15 de diamètre, espacés de 0^m50 d'axe en axe; puis on nettoya ces poches, et on les remplit de béton ou de sacs de ciment quand on ne pouvait épuiser.

Le béton étant arasé au niveau de la tête des pieux, on le recouvrit de deux planchers superposés de rails disposés à angle droit, qu'on noya dans du béton de ciment.

10. Exécution des voûtes. — A. Dates. — Le devis prescrivait de construire en même temps les 7 voûtes (S_2).

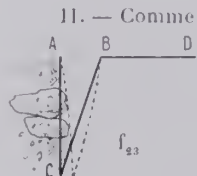
Voici les dates d'exécution (S_2) :

Voûte	1 (rive dr.)	2	3	4	5	6	7 (rive g.)
Commence- ment . . .	30 oct. 1905	7 nov. 1905	18 sept. 1905	18 juil. 1905	10 nov. 1905	17 sept. 1905	6 mars 1906
Fin	17 mars 1906	27 mars 1906	5 avril 1906	5 mai 1906	7 mai 1906	17 mai 1906	23 mai 1906

B. Joints secs. — Les voûtes furent exécutées avec toute leur épaisseur¹², (3 moellons en général), en 4 attaques.

On ménagea des joints secs au-dessus de tous les poteaux du cintre.

A l'intrados, les moellons à sec de douelle étaient posés, — non sur les lames de plomb prévues, parce que trop difficiles à enlever, — mais sur de petites cales en chêne de 30^{mm} × 25^{mm} de côté, 12^{mm} d'épaisseur, maintenues par des liteaux en sapin de 25^{mm} de hauteur et 8^{mm} d'épaisseur, placés sur le cintre; à l'extrados, ils étaient tenus par des coins en chêne.



11. — Comme aux ponts Alexandre III, de Passy, . . . la tôle du plafond DB, au lieu de se continuer en BA, était pliée le long de BC. La crinoline ACB était remplie de béton par en haut avant le fonçage. La paroi AC a rencontré de grosses pierres qui l'ont déformée.

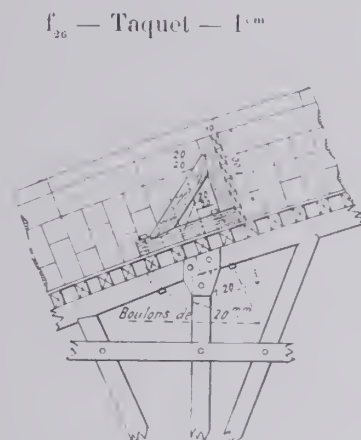
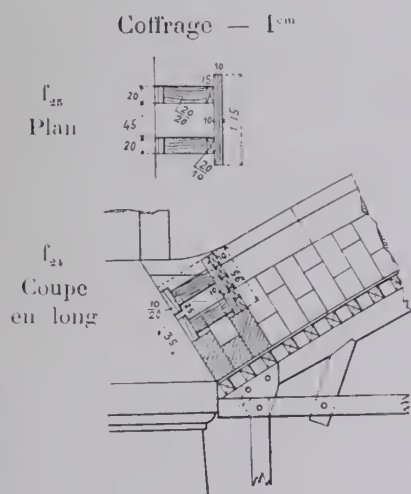
12. — On a craint que la construction par rouleaux n'abaissât la courbe de pression, déjà basse dans ces voûtes très tendues (S''_1).

Les tronçons des naissances étaient soutenus à l'extrados par des coffrages, à l'intrados, par 3 moellons dont 2 à sec (f_{21}).

Φ_2 — Exécution d'une voûte (S'_2)



Les tronçons des reins reposaient sur des taquets fixés au-dessus des troisièmes poteaux du cintre à partir des naissances (f_{26} , Φ_2).



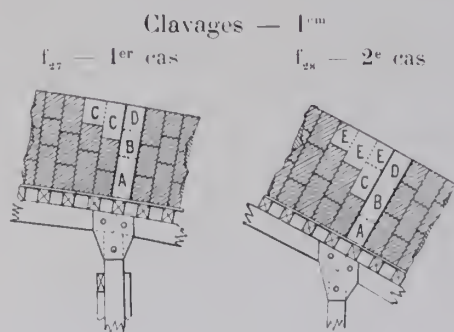
Les joints secs furent remplis de sable aux 5 premières voûtes, — laissés vides aux deux dernières, sauf ceux des naissances : des sacs les garantissaient à l'extrados.

Toutes les assises étaient posées en douelle sur liteaux, pour permettre le rejointoiment.

A la voûte extrême rive droite, une fissure s'ouvrit entre la clef et le premier poteau du cintre, due au fléchissement du vau de la passe.

A la voûte voisine, également sur cintre retroussé, on ménagea là un joint sec.

C. Clavages (S_1). — On clava, à partir de la clef, en matant au refus, par petites épaisseurs, du mortier à 600^k à l'état de sable humide. On termina par les naissances, laissées ouvertes jusqu'au dernier moment.



Dans les deux cas indiqués aux croquis f_{27} , f_{28} , A est posé à sec en exécutant la voûte.

1^{er} Cas (f_{27}). — On pose B, on le mate ; puis on pose C et D. On maçonne C à mortier ; 48 heures après, on mate D.

2^e cas (f_{28}). — On pose B à sec ; on pose C sur mortier ; 48 heures après on mate B. On pose D à sec ; on maçonne E ; 48 heures après, on mate D.

On a clavé de la rive droite à la rive gauche.

D. Enlèvement des coffrages (S_2). — On enlevait les coffrages sur 3^m à chaque tête ; on maçonnait ; on matait les joints en partant des têtes.

II. Décintrement (S''). — Au moment du premier décintrement, la voûte n° 7 était clavée depuis 6 jours.

On décintra d'abord les trois voûtes rive droite (n°s 1, 2, 3), tout en desserrant progressivement les cintres des deux voûtes suivantes (n° 4, de 3^{mm}5, — n° 5, de 2^{mm}), pour ne pas faire fléchir les piles ; puis, deux mois après, on décintra les 4 voûtes rive gauche.

Au premier décintrement, on opéra sur 4 palées seulement à la fois (36 boîtes à sable, 4 équipes de 9 hommes) ; au deuxième, sur 5 palées.

On n'a constaté ni fissure, ni épaufrage. Le tassement et le déplacement des piles ont été insignifiants.

Voici les conditions et les résultats de ces deux décintrements :

Décintrement										Mouvements en mm observés après décintrement				
1 ^{er}	Voûtes complètement décintrées en une fois	N° des voûtes	Age moyen des maçonneries au début du décintrement	Nombre de jours après le dernier curage	Séries successives d'abaissement des piliers					Décroissement				
					dans les 1 ^{re} , on enlevait le sable par descentes de 2 ^{me} , puis plus.					aux têtes				
					1 ^{re} série	2 ^{de} série	3 ^{de} série	4 ^{de} série	5 ^{de} série	Abaissement des piliers	Tassement de la clef	Abaissement des piliers	Tassement de la clef	complet
1 ^{er}	Voûtes complètement décintrées en une fois	1 (80)	174	73	2mm	3mm	5mm	12mm	2 à 4mm	5mm	2mm	24 à 28mm	amont 8.7 aval 7.4	amont 7.1 aval 7.9
					2	3	5	12	2 à 4	5	2	24 à 28	amont 6.9 aval 6.2	amont 7.2 aval 6.7
					2	3	5	16	2 à 4	5	2	28 à 32	amont 9.3 aval 7.3	amont 12.7 aval 12.4
2 ^e	Voûtes complètement décintrées en une fois	2 (80)	284	24	2	0.5		1					amont 2.6 aval 2.1	amont 1.4 aval 1.2
					2								amont 0.8 aval 0.6	amont 0.9 aval 0.6
					2								amont 0.6 aval 0.6	amont 0.6 aval 0.6
3 ^e	Voûtes complètement décintrées en une fois	3 (80)	297	78	2	2	3	4	5	2	2.5	12	amont 4.3 aval 2.1	amont 1.4 aval 1.1
					2	2	3	4	5	2	2.5	16	amont 4.7 aval 1.1	amont 1.4 aval 1.1
					2	2	3	4	5	2	2.5	18	amont 5.7 aval 4.3	amont 1.4 aval 1.1
4 ^e	Voûtes complètement décintrées en une fois	4 (80)	103	62	2	2	3	4	5	2	2.5	16	amont 5.7 aval 4.3	amont 1.4 aval 1.1
					2	2	3	4	5	2	2.5	18	amont 5.7 aval 4.3	amont 1.4 aval 1.1
					2	2	3	4	5	2	2.5	18	amont 5.7 aval 4.3	amont 1.4 aval 1.1

13. A partir de la 3^e série, on diminuait les abaissements en se rapprochant des naissances. Les chiffres indiqués sont les abaissements au sommet du cintre.

14. Abaissement opéré pour remédier à un relèvement observé à la suite de la 3^e série.

15. Les nombres précédés de — sont des relèvements.

16. Abaissement constaté au 2^e décintrement, et non différence du relèvement du 1^{er} et de l'abaissement du 2^e.

Pas de tassement après décintrement.
Oscillations diurnes dues à la température.
Le 30 juillet, relèvement général de 2mm dû à la chaleur.

Jusqu'au 16 juin à la voûte 2, au 27 juin à la voûte 3, on a observé des oscillations diurnes de 1^{re} à la tête aval exposée à l'ouest. L'oscillation maxima pendant cette période a été de 2 à 3mm.

12. Dépenses (S_3).

	Fondations	Élévation	Ensemble
Entreprise.....	862.505 ¹ 76	1.244.117 ¹ 65	2.106.623 ¹ 41 ¹⁷
Régie.....	28.124 ¹ 56	69.721 ¹ 29	97.845 ¹ 85
Dépenses générales (surveillants, etc).....	17.981 ¹ 01	26.525 ¹ 21	44.506 ¹ 22
Sommes allouées aux Entrepre- neurs.....	13.850 ¹ 63	29.108 ¹ 34	42.958 ¹ 97 ¹⁸
Totaux.....	922.461 ¹ 96	1.369.472 ¹ 49	2.291.934 ¹ 45 ^{19, 20, 21}

13. Personnel.

en chef : M. Renardier.

Ingénieurs } ordinaires { M. Levesque — *Choir de l'ouverture*.
M. Legay — *Projet définitif, Etudes de stabilité*.
Travaux.

Entrepreneurs : MM. Dedeyn et Perchot (S_3).

17. — Decompte non accepté par les Entrepreneurs.

18. — Non compris les intérêts de 4760¹59 que l'Etat doit payer à l'Entreprise.

19. — Non compris les frais d'expertise, dont une partie (2553¹) est à la charge de l'Etat.

20. — Les prévisions (abords compris) s'élevaient à..... 2.430.000¹
ainsi réparties :

à la charge de l'Etat, à forfait..... 1.075.000¹

à la charge de la Ville : $\frac{2.430.000^1}{5} =$ 486.000¹

à la charge du Département, le reste..... 869.000¹

La Ville n'a voulu subventionner qu'un pont en pierre.

21. — Procès-verbal de la réception de l'ancien Pont, par Perronet, 1763 - 17 octobre et jours suivants :

	Livres	Sous
Adjudication du 29 mars 1751.....	2 084	000
Augmentation.....	586	856 13
Façade de la rue Royale d'Orléans.....	2 670	856 13
Reste pour le pont et ses abords.....	100	000
	2 570	856 13

Perronet, *loc. cit. renvoi* 8, p. 15, 16, 17, 18.

SOURCES :

S_1 . — Dessins d'exécution.

S'_1 . — Mémoire technique, M. Legay, 5 février 1903.

S''_1 . — Note sur le décintrement, M. Legay, 10 septembre 1906.

S_2 — Génie Civil, 29 septembre 1906, p. 337 à 345. Pl. XXII : « *Nouveau pont en maçonnerie sur la Loire à Orléans* » M. A. Dumas.

Renseignements qu'ont bien voulu me donner :

S_3 . — M. Renardier.

S_4 . — M. Legay.

S_5 . — Ce que j'ai vu — juillet 1908.

S'_5 . — avril 1906.

S''_5 . — juillet 1908.

PONT SUR L'HOTZENPLOTZ, A KRAPPITZ

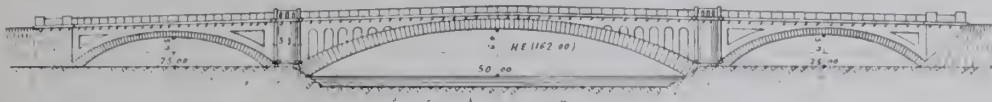
(ALLEMAGNE, - Silésie, - Cercle d'Oppeln)

Route de Krappitz à Zyrowitz

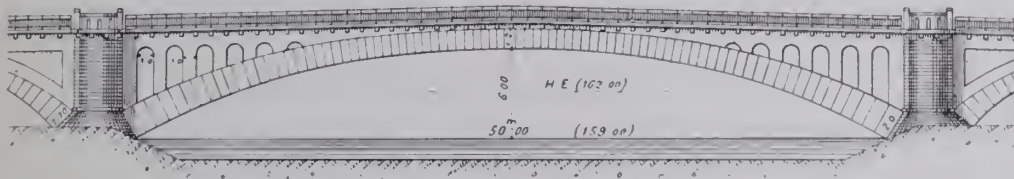
1905

\bar{A}^n 1^{re} ($\approx 40m$)

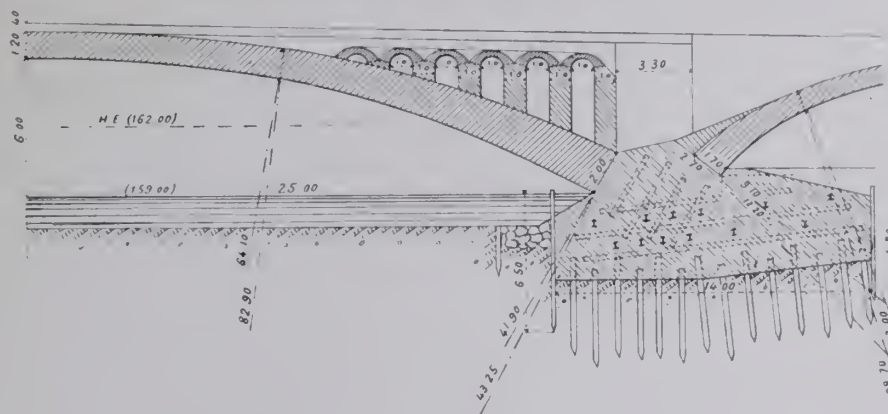
f₁ — Ensemble — 1^{mm}



f₂ — Grande voûte — 2^{mm}



f₃ — Coupe en long d'une pile et des demi-voûtes voisines — 3^{mm}



1. Personnel¹. — *Projet* : M. Hirnschal, « Kreisbaumeister », à Oppeln.
Entrepreneurs : MM. Liebold et C^{re}, de Langebrück (Saxe).

1. — Renseignements qu'a bien voulu me donner M. Hirnschal

Φ_1 (S_2)

SOURCES :

S_1 . — Dessins d'exécution que m'ont gracieusement remis MM. Liebold, en 1908.

S_2 . — Ce que j'ai vu, — juillet 1909.

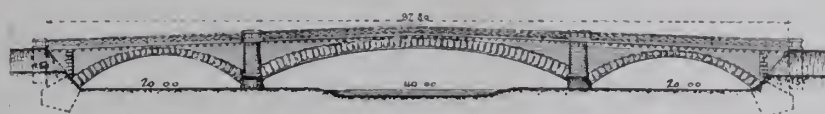
PONT SUR LA FREIWALDAUER BIELE, A GROSS-KUNZENDORF

(ALLEMAGNE, - Silésie, - Cercle de Neisse)

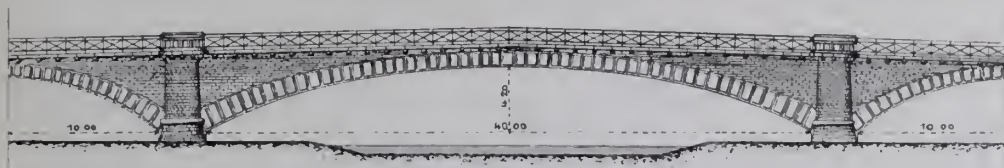
Route de Neisse à Gross-Kunzendorf

$\overline{A}^{n,te} (40m) 6$

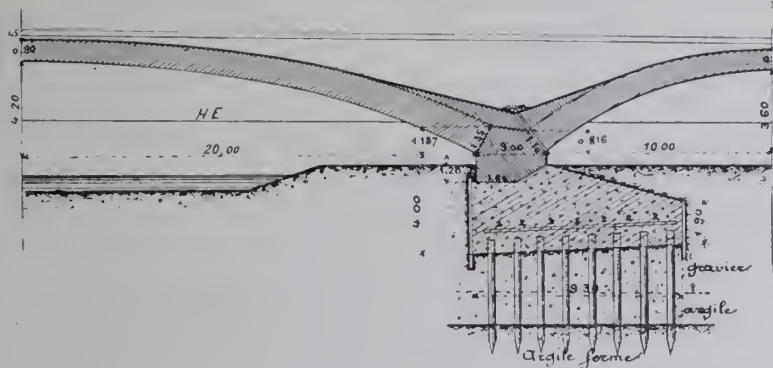
f_1 — Ensemble — 1mm



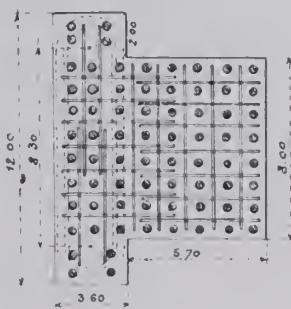
f_2 — Grande voûte — 2mm



f_3 — Coupe en long d'une pile et des demi-voûtes voisines — 3mm

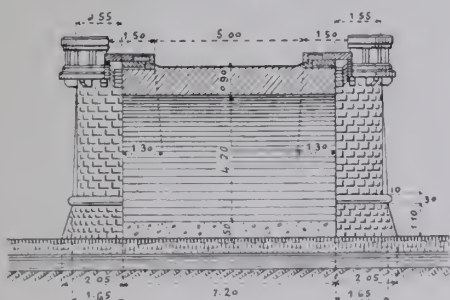


f_4 — Pilotis et armature de la pile — 3mm

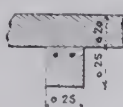


Couronnement — 2mm

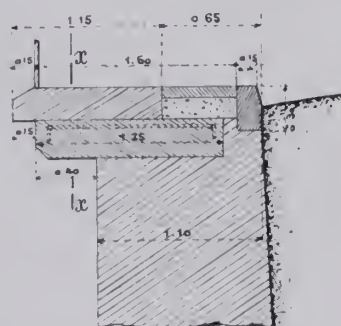
f_5 — Coupe en travers à la clef — 4mm



f_6 — Coupe sur xx' de f_5



f_7 — Coupe en travers



I. Personnel. — *Projet et Entreprise* : MM. Liebold et C^{re}, de Langenbrück (Saxe).

SOURCE :

S₁. — Dessins d'exécution qu'ont bien voulu me remettre MM. Liebold, en 1908.

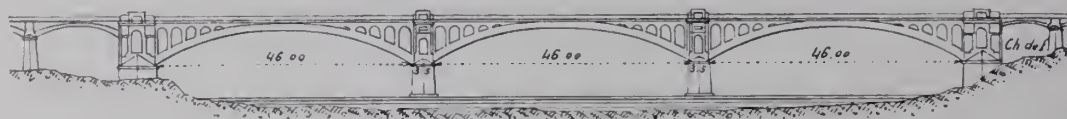
PONT SUR LA MOSELLE, A SCHWEICH¹ (ALLEMAGNE - Prusse-Rhénane)

Route de Schweich à Trèves

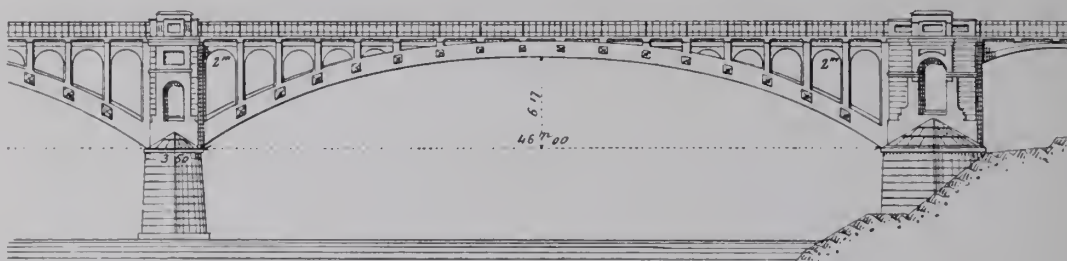
1905-1906

$\overline{A}^{n p^{te}} = 40m \overline{l}$

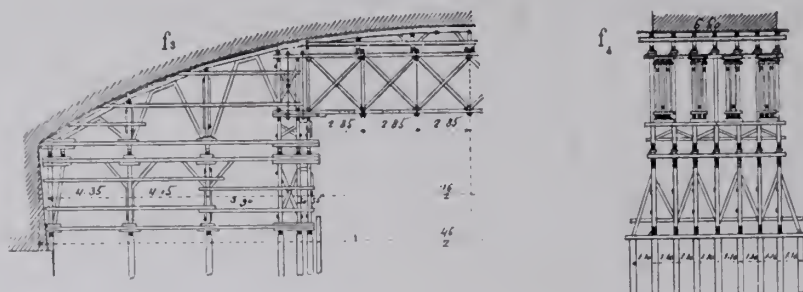
f_1 — Ensemble des grandes arches, amont — $0^{mm}75$



f_2 — Une des grandes arches — 2^{mm}



Cintre de l'arche centrale — $2^{mm}5$



1. Matériaux (S₁). — Tout est en béton, sauf les parements des avant-becs qui sont en granit.

Au-dessus des naissances, les parements sont colorés en rouge.

2. Quelques observations. — On a réduit, aux têtes, l'épaisseur des voûtes.

Les trottoirs sont coupés au droit de chaque pile par deux joints de dilatation.

Un fer apparent protège les bordures en béton des trottoirs.

1. — Entre le village et la station du chemin de fer d'intérêt local de Trèves à Bullay (Moseltalbahn), à 10^{km}6 de Trèves. Le pont est à 50^m en amont de la station.

Φ_1 — aval (S_2)

3. Dates (S_1).

Commencement des travaux.....	mai 1905		
Piles et culées.....	juin - octobre		
Grandes voûtes	{	rive droite.....	15 - 29 mai 1906
		centrale.....	fin juin - 7 juillet
		rive gauche.....	15-29 mai
Décintrement : 4 à 5 semaines après l'achèvement.			
Ouverture à la circulation.....	10 octobre 1906		

4. Personnel (S''_1). — *Projet et Entreprise* : MM. B. Liebold et C^{re}, d'Holzminden.

Direction des Travaux : M. Möhle, Ingénieur.

SOURCES :

S_1 . — Dessins d'exécution (S'_1) et renseignements (S''_1), gracieusement communiqués par M. B. Liebold en juillet 1910.

S_2 . — Ce que j'ai vu — septembre 1910.

PONT SUR LE BRAS DROIT DU RHÔNE, DIT DE VILLENEUVE,
A AVIGNON¹ (VAUCLUSE)

Route nationale n° 100 de Montpellier à Coni

1905-1909

$\overline{A}^{n_{1.1e}} (\geq 40m)S$

$\Phi_1 (S_3)$



1. Principales dispositions et dimensions. — Ce sont celles du pont Boucicaut² : même portée, même surbaissement, mêmes courbes d'intrados et d'extrados en projection de chaînette, mêmes épaisseurs des voûtes et des piles, même appareil, même mode d'exécution des grandes voûtes...

Les cordes des voûtes 3 à 9 (f_1) sont horizontales ; celles de rive (1, 2, 10) sont en rampe de 0°30 par arche.

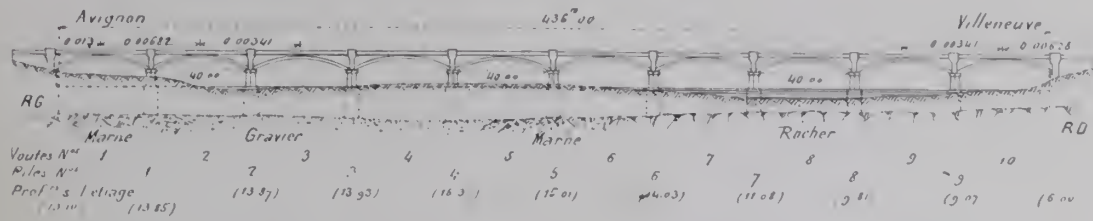
2. Piles. — Les arcades aveugles des pilastres et leurs corbeaux sont imités des remparts d'Avignon : les arcades semblent petites.

3. Trottoirs en encorbellement. — Les trottoirs et le garde-corps en fonte sont en encorbellement sur consoles en béton armé. La largeur disponible entre parapets est ainsi de 10^m, pour 8^m20 entre têtes.

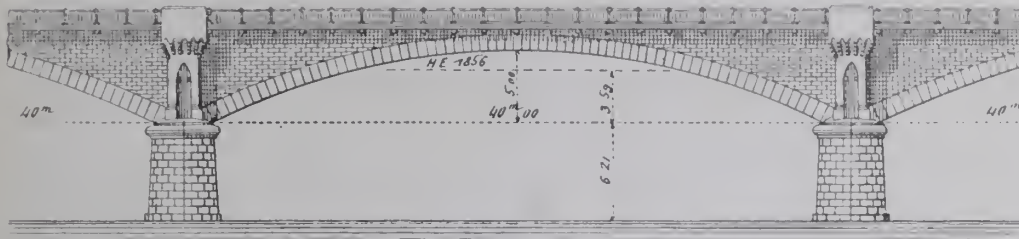
1. — A la place du pont en bois de 1809. On a maintenu la circulation pendant la construction, par une passerelle provisoire en bois, établie à 50^m environ en amont.

2. — $\overline{A}^{n_{1.1e}} (\geq 40m)^2$ — Tome III.

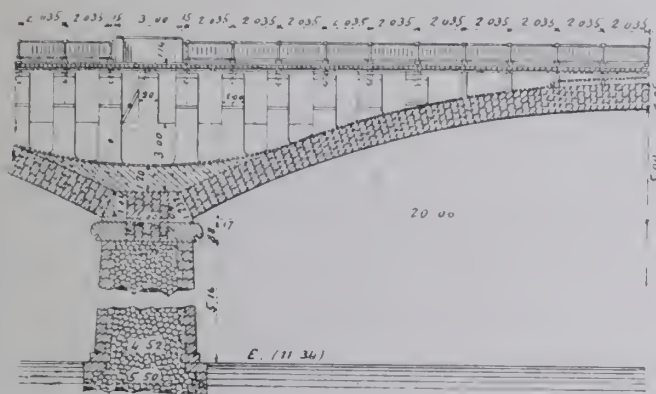
f_1 — Ensemble, amont — (0mm)



f_2 — Une voute — 2mm

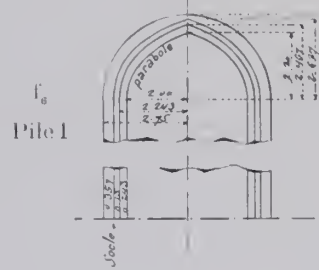


f_3 — Coupe en long — 3mm



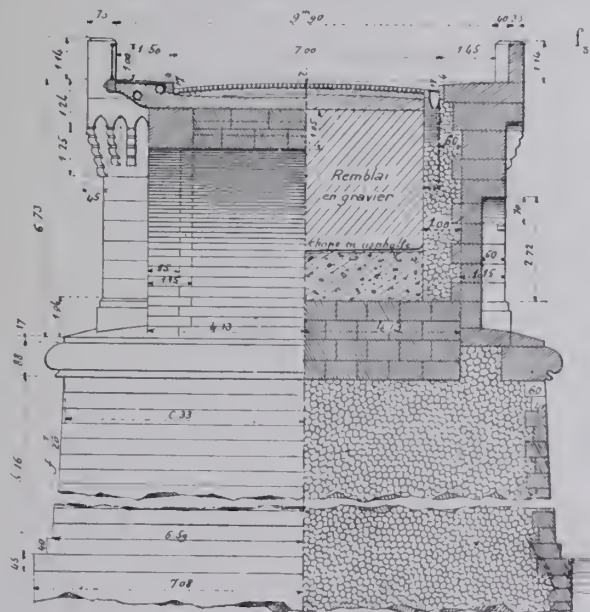
Bees — 4mm

Coupe horizontale sous le cordon

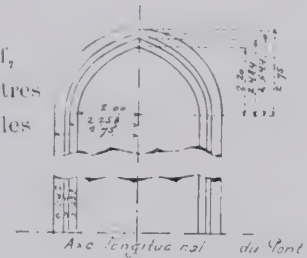


Coupes en travers — 5mm

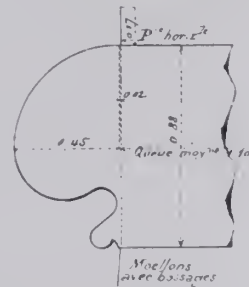
à la clef d'une voute sur l'axe d'une pile



f_7 Autres piles



f_8 — Cordon des piles — 3mm

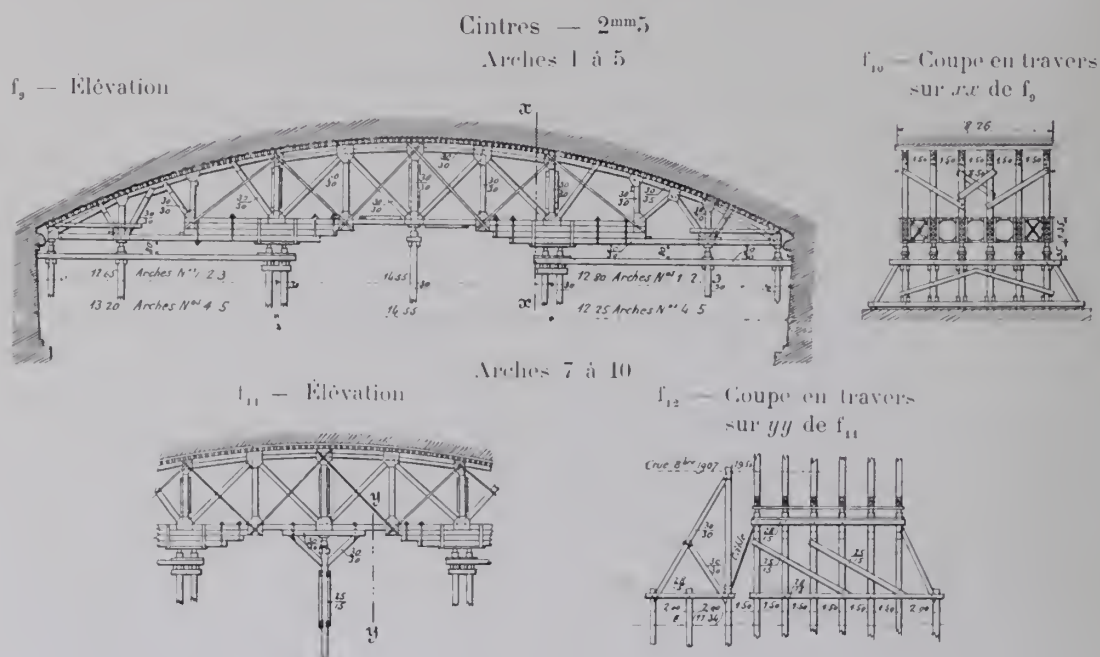


4. Cintres. — Les cintres des 5 arches à partir de la rive gauche ont été réemployés aux 5 autres.

Les palées simples sont enfoncées de 4^m environ dans le gravier, au refus de 0^m01 par 10 coups d'un mouton de 800^k, tombant de 3^m.

Les palées doubles reposent sur les fondations en béton de l'ancien pont en charpente.

Les cintres ont été montés par 18 charpentiers.



5. Fondations à l'air comprimé (janvier 1905 - mars 1907). — A la pile 4, le rocher était en pente : le caisson s'est déversé de 0^m16 environ et, sur une petite partie du pourtour, le couteau ne l'a pas atteint. On a fermé avec des sacs de ciment l'intervalle entre le rocher et le couteau.

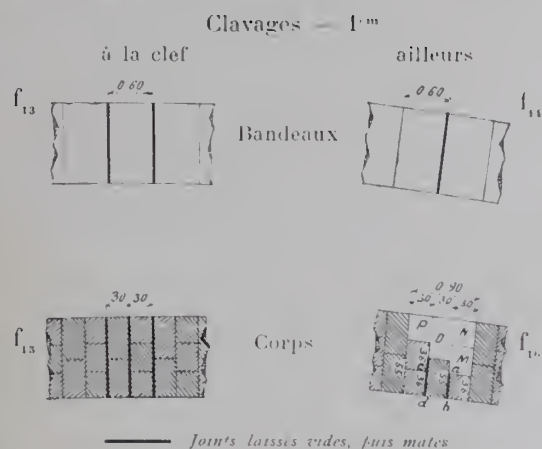
Les chambres de travail ont été remplies de béton de chaux à 2 volumes de mortier à 400^k pour 3 de galets.

Les massifs de fondation sont en moellons ordinaires à chaux ; leurs parements, en moellons de choix équarris ; leurs couronnements, en libages.

6. Exécution des voûtes. — Elles ont été construites voûte par voûte, de la rive gauche à la rive droite.

On maçonnait sur toute l'épaisseur ; on ménageait en 9 points (clef, naissances et 3 points intermédiaires de chaque côté, au-dessus des points fixes du cintre), des joints secs, matés ensuite simultanément, au mortier à l'état de sable humide (S_2).

Le mortier de matage était, comme pour le reste de la voûte, à 600^k de ciment maritime Pavin de Lafarge. La quantité d'eau variait suivant que le sable était plus ou moins sec ; elle était en moyenne de 180 litres (S_1).



On matait d'abord les bandeaux (f_{13}, f_{14}).

Dans le corps, on matait les joints ab, cd (f_{10}); puis on posait les voussoirs M, N, O, P, dont on matait les joints.

Les joints de matage avaient 8^{mm} aux têtes, 12 à 15^{mm} dans le corps de la voûte.

Quelques poteaux de la passerelle de service traversaient l'emplacement de la voûte pour s'appuyer sur les cintres. On remplissait les vides

laissés par eux dans la voûte, et on en matait les joints.

Aux premières voûtes, la courbe d'intrados s'est un peu déformée, parce que les tirants du cintre n'étaient pas bien réglés, et peut-être aussi parce qu'on avait employé quelques bois du vieux pont.

On a occupé à la construction des voûtes 30 maçons et 20 manœuvres.

4 ouvriers faisaient un clavage en 2 à 3 jours.

7. Tassement des cintres.

Voûte n°		Sur- hausse- ment de la clef en mm	Tassement de la clef en mm sous la charge :									
			des 2 5 de la voûte <i>Bandeaux posés</i>		de la moitié de la voûte		des 2 3 de la voûte	des 4 5 de la voûte <i>Ban- deaux posés</i>	de toute la voûte			
			Tasse- ment observé à la clef	Tasse- ment propre de la tête des pieux	Tassement observé à la clef	Tasse- ment propre de la tête des pieux			non clavée	clavée		
										Tassement observé à la clef	Tasse- ment propre de la tête des pieux	Nombre de jours entre le clavage et l'observa- tion
1 (R G)	amont aval	35 ^{mm} 17	Cintre chargé du pont de service.					19 3		58 61		
2	amont aval	31 31	34 29	12 11						57 47		9 j
3	amont aval	45 48					32 51	<i>Bandeaux posés</i>		54 73	6 12	2 j
4	amont aval	65 67						60 68		70 100		12 j
5	amont aval	57 50			26 28					57 72		22 j
6	amont aval	38 43					48 36			52 60		10 j
7	amont aval	55 43			42 34					64 38		8 j
8	amont aval	43 41			54 21	<i>Bandeaux posés</i>	17 18			57 59		2 j
9	amont aval	63 59			45 52					84 66		3 j
10 (R D)	amont aval	29 29			1 10					38 36		7 j

8. Dates d'exécution des voûtes. — Mouvements, en mm., observés à chaque décintrement.

Voûte n°	Dates de construction	Date du décintrement	Mouvements horizontaux des piles.									
			Voûte n° 1 (RG) — Abaissements, ↑ Relèvements des clefs des voûtes ³ , — ↓ Mouvements horizontaux des piles.									
			1	2	3	4	5	6	7	8	9	10 (RD)
Pile n° 1												
1	1907	1908	amont	10	→ 1,5	↑ 1,1						
RG	14-N	20-II	aval	8	→ 2	0,9						
		129 I										
2	2-NI	20-III	amont	1,8	← 0,8	7,5	→ 0,8	↑ 0,8				
		113 I	aval	1,8	← 1	8	→ 1	0,7				
3	10-NII	16-IV	amont			1,5	← 0,4	6,1	→ 0,6	↑ 0,5		
	7-I	100 I	aval			1,5	← 0,9	6,4	→ 0,7	0,3		
4	1908	15-V	amont									
21-I		90 I	aval									
5	29-II	23-VI	amont									
	24-III	91 I	aval									
6	2-IV	23-VII	amont									
	28-IV	86 I	aval									
7	9-V	26-VIII	amont									
	3-VI	84 I	aval									
8	10-VI	8-IX	amont									
	2-VII	68 I	aval									
9	10-VII	29-IX	amont									
	3-VIII	57 I	aval									
10	12-VIII	18-XI	amont									
RD	3-IX	76 I	aval									

3. — On n'a pas mesuré les abaissements des appuis ;
on n'a donc pas le tassement propre des voûtes.

9. Dépenses.

	Fondations	Élévation	Ensemble
Entreprise.....	649.660'78	958.423'14	1.608.083'92
Régie.....	14.000'	61.000'	75.000'
	663.660'78	1.019.423'14	1.683.083'92

10. Personnel.

Ingénieurs :

Projet. — en chef : M. Dyrion ; — ordinaire, M. Armand ;

Exécution. — en chef : M. Gubiand ; ordinaires, M. Armand, puis M. Hugues.

Entrepreneur : M. Joseph Fayolle, de Grenoble.

SOURCES :

S₁. — Dessins et renseignements gracieusement communiqués par MM. Armand et Hugues.

S₂. — Renseignements qu'a bien voulu me donner M. Gubiand.

S₃. — Ce que j'ai vu — janvier 1913.

Ce qui n'est pas spécifié S₂ est de S₁.

PONT SUR LA MOSELLE, A TRITTENHEIM (ALLEMAGNE, - Prusse-Rhénane)

Route de Trittenheim à Trèves¹

1907-1908

$\bar{A}^{n}_{r^{te}}$ ($\geq 40m$)

Φ_1 — amont (S₂)



1. Matériaux (S₁, S₂). — Tout est en béton, sauf l'arête des avant-becs qui est en granit.

Au-dessus des naissances, les parements vus, sauf les douelles des grandes voûtes, sont colorés en rouge, peut-être pour imiter le grès rouge.

2. Quelques observations. — On a abattu par un chanfrein l'arête d'extrados (S₃).

On a armé les voûtes d'évidement (S₄).

Au-dessus des piles, la chaussée et les trottoirs sont portés par une dalle en béton armé appuyée sur les pilastres (S₅).

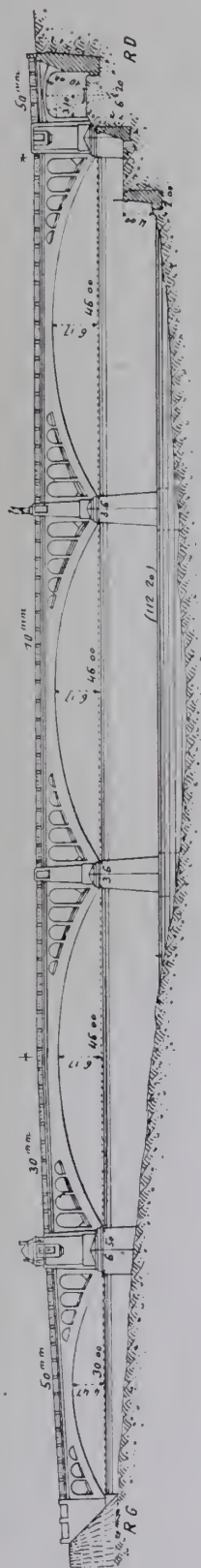
Un fer apparent protège les bordures en béton des trottoirs (S₆).

Le pilastre amont de la pile rive droite porte une statue de Jean Trithemius².

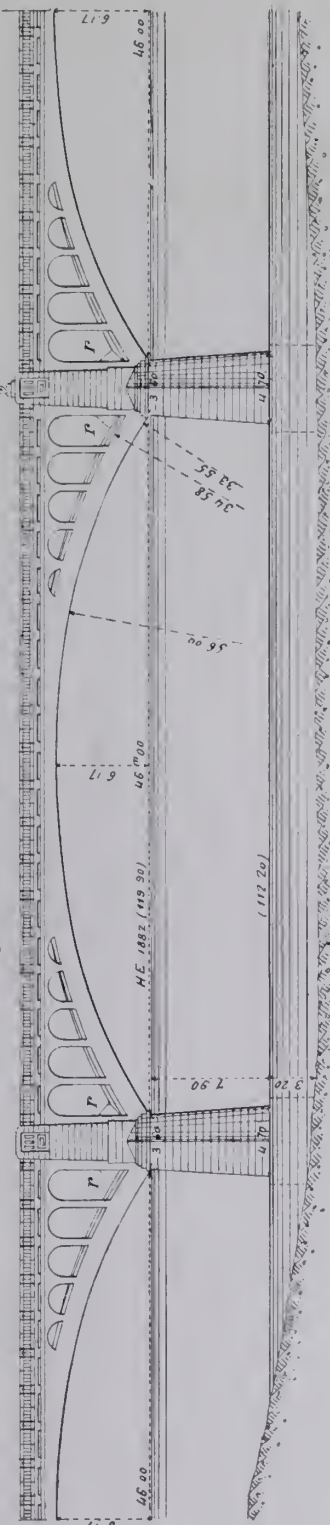
1. — entre le village et la station du chemin de fer d'intérêt local de Trèves à Bullay (Moseltalbahn), à 31^m7 de Trèves. Le pont est à 150^m en amont de la station.

2. — Historien et théologien, né à Trittenheim en 1462, mort à Wurtzbourg en 1510.

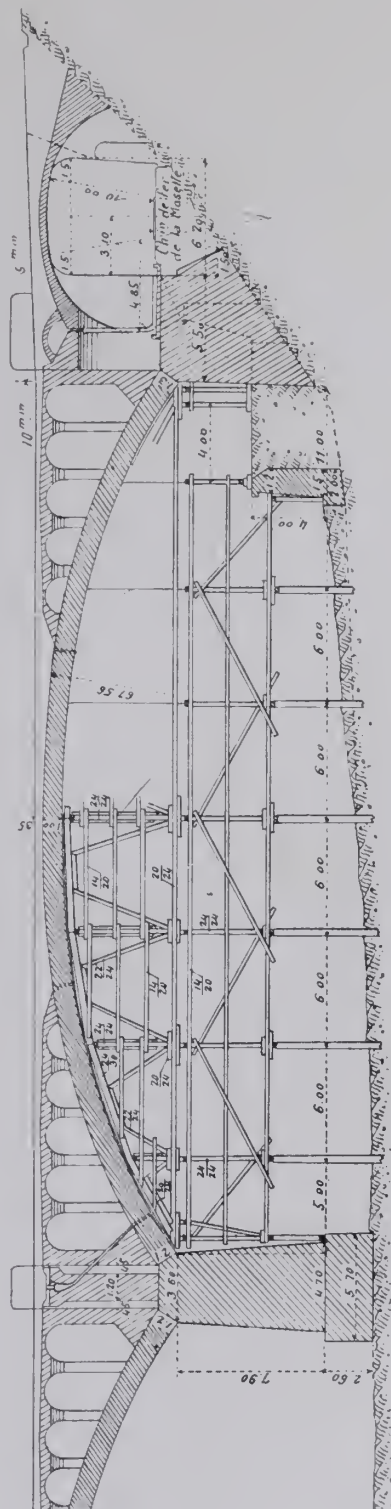
f₁ — Ensemble, amont — 1mm



f₂ — Une grande voûte — 2mm



f₃ — Coupe en long et centre de l'arche rive droite — 2mm



Elle est à bonne échelle pour les gens qui passent sur le pont, trop petite pour ceux qui le regardent.

Sur le pilastre aval de la pile rive gauche, est une niche pour le préposé au péage.

3. Aspect (S_2). — On voit trop les changements de courbure de l'extrados.

Les dièdres de béton (r de f_2) sont d'aspect assez fâcheux.

Les piles des voûtes d'élégissement paraissent maigres.

On n'a pas fait disparaître : aux têtes, les limites des tranches de bétonnage et les empreintes des planches : en douelle, l'empreinte du platelage.

4. Dates (S''_1).

Commencement des travaux.....	commencement de juillet 1907
Piles et culées.....	23 juillet - octobre 1907
Grandes voûtes.....	4 - 21 août 1908
Ouverture à la circulation.....	1 ^{er} janvier 1909

5. Personnel (S''_1). — Celui du Pont de Schweich³.

3. — $\overline{\mathbf{A}}^{\text{n}^{\text{e}}}_{1^{\text{e}}}$ ($\geq 40^{\text{m}}$)⁷, - Tome III.

SOURCES :

Celles du Pont de Schweich, $\overline{\mathbf{A}}^{\text{n}^{\text{e}}}_{1^{\text{e}}}$ ($\geq 40^{\text{m}}$)⁷ - Tome III, p. 269.

PONT SUR LA MOSELLE, A LONGUICH¹ (ALLEMAGNE, - Prusse-Rhénane)

Route de Longuich à Mehring

1909-1911

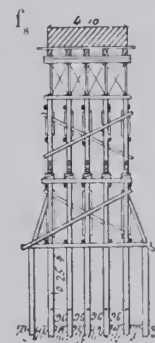
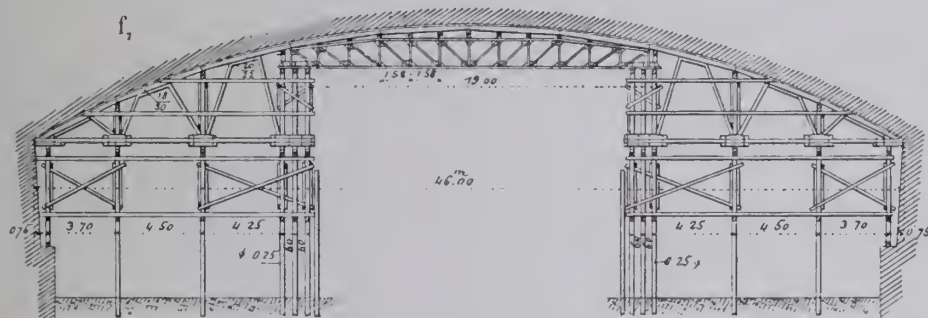
$\bar{A}^{n}_{pte} (\geq 40m) 10$

Φ_1 — amont (S''₁)

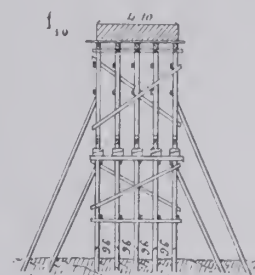
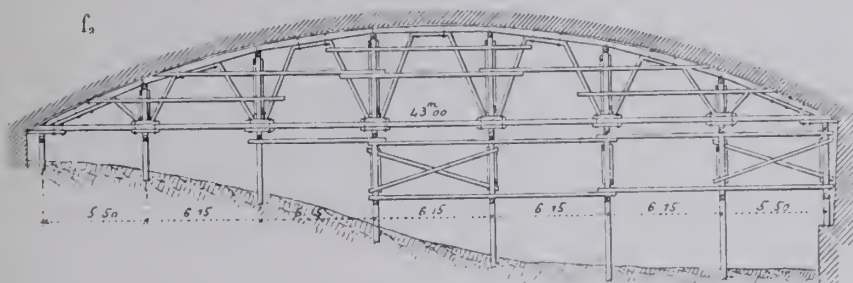


1. Cintres.

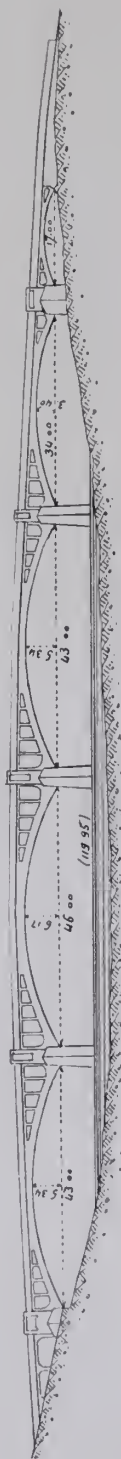
Cintre de l'arche de 46^m — 2^m5



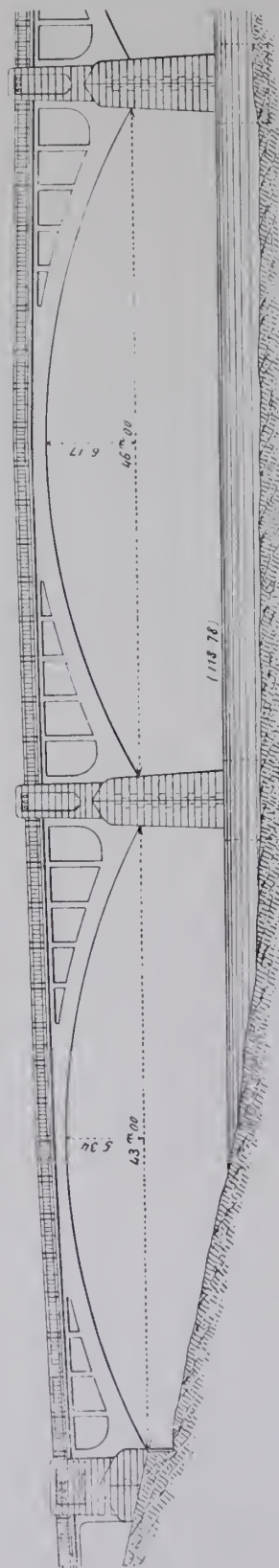
Cintre des arches de 43^m — 2^m5



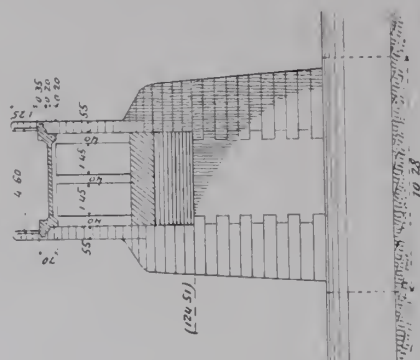
1. Station du chemin de fer d'intérêt local de Trèves à Bullay (Moseltalbahn), à 12^m5 de Trèves.

f_i — l'ensemble. aval — 0^{mm75} 

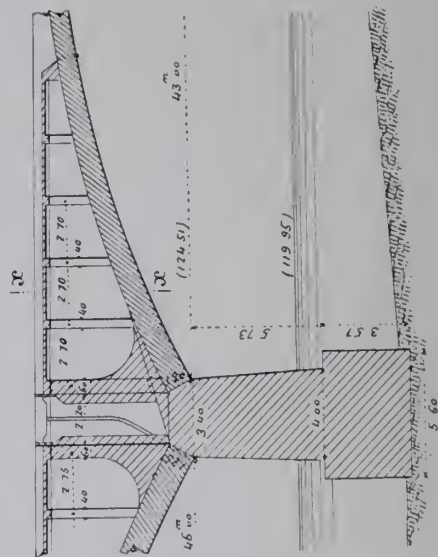
1. — Les deux grandes voûtes, côté rive droite — 2^{mm}



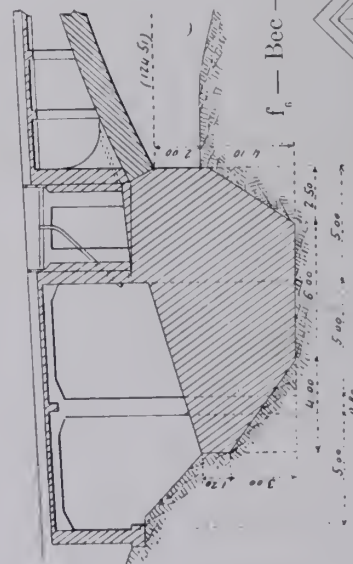
f_3 — Coupe en travers
sur \mathcal{E} de $f_1 - 3\text{mm}$



f_i — Pile centrale



Coupes en long — 3mm


$$f - \text{Pec} = \text{mm}$$


2. Dates.

Commencement des travaux.....	2 mai 1910
Piles et culées.....	commencement de juin - 15 octobre 1910
Grandes voûtes.....	20 juillet - 8 août 1911
Décintrement.....	15 septembre 1911
Ouverture à la circulation.....	1 ^{er} janvier 1912

3. Personnel.

Projet : M. Herm. Möhle, Ingénieur ;

Direction des Travaux : M. G. Möhle.

Entrepreneurs : MM. B. Liebold et C^{re}, d'Holzminden (Brunswick).

SOURCES :

S₁. — Dessins d'exécution (S'₁), photographie (S''₁) et renseignements (S'''₁), qu'a bien voulu m'adresser M. Liebold, — mars 1912.

QUELQUES VOÛTES INARTICULÉES

QU'ON AURAIT, A TORT, CHERCHÉES

DANS LES SÉRIES DU LIVRE I

Après les voûtes inarticulées de 10^m et plus de portée, j'en vais décrire sommairement quelques autres qu'on aurait pu chercher dans les séries du Livre I.

Ce sont :

1° des voûtes de 10^m ou plus, en béton assez peu armé pour qu'on les ait calculées sans tenir compte du métal. — On les trouve dans des statistiques de voûtes non armées ;

2° des voûtes de 10^m ou plus, tombées pendant qu'on les construisait ;

3° des voûtes auxquelles on a attribué à tort 10^m ou plus, --- voûtes qui existent, — voûtes ruinées, — voûtes qui n'ont jamais existé.

TITRE I

VOÛTES INARTICULÉES > 40^m

PONT	PROJET							
	ENSEMBLE	GRANDES VOÛTES						
Date	Longueur de l'ouvrage	Largeurs entre parapets	INTRADOS	ÉPAISSEURS	COMMENT	MATÉRIAUX	PRESSIONS	1°
Symbole	Déclivité	entre tympans sous la plinthe	Portée	CORPS ET TÊTES	SONT ARMÉES	Mortier	en kg 0 ^m 01 ²	DES TYMPANS
En quoi consiste l'ouvrage	Hauteur maxima de l'ouvrage au-dessus du sol ou de l'étiage	Fruit des tympans	Rayons de courbure : à la clef aux naissances	Clef Retombées	LES VOÛTES	Poids, pour 1 ^m de sable, de chaux ou de ciment	Hypothèse adoptée	2°
1	2	3	4	5	6	7	8	9
sur la Delaware <i>États-Unis</i> 1909-1910 7 voûtes biaises en ellipse : 5 de 45 ^m 72 2 de rive de 36 ^m 58 sous chemin de fer à voie normale.	442 ^m 56 5 ^m 5 21 ^m 64	8 ^m 534 10 ^m 363 Pas de fruit 2 ^m 50 environ	Ellipses 45 ^m 72 42 ^m 192 $\frac{1}{3.75} = 0,266$ 42 ^m 86 6 ^m 50	1 ^m 829 4 ^m 40 environ au milieu de la montée	A l'intrados et à l'extrados, grillage de barres carrées Épais ^r mm Ecart ^r cm en long 32 53 en travers 25 91	B ¹ 1 ^r , 3 ^r , 5 ^r		1° Murs transversaux de 0 ^m 91, espacés de 3 ^m 062, portant une plate-forme. Aux têtes seulement, voûtes. Le tout en béton armé 2° Archivoltes
de la Monroe Street à Spokane <i>États-Unis</i> 1909-1911 Pont en 2 anneaux, à une grande arche de 85 ^m 65 en arc peu surbaissé, entre 2 de 36 ^m 58 en plein cintre, sous route.	181 ^m env. 16 ^m 39 ^m 36 (étiage)	20 ^m 72 Anneaux, en douelle à la clef 1 ^m 877 Vide entre eux 6 ^m 096	Arc de cercle peu surbaissé 85 ^m 65 34 ^m 67 $\frac{1}{2.470} = 0,404$ 43 ^m 78	2 ^m 058 5 ^m 638	Barres carrées de 25 ^{mm} 4 à l'intrados et à l'extrados	B ¹ Corps 1 ^r , 2 ^r 5, 5 ^r Clefs 1 ^r , 2 ^r , 4 ^r Culées 1 ^r , 3 ^r , 6 ^r	Pressions avec surcharge : MAX. min. Clef 36 ^k 4 4 ^k 9 Re-tomb 20 ^k 7 10 ^k 5 Arc élastique Surcharge 10°, de la charge totale Chaussée : 2 voitures de tramway de 50 ^r Rouleau de 15 ^r Trottoirs : 488 ^k 1 ^m 2	1° Sur chaque tête 2 murs de 0 ^m 61 percés de 10 voûtes transversale en plein cintre de 5 ^m 16 sur piles de 4 ^m 07 reliées par des murs transversaux Le tout en béton armé 2° »

EN BÉTON PEU ARMÉ

TABLEAU SYNOPTIQUE

EXÉCUTION										CUBE DE MAÇONNERIE A MORTIER	
FONDACTIONS	GRANDES VOÛTES									Q	
	CINTRES				MODE DE CONSTRUCTION	DÉCINTREMENT État d'avancement du pont <i>Temps entre le dernier clavage et le décintrement</i> Date	TASSEMENTS DE LA CLEF sur cintre t_c au décin- trement t_v' après t_v''	DÉPENSE			
	FERMES		Cube de bois Poids de fer Dépenses					D			
	Type	Nombre	Totaux	par mq de douelle ²				Totaux			
	<i>Matière</i> Appareils de décintrement	<i>Épaisseur</i> Écartement d'axe en axe <i>Surhaussement</i>						et de surface utile S_p ³ de volume « utile » W ⁴	par unité		
10	11	12	13	14	15	16	17	18			
Nature du sol											
Profondeur sous l'étiage											
Pressions sur le sol en kg 0 ^m 01 ²											
Procédé											
Culee Ouest	Arcs d'acier à	10			A pleine épaisseur, à partir des retombées.	Voûtes nues		Cube de Béton			
Gravier	3 articu- lations		»		Aux voûtes de 45°72, on a laissé la clef ouverte pendant 7 jours.			39372 ^{mc} (Prévisions)			
Autres fondations	retroussés sur toute la portée		»		Aux voûtes de 36°58, 3 clavages : au 1/3 de la 1 2 portée à partir de la clef, puis à la clef.		30 jours				
Rocher solide			2 cintres pour les 5 voûtes de 45°72.		Les parois des clavages avaient 6 redans normaux aux têtes.	»					
— 7 ^m 86 environ	Près de la clef, barres de longueur variable permettant d'abaisser le cerveau (voir la monographie)										
Grand empatement											
Basalte	Retroussé sur 58°52 (Poutre droite en acier)	4			A pleine épaisseur, en 12 tronçons, 9 clavages.	1 ^{er} anneau		Q = 19112 ^{mc}			
		30 ^m				»	$t_c = 38^{mm}$	Q : $S_p = 5^{mc}09$			
		1 ^m 177 à la clef			On posa d'abord les 2 tronçons de clef, puis les autres symé- triquement à partir des naissances.	»	$t_v' = 0$	Q : $W = 0^{mc}18$			
						8 juin		D = 2590 000 ^f			
								D : $S_p = 690^f7$			
Pressions MAX. : 8 ^k 4 min. : 4 ^k 9	Coins en fonte sous les couchis		Le même cintre a servi pour les 2 anneaux.			2 ^e anneau		D : $W = 25^f0$			
						»	$t_c = 38^{mm}$	D : Q = 135 ^f 5			
						»	$t_v' = 0$				
						10 août					

² Pour le calcul de la surface de douelle, voir Avertissement, Tome III, p. III, n° 7 — A. ³ S_p = Longueur (col. 2) × Largeur entre parapets (col. 3) — C'est la surface offerte à la circulation

⁴ W = Surface vue de l'élévation × Largeur entre parapets. ⁵ W' = Surface de l'élévation au-dessus des fondations × Largeur entre parapets

Pour S_p , W , W' , voir Avertissement, Tome III, p. III, n° 7 — B.

VOÛTES INARTICULÉES ≥ 40^m

PONT	PROJET							
	ENSEMBLE		GRANDES VOÛTES					1°
Date	Longueur de l'ouvrage	Largeurs entre parapets	INTRADOS	ÉPAISSEURS	COMMENT	MATÉRIAUX	PRESSIONS	ÉVIDEMENTS DES TYMPANS
Symbole	Déclivité	entre tympans sous la plinthe	Portée	CORPS ET TÊTES	SONT ARMÉES	Mortier	en kg/0 ^m 01 ²	2°
En quoi consiste l'ouvrage	Hauteur maxima de l'ouvrage au-dessus du sol ou de l'étiage	Fruit des tympans	Montée Surbaissement Rayons de courbure : à la clef, aux naissances	Clef Retombées	LES VOÛTES	Poids, pour 1 ^m de sable, de chaux ou de ciment	Hypothèse adoptée Surcharges supposées	DÉCORATION DES TÊTES
1	2	3	4	5	6	7	8	9
de Boberullersdorf <i>Prusse</i> 1908-1909 <i>Une seule grande arche sous route</i>	70 ^m 20 0 12 ^m 60	6 ^m 00 5 ^m 40 Pas de fruit 0 ^m 30	Arc d'anse de panier à 3 centres assez surbaissé 58 ^m 10 8 ^m 80 et 9 ^m 60 Moyenne 9 ^m 20 $\frac{1}{6,315} = 0,158$ 47 ^m 21 ^m	1 ^m 00 4 ^m 30	Fers ronds de 20 ^{mm} au cerveau à l'intrados	B ¹ Ciment..... 1 ^v Sable..... 2 ^v Gravier..... 5 ^v (Granit)	Pressions avec surcharge : MAX. moy. Clef 39 ^k 7 24 ^k 8 Retombées 33 ^k 6 23 ^k 400 ^k 1 ^m 2 et Rouleau de 23 ^t , ou 1190 ^k 1 ^m 2	1° 18 voûtes transversales vides, en plein cintre, en béton armé, de 1 ^m 95, sur piles de 0 ^m 5, 0 ^m 7, 0 ^m 8 2° »
d' Elsen <i>Prusse</i> 1909-1910 <i>Une seule grande arche sous route</i>	58 ^m 40 ^{mm} 40 ^{mm} 7 ^m 20	7 ^m 00 7 ^m 00 Pas de fruit 0 ^m 30	Arc d'anse de panier à 3 centres très surbaissé 46 ^m 00 5 ^m 10 $\frac{1}{9,019} = 0,111$ 62 ^m 90 38 ^m 80	0 ^m 80 4 ^m 10	Fers ronds au cerveau à l'intrados	Bandeaux : MEV ¹ Calcaire Corps : B ¹ Ciment..... 1 ^v Sable..... 2 ^v Pierre cassée... 4 ^v (Calcaire)	Pression max.: avec sans influence de la température Clef 51 ^k 5 50 ^k 2 Joints de rupt. 42 ^k 2 41 ^k 3 Retombées 30 ^k 8 25 ^k 2 Arc élastique 1000 ^k 1 ^m 2	1° Pas d'évidements 2° »
de Cassel <i>Prusse</i> 1909-1910 <i>Une seule grande arche sous route</i>	79 ^m 60 32 ^{mm} 2 31 ^{mm} 7 8 ^m	16 ^m 00 16 ^m 60 Pas de fruit 0 ^m 48	Arc d'anse de panier à 3 centres très surbaissé 57 ^m 30 5 ^m 23 $\frac{1}{10,594} = 0,094$ 90 ^m 75 ^m 469	1 ^m 10 1 ^m 30	Fers ronds de 25 ^{mm} et 15 ^{mm} au cerveau à l'intrados, aux reins à l'extrados	Bandeaux Grès Corps : B ¹ Ciment Vorwöhlter 1 ^v Sable basaltique (de la Faldra) 2 ^v Basalte cassé... 3 ^v Résistance moyenne à 40 j. : 349 ^k	Pressions avec surcharge : MAX. moy. Clef » 35 ^k 9 Joints de rupt. 45 ^k 28 ^k 3 Retombées » 30 ^k 3 Courbe de pression construite avec points de passage arbitrairement choisis. 800 ^k 1 ^m 2	1° Entre tympans pleins, 10 murs transversaux de 50 ^m espacés de 3 ^m portant une plate-forme de 20 ^m en béton armé 2° Arcade de 20 ^m de hauteur

VOÛTES INARTICULÉES $\geq 40^m$ EN BÉTON PEU ARMÉ

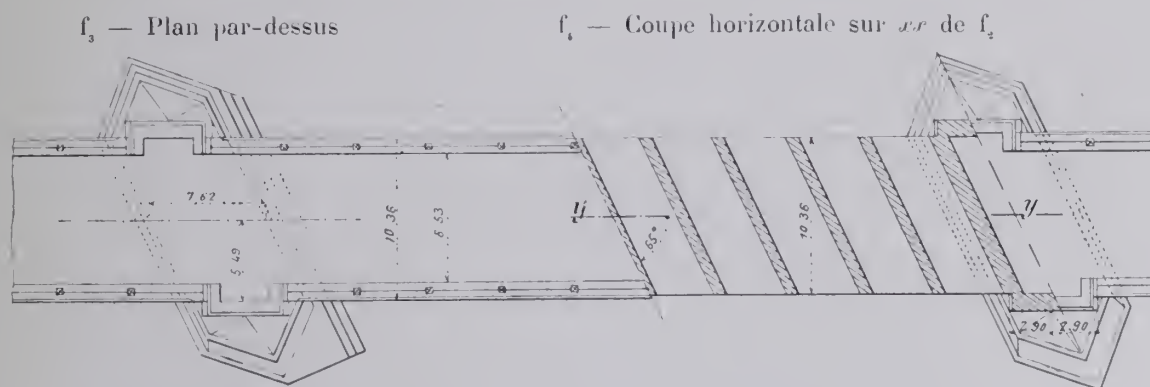
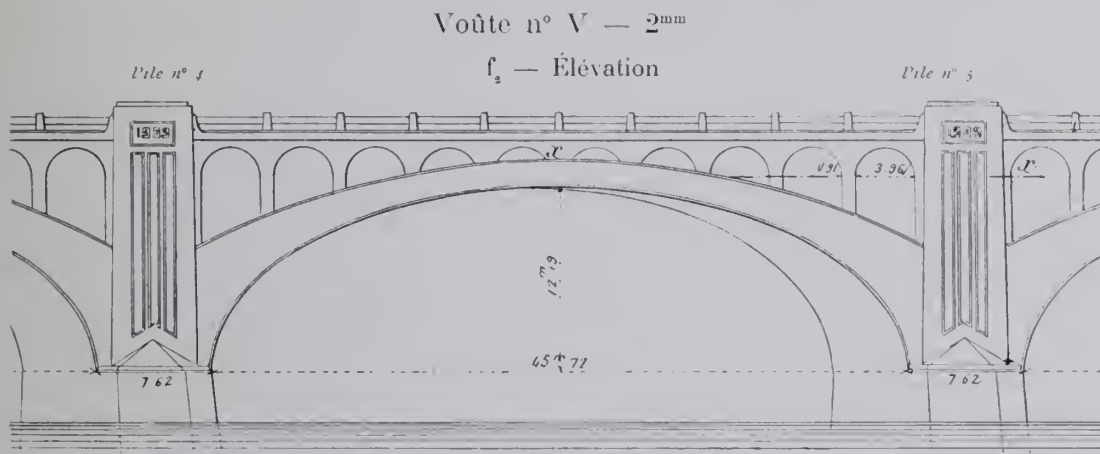
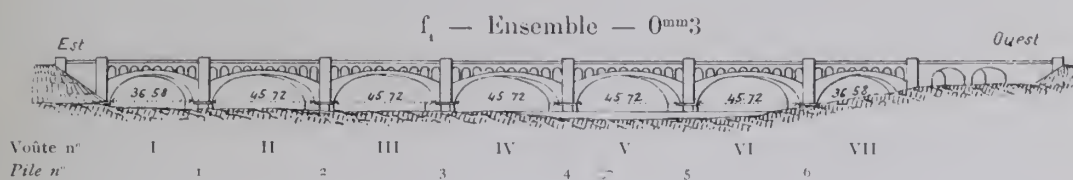
MONOGRAPHIES

1. — PONT SUR LA DELAWARE, PRÈS DE PORTLAND

(ÉTATS-UNIS, - Pennsylvanie)

Raccourci Stateford-Hopatcong (Delaware, Lackawanna and Western R. R.)

1909-1910

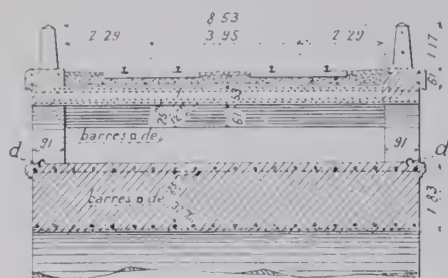


1. Pile-culée n° 4 (f_1). — A la fin de la campagne de 1909, il restait à faire les voûtes V et VI. A cause des glaces, on ne pouvait laisser, pendant l'hiver, la voûte IV sur cintre. On élargit et on renforça la pile 4 (f_1 , f_2 , f_3).

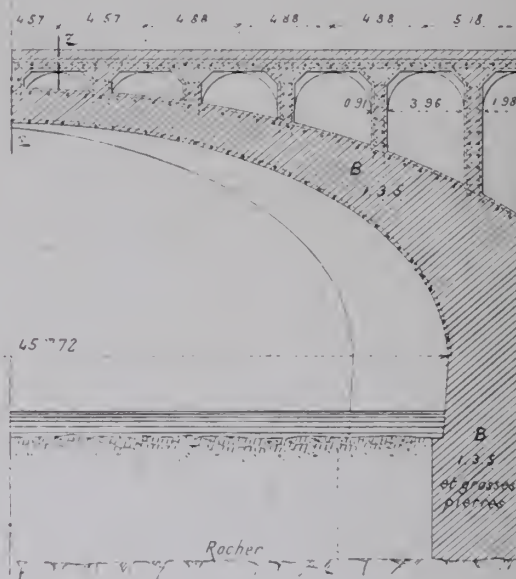
2. Écoulement des eaux. — Celles arrêtées par la plate-forme sous le ballast sont conduites aux piles, et de là dans le sol.

Celles qui ont traversé la plate-forme, celles qui sont jetées par le vent sur l'extrados, s'écoulent par des sillons d (f_6) creusés dans l'extrados, parallèlement aux têtes.

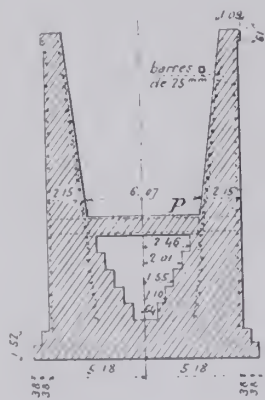
f_6 — Coupe en travers
sur zz de f_5 — 5mm



f_5 — Demi-coupe en long sur yy de f_4 — 2mm5



f_7 — Culée Est
Coupe en travers
2mm5



3. Parements. — Les arêtes des piles en rivière sont en granit.

Aux têtes des voûtes, les planches des cloisons avaient été placées suivant le rayon.

4. Appui des voûtes biaises sur les piles.

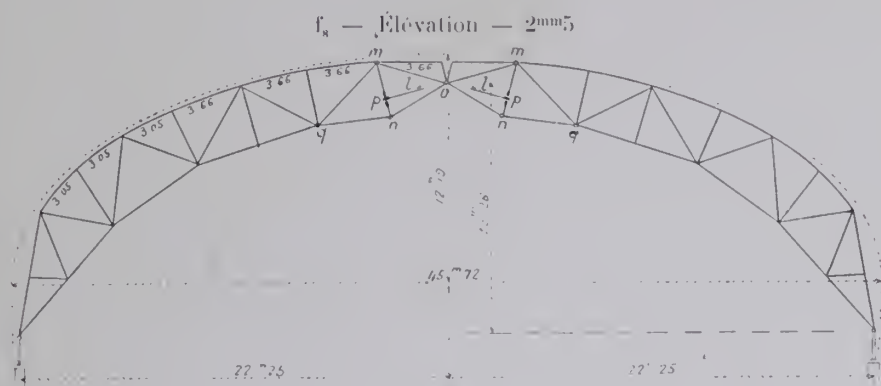
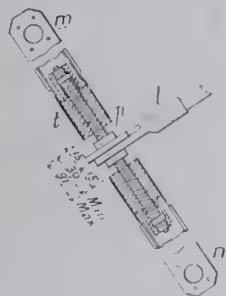
Les retombées présentaient 6 redans normaux aux têtes.

A la retombée Ouest de la voûte VII (f_1), chacun de ces redans était découpé en gradins horizontaux.

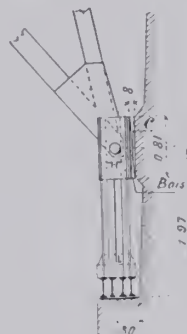
5. Culée Est. — Ses murs sont reliés par des poutres P (f_7) en béton armé.

6. Cintres. — A. - *Voûtes de rive.* — On a bâti l'arche VII sur le cintre, en bois, de l'arche I (f_1), transporté.

B. - Voûtes de 45^m72. — B₁. Nombre de cintres. — Ceux des voûtes II et III ont servi aux 3 autres.

Cintre des voûtes de 45^m72
$$f_{10} = \text{Appareil de manœuvre (mn de } f_n) = 2^m$$


$f_9 = \text{Appuis} = 1 \text{ cm}$



B₂. Fermes (f₈). — Chaque ferme est un arc d'acier à 3 articulations, appuyé aux naissances : verticalement, sur le socle de la pile (f₉) ; horizontalement, sur un corbeau *c* en béton (f₉), rasé après décintrement.

B₃. Dispositif pour mettre les fermes à hauteur et pour décintrer (f_s, f₁₀). — Les deux quadrilatères *m q n o* (f_s) sont articulés. Leurs diagonales *m n* sont formées de deux pièces *m p*, *n p* dont les abouts s'engagent dans une tige filetée *t* (f₁₀) à pas de vis contraires. En manœuvrant un levier *l* on fait varier les longueurs *m n* par suite *q o* (f_s) : on peut ainsi abaisser ou relever le cerveau du cintre.

Pour décintrer, on enlève les pièces reliant les fermes, puis on manœuvre les leviers l .

B_4 . *Travail permis.* — Sous les charges : à la compression, $11^k9/\overline{0^m001^2}$; à la tension, 11^k2 .

Sous les variations de température : la limite même d'élasticité.

Le cintre est une construction provisoire et l'écart maximum de température admis au calcul, 78° , ne pouvait pas se produire.

B_5 . *Tassements.* — Pour un béton pesant 2430^k , on avait calculé que le cintre tasserait :

sous le poids propre du cintre	de $2^{mm}4$
sous le poids de la voûte	de $34^{mm}1$
pour un abaissement de température de 78° Centigr	de $13^{mm}5$

Les tassements mesurés ont été sensiblement ceux-là.

7. Personnel.

A. - *Ouvrage.*

Projet : Ingénieurs en chef : M. Lincoln Bush, M. Am. Soc. C. E.,
puis M. G. J. Ray ;

Ingénieur : M. B. H. Davis, Assoc. M. Am. Soc. C. E.

Direction des Travaux : M. F. L. Wheaton, Ingénieur.

Entrepreneurs : MM. Smith et McCormick, d'Easton, (Pennsylvanie).

B. - *Cintre.*

Projet, construction, montage et démontage ¹.

McClintic Marshall Construction Co, à Pittsburg.

Ingénieurs en chef : M. Paul L. Wolfel, M. Am. Soc. C. E.

Ingénieur : M. David S. Gendell, Jr.

1. — Démontage sous la direction des Entrepreneurs du Pont.

SOURCES :

S_1 . — Engineering News, 30 décembre 1909, p. 713 à 716 : « *The Delaware River concrete Bridge, Slatford-Hopatcong Cut-off ; Delaware, Lackawanna and Western R.R.* »
Les dessins sont de S_1 .

S_2 . — Railway Age Gazette, 3 janvier 1913, p. 9 à 14 : « *The Hopatcong-Slatford Cut-off* » by G. W. Simpson, Resident Engineer, Delaware, Lackawanna and Western ; p. 12 à 14 : « *Delaware River Bridge* ».

S_1 signale, p. 713, un autre grand pont en béton de la même ligne, sur le Paulins Kill, près de Hainesburg (New-Jersey).

S_2 le décrit, p. 11 et 12. Il a 5 voûtes en plein cintre de 36^m58 , en béton peu armé.

2. — PONT DE LA MONROE STREET, SUR LE SPOKANE

A SPOKANE (ÉTATS-UNIS, - Washington)

1909-1911

Φ_1 — aval (S'''_2)



1. Deux ponts jumeaux. — Deux ponts jumeaux, écartés de 6^m096, portent une plate-forme en béton armé qui les déborde de 2^m00. Sur deux anneaux, larges ensemble de 9^m754, on a 20^m72 entre parapets.

C'est une réplique des Ponts de la Rocky River¹ et de Walnut Lane², comme ceux-ci du pont de Luxembourg^{3, 4}.

2. Cintre. — Un premier cintre, retroussé, contreventé par des haubans, fut renversé le 21 juin 1910 par un vent de 19^m à la seconde.

Le cintre a été ripé du premier anneau sous l'emplacement du second.

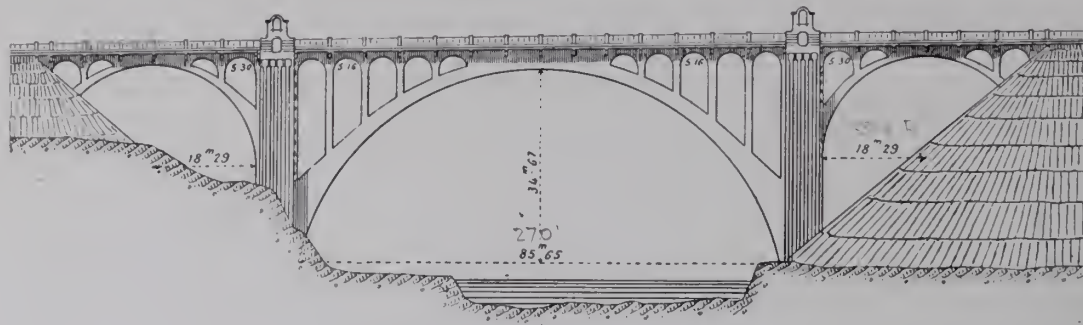
1. — $\widehat{A}^1 \widehat{A}^1$ r^{te} (≥ 40)³ 2. — $\widehat{A}^1 \widehat{A}^1$ r^{te} (≥ 40)² 3. — $\widehat{A}^1 \widehat{A}^1$ r^{te} (≥ 40)¹ — Tome II.

4. — On a récemment exécuté à Pittsburg 2 grands ponts de même aspect :

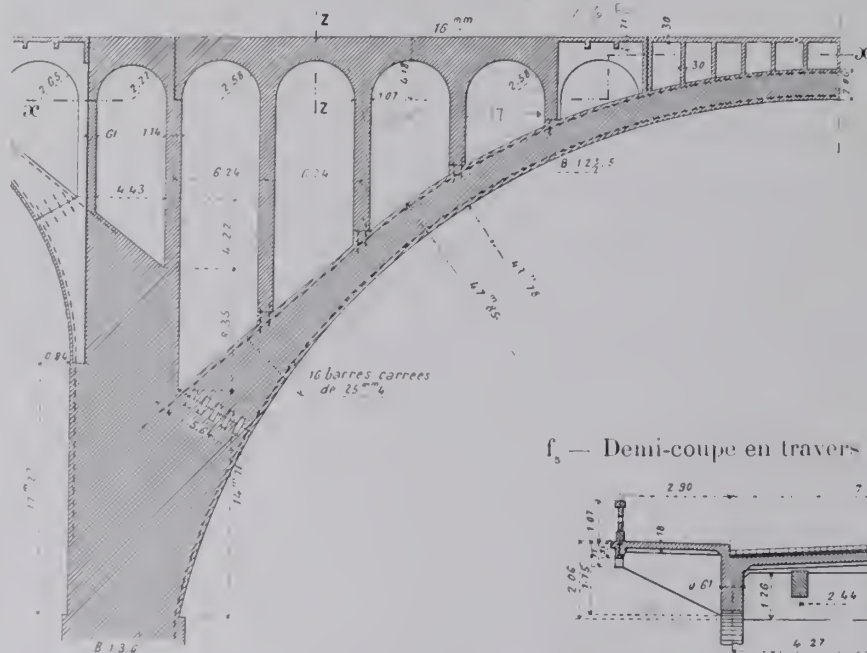
l'un en trois anneaux, Pont de la Meadow Street, terminé en 1910 (Portée : 63^m70) (*Engineering News*, 1^{er} décembre 1910) ;

l'autre en deux anneaux, Pont de la Larimer Avenue, terminé en août 1912 (Portée : 91^m57) (*Engineering News*, 19 décembre 1912).

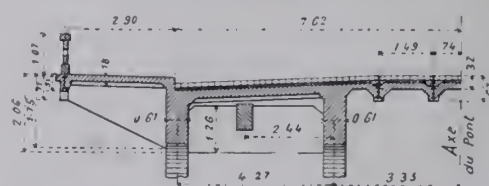
Mais ces deux ponts sont tout entiers en béton armé.

$$f_1 = \text{Ensemble 0mm75}$$


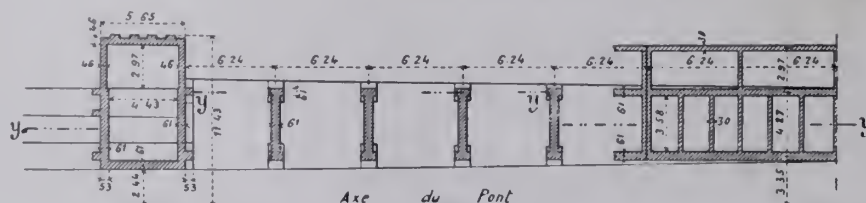
f_3 — Coupe en long sur yy de f_1 — 2mm



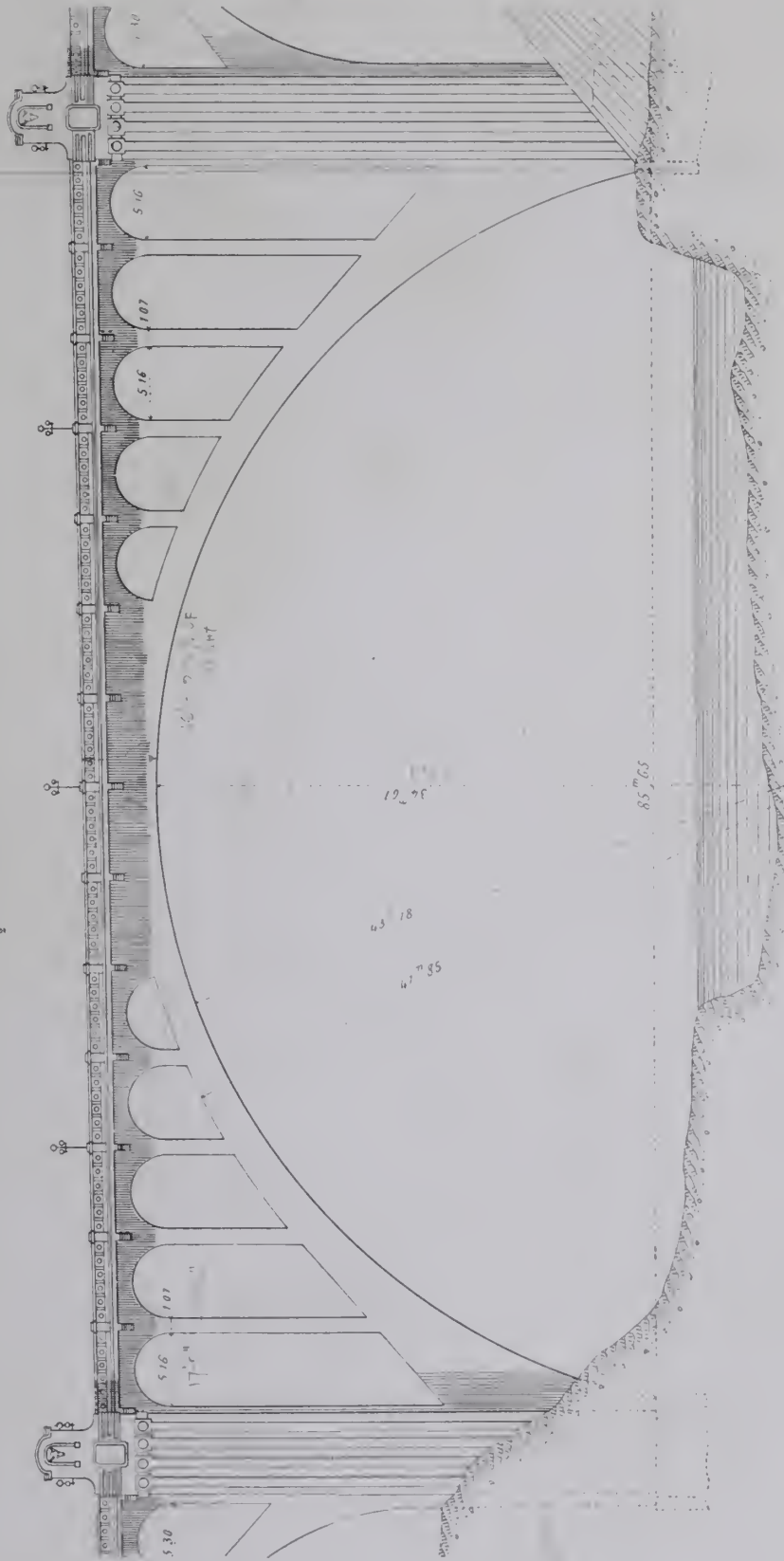
f_3 — Demi-coupe en travers sur zz de $f_3 = 5^{\text{mm}}$

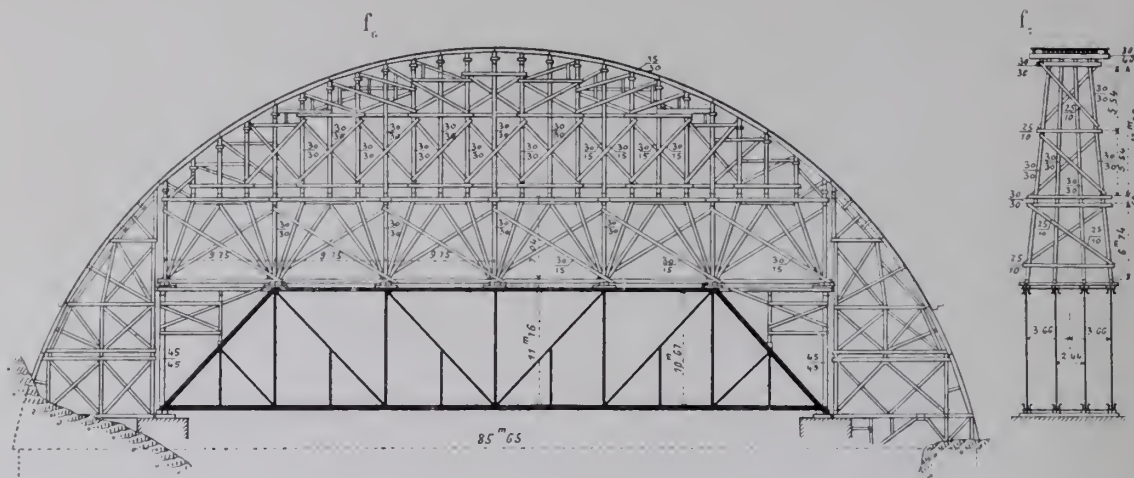


f_4 — Coupe horizontale sur xx de f_1 — 2mm



f₂ — Grande arche 2mm



Cintre — 1^m5

3. Dates.

Commencement des travaux..... septembre 1909
 Achèvement des fondations..... avril 1910

	1 ^{er} anneau	2 ^e anneau
Grandes voûtes.....	5-11 mai 1911	5-13 juillet 1911
Décintrement.....	8 juin	10 août
Ouverture à la circulation.....	23 novembre 1911	

On a attendu 6 mois les poutres d'acier du cintre : l'exécution a duré 1 an 5 mois.

4. Personnel.

Projet : M. John C. Ralston, M. Am. Soc. C. E., « City Engineer ».

Architecture : MM. Cutter et Mulmgreen, Architectes.

Exécution (en régie) : M. John C. Ralston ; puis, à partir d'avril 1910, M. Morton Macartney, M. Am. Soc. C. E., « City Engineer », MM. J. F. Greene, P. F. Kennedy et Roy Maloney « Assistant Engineers ».

On a armé les grandes voûtes sur les conseils du Professeur Wm. Burr, de New-York (S^{rs}).

SOURCES :

S₁. — Renseignements et photographies qu'a bien voulu me donner M. J. C. Ralston, mai 1911.

S₂. — Dessins d'exécution (S'₂), renseignements (S''₂) et photographies (S'''₂) gracieusement communiqués par M. Morton Macartney, - février 1912.

S₃. — Engineering News :

S'₃. — 2 septembre 1909, p. 241 à 243 : « *The Monroe St. Bridge, Spokane, Washington : A concrete bridge containing a 281-ft Arch* ».

S''₃. — 4 mai 1911, p. 546, 547 : « *The Centering for the 281 ft Concrete Arch of the Monroe St. Bridge, Spokane, Wash.* » by P. F. Kennedy.

3. — PONT SUR LA BOBER, A BOBERULLERSDORF

(PRUSSE, - Silésie, - Cercle de Hirschberg)

Route de Boberullersdorf à Boberröhrsdorf

1908-1909

$\Phi_1 = (S''_1)$



1. Trottoirs. — Ils sont en encorbellement sur des consoles en béton armé (f_4).

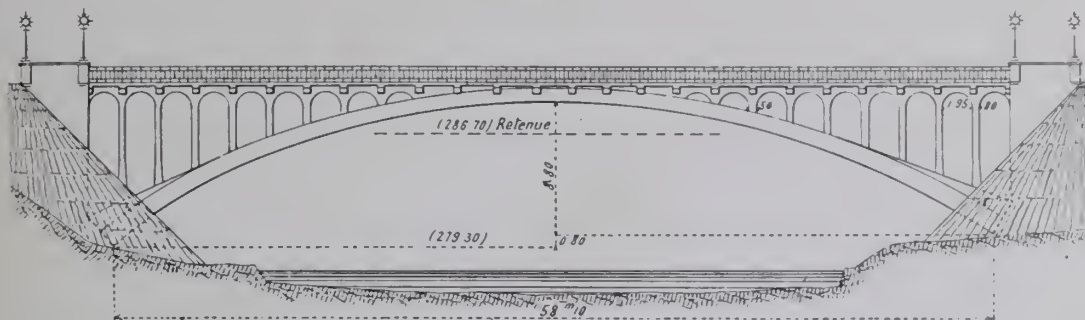
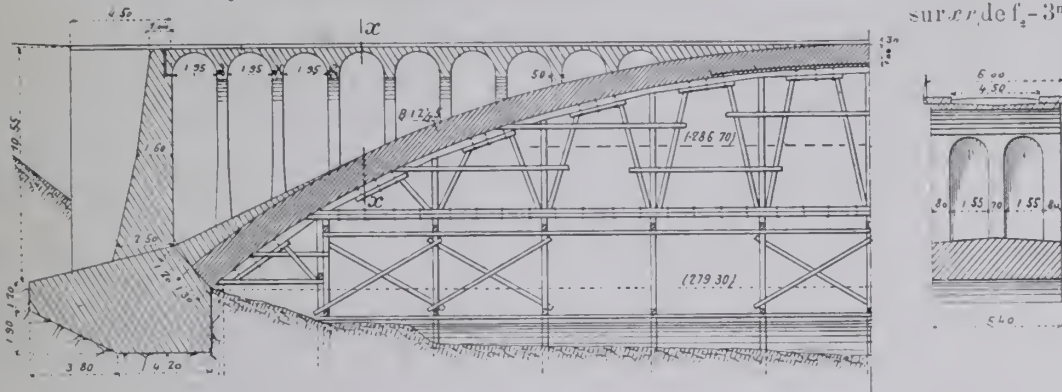
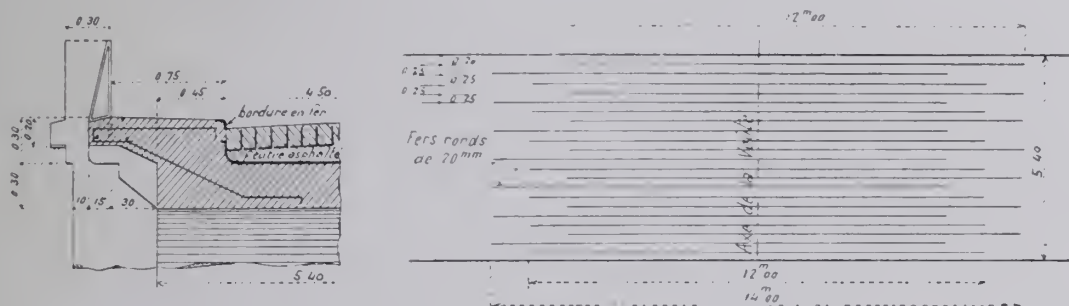
2. Parements vus. — Après la construction d'un barrage en aval, le pont sera noyé jusqu'à 2^m20 sous la clef. On s'est contenté de recouvrir les parements vus d'un enduit de ciment lissé (S''_1).

3. Joints de dilatation. — Il y en a 4 au-dessus de chaque demi-voûte.

4. Dates.

Commencement des travaux.....	8 avril 1908
Montage du cintre.....	15 mai - 15 juin
Grande voûte.....	20 juin - 4 juillet
Décintrement.....	Milieu d'août
Ouverture à la circulation.....	1909

1. — Cliché *Germania*, Hirschberg, Silésie.

f_1 — Elevation — 2^{mm} f_2 — Demi-coupe en long et cintre — 3^{mm} f_3 — Coupe en travers sur xx' de f_2 — 3^{mm} f_4 — Comment est armé le cerveau de la voûte
Plan — 5^{mm} f_5 — Couronnement — 2^{cm}

5. Personnel.

Projet et Entreprise : MM. B. Liebold et C^{ie}, d'Holzminden.

Direction des Travaux : M. Riemenschneider, Ingénieur.

SOURCES :

S_1 . — Dessins d'exécution (S'_1), renseignements (S''_1) et photographie (S'''_1), gracieusement adressés par M. B. Liebold, en août 1909.

S_2 . — Renseignements qu'a bien voulu me donner M. Lau « Landesbaurat » à Breslau.

4. — PONT SUR L'ALME, A EISEN¹ (PRUSSE, — Cercle de Paderborn)

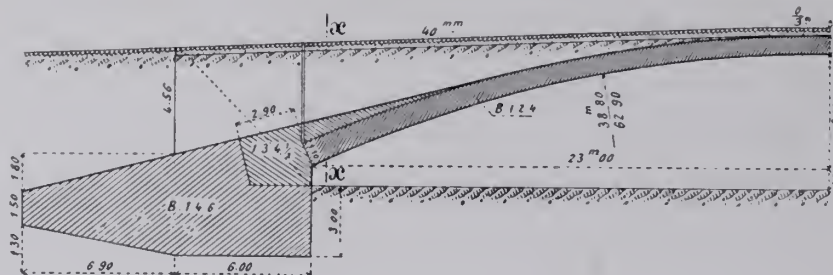
Route de Paderborn à Eisen-Bentfeld

1909-1910

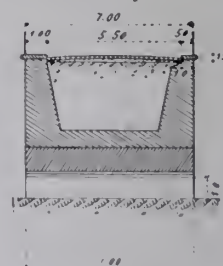
f₁ — Élévation — 2^{mm}



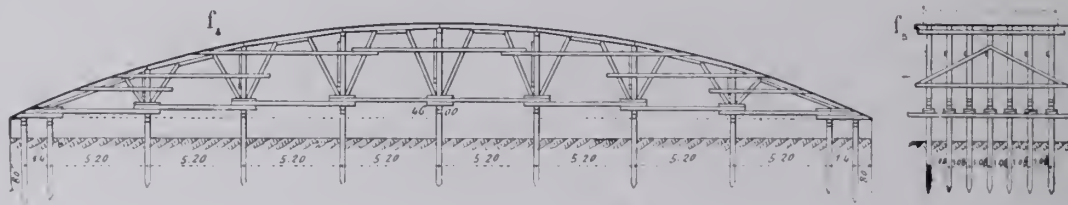
f₂ — Coupe en long — 3^{mm}



f₃ — Coupe en travers sur *xx* de f₂ — 3^{mm}



Cintre — 2^{mm}5



1. Joints de dilatation (S₂). — Il y en a 8, à égale distance les uns des autres.

2. Dates (S'').

Commencement des travaux.....	Fin octobre 1909
Grande voûte.....	1 ^{re} moitié d'août 1910
Décintrement.....	Commencement d'octobre
Ouverture à la circulation.....	Fin novembre

1. — près de Paderborn.

Φ_1 (S'''_1)

3. Personnel (S''_1).

Ingénieurs.

Projet : M. Wehrmann, « Kreisbaumeister » à Paderborn :

M. B. Liebold, d'Holzminden.

Direction des Travaux : M. Linnenberg.

Entrepreneurs : MM. B. Liebold et C^{ie}, d'Holzminden.

SOURCES :

S_1 . — Dessins (S'_1), renseignements (S''_1) et photographie (S'''_1) que m'a gracieusement adressés M. B. Liebold, mars 1912.

S_2 . — Dr Ingenieur F. von Emperger. — Handbuch für Eisenbetonbau. Zweite neubearbeitete Auflage. Sechster Band. Brückenbau, p. 513 à 515 : « Strassenbrücke über die Alme « bei Elsen » ».

5. — PONT SUR LA FULDA, A CASSEL (PRUSSE)

Rue reliant la vieille Ville à la nouvelle

1909-1910

Φ_1 (S''')



1. Parements vus. — Les bandeaux et tympans sont en pierre de taille (grès jaunâtre du Mein). Les voussoirs de tête sont en saillie de 6^{cm}.

2. Joints de dilatation. — Il y en a un au-dessus de chaque retombée.

3. Dates.

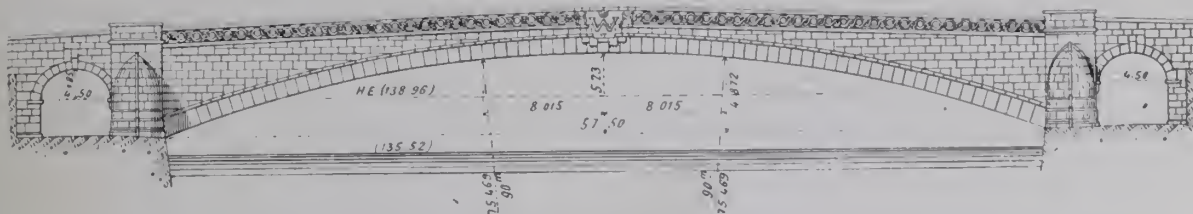
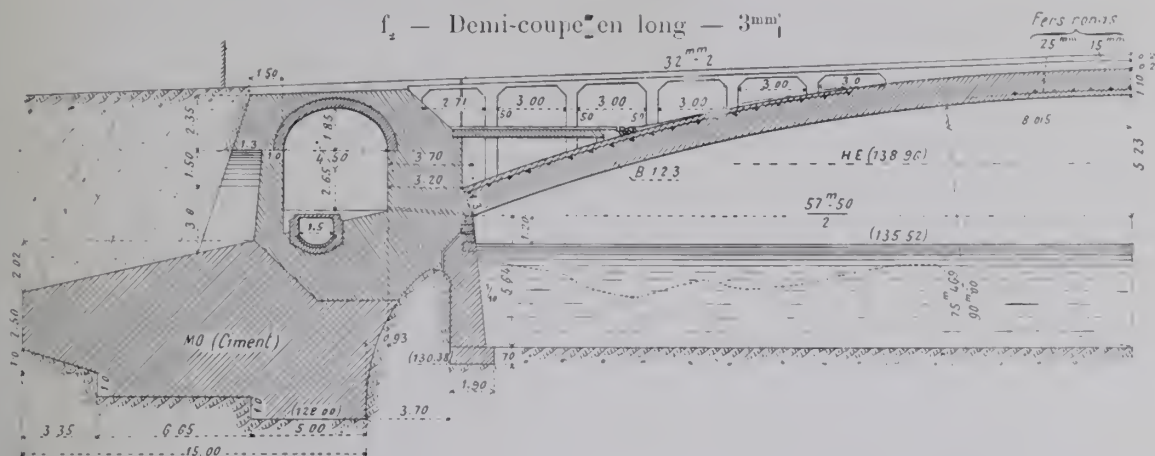
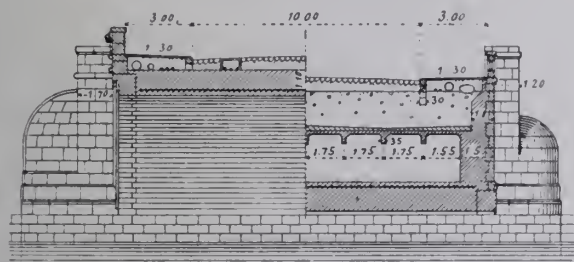
Commencement des travaux.....	Milieu d'avril 1909
Grande voûte.....	Milieu de juin 1910 - commencement de juillet
Décintrement	Milieu d'août
Ouverture à la circulation.....	Commencement de décembre

4. Personnel.

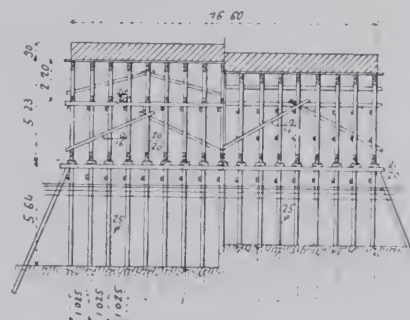
Projet et Entreprise : MM. B. Liebold et C^{ie}, d'Holzminden.

Architecture : M. Roth, Architecte à Dresde.

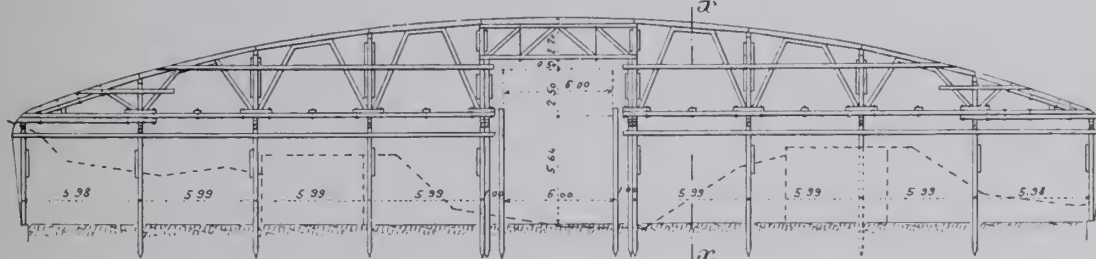
Direction des Travaux : M. Riemenschneider.

f_1 — Élévation — 2^{mm} f_2 — Demi-coupe en long — 3^{mm} f_3 — Demi-coupes en travers — 3^{mm}
à la clef aux retombées

Cintre

 f_4 — Demi-coupes en travers — 2^{mm}5
à la clef sur xx' de f_1 

Cintre

 f_5 — Élévation — 2^{mm}5

SOURCES :

S_1 — Dessins (S'_1), renseignements (S''_1) et photographies (S'''_1), gracieusement communiqués par M. B. Liebold, mars 1912.

S_2 — Dr Ingenieur F. von Emperger. — Handbuch für Eisenbetonbau. — Zweite neubearbeitete Auflage. Sechster Band. Brückenbau, p. 509 à 511 : « Strassenbrücke über die « Fulda in Kassel » ».

TITRE II

VOÛTES INARTICULÉES DE 40^m DE PORTÉE OU PLUS TOMBÉES PENDANT QU'ON LES CONSTRUISAIT

1. — PONT DE MARBRE, A PISE (ITALIE) (indiqué sous toutes réserves

Arc de 72^m 389 (?) tombé en 1644.

« ...le fameux (pont) de Pise, essayé par Alexandre Bartolotti d'un seul arc de 124 brasses (72^m 389)¹ de corde, ... étant encore sur le cintre et après une « dépense de 25.000 Ducats, tomba en 1644, comme Michelini l'avait prédit... »²

2. — PONT DE MANSART, SUR L'ALLIER, A MOULINS (ALLIER)

Emporté en 1710 (Arche centrale : 44^m 83)

Le pont d'Hardouin Mansart³, « Surintendant des Bâtiments du Roy », avait 3 arches en anse de panier⁴ : une centrale de 23 toises (44^m 828), 2 de rive de 17 toises 1 2 (34^m 108), 2 piles épaisses de 39 pieds (12^m 669).

1. — C'est la portée du Pont de Trezzo, \widehat{A} ¹ 1^{re} (~~38~~ 40^m)¹, Tome III, p. 19.

2. — « De la véritable courbe des arches du Pont de la Trinité à Florence ». Mémoire géométrique et historique de Pierre Ferroni². — (Inséré dans le Tome XIV de la Société italienne des Sciences, 1808). Malibran : « Mission d'Italie, en 1852 ». — (Bibliothèque de l'Ecole des Ponts et Chaussées, M. S., n° 464).

¹ Ferroni, de Florence (1744-1825), professeur de mathématiques à Pise (Grande Encyclopédie).

3. « ... Il (Mansart) fit un pont à Moulins, où il alla plusieurs fois. Il le crut un chef-d'œuvre de « solidité; il s'en vantoit avec complaisance. Quatre ou cinq mois après qu'il fut achevé, Charlus, père du « duc de Lévi, vint au lever du roi, arçirant de ses terres tout proche de Moulins, ... C'étoit un homme « d'esprit, peu content, et volontiers caustique. Mansart, qui s'y trouva, voulut se faire louer, lui parla « du pont, et tout de suite pria le roi de lui en demander des nouvelles. Charlus ne disoit mot. Le roi, « voyant qu'il n'entroit point dans la conversation, lui demanda des nouvelles du pont de Moulins. « — Sire, répondit froidement Charlus, je n'en ai point depuis qu'il est parti, mais je le crois bien à « Nantes présentement. — Comment ! dit le roi, de qui croyez-vous que je vous parle ? C'est du pont de « Moulins. — Oui, Sire, répliqua Charlus avec la même tranquillité, c'est le pont de Moulins qui s'est « détaché tout entier la veille que je suis parti, et tout d'un coup, et qui s'en est allé à eau-l'eau... »

(Saint-Simon, Paris, 1856-1857, L. Hachette, volume 4^e, p. 133).

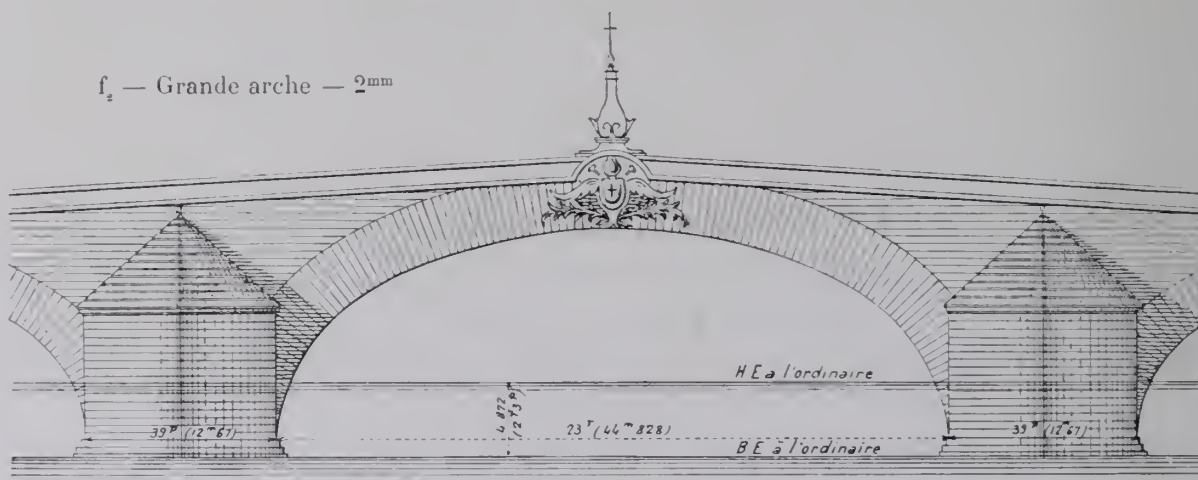
De Régemortes (renvoi 5) spécifie que le pont est tombé le 8 novembre 1710. La conversation rapportée par Saint-Simon est de quelques jours après.

Or, Mansart serait mort en 1708. (Grande Encyclopédie).

4. — D'après des dessins dont l'un, du 20 juillet 1709, est signé comme « vu » par « Mansart de Sagone ». (Bibliothèque de l'Ecole des Ponts et Chaussées, M. S., n° 1628.)

La date et la signature sont d'encre et d'écriture différentes : on a indiqué l'avancement des travaux sur un ancien dessin.

« La première pierre fut posée le 3 Septembre 1705; les Arches entièrement
 « fermées étaient encore sur leur cintre, sans que le dessus du Pont fut achevé;
 « lorsque le 8 Novembre 1710, une crue occasionna la chute de la plus grande
 « partie de cet ouvrage, construit avec un soin & une exactitude tant sur le choir
 « que sur l'emploi des matériaux, dont il n'y a peut-être point d'exemple. »⁵

f₁ — Ensemble — 0^{mm}75f₂ — Grande arche — 2^{mm}

La clef de l'arche centrale était décorée d'un cartouche; au-dessus, devait se dresser une pyramide comme plus tard à Blois (1716-1724).

Tout était fondé sur pilotis; les voûtes étaient construites sur cintre retroussé, du type adopté plus tard par Perronet.

En 1707, les massifs s'élevaient à 3 assises au-dessus des naissances.

Le 20 juillet 1709, les piles étaient montées à mi-hauteur du chaperon; comme plus tard à Blois, l'arrière-bec était en trapèze.

Le débouché total, de 58 toises (113^m 04), était tout à fait insuffisant: de là, les affouillements qui ont fait tomber le pont.

Le pont construit plus tard par de Régemortes (achevé en 1763) a 13 arches de 10 toises, soit un débouché de 130 toises (253^m 37).

5. — « Description du nouveau Pont de pierre construit sur la Rivière d'Allier à Montins, par M. de Régemortes, Premier Ingénieur des Turcies et Lices », M. DCC. LXXI, Paris. Imprimerie de Lottin, (Avant-propos, p. 1).

3. — PONT SUR LE PANARO, PRÈS DE MODÈNE (ITALIE)

Arche de 49^m 376, tombée en 1789

« Dans l'Italie entière, il n'y aurait pas eu un pont si extraordinaire et majestueux que celui que Bolognini... voulut de nos jours élever sur le Panaro, le composant d'un seul arc de 152 pieds de Paris de corde (49^m 376), 48 de flèche (15^m 592) et 8 d'épaisseur à la clef (2^m 599), sur la nouvelle route de Modène... mais... quoique moins grand... il eut le même sort sinistre... déjà arrivé à Bartolotti. »⁶.

Au sujet de cet ouvrage, M. l'Ingénieur en chef Zanotti a bien voulu consulter le Directeur des Archives de Modène, M. Giovanni, lequel lui a donné les renseignements que voici :

Une ordonnance du duc Hercule III, en date du 19 mars 1786, approuva la construction d'un pont à une arche sur le Panaro, de 152 pieds d'ouverture, 48 pieds de flèche, appelé Pont Saint-Ambroise, à construire sous la voie Émilienne, entre Modène et Bologne, à environ 6^k de Modène.

On commença les travaux le 24 avril 1788 ; mais, le 24 juin 1789, le cintre céda, entraînant la voûte.

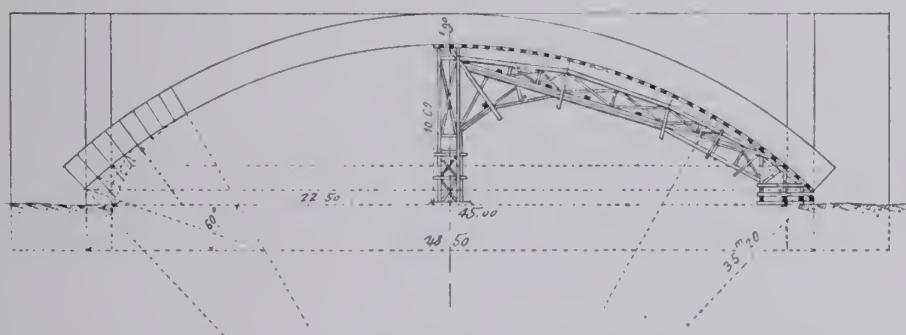
4. — PONT DE SAINT-GEORGES, SUR LE LIRI (ITALIE)

Route de Formia à Cassino

Voûte de 45^m tombée en 1873⁷

L'entrepreneur devait exécuter l'ouvrage en deux ans, pour 134.000 livres.

f₁ — Élévation et Cintre — 2^{mm}



En 1872, on construisit les culées ; en 1873, le cintre et la voûte. On allait la terminer⁸, lorsque, dans la nuit du 15 octobre, elle s'écroula avec son cintre.

6. — Source indiquée renvoi 2.

7. — « Sulle cause che produssero la ruina del Ponte in muratura sul Liri presso S. Giorgio. » Conferenza dell'Ingegnere Pasquale Sasso.
(Estratto dagli Atti del Collegio degli Ingegneri et Architetti in Napoli, Anno V, fasc. 6^a, Nov. e Dic. 1880), — Naples, 1880.

8. — « che, compiuta quasi, ruinò... »

Il paraît que l'exécution n'a pas été conforme au projet.

Le cintre était d'un mauvais type, en mauvais bois, et mal exécuté ¹⁰.

10. — Le même entrepreneur construisit, en 1878, un pont de 20^m sur le Vulturne : il s'écroula au decintrement. Il subsista, encastree dans une culée, une plaque de marbre portant son nom.

TITRE III

VOÛTES INARTICULÉES AUXQUELLES ON A ATTRIBUÉ A TORT 40^m DE PORTÉE OU PLUS

III. A. — PONTS QUI EXISTENT, MAIS QUI N'ONT PAS 40^m

1. — PONT SAINT-MARTIN, SUR LE TAGE, A TOLEDE

(ESPAGNE, - Nouvelle-Castille)

ϕ_1 — amont ¹



On lui a attribué une portée de 40^m25 ².

L'ouverture, difficile à mesurer directement, est réellement de 39^m75 ; la montée, de 20^m45 ³.

1. — Photographie gracieusement donnée en 1908 par M. Carlos Alfonso, Ingénieur en chef des Ponts et Chaussées, Directeur des Travaux Publics de la Province de Tolède.

2. — Croizette-Desnoyers : « Construction des Ponts », Tome 1, p. 43, Pl. IV, fig. 8.

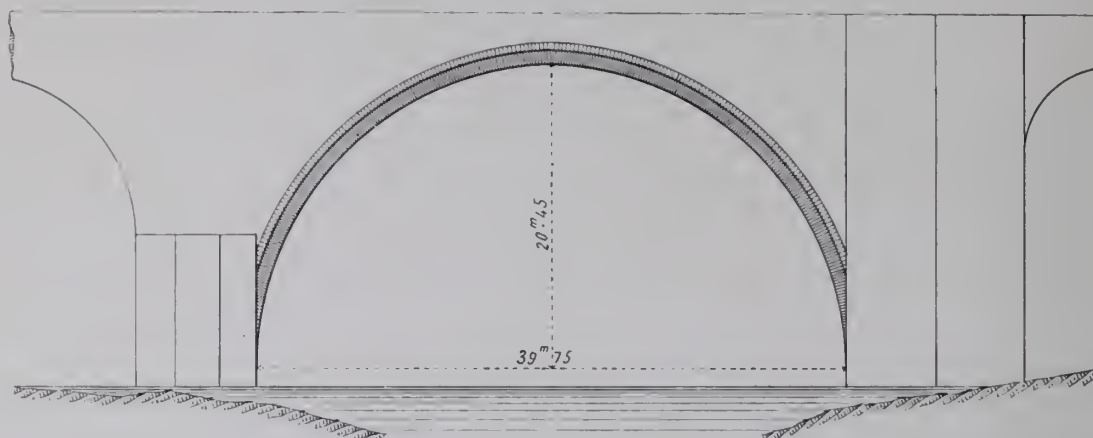
3. — Ces dimensions ont été gracieusement relevées, sur ma demande, en mai 1908, par les soins de M. l'Ingénieur en chef Carlos Alfonso.

C'est la plus grande voûte d'Espagne ⁴.

L'intrados est une ogive moussée, très peu surhaussée, presque un plein cintre.

Les têtes sont en deux rouleaux superposés, celui de dessus en saillie. Les bandeaux et la donelle sont en granit ⁵.

f₁ — Grande arche — amont — 2^{mm}



Voici quelques indications empruntées à l'histoire d'un Archevêque de Tolède ⁶:

Il y eut là un pont romain, emporté par une crue en 1211 ⁷ ou en 1203 ⁸.

4. — Voici les plus grandes voûtes d'Espagne : toutes sont antiques :

	Intrados	Portée	Montée	Siècle	
Pont St-Martin, à Tolède	Ogive surhaussée	39 ^m 75	20 ^m 45	XIV ^e	
Pont d'Orense, sur le Miño	id.	37 ^m 60	19 ^m 60	XIV ^e ?	Voir sa monographie, p. 311.
Pont de Martorell, sur le Llobregat	Ogive surbaissée	37 ^m 30	15 ^m 20	?	id. p. 314.
Pont d'Almaraz, sur le Tage (Province de Cacérès, Route de Madrid à Cacérès).	Plein cintre	38 ^m		XVI ^e ?	Indications qui m'ont été données, en 1885, par l'Ingénieur de Cacérès.
	Ogive	32 ^m 46		restauré en 1842-45	— Croizette-Desnoyers, Tome I, p. 59, Pl. VI, fig. 12.

5. — Renseignement pris, sur ma demande, par M. Renaudot, Ingénieur en chef des Ponts et Chaussées.

6. — S₁ - « *Historia de D. Pedro Tenorio, Arçobispo de Toledo* » por El. D. (Doctor ?) Eugenio Narbona, natural de la ciudad de Toledo, su Capellan, — Tolède M.DC.XXIII (Bibliothèque Nationale, Oo. 664).

7. — S₁ - p. 111 (verso) « *comme en témoignent les Annales de Tolède* ».

8. — S₁ - p. 114 (recto).

Inscription sur une plaque de marbre blanc posée sous Philippe II :

PONTEM CAIVS RVINAE INDECLIVII ALVEO PROXIME VISVNTVR. FLVMINIS INUNDATIONE QVAE ANNO DOMINI
MCC.LII SUPER IPSVM EXCREVIT DIRVTAM. TOLETANI IN HOC LOCO EDIFICAVERVNT. IN BEGIA (sic) HOMINAM
CONSILIA. QVEM IAM AMNIS LAEDERE NON POTERAT PETRO, ET HENRICO IRATRIBUS PRO REGNO CONTENDEN-
TIBVS, INTERRUPTAM PETRVS TESORIVS ARCHIEPISCOPVS TOLETAN. REPARANDAM CVRAVIT

Les Toledans en bâtirent un nouveau, un peu en amont, avec 2 tours et 2 portes. Plus tard, demeurés fidèles à Pierre I^{er} (le Cruel), ils furent assiégés par son frère Henri de Transtamare, et, pour se défendre, ruinèrent la grande arche ⁹ de leur pont (1368, 1369?).

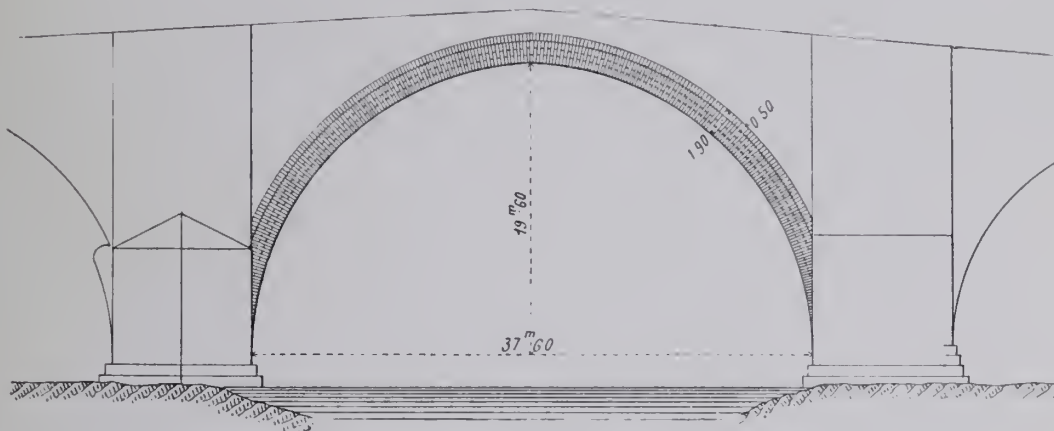
Don Pedro Tenorio, Archevêque de Tolède de 1376 à 1399, fit reconstruire la grande voûte, achever les tours ^{9, 10, 11}.

Philippe II y fit quelques réparations.

2. — PONT D'ORENSE SUR LE MIÑO (ESPAGNE, - Galice)

*Route de Villacastin à Vigo,
entre la ville d'Orense et le chemin de fer de Monforte à Vigo.*

f₁ — Grande arche - aval — 2^{mm}



Le pont d'Orense a 7 arches, dont 5 en ogive.

9. — S₁ - p. 112 (verso).

10. — S₁ - p. 113 (recto). — Eugène de Narbonne conte cette jolie anecdote :

Le Constructeur s'aperçut, la voûte presque clavée, qu'il s'était trompé dans ses projets, et qu'elle tomberait sûrement au décintrement; il confia ses angoisses à sa femme. Celle-ci, jalouse de la réputation de son mari, mit, une nuit, le feu aux bois du cintre; l'arche s'écroula, mais sa chute fut attribuée à l'incendie.

L'Archevêque répara, à ses frais, le dommage. La femme lui avoua ce qu'elle avait fait, et pourquoi: le Prélat goûta fort son action, et l'en récompensa.

11. — Sur le « Pont de l'Archevêque » s'élevaient deux hautes tours. (Los Reges nuevos de Toledo, Christoval Lozano, 1667. — Bibliothèque nationale, Ol. 387. Réserve, p. 267).

On ne les y voit plus.

A la voûte du milieu, on a attribué une ouverture de 44^m¹², 43^m⁴⁵¹³, 39^m¹⁴.

Elle a, réellement, 37^m⁶⁰ de portée et 19^m⁶⁰ de montée; elle est légèrement surhaussée, en ogive peu pointue, comme celle du pont Saint-Martin, à Tolède.

Φ₁ — Arches centrales, — aval¹⁵.



La base des piles de la grande voûte est à grand appareil, peut-être romain.

Toute l'élévation est du moyen-âge : par les rampes qui étaient de 91^{mm} et 66^{mm} avant la modification de 1880; — par ses ogives, dont quelques-unes ont un joint à la clef; — par le petit appareil de ses voûtes; — par ses becs pointus; — par ses deux rouleaux superposés de 1^m⁴⁰ et 0^m⁵⁰.

Aux reins de la voûte, on voit des trous carrés comme au pont de Céret¹⁶ : sans doute des trous de boulin pour appuyer le cintre.

Tout est en granit : il y a quelques mauvaises pierres.

Ces renseignements ont été, sur ma demande, gracieusement donnés par M. Juan B. Uriarte, Ingénieur des Ponts et Chaussées à Orense.

12. — Germond de Lavigne : « *Itinéraire de l'Espagne* », — Paris, 1866, p. 273. — M. Alfred Leger : « *Les travaux publics, les mines et la métallurgie au temps des Romains.* »

Dans la Statistique des Annales des Ponts et Chaussées d'octobre 1866, p. 542^{re}, n° 25, j'ai reproduit cette indication « *sous toutes réserves* ».

13. — M. L. Gaztelu, Marquis d'Echandia : « *Los grandes Arcos de Fábrica en los Puentes de España* », (Revista de Obras Públicas, 12 juin 1899).

14. — Croizette-Desnoyers, « *Construction des Ponts* », Tome I, p. 45.

15. — Photographie qu'a bien voulu remettre M. Juan B. Uriarte.

16. — C¹^{re} ($\geq 40^m$)^I — Tome I, p. 15.

3. — PONT DU DIABLE, SUR LE LLOBREGAT¹⁷, A MARTORELL¹⁸

(ESPAGNE, — Catalogne)



Voici les dimensions exactes de la voûte²⁰ :

Portée... 37^m30,

Montée... 15^m20.

C'est une ogive surbaissée, — forme rare et intéressante, — déformée en élévation et en plan. Une petite chapelle en charge utilement la pointe.

D'après l'appareil et le mode de construction, les culées, les bases des piles et l'arc de triomphe de la culée gauche, qui sont en grandes pierres de taille, sont romains. Les voûtes actuelles, en deux rouleaux superposés, et en petits matériaux, sont du Moyen-âge.

17. — et non sur la Noya comme le disent à tort Gauthey (*Construction des Ponts*, Tome I, p. 35), puis Croizette-Desnoyers (*Construction des Ponts*, Tome I, page 43).

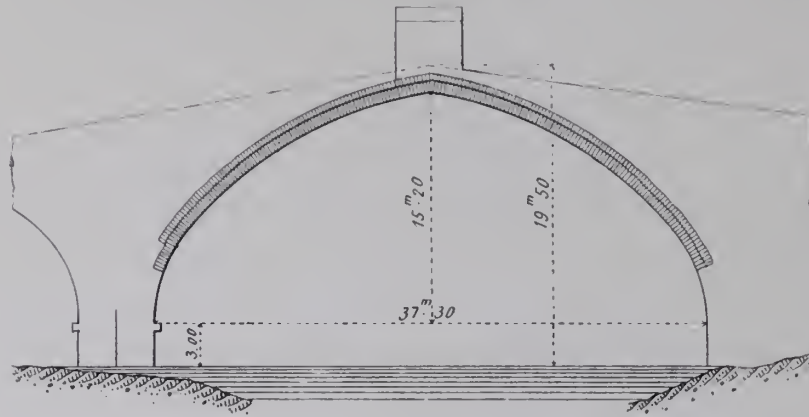
18. — Station du chemin de fer de Barcelone à Tarragone.

19. — Ce que j'ai vu — septembre 1907.

20. — gracieusement relevées sur ma demande, fin 1907, par M. Ortega, Ingénieur des Ponts et Chaussées à la Direction des Travaux Publics de la Province de Barcelone.

L'ouvrage a été restauré en 1768²¹.

f₁ — Grande arche, — aval — 2^{mm}



Une inscription de 1768, dans la chapelle de la clef, l'attribue à Annibal²¹.

La forme et l'appareil de l'ouvrage ne permettent pas de l'admettre ; l'Histoire non plus²².

21. — « Por los años de 535 de la fundación de Roma fué construido este admirable puente por el « grande Anibal Capitán Cartaginés, é hizo erigir el Arco Triunfal que aun existe á su salida, en honor « de su padre Amilcar. Despues de 1985 años de duración, se hallara esta Fábrica muy mal tratada y en « estado de arruinarse enteramente ; Pero á fin de conserar un Monumento de tan rara antigüedad lo « mandó restablecer en este año de 1768 la Magestad del Señor Don Carlos III Rey de España,... »

Texte qu'a bien voulu collationner, en 1913, M. l'Alcalde de Martorell.

22. — En effet, d'après l'inscription²¹, ce pont aurait été construit 1985—1768=217 ans avant J.-C. (L'inscription admet que la fondation de Rome est en l'an 535+217=752 avant J.-C. — Duruy (« Histoire des Romains », vol. 1, p. 7) adopte 754.

En 227, Asdrubal, gendre d'Amilcar, a conquis l'Espagne jusqu'à l'Ebre où les Romains l'arrêtent par un traité. En 221-220, Annibal, qui lui succéda dans le commandement des armées puniques, achève la soumission de l'Espagne jusqu'à l'Ebre.

En 219, il se jette sur Sagonte et l'emporte. Au printemps de 218, il part de Carthagène ; cinq mois après, il est à Turin (Duruy : « Histoire des Romains », volume I ; — Polybe : « Histoire generale », livres II et III).

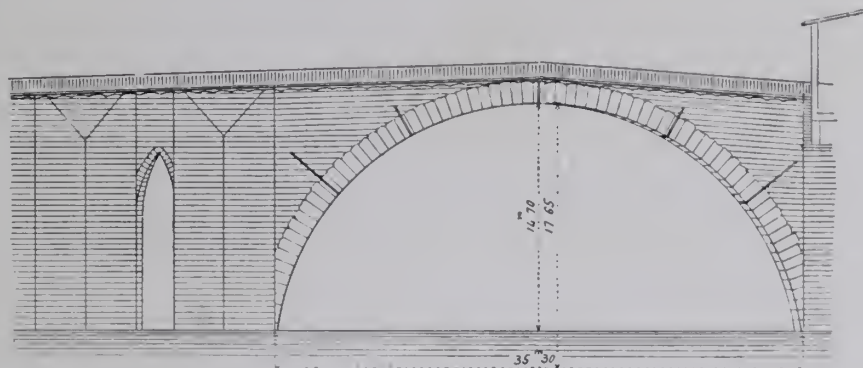
Ainsi, Annibal n'a pu traverser l'Ebre (lequel est encore à 40 lieues au sud de Martorell) avant 219, à cause du traité d'Asdrubal ; — ni en 219, à cause du siège de la grande ville de Sagonte qu'il n'emporte qu'après huit mois d'une résistance furieuse, ce qui ne lui a pas permis de distraire une partie de ses forces pour aller, en pays ennemi, où les Romains avaient déjà pris pied, à 80 lieues de Sagonte, faire construire un pont qui a demandé beaucoup plus d'une année et dont il n'avait que faire, puisque le Llobregat est presque partout guéable. En 218 seulement, il franchit l'Ebre, mais pour suivre à marches forcées la route d'Italie. Le pont qu'on lui attribue, étroit et à très fortes pentes, ne permettait pas le passage de sa cavalerie et, encore moins, de ses éléphants.

Après 218, il ne revint plus en Espagne, que fermaient aux armées puniques les victoires des Scipions.

4. — PONT DE VILLENEUVE D'AGEN, SUR LE LOT (LOT-ET-GARONNE)

Route Nationale n° 21 de Paris à Barèges

f₁ — Grande arche, - amont — 2^{mm}



Toni Fontenay le donne comme construit en 1732, avec une voûte en plein cintre de 40^m43²³.

La grande arche a exactement 35^m30²⁴.

Elle a été construite par Richelieu, en 1642-1643, à la place de deux arches du pont anglais de la fin du XIII^e siècle, emportées en 1636²⁵.

23. — Toni Fontenay, « *Construction de Viaducs, Ponts-aqueducs, Ponts et Ponceaux en maçonnerie* », Paris, 1852. — Statistique, p. 278, 279, n° 142.

24. — Renseignement gracieusement donné par M. Thérél, Ingénieur en chef des Ponts et Chaussées à Agen (Relevés faits en 1852).

25. — Fernand Cassany de Mazet : « *Histoire de Villeneuve-sur-Lot* », (Bibliothèque Nationale, L⁷, 10430—A).

III. B. — PONTS RUINÉS

1. — PONT SUR LA NÉRA, PRÈS DE NARNI¹ (ITALIE, - Ombrie)

Il a été construit par Auguste sur la voie Flaminienne.

Gauthey décrit un viaduc sur la Néra, près de Terni, à 17 arches de 40^m en plein cintre, sur piles hautes de 34^m².

C'était un pont à 4 arches de 20^m50³, 34^m75, 15^m75, 15^m75, ouvertures mesurées sur les dessins de M. Choisy⁴.

Les deux naissances de la grande arche sont à des niveaux différents.

« L'arche rampante de Narni demeure une des plus remarquables conceptions de l'architecture antique⁴ ».

C'a été peut-être la plus grande voûte romaine⁵.

L'ouvrage a péri parce qu'il était mal fondé⁴.

2. — PONT DE TRAJAN, SUR LE DANUBE⁶ (HONGRIE)

D'après Perronet, « le pont construit à Worhel, sur le Danube, en Hongrie, par Trajan, d'après les dessins d'Apollodore de Damas, était composé de 20 arches; chacune de 170 pieds d'ouverture en plein cintre (55^m22)⁷... »

Ces assertions sont empruntées en partie à Dion Cassius (Epit., lib. LXVIII-13).

1. — à environ 100* à l'Est de Rome, sur la route d'Ancône.

2. — « Construction des Ponts », - Tome I, p. 20, Pl. IV, fig. 68, — Paris 1809.

3. — Arche restaurée. — La route d'Ancône passe dessous.

4. — « L'Art de bâtir chez les Romains », p. 139, 140, Pl. XXI, Paris 1873.

La Pl. XXI est reproduite dans la « Construction des Ponts » de Croizette-Desnoyers, Tome I, p. 12, et dans les « Ponts en maçonnerie » de MM. Degrand et Résal, Tome II, p. 38.

5. — Viendraient ensuite les deux pleins cintres de 28^m et 30^m du pont d'Alcantara sur le Tage, province de Cacérès, - construit par Trajan en 98. (Croizette-Desnoyers, « Construction des Ponts », Tome I, p. 16).

6. — à 21* en aval d'Orsova. Rapport de M. Lalanne, Inspecteur Général des Ponts et Chaussées, Président de la Commission technique pour la construction d'un pont sur le Bas Danube, 30 décembre 1879. (Annales des Ponts et Chaussées 1880, 2^e sem. p. 267 à 296.

7. — « Mémoire sur les moyens de construire de grandes arches de pierre de 200, 300, 400 et jusqu'à 500 pieds d'ouverture », - Art. 105 », — Paris, 1793.

D'après la même source, Gauthey en a établi un dessin. Il spécifie : « les pierres qui servirent à construire ce pont étaient énormes »⁸.

Or, d'après un bas-relief de la Colonne Trajane donnant une vue, d'ailleurs, « toute conventionnelle »⁹, et d'après une médaille de la Bibliothèque Nationale¹⁰, le pont était en charpente, à 3 cours d'ares^{11, 12}.

Il avait 21 travées de près de 36^m⁶.

3. — PONT DE JUSTINIEN, SUR LE FLEUVE SANGARIS (ASIE-MINEURE)

Perronet cite : « L'arche de 200 pieds (61^m97) d'ouverture en plein cintre construite par Justinien sur le fleuve Sangaris dans l'Asie-Mineure¹³... »

Or, le pont de Justinien, près d'Ada-Bazar, est composé de huit arches de 23^m au plus, et il n'y a pas en Asie-Mineure d'autre arche antique de grande portée¹⁴.

Ce pont n'est d'ailleurs pas sur le Sakaria (ancien Sangaris), mais sur un affluent, le Tchark-Son.

Il existe, en un point du Sakaria, en amont du confluent avec le Tchark-Son, sur chaque rive, des vestiges d'ancienne maçonnerie. Le Sakaria, très encaissé en ce point, y a de 60 à 70^m de largeur ; mais il n'existe aucune trace de route ayant jamais pu y aboutir¹⁵, et il n'est pas vraisemblable que ces ruines soient d'anciennes culées¹⁶.

8. — Gauthey, « Construction des Ponts », Tome I, p. 20, Pl. IV, fig. 69.

9. — M. Choisy : « Art de bâtir chez les Romains », p. 161, 162.

10. — Reproduites par Duruy : « Histoire des Romains », Tome IV, p. 753.

11. — Voir aussi « La Colonne Trajane d'après le surmoulage exécuté à Rome en 1861 et 1862 » par W. Froehner, Conservateur du Louvre, — Paris, Rothschild, 1871.

12. — M. Choisy en a essayé une restitution. — « Histoire de l'Architecture », Paris, Gauthier-Villars, 1899, Tome I, p. 533.

13. — « Mémoire sur la recherche des moyens de construire de grandes arches de pierre de 200, 300, 400 et jusqu'à 500 pieds d'ouverture », Art. 106, — Paris, 1793.

14. — Renseignements qu'avait bien voulu me fournir M. Galland, Ingénieur en chef des Ponts et Chaussées, Directeur au Ministère des Travaux Publics à Constantinople.

On trouve un croquis et une description assez complète du pont de Justinien dans l'ouvrage de Charles Texier sur l'Asie-Mineure.

15. — Renseignements fournis par l'Ingénieur résidant à Ada-Bazar, communiqués par M. Sellie, Ingénieur de la Compagnie des Eaux de Constantinople.

16. — Renseignements qu'a bien voulu prendre récemment au Ministère des Travaux Publics de Turquie, M. Louis Godard, Ingénieur en chef des Ponts et Chaussées.

III. C. — PONTS QUI N'ONT JAMAIS EXISTÉ ¹

1. — PONT DE MARBRE, SUR L'ARNO, A FLORENCE (ITALIE)

Gauthey en donne un dessin ², et le décrit ainsi :

« Ce pont, bâti par Michel-Ange, est composé d'une seule arche en arc de
« cercle, de 42^m23 d'ouverture et de 9^m1 de flèche... La route n'a que 1^m62
« d'épaisseur à la clef, et la corniche a été taillée dans les roussoirs, après l'affais-
« sement de l'arche. Le parapet du pont est formé par des balustres ; cet ouvrage
« est d'une telle délicatesse, qu'à une grande distance, l'épaisseur à la clef disparaît
« à la vue... »

Ce pont n'existe pas.

1. — On a cité, comme en maçonnerie, le Pont de Vauxhall, sur la Tamise, à Londres ; il est en acier.

2. — « Construction des Ponts », Paris, 1809, Tome 1, p. 23, Pl. 1, fig. 17.

LIVRE II

CE QUE L'EXPÉRIENCE
ENSEIGNE DE SPÉCIAL
AUX
VOÛTES INARTICULÉES

TITRE I

COMMENT ON TRACE UNE VOÛTE

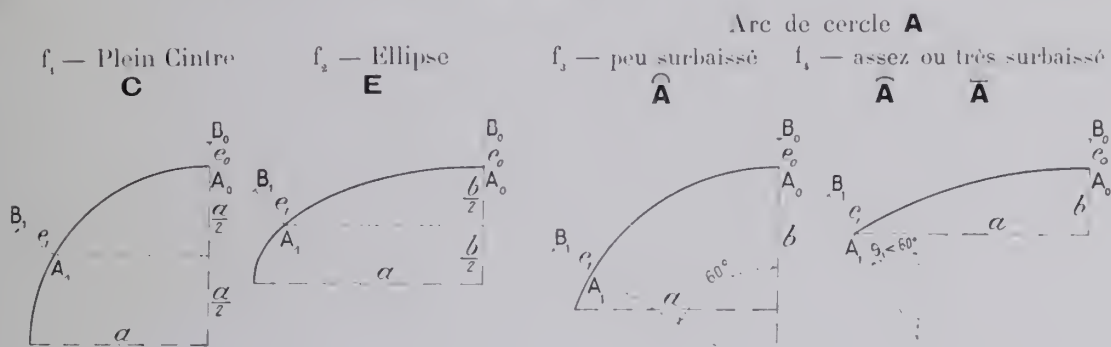
CHAPITRE I

PREMIÈRES INDICATIONS

L'intrados adopté, on a, par des formules empiriques, — c'est-à-dire par comparaison avec les voûtes faites, — d'après sa forme, sa portée, sa montée, l'épaisseur à la clef e_0 , l'épaisseur e_1 en un autre point.

Cet autre point est :

- le milieu de la montée pour les pleins cintres et les ellipses (f_1, f_2) ;
- à 60° de la clef, pour les arcs peu surbaissés \widehat{A} (f_3) ;
- la naissance, pour les autres $\widehat{A}, \overline{A}$ (f_4).



Ces deux points B_0, B_1 de l'extrados, on les réunit par une courbe qui sera presque toujours un arc de cercle.

On a ainsi, tout de suite, une voûte qui tient.

Cela suffit pour les voûtes courantes.

Mais les grandes, les très surbaissées, celles qu'on veut faire minces, sont tracées d'après leurs charges, leurs surcharges, et même, les variations de température, le vent, le freinage,... de façon à encadrer au mieux les courbes de pression.

Pour l'intrados, on ne s'en tient plus aux courbes usuelles : plein cintre, ellipse, arc de cercle ; on les déforme, on les cambre.

Peu importe que l'équation de la courbe soit simple ou compliquée ; avec un tableau d'abscisses et d'ordonnées, elle s'exécute très facilement.

Dans une voûte mieux tracée, on utilise mieux les matériaux ; on réduit l'épaisseur et, avec elle, le poids et la poussée des voûtes, c'est-à-dire les piles et les culées.

CHAPITRE II

COURBES D'INTRADOS

§ 1. — PLEIN CINTRE **C**

Le plein cintre est la courbe la plus simple, la plus facile à tracer, à calculer, à exécuter ; la plus connue des entrepreneurs, des charpentiers, des appareilleurs ; celle de la plupart des voûtes romaines (ponts, aqueducs, portes de ville, arcs de triomphe, amphithéâtres,...)¹, des berceaux romans, des arcades de la Renaissance, de presque tous nos ouvrages courants, nos viaducs,...

§ 2. — COURBES ELLIPTIQUES SURBAISSÉES **E**

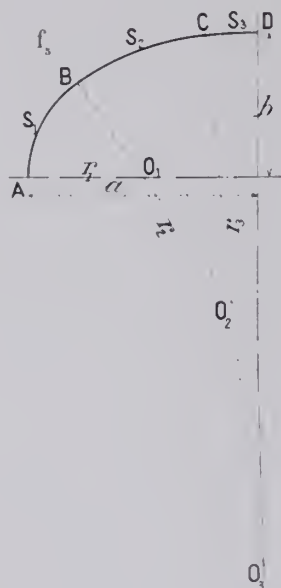
Art. 1. — Anse de panier.

A. — Définition. — Une anse ABCD (f_s) est faite d'une suite d'arcs de cercle S_1, S_2, \dots tangents entre eux, décrits avec des rayons r_1, r_2, \dots croissant des naissances à la clef.

Elle est à 3, 5, ... $(2n-1)$ centres.

On prend les rayons des naissances et de clef assez grands pour envelopper l'ellipse de mêmes sommets².

Pour les courbes peu surbaissées, $\frac{1}{2,5}, \frac{1}{3}$, on s'est souvent contenté de 3 centres. Au 1/4, les deux rayons seraient trop différents, les changements de courbure choquants : on augmente le nombre de centres : il y en a 11 au pont de Neuilly.



B. — Tracés d'anses de panier.

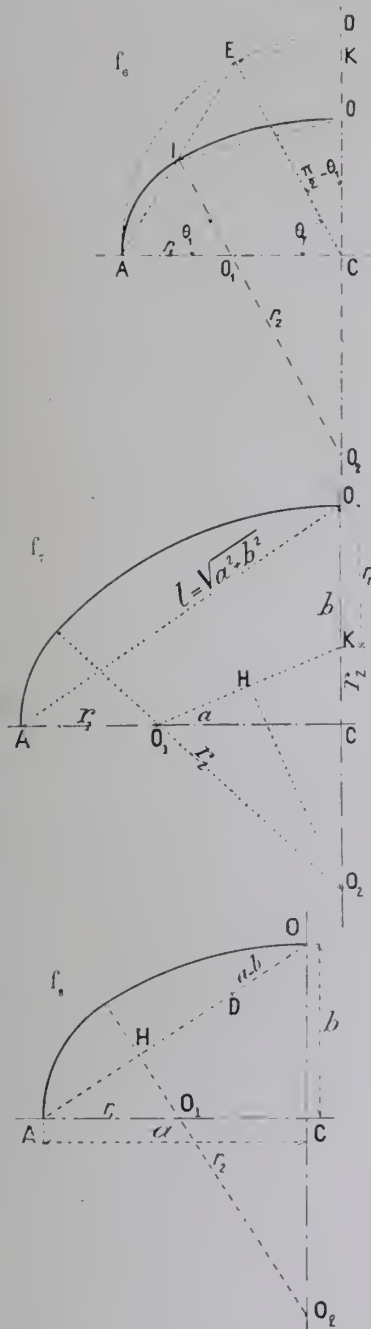
B₁. — à 3 centres. — Bien qu'en pratique on leur doive préférer l'ellipse, j'indique quelques tracés d'anses de panier pour le cas où on en aurait à réparer ou à refaire.

1° — On se donne le 1^{er} angle θ_1 (f_e). — Décrire le 1/4 de circonférence AD. — Tirer les cordes DE, EA. — Mener OI parallèle à DE, puis IO₂ parallèle à CE.

O₁, O₂ sont les centres cherchés.

1. — Les Romains l'ont peut être appris des Étrusques (Choisy : « Histoire de l'Architecture », I, p. 247, 513, 539, 587.

2. — Dans le cas de 3 centres, on vérifie facilement que pour avoir $r_2 > \frac{a^2}{b}$, il faut avoir pris $r_1 > \frac{b}{a} - \frac{a-b}{2}$.



Si $\theta_1 = 60^\circ$, c'est l'ovale de Huyghens.

Si θ_1 est tel que $EK = \frac{1}{2} CK$ (c'est-à-dire $\theta_1 = 63^\circ 26'$), c'est l'ovale « antique »³.

L'ovale antique enveloppe l'anse de Huyghens; toutes deux enveloppent l'ellipse de mêmes sommets : aux reins, elles sont plus rondes.

2^o — On se donne le premier rayon r_1 (f_1). — Prendre $OK = r_1$. Joindre O_1K . Élever au milieu H une perpendiculaire à O_1K ; elle donne r_2 ⁴.

Dans le triangle O_1O_2C , on a :

$$(r_2 - r_1)^2 = (a - r_1)^2 + (r_2 - b)^2$$

D'où :

$$r_2 = \frac{l^2 - 2ar_1}{2(b - r_1)} \quad \frac{r_2}{r_1} = \frac{l^2 - 2ar_1}{2r_1(b - r_1)}$$

Ce rapport est minimum pour : $r_1 = \frac{l}{2} [l - (a - b)]$

On a alors :

$$r_2 = \frac{al}{l - (a - b)}$$

Voici, pour avoir r_1, r_2 , le tracé indiqué par Bossut⁵ (f_8) : il a été fort appliqué.

Sur la corde $OA = l$, prendre $OD = a - b$.

Alors $AD = l - (a - b)$.

Sur le milieu H de AD , lui élever une perpendiculaire : elle donne les deux centres O_1, O_2 ⁵.

3. — Morandière, p. 173, Pl. 34, fig. 3.

On aurait ainsi courbé des ressorts d'une machine de guerre (Notice et extraits des Manuscrits de la Bibliothèque nationale..., publiés par l'Institut National de France... (Tome 26^e, Paris, Imprimerie nationale, MDCCCLXXVII, 2^e Partie : « La Chirobaliste d'Héron d'Alexandrie », par Victor Prou, Ingénieur civil, p. 154, 155 et 156).

$$4. \quad O_2K = O_2O_1 = r_2 - r_1 = \frac{(a - r_1)^2 + (b - r_1)^2}{2(b - r_1)} \quad (\text{triangles semblables } O_2HK, O_1KC)$$

$$\text{Le minimum de } r_2 - r_1 \text{ est pour } r_1 = b - \frac{1}{\sqrt{2}} (a - b)$$

L'anse ainsi tracée est désagréable.

$$5. \quad \text{Pour le minimum de } \frac{r_2}{r_1}, \text{ il faut en effet : } r_1 = \frac{OA \times AD}{2AC}$$

Or, c'est ce que donnent les triangles semblables AHO_1, AOC .

Cours de Mathématiques, 3^e Partie : « Traité élémentaire de géométrie et de la manière d'appliquer l'algèbre à la géométrie », par M. l'abbé Bossut, de l'Académie Royale des Sciences... Paris, Claude Antoine Jombert, Fils Aîné, M.DCC.LXXVII. Page 491 : « De la meilleure figure des roues cintrées en « anse de panier à trois centres. »

B_2 — à plus de 3 centres. — Pour $2n-1$ centres, n rayons, Michal a généralisé⁶ la méthode de Huyghens.

Ses anses ont les angles aux centres égaux, soit pour $2n-1$ centres :

$$\theta = \frac{180^\circ}{2n-1}.$$

Les données sont a , b , $2n-1$, d'où θ .

Sur les n rayons, $n-2$ sont arbitraires : Michal les a calculés pour que l'anse de panier se rapprochât le plus possible de l'ellipse de mêmes axes^{7, 8}.

Voici ses tables :

Surbaissement $\sigma = \frac{b}{2a}$	Anse de panier à :					
	5 centres 3 rayons	7 centres 4 rayons		9 centres 5 rayons		
	$\frac{r_1}{a}$	$\frac{r_1}{a}$	$\frac{r_2}{a}$	$\frac{r_1}{a}$	$\frac{r_2}{a}$	$\frac{r_3}{a}$
0,20	Angle aux centres : $\frac{180^\circ}{5} = 36^\circ$	Angle aux centres : $\frac{180^\circ}{7} = 25^\circ 42' 51''$		0,166	0,228	0,443
0,21				0,185	0,251	0,474
0,22				0,203	0,276	0,504
0,23				0,222	0,296	0,535
0,24				0,240	0,318	0,556
0,25	0,396	0,265	0,419	0,259	0,344	0,597
0,26		0,289	0,445	Angle aux centres : $\frac{180^\circ}{9} = 20^\circ$		
0,27		0,312	0,472			
0,28		0,336	0,498			
0,29		0,359	0,525			
0,30		0,383	0,551			
0,31		0,406	0,578			
0,32		0,431	0,604			
0,33		0,455	0,630			
0,34						
0,35						
0,36						

Emploi des tables de Michal. — Tracer une anse à 7 centres, pour $a = 15^m$, $b = 7^m50$ ($\sigma = 0,25$) (f_9).

$$\frac{r_1}{a} = 0,265, \quad \text{d'où } r_1 = 3^m990.$$

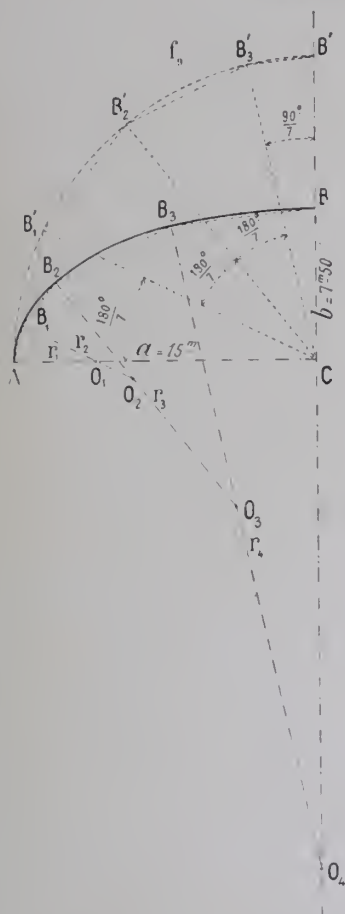
$$\frac{r_2}{a} = 0,419, \quad \text{d'où } r_2 = 6^m30.$$

6. — Annales des Ponts et Chaussées, 1831, 2^e semestre, Tome II, p. 49 : « Notice sur les courbes en anse de panier employées dans la construction des ponts. »

7. — « Dans cette intention nous adopterons pour longueur de chacun de ces rayons le rayon de courbure qui, dans l'ellipse correspondante à l'anse de panier à tracer, partageait en deux parties égales chacun des arcs de l'anse de panier. » (Id., p. 52 et 53).

8. — Lerouge (Annales des Ponts et Chaussées, 1839, 2^e semestre, Tome II, p. 335) a cherché, lui aussi, à construire des anses très voisines de l'ellipse ; ses rayons croissent en progression arithmétique ; il trouve un nombre excessif de centres (déjà 15, pour $\sigma=0,31$).

Les méthodes Michal et Lerouge ont été résumées dans leur Cours de Ponts : par Morandière p. 172 à 178 (Paris, Dunod, 1874) ; par Croizette-Desnoyers, Tome I, p. 395 à 401 (Paris, Dunod, 1885).



Avec r_1 , on place O_1 sur AC ; on décrit l'arc AB_1 de $25^\circ 42' 51''$.

$O_1 B_1$ est parallèle à $C B'_1$.

Avec r_2 , on place O_2 sur B_1O_1 ; on décrit l'arc B_1B_2 de $25^{\circ}42'51''$.

$O_1 B_2$ est parallèle à $C B'_2$, et $B_1 B_2$ à $B'_1 B'_2$.

Puis, comme pour l'anse à 3 centres, on tire B_2B_3 parallèle à $B'_2B'_3$, BB_4 parallèle à $B'B'_4$.

On mène par B_3 une parallèle à $B'_3 C$; elle donne O_3, O_4 .

C. - Emploi. — On a fait autrefois grand usage de l'anse de panier⁹, parce que l'on considérait comme fort avantageux de tracer l'intrados avec le compas.

Or, on ne trace au compas que le dessin sur le papier. C'est par abscisses et ordonnées que, sauf pour les tout petits ouvrages, on trace l'intrados en vraie grandeur.

Les anses de panier ont, presque toujours, des jarrets ou une brisure aux changements de rayons.

On n'en fait presque plus.

Art. 2. — Ellipse. — Ce n'est guère qu'au XIX^e siècle¹⁰, qu'on

9. — On a dit que les voûtes du pont de Toulouse (1543-1632 ?) sont les premières de France en anse de panier.

Au XVIII^e siècle, on a fort employé les anse, très souvent à 3 centres : Ponts de Vizille, Lavaur, Gignac (Tome I, p. 93, 97, 103) ; Ponts de Blois (1716-1724), d'Orléans (1750-1760), de Moulins (1756-1764), de Saumur (1756-1770)...

Dans la 2^e moitié du XVIII^e, Perronet a tracé avec 11 centres les arches des Ponts de Mantes (1757-1765), de Nogent (1766-1769), de Neuilly (1766-1774). Celles de Tours (1764-1777) ont aussi 11 centres. Sauf Neuilly, surbaissé au 1/4, les autres ne le sont qu'au 1/3, ou très peu plus.

On trouve encore quelques anses de panier dans la 2^e moitié du XIX^e siècle, et même après. On a décrit, Tome I : les ponts Annibal (1868-1870) (p. 112) et du Diable (1871-1872) (p. 116), 5 centes ; le pont de Signac (1871-1872), 19(1) centes (p. 131) ; le pont de l'Avenue Edmondson à Baltimore(1908-1909), 3 centes (p. 122), le pont de l'Empereur François à Prague (1898-1901), 7 centes. (p. 168).

10. — Dupuit croit que c'est par ignorance que les anciens constructeurs préféraient l'anse de panier (« *Equilibre des routes* », Paris Dunod, 1870, p. 214).

Mais, bien avant le XIX^e siècle, on connaissait « l'ovale du jardinier » ; on savait la tracer à l'aide d'un cordeau attaché à ses deux foyers.

Belloud l'indique pour tracer un intrados (« *Architecture hydraulique* », - 2^e Partie, Tome II, Livre IV, Chapitre XI, p. 443 ; Paris M.DCC.LXXXV).

J'ai décrit, Tome I, les ponts anglais en ellipse de Gloucester (1826-1827) p. 107, de Londres (1824-1831) p. 147.

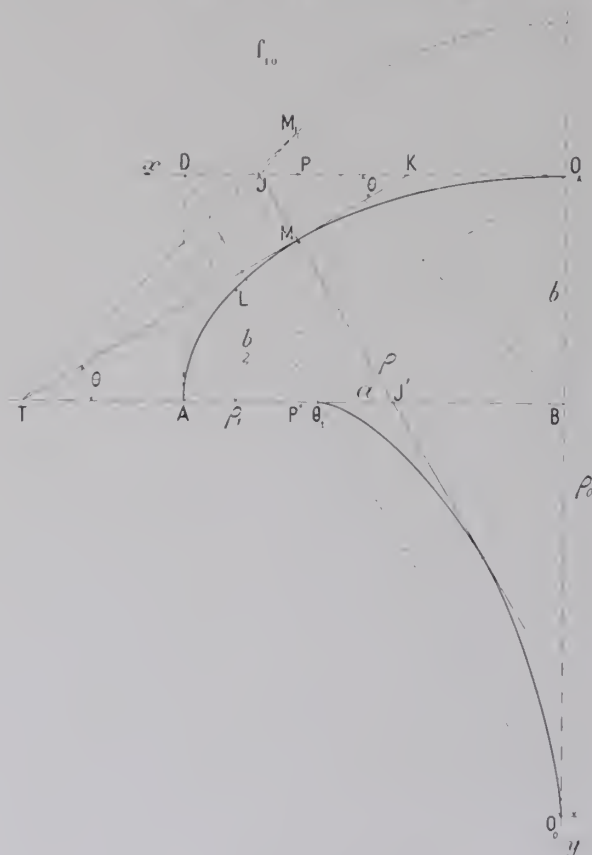
Le pont de Waterloo à Londres (1816-1818) était encore en anse de panier.

En France, ce n'est que dans la 2^e moitié du XIX^e qu'on commence à employer couramment l'ellipse.

A Paris : Pont de l'Alma (1854-1855) (Tome I, p. 153) ; Pont au Change (1859-1860) ; Pont Louis-Philippe (1860-1862) ; Pont de Bercy (1863-1864).

Sous chemin de fer : Ponts de Chalonnnes et de Nantes (1863-1866).

Les premiers grands ponts de chemin de fer (Ponts de Cinq-Mars, 1846-1847, de Port-de-Piles, 1846-1848; — les ponts de Morandière: Montlouis, 1843-1845, Plessis-lez-Tours, 1855-1857) étaient encore en anse de panier.



s'est enfin avisé qu'au lieu de construire, assez péniblement, des anses de panier se rapprochant de l'ellipse, il était bien plus simple de calculer les ordonnées d'une ellipse ¹¹.

On a :

Equation (f_{10}) :

$$y = b \left(1 - \sqrt{1 - \frac{x^2}{a^2}} \right)$$

$$\left. \begin{array}{l} \text{Tangente} \end{array} \right\} \begin{array}{l} \text{Inclinaison} \\ \text{de la tangente} \\ \text{sur } ox, \\ \text{ou de la normale} \\ \text{sur } oy. \end{array} \left\{ \begin{array}{l} \text{Tang } \theta = \frac{b}{a^2} \frac{x}{\sqrt{1 - \frac{x^2}{a^2}}} = \frac{b^2}{a^2} \frac{x}{b - y} \\ \text{Sous-tangente PK : } S_t = \frac{a^2 y}{b^2 x} (b - y). \end{array} \right.$$

On a de suite la tangente en menant TM_1 tangente en M_1 , dont M est la projection, et tirant TM .

$$\left. \begin{array}{l} \text{Normale} \end{array} \right\} \begin{array}{l} \text{Sous-normale} \end{array} \left\{ \begin{array}{l} \text{PJ} = \frac{b^2}{a^2} \frac{xy}{b - y} \\ \text{P'J'} = \frac{b^2}{a^2} x. \text{ — Elle est proportionnelle à l'abscisse.} \end{array} \right.$$

On construit, ou on calcule ainsi très facilement les normales.

$$\left. \begin{array}{l} \text{Milieu de la montée} \\ y' = \frac{b}{2} \end{array} \right\} \begin{array}{l} \text{Abcisse : } x' = \frac{a\sqrt{3}}{2} \\ \text{Tang } \theta' = \frac{b}{a} \sqrt{3} = 2\sigma\sqrt{3} \\ \text{Sous-normale} = \frac{b^2\sqrt{3}}{2a} = 2a\sigma^2\sqrt{3} \end{array}$$

Point pour lequel la normale est à 60° sur la verticale :

$$x = \frac{a^2\sqrt{3}}{\sqrt{3a^2 + b^2}} \quad y = b \left[1 - \frac{b}{\sqrt{3a^2 + b^2}} \right]$$

11. — Au Tome V, APPENDICE, on trouvera, dans un extrait des tables de Legendre, le développement des arcs OA et OL .

$$\begin{aligned}
 & \text{en M : } \rho = \frac{a^2}{b} \left(1 - \left(1 - \frac{b^2}{a^2} \right) \frac{x^2}{a^2} \right)^{\frac{3}{2}} \\
 & \text{en O : } \rho_0 = \frac{a^2}{b} \quad \left\{ \begin{array}{l} \text{Traçons le rectangle O D A B, sa diagonale O A :} \\ \text{sur la perpendiculaire à O A menée par D sont} \\ \text{les centres de courbure } O_1 \text{ (} O_1 A = z_1 \text{) et } O_2 \\ \text{(} O_2 O = z_2 \text{).} \end{array} \right. \\
 & \text{en A : } \rho_1 = \frac{b^2}{a} \\
 & \text{en L (milieu de la montée) : } \rho_l = \frac{(a^2 + 3b^2)^{\frac{3}{2}}}{8ab}
 \end{aligned}$$

L'enveloppe des normales à l'intrados (sa développée) rapportée à BA, BO est :

$$(aX)^{\frac{2}{3}} + (bY)^{\frac{2}{3}} = (a^2 - b^2)^{\frac{2}{3}}$$

Elle peut servir à tracer rapidement sur le papier les joints des bandeaux.

L'ellipse est très gracieuse, surbaissée à plus de 1 3,5, à moins de 1 5.

Le rayon de courbure au sommet, $\rho_0 = \frac{a^2}{2\sigma}$, augmente vite avec le surbaissement : une ellipse de 40^m au 1 6 a le cerveau d'un plein cintre de 120^m.

Perronet lui a reproché, — à tort, — d'avoir un trop petit rayon de courbure aux naissances $\frac{b^2}{a}$, et d'être difficile à exécuter¹².

Art. 3. — Courbe parallèle à une ellipse. — Soit (f_{11}) une ellipse E (a, b).

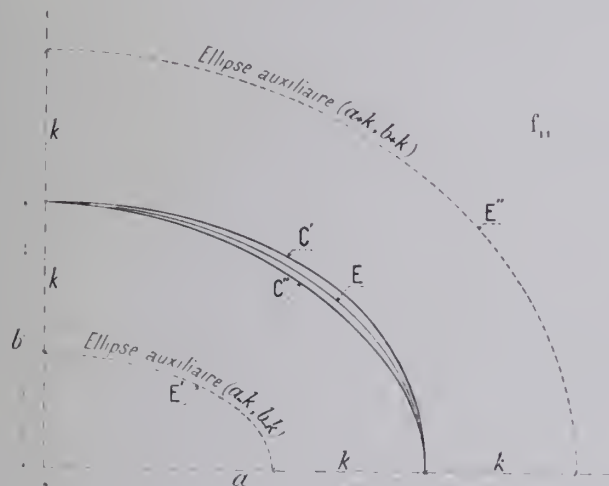
Considérons deux ellipses auxiliaires E' ($a-k, b-k$), E'' ($a+k, b+k$) et traçons, à une distance k , la courbe C' parallèle extérieure à E', la courbe C'' parallèle intérieure à E''¹³.

E, C', C'' ont les mêmes sommets.

C'' est intérieure à E ; C', extérieure.

Leurs rayons de courbure sont :
pour C', ceux de E' augmentés de k ;

pour C'', ceux de E'' diminués de k :



donc :	à la clef	aux naissances	
pour C'	$\frac{(a-k)^2}{b-k} + k$	$\frac{(b-k)^2}{a-k} + k$	plus grands que ceux de E.
pour C''	$\frac{(a+k)^2}{b+k} - k$	$\frac{(b+k)^2}{a+k} - k$	plus petits que ceux de E.

12. — « chaque petite portion de l'ellipse étant d'une courbure différente, son exécution était trop difficile et assujettissante pour les Ouvriers ; et les parties de la route elliptique les plus proches des naissances ne s'élevant pas assez à proportion de la clef, opposoient encore trop d'obstacle au cours de l'eau dans le temps des crues..... » (Perronet : « Description des projets et de la construction des Ponts de Neuilly, de Mantes..... » Tome I, p. 55, Paris, Imprimerie Royale, M.DCCLXXXII).

Perronet, à Neuilly, n'a pourtant pas craint les traces compliquées.

13. — Une ellipse et toutes ses parallèles ont même développée : on les peut tracer en déroulant un fil enroulé sur cette développée.

On construit facilement $C'C''$ en ajoutant ou retranchant k aux normales aux ellipses E' , E'' : il est assez laborieux de les calculer¹¹.

On ne se sert pas assez de ces courbes : elles sont agréables ; — le rayon de courbure y croît continuellement à partir de la clef ; — elles n'ont pas de faux sommets.

Art. 4. — Ellipse déformée, en ajoutant à ses ordonnées, ou en en retranchant, la différence x entre celles d'un arc et d'une ellipse auxiliaires.

A. - en ajoutant x (Courbes intérieures à l'ellipse). — Dans la monographie du pont des Amidonniers, j'ai indiqué (Tome I, p. 194) comment on peut tracer graphiquement et calculer un intrados de mêmes sommets qu'une ellipse a, b , mais intérieur à elle, en ajoutant à l'ordonnée PM d'un arc de cercle de portée $2a$, de flèche $b - p$, l'ordonnée KN d'une ellipse a, p (f_{13}).

14. — Equation de C' , extérieure à l'ellipse E .

Soient (f_{12}) : $M(x, y)$ un point de l'ellipse auxiliaire E' ($a - k, b - k$).

$$\frac{x^2}{(a-k)^2} + \frac{y^2}{(b-k)^2} = 1$$

$M_1(X, Y)$ le point correspondant de la courbe C' parallèle extérieure à E' à la distance k . On a

en fonction de x, y de l'ellipse $a - k, b - k$:

$$\begin{cases} X = x + k \cos \alpha \\ Y = y + k \sin \alpha \end{cases} \quad \text{tang } \alpha = \frac{(a-k)^2 y}{(b-k)^2 x}$$

$$(I) \quad \begin{cases} X = x + k \frac{(b-k)^2 x}{\sqrt{(b-k)^4 x^2 + (a-k)^4 y^2}} \\ Y = y + k \frac{(a-k)^2 y}{\sqrt{(b-k)^4 x^2 + (a-k)^4 y^2}} \end{cases}$$

en fonction de φ :

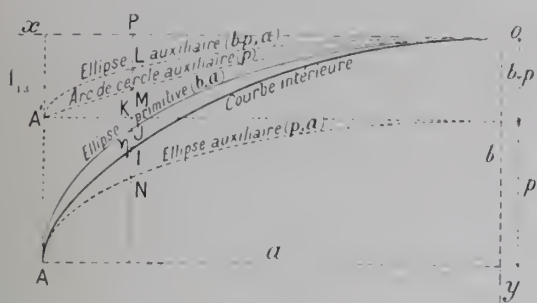
$$\begin{cases} x = (a-k) \cos \varphi \\ y = (b-k) \sin \varphi \end{cases}$$

$$(II) \quad \begin{cases} X = (a-k) \cos \varphi + k \frac{(b-k) \cos \varphi}{\sqrt{(b-k)^2 \cos^2 \varphi + (a-k)^2 \sin^2 \varphi}} \\ Y = (b-k) \sin \varphi + k \frac{(a-k) \sin \varphi}{\sqrt{(b-k)^2 \cos^2 \varphi + (a-k)^2 \sin^2 \varphi}} \end{cases}$$

en fonction de $\text{tang } \frac{\varphi}{2} = t$:

$$(III) \quad \begin{cases} X = (a-k) \frac{1-t^2}{1+t^2} + k \frac{(b-k)(1-t^2)}{\sqrt{(b-k)^2(1-t^2)^2 + 1+t^2}(a-k)^2} \\ Y = (b-k) \frac{2t}{1+t^2} + k \frac{(a-k)2t}{\sqrt{(b-k)^2(1-t^2)^2 + 1+t^2}(a-k)^2} \end{cases}$$

On passe de C' à C'' en changeant le signe de k .



$$PI = PM + KN = R \left[1 - \sqrt{1 - \frac{x^2}{R^2}} \right] + p \left[1 - \sqrt{1 - \frac{x^2}{a^2}} \right]$$

$$\text{avec } R = \frac{a^2 + (b-p)^2}{2(b-p)}$$

L'ordonnée PJ de l'ellipse à déformer OJA augmente de : $IJ = \eta = PI - PJ =$

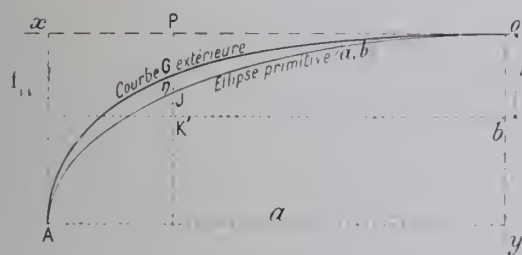
$$= R \left[1 - \sqrt{1 - \frac{x^2}{R^2}} \right] - (b-p) \left[1 - \sqrt{1 - \frac{x^2}{a^2}} \right]$$

C'est la différence LM des ordonnées de l'arc OMA' et d'une 2^e ellipse auxiliaire OLA' ($a, b-p$).

En faisant varier p , on peut avoir le rayon de courbure à la naissance de la courbe résultante $\rho_1 = \frac{p^2}{a}$ aussi petit, par conséquent la courbe aussi pointue que l'on veut.

On obtient ainsi toutes les courbes intermédiaires intérieures à l'ellipse, depuis l'ellipse a, b pour $p = b$, jusqu'à l'arc de cercle pour $p = 0$.

B.-en retranchant η (Courbes extérieures à l'ellipse). — Au lieu d'ajouter à PJ la différence $\eta = JI = LM$ (f_{13}), retranchons-la.



On a (f_{14}) : $PG = PJ - \eta = Y'$

$$= (2b-p) \left[1 - \sqrt{1 - \frac{x^2}{a^2}} \right] - R \left[1 - \sqrt{1 - \frac{x^2}{R^2}} \right]$$

Posons (comme Tome I, page 194, renvoi 3) :

$$\beta = \sqrt{1 - \frac{x^2}{a^2}} \quad \gamma = \sqrt{1 - \frac{x^2}{R^2}}$$

on trouve :

$$\text{Tang } \theta \left(\begin{array}{l} \text{inclinaison sur } OX \\ \text{de la tang en G} \end{array} \right) = x \left[\frac{2b-p}{a^2 \beta} - \frac{1}{R \gamma} \right]$$

$$\rho \text{ (rayon de courbure en G)} = \frac{\left[\beta^2 \gamma^2 + x^2 \left(\frac{2b-p}{a^2} \gamma - \frac{\beta}{R} \right)^2 \right]^{\frac{3}{2}}}{\frac{2b-p}{a^2} \gamma^3 - \frac{1}{R} \beta^3}$$

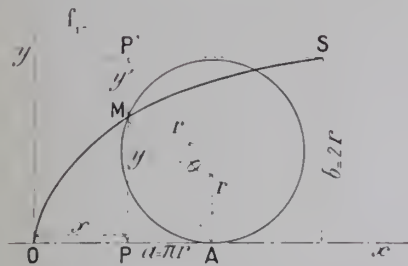
	A la clef $x=0 \quad \beta=1 \quad \gamma=1$	Aux naissances $x=a \quad \beta=0$
Tang θ	0	∞
Rayon de courbure	$a^2 \frac{a^2 + (b-p)^2}{p a^2 + (2b-p)(b-p)^2}$	$\frac{(2b-p)^2}{a}$ c'est celui de l'ellipse $(a, 2b-p)$.

Art. 5. — Projection de chaînette. — On l'a déjà vue aux ponts Boucicaut¹⁶ et d'Orléans¹⁷. On dira plus loin¹⁸ que c'est la courbe d'équilibre d'une voûte infiniment mince, ayant pour ligne de charge une horizontale.

15. — et non $\frac{p^2}{R}$, erreur typographique de la page 194 du Tome I, déjà signalée à l'Errata du Tome I.

16. — Tome III, p. 243. 17. — Tome III, p. 255. 18. — Tome III, Livre II, Titre III, Chap. II, § 2, art. 4.

Art. 7. — Cycloïde ^{23, 24} (f_{17}). Projection de cycloïde. — La cycloïde est surbaissée à $\frac{1}{\pi}$: la portée impose la montée.



$$x = r(\theta - \sin \theta) \quad y = r(1 - \cos \theta)$$

$$\frac{dy}{dx} = \cotang \frac{\theta}{2}$$

MA est normale en M.

L'enveloppe des normales est la même cycloïde, abaissée de $2r$, puis déplacée de πr .

$$\rho \text{ (en M)} = 4r \sin \frac{\theta}{2} = 2MA \quad \text{arc SM} = 2\sqrt{2ry'}$$

Elle est à peine verticale aux naissances ($\varphi_0 = 0$) : l'aspect est médiocre ²⁴.

x et y de la cycloïde en fonction de θ (f_{17})

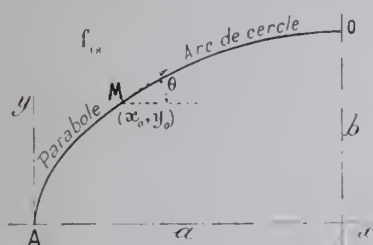
θ en degrés	en longueur d'arc de circonférence de rayon 1	$\sin \theta$	$\cos \theta$	$\frac{x}{r} = \theta - \sin \theta$	$\frac{y}{r} = 1 - \cos \theta$
0°	0	0	1	0	0
15°	0,26180	0,25882	0,96593	0,00298	0,03407
30°	0,52360	0,5	0,86603	0,02360	0,13397
45°	0,78540	0,70711	0,70711	0,07829	0,29289
60°	1,04720	0,86603	0,5	0,18117	0,5
75°	1,30900	0,96593	0,25882	0,34307	0,74118
90°	1,57080	1	0	0,57080	1
105°	1,83260	0,96593	0,25882	0,86607	1,25882
120°	2,09440	0,86603	0,5	1,22837	1,5
135°	2,35619	0,70711	0,70711	1,64908	1,70711
150°	2,61799	0,5	0,86603	2,11799	1,86603
165°	2,87979	0,25882	0,96593	2,62097	1,96593
180°	3,14159	0	1	3,14159	2

Multiplions ses ordonnées par $\frac{k}{r}$: $x = r(\theta - \sin \theta) \quad y = k(1 - \cos \theta)$

Le surbaissement est $\frac{k}{\pi r}$: par k , on en dispose.

Art. 8. — Courbes elliptiques composées de deux courbes.

A. — Arc de cercle au cerveau, parabole aux reins (f_{18}). — L'arc de cercle



du cerveau est continué aux reins par une parabole du 3^e degré osculatrice ^{25, 26} : $y^2 = Ax + Bx^2 + Cx^3$

On écrit : qu'elle passe par le point M ; qu'en M, elle a même tangente et même rayon de courbure que le cercle.

Si l'on veut une condition de plus, on ajoute un terme Dx^4 .

Φ_1 — Intrados en cycloïde



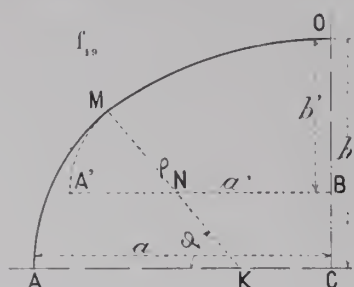
23. — Petit pont en Etrurie sur le torrent Arzana (Ferroni, loc. cit., renvoi 21).

24. — Passage supérieur de Corabeuf (Φ_1) (Ligne d'Épinac à Dijon, 1901-03) ; projet et construction faciles.

25. — Pont de Valence, Tome I, p. 176. — J'avais proposé cette disposition en 1883 pour le pont de St-Waast sur l'Agout (Ligne de Montauban à Castres, arche de 65^m), projet qui n'a pas été approuvé.

26. — Au pont de la Croix sur le Doubs (Ligne de Frasne à Vallorbe) on a pris la parabole : $(y - mx)^2 - qx = 0$ simplement tangente en M (f_{18}) à l'arc du cerveau : elle y a à peu près même rayon de courbure.

B. — Arc d'ellipse au cerveau, arc de cercle aux reins (f_{19}). — Au pont de Mauzac sur la Dordogne ²⁷, on a prolongé l'ellipse du cerveau O M par un arc de cercle M A osculateur en M, ayant son centre K sur la ligne des naissances.



Ce n'est pas à imiter.

Le cercle osculateur, traversant la courbe, donne un jarret au point de tangence.

L'aspect est inférieur à celui de l'ellipse, dont la courbure diminue continuellement de la clef aux retombées, le débouché, très peu augmenté.

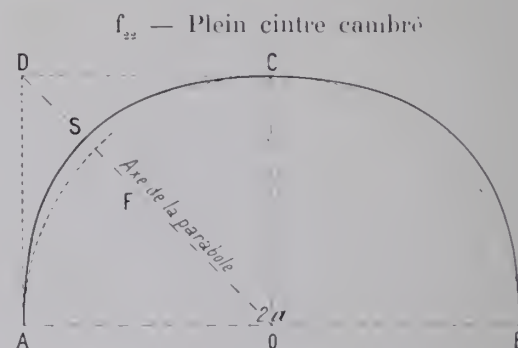
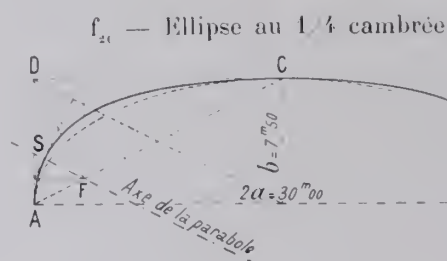
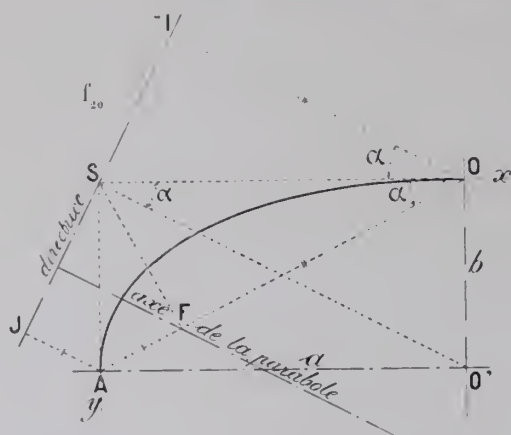
C. — Deux paraboles tangentes à l'ellipse a, b , au sommet et aux naissances (f_{20}).

L'équation :

$$\left(\frac{y}{b} - \frac{x}{a}\right)^2 - 2\left(\frac{y}{b} + \frac{x}{a}\right) + 1 = 0$$

représente une parabole rapportée à Sx et Sy , tangente en O à Sx , en A à Sy ^{28, 29}.

Les deux paraboles symétriques, tangentes en O, font une courbe elliptique qui enveloppe l'ellipse a, b , (f_{21}) le cercle a (f_{22}).



27. — Ligne de Bergerac au Buisson (1876-1877).

O M arc d'ellipse d'axes a', b' .

M A arc de cercle de rayon $z = MK$, rayon de courbure en M de l'ellipse a', b' .

Pour les 5 inconnues x, y, z, a', b' , on a les 5 équations :

$$\begin{aligned} a'^2 y^2 + b'^2 x^2 &= a'^2 b'^2 & \rho &= \frac{[a'^2 - (a'^2 - b'^2) x^2]^{\frac{3}{2}}}{a'^2 b'} & \text{Tang } \varphi &= \frac{a'^2 y}{b'^2 x} \\ \rho \sin \varphi + b' - y &= b' & \rho &= z \cos \varphi + x & &= a' \end{aligned}$$

28. — C'est la parabole que l'on obtient en divisant en m parties SO, SA , et joignant.

29. — La droite SO' (de coefficient angulaire $\frac{b}{a}$) est parallèle à l'axe.

La directrice passe par S (angle droit circonscrit), est perpendiculaire à SO' .

Elle est polaire du foyer F. Donc F est sur O A.

J'abaisse SF, perpendiculaire sur O A. — SOI, SOF sont égaux (SO commun, — angles égaux).

Donc $OI = OF$. F est le foyer.

§ 3. — COURBES ELLIPTIQUES SURHAUSSÉES $E_h^{30, 31}$

On a construit en anse de panier surhaussée : au XVIII^e siècle, le pont de Ronda (Andalousie) ; en 1846-51, les viaducs sur le Gœltzsch et sur l'Elster (Ligne de Leipzig à Hof)³² ; tout récemment le pont de Wiesen³³.

C'est la courbe des souterrains à une voie.

Comme pour les voûtes surbaissées, on doit à l'anse de panier préférer l'ellipse, qui est à courbure continue, qui n'a pas de jarrets, et qui, tout compte fait, est d'emploi plus facile.



§ 4. — ARCS SURBAISSÉS **A**

Art. 1. — Arc de cercle. — C'est une courbe très simple, très facile à tracer, à exécuter ; très naturelle, — même plus que le plein cintre, — entre deux berges.

C'est celle de très anciens ponts³⁴.

On a (f_{21}) :

$$b = 2 a \sigma \quad \text{tangr } \frac{\theta_1}{2} = \frac{b}{a} = 2 \sigma$$

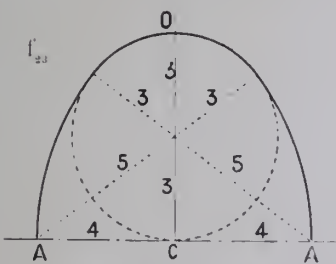
$$R = \frac{a^2 + b^2}{2 b} = \frac{a}{\sin \theta_1} = a \frac{1 + 4 \sigma^2}{4 \sigma}$$

$$\text{Pour un point M : } y = R \left(1 - \sqrt{1 - \frac{x^2}{R^2}} \right)$$

$$x = R \sin \theta$$

$$y = R (1 - \cos \theta) = 2 R \sin^2 \frac{\theta}{2}$$

Au Tome V, APPENDICE, on trouvera des tables numériques.



30. — Les ovales surhaussés sont fort anciens. Ont été tracés d'après le triangle égyptien (triangle rectangle 3, 4, 5 ($\sigma = \frac{6}{8} = 0,75$)) (f_{23}) : les berceaux du Ramesséum en Égypte ; plus tard, de Firouz-Abad en Perse (Choisy : « *Histoire de l'Architecture* », Tome I, p. 53 et 123).

31. — Le berceau de l'église de Tournus est en anse de panier surhaussée. (id., Tome II, p. 149).

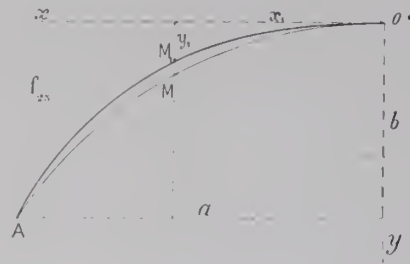
32. — Annales des Ponts et Chaussées, 1853, 1^{er} semestre, p. 241 : Notes recueillies en 1851, pendant sa mission en Allemagne, par M. de Villiers, Ingénieur des Ponts et Chaussées.

Les arches centrales sont en anse de panier surhaussée à 3 centres (id., p. 253).

	Hauteur au-dessus du lit.	Arche centrale (Étage supérieur)		
		Portée et rayon aux naissances.	Montée	Rayon du cerceau
Viaduc sur le Gœltzsch.....	80°34	30°87	20°39	14°15
Viaduc sur l'Elster.....	69°68	30°59	19°50	14°40

33. — Tome I, p. 235.

34. — Sont en arc peu surbaissé : le pont Fabricius, à Rome (An 63 avant J.-C.) (Raynaud : « *Traité d'Architecture, — Edifices* », p. 492, Pl. 69) ; les ponts de Nyons, de Tournon (XIV^e siècle) (Tome II, p. 25, p. 35) ; d'Avignon (XIV^e), de la Guillotière (XIV^e), de Pont-Saint-Esprit (XIV^e) (Tome II, p. 25, renvois 3, 4, 5).



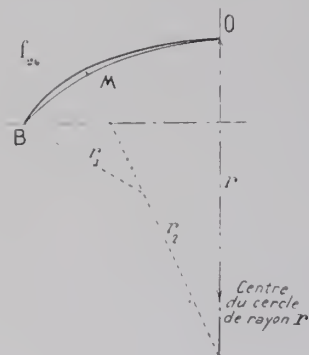
Art. 2. — Arc d'ellipse. — Proposons-nous de cambrer l'arc de cercle OMA (f_{25}) suivant un arc d'ellipse OMA passant par un point $M_1 (x_1, y_1)$, choisi d'ordinaire vers les 70-100 de la 1-2 portée à partir de la clef.

Pour que l'arc d'ellipse :

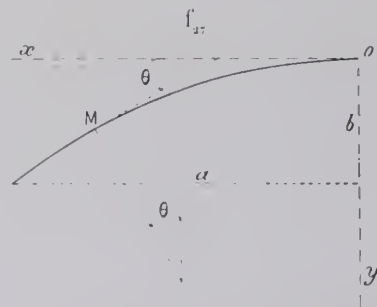
$$y = b' \left(1 - \sqrt{1 - \frac{x^2}{a'^2}} \right)$$

passé par les points M_1 et A, il faut :

$$a' = \frac{b^2 x_1^2 - y_1^2 a^2}{2 \sqrt{y_1 b (b - y_1) (b x_1^2 - y_1 a^2)}} \quad b' = \frac{b^2 x_1^2 - y_1^2 a^2}{2 (b x_1^2 - y_1 a^2)}$$



Art. 3. — Arc d'anse de panier. — On a cambré en anse de panier des arcs OMB (f_{26})³⁵.



Art. 4. — Arc de la courbe

$$y = b' \left(1 - \sqrt[n]{1 - \frac{x^2}{a'^2}} \right).$$

Elle a 3 paramètres a' b' n ³⁷.

La courbe doit passer par les naissances a , b . On dispose de deux conditions : par exemple

35. — En prenant, au Pont Boucicaut, Tome III, p. 243, $x_1 = 70-100$ de la 1-2 portée et l' y_1 de la projection de chaînette adoptée, on trouve : $a' = 24^m 219$ $b' = 11^m 44$.

L'écart maximum entre les deux courbes est $\pm 31^m$.

Le rayon de courbure à la clef est : pour l'ellipse, $51^m 27$; pour l'intrados adopté, $53^m 90$; pour l'arc de cercle, $42^m 50$.

36. — Ponts allemands, en arcs très surbaissés, \bar{A} r^e ($\approx 40^e$), Tome III :

	r_c Clef	r_1 Naissances		r_c Clef	r_1 Naissances
Ziegenhals.....	60 ^m	25 ^m 676	Mehring.....	60 ^m	31 ^m 95
Michelau.....	50 ^m	26 ^m 637	Schweich.....	60 ^m	31 ^m 95
Schwusen.....	60 ^m	40 ^m	Trittenheim.....	56 ^m	33 ^m 55
Krappitz.....	64 ^m 1	41 ^m 90			

$$37. — \text{Tang } \theta = \frac{2 b'}{n a'^2} \cdot \frac{x}{\left(1 - \frac{x^2}{a'^2} \right)^{1 - \frac{1}{n}}}$$

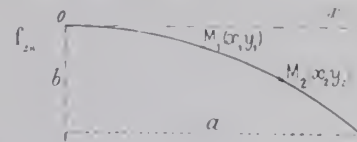
$$\left(\text{Rayon de courbure en M} \right) = \frac{n a'^2}{2 b'} \cdot \frac{\left[\left(1 - \frac{x^2}{a'^2} \right)^2 - \frac{2}{n} + \frac{4 b'^2 x^2}{n^2 a'^4} \right]^{\frac{3}{2}}}{\left(1 - \frac{x^2}{a'^2} \right)^{\frac{1}{n}} \left[1 - \frac{x^2}{a'^2} - \frac{n-2}{n} \right]}$$

$$r_0 \text{ (au sommet O)} = \frac{n a'^2}{2 b'}.$$

deux points, ou un point et le rayon de courbure au sommet ³⁸.

Art. 5. — Parabole $y = Ax^2 + Bx^4 + Cx^6 + \dots$

Si on prend 3 termes, on trouve :



Conditions :	3 points $(a, b, x_1, y_1, x_2, y_2) (f_{2n})$	2 points (a, b, x_1, y_1) et Rayon de courbure au sommet $\rho_0 = \frac{1}{2A}$
A	$\frac{a^2 x_1^2 x_2^2 \left\{ \frac{b}{a^4} (x_2^2 - x_1^2) + \frac{y_1}{x_1^4} (a^2 - x_2^2) + \frac{y_2}{x_2^4} (x_1^2 - a^2) \right\}}{(a^2 - x_1^2) (x_1^2 - x_2^2) (x_2^2 - a^2)}$	$\frac{1}{2 \rho_0}$
B	$\frac{\frac{b}{a^2} (x_2^4 - x_1^4) + \frac{y_1}{x_1^2} (a^4 - x_2^4) + \frac{y_2}{x_2^2} (x_1^4 - a^4)}{(a^2 - x_1^2) (x_1^2 - x_2^2) (x_2^2 - a^2)}$	$\frac{a^6 y_1 - x_1^6 b}{a^4 x_1^4 (a^2 - x_1^2)} - \frac{a^2 + x_1^2}{2 \rho_0 a^2 x_1^2}$
C	$\frac{\frac{b}{a^2} (x_2^4 - x_1^4) + \frac{y_1}{x_1^2} (a^4 - x_2^4) + \frac{y_2}{x_2^2} (x_1^4 - a^4)}{(a^2 - x_1^2) (x_1^2 - x_2^2) (x_2^2 - a^2)}$	$\frac{b x_1^4 - y_1 a^4}{a^4 x_1^4 (a^2 - x_1^2)} + \frac{1}{2 \rho_0 a^2 x_1^2}$

Si on ne prend que deux termes, on trouve :

Conditions :	2 points (a, b, x_1, y_1)	1 point (a, b) , et ρ_0
A	$\frac{a^2 \frac{y_1}{x_1^2} - \frac{x_1^2 b}{a^2}}{a^2 - x_1^2}$	$\frac{\frac{b}{a^2} - \frac{y_1}{x_1^2}}{a^2 - x_1^2}$
B	$\frac{1}{2 \rho_0}$	$\frac{1}{a^2} \left(\frac{b}{a^2} - \frac{1}{2 \rho_0} \right)$

Art. 6. — Courbe pour remplacer pratiquement une projection de chaînette. $y = \frac{b(n^2 - a^2)}{a^2} \cdot \frac{x^2}{n^2 - x^2}$. — Les intrados des ponts Boucicaut³⁹, d'Orléans⁴⁰, d'Avignon⁴¹, sont en projection de chaînette, d'équation assez peu maniable : celle-ci, beaucoup plus simple, en est fort rapprochée⁴².

38. — Au pont de Luxembourg, on a écarté l'ellipse $y = 34,907 [1 - \sqrt{1 - 0,00055 x^2}]$ et adopté : $y = 141,2981 [1 - \sqrt{1 - 0,0004 x^2}]$ (Tome II, p. 68).

Les rayons de courbure sont :

à la clef $\rho_0 = 53^m08$; aux retombées $\rho_1 = 42^m19$ (Tome II, p. 60).

La courbe enveloppe un arc de cercle de 48^m10 de rayon.

39. — Tome III, p. 243.

40. — Id., p. 255.

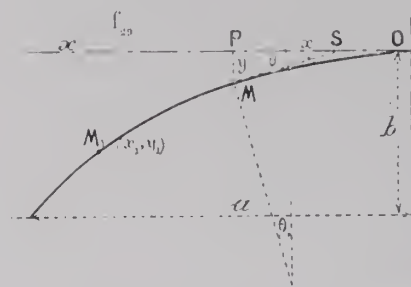
41. — Id., p. 270.

42.

	a	b	n^2	$m = \frac{b(n^2 - a^2)}{a^2}$	Ecart maximum en o ^o 001 par rapport à la courbe adoptée.
Pont Boucicaut (Tome III, p. 243)	20 ^m	5 ^m	1661,09	15,77161	11 ^o
Pont d'Orléans (Id., p. 255)	21 ^m 925	5 ^m 79	2918,998	29,440556	31 ^o

On trouve (f_{29}) :

$$\text{Tang } \theta = \frac{2 n^2 b (n^2 - a^2)}{a^2} \cdot \frac{x}{(n^2 - x^2)^2} \quad \text{Sous tang } P S = \frac{y}{\text{tang } \theta} = \frac{x (n^2 - x^2)}{2 n^2}$$



$$\rho \text{ (rayon de courbure en M)} = \frac{\left[(n^2 - x^2)^4 + \frac{4 n^4 b^2 (n^2 - a^2)^2}{a^4} x^2 \right]^{\frac{3}{2}}}{\frac{2 n^2 b (n^2 - a^2)}{a^2} (n^2 + 3 x^2) (n^2 - x^2)^3}$$

$$\text{Pour } x = 0 \quad \rho_0 \text{ (rayon de courbure au sommet O)} = \frac{n^2 a^2}{2 b (n^2 - a^2)}$$

$$\text{Pour } x = a \quad \rho_1 \text{ (rayon de courbure à la naissance A)} = \frac{\left[(n^2 - a^2)^2 a^2 + 4 n^4 b^2 \right]^{\frac{3}{2}}}{2 n^2 a b (n^2 - a^2) (n^2 - 3 a^2)}$$

Pour définir n^2 , on peut se donner :

soit ρ_0 ; alors :

$$n^2 = \frac{2 \rho_0 b a^2}{2 \rho_0 b - a^2}$$

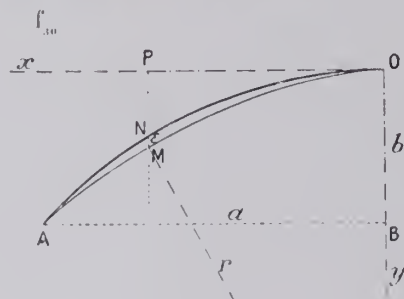
$$y = \frac{b x^2}{2 \rho_0 b \left(1 - \frac{x^2}{a^2} \right) + x^2}$$

soit un point $M_1 (x_1, y_1)$; alors :

$$n^2 = \frac{a^2 x_1^2 (b - y_1)}{b x_1^2 - a^2 y_1}$$

y , tang θ , ρ sont ∞ pour $x = n$. On s'assurera qu'entre O et A, il n'y a pas de faux sommet.

Art. 7. — Arc de cercle cambré en retranchant quelque chose de chaque ordonnée. — Soit (f_{30}) un arc :



$$y = M P = r \left(1 - \sqrt{1 - \frac{x^2}{r^2}} \right)$$

Retranchons la quantité :

$$M N = \varepsilon = k x^m (a - x)^{n-1}, \quad n > 1.$$

Pour $x = \frac{m a}{m + n}$, ε a son maximum, qui est :

$$\text{MAX } \varepsilon = k \frac{m^m n^n a^{m+n}}{(m+n)^{m+n}}.$$

43. — On a fait ainsi au pont de Saint-Loup sur l'Allier (Ligne de la Ferté-Hauterive à Gannat) (7 arcs de 33" à 1 7,5), $\varepsilon = k x^4 (a - x)^2$.

Pour l'intrados, $k = \frac{330}{10^9}$; ε atteint 0,15 aux 2/3 de la 1^{re} portée à partir de la clef.

Pour l'extrados, $k = \frac{247}{10^9}$.

44. — L'équation de la courbe cambrée est :

$$Y = r \left(1 - \sqrt{1 - \frac{x^2}{r^2}} \right) - k x^m (a - x)^n.$$

$$\frac{dY}{dx} = \frac{x}{\sqrt{r^2 - x^2}} - k x^{m-1} (a - x)^{n-1} (m + n) \left[\frac{m a}{m + n} - x \right].$$

On vérifie que :

la courbe déformée et l'arc de cercle ont même tangente et même rayon de courbure pour : $x = 0$ si $m > 2$, $x = a$ si $n > 2$;

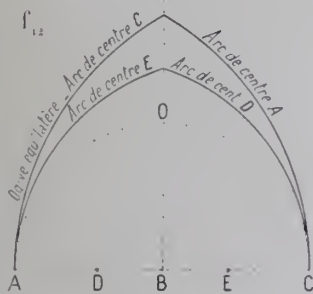
des tangentes parallèles au point où l'écart est maximum, c'est-à-dire pour $x = \frac{ma}{m+n}$

A partir de la clef, le rayon de courbure diminue, puis augmente jusqu'à x , aux naissances.

Il y a un faux sommet, mais très peu apparent.

§ 5. — OGIVES¹⁵ ○

Art. 1. — Ogive surhaussée. — C'est l'ogive des cathédrales¹⁶.



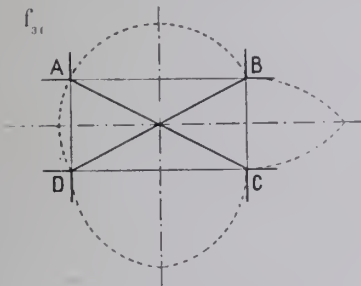
Sur la ligne des naissances AC (f_{32}), prenons, à égale distance du milieu B, deux points D, E, comme centres des arcs de rayon DC, EA. Plus D et E seront loin de B, plus l'ogive sera haute et pointue. S'ils se confondent avec les naissances A et C, l'ogive est équilatère^{47, 48}.

Art. 2. — Ogive surbaissée. — J'ai cité (Tome III, p. 313) le pont de Martorell sur le Llobregat :

$$2a = 37^m30; \quad b = 15^m30; \quad \sigma = 0,56$$

15. — Sont déjà en ogive, par assises horizontales empilées en surplomb : le Dôme d'Abydos (Égypte) (Choisy : *Histoire de l'Architecture*, Tome I, p. 19, 20); le « Trésor d'Atre » à Mycènes (Id., p. 231 ; — Raynaud : *« Art de bâtir »*, p. 356, Pl. 44).

L'ogive remonte, en Syrie, à l'antiquité romaine (Choisy, Tome II, p. 29). Elle paraît avoir été importée de Syrie vers la fin du XI^e siècle par les pèlerins et les Croisés (Id., p. 512).



46. — Soit ABCD (f_{31}) le plan d'une voûte d'arête. Les arcs diagonaux AC, BD étaient presque toujours en plein cintre, les arcs « formerets » AD, BC, les arcs « doubleaux » AB, CD, en courbe brisée.

Or, c'étaient les arcs diagonaux en plein cintre AC, BD, et non les arcs pointus des têtes, qu'au moyen-âge on appelait « augives » (Choisy, II, p. 271).

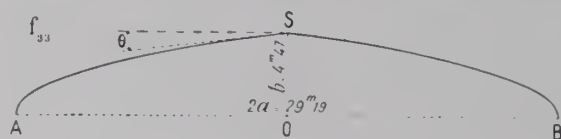
47. — En pratique, on divise AB, BC (f_{32}) en n parties égales : les centres sont les premiers points de division.

On a pris, en Syrie, $n = 8$ (Choisy, II, p. 115); en Occident au XIII^e siècle, $n = 5$; au commencement du XIII^e, $n = 3$ (ogive tiers-point); puis $n = 1$ (ogive équilatère) (Choisy, II, p. 342).

48. — M. Dieulafoy a relevé un grand nombre de ponts persans et indique le tracé d'une ogive assez compliquée, presque inscriptible dans une demi-circonférence. (Annales des Ponts et Chaussées, Juillet 1883 : Notice sur la construction des ponts en Perse, p. 23).

On n'en voit guère l'application à nos intrados : autant adopter le plein cintre, qui a un peu plus de débouché et qui, lui, n'a pas besoin d'être chargé à la clef.

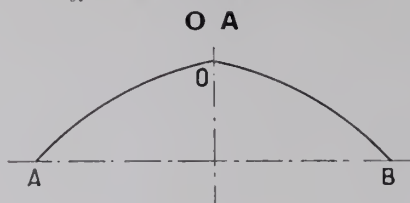
On a profilé en ogive persane les bacs des ponts de Charrey, d'Orléans (Tome III, p. 257).



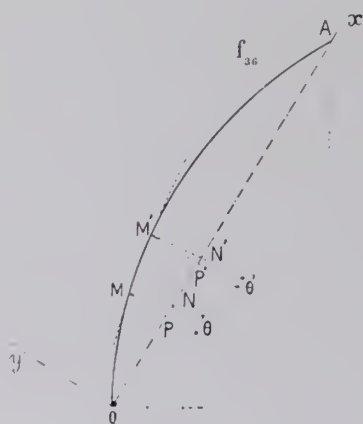
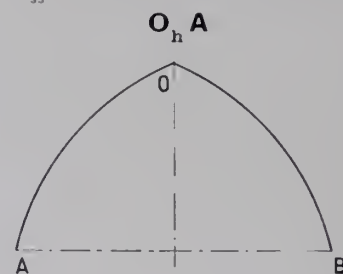
L'intrados du pont de la Trinité à Florence (milieu du XVI^e siècle) est fait de deux courbes elliptiques qui se coupent ^{49, 50} (f_{33}).

Art. 3. — Arcs brisés. — Pour soutenir un poids isolé en O, on brise l'intrados (f_{34} , f_{35}).

f_{34} — Arc brisé surbaissé



f_{35} — Arc brisé surhaussé



Aux arcs de cercle, on peut substituer une autre courbe, pour mieux encadrer les courbes de pression.

Si l'intrados doit passer par deux points M, M', (f_{36}) on peut adopter la forme :

$$y = \alpha x (1 + \beta x + \gamma x^2)$$

On a fait ainsi à Fontpédrouse (Voir Tome V) ⁵¹.

49. — Ferroni, loc. cit. renvoi 21.

50. — Soit proposé de construire une ellipse ayant un sommet en A (f_{33}), son grand axe sur AO, et tangente à une droite d'inclinaison θ au sommet S (a , b).

On trouve pour les 1. 2 axes inconnus a' et b' :

$$a' = a \frac{b - a \operatorname{Tang} \theta}{b - 2 a \operatorname{Tang} \theta} \quad b' = b \frac{(b - a \operatorname{Tang} \theta)^2}{b - 2 a \operatorname{Tang} \theta}$$

$$e_1 \text{ (en A)} = \frac{b'^2}{a'} = \frac{b(b - a \operatorname{Tang} \theta)}{a}$$

51. — On trouve :

$$\beta = \frac{x_1 y_2 (c^2 - x_1^2) - x_2 y_1 (c^2 - x_2^2)}{c [x_2^2 y_1 (c - x_2) - x_1^2 y_2 (c - x_1)]}$$

$$\gamma = \frac{x_2 y_1 (c - x_2) - x_1 y_2 (c - x_1)}{c [x_2^2 y_1 (c - x_2) - x_1^2 y_2 (c - x_1)]}$$

$$\alpha = \frac{y_1}{x_1 [1 + \beta x_1 + \gamma x_1^2]}$$

En un point M :

$$\operatorname{Tang} \theta = \alpha (1 + 2 \beta x + 3 \gamma x^2) \quad e_0 = \frac{[1 + \alpha^2 (1 + 2 \beta x + 3 \gamma x^2)^2]^{\frac{3}{2}}}{2 \alpha (\beta + 3 \gamma x)}$$

à l'origine :

$$\operatorname{Tang} \theta_0 = \alpha \quad e_0 = \frac{(1 + \alpha^2)^{\frac{3}{2}}}{2 \alpha \beta}$$

ÉPAISSEUR D'UNE VOÛTE

§ 1. — ÉPAISSEUR A LA CLEF e_0

Art. 1. — Graphiques de e_0 en fonction de la portée $2a$ et du surbaissement $\sigma = \frac{b}{2a}$.

J'ai représenté graphiquement les épaisseurs e_0 , avec les portées en abscisses, pour un grand nombre de voûtes, par intrados (pleins cintres, ellipses, arcs de divers surbaissements), en distinguant les ponts sous route des ponts sous rails.

Les graphiques montrent que les constructeurs ont choisi e_0 , souvent suivant les matériaux et les hommes dont ils disposaient, d'après leur hardiesse, d'après l'aspect de l'ouvrage, souvent aussi par sentiment.

Art. 2. — Pour une voûte donnée, il y a une valeur de e_0 qu'on n'a pas intérêt à dépasser.

On pourrait croire que, pour une voûte d'ouverture, de montée, de surcharges données, la pression par centimètre carré diminue indéfiniment quand on augmente indéfiniment l'épaisseur : il n'en est rien.

C'est qu'en effet, la pression moyenne à la clef β est la somme de deux pressions : β_p due à la charge sur la voûte (tympans, remplissage, couronnement,

surcharge) ; β_v due à la voûte seule, qui compte dans la charge totale toujours pour plus de 40 %, et jusqu'à 80 % dans les ponts-route très surbaissés.

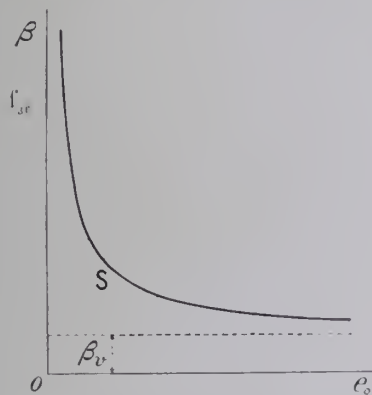
β_v ne dépend pas de l'épaisseur à la clef e_0 .

β_p diminue quand e_0 augmente ; admettons qu'elle

est de la forme $\frac{k}{e_0}$

La pression moyenne totale est :

$$\beta = \beta_v \left(\begin{smallmatrix} \text{indépendant} \\ \text{de } e_0 \end{smallmatrix} \right) + \frac{k}{e_0}$$



Il ne faut pas trop s'écarter du sommet S de cette hyperbole : à gauche, on augmente démesurément la pression ; à droite, on augmente l'épaisseur, sans réduire beaucoup la pression ^{17, 18}.

46. — De même que, dans une colonne cylindrique non chargée, la pression par unité à la base est indépendante du diamètre.

47. — M. Tourtay, qui a fait cette remarque, donne cet exemple appliqué au pont Boucicaut (Tome III, p. 243) :

	$\beta = 10^8 + \frac{10,85}{e_0}$									
Épaisseur à la clef e_0	0 ^m 20	0 ^m 30	0 ^m 40	0 ^m 50	0 ^m 80	1 ^m 00	1 ^m 50	2 ^m 00	2 ^m 50	3 ^m 00
Pression moyenne β (Kg/cm ²)	64 ^m 2	46 ^m 2	37 ^m 1	31 ^m 7	23 ^m 6	20 ^m 8	17 ^m 2	15 ^m 4	14 ^m 3	13 ^m 3

En portant l'épaisseur de 1^m à 1^m50, on n'abaisse la pression moyenne que de 20^m8 à 17^m2, et on élève la poussée sur la culée (anneau de 1^m de largeur) de 208^t à 258^t.

On a, très sagement, adopté 1^m05.

Nouvelles Annales de la Construction, septembre, octobre et novembre 1902. — « Méthode de calcul rapide des voûtes et de leurs culées », par C. Tourtay, Ingénieur en Chef des Ponts et Chaussées.

48. — Au pont d'Orléans (Tome III, p. 255), on a adopté $e_0 = 1^m25$.

« ... Il n'y avait pas lieu de l'augmenter en vue de réduire la pression..., le gain... est... insignifiant quand on passe de... 1^m25 à... 1^m40. Il y aurait eu, au contraire, avantage..., à abaisser l'épaisseur à 1^m10 ou 1^m15... »

Génie Civil, 29 septembre 1906, p. 340 : « Nouveau pont en maçonnerie sur la Loire, à Orléans ».

Dans les petites et moyennes voûtes, le corps est en moellons ordinaires lités. Sur une ligne de chemin de fer, il y en a beaucoup, et on ne peut pas les suivre de près.

C'est dans ces voûtes-là qu'il faut être le moins hardi : un supplément d'épaisseur y coûte peu.

Les très grandes voûtes, elles, sont surveillées avec un soin particulier.

On n'y emploie que des matériaux de choix permettant les fortes pressions : ces matériaux coûtent cher.

Il importe d'y réduire à juste ce qu'il faut l'épaisseur e_0 : on diminue ainsi, non seulement le cube de la voûte, mais son poids et sa poussée.

Art. 3. — Depuis le milieu du XVIII^e siècle, on réduit constamment le rapport $\frac{e_0 \text{ (Épaisseur à la clef)}}{2 a \text{ (Portée)}}$

A Laval (1771)⁴⁹, on avait pris 9 pieds pour 150 pieds, soit $e_0 = 0,06 (2 a)$.

Au XVIII^e siècle, on a souvent pris $e_0 = \frac{1}{24} (2 a)$ ⁵⁰ = $\frac{4,2}{100} (2 a)$

$\frac{e_0}{2 a}$ est descendu à 1/50 aux ponts de Chester⁵¹ et de Luxembourg⁵², à 1/60 au pont de Plauen⁵³.

Art. 4. — Quelques formules empiriques de e_0 (Perronet, Dupuit, Croizette-Desnoyers).

On a attribué à Perronet la formule : $e_0 = 0,325 + 0,035 (2 a)$ ⁵⁴

Toute formule linéaire donne de trop fortes épaisseurs pour les grandes portées.

Dupuit exprima e_0 en fonction, non plus de $2 a$, mais de $\sqrt{2 a}$; il proposa⁵⁵ :

pour les pleins cintres et les ellipses : $e_0 = 0,20 \sqrt{2 a}$

pour les arcs (1/4 en moins !) : $e_0 = 0,15 \sqrt{2 a}$

Ces formules ne tiennent compte que de la portée, non de la forme de l'intrados, ni des surcharges (route ou chemin de fer), ni du surbaissement.

Pour les très petites portées, e_0 est trop petit : il faut dans les formules un terme constant.

49. — Tome I, p. 97.

50. — C'est ce que Perronet a admis à Neuilly (arche de 120 pieds au 1/4 : $e_0 = \frac{120}{24} = 5$ p.).

51. — Tome III, p. 29.

52. — Tome II, p. 67.

53. — Tome III, p. 52.

54. — Il ne l'a pas ainsi énoncée, ni donnée comme de lui ; il a écrit : « On est dans l'usage de leur donner (aux voussoirs de clef) en longueur de coupe, pour les grandes arches qui sont surbaissées du tiers, la vingt-quatrième partie de leur diamètre ; ... »

* « Il convient de donner aux voussoirs des clefs des petites arches, un pied de coupe de plus que ce vingt-quatrième, et la diminuer ensuite à raison d'une ligne pour chaque pied d'ouverture des arches, ... on peut donner un peu moins de longueur de coupe... lorsque les voûtes sont en plein cintre. »

* *Mémoire sur la réduction de l'épaisseur des Piles, et sur la courbure qu'il convient de donner aux Voûtes*, lu à l'Académie des Sciences, le 12 novembre 1777.

En anciennes mesures, ces indications seraient ainsi formulées :

Pour les grandes voûtes au 1/3 : e_0 (en pieds) = $\frac{2 a}{24}$

Pour les petites : e_0 (en pieds) = $1^p + \frac{2 a}{24} - 1$ ligne par pied de portée = $1^p + 2 a$ (en pieds) $\left[\frac{1}{24} - \frac{1}{144} \right]$

ou e_0 (en m) = $0,325 + 2 a$ (en m) $\left[\frac{1}{24} - \frac{1}{144} \right]$ C'est cette formule que donne Sganzin dans son Cours de Construction, comme « en usage dans les Ponts et Chaussées », mais sans l'attribuer à Perronet.

Soit $e_0 = 0,325 + 0,034 (2 a)$. Léveillé l'écrit : $e_0 = \frac{1}{3} \left[1 + \frac{2 a}{10} \right]$ (*Note sur les ponts en maçonnerie*. Le Mans 1855, p. 5).

55. — « *Traité de l'équilibre des voûtes* », J. Dupuit, Paris, Dunod, 1870, p. 185.

Croizette-Desnoyers réalisa un très sensible progrès en exprimant ainsi e_0 :

$$e_0 = \alpha + \beta \sqrt{2r} \quad ^{56} \quad (r \text{ rayon de l'arc de mêmes portée et montée})$$

Il distingua entre les ponts-route et les ponts de chemin de fer, mais non entre un arc et une ellipse de même surbaissement.

Art. 5. — Formule empirique proposée $e_0 = \alpha (1 + \sqrt{2a}) \mu$.

α est un coefficient numérique dont voici les valeurs :

Valeurs de α	Ponts sous			Valeurs de α
	route	chemin de fer à :		
		voie normale	voie étroite	
0,12	Limite inférieure			0,12
0,13				0,13
0,14	Bonne moyenne	Limite inférieure	Limite inférieure	0,14
0,15				0,15
0,16	Limite supérieure	Bonnes moyennes	Bonne moyenne	0,16
0,17				0,17
0,18			Limite supérieure	0,18
0,19				0,19
0,20				0,20
0,21		Limite supérieure		0,21

Si les matériaux sont excellents, on se tiendra au-dessous des « bonnes moyennes » ; si médiocres, au-dessus.

On est déjà timide aux limites supérieures, bientôt poltron au-delà.

On est déjà hardi aux limites inférieures, bientôt téméraire en-deçà.

Il est quelquefois permis d'être hardi, même très hardi : mais il faut savoir qu'on l'est.

Ces valeurs de α sont justifiées dans l'annexe à la fin de ce Tome.

μ , fonction du surbaissement σ , est :

pour les pleins cintres : $\mu = 1$

pour les ellipses surbaissées : $\mu = \frac{4}{3 + 2\sigma}$

pour les arcs ⁵⁷ $\mu = \frac{4}{3} (1 - \sigma + \sigma^2)$.

56. —

		Ponts - route	Ponts de chemin de fer
Pour $\sigma = \left\{ \begin{array}{c} \alpha \dots \dots \dots \\ 1,2 \text{ à } 1,4 \\ 1,6 \\ 1,8 \\ 1,10 \\ 1,12 \end{array} \right\} \beta =$		0,15	0,20
		0,15	0,17
		0,14	0,16
		0,13	0,15
		0,12	0,14
		0,11	0,13

Croizette-Desnoyers : « Cours de Construction des Ponts », Tome II, p. 10 et 21, Paris, Dunod, 1885.

57. — Aux arcs peu surbaissés, c'est-à-dire de surbaissement $\sigma \geq \frac{1}{2\sqrt{3}}$, soit \angle (1 2 angle au centre) $\geq 60^\circ$, il est d'usage de donner la même épaisseur à la clef qu'au plein cintre de même rayon r , c'est-à-dire $\alpha (1 + \sqrt{2r})$.

Or, pour $\sigma \geq \frac{1}{2\sqrt{3}}$, les épaisseurs données par les deux formules :

$$e_0 = \alpha (1 + \sqrt{2r}) \quad e_0 = \alpha (1 + \sqrt{2a}) \mu$$

ne diffèrent que de quelques millimètres.

Il est plus simple d'appliquer la même, quel que soit le surbaissement.

Si la voûte est en rouleaux superposés de briques, e_o sera un multiple de la hauteur des briques.⁵⁸

On trouvera, au Tome V, APPENDICE, des tables de :

$$e_o = \alpha \left(1 + \sqrt{2\alpha}\right), \quad \text{pour } 2\alpha \text{ variant de } 0^m60 \text{ à } 100^m, \text{ et } \alpha \text{ de } 0,10 \text{ à } 0,25.$$

$$\mu' = \frac{1}{3 + 2\sigma}, \quad \text{pour } \sigma \text{ variant de } \frac{1}{2} \text{ à } \frac{1}{6}.$$

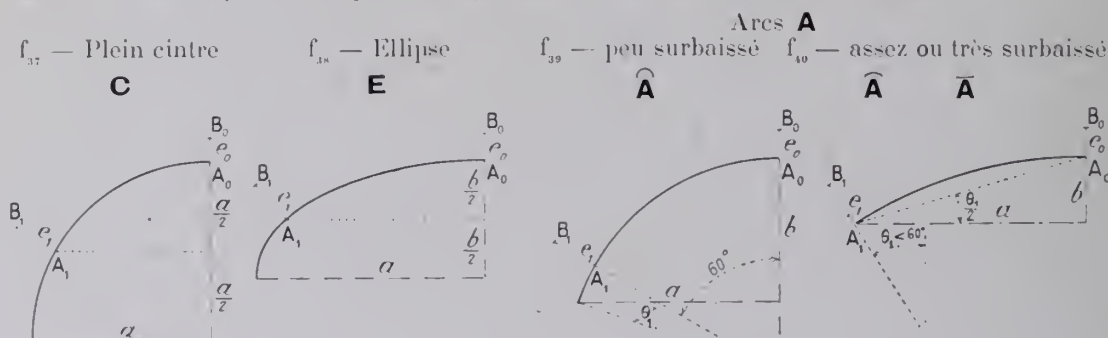
$$\mu'' = \frac{4}{3} (1 - \sigma + \sigma^2), \quad \text{pour } \sigma \text{ variant de } \frac{1}{2} \text{ à } \frac{1}{10}.$$

§ 2. — ÉPAISSEUR AUX REINS e_1

EXTRADOS CACHÉ PAR DES TYMPANS PLEINS

$$e_1 = \lambda e_o$$

Art. 1. — Formules empiriques proposées pour λ . — On a l'épaisseur aux reins e_1 en multipliant l'épaisseur à la clef e_o par un coefficient λ .



On peut sans risques admettre :

Pleins cintres **C** (f_{37}).....

Ellipses **E** (f_{38}).....

Arcs } peu surbaissés **A** $\theta_1 \geq 60^\circ$ $\sigma \geq \frac{1}{2\sqrt{3}} (f_{39})$

A } assez ou très surbaissés **A**, **A** $\theta_1 < 60^\circ$ $\sigma < \frac{1}{2\sqrt{3}} (f_{40})$

Naissances.....

Joint AB, sur lequel on prend l'épaisseur e_1	$\lambda = \frac{e_1}{e_o}$ ⁵⁹
Milieu de la montée.	2 ^{59 bis}
..... id.	$1 + 2\sigma$
A 60° de la clef.....	2
Naissances.....	$1 + 12\sigma^2$

On trouvera au Tome V, APPENDICE, des tables de λ .

Art. 2. — Épaisseur e_1 définie par la condition que sa projection verticale soit e_o . — La pression moyenne β_m sur un joint MM' (f_{41}) est :

$$\beta_m = \frac{H(\text{poussée horizontale})}{e \cos \theta}$$

58. — Pont sur la Gimone (Ligne de Toulouse à Auch, 1875-76), anse de panier de 33° au 1/3, 3 rouleaux de briques de 0^m42.

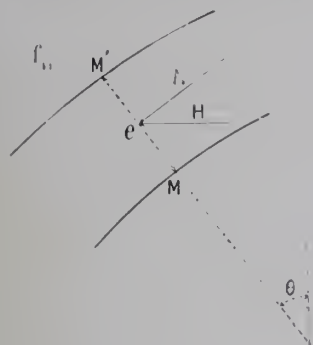
Pont de Saint-Waast (Ligne de Montauban à Castres, 1882-1884) pleins cintres de 20° ; 3 rouleaux de briques de 0^m29.

59. — λ résulte moins nettement des voûtes faites que α dans la formule de e_o .

59 bis. — Toutefois, pour les tout petits pleins cintres ($2\alpha = 8^m$), la formule $e_1 = 2e_o$ donnerait des épaisseurs aux reins supérieures à celles des enlées aux naissances.

J'indiquerai pour eux la règle à suivre, Tome V, APPENDICE.

β_m sera constante dans toute la voûte si $e \cos \theta$, projection verticale de e , l'est aussi⁶⁰.



$$e = \frac{e_0 (\text{épaisseur à la clef})}{\cos \theta} = e_0 \sqrt{1 + \tan^2 \theta} \quad 61$$

Avec cette règle, on trouve, pour le joint $A_1 B_1$ défini à l'art. 1 :

Pleins cintres et arcs peu surbaissés : $e_1 = 2 e_0$.

C'est l'épaisseur usuelle.

Ellipses : $e_1 = e_0 \sqrt{1 + 12 \sigma^2}$

Arcs assez ou très surbaissés : $e_1 = e_0 \frac{1 + 4 \sigma^2}{1 - 4 \sigma^2}$

C'est au-dessous des épaisseurs usuelles.

§ 3. — CE QUE VALENT LES FORMULES EMPIRIQUES

PROPOSÉES POUR e_0 , e_1

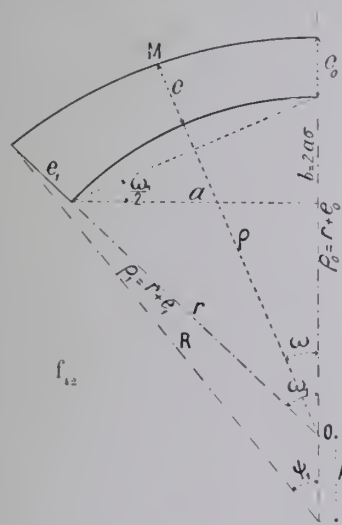
Avec ces formules, on reste dans les moyennes éprouvées : si on s'en écarte, on est prévenu.

Elles suffisent pour une voûte courante, pour le premier essai d'une voûte exceptionnelle,

§ 4. — EXTRADOS DU CORPS DES VOÛTES

Art. 1. — Règle. — On cherchera un extrados qui, avec l'intrados, encadre au mieux les courbes de pression : on le trouvera parmi les courbes d'intrados précédemment décrites⁶².

On se borne le plus souvent à réunir par un arc de cercle les 2 points $B_0 B_1$ que définissent les épaisseurs e_0 , e_1 ⁶³ (f_{37} à f_{40} , — p. 344).



60. — Cette remarque a été faite par Déjardin : « *Routine de l'Établissement des voûtes* », Paris, 1845, p. 36.

61. — Ceci est développé plus loin : Titre III, Chap. III.

62. — Tome III, p. 324 à 340.

63. — Supposons l'intrados en arc de cercle de rayon r .

Soient (f_{12}) :

$$\rho_0 = r + e_0 \quad \rho_1 = r + e_1$$

On trouve :

$$R \left(\begin{array}{l} \text{Rayon} \\ \text{de} \\ \text{l'extrados} \end{array} \right) = \frac{\rho_0^2 + \rho_1^2 - 2 \rho_0 \rho_1 \cos \omega_1}{2 (\rho_0^2 - \rho_1^2 \cos \omega_1)}$$

$$k = R - r = \frac{\rho_1^2 - \rho_0^2}{2 (\rho_0^2 - \rho_1^2 \cos \omega_1)} \quad \sin \phi_1 = \frac{\rho_1}{R} \sin \omega_1$$

Équation de l'extrados en coordonnées polaires avec O comme pôle :

$$\rho = k \cos \omega + \sqrt{R^2 - k^2 \sin^2 \omega}$$

Épaisseur e de la voûte en M : $e = \rho - r$

Équation de la ligne des milieux :

$$\rho_m = r + \frac{e}{2} = \frac{1}{2} \left[r - k \cos \omega + \sqrt{R^2 - k^2 \sin^2 \omega} \right]$$

Elle est très voisine du cercle passant par les milieux de la clef et des retombées.

Si l'intrados est en plein cintre ou en arc peu surbaissé, $\omega_1 = 0$, $\cos \omega_1 = \frac{1}{2}$

$$R = \frac{(\rho_1^2 - \rho_0^2) - \rho_0 \rho_1}{2 \rho_0 - \rho_1} \quad k = \frac{(\rho_1^2 - \rho_0^2) - (\rho_1 + \rho_0)}{2 \rho_0 - \rho_1}$$

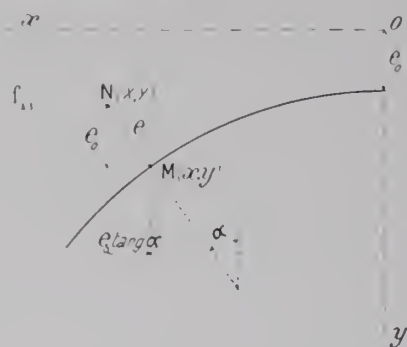
Si, de plus, $e_1 = 2 e_0$:

$$\rho_1 = r + 2 e_0 \quad \rho_0 = r + e_0 \quad \rho_1 - \rho_0 = e_0$$

$$R = r + \frac{3 e_0}{2} \left(r + e_0 \right) \quad k = \frac{e_0}{2} \left[2 r + 3 e_0 \right]$$

Art. 2. — Extrados d'une voûte dont l'épaisseur e en un point quelconque M a une projection verticale constante : $e = \frac{e_0}{\cos \alpha}$

1° *Ellipse.*



On a (f₁₁) :

$$\begin{cases} X = x + e_0 \tan \alpha = x + e_0 \frac{dy}{dx} \\ Y = y - e_0 \end{cases}$$

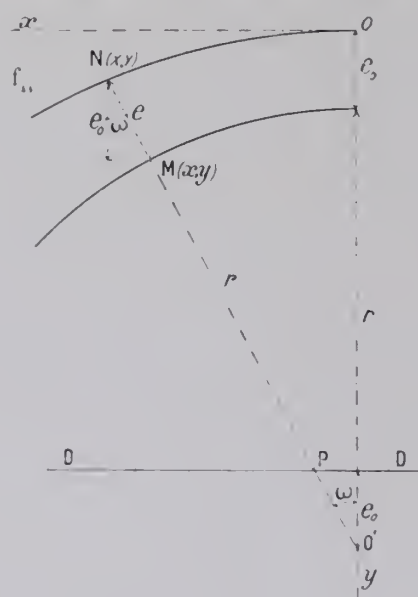
Avec :

$$y = e_0 + b \left(1 - \sqrt{1 - \frac{x^2}{a^2}} \right)$$

on trouve :

$$X = \frac{a^2 (b - Y) + b^2 e_0}{ab (b - Y)} \sqrt{Y (2b - Y)} \quad 64$$

Cet extrados est horizontal à la clef. Il a quelque part un point d'inflexion : on s'assurera qu'il est au-dessous des naissances.



2° *Arc de cercle.* — Faisons, dans cette équation, $a = b = r$.

On trouve :

$$X = \frac{r - Y + e_0}{r - Y} \sqrt{Y (2r - Y)}$$

En coordonnées polaires, on a de suite :

$$\rho = r + e = r + \frac{e_0}{\cos \omega} \quad 65$$

64. — Pour le milieu de la montée :

$$y = e_0 + \frac{b}{2} \quad x = \frac{a \sqrt{3}}{2} \quad \tan \alpha = \frac{b}{a} \sqrt{3} \quad X = \sqrt{3} \left[\frac{a}{2} + e_0 \frac{b}{a} \right] \quad Y = \frac{b}{2}$$

65. — Traçons une droite DD, à e_0 de O' (f₁₁).

$$O'P = \frac{e_0}{\cos \omega} \quad PN = r$$

L'extrados est une conchoïde de Nicomède.

CHAPITRE IV

BANDEAUX

§ 1. — SOUS TYMPANS PLEINS

Art. 1. — Réduction des épaisseurs par rapport au corps de la voûte. — On réduit l'épaisseur du bandeau : par économie, parce que le bandeau est en matériaux chers ; pour l'aspect, l'œil n'admet pas aux reins les épaisseurs usuelles des voûtes.

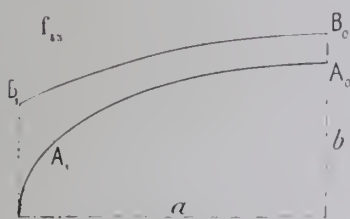
On cherchera une courbe qui s'ajuste bien à l'intrados parmi celles décrites plus haut ⁶⁶.

Art. 2. — Pleins cintres. — Dans les viaducs ⁶⁷, le bandeau est, presque toujours, extradossé parallèlement.

Dans de grands pleins cintres, on lui a conservé l'épaisseur du corps ⁶⁸ : l'effet n'est pas heureux : il y a trop de différence entre la clef et les reins.

Art. 3. — Ellipses. — *A.* — L'intrados est, aux naissances, tangent à deux piles, ou à deux culées, ou à une pile et une culée.

On a souvent défini l'extrados par un arc de cercle unique $B_0 B_1 (f_{40})$.



Mais, à partir de la clef, le bandeau semble d'abord extradossé parallèlement, et même, bien que les joints aillent un peu en croissant, paraît, quelquefois, démaigri vers 20 à 30 % du développement à partir de la clef ⁶⁹.

Aux reins, l'épaisseur croît démesurément, et exagère la hauteur des becs.

On cherchera une courbe qui fasse bon effet.

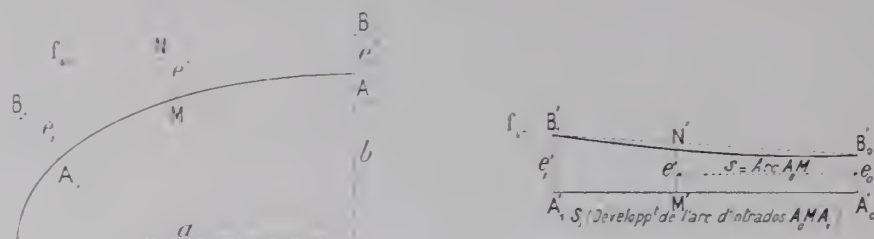
On peut, par exemple, faire croître l'épaisseur e' en fonction de la longueur de l'intrados à partir de la clef, depuis e'_0 épaisseur à la clef jusqu'à l'épaisseur e'_1 adoptée aux reins.

66. — Tome III, p. 324 à 340.

67. — Tome V, APPENDICE, Viaducs.

68. — Ponts de Collonges (Tome I, p. 31). d'Oloron (id., p. 45).

69. — Ponts de Bercy à Paris, de Port-Sainte-Marie sur la Garonne. (ligne de Condom à Port-Sainte-Marie).



Au pont de Marmande (f_0, f_1)⁷⁰, nous avons adopté :

$$e' = e'_0 + (e'_1 - e'_0) \frac{s^2}{S_1^2}$$

Ce sont les ordonnées de la parabole $B_0 B_1 (f_1)$: l'effet est bon.

Au pont de Valence⁷¹ on a pris :

$$e'^2 = e_0'^2 + (e_1'^2 - e_0'^2) \frac{s^2}{S_1^2}$$

$B_0 B_1$ est un arc d'hyperbole⁷².

Il faut être bien sûr que la courbe adoptée a une tangente horizontale à la clef⁷³.

*B. — L'extrados est une demi-courbe complète*⁷⁴. — Quand, au lieu de s'arrêter à une pile ou à une culée, l'extrados est une demi-courbe complète, on l'étudiera de même en vue du meilleur effet.

Pour l'aspect, on fera croître l'épaisseur à partir de la clef.

Si, par économie, on doit accepter une épaisseur constante k , on extradosera, non suivant une ellipse $a + k, b + k$ ⁷⁵, mais suivant une courbe parallèle à l'ellipse d'intrados⁷⁶.

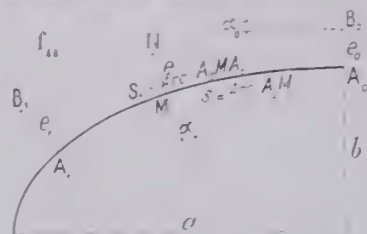
70. — $a = 18^m$; $b = 10^m$; $e'_0 = 1^m35$; $e'_1 = 2^m10$.

71. — Tome I, p. 173.

72. — Supposons e' calculée par cette formule (s compte sur la fibre moyenne, et la fibre moyenne en arc de cycloïde).

On peut alors calculer assez simplement, par la méthode de M. Resal, les éléments de la courbe de pression.

(Note présentée à l'Académie des Sciences par M. Auric, Ingénieur des Ponts et Chaussées, Annales des Ponts et Chaussées, 4^e trimestre 1905, p. 282.)



73. — Par exemple, on n'acceptera pas la droite $B' B_1 (f_1)$.

$$e' = e'_0 + (e'_1 - e'_0) \frac{s}{S_1}$$

Elle donne à la clef un angle rentrant (f_1, f_{10}).

On trouve, en effet :

$$\tan \alpha_0 = \frac{(e'_1 - e'_0) e'}{(a^2 + b e'_0) S_1}$$

74. — 4 tangentes verticales aux naissances. (Preliminaires, Tome III, p. 3).

75. — Les têtes des souterrains d'une voie en anse de panier surhaussée, extradosées parallèlement, semblent maigres au tiers supérieur de la montée.

76. — Tome III, p. 329.

Sous tympans évidés, on réduit les épaisseurs adoptées aux reins pour le corps des voûtes sous tympans pleins, pour deux motifs :

parce qu'aux reins la charge est réduite, la courbe de pression moins cambrée, l'effort moindre ;

pour l'aspect, parce que, comme on l'a dit plus haut pour les bandeaux, l'œil n'accepte pas une voûte trop épaisse aux reins⁸⁴.

Ainsi nous avons adopté pour λ au pont de Lavour⁸⁵ : 1,70 au lieu de 2 ; au pont de Luxembourg⁸⁶ : 1,50 au lieu de 1,70.

On pourra, comme première approximation, prendre pour les pleins cintres et les arcs, $0,85 \lambda$ (λ des formules pour tympans pleins données plus haut, p. 344).

Les voûtes en ellipse ont une grande épaisseur aux reins⁸⁷ et doivent être fort réduites. Au pont des Amidonniers⁸⁸, aux retombées des bandeaux amont du pont amont, une voussure réduit l'épaisseur à 74 100 (voûte de 46^m), 77 100 (voûtes de 42^m), 79 100 (voûtes de 38^m50), de celle du corps.

Art. 2. — Courbe d'extrados. — Comme dans le cas des tympans pleins, on cherchera une courbe qui s'ajuste bien à l'intrados, ait une tangente horizontale à la clef, et encadre au mieux les courbes de pression^{89, 90}.

84. — Reins trop épais aux ponts évidés de Brent, (Tome I, p. 34), de Cérêt, (Tome II, p. 160).

85. — Tome II, p. 135.

86. — Tome II, p. 67.

87. — Verdun-sur-le-Doubs (Tome I, p. 165).

88. — Tome I, p. 193.

89. — Pont de Luxembourg (Tome II, p. 68), $e = e_0 + ky^{0,6}$
 e croît agréablement et la courbe est horizontale à la clef.

90. — Extrados du pont des Amidonniers, voûte de 46^m (Tome I, p. 195).

On donnait un point des reins de l'extrados :

$$x_1 = 24^m78 \quad y_1 = 8^m78 \quad (f_{30})$$

$$\text{On a trouvé : } y = 11,34728 \left(1 - \sqrt[2]{1 - 0,001545 \cdot x^2}\right)$$

$$y = 19,245 \left(1 - \sqrt[3]{1 - 0,001366 \cdot x^2}\right)$$

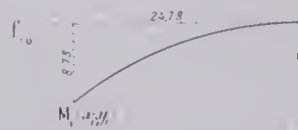
$$y = 27,294155 \left(1 - \sqrt[4]{1 - 0,001283 \cdot x^2}\right)$$

$$\dots \dots \dots$$

$$y = 51,7825 \left(1 - \sqrt[7]{1 - 0,0011849 \cdot x^2}\right) \quad (\text{adopté})$$

L'indice du radical augmentant, les courbes sont de plus en plus au-dessous de l'ellipse.

L'arc de cercle est $y = 39,35858 \left(1 - \sqrt[2]{1 - 0,0006455 \cdot x^2}\right)$.



TITRE II

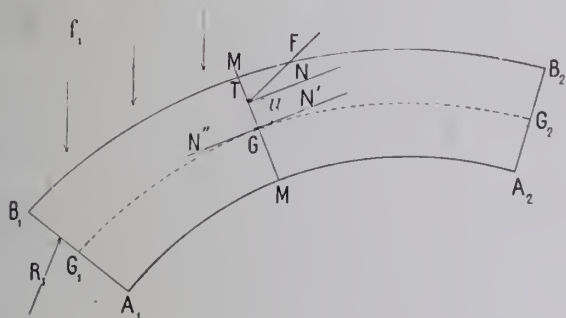
COMMENT ON CALCULE LES EFFORTS DANS LES GRANDES VOÛTES HYPOTHÈSE ÉLASTIQUE

CHAPITRE I

COMMENT ON DÉTERMINE POUR UNE SECTION QUELCONQUE L'EFFORT NORMAL ET LE COUPLE DE FLEXION

§ 1. — COMPOSANTES DE L'EFFORT TOTAL SUR UNE SECTION COUPLE DE FLEXION

Art. I. — Effort normal à la section N . — Effort tranchant T . —
Coupe de flexion Nu (f_1).



Soient :

$A_1 B_1 A_2 B_2$ un arc ;
 $G_1 G_2$ sa fibre moyenne, — lieu
des centres de gravité des sections
transversales, telles que $M G M$,
faites par des plans également incli-
nés sur l'intrados et l'extrados ; —
c'est, en pratique, le lieu des milieux
des joints normaux à l'intrados.

On suppose l'arc symétrique par rapport au plan vertical de la fibre moyenne,
et toutes les forces extérieures dans ce plan.

La partie d'arc à droite de la section $M M$ exerce sur elle un effort F égal et
directement opposé à la résultante des forces extérieures appliquées à gauche
de $M M$.

F peut se décomposer en 2 forces :

N , normale à la section : c'est l'effort « normal » ;

T , dans le plan de la section : c'est l'effort « tranchant ».

Dans les voûtes en maçonnerie, F est à peu près normal à la section : on
convient de négliger T .

Je mène par le centre de gravité G deux forces égales à N et de sens
contraires N', N'' .

Tout se réduit :

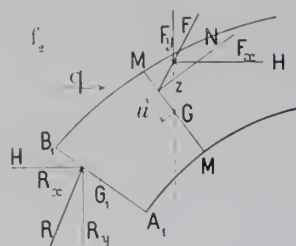
1° à l'effort normal $N' = N$ appliqué en G ;

2° au couple de flexion Nu , — égal au moment \mathcal{M} par rapport à G des
forces extérieures à gauche de la section $M M$.

Art. 2. — Poussée horizontale H . — A la rencontre de F avec la verticale de G , décomposons F en forces verticale F_y et horizontale F_x (f_2).

S'il n'y a que des forces verticales à gauche de M , F_x est égale à la composante horizontale R_x de la réaction de l'appui.

Elle est constante à toute hauteur : c'est la « poussée horizontale » de la voûte, H .



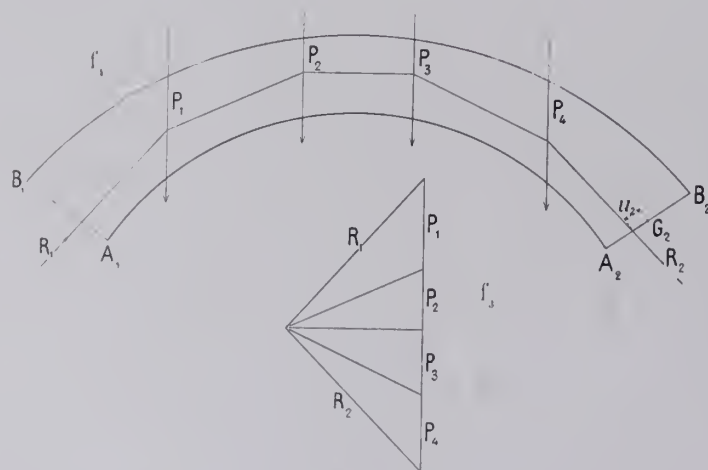
$$N = N'' = H z$$

Si la voûte reçoit d'une voûte transversale d'élévation une poussée q (f_2),

$$H = q + R_x$$

La poussée horizontale de la retombée est réduite de q .

§ 2. — SI ON CONNAIT LA RÉACTION D'UN APPUI,
ON PEUT, POUR CHAQUE SECTION,
CALCULER OU CONSTRUIRE L'EFFORT NORMAL N
ET SON BRAS DE LEVIER u .



Supposons connue en grandeur et direction, la réaction de l'appui de droite R_2 . Avec le polygone des forces (f_3), on a la réaction de l'autre appui R_1 .

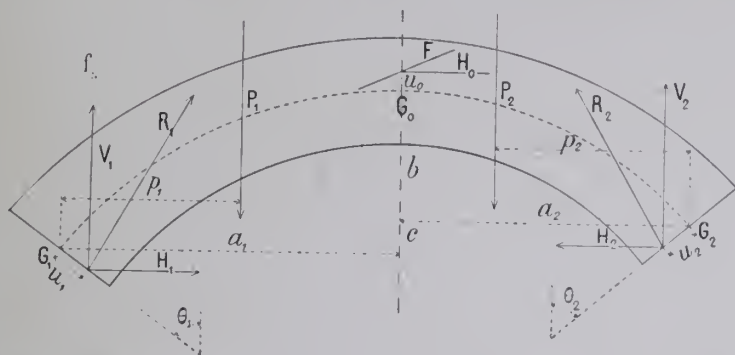
Si on a, de plus, le point d'application de R_2 (à u_2 de G_2), on peut construire le funiculaire

(f_1), qui se ferme par R_1 et donne pour chaque section N et u , sur l'appui de gauche R_1 et u_1 .

§ 3. — COMMENT ON DÉTERMINE LA RÉACTION D'UN APPUI

Art. 1. — La Statique ne donne que 3 équations pour 6 inconnues. — Soit une voûte de fibre moyenne $G_1 G_0 G_2$ (f.).

Pour simplifier, je la suppose soumise seulement à des forces verticales.



Soient :

R_1, R_2 les réactions de ses appuis, appliquées à u_1, u_2 des milieux G_1, G_2 , positifs au-dessous de G_1, G_2 ;

$V_1, H_1; V_2, H_2$ leurs
composantes verticales
et horizontales;

P_1, P_2 la résultante

des forces verticales appliquées entre G_1 et G_n , entre G_0 et G_n .

Il y a 6 inconnues : $V_1, H_1, u_1; V_2, H_2, u_2$.

La Statique donne 3 équations d'équilibre¹ : il en manque trois. Si les voussoirs étaient indéformables, il faudrait se les donner arbitrairement².

Art. 2. — Hypothèses proposées pour avoir trois autres équations, en supposant les voussoirs indéformables.

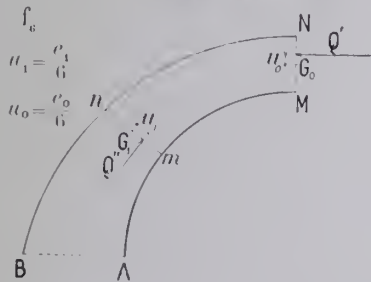
A. - *Hypothèse de Navier*³. — « Nous admettrons (f_a) :

a Que les deux coussoirs séparés par le joint
N ne pressent point l'un contre l'autre par
l'arête inférieure M.

((.....))

« Le point d'application de la résultante Q' »
 « est aux 2/3 de la hauteur du joint, à compter de »
 « l'extrémité inférieure M..... »

(((.



$$\begin{aligned} \text{I. —} \quad & \mathbf{V}_1 + \mathbf{V}_2 = \mathbf{P}_1 + \mathbf{P}_2 \qquad \mathbf{H}_1 = \mathbf{H}_2 \\ \left(\begin{array}{l} \text{Moments} \\ \text{autour de G} \end{array} \right) & \mathbf{V}_1 u_1 \sin \theta_1 + \mathbf{H}_1 u_1 \cos \theta_1 + \mathbf{V}_2 [a_1 + a_2 - u_2 \sin \theta_2] + \mathbf{H}_2 (c - u_2 \cos \theta_2) = \mathbf{P}_1 p_1 + \mathbf{P}_2 (a_1 + a_2 - p_2) \end{aligned}$$

2. — Pour une voûte articulée aux reins, en G_1, G_2 , on a : $u_1 = 0$ $u_2 = 0$.

Si l'y a une troisième articulation à la clef, on a : $u_0 = 0$.

Tout est défini.

3. — **Navier.** — *Résumé des leçons données à l'École royale des Ponts et Chaussées sur l'application de la mécanique à l'établissement des constructions et des machines.* — Première partie, p. 164 et suivantes, Paris, Firmin-Didot père et fils — MDCCCXVI.

« En considérant maintenant le joint de rupture $m n$, on admettra également
 « que la pression est nulle à l'arête supérieure n , où le joint tend à s'ouvrir, et
 « qu'elle augmente uniformément depuis cette arête jusqu'en m , où cette poussée
 « est à son maximum. »

C'est supposer que la courbe de pression coupe la clef $M N$ au $1/3$ supérieur, le « joint de rupture » $m n$ au $1/3$ inférieur.

B. — Méthode de Méry⁴. — Au vrai, Méry n'a pas tiré des expériences de Boistard une méthode pratique : il n'a pas fixé de point de la courbe de pression, il a seulement indiqué comment on la construit, si on en connaît deux points.

La méthode connue sous son nom⁵ consiste tout simplement à admettre les deux hypothèses enseignées bien avant par Navier, à savoir :

que la courbe de pression passe par M_0 (f_1), tiers supérieur de la clef $A_0 B_0$; M , tiers inférieur d'un joint dit « de rupture », à déterminer aux reins ;

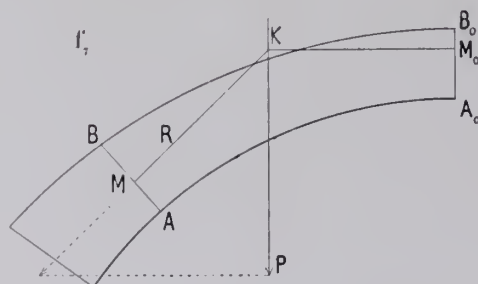
qu'en ces deux points elle est tangente aux bords du noyau central, et normale aux joints $A_0 B_0$, $A B$ (f_1).

Il eût été juste de l'appeler : méthode Navier-Méry.

Les deux hypothèses de Navier fournissent les 3 équations qui manquent :

$$u_1 = \frac{c_1}{6} \quad u_2 = \frac{c_2}{6} \quad u_0 = \frac{c_0}{6}$$

Pour les pleins cintres, les ellipses, les arcs peu surbaissés, on détermine ainsi le « joint de rupture »⁶ :



Soient (f_1) : $A B$ un joint quelconque, P la résultante des charges entre $A B$ et la clef.

On mène par le $1/3$ supérieur de la clef une horizontale $M_0 K$, par K une perpendiculaire à $A B$.

Si $MA = \frac{1}{3} AB$, $A B$ est le joint de rupture. On essaye un joint plus haut, si $MA < \frac{AB}{3}$, plus bas, si $MA > \frac{AB}{3}$.

4. — Annales des Ponts et Chaussées, 1840, 1^{er} semestre, page 50, « Sur l'équilibre des voûtes en berceau », par M. E. Méry.

5. — Elle est exposée par Morandière : « Traité de la Construction des Ponts et Viaducs », p. 246. — Paris, Dunod, 1874.

6. — M. Résal : « Emplacements, — Débouchés, — Fondations, — Ponts en maçonnerie, » p. 188, Paris, Baudry et Cie, 1896.

7. — Morandière et Croizette-Desnoyers admettent comme angle du joint de rupture avec la verticale :

	Tympons pleins					Plein cintre à tympons élégis
	Plein cintre	Ellipse		Arc		
		au 1/3	au 1/4	au 1/5	à moins de 1/5	
Morandière.....	60°	45°	40°	naissances	naissances	»
Croizette-Desnoyers.	60°	45°	40°	43°		58° à 56°

Morandière : Loc. cit., renvoi 5, p. 208, Paris, Dunod, 1874.

Croizette-Desnoyers : « Cours de Construction des Ponts », p. 412 et 462, Paris, Dunod, 1885.

Pour les arcs assez et très surbaissés, on admet que le joint des naissances est le joint de rupture, bien que la résultante passant par le 1/3 ne lui soit pas normale.

La méthode, dite de Méry, a été appliquée à un très grand nombre de grandes voûtes qui ont tenu : elle est fort simple, très pratique, très suffisante pour les voûtes courantes⁸.

Il est bon de toujours commencer par faire une épure Méry : elle donne fort approximativement la poussée, elle indique si et comment il faut modifier la courbe moyenne.

En Allemagne, on a souvent ainsi opéré :

On étale la surcharge sur toute la voûte ; on trace la courbe Méry, et une autre par les milieux de la clef et des retombées.

Puis on ne surcharge qu'une demi-voûte ; on trace une courbe de pression par le milieu de la clef, par le 1/3 inférieur de la retombée du côté chargé, par le 1/3 supérieur de la retombée du côté non chargé.

Si toutes ces courbes restent dans le noyau central, on suppose la voûte stable.

Art. 3. — Si les voussoirs sont élastiques (élastiques comme l'entend la Résistance des Matériaux), on leur peut appliquer les 3 équations « de déformation ».

A. — *La pierre est beaucoup plus déformable que l'acier.* — Soient :

E, le coefficient d'élasticité d'un « matériau »,

$$E \text{ (en kg/lm)} = \varepsilon \times 10^9 \quad \text{ou} \quad E \text{ (en kg/cm}^2\text{)} = \varepsilon \times 10^5$$

ΔL , le raccourcissement évalué en microns (μ) d'un prisme de 1^m de long, sous une pression β (kg/cm²)

$$\text{On a :} \quad \Delta L \text{ (en } \mu \text{ sur 1}^m\text{)} = \frac{10 \beta \text{ (kg/cm}^2\text{)}}{\varepsilon}$$

ε est, pour l'acier, 22 à 25 ; pour la maçonnerie de voûte, 0,3 à 3.⁹

A pression égale par cm², les raccourcissements sont de 7 à 83 fois plus grands dans la maçonnerie que dans l'acier¹⁰.

Il était donc fort naturel de calculer les grandes voûtes comme des arcs élastiques homogènes, c'est-à-dire avec les deux hypothèses que traduisent les formules dites de déformation de la Résistance des Matériaux : je suis, pour être clair, forcé de les rappeler.

B. — *Hypothèses de la Résistance des Matériaux.*

B₁ — *Hypothèse de Hooke*¹¹. — *Tant que l'effort par unité reste au-dessous*

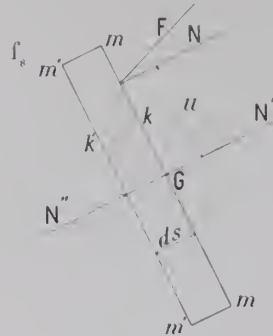
8. — Pour les petites voûtes, on adopte, sans épure, des épaisseurs justifiées par une longue pratique.

9. — Voir plus loin, Titre III, chap. IV, § 1 et 2.

10. — L'acier travaillant à 1.000^k, une pierre de $\varepsilon = 1$ travaillant à 40^k, ont la même déformation.

11. — « *ut tensio sic vis* », — Robert Hooke (1635-1703) : « *De Potentiâ restitutivâ* », — Londres, 1678.

d'une limite, dite d'élasticité, l'allongement ou le raccourcissement est proportionnel à l'effort, c'est-à-dire que, pour un même corps, le rapport de l'effort à la déformation, dit « coefficient d'élasticité », est constant¹².



B_2 - Hypothèse de Navier. — Une section transversale reste plane après flexion.

Soit (f_s) une tranche d'épaisseur ds , symétrique par rapport au plan vertical contenant les forces extérieures, pressée par une force normale N , à u de son centre de gravité G .

Soient :

Ω la surface de la section $m m$;

I son moment d'inertie par rapport à un axe perpendiculaire au plan de la figure en G ;

E le « coefficient d'élasticité » dans le sens de la fibre moyenne.

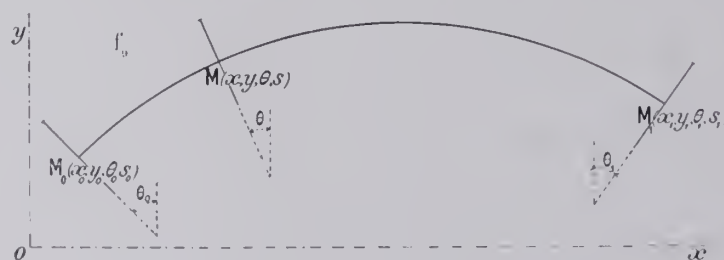
Je mène par G deux forces parallèles N' , N'' , égales à N et de sens contraires.

N' comprime uniformément la tranche de $\frac{N ds}{E \Omega}$ (Hooke).

Le couple $N u$ fait tourner la face $m m$ par rapport à $m' m'$ d'un angle $d\theta$.

En supposant que chaque fibre, telle que $k k'$ « se comporte comme une tige isolée et qu'elle n'est pas influencée par les fibres voisines, »¹³ que, par conséquent, on peut lui appliquer l'hypothèse de Hooke, — que toute la section reste plane après flexion (Navier), qu'ainsi, non seulement la partie comprimée et la partie tendue sont chacune restées planes après déformation, mais aussi la section entière, c'est-à-dire que les coefficients d'élasticité à la tension et à la compression sont égaux, on trouve : $d\theta = \frac{N u ds}{E I}$.

C. - Équations de déformation. — Soient (f_s) :



$M_0(x_0, y_0, \theta_0, s_0)$,
 $M_1(x_1, y_1, \theta_1, s_1)$, un arc de
la fibre moyenne avant
déformation ;

$M(x, y, \theta, s)$, un
point de l'arc ;

α , le coefficient de
dilatation linéaire.

$$12. - E = \frac{\hat{e} \text{ (kg cm}^{-2}\text{)}}{\frac{dL}{L} \text{ (en mêmes unités)}} = \frac{\text{effort par unité de surface}}{\text{allongement par unité de longueur}}.$$

13. — Bresse, « Résistance des Matériaux », p. 33, Paris, 1866.

Supposons appliqués :

1° au G de chaque section transversale, un effort normal N ;

2° autour de G de chaque section, un couple $\mathfrak{M} = N u$.

(N et u variables d'une section à l'autre).

Supposons enfin que la température de l'air change de t° .

Les déplacements de M_0 ($\Delta x_0, \Delta y_0, \Delta \theta_0$) étant supposés connus, ceux de M_1 ($\Delta x_1, \Delta y_1, \Delta \theta_1$) sont donnés par ces trois formules dites de déformation ¹⁴ :

$$\begin{aligned}\Delta \theta_1 &= \Delta \theta_0 + \int_{s_0}^{s_1} \frac{\mathfrak{M} ds}{E I} \\ \Delta x_1 &= \Delta x_0 - \Delta \theta_0 (y_1 - y_0) - \int_{s_0}^{s_1} \frac{\mathfrak{M} (y_1 - y) ds}{E I} + \int_{x_0}^{x_1} \frac{N dx}{E \Omega} + \alpha t (x_1 - x_0) \\ \Delta y_1 &= \Delta y_0 + \Delta \theta_0 (x_1 - x_0) + \int_{s_0}^{s_1} \frac{\mathfrak{M} (x_1 - x) ds}{E I} + \int_{y_0}^{y_1} \frac{N dy}{E \Omega} + \alpha t (y_1 - y_0)\end{aligned}$$

Si l'arc est inarticulé, ou, — comme on le dit souvent, — « encastré » aux naissances, les points M_0, M_1 , les sections M_0, M_1 sont immobiles :

$$\Delta x_0, \Delta y_0, \Delta \theta_0 \quad \Delta x_1, \Delta y_1, \Delta \theta_1 \quad \text{sont nuls.}$$

La première équation se réduit à :

$$\int_{s_0}^{s_1} \frac{\mathfrak{M} ds}{E I} = 0$$

Elle exprime que la somme des rotations de chaque section par rapport à la précédente est nulle entre les retombées.

Les deux autres deviennent :

$$\begin{aligned}\int_{s_0}^{s_1} \frac{\mathfrak{M} y ds}{E I} + \int_{x_0}^{x_1} \frac{N dx}{E \Omega} + \alpha t (x_1 - x_0) &= 0 \\ - \int_{s_0}^{s_1} \frac{\mathfrak{M} x ds}{E I} + \int_{y_0}^{y_1} \frac{N dy}{E \Omega} + \alpha t (y_1 - y_0) &= 0\end{aligned}$$

\mathfrak{M}, N , s'expriment en fonction des forces extérieures autres que la réaction de l'appui M_0 , lesquelles sont connues, et en fonction de cette réaction inconnue.

14. — Bresse. — « Cours de Mécanique appliquée », 2^e édition, 1^{re} Partie, Paris. Gauthier-Villars, 1866, p. 90 et suivantes.

M. Résal. — *Résistance des Matériaux*. — Paris, Baudry, 1898, p. 247 et suivantes.

M. Résal a, le premier en France, enseigné à calculer des voûtes par les formules de déformation ^{15, 16}.

D. — Les équations de déformation ne tiennent pas compte de la rigidité des tympans. — Elles supposent que l'arc se déforme librement, que les charges lui sont transmises comme par des tiges verticales isolées.

Il n'en est point ainsi : les tympans, les plinthes sont rigides et soulagent l'arc ¹⁷.

On l'a observé aux viaducs de la ligne d'Issy à Viroflay ¹⁸, aux ponts de Lavour ¹⁹ et Antoinette ²⁰.

Art. 4. — En pratique, graphiquer au lieu de calculer.

Le calcul est laborieux, rebutant : on y peut, sans s'en apercevoir de quelque temps, commettre de grosses erreurs.

Le graphique fatigue moins ; il se prête mieux à toutes les combinaisons de surcharges ; avec lui, on voit.

Tous deux viennent d'hypothèses inexactes : la précision du calcul y est fort inutile ; celle du graphique suffit ; il n'y a vraiment pas à s'inquiéter des décimales quand les entiers sont suspects.

A l'APPENDICE, Tome V, je donnerai tout ce qu'il faut pour faire une épure de voûte, et ce qui résulte d'un grand nombre d'épures.

15. — MM. Degrand et Résal : « *Ponts en maçonnerie* », Tome premier : « *Stabilité des voûtes* », p. 103 et suivantes, — Paris, Baudry et C^e, 1887.

M. Résal : « *Emplacements, débouchés. Fondations des Ponts en maçonnerie* », p. 191 et suivantes, — Paris, Baudry, 1896.

M. Résal : « *Stabilité des Constructions* », p. 367 et suivantes, — 564 et suivantes, — Paris, Béranger, 1901.

Voir aussi :

M. Pigeaud : *Annales des Ponts et Chaussées*, 1905, 2^e trimestre, p. 202 : « *Calcul des arcs encastrés* ».

M. Auric : « *Ponts en maçonnerie : Calcul et Construction* », p. 250 et suivantes, — Paris, Octave Doin et fils, 1911.

16. — Je me permets de rappeler ici une indication donnée en 1886 :

« Avec des modules de résistance moindres et un coefficient d'élasticité bien plus voisin de celui de rupture, une voûte à ciment se comporte comme un arc en fonte encastré aux naissances ; on lui doit donc appliquer, non plus les hypothèses surannées basées sur les expériences de Boistard, mais les formules de la Résistance des Matériaux, contrôlées par la mesure directe, faite avec des instruments assez précis, des mouvements au décentrement, sous l'action des charges et de la température, du coefficient d'élasticité... »

Annales des Ponts et Chaussées, octobre 1886, p. 427 : « *Construction des Ponts du Castelet, de Lavour et Antoinette* ».

Ce contrôle des formules de déformation, on l'attend encore.

17. — C'est ainsi que les longerons et le tablier d'un ouvrage en métal, en béton armé, solidarisent ses pièces de pont, reportent sur ses voisins une partie de ce qui en charge une. *Génie Civil*, 24 août 1912. « *Etude sur la solidarité des pièces de pont* », M. Lossier.

18. — *Revue Générale des Chemins de fer*, juillet 1902, p. 9 : « *Notes sur les travaux de la ligne d'Issy à Viroflay* », M. Rabut.

19. — Tome II, p. 143

20. — Tome II, p. 149.

CHAPITRE II

ON CONNAIT L'EFFORT TOTAL N SUR UNE SECTION, SA DISTANCE u AU CENTRE DE GRAVITÉ. COMMENT N SE DISTRIBUE-T-IL SUR LA SECTION ? EFFORTS PAR UNITÉ EN CHAQUE POINT

§ 1. — FORMULES

Menons par le centre de gravité G , deux forces N' , N'' égales à N et de sens contraires (f_{10}).

L'effort normal N' produit une pression uniforme $\frac{N}{\Omega}$.

Le couple de flexion Nu produit en un point K à z de G un effort : $\frac{N u z}{I}$.

L'effort total par unité à z de G est donc :

$$\beta_z = \frac{N}{\Omega} + \frac{N u z}{I} = \frac{N}{\Omega} \left[1 + \frac{u z \Omega}{I} \right] \quad 21$$

Soit, pour une section rectangulaire de hauteur e et de 1^m de largeur²² :

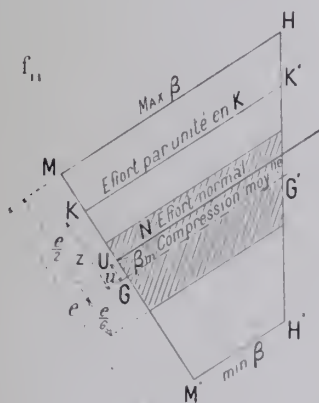
$$\beta = \frac{N}{e} \left[1 + \frac{12 u z}{e^2} \right].$$

L'effort par unité est maximum à l'extrémité M du même côté que N par rapport à G ($z = \frac{e}{2}$), minimum à l'autre ($z = -\frac{e}{2}$)

$$\begin{cases} \text{Max } \beta \text{ (en } M) = \frac{N}{e} \left[1 + \frac{6 u}{e} \right] \\ \text{Min } \beta \text{ (en } M') = \frac{N}{e} \left[1 - \frac{6 u}{e} \right] \end{cases}$$

§ 2. — REPRÉSENTATION GRAPHIQUE

Art. 1. — Le centre de pression U est dans le noyau central :
 $u < \frac{e}{6}$. — (Règle du trapèze).



Soient (f_{11}) : $M H = \text{Max } \beta$; $M' H' = \text{min } \beta$.
Considérons le trapèze $M H M' H'$.

$K K'$ est l'effort par unité en K , à z de G .

L'effort par unité en G , $G G'$ est la pression moyenne : $\beta_m = \frac{N}{e} = \frac{\text{Max } \beta + \text{min } \beta}{2}$.

L'effort normal N fait équilibre à toutes les forces élémentaires développées sur $M M'$: il passe donc par le centre de gravité du trapèze et est égal à sa surface.

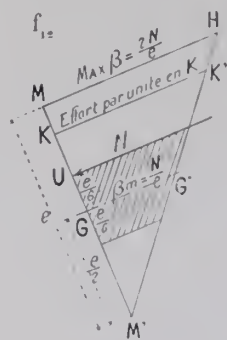
Si N passe par G , $u = 0$: le trapèze devient un rectangle de surface N ; sur $M M'$, la pression est partout $\frac{N}{e}$.

21. — N en kilogs, les longueurs en m . — Alors β en $\text{kg}/1^m^2$.

22. — $\Omega = e$ — $I = \frac{1}{12} e^3$ (e en m).

Art. 2. — Le centre de pression U est à la limite du noyau central : $u = \frac{e}{6} (f_{12})$.

$$MH = \text{MAX } \beta = \frac{2N}{e} = 2\beta_m \quad \text{Min } \beta = 0.$$



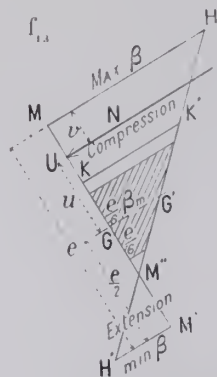
Le trapèze $M H M' H'$ de f_{11} est devenu le triangle $M H M'$ de f_{12} .

$K K'$ est l'effort par unité en K .

L'effort normal N passe par le centre de gravité du triangle et est égal à sa surface.

Art. 3. — Le centre de pression U est hors du noyau central $u > \frac{e}{6}$.

A. — Si la maçonnerie pouvait travailler à la tension.



Soient (f_{12}) :

$$MH = \text{MAX } \beta \quad M' H' = \text{min } \beta \quad (\text{ici négatif})$$

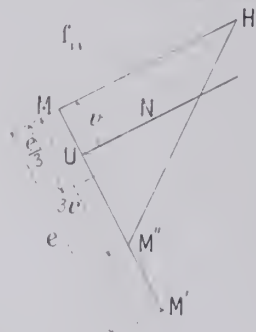
$$MM'' = MM' \frac{MH}{MH + M' H'} = \frac{1}{2} [e + 6u]$$

$$\text{Soit } v = \frac{e}{2} - u, \quad MM'' = 2v - 3v.$$

$K K'$ est l'effort par unité en K . C'est une compression du même côté que N par rapport à M'' , — une tension du côté opposé.

N est la différence des surfaces $M H M''$, $M'' H' M'$.

B. — Si la maçonnerie ne peut pas travailler à la tension (Règle du triangle). — En pratique, on convient de ne pas tenir compte de la partie tendue, mais seulement de la partie comprimée, limitée à $3v$ (f_{12}).



Alors, MH (comme dans le 2^e cas) $= \frac{2N}{3v}$ (2 fois l'effort sur 3 fois la bande comprimée).

TITRE III

RELATION ENTRE LES CHARGES ET LA FORME DE LA VOÛTE

CHAPITRE I

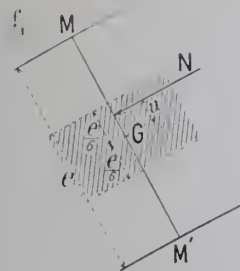
ON DOIT TRACER LA FIBRE MOYENNE DE FAÇON QUE LES COURBES DE PRESSION S'EN ÉCARTENT LE MOINS POSSIBLE

En tous les points d'un ouvrage, la maçonnerie devrait travailler à son effort maximum.

On vient de rappeler que, quand une section MM' (f_1) est soumise à un effort normal N , la pression maxima par unité β s'exerce en M , et est, pour $u \leq \frac{c}{6}$:

$$\text{Max } \beta = \beta_m \left\{ = \frac{\text{pression}}{\text{moyenne}} \frac{N}{c} \left(1 + \frac{6u}{c} \right) \right.$$

Pour rapprocher $\text{Max } \beta$ de β_m , il faut diminuer u , c'est-à-dire adopter une fibre moyenne telle que la courbe de pression la plus éloignée s'en écarte peu.



On s'est souvent borné à vérifier que les funiculaires des charges coupant la clef et les retombées en des points convenus, milieu ou tiers, ne sortaient pas du noyau central.

Mieux : on a tracé par les milieux de la clef et des retombées le funiculaire des poids morts, soit seuls, — soit en y ajoutant ou la moitié de la surcharge ou toute, — et pris ce funiculaire comme nouvelle fibre moyenne.

Pour les très grandes voûtes, les très surbaissées, on doit construire toutes les courbes de pression, puis modifier le tracé de la voûte, pour les rapprocher de la fibre moyenne.

CAS D'UNE VOÛTE INFINIMENT MINCE

RELATION ENTRE :

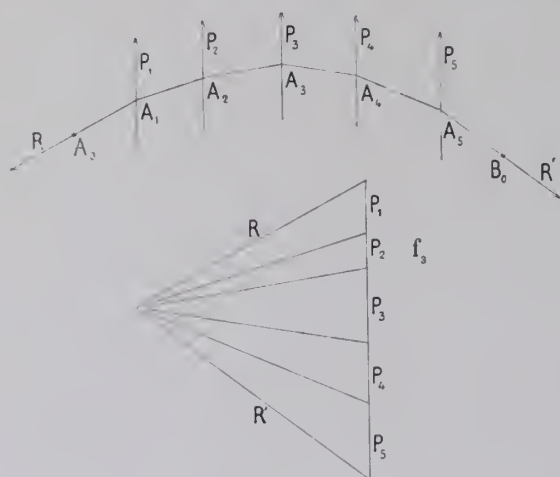
D'UNE PART, LA FORME D'UNE VOÛTE INFINIMENT MINCE, INCOMPRESSIBLE, DONT CHAQUE ÉLÉMENT S'ORIENTE SUIVANT LA RÉSULTANTE DES FORCES QUI LUI SONT APPLIQUÉES¹, C'EST-A-DIRE UNE COURBE FUNICULAIRE DES CHARGES ;

D'AUTRE PART, UNE LIGNE LIMITANT LES CHARGES VERTICALES COMPTÉES À PARTIR DE LA VOÛTE, DITE LIGNE DE CHARGE.

§ 1. — PRÉLIMINAIRES

Art. 1. — Rappel de la notion des courbes funiculaires. —

Considérons (f_3) un fil, sans poids, flexible, inextensible, attaché en deux points



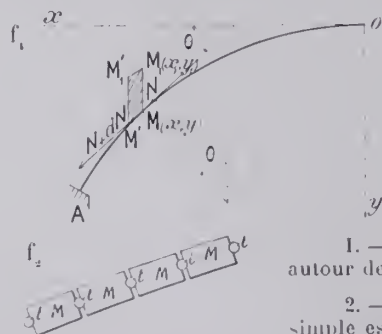
A_0 et B_0 , soumis à des forces verticales, mais agissant de bas en haut, P_1, P_2, \dots . Il prendra la forme d'un polygone dont chaque côté s'oriente suivant la résultante des actions d'un même côté, forces P_1, P_2, \dots et réaction de l'attache ; c'est le polygone funiculaire des forces P_1, P_2, \dots .

Si les forces se rapprochent, ses côtés diminuent, chacun d'eux demeurant orienté suivant la résultante des forces qui agissent sur lui, laquelle est ici une tension : les tensions des attaches sont égales et opposées à l'effort des côtés extrêmes.

Supposons maintenant que les forces verticales soient des poids, agissant de haut en bas ; que le fil soit incompressible au lieu d'être inextensible.

On aura le même polygone des forces, le même funiculaire ; chaque élément restera orienté suivant la résultante des forces situées d'un même côté ; mais cette résultante, les réactions des appuis, sont alors des compressions².

Art. 2. — Définition de la ligne de charge. — Soit O le sommet d'une voûte AO infiniment mince (f_1).



En un point quelconque $M(x, y)$, élevons une verticale sur laquelle MM_1 représentera, en hauteur de maçonnerie de même densité γ que celle de la voûte, la charge en M .

Le lieu de $M_1(x_1, y_1)$ est la *ligne de charge*.

1. — Par exemple une chaîne d'acier faite de maillons pleins M , mobiles autour de tourillons t (f_2).

2. — Pour se représenter de suite la forme de la fibre moyenne, le plus simple est de continuer à supposer le fil flexible et les forces de bas en haut.

Art. 3. — Relation entre la fibre moyenne (*courbe funiculaire*) et la ligne de charge. — MM' (f_1) est en équilibre sous l'action de : N à droite de MM' , $N + dN$ à gauche de $M'M'$, $\gamma (y - y_1) dx$, poids de la tranche de maçonnerie $MM_1M'_1M'$.

Écrivons que :

la variation de la projection horizontale est nulle :

$$d(N \cos \theta) = 0 \quad \text{ou } N \cos \theta = \text{Constante} = H \text{ (poussée horizontale)};$$

la variation de la projection verticale est $\gamma (y - y_1) dx$:

$$d(N \sin \theta) = d \left[\frac{H}{\cos \theta} \sin \theta \right] = d(H \operatorname{Tang} \theta) = H d \left(\frac{dy}{dx} \right) = \gamma (y - y_1) dx$$

$$H \frac{d^2 y}{dx^2} = \gamma (y - y_1)$$

Si on se donne la fibre moyenne y , la ligne de charge est :

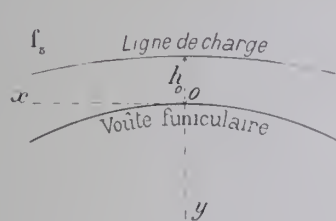
$$y_1 = y - \frac{H}{\gamma} \frac{d^2 y}{dx^2}$$

On l'a par une simple dérivation.

Si on se donne la ligne de charge y_1 , il faut, pour avoir la fibre moyenne y , intégrer une équation différentielle, ce qui n'est pas souvent possible.

Art. 4. — Poussée horizontale H dans une voûte funiculaire infiniment mince :

$$H \text{ (en kg.)} = \gamma \left(\begin{array}{l} \text{poids du m. c.} \\ \text{de maçonnerie,} \\ \text{en kg.} \end{array} \right) \times h_o \left(\begin{array}{l} \text{charge à la clef} \\ \text{en hauteur de ma-} \\ \text{çonnerie, en m.} \end{array} \right) \times \rho_o \left(\begin{array}{l} \text{rayon de courbure} \\ \text{de la voûte} \\ \text{à la clef, en m.} \end{array} \right)$$



Pour la clef (f_o) :

$$y = 0 \quad \frac{dy}{dx} = 0 \quad \rho_o = \frac{1}{\left(\frac{d^2 y}{dx^2} \right)_o} \quad y_1 = -h_o$$

$$H = \gamma h_o \rho_o$$

H est le produit du poids sur la clef γh_o par le rayon de courbure à la clef³.

3. — On a proposé des formules empiriques de e_o en fonction de ρ_o .

Celle-ci : $e_o = \frac{1}{3} (1 + 0.2 \rho_o)$ est attribuée à Saint-Guilhem par Déjardin (*Routine de l'établissement des voûtes*).

Dans la monographie du pont sur la Big-Muddy River (Tome I, p. 225, renvoi 2), j'ai cité celles de M. J. M. Rankine :

$$e_o = 0.227 \sqrt{\rho_o} \text{ (ponts à plusieurs arches)}$$

$$e_o = 0.191 \sqrt{\rho_o} \text{ (ponts à une arche)}$$

§ 2. — DE LA FIBRE MOYENNE, DÉDUIRE LA LIGNE DE CHARGE,

C'EST-À-DIRE :

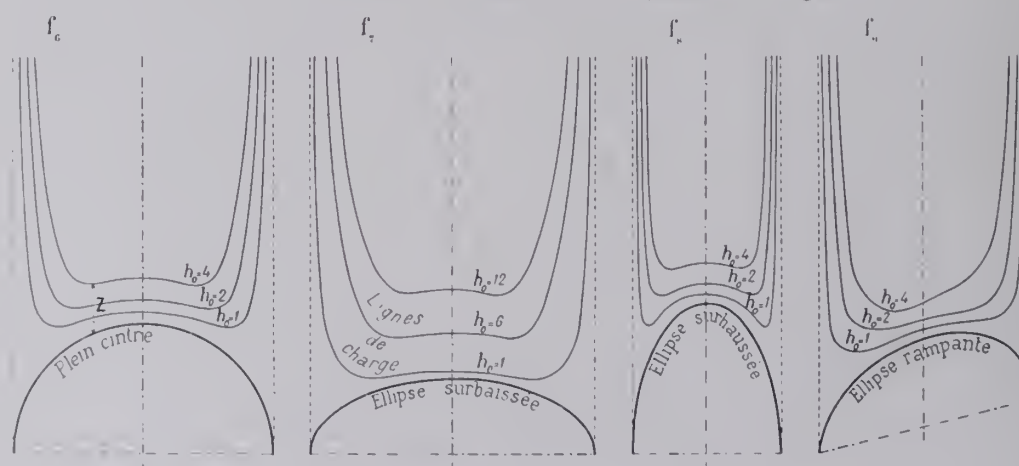
COMMENT FAUT-IL CHARGER UNE VOÛTE
POUR QUELLE SOIT UNE COURBE FUNICULAIRE DES CHARGES ?

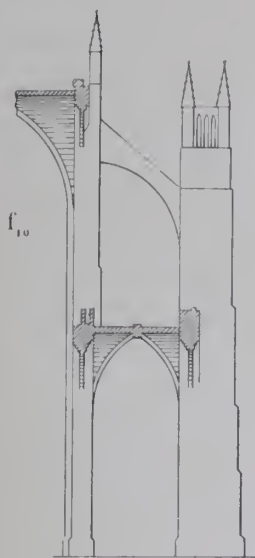
Art. 1. — Plein cintre. Ellipse.

	Plein cintre (r)	Ellipse (a, b)
Fibre moyenne $y =$	$r \left(1 - \sqrt{1 - \frac{x^2}{r^2}} \right)$	$b \left(1 - \sqrt{1 - \frac{x^2}{a^2}} \right)$
Poussée horizontale $H = \gamma h_0 \rho_0 =$	$\gamma h_0 r$	$\gamma h_0 \frac{a^2}{b}$
Charge comptée à partir de la voûte (distance verticale entre la fibre moyenne y et la ligne de charge y_1):		
$Z = y - y_1 = \frac{H}{\gamma} \frac{d^2 y}{dx^2} = h_0 \rho_0 \frac{d^2 y}{dx^2} =$	$\frac{h_0}{\left(1 - \frac{x^2}{r^2} \right)^{\frac{3}{2}}}$	$\frac{h_0}{\left(1 - \frac{x^2}{a^2} \right)^{\frac{3}{2}}}$
Charge sur les naissances	∞	∞
	(Les verticales des appuis sont les asymptotes de y_1).	

Voici (f_6 à f_4) quelques lignes de charge :

Voûtes infiniment minces et leurs lignes de charge.

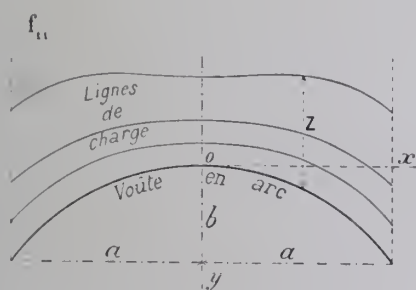
Au lieu du plein cintre entier de f_6 , n'en considérons qu'une moitié : la ligne de charge aura toujours une asymptote verticale à la naissance.



Supposons que l'arc soit la fibre moyenne d'un arc boutant poussé par une voûte d'arrière (f_{10}). La ligne de charge s'inscrira fort exactement dans l'arc boutant et son contrefort, si utilement lesté d'un pinacle.

Les Architectes de nos vieilles cathédrales sentaient l'équilibre des voûtes.

Art. 2. — Arc de cercle. Arc d'ellipse (f_{11}). — Arrêtons aux verticales des retombées ce qu'on vient de trouver pour le plein cintre et l'ellipse.

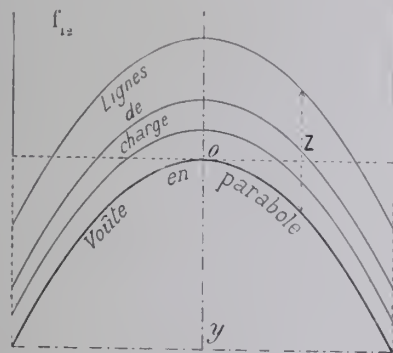


Voûte $y =$
Charge sur la
voûte :

$$Z = y - y_1 =$$

Charge aux
retombées

Arcs de portée $2a$ de montée b	
Arc de cercle (rayon r)	Arc d'ellipse ($\frac{1}{2}$ axes : a' b')
$r \left(1 - \sqrt{1 - \frac{x^2}{r^2}} \right)$	$b' \left(1 - \sqrt{1 - \frac{x^2}{a'^2}} \right)$
$\frac{h_0}{\left(1 - \frac{x^2}{r^2} \right)^{\frac{3}{2}}}$	$\frac{h_0}{\left(1 - \frac{x^2}{a'^2} \right)^{\frac{3}{2}}}$
$\frac{h_0}{\left(1 - \frac{a^2}{r^2} \right)^{\frac{3}{2}}}$	$\frac{h_0}{\left(1 - \frac{a'^2}{a'^2} \right)^{\frac{3}{2}}}$



Art. 3. — Parabole (f_{12}). — A la funi-

culaire $y = p x^2$, de poussée $H = \gamma h_0 \rho_0 = \frac{\gamma h_0}{2p}$, correspond la ligne de charge :

$$y_1 = p x^2 - \frac{2 H p}{\gamma} = p x^2 - h_0.$$

C'est la funiculaire déplacée de h_0 .

La charge est constante, et partout h_0 .

Art. 4. — Projection de chaînette.

$$y = k \left(e^{\frac{x}{h}} + e^{-\frac{x}{h}} - 2 \right)$$

Pour une charge h_0 à la clef :

$$H = \gamma h_0 \rho_0 = \gamma h_0 \frac{p^2}{2k}$$

Sur l'arc de droite, la compression $N'' = N'$ est inclinée de même sur l'horizon. Il faut, pour l'équilibre, charger la pointe de l'ogive d'un poids :

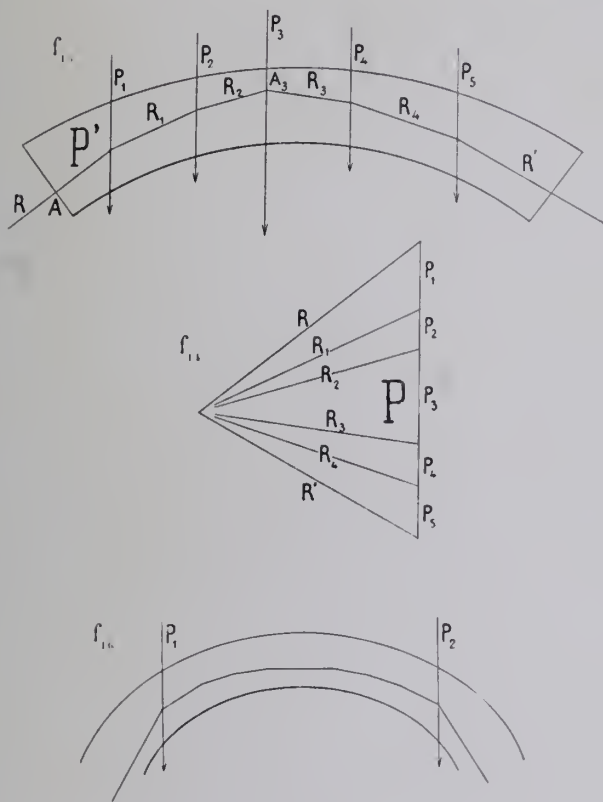
$$P = 2 N' \sin \theta_0 = 2 H \operatorname{Tang} \theta_0 = 2 \gamma h_0 \frac{y'^3}{r^2} \times \frac{x'}{y'} = 2 \gamma h_0 \frac{x' y'^2}{r^2}$$

§ 3. — RELATION ENTRE QUELQUES FORMES DE FUNICULAIRES ET QUELQUES DISPOSITIONS DES CHARGES

Soient $P_1, P_2, P_3, P_4, \dots$ les charges (f_{11}).

Supposons que l'on ait déterminé une des réactions R et son point d'application A .

Construisons le polygone des forces P (f_{11}) et le funiculaire P' (f_{15}).



Si un poids lourd P_3 est appliqué en A_3 , le funiculaire y a une chute : contre P_3 , la voûte fait pointe.

Si c'est au sommet, on brisera la voûte en ogive.

Réciproquement, il faut charger la clef d'une ogive ⁵.

Si la voûte, peu chargée au cerveau, porte aux reins deux poids isolés P_4, P_2 (f_{16}), le funiculaire, plat au cerveau, aura une chute aux reins.

Réciproquement, pour la stabilité d'une voûte dont ce funiculaire est la fibre moyenne, il faut peu de charge au cerveau, deux poids isolés aux reins.

Si, sur le dos d'une voûte, court un viaduc, le funiculaire est un polygone dont chaque sommet est sous une pile du viaduc.

Les charges et la fibre moyenne sont réciproques.

Si la fibre moyenne a été tracée pour une certaine disposition des charges, il faut, pour la stabilité, lui faire porter ces charges-là.

Par exemple, on ne doit décinturer une voûte en ogive qu'après l'avoir chargée à la clef ; une voûte en arc de cercle cambrée en vue du poids des tympans, qu'après avoir construit les tympans.

Les derniers côtés d'un funiculaire de poids verticaux ne sont jamais verticaux : il y a toujours une poussée horizontale aux retombées.

5. — C'est ainsi qu'on a judicieusement chargé d'une petite chapelle la clef du pont de Martorell (Tome III, p. 313).

On peut l'annuler, soit complètement par une arche voisine de même poussée, soit partiellement par une arche de poussée moindre.

Mais dans une voûte isolée, la fibre moyenne n'est jamais verticale aux naissances : ceci condamne les pieds-droits verticaux et justifie les culées perdues.

On reviendra plus tard avec détails sur tout ceci : c'est assez important pour être dit deux fois.

CHAPITRE III

VOÛTE D'ÉPAISSEUR FINIE

SOUmise A DES CHARGES OU SURCHARGES CONTINUES

RECHERCHE PAR LE CALCUL DE LA FORME A LUI DONNER
POUR QUE LE TRAVAIL MAXIMUM Y DÉPASSE PEU LE TRAVAIL MOYEN
C'EST-A-DIRE POUR QUE LES COURBES DE PRESSION
S'ÉCARTENT PEU DE LA FIBRE MOYENNE

§ 1. — HYPOTHÈSES ADMISES

Je laisse de côté, comme peu ou point appliquées, les méthodes de Carvallo⁶, Yvon Villarceau⁷, Saint-Guilhem⁸, et rappelle seulement les recherches de Denfert-Rochereau^{9,10}, de MM. Tourtay, Legay, Tolkmitt. Après Denfert-Rochereau, voici ce qu'ils admettent :

La courbe limitant la charge est une droite horizontale à h_0 au-dessus de la tangente au sommet : la surface de charge est continue, homogène, sans vides, même si les tympans sont évidés.

La voûte n'est soumise qu'à des forces verticales.

On a précédemment établi¹¹ que, réduite à sa fibre moyenne, courbe funiculaire, cette voûte est la projection de chaînette :

$$y = \frac{h_0}{2} \left[e^{\frac{x}{\sqrt{\frac{H}{\gamma}}}} + e^{-\frac{x}{\sqrt{\frac{H}{\gamma}}}} - 2 \right]^{12}$$

h_0 est la charge sur la clef en hauteur de maçonnerie, H la poussée horizontale, γ le poids du m. c. de maçonnerie.

6. — Annales des Ponts et Chaussées, 1853-1.

7. — Revue générale de l'Architecture et des Travaux Publics, 1844, p. 58 « *Equilibre des voûtes en berceau cylindrique* ».

8. — Après Yvon Villarceau, Saint-Guilhem suppose « *que la maçonnerie des reins et la surcharge de la voûte produisent sur l'extrados le même effet qu'un liquide homogène affectant la même forme et ayant la même densité que le massif de la voûte ;...* »

Il a donné des tables permettant de tracer l'intrados et l'extrados, de façon que la courbe de pression coïncide avec la fibre moyenne.

Annales des Ponts et Chaussées, 1859, 1^{er} semestre, p. 83 « *Mémoire sur l'établissement des arches de pont assujetties aux conditions du maximum de stabilité* ».

On a appliqué sa méthode à l'arche de 40^m de Signac, 1871-72 (Tome I, p. 131), à la voûte de 33^m sur la Gimone (Ligne de Toulouse à Auch), 1875-76...

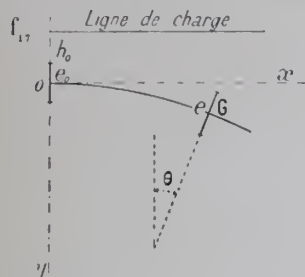
9. — Le défenseur de Belfort, alors Capitaine du Génie, Professeur à l'Ecole d'Application de Metz.

10. — Revue générale de l'Architecture et des Travaux Publics, 1859 « *Mémoire sur les voûtes en berceau portant une surcharge limitée à un plan horizontal* ».

11. — Chap. II, § 2, art. 4.

12. — Dans son Mémoire « *sur l'équilibre des voûtes en berceau* » (Annales des Ponts et Chaussées, 1840, I, p. 56), Mery avait signalé p. 69 « *l'analogie entre la chaînette et la courbe de pression* ».

La projection verticale $e \cos \theta$ de l'épaisseur e en un point quelconque est constante : c'est l'épaisseur à la clef e_0 (f_0).



Dans une section quelconque la pression moyenne est :

$$\frac{N}{e} = \frac{N}{\frac{e_0}{\cos \theta}} = \frac{N \cos \theta}{e_0} = \frac{II \left(\begin{smallmatrix} \text{poussée} \\ \text{horizontale} \end{smallmatrix} \right)}{e_0}$$

Elle est constante.

§ 2. — MÉTHODE DE M. TOURTAY ¹³

M. Tourtay s'est proposé de déterminer, non la fibre moyenne, mais l'intrados, puis l'extrados de la voûte.

Il la suppose d'abord réduite à un filet élémentaire, projection de chaînette.

Pour passer à la voûte épaisse, voici son ingénieux raisonnement :

« Imaginons . . . qu'au lieu d'avoir un seul filet supportant la charge totale,
« . . . nous superposons par le sommet un nombre n de ces filets, chacun d'eux
« supportant une fraction $\frac{1}{n}$ de la charge, et faisons croître n indéfiniment ¹⁴. »

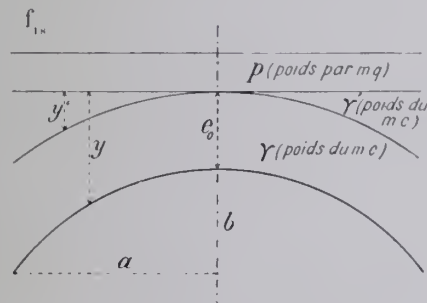
Si on pouvait superposer les filets sans vide, on constituerait une voûte ayant partout la même pression moyenne.

Il reste toujours du vide; mais on détermine les constantes de manière à le réduire à un minimum négligeable pour les voûtes surbaissées à plus de 1/7.

Dans une voûte ainsi constituée, on peut tracer une courbe de pression passant, à très peu près, au milieu de tous les joints.

Tous les filets, en particulier les courbes d'intrados et d'extrados, la fibre moyenne, toutes les courbes de pression, sont des projections d'une même chaînette.

Soit :
$$h = \frac{1}{2} \left(\omega + \frac{1}{\omega} - 2 \right)$$



M. Tourtay établit ¹⁵ des formules qui se résument ainsi : (voir f₁₈ pour le sens des lettres).

$$\frac{1}{k} = \frac{p + \gamma e_0}{\gamma' b} \left[1 - \frac{e_0 b \left[\frac{\gamma}{\gamma'} - 1 \right]}{\frac{\gamma e_0 b}{\gamma'} + a^2 \frac{(\omega - 1)^2}{(\omega + 1)^2} \frac{1}{(\log. \text{ nep. } \omega)^2}} \right]$$

13. — « *Etude sur le calcul des arches surbaissées en maçonnerie* », par C. Tourtay, Ingénieur des Ponts et Chaussées.

Revue Générale de l'Architecture et des Travaux Publics, — 43^e volume, Paris, André, Daly fils et C^{ie}, 1886, p. 15.

14. — ...id..., p. 20.

15. — *loc. cit.*, renvoi 13, p. 20, 64 et suivantes.

Dans une note du 11 novembre 1891 (non publiée), M. Tassaing a retrouvé des équations de même forme pour une chaussée en chaînette aplatie.

Année des Ponts et Chaussées, octobre 1832, p. 482 et suivantes.

$$\begin{aligned} \text{Intrados :} \quad & 1 + \frac{k}{b} y = \frac{1}{2} \left[\frac{x}{\omega a} + \omega - \frac{x'}{a} \right] \\ & \gamma - \frac{k}{b} (p + \gamma e_0) \\ \text{Extrados :} \quad & y' = y \frac{\gamma - \gamma'}{\gamma - \gamma'} \\ \text{Pression moyenne} & \left. \begin{array}{l} \text{à la clef} \\ \text{en kg/1}^{\text{m}^2} \end{array} \right\} \beta_0 = \frac{(p + \gamma e_0) (k + 2)}{\text{Log. nep.} \frac{\gamma - \gamma'}{\gamma - \frac{p + \gamma e_0}{b} k}} \end{aligned}$$

M. Tourtay a appliqué ses formules à nombre de grandes voûtes très minces ¹⁶.

M. de Tedesco en a donné des tables et des graphiques ¹⁷.

§ 3. — MÉTHODE DE M. LEGAY

M. Legay ¹⁸ retrouve d'abord pour la voûte infiniment mince la projection de chaînette, qu'il appelle « caténoïde » ¹⁹.

$$y = \frac{h_0}{2} \left(e^{\frac{x}{\sqrt{\frac{H}{\gamma}}}} + e^{-\frac{x}{\sqrt{\frac{H}{\gamma}}}} - 2 \right)$$

Puis, il passe à une voûte d'épaisseur finie; il la suppose d'abord articulée aux reins et à la clef, en détermine la courbe de charge et la remplace par une horizontale équivalente, à h_0 au-dessus de la clef.

Il détermine h_0 , soit par essais successifs, ou mieux comme suit : il suppose la voûte en caténoïde avec h_0 arbitraire, cherche la courbe de pression passant par les milieux de la clef et des naissances, exprime que pour $x = \frac{2a}{3}$ la courbe de pression et la caténoïde ont même ordonnée : cette relation donne h_0 .

La caténoïde, fibre moyenne, et la courbe de pression, déjà communes à la clef et aux naissances, se coupent ainsi pour $x = \frac{2a}{3}$ point où, en général, le centre de pression est le plus loin de la fibre moyenne.

16.	Dates	Ponts (en arcs très surbaissés)	Nombre d'arches	Portée	Surbaiss ¹	
	1888-1890	Boucicaut, sur la Saône (α)	5	40 ^m	1 8	α . Intrados en projection de chaînette.
	1897-1899	d'Iguerande, sur la Loire (β)	7	28 ^m 60	1 7,62	β . Intrados en arc d'anse de panier ayant à la clef \bullet aux retombées les rayons de la projection de chaînette.
	1898-1899	de Lays, sur le Doubs (β)	5	26 ^m	1 7,47	
	1900-1904	d'Arciat, sur la Saône (α)	7	31 ^m	1 7,12	
	1904-1908	de Digoïn, sur la Loire (β)	9	26 ^m	1 7,4	

17. — *Tables et graphiques pour le calcul des arches surbaissées en maçonnerie, d'après la méthode de M. Tourtay.* — Paris, Baudry, 1891.

18. — « Méthode sur le tracé et le calcul des voûtes en maçonnerie » par M. Legay, Ingénieur des Ponts et Chaussées.
Annales des Ponts et Chaussées, 4^e trimestre 1900.

19. — On avait, précédemment, appelé caténoïde la surface engendrée par une chaînette tournant autour de sa base.

« Les fonctions elliptiques et leurs applications » par Alfred-George Greenhill. Traduit de l'anglais par J. Griess, Paris, Carré, 1895, p. 138.

C'est un cas particulier des « élassoïdes », étudiées par Ribaucour, Ingénieur des Ponts et Chaussées (mort en 1893).

Pour réduire encore l'écart dans les voûtes peu surbaissées ($\sigma > \frac{1}{4}$), il prend comme courbe d'essai la caténoïde, déterminée comme plus haut, puis la rectifie par une funiculaire passant par les milieux de la clef et des naissances.

M. Legay adopte comme fibre moyenne la « caténoïde » de la voûte supposée articulée : comme elle ne l'est pas, la courbe de pression ne coïncide plus avec elle : il calcule les écarts des deux courbes et les trouve faibles.

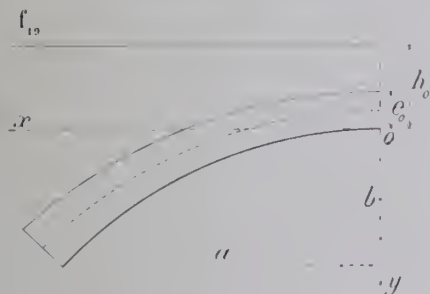
Il a donné des tables permettant de calculer, suivant la portée et le surbaisement, les éléments des caténoïdes.

Il a appliqué ses formules au pont d'Orléans²⁰.

§ 4. MÉTHODE DE TOLKMITT^{21, 22}

Cette méthode est très usitée en Allemagne, en Autriche.

Tolkmitt prend comme fibre moyenne la funiculaire des poids morts et de la 1/2 surcharge, passant par les milieux de la clef et des retombées.



Il trouve entre x et y (de l'intrados) une équation fort compliquée que l'on résout à l'aide de tables numériques qu'il donne, mais que, fort judicieusement, il remplace avec très peu d'écart, par une équation de la forme suivante, qui est simple et pratique :

$$y = \frac{m x^2}{a^2 \frac{b+m}{b} - x^2} \quad (\text{courbe étudiée p. 337}).$$

Soit ρ_0 (rayon de courbure à la clef) $= \frac{a^2}{2 b m} (b + m)$.

La courbe peut s'écrire :

$$y = \frac{x^2}{2 \rho_0 - \frac{2 b \rho_0 - a^2}{a^2 b} x^2}.$$

Soit encore h_0 la charge sur la clef, exprimée en hauteur de maçonnerie

Tolkmitt établit les deux formules :

$$\rho_0 + e_0 = \frac{a^2}{4 h_0} \left[\frac{h_0}{b} + \frac{1}{8} + \frac{2 e_0 h_0}{a^2} \sqrt{\left(\frac{h_0}{b} + \frac{1}{8} + \frac{2 e_0 h_0}{a^2} \right)^2 + \frac{8 e_0 h_0}{a^2}} \right]$$

$$H \left(\begin{array}{l} \text{poussée horizontale à la clef sur 1 m. de largeur de} \\ \text{voûte, composante horizontale constante de l'effort sur} \\ \text{chaque section — en kg.} \end{array} \right) = (\rho_0 + e_0) h_0 \gamma \left(\begin{array}{l} \text{poids en kg d'un m. c.} \\ \text{de maçonnerie.} \end{array} \right)$$

Si on se donne la poussée par m. q. à la clef β_0 :

$$H = e_0 \beta_0$$

20. — Tome III, p. 255.

21. — « Leitfaden für das Entwerfen und die Berechnung gewölbter Brücken », von G. Tolkmitt, Königlich Baurat (3^e édition, Berlin, Wilhelm Ernst et fils, 1912).

22. — Mort en 1900.

§ 5. *OBSERVATIONS SUR TOUTES CES MÉTHODES*

Toutes ces méthodes, d'ailleurs fort ingénieuses, reposent sur des hypothèses qui ne laissent pas de prêter à la critique.

Pour une très grande voûte, il est plus sûr, plus clair, de construire ses courbes de pression, puis de tracer un intrados et un extrados qui les encadrent au mieux.

On a dit ceci au Chapitre I : il est bon de le redire.

CHAPITRE IV

UN ARC EST DIT ÉLASTIQUE
QUAND LES DÉFORMATIONS Y SONT PROPORTIONNELLES
AUX EFFORTS (*Hypothèse de Hooke*),
ET QU'UNE SECTION PLANE RESTE PLANE APRÈS FLEXION
(*Hypothèse de Navier*).
DANS QUELLES LIMITES EST-CE VRAI POUR LES VOÛTES,
ET A-T-ON LE DROIT DE LES CALCULER COMME ÉLASTIQUES ?

§ 1. *EXPÉRIENCES DE LABORATOIRE*

POUR LES VOÛTES EN PIERRE, IL N'Y A PAS, A PROPREMENT PARLER,
DE COEFFICIENT D'ÉLASTICITÉ,
C'EST-A-DIRE QUE POUR ELLES, L'HYPOTHÈSE DE HOOKE EST FAUSSE.

Pour qu'on puisse supposer les voûtes élastiques, c'est-à-dire pour qu'il soit permis de leur appliquer les formules de déformation, il faut tout d'abord que le coefficient d'élasticité E soit constant pour un même « matériau » sous tout effort inférieur à la limite d'élasticité ; puis, pour la pratique du calcul, qu'il soit le même, non seulement pour chaque matériau, mais tout le long de la fibre moyenne, au moins pour chaque tranche, à condition de tenir alors compte de ses variations de tranche à tranche.

Or, toutes ces hypothèses sont fausses.

Pour chaque « matériau » de voûte (moellon, mortier, béton), le coefficient d'élasticité varie avec l'effort. ²³

Il varie entre deux pierres de même carrière et de même préparation, entre deux briques de même fournée, entre deux bétons de même composition et même âge. ²⁴

Toutefois, il est à peu près le même à la traction pour les bonnes marques de ciments lents ²⁵.

23. — M. C. Bach a fait de très nombreux essais. Voici, d'après quelques-uns d'entre eux, la valeur de :

$$\varepsilon = \frac{E \text{ (Kg./cm}^2\text{)}}{10^5} = \frac{\beta \text{ (travail en kg./cm}^2\text{)}}{10^5 \times \frac{\Delta l}{l}}$$

(On a écrit en italique ce qui concerne les essais à la traction.)

Matériaux essayés.	Résistance à la rupture (kg/cm ²) (mesurée sur des cubes)	Entre les efforts β (kg/cm ²)	ε	Sources
Ciment Portland pur — 83 jours.		0 — 8 ⁴ 31,8 — 39,8	2,12 1,67	<i>Versuche über die Elastizität und Druckfestigkeit von Körpern aus Zement, Zementmörtel und Beton, von C. Bach. (Zeitschrift des Vereines deutscher Ingenieure, 1896, p. 1381.)</i>
Mortier de ciment 1.3.	191,7	0 — 8 32,1 — 40,1	2,38 1,62	
Béton	1 — 2½ — 5.	0 — 7,9 31,7 — 39,6	3,32 2,07	
	1 — 5 — 10.	0 — 7,9 31,6 — 39,5	2,58 1,52	
Granit.	1006	0 — 13,8 27,5 — 41,3 137,7 — 165,2	1,66 1,23 2,19	<i>Untersuchung von Granit in Bezug auf Zug-, Druck-, Biege-, und Schubfestigkeit, sowie in Hinsicht auf Zug-, Druck-, und Biege-Elastizität, von C. Bach, (Zeitschrift des Vereines deutscher Ingenieure, 1897, p. 241.)</i>
	15,4	0 — 4,8 19,1 — 29,2	2,3 0,6	
	1597	0 — 14,6 76,6 — 89 126,1 — 163,3	4,67 3,97 1,03	<i>Versuche zur Ermittlung der Zusammendrückung (Elastizitätsversuche) und der Druckfestigkeit, von C. Bach. (Zeitschrift des Vereines deutscher Ingenieure, 1903, p. 1445.)</i>
		0 — 24,25 48,29 — 72,23	1,61 2,79	
Marbre.		0 — 3,6 10,8 — 11,1	1,40 0,69	<i>Elastizität und Festigkeit, von Dr. Ing. C. Bach (Fünfte vermehrte Auflage). Berlin, J. Springer, 1905, p. 67 et suivantes</i>
		0 — 1,2 12,3 — 16,3	0,93 0,24	
Grès.		0 — 1,35 12,8 — 17	0,48 0,17	<i>Zur Frage der Proportionalität zwischen Dehnungen und Spannungen bei Sandstein, von C. Bach. (Zeitschrift des Vereines deutscher Ingenieure, 1900, p. 1169.)</i>

La **compression** β augmentant, ε a diminué pour le ciment, le béton, le grès, suivant une loi exprimée par la formule $\frac{K}{\beta^n}$. K constante, n autre constante < 1.

Pour le granit, ε décroît d'abord, puis augmente; pour le marbre, il augmente.

La **traction** β augmentant, ε diminue pour le marbre et le grès.

24. — Expériences autrichiennes :

(Voir plus loin § II, art. 2.)

				$\varepsilon = \frac{E \text{ (kg/cm}^2\text{)}}{10^5}$	
				à la traction	à la compression
	Dosage				
Grès.....					1,37 à 2,71 0,45 à 1,62
Briques.....					
Béton.....	Ciment	Sable	Pierre cassée		
	1	3	5	0,98	0,74
	1	2	3	2,80	
	1	1	1	2,50	2,64

Bericht des Gewölbe-Ausschusses des Oesterr. Ingenieur und Architekten, Sonderabdruck aus der Zeitschrift der Oesterr. Ingenieur und Architekten Vereines, 1895, p. 41, 42.

25. — Pour la pâte pure, d'âge variant de 28^j à 106j, ε augmente de 1,8 à 3. Quand il est 1,8 pour la pâte pure, il atteint 2,1 pour le mortier à 600^e et le béton à 1000^e (1^{re} - 1^{re}).

Expériences faites par le Service des Phares et Balises sur la résistance et l'élasticité des ciments Portland, M. de Joly, Ingénieur des Ponts et Chaussées. (Annales des Ponts et Chaussées, 1898, 3^e trimestre, p. 198 à 242).

Il n'est pas le même à la compression et à la flexion ²⁶.

La proportion de mortier, la nature et la taille des voussoirs, sont différentes dans les bandeaux, la douelle et le queutage ; dans sa section transversale, la voûte est hétérogène : il est impossible de déduire du coefficient d'élasticité de chaque « matériau » d'une voûte, le coefficient d'élasticité moyen de la voûte ²⁷.

On exécute les grandes voûtes par rouleaux, par tronçons, avec clavages matés, sur des cintres qui se déforment : même homogènes comme matériaux, faites, elles ne le seraient plus.

Enfin, on ne peut pas calculer de même une voûte en matériaux bien réguliers, à joints minces, et une voûte en béton, masse homogène sans joints.

Voilà bien des objections à l'application aux voûtes des formules de déformation.

Dans quelle mesure l'ont confirmée ou infirmée les trop rares observations faites sur les voûtes ?

26. — M. Mesnager : « *Cours de Matériaux de Construction* » professé à l'Ecole des Ponts et Chaussées, 4^e Partie : « *Pierres de Construction* », p. 68 et 72.

Expériences faites au Laboratoire de l'Ecole des Ponts et Chaussées :

		Coefficient d'élasticité	
		à la compression	à la flexion
Calcaires	Marbre blanc	6,06	7,31 à 8,02
	Pierre de Tonnerre (Yonne).....	2	2,98 à 3,52
Terres cuites.....		0,40 à 0,65	0,52 à 2,70

27. — Voici quelques coefficients d'élasticité moyens de maçonneries :

Dans des essais sur des arcs en briques, M. de Perrodil avait trouvé pour $\frac{E \text{ (Kg } \overline{0,01^2})}{10^5} = \varepsilon : 0,19, 0,3.$

Annales des Ponts et Chaussées, août 1882, p. 119. — La Commission des Annales observe que les déformations ont été excessives.

Dans leurs essais, indiqués plus loin (§ II, Art. 2 - D), les Ingénieurs autrichiens ont trouvé :

	Voûte	Matériaux de la voûte
Voûte en moellons ordinaires.....	0,604	1,37 à 2,71
Voûte en briques.....	0,278	0,45 à 1,62
Voûte en béton.....	2,46	

Des déformations observées à l'arche en pierre de taille de Souppes, M. Résal a déduit $\varepsilon = 2,5$.

« *Ponts en Maçonnerie* », Tome I, p. 49, Baudry 1887.

Pour les tours de phares, avec $\varepsilon = 3$, M. Ribière a retrouvé, à peu près, les durées des périodes de vibration enregistrées par son oscillographe.

Annales des Ponts et Chaussées, 1^{er} trimestre 1905, p. 24.

La même valeur $\varepsilon = 3$ correspond encore à la flexion de 4^{me} d'une pile de 44^m05 de hauteur du viaduc de la Sumène, pendant l'arrêt brusque d'un train subitement serré à bloc.

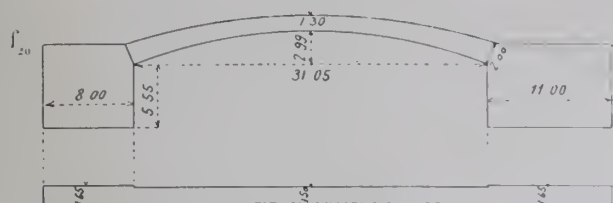
Annales des Ponts et Chaussées, janvier-février 1910, p. 64 : « *Note sur la construction du viaduc des Fades, ligne de Saint-Eloy à Pannat* », M. Virard.

M. Boissnier, en comparant deux mouvements à peu près égaux des voûtes du pont de Constantine (Tome II, p. 107), la contraction de l'arc sous une pression de 12^k, sa dilatation pour $\tau = 9''$ avec $\alpha = \frac{7}{10^6}$ a trouvé : $\varepsilon = 2$.

Annales des Ponts et Chaussées, mai-juin 1912, p. 505.

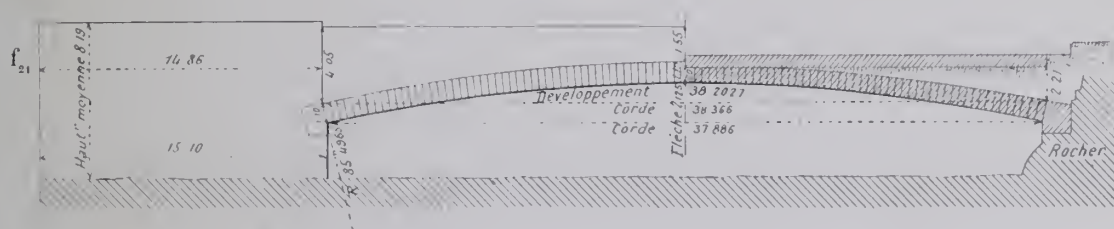
§ 2. — EXPÉRIENCES SUR DES VOÛTES ²⁸

Art. 1. — Arceau d'essai de Vassy (arc de 31^m05 à 1/10,37), en moellons ordinaires dressés en coupe, mortier de ciment (1845-1846) (f.₃₀). Épreuves au choc (30 mai 1846) ²⁹.



2762^k tombant de 27^{cm}, puis de 37^{cm}, produisent des oscillations estimées 2^{cm}, non mesurées.

Art. 2. — Expérience faite dans les carrières de Souppes (Seine-et-Marne) (1865-66). Arc de 37^m886 au 1/18^e, de 3^m50 de largeur (f.₂₁). Dépenses : 33.583 fr. ³⁰



A. — Voûte. — Voûte en pierre de taille avec lits et joints parfaitement plans. Mortier à 600^k de ciment pour 0^m800 de sable. Joints de 12^{mm}; ceux des naissances fichés les derniers.

La voûte a été exécutée du 26 octobre au 14 novembre 1864, décintrée le 15 mars 1865.

28. — Je rappelle, pour ordre, les expériences de Boistard de 1796.

Avant de construire le pont de Nemours (fondations 1796-97, voûtes 1803), il éprouva 22 voûtes de divers intrados, ayant toutes une portée de 8^{pi}eds (2^m60), une épaisseur uniforme de 4^{po}nces (0^m11), en voussoirs égaux, composés chacun de deux briques polies au grès sur une face, jointes au plâtre sur l'autre; — pas de mortier entre les voussoirs.

« Expériences sur la stabilité des voûtes » par L. C. Boistard, Ingénieur en Chef du Corps impérial des Ponts et Chaussées (Recueil de divers Mémoires extraits de la Bibliothèque impériale des Ponts et Chaussées, publié par P. C. Lesage, Ingénieur en Chef de 1^{re} classe, — Paris, Firmin-Didot, 1810, II^e Partie, p. 171 à 217, Pl. XI à XVI).

Les voûtes éprouvées par Boistard ne ressemblent guère aux voûtes usuelles, à mortier, à épaisseur croissante à partir de la clef.

29. — Notice de Belgrand, alors Ingénieur ordinaire des Ponts et Chaussées, du 22 octobre 1846, dans le dossier de l'arche d'essai de Souppes (exécutée 20 ans plus tard).

Service de la Navigation de la Seine (2^e section) et des Ponts de Paris, — Archives (carton 30, dossier 3).

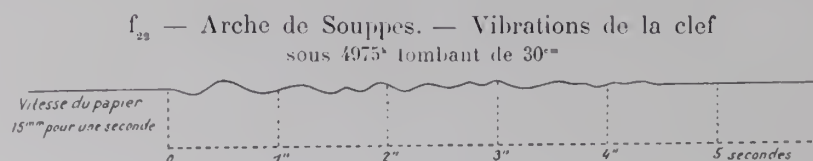
30. — « Notice sur la construction d'une arche d'essai très surbaissée » par M. Félène-Romany, Ingénieur en Chef des Ponts et Chaussées.

Annales des Ponts et Chaussées, Tome XII, série 4, juillet et août 1866, p. 10 à 17, Pl. 124.

B. - *Essais*³¹. — Sous une charge uniforme par m. q. de 681^k et 656^k, la clef s'abaissa de 8^{mm} et 9^{mm} : la charge enlevée, plus d'abaissement.

Au passage d'un chariot de 5510^k, dont 4975^k sur l'essieu d'arrière, la voûte, déjà chargée à 656^k par m. q., fléchit dès l'entrée du chariot, s'abaisse de 0^{mm}3 au passage sur la clef, puis reprend sa position.

4975^k tombant de 30^{cm} font une oscillation de 2^{mm}8 à la clef (f_{22}), 0^{mm}6 au plus aux reins.



Cette voûte homogène, en pierre de taille, s'est comportée comme un arc élastique.

Art. 3. — Observations aux ponts de Lavour et Antoinette et au pont de Morbegno. — Se sont aussi comportées comme des arcs élastiques :

Sous les trains, les voûtes de Lavour³² et Antoinette³³ ;

Sous un changement de température, celle de Morbegno³¹, c'est-à-dire que les formules « de déformation » s'y sont appliquées³⁵.

Art. 4. — Expériences de l'Association des Ingénieurs et Architectes autrichiens (1890-1891)³⁶.

A. - *Voûtes essayées*. — Ce sont les premiers essais faits pour vérifier l'application aux voûtes des formules « de déformation ».

Je laisse de côté ceux sur arcs en béton armé et en métal.

On a essayé :

7 voûtes de 1^m35 et 7 de 2^m70, — 3 de 4^m05 ; 1 de 10^m au 1^{er} 10 en béton ; — 3 de 23^m en arc surbaissé à 1^{er} 5 (portée 23^m, flèche 4^m60, largeur 2^m), savoir :

une en moellons ordinaires de grès, de 0^m60 à la clef, 1^m10 aux retombées (mortier : ciment 1^{re}, sable 2^{re}6) ;

une en briques, même mortier, mêmes épaisseurs ;

une en béton de 0^m70 d'épaisseur uniforme : noyau à 1^{re} - 3^{re} - 5^{re} ; intrados et extrados : 1^{re} - 2^{re} - 3^{re}, 1^{re} - 1^{re} - 1^{re}, là où, sous une surcharge dissymétrique, on prévoyait des efforts de traction.

31. — « Note sur l'arche d'essai des carrières de Souppes » par M. de Lagrené, Ingénieur des Ponts et Chaussées.

Annales des Ponts et Chaussées, Tome XVI, 4^e série, août 1868, p. 130 à 146, Pl. 170, 171.

32. — Tome II, p. 143, 144.

33. — Tome II, p. 149.

34. — Arc semi-articulé, Tome IV, p. 65.

35. — Pour 34^e d'écart, le mouvement de la clef a été de 33^{mm}.

En calculant la voûte avec les formules de déformation d'un arc élastique, M. Guidi, pour une variation de 34^e et le coefficient de dilatation $\alpha = 8 \times 10^{-6}$ a trouvé 37^{mm}.

« *Influenza della temperatura sulle costruzioni murarie* », Camillo Guidi, Turin 1906, p. 9.

36. — Source indiquée au renvoi 24.

Les deux voûtes en béton (celle de 10^m, celle de 23^m) étaient posées aux naissances sur plaques d'asphalte : elles étaient donc un peu articulées en deux points. On ne pouvait pas en conclure grand'chose pour les voûtes inarticulées.

B. — Conclusions de M. le Professeur Brick. — Voici les conclusions qu'a dégagées des expériences l'un des rapporteurs, M. le Professeur Brick :

1. — Pendant les premières charges, avant les premières fissures, les déformations des axes des voûtes ont augmenté à peu près proportionnellement à la charge.

2. — La charge dépassant une certaine valeur « critique », il se produit des fissures, là où la tension dépasse : soit, dans les voûtes appareillées, l'adhérence du mortier au moellon ; soit, dans les voûtes en béton, la résistance à l'extension du béton.

3. — Dans les voûtes appareillées, les fissures suivent le joint ; dans les voûtes en béton, elles sont irrégulières et se ramifient.

4. — Elles se produisent au 1/4, au 1/3, aux 2/3, aux 3/4 de la portée, et aux retombées : en général, là où le calcul, fait dans l'hypothèse élastique, indique des sections dangereuses.

5. — Au moment où apparaît la fissure, la fibre moyenne ne change pas brusquement de forme.

6. — Les fissures ouvertes, la voûte ne résiste plus à la tension ; mais elle continue à tenir par sa résistance à la compression, laquelle est beaucoup plus grande. La charge de rupture a dépassé la charge critique de 30 % pour la maçonnerie ordinaire, 59 % pour les voûtes en briques, 31 % pour les voûtes en béton. C'est très heureusement la résistance à l'écrasement qui mesure la résistance de la voûte.

C. — Ce qu'il faut retenir. — En résumé, tant qu'il n'y a pas eu tension, et pour les premières surcharges, les voûtes paraissent, en général, s'être comportées comme des arcs élastiques.

C'est à cette modeste conclusion qu'aboutissent, en somme, ces expériences si vantées³⁷.

Il y avait peut-être plus à apprendre de l'essai de Souppes, plus vieux de 25 ans.

37. — L'Association des Ingénieurs et Architectes autrichiens a institué une deuxième « Commission des voûtes » (Gewölbe-Ausschuss). Elle a publié deux rapports :

1° - 4 avril 1900 : « *Elasticité et résistance de prismes en pierre de taille, moellons, béton, béton armé, briques creuses et ordinaires, chargés suivant leur arc et excentriquement* ».

Zeitschrift des Österr. Ingenieur und Architekten Vereines. (Supplément au n° 25 de 1901).

2° - avril 1910 : « *Voûtes de bâtiments en arc, en béton, béton armé, briques, appuyées sur des poutres en I.* »

Vienne, — Edition de l'Association.

Art. 5. — Insuffisance des observations faites sur les voûtes. — D'observations continues, — j'entends pendant plusieurs années, — sur une voûte, je n'en sais pas.

Comment, depuis sa pose sur le cintre, s'accroît jusqu'au décintrement, puis jusqu'à l'achèvement de l'ouvrage, le travail d'un voussoir ; comment il varie ensuite avec les surcharges, la température, le soleil, l'imbibition ; comment, en un mot, à un moment quelconque, travaille chaque point d'une voûte, — tout cela nous ne le savons pas beaucoup mieux que les ingénieurs de Trajan.

Il y a plus de 2000 ans qu'on fait des voûtes, et l'on n'a pas encore un appareil simple, pratique, sûr, à mettre en toutes mains, permettant à toute époque de mesurer le travail, non pour de courtes périodes : décintrement, passage d'un train (ces instruments-là, on les a), ^{37 bis} mais après des années.

Si on avait un « baromètre » enregistrant continuellement les pressions en chaque point d'une voûte, on n'imaginerait plus, on saurait.

§ 3. — QUELQUES AUTRES INDICATIONS DE L'ÉLASTICITÉ DES MAÇONNERIES

Art. 1. — Chute des arches du pont de Vernon ³⁸. — Le 14 octobre 1870, on fit sauter l'arche de rive gauche du pont de Vernon sur la Seine. Les piles voisines s'inclinèrent l'une après l'autre vers la rive gauche, laissèrent tomber les arches, puis se redressèrent, et reprirent à peu près leur ancienne position, avec si peu d'avaries qu'on appuya sur elles les nouvelles voûtes.

Art. 2. — Oscillations des phares sous les coups de vent. — Les tours des phares oscillent sous les coups de vent comme des tiges encastrées à leur pied ³⁹.

^{37 bis}. — Récemment, M. Mesnager, Professeur à l'École des Ponts et Chaussées, a rendu visibles, à l'aide de la double réfraction, les lignes d'égale travail, dans un modèle réduit en verre.

Annales des Ponts et Chaussées, 1913, juillet août, p. 135.

³⁸. — 7 arches en anse de panier de 8^m25 de flèche, 26^m d'ouverture pour les 5 arches centrales, 28^m pour les deux arches de rive ; piles de 3^m50 d'épaisseur aux naissances fondées sur pilotis. Pont construit en 1858-1862.

Annales des Ponts et Chaussées, 1874, 2^e semestre : « Pont de Vernon » M. Picquenot.

³⁹. — Voici quelques déplacements observés :

Phare	construit en :	Amplitude des déplacements	Hauteur du phare
de la Coubre	Pierre calcaire de moyenne qualité, de petit appareil.	1 ^m 5	48 ^m 5
des Baleines	Pierre de taille calcaire de bonne qualité, de grand appareil.	1 ^m 5	47 ^m
de Barilleur	Pierre de taille granitique de moyenne qualité, de grand appareil.	0 ^m 5	66 ^m
du Planier	Maçonnerie brute de moellons calcaires de très bonne qualité, — plus épaisse et beaucoup plus rigide que les précédentes.	Amplitude imperceptible	54 ^m
de l'Île Vierge (Ancien et nouveau)	Maçonnerie brute en moellons de granit avec parements extérieurs en pierre de taille granitique.	Amplitude imperceptible	28 ^m et 70 ^m
de la Canche	Briques tendres de médiocre résistance, peu épaisses. Tour très légère avec cassure générale de haut en bas.	4 ^m	48 ^m
de Calais	Briques tendres. Cassure générale de haut en bas.	2 à 3 ^m	47 ^m

Annales des Ponts et Chaussées, 1^{er} trimestre 1905, p. 24 — « Oscillations des tours de phares », par M. Ribière, Ingénieur en Chef du Service central des Phares et Balises.

Art. 3. — Évasement du haut des nefs de cathédrales. —

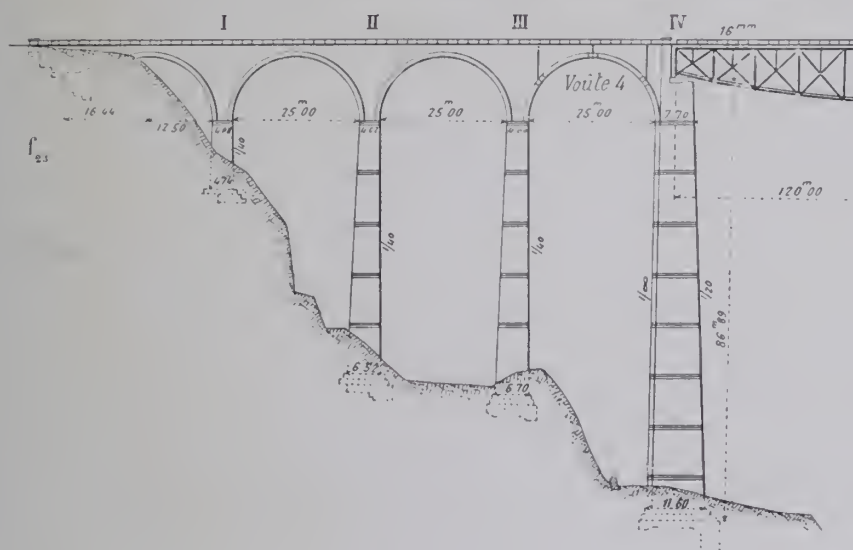
Dans nombre de cathédrales (Laon⁴⁰, Bourges, Amiens, Reims, Dijon...), on observe qu'au-dessus des chapiteaux, les piliers s'inclinent vers le dehors⁴¹.

On n'a pas voulu ce déversement : il est dû à la poussée des grandes voûtes de la nef.

Après, l'ensemble tient.

Art. 4. — Courbure élastique des piles IV et III du viaduc sur la Sitter (f₂₃), 1908-1910. (Ligne du lac de Constance au lac de Zurich).

La naissance de la pile-culée IV se déplaça horizontalement, vers la vallée :



de 45^{mm} jusqu'au clavage de la voûte 4; de 95^{mm} du clavage à l'achèvement; en tout de 140^{mm}⁴².

Pendant que la pile IV s'écartait de 45^{mm}, l'ouverture de la voûte 4 augmentait de 20^{mm} : la pile III s'est déversée vers la vallée, de :

$$45^{\text{mm}} - 20^{\text{mm}} = 25^{\text{mm}}.$$

Sous les tympans, la clef de la voûte 4 baissa de 80^{mm}, sa portée s'accrut de 70^{mm} pour un déversement de 95^{mm} de la pile IV, soit, pour la pile III, un nouveau déversement de 95^{mm} - 70^{mm} = 25^{mm}; en tout 50^{mm}⁴³.

40. — A Notre-Dame de Laon, « le hors d'aplomb des colonnes varie, depuis les extrémités de la nef jusque vers son milieu, de 8, 10, 12 et 15 centimètres, mesuré du sol jusqu'aux chapiteaux, et de 25 centimètres en sens inverse, depuis les chapiteaux jusqu'à la naissance des voûtes.

« Les murs forment donc exactement le genou..... »

« Chose remarquable, un déplacement aussi considérable des murs s'est opéré sans désunions sensibles dans les constructions. On n'aperçoit, ni dans les grandes voûtes supérieures de la nef, ni dans les voûtes latérales des galeries, de ruptures graves qu'on doive rapporter à ce mouvement. »

Exposition universelle de Vienne, 1873 : « Les Monuments historiques de France », — Paris, Imprimerie nationale, MDCCCLXXVI; — Rapport de M. Biet, Inspecteur Général des Bâtiments civils, 20 juin 1846.

41. — Aux viaducs de la ligne d'Issy à Viroflay, M. Rabut a constaté de même que toutes les piles aux naissances s'écartent d'une voûte chargée.

(Loc. cit., Titre II, renvoi 18, p. 358).

42. — correspondant à $z = \frac{E \text{ (coefficient d'élasticité en } \frac{\text{kg}}{\text{cm}^2})}{10^5} = 0,5 \text{ (maçonnerie fraîche)}$

43. — « Der Sitterviadukt der Bodensee-Toggenburgbahn », von den Ingenieuren A. Acalos, J. Lüscher, F. Ackermann.

Sonderabdruck aus der Schweizerischen Bauzeitung, Band LVI, 1910 :

page 30, IV : « Beobachtungen während der Bauausführung und der Belastungsproben », von Ingenieur A. Acalos, St. Gallen.

Sous la charge d'épreuve de la travée métallique, la pile IV ne se déplaça que de 2^{mm}; les joints au-dessus des articulations des reins ne s'ouvrirent en haut que de 2^{mm}.

§ 4. — CONCLUSIONS

*JUSQU'A CE QU'ON EN AIT UNE MEILLEURE,
POUR CALCULER LE TRAVAIL DES VOÛTES,
ACCEPTER, — MALGRÉ SES DÉFAUTS, — L'HYPOTHÈSE ÉLASTIQUE*

Les essais, quoi qu'on en ait écrit ^{44, 45, 46, 47}, ne justifient pas l'application aux voûtes des formules de déformation.

Pour les voûtes, on s'est de tout temps beaucoup trop pressé d'édifier des théories ⁴⁸. On a tout d'abord raisonné au lieu de regarder, — calculé au lieu de mesurer. On a couru de suite à des hypothèses permettant le calcul, — comme si l'on pouvait trouver quelque chose en dehors de l'expérience ⁴⁹.

Les voûtes faites de matériaux élastiques sont certainement élastiques, mais non comme l'entend la Résistance des Matériaux : leur élasticité n'est pas si simple.

44. — « ...en se basant sur les essais de rupture et d'élasticité faits sur de grandes voûtes par l'Association des Ingénieurs et Architectes autrichiens, il n'est pas douteux qu'on puisse calculer de telles voûtes et déterminer les forces intérieures avec une sécurité suffisante en pratique, en les considérant comme des corps homogènes élastiques... »

Fortschritte der Ingenieurwissenschaften, zweite Gruppe, 7 Heft : « *Geübte Brücken* », von Karl von Leibbrand, — Leipzig, 1897, p. 41 : « *Brücken mit Gelenkeinlagen, 1.-Zweck der Gelenke.* »

45. — « Déjà, depuis quelques dizaines d'années, Winkler, Culmann, Castigliano, et d'autres, avaient entré que les voûtes en maçonnerie se comportent comme des solides élastiques, ainsi que l'ont absolument confirmé les célèbres (« fameuses ») expériences de la Commission autrichienne des voûtes. »

« *Influenza della Temperatura sulle costruzioni murarie* », p. 6, M. C. Guidi, — Turin, Décembre 1905, — extrait des « *Atti della R. Accademia delle Scienze di Torino* », vol. XLI, Adunanza del 28 Gennaio 1906.

46. — « Les classiques expériences de la Société des Ingénieurs autrichiens » ont établi que les constructions en maçonnerie obéissent aux lois de l'élasticité.

« *I progressi della Scienza e dell'Arte del costruire* », — Discorso inaugurale del 1° Anno 1906-07 del R. Politecnico di Torino, p. 13, M. C. Guidi, — Turin 1906.

47. — « ...les précieuses (« verlässlichen ») expériences de l'Association des Ingénieurs et Architectes autrichiens ont établi que les voûtes éprouvées se comportèrent en général comme des arcs élastiques et qu'il est, par suite, justifié de calculer comme arcs élastiques des voûtes de même forme et de même construction que les voûtes éprouvées... »

« *Elastische Bogenträger* », Dr. Jakob J. Weyrauch, Professor an der Kgl. Technischen Hochschule in Stuttgart, — Stuttgart, Konrad Wittver, 1911, — Préface de la 2^e édition, p. III.

48. — C'est ainsi qu'étaient déjà nées au XVIII^e siècle les théories de La Hire (1712), de Couplet (1729), de Bossut (1770), de Prony (1783), dont Boistard écrit fort justement : « ...il faut l'avouer, tous ces écrits reposent sur une hypothèse qui n'est pas confirmée par l'expérience, en sorte qu'ils doivent être relégués parmi les recherches de pure spéculation, très curieuses à la vérité, mais sans aucune utilité pour la pratique. »

Boistard, loc. cit., renvoi 28.

49. — « L'expérience est la source unique de la vérité : elle seule peut nous apprendre quelque chose de nouveau ; elle seule peut nous donner la certitude ». Qui parle ainsi : un médecin ? un physicien ? un naturaliste ? — Non, c'est Henri Poincaré, le plus grand mathématicien de ce temps.

11. Poincaré : « *La Science et l'hypothèse* », Paris, Flammarion, 1912, 4^e Partie, Chapitre IX : *Les Hypothèses en physique*, p. 167.

C'est cependant en les supposant telles, que les Ingénieurs autrichiens ont passé de la portée de 41^m du pont de Wäldlitobel⁵⁰ à celle de 65^m du pont de Jaremeze^{51, 52}.

Avec cette hypothèse, on a calculé nombre de grandes voûtes, dont quelques-unes minces, et qui ont tenu⁵³, des viaducs à arches de 25^m, extrêmement hardis et qui tiennent⁵⁴.

Donc, bien que les voûtes ne soient pas des solides homogènes, élastiques au sens de la Résistance des Matériaux ;

que le coefficient d'élasticité y varie d'un point à l'autre, c'est-à-dire qu'à proprement parler il n'y en ait pas, et que les déformations n'y soient pas proportionnelles à la pression ;

que les mouvements du cintre, les matages, y bouleversent les courbes de pression ;

il faut provisoirement continuer à les supposer telles.

On n'a pas, en ce moment, pour le calcul des voûtes, de meilleure hypothèse que l'hypothèse élastique.

50. — Tome II, p. 157.

51. — Tome III, p. 114.

52. — « ... Si favorables que fussent les circonstances pour construire de grandes voûtes dans la vallée du Pruth, il eût paru délicat de sauter d'un seul coup de 41^m à 65^m de portée, si les essais de rupture de voûtes d'épreuves exécutés en juillet 1889 par l'Association des Ingénieurs et Architectes autrichiens, n'eussent montré déjà que la théorie de l'élasticité appliquée aux voûtes, conduit à des résultats concordant parfaitement avec l'expérience. Les grandes voûtes de la ligne Stanislau-Woronienka sont le premier résultat qu'a obtenu l'Association des Ingénieurs et Architectes autrichiens par les voûtes d'épreuve... »

Zeitschrift des Oesterr. Ingenieur und Architekten Vereines, Tome XLV, n° 42, 26 octobre 1893 : « Mittheilungen über die grossen gewölbten Brücken der K. K. Staatsbahn Stanislau-Woronienka », von Ober Inspektor Ludwig Huss, Vorstand des Bureau für Unterbau und Brücken der K. K. General-Direktion der Oesterr. Staatsbahnen.

53. — Voûtes $\geq 40^m$ calculées avec l'hypothèse élastique :

Date	Pont de :	Symbole	Portée	Date	Pont de :	Symbole	Portée
18 ⁹³ / ₉₄	Jaremeze	$\widehat{A}^1 Fr (\geq 40^m)$	9	19 ⁰⁵ / ₀₈	Walnut Lane	$\widehat{A}^1 \widehat{A}^1 r^{te} (\geq 40^m)^2$	71 ^m 02
	Jamna		10	19 ⁰⁷ / ₀₉	Wiesen	$E^1 h fr (\geq 40^m)^1$	55 ^m
	Worochta		11	19 ⁰⁸ / ₀₉	Montanges	$\widehat{A}^1 r^{te} (\geq 40^m)^{12}$	80 ^m 29
19 ⁰¹ / ₀₂	Solis	$C^1 fr (\geq 40^m)^1$	42 ^m	19 ⁰⁸ / ₁₀	Lusserat	$\widehat{A}^1 Fr (\geq 40^m)^{22}$	45 ^m
1899	Luxembourg	$\widehat{A}^1 \widehat{A}^1 r^{te} (\geq 40^m)^1$	84 ^m 65	19 ⁰⁸ / ₁₀	Rocky-River	$\widehat{A}^1 \widehat{A}^1 r^{te} (\geq 40^m)^3$	85 ^m 34
19 ⁰¹ / ₀₅	Valence	$E^1 r^{te} (\geq 40^m)^6$	49 ^m 20	19 ⁰⁸ / ₁₂	Sidi-Rached	$\widehat{A}^1 \widehat{A}^1 r^{te} (\geq 40^m)^4$	68 ^m 76
19 ⁰³ / ₀₅	Plauen	$\widehat{A}^1 r^{te} (\geq 40^m)^{10}$	90 ^m	19 ⁰⁷ / ₀₉	Lichtensteig	$\widehat{A}^1 Fr (\geq 40^m)^{24}$	42 ^m 82
19 ⁰⁴ / ₀₇	Amidonniers	$E^1 E^1 r^{te} (\geq 40^m)^1$	46 ^m — 42 ^m 38 ^m 50	19 ¹⁰ / ₁₂	Krummenau	$\widehat{A}^1 Fr (\geq 40^m)^{25}$	63 ^m 26
19 ⁰⁴ / ₀₆	Salcano	$\widehat{A}^1 Fr (\geq 40^m)^{19}$	85 ^m	19 ¹⁰ / ₁₂	Cinuskel	$\widehat{A}^1 fr (\geq 40^m)^3$	46 ^m 976
1906	Guggersbach	$\widehat{A}^1 r^{te} (\geq 40^m)^{11}$	50 ^m 20	19 ¹¹ / ₁₂	Tuoi	$\widehat{A}^1 fr (\geq 40^m)^4$	47 ^m 706

54. — Ligne du lac de Constance au lac de Zurich : Viaduc sur la Sitter (Arches d'accès de 25^m de portée, poussant contre une pile-culée de 87^m de hauteur, épaisse en haut de 7^m70, 1908-1910) ; — Viaduc de Weissenbach (63^m de hauteur, 3^m50 seulement d'épaisseur aux naissances, 1908-1910).

Bodensee-Toggenburg-Zurichsee, — Saint-Gall, chez Zollikofer. 1911.

Tout compte fait, acceptons-la donc, non parce qu'elle est vraie, mais parce que des voûtes minces, ainsi calculées, tiennent.

Mais ne l'acceptons que très provisoirement, « *sous bénéfice d'inventaire expérimental* »⁵⁵, c'est-à-dire jusqu'à ce que de nouveaux essais établissent d'autres formules qui s'ajustent mieux aux faits.

55. — Expression de Claude Bernard.

« *Introduction à l'étude de la médecine expérimentale* », 113.

ANNEXE

VOÛTES INARTICULÉES

ÉPAISSEUR A LA CLEF

COEFFICIENT :

$$\alpha = \frac{e_0 \text{ (épaisseur à la clef)}}{\left[1 + \sqrt{2a \text{ (portée)}}\right] \mu \text{ (fonction du surbaissement } \sigma)}$$

$$\mu = \begin{cases} \text{Pleins Cintres } \mathbf{C} 1 \\ \text{Ellipses (ou Anses de panier) } \mathbf{E} \frac{4}{3 + 2\sigma} \\ \text{Arcs } \mathbf{A} \frac{4}{3} (1 - \sigma + \sigma^2) \end{cases}$$

VALEUR DE α POUR 562 OUVRAGES

ENVIRON 3300 VOÛTES

(TYPES NON COMPTÉS)

VOIR :

POUR LES VOÛTES $\geq 40^m$:

Pleins Cintres \mathbf{C} , Ellipses (ou Anses de panier) \mathbf{E} Tome I

Arcs peu surbaissés $\left(\sigma \geq \frac{1}{2\sqrt{3}}\right) \hat{\mathbf{A}}$ Tome II

Arcs assez surbaissés $\left(\frac{1}{2\sqrt{3}} > \sigma > \frac{1}{7}\right) \hat{\mathbf{A}}$ Tome III

Arcs très surbaissés $\left(\sigma \leq \frac{1}{7}\right) \bar{\mathbf{A}}$

POUR LES VIADUCS : APPENDICE, - Viaducs Tome V

On a seulement indiqué les matériaux du queueutage et le mortier (Ch = Chaux, Cim = Ciment).

Pour le sens des abréviations MOV, MEV, MAV, PT, L, Br, B, voir Tome III, Avertissement, p. 2, n° 6.

L'ex posant \mathbf{C}^2 , \mathbf{C}^4 indique le nombre d'arches.

$$\text{Coefficient } \alpha = \frac{e_0 (\text{épaisseur à la clef})}{1 + \sqrt{2a} (\text{portée})} \mu \left(\begin{array}{c} \text{fonction} \\ \text{du surbaissement} \end{array} \right)$$

α	PONTS SOUS ROUTE					PONTS SOUS CHEMIN DE FER						
						VOIE NORMALE					VOIE ÉTROITE	
	C	E	\hat{A}	\hat{A}	\bar{A}	C	E	\hat{A}	\hat{A}	\bar{A}		
0.09												
0.095					Allemagne, 1905-08, A' - MOV - cim : Ziegenhals, 40 ^m ; Michelau, 42 ^m ; Schwusen, 48 ^m ; Kupferhammer, 48 ^m .							
0.10					Gross-Kunzendorf, Allemagne, A ³ , arche centrale 40 ^m , MOV - cim.							
0.105	Viaduc de Chastellux, Yonne, 1876-78, C ¹¹ - 9 ^m 50, MOV - cim.				Passages supérieurs, A', B - cim : Limoges-Brive, 1874-75, 15 ^m ; Nantes-Chateaubriant, 1875-77, 15 ^m . Neuhammer, Allemagne, Projet : 1905, A' - 52 ^m , MOV - cim. Longuich, Allemagne, 1909-11, A' - 43 ^m , B - cim.							
0.11	Toulouse, 1542-1632, E' - Arche centrale : 34 ^m .		sur le Kelvin, à Glasgow, Ecosse, 1834, A' - 27 ^m 45. Seythenex, 1908-11, A ² - 41 ^m 19, PT - cim.		Allemagne, 1903 à 1908, 46 ^m , B - cim : Mehring, A'; Schweich, A'; Tritten- heim, A'.							
0.115			La Brague, Alpes-Mari- times, 1900, A' - 30 ^m .		Hutzenbach, Allemagne, 1889, A' - 35 ^m , PT. Longuich, Allemagne, 1909-11, A' - Arche centrale : 46 ^m , B - cim.				Chemnitz (Allemagne). Chemnitz- Wechselburg, (Int' loc.) 1901-02, A' - 45 ^m .			
0.12					Teinach, Allemagne, 1882, A' - 33 ^m , PT - cim. Boucicant, 1888-90, A' - 40 ^m , MAV - cim. Iguerande, 1895, A' - 28 ^m 60, MOV - cim. Avignon, 1905-09, A' - 40 ^m , MAV - cim.							
0.125	Paris, E' : Bercy, 1863-64, 29 ^m . Tolbiac, 1879-82, 35 ^m .		Chester, Pays de Galles, 1833-34, A' - 60 ^m 96 - ch. Guggersbach, Suisse, 1906, A' - 50 ^m 20, B - cim.		Allemagne, 1901-05, MOV - cim : Wengern, A' - 50 ^m ; Krappitz, A' - Arche centrale : 50 ^m . Arciat, Saône-et-Loire, 1906, A' - 31 ^m , MOV - cim.					Etaples, Amiens- Boulogne, 1875, 14 ^m .		
0.13	des Echavannes, Chalon- sur-Saône, 1787. E' - 12 ^m 99. Paris, E ³ - MOV : St-Michel, 1857, 17 ^m 20 - cim. Louis-Philippe, 1860-62, Arche cent ^{le} , 32 ^m .		Elvria, Etats-Unis, 1886, A' - 15 ^m 72, L - cim. Plauen, Saxe, 1903-05, A' - 90 ^m , MOV - cim. Excideuil, Nontron-Sarlal, 1886-87, A' - 16 ^m , MOV - cim.		Passage supérieur, Ciry-le Blanc, 14 ^m . Zenibach (Autriche), Stanislau- Worontenka, 1893-94, A' - 22 ^m , MOV - cim.							
0.135	Pont au Change, Paris, 1858-60, E' - 31 ^m 60.				Concorde, Paris, 1787-81, A' - arches de rive, 25 ^m 33, PT - ch. Passage sup', Preuilly-Tournon-St-Mar- tin, 1883-86, A' - 16 ^m 16, MOV.				Lagunes de Venise (Italie), Venise-Vicence, 1841-46, A ^{2/3} - 10 ^m .			

Coefficient $\alpha = \frac{e_0 \text{ (épaisseur à la clef)}}{[1 + \sqrt{2a \text{ (portée)}}] \mu \text{ (fonction du surbaissement } \sigma)}$

PONTIS SOUS ROUTE						PONTIS OU VIADUCS SOUS CHEMIN DE FER					
C	E	A	A	A	en deux anneaux	VOIE NORMALE				VOIE ETROITE	
						C	E	A	A		A
	Pont de l'Arche, sur la Seine, 1855-56, E ² - 30 ^m 62. Point du Jour, Paris, 1863-65, E ³ Partie hors du viaduc du chemin de fer 30 ^m 35, MOV - ch. des Andelys, Eure, 1872-73, E ¹ - 34 ^m - cim. Verdun-s-le-Doubs, 1895-97, E ² - 41 ^m et 38 ^m 50, MEV - cim. Edouard VII, Angleterre, 1901-03, E ² - 40 ^m 54 - cim.	de Dunkeld, sur la Tay, Angleterre, 1808, A ¹ - 27 ^m 45.	des Orfèvres, Florence, xiv ^e siècle, A ³ - 28 ^m 80. Montanges, Ain, 1908-1909, A ¹ - 80 ^m 29, L - cim.	Concorde, Paris, 1787-91, A ¹ - 28 ^m 26, PT - ch. Digoin, sur la Loire, A ² - 26 ^m , MAV - cim. Lays, sur le Doubs, 1895, A ³ - 26 ^m , MEV - cim. Orléans, 1904-06, A ² - 43 ^m 85, MAV - cim.	Amidoniers, Toulouse, 1904-07, E ³ E ² - 38 ^m 50, MEV - cim.		Malagazanne, Marvejols-Neussargues, 1882, E ¹ - 12 ^m - ch.			Belhous-Falls, Etats-Unis, 1809, 2 A ¹ - 42 ^m 672 - L - cim.	Viaduc de Lantosque, Vallée de la Vésabie, ligne électrique, C ³ - 22 ^m , MOV - cim.
	Courcelles sur la Seine, 1870, E ¹ - 33 ^m , MOV - cim.	Tongue and sur la Dee, Angleterre, 1806, A ¹ - 35 ^m 97.	Bellefield, Etats-Unis, 1896-97, A ¹ - 45 ^m 72, B - cim.	Concorde, Paris, 1787-91, A ¹ - Arche centrale, 31 ^m 18 PT - ch. Ile Verte, sur l'Isère, Grenoble, 1898, A ² - 39 ^m 20, 37 ^m .	Amidoniers, Toulouse, 1904-07, E ³ E ² - 38 ^m 50, MEV - cim.		Mouleydier, Bergerac - Le Buisson, 1877-79, E ¹ - 10 ^m 20.	Pont sur la Strona (Italie), Domodossola-Iselle, 1901-04, A ³ - 15 ^m , Br - ch.		Ligne électrique de la Bernina, 1909, Viaducs en C de 8 ^m . (Types) Cavagliasco, A ¹ - 26 ^m .	
	Pont du Château, sur l'Allier, 1777, E ¹ - 20 ^m 70. Roanne, sur la Loire, 1789, E ² - 23 ^m 40. Vernon, sur la Seine, 1871-72, E ² - 28 ^m . St-Pierre, 1886, E ¹ - 40 ^m - cim. Edmondson-Avenue à Baltimore, Etats-Unis, 1908-09, E ¹ - 42 ^m 367, B - cim.		Wheeling, Etats-Unis, 1891-92, A ¹ - 48 ^m 46. St-Martin-Lys, Quillan-Rivesaltes, 1897, A ¹ - 34 ^m , MAV - cim.	National, Paris, 1852-53, A ¹ - 34 ^m 50. Invalides, Paris, 1854, A ⁴ - arches de rive, 31 ^m 87.		Viaducs : des Huttes, Brioude-Alais, C - 9 ^m 24. sur la vallée de Pontone (Italie), Gènes-Asti, 1889-91, C ²³ - 12 ^m , Br - ch. de Lascoumères, Lannemezan-Arreau, 1892-93, C ³ - 7 ^m .			National, Paris, pont mixte rte et Fr 1852-53, A ³ - 34 ^m 50.		
	Gloucester, Angleterre, 1826-27, E ¹ - 45 ^m 72, PT. Notre-Dame, Paris, 1853-54, E ¹ - 18 ^m 76, MOV - cim. Vernon, sur la Seine, 1871-72, E ¹ - 26 ^m - cim.		Argentat, sur la Dordogne, 1892-93, A ³ - 32 ^m 64 - cim.	Nemours sur le Loing, 1796-1805, A ³ - 16 ^m 24. Invalides, Paris, 1854, A ¹ - arches centrales, 31 ^m 69. Putney, Angleterre, 1882-83, A ¹ - 43 ^m 89, PT - cim. Charrey, sur la Saône, 1888, A ³ - 30 ^m , ch.	Constantine, Algérie, 1908-12, A ¹ A ¹ - 67 ^m 57, MA - cim.	sur le Sabato, (Italie) Avellino-S.-l'Encere, 1891-92, C ¹⁶ - 11 ^m , Br - ch. de Baricave, Lannemezan-Arreau, 1893-94, C ² - 10 ^m .		Pont sur le Toce (Italie), Arona-Domodossola, 1901-1904, A ⁶ - 25 ^m , Br - ch.	Raoune, 1858, A ⁷ - 28 ^m .	Ramounails, Villefranche-Bourg-Madame, 1906-08, A ¹ - 40 ^m 30, MEV - cim. Viaducs en C : de 10 à 20 ^m , Ligne électrique de la Bernina; de 8 ^m : Ligne de l'Albula. (Types).	
		Nyons, 1351-1407, A ¹ - 40 ^m 53.	Austerlitz, Paris, 1854, A ¹ - 3 arches centrales, 32 ^m 30. Claix, 1873-74, A ¹ - 52 ^m , MOV - cim. Passage supérieur de Laveix, Nontron-Sarlat, 19 ^m 35.	Tilsitt, Lyon, 1864, A ¹ - 22 ^m 84. Citadelle, Grenoble, 1865, A ² - 23 ^m 10.		de Bouchatel, Brioude-Alais, 9 ^m . de Saint-Denis, Cahors-Brive, 1881-87, C ¹ - 8 ^m . du Vair, Neufchâteau-Barisey, 1888, C ¹⁹ - 11 ^m . sur le Rio Fraccio, (Italie), Arona-Domodossola, 1901-04, C ¹ - 10 ^m , Br - ch.	La Flèche, sur le Loir, La Flèche-La Suze, 1875-76, E ² - 20 ^m . Marmande, Marmande-Casteljaloux, 1880-83, Viaducs d'accès, E ²⁰ - 20 ^m . Val de la Loire, Bourges-Gien, 1887-92, Viaducs d'accès, E ²⁰ à 16 ^m , E ¹⁵ à 15 ^m , E ¹⁵ à 14 ^m , E ¹⁰ à 13 ^m .	Jablonicabach (Autriche), Stanislaw-Iforonienka, 1893-94, A ¹ - 25 ^m , MOV - cim. sur le torrent Cairasca, (Italie), Domodossola-Iselle, 1902, A ¹ - 32 ^m , Br - ch. sur le Cervo (Italie), Santhia-Arona, 1901-05, A ³ - 18 ^m , Br - ch.	Pont sur la Louette, Etampes-Pithiviers, 1902, A ¹ - 12 ^m .	Viaduc de Malvan, Alpes-Maritimes, C ⁶ - 22 ^m , MOV - cim. Passage infr, Guingamp-Paimpol, 1896, A ¹ - 10 ^m 97. Viaducs en C de 25 ^m , Bernina; de 6 ^m et 20 ^m , Albula. (Types).	

$$\text{Coefficient } \alpha = \frac{e_0 (\text{épaisseur à la clef})}{[1 + \sqrt{2a (\text{portée})}] \mu \left(\begin{array}{c} \text{fonction} \\ \text{du surbaissement} \end{array} \right)}$$

α	PONTS SOUS ROUTE					PONTS OU VIADUCS SOUS CHEMIN DE FER					VOIE ÉTROITE	
	C	E	A	A	A	C	E	A	A	A		
0.165	Moulins, 1756-64, E ¹² - 19 ^m 50. Chatellerault, 1848, E - 20 ^m . Bléré, sur le Cher, 1898-99, E ¹ - 24 ^m - ch. Empereur-François, Prague, 1899-1901, E ¹ . Plus grande arche : 42 ^m 34. PT - cim.					Ballochmyle, Ecosse, 1846-48, C ¹ - 55 ^m 17. St-Waast, Montauban-Castres, 1884-86, C ¹ - 20 ^m . Br - ch. Amélie-les-Bains, Elne-Arles-sur-Tech, 1890-92, C ³ - 26 ^m . Viaducs de : La Lavade, Rodez-Millau, 1880, C ¹ - 7 ^m , MOV - ch. Maison Rouge, Marvejols-Neussargues, 1881-83, C ¹ - 15 ^m , MEV - ch. Rio Cammarelle, (Italie), Sparanise-Gaeta, 1890-91, C ¹ - 15 ^m , Br - ch. la Selle, C ¹ du Nord, C ¹ - 15 ^m - ch. Vallée d'Avella, (Italie), Avellino-S. Venero, 1893-95, C ³ - 15 ^m , Br - ch. Lac de Constance-Lac de Zurich, (Suisse), 1907-09, Weissenbach, C ¹ - 25 ^m et C ² - 15 ^m , MOV - cim. Viaducs de 15 ^m , 20 ^m , 22 ^m , 25 ^m (Types).	Pont sur la Bidassoa, Bayonne-Irun, E ¹ - 20 ^m . Albias, Montauban-Cahors 1881-82, E ³ - 23 ^m 25 - cim. Grand-Vicq, Preuilly-Tournon-Saint-Martin, 1883-86, E ¹ - 16 ^m . Caoue, Lannemezan-Arreau, 1891-93, E ² - 26 ^m , MOV - ch. Verdon, St-André-Puget-Théniers, 1900-1902, E ¹ - 20 ^m . Vendes, Vendes-Mauriac, 1900-1902, E ¹ - 16 ^m . V ¹ de l'Eure, Paris-Chartres, E ¹ - 12 ^m 76.			Arona-Domodossola, (Italie), 1901-1904, Br - ch : Pont sur le torrent Selvaspessa, A ³ - 25 ^m . Pont sur le lac de Mergozzo, A ¹ - 25 ^m . - id. - A ² - 25 ^m .		Viaducs en de 15 à 25 ^m . Albula, (Suisse) (Types).
0.17	Londres, 1824-31, E ³ - 46 ^m 33. PT. Grenoble, 1839, E ³ - 27 ^m . Alma, Paris, 1854-55, E ³ - arche centrale de 43 ^m 38. MOV - cim. Valence, 1901-05, E ¹ - 49 ^m 20. ME - cim.	Vieux pont de Cérét, 1321-39, C ¹ - 45 ^m 45. Vieux pont de Claix, 1608-11, A ¹ - 45 ^m 65. Quimper, Ch. de fer de Chateaulin, 1863, 21 ^m 54. Petit pont, Paris, 1852-53, A ¹ - 31 ^m 75. Roeky-River, Flats-Unis, 1908-10, A ¹ A ² - 85 ^m 34. B. et grosses pierres - cim.				Viaducs de : St-Rambert-Grenoble, 1855, la Fure, C ¹⁶ - 14 ^m . Brioude-Alais, Chamborigaud, C ¹² - 14 ^m ; Langogne, C ¹ - 14 ^m . Alais-Le Pouzin, MOV - ch. : Frayol, C ¹¹ - 10 ^m ; Truel, C ⁶ - 8 ^m ; Téoulmale, C ¹ - 12 ^m ; l'Auzon, C ¹³ - 12 ^m . Limoges-Brive, 1875, la Meyze, C ³ - 18 ^m ; la H ¹ e-Vézère, C ³ - 10 ^m . Eymoutiers-Meymac, Martin-Roche, C ¹² - 10 ^m - ch. Marvejols-Neussargues, 1881-84, ch : MOV - 8 ^m : Chapchiniès, C ¹ ; Maison-Rouge, C ¹ ; Triboulin, C ¹ ; 10 ^m : Le Lignon, C ¹⁰ ; Rimeize, C ¹⁰ ; Saillant, C ³ ; 12 ^m : Massalès, C ¹ ; MEV - 10 ^m : La Combe, C ³ ; Le Bland, C ¹ ; Varillette, C ¹⁰ . Cahors-Brive, 1882-85, 10 ^m , MOV - ch : Les Marjades, C ¹¹ ; Prèsignac, C ¹² ; Sorbier, C ¹ . Civray-Le Blanc, Le Salieron, 1882, C ² - 10 ^m . Poitiers-Le Blanc, La Caroumière, 1882-83, C ² - 10 ^m . Nontron-Sarlat, 1885-87, ch : Nontron, C ¹ - 18 ^m ; St-Pardoux, C ¹ - 17 ^m 94, MOV; Muratel, 1893-95, C ¹ - 23 ^m ; Puyredon, C ¹ - 8 ^m 15. Bourges-Gien, Val de la Loire, 1887-92, rive dr., C ¹⁰ - 16 ^m , rive g. C ¹⁰ - 16 ^m . Argenteuil-Mantes, Triel, 1888-90, C ¹ - 5 ^m 10, C ¹ - 8 ^m . Issoudun-St-Florent, 1890-93 : Bief du moulin de Charost, C ³ - 12 ^m ; sur l'Arnon, C ³ - 11 ^m 94, MOV - ch. Mende-La Bastide, 1896, Mirandol, C ¹⁰ - 12 ^m , MOV. Rome-Fiterbe, (Italie), Vald'Enfer, 1891, C ¹³ - 14 ^m . Quillan-Rivesaltes, 1897-98 : St-Georges, C ³ - 16 ^m ; Mouillères, C ³ - 16 ^m ; Lapradelle, C ¹² - 12 ^m . P ¹ d'Axat, C ¹ - 30 ^m , MEV - ch; d'Alès, id. St-Gérons-Fort, Vernajoul, C ¹² - 14 ^m , MOV - ch. Nérac-Mont-de-Marsan, P ¹ sur le St-Laurent, C ¹ - 18 ^m , MEV - ch. Arona-Domodossola, (Italie), Torrent de Tiasca, 1901-04, C ¹ - 10 ^m , Br - ch. Lac de Zurich-Lac de Constance, (Suisse), Viaducs de 6 ^m , 8 ^m , 10 ^m , 12 ^m , 30 ^m (Types).	Le Midou, Nérac-Mont-de-Marsan, 1892, E ¹ - 20 ^m , MOV - ch. Dropt, La Sauce-Eymet, 1893, E ³ - 15 ^m . Arrigas, Tournemire-Le l'igan, 1895, E ¹ - 21 ^m 60. Arche elliptique du viaduc de l'Eure, Paris-Chartres, E ¹ - 25 ^m 80. Victoria, (Angleterre), Durham-Junction Ry, 1836-38, A ¹ - 48 ^m 77. Pont sur la Gelise, 13 ^m . Pont sur le Tâtre, Barbezieux-St-Mariens, 1904, 28 ^m 91. Escot, Oloron-Bédous, 1907-09, A ¹ - 56 ^m , MEV - cim.	Rouzeix, Limoges-Brive, 1875, A ¹ - 19 ^m . Pont sur la Dordogne, Laqueuille-Mont-Dore, 1897, A ¹ - 28 ^m , MOV - ch. Canale (Autriche), Assling-Trieste, 1904-06, A ¹ - 40 ^m , L - cim. Lusserat, St-Jean-d'Angély-Saujon, 1908-10, A ¹ - 45 ^m 70, MOV - cim.	Morlaix-Carhaix, 1893, 2 C - 10 ^m . sur le Doucarn, 1893, A - 15 ^m . Guingamp-Paimpol, 1896, C - 10 ^m , 1 ¹ . Carhaix-Rospord, 1897, 2 C - 10 ^m . sur le Launay, 1897, C - 10 ^m . Albula (Suisse) Viaducs de 10 ^m , 12 ^m , 30 ^m . (Types).			

PONTES SOUS ROUTE					PONTES OU VIADUCS SOUS CHEMIN DE FER															
					VOIE NORMALE					VOIE ETROITE										
C	E	A	A	A	C	E	A	A	A											
Dean, Ecosse, 1831, A ¹ - 29 ^m . Passage sup ^r de la Bachellerie, Limoges-Brive, 1875, A ¹ - 28 ^m , B - cim. Cazeneuve, 28 ^m .					Oloron, 1881-1882, C ¹ - 40 ^m , MOV - ch. cim.; Rébuzo, 1898-1900, C ¹ - 40 ^m , MEV - cim. Viaducs de : Argentueil-Mantes, Triel, 1888-90, C ¹ - 9 ^m - ch. Nontron-Sarlal, St-Germain-des-Près, 1890-92, C ⁹ - 15 ^m - ch. Bourges-Cosne, St-Satur, 1891-93, C ²⁶ - 13 ^m - ch. Mende-La Bastide, Mirandol, 1896, C ⁸ - 6 ^m , MOV. Espalion-Bertholène, 1903-05, MEV - ch.; Le Plô, C ² - 17 ^m ; Le Goulal, C ² - 12 ^m 50. Briey-Hussigny, Thil, 1906, C - 6 ^m 90. St-André-Puget-Théniers, 1905-12: Le Maoune, C ⁹ - 15 ^m , MEV - ch.; la Donne, C ³ - 17 ^m ; la Bête, C ¹ - 34 ^m - ch.; l'Etrou, C ¹ - 15 ^m , MEV; Guillaumasse, C ¹ - 15 ^m , MEV - ch. Argenton-La Châtre, La Vauvre, C ¹ - 15 ^m . St-Jean d'Angély-Saujon, La Boutonne, 1906-07, C ¹ - 9 ^m ; Fontcouverte, C ¹ - 9 ^m .					Bergerac-Le Buisson, 1876-79, E ¹ - 24 - cim.; Tremolat; Alles; Limeuil. Marmande-Casteljaloux, Marmande, 1877-81, E ² - 36 ^m , MOV - ch. Mende-Le Monastier, Ricucros, 1879, E ¹ - 21 ^m 90. Ciray-Le Blanc, 1881-86; Salleron, E ¹ - 14 ^m ; sur l'Anglin, E ² - 25 ^m . Cahors-Capdenac, 1882-84, St-Martin-Labouval, sur le Lot, E ¹ - 25 ^m - ch.; Masseriès, E ¹ - 23 ^m 10 - ch. Montauban-Cahors, 1883; Montauban, E ¹ - 25 ^m , MEV - cim. Tournemire-Le Vigan, Coudoulous, 1895, E ² - 14 ^m . Castelsarrasin-Beaumont, Belleperche, sur la Garonne, 1895-1900, E ¹ - 33 ^m , Br - ch. sur la Big-Muddy, Etats-Unis, 1901-03, E ² - 42 ^m 67, B - cim.					Calcio, Italie, 1877-78, A ¹ - 42 ^m . Pouch, 1890, A ¹ - 47 ^m 85, MEV - ch. Worochta, Autriche, 1893-94, A ¹ - 40 ^m , MEV - cim. Diveria, Italie, 1901-02, A ¹ - 40 ^m , Br - ch. Boilefos, Norvège, 1908, A ¹ - 40 ^m , PT - cim. Lichtensteig, Suisse, 1910-1912, A ¹ - 42 ^m 82, MEV - cim. Passage inf. Elampes-Pithiviers, A ¹ - 16 ^m 63.					Pont sur la Corrèze, Limoges-Brive, 1875, A ³ - 10 ^m .
					Passage sup ^r d'Eyrissou, Nontron-Sarlal, 1894, A ¹ - 19 ^m 46.					Chalonnès, 1863-65, E ¹ - 30 ^m . Nantes, Nantes-La Roche-sur-Yon, 1863-65, E ² - E ¹ - 30 ^m . St-Pierre de Gaubert, sur la Garonne, Agen-Tarbes, 1868, E ¹ - 21 ^m 05, ch. Mauzac, sur la Dordogne, Bergerac - Le Buisson, 1877, E ² - 30 ^m , cim. Verdon, 1905-06, E ¹ - 40 ^m , MEV - cim.					Freyssinet, 1890-91, A ¹ - 45 ^m , MEV - cim. Svenkerud, Norvège, 1905-07, A ¹ - 44 ^m , PT - cim. Pont sur le Vallat de Boissesson, Anduze-St-Jean-du-Gard, 1905-09, A ¹ - 25 ^m , MOV - ch. Krummenau, Suisse, 1910-1912, A ¹ - 63 ^m 26, L - cim.					Pont sur la Corrèze, Limoges-Brive, 1875, A ³ - 10 ^m .
Passage sup ^r d'Eyrissou, Nontron-Sarlal, 1894, A ¹ - 19 ^m 46.					Viaducs de : Nantes - Brest, 1860-1867, Auray, C ¹⁰ - 15 ^m ; Guily-Glas, dit aussi de Port-Launay, C ¹² - 22 ^m - MOV. Arvant au Lot, 1866-67, 8 ^m ; Veyrière, C ¹ ; Saguisouille, C ¹ . Alais-Le Pouzin: sur l'Ardèche, C ¹¹ - 16 ^m 40. Rodez-Millau, 1873-77, MOV: Vezouillac, C ⁷ - 16 ^m - cim; Les Terrals, C ¹¹ - 12 ^m . Marvejols-Neussargues, Senouard, 1879-82, C ⁹ - 18 ^m - MEV - ch. Queyrol-Nontron, Le Bandiat, 1882-83, C ⁶ - 10 ^m - ch. Aurillac-St-Denis, 1883-84: 12 ^m ; la Cère, C ¹ - ch; l'Auze, C ¹ . Montauban-Brive, 1882-86, ch.: Lamouroux, C ⁹ - 10 ^m ; Planche-Torte, C ¹³ - 10 ^m ; Lignyroux, C ⁴ - 9 ^m 90. Argentueil-Mantes, 1888-90, ch, C ³ : Meulan, 1887 ^m ; Bas Vals, 20 ^m . Bourges-Cosne, 1890-93, 10 ^m ; Thauvenay, C ³ ; Ménétréol, C ¹⁵ - ch. Avellino-S. Venero, Italie, P ¹ bials sur le Calore, 1889-93, C ³ - 12 ^m - Br - ch. Gênes-Asti, Italie, 1891-92, 12 ^m - Br - ch: P ¹ bials sur la Stura, C ² ; P ¹ sur la Bormida, C ¹³ . Carmaux-Rodez, 1892-95, C ⁷ - 10 ^m ; Ledas, ch; la Mouline, MEV. Nantes-Châteaulin, Daoulas, C ¹³ - 18 ^m . Nontron-Sarlal, 1893-95: Moulin-Neuf, C ⁶ - 10 ^m - ch; Muratel, C ⁶ - 8 ^m . Tournemire-Le Vigan, Trèsmouls, 1895, C ³ - 7 ^m . Ciray-Le Blanc, 1881-86: 8 ^m ; Les Bourbes, C ⁵ ; chez Dinette, C ¹ . Argenton-La Châtre, 1896-99, l'romental, C ³ - 10 ^m - ch. Elampes-Pithiviers, 1902-03, Passage inf. sur ch v ¹ N ^o 5, C ¹ - 16 ^m . Lozanne-Givros, 1903, Colombier, C ² - 10 ^m - (2 voûtes d'accès) MOV - ch. Guéret-La Châtre, 1901-05, 10 ^m - ch: la Petite Creuse, C ¹⁶ - 10 ^m ; la Creuse, C ¹⁶ - 10 ^m ; Glâne, C ¹² - MOV. Bort-Neussargues, 1903, Salsignac, C ¹⁴ - 10 ^m , MOV - ch. Anduze-St-Jean-du-Gard, 1905-09, 8 ^m , MOV - ch.: St-Michel, C ³ ; Vallat des Doucettes, C ⁵ ; Vallat de Boissesson, C ³ . Argent-Beaune-la-Rolande, 1902-1903; la Vallée Parrin, C ¹ - 10 ^m - MEV - ch. Espalion-Bertholène, 1904, Labaume, C ⁸ - 14 ^m MEV - ch. Matcur-Nebeur, (Tunisie), 1908, Oued-Beja, C ¹² - 21 ^m . Morez-St-Claude, 1909-11, Valfin, C ⁶ - 10 ^m , MOV - ch. Paris-Chartres, la Renarde, C ³ - 10 ^m - MOV - ch. Langogne-Le Puy, 1903-1907, la Bargeasse, C ⁶ - 10 ^m , MOV - ch. Moutiers-Bourg-Saint-Maurice, 1912, Les Plaines, C ¹ - 10 ^m (arches d'accès), MOV - ch. St-André-Puget-Théniers, 1912: La Bête, C ⁴ - 10 ^m , ch Le Gros-Vallon, C ² - 14 ^m ; Fontbouisie, C ² - 14 ^m , MEV - ch.					Pont sur le Don, Nantes-Châteaubriant, 1875, A ¹ - 17 ^m . Pont sur le Don, Nantes-Châteaubriant, 1875, A										

$$\text{Coefficient } \alpha = \frac{e_0 (\text{épaisseur à la clef})}{[1 + \sqrt{2a (\text{portée})}] \mu (\text{fonction du surbaissément})}$$

α	PONTS SOUS ROUTE					PONTS OU VIADUCS SOUS CHEMIN DE FER									
	C	E	A	A	A	en aun ^s	VOIE NORMALE				VOIE ÉTROITE				
							C	E	A	A		A			
0.185	Carbonne, sur la Garonne, 1764-80, E ¹ - 31 ^m 20. Sault du Rhône, 1827, 34 ^m Lanne, sur l'Adour, 1876, E ¹ - 24 ^m , MOV - cim. St-Jean, sur l'Adour, à Saubusse, 1880-82, E ¹ - 24 ^m , MOV - ch.	Viaducs de : Tours-Bordeaux, 1846-48, la Manse, C ¹ - 15 ^m . St-Denis-Creil, 1856-58, Comelle, C ¹ - 19 ^m . Arvant au Lot, 1866-67, Neyrevèze, C ³ - 15 ^m . Limoges-Brive, 1872-75, ch, 20 ^m : Vignols, C ¹⁰ ; La Sagne, C ¹ ; Le Sarget, C ¹ . Limoges-Brive, par Uzerche, 1885-90 : Limoges, C ¹ - 15 ^m . Bourg-La Cluse, 1872-75, Cize-Bolozon, sur l'Ain, C ¹¹ - 20 ^m . La Flèche-Sablé, 1875-77, la Sarthe, C ¹¹ - 20 ^m . Rodez-Millau, 1873-77, Aguessac, C ¹¹ - 11 ^m 4, MOV. Eymoudiers-Meymac, Les Farges, C ¹¹ - 15 ^m - ch. St-Denis-Souillac, 1880-84, ch : les Courtils, C ¹ - 15 ^m ; Bramefond, C ¹¹ - 17 ^m . Port-de-Piles-Preuilly, 1882-83, Nainbon, C ¹ - 20 ^m . Poitiers-Le Blanc, 1881-85, Le Blanc, C ¹¹ - 20 ^m , ch. Montauban-Brive, 1883-88, Lamothe, C ¹¹ - 15 ^m , ch. Vendes-Mauriac, 1888, Labiou, C ¹⁰ - 9 ^m . Argenteuil-Mantes, 1888-90, Maurecourt, C ¹ - 11 ^m . Issoudun-St-Florent, 1889-93, St-Florent, C ¹¹ - 30 ^m , MOV - ch. Tournemire-Le l'igan, 1889-96, MEV : Rieusset, C ⁶ - 13 ^m ; Aumessas, C ¹¹ - 15 ^m . Bourges-Cosne, 1891-92, Les Moultonneaux, C ³ - 8 ^m 50. Carmaux-Rodez, 1894-95, Auterne, C ¹ - 15 ^m ; Moulins, arche centrale : 17 ^m , MEV - ch. Nontron-Sarlat, 1894-95, L'Enca, C ⁷ - 20 ^m , ch. Argenton-La Châtre, 1897-1901, L'Auzon, C ¹⁰ - 20 ^m . Espalion-Bertholène, 1903-1904, MEV - ch, 11 ^m ; les Conquettes, C ¹² ; la Loubière, C ¹ . Briey-l'illierupt, 1905, Brabant, C ¹⁰ - 15 ^m . St-Jean-d'Angély-Saujon, 1905-1909, La Thonne, C ⁷ - 11 ^m . Miramas-L'Estaque, 1911-12, La Corbière, C ⁶ - 6 ^m 50, MOV - ch. Paris-Chartres, L'Eure, C ¹ - 20 ^m , C ⁸ - 9 ^m 50, MOV - cim.					Orléans, Orléans- Vierzon, 1843-1846, E ¹ - 24 ^m 20. Port-de-Piles, Tours- Poitiers, 1846, E ¹ - 31 ^m . Barbentane, sur la Durance, 1847-49, E ²¹ - 20 ^m . Port-Sté- Marie, Condom-Port- Sté-Marie, E ¹ - 32 ^m .	Lavaur, 1882-84, A ¹ - 61 ^m 50, MEV - cim. Rothwein- bach, Autriche, 1904-06, A ¹ - 41 ^m , MOV - cim. Condat, Nontron- Sarlat, 1893-95, A ¹ - 15 ^m 15, MOV - ch.	P ¹ biais sur le torrent de Caramagna, Gênes-Asti, (Italie), 1890-91, A ¹ - 18 ^m 10. Coudat, Nontron- Sarlat, 1893-95, A ¹ - 15 ^m 15, MOV - ch.	Viaducs sur l'Isère, Carhaix-Rospord, 1893, A - 21 ^m 8. sur l'Hyères, Morlaix-Carhaix, 1893, A - 22 ^m 34. Guingamp- Paimpol, 1893, E ² - 24 ^m , MOV - ch. Passage inférie A - 12 ^m 12. Solis (Suisse), Albula, 1901, C ¹ - 42, MOV - cim. sur l'Oust, Loudéac-Carhaix, 1904, A - 10 ^m . Florac-Sté-Céc d'Andorge, sur le Transgar, C - 20 ^m ; sur le Timbass C - 20 ^m . de Triège (Suisse), Chatelard- Martigny, A ¹ - 35 ^m 4.					
	l'Archevêché, Paris, 1828, A ¹ - Arches de rive, 15 ^m .														
0.19	Waterloo, Londres, 1817, E ¹ - 36 ^m 60. St-Romain, sur la Vienne, 1857, C ¹ - 18 ^m , Route de Saint Romain à Lange.	Pont sur la Meuse, en aval de Mézières, 14 ^m 94. Fouchard, Saumur, 1774-82, A ¹ - 26 ^m . l'Éna, Paris, 1807-14, A ¹ - 28 ^m . Walnut-Lane, Philadelphie, États-Unis, 1906-08, A ¹ - 70 ^m 71, B et grosses pierres - cim.					Viaducs de : Nantes-Chateaulin, 1860-62, Hennebont, C ⁶ - 10 ^m , C ¹ - 22 ^m , ch. Arvant au Lot, 1866-67 : Elbarat, C ⁹ - 10 ^m ; Antérieux, C ¹ - 12 ^m ; l'Aiguille, C ³ - 14 ^m 20, C ¹ - 28 ^m . Rodez-Millau, 1873-77, Aguessac, C ¹ - 18 ^m 50, MEV. Séverac-Marvejols, 1877-79 : St-Laurent-d'Olt, C ¹⁰ - 20 ^m ; ch; le Piou, C ⁶ - 20 ^m , MEV. Marvejols-Neussargues, 1879-82, 20 ^m , ch : Chanteperdrix, C ⁹ - MEV; Merdarie, C ² - MOV. Cahors-Brive, 1881-89, Calamane, C ¹⁰ - 9 ^m 96, MOV - ch. Montauban-Brive, 1882, Les Sept-Fonts, C ¹ - 10 ^m . Tournemire-Le l'igan, 1886-92, Les Cayrelets, C ¹ - 12 ^m 50, MOV. Vendes-Mauriac, 1888, 10 ^m : Jalevrac, C ⁷ ; Chabrespine, C ⁷ ; Druilhes, C ⁶ . Argenteuil-Mantes, 1888-90, ch : G ¹ Ravin de la Frette, C ⁷ - 10 ^m ; l ¹ Ravin de la Frette, C ¹ - 7 ^m . Stanislau-Woronienka (Autriche), 1893-94, Worochta, C ¹ - 34 ^m 60, MOV - cim. Mende-Séverac, Tarnesque, C ⁹ - 9 ^m , ch. Bort-Neussargues, 1903-05, Barajol, C ¹² - 20 ^m , MOV. Paris-Chartres, MOV - cim, 14 ^m 15 : Oisème, C ¹⁶ ; l'Eure, C ¹⁰ .					Poitiers- Le Blanc, 1881-84, 24 ^m ; Chauvigny, E ¹ ; St-Savin, E ¹ . Hocnard, Nantes-Cha- teaubriant, 1886, E ¹ - 30 ^m - cim. Mantes, Argenteuil- Mantes, 1888-89, E ¹ - 32 ^m et 34 ^m , ch. Marcuil, Cahors-Brive, 1891, E ⁷ - 23 ^m .	Gién-Argent, 1887-92, Passages inférieurs : A ¹ - 27 ^m 08 et 25 ^m 12. Villefranche de Conflent, sur la Tet, Prades-Olette, 1889-91, A ¹ - 39 ^m 35.	Le Brézou, Limoges- Brive, 1887, A ¹ - 29 ^m 20, MOV - cim. sur la Chalouette, Etampes- Pithiviers, A ¹ - 23 ^m 25. Strandeelven, Norvège, 1902-04, A ¹ - 41 ^m , cim. Krenngraben, Autriche, 1904-05, A ¹ - 40 ^m , MOV - cim. Salcano, Autriche, 1904-06, A ¹ - 85 ^m , PT - cim. Langenbrand, Bade, 1907-09, A ¹ - 59 ^m , PT - cim. Grande- Roche, Morez- St-Claude, 1909-11, A ¹ - 10 ^m , MOV - ch. La Croix, Frasne- l'Allorbe, 1912, E ² - 20 ^m , MOV - cim.	sur le canal Nantes à Brest, Carhaix-Rospord, 1892, A - 1 ^m 8. Guingamp- Paimpol, 1896, P. 532 ^k 421, C. P. 532 ^k 550, C. Florac-Sté-Céc d'Andorge, 25 ^m , Pont sur le Dourdou, C. Pont sur l'Andorre, C. St-Méen-Land, 1904, 10 ^m , Viaducs sur le Daoulas, sur le Poulan, C. Bevers-Schulz (Suisse), 1911, A ¹ , MAV - cim. Cinuskel, 46 ^m . Tuoi, 47 ^m 7.

$$\text{Coefficient } \alpha = \frac{e_0 (\text{épaisseur à la clef})}{[1 + \sqrt{2\alpha} (\text{portée})] \mu (\text{fonction du surbaissement})}$$

α	PONTS SOUS ROUTE					PONTS OU VIADUCS SOUS CHEMIN DE FER				
	C	E	A	A	A	VOIE NORMALE				
0.195	Vieille-Brionde, 1824-31, C ¹ - 45 ^m . St-Sauveur, 1860-61, C ¹ - 42 ^m , MOV - cim. Avenue du Connecticut, Washington, 1899-1908, C ¹ - 45 ^m 72, B - cim.	Neuilly, 1768-74, E ³ - 39 ^m , PT. Frouard, sur la Moselle, 1788, 19 ^m 50. C ⁶ , 1846-48, E ¹¹ - 25 ^m . Mantes, 1873-75, E ³ - 40 ^m , 36 ^m 50. Came, sur la Bidouze, 35 ^m .	Abbaretz, Nantes-Chateaubriant, 1875, A ¹ - 22 ^m , B - cim. Véronne, Italie, 1354, A ¹ - 48 ^m 73. Bains de Lucques, Italie, 1845-77, A ¹ - 47 ^m 85, Br - ch.			Viaducs de : Montluçon-Limoges, 1862-64, 10 ^m : Crevant, C ¹⁰ ; Villatte, C ¹⁰ ; Lavaud-Franche, C ⁹ . Tournemire-Le Vigan, 1886-92 : St-Eulalie, C ⁸ - 15 ^m , MEV; Lapanouse, C ¹¹ - 15 ^m , MEV; le Bassin, C ⁷ - 17 ^m . Limoges-Brive, 1887-91, St-Germain-les-Belles, C ¹³ - 17 ^m , ch. Largnac-Vendes, 1888, Bassignac, C ⁸ - 11 ^m . Argenteuil-Mantes, 1888-90, La Monteillant, C ³ - 11 ^m 50, ch. Guéret-La Châtre, 1902-04, Vauvre, C ¹ - 8 ^m , ch. St-Jean-d'Angély-Saujon, 1906-07, Chaumet, C ³ - 13 ^m .	Bouchemaine, Tours-Nantes, 1846, E ¹ - 24 ^m . Plessis-lez-Tours, Tours-L'endôme, 1855-56, E ¹ - 24 ^m . sur l'Anglin, à Ingrandes, Poitiers-Le Blanc, 1885-87, E ³ - 24 ^m . Schalchgraben, Autriche, 1904-05, A ¹ - 52 ^m , PT - cim.	Blossac, à Poitiers, A ¹ - 14 ^m . P ¹ de la Cèze, 16 ^m 20. Schwändelholzobel, Bade, 1899-1900, A ¹ - 57 ^m , PT - cim. Steyrling, Autriche, 1904-05, A ¹ - 70 ^m , PT - cim.	Viaducs : sur le Trioux, Guingamp-Paimpol, 1896, C ¹ - 12 ^m 80.	
0.200	Dinan, sur la Rance, 1846-52, C ¹⁰ - 16 ^m .	Poissy, 1848-71-74, E ¹⁶ - 14 ^m 92.			Pontoise, 1772, 20 ^m 26. Cornielle, Rouen, 1810-35, A ⁶ - Arches de rive : 26 ^m .	Eymoutiers-Meymac, Lègaud, C ³ - 12 ^m , ch. Montauban-Brive, 1881-83, Malminot, C ¹³ - 9 ^m . Mauriac, à la ligne d'Aurillac à St-Denis, 1882, Les Agats, C ⁹ - 12 ^m . Aurillac-St-Denis, 1884-85, L'Authre, C ⁵ - 16 ^m . Limoges-Brive, 1887-91, Vigen, C ¹⁰ -16 ^m , MOV - ch. Gènes-Asti, (Italie), 1890-93, 18 ^m 50, Br - ch. : sur les Torrents Chiaravagna, C ¹⁰ ; Cantalupo, C ⁶ ; de Varenna, C ⁹ ; Acquasanta, C ¹¹ . Tournemire-Le Vigan, 1890-95, 18 ^m , ch. : Caillaret, C ⁹ - MEV; Valcrose, C ⁷ - MOV. Carmaux-Rodez, 1891-97, la Gascarie, C ¹² - 20 ^m , MEV - ch. Lozanne-Givors, 1903, 12 ^m , MOV - ch. : Crèvy, C ³ ; la Chicotière, C ⁷ ; les Planches, C ⁷ ; les Armières, C ⁶ ; l'Iseron, C ¹⁰ . Anduze-St-Jean du Gard, 1905-09, MOV - ch. : Miallet, C ¹⁰ - 12 ^m ; la Plaine, sur le Gardon, C ⁷ - 12 ^m ; Vallat d'Amous, C ⁶ - 11 ^m . Morez-St-Claude, 1909-11, le Saillard, C ¹ : arches d'accès, 12 ^m , MOV - ch. Miramas-L'Estaque, 1912-14 : Les Eaux-Salées, C ¹ - 50 ^m , MEV - cim.	Montlouis, Blois-Tours, 1843-46, E ¹² - 24 ^m 75. Cinq-Mars, Tours-Nantes, 1846, E ¹⁹ - 20 ^m . Palmgraben, Autriche, 1904-05, A ¹ - 49 ^m , MOV - cim. Leymarie, Nontron-Sarlal, 1893, A ¹ - 19 ^m 45, MOV - cim.	Jamna, Autriche, 1893-94, A ¹ - 48 ^m , MAV - cim.	Carhaix-Rosporden, 1893-97, ch. : sur le Kerminot, C ¹ - 12 ^m ; sur le Troujoly, C ¹ - 4 ^m ; sur le Stergoff, C ¹ - 4 ^m ; P ¹ : 28 ^m 250, C ¹ - 12 ^m . Lons-le-Saulnier-Saint-Claude 1899. Revigny, C ¹ - 12 ^m . Carhaix-Chateaulin, 1907, C ¹ - 12 ^m .	
0.205	Compiègne, 1733, E ¹ - 23 ^m 40. Poissy, 1848-71-74, E ¹⁶ - 17 ^m 32.		St-Étienne, Autriche, 1842-46, A ¹ - 43 ^m 60, MOV.		Ste-Maxence, 1774-85, A ¹ - 23 ^m 40. Pesmes, sur l'Oignon, 1772, A ¹ - 13 ^m 64.	Paris-Mulhouse, 1855-56, Nogent-sur-Marne : Arches d'accès, C ¹⁰ , 15 ^m . Rennes-Brest, 1863-65 : Morlaix, C ¹¹ - 15 ^m 50; le Guédic, C ⁷ - 15 ^m ; le Gouet, C ¹² - 15 ^m . Arvant au Lot, 1866-67, 15 ^m : Lège, C ³ ; le Passadou, C ¹ . Cahors-Brive, 1882-88, 15 ^m , ch. : le Boulet, C ²⁶ , MEV; Souillac, C ¹⁰ , MOV. Rome-Viterbe, (Italie), 1892-93, Vallée de Ronciglione, C ⁷ - 18 ^m . Lozanne-Givors, 1903 : Civrieux, C ³ - 15 ^m . Langogne-Le Puv, 1905-07, Archejols, C ¹¹ - 15 ^m , MOV - ch. Anduze-St-Jean du Gard, 1905-09, 15 ^m , MOV - ch. : Le Mas du Pont, C ³ ; la Salindrique, C ¹ . Miramas-L'Estaque, 1911-13, 15 ^m , MOV - ch. : Le Jonquier (4 v ^{tes} d'accès); l'Etable (2 v ^{tes} d'accès); Le Grand-Vallat, C ³ ; Mauvallon, C ⁶ ; Les Loubatons, C ⁷ ; Les Riaux, C ³ ; Mejean, C ⁹ ; L'Aigle, C ¹ .	sur la Cère, 1884-85, Aurillac-St-Denis, 35 ^m . Gutach, Bade, 1899-1900, A ¹ - 64 ^m , PT - cim. Gour-Noir, Limoges-Brive, 1888-89, A ¹ - 60 ^m , MEV - cim. Céret, 1883-85, A ¹ - 45 ^m , L - cim.		Carhaix-Rosporden, 1897, sur le Goaravee, C ¹ - 7 ^m . Carhaix-Chateaulin, 1909, sur l'Aulne, C ¹ - 6 ^m .	
0.210	Albi, sur le Tarn, C ³ - 27 ^m 60.	Fium'Alto, Corse, 1862-63, E ¹ - 40 ^m , MOV - ch. Annibal, Italie, 1868-70, E ¹ - 55 ^m , Br et MOV - ch - cim. Diable, Italie, 1871-72, E ¹ - 55 ^m , Br et MOV - ch - cim.	Bordeaux, 1822, A ¹⁷ - 20 ^m 85 et 26 ^m 40.			Arvant au Lot, 1866-67, La Gouyère, C ³ - 10 ^m . Limoges-Brive, 1873-75 : Pompadour, C ⁸ - 25 ^m , ch; P ¹ de la Corrèze, C ³ - 14 ^m . Anduze-St-Jean du Gard, 1905-09, MOV - ch. : St-Michel, C ¹ - 18 ^m ; Vallat d'Amous, C ¹ - 18 ^m . Nérac-Mont-de-Marsan, P ¹ sur le Luddon, C ¹ - 22 ^m .	Signac, Montréjeau-Luchon, 1871-72, E ¹ - 40 ^m , PT, MOV - cim, ch.			

$$\text{Coefficient } \alpha = \frac{e_0 (\text{épaisseur à la clef})}{[1 + \sqrt{2\alpha (\text{portée})}] \mu (\text{fonction du surbaissement})}$$

α	PONTS SOUS ROUTE					PONTS OU VIADUCS SOUS CHEMIN DE FER				
	C	E	\widehat{A}	\widehat{A}	\widehat{A}	VOIE NORMALE	C	E	\widehat{A}	\widehat{A}
0.215						Viaducs de : Marvejols-Neussargues, 1879-83, Crueize, C ^o - 25 ^m MEV - ch. Quercy-Nontron, 1882-83, Le Bandiat, C ^o . Arche centrale : 20 ^m 50. Vendes-Mauriac, 1888; Méallet, C ^o - 15 ^m . Lozanne-Givors, 1903, Le Colombier, Arche centrale, 30 ^m , MOV - ch. Bricey-Villerupt, 1906, Le Thil, C ^o - 25 ^m , MOV. Morez-St-Claude, 1909-11, Le Pain de Sucre, grande arche, 15 ^m , MOV - ch.				
0.22		Saumur, 1756-64, E ¹² - 19 ^m 50. Tours, 1765-77, E ¹⁰ - 24 ^m 36.				Arvant au Lot, 3 C ^o d: 20 ^m aux P ^{us} 65 ^k 3, 65 ^k 436, 65 ^k 5. Lozanne-Givors, 1903, Arche centrale, 20 ^m ; les Arnières, l'Iseron, MOV - ch. Morez-St-Claude, 1909-11 : Morez, C ^o - 20 ^m MEV - ch. Miramas-L'Eclaque, 1911-12, 20 ^m , MOV - ch. : Les Aragnols, C ^o ; la Corbière, C ^o .			Berdoulet, Ariège, 1860-61, A ¹ - 40 ^m , MOV - cin. Walditobel, Autriche, 1883-84, A ¹ - 41 ^m , MOV - ch. cin.	
0.225	Ornaizons, 1745-52, C ¹ - 42 ^m 90.					Paris-Mulhouse, 1855-56, Nogent-sur-Marne, Grandes arches : C ¹ - 50 ^m , MOV - cin.		Longueville-lez-Metz, 1854, E ⁸ - 20 ^m 60.	Maretta, Prarolo, Italie, 1851-52, A ¹ - 40 ^m , Br. Lège, 1867, 10 ^m .	
0.23			Nydeck, Suisse, 1840-44, A ¹ - 45 ^m 90, MEV - ch. cin.			La Clayette-Lamure, Le Sornin, 1898-1900, C ¹ - 35 ^m , MOV - ch.				
0.235						La Clayette-Lamure, 1892-95, Mussy, C ¹⁸ - 25 ^m , MOV - ch. Morez-St-Claude, 1909-11, Saillard, Arche centrale 25 ^m , MOV - ch. Miramas-L'Eclaque, 1911-12, L'Eclaque, Arche centrale : 25 ^m , MOV - ch.				
0.24						Bussière-Galant-St-Yrieix, 1902, Pont sur l'Isle, C ¹ - 20 ^m , MOV - ch. Miramas-L'Eclaque, 1911-12, Le Jonquier, Arche centrale : 30 ^m , MOV - ch. Moutiers-Bourg-St-Maurice, 1912, Les Plaines, Arche centrale : 30 ^m , MOV - ch.				
0.245			Tournon, 1351-1583, A ¹ - 49 ^m 20. Crespano, Italie, 1832-36, A ¹ - 40 ^m , Br.							
0.25										
0.255										
0.26	Collonges, 1869-73, C ¹ - 40 ^m , PT, MOV - ch.									
0.265		Gignac, 1770-1810, E ¹ - 48 ^m 73, PT.								
0.27										
0.275										
0.28										
0.285		Vizille, 1751-66, E ¹ - 41 ^m 08, PT - ch.								
0.35		Lavaur (Vieux P ^o), 1773-91, E ¹ - 48 ^m 72, PT - ch.								

PONTs DÉCRITS DANS LE TOME III

INDEX ALPHABÉTIQUE

PONT	Rivière ou voie traversée	Pays	Symbole dans les séries $\geq 40^m$	Pages	
				Tableau synoptique	Mono- graphie
d'Avignon	Rhône	France	\bar{A}^n r ^{te} ($\geq 40^m$) ⁸	234	270
des Bains de Lucques..	Fegana	Italie	\widehat{A}^1 r ^{te} ($\geq 40^m$) ⁴	10	32
de Bellefield, à Pittsburg	Creux de	États-Unis	\widehat{A}^1 r ^{te} ($\geq 40^m$) ⁹	14	49
	St-Pierre				
de Bellows Falls.....	Connecticut	États-Unis	\bar{A}^1 l ^r ($\geq 40^m$) ¹	222	225
de Boberullersdorf	Bober	Allemagne, - Silésie	»	286	298
de Boilefos.....	Nidelven	Norvège	\widehat{A}^1 l ^r ($\geq 40^m$) ²³	88	159
Boucicaut.....	Saône	France	\bar{A}^n r ^{te} ($\geq 40^m$) ²	230	243
de Cabin-John.....	Cabin-John	États-Unis	\widehat{A}^1 aq ($\geq 40^m$) ¹	72	75
	Creek				
de Calcio	Oglio	Italie	\widehat{A}^1 l ^r ($\geq 40^m$) ⁵	80	100
de Canale.....	Isonzo	Autriche	\bar{A}^n l ^r ($\geq 40^m$) ¹	182	185
de Cassel.....	Fulda	Prusse	»	286	302
de Chemnitz.....	Chemnitz	Saxe	\widehat{A}^1 l ^r ($\geq 40^m$) ¹⁴	84	129
de Grosvenor,		Angleterre	\widehat{A}^1 r ^{te} ($\geq 40^m$) ³	10	29
à Chester.....	Dee				
de Claix.....	Drac	France	\widehat{A}^1 r ^{te} ($\geq 40^m$) ⁵	12	36
sur la Delaware, à Portland	Delaware	États-Unis	»	284	289
du Diable, à Martorell...	Llobregat	Espagne	»	»	313
sur la Diveria.....	Diveria	Italie	\widehat{A}^1 l ^r ($\geq 40^m$) ¹⁵	84	130

PONT	Rivière ou voie traversée	Pays	Symbole dans les séries $\geq 40^m$	Pages	
				Tableau synoptique	Mono- graphie
d' Elsen	Alme	<i>Prusse</i>	»	286	300
d' Elyria	Black River	<i>États-Unis</i>	\widehat{A}^1 r ^{te} ($\geq 40^m$) ⁷	12	46
de Marbre, à Florence	Arno	<i>Italie</i>	»	»	319
Frédéric-Auguste , à Plauen.	Une place	<i>Saxe</i>	\widehat{A}^1 r ^{te} ($\geq 40^m$) ¹⁰	14	52
de Freyssinet	Vézère	<i>France</i>	\widehat{A}^1 Fr ($\geq 40^m$) ⁸	82	112
du Gour-Noir	Vézère	<i>France</i>	\widehat{A}^1 Fr ($\geq 40^m$) ⁶	80	103
de Gross-Kunzendorf .	Freiwaldaue Biele	<i>Allemagne - Silésie</i>	\widehat{A}^n r ^{te} ($\geq 40^m$) ⁶	232	267
de Grosvenor , à Chester, (cité plus haut, sous la lettre C).	Dee	<i>Angleterre</i>	\widehat{A}^1 r ^{te} ($\geq 40^m$) ³	10	29
de Guggersbach	Singine	<i>Suisse</i>	\widehat{A}^1 r ^{te} ($\geq 40^m$) ¹¹	14	59
sur la Gutach	Gutach	<i>Gr^d Duché de Bade</i>	\widehat{A}^1 Fr ($\geq 40^m$) ¹²	84	122
de Huzenbach	Murg	<i>Wurtemberg</i>	\widehat{A}^1 r ^{te} ($\geq 40^m$) ³	192	206
d' Isola del Cantone , (Pont en amont et Pont en aval).	Scrivia	<i>Italie</i>	\widehat{A}^1 Fr ($\geq 40^m$) ^{3 et 4}	80	98
de Jamna	Pruth	<i>Autriche</i>	\widehat{A}^1 Fr ($\geq 40^m$) ¹⁰	82	118
de Jaremceze	Pruth	<i>Autriche</i>	\widehat{A}^1 Fr ($\geq 40^m$) ⁹	82	114
de Justinien	Sangaris	<i>Asie-Mineure</i>	»	»	318

PONT	Rivière ou voie traversée	Pays	Symbole dans les séries $\geq 40^m$	Pages	
				Tableau synoptique	Mono- graphie
de Krappitz	Hotzenplotz	<i>Allemagne, - Silésie</i>	\bar{A}^n r ^{te} ($\geq 40^m$) ⁵	232	265
sur le Krenngraben	Krenngraben	<i>Autriche</i>	\hat{A}^1 r ^r ($\geq 40^m$) ¹⁷	86	134
de Krummenau	Thur	<i>Suisse</i>	\hat{A}^1 r ^r ($\geq 40^m$) ²⁵	90	164
de Kupferhammer	Freiwaldauer Biele	<i>Allemagne, - Silésie</i>	\bar{A}^1 r ^{te} ($\geq 40^m$) ⁹	196	214
de Langenbrand	Murg	<i>Grand Duché de Bade</i>	\hat{A}^1 r ^r ($\geq 40^m$) ²¹	88	152
de Lichtensteig	Thur	<i>Suisse</i>	\hat{A}^1 r ^r ($\geq 40^m$) ²⁴	88	161
de Longuich	Moselle	<i>Prusse- Rhénane</i>	\bar{A}^n r ^{te} ($\geq 40^m$) ¹⁰	236	279
de Lusserat	Charente	<i>France</i>	\hat{A}^1 r ^r ($\geq 40^m$) ²²	88	155
de Marbre , à Florence (<i>citée plus haut, sous la lettre F</i>)	Arno	<i>Italie</i>	»	»	319
de Marbre , à Pise	»	<i>Italie</i>	»	»	305
de Maretta	Scrivia	<i>Italie</i>	\hat{A}^1 r ^r ($\geq 40^m$) ¹	80	93
du Diable, à Martorell (<i>citée plus haut, sous la lettre D</i>)	Llobregat	<i>Espagne</i>	»	»	313
de Mehring	Moselle	<i>Prusse- Rhénane</i>	\bar{A}^n r ^{te} ($\geq 40^m$) ³	230	252
de Michelau	Glatzer Neisse	<i>Allemagne, - Silésie</i>	\bar{A}^1 r ^{te} ($\geq 40^m$) ⁶	194	209
de Modène	Panaro	<i>Italie</i>	»	»	307
de la Monroe Street , à Spo- kane	Spokane	<i>États-Unis</i>	»	284	293
de Montanges	Valserine	<i>France</i>	\hat{A}^1 r ^{te} ($\geq 40^m$) ¹²	16	62
Mosca , à Turin	Dora Riparia	<i>Italie</i>	\bar{A}^1 r ^{te} ($\geq 40^m$) ¹	192	199
de Moulins (Pont de Mansart) ..	Allier	<i>France</i>	»	»	305

PONT	Rivière ou voie traversée	Pays	Symbole dans les séries $\geq 40^m$	Pages	
				Tableau synoptique	Mono- graphie
de Narni	Nera	<i>Italie</i>	»	»	317
de Neuhammer	Queis	<i>Allemagne - Silésie</i>	\bar{A}^1 1 ^{re} ($\geq 40^m$) ⁷	194	211
d' Orense	Miño	<i>Espagne</i>	»	»	311
d' Orléans	Loire	<i>France</i>	\bar{A}^n 1 ^{re} ($\geq 40^m$) ⁴	232	255
dit Pont-y-tu-Pridd	Tafe	<i>Angleterre</i>	\widehat{A}^1 1 ^{re} ($\geq 40^m$) ²	10	26
de Pouch	Vézère	<i>France</i>	\widehat{A}^1 1 ^{re} ($\geq 40^m$) ⁷	82	110
de Marbre, à Pise (<i>cité plus haut, sous la lettre M</i>).....		<i>Italie</i>	»	»	305
de Bellefield, à Pittsburg (<i>cité plus haut, sous la lettre B</i>)....	Creux de Saint-Pierre	<i>États-Unis</i>	\widehat{A}^1 1 ^{re} ($\geq 40^m$) ⁹	14	49
Frédéric-Auguste, à Plauen (<i>cité plus haut, sous la lettre F</i>).....	Une place	<i>Saxe</i>	\widehat{A}^1 1 ^{re} ($\geq 40^m$) ¹⁰	14	52
de Prarolo	Scrivia	<i>Italie</i>	\widehat{A}^1 1 ^{re} ($\geq 40^m$) ²	80	93
de Putney	Tamise	<i>Angleterre</i>	\bar{A}^n 1 ^{re} ($\geq 40^m$) ¹	230	239
de Saint-Georges	Liri	<i>Italie</i>	»	»	307
de Saint-Martin , à Tolède.	Tage	<i>Espagne</i>	»	»	309
de Salcano	Isonzo	<i>Autriche</i>	\widehat{A}^1 1 ^{re} ($\geq 40^m$) ¹⁹	86	141
du Saulnier	Gardon de Sainte-Cécile- d'Andorge	<i>France</i>	\widehat{A}^1 1 ^{re} ($\geq 40^m$) ⁶	12	40
sur le Schwändeholzdobel .	Schwände- holzdobel	<i>Grand-Duché de Bade</i>	\widehat{A}^1 1 ^{re} ($\geq 40^m$) ¹³	84	126
de Schweich	Moselle	<i>Prusse-Rhénane</i>	\bar{A}^n 1 ^{re} ($\geq 40^m$) ⁷	234	268

PONT	Rivière ou voie traversée	Pays	Symbole dans les séries $\geq 40^m$	Pages	
				Tableau synoptique	Mono- graphie
de Schwusen	Bartsch	Allemagne, - Silésie	\bar{A}^1 1 ^{re} ($\geq 40^m$) ⁸	194	213
de Seythenex	Tamié	France	\bar{A}^n 1 ^{re} ($\geq 40^m$) ²	170	177
de la Monroe Street, à Spokane (cité plus haut, sous la lettre M).....	Spokane	États-Unis	»	284	293
sur la Steyrling	Steyrling	Autriche	\bar{A}^1 1 ^{re} ($\geq 40^m$) ¹⁸	86	137
sur le Strandeelven	Strandeelven	Norvège	\bar{A}^1 1 ^{re} ($\geq 40^m$) ¹⁶	84	132
de Svenkerud	Hallingdalseken	Norvège	\bar{A}^1 1 ^{re} ($\geq 40^m$) ²⁰	86	150
de Teinach	Nagold	Wurtemberg	\bar{A}^1 1 ^{re} ($\geq 40^m$) ²	192	203
de Saint-Martin, à Tolède (cité plus haut, sous la lettre S).....	Tage	Espagne	»	»	309
de Trajan	Danube	Hongrie	»	»	317
de Trezzo	Adda	Italie	\bar{A}^1 1 ^{re} ($\geq 40^m$) ¹	10	19
de Trittenheim	Moselle	Prusse- Rhénane	\bar{A}^n 1 ^{re} ($\geq 40^m$) ⁹	234	276
Mosca, à Turin (cité plus haut, sous la lettre M).....	Dora Riparia	Italie	\bar{A}^1 1 ^{re} ($\geq 40^m$) ¹	192	199
du Vieux-Château , à Vérone	Adige	Italie	\bar{A}^n 1 ^{re} ($\geq 40^m$) ¹	170	173
de Villeneuve-d'Agén ..	Lot	France	»	»	315
de Weisenbach	Murg	Grand Duché de Bade	\bar{A}^1 aq ($\geq 40^m$) ¹	216	219
de Wengern	Malapane	Allemagne, - Silésie	\bar{A}^1 1 ^{re} ($\geq 40^m$) ⁴	192	207
de Wheeling	Wheeling Creek	États-Unis	\bar{A}^1 1 ^{re} ($\geq 40^m$) ⁸	12	47
de Worochta	Pruth	Autriche	\bar{A}^1 1 ^{re} ($\geq 40^m$) ¹¹	82	120
de Ziegenhals	Freiwaldauer Biele	Allemagne, - Silésie	\bar{A}^1 1 ^{re} ($\geq 40^m$) ⁵	194	208

TABLE DES MATIÈRES

DU TOME III

AVERTISSEMENT.....	Pages 1
1. Divisions de l'ouvrage. — 2. Classement des Ponts en séries. — 3. Classement dans chaque série par date d'exécution. — 4. Tableaux synoptiques. — Monographies (p. I). — 5. Suite, dans chaque monographie, de figures, planches, photographies, renvois, sources. — 6. Désignation abrégée des matériaux aux tableaux synoptiques et aux dessins (p. II). — 7. Unités adoptées pour comparer les quantités et dépenses. — A. Cintres. — B. Ouvrage (p. III).	

1^{RE} PARTIE. — VOÛTES INARTICULÉES (Suite)

PRÉLIMINAIRES.....	3
1. Groupement en séries des Ponts à voûtes inarticulées. — 2. Séries par intrados. — Symboles (p. 3). — 3. Ponts à une seule grande arche et Ponts à plusieurs grandes arches. — 4. Séries par voie portée. — 5. Ponts en deux anneaux. — 6. Ponts ayant une voûte ou des voûtes de 40 ^m ou plus de portée. — 7. Exemples : Sens de quelques symboles (p. 4).	

LIVRE I. - DESCRIPTION DES PONTS QUI ONT OU AVAIENT DES VOÛTES INARTICULÉES DE 40^m ET PLUS DE PORTÉE. TABLEAUX SYNOPTIQUES. — MONOGRAPHIES. (Suite)

VOÛTES INARTICULÉES EN ARC ASSEZ SURBAISSÉ Â

PONTS A UNE SEULE GRANDE ARCHE SOUS ROUTE

SÉRIE Â¹ r^{te} (≥ 40^m)

TABEAU SYNOPTIQUE.....	10
------------------------	----

VOÛTES INARTICULÉES EN ARC ASSEZ SURBAISSÉ \widehat{A}

(Suite)

PONTS A UNE SEULE GRANDE ARCHE SOUS ROUTE

SÉRIE \widehat{A}^1 1^{re} ($\geq 40^m$) (Suite)

	Pages.
\widehat{A}^1 1 ^{re} ($\geq 40^m$) ¹ . — <i>Pont sur l'Adda, à Trezzo</i> (ITALIE, — Lombardie) (1370-1377) (<u>Détruit en 1116</u>).....	19
<p>TEXTE. — 1. Dates. — 2. Le pont était d'une seule arche (p. 19). — 3. Ce qui reste de la culée rive droite (p. 20). — 4. Ce qui reste de la culée rive gauche. — 5. Intrados. — SOURCES (p. 23).</p> <p>DESSINS. — f_1. Tête aval. — Culée rive droite : f_2. Coupe en long, — f_3. Demi-coupe en travers, — f_4. Demi-élévation de côté. — f_5. Coupe du bandeau (p. 22).</p> <p>PHOTOGRAPHIES. — Φ_1. Vue d'ensemble, aval (p. 20). — Culée rive droite, aval : Φ_2. Vue de côté, — Φ_3. Vue de face (p. 21). — Φ_4. Culée rive gauche, aval (p. 23).</p>	
\widehat{A}^1 1 ^{re} ($\geq 40^m$) ² . — Pont dit « Pont-y-tu-Pridd », sur la Tafe, près de Newbridge (ANGLETERRE, — Pays de Galles, — Comté de Glamorgan) (1749-1750).....	26
<p>TEXTE. — 1. Premier pont (1746-1748). — 2. Deuxième pont. — 3. Troisième pont (pont actuel, terminé en 1750) (p. 26). — 4. Auteur. — SOURCE (p. 28).</p> <p>DESSINS. — f_1. Élévation. — f_2. Coupe en travers à la clef. — Cintre : f_3. Élévation, — f_4. Coupe en travers (p. 27).</p> <p>PHOTOGRAPHIE. — Φ_1 (p. 26).</p>	
\widehat{A}^1 1 ^{re} ($\geq 40^m$) ³ . — Pont de Grosvenor , sur la Dee, à Chester (ANGLETERRE, — Pays de Galles) (1833-1834).....	29
<p>TEXTE. — 1. Cintre (p. 29). — 2. Construction de la voûte. — 3. Décintrement. — 4. Personnel. — SOURCES (p. 31).</p> <p>DESSINS. — f_1. Élévation. — f_2. Coupe en long. — f_3, f_4. Coupes en travers : à la clef, aux reins (p. 30). — f_5. Cintre (p. 29).</p> <p>PHOTOGRAPHIE. — Φ_1 (p. 29).</p>	
\widehat{A}^1 1 ^{re} ($\geq 40^m$) ⁴ . — Pont sur le Torrent Fegana, près des Bains-de-Lucques (ITALIE, — Province de Lucques) (1845-1847, 1874-1877).....	32
<p>TEXTE. — 1. Pourquoi on a fait une grande voûte. — 2. Histoire (p. 32). — 3. Couronnement convexe. — 4. Cintre. — 5. Construction de la voûte (p. 33). — 6. Fissures observées. — A. <i>aux naissances</i> (p. 34). — B. <i>à la clef</i>. — 7. Composition de la voûte. — 8. Personnel. — SOURCES (p. 35).</p> <p>DESSINS. — f_1. Élévation. — f_2. Coupe en long et cintre (p. 33).</p> <p>PHOTOGRAPHIE. — Φ_1 (p. 32).</p>	

VOÛTES INARTICULÉES EN ARC ASSEZ SURBAISSÉ \widehat{A}

(Suite)

PONTS A UNE SEULE GRANDE ARCHE SOUS ROUTE

SÉRIE \widehat{A}^1 1^{re} ($\geq 40^m$) (Suite)

Pages.

 \widehat{A}^1 1^{re} ($\geq 40^m$) 5. — Pont sur le Drac, à **Claix** (FRANCE, — Isère) (1873-1874). 36

TEXTE. — 1. Aspect. — 2. Cintre. — A. Appui en rivière (p. 36). — B. Dépenses. — 3. Fondations. — 4. Exécution de la voûte. — 5. Décintrement. — 6. Dépenses (p. 38). — 7. Mouvements dus aux variations de température. — A. Observations faites avant 1879. — B. Observations faites en septembre 1908. — 8. Personnel. — SOURCES (p. 39).

DESSINS. — f_1 . Élévation aval. — f_2 . Coupe en long. — f_3, f_4 . Coupes en travers : aux retombées, aux reins. — f_5 . Coupe horizontale. — Cintre : f_6 . Élévation, — f_7 . Coupe en travers (p. 37).

PHOTOGRAPHIE. — Φ_1 (p. 36).

 \widehat{A}^1 1^{re} ($\geq 40^m$) 6. — Pont du Saulnier, sur le Gardon de Sainte-Cécile d'Andorge (FRANCE, — Lozère) (1882) (Écroulé en 1912). 40

TEXTE. — 1. Pourquoi on a fait une grande voûte. — 2. Cintre (p. 40). — 3. Fondation de la culée rive gauche. — 4. Exécution de la voûte. — 5. Décintrement. — 6. Mouvements postérieurs au décintrement. — A. Mouvements de la culée rive gauche (p. 41). — B. Déformations de la voûte (p. 42). — C. Déformations des tympans (p. 43). — 7. Chute du pont (28 janvier 1912). — 8. Ingénieur (p. 44). — SOURCES (p. 45).

DESSINS. — f_1 . Élévation aval. — f_2 . Coupe en travers au-dessus d'une culée. — Cintre : f_3 . Élévation, — f_4 . Coupe en travers (p. 40). — État du Pont, décembre 1908 : f_5 . Élévation aval, — f_6 . Élévation amont, — f_7 . Douelle (p. 43).

PHOTOGRAPHIES. — Φ_1 — amont (2 septembre 1908) (p. 42). — Φ_2 — amont (6 février 1912) (p. 44).

 \widehat{A}^1 1^{re} ($\geq 40^m$) 7. — Pont sur la Black River, à **Elyria** (ÉTATS-UNIS, — Ohio) (1886)..... 46

TEXTE. — 1. Personnel. — SOURCE (p. 46).

PHOTOGRAPHIE. — Φ_1 (p. 46).

 \widehat{A}^1 1^{re} ($\geq 40^m$) 8. — Pont de la Main Street, sur le Wheeling Creek, à **Wheeling** (ÉTATS-UNIS, — West-Virginia) (1891-1892)..... 47

TEXTE. — 1. Personnel. — SOURCES (p. 48).

DESSINS. — f_1 . Élévation. — f_2 . Coupe en travers. — Cintre : f_3 . Élévation, — f_4 . Coupe en travers (p. 47).

PHOTOGRAPHIE. — Φ_1 (p. 48).

VOÛTES INARTICULÉES EN ARC ASSEZ SURBAISSE \widehat{A}

(Suite)

PONTS A UNE SEULE GRANDE ARCHE SOUS ROUTE

SÉRIE \widehat{A}^1 1^{re} ($\geq 40^m$) (Suite)

	Pages.
\widehat{A}^1 1 ^{re} ($\geq 40^m$) ⁹ . — Pont de Bellefield , sur le Creux de Saint-Pierre, à Pittsburg (ÉTATS-UNIS, — Pennsylvanie) (1896-1897)...	49
<p>TEXTE. — 1. Matériaux de la voûte (p. 49). — 2. Chape. — 3. Cintre. — 4. Fondations. — 5. Exécution de la grande voûte (p. 50). — 6. Décintrement. — 7. Quantités. — 8. Personnel. — SOURCE (p. 51).</p> <p>DESSINS. — f_1. Élévation. — f_2. Coupe en long. — f_3. Coupe en travers. — f_4. Coupe horizontale (p. 49). — f_5. Cintre (p. 50).</p>	
\widehat{A}^1 1 ^{re} ($\geq 40^m$) ¹⁰ . — Pont Frédéric-Auguste , sur la vallée de la Syra, à Plauen (ALLEMAGNE, — Saxe, — Voigtland) (1903-1905)	52
<p>TEXTE. — 1. Pourquoi on a fait une grande voûte. — 2. Pourquoi on n'a pas articulé la voûte (p. 52). — 3. Tympan. — 4. Couronnement, Chaussée. — 5. Matériaux. — A. Pierres. — B. Mortier. — 6. Calculs (p. 53). — 7. Cintre (p. 54). — 8. Fondations (p. 55). — 9. Exécution de la grande voûte. — 10. Décintrement. — 11. Durée de la construction (p. 56). — 12. Mouvements de la clef depuis le décintrement (p. 57). — 13. Dépenses. — 14. Personnel. — SOURCES (p. 58).</p> <p>DESSINS. — 1^o Hors-TEXTE. — Pl_1 (p. 52^{bis}). — f_1. Élévation. — f_2. Coupe horizontale. — f_3. Coupe en long. — f_4. Coupe en travers.</p> <p>2^o DANS LE TEXTE. — Cintre : f_5. Élévation, — f_6. Coupe en travers (p. 55). — f_7. Mouvements de la clef depuis le décintrement (p. 57).</p> <p>PHOTOGRAPHIES. — Φ_1. Ensemble (p. 52). — Φ_2. Cintre (p. 54).</p>	
\widehat{A}^1 1 ^{re} ($\geq 40^m$) ¹¹ . — Pont sur la Singine, près de Guggersbach (SUISSE, — Berne) (1906).....	59
<p>TEXTE. — 1. Matériaux. — 2. Joints de dilatation. Chape. — 3. Efforts dans le béton armé (p. 59). — 4. Cintre. — 5. Exécution de la voûte. — A. 1^{er} rouleau. — B. 2^{me} rouleau. — 6. Dates. — 7. Personnel. — SOURCES (p. 61).</p> <p>DESSINS. — f_1. Élévation. — f_2. Coupe en long. — f_3. Demi-coupe en travers : à la clef, aux reins. — f_4. Nervure du hourdis. Coupe en long. — Cintre : f_5. Élévation, — f_6. Coupe en travers.</p> <p>PHOTOGRAPHIE. — Φ_1 (p. 59).</p>	

VOÛTES INARTICULÉES EN ARC ASSEZ SURBAISSÉ \widehat{A}

(Suite)

PONTS A UNE SEULE GRANDE ARCHE SOUS ROUTE

SÉRIE \widehat{A}^1 1^{re} ($\geq 40^m$) (Suite)

Pages.

\widehat{A}^1 1 ^{re} ($\geq 40^m$) 12. — Pont sur la Valserine, au Moulin des Pierres, près de Montanges (France, - Ain) (1908-1910)	62
--	----

TEXTE. — 1. Dispositions d'ensemble. — 2. Chape (p. 62). — 3. Cintre. — A. *Dispositions d'ensemble* (p. 64). — B. *Calcul*. — C. *Appareils de décintrement*. — D. *Mise en place*. — 4. Mouvements du cintre avant la construction de la voûte (p. 66). — 5. Exécution de la grande voûte : A. *Division en rouleaux*. — B. *1^{er} rouleau*. — C. *Clavages* (p. 67). — 6. Mouvements du cintre pendant la construction de la voûte. — A. *1^{er} rouleau*. — B. *2^{me} rouleau*. — 7. Décintrement (p. 68). — 8. Dates. — 9. Quantités et dépenses (p. 69). — 10. Personnel. — *SOURCES* (p. 70).

DESSINS. — f_1 . Élévation aval (p. 63). — f_2 . Demi-coupe en long. — f_3 . Coupe en travers à la clef (p. 64). — Cintre : f_4 . Élévation, — f_5 . Coupe en travers (p. 65). — f_6 . Assemblage de deux pièces d'un montant ; — Contreventement horizontal d'une pile : f_7 . Ensemble, — f_8 . Détail (p. 64) ; — Appareil de décintrement : f_9 . Vue de face, — f_{10} . Vue de côté (p. 66). — f_{11} , f_{12} . Étais et câbles soutenant les tronçons des reins pendant le clavage (p. 67). — f_{13} . Mouvements du cintre pendant la construction de la voûte. Coupe en travers du cintre avant le clavage du 1^{er} rouleau (p. 68).

PHOTOGRAPHIES. — ϕ_1 . Ensemble (p. 62). — ϕ_2 . Construction du 1^{er} rouleau (p. 67).

PONTS A UNE SEULE GRANDE ARCHE SOUS CONDUITE D'EAU (AQUEDUCS)

SÉRIE \widehat{A}^1 aq ($\geq 40^m$)

TABLEAU SYNOPTIQUE.....	72
MONOGRAPHIES :	

\widehat{A}^1 aq ($\geq 40^m$) 1. — Pont de Cabin-John , sur le Cabin-John Creek, près de Washington (États-Unis) (1857-1864).....	75
---	----

TEXTE. — 1. Conduite d'eau sur l'ouvrage (p. 75). — 2. Voûte en deux rouleaux indépendants. — 3. Fondations. — 4. Décintrement. — 5. Ingénieur. — *SOURCES* (p. 77).

DESSINS. — f_1 . Élévation (p. 76). — f_2 . Coupe en long. — f_3 . Coupe en travers à la clef (p. 77). — f_4 . Cintre (p. 76).

PHOTOGRAPHIE. — ϕ_1 (p. 75).

VOÛTES INARTICULÉES EN ARC ASSEZ SURBAISSÉ \widehat{A}

(Suite)

PONTS A UNE SEULE GRANDE ARCHE
SOUS CHEMIN DE FER A VOIE NORMALESÉRIE \widehat{A}^1 I^{er} ($\geq 40^m$)

TABLEAU SYNOPTIQUE.....	Pages. 80
MONOGRAPHIES :	
\widehat{A}^1 I ^{er} ($\geq 40^m$) 1 et 2. — Ponts sur la Scrivia, près de Maretta et de Prarolo (ITALIE, — Province de Gênes) (1851-1852).....	93
<p>TEXTE. — 1. Pourquoi on a fait une grande arche. — 2. Disposition en vue : <i>A. du biais de 50° ; - B. de la courbe de 400^m ; - C. de la pente de 8^{mm}</i> (p. 95). — 3. Matériaux. — 4. Cintre (p. 96). — 5. Fondations. — 6. Dates. Tassements. — 7. Personnel. — Sources (p. 97).</p> <p>DESSINS. — f₁. Élévation. — f₂. Plan (p. 94). — f₃. Coupe en long. — Cintre : f₄. Élévation, - f₅. Coupe en travers (p. 96).</p> <p>PHOTOGRAPHIES. — Φ_1. Pont de Maretta (p. 93). — Φ_2. Pont de Prarolo (p. 95).</p>	
\widehat{A}^1 I ^{er} ($\geq 40^m$) 3 et 4. — Ponts sur la Scrivia, près d' Isola del Cantone (ITALIE, — Province de Gênes) (1852).....	98
<p>TEXTE. — (p. 98). — Sources (p. 99).</p> <p>PHOTOGRAPHIES. — Φ_1. Pont en amont d'Isola del Cantone (p. 98). — Φ_2. Pont en aval (p. 99).</p>	
\widehat{A}^1 I ^{er} ($\geq 40^m$) 5. — Pont sur l'Oglio, près de Calcio (ITALIE, — Lombardie) (1877-1878).....	100
<p>TEXTE. — 1. Choix de l'ouverture. — 2. Matériaux (p. 100). — 3. Construction de la grande voûte. — 4. Personnel. — Sources (p. 102).</p> <p>DESSINS. — f₁. Ensemble. — f₂. Grande voûte. — f₃. Coupe en long et cintre. — f₄. Coupe en travers sur l'axe d'un pilastre. — f₅. Imposte. — f₆. Couronnement (p. 101).</p> <p>PHOTOGRAPHIE. — Φ_1 (p. 100).</p>	
\widehat{A}^1 I ^{er} ($\geq 40^m$) 6. — Pont sur la Vézère, au Gour-Noir (FRANCE, — Corrèze) (1888-1889).....	103
<p>TEXTE. — 1. Pourquoi on a fait une grande voûte. — 2. Bandeau et archivolté. — 3. Pilastres des culées (p. 103). — 4. Joints vus d'extrados. — 5. Cintre. — <i>A. Description</i> (p. 105). — <i>B. Quantités et Dépenses</i>. — 6. Exécution de la grande voûte. — <i>A. Division en rouleaux et tronçons</i>. — <i>B. 1^{er} rouleau</i> (p. 106). — <i>C. Renseignements sur l'exécution de la grande voûte</i> (p. 107). — 7. Mouvements de la voûte dus aux variations de température (p. 108). — 8. Personnel. — Sources (p. 109).</p> <p>DESSINS. — f₁. Élévation. — f₂. Coupe en long. — Élévation du cintre. — f₃. Coupe en travers du cintre (p. 104). — Exécution de la grande voûte. — Coupes en long : f₄. Construction du 1^{er} rouleau (p. 106). — f₅. Voûte achevée (p. 107). — f₆. Mouve- ments de la clef dus aux variations de température. — f₇, f₈, f₉, f₁₀. Fissures dans les dernières voûtes d'évidement et au-dessus (p. 108).</p> <p>PHOTOGRAPHIES. — Φ_1 - amont (p. 103). — Φ_2. Cintre (p. 105).</p>	

VOÛTES INARTICULÉES EN ARC ASSEZ SURBAISSÉ \widehat{A}

(Suite)

PONT A UNE SEULE GRANDE ARCHE SOUS CHEMIN DE FER A VOIE NORMALE

SÉRIE \widehat{A}^1 Fr ($\geq 40^m$) (Suite)

	Pages.
\widehat{A}^1 Fr ($\geq 40^m$) ⁷ . — Pont sur la Vézère, à Pouch (FRANCE, — Corrèze) (1890).....	110
<i>TEXTE.</i> — 1. Pourquoi on a fait une grande voûte. — 2. Cintre. — 3. Construction de la voûte (p. 110). — 4. Personnel. — <i>SOURCES</i> (p. 111).	
<i>DESSINS.</i> — f_1 . Élévation. — f_2 . Culée. — f_3 . Couronnement. — f_4 . Cintre (p. 111).	
<i>PHOTOGRAPHIE.</i> — Φ_1 (p. 110).	
\widehat{A}^1 Fr ($\geq 40^m$) ⁸ . — Pont sur la Vézère, à Freyssinet (FRANCE, — Corrèze) (1890-1891).....	112
<i>TEXTE.</i> — 1. Pourquoi on a fait une grande voûte. — 2. Appareil. Couronnement. — 3. Cintre (p. 112). — 4. Personnel. — <i>SOURCES</i> (p. 113).	
<i>DESSIN.</i> — f_1 . Élévation (p. 113).	
<i>PHOTOGRAPHIE.</i> — Φ_1 (p. 112).	
\widehat{A}^1 Fr ($\geq 40^m$) ⁹ . — Pont sur le Pruth, à Jaremcze (AUTRICHE, — Galicie) (1893-1894).....	114
<i>TEXTE.</i> — 1. Pourquoi on a adopté une grande voûte. — 2. Aspect. — 3. Chape (p. 114). — 4. Cintre. — 5. Exécution de la grande voûte. — 6. Avantages du mâtage. — 7. Main-d'œuvre et fournitures pour la grande voûte. — 8. Dates (p. 116). — 9. Épreuves. — 10. Grandes voûtes imitées de celle de Jaremcze. — 11. Personnel. — <i>SOURCES</i> (p. 117).	
<i>DESSINS.</i> — f_1 . Ensemble. — f_2 . Grande voûte (p. 115). — Cintre : f_3 . Élévation, — f_4 . Coupe en travers (p. 116).	
<i>PHOTOGRAPHIE.</i> — Φ_1 (p. 114).	
\widehat{A}^1 Fr ($\geq 40^m$) ¹⁰ . — Pont sur le Pruth, à Jamna (AUTRICHE, — Galicie) (1893-1894).....	118
<i>TEXTE.</i> — 1. Quelques observations. — 2. Exécution de la grande voûte (p. 118). — 3. Dates. — 4. Personnel. — <i>SOURCES</i> (p. 119).	
<i>DESSINS.</i> — f_1 . Ensemble. — f_2 . Grande voûte. — f_3 . Cintre (p. 119).	
<i>PHOTOGRAPHIE.</i> — Φ_1 (p. 118).	
\widehat{A}^1 Fr ($\geq 40^m$) ¹¹ . — Pont sur le Pruth, près de Worochta (AUTRICHE, — Galicie) (1893-1894).....	120
<i>TEXTE.</i> — 1. Quelques observations (p. 120). — 2. Personnel. — <i>SOURCES</i> (p. 121).	
<i>DESSINS.</i> — f_1 . Ensemble. — f_2 . Grande voûte (p. 121).	
<i>PHOTOGRAPHIE.</i> — Φ_1 (p. 120).	

VOÛTES INARTICULÉES EN ARC ASSEZ SURBAISSÉ \widehat{A}

(Suite)

PONTS A UNE SEULE GRANDE ARCHE
SOUS CHEMIN DE FER A VOIE NORMALESÉRIE \widehat{A}^1 $Fr > 40m$ (Suite)

	Pages.
\widehat{A}^1 $Fr > 40m$ 12. — Pont sur la Gutach (ALLEMAGNE, — Bade) (1899-1900) . . .	122
<p>TEXTE. — 1. Pieds-droits de la grande voûte. — 2. Joints de dilatation. — 3. Chape (p. 122). — 4. Plinthe. — 5. Cintre. — 6. Exécution de la grande voûte (p. 124). — 7. Tassements moyens à la clef. — SOURCES (p. 125).</p> <p>DESSINS. — f_1. Ensemble. — f_2. Grande voûte. — f_3. Plan par-dessus. — f_4. Plan sous la plinthe. — f_5. Coupe en travers à la clef (p. 123). — Cintre : f_6. Élévation, — f_7. Plan des piles (p. 124).</p> <p>PHOTOGRAPHIE. — Φ_1 — aval (p. 122).</p>	
\widehat{A}^1 $Fr > 40m$ 13. — Pont sur le Schwändeholzobel (ALLEMAGNE, — Bade) (1899-1900)	126
<p>TEXTE. — 1. Pieds-droits de la grande voûte. — 2. Joints de dilatation. — 3. Plinthe (p. 126). — 4. Cintre. — 5. Exécution de la grande voûte. — 6. Dates. — 7. Tassements moyens à la clef. — SOURCES (p. 128).</p> <p>DESSINS. — f_1. Élévation. — f_2. Coupe en travers à la clef. — f_3. Plan sous la plinthe. — f_4. Cintre (p. 127).</p> <p>PHOTOGRAPHIE. — Φ_1 (p. 126).</p>	
\widehat{A}^1 $Fr > 40m$ 14. — Pont sur la Chemnitz (ALLEMAGNE, — Saxe) (1901-1902) . . .	129
<p>TEXTE. — 1. Dispositions à signaler. — 2. Personnel. — SOURCES (p. 129).</p> <p>DESSINS. — f_1. Ensemble. — f_2. Grande voûte. — f_3. Coupe en travers à la clef (p. 129).</p> <p>PHOTOGRAPHIE. — Φ_1 (p. 129).</p>	
\widehat{A}^1 $Fr > 40m$ 15. — Pont sur la Diveria (ITALIE, — Province de l'Ossola) (1902)	130
<p>TEXTE. — 1. Quelques observations. — 2. Cintre. — 3. Dates (p. 130). — 4. Personnel. — SOURCES (p. 131).</p> <p>DESSINS. — f_1. Élévation. — f_2. Coupe en long. — Cintre : f_3. Élévation, — f_4. Coupe en travers (p. 131).</p> <p>PHOTOGRAPHIE. — Φ_1 (p. 130).</p>	
\widehat{A}^1 $Fr > 40m$ 16. — Pont sur le Strandeelven , près de Voss (NORVÈGE) (1902-1904)	132
<p>TEXTE. — 1. Dates. — 2. Personnel (p. 132). — SOURCE (p. 133).</p> <p>DESSINS. — f_1. Élévation. — f_2. Coupe en travers. — Cintre : f_3. Élévation, — f_4. Coupe en travers (p. 132).</p> <p>PHOTOGRAPHIE. — Φ_1 (p. 133).</p>	

VOÛTES INARTICULEES EN ARC ASSEZ SURBAISSÉ \widehat{A}

(Suite)

PONTES A UNE SEULE GRANDE ARCHE
SOUS CHEMIN DE FER A VOIE NORMALESÉRIE \widehat{A}^1 Fr ($\geq 40^m$)

	Pages.
\widehat{A}^1 Fr ($\geq 40^m$) ¹⁷ . — Pont sur le Krenngraben , près de Dirnbach (Haute-AUTRICHE) (1904-1905)	134
<i>TEXTE.</i> — 1. Dispositions en vue de la courbe du tracé (p. 134). — 2. Viaduc d'évidement. — 3. Aspect (p. 135). — 4. Cintre. — 5. Dates. — 6. Personnel. — <i>SOURCES</i> (p. 136).	
<i>DESSINS.</i> — f_1 . Élévation. — f_2 . Coupe en long. — f_3 . Coupe en travers. — Culée : f_4 . Coupe horizontale, — f_5 , f_6 . Dalle en béton armé (p. 135). — f_7 , f_8 . Corbeaux au-dessus des retombées (p. 134). — Cintre : f_{10} . Élévation. — f_{11} . Coupe en travers (p. 136).	
<i>PHOTOGRAPHIE.</i> — Φ_1 (p. 134).	
\widehat{A}^1 Fr ($\geq 40^m$) ¹⁸ . — Pont sur la Steyrling (Haute-AUTRICHE) (1904-1905)..	137
<i>TEXTE.</i> — 1. Tympan. — 2. Cartouche de clef (p. 137). — 3. Dates. — 4. Personnel. — <i>SOURCES</i> (p. 140).	
<i>DESSINS.</i> — f_1 . Élévation (p. 138). — f_2 . Coupe en long (p. 139). — f_3 . Coupe en travers. — f_4 . Coupe horizontale d'une culée (p. 138). — Cintre : f_5 . Élévation, — f_6 . Coupe en travers (p. 139).	
<i>PHOTOGRAPHIES.</i> — Φ_1 . Vue de face (p. 137). — Φ_2 . Vue de côté (p. 140).	
\widehat{A}^1 Fr ($\geq 40^m$) ¹⁹ . — Pont sur l'Isonzo , près de Salcano (AUTRICHE, — Küstenland) (1904-1906).....	141
<i>TEXTE.</i> — 1. Pourquoi on a fait un pont en maçonnerie. — 2. Pourquoi on a fait une voûte de 85 ^m . — 3. Aspect (p. 141). — 4. Chape. — 5. Joints de dilatation. — 6. Matériaux. — A. Grande voûte (p. 143). — B. Autres parties de l'ouvrage. — 7. Cintre (p. 144). — 8. Fondations. — 9. Exécution de la grande voûte. — A. 1 ^{er} rouleau (p. 145). — B. 2 ^e rouleau. — C. 3 ^e rouleau. — 10. Décintrement (p. 146). — 11. Tassements du cintre pendant la construction de la voûte. — 12. Mouvements de la voûte au décintrement (p. 147). — 13. Mouvements de la clef dus aux variations de température. — 14. Dates. — 15. Quantités et Dépenses. — A. Quantités et prix d'unité (p. 148). — B. Prix total. — 16. Personnel. — <i>SOURCES</i> (p. 149).	
<i>DESSINS.</i> — f_1 . Ensemble, aval. — f_2 . Grande voûte (p. 142). — f_3 . Coupe en long, côté rive gauche. — f_4 . Coupe en travers du pilastre rive droite (p. 143). — Cintre : f_5 . Élévation, — f_6 . Coupe en travers (p. 144). — Exécution de la grande voûte : f_7 . Rouleaux, tronçons, clavages, coupe en long, — f_8 . Coins et liteaux maintenant les joints secs. — f_9 . Billots de décintrement Zuffer (p. 146). — Tassements du cintre pendant la construction de la voûte : f_{10} . 1 ^{er} rouleau posé, — f_{11} . Les deux premiers rouleaux clavés, — f_{12} . Aussitôt avant le décintrement, — f_{13} . Schéma du cintre. — f_{14} . Axe de la voûte avant et après décintrement (p. 147).	
<i>PHOTOGRAPHIES.</i> — Φ_1 (p. 141). — Φ_2 . Cintre (p. 145).	

VOÛTES INARTICULÉES EN ARC ASSEZ SURBAISSÉ \widehat{A}

(Suite)

PONTS A UNE SEULE GRANDE ARCHE SOUS CHEMIN DE FER A VOIE NORMALE

SÉRIE \widehat{A}^1 Fr ($\geq 40^m$) (Suite)

	Pages.
\widehat{A}^1 Fr ($\geq 40^m$) ²⁰ . — Pont sur le Hallingdalselven, à Svenkerud (NORVÈGE) (1905-1907).....	150
<p>TEXTE. — 1. Dates. — 2. Personnel (p. 150). — SOURCES (p. 151).</p> <p>DESSINS. — f_1. Élévation. — f_2. Coupe en long. — f_3. Coupe en travers. — f_4. Chape (p. 150). — Cintre : f_5. Élévation, — f_6. Coupe en travers, — f_7. Retombées (p. 151).</p> <p>PHOTOGRAPHIE. — Φ_1 (p. 151).</p>	
\widehat{A}^1 Fr ($\geq 40^m$) ²¹ . — Pont sur la Murg, près de Langenbrand (ALLEMAGNE, — Bade) (1907-1909).....	152
<p>TEXTE. — 1. Dates (p. 152). — 2. Personnel. — SOURCES (p. 154).</p> <p>DESSINS. — f_1. Ensemble (p. 152). — f_2. Grande voûte (p. 153). — f_3. Coupe en long. — f_4. Coupe en travers. — f_5. Plinthe (p. 154). — Cintre : f_6. Élévation, — f_7. Coupe en travers (p. 153).</p> <p>PHOTOGRAPHIE. — Φ_1 (p. 152).</p>	
\widehat{A}^1 Fr ($\geq 40^m$) ²² . — Pont sur la Charente, près de Lusserat (FRANCE, — Charente-Inférieure) (1908-1910).....	155
<p>TEXTE. — 1. Pourquoi on a fait une grande voûte. — 2. Appareil. — A. <i>Bandeau</i>. — B. <i>Culées</i>. — 3. Fondation à l'air comprimé de la culée rive droite (p. 155). — 4. Exécution de la grande voûte. — A. <i>Division en rouleaux</i>. — B. <i>1^{er} rouleau</i> (p. 157). — 5. Mouvements au décaintement mesurés avec 8 appareils Manet-Rabut à tige de 1^m. — 6. Mouvements dus à la température. — 7. Dates. — 8. Personnel. — SOURCES (p. 158).</p> <p>DESSINS. — f_1. Élévation. — f_2. Demi-coupe en long, côté rive droite. — f_3. Culée rive gauche. Coupe en long. — f_4. Coupe en travers à la clef. — Cintre : f_5. Élévation, — f_6. Coupe en travers (p. 156). — f_7. Division de la voûte en rouleaux et tronçons. — f_8. Joints secs (p. 157). — f_9. Mouvements au décaintement (p. 158).</p> <p>PHOTOGRAPHIES. — Φ_1 (p. 155). — Φ_2. Cintre (p. 157).</p>	
\widehat{A}^1 Fr ($\geq 40^m$) ²³ . — Pont sur le Nidelven, à Boilefos (NORVÈGE) (1908-19. . .)	159
<p>TEXTE. — 1. Personnel (p. 159). — SOURCES (p. 160).</p> <p>DESSINS. — f_1. Élévation. — f_2. Coupe en long. — f_3. Coupe en travers à la clef. — Cintre : f_4. Élévation, — f_5, f_6. Coupes en travers : à la clef, aux reins (p. 159).</p> <p>PHOTOGRAPHIE. — Φ_1 (p. 160).</p>	

VOÛTES INARTICULEES EN ARC ASSEZ SURBAISSÉ \widehat{A}

(Suite)

PONTES A UNE SEULE GRANDE ARCHE
SOUS CHEMIN DE FER A VOIE NORMALESÉRIE \widehat{A}^1 $r^r (\geq 40^m)$ (Suite)

Pages.

- \widehat{A}^1 $r^r (\geq 40^m)^{24}$. — Pont sur la Thur, à Lichtensteig (Suisse, — Saint-Gall) (1907-1909)..... 161

TEXTE. — 1. Efforts dans la voûte (*Méthode Ritter*). — 2. Cintre. — A. Efforts (p. 161). — B. Surhaussement de 80^{mm}. — 3. Dates. — 4. Personnel. — SOURCES (p. 163).

DESSINS. — f_1 . Élévation. — f_2 . Coupe en travers aux reins. — f_3 . Exécution de la voûte. — 1^{er} et 2^e rouleaux. — Cintre : f_4 . Élévation, — f_5 . Coupe en travers, — f_6 , f_7 . Bilots de décintrement (p. 162).

PHOTOGRAPHIE. — Φ_1 (p. 161).

- \widehat{A}^1 $r^r (\geq 40^m)^{25}$. — Pont sur la Thur, à Krummenau (Suisse, — Saint-Gall) (1910-1911)..... 164

TEXTE. — 1. Efforts dans la voûte (p. 164). — 2. Cintre. — A. Efforts. — B. Surhaussement de 130^{mm}. — C. Prix de revient. — D. Salaires (p. 166). — 3. Exécution de la voûte. — 4. Dates. — 5. Tassement des fermes de rive. — 6. Tassement des bandeaux (p. 167). — 7. Personnel. — SOURCES (p. 168).

DESSINS. — f_1 . Élévation. — f_2 . Coupe en travers à la clef. — f_3 . Couronnement. — f_4 . Division de la voûte en rouleaux et tronçons. — Cintre : f_5 . Élévation, — f_6 . Coupe en travers (p. 165).

PHOTOGRAPHIE. — Φ_1 (p. 164).

PONTES A PLUSIEURS GRANDES ARCHES SOUS ROUTE

SÉRIE \widehat{A}^n $r^{te} (\geq 40^m)$

TABEAU SYNOPTIQUE..... 170

MONOGRAPHIES :

- \widehat{A}^n $r^{te} (\geq 40^m)^1$. — Pont du Vieux-Château (*Castelvecchio*), sur l'Adige, à Vérone (ITALIE) (1354-1356)..... 173

TEXTE. — 1. Grande arche. Comble en plan (p. 174). — 2. Matériaux. — A. Pile. — B. Bandeaux. — C. Douelle (p. 175). — D. Dimensions des briques. — 3. Dates. — 4. Ingénieurs. — SOURCES (p. 176).

DESSINS. — f_1 . Ensemble, amont. — Grande arche : f_2 . Élévation, amont (p. 173), — f_3 . Plan du dessus, — f_4 . Coupe en travers au sommet (p. 174).

PHOTOGRAPHIES. — Φ_1 . — amont (p. 174). — Φ_2 . — amont (p. 175).

- \widehat{A}^n $r^{te} (\geq 40^m)^2$. — Pont sur le ruisseau de Tamié, près de Seythenex (France, — Haute-Savoie) (1908-1911)..... 177

TEXTE. — 1. Pourquoi deux grandes arches ? — 2. Arches d'accès en deux anneaux (p. 177). — 3. Matériaux. — 4. Pile et culées. — 5. Joints de dilatation (p. 178). — 6. Fondation de la culée rive gauche. — 7. Cintres (p. 179). — 8. Décintrement. — 9. Dates. — 10. Quantités et Dépenses. — 11. Personnel. — SOURCES (p. 180).

DESSINS. — f_1 . Ensemble, aval. — f_2 . Plan par-dessus. — f_3 . Plan des voûtes nues. — f_4 . Grande voûte rive droite (p. 177). — f_5 . Coupe en long. — Coupes en travers : f_6 . au-dessus de la pile, — f_7 . aux reins des voûtes d'accès. — Pile : f_8 . Coupe en long, — f_9 . Coupe horizontale. — Culée rive gauche : f_{10} . Coupe en long, — f_{11} . Coupe horizontale (p. 178). — Cintre de l'arche rive droite : f_{12} . Élévation, — f_{13} , f_{14} . Coupes en travers. — Cintre de l'arche rive gauche : f_{15} . Élévation (p. 179).

PHOTOGRAPHIE. — Φ_1 (p. 179).

VOÛTES INARTICULÉES EN ARC ASSEZ SURBAISSÉ \widehat{A}

(Suite)

PONTES A PLUSIEURS GRANDES ARCHES
SOUS CHEMIN DE FER A VOIE NORMALESÉRIE \widehat{A}^n 1^{re} ($\geq 40m$)

Pages.

TABLEAU SYNOPTIQUE.....	182
MONOGRAPHIES :	

\widehat{A}^n 1^{re} ($\geq 40m$) ¹ . — Pont sur l'Isonzo, près de Canale (Autriche, — Küstenland) (1904-1906).....	185
--	-----

TEXTE. — 1. Piles biaises (p. 185). — 2. Aspect. — 3. Matériaux. — 4. Exécution des grandes voûtes. — 5. Dates (p. 186). — 6. Personnel. — SOURCES (p. 187).

DESSINS. — f_1 . Ensemble, amont. — Arche en rivière : f_2 . Élévation, — f_3 . Plan (p. 185).

PHOTOGRAPHIES. — Φ_1 . Les 3 arches de 40m (p. 186). — Φ_2 . Cintres (p. 187).

VOÛTES INARTICULÉES EN ARC TRÈS SURBAISSÉ \overline{A}

PONTES A UNE SEULE GRANDE ARCHE SOUS ROUTE

SÉRIE \overline{A}^1 1^{re} ($\geq 40m$)

TABLEAU SYNOPTIQUE.....	192
MONOGRAPHIES :	

\overline{A}^1 1^{re} ($\geq 40m$) ¹ . — Pont Mosca, sur la Dora Riparia, à Turin (Italie) (1834).....	199
---	-----

TEXTE. — 1. Le Pont Mosca est imité du « Pont d'une arche de 150 pieds d'ouverture, projeté (par Perronet) pour être construit sur chacun des deux bras de la Seine à Melun » (p. 199). — 2. Cintre (p. 200). — 3. Fondations. — 4. Exécution de la voûte. — 5. Décintrement. — 6. Durée d'exécution (p. 201). — 7. Dépense. — 8. Ingénieur. — SOURCES (p. 202).

DESSINS. — f_1 . Élévation. — f_2 . Plan d'un terre-plein. — f_3 . Cintre (p. 200). — f_4 . Comment varie l'épaisseur des joints (p. 201).

PHOTOGRAPHIE. — Φ_1 (p. 199).

\overline{A}^1 1^{re} ($\geq 40m$) ² . — Pont sur la Nagold, à Teinach (Allemagne, — Wurtemberg) (1882).....	203
---	-----

TEXTE. — 1. Grande voûte. — 2. Chaussée. Trottoirs (p. 203). — 3. Chape. — 4. Cintre. — 5. Fondations. — 6. Exécution de la voûte (p. 204). — 7. Décintrement. — 8. Fissures et tassements. — 9. Durée d'exécution. — 10. Personnel. — SOURCES (p. 205).

DESSINS. — f_1 . Élévation. — f_2 . Coupe en long. — f_3 . Coupe en travers aux reins (p. 203). — Cintre : f_4 . Élévation, — f_5 . Coupe en travers (p. 204).

VOÛTES INARTICULÉES EN ARC TRÈS SURBAISSÉ \bar{A}

(Suite)

PONTS A UNE SEULE GRANDE ARCHE SOUS ROUTE

SÉRIE \bar{A}^1 1^{re} ($\geq 40^m$) (Suite)

Pages.

- \bar{A}^1 1^{re} ($\geq 40^m$)³. — Pont sur la Murg, à **Huzenbach** (ALLEMAGNE, - Wurtemberg) (1889)..... 206

TEXTE. — SOURCES (p. 206).

DESSINS. — f_1 . Élévation. — f_2 . Coupe en long et cintre (p. 206).

- \bar{A}^1 1^{re} ($\geq 40^m$)⁴. — Pont sur la Malapane, à **Wengern** (ALLEMAGNE, - Silésie, - Cercle d'Oppeln) (1904)..... 207

TEXTE. — 1. Personnel. — SOURCE (p. 207).

DESSINS. — f_1 . Élévation. — f_2 . Coupe en long. — Coupes en travers : f_3 . à la clef, — f_4 . aux reins, — f_5 . dans une culée (p. 207).

- \bar{A}^1 1^{re} ($\geq 40^m$)⁵. — Pont sur la Freiwaldauer Biele, à **Ziegenhals** (ALLEMAGNE, - Silésie, - Cercle de Neisse) (1905)..... 208

TEXTE. — 1. Personnel. — SOURCE (p. 208).

DESSINS. — f_1 . Élévation. — f_2 . Coupe en long (p. 208).

- \bar{A}^1 1^{re} ($\geq 40^m$)⁶. — Pont sur la Glalzer Neisse, à **Michelau** (ALLEMAGNE, - Silésie, - Cercle de Brieg) (1905-1906)..... 209

TEXTE. — 1. Dates (p. 209). — 2. Personnel. — SOURCES (p. 210).

DESSINS. — f_1 . Élévation. — f_2 . Coupe en long. — f_3 . Coupe en travers à la clef. — Cintre : f_4 . Élévation, — f_5 . Coupe en travers (p. 209).PHOTOGRAPHIE. — Φ_1 (p. 210).

- \bar{A}^1 1^{re} ($\geq 40^m$)⁷. — Pont sur la Queis, à **Neuhammer** (ALLEMAGNE, - Silésie, - Cercle de Sagan) (Projet : 1905)..... 211

TEXTE. — 1. Aspect. — 2. Personnel. — SOURCES (p. 212).

DESSINS. — f_1 . Ensemble. — f_2 . Grande arche. — f_3 . Coupe en long. — f_4 . Culée. — f_5 . Coupe en travers d'une culée (p. 211).PHOTOGRAPHIE. — Φ_1 (p. 212).

- \bar{A}^1 1^{re} ($\geq 40^m$)⁸. — Pont sur la Bartsch, à **Schwusen** (ALLEMAGNE, - Silésie, - Cercle de Glogau) (1907)..... 213

TEXTE. — 1. Personnel. — SOURCE (p. 213).

DESSINS. — f_1 . Élévation. — f_2 . Coupe en long. — f_3 . Coupe en travers à la clef. — f_4 . Couronnement. — Cintre : f_5 . Élévation, — f_6 . Coupe en travers (p. 213).

- \bar{A}^1 1^{re} ($\geq 40^m$)⁹. — Pont sur la Freiwaldauer Biele, à **Kupferhammer** (ALLEMAGNE, - Silésie, - Cercle de Neisse) (1907)..... 214

TEXTE. — 1. Personnel. — SOURCE (p. 214).

DESSIN. — f_1 . Coupe en long (p. 214).

VOÛTES INARTICULÉES EN ARC TRÈS SURBAISSÉ \bar{A}

(Suite)

PONTES A UNE SEULE GRANDE ARCHE
SOUS CONDUITE D'EAU (AQUEDUCS)SÉRIE \bar{A}^1 aq ($\geq 40^m$)

	Pages.
TABEAU SYNOPTIQUE.....	216
MONOGRAPHIES :	
\bar{A}^1 aq ($\geq 40^m$) ¹ . — Pont sur la Murg, près de Weisenbach (ALLE- MAGNE, — Grand-Duché de Bade) (1885).....	219
TEXTE. — 1. Exécution de la voûte. — 2. Date. — 3. Personnel. — SOURCES (p. 220).	
PHOTOGRAPHIE. — Φ_1 (p. 219).	

PONTES A UNE SEULE GRANDE ARCHE
SOUS CHEMIN DE FER A VOIE NORMALESÉRIE \bar{A}^1 fr ($\geq 40^m$)

	222
TABEAU SYNOPTIQUE.....	222
MONOGRAPHIES :	
\bar{A}^1 fr ($\geq 40^m$) ¹ . — Pont de Bellows Falls, sur le Connecticut (ÉTATS- UNIS, — Vermont) (1899).....	225
TEXTE. — 1. Pourquoi il est dans la série \bar{A}^1 (p. 225). — 2. Pourquoi on a fait un pont en maçonnerie. — 3. Couronnement. — 4. Cintres. — A. Partie au-dessus des naissances. — B. Partie au-dessous des naissances. — 5. Exécution des voûtes (p. 227). — 6. Quantités. — 7. Dates. — 8. Personnel. — SOURCES (p. 228).	
DESSINS. — f_1 . Ensemble. — f_2 . Arche sur la rivière. — f_3 . Coupe en travers aux retombées. — Cintre de l'arche sur la rivière : f_4 . Élévation, — f_5 . Détail (p. 226).	
PHOTOGRAPHIE. — Φ_1 (p. 225).	

PONTES A PLUSIEURS GRANDES ARCHES SOUS ROUTE

SÉRIE \bar{A}^n r^{te} ($\geq 40^m$)

	230
TABEAU SYNOPTIQUE.....	230
MONOGRAPHIES :	
\bar{A}^n r ^{te} ($\geq 40^m$) ¹ . — Pont de Putney sur la Tamise (ANGLETERRE) (1882-1883).	239
TEXTE. — 1. Quelques dispositions (p. 239). — 2. Cintres. — 3. Fondations. — A. Piles (p. 241). — B. Culées. — 4. Exécution des voûtes. — 5. Personnel. — SOURCES (p. 242).	
DESSINS. — f_1 . Ensemble. — f_2 . Arche centrale. — f_3, f_4 . Coupes sur l'axe d'une pile de l'arche centrale, en long, en travers. — f_5 . Dalles sous chaussée. — f_6 . Plan d'un caisson de fondation (p. 240). — Cintre d'une arche de rive : f_7 . Élévation, — f_8, f_9 . Support. — Cintre de l'arche centrale. Détails d'une ferme : f_{10} . Élévation, — f_{11}, f_{12} . Coupes en travers (p. 241). — Culée : f_{13} . Coupe en long, — f_{14} . Coupe horizontale (p. 242).	
PHOTOGRAPHIE. — Φ_1 (p. 239).	

VOÛTES INARTICULÉES EN ARC TRÈS SURBAISSÉ \bar{A} (Suite)

PONTS A PLUSIEURS GRANDES ARCHES SOUS ROUTE

SÉRIE $\bar{A}^{n^{\text{e}}}$ ($\geq 40^{\text{m}}$) (Suite)

	Pages.
$\bar{A}^{n^{\text{e}}}$ ($\geq 40^{\text{m}}$) ² . — Pont Boucicaut , sur la Saône, à Verjux (FRANCE, — Saône-et-Loire) (1888-1890).....	243
<p><i>TEXTE.</i> — 1. Tracé de l'intrados (p. 243). — 2. Renflement de l'intrados par rapport à l'arc de cercle de même portée et même montée. — 3. Extrados. — 4. Pourquoi on a adopté des voûtes en projection de chaînette (p. 244). — 5. Pourquoi on a réduit l'épaisseur de la voûte. — 6. Appareil des voûtes (p. 245). — 7. Tympan. — 8. Couronnement. — 9. Cintres (p. 246). — 10. Fondations. — A. <i>Piles</i> (p. 247). — B. <i>Culées</i>. — 11. Exécution des voûtes. — 12. Décintrement. — A. <i>Voûte 1 (sur cintre marinier)</i> (p. 248). — B. <i>Voûtes 2 à 5</i>. — 13. Mouvements observés (p. 249). — 14. Personnel (p. 250). — SOURCES (p. 251).</p> <p><i>DESSINS.</i> — f_1. Ensemble, aval. — f_2. Une arche (p. 243). — f_3. Renflement de l'intrados par rapport à l'arc de cercle de même portée et même montée (p. 244). — Appareil des voûtes : f_4. Bandeau, — f_5. Corps (245). — f_6. Demi-coupes en travers, à la clef d'une voûte, sur l'axe d'une pile. — Cintre courant : f_7. Élévation, — f_8. Coupe en travers (p. 246). — f_9. Cintre marinier. — Agrandissement de la passe. — f_{10}. Coupe en long d'une pile (p. 247). — f_{11}. Coupe en long d'une culée (p. 248). — Fissures dans les tympan : f_{12}. Tête aval, — f_{13}. Tête amont. — f_{14}. Mouvements au-dessus des clefs et des appuis (p. 250).</p> <p><i>PHOTOGRAPHIE.</i> — Φ_1 (p. 245).</p>	
$\bar{A}^{n^{\text{e}}}$ ($\geq 40^{\text{m}}$) ³ . — Pont sur la Moselle, à Mehring (ALLEMAGNE, — Prusse-Rhénane) (1903-1904)....	252
<p><i>TEXTE.</i> — 1. Matériaux. — 2. Cintre marinier (p. 252). — 3. Dates. — 4. Personnel. — SOURCES (p. 254).</p> <p><i>DESSINS.</i> — f_1. Ensemble, amont. — f_2. Une grande arche. — Coupes en long : f_3. Arche rive droite, — f_4. Culée rive gauche (p. 253). — Cintre marinier : f_5. Élévation, — f_6. Coupe en travers (p. 252).</p> <p><i>PHOTOGRAPHIE.</i> — Φ_1 - amont (p. 252).</p>	
$\bar{A}^{n^{\text{e}}}$ ($\geq 40^{\text{m}}$) ⁴ . — Pont sur la Loire, à Orléans (FRANCE, — Loiret) (1904-1906).....	255
<p><i>TEXTE.</i> — 1. Déclivités. — 2. Intrados. — 3. Épaisseur de la voûte (p. 255). — 4. Piles. — 5. Tympan. Couronnement. Aspect (p. 257). — 6. Dispositions pour permettre, sans fissures, les mouvements des tympan dus aux variations de température (p. 258). — 7. Pressions. — A. <i>Dans les voûtes</i>. — B. <i>Dans une pile</i>. — C. <i>Sous la culée rive gauche</i>. — 8. Cintres (p. 259). — 9. Fondations. — 10. Exécution des voûtes. — A. <i>Dates</i>. — B. <i>Joints sers</i> (p. 260). — C. <i>Clavages</i>. — D. <i>Enlèvement des coffrages</i>. — 11. Décintrement (p. 262). — 12. Dépenses. — 13. Personnel. — SOURCES (p. 264).</p>	

VOÛTES INARTICULÉES EN ARC TRÈS SURBAISSÉ \bar{A}

(Suite)

PONTS A PLUSIEURS GRANDES ARCHES SOUS ROUTE

SÉRIE $\bar{A}^{n \text{ r}^{\text{te}}} (\geq 40^{\text{m}})$ (Suite)

Pages.

 $\bar{A}^{n \text{ r}^{\text{te}}} (\geq 40^{\text{m}})^4$. — Pont sur la Loire, à Orléans (Suite).

DESSINS. — f_1 . Ensemble, aval. — f_2 . Une arche (p. 255). — f_3 . Coupe en long sur l'axe. — f_4 . Coupe en long de la culée rive gauche. — Demi-coupes en travers : f_5 , aux reins d'une voûte, — f_6 , à la clef. — Pile : f_7 . Élévation, — f_8 . Demi-plan par-dessus, — f_9 . Coupe horizontale, — f_{10} . Chaperon, — f_{11} . Cordon des petites piles. — Archivoltes : f_{12} , des grandes voûtes, — f_{13} , des voûtes d'évidement. — f_{14} . Couronnement (p. 256). — f_{15} . Détermination de l'épaisseur de la voûte (p. 255). — Armature des voûtes d'évidement : f_{16} . Coupes en long, — f_{17} . Coupe horizontale. — f_{18} , f_{19} . Coupes en travers (p. 258). — f_{20} . Cintres fixes. — f_{21} , f_{22} . Cintres mariniers. — f_{23} . Déformation du caisson de la culée rive droite (p. 260). — Exécution des voûtes : f_{24} , f_{25} . Coffrage ; f_{26} . Taquet (p. 261) ; — f_{27} , f_{28} . Clavage des joints secs (p. 262).

PHOTOGRAPHIES. — Φ_1 - aval (p. 257). — Φ_2 . Exécution d'une voûte (p. 261).

 $\bar{A}^{n \text{ r}^{\text{te}}} (\geq 40^{\text{m}})^5$. — Pont sur l'Hotzenplotz, à Krappitz (ALLEMAGNE, - Silésie, - Cercle d'Oppeln) (1905)..... 265

TEXTE. — 1. Personnel (p. 265). — 2. Sources (p. 266).

DESSINS. — f_1 . Ensemble. — f_2 . Grande voûte. — f_3 . Coupe en long (p. 265).

PHOTOGRAPHIE. — Φ_1 (p. 266).

 $\bar{A}^{n \text{ r}^{\text{te}}} (\geq 40^{\text{m}})^6$. — Pont sur la Freiwaldauer Biele, à Gross-Kunzendorf (ALLEMAGNE, - Silésie, - Cercle de Neisse)..... 267

TEXTE. — 1. Personnel. — Source (p. 267).

DESSINS. — f_1 . Ensemble. — f_2 . Grande voûte. — f_3 . Coupe en long. — f_4 . Pilotis et armature d'une pile. — f_5 . Coupe en travers à la clef. — f_6 , f_7 . Couronnement (p. 267).

 $\bar{A}^{n \text{ r}^{\text{te}}} (\geq 40^{\text{m}})^7$. — Pont sur la Moselle, à Schweich (ALLEMAGNE, - Prusse-Rhénane) (1905-1906)..... 268

TEXTE. — 1. Matériaux. — 2. Quelques observations (p. 268). — 3. Dates. — 4. Personnel. — Sources (p. 269).

DESSINS. — f_1 . Ensemble des grandes arches, amont. — f_2 . Une des grandes arches. Cintre de l'arche centrale : f_3 . Élévation, — f_4 . Coupe en travers (p. 268).

PHOTOGRAPHIE. — Φ_1 - aval (p. 269).

VOÛTES INARTICULÉES EN ARC TRÈS SURBAISSÉ \bar{A} (Suite)

PONTS A PLUSIEURS GRANDES ARCHES SOUS ROUTE

SÉRIE \bar{A}^n 1^{re} ($\geq 40^m$) (Suite)

	Pages.
\bar{A}^n 1 ^{re} ($\geq 40^m$) 8. — Pont sur le Rhône, à Avignon (FRANCE, — Vaucluse) (1905-1909)	270
<p><i>TEXTE.</i> — 1. Principales dispositions et dimensions. — 2. Piles. — 3. Trottoirs en encorbellement (p. 270). — 4. Cintres. — 5. Fondations à l'air comprimé. — 6. Exécution des voûtes (p. 272). — 7. Tassement des cintres (p. 273). — 8. Dates d'exécution des voûtes. — Mouvements observés à chaque décintrement (p. 274). — 9. Dépenses. — 10. Personnel. — SOURCES (p. 275).</p> <p><i>DESSINS.</i> — f_1. Ensemble, amont. — f_2. Une voûte. — f_3. Coupe en long. — f_4, f_5. Coupes en travers : à la clef d'une voûte, sur l'axe d'une pile. — f_6, f_7. Becs. — f_8. Gordon des piles (p. 271). — Cintres : f_9, f_{11}. Élévations, — f_{10}, f_{12}. Coupes en travers (p. 272). — Exécution des voûtes. Clavages : f_{13}, f_{14}. Bandeaux, — f_{15}, f_{16}. Corps (p. 273).</p> <p><i>PHOTOGRAPHIE.</i> — Φ_1 (p. 270).</p>	
\bar{A}^n 1 ^{re} ($\geq 40^m$) 9. — Pont sur la Moselle, à Trittenheim (ALLEMAGNE, — Prusse-Rhénane) (1907-1908)	276
<p><i>TEXTE.</i> — 1. Matériaux. — 2. Quelques observations (p. 276). — 3. Aspect. — 4. Dates. — 5. Personnel. — SOURCES (p. 278).</p> <p><i>DESSINS.</i> — f_1. Ensemble, amont. — f_2. Une grande voûte. — f_3. Coupe en long et cintre de l'arche rive droite (p. 277).</p> <p><i>PHOTOGRAPHIE.</i> — Φ_1 — amont (p. 276).</p>	
\bar{A}^n 1 ^{re} ($\geq 40^m$) 10. — Pont sur la Moselle, à Longuich (ALLEMAGNE, — Prusse-Rhénane) (1909-1911)	279
<p><i>TEXTE.</i> — 1. Cintres (p. 279). — 2. Dates. — 3. Personnel. — SOURCES (p. 281).</p> <p><i>DESSINS.</i> — f_1. Ensemble, aval. — f_2. Les deux grandes voûtes, côté rive droite. — Coupes en long : f_3. Culée rive droite, — f_4. Pile centrale. — f_5. Coupe en travers, en avant d'une pile. — f_6. Bec (p. 280). — Cintre marinier : f_7. Élévation, — f_8. Coupe en travers. — Cintre fixe : f_9. Élévation, — f_{10}. Coupe en travers (p. 279).</p> <p><i>PHOTOGRAPHIE.</i> — Φ_1 — amont (p. 279).</p>	

QUELQUES VOÛTES INARTICULÉES QU'ON AURAIT, A TORT, CHERCHÉES AU LIVRE I

TITRE I. — VOÛTES INARTICULÉES $\geq 40^m$ EN BÉTON PEU ARMÉ

	Pages.
TABLEAU SYNOPTIQUE	284
MONOGRAPHIES :	
1. — Pont sur la Delaware , près de Portland (ÉTATS-UNIS, — Pennsylvanie) (1909-1910)	289
<i>TEXTE.</i> — 1. Pile-culée en rivière (p. 289). — 2. Écoulement des eaux. — 3. Parements. — 4. Appui des voûtes biaises sur les piles. — 5. Culée Est. — 6. Cintres. — A. Voûtes de rive (p. 290). — B. Voûtes de 45 ^m 72. — B ₁ . Nombre de cintres. — B ₂ . Fermes. — B ₃ . Dispositif pour mettre les fermes à hauteur et pour décintrer (p. 291). — B ₄ . Travail permis. — B ₅ . — Tassements. — 7. Personnel. — A. Ouvrage. — B. Cintre. — <i>SOURCES</i> (p. 292).	
<i>DESSINS.</i> — f ₁ . Ensemble. — Voûte n° 5 : f ₂ . Élévation, — f ₃ . Plan par-dessus, — f ₄ . Coupe horizontale (p. 289), — f ₅ . Demi-coupe en long, — f ₆ . Coupe en travers. — f ₇ . Culée Est. Coupe en travers (p. 290). — Cintre des voûtes de 45 ^m 72 : f ₈ . Élévation, — f ₉ . Appuis, — f ₁₀ . Appareil de manœuvre (p. 291).	
2. — Pont de la Monroe Street , sur le Spokane , à Spokane (ÉTATS-UNIS, — Washington) (1909-1911)	293
<i>TEXTE.</i> — 1. Deux ponts-jumeaux. — 2. Cintre (p. 293). — 3. Dates. — 4. Personnel (p. 296). — <i>SOURCES</i> (p. 297).	
<i>DESSINS.</i> — f ₁ . Ensemble (p. 294). — f ₂ . Grande arche (p. 295). — f ₃ . Coupe en long. — f ₄ . Coupe horizontale. — f ₅ . Coupe en travers (p. 294). — Cintre : f ₆ . Élévation, — f ₇ . Coupe en travers (p. 296).	
<i>PHOTOGRAPHIE.</i> — Φ_1 — aval (p. 293).	
3. — Pont sur la Bober , à Boberullersdorf (PRUSSE, — Silésie, Cercle de Hirschberg) (1908-1909)	298
<i>TEXTE.</i> — 1. Trottoirs. — 2. Parements vus. — 3. Joints de dilatation. — 4. Dates (p. 298). — 5. Personnel. — <i>SOURCES</i> (p. 299).	
<i>DESSINS.</i> — f ₁ . Élévation. — f ₂ . Coupe en long et cintre. — f ₃ . Coupe en travers. — f ₄ . Couronnement. — f ₅ . Comment est armé le cerveau de la voûte. Plan.	
<i>PHOTOGRAPHIE.</i> — Φ_1 (p. 298).	
4. — Pont sur l' Alme , à Elsen (PRUSSE, — Cercle de Paderborn) 1909-1911)	300
<i>TEXTE.</i> — 1. Joints de dilatation. — 2. Dates (p. 300). — 3. Personnel. — <i>SOURCES</i> (p. 301).	
<i>DESSINS.</i> — f ₁ . Élévation. — f ₂ . Coupe en long. — f ₃ . Coupe en travers aux retombées. — Cintre : f ₄ . Élévation, — f ₅ . Coupe en travers (p. 300).	
<i>PHOTOGRAPHIE.</i> — Φ_1 (p. 301).	
5. — Pont sur la Fulda , à Cassel (PRUSSE) (1909-1910)	302
<i>TEXTE.</i> — 1. Parements vus. — 2. Joints de dilatation. — 3. Dates. — 4. Personnel (p. 302). — <i>SOURCES</i> (p. 303).	
<i>DESSINS.</i> — f ₁ . Élévation. — f ₂ . Coupe en long. — f ₃ . Demi-coupes en travers, à la clef, aux retombées. — Cintre : f ₄ . Élévation, — f ₅ . Coupes en travers (p. 303).	
<i>PHOTOGRAPHIE.</i> — Φ_1 (p. 302).	

QUELQUES VOÛTES INARTICULÉES

QU'ON AURAIT, A TORT, CHERCHÉES AU LIVRE I

(Suite)

TITRE II. — VOÛTES INARTICULÉES $\geq 40^m$ TOMBÉES PENDANT QU'ON LES CONSTRUISAIT

	Pages.
1. Pont de Marbre, à Pise (ITALIE) (<i>indiqué sous toutes réserves</i>). <i>Arc de 72^m389 (??), tombé en 1611</i>	305
2. Pont de Mansart, sur l'Allier, à Moulins (ALLIER). <i>Emporté en 1710. (Arche centrale : 41^m83)</i>	305
<i>TEXTE</i> (p. 305). — <i>DESSINS</i> . — f ₁ . Ensemble. — f ₂ . Grande arche (p. 306).	
3. Pont sur le Panaro, près de Modène (ITALIE). <i>Arche de 49^m376, tombée en 1789</i>	307
4. Pont de Saint-Georges, sur le Liri (ITALIE). <i>Voûte de 15^m tombée en 1873</i>	307
<i>TEXTE</i> (p. 307). — <i>DESSIN</i> . — f ₁ . Élévation et Cintre (p. 307).	

TITRE III. — VOÛTES INARTICULÉES AUXQUELLES ON A ATTRIBUÉ A TORT 40^m DE PORTÉE OU PLUS

III. A. — PONTS QUI EXISTENT, MAIS QUI N'ONT PAS 40^m

1. Pont Saint-Martin, sur le Tage, à Tolède (ESPAGNE, - Nouvelle-Castille)	309
<i>TEXTE</i> (p. 309). — <i>DESSIN</i> . — Grande arche, amont (p. 310). — <i>PHOTOGRAPHIE</i> . — Φ_1 - amont (p. 309).	
2. Pont d'Orense, sur le Miño (ESPAGNE, - Galice).....	311
<i>TEXTE</i> (p. 312). — <i>DESSIN</i> . — f ₁ . Grande arche, aval (p. 311). — <i>PHOTOGRAPHIE</i> . — Φ_1 . Arches centrales, aval (p. 312).	
3. Pont du Diable, sur le Llobregat, à Martorell (ESPAGNE, - Catalogne).	313
<i>TEXTE</i> (p. 313). — <i>DESSIN</i> . — f ₁ . Grande arche, aval (p. 314). — <i>PHOTOGRAPHIE</i> . — Φ_1 - aval (p. 313).	
4. Pont de Villeneuve d'Agen, sur le Lot (LOT-ET-GARONNE).....	315
<i>TEXTE</i> (p. 315). — <i>DESSIN</i> . — f ₁ . Grande arche, amont (p. 315).	

III. B. — PONTS RUINÉS

1. Pont sur la Nera, près de Narni (ITALIE, - Ombrie).....	317
2. Pont de Trajan, sur le Danube (HONGRIE).....	317
3. Pont de Justinien, sur le fleuve Sangaris (ASIE-MINEURE).....	318

III. C. — PONTS QUI N'ONT JAMAIS EXISTÉ

1. Pont de Marbre, sur l'Arno, à Florence (ITALIE).....	319
--	-----

LIVRE II. — CE QUE L'EXPÉRIENCE ENSEIGNE DE SPÉCIAL AUX VOÛTES INARTICULÉES

TITRE I. — COMMENT ON TRACE UNE VOÛTE

	Pages.
CHAPITRE I. — PREMIÈRES INDICATIONS.....	323
CHAPITRE II. — COURBES D'INTRADOS	
§ 1. — PLEIN CINTRE C	324
§ 2. — COURBES ELLIPTIQUES SURBAISSÉES E .	
Art. 1. — Anse de panier.	
A. — Définition.....	324
B. — Tracés d'anses de panier.	
B ₁ — à 3 centres :	
1 ^o On se donne le 1 ^{er} angle θ_1	324
2 ^o On se donne le 1 ^{er} rayon r_1	325
B ₂ — à plus de 3 centres.....	326
C. — Emploi.....	327
Art. 2. — Ellipse.....	328
Art. 3. — Courbe parallèle à l'ellipse.....	329
Art. 4. — Ellipse déformée, en ajoutant à ses ordonnées, ou en retranchant, la différence z entre celles d'un arc et d'une ellipse auxiliaires.	
A. — en ajoutant z (Courbes intérieures à l'ellipse).....	330
B. — en retranchant z (Courbes extérieures à l'ellipse).....	331
Art. 5. — Projection de chaînette.....	331
Art. 6. — Développante de cercle.....	332
Art. 7. — Cycloïde. — Projection de cycloïde.....	333
Art. 8. — Courbes elliptiques composées de 2 courbes :	
A. — Arc de cercle au cerceau, parabole aux reins.....	333
B. — Arc d'ellipse au cerceau, arc de cercle aux reins.....	334
C. — 2 paraboles tangentes à l'ellipse au sommet et aux naissances.....	334
§ 3. — COURBES ELLIPTIQUES SURHAUSSÉES E_h	335
§ 4. — ARCS SURBAISSÉS A .	
Art. 1. — Arc de cercle.....	335
Art. 2. — Arc d'ellipse.....	336
Art. 3. — Arc d'anse de panier.....	336
Art. 4. — Arc de la courbe $y = h' \left(1 - \sqrt{1 - \frac{x^2}{a^2}} \right)$	336
Art. 5. — Parabole $y = Ax^2 + Bx^4 + Cx^6 + \dots$	337
Art. 6. — Courbe pour remplacer pratiquement une projection de chaînette, $y = \frac{h(n^2 - a^2)}{a^2} \times \frac{x^2}{n^2 - x^2}$	337
Art. 7. — Arc de cercle cambré en retranchant quelque chose de chaque ordonnée.....	338

TITRE I. — COMMENT ON TRACE UNE VOÛTE (Suite)

§ 5. — OGIVES O .	Pages.
Art. 1. — Ogive surhaussée.....	339
Art. 2. — Ogive surbaissée.....	339
Art. 3. — Arcs brisés.....	340

CHAPITRE III. — ÉPAISSEUR D'UNE VOÛTE

§ 1. — ÉPAISSEUR A LA CLEF e₀ .	
Art. 1. — Graphiques de e_0 en fonction de la portée $2a$ et du surbaissement $\tau = \frac{b}{2a} \dots$	341
Art. 2. — Pour une voûte donnée, il y a une valeur de e_0 qu'on n'a pas intérêt à dépasser.	341
Art. 3. — Depuis le milieu du XVIII ^e siècle, on réduit constamment le rapport : $\frac{e_0 \text{ (épaisseur)}}{2a \text{ (portée)}}$.	342
Art. 4. — Quelques formules empiriques de e_0 (Perronet, Dupuit, Croizette-Desnoyers).	342
Art. 5. — Formule empirique proposée : $e_0 = \alpha (1 + \sqrt{2a}) \mu \dots$	343
§ 2. — ÉPAISSEUR AUX REINS e_r .	
EXTRADOS CACHÉ PAR DES TYMPANS PLEINS $e_r = \lambda e_0$	
Art. 1. — Formules empiriques proposées pour λ	344
Art. 2. — Épaisseur e_r définie par la condition que sa projection verticale soit e_0	344
§ 3. — CE QUE VALENT LES FORMULES EMPIRIQUES PROPOSÉES POUR e₀ & e_r .	345
§ 4. — EXTRADOS DU CORPS DES VOÛTES.	
Art. 1. — Règle.....	345
Art. 2. — Extrados d'une voûte dont l'épaisseur e en un point quelconque M a une projection verticale constante $e = \frac{e_0}{\cos \alpha}$.	
1 ^o Ellipse. 2 ^o Arc de cercle.....	346

CHAPITRE IV — BANDEAUX

§ 1. — BANDEAUX SOUS TYMPANS PLEINS.	
Art. 1. — Réduction des épaisseurs par rapport au corps de la voûte.....	347
Art. 2. — Pleins cintres.	
Art. 3. — Ellipses.	
A. L'intrados est, aux naissances, tangent à 2 piles, ou à 2 culées, ou à une pile et une culée.....	347
B. L'extrados est une demi-courbe complète.....	348
Art. 4. — Arcs.....	349
2. — BANDEAUX SOUS TYMPANS TRAVERSÉS PAR DES ÉVIDEMENTS APPARENTS.	
Art. 1. — Épaisseurs.....	349
Art. 2. — Courbe d'extrados.....	350

**TITRE II. — COMMENT ON CALCULE LES EFFORTS
DANS LES GRANDES VOÛTES
HYPOTHÈSE ÉLASTIQUE**

**CHAPITRE I. — COMMENT ON DÉTERMINE, POUR UNE SECTION
QUELCONQUE, L'EFFORT NORMAL ET LE COUPLE DE FLEXION**

§ 1. — COMPOSANTES DE L'EFFORT TOTAL SUR UNE SECTION. — COUPLE DE FLEXION.	Pages.
Art. 1. — Effort normal à la section N. — Effort tranchant T. — Couple de flexion Nu .	351
Art. 2. — Poussée horizontale H.	352
§ 2. — SI ON CONNAIT LA RÉACTION D'UN APPUI, ON PEUT, POUR CHAQUE SECTION, CALCULER OU CONSTRUIRE L'EFFORT NORMAL N, ET SON BRAS DE LEVIER u .	352
§ 3. — COMMENT ON DÉTERMINE LA RÉACTION D'UN APPUI.	
Art. 1. — La Statique ne donne que 3 équations pour 6 inconnues.	353
Art. 2. — Hypothèses proposées pour avoir 3 autres équations, en supposant les voussoirs indéformables.	
A. Hypothèse de Navier.	353
B. Méthode de Mery.	354
Art. 3. — Si les voussoirs sont élastiques (élastiques comme l'entend la Résistance des matériaux), on leur peut appliquer les 3 équations « de déformation ».	
A. — La pierre est beaucoup plus déformable que l'acier.	355
B. — Hypothèses de la Résistance des matériaux.	
B ₁ . — Hypothèse de Hooke.	355
B ₂ . — Hypothèse de Navier.	356
C. — Équations de déformation.	356
D. — Les équations de déformation ne tiennent pas compte de la rigidité des tympans.	358
Art. 4. — En pratique, graphiquer au lieu de calculer.	358

**CHAPITRE II. — ON CONNAIT L'EFFORT TOTAL N SUR UNE SECTION,
SA DISTANCE u AU CENTRE DE GRAVITÉ.
COMMENT N SE DISTRIBUE-T-IL SUR LA SECTION ?
EFFORTS PAR UNITÉ EN CHAQUE POINT.**

§ 1. — FORMULES.	359
§ 2. — REPRÉSENTATION GRAPHIQUE.	
Art. 1. — Le centre de pression U est dans le noyau central $\left(u < \frac{e}{6}\right)$ (Règle du trapèze)	359
Art. 2. — Le centre de pression U est à la limite du noyau central $\left(u = \frac{e}{6}\right)$	360
Art. 3. — Le centre de pression U est hors du noyau central $\left(u > \frac{e}{6}\right)$	
A. Si la maçonnerie pouvait travailler à la tension.	360
B. Si la maçonnerie ne peut pas travailler à la tension (Règle du triangle).	360

TITRE III. — RELATION ENTRE LES CHARGES ET LA FORME DE LA VOÛTE

CHAPITRE I. — ON DOIT TRACER LA FIBRE MOYENNE DE FAÇON QUE LES COURBES DE PRESSION S'EN ÉCARTENT LE MOINS POSSIBLE

CHAPITRE II. — CAS D'UNE VOÛTE INFINIMENT MINCE

RELATION ENTRE :

*D'UNE PART, LA FORME D'UNE VOÛTE INFINIMENT MINCE, INCOMPRESSIBLE, DONT CHAQUE ÉLÉMENT S'ORIENTE SUIVANT LA RÉSULTANTE DES FORCES QUI LUI SONT APPLIQUÉES, C-A-D UNE COURBE FUNICULAIRE DES CHARGES ;
D'AUTRE PART, UNE LIGNE LIMITANT LES CHARGES VERTICALES COMPTÉES À PARTIR DE LA VOÛTE, DITE LIGNE DE CHARGE.*

§ 1. — PRÉLIMINAIRES.

Pages.

Art. 1. — Rappel de la notion des courbes funiculaires.....	362
Art. 2. — Définition de la ligne de charge.....	362
Art. 3. — Relation entre la fibre moyenne (<i>courbe funiculaire</i>) et la ligne de charge...	363
Art. 4. — Poussée horizontale dans une voûte funiculaire infiniment mince.....	363

§ 2. — DE LA FIBRE MOYENNE, DÉDUIRE LA LIGNE DE CHARGE, C-A-D, COMMENT FAUT-IL CHARGER UNE VOÛTE POUR QUELLE SOIT UNE COURBE FUNICULAIRE DES CHARGES ?

Art. 1. — Plein cintre. — Ellipse.....	364
Art. 2. — Arc de cercle. — Arc d'ellipse.....	365
Art. 3. — Parabole.....	365
Art. 4. — Projection de chaînette.....	365
Art. 5. — Courbe pouvant remplacer une projection de chaînette : $y = \frac{m x^2}{n^2 - x^2}$	366
Art. 6. — Ogive.....	366

§ 3. — RELATION ENTRE QUELQUES FORMES DE FUNICULAIRES ET QUELQUES DISPOSITIONS DES CHARGES.....

367

CHAPITRE III. — VOÛTE D'ÉPAISSEUR FINIE SOUMISE À DES CHARGES OU SURCHARGES CONTINUES.

*RECHERCHE PAR LE CALCUL DE LA FORME À LUI DONNER
POUR QUE LE TRAVAIL MAXIMUM Y DÉPASSE PEU LE TRAVAIL MOYEN,
C-A-D POUR QUE LES COURBES DE PRESSION S'ÉCARTENT PEU
DE LA FIBRE MOYENNE.*

§ 1. — HYPOTHÈSES ADMISES.....	368
§ 2. — MÉTHODE DE M. TOURTAY.....	369
§ 3. — MÉTHODE DE M. LEGAY.....	370
§ 4. — MÉTHODE DE TOLKMITT.....	371
§ 5. — OBSERVATIONS SUR TOUTES CES MÉTHODES.....	372

RELATION ENTRE LES CHARGES ET LA FORME DE LA VOÛTE *(Suite)*

CHAPITRE IV. — UN ARC EST DIT ÉLASTIQUE QUAND LES DÉFORMATIONS Y SONT PROPORTIONNELLES AUX EFFORTS (Hypothèse de Hooke), ET QU'UNE SECTION PLANE RESTE PLANE APRÈS FLEXION (Hypothèse de Navier).

DANS QUELLES LIMITES EST-CE VRAI POUR LES VOÛTES, ET A-T-ON LE DROIT DE LES CALCULER COMME ÉLASTIQUES ?

§ 1. — EXPÉRIENCES DE LABORATOIRE.

	Pages.
<i>POUR LES VOÛTES EN PIERRE, IL N'Y A PAS, A PROPREMENT PARLER, DE COEFFICIENT D'ÉLASTICITÉ, C-A-D QUE, POUR ELLES, L'HYPOTHÈSE DE HOOKE EST FAUSSE.....</i>	372

§ 2. — EXPÉRIENCES SUR DES VOÛTES.

Art. 1. — Arceau d'essai de Vassy (arc de 31°05 à 1. 10.37), en moellons ordinaires dressés en coupe, mortier de ciment) (1845-1846). — Épreuves au choc (30 mai 1846).....	375
Art. 2. — Expérience faite dans les carrières de Souppes (Seine-et-Marne) (1865-66) (arc de 37°886 au 1. 18°, de 3°50 de largeur).	
A. <i>Voûte.....</i>	375
B. <i>Essais.....</i>	376
Art. 3. — Observations aux ponts de Lavaur et Antoinette, et au pont de Morbegno.....	376
Art. 4. — Expériences de l'Association des Ingénieurs et Architectes autrichiens (1890-1891).	
A. — <i>Voûtes essayées.....</i>	376
B. — <i>Conclusions de M. le Professeur Brick.....</i>	377
C. — <i>Ce qu'il faut retenir.....</i>	377
Art. 5. — Insuffisance des observations faites sur les voûtes.....	378

§ 3. — QUELQUES AUTRES INDICATIONS DE L'ÉLASTICITÉ DES MAÇONNERIES.

Art. 1. — Chute des arches du pont de Vernon.....	378
Art. 2. — Oscillation des phares sous les coups de vent.....	378
Art. 3. — Évasement du haut des nefs des cathédrales.....	379
Art. 4. — Courbure élastique des piles IV et III du viaduc sur la Sitter.....	379

§ 4. — CONCLUSIONS.

<i>JUSQU'A CE QU'ON EN AIT UNE MEILLEURE POUR CALCULER LE TRAVAIL DES VOÛTES, ACCEPTER, MALGRÉ SES DÉFAUTS, L'HYPOTHÈSE ÉLASTIQUE.....</i>	380
--	-----

ANNEXE

ÉPAISSEUR A LA CLEF DES VOÛTES INARTICULÉES

Pages.

Valeur du coefficient $\alpha = \frac{e_0 \text{ (Épaisseur à la clef)}}{\left[1 + \sqrt{2 a \text{ (Portée)}} \right] \mu \text{ (Fonction du surbaissement } \alpha)}$	
pour 562 ouvrages, (environ 3 300 voûtes), types non comptés	383

PONTS DÉCRITS DANS LE TOME III. — Index alphabétique.....	391
---	-----

TABLE DES MATIÈRES.....	396
-------------------------	-----

ERRATA

DU TOME III

Page 124, 1^{re} ligne :au lieu de : **Tlinthe**, lire **Plinthe**.Voir aussi l'**Errata général**, à la fin du Tome V.

GRANDES VOÛTES



GRANDES VOÛTES

PAR

Paul SÉJOURNÉ

INGÉNIEUR EN CHEF DES PONTS ET CHAUSSÉES
INGÉNIEUR EN CHEF DU SERVICE DE LA CONSTRUCTION
DE LA COMPAGNIE PARIS-LYON-MÉDITERRANÉE
PROFESSEUR A L'ÉCOLE NATIONALE DES PONTS ET CHAUSSÉES

TOME IV

2^{ME} PARTIE — VOÛTES ARTICULÉES

BOURGES

IMPRIMERIE V^{VE} TARDY-PIGELET ET FILS
15, RUE JOYEUSE, 15

—
1913

Tous droits de reproduction, de traduction et d'adaptation
réservés pour tous pays.

Copyright by Paul Séjourné — 1913.

AVERTISSEMENT ¹

DIVISIONS DE L'OUVRAGE

CLASSEMENT DES PONTS EN SÉRIES ET DANS CHAQUE SÉRIE PAR DATE

TABLEAUX SYNOPTIQUES — MONOGRAPHIES

SUITE, DANS CHAQUE MONOGRAPHIE,

DE FIGURES, PLANCHES, PHOTOGRAPHIES, RENVOIS, SOURCES.

DÉSIGNATION ABRÉGÉE DES MATÉRIAUX

UNITÉS AUXQUELLES ON RAPPORTE LES QUANTITÉS ET DÉPENSES

1. Divisions de l'ouvrage. — Cet ouvrage est ainsi divisé :

1^{re} Partie : Voûtes inarticulées². — Ce sont les voûtes ordinaires, ainsi qualifiées par opposition aux voûtes articulées.

2^e Partie : Voûtes articulées.

3^e Partie : Ce que l'expérience enseigne de commun à toutes les voûtes.

Appendice : Pratique des voûtes. — Instructions pour projeter et construire. — Ouvrages courants, Viaducs.... — Répertoires. — Tables numériques....

Dans les 1^{re} et 2^e Parties, sont décrits les ponts qui ont — ou qui avaient — des voûtes de 40^m et plus de portée.

2. Classement des Ponts en séries. — J'ai classé par intrados les voûtes inarticulées, par type d'articulation les voûtes articulées.

Ce classement sera détaillé et justifié plus loin.

3. Classement dans chaque série par date d'exécution. — Dans chaque série, les ouvrages sont classés par date. On voit ainsi ce qui, dans un pont, est emprunté à un plus ancien.

4. Tableaux synoptiques. — Monographies. — Les dispositions comparables des ouvrages d'une série sont rapprochées dans des tableaux synoptiques : ainsi groupées elles instruisent.

1. — donné en tête des Tomes I, II, III.

2. — On les a quelquefois dites « encastrées » : à proprement parler, elles ne le sont pas.
En histoire naturelle, ce qui n'a pas d'articulation est justement qualifié « inarticulé ».

Viennent ensuite les monographies de chaque ouvrage : on y trouvera ce qui lui est spécial, description, histoire, dessins, photographies.

Pour tous les ponts, on a donné une élévation à la même échelle, 2^{mm}, de l'arche ou des arches de 40^m et plus.

Autant qu'on l'a pu, en restant clair, on n'a donné qu'une seule fois chaque indication, soit dans les tableaux synoptiques, soit dans la monographie, soit dans les dessins.

5. Suite, dans chaque monographie, de figures, planches, photographies, renvois, sources. — Chaque ouvrage a sa suite :

de figures : f_1, f_2, \dots ;

de planches : Pl_1, Pl_2, \dots ;

de photographies : Φ_1, Φ_2, \dots ;

de renvois au bas des pages : $^1, ^2, \dots$;

de sources : S_1, S_2, \dots indiquées à la fin de chaque monographie, quelquefois subdivisées : S'_1, S''_1, \dots ³.

6. Désignation abrégée des matériaux aux tableaux synoptiques et aux dessins.

Béton				B	
Moellons ordinaires		employés en blocage sans préparation spéciale		MO	
		choisis (c'est-à-dire avec sujétion)	employés en parement	à joints incertains	MOI
				grossièrement disposés par assises horizontales.	MOII
			employés en voûte	mêplats, lités, prolongeant, soit chaque lit de douelle, soit un lit sur 2, sur 3.	MOV
Moellons à face rectangulaire, les 4 arêtes dans un même plan	Moellons équarris ⁴	»		ME	
		taillés en voussoirs, lits pleins prolongeant exactement ceux de douelle. Joints et face de queue en partie pleins.		MEV	
	Moellons d'appareil ⁵	Dimensions imposées	»	MA	
			taillés en voussoirs, lits et joints pleins.	MAV	
Libages		Pierre de taille de grand appareil grossièrement équarrie.		L	
Pierre de taille		Blocs appareillés sur les 6 faces. Toutes les dimensions imposées.		PT	
Briques				Br	

3. — On peut ainsi contrôler et apprécier les renseignements donnés.

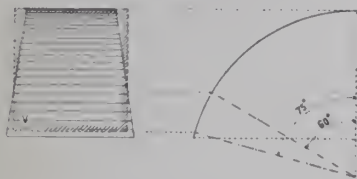
4. — Synonyme : Moellons têtus.

5. — Synonyme : Moellons smillés.

7. Unités adoptées pour comparer les quantités et dépenses.

A. — *Cintres*. — Dans la colonne 14 des Tableaux synoptiques, on a rapporté le cube de bois, le poids de fer et la dépense, au mètre carré de douelle d'une voûte V' à tympans verticaux, exigeant le même cintre.

La largeur uniforme de V' est celle de la voûte considérée :



au joint à 60° de la verticale pour les pleins cintres, les ellipses et les arcs de plus de 120° ;

aux naissances, pour les arcs de moins de 120° ;

c'est-à-dire, pour toutes les voûtes, au joint à partir duquel les voussoirs cessent de pouvoir être soutenus en faisant simplement déborder les couchis.

Comme il convient que les vaux se prolongent jusqu'à l'angle de 75° , on a pris pour surface de douelle celle de la voûte théorique V' :

à partir des angles de 75° pour les ellipses, pleins cintres, arcs de cercle de plus de 150° ;

à partir des naissances pour les arcs de cercle surbaissés de moins de 150° .

B. — *Ouvrage*. — La surface offerte à la circulation, S_p est le produit :

$$S_p = \left(\begin{array}{c} \text{Longueur totale entre les abouts} \\ \text{des parapets donnée colonne 2} \end{array} \right) \times \left(\begin{array}{c} \text{Largeur disponible entre parapets} \\ \text{donnée colonne 3} \end{array} \right)$$

S_p mesure l'utilité de l'ouvrage.

Soit S_e la surface vue d'élévation entre la voie portée, les murs en aile ou quarts de cône et le terrain naturel :

Je considère le volume $W = S_e \times (\text{Largeur disponible entre parapets})$.

C'est le volume d'un mur plein ayant même surface d'élévation vue et même largeur utile que l'ouvrage. — Convenons de l'appeler le volume « utile ».

Soient Q et D le cube de maçonnerie de l'ouvrage et sa dépense.

$Q : S_p$ est le cube de maçonnerie à mortier par m. q. de surface horizontale utile. C'est l'épaisseur d'une dalle en maçonnerie de même cube que l'ouvrage et qui aurait même longueur et même largeur utile.

$Q : W$ est le cube de maçonnerie à mortier, par m. c. de volume « utile ».

$D : S_p$ est le prix du m. q. de surface offerte à la circulation.

$D : W$ est le prix du m. c. de volume « utile ».

Toutes ces quantités sont données à la colonne 18 des Tableaux synoptiques.

Quand les fondations sont très au-dessus de la vallée, on a donné de plus les rapports

$Q : W'$, $D : W'$.

$W' = (S'_e, \text{ Surface d'élévation au-dessus des fondations}) \times (\text{Largeur disponible entre parapets})$.

W' est le volume « utile » au-dessus des fondations.

2^e PARTIE

VOÛTES ARTICULÉES

LIVRE I

POURQUOI ET COMMENT
ON A ARTICULÉ DES VOÛTES

LIVRE II

DESCRIPTION DES PONTS
QUI ONT OU AVAIENT DES VOÛTES ARTICULÉES
DE 40^m ET PLUS DE PORTÉE

LIVRE III

CE QUE L'EXPÉRIENCE ENSEIGNE
DE SPÉCIAL AUX VOÛTES ARTICULÉES



INTRODUCTION

A L'ÉTUDE DES VOÛTES ARTICULÉES

En 1870, Dupuit proposa, le premier, d'articuler les voûtes.

De cette idée française, on a en France peu ou mal parlé : on ne l'y applique point. Mais, en Allemagne, on l'a fort bien accueillie : depuis quelque 30 ans, on y articule des voûtes.

Dans les voûtes articulées, on est sûr des efforts : on y peut faire plus et mieux travailler les matériaux.

Plus souples, elles se prêtent, sans fissures, à des mouvements qui troublent les autres. Il convient vraiment d'articuler les voûtes dont les appuis peuvent reculer, s'enfoncer inégalement.

On construit de plus en plus en béton : à peine de fissures graves, il est prudent d'articuler aussi les grandes voûtes plates en béton.

Il faut donc étudier les voûtes articulées : elles le méritent.

Au livre I, on indique pourquoi et comment on a articulé des voûtes ; au livre II, on décrit les grandes voûtes articulées ; au livre III, on conclut.



LIVRE I

POURQUOI ET COMMENT
ON A ARTICULÉ DES VOÛTES

TYPES D'ARTICULATIONS

PRINCIPES. — FORMULES. — EXPÉRIENCES

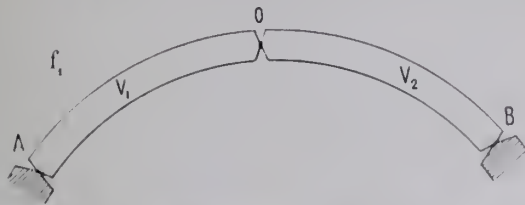
HISTORIQUE

CLASSEMENT DES VOÛTES ARTICULÉES

TITRE I

POURQUOI ON A ARTICULÉ DES VOÛTES

Dans une voûte articulée aux trois ¹ points A, O, B (f_1), toute courbe de pression passe par A, O, B : avec la simple Statique, on a les efforts.



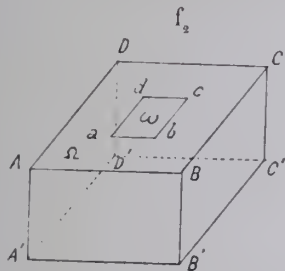
Si la voûte tasse, si les appuis reculent ou s'enfoncent, les deux demi-voûtes V_1 , V_2 tournent, sans se fendre, autour de leurs articulations.

La voûte se calcule mieux et plus vite qu'inarticulée ; elle est plus souple.

TITRE II

PROPRIÉTÉ DE LA MATIÈRE QUI PERMET LES ARTICULATIONS

Considérons un prisme ABCD, A'B'C'D' (f_2).



Soient :

Ω la surface ABCD,

ξ_Ω l'effort par $\overline{0^m01^2}$ qui, uniformément distribué sur Ω , écrase le solide,

β_Ω la limite de travail permis sur Ω .

Découpons sur Ω un petit rectangle $abcd$ de surface ω .

L'expérience montre que, pour écraser le solide, il faut appliquer sur ω un effort par $\overline{0^m01^2}$ ξ_ω supérieur à ξ_Ω . On y pourra donc accepter un travail β_ω supérieur à β_Ω .

1. — Les voûtes en maçonnerie, articulées, ont toujours trois articulations.

Quelques voûtes, mais en béton armé, en ont :

deux (Ludwigsbrücke sur la Schwabach, à Erlangen, portée entre rotules, 23-30, surbaissement 1/11) ;
une (Pont de Payerbach sur le Schwarzafluss, portée 26", flèche 1-80).

C. Kersten. — « Brücken in Eisenbeton » Teil II : « Bogenbrücken ». — Berlin 1910, pages 153, 159

L'expérience ^{2,3} n'a pas dégagé de relation nette entre $\frac{f_s}{\Omega}$ et $\frac{\omega}{\Omega}$.

TITRE III

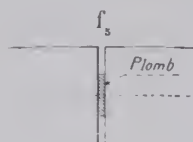
COMMENT ON A ARTICULÉ LES VOÛTES : QUATRE TYPES D'ARTICULATIONS

CHAPITRE I

ARTICULATIONS SUR PLOMB

§ 1. — PRINCIPE

Des bandes de plomb occupent la partie centrale des joints de clef et de retombées (f_s).

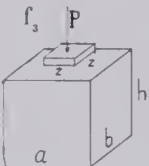


§ 2. — PROPRIÉTÉS DU PLOMB

Sous une charge croissante, le plomb, à partir d'une certaine limite, coule, s'étale, mais sans perdre sa cohésion. Son épaisseur diminue, sa section aug-

2. — Expériences de M. Durand-Claye sur des cubes de 10" pressés par une plaque carrée, en pierres s'écrasant : les unes à 84^k, les autres à 576^k.
Annales des Ponts et Chaussées, 1887, - août - p. 230, M. Flamant.

Expériences de M. Bauschinger sur des cubes d'un grès s'écrasant à 685^k 0^m01², pressés par une plaque carrée d'acier de côté z variable (f_s).



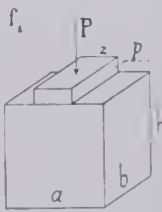
Dimensions des blocs (en 0 ^m 01)			Côté de la plaque d'acier (en 0 ^m 01)	Effort en kg/0 ^m 01 ² sous la plaque d'acier au moment de la rupture	Rapports	
a	b	h	z	$\frac{P}{z^2} = \frac{f_s}{z^2}$	$\frac{\omega}{\Omega} = \frac{z^2}{ab}$	$\frac{z}{z_0} = \frac{z^2}{z_0^2}$
10	9.9	9.65	3.9	1052 ^k	0,154	1,536
9,85	9.9	9.70	5.7	923	0,333	1,347
10	9,85	9.70	7.8	772	0,618	1,127

« Mittheilung des mech. tech. Laboratoriums der Technischen Hochschule in München », 1876, 6^e Heft, p. 13.

Les pierres tendres et les pierres dures se comportent de façon très différente.

M. Mesnager : Cours (autographié) de Matériaux de Construction, professé à l'Ecole des Ponts et Chaussées, - 4^e Partie, p. 69.

3. — Expériences de M. Bach à Stuttgart, en 1888, sur des cubes d'un grès s'écrasant à 653^k, pressés par une bande d'acier p de largeur z variable (f_s).



Dimensions des blocs (en 0 ^m 01)			Largeur de la bande d'acier (en 0 ^m 01)	Effort en kg/0 ^m 01 ² sous la bande d'acier au moment de la rupture	Rapports	
a	b	h	z	$\frac{P}{bz} = \frac{f_s}{bz}$	$\frac{\omega}{\Omega} = \frac{z}{a}$	$\frac{z}{z_0} = \frac{z}{a}$
6.46	6.03	6.00	6.03	653 ^k	0,933	1
10.04	9.99	9.89	2.50	926	0,249	1,418
10.01	10.01	9.85	2.00	943	0,200	1,453
10.02	10.03	9.82	1.50	1044	0,150	1,599
9.99	9.95	9.84	1.00	1193	0,100	1,827
9.96	10.02	9.84	0.50	2050	0,050	3,139

Bach, « Elastizität und Festigkeit », Berlin chez Springer, 1889-1890, p. 49.

mente, de sorte que l'effort par $\overline{0^m01^2}$ sur la section ainsi augmentée croît peu^{4,5}.

La résistance par $\overline{0^m01^2}$ augmente quand l'épaisseur diminue^{6,7,8,9}.

On l'accroît en trempant le plomb, en lui alliant de l'antimoine⁸.

4. — Voici ce qu'a produit une charge croissant jusqu'à 930^k sur un cube de 8^m.

La hauteur a diminué de 5^m7; la base s'est étalée de 64^m à 196^m; la pression sur la base primitive s'élevant de 310^k à 930^k, la pression sur la base élargie n'a augmenté que de 239^k à 304^k.

Zeitschrift für Bauwesen, 1888, p. 235 à 260, Pl. 38, 39, 40 : « Steinbrücken mit gelenkartigen Einlagen », Stuttgart novembre 1887, Leibbrand, Kgl. Ober-Baurat.

5. — Sous une trop forte pression, le plomb coule continuellement.

Au Viaduc du Vaur, on a soumis pendant 859 jours à une pression de 120^k deux plaques de plomb de 9^m68 d'épaisseur initiale : elles ont cédé assez régulièrement par jour de 2^m32 , soit $\frac{2,4}{10^4}$ de leur épaisseur.

Expériences de M. Lannusse, Ingénieur des Ponts et Chaussées, 1901-1903.

6. — En plaques carrées de 10^m, le plomb mou a coulé :

avec 8^m d'épaisseur, sous 425^k par $\overline{0^m01^2}$;

avec 4^m d'épaisseur, sous 575^k.

Expériences faites à Munich. — Deutsche Bauzeitung, 1906, 21 avril, p. 219 à 222 ; 28 avril, p. 232 à 236 ; 12 mai, p. 261 à 264 : « Die Illerbrücken bei Kempten in Allgäu », von Regierungs Baumeister a. D. Colberg, Direktor der Firma Dyckerhoff und Widmann, p. 263.

De même, le mortier résiste en briquettes « normales » de 22^m d'épaisseur, 1 fois 12 à 2 fois comme en cubes ; — en joints minces, 2 à 4 fois comme en cubes.

Communication faite par M. H. Tavernier, Ingénieur en Chef des Ponts et Chaussées, au Congrès des Méthodes d'essais, Paris, 9-16 juillet 1900.

7. — Aux essais faits à Munich par M. le Professeur Föppl, une bande de plomb de 10^m × 30^m × 5^m.

chargée, par $\overline{0^m01^2}$, de :	s'est comprimée, sous la charge, de :	après enlèvement de la charge, est restée comprimée de :	
280 ^k	1 ^m 2	1 ^m 09	sans couler
840 ^k	1 ^m 24	1 ^m 10	sans couler
1030 ^k	»	»	en commençant à couler
1200 ^k	»	1 ^m 5 au max.	en s'élargissant par places de 1 ^m

Beton und Eisen, 1904, p. 9 à 17, Pl. II. « Münchner Brückenbauten » II. « Die Reichenbachbrücke in München », E. Burk.

8. — Essais faits en 1885 à Stuttgart au « Material-Prüfungs-Anstalt ».

		Charge en kg $\overline{0^m01^2}$, supportée		Sources
		sans déformation	en s'affaissant lentement	
Cubes de 8 ^m	Plomb fondu.....	52 ^k pendant 26 ^k sans gonflement latéral	74 ^k - Gonflement latéral	Zeitschrift des Vereines deutscher Ingenieure, 1885, p. 629.
	Plomb trempé.....	258 ^k	310 ^k	
Disques de plomb fondu ou lam- miné, de 16 ^m de diamètre, 15 ^m d'épaisseur.....		103 ^k	155 ^k	Fortschritte der Ingenieurwissen- schaften. « Gewölbte Brücken », K. von Leibbrand, Leipzig, 1897, p. 45.
Plaques carrées de 7 ^m de côté, 25 ^m d'épaisseur, à 5 0 0 d'anti- moine.....		413 ^k	517 ^k	

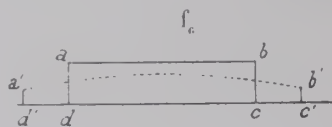
9. — Aux essais faits par M. Beutel, Ingénieur en chef de la Construction des Chemins de fer bava-
rois, à Munich, des plaques de plomb de 5^m1 × 5^m1 × 8^m :

chargées par $\overline{0^m01^2}$ de : 39^k 77^k 115^k 154^k 192^k 400^k
se sont comprimées de : 0^m08 0^m16 0^m20 0^m53 0^m59 2^m44

« plus grande pression réalisée dans les ponts pour lesquels on a fait les essais.

Renseignements gracieusement adressés par M. Beutel, — juillet 1911.

§ 3. — COMMENT UNE BANDE DE PLOMB RÉALISE UNE ARTICULATION¹⁰

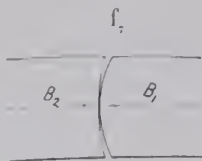


Le dessus plan, ab , des bandes de plomb, coule sous la compression¹¹ qui s'exerce, tantôt sur a , tantôt sur b , et prend la forme $a'b'$ (f_c).

CHAPITRE II

ARTICULATIONS ROULANTES¹²

§ 1. — PRINCIPE



Un bloc convexe B_1 roule sur un bloc concave ou plan B_2 (f_r). Ils sont, ou en acier, ou en pierre dure, ou en béton, armé ou non.

§ 2. — FORMULES THÉORIQUES DONNANT :

1° — LA LARGEUR EN $0^{\text{m}}01$ DE LA BANDE DE CONTACT;

2° — LE TRAVAIL MAXIMUM PAR $\overline{0^{\text{m}}01}^2$ AU CONTACT.

Art. 1. — Notations et unités, employées dans les formules.

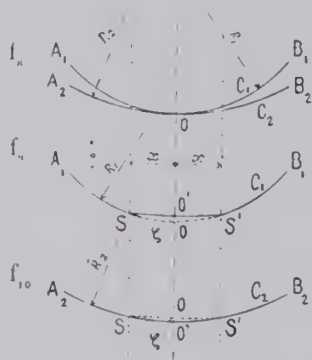
Plaçons le cylindre convexe de rayon R_1 sur le cylindre concave de rayon R_2 (f_8).

S'il y a pression, le contact, d'abord réduit à l'arête O , s'élargit à $2r$ (f_9, f_{10}).

A_1OB_1 s'aplatit (f_9) et A_2OB_2 se creuse (f_{10}) suivant la courbe $SO'S'$ de flèche $OO' = \zeta$.

La compression β ($\text{kg } \overline{0^{\text{m}}01}^2$) est maxima en O , nulle en S et S' .

Moins les rayons diffèrent, plus est large la bande de contact, plus y est réduit le travail par $\overline{0^{\text{m}}01}^2$, mais moins est fixé le centre de pression.



10. — On a très exceptionnellement employé, au lieu de plomb, des plaques d'asphalte : en 1886, à un pont en béton de 29^m à Erlach, (Deutsche Bauzeitung, 1906, p. 595 : Fortschritte im Bau weitgespannter massiver Brücken, Landesbauat Leibbrand), en 1890, aux naissances des 2 voutes en béton de 23^m au 1/5, expérimentées par la Commission des Ingénieurs et Architectes autrichiens, (Tome III - Liv. II).

11. — Les feuilles de plomb sous les appuis des tabliers métalliques se maintiennent si elles sont emprisonnées dans des feuillures. Sinon, elles s'allongent en long et en travers : on a constaté des allongements atteignant 15^m.

A l'entrée d'un train, le bord extrême rencontré le premier cède ; puis, la travée chargée prend une flèche qui comprime l'autre bord.

12. — « Walzelenke » des Ingénieurs allemands.

Soient :

R_1, R_2 , les deux rayons en 0^m01 ;

N la pression normale en kg. par 0^m01 de longueur d'arête (pression totale en kg. divisée par la longueur en 0^m01 de l'arête) ;

$\varepsilon_1 \times 10^5, \varepsilon_2 \times 10^5$, les coefficients d'élasticité des deux solides B_1, B_2 (kg 0^m01²)

ν_1, ν_2 , les coefficients de Poisson, c'est-à-dire les rapports :

$$\frac{\text{dilatation transversale relative}^{13, 14}}{\text{raccourcissement longitudinal relatif}}$$

Les formules théoriques indiquées plus loin supposent la matière homogène et isotrope : elles donnent, en fonction de $R_1, R_2, N, \varepsilon, \nu$, la largeur $2x$ (en 0^m01) de la bande de contact, et le travail maximum qui s'y produit, $\text{MAX } \beta$ (en kg 0^m01²).

Art. 2. — Formules de Hertz. — Hertz¹⁵ a, par la théorie de l'Elasticité, établi des formules qui, avec mes notations et unités, sont les suivantes :

$$\left\{ \begin{aligned} 2x &= \frac{4}{100\sqrt{10}\pi} \sqrt{\left(\frac{1-\nu_1^2}{\varepsilon_1} + \frac{1-\nu_2^2}{\varepsilon_2}\right) \frac{N}{\frac{1}{R_1} - \frac{1}{R_2}}} & (1) \\ \text{MAX } \beta &= \frac{4}{\pi} \left(\frac{N}{2x} \text{ pression moyenne}\right) = \frac{100\sqrt{10}}{\sqrt{\pi}} \sqrt{\frac{N}{\frac{1-\nu_1^2}{\varepsilon_1} + \frac{1-\nu_2^2}{\varepsilon_2}} \left(\frac{1}{R_1} - \frac{1}{R_2}\right)} & (2) \end{aligned} \right.$$

Si, (et c'est le cas général), les deux cylindres sont de même matière, $\nu_1 = \nu_2, \varepsilon_1 = \varepsilon_2$; les formules deviennent :

$$\left\{ \begin{aligned} 2x &= \frac{4\sqrt{2}}{100\sqrt{10}\pi} \sqrt{\left(\frac{1-\nu^2}{\varepsilon}\right) \frac{N}{\frac{1}{R_1} - \frac{1}{R_2}}} = \frac{\eta}{\sqrt{\varepsilon}} \sqrt{\frac{N}{\frac{1}{R_1} - \frac{1}{R_2}}} & (1') \\ \text{MAX } \beta &= \frac{4}{\pi} \left(\frac{N}{2x}\right) = \frac{100\sqrt{10}}{\sqrt{2\pi}} \sqrt{\frac{N\varepsilon}{1-\nu^2} \left(\frac{1}{R_1} - \frac{1}{R_2}\right)} = \chi \sqrt{\varepsilon} \sqrt{N \left(\frac{1}{R_1} - \frac{1}{R_2}\right)} & (2') \end{aligned} \right.$$

Pour $\nu =$	0,25	0,30	1/3
on a : $\eta =$	0,009772	0,009628	0,009515 ¹⁷
$\chi =$	130,294	132,248	133,809

13. — Soient : b une dimension transversale, l une dimension longitudinale : on a $\nu = \frac{\frac{\Delta b}{b}}{\frac{\Delta l}{l}}$.

14. — Pour les corps homogènes isotropes, Poisson avait indiqué la valeur théorique $\nu = \frac{1}{4}$.

L'expérience donne : entre 0 et 1/2 pour tous les corps solides ; - entre 0,26 et 0,36 pour l'acier ; - des valeurs très diverses pour la pierre.

M. Mesnager : *Cours* (autographié) de *Matériaux* professé à l'Ecole des Ponts et Chaussées, 5^e Partie : Métaux, - 1909, p. 26, 27.

15. — Journal für die reine und angewandte Mathematik, 1882, p. 156 à 171 « *Über die Berührung « fester elastischer Körper »* ». Heinrich Hertz - Janvier 1881.

16. — Soient 2 rotules de mêmes rayons R_1, R_2 , soumises au même effort N par 0^m01 de contact, ayant même μ ; le rapport des largeurs de contact sera : $\frac{2x'}{2x} = \sqrt{\frac{\varepsilon'}{\varepsilon}}$.

17. — En interprétant les formules de M. Boussinesq « *Application des potentiels à l'étude de l'équilibre et du mouvement des solides élastiques* » (1885), M. l'Ingénieur en chef Galliot et M. Rousseau ont retrouvé les formules de Hertz, mais avec :

$$\begin{aligned} \eta &= 0,00691 \text{ et } \chi = 184 & (\text{M. Galliot}). \\ \eta &= 0,00957 \text{ et } \chi = 132,98 & (\text{M. Rousseau}). \end{aligned}$$

Annales des Ponts et Chaussées, septembre 1892, p. 391 et suivantes. « *Note sur le calcul des efforts dans les corps cylindriques en contact* ». M. Galliot, Ingénieur en chef des Ponts et Chaussées.

Annales des Travaux publics de Belgique, avril 1910, n° 2, p. 181. « *Note relative au Calcul des rotules et des rouleaux de « dilatation »* », par E. Rousseau, Capitaine du Génie de réserve, Ingénieur aux Ateliers de construction électrique de Charleroi.

Si on accepte :

$$\eta = 0,0096 \quad \chi = 132$$

les 2 formules pratiques à appliquer sont :

$$2x \left(\begin{array}{c} \text{largeur en } \text{cm} \\ \text{de la bande de contact} \end{array} \right) = \frac{0,0096}{\sqrt{\varepsilon}} \sqrt{\frac{N}{\frac{1}{R_1} - \frac{1}{R_2}}} \quad (1'')$$

$$\text{MAX } \beta \left(\begin{array}{c} \text{effort maximum en Kg/cm}^2 \\ \text{dans la bande de contact} \end{array} \right) = 1,273 \left(\frac{N}{2x} \right) = 132 \sqrt{\varepsilon} \sqrt{N \left(\frac{1}{R_1} - \frac{1}{R_2} \right)} \quad (2'')$$

	Pierres							Acier		
	Béton de ciment									
Pour $\varepsilon =$	1	1 1/2	2	3	4	5	6	18	20	22
0,0096	0,0096	0,0078	0,0068	0,0055	0,0048	0,0043	0,0039	0,00226	0,00215	0,00205
$\frac{0,0096}{\sqrt{\varepsilon}}$										
132 $\sqrt{\varepsilon}$	132	162	187	229	264	295	323	560	590	619

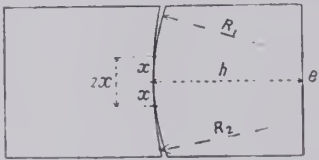
Pour $R_1 = R_2$, on aurait $2x = \infty$ et $\text{MAX } \beta = 0$. Les formules ne s'appliquent pas pour R_1, R_2 peu différents.

Pour un cylindre convexe roulant sur un plan ($R_2 = \infty$), les équations 1'', 2'' deviennent :

$$2x = \frac{0,0096}{\sqrt{\varepsilon}} \sqrt{NR} \quad (1''')$$

$$\text{MAX } \beta = \frac{4}{\pi} \left(\frac{N}{2x} \right) = 1,273 \left(\frac{N}{2x} \right) = 132 \sqrt{\varepsilon} \sqrt{\frac{N}{R}} \quad (2''')$$

Art. 3. — Formules de Köpcke (11).



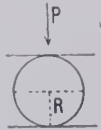
$$\left\{ \begin{array}{l} \text{MAX } \beta = 25 \sqrt[3]{\frac{9}{10} \frac{N^2 \varepsilon}{h} \left(\frac{1}{R_1} - \frac{1}{R_2} \right)} \\ 2x = \frac{3N}{2 \text{ MAX } \beta} = 0,02 \sqrt[3]{\frac{30 N h}{\varepsilon \left(\frac{1}{R_1} - \frac{1}{R_2} \right)}} \end{array} \right.$$

Si une des 2 surfaces est plane, $R_2 = \infty$.

$$\text{MAX } \beta = 25 \sqrt[3]{\frac{9 N^2 \varepsilon}{10 R h}} \quad 2x = 0,02 \sqrt[3]{\frac{30 N R h}{\varepsilon}}$$

18. — Zeitschrift des Architekten und Ingenieur Vereins zu Hannover, 1888, p. 373 à 380. « *Ueber die Verwendung von drei Gelenken in Steingewölben* », von Geh. Finanzrath C. Köpcke zu Dresden.

19. — Elles résultent d'une série d'hypothèses, dont quelques-unes un peu osées.



20. — Si au lieu d'un bloc d'articulation on avait un rouleau de longueur l entre 2 plaques (I12), $h = R$,

$$\text{MAX } \beta = 25 \sqrt[3]{\frac{9 N^2 \varepsilon}{10 l R^2}}$$

D'où :

$$Nl = P \frac{8}{3} l R \text{ MAX } \beta \sqrt{\frac{\text{MAX } \beta}{\varepsilon \times 10^3}}$$

C'est la formule en usage pour calculer les rouleaux de dilatation des ponts métalliques. (M. Résal. *Ponts métalliques*, chez Baudry, 1885, Tome I, p. 91).

Art. 4. — Formules de Barkhausen ²¹ (f_n).

Soit :

$$c = \frac{R_1 \varepsilon \times 10^5 \times e \left(1 - \frac{R_1}{R_2}\right)}{4 N h}$$

M. Barkhausen propose :

$$\frac{x}{R_1} \left[\frac{\frac{\text{MAX. } \beta}{N}}{e} - \frac{c}{3} \frac{x^2}{R_1^2} \right] = \frac{e}{2 R_1} \quad (1)$$

$$R_1 = \frac{R_2}{2} + \sqrt{\frac{R_2^2}{4} - \frac{4 N R_2 h \log. \text{nat.} \left(1 + \frac{\frac{\text{MAX. } \beta}{N}}{e}\right)}{\varepsilon \times 10^5 \times e \times \left(\frac{x}{R_1}\right)^2}} \quad (2)$$

Ces formules supposent R_1 compris entre $\frac{R_2}{2}$ et R_2 : elles ne s'appliquent, ni pour R_1 très voisin de R_2 , ni pour $R_2 = \infty$ (surface convexe roulant sur un plan).

On les résout par essais ²², ²³ ; ils ne laissent pas d'être assez longs.

21. — Centralblatt der Bauverwaltung, 16 mai 1900, p. 232 : « Berechnung der in den Gelenken steinerne Brücken auftretenden grössten Pressungen », M. Schuster.

22. — Voici le calcul de x et de MAX. β fait par M. Barkhausen* pour l'articulation de clef du Pont de Hauconcourt sur la Moselle : (Portée, 33^m ; montée, $\frac{1}{4}$ = 30).

$$R_1 = 235^{\text{m}}, \quad R_2 = 300^{\text{m}}, \quad h = 61^{\text{m}}, \quad e = 70^{\text{m}}, \quad N = 1590^{\text{k}}, \quad \varepsilon = 2, \quad \text{d'où } c = 1837.$$

L'équation (1) est :

$$\frac{x}{R_1} \left[\frac{\frac{\text{MAX. } \beta}{1590}}{70} - \frac{1837}{3} \frac{x^2}{R_1^2} \right] = \frac{70}{2 \times 235}, \quad \text{d'où MAX. } \beta = \frac{1590}{70} \left[\frac{70}{2 \times 235} \frac{1}{\frac{x}{R_1}} + \frac{1837}{3} \frac{x^2}{R_1^2} \right]$$

$$\text{L'équation (2) est : } 235 = \frac{300}{2} + \sqrt{\frac{300^2}{4} - \frac{4 \times 1590 \times 300 \times 61}{2 \times 10^5 \times 70 \times \frac{x^2}{R_1^2}} \log. \text{nat.} \left(1 + \frac{\text{MAX. } \beta}{1590} \frac{1}{70}\right)}$$

$$\text{Essayons } \frac{x}{R_1} = 0,0316$$

$$\text{MAX. } \beta = \frac{1590}{70} \left[\frac{70}{2 \times 235} \times \frac{1}{0,0316} + \frac{1837}{3} \times 0,0316^2 \right] = 121^{\text{k}}$$

$$235 = 150 + \sqrt{22500 - \frac{116,388}{14} \times \frac{1,84371}{0,0316^2}} = 234,6$$

Approximation suffisante.

Avec cette valeur de $\frac{x}{R_1}$ les formules donnent : MAX. $\beta = 121^{\text{k}}$ $2.c = 14^{\text{m}8}$.

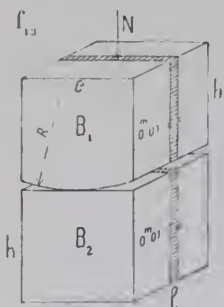
* A. Teichmann : « Zahlenbeispiel zur statischen Berechnung von massiven Dreigelenkbrücken mittelst Einflusslinien », p. 3, C. W. Kreidel's Verlag, Wiesbaden 1904.

23. — Les formules de Hertz, Barkhausen, Köpcke, donnent des résultats fort différents. Les voici pour la clef du Pont de Hauconcourt (Art. 1, renr. 22) :

Formules de	Hertz	Köpcke	Barkhausen
$2.c$	88	23 ^k	14 ^m 8
MAX. β	229 ^k	103 ^k	121 ^k

§ 3. — EXPÉRIENCES SUR DES ARTICULATIONS EN PIERRE, EN BÉTON

Art. 1. — Expériences de M. Bach sur des blocs de granit et de grès, l'un convexe, l'autre plan (f_{13}), pour vérifier les formules de Hertz (§ 2, art. 2) :



$$2x \left(\begin{array}{c} \text{Largeur en } 0^{\text{m}01} \\ \text{de la bande} \\ \text{de contact} \end{array} \right) = \frac{0,0096}{\sqrt{\varepsilon}} \sqrt{NR}^{24} \quad (1'')$$

$$\text{MAX } \beta \left(\begin{array}{c} \text{effort maximum} \\ \text{en Kg } 0^{\text{m}01^2} \text{ sur} \\ \text{l'arête de contact} \end{array} \right) = 1,273 \left(\frac{N}{2x} \right) = 132 \sqrt{\varepsilon} \sqrt{\frac{N}{R}} \quad (2'')$$

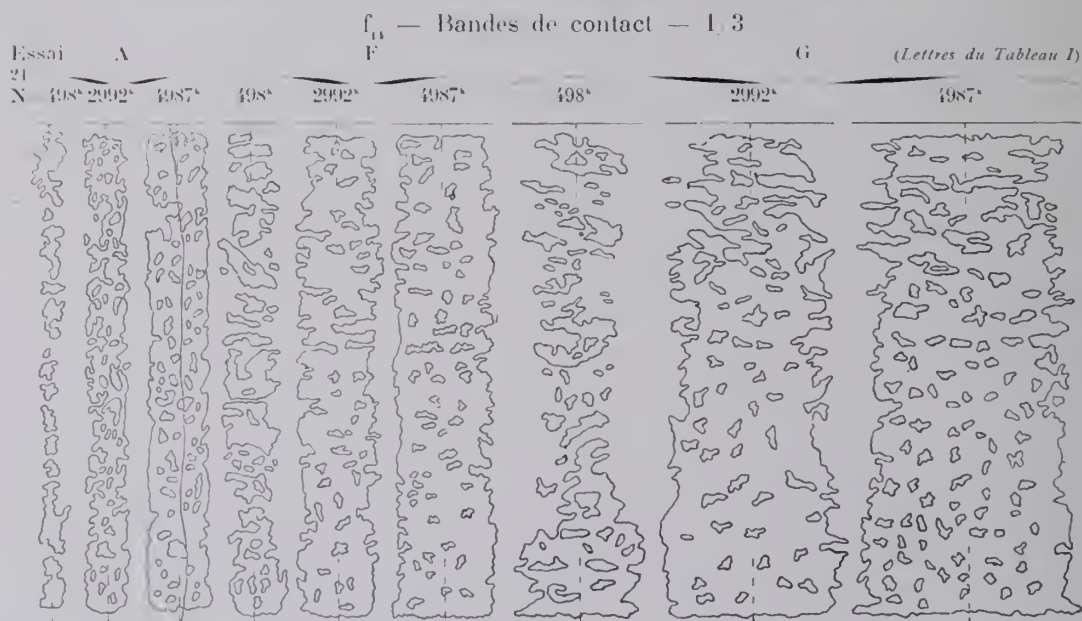
A. — Ce qui a été observé. — M. Bach a éprouvé : d'abord des blocs de granit à surfaces très exactement tournées et dressées²⁵ ; plus tard, du grès²⁶.

Il a relevé les empreintes du contact sous les charges N, les a planimétrées, puis, en divisant leur surface par la longueur l du contact, obtenu la largeur $2x$.

On n'a pas le moyen de mesurer MAX β : on a seulement $\frac{N}{2x}$.

Les deux surfaces, pressées l'une contre l'autre, se touchent, non suivant une bande pleine, mais d'abord par des îlots isolés, puis par des surfaces continues, mais avec des îlots non pressés (f_{11}).

Expériences sur des blocs de granit ($e = 30^{\text{cm}}$, $h = 50^{\text{cm}}$).



24. — Les notations et unités sont celles indiquées § 1, art. 1, - et répétées p. 15.

25. — Zeitschrift des Vereines deutscher Ingenieure, 1903, p. 1439 : « Versuche mit Granitquadern zu Brückengelenken », C. Bach.

26. — Id., 1904, p. 1915. « Versuche mit Sandsteinquadern zu Brückengelenken », C. Bach.

TABLEAU I. — Largeur $2x$. — Rapports $\frac{2x}{\sqrt{N}}$, $\frac{0,0096^2 NR}{4x^2}$ qui, d'après
la formule (I'') de Hertz
devrait être ε ε (pour le granit éprouvé) : 2,55 à 4,02 $\varepsilon \times 10^3 =$ Coefficient d'élasticité en Kg $\frac{1}{\text{mm}^2}$

R	l	20 05 (A)				20 15 (B)				20 05 (C)			
Rayon du bloc convexe	Longueur en sens de l'arête de contact												
	N (en Kg par mm^2 de l)	498 ^k	2493 ^k	4738 ^k	4987 ^k	2853 ^k	4094 ^k	4590 ^k	498 ^k	2493 ^k	4488 ^k	4728 ^k	
	2 x	0,42	0,90	1,35	1,40	1,16	1,23	1,24	0,43	0,99	1,40	1,47	
	Largeur moyenne mesu- rée de la bande												
	$\frac{2x}{\sqrt{N}}$. . .	0,018	0,018	0,019	0,019	0,021	0,019	0,018	0,019	0,019	0,020	0,021	
	$\frac{0,0096^2 NR}{4x^2} = \varepsilon$	6,99	6,99	6,27	6,27	5,13	6,27	6,99	6,27	6,27	5,06	5,13	
	l	20 10 (D)				20 10 (E)				20 05 (F)			
	N	497 ^k	2485 ^k	3980 ^k	4975 ^k	497 ^k	2985 ^k	4975 ^k	5970 ^k	498 ^k	2992 ^k	5984 ^k	6483 ^k
	2 x	0,95	2,16	2,73	3,05	1,01	2,51	3,32	3,68	1,01	2,32	3,43	3,59
	$\frac{2x}{\sqrt{N}}$. . .	0,042	0,043	0,043	0,043	0,045	0,045	0,047	0,047	0,045	0,042	0,044	0,044
	$\frac{0,0096^2 NR}{4x^2} = \varepsilon$	5,13	4,01	4,01	4,01	4,47	4,47	4,10	4,10	4,47	5,13	4,68	4,68
	l	20 05 (G)				20 00 (H)				20 10 (I)			
	N	498 ^k	3990 ^k	7481 ^k		500 ^k	4000 ^k	7640 ^k		497 ^k	3980 ^k	7960 ^k	
	2 x	1,47	5,44	7,85		2,02	5,54	8,66		2,24	6,74	9,11	
	$\frac{2x}{\sqrt{N}}$. . .	0,065	0,086	0,090		0,090	0,087	0,099		0,100	0,106	0,102	
	$\frac{0,0096^2 NR}{4x^2} = \varepsilon$	8,04	4,68	4,18		4,29	4,68	3,52		3,48	3,10	3,35	

TABLEAU II. — Rupture des blocs.

$$\frac{\partial \mathcal{U}}{\partial x} \text{ Charge de rupture par } \text{mm}^2 \text{ d'arête} \quad \left. \begin{array}{l} \text{Pression de rupture} \\ \text{dans la bande de contact} \\ \text{(en Kg } \frac{1}{\text{mm}^2}) \end{array} \right\} \begin{array}{l} \text{moyenne } \frac{\partial \mathcal{U}}{\partial x} \\ \text{MAX (sur l'axe} \\ \text{de la bande)} \end{array} = 1,273 \frac{\partial \mathcal{U}}{\partial x} = \Xi$$

 Π_A — Granit — Ξ (résistance à l'écrasement en cubes) = 1200^k à 1500^k

R (en mm^2)	25 ^{cm}			100 ^{cm}			375 ^{cm}		
	(A)	(B)	(C)	(D)	(E)	(F)	(G)	(H)	(I)
$\frac{2x}{l}$	0,046	0,041	0,049	0,10	0,12	0,12	0,29	0,29	0,30
$\partial \mathcal{U}$	4987 ^k	4590 ^k	4728 ^k	4975 ^k	5970 ^k	6483 ^k	7481 ^k	7640 ^k	7960 ^k
$\frac{\partial \mathcal{U}}{\partial x}$	3562 ^k	3701 ^k	3216 ^k	1631 ^k	1622 ^k	1806 ^k	953 ^k	882 ^k	873 ^k
Ξ	4536 ^k	4727 ^k	4406 ^k	2077 ^k	2006 ^k	2300 ^k	1214 ^k	1124 ^k	1113 ^k

H_B — Grès — ξ (résistance à l'écrasement en cubes) = 540^k à 620^k

R (en 0°01)	10 ^{cm}	20 ^{cm}	40 ^{cm}	100 ^{cm}	375 ^{cm}
$\frac{2x}{l}$	0,088	0,119	0,20	0,37	0,91
\mathfrak{N}	1366 ^k	1466 ^k	1826 ^k	2686 ^k	6666 ^k
$\frac{\mathfrak{N}}{2x}$	1030 ^k	814 ^k	606 ^k	483 ^k	486 ^k
Ξ	1312 ^k	1037 ^k	772 ^k	616 ^k	619 ^k

B. — Ce qui résulte des expériences.

I. Largeur $2x$ de la bande de contact (Granit — Tableau I).

a. — Pour le rayon de 25^{cm} et celui de 100^{cm}, $\frac{2x}{\sqrt{N}}$ a été sensiblement constant, c'est-à-dire que, suivant la formule (1'') de Hertz, la largeur de la bande de contact a été, pour ces 2 rayons, proportionnelle à la racine carrée de la charge.

b. — Le rapport $\frac{0,0096^2 NR}{4x^2}$ a varié de 3 à 8. Or, d'après la formule (1'') de Hertz, ce serait le coefficient ε , lequel, pour le granit éprouvé, ne variait que de 2,55 à 4,02.

II. Rupture. — Charge \mathfrak{N} sur la bande de contact.

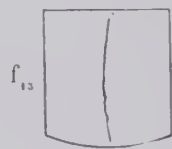
Pressions moyenne $\frac{\mathfrak{N}}{2x}$ et maxima $\Xi = 1,273 \frac{\mathfrak{N}}{2x}$ (Granit et grès — Tableaux H_A et H_B).

a. — R augmentant, \mathfrak{N} augmente, Ξ diminue et paraît tendre vers la pression de rupture du matériau en cubes.

b. — Pour un même rayon, Ξ augmente avec l'épaisseur e ²⁷.

c. — Sur 9 essais, le bloc convexe B_1 s'est rompu 2 fois le 1^{er}.

d. — Les blocs se fendent, à partir du contact, près du plan diamétral passant par l'arête de contact : on voit, sur la photographie de blocs sous charge, la fissure plus ouverte au milieu ; elle se refermait quand on supprimait la pression.



C'est la tension qui rompt les blocs.

D'ailleurs, les pierres ne sont ni homogènes, ni isotropes ; elles n'ont pas, à vrai dire, de coefficient d'élasticité²⁸ ; les rotules de pierre s'appliquent mal l'une sur l'autre ; toutes conditions contraires à celles que supposent les formules de Hertz²⁹.

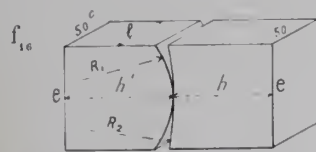
Il ne faut donc pas s'étonner si les essais ne les justifient guère.

27. —	R = 20 ^{cm} ,	h = 15 ^{cm}
	e = 10 ^{cm}	15 ^{cm} 20 ^{cm}
	$\Xi = 925^k$	1037 ^k 1150 ^k

loc. cit., renvoi 26.

28. — Tome III, Livre II.

29. — Hertz a vérifié ses théories pour le verre : lentille de verre sur plaque de verre.



Art. 2. — Expériences faites à Berlin et à Dresde sur des rotules en béton³⁰ (f_{16}).

Expériences faites :		Rotules éprouvées					Charge, en Tonnes, par 0 ^m 01 de l produisant :			
au Laboratoire mécano-technique de	à l'occasion de la construction de 4 Ponts sur la Moselle Nom - (Portée) MAX. $\frac{z}{0.01^2}$ kg	Dimensions en 0 ^m 01				Composition du béton	Age du béton en jours	la première fissure dans le bloc		la rupture
		R_1	R_2	e	h (h')			concave \mathcal{N}	convexe \mathcal{N}	
Charlottenburg (Berlin)	³¹ Hauconcourt (33 ^m) 25 ^k	235 ^r	300 ^r	70 ^r	61 ^r	1 ^r , 2 ^r 5, 2 ^r 5 noyau : 1 ^r , 1 ^r 5, 1 ^r 5	150 j	4 ^t 7 ³⁵	—	—
	³² Malling 1899-1901 (40 ^m) 22 ^k 8	280 ^r	325 ^r	94 ^r 5	91 ^r	36, 38 1 ^r , 2 ^r , 2 ^r	400 j	8 ^t 7 ^t 4 7 ^t 5 7 ^t 1	9 ^t 1 5 ^t 3 7 ^t 4 7 ^t	— — — —
	³³ Moulins-lès-Metz 1904-1905 (44 ^m) 23 ^k 34	280 ^r	325 ^r	95 ^r 5	93 ^r 5 (96 ^r) 94 ^r 5 (96 ^r 5)	36, 38 1 ^r , 2 ^r , 2 ^r	115 j 116 j 126 j	8 ^t 1 ³⁵ 8 ^t 1 ³⁵ 7 ^t 3 ³⁵	Pas de fissure sous : 11 ^t 8 11 ^t 7 ³⁵ 9 ^t 1 ³⁵	Pas de rupture sous : — 11 ^t 8 ³⁷ 12 ^t ³⁷
Dresde	³⁴ Sauvage 1906-1907 (36 ^m) 23 ^k	250 ^r	327 ^r	65 ^r	70 ^r	36, 38 1 ^r , 2 ^r , 2 ^r	210 j	5 ^t 5 7 ^t 6 ^t	Pas de fissure 7 ^t 2 6 ^t 7	10 ^t 7 12 ^t 7 12 ^t 2

Voici des largeurs de bande de contact observées au laboratoire de Dresde sur des rotules de mêmes dimensions que celles du pont de Sauvage (béton à 170 jours) :

Largeur de la bande de contact en 0 ^m 01 : 2 ^r			
Charge en kg par 0 ^m 01 d'arête de contact N	mesurée	calculée par la formule de	
		Hertz (§ 2, art. 2)	Barkhausen (§ 2, art. 4)
		$\frac{0,0006}{\sqrt{z}} \sqrt{\frac{N}{\frac{1}{R_1} + \frac{1}{R_2}}}$ Avec $z = 1,5$	
2000 ^k	7 ^r 5	11 ^r 3	19 ^r 5
4000 ^k	14 ^r 3	16 ^r	23 ^r 8
6000 ^k	18 ^r 5	19 ^r 6	30 ^r

30. — Centralblatt der Bauverwaltung, 22 juillet 1908, p. 395, 396. « Über Gelenkquader aus Beton » vom Regierungs und Geheimen Baurat Blumhardt in Strassburg, et : Deutsche Bauzeitung 1908, 23 mai p. 283 à 288, 3 juin p. 303 et 307. « Die Anwendung von Gelenken bei Brückenbauten. » M. A. Kohler, Ing. dipl. Dir. technique de la Maison Windschild et Langelott de Cossebaude, près Dresde.

31, 32, 33, 34. — Voir pour ces ponts Livre III

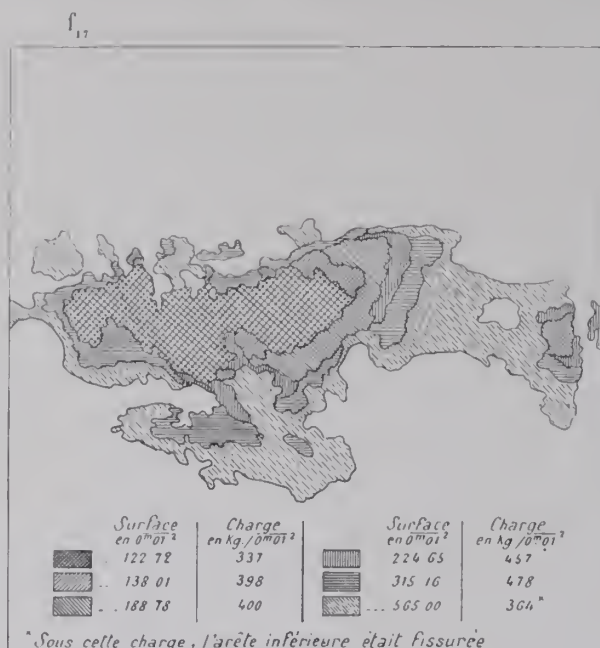
35. — Fissure dans le plan de symétrie passant par l'arête de contact.

36. — Surfaces de contact au mortier à 1^r, 1^r.

37. — Puissance maxima de la presse.

38. — Voici la moyenne de 3 essais sur des cubes de 30^r :

Age du béton en jours	Charge en kg 0 ^m 01 ² produisant	
	les fissures	la rupture
59 j	341 ^k	359 ^k
87 j	445 ^k	466 ^k



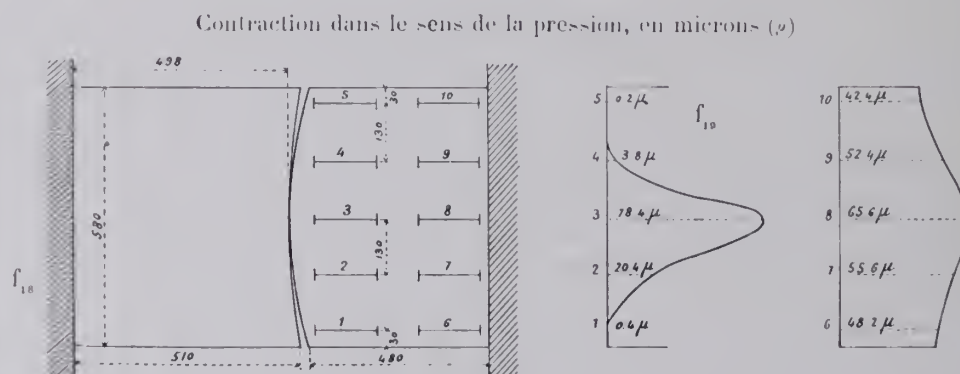
Aux essais pour le Pont de Moulins-lès-Metz, on a pris³⁹ sur papier b'en l'empreinte des surfaces en contact sous les charges (f_{17}).

Malgré le soin apporté à leur exécution, elles sont fort irrégulières.

La pression moyenne par 0^m01^2 sur la bande de contact, — charge totale rapportée aux surfaces d'empreinte, — croît d'abord, puis diminue légèrement jusqu'à l'apparition des fissures (f_{17}).

Art. 3. — Expériences de M. Krüger sur des rotules en béton (1906)⁴⁰.

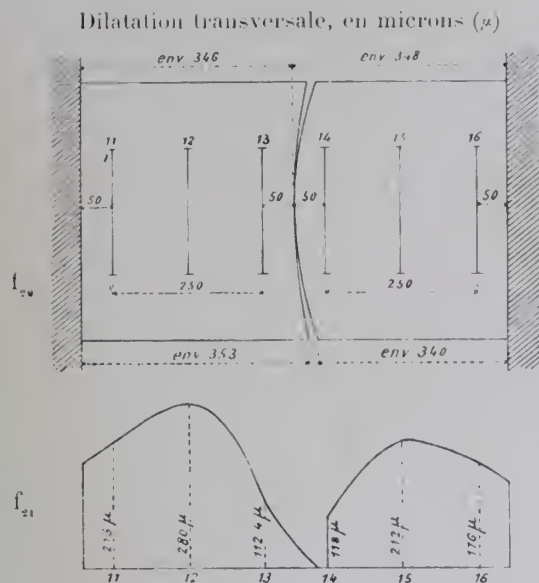
Dans le sens de la pression, les fibres centrales se raccourcissent. C'est la fibre passant par le contact qui se raccourcit le plus (f_{18} , f_{19}).



39. — Deutsche Bauzeitung, 1908, 23 mai, p. 283 à 288; — 3 juin, p. 303 et 307 : « Die Anwendung von Gelenken bei Brückenbauten », — M. A. Köhler, Ing. Dipl., Directeur technique de la maison Windschild et Langelott, de Cossebaude, pres Dresde.

40. — A l'occasion de la construction du « Dresdener Inundations Viadukt » par l'Administration des Chemins de fer de Saxe. — On a mesuré les déformations au $\frac{1}{5}$ de micron avec l'appareil optique Martens.

Deutsche Bauzeitung, 1906, p. 219 à 222, 232 à 236, 261 à 263 : « Die Illerbrücken bei Kempten in Allgäu », M. Coll'erg.



Normalement à la pression, comme toujours dans les prismes comprimés, les sections s'élargissent : il y a tension latérale (f_{20} , f_{21}). C'est elle qui rompt les blocs.

Le rapport :

$$\frac{\text{allongement transversal relatif}}{\text{raccourcissement longitudinal relatif}}$$

(coefficient de Poisson)⁴¹ est à peu près 28 100.

On en déduit :

$$T \left(\begin{array}{l} \text{effort de traction sur une tranche} \\ \text{perpendiculaire à l'arête de contact,} \\ \text{de } 0^{\circ}01 \text{ d'épaisseur et de hauteur } h \end{array} \right) = 0,28 \text{ N} \left(\begin{array}{l} \text{compression} \\ \text{par } 0^{\circ}01 \text{ d'arête} \\ \text{de contact} \end{array} \right)$$

$$\eta \left(\begin{array}{l} \text{effort moyen de traction} \\ \text{par } 0^{\circ}01^2 \end{array} \right) = \frac{T}{h \text{ (en } 0^{\circ}01)}$$

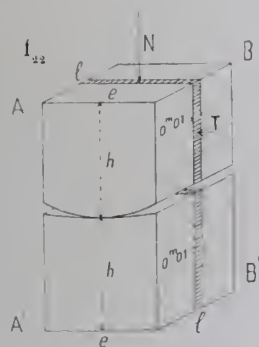
Si T est distribué suivant les ordonnées d'une parabole,

$$\text{MAX } \eta = \frac{3}{2} \frac{T}{h} = 1,5 \times \frac{0,28 \text{ N}}{h} = 0,42 \frac{\text{N}}{h}$$

La dilatation maxima, par suite la tension maxima, se produit à une distance du point de contact égale à la moitié de l'épaisseur e du sommier (f_{31}).

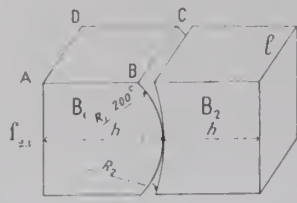
Pour qu'il n'y ait pas de tension transversale dans les lits AB, A'B', des sommiers (f_{32}), leur hauteur h sera au moins égale à leur épaisseur e .

C'est vers le milieu que se produisent les plus grandes tensions : si la matière n'y résiste pas assez, c'est ce milieu qu'il faudra armer ou fretter.



41. — Voir plus haut, § 2, art. 1.

Art. 4. — Expériences faites au Laboratoire de l'École des Ponts et Chaussées, à Paris, sur des rotules en porphyre, en calcaire, en béton⁴² (1911-1912).

	Rayon du bloc concave en 0 ^m 01	Charge en Tonnes, par 0.01 de génératrice de contact fissurant le bloc		Charge en kg 0 ^m 01 ² fissurant des cubes de : 5 ^m (pierre) 20 ^m (béton)	Coefficient d'élasticité E = ε × 10 ⁵ en kg/0 ^m 01 ²						
	R ₂	concave \mathcal{N}	convexe \mathcal{N}	$\tilde{\varepsilon}$	ε						
Porphyre de St Raphaël (Var) <i>l = h = e = 20^m</i>	250 ^r	10 ^t	12 ^t 5	2641 ^k	6.6						
	275 ^r	8 ^t 6	12 ^t 2		à						
	300 ^r	12 ^t 5	10 ^t 4		8.8						
Calcaire de Ruoms (Ardèche) <i>l = h = e = 20^m</i>	250 ^r	12 ^t 5	7 ^t 1	1451 ^k	6.8						
	275 ^r	7 ^t 5	5 ^t								
	300 ^r	5 ^t	7 ^t 5								
500 ^s sable (St Tropez) 500 ^s gravier (Cavaou)	soit pour 1 ^r ciment		<i>e = h =</i>								
	Ciment Portland	Eau douce	Sable	Gravier	<i>40^m</i> <i>20^m</i> <i>40^m</i> <i>20^m</i>						
Béton <i>l = 40^m</i>	275 ^k	84 ^l	2 ^v	2 ^v	250 ^r	4 ^t 7	1 ^t 8	4 ^t 7	2 ^t 5	221 ^k (à 120 j)	2.3
					275 ^r	1 ^t 9	»	3 ^t 1	2 ^t 5		à
					300 ^r	1 ^t 6	3 ^t 8	3 ^t 5	1 ^t 5		2.9
	350 ^k	96 ^l	1 ^v 6	1 ^v 6	250 ^r	3 ^t 8	2 ^t 5	3 ^t 8	»	353 ^k (à 98 j)	1.8
					275 ^r	2 ^t 1	3 ^t 7	2 ^t 5	3 ^t 7		à
					300 ^r	2 ^t 5	3 ^t 7	3 ^t 8	»		2.6
	425 ^k	107 ^l	1 ^v 3	1 ^v 3	250 ^r	6 ^t 3	3 ^t 0	6 ^t 3	3 ^t 0	366 ^k (à 92 j)	2.5
					275 ^r	4 ^t 5	3 ^t 4	3 ^t 8	»		à
					300 ^r	2 ^t 5	2 ^t 0	2 ^t 5	»		3.1
	500 ^k	119 ^l	1 ^v 1	1 ^v 1	250 ^r	4 ^t 6	3 ^t 1	4 ^t 1	3 ^t 1	363 ^k (à 85 j)	2.5
					275 ^r	3 ^t 5	4 ^t 4	3 ^t 5	4 ^t 4		à
					300 ^r	2 ^t 8	»	Pas de fissure	5 ^t 0		2.9

Les blocs se sont, en général, fendus parallèlement à la face ABCD (f_{23}).

Pour le porphyre, et surtout le béton, les bandes de contact étaient fort irrégulières.

Voici pour celles qui étaient à peu près rectangulaires, les largeurs mesurées et calculées :

		Porphyre de St Raphaël ($\varepsilon = 8$)		Calcaire de Ruoms ($\varepsilon = 6,8$)		
Rayon R_2		275 ^{cm}		275 ^{cm}		300 ^{cm}
Charge N en kg par 0 ^m 01 de longueur d'arête..		5000 ^k	10000 ^k	10000 ^k	5000 ^k	10000 ^k
Largeur $2r$ de la bande de contact	mesurée.....	7 ^{cm}	13 ^{cm}	11 ^{cm}	10 ^{cm} 5	13 ^{cm}
	calculée	6 ^{cm} 5	9 ^{cm} 2	8 ^{cm} 3	7 ^{cm}	9 ^{cm}
	par la formule de Hertz.....					
	par la formule de Barkhausen. (§ 2, art. 2)	9 ^{cm} 6	12 ^{cm} 8	10 ^{cm} 6	10 ^{cm}	12 ^{cm} 4
	de : Köpcke..... (§ 2, art. 4)	13 ^{cm}	16 ^{cm} 4	15 ^{cm} 3	13 ^{cm} 7	16 ^{cm} 2
Rapports	$\frac{2r}{\sqrt{N}}$	0,107	0,13	0,11	0,14	0,13
	$\frac{0,0096^2 N}{4r^2 \left(\frac{1}{R_1} - \frac{1}{R_2} \right)}$	5,8	4,0	4,6	3,1	4,0
	$\varepsilon \left(\text{formule de Hertz} \right)$					

42. — Je les ai demandées pour déterminer les rotules de deux passages supérieurs articulés, en béton, à construire sur la ligne de Miramas à l'Estaque.

Expériences sur des rotules, faites à l'École des Ponts et Chaussées (1911-1912)

*Empreintes des surfaces de contact***Porphyre**

de St Raphaël

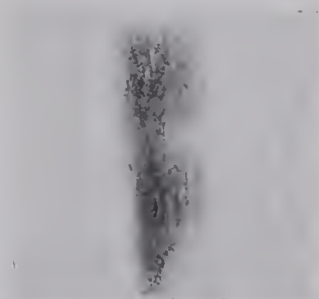
$R_1 = 200^m$

$R_2 = 27.7^m$

$e = h = l = 20^m$

(Voir f₂₃)

2'5



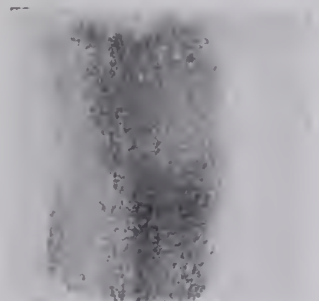
5'



7'5



10'



12'5



15'

**Calcaire de Ruoms**

$R_1 = 200^m$

$R_2 = 300^m$

$e = h = l = 20^m$ (Voir f)

2'5



5'



10'



12'5

**Béton**

Ciment Portland.... 350'

Sable de St Tropez.. 500'

Gravier du Cavaou.. 500'

Eau douce..... 96'

$R_1 = 200^m$

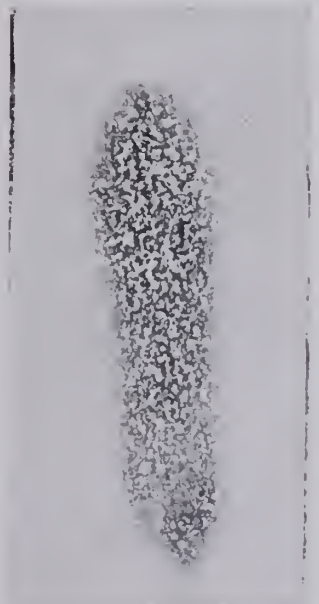
$R_2 = 300^m$

$e = h = 20^m$

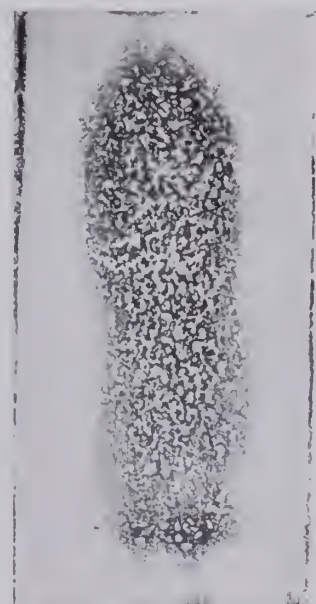
$l = 40^m$

(Voir f₁)

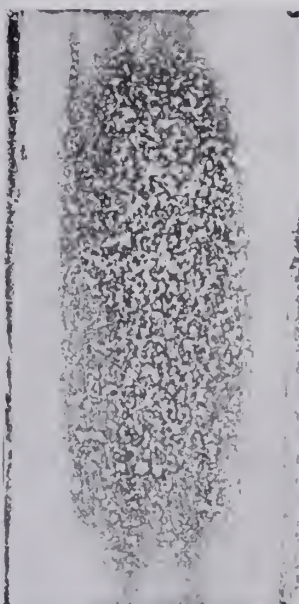
1'25



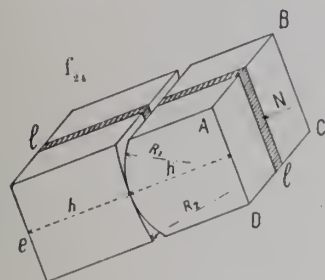
2'5



3'75



Art. 5. — Que conclure des formules et des essais de laboratoire pour déterminer les dimensions des sommiers ?



On veut articuler une voûte.

Pour chaque paire de sommiers, on calcule la charge normale F qui s'exerce sur l'appui tel que ABCD (f_{24}).

$$\text{On a donc : } N = \frac{F \text{ (en kg)}}{l \text{ (en 0.01)}} \left(\begin{array}{c} \text{charge normale} \\ \text{par 0.01 d'arête de contact} \end{array} \right)$$

On a déterminé, pour le « matériau » des sommiers, ses caractéristiques : l'effort ξ en $\text{kg}/0.01^2$ qui l'écrase, taillé, ou moulé en cubes, — et son coefficient d'élasticité $\varepsilon \times 10^5$ ($\text{kg}/0.01^2$).

Quelles dimensions (e, h, l), quels rayons R_1, R_2 , faut-il adopter pour que N soit le 1/4, le 1/5, de la charge \mathcal{N} qui rompt le sommier ?

Les formules de Hertz, qui paraissent les plus solides de celles proposées, ont assez mal résisté à l'expérience.

Les essais de laboratoire n'y suppléent pas : ils sont peu nombreux, ne concluent pas. Il en faut d'autres.

A leur défaut, nous essayerons de déduire quelque chose des voûtes faites.

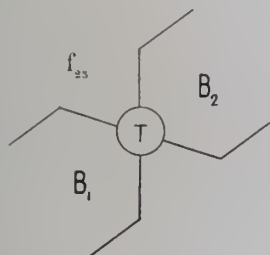
De suite, je puis dire qu'il faut encore être très prudent et, avant de se décider, essayer le « matériau » et les rayons des rotules.

CHAPITRE III

ARTICULATIONS TOURNANTES⁴³

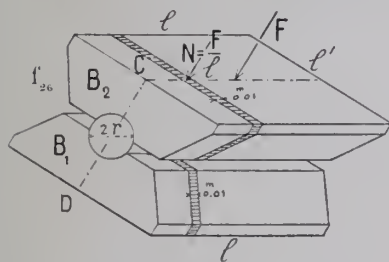
§ 1. — PRINCIPLE

Deux balanciers B_1, B_2 tournent autour d'un tourillon T en fonte ou en acier (f_{23}).



§ 2. — CALCULS

Art. 1. — Diamètre du tourillon. — Soient (f_{26}) :



l, l' , la longueur et la largeur en 0.01 de la face supérieure du balancier B_2 ;

r le rayon du tourillon en 0.01 ;

F la charge totale en Kg sur le balancier B_2 ;

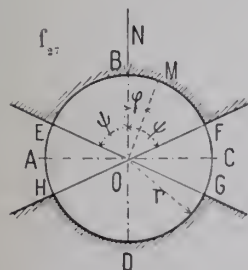
N la charge en Kg par 0.01 de longueur du tourillon :

$$N = \frac{F}{l} ;$$

β la compression permise en $\text{kg}/0.01^2$ sur le métal du tourillon.

N se distribue (f_{27}) sur une partie EBF, GDH des 1/2 circonférences ABC, ADC ; elle tend à aplatir le tourillon suivant BD, à l'élargir suivant AC.

Si on l'étale uniformément sur la section diamétrale AOC, on a une compression β' ($\text{Kg}/0.01^2$) = $\frac{N}{2r}$



43. — « Zapfengelenke » des Ingénieurs allemands.

On calcule r par la formule pratique : $\beta' = \frac{N}{2r} = K\beta$

On se donne K . M. Résal accepte $K = \frac{1}{4}$ ¹⁵. Un calcul, discutable¹⁵, — des expériences, à contrôler¹⁶, permettraient plus.

Art. 2. — Dimensions des balanciers. — On les calcule comme encastres dans le plan CD (f_{26}), supportant l'effort $\frac{P}{2}$ à $\frac{l'}{2}$ du plan CD.

§ 3. — ESSAIS DE M. LE PROFESSEUR FÖPPL A MUNICH¹⁷,

44. — « Cours de Ponts métalliques », Béranger, Paris 1908, Tome I, p. 477.

45. — N se distribue (f_{27}) en une série de pressions élémentaires telles que : $\beta' \frac{(\text{pression par } \overline{\sigma_{01}^2} \text{ en M}) \times ds}{\overline{\sigma_{01}^2}} = \beta' r dz$. Sa composante verticale est $r \beta' \cos \varphi d\varphi$. — Il ne paraît pas interdit de supposer avec M. Bach^{*}, que :

$$\beta' \varphi = \beta'_0 \text{ (pression par } \overline{\sigma_{01}^2} \text{ en B, laquelle y est maxima)} \times \cos \varphi$$

Supposons encore que N se répartisse, non sur la 1/2 circonférence ABC, mais seulement sur un arc EBF = 2ψ :

$$N = \beta' r \int_{-\psi}^{+\psi} \cos^2 \varphi d\varphi = \beta' r \left(\psi + \frac{1}{2} \sin 2\psi \right)$$

Enfin, si, comme l'admet M. Müller-Breslau^{**}, EBF est le 1/4 de la circonférence, $2\psi = \frac{\pi}{2}$:

$$N = \beta' r \left(\frac{\pi}{4} + \frac{1}{2} \right) = 1,2854 \beta' r \text{ ou } \beta' = \frac{N}{2r} = 0,64 \beta$$

* C. Bach — *Maschinen Elemente*, p. 402. ** Müller-Breslau — *Vorlesung in Berliner Polytechnikum — Eiserne Brücken*, p. 39.

46. — M. Bobrowsky a déterminé, sur des tourillons d'un acier de limite d'élasticité β_e , la compression limite par $\overline{\sigma_{01}^2}$ de longueur N_e , à partir de laquelle les déformations du tourillon sont permanentes : soit, par $\overline{\sigma_{01}^2}$ de la section diamétrale, une compression limite $\beta'_e = \frac{N_e}{2r}$.

Il a trouvé :

	Kg $\overline{\sigma_{01}^2}$	1 ^{er} essai	2 ^e essai	3 ^e essai
Limite d'élasticité de l'acier en cubes.	β_e	1910 ^s	2680 ^s	3400 ^s
Compression de la section diamétrale au moment où commence la déformation permanente β'_e		2470	3330	4200
	Rapport $\frac{\beta'_e}{\beta_e}$	1,29	1,24	1,23

c'est-à-dire que β'_e serait en moyenne $\frac{5}{4} \beta_e$ — Attendons d'autres expériences.

Der Eisenbau, — décembre 1912, p. 447. « Berechnung der Kippzapfen von Brückengelenken », S. Bobrowsky.

47. — Charge par $\overline{\sigma_{01}^2}$ de surface diamétrale du tourillon		50 ^s	100 ^s	200 ^s	300 ^s	400 ^s	500 ^s	600 ^s
Coefficient de frottement fonte sur acier	sans graissage	0,235	0,223	0,216				
	à l'huile de machine		0,194	0,192				
	à la graisse de machine		0,171	0,162	0,148			
	avec au suif		0,015	0,0075	0,0054	0,0048	0,0046	0,0039
	graissage à la stéarine		0,022	0,013	0,010	0,0075	0,006	0,005
Epaisseur en mm de la couche de lubrifiant, avec graissage :	à 1 p. suif, 3 p. stéarine		0,011	0,0046	0,0042	0,0040	0,0038	0,0033
	à la paraffine		0,0062	0,0051	0,0036	0,0027	0,0026	0,0025
	à l'huile de machine							
Epaisseur en mm de la couche de lubrifiant, avec graissage :	à la graisse de machine							
	au suif		0,8	0,3				0,1
	à la stéarine		0,9	0,9				0,25
	à 1 p. suif, 3 p. stéarine		1,1	0,1				0,1
	à la paraffine		1,1	0,1				0,1

(Centralblatt der Bauverwaltung — 24 août 1901, p. 197, 198. « Reibung in Brückengelenken. » A. Föppl — Munich — Janvier 1901).

A titre de comparaison, voici ce qu'ont donné des essais faits en 1909 à Paris, au Laboratoire de l'Ecole des Ponts et Chaussées en vue de la construction par la C^{ie} P-L-M, du pont tournant de Caronte (Ligne de Miramas à l'Estaque).

Charge par $\overline{\sigma_{01}^2}$ de surface diamétrale du tourillon		74 ^s	112 ^s	148 ^s	215 ^s	280 ^s
Coefficient de frottement acier sur bronze	sans graissage	0,172	0,166	0,167	0,168	0,172
	à l'huile de machine	0,148	0,116	0,112	0,145	0,150
	à la graisse de machine	0,134	0,128	0,129	0,130	0,129
	graissage à la paraffine	0,024	0,017	0,013	0,011	0,009

AU LABORATOIRE D'ESSAIS DE MATÉRIAUX (1901)

1° — Le coefficient de frottement de fonte sur acier diminue quand la pression augmente.

Il y a donc intérêt à augmenter celle-ci : donc à réduire la surface d'appui ; donc à employer des tourillons de petit diamètre.

2° — Le meilleur lubrifiant est la paraffine.

3° — Sous les plus fortes pressions, il subsiste, entre les tourillons et les coussinets, une mince couche de lubrifiant.

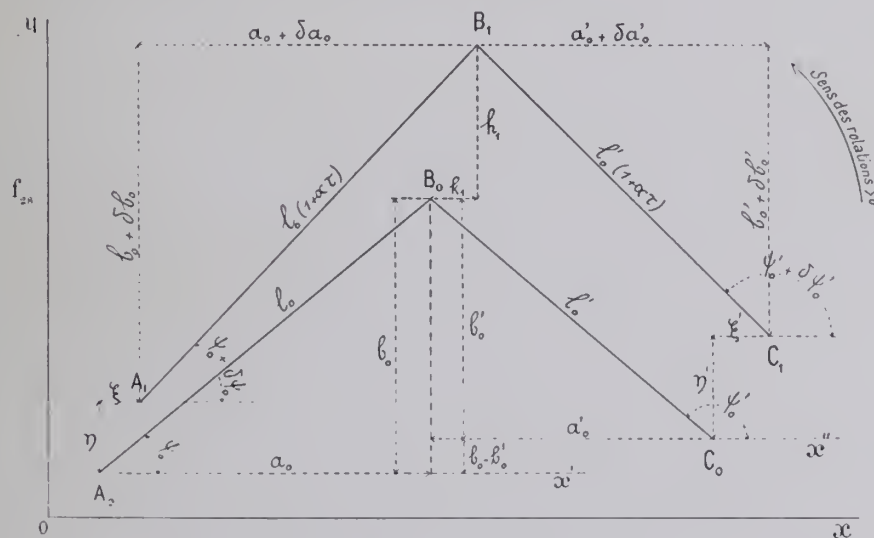
§ 4. — ROTATIONS AUTOUR DES APPUIS, MOUVEMENTS DE LA CLEF POUR UN CHANGEMENT DE TEMPÉRATURE ET UN DÉPLACEMENT DES APPUIS (f_{2s}).

Art. 1. — Comment change la ligne $A_0 B_0 C_0$ des 3 articulations.

Je suppose, par rapport à une température initiale, un changement de τ° . Chaque dimension linéaire l_0 devient $l_0 (1 + \alpha\tau)$. Les appuis ne varient pas avec τ° .

Mais je suppose de plus que, pour une cause étrangère à τ° , ces appuis se déplacent : horizontalement de ξ, ξ' , verticalement de η, η' .

Le triangle primitif $A_0 B_0 C_0$ devient $A_1 B_1 C_1$.



Art. 2. — Conventions pour les signes.

τ est > 0 pour les élévations de température, < 0 pour les abaissements.

ξ, ξ' sont > 0 dans le sens Ox ; η, η' sont > 0 dans le sens Oy .

Les rotations sont > 0 de Ox vers Oy .

Art. 3. — Calcul des rotations $\partial\psi_0, \partial\psi_1$.

ψ_0 est l'angle dont il faut faire tourner A_0x' dans le sens des rotations positives pour l'appliquer sur A_0B_0 .

ψ_1 est l'angle dont il faut faire tourner C_0x'' dans le sens des rotations positives pour l'appliquer sur C_0B_0 .

Projetons sur l'horizontale, puis sur la verticale, le contour $A_0A_1B_1C_1C_0A_0$.

$$(1) \quad \begin{cases} \xi + l_0 (1 + \alpha\tau) \cos (\psi_0 + \partial\psi_0) - l'_0 (1 + \alpha\tau) \cos (\psi'_0 + \partial\psi'_0) - \xi' - a'_0 - a_0 = 0, \\ \eta + l_0 (1 + \alpha\tau) \sin (\psi_0 + \partial\psi_0) - l'_0 (1 + \alpha\tau) \sin (\psi'_0 + \partial\psi'_0) - \eta' - b_0 + b'_0 = 0, \end{cases}$$

On avait, avant mouvement :

$$(2) \quad \begin{aligned} a_0 &= l_0 \cos \psi_0 & a'_0 &= -l'_0 \cos \psi'_0 \\ b_0 &= l_0 \sin \psi_0 & b'_0 &= l'_0 \sin \psi'_0 \end{aligned}$$

Développons (1); supprimons les infiniment petits du 2^e ordre; on trouve, en tenant compte de (2) :

$$(3) \quad \begin{cases} -b_0 \delta \psi_0 + b'_0 \delta \psi'_0 = \xi' - \xi - \alpha \tau (a_0 + a'_0) \\ a_0 \delta \psi_0 + a'_0 \delta \psi'_0 = \eta' - \eta - \alpha \tau (b_0 - b'_0) \end{cases}$$

D'où :

$$(4) \quad \begin{cases} \delta \psi_0 = \frac{a'_0 (\xi - \xi') - b'_0 (\eta - \eta') - \alpha \tau [b'_0 (b_0 - b'_0) - a'_0 (a_0 + a'_0)]}{a'_0 b_0 + a_0 b'_0} \\ \delta \psi'_0 = \frac{-a_0 (\xi - \xi') - b_0 (\eta - \eta') - \alpha \tau [a_0 (a_0 + a'_0) + b_0 (b_0 - b'_0)]}{a'_0 b_0 + a_0 b'_0} \end{cases}$$

Art. 4. — Mouvements de l'articulation de clef (f_{28}).

1^o vertical h_1 . — On a :

$$b_0 + h_1 = \eta + b_0 + \delta b_0 = \eta + l_0 (1 + \alpha \tau) \sin (\psi_0 + \delta \psi_0) = \eta + b_0 + a_0 \delta \psi_0 + \alpha \tau b_0$$

d'où :

$$h_1 = \eta + a_0 \delta \psi_0 + \alpha \tau b_0$$

2^o horizontal k_1 . — On a :

$$a_0 + k_1 = \xi + a_0 + \delta a_0 = \xi + l_0 (1 + \alpha \tau) \cos (\psi_0 + \delta \psi_0) = \xi + a_0 - b_0 \delta \psi_0 + \alpha \tau a_0$$

d'où :

$$k_1 = \xi - b_0 \delta \psi_0 + \alpha \tau a_0$$

Si les 2 appuis sont au même niveau ($b_0 = b'_0 = b$), symétriques

($a_0 = a'_0 = a$), et fixes ($\xi = 0$, $\eta = 0$; $\xi' = 0$, $\eta' = 0$), on a :

$$\delta \psi_0 = \alpha \tau \frac{a}{b} \quad h_1 = \delta \tau b = \alpha \tau \left(b \pm \frac{a^2}{b} \right) \quad 48$$

$\partial_{\tau} b$ (f_{29}) est la somme de :

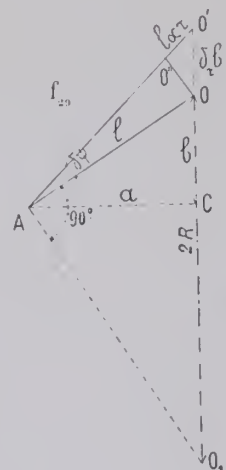
$b \alpha \tau$ dilatation de la montée b ;

$\frac{a^2}{b} \alpha \tau$ augmentation de montée due à ce que a ne peut s'allonger de $a \alpha \tau$ (c'est la dilatation de la longueur $\frac{a^2}{b}$, rayon de courbure de l'ellipse de 1 2 axes a et b).

$\partial_{\tau} b$ peut aussi s'écrire :

$$2 \alpha \tau \frac{a^2 + b^2}{2b} = 2 \alpha \tau R \quad 49$$

C'est la dilatation du diamètre OO_1 (f_{29}).



48. — Dans ce cas simple, il est facile d'établir directement ces formules (f_{28}).

Le sommet O vient d'abord en O'' en tournant de $\delta \psi$ autour de A; puis, par l'allongement $l \alpha \tau$, vient en O' sur la verticale de O :

$$O''O' = l \alpha \tau$$

$$OO'' = l \delta \psi$$

Confondons l'arc avec sa tangente. L'angle O''OA est droit. Les triangles OO''C et AOC sont semblables (les angles O''OA, OO''O' sont droits, et les angles en O et A ont leurs côtés perpendiculaires).

$$\frac{l \alpha \tau}{b} = \frac{l \delta \psi}{a}, \quad \text{d'où } \delta \psi = \frac{a \alpha \tau}{b};$$

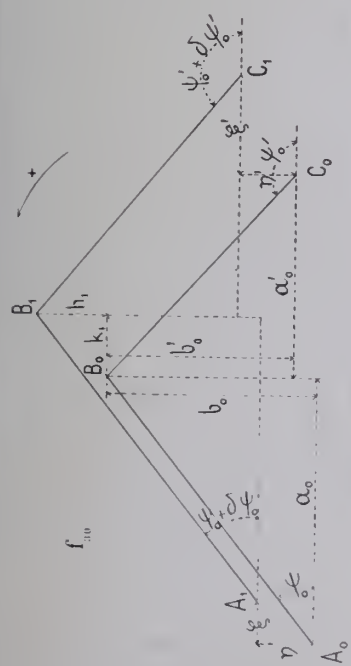
$$\frac{\delta \tau b}{l} = \frac{l \alpha \tau}{b}, \quad \text{d'où } \partial_{\tau} b = \frac{l^2 \alpha \tau}{b}$$

49. — Les 2 triangles rectangles OO''O' et AOO1 sont semblables :

$$\frac{\partial_{\tau} b}{2R} = \frac{l \alpha \tau}{l}, \quad \text{d'où } \partial_{\tau} b = 2R \alpha \tau$$

Art. 5. — FORMULES

Rotations autour des appuis et mouvements de la clef

 pour un changement de température τ et un déplacement des appuis (f_{30}).

 Naissances dénivelées b_0 b'_0

 Appuis déplacés de $\xi, \eta; \xi', \eta'$

$$a_0 = a'_0$$

$$\frac{a'_0(\xi - \xi') - b'_0(\eta - \eta') + \alpha\tau[a'_0(a_0 + a'_0) - b'_0(b_0 - b'_0)]}{a'_0 b_0 + a_0 b'_0}$$

$$\frac{-a_0(\xi - \xi') - b_0(\eta - \eta') - \alpha\tau[a_0(a_0 + a'_0) + b_0(b_0 - b'_0)]}{a'_0 b_0 + a_0 b'_0}$$

$$\eta + \frac{a_0[a'_0(\xi - \xi') - b'_0(\eta - \eta')]}{a'_0 b_0 + a_0 b'_0} + \alpha\tau \left[\frac{a'_0[a'_0(a_0 + a'_0) - b'_0(b_0 - b'_0)]}{a'_0 b_0 + a_0 b'_0} + b'_0 \right]$$

$$\xi - \frac{b_0[a'_0(\xi - \xi') - b'_0(\eta - \eta')]}{a'_0 b_0 + a_0 b'_0} - \alpha\tau \left[\frac{b_0[a'_0(a_0 + a'_0) - b'_0(b_0 - b'_0)]}{a'_0 b_0 + a_0 b'_0} - a'_0 \right]$$

 Rotations $\left\{ \begin{array}{l} \delta \psi_0 \\ \delta \psi'_0 \end{array} \right.$

 Mouvements de la clef $\left\{ \begin{array}{l} \text{vertical} \\ h_1 \left(\begin{array}{c} \uparrow \\ + \end{array} \right) = \\ \text{horizontal} \\ h'_1 \left(\begin{array}{c} \rightarrow \\ + \end{array} \right) = \end{array} \right.$

 Naissances au même niveau ($b_0 = b'_0 = b$)

 Appuis déplacés de $\xi, \eta; \xi', \eta'$

$$a_0 = a'_0 = a$$

$$\frac{\xi - \xi'}{2b} - \frac{\eta - \eta'}{2a} + \alpha\tau \frac{a}{b}$$

$$\frac{\xi - \xi'}{2b} - \frac{\eta - \eta'}{2a} - \alpha\tau \frac{a}{b}$$

$$\eta + \frac{a_0[a'_0(\xi - \xi') - b'_0(\eta - \eta')]}{b(a_0 + a'_0)} + \alpha\tau \left[\frac{a'_0 a'_0}{b} + \frac{a'_0}{2} + \alpha\tau \left(\frac{a'^2}{b} + b \right) \right]$$

$$\xi - \frac{a'_0(\xi - \xi') - b'_0(\eta - \eta')}{a_0 + a'_0} - \alpha\tau \frac{b'_0(a'_0 - a_0)}{2} + \frac{b'_0(\eta - \eta')}{2a}$$

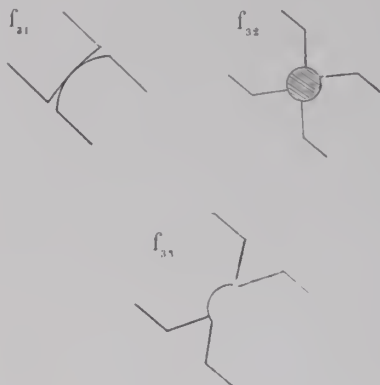
0

Appuis fixes

$$\xi = 0 \quad \xi' = 0 \quad \eta = 0 \quad \eta' = 0$$

$$a_0 = a'_0 = a$$

CHAPITRE IV

ARTICULATIONS A GENOU ⁵⁰

Un bloc convexe roule dans un bloc concave de rayon plus grand : c'est une articulation *roulante* (f_{21}).

Deux blocs concaves enserrant un tourillon de même rayon et glissent l'un et l'autre autour de lui : c'est une articulation *tournante* (f_{32}).

Deux blocs, l'un concave, l'autre convexe, de même rayon, tournent en glissant l'un dans l'autre (f_{33}) : c'est une articulation *à genou*.

TITRE IV

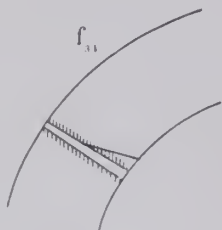
HISTORIQUE

ARTICULER LES VOÛTES EST UNE IDÉE FRANÇAISE

§ 1. — C'EST DUPUIT QUI A ÉMIS LE PREMIER (EN 1870)
L'IDÉE D'ARTICULER LES VOÛTES

Il y a 43 ans, Dupuit écrivait : ⁵¹

« il nous semble qu'on peut..... ramener la pression au centre du joint
« (de rupture) par une disposition (f_{31}) qui consisterait à remplacer, du côté de
« l'intrados, le prolongement du joint par une ligne faisant
« avec celui-ci un angle très obtus raccordé par une courbe
« sur laquelle roulerait la voûte au décintrement, si cette
« partie du joint n'était garnie que d'étonne. On détermine-
« rait ainsi un point de passage obligé de la courbe de pres-
« sion et qui la placerait comme on voudrait par rapport à
« l'intrados ; on pourrait faire quelque chose d'analogue à la
« clef. Il n'y aurait plus alors rien d'indéterminé dans le
« tracé de la courbe de pression, ce qui permettrait de la faire passer par le milieu
« de tous les joints en faisant varier convenablement le poids de la voûte.... Il est
« inutile que cette articulation se trouve précisément au joint de rupture, théori-
« quement elle aurait partout le même effet ; mais de même qu'une ligne droite est
« d'autant mieux déterminée par deux points qu'ils sont plus écartés entre eux, de
« même il conviendrait ici d'éloigner ce point de passage de la clef et nous croirions
« convenable de placer l'articulation dans un point accessible après le décintrement...



50. — « Anschliessungsgelenke » des Ingenieure allemands.

51. — « Traité de l'équilibre des voûtes et de la construction des ponts en maçonnerie » par J. Dupuit, Inspecteur Général des Ponts et Chaussées, — Paris, Dunod, 1870, p. 195, 196, 197.

« La voûte étant ainsi construite, la rotation au moment du décentrement se
 « ferait nécessairement autour du point de contact, qu'on pourrait placer de 2 ou 3
 « centimètres en arrière du centre du joint.... Il est évident que les deux pierres en
 « contact seraient dans des conditions bien plus favorables à la résistance que dans
 « le système de la pose ordinaire.... D'ailleurs,.... rien n'empêcherait de prendre
 « pour ces deux rangs de voussoirs des pierres d'une qualité excessivement dure....
 « Remarquons même que la pose de ces deux voussoirs de chaque côté de la voûte
 « ayant pour résultat de faire passer la courbe de pression par le milieu de tous les
 « autres, permettrait d'employer pour ceux-ci des matériaux moins résistants que
 « ceux qu'on s'impose aujourd'hui dans l'indécision où on se trouve pour le passage
 « de la courbe de pression... »

« Il n'est pas sans exemple,.... dans les constructions publiques de voir des
 « pierres supportant des charges énormes ; dans les ponts métalliques les poutres ou
 « les arcs reposent sur les pierres des calées et des piles ;.... les portes gigantesques
 « des écluses à la mer, les ponts tournants reposent sur des pivots qui transmettent
 « leur pression à des pierres de taille. Ces pierres résistent parfaitement aux
 « pressions considérables qui leur sont transmises, parce que ces pressions ont lieu
 « seulement sur la partie centrale de leur surface. On pourrait d'ailleurs augmen-
 « ter cette résistance en intercalant au point de contact des plaques de fonte enca-
 « strées dans les deux voussoirs, de manière que la surface métallique remplacerait
 « celle de la pierre.... »

Dupuit a donc formellement prévu la réduction de surface des appuis⁵², la triple articulation roulante, les sommiers en pierre dure, en fonte⁵³.

52. — En 1878, M. Brosselin, alors Ingénieur ordinaire des Ponts et Chaussées, proposait (*Note sur la construction des ponts en maçonnerie*, Paris 15 décembre 1878, Bibliothèque de l'École des Ponts et Chaussées : C. 705, - 12538) de placer, à la clef et aux joints de rupture des voûtes, deux assises de voussoirs en pierre de taille résistante, d'y faire un joint de hauteur réduite à ciment pur, à mortier riche, au plomb, à l'étain.

Pour la voûte centrale du pont de Tolbiac à Paris, alors en projet (Portée, 35^m20, montée, 8^m25), il indiquait les épaisseurs de 0^m75 à la clef, 0^m90 au milieu de la montée ; voûte en meulière à ciment ; sommiers en pierre de taille de Souppes ; entre eux, joints en ciment pur sur la moitié de l'épaisseur de la voûte, travaillant à 140 ou 150° ; aux épreuves, à 250 ou 300°.

Ces indications n'ont pas été suivies : les voûtes du pont de Tolbiac sont inarticulées.

Le projet de M. Brosselin a été rappelé dans deux mémoires :

1^o — *Note sur la construction récente en Allemagne de ponts en maçonnerie avec articulations à la clef et aux joints de rupture* par M. G. La Rivière, Ingénieur en chef des Ponts et Chaussées.

Annales des Ponts et Chaussées, 1891, I, p. 899 à 940, Pl. 46 à 48.

2^o — *« Ponts en maçonnerie, articules aux naissances et à la clef »* par M. Bourdelles, Inspecteur Général des Ponts et Chaussées.

Annales des Ponts et Chaussées, 1898, III, p. 31 à 92.

53. — Le Président Leibbrand l'a très explicitement reconnu. En raison de son importance, je donne ici le texte même de sa déclaration :

« Schon seit langer Zeit wurden deshalb von Dupuis (Dupuit) andere Vorschläge gemacht welche bewirken
 « sollten, dass die Resultante der inneren Kräfte in den Bruchfugen sich möglichst wenig von der Mitte
 « derselben entfernte ; die Abschrägung dieser Fugen, die geradlinige oder bogenförmige Erweiterung
 « derselben nach aussen ohne und mit gleichzeitiger Anbringung von Metaldollen zur Verhütung der
 « Verschiebung der Gelenksteine, die Verstärkung dieser Fugen durch bleibende Metalleinlagen von
 « einer Drehbewegung zulassenden Form, die Einlegung bleibender cylindrischer Eisengelenke, das
 « Einfügen provisorischer Eisengelenke, welche nach dem Ausschalen des Gewölbes wieder beiseite
 « werden sollten, wurden als Mittel zur Verhütung von Rissen und zur Festlegung der Druckkurven
 « bezeichnet... »

Fortschritte der Ingenieurwissenschaften. « Gewölbte Brücken » von Karl Leibbrand, Leipzig, 1897, p. 42.

Traduction :

« Depuis longtemps déjà, d'autres propositions avaient été faites par Dupuit, pour arriver à ce que la
 « résultante des forces intérieures s'écartât le moins possible de l'axe aux joints de rupture, diminution
 « de ces joints par chanfreinage des arêtes, suivant des surfaces planes ou courbes, avec ou sans introduc-
 « tion de goujons métalliques pour empêcher le déplacement de l'articulation ; renforcement de ces joints
 « au moyen de dispositifs permanents en métal, de forme convenable pour permettre la rotation ; intro-
 « duction de rotules cylindriques permanentes en fer ou d'articulations métalliques provisoires à supprimer
 « après décentrement ; autant de moyens indiqués pour empêcher les fissures et fixer les courbes de
 « pression.... »

§ 2. — *APPLICATION EN ALLEMAGNE, APRÈS 1880,
DE L'IDÉE DE DUPUIT*

C'est Köpcke de Dresde qui, en 1880, a exécuté les premières articulations roulantes⁵⁴; c'est le Président Leibbrand qui, en 1885, a articulé la première voûte sur plomb à Höfen⁵⁵ (Wurtemberg).

Les articulations tournantes ont été employées pour la première fois, en 1895, par M. Max Leibbrand au pont d'Inzigkofen⁵⁶.

TITRE V

CLASSEMENT DES VOÛTES ARTICULÉES

§ 1. — *CLASSEMENT DES VOÛTES ARTICULÉES
SUIVANT LE TYPE D'ARTICULATION*

Quel que soit leur intrados, les voûtes articulées sont toujours en arc surbaissé entre leurs articulations de retombées.

Une voûte articulée en plein cintre, en ellipse, en arc peu surbaissé, est, en réalité, une voûte en arc surbaissé avec culées en surplomb.

Je conserverai les symboles des voûtes inarticulées pour désigner l'intrados, le nombre d'arches, la voie portée.

Mais, pour les voûtes articulées, le caractère dominateur n'est plus la courbe d'intrados : c'est le type d'articulation.

Elles seront donc classées d'abord d'après ce type, dans l'ordre suivant et avec les symboles que voici sous celui de l'intrados :

Bandes de plomb : 

Articulations roulantes : 

Articulations tournantes : 

Articulations à genou : 

§ 2. — *DISTINCTION ENTRE LES VOÛTES « SEMI-ARTICULÉES »
C-A-D ARTICULÉES TEMPORAIREMENT, AU POIDS MORT SEULEMENT, LES
ARTICULATIONSETANTCONDAMNÉESAVANTL'OUVERTUREALACIRCULATION,
ET LES VOÛTES « ARTICULÉES »*

*C-A-D DE FAÇON PERMANENTE, SOUS LE POIDS MORT, LES SURCHARGES,
POUR LES VARIATIONS DE TEMPÉRATURE,...*

Dans nombre d'ouvrages on a, après achèvement et avant l'ouverture à la circulation, condamné les articulations.

La voûte est alors articulée seulement pour le poids mort.

54. — a un pont près de Langenhennersdorf (Saxe), ligne de Pirna à Bergieshübler, - 3 voûtes en arc : portée, 13^m; montée, 3^m; épaisseurs : a la clef, 0^m50; aux retombées, 0^m60. — Rayons des surfaces en contact : 110^m⁵⁰ et 97^m⁵⁰.

(Zeitschrift des Architekten-und Ingenieur Vereins zu Hannover, 1888, Heft 4, p. 374 à 380. « Über die Verwendung von drei Gelenken in Steingewölben » von Geh. Finanzrath C. Köpcke, zu Dresden.


55. — \bar{A}^1 1^{re} ($\geq 40^m$)¹, Tome IV, Livre II

56. — \bar{A}^1 1^{re} ($\geq 40^m$)¹, Tome IV, Livre II

La courbe de pression du poids mort passe par les articulations, mais les surcharges et les variations de température la déplacent.

Ces voûtes seront dites « *semi-articulées* ».

Elles ont les symboles des voûtes articulées, mais avec une barre sur le signe de l'articulation :

Bandes de plomb : 

Articulations à genou : 

Ces voûtes, qui se rapprochent des voûtes inarticulées, seront décrites les premières.

§ 3. — SÉRIES DANS LESQUELLES ONT ÉTÉ CLASSÉES LES VOÛTES ARTICULÉES $\geq 40^m$

Les voûtes à 3 articulations seront donc classées : d'abord en voûtes semi-articulées et voûtes articulées ; puis, dans chacune de ces divisions, d'abord d'après le type d'articulation ; enfin, comme les voûtes inarticulées, par intrados, nombre d'arches, voie portée.

Pour les voûtes de 40^m et au-dessus, voici les séries :

I. — Voûtes $\geq 40^m$ semi-articulées,

c'est-à-dire articulées temporairement, au poids mort seulement,
articulations condamnées avant l'ouverture à la circulation.

Ponts en arc très surbaissé

Types d'articulations	à une seule grande arche		à plusieurs grandes arches sous route
	sous route	sous chemin de fer à voie normale	
sur plomb	$\bar{A}^1 r^{te} (\geq 40^m)$	»	»
à genou	$\bar{A}^1 r^{te} (\geq 40^m)$	$\bar{A}^1 r^r (\geq 40^m)$	$\bar{A}^n r^{te} (\geq 40^m)$

II. — Voûtes $\geq 40^m$ articulées,

c'est-à-dire de façon permanente, sous le poids mort, les surcharges,
pour les variations de température,...

Ponts

Types d'articulations	en ellipse à plusieurs grandes arches sous chemin de fer à voie normale	en arc peu surbaissé à une seule grande arche sous chemin de fer à voie normale	en arc très surbaissé		
			à une seule grande arche		à plusieurs grandes arches sous route
			sous route	sous chemin de fer à voie normale	
sur plomb	$E^n r^r (\geq 40^m)$	»	»	»	»
roulantes	$E^n r^r (\geq 40^m)$	$\hat{A}^1 r^r (\geq 40^m)$	$\bar{A}^1 r^{te} (\geq 40^m)$	$\bar{A}^1 r^r (\geq 40^m)$	$\bar{A}^n r^{te} (\geq 40^m)$
tournantes	»	»	$\bar{A}^1 r^{te} (\geq 40^m)$	»	»

LIVRE II

DESCRIPTION DES PONTS

QUI ONT OU AVAIENT

DES

VOÛTES ARTICULÉES

DE 40^m ET PLUS DE PORTÉE

TABLEAUX SYNOPTIQUES

MONOGRAPHIES

VOÛTES SEMI-ARTICULÉES

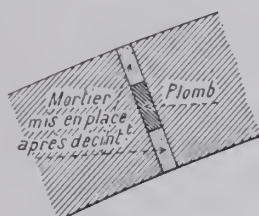
C'EST-A-DIRE ARTICULÉES TEMPORAIREMENT
AU POIDS MORT SEULEMENT
ARTICULATIONS CONDAMNÉES
AVANT L'OUVERTURE A LA CIRCULATION

VOÛTES SEMI-ARTICULÉES ¹

ARTICULATIONS

SUR

PLOMB



Symbole : ¹

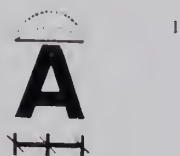


¹ — Pour cette définition et le sens du symbole, voir Tome IV, Livre I, p. 28 et 29.

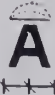
VOÛTES SEMI-ARTICULÉES ¹

ARTICULATIONS SUR PLOMB ¹

ARCS TRÈS SURBAISSÉS ¹


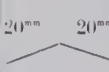



PONTS A UNE SEULE GRANDE ARCHE
SOUS ROUTE

Série  ¹ r^{le} ($\geq 40^m$) ¹

¹. — Pour le classement des voûtes articulées et le sens des symboles, voir Tome IV, Livre I, p. 28 et 29.

PONT A UNE SEULE GRANDE ARCHE SOUS ROUTE

PONT	PROJET							
	ENSEMBLE			GRANDE VOÛTE				ÉVIDEMENT DES TYMPANS
	Longueur <i>entre abouts des parapets</i> Déclivités Hauteur maxima de la chaussée au-dessus du sol ou de l'étiage	Largeurs <i>entre parapets entre tympans sous la plinthe</i> Fruit des tympans Revanche de la chaussée sur l'extrados	INTRADOS Portée Montée Surbaissement Rayon	ÉPAISSEURS CORPS ET TÊTES Clef Retombées	BANDES DE PLOMB Épaisseur Largeur Clef Retombées <i>Pour les pressions, voir Tome IV, Livre III.</i>	MATÉRIAUX Mortier Poids, pour 1 ^m c de sable, de chaux ou de ciment	PRESSIONS en kg 0 ^m 01 ² <i>Hypothèse adoptée</i> Surcharges supposées	
1	2	3	4	5	6	7	8	9
de Höfen Wurtemberg 1885 \overline{A}^1 1 ^{re} (≥ 40 m) ¹	35 ^m 60  5 ^m 85	$\left\{ \begin{array}{l} 3^m 90 \\ 3^m 40 \end{array} \right.$ Pas de fruit 0 ^m 55	Sur le sol de fondation, Portée : 41 ^m 00 Au-dessus du sol, Arc de cercle 28 ^m 00 2 ^m 80 $\frac{1}{10} = 0,10$ 36 ^m 40	$\left\{ \begin{array}{l} 1^m 00 \\ 1^m 50 \end{array} \right.$	20 ^{mm} $\left\{ \begin{array}{l} 35^m \\ 50^m \end{array} \right.$	PT ¹ Grès (917 ^k à 1036 ^k) Ciment Portland de Blaubeuren (0 ^m c 666)	Pressions maxima : Clef : 29 ^k Joint de rupture : 22 ^k Retombées : 24 ^k	1 ^o Aux reins 6 voûtes transversa- vues, en plein cintre de 1 ^m 40 sur piles de 0 ^m 70 Au cervice évidement longitudinal 2 ^o »
de Marbach Wurtemberg 1886-1887 \overline{A}^1 1 ^{re} (≥ 40 m) ²	41 ^m 70  7 ^m 55	$\left\{ \begin{array}{l} 6^m 20 \\ 5^m 60 \end{array} \right.$ Pas de fruit 0 ^m 55	Sur le sol de fondation, Portée : 43 ^m 50 Au-dessus du sol, Arc de cercle 32 ^m 00 3 ^m 10 $\frac{1}{10,32} = 0,097$ 42 ^m 84	$\left\{ \begin{array}{l} 1^m 20 \\ 1^m 50 \end{array} \right.$	22 ^{mm} $\left\{ \begin{array}{l} 40^m \\ 50^m \end{array} \right.$	Bandeaux : PT ¹ Keuper (577 ^k à 644 ^k) Douelle et Queutage : MEV ¹ Muschelkalk résistant mal à la gelée et à l'humidité (992 ^k à 1169 ^k) Sommiers d'articulations : Grès (718 ^k à 768 ^k) Ciment — (0 ^m c 500)	Pressions maxima : Clef : 27 ^k Joint de rupture : 25 ^k	1 ^o Les tympans et 2 ^o au longitudinal de 0 ^m 50 écartes de portent une plate-forme en béton à 1 ^{re} , 2 ^{de} , 2 ^o »
de Baiersbronn Wurtemberg 1889 \overline{A}^1 1 ^{re} (≥ 40 m) ³	38 ^m 50  5 ^m 50	$\left\{ \begin{array}{l} 6^m 60 \\ 5^m 81 \end{array} \right.$ Pas de fruit »	Sur le sol de fondation, Portée : 40 ^m 00 Au-dessus du sol, Arc de cercle 33 ^m 00 3 ^m 30 $\frac{1}{10} = 0,10$ »	$\left\{ \begin{array}{l} 0^m 60 \\ 0^m 80 \end{array} \right.$	20 ^{mm} $\left\{ \begin{array}{l} 17^m \\ 18^m \end{array} \right.$	PT ¹ Grès bigarré (675 ^k)	Pressions maxima : Clef : 42 ^k Joint de rupture : 53 ^k Retombées : 33 ^k	1 ^o 3 voûtes longitudinal de 1 ^m 07 sur nu de 0 ^m 50 2 ^o »

1. — Pour le sens de ces abréviations, voir Avertissement, Tome IV, p. II, n° 6.

SÉRIE $\bar{A}^1 r^{1e} (\geq 40^m)$

TABLEAU SYNOPTIQUE

EXÉCUTION										CUBE DE MAÇONNERIE A MORTIER					
GRANDE VOÛTE										Q					
FONDATIONS	CINTRE					MODE DE CONSTRUCTION	DÉCINTREMENT État d'avancement du Pont Temps entre le dernier clarage et le décintrement Date	TASSEMENTS DE LA CLEF sur cintre t_c au décin- trement t_v après t_v''	DÉPENSE						
	FERMES		Cube de bois Poids de fer Dépenses	Totaux	par mq de douelle ²				Total	Fon- dations	Élé- vation	En- semble			
	Type	Nombre													
	Matière	Épaisseur Ecartement d'axe en axe Surhaussement													
Appareils de décintrement															
10	11	12	13	14	15	16	17	18							
Nature du sol	Fixe	3 25 ^{cm} 1 ^m 35	»	»	A pleine épaisseur à partir des retombées	Voûtes d'évidement en construction	t_c 2 ^{mm} (moyenne des 2 têtes) sous le poids de tous les voussoirs	D	9566 ^f	20638 ^f	30204 ^f				
Profondeur sous l'étiage	Montants et contrefiches		»	»	Joint	35 jours	am ¹ aval mm mm t_v' 42.5 38					D : S _p	69 ^f 5	148 ^f 6	218 ^f 1
Pressions sur le sol en kg/cm ²	»		»	»	chaque assise, de mortier à ciment 1 ^v sable 1 ^v 5	»	t_v'' 46.5 44.5 (à 28j.) $t_v' + t_v''$ 59 52.5					D : W	13 ^f 9	29 ^f 9	43 ^f 8
Procédé	Boîtes à sable carrées, en fonte	»													
10	11	12	13	14	15	16	17	18							
Grès quarré dur — 2 ^m	Fixe	3 25 ^{cm} 1 ^m 35	»	»	A pleine épaisseur à partir des retombées	Voûtes d'évidement en construction	t_c 2 ^{mm} (moyenne des 2 têtes) sous le poids de tous les voussoirs	D	9566 ^f	20638 ^f	30204 ^f				
Pression maxima : 9 ^k	Montants et contrefiches		»	»	Joint	35 jours	am ¹ aval mm mm t_v' 42.5 38					D : S _p	69 ^f 5	148 ^f 6	218 ^f 1
Tassements dans des surdeurs	Boîtes à sable carrées, en fonte		»	»	chaque assise, de mortier à ciment 1 ^v sable 1 ^v 5	»	t_v'' 46.5 44.5 (à 28j.) $t_v' + t_v''$ 59 52.5					D : W	13 ^f 9	29 ^f 9	43 ^f 8
Muschelkalk tr. compact, assise — 2 ^m	Cintre du Pont de Teinach $\bar{A}^1 r^{1e} (\geq 40^m)^2$ (Tome III)	5 25 ^{cm} »	»	»	2 rouleaux à partir des retombées.	»	t_c 72 ^{mm} t_v' 30 ^{mm} t_v'' 16 ^{mm} jusqu'à l'achèvement du pont $t_v' + t_v''$ 55 ^{mm}	D	10803 ^f	20229 ^f	40032 ^f				
Pression maxima : 7 ^k	Fixe		»	»	Joint	42 jours						D : S _p	42 ^f 2	112 ^f 6	154 ^f 8
»	Montants et contrefiches		»	»	après la pose de 4 assises à sec.	»						D : W	7 ^f 0	18 ^f 9	25 ^f 9
»	Boîtes à sable	»													
Granit	Fixe	»	»	»		»	t_v' 92 ^{mm} $t_v' + t_v''$ 163 ^{mm} « par suite de fautes dans la confection des maçonneries »	D	3956 ^f	19132 ^f	23088 ^f				
Pression : 18 ^k	Montants et contrefiches		»	»		28 jours						D : S _p	15 ^f 6	75 ^f 1	90 ^f 7
												D : W	3 ^f 0	14 ^f 6	17 ^f 6

Sur le calcul de la surface de douelle, voir Avertissement, Tome IV, p. III, n° 7 — A. 3. S_p = Longueur (col. 2) \times Largeur entre parapets (col. 3) — C'est la surface offerte à la circulation

4. W = Surface vue de l'élévation \times Largeur entre parapets. 5. W' = Surface de l'élévation au-dessus des fondations \times Largeur entre parapets.

Pour S_p , W, W', voir Avertissement, Tome IV, p. III, n° 7 — B.

VOÛTES SEMI-ARTICULÉES ARTICULATIONS SUR PLOMB
ARCS TRÈS SURBAISSÉS
PONTS A UNE SEULE GRANDE ARCHE SOUS ROUTE

SÉRIE \bar{A}^1 1^{re} ($\geq 4(m)$)

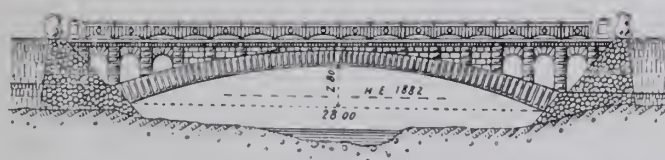
MONOGRAPHIES

PONT SUR L'ENZ, EN AVAL DE HÖFEN¹ (WURTEMBERG)

1885

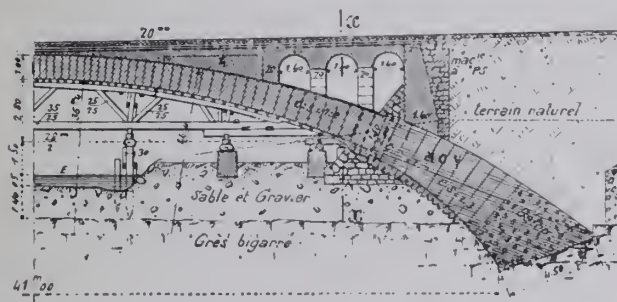
\bar{A}^1 1^{re} ($\geq 4(m)$)

f_1 — Élévation — 2^{mm}

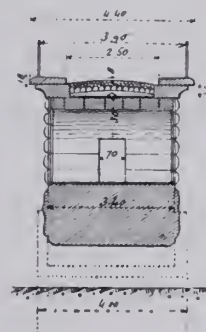


1. Articulations. — C'est un arc en maçonnerie à culées perdues, articulé, pendant sa construction, par des bandes de plomb de 20^{mm} d'épaisseur, occupant le 1/3 central des joints de clef et de retombées.

f_2 — Demi-coupe en long et cintre — 3^{mm}



f_3 — Coupe en travers sur xx de f_2 — 5^{mm}



2. Trottoirs. — Ils sont en encorbellement sur consoles ancrées dans les tympans ; leurs bordures sont protégées par des fers cornières.

1. — Station de la ligne de Pforzheim à Wildbad, à 5^e de Wildbad.

3. Chape. — Le dos de la grande voûte est revêtu de 3^{cm} de mortier de Portland à 1^r 2^r ; — les voûtes d'évidement, de 7^{mm} de feutre asphalté.

La chape, à deux pentes de 2‰ vers l'axe longitudinal, conduit l'eau sous un fer Zorès qui l'écoule derrière les culées.

4. Ciment employé. — A la traction, le mortier à 1^r de ciment de Blaubeuren pour 3^r de sable normal, après un jour sous l'eau et 6 jours à l'air, devait résister au moins à 8^k3 pour le ciment prompt (employé en fondations seulement), à 12^k4 pour le ciment lent.

5. Cintre. — On a employé les boîtes à sable carrées, en fonte, de 25^r de côté, du pont de Teinach².

Le sable, sec, était protégé par une feuille de fer-blanc ; il était, dans les boîtes, de 5^{mm} plus haut qu'au projet.

Les boîtes étaient reliées électriquement à la maison du gardien, qui eût été prévenu de suite d'une descente anormale.

6. Fondations. — Le bas des culées est en béton pilonné à 1^r 3^r 6^r (ciment et grès cassé), avec 30‰ de pierres (grès) posées suivant le rayon.

Le haut est en moellons ordinaires lités, avec 20‰ de mortier de ciment employé sec à 1^r 3^r.

La douelle était appuyée sur une forme de pierres sèches recouverte de mortier de ciment.

7. Exécution de la voûte. — On chargea le cintre de tous les voussoirs : les appuis tassèrent de 1 et 3^{mm}.

Puis on posa les bandes de plomb des retombées³ en soutenant leur bord inférieur par 3 chevilles scellées au plomb dans leur sommier, et saillant de 10^{mm}.

On bouchait le joint avec de l'étoupe.

On a construit la voûte en partant des retombées.

On posait une assise de voussoirs sur lattes en bois tendre de 15^{mm} × 50^{mm} ; on lavait les joints ; puis, on y versait du mortier à l'état de fluide épais (1^r de ciment, 1^r 1 2 de sable), et on l'y enfonçait avec des fers plats.

Aux têtes et en douelle, on bourrait les joints d'étoupe sur 3^{cm} de profondeur.

Pendant la pose des 5 assises voisines des retombées, le joint sec sur plomb s'élargit à l'extrados.

Les 5 dernières assises à la clef furent fermées en même temps.

Après clavage aux retombées, on coula du plomb dans les vides ouverts entre les bandes de plomb et leurs sommiers.

La voûte a été faite en 7 jours 1/4 par deux équipes de 4 maçons et 4 manœuvres.

2. — \bar{A}^1 r^{te} ($\geq 40^m$)² — Tome III.

3. — Longueur 1^m05 ; intervalle entre les bandes 0^m10.

8. Décintrement. — Il fut fait en 3 fois par 21 hommes.

	Nombre		Tassements	
	de jours après clavage	d'abaisséments de 3 ^{mm}	totaux en mm	
			amont	aval
1 ^{re} opération	15	6	19,5	15,5
2 ^e opération	28	3	30	26
3 ^e opération	35	4	42,5	38

On n'observa pas de fissures.

On acheva les voûtes d'évidement, les tympans ; on posa le couronnement.

4 semaines après le décintrement, 9 semaines après le clavage, l'ouvrage étant terminé, le tassement atteignait : à l'amont, 59^{mm} ; à l'aval, 52^{mm}5.

Il n'a plus augmenté.

9. Variation en mm de l'épaisseur des lames de plomb (épaisseur initiale : 20^{mm}) (augmentation + ; diminution —).

Largeur des bandes :	Clef 0 ^m 35				Retombées 0 ^m 50							
	amont		aval		Rive gauche				Rive droite			
					amont		aval		amont		aval	
	extr.	intr.	extr.	intr.	extr.	intr.	extr.	intr.	extr.	intr.	extr.	intr.
après clavage	+1	+3	-3	+4	+9	-8	+6	-1.5	+13	-6	+12	-2
au { 1 ^{re} opération	0	+1	-4	+4	+10	-8.5	+6	-3	+13	-7.5	+12	-3
2 ^e —	0	+1.5	-4.5	+4	+10	-9	+6.5	-4	+13	-8	+12	-3.5
décintrement { 3 ^e —	-1	+2.3	-5.5	+4.8	+10.5	-9.5	+6.5	-4.5	+13.6	-8.5	+12.4	-4.1
après achèvement du pont.	-1.4	+2.3	-5.7	+4.7	+10.3	-9.5	+6.3	-4.6	+13.4	-8.9	+12.2	-4.3

A la clef, les bandes de plomb restèrent constamment en contact sur toute leur largeur avec les moellons.

Si le centre de pression est au 1/6 supérieur de la bande, la pression maxima est : sur l'arête supérieure, 124^k ; sur la maçonnerie, 29^k1.

Aux retombées, les bandes de plomb ne portaient plus à l'extrados et ne portaient que sur 35^{cm} à l'intrados.

Dans le cas le plus défavorable, la pression maxima sur l'arête inférieure du plomb est 134^k3, et, sur la maçonnerie, moins de 23^k8.

10. Comment on a condamné les articulations. — L'ouvrage achevé, les joints vides ont été remplis de mortier de ciment.

11. Epreuves.

		Tassements à la clef en <i>mm</i> , le rouleau			
		passant vite		immobile	
		amont	aval	amont	aval
Rouleau compresseur..	vide : 5 ⁺ t.....	0,2	0,3	0,15	0,15
	chargé : 11 ⁺ t....	de 0,4 à 0,65	de 0,4 à 0,8	0,35	0,35

Pas de tassement permanent.

12. Dépenses ⁴.

Fondations (partie cachée)	{	Fouilles et épaissements.....	4.178 ^f	{	9.566 ^f
		Béton et maçonnerie de moellons ordinaires lités	4.980 ^f		
		Pierres sèches et divers.....	408 ^f		
Élévation (partie vue)	{	Charpentes et cintres.....	5.373 ^f	{	20.638 ^f
		Maçonnerie.....	11.542 ^f		
		Garde-corps (43 ^f le mètre-courant)...	2.295 ^f		
		Plomb.....	617 ^f		
		Asphalte, fers (cornières des bordures, ancrage), divers.....	811 ^f		
Dépense totale.....					30.204 ^f

13. Personnel.

Projet : M. Leibbrand, « Kgl. Ober-Baurath ».

Travaux : { Direction générale : M. Stuppel « Königl. Bauinspector » à Calw.
 Conduite : M. Paul Braun, « Königl. Regierungs-Baumeister ».

⁴. — 1 Mark = 1'234.

SOURCE :

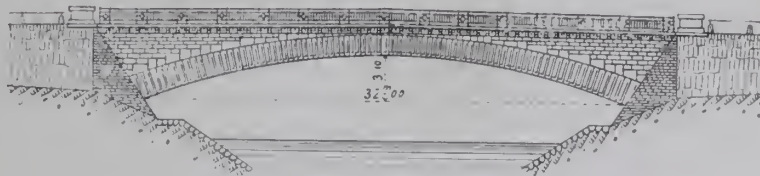
S₁. — Zeitschrift für Bauwesen 1888, p. 235 à 260, Pl. 38 à 40 : « Steinbrücken mit gelenkartigen Einlagen » ; - p. 242 à 250, Pl. 38 : « Brücke über die Enz bei Höfen », - Stuttgart, novembre 1887, Leibbrand, Kgl. Ober-Baurath.

PONT SUR LA MURR, PRÈS DE MARBACH¹ (WURTEMBERG)

1886-1887

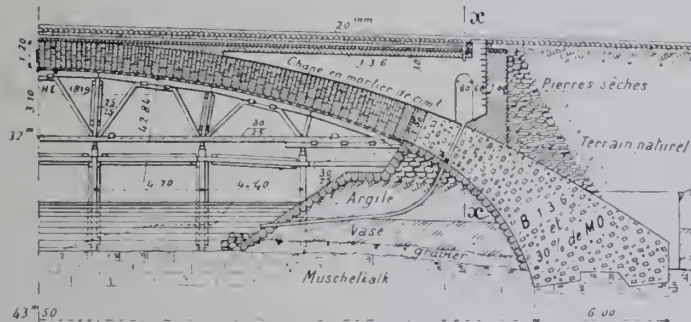
$\bar{A}^1 r^{10} (\geq 40m)^2$

f_1 — Élévation — 2^{mm}

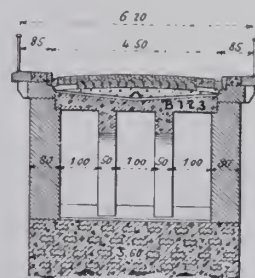


1. Articulations. — C'est un arc en maçonnerie à culées perdues, articulé, pendant sa construction, par des bandes de plomb de 2^{mm} occupant le 1/3 central des joints de clef et de retombées.

f_2 — Demi-coupe en long et cintre — 3^{mm}



f_3 — Coupe en travers sur xx' de f_2 — 5^{mm}



2. Plinthes. — Les plinthes, en grès, sont en encorbellement sur consoles ancrées.

3. Chape. — On a étendu sur le dos de la voûte une couche de mortier à 1^v 2^v; et, sur la plate-forme que portent les murs d'élégissement, un feutre asphalté de 7^{mm}.

4. Matériaux des culées. — Pour aller plus vite, on les a faites en béton (ciment 1^v, sable 3^v, pierre cassée calcaire et gros gravier 6^v, et 30 % de moellons calcaires).

Le béton résistait à la compression, à 5 mois, en cubes de 30^{cm} d'arête :

	avec gravier	avec muschelkalk cassé au lieu de gravier
avec ciment { prompt (sous l'eau)	86 ^k à 107 ^k	»
/ lent (au-dessus de l'eau)	121 ^k à 135 ^k	119 ^k à 151 ^k

1. — Au confluent de la Murr et du Neckar. Station de la ligne de Bietigheim à Backnang, à 12^{km} de Bietigheim.

5. Cintre. — On a réemployé celui du pont de Teinach sur la Nagold², construit 5 ans avant.

Sous la moitié des matériaux de la voûte, il tassa irrégulièrement, soit parce que les bois étaient pourris, soit parce que ses appuis ont cédé.

On le déchargea, puis on le redressa.

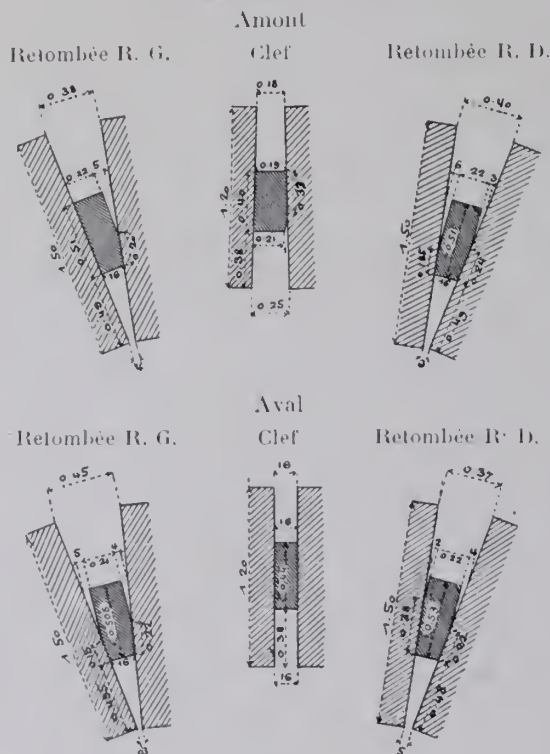
6. Exécution de la voûte. — A partir des retombées, la voûte a été construite en 21 jours en deux rouleaux.

En douelle, on posait 4 assises avec joints secs maintenus par des lattes de 20^{mm}; puis on fichait du mortier (ciment 1^v, sable 2^v).

Le quentage est en moellons bien équarris.

Pendant la construction, le cintre tassa de 55^{mm}, et il se produisit, à la 1^{re} 2 voûte rive droite, quelques fissures que l'on boucha immédiatement.

f_1 — Mouvements des joints d'articulation,
au décintrement — 2^m



7. Décintrement. — On décintra en 13 jours, 6 semaines après le clavage.

On n'a pas constaté de fissures, ni de recul des culées.

Les joints sur plomb s'étaient comprimés à l'extrados de la clef et à l'intrados des retombées, et ouverts à l'intrados de la clef et à l'extrados des retombées (f_1).

La pression maxima était, sur l'arête de contact :

à la clef (pour une largeur de 33^{cm}) 72^k

aux retombées (pour une largeur de 22^{cm}) 120^k

8. Comment on a condamné les articulations. — Deux semaines après le décintrement, les tympans construits, on coula du plomb dans les vides ouverts entre les bandes et les voussoirs, puis on ferma le reste du joint au mortier de ciment à 1^v 2^v.

9. Dépenses³.

Fondations (partie cachée)	{	Fouilles et épuisements.....	4.220 ^t	{	10.803 ^t
		Béton.....	6.583 ^t		
Elévation (partie rue)	{	Cintre. — Pont de service.....	3.147 ^t	{	29.229 ^t
		Voûte.....	9.493 ^t		
		Plomb.....	886 ^t		
		Asphalte.....	390 ^t		
		Garde-corps.....	2.345 ^t		
		Maçonnerie au-dessus de la voûte.....	9.014 ^t		
		Divers.....	3.954 ^t		
Dépense totale					40.032 ^t

10. Personnel.

Projet : M. Leibbrand, « Kgl. Ober-Baurath ».

Travaux { Direction générale : M. Gulde, « Kgl. Bauinspector ».
 { Conduite : M. Fleischhauer, « Kgl. Regierungsbaumeister »

3. — 1 Mark = 1^{fr}234.

SOURCE :

S₁. — Zeitschrift für Bauwesen, 1888, p. 235 à 260, Pl. 38, 39, 40 : « Steinbrücken mit gelenkartigen Einlagen » ; — p. 254 à 258, Pl. 40 : « Brücke über die Murr bei Marbach », Stuttgart, novembre 1887, Leibbrand, Kgl. Ober-Baurath.

PONT SUR LA MURG, EN AVANT DE BAIERSBRONN¹ (WURTEMBERG)

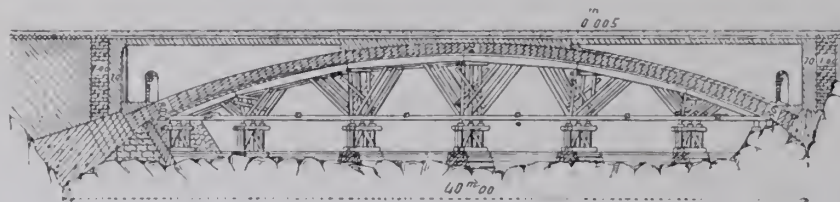
1889

\overline{A}^1 1^{re} (40m)³

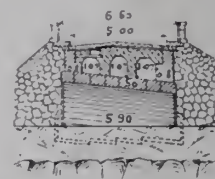
f_1 — Élévation — 2mm



f_2 — Coupe en long et cintre — 2mm5



f_3 — Coupe en travers sur xx' de f_1 — 2mm



1. — Station de la ligne de Freudenstadt à Klosterreichenbach, à 86 de Freudenstadt.

SOURCE :

S_1 . — Fortschritte der Ingenieurwissenschaften, - Zweite Gruppe, 7 Heft ; « *Geordnete Brücken* », von Karl von Leibbrand, Präsident der K. Württ. Ministerial-Abteilung für den Strassen- und Wasserbau, Leipzig, 1897.

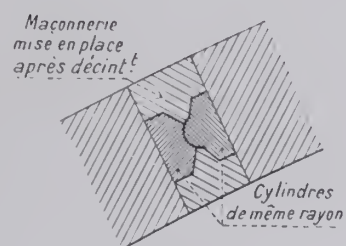
S'_1 . — Tableaux statistiques, p. 50-51 et 52-53.

S''_1 . — Dessins : Pl. I, fig. 6 à 10.

VOUTES SEMI-ARTICULÉES ¹

ARTICULATIONS

A GENOU ¹



Symbole : ¹



1. — Voir Tome IV, Livre I :

p. 28, — pour la définition des voûtes « semi-articulées ».

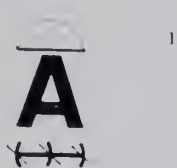
p. 26, — pour la définition des articulations « à genou ».

p. 28 et 29, — pour le sens du symbole.

VOÛTES SEMI-ARTICULÉES ¹

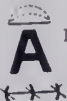
ARTICULATIONS A GENOU ¹

ARCS TRÈS SURBAISSÉS ¹

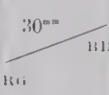


PONTS A UNE SEULE GRANDE ARCHE

SOUS ROUTE

Série  ¹ r^{te} ($\geq 40^m$) ¹

PONT A UNE SEULE GRANDE ARCHE SOUS ROUTE

PONT	PROJET							
	ENSEMBLE		GRANDE VOÛTE					1° ÉVIDEMENT DES TYMPANS
	Longueur <i>entre abouts des parapets</i>	Largeurs <i>entre parapets entre tympans sous la plinthe</i>	INTRADOS Portée Montée Surbaissement Rayons	ÉPAISSEURS CORPS ET TÊTES Clef Joints <i>de rupture</i> Retombées	ROTULES <i>Pour les dimensions, rayons, pressions,...</i> <i>voir Tome IV, Livre III.</i>	MATÉRIAUX Mortier Poids, <i>pour 1^m de sable, de chaux ou de ciment</i>	PRESSIONS <i>en kg/0^m01²</i> Hypothèse <i>adoptée</i> Surcharges supposées	
Date	2	3	4	5	6	7	8	9
Symbole	1	2	3	4	5	6	7	9
de Munderkingen Wurtemberg 1893 A ¹ r ^{te} (40 ^m) ¹	68 ^m 59  30 ^m RD RD 7 ^m 20	8 ^m 00 7 ^m 10 Pas de fruit 0 ^m 50	Arc d'anse de panier à 3 centres Sur le sol de fondation, Portée : 59^m00 Au-dessus du sol : 50^m00 5^m00 $\frac{1}{10} = 0,10$ Rayons : à gauche de la clef : 6 ^m 5 ^m à droite : Cerneau : 6 ^m 70 Reins : 40 ^m	1 ^m 00 4 ^m 10 4 ^m 10	Rotules d'acier prises dans des caissons en tôle,	B ¹ Ciment lent... 1 ^r (Oberschwäbischen Cement- werke, Ehingen, Blaubeuren) Sable 2 ^r Gravier 5 ^r	Clef..... 35 ^k 3 Joint de rupt. 37 ^k 9 39 ^k 2 Re- tomb. 35 ^k 5 37 ^k 0 » 400 ^k m ²	1° 2 étages de voûtes longitudinal de 0 ^m 90, sur murs de 0 ^m 30 2° Bandeaux en mortier de ciment coloré, à 1 ^r , 2 ^r

SÉRIE A¹ r^{1e} (≥ 40m)

TABLEAU SYNOPTIQUE

EXÉCUTION										CUBE DE MAÇONNERIE A MORTIER		
GRANDE VOÛTE										Q		
FONDATIONS	CINTRE				MODE DE CONSTRUCTION	DÉCINTREMENT État d'avancement du pont Temps entre le dernier clavage et le décintrement Date	TASSEMENTS DE LA CLEF sur cintre t _c au décin- trement t _v après t _v	DÉPENSE				
	FERMES		Cube de bois Poids de fer Dépenses					D				
	Type Matière Appareils de décintrement	Nombre Épaisseur Ecartement d'axe en axe Surhaussement	Totaux	par mq de douelle 2				Totaux et par unité de surface utile S _p ³ de volume « utile » W ⁴				
10	11	12	13	14	15	16	17	18				
Nature du sol												
Profondeur sous l'étiage												
Pressions sur le sol en kg 0m01 ²												
Pressions sur le sol												
en kg 0m01 ²												
Procédé												
10	11	12	13	14	15	16	17	18				
Rive droite :												
Rocher	Fixe				A pleine							
»		5	»	»	épaisseur	»						
Pression normale :	Montants											
15 ^k	et	2 ^f										
»	contrefiches	1 ^m 85	»	»								
Rive gauche :					4 attaques	28 jours						
Girier			8761 ^f	22 ^f 6								
»												
Pression verticale :	»				Tranches							
MAN..... 3 ^k		120 ^{mm}			de 1 ^m à 1 ^m 50	4 septembre						
MAN..... 2 ^k 1												
horizontale :												
ans frottement :												
3 ^k 5	Coins											
ec frottement	en chêne											
de 0.7	à 1 12											
1 ^k 2												
Pilotis												
et												
Épaulements												

Pour le calcul de la surface de douelle, voir Avertissement, Tome IV, p. III, n° 7 - A. 3. S_p = Longueur (col. 2) × Largeur entre parapets (col. 3) = C'est la surface offerte à la circulation.
4. W = Surface vue de l'élévation × Largeur entre parapets. 5. W' = Surface de l'élévation au-dessus des fondations × Largeur entre parapets.
Pour S_p, W, W', voir Avertissement, Tome IV, p. III, n° 7 - B.

VOÛTES SEMI-ARTICULÉES ARTICULATIONS A GENOU
ARCS TRÈS SURBAISSÉS
PONTS A UNE SEULE GRANDE ARCHE SOUS ROUTE

SÉRIE $\bar{A}^1_{\pm 3}$ 1^{re} ($\geq 40^m$)

MONOGRAPHIES

PONT SUR LE DANUBE, A MUNDERKINGEN¹ (WURTEMBERG)

1893

$\bar{A}^1_{\pm 3}$ 1^{re} ($\geq 40^m$) 1

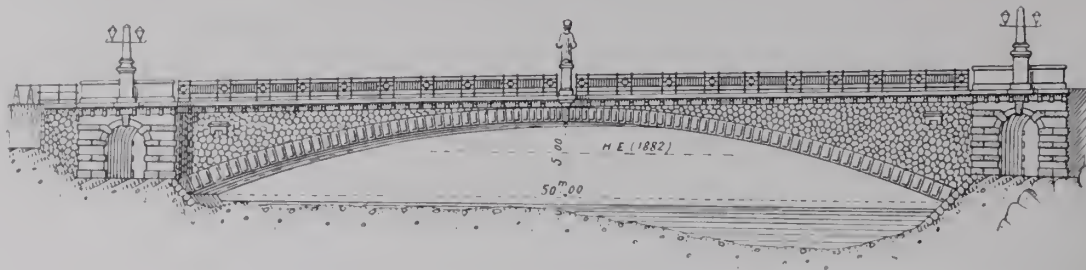
Φ_1 S_2



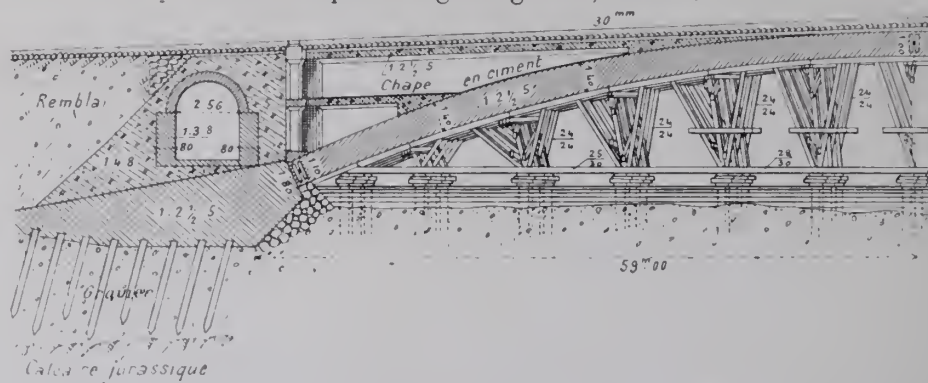
1. Pourquoi on a fait la voûte en béton. — Parce qu'on avait sur place du sable et du gravier excellents, — qu'on était près d'usines à ciment, — que l'arche est biaise (75°).

2. Courbes d'intrados et d'extrados. — Elles ont été définies par la condition que la fibre moyenne coïncidât avec la courbe de pression dans la voûte uniformément surchargée.

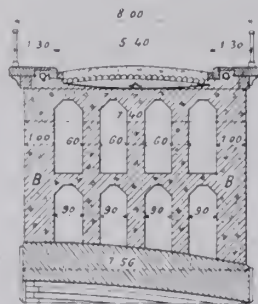
1. — Station de la ligne d'Ulm à Immendingen, à 44^m9 d'Ulm.

$$f_1 = \text{Elevation amount} = 2^{\text{mm}}$$


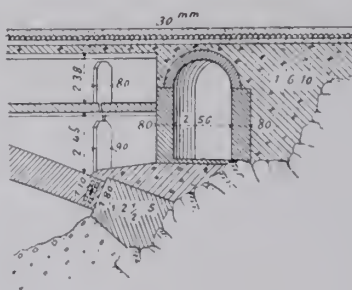
f₂ — Demi-coupe en long rive gauche, et cintre — 3^m



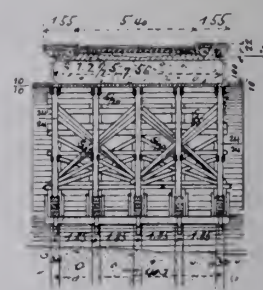
f₁ — Coupe en travers
aux retombées — 4^{mm}



f_3 — Culée rive droite — 3^{mm}

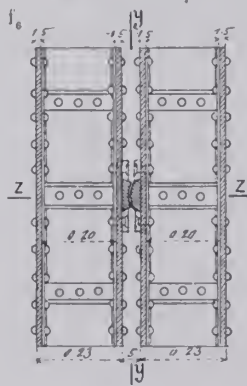


f₃ — Coupe en travers
à la clef — 3mm

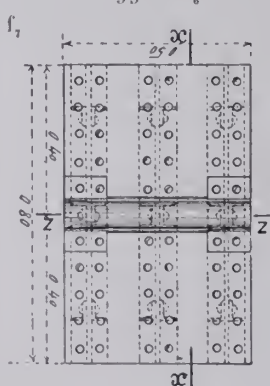


Rotule et Caisson
Coupes — 5^{cm}

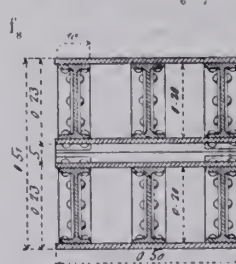
sur \mathcal{X} de f_7



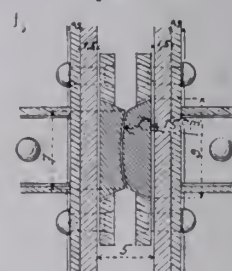
sur yy de f_6



sur zz de f_6, f_7



Rotule
Coupe — 15^m



3. Articulations (f_6 à f_8). — Chaque charnière a 12 rotules de 0^m50 de longueur, disposées en échelons à cause du biais.

Une rotule comprend deux pièces d'acier de 70^{mm} de largeur, 25^{mm} d'épaisseur, à surfaces de contact polies suivant des surfaces cylindriques de 15^{cm} de rayon (f_9).

Elles sont encastrées dans des caissons en tôle (f_6 à f_8), appuyés sur des blocs de béton moulé de 110^{cm} \times 63^{cm}.

Chaque rotule avec ses caissons coûte 142^f et pèse : tôle d'acier doux, 385^k; acier fondu, 16^k.

Φ_2 (S₂)



4. Joints de dilatation dans les tympans. — Au-dessus des articulations des naissances, on a ménagé des joints vides, masqués par les pilastres en saillie des petites arches de rive. Ils sont recouverts sous la chaussée et sous les trottoirs par deux fers Γ pouvant glisser l'un sur l'autre.

5. Parements. — Les têtes de la grande voûte sont crépies au mortier coloré en rouge. Les bandeaux des petites voûtes de rive, les consoles et les plinthes sont en béton moulé.

Tous ces parements jouent le grès rouge.

Les tympans sont en moellons calcaires, à joints incertains.

6. Chaussée et trottoirs. — Sur le béton (f_1), on a étalé une couche de ciment, puis 7^{mm} d'asphalte; dessus, du sable, puis l'empierrement.

Un fer en Λ , posé sur la chape, conduit l'eau à la culée rive gauche, la plus basse.

Les trottoirs, asphaltés, sont en encorbellement de 0^m30 sur consoles en béton moulé.

Le garde-corps est en fer (68^k à 0^m60 par mètre courant).

7. Matériaux.

A. Composition du béton.

		Composition en volume Ciment 1 ^v		Poids de ciment pour 1 ^{mc} de béton en œuvre
		Sable	Gravier	
Béton damé	Fondations			
	\ sans blocs noyés.....	2 ^v 5	5 ^v	238 ^k
	/ avec 1/4 de blocs noyés.....	4	8	191
	Voûte			
	\ sans blocs noyés.....	2 5	5	253
	/ mortier de tête coloré.....	2		244
Béton moulé	Autres parties.....	3	6	250
		4	8	200
		5	10	164
	non coloré.....	2 5	5	407
	coloré	2 5	5	302
	supplément de ciment coloré.....			20

Dans les fondations seulement, le béton a été fait à la main.

On a employé dans l'ouvrage 552 tonnes de ciment.

B. Béton de la voûte. — Le ciment à prise lente pour la voûte était moulu très fin : pas de résidu sur le tamis à 900 mailles par $\overline{0^m01^2}$, 15 % sur le tamis à 5000 mailles.

A 7 jours, le mortier à 1 pour 3 de sable normal résistait en moyenne à 29^k à la traction.

D'après les essais, le meilleur dosage a été : 1 - 2,5 - 5.

Voici la résistance du béton ainsi dosé, sortant de la bétonnière :

Durée d'exposition à l'air	Arêtes des cubes essayés	Nombre d'expériences	Résistances à la compression, en Kg $\overline{0^m01^2}$		
			minima	maxima	moyenne
7 jours	10 ^m	10	146 ^k	270 ^k	209 ^k
28 jours	10	10	208	326	262
5 mois	20	4	333	358	343
2 ans 7 mois	20	4	526	537	532

Le sable et le gravier étaient soigneusement lavés.

8. Fondations. — La culée rive gauche est fondée sur 145 pieux battus avec une inclinaison de 15°.

Sur le fond nettoyé, on a coulé, sous 0^m50 d'eau, du béton à prise rapide; puis, au-dessus de l'eau, le béton lent, tenu sec.

Chaque pieu porte : suivant son axe, 34^t8; transversalement, en tenant compte du frottement du béton sur le sol (0,7), 10^k3 par $\overline{0^m01^2}$ (1/12 de sa résistance transversale).

9. Exécution de la voûte. — On posa les rotules des naissances ; on chargea le cintre de 25 tonnes ; puis on pilonna le béton par couches de 30^{cm}, en tranches de 1^m à 1^m50, entre deux cloisons transversales ayant deux échelons à cause du biais.

Toutes les parois étaient recouvertes de gros papier huilé : en douelle et sur les têtes, étaient cloués des liteaux pour simuler des joints.

On bétonnait à partir des retombées, alternativement une tranche rive droite et une tranche rive gauche. On enlevait les cloisons 3 heures après le bétonnage.

Quand les faces bétonnées paraissaient sèches, on les enduisait de mortier de ciment pour les relier au béton suivant.

Lorsqu'on fut ainsi arrivé à 8^m des retombées, on établit sur le cintre, à 16^m des retombées, un appui permettant une nouvelle attaque qui a été poussée jusqu'à 2^m de la clef : on a ainsi construit en 4 tronçons.

Avant de couler le béton des têtes, on appliquait contre les cloisons de tête, une couche de 10^{cm} de mortier sec (ciment coloré 1°, sable fin 2°).

10. Mouvement des rotules des retombées. — Les abouts du cintre ayant tassé pendant la construction de 6^{mm}5 à 14^{mm}, les rotules d'acier furent déplacées.

On enleva le béton autour des caissons ; on boulonna entre eux les deux caissons d'une même rotule, et on les suspendit à la culée.

On boulonna de même entre elles les deux pièces des rotules de clef et on les maintint en place au moyen de coins en fer posés sur le cintre.

Après le clavage, on enleva les boulons pour permettre le jeu des rotules.

On avait mouillé le cintre pendant le bétonnage et on le laissa sécher après clavage. Pour le cas où une pluie l'aurait de nouveau gonflé, on l'abaissa, 10 jours après clavage, de 30^{mm}.

11. Tassements de la clef après le clavage.

Dates	Opérations	Température à 8 ^h du matin	Abaissements totaux à la clef, en mm			
			observés		ramenés à + 10° c ²	
			amont	aval	amont	aval
1893						
7 août	Clavage	15°	»	»	»	»
17 —	Avant le 1 ^{er} abaissement du cintre, de 30 ^{mm}	10°	23	7	23	7
22 —	Après — — —	12°	43	40	45	42
4 septembre	Avant le 2 ^e abaissement du cintre ³	8°	45	34	43	32
	Après le décintrement complet	16°	75	72	82	79
19 —	»	12°	93	82	95	84
26 octobre	»	10°	127	122	127	122
1894						
18 janvier	»	-3°	147	144	133	130

2. — On a admis comme coefficient de dilatation du béton $8,8 \times 10$. — Le mouvement vertical à la clef correspondant est de 1^{mm}1 pour 1° centigrade.

3. — Les coins (en chêne au 1/12°) descendirent très difficilement.

12. Comment on a condamné les articulations. — Le 26 octobre 1893, on condamna les articulations au mortier (ciment 1^v, sable 2^v).

13. Dépenses (non compris les abords).

Fondations.....	17.276 ^f
Cintre.....	8.761 ^f 40
Pont proprement dit.....	49.853 ^f 60
Surveillance et divers.....	11.723 ^f
Total.....	87.614 ^f

14. Quelques prix d'unité. — Le mètre cube de béton a coûté :

comme fabrication.....	2 ^f 17
en œuvre.....	5 ^f 55

Le salaire d'un ouvrier était de 3^f 24.

15. Personnel.

Projet et Direction générale des Travaux : M. le Président Leibbrand.

Conduite des Travaux : M. Euting « Oberbaurath » à Stuttgart ;

M. Braun « Strassenbauinspector » à Ehingen.

Entrepreneur : M. Max Buck, d'Ehingen.

SOURCES :

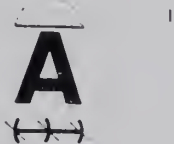
S₁. — Zeitschrift für Bauwesen, 1894, p. 544 à 558, Pl. 64 et 65 : « Betonbrücke über die « Donau bei Munderkingen », — Président Leibbrand, — Stuttgart, février 1894.

S₂. — Ce que j'ai vu — août 1908.

VOÛTES SEMI-ARTICULÉES ¹

ARTICULATIONS A GENOU ¹

ARCS TRÈS SURBAISSÉS ¹



(Suite)

PONTS A UNE SEULE GRANDE ARCHE

SOUS CHEMIN DE FER A VOIE NORMALE

Série  ¹ F¹¹ ($\geq 40^m$) ¹

1. — Pour le classement des voûtes articulées et le sens des symboles, voir Tome IV, Livre I, p. 28 et 29.

PONTS A UNE SEULE GRANDE ARCHE SOUS CHEMIN DE FER

PONT		PROJET																		
		ENSEMBLE		GRANDE VOÛTE																
Date	Longueur <i>entre abouts des parapets</i>	Largeurs <i>entre parapets entre tympan sous la plinthe</i>	INTRADOS Portée Montée Surbaissement Rayon	ÉPAISSEURS CORPS ET TÊTES Clef Retombées	ROTULES <i>Pour les dimensions, rayons, pressions, ... voir Tome IV, livre III.</i>	MATÉRIAUX Mortier Poids, pour 1 ^{me} de sable, de chaux ou de ciment	PRESSIONS en kg 0 ^m 01 ² Hypothèse adoptée Surcharges supposées	ÉVIDEMENT DES TYMPANS 2 ^o DÉCORATION DES TÊTE												
1	2	3	4	5	6	7	8	9												
de Morbegno <i>Italie</i> 1902-1903 A ¹ 1 ^{er} (— 40 ^m) 1 ^{er}	117 ^m 15 0 12 ^m 56 étaie	4 ^m 50 5 ^m 00 Fruit : 1/20 1/06 jusqu'à 1-dessus du rail	Arc d'anse de panier à 3 centres 70 ^m 00 10 ^m 00 1/i = 0,143 Rayons : Cerceau : 7 1 ^m sur 27° 31' 30" Reins : 50 ^m 606 sur 21° 53' 22"	1 ^m 50 2 ^m 20	Rotules d'acier prises dans des caissons en tôle,	PT 1 Granit (1100 ^k) Ciment — 600 ^k	Pression maxima : <table><tr><th></th><th>sans sur- charge</th><th>avec sur- charge</th></tr><tr><td>Clef</td><td>38^k 4 (intr.)</td><td>47^k 3 (extr.)</td></tr><tr><td>Reins</td><td>43^k 8 (extr.)</td><td>55^k 4 (extr.)</td></tr><tr><td>Re- tomb.</td><td>29^k 5 (extr.)</td><td>46^k 9 (extr.)</td></tr></table> avec refroidissement de 34° Clef : 69 ^k 4 (extr.) Reins : 70 ^k 1 (intr.) Arc élastique Méthode Ritter 5750 ^k 1 ^{me}		sans sur- charge	avec sur- charge	Clef	38 ^k 4 (intr.)	47 ^k 3 (extr.)	Reins	43 ^k 8 (extr.)	55 ^k 4 (extr.)	Re- tomb.	29 ^k 5 (extr.)	46 ^k 9 (extr.)	1 ^o 8 voûtes transversa- les, en plein cint de 4 ^m 50, en béton, sur piles de 1 ^m 10. On a artic à la clef et aux re celles au-dess des articulati de retomb de la grande voûte 2 ^o Archivolte
	sans sur- charge	avec sur- charge																		
Clef	38 ^k 4 (intr.)	47 ^k 3 (extr.)																		
Reins	43 ^k 8 (extr.)	55 ^k 4 (extr.)																		
Re- tomb.	29 ^k 5 (extr.)	46 ^k 9 (extr.)																		

— Pour le sens de ces abréviations, voir Avertissement, Tome IV, p. II, n° 6.

A VOIE NORMALE

SÉRIE \bar{A}^1 I^r ($\geq 40m$)

TABLEAU SYNOPTIQUE

EXECUTION										CUBE DE MAÇONNERIE A MORTIER	
GRANDE VOÛTE										<u>Q</u>	
FONDATIONS	CINTRE					MODE DE CONSTRUCTION	DÉCINTREMENT État d'avancement du pont Temps entre le dernier clavage et le décintrement Date	TASSEMENTS DE LA CLEF sur cintre t_c au décin- tremement t_v' après t_v''	DÉPENSE <u>D</u> Totaux et par unité	de surface utile S_p^3 de volume « utile » W^4	
	FERMES		Cube de bois Poids de fer Dépenses		Totaux						par mq de douelle ²
	Type	Nombre	Écartement d'axe en axe Surhaussement								
	Matière	Épaisseur									
Nature du sol	Appareils de décintrement										
Profondeur sous l'étiage											
Pressions sur le sol en kg (mm) ²											
Procédé											
10	11	12	13	14	15	16	17		18		
Active droite :					3 rouleaux						
Rocher	Fixe	5			A chaque						
»		25 ^m			rouleau,						
»	Montants				10 tronçons			$t_v' = 126^{mm}$		D = 364 000 ^f	
»	et	1 m 40			limités					D : $S_p = 690^f 5$	
Active gauche :	contrefiches				au droit	28 jours				D : $W = 74^f 6$	
A l'urton					des montants						
solide	»				du cintre.						
»											
»		120 ^{mm}			Joints secs						
Béton :	Coins				au droit des	4 mai					
Portland 400 ^k	à 3 pièces				autres points						
ble 1 ^{re}					fixes.						
marier 1 ^{re} 7											

Sur le calcul de la surface de douelle, voir Avertissement, Tome IV, p. III, n° 7 — A. 3. S_p = Longueur (col. 2) \times Largeur entre parapets (col. 3) — C'est la surface offerte à la circulation

4. W = Surface vue de l'élévation \times Largeur entre parapets. 5. W' = Surface de l'élévation au-dessus des fondations \times Largeur entre parapets

Pour S_p , W , W' , voir Avertissement, Tome IV, p. III, n° 7 — B.

VOÛTES SEMI-ARTICULÉES ARTICULATIONS A GENOU
ARCS TRÈS SURBAISSÉS

PONTS A UNE SEULE GRANDE ARCHE
SOUS CHEMIN DE FER A VOIE NORMALE

SÉRIE \bar{A}^1 $P^r \geq 40m$

MONOGRAPHIES

PONT SUR L'ADDA, PRÈS DE MORBEGNO (ITALIE - Valteline)

Ligne de Colico à Sondrio¹

1902-1903

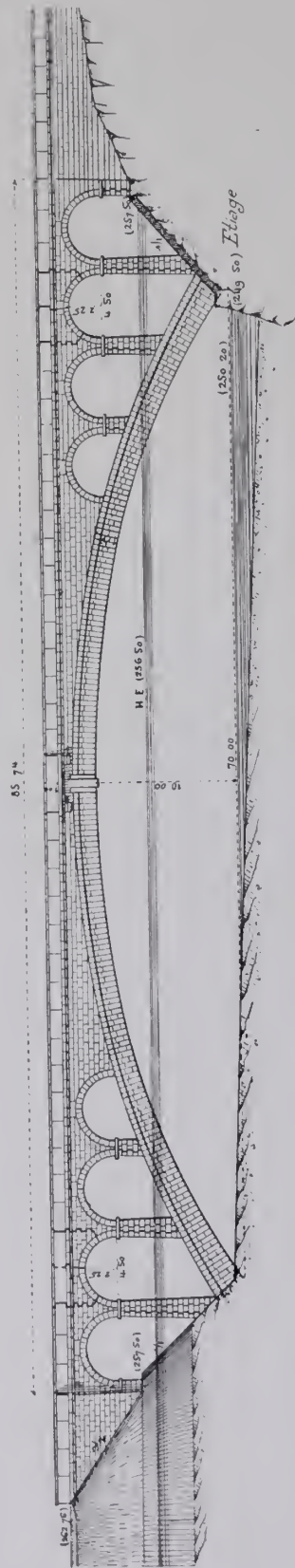
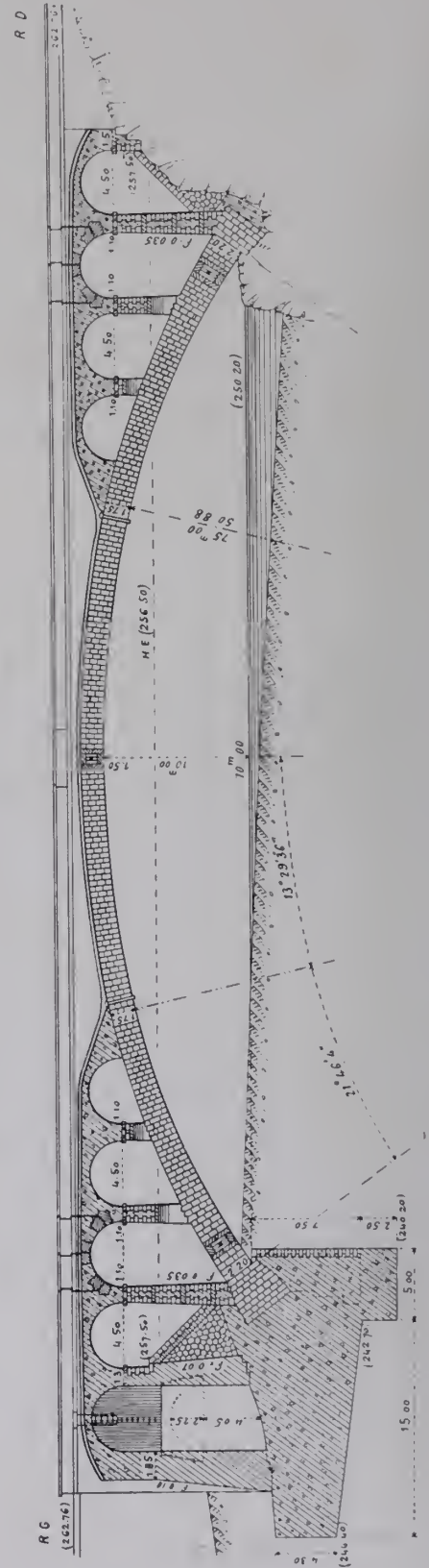
\bar{A}^1 $P^r \geq 40m$

Φ_1 (S_6)



1. Pourquoi on a fait une grande voûte. — Parce que les crues de l'Adda, subites et violentes (S_3), auraient bousculé des fondations en rivière.

1. — Ligne électrique à 1 voie normale. — Le pont est au Pⁿ 19'979 (S''_1).

f_1 — Élévation, amont — 2mm f_2 — Coupe en long — 2mm

2. Aspect. — Le pont a même aspect général, même archivolt, que le pont Antoinette².


 $\Phi_2 (S_c)$

3. Intrados (S'_1).

		Projet	Exécution Clef surélevée de 120mm
Cerveau	Rayon de l'arc de cercle.....	75 ^m	74 ^m
	Amplitude.....	26°59'12"	27°31'30"
Reins	Rayon de l'arc de cercle.....	50 ^m 88	50 ^m 696
	Amplitude de chaque côté.....	21°46'4" (S'_1)	21°53'22"

4. Extrados. — Il est défini par la condition que la fibre moyenne soit la courbe de pression sous le poids propre (S_2).

L'épaisseur e de la voûte varie de 1^m50 à la clef à 2^m20 aux retombées, suivant la formule :

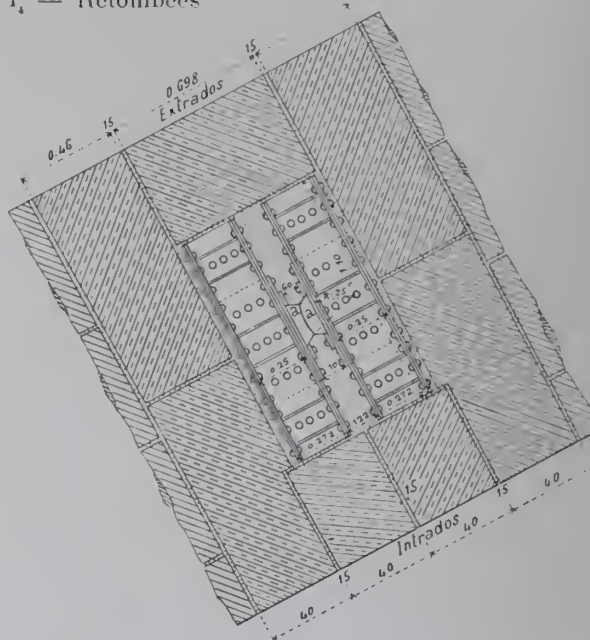
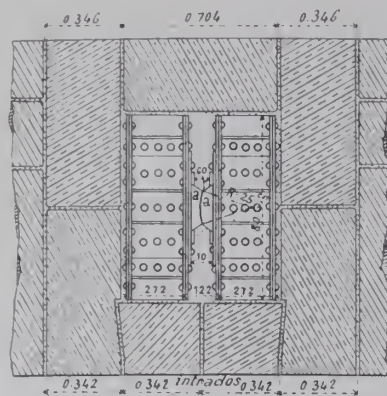
$$e = 1^{\text{m}}50 + 0,000841 x^2 \quad (S'_1)$$

5. Articulations. — Ce sont des blocs d'acier aa (f_3, f_4), à surface de contact cylindrique, pris dans des caissons en tôle.

Articulations — Coupes — 3^{cm}

f_3 — Clef

f_4 — Retombées



Les pierres de taille condamnant les articulations, n'ont été mises en place qu'après décaissement et achèvement des maçonneries.

Avant qu'on ait condamné les articulations (S_7)

Φ_3 — Clef



Φ_4 — Retombées



6. Dispositif permettant aux tympans de suivre les mouvements de la grande voûte (S'_1) ($\Phi_3; f_3, f_6$). — Les voûtes d'évidement sont en béton (mortier de ciment à 600^k, — 1^{mc}7 de gravier) (S_3).

Celles au-dessus des articulations des retombées (les troisièmes à partir de la clef) sont elles-mêmes articulées à la clef et aux reins.

Les voussoirs de granit AA', BB', CC' (f_6), sont taillés en j , suivant deux surfaces cylindriques de 1^m555 et 1^m580 de rayon, roulant l'une sur l'autre.

Φ_5 — Voûtes d'évidement articulées au-dessus des retombées de la grande voûte (S_0)



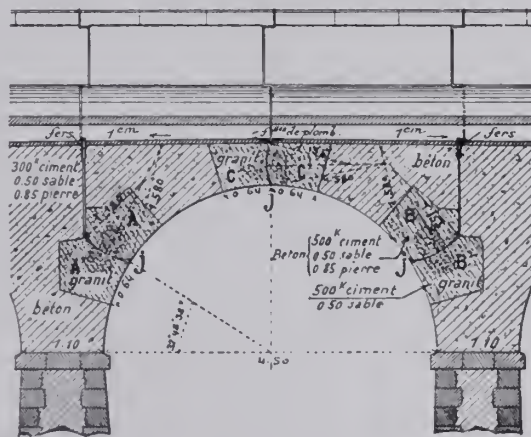
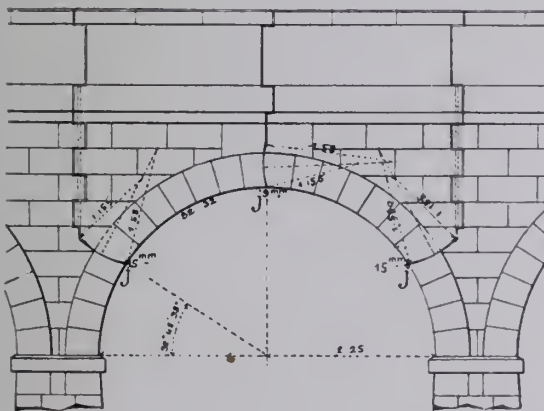
A j correspondent, dans les tympans et le couronnement, des joints de 20mm laissés vides.

Ils sont fort apparents (Φ_3).

Articulations des voûtes d'évidement au-dessus des retombées de la grande voûte

Jointed voids in the tympana — 10^m f_5 — Élévation

f₆ — Coupe en long



7. Calcul des efforts (f_i). — Comme les articulations n'ont été condamnées que le pont terminé, et avant le passage des trains, la voûte est articulée pour le poids mort, inarticulée (ou « encastrée ») pour les charges roulantes et les changements de température.

Pour chaque joint, on a placé la surcharge dans la position la plus défavorable.

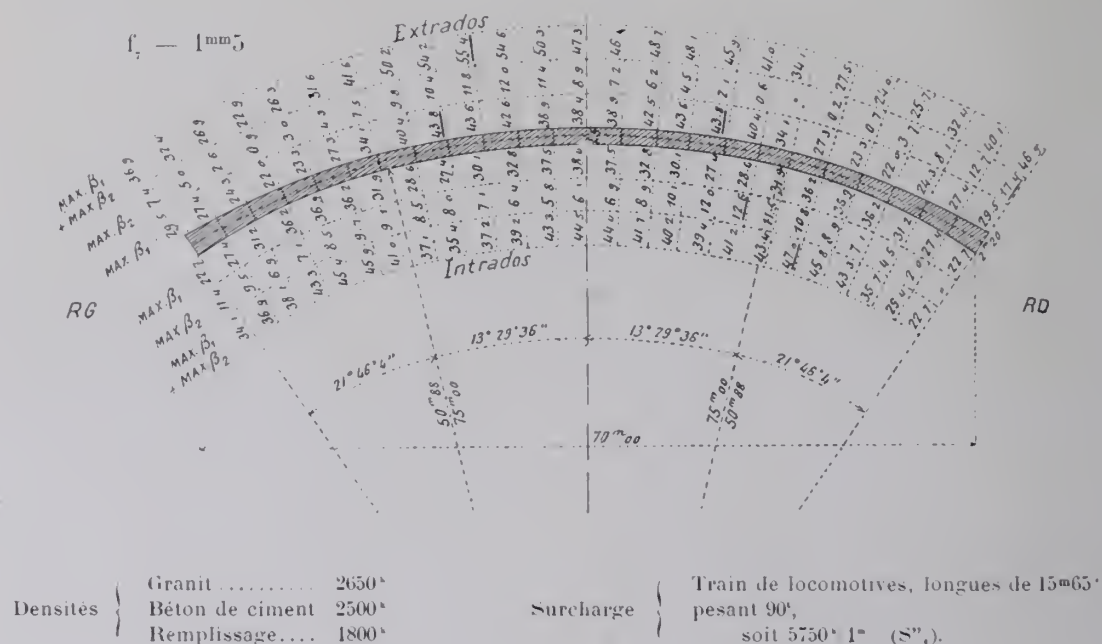
Le graphique f_i résume les épures et les calculs.

Pressions maxima à l'intrados et à l'extrados, en $kg \overline{0^m 01}^2$.

MAX β_1 sous la charge permanente,

MAX β_2 sous la surcharge roulante, dans la position la plus défavorable,

MAX $\beta_1 + \text{MAX } \beta_2$ sous la charge permanente et la surcharge roulante.



8. Cintre (S'_1, S''_1) (f_1 à f_{12}). — Dans les pièces qui ne sont pas exposées à flamber, l'effort maximum est de 80^k $\overline{0^m 01}^2$.

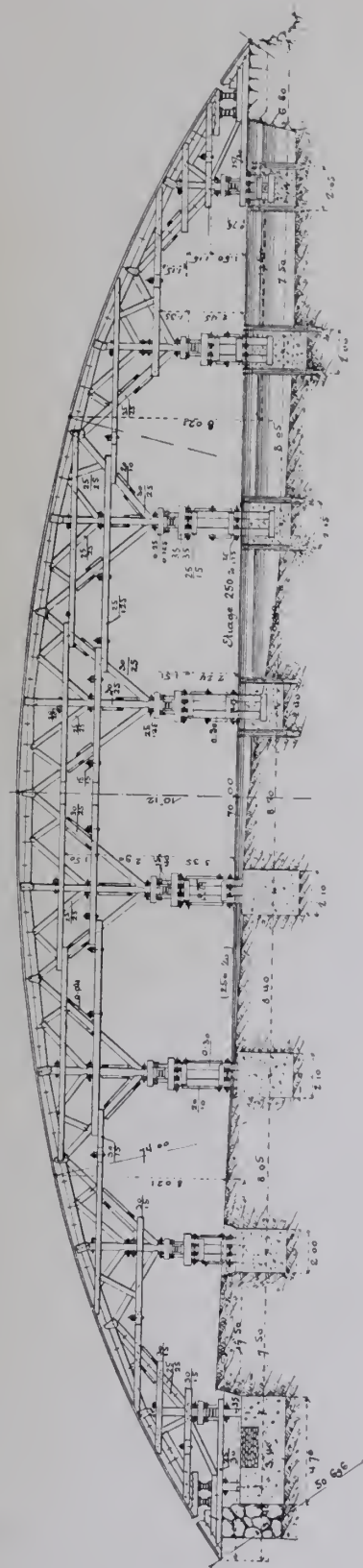
La pression sur le sommet des palées est de 52^k.

Les coins de décintrement, à 3 pièces³, étaient maintenus pendant l'exécution par la pièce p et l'arrêt B (f_{12}).

3. — Même dispositif qu'au Pont de Gloucester (1826-1827) E^1 1^{re} ($\geq 40^m$)⁴, Tome 1.

Cintre

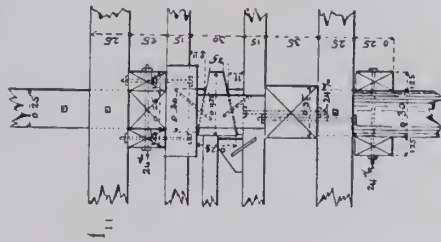
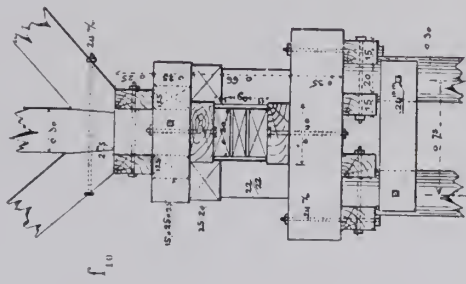
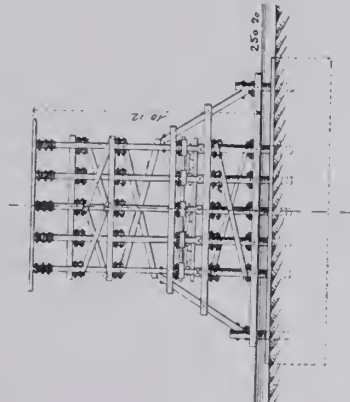
f_x — Élévation — 2mm.)



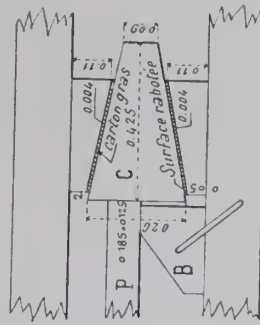
— *Amphiprion* — *Com*

You are long

Vue en travers

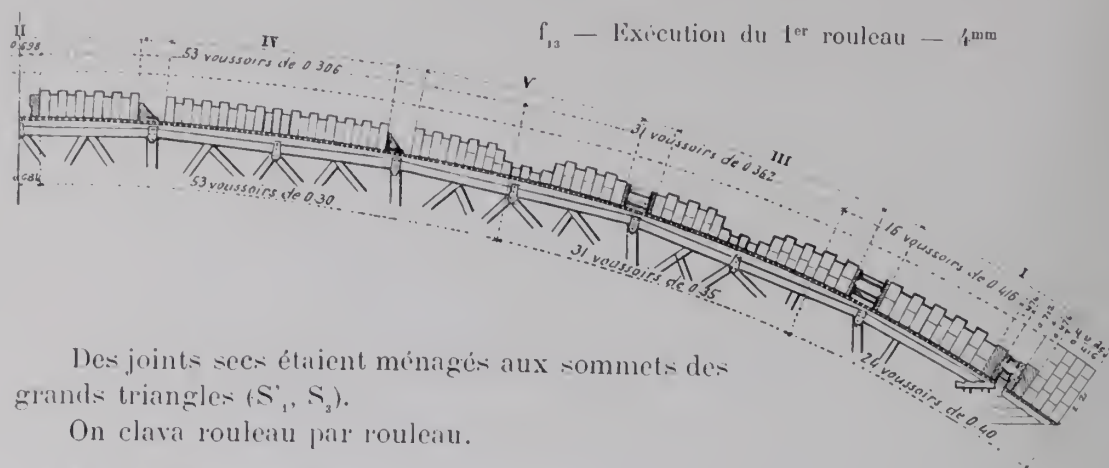
 f_n — Coupe en travers — 2 mm5

f₁₂ — Coins de décintrement — 5^{em}



9. Exécution de la voûte. — On l'a construite :

à pleine épaisseur, jusqu'aux articulations des retombées ;
 au-dessus, en trois rouleaux de 10 tronçons chacun, limités, au droit des montants du cintre, par des coffrages vers les retombées, par des taquets au cerveau (f_{12}).



Des joints secs étaient ménagés aux sommets des grands triangles (S'_1 , S_2).

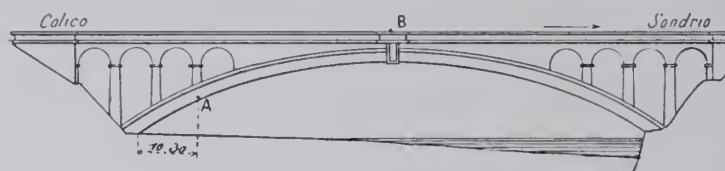
On clava rouleau par rouleau.

10. Décintrement et achèvement. — On décintra le 4 mai 1903 (S_2 , S_3).

En août, on acheva les maçonneries au-dessus de l'extrados, et on condamna les articulations (S_3).

11. Epreuves (10 mars 1904) (S''_1). — On installa :

f_{11} — Position des appareils de mesure — 1 mm



aux reins (A) (f_{11}), des verniers disposés verticalement et horizontalement ;

à la clef (B) deux fleximètres Trau (1 dans chaque niche).

Puis on fit passer un train de 5 locomotives dans le sens \rightarrow .

Voici, en mm, les mouvements observés :

1° Aux reins (A) (f_{11})

1/2 voûte Colico chargée.....	\rightarrow 0,3
Tout le pont chargé.....	0
1/2 voûte Sondrio chargée.....	\leftarrow 0,1

Train passant en vitesse.....

2° A la clef (B) (f_{11})

Train passant en vitesse.....

Déplacements	
horizontaux	verticaux
\rightarrow 0,3	\downarrow 1,3
0	\uparrow 0,7
\leftarrow 0,1	\uparrow 0,9
	passager \downarrow 1 mm 6
	permanent \downarrow 0 mm 3
	passager \downarrow 2 mm
	(MAX)

Ces mouvements sont de l'ordre de ceux qu'on observe au décintrement.

12. Effet des changements de température.

A. - *Mouvements de la voûte* (f_{13} à f_{14}). — La voûte est dans l'air sur toute sa douelle et les 4/10 environ de son extradoss.

De mars 1904 à mars 1905, on releva chaque jour la température de la voûte et celle de l'air (S_1).

Les diagrammes (f_{13} à f_{14})⁴ établissent ceci (S_1) :

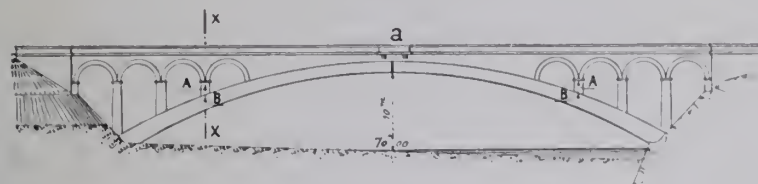
1° - Le corps de la voûte est à la température moyenne des 24^h.

2° - Dans l'année, la variation totale fut de 34° (+26° le 15 août, — 8° au commencement de janvier).

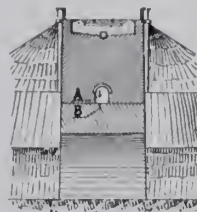
3° - Les mouvements de la clef suivent exactement les variations de la température de la voûte.

Emplacement des thermomètres

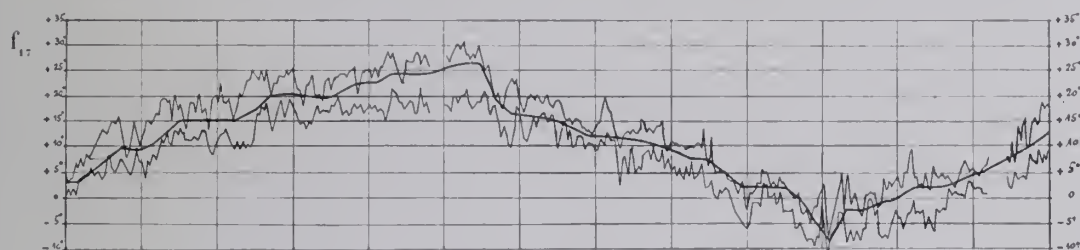
f_{13} — Élévation — 1^{mm}



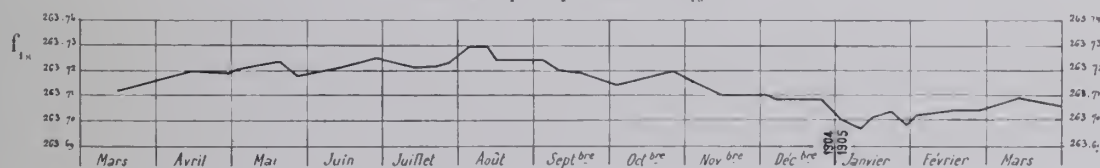
f_{16} — Coupe sur xx' de f_{13}



Températures $\left\{ \begin{array}{l} \text{—— maxima et minima de la journée (thermomètre A)} \\ \text{—— de la maçonnerie (thermomètre B à 0^h60 de l'extrados de la voûte).} \end{array} \right.$



Cote du parapet en a (f_{13})



La variation totale, de la première quinzaine d'août à la première quinzaine de janvier, a été de 33^{mm} (S_1).

M. le Professeur Guidi a calculé ce déplacement par les formules des arcs élastiques, avec le coefficient de dilatation déterminé par Bouniceau pour le granit, 8×10^{-6} .

4. — Gracieusement communiqués par M. le Commandeur Cajo, en janvier 1910.

Il a trouvé : Δb (en mm) = 1,1 :

Soit, pour $\tau = 34^\circ$: $\Delta b = 37^{mm}$. On a mesuré 33^{mm} .

Les résultats concordent.

Sous les variations de température, la voûte se comporte réellement comme un solide élastique.

On vient de voir qu'aux épreuves, la clef n'avait baissé que de 2^{mm} : c'est ce qu'aurait produit un refroidissement de 2° .

En janvier 1906, M. l'Ingénieur Figari constata près de chaque culée, au-dessus de la clef d'une voûte d'évidement, deux fissures de 3^{mm} ⁵ environ traversant des moellons de granit et montant jusqu'au parapet (S_5).

B. - Variation du travail par $\overline{0^m0I^2}$. — M. le Professeur Guidi (S_4) a calculé, en supposant l'arc élastique, les efforts dans la voûte pour un refroidissement de 34° :

	Naissances		Clef	
	Intrados	Extrados	Intrados	Extrados
Il a trouvé.....	+ 36 ^k	— 39 ^k	— 28 ^k	+ 22 ^k
Sous l'action des surcharges, les efforts	compression	tension	tension	compression
sont (S''_1) :				
Maximum.....	+ 11 ^{k4}			+ 8 ^{k9}
Minimum.....		— 8 ^{k6}	— 2 ^{k1}	
Ensemble (efforts limites sous la surcharge				
la plus défavorable, avec refroidissement de 34°).	+ 47 ^{k4}	— 47 ^{k6}	— 30 ^{k1}	+ 31 ^k
L'effort sous la charge permanente est (S''_1).	+ 22 ^{k7}	+ 29 ^{k5}	+ 38 ^{k4}	+ 38 ^{k4}
Effort résultant.....	+ 70 ^{k1}	— 18 ^{k1}	+ 8 ^{k3}	+ 69 ^{k4}

Si la voûte avait été clavée avec un écart de 34° par rapport au jour le plus froid, elle se serait, ce jour-là, ouverte aux reins de l'extrados.

13. Personnel⁶.

Ingénieurs. — *Projet* : M. Giovanni Marro, aidé de M. Fausto Lolli.

(Bureaux de M. l'Ingénieur Rinaldo Rinaldi, Sous-Directeur général des Chemins de fer de l'Etat. — Direction des Travaux d'Ancône).

Direction des Travaux : M. Edouard Garneri, alors Chef de la section d'Entretien de Milan ; — M. Giovanni Raseri.

Entrepreneur : M. Carlo Bregani.

5. — Soit, pour les 4 fissures, environ 12^{mm} .

6. — Renseignements gracieusement communiqués, sur l'invitation de M. le Commandeur Cajo, par M. Ed. Garneri.

SOURCES :

S₁. — Società Italiana per le Strade Ferrate Meridionali, — Linea Colico-Sondrio
« *Ponte in Muratura della luce di metri 70, sul fiume Adda presso Morbegno, al Km. 19 + 979* ».

S'₁. — Atlas de 11 planches.

S''₁. — Relazione dei Calcoli di Resistenza (Janvier 1904).

gracieusement adressés par M. le Commandeur Cajo, alors Directeur des Travaux à Ancône.

S₂. — Il Politecnico, mai 1903, p. 277 et suivantes, Pl. 22.

S₃. — Schweizerische Bauzeitung, 5 septembre 1903, p. 116 à 120 : « *Die neue steinerne Addabrücke bei Morbegno der Eisenbahulinie Colico-Sondrio* », A. Acatos, Ingenieur.

Le Génie Civil a donné une note extraite de S₃ (n° du 24 octobre 1903, p. 409 et 410) :
« *Pont en maçonnerie sur l'Adda à Morbegno (Italie)* ».

S₄. — « *Influenza della temperatura sulle costruzioni murarie* » (Note de M. le Professeur Gnidi, — Académie des Sciences de Turin, — Turin 1906).

S₅. — Il Politecnico, juin 1907 : « *Influenza della temperatura nelle costruzioni in muratura, cemento e cemento armato* », p. 339 et suivantes. (Communication de M. l'Ingénieur L. Figari).

S₆. — Ce que j'ai vu — septembre 1904.

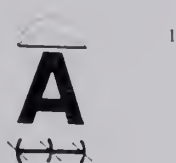
Sur l'invitation de M. le Commandeur Cajo, M. l'Ingénieur Fausto Lolli, de la Direction des Travaux d'Ancône, a bien voulu m'accompagner à Morbegno.

S₇. — Photographies que m'a très aimablement remises M. Fausto Lolli - septembre 1904.

VOÛTES SEMI-ARTICULÉES ¹

ARTICULATIONS A GENOU ¹

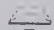

ARCS TRÈS SURBAISSÉS ¹



(Suite)

PONTS A PLUSIEURS GRANDES ARCHES

SOUS ROUTE

Série  **A**ⁿ r^{le} ($\geq 40^m$) ¹


1. — Pour le classement des voûtes articulées et le sens des symboles, voir Tome IV, Livre I, p. 8 et 9.

PONT A PLUSIEURS GRANDES ARCHES SOUS ROUTE

PROJET									
PONT	ENSEMBLE			GRANDES VOÛTES				ÉVIDEMENT DES TYMPANS	
	Date	Longueur <i>entre abouts des parapets</i>	Largeurs <i>entre parapets entre tympans sous la plinthe</i>	INTRADOS Portée Montée Surbaissement Rayons	ÉPAISSEURS CORPS ET TÊTES Clef Joints <i>de rupture</i> Retombées	ROTULES <i>Pour les dimensions, rayons, pressions,... voir Tome IV, Livre III.</i>	MATÉRIAUX Mortier Poids, pour 1 ^m de sable, de chaux ou de ciment		PRESSIONS en kg 0 ^m 01 ² Hypothèse adoptée Surcharges supposées
Symbole	Déclivités	Hauteur maxima de la chaussée au-dessus du sol ou de l'étiage	Fruit des tympans Revanche de la chaussée sur l'extrados						
En quoi consiste l'ouvrage	1	2	3	4	5	6	7	8	9
de la Coulouvrenière à Genève <i>Suisse</i> 1895-1896 Aⁿ 1^{re} ($\geq 40^m$) 2 voûtes égales de 40 ^m Entre elles, une arche de 10 ^m 80 Sur la rive droite, une arche de 12 ^m	150 ^m En profil en long, la chaussée est en courbe de 50 ^m de flèche	$18^m 00$ $18^m 70$ Pas de fruit	$40^m 00$ $5^m 40$ $\frac{1}{7,407} = 0,135$	$1^m 00$ $1^m 40$ $1^m 20$	Rotules d'acier prises dans des caissons en tôle.	B ¹ fait à la machine Pour 1 ^m de béton, Ciment de Reuchenette et du Pasquier (fin) 425 ^k Sable de l'Arve. 0 ^m 5 Gravier de l'Arve 0 ^m 8	Pression maxima : Clef : 30 ^k » Résistance à 28 j. 289 ^k à 302 ^k	3 étages de 9 voûtes longitudinales en béton, de 1 ^m 40 sur murs de 0 ^m 45. Tirants entre tymp.	
	6 ^m 46 (RG) étiage	0 ^m 75						1000 ^k /m ²	2 ^e Écussons dans les tymp.

TABLEAU SYNOPTIQUE

4. W = Surface vue de l'élévation \times Largeur entre parapets. 5. W' = Surface de l'élévation au-dessus des fondations \times Largeur entre parapets.
Pour S_p , W , W' , voir Avertissement, Tome IV, p. III, n° 7 — B.

VOÛTES SEMI-ARTICULÉES ARTICULATIONS A GENOU
ARCS TRÈS SURBAISSÉS
PONTS A PLUSIEURS GRANDES ARCHES SOUS ROUTE

SÉRIE $\overline{A}_{\text{rte}}^n (\geq 40^m)$

MONOGRAPHIES

PONT DE LA COULOUVRENIÈRE, SUR LE RHÔNE, A GENÈVE¹

1895-1896

$\overline{A}_{\text{rte}}^n (\geq 40^m)^1$



1. Articulations (f_5, f_6). — Les deux grands arcs en béton ont été, pendant la construction, articulés à la clef et aux retombées par des rotules² d'acier prises dans des caissons en tôle ; après décintrement, on a fermé au mortier les joints d'articulation : celui de la clef, avant les épreuves ; les autres, après.

La voûte du milieu (10^m80) et celle de rive droite (12^m) ont été simplement articulées par des bandes de plomb (S_2).

1. — Entre les Boulevards de Plainpalais (rive gauche) et de James Fazy (rive droite).

2. — « copiées » sur celles du pont de Munderkingen (1893), $\overline{A}_{\text{rte}}^1 (\geq 40^m)^1$ — Tome IV (S_1).

2. Voûtes d'évidement (f_1, f_2). — La poussée des voûtes d'évidement sur les tympans est arrêtée par des tirants en fer a (f_1) de 17^m50 de longueur et 35^{mm} de hauteur, disposés tous les mètres et articulés en 3 points (S_2).

3. Matériaux.

A. — Béton. — A_1 . — Grandes voûtes. — Voici les résultats des essais à 28 jours du béton des grandes voûtes (425^k de ciment par mc. en œuvre).

Résistance	{		Arche	Arche
			rive gauche	rive droite
		minima.....	230 ^k	250 ^k
		maxima.....	380	420
		moyenne.....	289	302

A 28 jours, la résistance est plus grande dans le sens du pilonnage que dans l'autre.

A 84 jours, elle est la même.

A_2 . — Culées. — Là où la pression dépasse 6^k, le béton est à ciment (200^k à 300^k par mc.) ; ailleurs, à chaux hydraulique de Lafarge ou de Noiraigue (200^k).

B. — Parements des têtes. — Les bossages des bandeaux sont faits d'éclats de pierre noyés dans le béton (S_2).

Les piles sont parementées en pierre jaune de Saint-Ismier (S_2) ; les socles, jusqu'à 0^m30 sous les naissances, sont en granit (blocs erratiques de la région du Salève) ; les tympans, en pierre blanche de Divonne (S_2).

La corniche est en marbre bleu-noir de Saint-Triphon ; les balustres et les colonnes, en granit rose de Baveno.

On a mis les moins bons matériaux là où il y a le plus de travail.

4. Fondation de la culée rive gauche. — On y a rencontré de la glaise, puis de la boue lacustre, puis de la boue glaciaire.

On dressa le terrain, horizontalement à l'amont, à 30° environ à l'arrière, et on y battit des pieux.

5. Voûtes. — On les bétonna par tranches de 1^m d'épaisseur environ entre deux cloisons transversales, dans l'ordre des chiffres de f_7 .

f_7 — Division des voûtes en tranches — 3^{mm}



6. Décintrement.

*A. - Grande arche rive droite*³. — On abaissa d'abord les 6 fermes de rang pair : puis les impaires dans cet ordre : 1, 5, 9, 13, 3, 7, 11.

Voici les observations faites au décintrement, et après :

Dates		Abaissement des pistons en mm	Mouvements en mm								Pile-culée rive droite		Observations
			Pile culée rive gau- che	Arche rive droite									
				Naissance rive gau ^{che}		Clef		Naissance rive droite					
				amont	aval	amont	aval	amont	aval				
				↓	↓	↓	↓	↓	↓	↓			
Décim- trement	9 — 5 ^h 15 s	10	0	10	9	12	10	12	9	0	0		
	10 — 10 ^h 30 m	20		16	14	20	20	18	14	0	0		
	1 ^h s	30		16.6	16	22	23	20	15.6				
		40		18	17	23	23	20	16				
(décembre 1895)	11	matin			20	18	25	26	21	18			On déboulonne les abouts du cintre.
		après- midi	100		20	18	25	24	22	17	0	→ 2	Pas de fissures. Joints de dilatation ouverts. On reprend à 1 ^h du soir les descentes des pistons par 20 ^{mm} jusqu'à 100 ^{mm} .
Après décin- trement (1896)	Janvier	30	2				40			0	→ 6		
		14	5				43			1	→ 6		
		29					43.5						

B. - Grande arche rive gauche. — Voici les observations faites au décintrement, et après :

Dates		Abaissement des pistons en mm	Mouvements en mm										Observations
			Culée rive gauche	Arche rive gauche								Pile culée rive droite	
				à 10 ^m de la clef, côté rive gau ^{che}		Clef		à 10 ^m de la clef, côté rive droite		aval			
				amont ←	aval ↓	amont ↓	aval ↓	amont ↓	aval ↓		amont ↓		
Décin- trement	28 } soir	10				8	6	17	13	9	6		Plus de tassement. On démonte les abouts du cintre.
	7 ^h 30 m	20				12	11	19	18	12	9		
		30				14	13	24	21.6	12.6	11.8		
(Janvier 1896)	29 } 4 ^h s	50											
	30 — 8 ^h m		←-5	2	3	16	16	28	27	16.6	19.6		
Après décentre- ment (1896)	Février } 14 } 29 } Mars } 14 } 21		←-5	3	4	16	17	30.5	32	14	18	2	
								37					
								41.5					
								42.5					
								43					

3. — La voûte de 12^m (rive droite) avait été décintree le 17 septembre 1895 ; celle de 10^m 80 du milieu, le 30 septembre.

7. Épreuves (1896).

A. - 23-24 mars. — On chargea la voûte rive gauche, à partir de sa retombée rive droite, de 0^m50 de gravier sur les trottoirs ⁴, et de 0^m28 sur la chaussée (500^k par m. q.).

B. - 11 avril. — Deux locomotives à voie normale, pesant 75 et 76 tonnes, couvrant ensemble 42^m, ont passé au pas, avec un arrêt de 3 minutes.

On n'a pas constaté de mouvement sous les surcharges.

8. Dates.

Commencement des travaux.....			mars
Fondations	Battage des pieux	verticaux.....	2 août - 1 ^{er} septembre
		obliques.....	16 octobre - 14 décembre
	Commencement du bétonnage	Culée rive droite....	1 ^{er} avril
		Massif central.....	26 avril
		Culée rive gauche...	10 septembre

	Voûtes		
	Rive gauche	Centrale	Rive droite
Commencement du montage des cintres	1895 4 novembre	1895 22 juin	1895 17 juillet
Bétonnage des voûtes.....	4-16 nov.	9-16 août	2-21 septembre
Commencement des travaux au-dessus des voûtes.....	18 novembre	22 août	22 septembre
Décintrement.....	1896 28 janvier		9 décembre
Épreuves.....	<div> <div>23-24 mars</div> <div>11 avril</div> </div>		

On a condamné les articulations : aux clefs, le 18 mars 1896 ; aux naissances, peu après le 24 mars ; inauguré et ouvert à la circulation, le 27 avril 1896.

9. Quantités.

Pierre de taille.....	1.568 ^{mc}
Béton.....	16.058 ^{mc}
Pierres de l'ancien pont, retaillées.....	1.618 ^{mc}
Total.....	19.244 ^{mc}

On a employé 3400 tonnes de ciment et 1570 tonnes de chaux.

4. — Pour tenir compte des parties inachevées. La surcharge sur les trottoirs était ainsi de près de 1000^k par mq.

10. Personnel. — *Projet*⁵ et *Direction des Travaux (en régie)* : M. Constant Buttiaz, Ingénieur, Directeur des Services industriels de la Ville de Genève.

Calculs : M. Bois, Ingénieur du Service des Eaux.

Conduite des Travaux : M. de Haller, Ingénieur.

Décoration : M. Bouvier, Architecte de l'Exposition de Genève.

5. — Le projet a été examiné par M. Karl von Leibbrand, de Stuttgart, auteur du pont de Munderkingen $\overline{\mathbf{A}}^n$ 1^{re} ($\geq 40^m$)¹, puis choisi entre plusieurs par MM. Ritter, professeur au Polytechnikum de Zurich et Ed. Elskes, Ingénieur à Lausanne.

SOURCES :

S₁. — Pièces qu'a bien voulu me communiquer M. Buttiaz (juin 1910) :

S'₁. — Mémoire sur le projet et l'exécution ;

S''₁. — Dessins.

S₂. — Génie Civil, 27 juin 1896, p. 129 à 132, Pl. IX : « *Le pont de la Coulourenière. « Nouveau pont en béton sur le Rhône à Genève* », M. Berthier, Ingénieur.

S₃. — Ce que j'ai vu — été 1901.

Texte : Ce qui n'est pas spécifié S₂ ou S₃ est de S₁.

Dessins : f₁ est réduit de S'₁ ; les autres dessins, de S₂.

VOÛTES ARTICULÉES

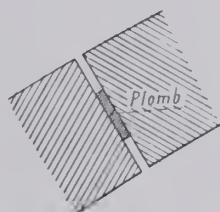
C'EST-A-DIRE ARTICULEES DE FAÇON PERMANENTE,
SOUS LE POIDS MORT, LES SURCHARGES,
POUR LES VARIATIONS DE TEMPÉRATURE....

VOÛTES ARTICULÉES

ARTICULATIONS

SUR

PLOMB



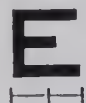
Symbole :



VOÛTES ARTICULÉES

ARTICULATIONS SUR PLOMB ¹

ELLIPSES



PONTS A PLUSIEURS GRANDES ARCHES

SOUS CHEMIN DE FER A VOIE NORMALE

Série $\text{E}^{\text{n}} \text{F}^{\text{r}} (\geq 40^{\text{m}})$

PONT A PLUSIEURS GRANDES ARCHES SOUS CHEMIN DE FER

PROJET								
PONT	ENSEMBLE		GRANDES VOÛTES					
Date	Longueur <i>entre abouts des parapets</i>	Largeurs <i>entre parapets entre tympans sous la plinthe</i>	INTRADOS Portée Montée Surbaissement Rayon	ÉPAISSEURS CORPS ET TÊTES Clef Retombées	BANDES DE PLOMB Épaisseur Largeur Clef Retombées Pour les pressions, voir Tome IV, Livre III.	MATÉRIAUX Mortier Poids, pour 1 ^{me} de sable, de chaux ou de ciment	PRESSIONS en kg / 0 ^m 01 ² Surcharges supposées	ÉVIDEMENTS DES TYMPANS 2 ^o DÉCORATION DES TÊTES
Symbole	Déclivités	Fruit des tympans						
En quoi consiste l'ouvrage	Hauteur maxima du rail au-dessus du sol ou de l'étiage	Revanche du rail sur l'extrados						
1	2	3	4	5	6	7	8	9
de Garching <i>Barrière</i> 1907-1908 Eⁿ Fr (≥ 40 ^m) 1 3 voûtes en anse de panier de 33 ^m 89 à 1 2,65, 44 ^m 35 à 1 3,32, 33 ^m 95 à 1 2,58.	141 ^m 95 6 ^{mm} 15 ^m 93	{ 4 ^m 60 3 ^m 80 Fruit : 1/60 (0 ^m 80)	Au-dessus de l'horizontale des naissances: Anse de panier à 9 centres 44 ^m 33 13 ^m 34 $\frac{1}{3.32} = 0,30$ Rayons à partir de la clef : 33 ^m 70 26 ^m 35 18 ^m 70 Au-dessous du plomb des reins : 15 ^m 50 6 ^m 80 Au-dessus du plomb des reins Arc d'anse de panier à 5 centres 38 ^m 33 7 ^m 23 $\frac{1}{5,33} = 0,187$	1 ^m 10 Pas de renflement au joint de rupture 1 ^m 75 38 ^{cm} 83 ^{cm}	8 ^{mm} B ¹ « Brückencement » « Stuttgarter Cementfabrik » de Blaubeuren... 1 ^r Sable 2 ^r 5 Gravier 2 ^r 5 Pierre cassée .. 2 ^r 5 Sommiers des articulations : B ¹ 1 ^r - 2 ^r - 2 ^r résistant à 400 ^k 0 ^m 01 ²	Pression maxima : 26 ^k » 8160 ^k , 1 ^{me} 1	1 ^a Évidement ovale au-dessus des piles 2 ^o Tympans striés de joints en horizontal	

1. — Pour le sens de ces abréviations, voir Avertissement, Tome IV, p. II, n° 6

6. — La courbe est prolongée au-dessous des naissances jusqu'au socle.

A VOIE NORMALE

SÉRIE E^h Fr ($\geq 40m$)

TABLEAU SYNOPTIQUE

EXÉCUTION										CUBE DE MAÇONNERIE A MORTIER									
GRANDES VOÛTES										Q									
FONDATIONS	CINTRES					MODE DE CONSTRUCTION	DÉCINTREMENT État d'avancement du pont <i>Temps entre le dernier clavage et le décintrement</i> Date	TASSEMENTS DE LA CLEF sur cintre t _c au décin- trement t' _v après t'' _v	DÉPENSE										
	FERMES		Cube de bois Poids de fer Dépenses						D										
	Type	Nombre			Totaux														
	<i>Matière</i> Appareils de décintrement	<i>Épaisseur</i> Écartement d'axe en axe <i>Surhaussement</i>		par mq de douelle ²	et Totaux par unité														
10	11	12	13	14	15	16	17	18											
<i>Profondeur du ptiage</i> Pressions sur le sol kg (mq) ¹ <i>Procédé</i>	Fixe	4 18 ^c 1 m 235	12217 ^f	48 ^f 2	A pleine épaisseur par tranches de 2 à 3 m de largeur	Tympan et couronnement achevés 51 jours 27 juin	t _c = 39 ^{mm} t' _v = 15 ^{mm}	Q = 3600 ^{mc} Q : S _p = 5 ^{mc} 51 Q : W = 0 ^{mc} 36											
<i>os gravier nd fini</i> Piles (G = 6 ^m 30 (D = 6 ^m 17 Pression = la base des res = 13 ^k le sol de ation 4 ^k 3 <i>Carsson</i> <i>ton arme</i> <i>descendu</i> <i>r lavage</i>	Montants et contrefiches »		Pour chaque arche de rive : 6664 ^f				Arches de rive <table><tr><td></td><td>t_c</td><td>t'_v</td></tr><tr><td>RG</td><td>30^{mm}</td><td>6^{mm}</td></tr><tr><td>RD</td><td>20^{mm}</td><td>23^{mm}</td></tr></table>		t _c	t' _v	RG	30 ^{mm}	6 ^{mm}	RD	20 ^{mm}	23 ^{mm}	D = 310968 ^f D : S _p = 476 ^f 2 D : W = 31 ^f 0 D : Q = 86 ^f 4		
	t _c		t' _v																
RG	30 ^{mm}	6 ^{mm}																	
RD	20 ^{mm}	23 ^{mm}																	
Culées (G = 3 ^m 28 (D = 2 ^m 78 Pression sur le sol fondation : 3 ^k 16 <i>P notes es voyes s du beton</i>	Verins à vis	80 ^{mm}																	

1. le calcul de la surface de douelle, voir Avertissement, Tome IV, p. III, n° 7 — A. 3. S_p = Longueur (col. 2) × Largeur entre parapets (col. 3) — C'est la surface offerte à la circulation

4. W = Surface vue de l'élévation × Largeur entre parapets. 5. W' = Surface de l'élévation au-dessus des fondations × Largeur entre parapets

Pour S_p , W , W' , voir Avertissement, Tome IV, p. III, n° 7 — B.

VOÛTES ARTICULÉES ARTICULATIONS SUR PLOMB
ELLIPSES

PONTS A PLUSIEURS GRANDES ARCHES
SOUS CHEMIN DE FER A VOIE NORMALE

SÉRIE $E^n Pr (\geq 40m)$

MONOGRAPHIES

PONT SUR L'ALZ, A GARCHING¹ (BAVIÈRE)

Ligne de Mühldorf à Freilassing

1907-1908

$E^n Pr (\geq 40m)$

$\Phi_1 (S_3)$



1. Quelques observations. — Sauf les parements des piles au-dessous des hautes eaux, qui sont en brèche grossièrement appareillée, tout est en béton (S_1).

1. — Près de la station de Garching, vers Freilassing.

Les fondations sont pour deux voies ; l'élévation, pour la voie aval seule (f₁).
L'énorme tore et le gros chaperon qui couronnent les piles sont bien lourds², surtout sous un évidement.

Ceux d'amont ne sont que posés : si l'on construit le pont amont, on les déplacera (S₁).

Les quarts de cône coupent de façon fâcheuse les derniers évidements (S₂).

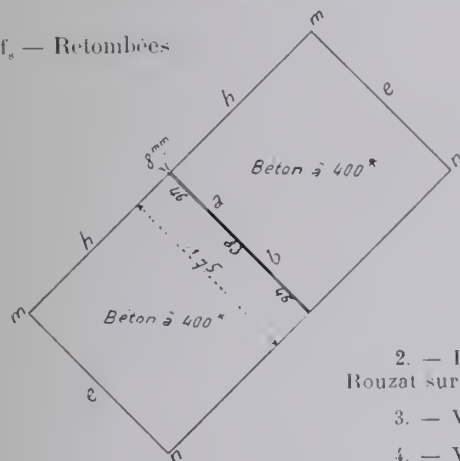
Φ₂ (S₂)



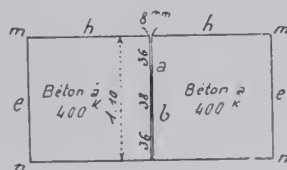
2. Articulations sur plomb³ (S₁). — Ce sont les plus grandes voûtes articulées sur bandes de plomb.

Articulations. — Bandes de plomb et sommiers = 15mm

f₂ — Retombées



f₁ — Clef



Les sommiers ne sont pressés par le plomb que sur *ab*. Sur l'autre face *mn*, à cause du porte-à-faux sur *ab*, il y a tension.

Pour la réduire, il faut *h* assez grand.

$h = \frac{e}{2}$ a paru insuffisant : on a pris $h = e$.⁴

2. — Il y en a d'assez semblables, - mais moins gros, - au pont de Rouzat sur la Sioule (1855).

3. — Voir les expériences sur le plomb, Tome IV, Livre I, p. 8.

4. — Voir les expériences de M. Krüger, Tome IV, Livre I, p. 18.

3. Effort limite admis sur les sommiers en béton (S''_1). — Le béton des sommiers résiste à 400^k .

Pour un effort réparti sur toute sa surface, on n'eût pas dépassé $\frac{400^k}{8} = 50^k$.

Mais, comme il n'est pressé que sur une partie de cette surface, on a accepté un effort limite de $\frac{400^k}{5} = 80^k$.

4. Résistance du béton (S_2). — La Direction des Chemins de fer imposait la résistance à 28 jours, à charge par l'Entreprise de trouver le dosage.

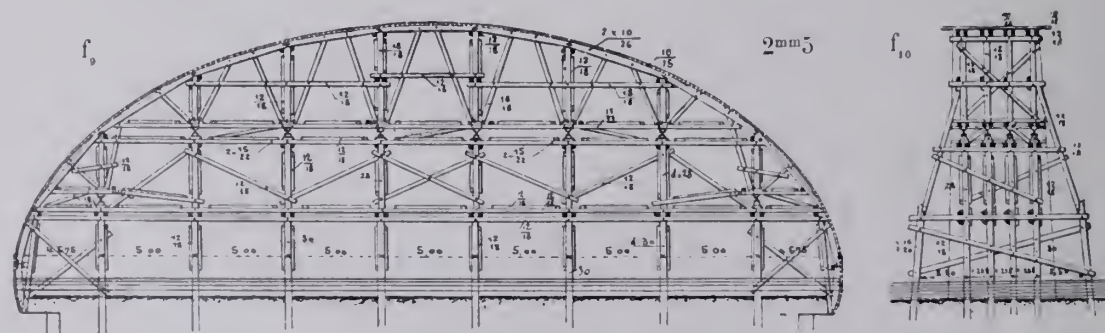
Voici le résultat des essais faits sur des cubes prélevés en cours d'exécution (S_2) :

Composition du béton fait à la machine, à la consistance de terre humide 1 vol de « Brückencement » ⁵ de la « Stuttgarter Cementfabrik » de Blaubeuren			Résistance exigée à 28 jours	Charge de rupture		Épreuves faites :
Sable de l'Alz lavé, trié, de 0 à 7 ^{mm} ; on y a remis le fin, enlevé au lavage	Gravier de l'Alz de 10 à 60 ^{mm} trié et lavé	Pierre cassée de 10 à 50 ^{mm}		à	Kg	
3,5	7	»	150 ^k	15 j 28 j 159 j	166 ^k 170 ^k 264 ^k	sur les chantiers
Piles						
3	5	1	200 ^k	6 j 33 j 138 j	228 ^k 274 ^k 375 ^k	au Laboratoire d'Essais de l'Ecole Polytechnique de Stuttgart
Fondations						
2,5	2,5	2,5	240 ^k	6 j 69 j 153 j	195 ^k 305 ^k 400 ^k	sur les chantiers au Laboratoire d'Essais de l'Ecole Polytechnique de Stuttgart
Corps des voûtes						
2	1	1	400 ^k	7 j 28 j 36 j 154 j	321 ^k 318 ^k 369 ^k 445 ^k	sur les chantiers au Musée industriel de Nuremberg au Laboratoire d'Essais de l'Ecole Polytechnique de Stuttgart
Sommiers des articulations						

Les faces des cubes essayés à Stuttgart étaient exactement dressées.

La pression était toujours exercée dans le même sens que le pilonnage.

5. Cintre (S_1).



5. — Finesse : 16 à 18 μ de résidu au tamis de 5000 mailles.

6. Fondations (S_1). — On a descendu par lavage un caisson en béton armé, à l'aide d'une drague installée dessus⁶.

Ses déplacements en plan n'ont pas dépassé 14^{cm}.

7. Personnel (S_1). — *Projet et Direction Générale des Travaux* : M. Beutel, Ingénieur en chef de la Construction à la Direction générale des Chemins de fer bavarois, à Munich.

Entrepreneurs : MM. Sager et Wærner, de Munich.

6. — Système proposé par M. Probst, Ingénieur en chef de l'Entreprise.

SOURCES :

S_1 . — Dessins d'exécution (S'_1) et renseignements (S''_1) gracieusement communiqués par M. l'Ingénieur en chef Beutel.

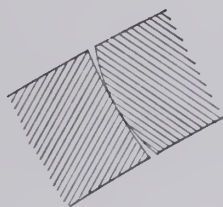
S_2 . — « *Mitteilung über die Druckfestigkeit von Betonkörpern, hergestellt während dem Bau der gewölbten Bogenbrücken der Hauptbahn Mühlendorf-Freilassing.... aus Brückencement der Stuttgarter Cementfabrik Blaubeuren.* »

Essais certifiés par M. l'Ingénieur en chef Beutel, le 11 décembre 1908.

S_3 . — Ce que j'ai vu — août 1909.

VOÛTES ARTICULÉES

ARTICULATIONS ROULANTES¹



Symbole : ²



Voir Tome IV, Livre I :

1. — p. 10, pour la définition de l'articulation roulante,
2. — p. 28, pour le sens du symbole.

VOÛTES ARTICULÉES

ARTICULATIONS ROULANTES ¹

ELLIPSES ¹

E ¹
k-x-k

PONTS A PLUSIEURS GRANDES ARCHES

SOUS CHEMIN DE FER A VOIE NORMALE

Série **EⁿF^r** ($\geq 40^m$) ¹
k-x-k

1. — Pour le classement des voûtes articulées et le sens des symboles, voir Tome IV, Livre I, p. 28 et 29.

PONT A PLUSIEURS GRANDES ARCHES SOUS CHEMIN DE FER

PONT	PROJET							
	ENSEMBLE	GRANDES VOÛTES						
Date	Longueur <i>entre abouts des parapets</i>	Largeurs <i>entre parapets entre tympans sous la plinthe</i>	INTRADOS	ÉPAISSEURS	ROTULES	MATÉRIAUX	PRESSIONS	1°
Symbole	Déclivités	Fruit des tympans	Portée	CORPS ET TÊTES	<i>Pour les dimensions, rayons, pressions, ... voir Tome IV, Livre III</i>	Mortier	en kg / 0 ^m 01 ²	ÉVIDEMENTS DES TYMPANS
<i>En quoi consiste l'ouvrage</i>	Hauteur maxima du rail au-dessus du sol ou de l'étiage	Revanche du rail sur l'extrados	Montée Surbaissement Rayon	Clef <i>Joint de rupture Retombées</i>		Poids, <i>pour 1^mc de sable, de chaux ou de ciment</i>	Surcharges supposées	2° DÉCORATION DES TÊTES
1	2	3	4	5	6	7	8	9
de Chemnitz <i>Saxe</i> 1898-1900 Eⁿ 1^{er} (40 ^m) ¹ <i>11 voûtes en anse de panier: 4 de 27^m90; 6 de 26^m65; 1 de 43^m10; toutes articulées.</i>	370 ^m 5 10 ^{mm} 17 ^m	» 1 ^m 00 <i>entre bandeaux</i> » »	Anse de panier à 9 centres Entre appuis : 43 ^m 10 » »	1 ^m 10 1 ^m 50 1 ^m 25	Granit	Béton Ciment..... 1' Sable..... 4' Pierre cassée.. 45		1° Pas d'évidement 2° »

1. — Pour le sens de ces abréviations, voir Avertissement, Tome IV, p. II, n° 6.

A VOIE NORMALE

SÉRIE Eⁿ 1^{re} ($\geq \frac{1}{4}(m)$)

TABLEAU SYNOPTIQUE

EXÉCUTION											CUBE DE MAÇONNERIE A MORTIER	
GRANDES VOÛTES											Q	
FONDATIONS	CINTRES					MODE DE CONSTRUCTION	DÉCINTREMENT État d'avancement du pont Temps entre le dernier clarage et le décintrement Date	TASSEMENTS DE LA CLEF sur cintre t_c au décin- trement t_v après t_v	DÉPENSE			
	FERMES		Cube de bois Poids de fer Dépenses		D							
	Type <i>Matière</i> Appareils de décintrement	Nombre <i>Épaisseur</i> Ecartement d'axe en axe <i>Surhaussement</i>	Totaux	par mq de douelle ²	Totaux et par unité							
	10	11	12	13	14				15	16	17	18
nature du sol Profondeur de l'étiage Pressions sur le sol kg (mm) ^{1 2} Procédé	Fixe Contrefiches isolées Vérins	{ 5 20 ^{cm} 0 m 95 Clef : 80 mm Retombées au moins 20 mm										

1. le calcul de la surface de douelle, voir Avertissement, Tome IV, p. III, n° 7 — A. 3. S_p = Longueur (col. 2) × Largeur entre parapets (col. 3) — C'est la surface offerte à la circulation.

4. W = Surface vue de l'élévation × Largeur entre parapets.

Pour S_p, W, voir Avertissement, Tome IV, p. III, n° 7 — B.

VOÛTES ARTICULÉES ARTICULATIONS ROULANTES
ELLIPSES

PONTS A PLUSIEURS GRANDES ARCHES
SOUS CHEMIN DE FER A VOIE NORMALE

SÉRIE $E^n F^r (\geq 40^m)$

MONOGRAPHIES

PONT SUR LA CHEMNITZ, A CHEMNITZ (SAXE)

Ligne de Kieritzsch à Chemnitz¹

1898-1900

$E^n F^r (\geq 40^m)$

f_1 — Ensemble — $0^m 4$



1. — Pour une voie de marchandises.

2. — Voûte n° 3 de f_1 .

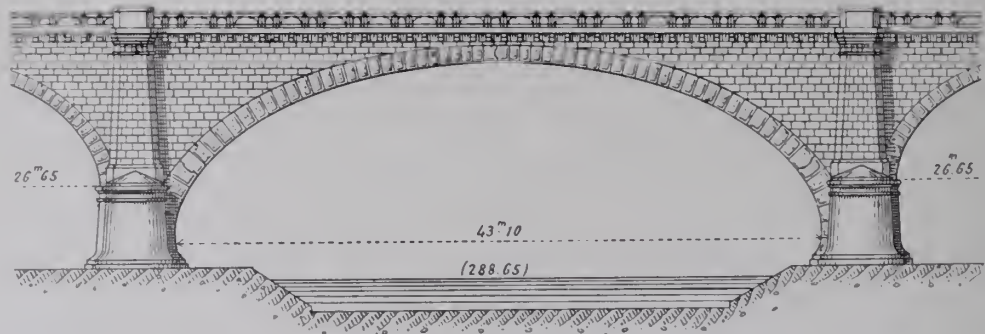
1. Matériaux. — Tout est en béton, sauf :

les rotules, qui sont en granit ;

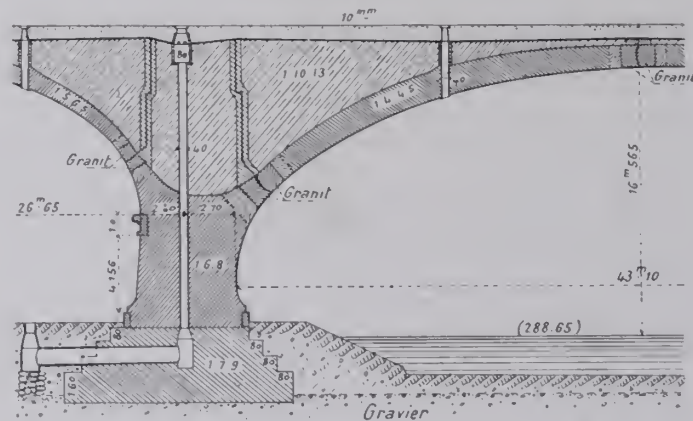
le couronnement, les chaperons, les cordons au-dessus des piles, qui sont en grès.

Les têtes sont en mortier de ciment coloré, jouant la pierre de taille.

Grande voûte
f₂ — Élévation — 2mm



f₃ — Coupe en long — 2mm5



2. Articulations et joints de dilatation.

— Les 11 voûtes sont articulées sur rotules de granit.

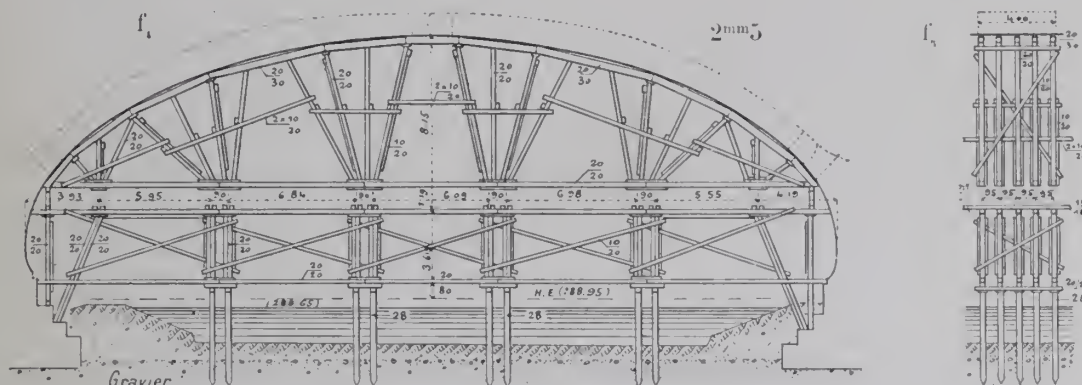
Au-dessus des rotules des reins, un joint vide coupe les tympans : on le voit un peu trop.

3. Béton.

Composition. Efforts.

3. Béton. <i>Composition. Efforts.</i>	Composition Pour 1 ^{re} de ciment		Pression en Kg 0 ^m 01 ² fissurant des cubes de 40 ^m âgés de :		
	Sable	Pierre cassée	permise		
				13 semaines	1 an
Fondations.....	7 ^r	9 ^r	»	169 ^k	180 ^k
Piles et parements.....	6 ^r	8 ^r	13 ^{k5}	183 ^k	232 ^k
Tympans.....	10 ^r	13 ^r	»	118 ^k	137 ^k
Voûtes {	de 26 ^m 65 et 27 ^m 90...	5 ^r	6 ^{r5}	25 ^k	208 ^k
	de 43 ^m 10.....	4 ^r	4 ^{r5}	28 ^{k5}	253 ^k
			pas de tension		Pas de fissure pour

4. Cintre.



5. Epreuve de la grande voûte (29 juin 1901).

		Tassement de la clef	Déplacements transversaux
Sous 5 locomotives de 42 ^t	immobiles	0mm8	»
	passant lentement	0mm2 à 0mm6	»
	passant vite	»	0mm5 0mm25 à chaque tête
Sous 1 locomotive de 42 ^t passant vite		»	0mm3

6. Personnel.

Direction : Chemins de fer de l'Etat saxon.

Projet et Entreprise : MM. Dyckerhoff et Widmann, de Dresde.

SOURCES :

S₁. — Documents qu'a bien voulu me communiquer M. le Professeur Otto Colberg, de Hambourg — février 1912 :

S'₁. — Dessins.

S''₁. — Notice publiée par la maison Dyckerhoff et Widmann, pour l'Exposition de Dusseldorf en 1902, — p. 31 à 34.

S₂. — Ce que j'ai vu — août 1908.

VOÛTES ARTICULÉES

ARTICULATIONS ROULANTES ¹

ARCS PEU SURBAISSÉS ¹



PONTS A UNE SEULE GRANDE ARCHE
SOUS CHEMIN DE FER A VOIE NORMALE

Série  ¹ F^r ($\geq 40^m$)

1. — Pour le classement des voûtes articulées et le sens des symboles, voir Tome IV, Livre I, p. 28 et 29.

PONT A UNE SEULE GRANDE ARCHE SOUS CHEMIN DE FER

PONT	PROJET							
	ENSEMBLE			GRANDE VOÛTE				1°
	Longueur entre abouts des parapets Déclivités Hauteur maxima du rail au-dessus du sol ou de l'étiage	Largeurs entre parapets entre tympans sous la plinthe Fruit des tympans Revanche du rail sur l'extrados	INTRADOS Portée Montée Surbaissement Rayons	ÉPAISSEURS CORPS ET TÊTES Clef Joints de rupture Retombées	ROTULES Pour les dimensions, rayons, pressions, ... voir Tome IV, Livre III.	MATÉRIAUX Mortier Poids, pour 1 ^m de sable, de chaux ou de ciment	PRESSIONS en kg 0 ^m 01 ² Surcharges supposées	ÉVIDEMENT DES TYMPANS 2° DÉCORATION DES TÊTES
1	2	3	4	5	6	7	8	9
de Kempten <i>Barière</i> 1906	<i>Ponts aval</i>							
	15 ^m 41	16 ^m 75 16 ^m 00	Au-dessus des naissances : Arc d'anse de panier à 11 centres 63^m 80 25 ^m 758 $\frac{1}{2,477} = 0,403$ Rayons : à partir de la clef 37 ^m 706 89 ^m 25 38 ^m 403 26 ^m 187 au-dessus des rotules : 20 ^m 39 34 ^m 22 Au-dessus des rotules : 50^m 60 8 ^m 85 $\frac{1}{5,517} = 0,174$	1 ^m 35 2 ^m 00 Aux articulations de retombées, Corps : 1 ^m 85 Têtes : 2 ^m 60	Rotules d'acier moulé, appuyées sur des sommiers de béton moulé	Entre rotules B ¹ damé Ciment..... 1 ^v Sable..... 2 ^v 5 Pierre cassée... 5 ^v Résistance en cubes de 30 ^v , à 28 j. : 291 ^k	Pression maxima : 35 ^k	1° Pas d'évidement au-dessus de l'arc articulé.
	10 ^{mm} RD RD	Fruit : 1 45				Sommiers des rotules B ¹ moulé Ciment..... 1 ^v Sable..... 2 ^v Gravier basaltique..... 2 ^v Résistance à 90 j. : 178 ^k	Pression maxima : 66 ^k	Rempliss en béton moulé à 1 12
1° Ponts aval 2 Ponts jumelés, écartés de 10 ^m , sur fondation commune	33 ^m 25 étiage	(1 ^m 80)				Pieds-droits, sous les rotules		2°
\hat{A}^1 Fr (40 ^m) 1 et 2						1 Ciment et : Sable Pierre cassée Sommet 3 6 26 ^k Base 4 8 19 ^k Fondations 5 9 8 ^k 2	Pression maxima :	
2° Pont amont \hat{A}^1 Fr (40 ^m) 3						Ciment Dyckerhoff et fils, de Karlsruhe	Surcharge par m ² de voie : Locomotives : 8160 ^k Wagons : 3810 ^k	
	10 ^{mm} RD RD	Fruit : 1 45	Au-dessus des naissances : 64^m 30 27 ^m 576 $\frac{1}{2,339} = 0,428$ Rayons : au-dessus des rotules 20 ^m 39 36 ^m 42 Le reste comme aux Ponts aval					

A VOIE NORMALE

SÉRIE \hat{A}^1 Fr ($\geq 40^m$)

TABLEAU SYNOPTIQUE

EXÉCUTION										CUBE DE MAÇONNERIE A MORTIER	
GRANDE VOÛTE										Q	
FONDATIONS Nature du sol Profondeur us l'étiage Pressions sur le sol 1 kg (mm) ² Procédé	CINTRE				MODE DE CONSTRUCTION	DÉCINTREMENT État d'avancement du pont Temps entre le dernier clarage et le décintrement Date	TASSEMENTS DE LA CLEF sur cintre t _c au décin- trement t' _v après t'' _v	DÉPENSE			
	FERMES		Cube de bois Poids de fer Dépenses					D			
	Type	Nombre						Totaux			
	Matière	Épaisseur									
	Appareils de décintrement	Écartement d'axe en axe Surhaussement	Totaux	par mq de douelle ²							
10	11	12	13	14	15	16	17	18			
Rocher	Retroussé sur 36*80	6	Pour un seul cintre :		A pleine épaisseur en 16 tranches	Voûtes nues	Ponts aval :	Pour les 3 ponts :			
		2,5 ^m	275 ^{mc}	0 ^{mc} 42				Q = 23 800 ^{mc}			
		1 ^m 55	»	»	16 tranches	Partie entre rotules	1 ^{er} Pont :	Pour les ponts jumeaux :			
							t' _v = 29 ^{mm}				
	Au dessus des rotules				42 jours	An-dessous	2 ^e Pont :	$\frac{2}{3} Q : S_p = 6^{mc} 27$			
	Bois		74040 ^t	114 ^t 2			t' _v = 3 ^{mm}	$\frac{2}{3} Q : W = 0^{mc} 25$			
	Au-dessous				14 jours plus tard	Tassements totaux à comparer avec le surhaussement					
	Fer										
		Surhaussement						Pour les 3 ponts :			
		Bois : 50 ^{mm}						D = 1426 500 ^f			
		Fer : 23 ^{mm} 1						Pour les ponts jumeaux :			
Pression maxima :								$\frac{2}{3} D : S_p = 370^f 1$			
852								$\frac{2}{3} D : W = 15^f 0$			
	Vérins de 30t travaillant normalement à 22 ^t							Pour les 3 ponts :			
								D : Q = 59 ^f 9			

Le calcul de la surface de douelle, voir Avertissement, Tome IV, p. III, n° 7 — A. — 3. S_p = Longueur (col. 2) \times Largeur entre parapets (col. 3) — C'est la surface offerte à la circulation4. W = Surface vue de l'élévation \times Largeur entre parapets. — 5. W' = Surface de l'élévation au-dessus des fondations \times Largeur entre parapets

Pour S, W, W', voir Avertissement, Tome IV, p. III, n° 7 — B.

VOÛTES ARTICULÉES ARTICULATIONS ROULANTES

ARCS PEU SURBAISSÉS

PONTS A UNE SEULE GRANDE ARCHE
SOUS CHEMIN DE FER A VOIE NORMALE

SÉRIE \hat{A}^1 Fr ($\geq 40m$)

MONOGRAPHIES

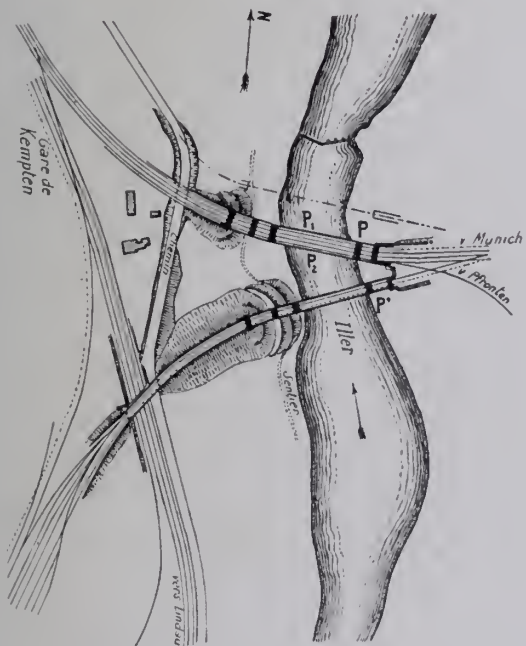
3 PONTS SUR L'ILLER, PRÈS DE LA GARE DE KEMPTEN (BAVIÈRE)

1906

\hat{A}^1 Fr ($\geq 40m$) 1, 2, 3

1. Emplacement des trois ponts (f_1). — La ligne Munich-Kempten traversait l'iller, d'abord sur une poutre Howe en bois, puis sur un pont en fer devenu à son tour insuffisant pour les nouvelles machines.

f_1 — Plan d'ensemble — 0^m15



Pour le remplacer, on a construit :

en P (f_1), deux ponts à 2 voies P_1 , P_2 , de même portée : 63^m80; de même largeur entre têtes : 7^m95; à 10^m l'un de l'autre, sur fondation commune (S_2);

en P', un troisième pont à deux voies, à 1^m82 (S_2) plus haut que les ponts P. de 64^m50 de portée, de 7^m50 de largeur entre têtes.

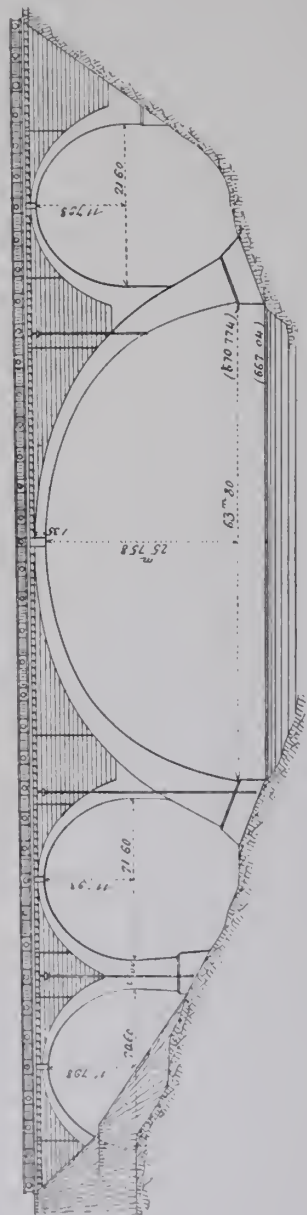
2. Dispositions communes.

Les 3 ponts sont en béton.

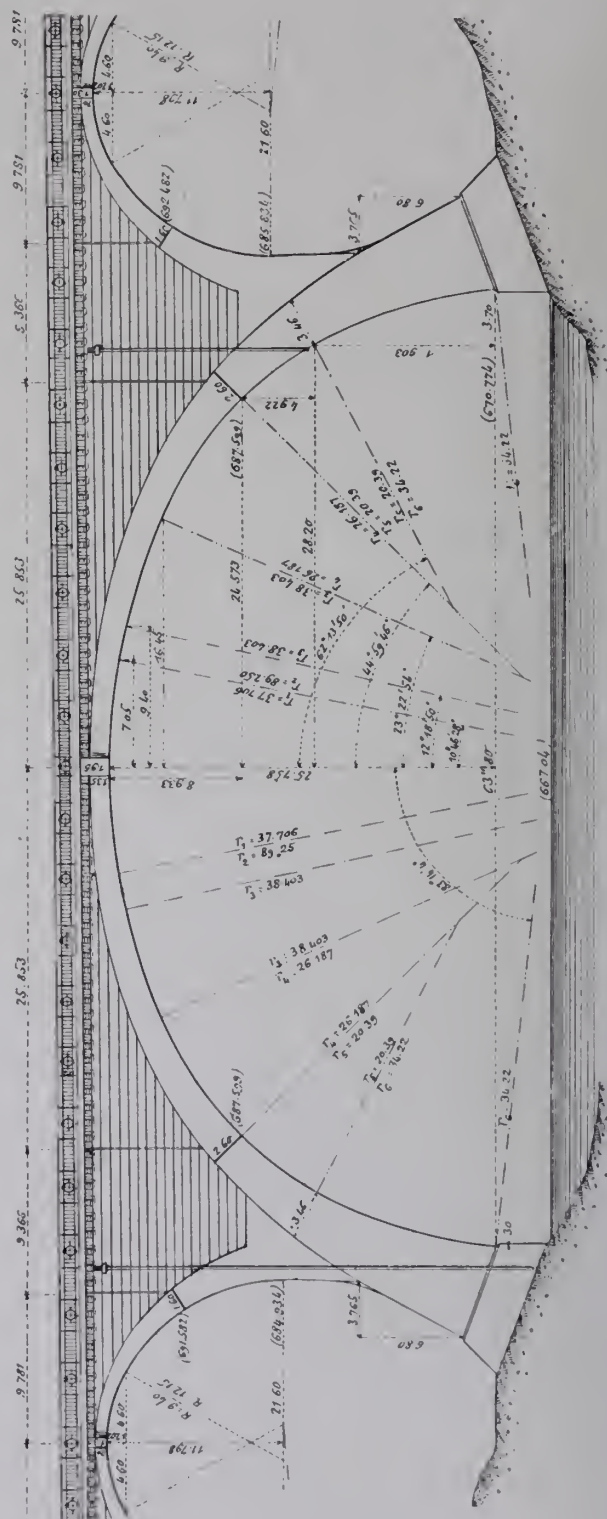
Les voûtes, grandes et petites, sont articulées à la clef et aux reins; toutes sont en arc sur culées en surplomb.

Il est très évident qu'on ne s'est pas préoccupé de l'aspect (S_3).

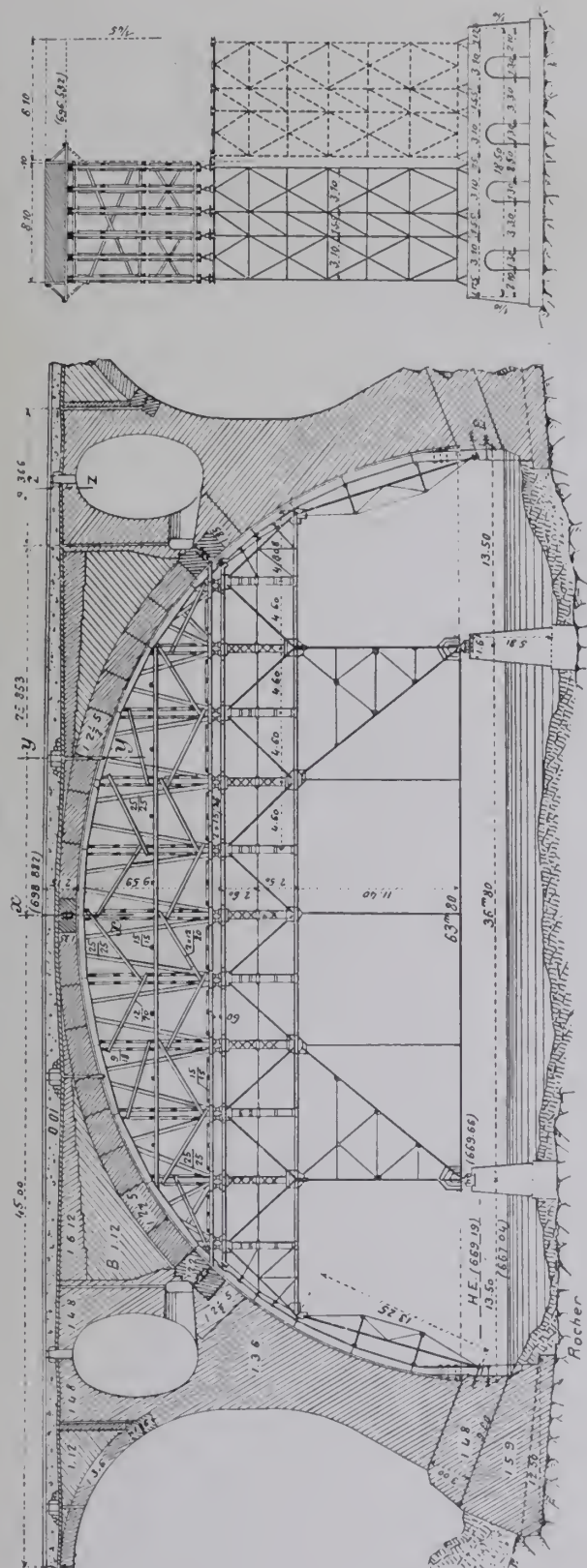
f_1 — l'ensemble — 1 mm



f_2 — Grande voûte — 2mm



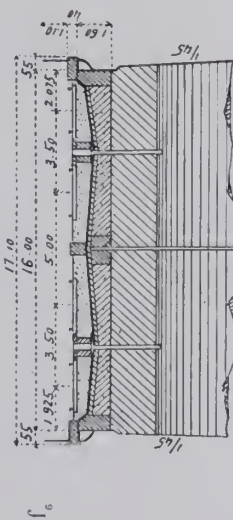
f₃ — Coupe en travers
sur xx de f₁ — 9mm



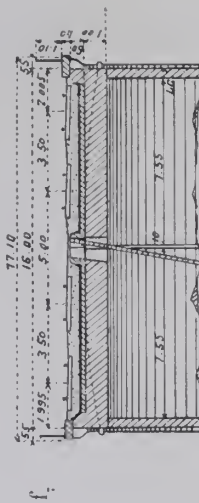
f₁ — Coupe en long et centre — 2mm

Coupes en travers

sur yy de f₁ — 3mm



sur zz de f₁ — 3mm



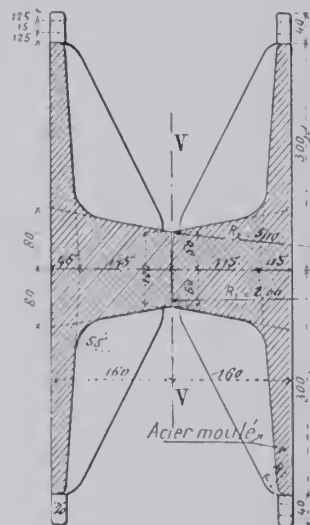
$\Phi_1 (S_3)$ — A gauche, les deux ponts aval P_1, P_2 ; à droite, le pont amont P' (f_4)



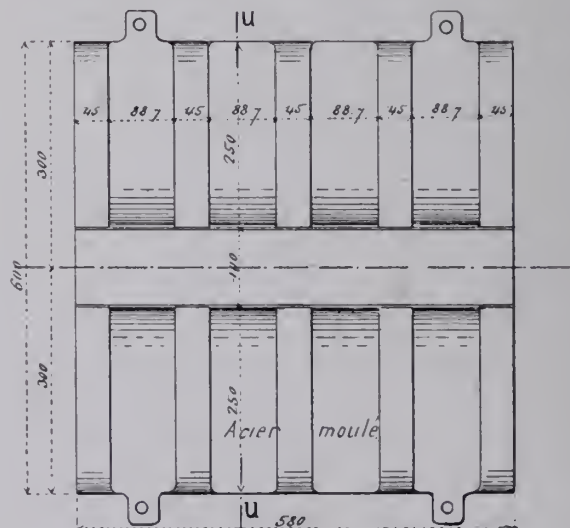
3. Articulations des grandes voûtes (f_8 à f_{11}).

Rotules — 10^m

f_8 — Coupe sur uu de f_9



f_9 — Vue sur rr de f_8



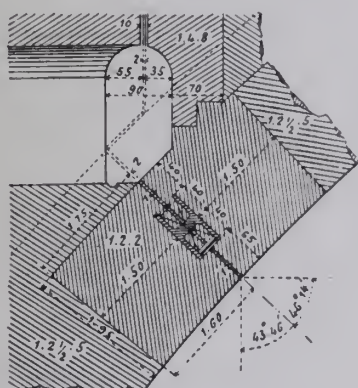
Φ_2 (S_3) — Pont amont P' (de f_1)



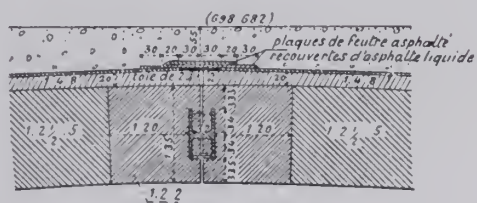
4. Joints de dilatation des tympans. — Au-dessus des rotules, les tympans et le remplissage sont coupés par des joints de dilatation de 2^{cm}, fermés par une tôle galvanisée de 2^{mm} d'épaisseur, 60^{cm} de largeur, recouverte de deux feuilles de feutre asphalté (f_{11}).

Rotules et sommiers — 1^m (S_4)

f_{10} — Retombées



f_{11} — Clef



5. **Sommiers en béton des rotules.** — On avait imposé à l'Entreprise une résistance de 400^k à 28 jours.

Voici le résultat des essais :

A. — *Cubes de béton de 30^m :*

Composition 1 vol ciment Dyckerhoff et fils et :				Résistance à l'écrasement, en Kg/\overline{cm}^2			
Sable (7^{mm})		Gravier ou Pierre cassée (1 3 de 7 à 15^{mm} ; 2 3 de 15 à 25^{mm})		à 28 jours, avec sable :		à 90 jours, avec sable :	
Provenance	Dosage	Provenance	Dosage	non lavé	lavé	non lavé	lavé
Heising	1	Pierre cassée basaltique d'Immendingen	1 1 4	348	372	448	468
	1 1 2		1 1 2	346	367	432	447
	2		2	343	350	413	478
	1	Dolomite de Pfronten	1 1 4		329		390
	1 1 2		1 1 2		314		381
	2		2		283		351
basaltique d'Immendingen	1	Gravier de Heising	1 1 4	344	324	406	401
	1 1 2		1 1 2	313	317	374	393
	2		2	304	311	344	389
basaltique d'Immendingen	1	Pierre cassée Basalte	1 1 4	339	343	444	489
	1 1 2		1 1 2	282	339	401	494
	2		2	241	331	352	469

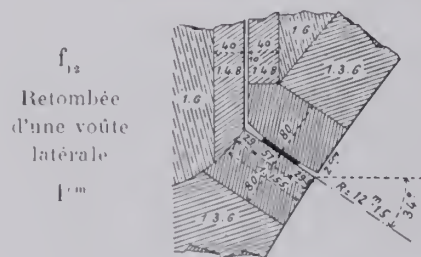
B. — *Cubes de mortier de 10^m :*

1 vol. ciment Dyckerhoff et fils et :	Dosage				
Sable de Heising.....	2 1 2	457	462	542	521
	4	371	314	397	466
Pierre écrasée de Heising.....	2 1 2	304		369	
	4	261		284	
Dolomite écrasée de Pfronten.....	2 1 2	330		408	
	4	267		331	
Sable de Heising et dolomite écrasée de Pfronten par moitié.....	2 1 2	368		431	
	4	273		309	

On a accepté 350^k au dosage 1^r , 2^r , 2^r (*chiffres en italiques du tableau A*).

6. Articulations sur plomb et joints de dilatation des voûtes

latérales. — Ces voûtes sont articulées par des bandes de plomb¹ de 8^{mm} d'épaisseur, 35^{cm} (S_1) de largeur à la clef et 57^{cm} aux retombées, posées entre des sommiers de béton : elles travaillent à 29^k par \overline{cm}^2 à la clef, à 48^k aux reins.



1. — Aux essais faits à Munich, des plaques carrées du même plomb, de 10^m de côté, 8^{mm} d'épaisseur, ne cédaient qu'à 425^k .

7. Cintre. — Le cintre, pesant 250 tonnes, a été déplacé parallèlement, du pont P_1 sous le pont P_2 , puis démonté et remonté sous le pont P^1 (f_1).

Il était calculé pour supporter une fois 1/2 le poids des voûtes.

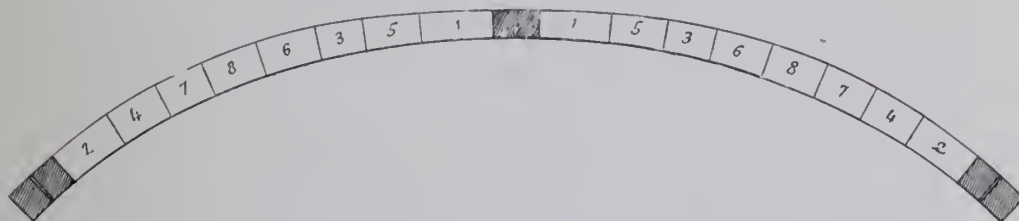
L'effort limite admis par $0^{mm}01^2$ était :

pour le fer.....	1200 ^k
pour le bois	<div style="display: flex; align-items: center;"> <div style="margin-right: 10px;"> \backslash dans le sens des fibres..... $/$ dans le sens perpendiculaire..... </div> <div> 28^k 12^{k 2} </div> </div>

On n'a pas chargé le cintre.

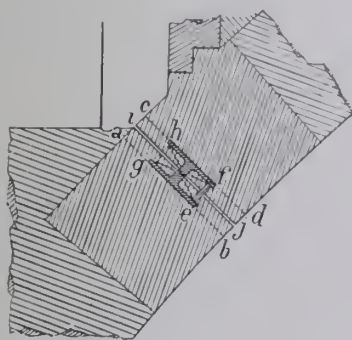
8. Exécution des grandes voûtes. — Chaque grande voûte a été construite à pleine épaisseur, en 16 tranches symétriques, chaque tranche en une seule journée, dans l'ordre des chiffres de f_{11} .

f_{11} — Ordre d'exécution des tranches — $2^{mm}5$



Pendant la construction, les deux parties d'une même rotule étaient solidarisées par des boulons de 16^{mm} .

f_{11} — Bétonnage
entre les sommiers d'articulation
 $f^{mm} (S_2)$

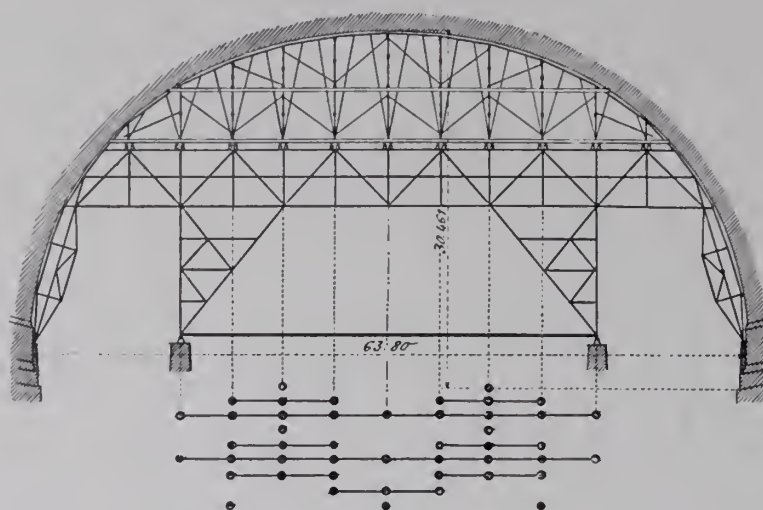


Avant de bétonner l'intervalle entre les lits ab et cd (f_{11}), on réservait, suivant le lit ij de contact des rotules, un intervalle libre de $1^{cm}05$, par des plaques de liège de 1^{cm} entre feuilles de zinc de $0^{mm}25$. Quand le béton arrivait aux boulons condamnant les rotules, on les sciait, puis on achevait de bétonner.

9. Décintrement. — On décintra entre rotules, avant de construire les tympans, 6 semaines après le clavage, en allant du milieu de chaque demi-voûte vers sa clef et vers sa retombée³.

2. — Au Pont Cornélius [\overline{A}^{11} 1^{re} ($\geq 40m$) 3], les semelles s'étaient écrasées sous 26^k (S_2).

3. — C'était considérer l'arc à 3 articulations comme formé de deux voûtes à 2 articulations.

f_{13} — Marche du décintrement — $1^{mm}5$ 

Les points réunis par un trait horizontal sous le croquis f_{13} ont été abaissés en même temps de la même quantité.

On ne constata pas de fissures.

14 jours après, on décintra au-dessous des rotules.

Au décintrement, les voûtes travaillent à 18^k7 à la compression et à 1^k4 à la traction.

10. Quantités. — Voici le cube du béton employé dans les 3 ponts :

Fondations.....	4.500 ^{mc}
Pieds-droits avec leurs appuis.....	11.000
Grandes voûtes.....	2.500
Petites voûtes.....	1.600
Tympans et remplissage.....	4.200
Total.....	23.800 ^{mc}

11. Personnel.

Projet et Direction générale des Travaux : M. Beutel, Ingénieur en chef de la Construction à la Direction Générale des Chemins de fer bavarois, à Munich.

Direction immédiate : M. Gumprich, « Regierungs-Rat » à Kempten ;
M. Endres, « Gen^{al} Dir^{on} Rat » à Munich.

La partie métallique du cintre a été projetée et exécutée par les Etablissements de construction de ponts de Gustavsborg (Usines réunies d'Augsbourg et Nuremberg).

Entrepreneurs : Ponts P_1 , P_2 (de f_1) : MM. A. Kunz et C^{ie}, de Kempten ;
Pont P' (de f_1) : MM. Dyckerhoff et Widmann, de Karlsruhe

SOURCES :

S_1 . — Dessins d'exécution gracieusement remis par MM. Beutel et Kunz.

S_2 . — Deutsche Bauzeitung, 1906, 21 avril, p. 219 à 222 ; — 28 avril, p. 232 à 236 ; — 12 mai, p. 261 à 264 : « Die Illerbrücken bei Kempten in Allgäu », von Regierungs-Baumeister a. D. Colberg, Direktor der Firma Dyckerhoff und Widmann, Karlsruhe.

S_3 . — Ce que j'ai vu — août 1908.

Ce pont a été décrit dans le Génie Civil du 16 février 1907, p. 257 à 260, Pl. XVI : « Ponts en béton à 3 rotules, sur l'iller, à Lautrach et à Kempten (Barrière) » A. C.

Texte : Ce qui n'est pas spécifié S_3 est de S_2 .

Dessins : Ils sont réduits de S_1 et rectifiés d'après S_2 pour les modifications en cours d'exécution.

VOÛTES ARTICULÉES

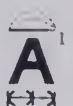
ARTICULATIONS ROULANTES ¹

ARCS TRÈS SURBAISSÉS ¹



PONTS A UNE SEULE GRANDE ARCHE

SOUS ROUTE

Série  ¹ r^{te} (> 40^m) ¹

1. — Pour le classement des voûtes articulées et le sens des symboles, voir Tome IV, Livre I, p. 28 et 29.

PONT A UNE SEULE GRANDE ARCHE SOUS ROUTE

PONT	PROJET							
	ENSEMBLE	GRANDE VOÛTE						
Date	Longueur entre abouts des parapets	Largeurs entre parapets entre tympans sous la plinthe	INTRADOS Portée Montée Surbaissément Rayons	ÉPAISSEURS CORPS ET TÊTES Clef Joints de rupture Retombées	ROTULES Pour les dimensions, rayons, pressions, ... voir Tome IV, livre III.	MATÉRIAUX Mortier Poids, pour 1 ^{me} de sable, de chaux ou de ciment	PRESSIONS en kg. 0 ^m 01 ² Surcharges supposées	1 ^o ÉVIDEMENT DES TYMPANS 2 ^o DÉCORATION DES TÊTES
Symbole	2	3	4	5	6	7	8	9
de Grasdorf <i>Hanovre</i> 1899-1900 \bar{A}^1 1 ^{te} (≥ 40 m)1	64 ^m 20 ^{mm} 20 ^{mm} Palier sur 4 ^m à la clef	$\left\{ \begin{array}{l} 6^m 00 \\ 6^m 00 \end{array} \right.$ Pas de fruit	Arc de cercle. Entre appuis : $\left\{ \begin{array}{l} 40^m 00 \\ 4^m 50 \\ \frac{1}{8,88} = 0,112 \end{array} \right.$ Entre axes des rotules : $\left\{ \begin{array}{l} 40^m 386 \\ 4^m 518 \\ \frac{1}{8,93} = 0,111 \end{array} \right.$ 46 ^m 694	$\left\{ \begin{array}{l} 0^m 85 \\ 1^m 16 \\ 0^m 90 \end{array} \right.$	Granit	B ¹ Ciment Portland 1 ^v Sable de la Leine 2 ^v 5 Basalte cassé... 4 ^v Résistance : à 42 j. 178 ^s à 96 j. 228 ^s	Pression maxima dans la voûte : 37 ^k Surcharges : 2 tuyaux de conduite ; 400 ^s 1 ^m 2 ; Voiture de 20 ^t à essieux de 1 ^m 50 espacés de 4 ^m	1 ^o 10 voûtes transversa vues, en plein ci 8 de 1 ^m 30 2 de 1 ^m 40 sur piles de 0 ^m 60 2 ^o
de Göhren <i>Saxe</i> 1903-1904 \bar{A}^1 1 ^{te} (≥ 40 m)2	76 ^m 90 35 ^{mm} 35 ^{mm} 7 Pas de fruit	$\left\{ \begin{array}{l} 5^m 40 \\ 5^m 40 \end{array} \right.$ Pas de fruit	Arc d'anse de panier. Entre appuis : $\left\{ \begin{array}{l} 60^m 00 \\ 6^m 75 \\ \frac{1}{8,88} = 0,112 \end{array} \right.$ Entre axes des rotules : $\left\{ \begin{array}{l} 60^m 36 \\ 6^m 80 \\ \frac{1}{8,89} = 0,112 \end{array} \right.$	$\left\{ \begin{array}{l} 1^m 10 \\ 1^m 50 \\ 1^m 20 \end{array} \right.$	Granit	Voûte en petits moellons Aux têtes, crépi simulant de grandes PT ¹ Ciment — 0 ^{me} 4	Pressions : sans surcharge : MAX. moy. Clef 31 ^k 30 ^k 1 Joints de rupt 30 ^k 6 28 ^k 5 Retombées 33 ^k 5 28 ^k 1 avec surcharge : MAX. moy. Clef 35 ^k 7 34 ^k 9 Joints de rupt 39 ^k 1 37 ^k 8 Retombées 40 ^k 2 33 ^k 1 400 ^s 1 ^m 2 Rouleau de 30 ^t	1 ^o 6 voûtes transvers vues, en plein ci de 2 ^{es} 2 ^m 40, 2 ^m 8 sur piles 0 ^m 90 et 1 ^m 2 ^o
de la Wallstrasse à Ulm <i>Wurtemberg</i> 1904-1905 \bar{A}^1 1 ^{te} (≥ 40 m)3	90 ^m 50 10 ^{mm} 44 ^{mm} Palier sur 5 ^m à la clef	$\left\{ \begin{array}{l} 10^m 00 \\ 8^m 80 \end{array} \right.$ Fruit : 1, 20	Anse de panier à 7 centres. Entre appuis : $\left\{ \begin{array}{l} 65^m 448 \\ 11^m 942 \\ \frac{1}{5,48} = 0,182 \end{array} \right.$ Au-dessus des rotules : Arc d'anse de panier à 5 centres $\left\{ \begin{array}{l} 57^m 00 \\ 5^m 80 \\ \frac{1}{9,827} = 0,101 \end{array} \right.$ Rayons à partir de la clef 60 ^m , 80 ^m , 20 ^m au-dessous des rotules 5 ^m	$\left\{ \begin{array}{l} 1^m 06 \\ 1^m 60 \\ 1^m 50 \end{array} \right.$	Acier moulé	B ¹ Ciment..... 1 ^v de Blaut euren Sable du Danube 3 ^v Pierre cassée calcaire..... 5 ^v Densité : 2400 ^s Au voisinage des articulations : Ciment..... 1 ^v Sable..... 1 ^v Pierre cassée... 2 ^v 5 (porphyre) Densité : 2300 ^s	Pression maxima : 40 ^k Sur les trottoirs : 450 ^s 1 ^m 2 sur la chaussée : 400 ^s 1 ^m 2 Rouleau à vapeur de 18 ^t	1 ^o Plaque fort de 16 ^m en béton sur piliers en de 30 à 4 ^m d'arête, en béton 2 ^o

1 Pour le sens de ces abréviations, voir Avertissement, Tome IV, p. 11, n° 6


SÉRIE \bar{A}^1 r^{te} ($\geq 40^m$)

TABLEAU SYNOPTIQUE

EXÉCUTION										CUBE DE MAÇONNERIE A MORTIER	
GRANDE VOÛTE										Q	
CINTRE										DÉPENSE	
FERMES										D	
Cube de bois Poids de fer Dépenses										Totaux	
MODE										et	
DE										par unité	
CONSTRUCTION										de surface utile S _p ³ de volume « utile » W	
DÉCINTREMENT										18	
État d'avancement du pont										Fondations : 1050 ^{mc}	
Temps entre le dernier clavage et le décintrement										Élévation : 2000 ^{mc}	
Date										Q = 3050 ^{mc}	
TASSEMENTS										Q : S _p = 7 ^{mc} 94	
DE LA CLIF										Q : W = 1 ^{mc} 09	
sur cintre t _c										D = 113 158 ^f	
au décin- trement t _v '										(Forfait)	
après t _v ''										D : S _p = 294 ^f 7	
										D : W = 40 ^f 4	
										D : Q = 37 ^f 1	
Gravier sabloeux										Tympan achevés	
30 au-dessus de la marne										t _c = 55 ^{mm}	
Pression : 4 ^k à 5 ^k										t _v ' = 24 ^{mm}	
On a tenu compte de la tasse des terres										t _v '' = 32 ^{mm} (129 j.)	
12 septembre											
Fixe										A pleine épaisseur, en	
Montants et contrefiches										16 tranches symétriques construites à partir des retombées	
Sapin										19 jours	
Boîtes à sable (grillé) placées entre billots la veille du décintrement										Béton pilonné par couches horizontales de 20"	
5										12 septembre	
18 ^{cm}											
1 ^m 45											
90 ^{mm}											
Cintre 141 ^{mc} Palees 30 ^{mc}										A pleine épaisseur, en	
171 ^{mc}										6 tronçons	
0 ^{mc} 51										Voûte nue	
Fermes : 1 ^m 00 interm. : 1 ^m 03 Fermes de rive : 1 ^m 08										t _c = 66 ^{mm}	
122 ^{mm}										t _v ' = 31 ^{mm} 3	
										t _v '' = 10 ^{mm} 7 (3 j.)	
										Recul des culées (moyennes de l'amont et de l'aval) R D 0 ^{mc} 47 R G 0 ^{mc} 71	
1 ^{er} et 2 décembre											
Fixe										A pleine épaisseur, en	
Montants et contrefiches										28 tranches symétriques	
Coins										Ouvrage presque entièrement achevé	
8										Clef 12 ^{mm}	
25 ^{cm}										t _c J ^{re} de 15 ^{mm} et rupt. 18 ^{mm}	
1 ^m 40										dû en partie à la compression du sable des boîtes	
90 ^{mm}										t _v ' = 7 ^{mm} 4	
29000 ^f										Recul des culées :	
le bois restant à l'Entrepreneur										Nord 0 ^{mc} 2 Sud 0 ^{mc} 3	
42 ^f 2											
63 jours											
Bon calcaire jurassique										Q = 4340 ^{mc}	
»										Q : S _p = 5 ^{mc} 01	
Pression maxima : 8 ^k										Q : W = 0 ^{mc} 44	
»										D = 195 836 ^f	
										D : S _p = 216 ^f 4	
										D : W = 19 ^f 0	
										D : Q = 43 ^f 1	

Pour le calcul de la surface de douelle, voir Avertissement, Tome IV, p. III, n° 7 — A. 3. S_p = Longueur (col. 2) \times Largeur entre parapets (col. 3) — C'est la surface offerte à la circulation.4. W = Surface vue de l'élévation \times Largeur entre parapets. 5. W' = Surface de l'élévation au-dessus des fondations \times Largeur entre parapets.Pour S_p , W , W' , voir Avertissement, Tome IV, p. III, n° 7 — B.

PONT A UNE SEULE GRANDE ARCHE SOUS ROUTE

PONT	PROJET							
	ENSEMBLE			GRANDE VOÛTE				1° ÉVIDEMENT DES TYMPANS
	Longueur entre abouts des parapets Déclivités Hauteur maxima de la chaussée au-dessus du sol ou de l'étiage	Largeurs entre parapets entre tympan sous la plinthe Fruit des tympan Revanche de la chaussée sur l'extrados	INTRADOS Portée Montée Surbaissement Rayons	ÉPAISSEURS CORPS ET TÊTES Clef Joints de rupture Retombées	ROTULES <i>Pour les dimensions, rayons, pressions, ... voir Tome IV, livre III.</i>	MATÉRIAUX Mortier Poids, pour 1 ^{me} de sable, de chaux ou de ciment	PRESSIONS en kg 0 ^m 01 ² Surcharges supposées	
1	2	3	4	5	6	7	8	9
Élise à Neubourg <i>Barrière</i> 1906-1907 A ¹ 1 ^{le} (≥ 40 m) ⁴	80 ^m 10  12 ^m 12 ^m Palier sur 8 ^m à la clef	8 ^m 90 8 ^m 70 Pas de fruit 0 ^m 40	Arc avec raccord vertical aux retombées: Portée entre culées : 47 ^m 30 Entre axes des rotules : 43 ^m 30 4 ^m 40 $\frac{1}{9,886} = 0,101$	0 ^m 95 1 ^m 20 1 ^m 15	Rotules d'acier moulé prises dans des sabots en fonte appuyés sur des sommiers de granit	Bandeaux : PT ¹ Muschelkalk Ciment — 325 ^k Douelle et Queutage : B ¹ Ciment 1 ^r Sable 2 ^r 1/3 Pierre cassée et gravier . . . 4 ^r 2/3	Pression maxima : sans surcharge : Clef : 25 ^k Joints de rupture : 21 ^k 5 Retombées : 22 ^k avec surcharge : Clef : 27 ^k Joints de rupture : 35 ^k 7 Retombées : 24 ^k 5 500 ^r 1 ^m 2 et Rouleau à vapeur de 20 ^r	1° 8 voûtes transversales biaises, cachées, en arc, de 2 ^m 40 d'ouverture biaise, sur piles de 0 ^m 40 2° »

t — Pour le sens de ces abréviations, voir Avertissement, Tome IV, page II, n° 6.

SÉRIE **A**¹ r^{le} ($\geq 40^m$)

TABLEAU SYNOPTIQUE (Suite)

EXÉCUTION										CUBE DE MAÇONNERIE A MORTIER	
GRANDE VOÛTE										Q	
CINTRE										DÉPENSE	
FERMES										D	
Cube de bois Poids de fer Dépenses										Totaux	
MODE DE CONSTRUCTION										et	
DÉCINTREMENT État d'avancement du Pont Temps entre le dernier clavage et le décintrement Date										par unité	
TASSEMENTS DE LA CLEF sur cintre au décintrement après										de surface utile S _p ³ de volume « utile » W ⁴	
Type Matière Appareils de décintrement										18	
Nombre Épaisseur Ecartement d'axe en axe Surhaussement											
Totaux											
par mq de douelle ²											
10											
11											
12											
13											
14											
15											
16											
17											
Rocher										Béton : 1920 ^{mc}	
»										Maçonnerie : 300 ^{mc}	
Pression maxima :										Q = 2 220 ^{mc}	
»										Q : S _p = 3 ^{mc} 11	
»										Q : W = 0 ^{mc} 39	
»										D = 209 780 ^f	
»										D : S _p = 294 ^f 3	
»										D : W = 36 ^f 7	
»										D : Q = 94 ^f 5	

Pour le calcul de la surface de douelle, voir Avertissement, Tome IV, p. III, n° 7 — A — 3. S_p = Longueur (col. 2) \times Largeur entre parapets (col. 3) — C'est la surface offerte à la circulation

4. W = Surface vue de l'élévation \times Largeur entre parapets. 5. W' = Surface de l'élévation au-dessus des fondations \times Largeur entre parapets.

Pour S_p , W , W' , voir Avertissement, Tome IV, p. III, n° 7 — B.

VOÛTES ARTICULÉES ARTICULATIONS ROULANTES
 ARCS TRÈS SURBAISSÉS
 PONTS A UNE SEULE GRANDE ARCHE SOUS ROUTE

SÉRIE $\bar{A}^1_{\leftrightarrow} r^{te} (\geq 4^m)$

MONOGRAPHIES

PONT SUR LA LEINE, PRÈS DE GRASDORF¹ (ALLEMAGNE - Hanovre)

*Route reliant l'usine d'alimentation de la Ville de Hanovre
 à la Route de Hanovre à Hildesheim*

1899-1900

$\bar{A}^1_{\leftrightarrow} r^{te} (\geq 4^m) 1$

$\Phi_1 (S''_1)$



1. — à 8+3 du village.

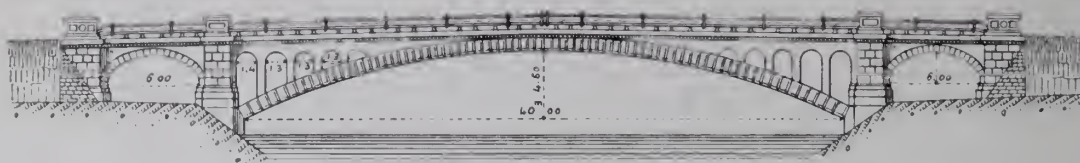
1. Grande voûte. — C'est un arc en béton à 3 articulations de granit. On a fait une grande arche pour ne pas relever les hautes eaux, qui atteignent déjà le village de Grasdorf.

On a adopté le béton parce qu'on avait, sur place, d'excellent sable.

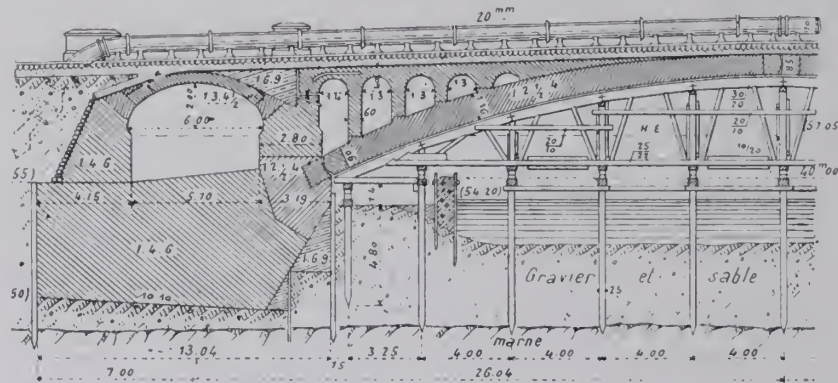
L'intrados est en arc de cercle. L'extrados est renflé en arc d'anse de panier à 7 centres.

Les bandeaux de la voûte et les pilastres sont à forts bossages et joints simulés : les tympans, à surface lisse.

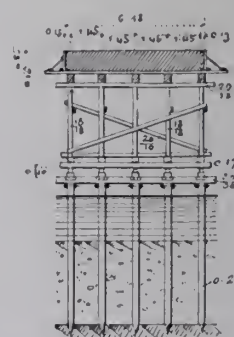
f_1 — Élévation — 2^{mm}



f_2 — Demi-coupe en long et cintre — 3^{mm}



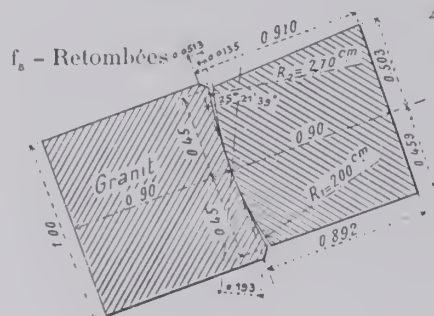
f_3 — Coupe en travers du cintre — 3^{mm}



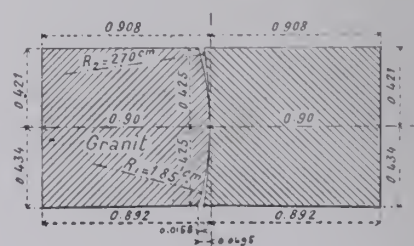
2. Articulations (f_4, f_5). — Elles sont du type arrêté et décrit par M. Köpcke ², type « qui s'est fort bien comporté dans nombre d'ouvrages » (S_2).

Les faces courbes sont polies sur environ 50^{cm}.

Articulations — 25^{mm}

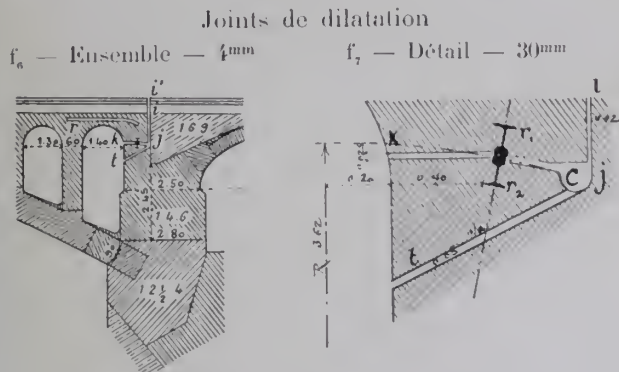


f_4 — Clef



2. — Zeitschrift des Architekten-und Ingenieur-Vereins zu Hannover, — vol. XXXIV, - 1888, - p. 373 à 380. « Über die Verwendung von drei Gelenken in Steingewölben », vom Geh. Finanzrath C. Köpcke zu Dresden ».

3. Joints de dilatation (f_6, f_7). — La retombée sur la culée de la dernière voûte d'évidement est coupée par un joint vide kji' (f_6).



r_2 , pris dans la culée, reste immobile avec elle.

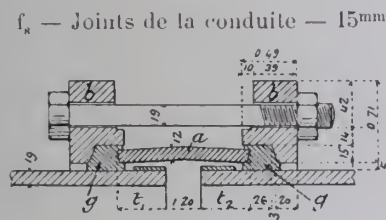
r_1 est entraîné avec la grande voûte : il tourne autour de l'axe de la rotule de retombée, lequel n'est sans doute pas exactement fixe dans l'espace puisqu'il y a roulement, mais qu'on peut considérer comme tel.

6 coupons de vieux rails r (f_6) arrêtent la poussée.

Dans le béton sont encastrés deux vieux rails r_1, r_2 (f_7) ; leurs champignons, qui doivent glisser l'un sur l'autre, sont polis, — celui de r_1 suivant un plan, — celui de r_2 suivant un cylindre dont le rayon est la distance à la ligne de contact de la rotule des retombées.

4. Joints mobiles du tuyau de conduite d'eau. — Le pont porte la conduite d'alimentation de Hanovre.

Pour qu'elle puisse se dilater librement, et aussi pour suivre les mouvements de la voûte, elle est, au droit de chacune des 3 articulations, coupée par un joint mobile ³ ainsi disposé (f_8) : un anneau en fer forgé a recouvre l'intervalle de 20mm à 30mm entre les tuyaux t_1, t_2 . Il est pris entre deux colliers de caoutchouc g par les anneaux de fonte b , serrés par des boulons.

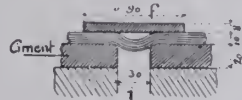


5. Écoulement des eaux. — Sur une couche de ciment, est posée une feuille de fentre de 4mm entre deux couches de 3mm d'un mélange d'asphalte, de mastic d'asphalte et de gondron de houille. Les eaux s'écoulent suivant l'axe du pont sous un fer Zorès entouré de gros graviers.

Au droit des joints de dilatation, la chape est renforcée de feuilles alternées de carton et de plomb, courbées pour en suivre le jeu. Le tout est protégé par un fer plat f (f_9).

Si de l'eau entrainé dans le joint de dilatation i (f_6, f_7, f_9), elle sortirait par le tuyau t (f_6, f_7).

f_9 — Chape
au-dessus des joints
de dilatation — 15mm



Sous les voûtes d'évidement, une chape en ciment rejette l'eau vers les têtes.

3. — Système Ch. Gibault, employé sur nombre de conduites d'eau et d'air comprimé. Génie Civil, 21 janvier 1893, p. 181 à 187 : « La dérivation de la Vigne », R. Andras.

Ces essais ont été faits au Laboratoire de Charlottenbourg, sur des cubes de 20^{cm} et 40^{cm}, en béton prélevé au moment de l'emploi.

Il était plus comprimé que le béton de l'ouvrage.

On a fait à la machine presque tout le béton de la grande voûte.

E. Granit des rotules. — C'est du granit bleu à grain fin des carrières d'Edenstetten (canton de Deggendorf, forêt de Bavière), étudié déjà par M. Max Leibbrand à l'occasion du projet de pont articulé, en béton, sur l'Eyach à Innau, exécuté en 1896⁴.

Des essais de résistance avaient alors été faits à Stuttgart par M. C. von Bach et à Munich par M. le Professeur Föppl⁵.

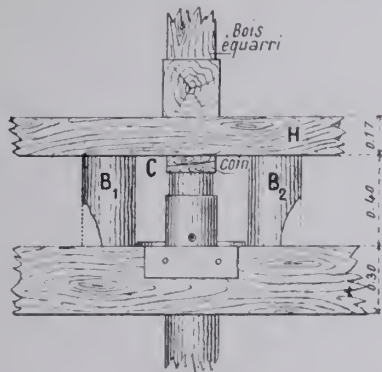
On avait trouvé :

Densité moyenne.....	2.640 ^k
Résistance	à l'écrasement..... 1.099 ^k
moienne.	à l'arrachement (épreuves de 100 ^{mm} de section moyenne)..... 46 ^{k9}
en kg/0 ^m 01 ² :	à la flexion (prismes de 105 ^{cm} de long et 15 ^{cm} × 15 ^{cm} de section)..... 86 ^{k6}
	au choc (cylindres de 40 ^{cm} de long, 13 ^{cm} de diamètre, prolongés à chaque extrémité par une partie prismatique de 15 ^{cm} × 15 ^{cm} de section) 80 ^{k2}

Aux essais faits à Stuttgart, sur des cylindres de granit de 50^{cm} et 75^{cm} de long, pour des efforts de 134^k à 186^k, les modules d'élasticité ont varié de $1,43 \times 10^9$ à $2,15 \times 10^9$.

10. Appareils de décintrement (f_{11}). — On devait, comme au pont de Claix⁶, faire porter chaque poteau du cintre sur deux billots B_1 , B_2 ; puis, la veille du décintrement, installer entre B_1 et B_2 une boîte à sable serrée contre la

f_{11}
Appareil
de
décintrement
30^{mm}



semelle H par des coins en chêne C; enfin, au décintrement, ruiner d'abord B_1 , B_2 à coups de hache, puis enlever le sable des boîtes.

Mais la semelle H étant trop faible avec 17^{cm}, on fit porter chaque poteau du cintre sur 3 billots (B_1 , B_2 et un 3^e, B_3 , entre eux). La veille du décintrement, on remplaça B_3 par une boîte à sable.

4. — arc de 30^m au I 10. — Zeitschrift für Bauwesen, 1898, p. 187 à 203, Pl. 26 : « Betonbrücke mit Granitgelenken über die Eyach bei Innau in Hohenzollern », vom Landesbaurat Max Leibbrand, mitgetheilt vom Ober-Ingenieur Alfred Gaedertz. (Voir Tome IV, Livre III).

5. — Zeitschrift des Vereines deutscher Ingenieure, 1897, n° 9, M. C. von Bach. — et Zeitschrift für Bauwesen, 1898 (article de M. Gaedertz, cité ci-dessus, renvoi 4).

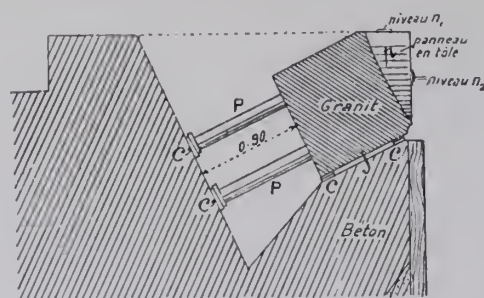
6. — \overline{A}^1 1^{re} (≥ 40 m)5 — Tome III.

Les boîtes à sable voisines des culées étaient à 0^m70 en contrebas des autres : pour elles, on abaissa le niveau des eaux à l'intérieur d'un petit batardeau spécial (f_2).

11. Fondations. — On descendit, en épuisant à l'intérieur d'une enceinte de pieux de 8^m50 et de palplanches de 8^m et 0^m16 d'épaisseur, dans le gravier sablonneux surmontant la marne. Les palplanches, trop minces, ne purent l'atteindre et on s'arrêta sur le gravier à 1^m30 au-dessus.

12. Exécution de la grande voûte. — *A. Pose des rotules de retombées.* — *A₁. Pose des blocs concaves (f_{12}).* — En bétonnant les culées, on avait ménagé la place de ces blocs et, par derrière, un vide de 0^m90.

f_{12} — Pose des blocs concaves
des rotules de retombées — 15^{mm}



Ceux de rive droite avaient 1^m de long et pesaient 2^t4 ; ceux de rive gauche avaient 1^m20 et pesaient 2^t9.

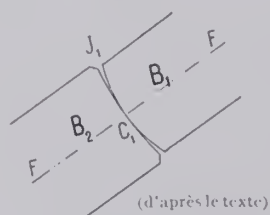
Ils furent posés, à l'aide d'un panneau p en tôle d'acier de 1^{mm} d'épaisseur, muni de deux niveaux n_1, n_2 , sur 4 paires de coins en fer c , et soutenus par des poteaux P et des coins en bois c' .

Après la pose de toute la file, on mata avec un fer plat le joint inférieur j de 3^{cm} environ, au mortier à l'état de terre humide ; puis on enleva les coins en fer c

et on bétonna l'espace vide de 90^{cm} en enlevant, au fur et à mesure, les poteaux P et les coins c' .

A₂. Pose des blocs convexes (f_{13}). — On avait calculé l'abaissement au décimètre ; on en avait déduit le roulement de B_1 sur B_2 , puis la variation d'ouverture Δj_1 du joint j_1 . On connaissait donc la valeur de j_1 pour que le contact C_1 fût sur la fibre moyenne FF , et, par conséquent, l'ouverture avant mouvement $j_1 - \Delta j_1$; on l'a fixée par des coins en fer.

f_{13} — Pose des blocs convexes
des rotules de retombées
15^{mm}

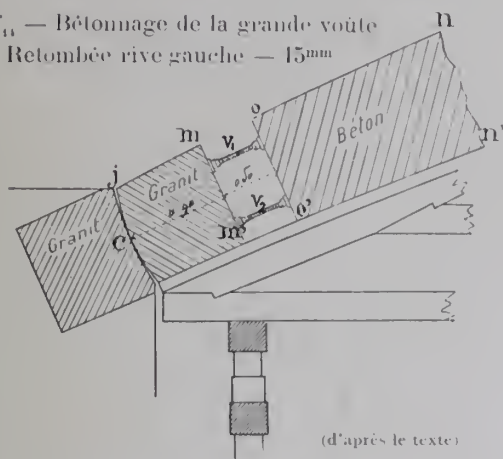


On a pu poser ainsi les rotules de telle sorte qu'après le mouvement, C_1 fût sur la fibre moyenne.

B. Bétonnage de la grande voûte. — Après la pose des rotules, le cintre fut chargé, sur 1^m de hauteur, de sacs de gravier qu'on enlevait au fur et à mesure du bétonnage.

Immédiatement avant de poser le béton, on revêtait la douelle de 1 à 2^{cm} de mortier, afin de cacher les pierres du béton.

f_{11} — Bétonnage de la grande voûte
Retombée rive gauche — 15^{mm}

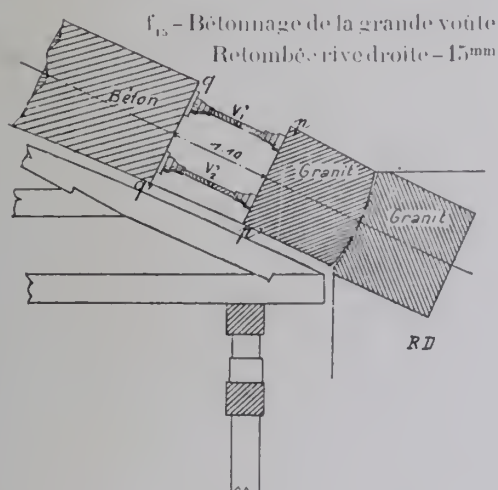


Après décintrement, on la dressait et on y étendait un lait de ciment.

Le 4 juillet 1900, on exécuta, côté rive gauche, une tranche $mm'nn'$ (f_{11}) de 2^m35, appuyée sur le sommier supérieur de retombée.

Mais on constata le lendemain que, par suite d'un tassement du cintre, le joint sec j d'extrados entre les blocs de granit de la rotule, s'était ouvert de 4^{mm}5, ce qui correspondait à un abaissement du point de contact c de 70^{mm}.

On enleva alors, non sans peine, sur 50^{cm}, le béton $mm'oo'$ (f_{11}) en contact avec le bloc supérieur ; on remit le bloc exactement en place et on le pressa contre le béton par des vérins à vis V_1, V_2 .



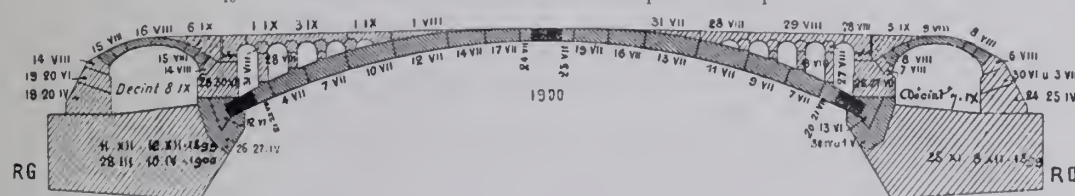
Puis on commença le bétonnage côté rive droite, après avoir ménagé sur le bloc supérieur d'articulation un vide $pp'qq'$ (f_{12}) de 1^m10, au moyen de vérins à vis V_1', V_2' .

On continua alors, comme l'indique f_{10} , par tranches alternatives sur chaque demi-voûte, jusqu'à 0^m86 en arrière de la rotule de clef.

Le béton était pilonné par couches horizontales de 20^{cm} d'épaisseur. Au-

tant que possible, les parties faites chaque jour étaient limitées normalement à la courbe de pression.

f_{10} — Dates d'exécution des différentes parties du pont — 2^{mm}



En même temps qu'on posait le béton, on pilonnait contre les cloisons de tête une couche de 8^{cm} environ de mortier composé de ciment coloré, de gravier de la haute vallée du Harz, et de sable blanc.

Avant de poser le béton frais, on lavait la surface du béton de la veille et on y projetait du mortier de ciment clair, qu'on étendait vigoureusement au balai.

C. Clavages. — C_1 - aux retombées. — Les vérins V_1, V_2 (f_{11}), V'_1, V'_2 (f_{13}) étant fortement serrés, on s'assura, en introduisant une lame d'acier de 2^{cm} de largeur et 0^{mm}2 d'épaisseur, que les blocs étaient en contact sur toute leur largeur.

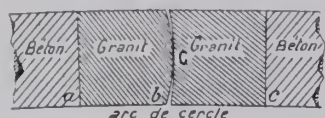
On enlevait chaque rangée de vérins lorsque le béton était arrivé à sa hauteur.

Mais lorsqu'on lâcha les vérins supérieurs V_1, V'_1 (f_{11}, f_{13}), le joint d'extrados entre rotules s'écarta, les blocs tournant vers le bas.

On resserra les vérins V_1 (f_{11}) et on les entoura de cloisons de bois montant jusqu'à l'extrados. On bétonna entre les cloisons, puis on enleva les vérins et les cloisons et on remplit les vides.

C_2 - à la clef. — Après tassement au décintrement, l'intrados des blocs d'articulation de clef doit être un arc de cercle abc (f_{17}), et le point de contact C sur la fibre moyenne.

f_{17} - Comment doit être
l'articulation de clef
après décintrement — 15^{mm}



On posa ces blocs sur coins, de façon que leur intrados fût en ogive $a'b'c'$ (f_{18}).

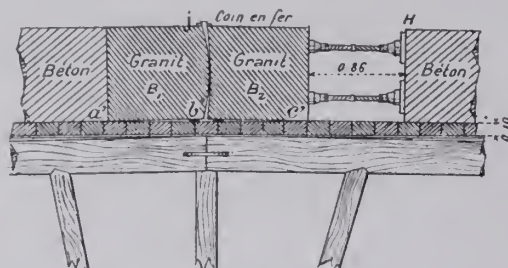
La largeur à l'extrados du joint sec j était maintenue par un coin de fer à la demande.

Les blocs convexes B_1 (f_{18}) furent posés comme les blocs concaves des retombées sur coins en fer,

à l'aide d'un panneau en tôle ; puis on pilonna le béton par derrière.

Le lendemain, on posa les blocs concaves B_2 sur coins ; on les serra par des vérins et on clava la voûte à la clef.

f_{18} - Pose du bloc concave de l'articulation
de clef — 15^{mm}



Au moment des clavages, le béton était âgé de :

- 13 jours à la retombée rive droite ;
- 17 jours à la retombée rive gauche ;
- 6 jours à la clef.

La pression des vérins était de 5000^k, répartie sur environ 650^{cm} (surface d'appui des blocs de bois H) (f_{18}), soit environ 8^k 0^{mm}01².

13. Construction des voûtes d'évidement et de décharge. —

Après le clavage, on construisit les voûtes d'évidement, les voûtes de décharge et leurs tympans.

Le rail supérieur du joint de dilatation (r_1 de f_7) fut posé à 1^{cm} en arrière de la position indiquée au projet, pour tenir compte des mouvements de la voûte au décintrement.

Le joint horizontal kj (f_6 , f_7) fut ménagé au moyen d'une couche de 5^{mm} de sable.

Les surfaces de glissement se comportèrent bien au décintrement, quoique le béton des voûtes d'élégissement n'eût que 9 jours.

14. Décintrement. — On vida plus tôt et plus vite les boîtes du centre.

15. Tassements.

			Température moyenne en degrés Centig.		Tassements de la clef en m m	
			du jour de l'ob- serva- tion	des 10 jours précé- dents	partiels	cumulés
du cintre (1900)	avant le bétonnage	au moment de la pose du cintre (surhaussé de 90 ^{mm})	»	»	0 ^{mm}	
		26 juin - avant chargement du cintre.....	»	»	5	5 ^{mm}
		2 juillet - après chargement.	»	»	13	18
	pendant le bétonnage	de la grande voûte { 13 juillet.....	»	»	4	22
		17 juillet.....	»	»	0	22
		26 juillet - (après clavage)..	+ 28°	+ 23°	14	36
		des voûtes d'évide- ment { 1 ^{er} août.....	+ 19°	+ 21°	4	40
		11 août.....	+ 16°	+ 17°	2	42
		8 septembre.....	+ 16°	+ 16°	8	50
de la grande voûte	au décintrement (12 septembre 1900)	avant décintrement, les boi- tes à sable mises en place.	+ 14°	+ 15°	5	55
		après décintrement.....	+ 14°	+ 15°	24	79
	pendant l'achèvement du pont (1901)	19 janvier.....	0°	- 5°	32	111
		13 juillet (temps très sec)...	+ 26°	+ 22°	- 12 relèvement	99
		23 août.....	+ 20°	+ 20°	6	105

On n'a pas pu observer de mouvements horizontaux des culées.

16. Achèvement du pont. — Avant de poser la chape à la clef, on coula de l'asphalte chaud sur 8^m de profondeur à l'extrados du joint d'articulation.

On fit de même aux retombées : de plus, on boucha la partie inférieure du joint avec de la licelle mince entourée d'une épaisse couche d'asphalte.

17. Dates.

			1899
Commencement des travaux.....			8 août
Construction des batardeaux	rive droite.....		30 août - 21 octobre
	rive gauche.....		23 août - 18 novembre
Bétonnage des culées. . . .	rive droite.....		25 novembre - 8 décembre
	rive gauche.....		11 et 12 décembre 1899 28 mars - 10 avril 1900

(Les travaux furent suspendus du 13 décembre 1899 au 28 mars 1900, à cause du froid, puis d'une crue).

			1900
Bétonnage de la voûte.....			4 - 25 juillet
Clavages	aux retombées	rive droite.....	20 - 21 juillet
		rive gauche.....	21 - 22 juillet
	à la clef.....		25 juillet
Décintrement.....			12 septembre

18. Dépenses. — L'ouvrage a été exécuté à forfait pour 91.700 marks (113.158^f), non compris les tuyaux, les murs en béton soutenant derrière les culées les tuyaux condés, le pavage, le garde-corps, les remblais et quarts de cône.

19. Personnel.

Ingénieurs :

Direction générale : M. A. Bock, « Direktor der Städtischen Kanalisations- und Wasserwerke », à Hanovre.

Projet et Direction des travaux : M. C. Dolezaleck, « Ingenieur der Städtischen Kanalisations- und Wasserwerke » à Hanovre.

Entrepreneurs : MM. B. Liebold et C^e, d'Holzminden.

SOURCES :

S'_1 . — Dessins d'exécution (S'_1) et photographies (S''_1) que m'a très aimablement adressés M. C. Dolezaleck, en avril 1910.

Les dessins sont extraits de S'_1 , sauf f_{13} , f_{14} , f_{15} , f_{17} restitués d'après le texte.

S_2 . — Zeitschrift für Architektur und Ingenieurwesen 1901, p. 47 à 54 et 313 à 338, Pl. 3 et 4 : « Brücke über die Leine bei Grasdorf », MM. A. Bock et C. Dolezaleck.

Le texte est extrait de S_2 .

S_3 . — Renseignements gracieusement communiqués par M. B. Liebold, en juillet 1910.

PONT SUR LA ZWICKAUER MULDE, PRÈS DE GÖHREN (SAXE)

Route de Göhren à Cossen

1903-1904

\bar{A}^1 1^{re} $(\geq 40m)^2$

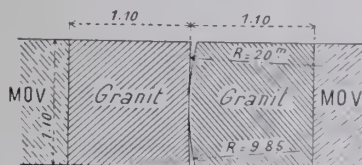
Φ_1 - aval (S_2)



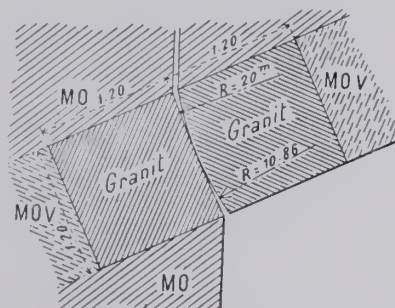
1. Articulations (f_1 , f_3).

15^{mm}

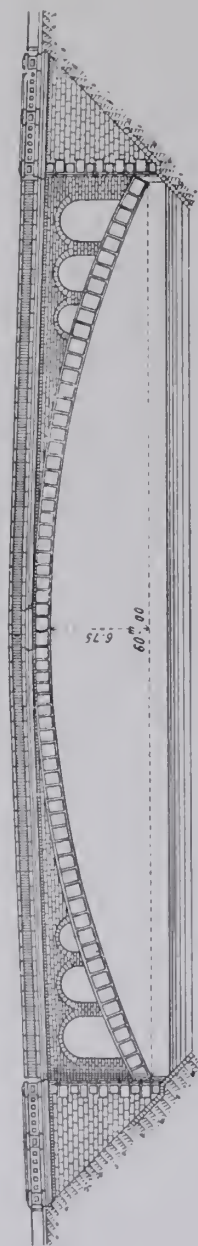
f_1 — Clef



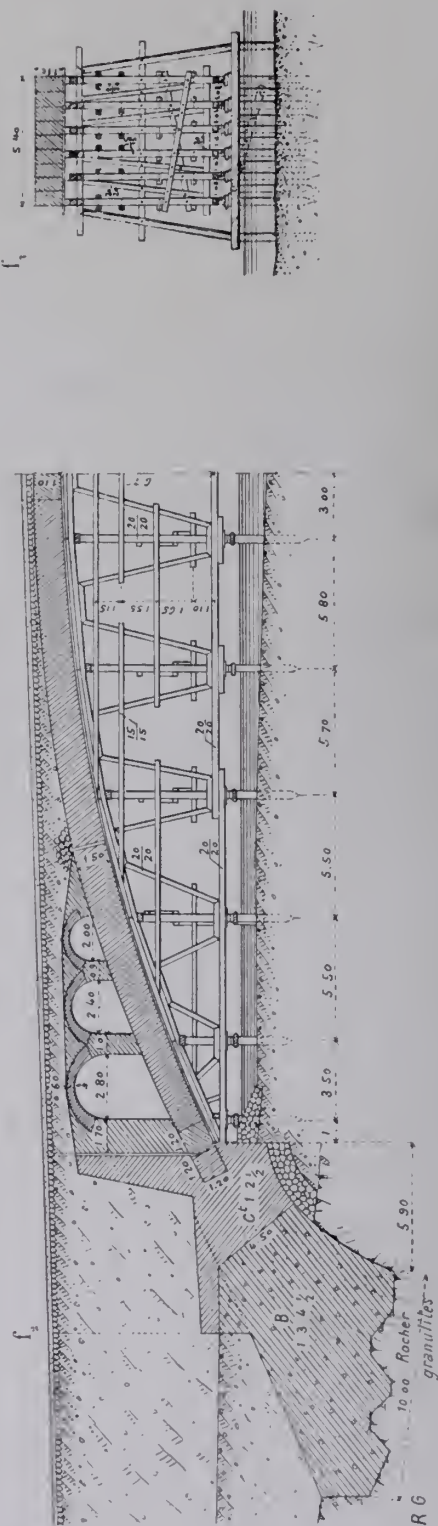
f_3 — Retombées



f₁ — Élévation — 2^{mm}



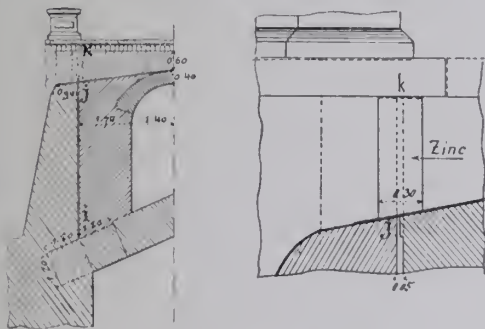
Coupes et cintre — 3^{mm}



Φ_2 -- aval (S₂)


2. Joints de dilatation au-dessus des articulations des naissances (f_6 , f_7).

Joint de dilatation
 f_6 — Ensemble — 4^{mm} f_7 — Détail — 2^{cm}



On a coupé la culée de la dernière voûte d'évidement par un joint vide vertical ijk (f_6) de 5^{cm}, masqué en élévation par les murs en retour.

Le haut du joint jk est fermé par une feuille de zinc de 2^{mm} d'épaisseur et 30^{cm} de largeur, qui se relève le long du parement intérieur des tympans (f_7).

3. Matériaux et exécution de la voûte. —

On a d'abord étalé sur le platelage du cintre un lit de mortier : la

douelle apparaît lisse, sans lits, ni joints.

Aux têtes, on a simulé¹, avec un mortier spécial, des joints de pierre de taille.

La voûte a été construite en 6 tronçons soutenus par des taquets en bois.

1. — Suivant les errements de la maison Liebold. Voir Pont de Plauen \bar{A}^1 1^{re} ($\geq 40m$)¹⁰ ; Pont sur la Chemnitz \bar{A}^1 Fr ($\geq 40m$)¹⁴ ; Ponts de Silésie \bar{A}^1 1^{re} ($\geq 40m$)⁴ à 9 ; \bar{A}^n 1^{re} ($\geq 40m$)⁵ et 6, Tome III.

4. Dates.

	1903
Commencement des travaux.....	25 mars
Fondations.....	6 avril — 10 juillet
Grande voûte ..	7 — 19 octobre
Décintrement.....	1 ^{er} et 2 décembre
	1904
Ouverture à la circulation.....	16 juin

5. Cube de maçonnerie.

Voûte, sans les sommiers des articulations, — moellons ordinaires lités	431 ^{me}
Autres maçonneries, — moellons ordinaires à ciment.....	885
Béton des culées (1 ^{re} , 3 ^{re} , 4 ^{re} 5).....	783
Total.....	2.099 ^{me}

6. Personnel.

Projet et Entreprise : MM. Liebold et C^{ie}, de Langebrück (Saxe).

Direction des Travaux : M. Köhler, « Baurat, Vorstand der Strassen- u- Wasserbauinspektion », de Grimma ; M. Matthes « Bauinspektor ».

SOURCES :

S₁. — Renseignements et dessins d'exécution gracieusement communiqués par M. le Directeur de la « Königliche Sächsische Wasserbaudirektion » à Dresde.

S₂. — Ce que j'ai vu — août 1908.

PONT DE LA WALLSTRASSE, A ULM (BAVIÈRE)

PRÈS DE LA GARE, PAR DESSUS 13 VOIES DE CHEMIN DE FER

1904-1905

$\bar{A}^1 r^{te} (\geq 40m)3$

$\Phi_1 (S_3)$

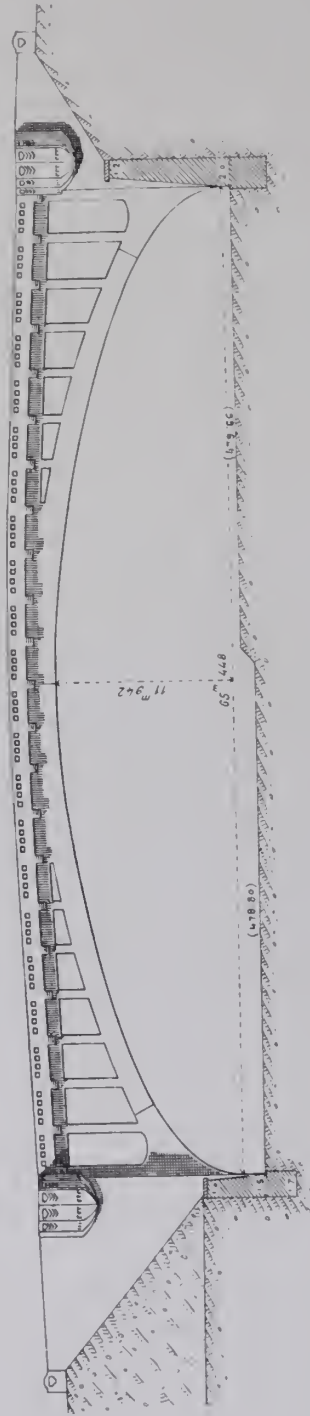
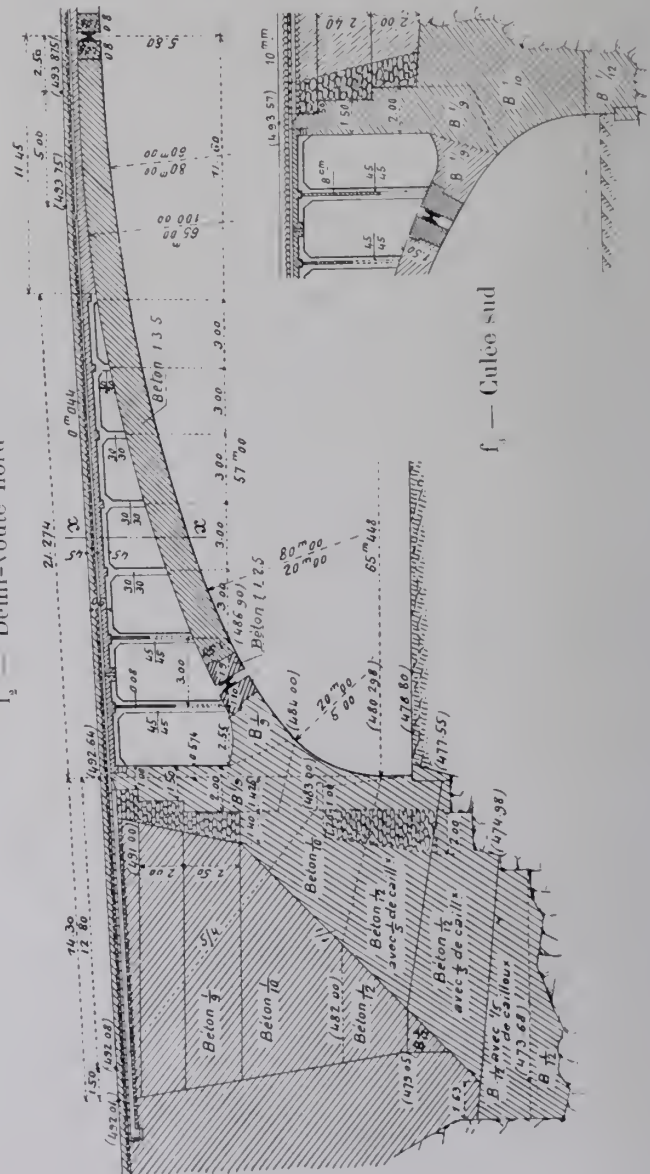
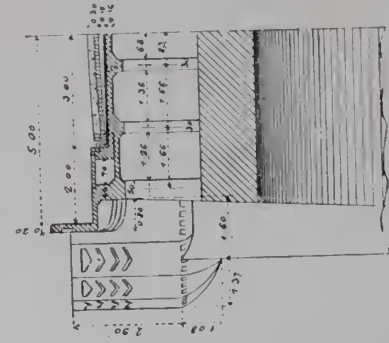
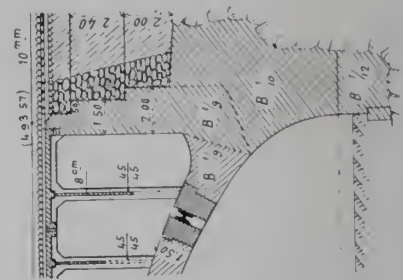


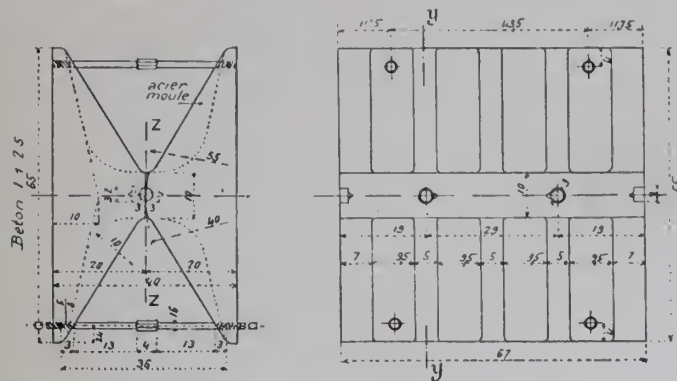
1. Matériaux employés. — La voûte est en béton, à 3 articulations en acier moulé.

La plate-forme et ses piliers, les consoles sous trottoirs, les parapets, sont en béton armé.

2. Tracé de la voûte. — La fibre moyenne est la courbe de pression sous le poids mort.

Aux retombées, on a raccordé l'intrados aux culées par un petit rayon : leurs rotules sont au-dessus de la fibre moyenne.

f₁ — Élévation — 2mmCoupes en long — 3mm
f₂ — Demi-voûte nordf₃ — Demi-coupe en travers
sur XX de f₂ — 5mmf₄ — Culée sud

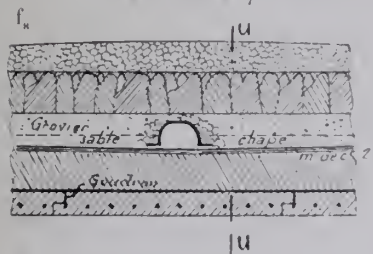
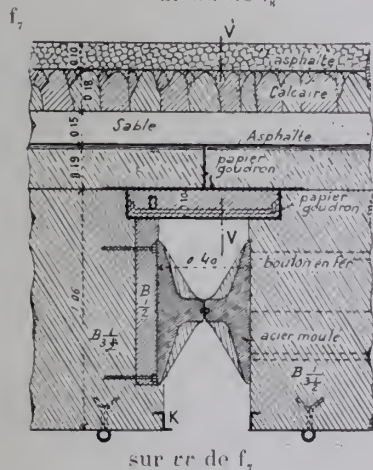
Rotules — 6^m
 f_3 — Coupe sur yy de f_6
 f_6 — Vue sur zz de f_3

cage en béton, de 14^m à 15^m d'épaisseur.

4. Elégissement des tympans (f_1 à f_4). — Le tablier, en béton armé de 16^m, repose sur des piliers en béton armé de 30^m × 30^m à 45^m × 45^m. Il n'est pas armé au cerveau.

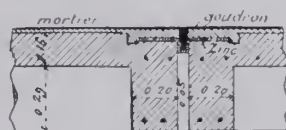
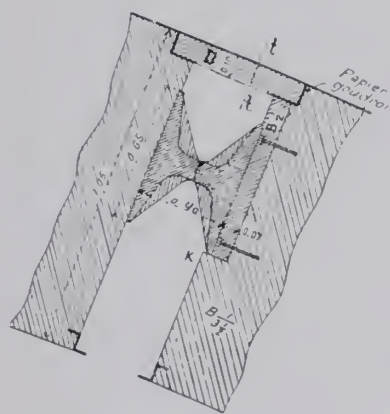
On a, pour l'aspect, élargi à 60^m les faces des piliers de tête.

5. Chape (f_5 , f_6). — Le tablier est recouvert de 2^m de mortier de ciment à deux pentes versant vers l'axe, et d'une chape Siebel¹.

Joints de dilatation — 3^m

Clef
Coupes
sur uu de f_8


Retombées

Coupes en long
 f_9 — Plate-forme

 f_{10} — Voûte

 f_{11} — Coupe en travers sur tt de f_{10}


6. Joints de dilatation (f_7 à f_{11})

Aux retombées, le haut des joints de dilatation du tablier est recouvert d'une feuille de zinc recourbée, dans le creux de laquelle on a versé du goudron (f_9).

La console de clef est coupée par le joint d'articulation.

1. Feuilles de plomb et feutre asphalé.

7. Trottoirs. — Ils sont en béton armé, sur consoles en béton armé, saillant de 0^m80.

Cette saillie, rationnelle, fait bon effet (S_3).

8. Parapet. — Le parapet, en béton armé, est plein, avec quelques dessins en creux pour en accider la surface : il eût peut-être convenu de l'ajourer.

Malgré les joints ménagés, on y remarque (août 1908) quelques minces fentes verticales aux angles des culs-de-lampe et en quelques autres points.

9. Culées. — Elles n'ont pas de plinthe : on ne la regrette pas. Leurs culs-de-lampe sont un peu lourds.

10. Aspect du pont (S_3). — Pas d'arêtes vives : on a, par exemple, arrondi en rayon de 10^m les arêtes d'intrados et d'extrados de la voûte.

Tout le pont est enduit du même badigeon blanc.

Il est moulé, et le paraît.

11. Béton. — A. - *Pierre cassée*. — Les pierres calcaires pour le béton s'écrasaient de 560^k à 840^k; les plus dures étaient réservées à la voûte et cassées à part.

Le concasseur fournissait 4 à 5^{me} par heure, et donnait :

55 % de pierre de 15^{mm} à 40^{mm} de grosseur ;

25 % de gravier de 8^{mm} à 15^{mm} ;

20 % de sable rouge, dur, de 0 à 8^{mm}.

B. - Dosages.	1 vol. Ciment de Blaubeuren, qualité « Brückencement »				Consistance du béton
	Sable		Pierre cassée		
	Dosage en vol.	Provenance	Dosage en vol.	Nature de la pierre	
Voûte	3 ^r	Danube	5 ^r	Pierre et gravier calcaires, durs	Terre humide
Près des rotules	1 ^r	Danube	2 ^r 5	Porphyre lavé de Dossenheim (Bade)	Terre humide
Béton armé	4 ^r 5	Gravier broyé	»	»	Fluide épais

C. - *Essais, faits à l'Ecole Polytechnique de Stuttgart, pendant la construction, sur du béton pris à la bétonnière.*

	Composition du béton Ciment Portland : 1 ^{re}		Mode de fabrication	Age en jours	Densité	Résistance à l'écrasement en Kg/cm ²
	Sable	Pierre cassée				
Culées	2 ^{re} 25 Pfuhl	6 ^{re} 75 Calcaire tendre	Machine	64	2 25	200 ^k
	2 ^{re} 25 Pfuhl	6 ^{re} 75 Gravier du Danube, cassé	—	66	2 41	277 ^k
	2 ^{re} 25 Danube	7 ^{re} 75 Calcaire tendre	—	81	2 37	264 ^k
Voûte	3 ^{re} Danube	5 ^{re} Calcaire dur	—	57	2 42	346 ^k
Près des articulations (f ₁₉ , f ₂₀)	1 ^{re} Danube	2 ^{re} 5 Gravier porphyrique en 5 gros- seurs de 3 à 35 ^{mm} , lavé	—	44	2 30	410 ^k
				63	2 31	475 ^k
Clavage derrière les rotules (f ₁₉ , f ₂₀)	0 ^{re} 5 Danube (lavé)	1 ^{re} 5 Gravier porphyrique, jusqu'à 8 ^{mm}	Main	37	2 22	373 ^k

D. - *Mortier des parements.* — Tous les parements en élévation sont en un mortier, jouant la pierre, dont voici la composition :

Portland	1 ^{re}
Sable rouge dur	1 ^{re} 5
Sable blanc tendre (pour avoir un ton clair)	2 ^{re}

Il était appliqué plastique.

12. Cintre (f₁₂ à f₁₇). — Le sable des boîtes (quartz à grains fins) était grillé : pour le maintenir sec, on remplissait de goudron l'intervalle entre le piston et la boîte. Une toile à voile entourait le tout.

Dans le calcul, on admettait un effort de 60^k suivant le sens des fibres, de 20^k normalement aux fibres.

Pour tenir compte des trépidations pendant le pilonnage, on a majoré de 50 % le poids de la voûte.

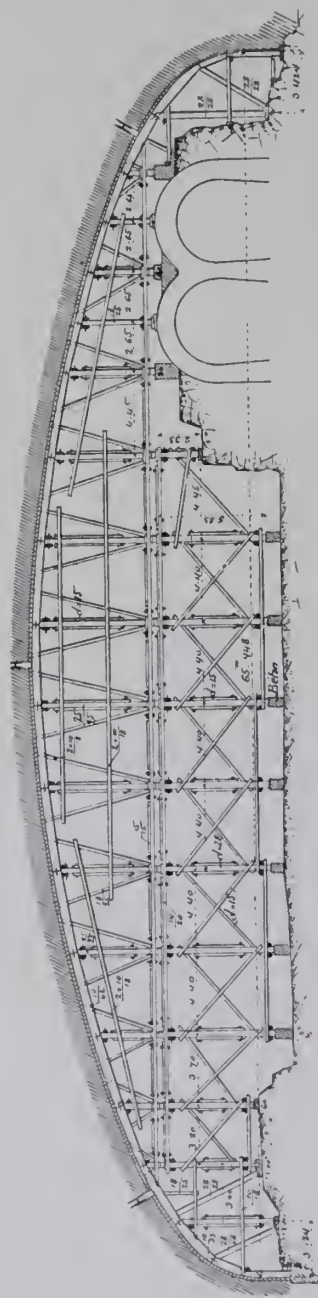
13. Fondations. — On a noyé les redans taillés dans le rocher avec du béton à 1^{re} de ciment pour 12^{re} de sable et pierre cassée; puis on a posé le béton du corps des culées, en le pilonnant par couches en forme de coin de 20^{cm} à 25^{cm} d'épaisseur : on a noyé dans le bas 1/5 de pierres (f₂).

Le béton était presque plastique.

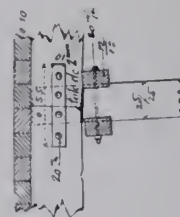
On en posait chaque jour de 55^{me} à 90^{me}.

Cintre

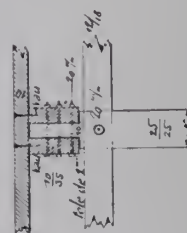
f_{12} — Elevation — 2mm5

Details — 2^{em}

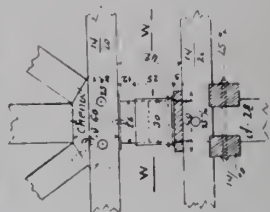
Platelage et vauX

$$f_{17} = V_{ue} \text{ de face}$$


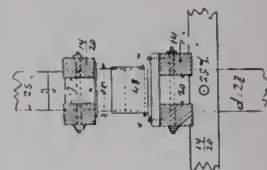
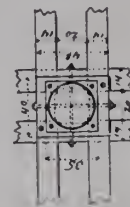
II — Vue de côté



Appui des montants et contre-fiches

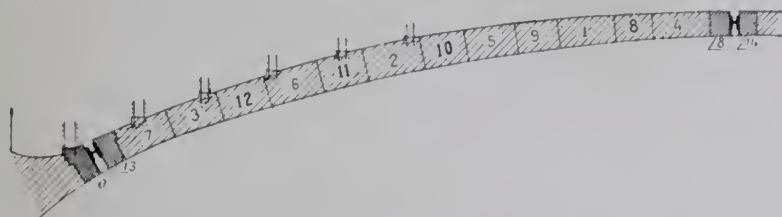
$$f_{12} = \text{Vne de face}$$


九 — 九 de côté

 f_{17} — Coupe sur axe de f_{15} 

14. Exécution de la grande voûte (f_{18}). — Chaque demi-voûte était divisée en 14 tranches alternées, les unes plus épaisses, ayant leur axe au-dessus des montants du cintre, les autres un peu plus minces.

f_{18} — Ordre d'exécution des tranches — 3mm



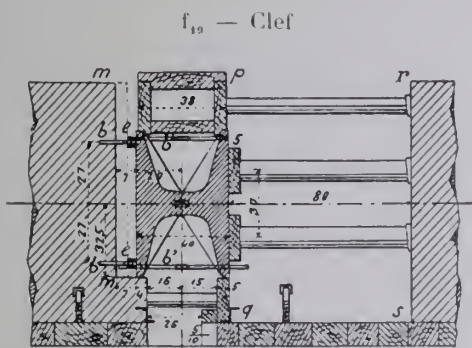
En un jour, on pouvait poser une tranche et sa symétrique (55^{me} à 75^{me}). On bétonna d'abord les tranches épaisses, puis leurs intervalles. On maintint ouverte une des tranches voisines de l'articulation de clef, pendant 8 jours après l'achèvement du reste.

Pour le mortier de parement à 1/3,5, on avait disposé, à 8^{cm} en arrière des cloisons de tête, d'autres cloisons en tôle de 40^{cm} de hauteur; on y pilonnait le mortier en même temps que le béton du corps de la voûte; puis on enlevait de suite les tôles.

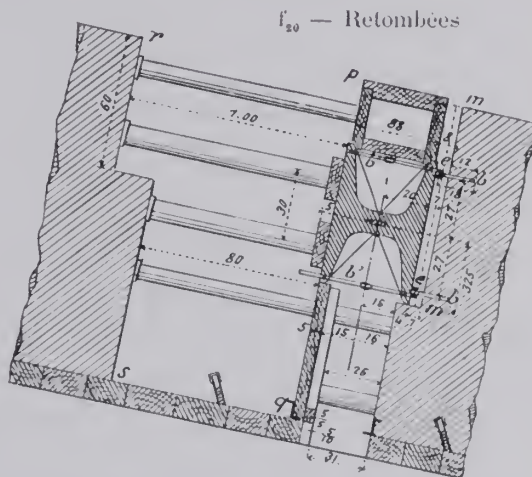
Ce mortier devait être posé presque plastique, bien pilonné et soigneusement arrosé après l'enlèvement des cloisons.

15. Pose des rotules. — On avait arrêté le béton des tranches 0 et 8 (f_{18}), à 7^{cm} des rotules (f_{19} , f_{20}): on y avait fixé des boulons b (4 par rotule), portant

Pose des rotules — 30mm



f_{19} — Clef



f_{20} — Retombées

des écrous e , vissés de façon à se trouver exactement dans le plan d'appui des rotules.

Pour mettre celles-ci en place, on solidarisaient leurs sommiers par 4 boulons b' , qu'on sciera plus tard, avant le décintrement.

On appuyait le bloc ainsi formé contre les 4 écrous ee , après avoir bétonné l'intervalle pqr s (tranches 13 et 14 de f_{18}). On pilonnait, dans l'intervalle de 7^{cm} resté vide mm , du mortier à 1^{er} de Portland et 2^{er} de sable porphyrique.

A l'extrados, l'intervalle au-dessus des rotules est recouvert par des dalles de béton D (f_7, f_{10}, f_{11}) à joints remplis de goudron.

Les 39 rotules furent posées en une semaine par 3 hommes.

On construisit la voûte en 15 jours (770^m de béton, 28^t5 d'acier des rotules).

16. Décintrement. — A la clef, la chaleur avait un peu détaché la voûte du platelage.

On plaça deux hommes à chacune des 104 boîtes.

On a d'abord abaissé le sable de 3^{mm} dans toutes les boîtes, puis de 5^{mm} au cerveau seulement, puis encore de 3^{mm} à toutes les boîtes; enfin, on abaissa complètement les pistons des reins.

17. Mouvements dus à la température (observations faites à la clef, sur le trottoir Est).

Date de l'observation	Température en ° C.	Niveau de la clef au-dessous de la cote prise avant décintrement
$\frac{1}{2}$ août 1905	+ 27°	4 ^{mm} 5
$\frac{1}{2}$ janvier 1906	- 12°	53 ^{mm}

La clef a donc baissé de 48^{mm}5 pour un abaissement de température de 39°. ²

18. Dates.

Commencement des travaux..... fin de l'automne 1904

Commencement du bétonnage de la voûte..... 29 avril 1905

Ouverture à la circulation..... milieu d'octobre 1905

19. Personnel. — Le pont a été construit par les Chemins de fer de l'Etat de Wurtemberg.

Projet, Calculs, Direction des Travaux :

Direction Générale : M. Neuffer, « Ober-Baurat » à Stuttgart.

Direction locale : M. Lupfer « Eisenbahnbauinspektor »; — M. Barth « Regierungs-Bauführer ».

Architecture : M. Bonatz, Architecte, de l'Ecole Polytechnique de Stuttgart.

Entrepreneurs : MM. A. Kunz et C^{ie}, de Kempten.

$$2. \text{ — La formule : } \delta b \left(\begin{array}{c} \text{tassement dû à une} \\ \text{variation} \\ \text{de température } \tau_0 \end{array} \right) = \alpha \left(\begin{array}{c} \text{coefficient} \\ \text{de dilatation} \\ \text{du béton} \end{array} \right) \tau_0 \left[b \text{ (montée)} + \frac{[\alpha \text{ (demi-portée)}]^2}{b} \right]$$

$$\text{donne pour : } \alpha = 8,8 \times 10^{-6}, \quad \tau_0 = 39^\circ, \quad b = 5^m80, \quad 2a = 57^m : \quad \delta b = 50^{mm} \quad (S_2).$$

SOURCES :

S₁. — Dessins d'exécution gracieusement communiqués par M. Neuffer, en juin 1909.

S₂. — Deutsche Bauzeitung (Mitteilungen über Zement, Beton und Eisenbetonbau), 1907, 9 janvier, p. 1 à 4; — 23 janvier, p. 7 et 8; — 6 février, p. 11 et 12 : « Die Wallstrassenbrücke » in *Ulm a. D.*, Ober-Baurat Neuffer in Stuttgart.

S₃. — Ce que j'ai vu — août 1908.

Ce qui n'est pas spécifié S₃ est de S₂.
Les dessins sont réduits de S₁.

PONT ÉLISE, SUR LE BRAS DROIT DU DANUBE, A NEUBOURG¹ (BAVIÈRE

Route de Neubourg à Ingolstadt

1906-1907

$\overline{A}^1 r^{te} (\geq 40m) \overline{A}$

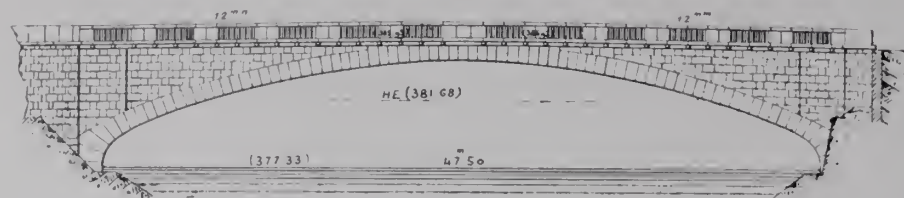
$\Phi_1 (S_3)$



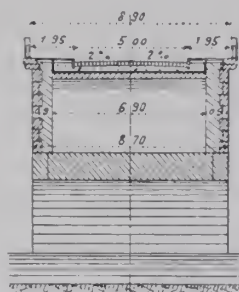
I. Dates (S'').

Commencement des travaux.....	7 novembre 1906
Fondations.....	14 décembre 1906 - 18 avril 1907
Grande voûte.....	12-20 septembre 1907
Décintrement.....	31 octobre 1907
Ouverture à la circulation.....	14 décembre 1907

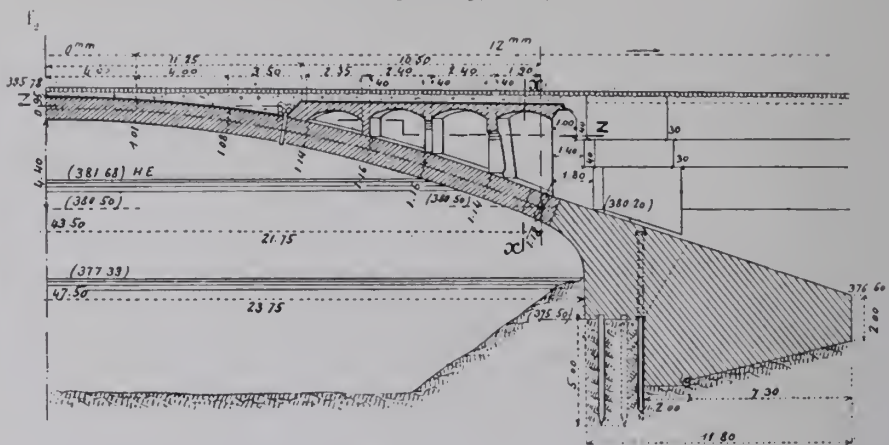
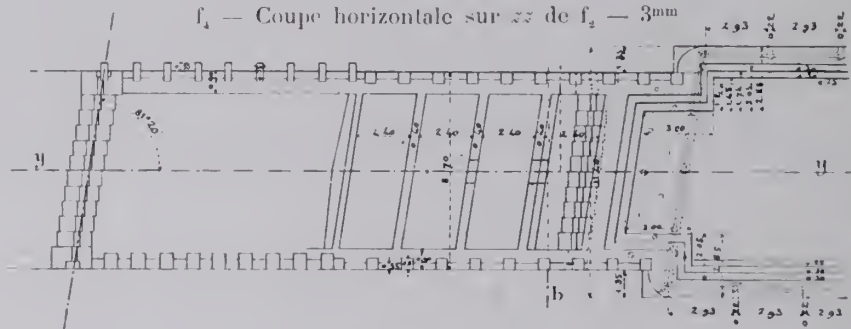
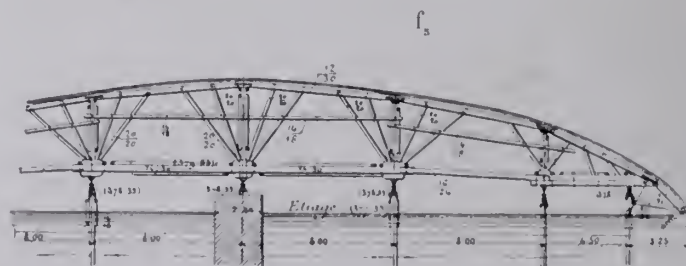
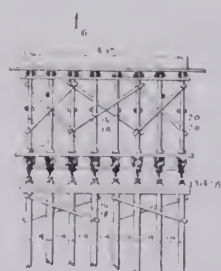
1. — Neuburg a. Donau.

f_1 — Élévation — 2^{mm}Coupes — 3^{mm}

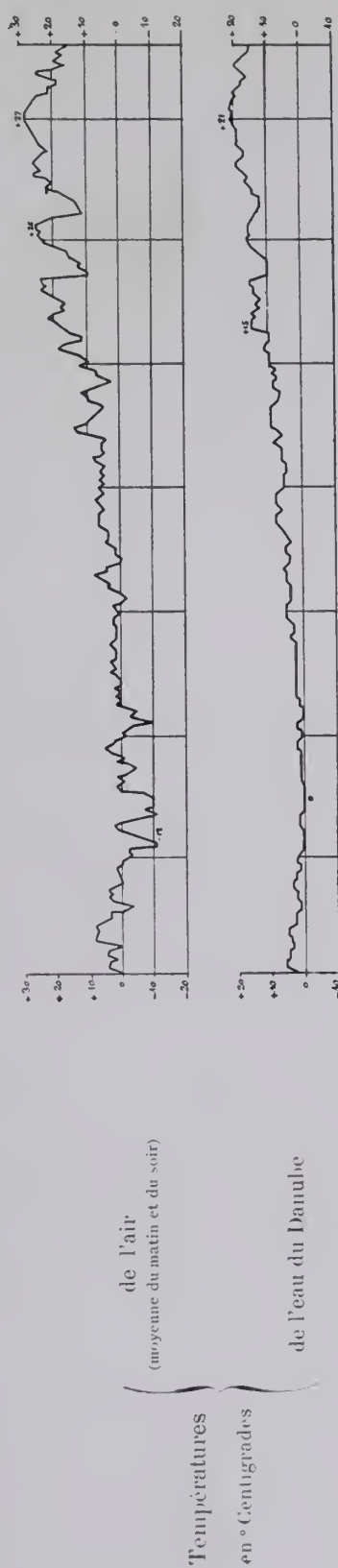
en travers
sur xx de f_1



en long, sur yy de f_1

 f_4 — Coupe horizontale sur zz de f_2 — 3^{mm}Cintre — 2^{mm}

92. Mouvements de la clef pendant la construction et après (S_3)

[illegible]

3. Personnel (S''_1). — *Projet et Entreprise* : MM. Sager et Wørner, de Munich.

Direction des Travaux : M. Egler, « K. Baurat » du « K. Strassen-und Flussbauamt » de Neubourg.

SOURCES :

S_1 . — Dessins d'exécution (S'_1) et renseignements (S''_1) qu'ont bien voulu me donner MM. Sager et Wørner.

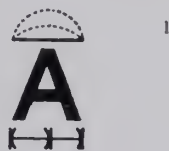
S_2 . — Graphique que m'a gracieusement remis, à Munich, M. Probst, Ingénieur en Chef de l'Entreprise Sager et Wørner.

S_3 . — Ce que j'ai vu — août 1908.

VOÛTES ARTICULÉES

ARTICULATIONS ROULANTES ¹

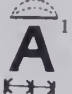
ARCS TRÈS SURBAISSÉS ¹




(Suite)

PONTS A UNE SEULE GRANDE ARCHE

SOUS CHEMIN DE FER A VOIE NORMALE

Série  ¹ F^r (≥ 40^m) ¹

PONT A UNE SEULE GRANDE ARCHE SOUS CHEMIN DE FER

PONT	PROJET							
	ENSEMBLE	GRANDE VOÛTE						1°
Date	Longueur entre abouts des parapets	Largeurs entre parapets entre tympans sous la plinthe	INTRADOS Portée Montée Surbaissement Rayons	ÉPAISSEURS CORPS ET TÊTES Clef Joints de rupture Retombées	ROTULES Pour les dimensions, rayons, pressions, ... voir Tome IV, livre III.	MATÉRIAUX Mortier Poids, pour 1 ^{me} de sable, de chaux ou de ciment	PRESSIONS en kg 0 ^{me} 01 ² Surcharges supposées	ÉVIDENCES DES TYMPAN
Symbole	Déclivités Hauteur maxima du rail au-dessus du sol ou de l'étiage	Fruit des tympans Revanche du rail sur l'extrados						2° DÉCORATION DES TÊTES
1	2	3	4	5	6	7	8	9
d' Illerbeuren	88 ^m 80	$\left\{ \begin{array}{l} 4^m 60 \\ 4^m 00 \end{array} \right.$	Entre culées : Anse de panier à 7 centres Portée : 59^m 00	1^m 10 $\left\{ \begin{array}{l} RG \\ 1^m 63 \end{array} \right.$	Acier moulé	B ¹ damé Ciment..... 1 ^v Sable..... 2 ^v Gravier cassé.. 5 ^v fait à la machine 240 ^k à 28 j.	Pression maxima dans la voûte, pour la position la plus défavorable de la surcharge : 31 ^k	1° 10 voûtes transvers vues, en plein c de 2 ^{me} 3 ^{me} sur piles 0 ^m 70, 0 ^m 75, travers par une v longitudi en ogi de 1 ^{me} 3
<i>Barrière</i>	RG 22 ^m 5 RD	Fruit : 1/20	Entre rotules : Arc d'anse de panier à 5 centres 57^m 164 9^m 817 $\frac{1}{5,82} = 0,171$	$\left\{ \begin{array}{l} RD \\ 1^m 65 \end{array} \right.$ 1^m 40		Sommiers d'articulations : B ¹ moulé Ciment..... 1 ^v Sable..... 1 ^v Gravier cassé.. 1 ^v Ciment Dyckerhoff et fils à Mannheim	Pas de tension Surcharge : 2 locomotives puis, des wagons Par met : Locomotives 4400 ^k Wagons 3500 ^k	2° DÉCORATION DES TÊTES
1903-1904			Rayons : à partir de la clef : $\left\{ \begin{array}{l} RG \\ m \end{array} \right. \left\{ \begin{array}{l} RD \\ m \end{array} \right.$ 18,25 41,80 11,885 43,75 au-dessous des rotules : 1,81 4,67					
 A ¹ Fr (≥ 40 ^m) ¹	14 ^m 50	0 ^m 55						

A VOIE NORMALE

SÉRIE \bar{A}^1 Fr ($\geq 40^m$)

TABLEAU SYNOPTIQUE

EXÉCUTION										CUBE DE MAÇONNERIE A MORTIER	
GRANDE VOÛTE										Q	
CINTRE										DÉPENSE	
FONDATIONS	FERMES				Cube de bois Poids de fer Dépenses		MODE DE CONSTRUCTION	DÉCINTREMENT État d'avancement du pont Temps entre le dernier clavage et le décintrement Date	TASSEMENTS DE LA CLEF sur cintre t_c au décin- trement t_v après t_v		
Nature du sol	Type Matière	Nombre Épaisseur Écartement d'axe en axe Surhaussement	Totaux	par mq de douelle 2							
Profondeur sous l'étiage	Appareils de décintrement										
Pressions sur le sol en kg 0 ^m 01 ²											
Procédé											
10	11	12	13	11	15	16	17	18			
										Q = 2404 ^{mc}	
										Q : S _p = 5 ^{mc} 88	
										Q : W = 0 ^{mc} 46	
										D = 112294 ^f	
										D : S _p = 274 ^f 9	
										D : W = 21 ^f 7	
										D : Q = 46 ^f 7	

Sur le calcul de la surface de douelle, voir Avertissement, Tome IV, p. III, n° 7 — A. 3. S_p = Longueur (col. 2) × Largeur entre parapets (col. 3) — C'est la surface offerte à la circulation

4. W = Surface vue de l'élévation × Largeur entre parapets. 5. W' = Surface de l'élévation au-dessus des fondations × Largeur entre parapets

Pour S_p , W , W' , voir Avertissement, Tome IV, p. III, n° 7 — B.



VOÛTES ARTICULÉES ARTICULATIONS ROULANTES
ARCS TRÈS SURBAISSÉS

PONTS A UNE SEULE GRANDE ARCHE
SOUS CHEMIN DE FER A VOIE NORMALE

SÉRIE \bar{A}^1 $F^r (\geq 40m)$

MONOGRAPHIES

PONT SUR L'ILLER, A ILLERBEUREN¹ (ALLEMAGNE - Souabe bavaroise)
Chemin de fer d'intérêt local² de Legau à Memmingen

1903-1904

\bar{A}^1 $F^r (\geq 40m)$ ¹

Φ_1 (S₁)



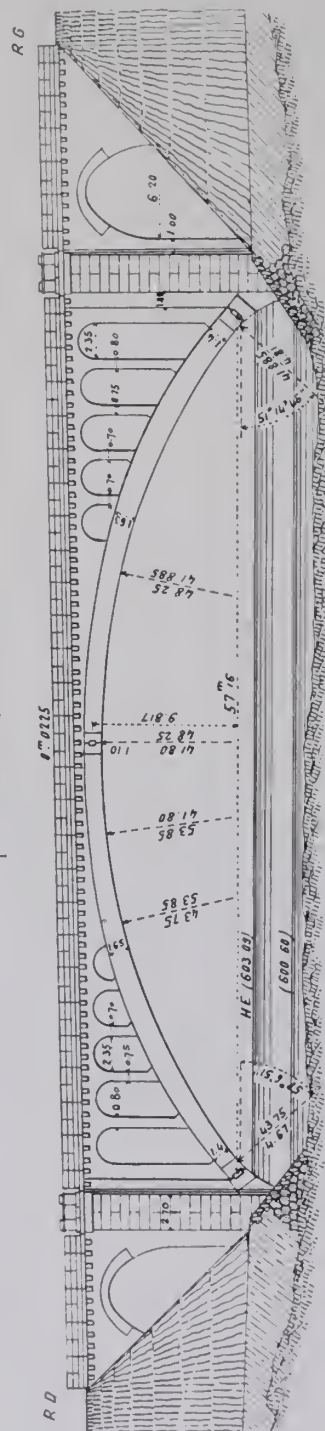
1. Le pont est en béton. — Tout est en béton,
soit coulé en place : grande et petites voûtes, culées, pilastres à refends
horizontaux jouant la pierre de taille ;
soit moulé à l'avance : sommiers des rotules, plinthes, consoles.
On l'a employé par économie³ : on avait, tout près, de bon sable et de bon
gravier.

1. — Entre les stations de Lautrach et d'Illerbeuren, à 200^m environ de celle-ci. Il semble plus
naturel de l'appeler « Pont d'Illerbeuren » que « Pont de Lautrach ».

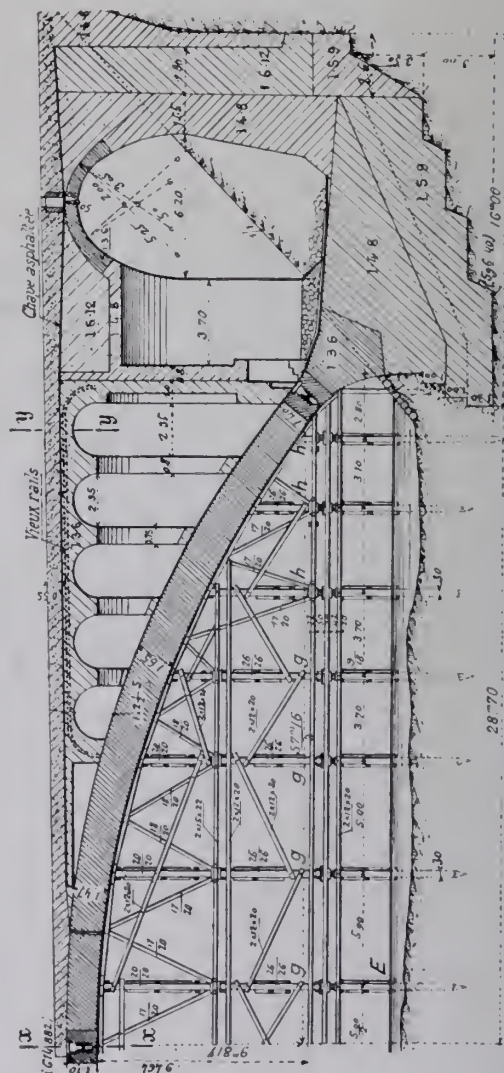
2. — A voie de 1^m50.

3. — L'ouvrage a coûté 112.294' ; en métal, il eût coûté 135.740' (S₁).

f₁ — Élévation — 2mm

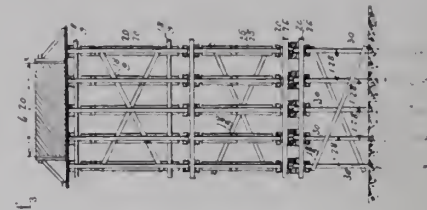


f₂ — Demi-coupe en long et cintre — 3mm

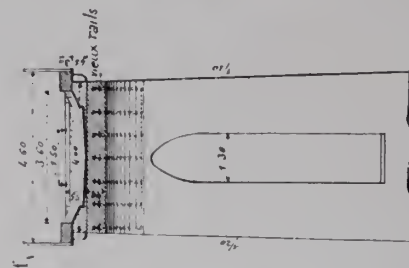


Coupes en travers

sur *xx* de f₃ — 3mm



sur *yy* de f₃ — 5mm



2. Quelques observations. — On a tenu compte de la pente (22^{mm}5) dans les rayons d'intrados et l'épaisseur au joint de rupture de chaque demi-voûte.

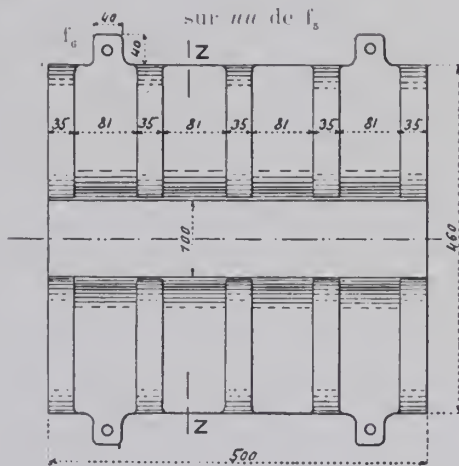
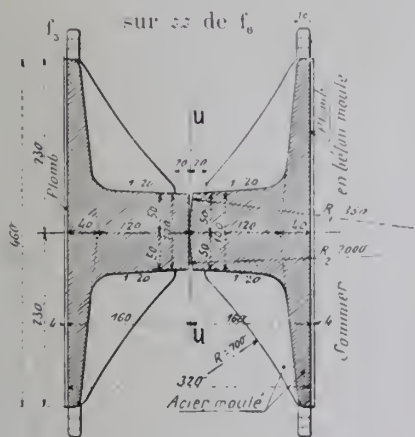
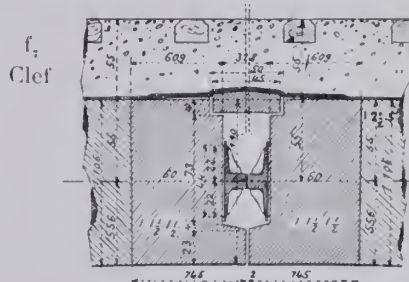
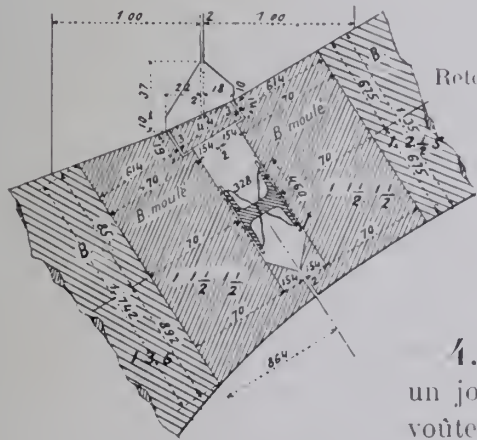
Les voûtes qui traversent les culées sont en ellipse surhaussée : leurs bandeaux n'ont été dessinés qu'au-dessus des reins.

On a sagement montré les voûtes et leurs têtes telles qu'elles ont été moulées (S_i).

3. *Articulations.* — Elles sont cachées aux têtes et en donelle.

L'eau qui en tombe a tracé sur le sol une ligne de rouille (S_3).

Rotules
Coupes — 10^{cm}

Rotules et sommiers — 2^{em}

4. Joints de dilatation. — On a ménagé un joint vide vertical dans la pile-culée de chaque voûte extrême d'élégissement (f.).

Les voûtes d'élégissement sont armées, en long, de 7 vieux rails espacés de 0^m57, dont les abouts sont réunis par des fers ronds de 3^m (f₂, f₄). Ils absorbent la poussée de la dernière voûte.

5. Chapes. — Le béton sous ballast est recouvert de feutre asphalté ; par-dessus, de sable.

L'extrados de la grande voûte sous les petites a été revêtu de ciment, puis d'asphalte (le soleil l'a fait couler).

A quelques places, l'eau a traversé la grande voûte et enlevé le mortier (S_3).



6. Composition et volume des bétons (voir f_2).

	Sable	Pour 1 vol de ciment		Cube
		Dosage	Gravier cassé Grosseur maxima	
Grande voûte (résistance imposée à 28 jours : 240^h)..	2 ^v 5	5 ^v	3.5	387 ^{mc}
Blocs de béton moulé : sommiers des articulations (résistance : 300^h)	1 ^v 5	1 ^v 5	3.5	33 ^{mc}
Partie des culées sous les retombées ; voûtes de décharge et d'évidement.....	3 ^v	6 ^v	3.5	376 ^{mc}
Culées de la grande voûte et des voûtes de décharge.	4 ^v	8 ^v	3.5	948 ^{mc}
Fondations.....	5 ^v	9 ^v	4.5	476 ^{mc}
Remplissage.....	6 ^v	12 ^v		128 ^{mc}
Consoles, dalles, dss.....	1 ^v 5	3 ^v 75	3.5	56 ^{mc}

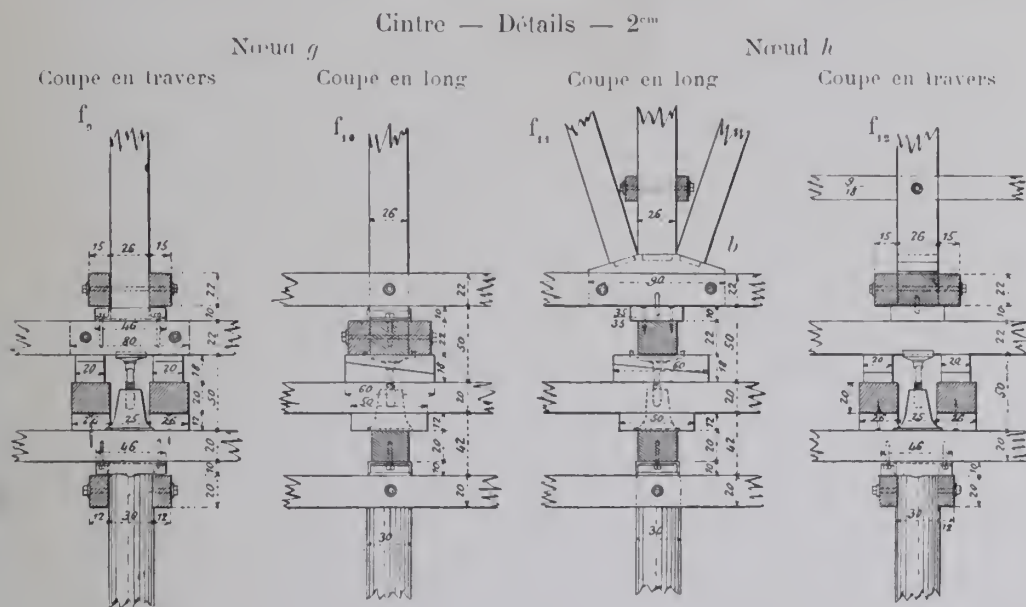
Tout le béton a été fait à la machine.

On a employé 430 tonnes de ciment.

Le sable et le gravier, très argileux, étaient soigneusement lavés.

7. Cintre (f_3, f_4). — Les pieux étaient battus de 40^{cm} à 60^{cm} dans des trous percés dans l'argile dure, au refus de 2^m d'un mouton de 680^k tombant de 1^m80.

Aux nœuds h (f_2, f_{11}, f_{12}), les pièces s'appuyaient sur une semelle en bois dur b .



Aux nœuds g (f_3, f_9, f_{10}), les montants étaient armés à leur pied d'un fer \sqsubset .

On admettait comme résistance du bois, normalement aux fibres :

10 à 12^k pour le bois tendre (5 fois moins que dans le sens des fibres) ;

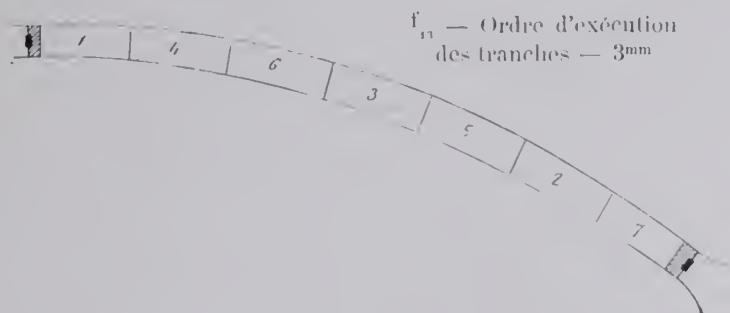
30^k pour le bois dur.

Pour tenir compte des secousses pendant le pilonnage, on a majoré de 50% le poids de la maçonnerie.

Les fermes reposaient sur des vérins à vis, soulagés pendant la construction par deux paires de coins (f_7 à f_{13}).

8. Fondations. — Avant la pose du béton, on enleva 1^m à 2^m de marne ramollie par les pluies.

9. Exécution de la grande voûte (S_4). — On l'a construite en 14 tranches symétriques de 4^m de largeur, dans l'ordre des chiffres de f_{13} .



10. Décintrement. — On enleva les coins, puis on abaissa les vérins à partir de la clef, sans toucher à ceux des naissances.

11. Dates.

Commencement des travaux.....	18 mai 1903
Construction du cintre.....	fin août - fin septembre
Pose des rotules.....	21 septembre
Bétonnage de la voûte.....	25 septembre - 3 octobre
Décintrement.....	2 - 3 novembre
Maçonneries sur les culées et la grande voûte.....	jusqu'à mi-décembre
Achèvement.....	avril 1904

12. Épreuves (15 avril 1904). — Sous la surcharge admise dans les calculs, le pont tassa, puis se releva de 4^{mm}5.

13. Personnel.

Ingénieur. *Projet (1902) et Direction générale des Travaux* : M. Beutel.
Ingénieur en chef de la Construction à la Direction Générale des Chemins de fer de l'Etat bavarois, à Munich (S_2).

Entrepreneurs : MM. B. Liebold et C^e, d'Holzminden.

L'Entreprise a obtenu de substituer des tympans évidés aux tympans pleins prévus.

SOURCES :

S_1 . — Deutsche Bauzeitung, 1904 : 3 septembre, p. 441 à 443 ; - 10 septembre, p. 453 et 454 : « Eisenbahnbrücke in Stampfbeton über die Iller bei Lautrach (Bayr.-Schwaben), - Holzminden, 24 juillet 1904. L.

S_2 . — Dessins de détail que m'a très aimablement remis, à Munich, M. l'Ingénieur en chef Beutel.

S_3 . — Ce que j'ai vu — août 1908.

S_4 . — Renseignements gracieusement communiqués par M. B. Liebold en juillet 1910.

Texte : Ce qui n'est pas spécifié S_3 et S_4 est de S_1 .

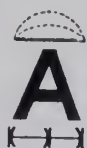
Dessins : Ils sont réduits de S_2 et rectifiés d'après S_4 pour les modifications en cours d'exécution.

Ce pont a été décrit dans le Génie Civil du 16 février 1907, p. 257 à 260, Pl. XVI : « Ponts en béton à 3 rotules, sur l'Iller, à Lautrach et à Kempten (Barrière) » A, C.

VOÛTES ARTICULÉES

ARTICULATIONS ROULANTES ¹

ARCS TRÈS SURBAISSÉS



¹

(Suite)

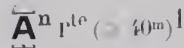
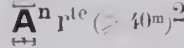


PONTS A PLUSIEURS GRANDES ARCHES

SOUS ROUTE

Série  r^{te} (> 40^m) ¹

1. — Pour le classement des voûtes articulées et le sens des symboles, voir Tome IV, Livre I, p. 28 et 29.

PONT A PLUSIEURS GRANDES ARCHES SOUS ROUTE

PROJET																
PONT	ENSEMBLE		GRANDES VOÛTES													
Date	Longueur <i>entre abouts des parapets</i>	Largeurs <i>entre parapets entre tympans sous la plinthe</i>	INTRADOS Portée Montée Surbaissement Rayons	ÉPAISSEURS CORPS ET TÊTES Clef Joints de rupture Retombées	ROTULES <i>Pour les dimensions, rayons, pressions,... voir Tome IV, Livre III.</i>	MATÉRIAUX Mortier Poids, pour 1 ^{me} de sable, de chaux ou de ciment	PRESSIONS en kg / 0 ^m 01 ² Surcharges supposées	ÉVIDEMENT DES TYMPANS 2° DÉCORATION DES TÊTES								
Symbole	Déclivités	Fruit des tympans Revanche de la chaussée sur l'extrados ou de l'étiage														
En quoi consiste l'ouvrage																
1	2	3	4	5	6	7	8	9								
de Malling <i>Lorraine allemande</i> 1899-1901  3 routes de 40 ^m	138 ^m » »	$\left\{ \begin{array}{l} 6^m 00 \\ 5^m 72 \end{array} \right.$ Pas de fruit 0 ^m 36	Arc d'anse de panier $\left\{ \begin{array}{l} 40^m 00 \\ 4^m 67 \\ \frac{1}{8,56} = 0,116 \end{array} \right.$ Entre axes des rotules : $\left\{ \begin{array}{l} 40^m 30 \\ 4^m 73 \\ \frac{1}{8,56} = 0,116 \end{array} \right.$	$\left\{ \begin{array}{l} 0^m 88 \\ \text{Corps } 4^m 34 \\ \text{Têtes } 4^m 10 \\ 4^m 00 \end{array} \right.$	Béton Ciment Portland 1 ^r Sable de la Moselle 2 ^r Quartz cassé fin 2 ^r	Béton <table><tr><th>dans la voûte</th><th>près des rotules</th></tr><tr><td>Ciment 1^r</td><td>1^r</td></tr><tr><td>Sable 2^r</td><td>3^r</td></tr><tr><td>Pierre cassée 2^r</td><td>4^r 5</td></tr></table>	dans la voûte	près des rotules	Ciment 1 ^r	1 ^r	Sable 2 ^r	3 ^r	Pierre cassée 2 ^r	4 ^r 5		1° Pas d'évidem
dans la voûte	près des rotules															
Ciment 1 ^r	1 ^r															
Sable 2 ^r	3 ^r															
Pierre cassée 2 ^r	4 ^r 5															
de Hochberg <i>Wurtemberg</i> 1901-1903  2 routes de 39 ^m 40	101 ^m 32 <i>jusqu'aux abouts des culées</i> 50 ^m 50 ^m  13 ^m 46	$\left\{ \begin{array}{l} 5^m 82 \\ 5^m 10 \end{array} \right.$ Fruit : 1/10 0 ^m 65	Entre axes des rotules : $\left\{ \begin{array}{l} 40^m 00 \\ 5^m 40 \\ \frac{1}{7,407} = 0,135 \end{array} \right.$ Entre appuis : $\left\{ \begin{array}{l} 39^m 40 \\ 5^m 40 \\ \frac{1}{7,296} = 0,137 \end{array} \right.$	$\left\{ \begin{array}{l} 0^m 75 \\ 4^m 01 \\ 0^m 75 \end{array} \right.$	Granit Ciment Portland Sable du Mein et du Neckar Muschel- kalk cassé	Béton <table><tr><th>dans la voûte</th><th>près des rotules</th></tr><tr><td>Ciment 1^r</td><td>1^r</td></tr><tr><td>Sable 2^r 5</td><td>2^r</td></tr><tr><td>Muschel- kalk 5^r</td><td>4^r</td></tr></table>	dans la voûte	près des rotules	Ciment 1 ^r	1 ^r	Sable 2 ^r 5	2 ^r	Muschel- kalk 5 ^r	4 ^r	Pression maxima : Clef : 28 ^k Joints de rupture : 34 ^k Retombées : 28 ^k 400 ^k / 1 ^m 2 et Rouleau à vapeur de 16 ^r	1° 2 étages de v. ol transvers de 1 ^m 4 sur pile de 0 ^m 9 à 30 ^m en arr des 17 ^m par un m de 30 ^m 2°
dans la voûte	près des rotules															
Ciment 1 ^r	1 ^r															
Sable 2 ^r 5	2 ^r															
Muschel- kalk 5 ^r	4 ^r															
Cornélius à Munich <i>Bavière</i> 1902-1903  1 route de 44 ^m en muschelkalk, et 2 routes de 38 ^m 50 en béton, avec têtes en muschelkalk.	177 ^m Au-dessus de la voûte de 44 ^m . 30 ^m 0 clef	$\left\{ \begin{array}{l} 18^m 00 \\ 18^m 50 \end{array} \right.$ Pas de fruit 0 ^m 00	Arc avec raccord vertical aux retombées Portée entre appuis : 44 ^m 00 Entre axes des rotules : $\left\{ \begin{array}{l} 41^m 00 \\ 3^m 12 \\ \frac{1}{12} = 0,834 \end{array} \right.$ Rayon de courbure de la fibre moyenne à la clef : 55 ^m	$\left\{ \begin{array}{l} 0^m 80 \\ 4^m 20 \\ 0^m 90 \end{array} \right.$	Rotules d'acier moulé prises dans des sabots en fonte, appuyés sur sommiers de granit	PT 1 Muschelkalk Ciment — 700 ^k	Pression maxima sous la surcharge : Clef : 36 ^k Joints de rupture : 24 ^k Retombées : 35 ^k 500 ^k / 1 ^m 2 et Rouleau à vapeur de 23 ^r	1° Pas d'évidem Rempliss en grav 2° »								

SÉRIE $\bar{A}^{n^{\text{e}}}$ ($\geq 40m$)

TABLEAU SYNOPTIQUE

EXÉCUTION										CUBE DE MAÇONNERIE A MORTIER		
FONDATIONS	GRANDES VOÛTES									Q DÉPENSE D Totaux et par unité { de surface utile S _p ³ de volume « utile » W ⁴ 18		
	CINTRES				MODE DE CONSTRUCTION	DÉCINTREMENT État d'avancement du pont Temps entre le dernier clarage et le décintrement Date	TASSEMENTS DE LA CLEF sur cintre t _c au décin- trement après t' _v					
	FERMES		Cube de bois Poids de fer Dépenses									
	Type Matière Appareils de décintrement	Nombre Épaisseur Écartement d'axe en axe Surhaussement		Totaux				par mq de douelle ²				
Nature du sol	11	12	13	14	15	16	17					
Profondeur sous l'étiage												
Pressions sur le sol kg (mm) ²												
Procède												
10												
Marne (Lias) et bancs de rocher	"	6 1.5 ^m 1 ^m 25										
"	"	"										
puissements dans des tardeaux	Vérins	"										
Rocher baschellakki assure la chute à gauche à charge à droite à l'édification	Fixe Montants et contrefiches	5 20 ^{cm} 1 ^m 48	Moyenne des deux cintres : 128 ^{mc} 1500 ^k	0 ^{mc} 49 5 ^k 7	A pleine épaisseur par tranches de 1 ^m de largeur	Tympan achevés 1 mois 1/2 environ		Q = 2867 ^{mc} Q : S _p = 4 ^{mc} 86 Q : W = 0 ^{mc} 46				
"	"	"										
puissements dans des tardeaux	Vérins à vis	100mm	7928 ^k	30 ^k 3		mi-novembre		D D : S _p 31 ^k 4 255 ^k 3 286 ^k 7 D : W 3 ^k 0 24 ^k 4 27 ^k 4 D : Q " " 59 ^k 0				
Marne Elmz (6m60)	Fixe Montants et contrefiches	10 21 ^{cm} 2 ^m 00	575 ^{mc} 4500 ^k	0 ^{mc} 71 5 ^k 5		Tympan construits 28 jours	t _c = 45 ^{mm} t' _v = 22 ^{mm}	PT ¹ = 1915 ^{mc} B ¹ = 9345 ^{mc} Q = 11260 ^{mc} Q : S _p = 4 ^{mc} 12 Q : W = 0 ^{mc} 59				
Pression avec recharge :	Pin	120mm										
AX = 449 AY = 347												
Fouille à l'édifice	Vérins à vis					8 mai		D D : S _p 106 ^k 4 187 ^k 8 293 ^k 9 D : W 15 ^k 3 27 ^k 1 42 ^k 5 D : Q " " 71 ^k 4				

1. Le calcul de la surface de douelle, voir Avertissement, Tome IV, p. III, n° 7 - A. 3. S_p = Longueur (col. 2) \times Largeur entre parapets (col. 3) - C'est la surface offerte à la circulation.

4. W = Surface vue de l'élévation \times Largeur entre parapets. 5. W' = Surface de l'élévation au-dessus des fondations \times Largeur entre parapets.

Pour S_p , W , W' , voir Avertissement, Tome IV, p. III, n° 7 - B.

PONT A PLUSIEURS GRANDES ARCHES SOUS ROUTE

PONT	PROJET							
	ENSEMBLE		GRANDES VOÛTES					1°
Date	Longueur <i>entre abouts des parapets</i>	Largeurs <i>entre parapets entre tympans sous la plinthe</i>	INTRADOS	ÉPAISSEURS	ROTULES	MATÉRIAUX	PRESSIONS	ÉVIDEMEN DES TYMPANS
Symbole	Déclivités	Fruit des tympans	Portée	CORPS ET TÊTES	<i>Pour les dimensions, rayons, pressions,.... voir Tome IV, Livre III.</i>	Mortier	en kg / 0 ^{m01} ²	2°
<i>En quoi consiste l'ouvrage</i>	Hauteur maxima de la chaussée au-dessus du sol ou de l'étiage	Revanche de la chaussée sur l'extrados	Montée Surbaissement Rayons	Clef Joints de rupture Retombées		Poids, pour 1 ^m de sable, de chaux ou de ciment	Surcharges supposées	DÉCORATI DES TÊTES
1	2	3	4	5	6	7	8	9
de Reichenbach à Munich <i>Barrière</i> 1902-1903 Aⁿ r^{te} ($\geq 40m$) <i>A partir de la rive gauche 4 voûtes, de 11^m, 28^m, 27^m, 26^m, les 3 dernières articulées sur plomb</i>	146 ^m 50 Au dessus de la grande voûte : 30 ^{mm} 20 ^{mm} clef 7 ^m 50	$\left\{ \begin{array}{l} 20m 00 \\ 20m 50 \end{array} \right.$ Pas de fruit »	Arc avec raccord vertical aux retombées Portée entre appuis : 44 ^m 00 Entre axes des rotules : 41 ^m 00 4 ^m 10 $\frac{1}{10} = 0,10$ Rayon de courbure de la fibre moyenne à la clef : 60 ^m	$\left\{ \begin{array}{l} 0m 80 \\ 1m 20 \\ 0m 90 \end{array} \right.$	Rotules d'acier moulé prises dans des sabots en fonte, appuyés sur sommiers en granit	Bandeaux : PT ¹ Muschelkalk de Franconie (500 ^k à 800 ^k) Ciment — 0 ^{mc} 500 Corps : B ¹ Ciment... 1 ^v Sable... 2 ^v 5 Gravier... 5 ^v	Pression maxima : Clef : 27 ^k Joints de rupture : 25 ^k Retombées : 26 ^k	1° Entre tympans-pi voûtes d'al en béton sur piliè en béton 2° »
de Neckargartach <i>Wurtemberg</i> 1903-1905 Aⁿ r^{te} ($\geq 40m$) 5 voûtes de 40 ^m	228 ^m 35 Dos d'ane Déclivité maxima : 11 ^{mm} 1 11 ^m	$\left\{ \begin{array}{l} 10m 80 \\ 10m 40 \end{array} \right.$ Fruit : 1 40 0 ^m 48 au-dessus de la chape	Arc d'anse de panier 40 ^m 00 Voûtes de rive 4 ^m 375 Voûtes interméd. 4 ^m 825 à 5 ^m 155 $\frac{1}{9,14} = 0,109$ à 1 $\frac{1}{7,55} = 0,129$ Rayons : Clef : 40 ^m Retombées : 42 ^m	$\left\{ \begin{array}{l} 0m 75 \\ 1m 00 \\ 0m 80 \end{array} \right.$ <i>environ</i>	Granit des Fichtel- gebirge Béton Ciment Portland 1 ^v de Lauffen Sable du Mein... 1 ^v 4 2 ^v 5 porphyrique 1 ^v 5 4 2 ^v 5 Porphyre Gravier... 1 ^v 5 4 4 ^v 5 Pierre cassée 3 ^v 4 4 ^v 5 Près des articulations : 1 ^v — 2 ^v 5 — 1 ^v 5 Pas de porphyre cassé	Pression maxima dans la voûte : 38 ^k 400 ^k 1 ^m ² et Rouleau à vapeur de 16 ^v	1° 10 voûte transversa vues, en plein sur pili de 60 ^m perçees 5 ouvert de 1 ^m 30 2° »	
Maximilien à Munich <i>Barrière</i> 1903-1905 Aⁿ r^{te} ($\geq 40m$) 2 voûtes de 45 ^m 87	123 ^m 24 17 ^{mm} 5 mm 11 ^m	$\left\{ \begin{array}{l} 22m 00 \\ 21m 80 \end{array} \right.$ Pas de fruit 0 ^m 50	Arc avec raccord vertical aux retombées Portée entre appuis : 45 ^m 87 Entre axes des rotules : 44 ^m 00 4 ^m 90 (moy.) $\frac{1}{8,979} = 0,111$ Rayon de courbure de la fibre moyenne à la clef : 60 ^m	$\left\{ \begin{array}{l} 0m 80 \\ 1m 09 \\ 1m 175 \end{array} \right.$	Rotules d'acier moulé prises dans des sabots en fonte, appuyés sur sommiers en granit	PT ¹ Muschelkalk de Franconie (500 ^k à 800 ^k)	Pressions MAX. moy. sans surcharge : Clef 28 ^k » Joints de rupt. 19 ^k » Retom- bées 25 ^k » avec surcharge : Clef 36 ^k 32 ^k Joints de rupt. 36 ^k 24 ^k Retom- bées 32 ^k 28 ^k 500 ^k 1 ^m ² et Rouleau à vapeur de 20 ^v	1° 8 voûte transvers vues, en de 2 ^m 10 à 2 sur pili de 0 ^m 90 per de 8 voû longitudi en arc de espace de 0 ^m 80 Voûtes extrém d'égale armées Tout en l sans les t 2° Statue de P au-dess de la p

1 — Pour le sens de ces abréviations, voir Avertissement, Tome IV, page II, n° 6.

SÉRIE $\bar{A}^{n^{\text{e}}}$ ($\geq 40\text{m}$)

TABLEAU SYNOPTIQUE (Suite)

EXÉCUTION										CUBE DE MAÇONNERIE A MORTIER		
FONDATIONS	GRANDES VOÛTES									DÉPENSE <div>Q</div> <div>D</div> <div>Totaux et par unité</div> <div>de surface utile S_p^3 de volume « utile » W</div>		
	CINTRES				MODE DE CONSTRUCTION	DÉCINTREMENT État d'avancement du pont <i>Temps entre le dernier clavage et le décintrement</i> Date	TASSEMENTS					
	FERMES		Cube de bois Poids de fer Dépenses	DE LA CLEF								
	Type <i>Matière</i> Appareils de décintrement	Nombre <i>Épaisseur</i> <i>Écartement d'axe en axe</i> <i>Surhaussement</i>		Totaux			par mq de douelle ²	sur cintre t_c au décin- trement t_v' après t_v''				
10	11	12	13	14	15	16	17	18				
<i>Nature du sol</i> Profondeur sous l'étiage Pressions sur le sol en kg (mm) ² <i>Procédé</i> 10	Fixe Montants et contrefiches <i>Pin</i> Vérins à vis Coins aux retombées	11 2,5 ^{cm} 2 ^m 00 100 ^{mm}	635 ^{mc} 5200 ^k	0 ^{mc} 70 5 ^k 8	A pleine épaisseur, par tranches de 1 ^m 20 à 1 ^m 50 entre cloisons normales à la fibre moyenne, bétonnées de 2 en 2 symétrique- ment, par couches de 10 à 15 ^{cm}	Tympan construits Plate-forme commencée 15 jours 12 mai	pendant le béton- nage après t_c t_v' t_v'' Culée rive gauche ← 1 ^m 3 ↓ 0 ^m 5 Pile-culée rive droite → 2 ^m Elle se redressa ensuite	am ¹ == 38 10 18 21 23 av ¹ == 35 12 17 18 24	PT ¹ = 1482 ^{mc} B ¹ = 11989 ^{mc} Q = 13471 ^{mc} Q : S _p = 4 ^{mc} 59 Q : W = 0 ^{mc} 66 Fon- dations Élé- vation En- semble D : S _p D : W D : Q	117421 ^f 698409 ^f 815830 ^f 40 ^f 1 238 ^f 3 278 ^f 4 5 ^f 8 34 ^f 2 40 ^f 0 » » 60 ^f 6		
<i>Recher</i> Pression maxima : 7 ^k <i>ussements dans des ardeurs en pile en couches 10^f à 15^f</i>	Voûte rive gauche : Retroussé sur 10 ^m 70 Passe marinière de 9 ^m Autres voûtes : Fixe Montants et contrefiches » Vérins	8 20 ^{cm} 1 ^m 60 Clef : 100 ^{mm} Retombées : 10 ^{mm}			A pleine épaisseur en 32 tranches de 1 ^m 18	Piles des voûtes d'évidement achevées 28 jours 10 novembre	t_c = 80 ^{mm} t_v' = 13 ^{mm} (moyenne)	PT ¹ B ¹ Q Q : S _p Q : W D D : S _p D : W D : Q	3000 ^{mc} 3000 ^{mc} 6648 ^{mc} 1 ^{mc} 21 0 ^{mc} 11 98720 ^f 40 ^f 0 3 ^f 7 32 ^f 9	928 ^{mc} 5720 ^{mc} 6648 ^{mc} 2 ^{mc} 69 0 ^{mc} 25 320840 ^f 130 ^f 1 11 ^f 9 48 ^f 3	928 ^{mc} 8720 ^{mc} 9648 ^{mc} 3 ^{mc} 90 0 ^{mc} 36 419560 ^f 170 ^f 1 15 ^f 6 43 ^f 5	
<i>arne dure Flinz »</i> - 5 ^m Pression maxima : 5 ^k 5 <i>ussements dans des ardeurs en pile en couches 10^f à 15^f</i>	Fixe Montants et contrefiches <i>Pin</i> Vérins à vis	12 21 ^{cm} 2 ^m 00 120 ^{mm}	750 ^{mc} 6000 ^k	0 ^{mc} 72 5 ^k 7		Tympan construits 50 jours 13 juin	t_v' = 20 ^{mm}	PT ¹ = 2790 ^{mc} B ¹ = 8354 ^{mc} Q = 11144 ^{mc} Q : S _p = 4 ^{mc} 11 Q : W = 0 ^{mc} 37 Fon- dations Élé- vation En- semble D : S _p D : W D : Q	214839 ^f 954993 ^f 1169832 ^f 79 ^f 2 352 ^f 3 431 ^f 5 7 ^f 2 31 ^f 8 39 ^f 0 » » 105 ^f 0			

Sur le calcul de la surface de douelle, voir Avertissement, Tome IV, p. III, n° 7 — A. 3. S_p = Longueur (col. 2) \times Largeur entre parapets (col. 3) — C'est la surface offerte à la circulation.

4. W = Surface vue de l'élévation \times Largeur entre parapets. 5. W' = Surface de l'élévation au-dessus des fondations \times Largeur entre parapets.

Pour S_p , W, W', voir Avertissement, Tome IV, p. III, n° 7 — B.

PONT A PLUSIEURS GRANDES ARCHES SOUS ROUTE

PONT	PROJET							
	ENSEMBLE	GRANDES VOÛTES						1°
Date	Longueur entre abouts des parapets	Largeurs entre parapets entre tympans sous la plinthe	INTRADOS	ÉPAISSEURS	ROTULES	MATÉRIAUX	PRESSIONS	ÉVIDEMENT DES TYMPANS
Symbole	Déclivités	Fruit des tympans	Portée	CORPS ET TÊTES	pour les dimensions, rayons, pressions, ... voir Tome IV, Livre III.	Mortier	en kg / 0m01 ²	2°
En quoi consiste l'ouvrage	Hauteur maxima de la chaussée au-dessus du sol ou de l'étiage	Revanche de la chaussée sur l'extrados	Montée Surbaissément Rayons	Clef Joints de rupture Retombées		Poids, pour 1mc de sable, de chaux ou de ciment	Surcharges supposées	DÉCORATION DES TÊTES
1	2	3	4	5	6	7	8	9
de Wittelsbach à Munich <i>Barière</i> 1904-1905 $\overline{A}^n 1^{re} (\geq 40m) 7$ A partir de la rive gauche : 4 routes de 14m, 28m, 27m, 26m, et 3 dernières articulées sur plomb	152m Au-dessus de la grande voûte : 25mm clef	$\left\{ \begin{array}{l} 20^m 00 \\ 20^m 30 \end{array} \right.$ Pas de fruit	Arc avec raccord vertical aux retombées Portée entre appuis : 44,00 Entre axes des rotules : 41,00 4,10 $\frac{1}{10} = 0,10$ Rayon de courbure de la fibra moyenne à la clef : 60m	0,80 1,20 0,90	Rotules d'acier moulé prises dans des sabots en fonte appuyés sur sommier de granit	Bandeaux : PT ¹ Muschelkalk (500k à 800k) Corps : B ¹ 1 ^r — 2 ^r 5 — 5 ^r	Pressions MAX. MOY. sans surcharge : Clef 25k » Joints derupt. 17k » Retom- bées 25k » avec surcharge : Clef 29k 27k Joints derupt. 25k 19k Retom- bées 28k 26k 500k 1m ² et Rouleau à vapeur de 20 ^r	1 ^{er} Entre tympans de voûtes en beton de 1m en le 1 ^{er} 50entrax sur pile en beton de 50 x 50 2 ^{er} Statue equestre sur la pile
de Moulins- lez-Metz <i>Lorraine allemande</i> 1904-1905 $\overline{A}^n 1^{re} (\geq 40m) 8$ 3 routes de 40m, 44m, 40m	158m 50 30mm 30mm	$\left\{ \begin{array}{l} 7^m 00 \\ 7^m 10 \end{array} \right.$ Pas de fruit	Arcs d'anse de panier Voûte centrale Entre appuis : 44,00 5,68 $\frac{1}{1,746} = 0,129$ Rayons : Clef : 44m 60 Retombées : 44m Entre axes des rotules : 44,70 5,59 $\frac{1}{1,996} = 0,125$ Voûtes de rive Entre appuis : 40,00 4,78 $\frac{1}{8,368} = 0,120$ Rayons : Clef : 48m Retombées : 48m Entre axes des rotules : 40,34 4,79 $\frac{1}{8,463} = 0,118$	0,95 Corps : 1,42 Têtes : 1,19 1,15	Béton moulé Ciment Portland de Dyckdorf 1 ^r Sable de la Moselle 2 ^r Dolomite cassée fine de Perl 2 ^r	Bandeaux : MEV ¹ Bossages Calcaire de Gravelotte et d'Amanvilliers Ciment — 0mc333 Corps : B ¹ Ciment..... 1 ^r Sable..... 2 ^r 5 Gravier.... 5 ^r Près des articulations : Ciment..... 1 ^r Sable..... 2 ^r Gravier.... 4 ^r	Pressions MAX. MOY. Voûte centrale : sans surcharge : Clef 22k » Joints derupt. 20k 19k Retom- bées 21k » avec surcharge : Clef 25k » Joints derupt. 31k 15k Retom- bées 24k » Voûtes de rive : sans surcharge : Clef 21k » Joints derupt. 20k 14k Retom- bées 21k » avec surcharge : Clef 24k » Joints derupt. 32k 18k Retom- bées 24k » 400k 1m ² et Rouleau à vapeur de 16 ^r	1 ^{er} 10 voûtes transversales vues en plein cintre de 1 ^{er} 50 en beton Ciment Sable Gravier les voûtes extrêmes sont armées Piles de 60 2 ^{er}

1 — Pour le sens de ces abréviations, voir Avertissement, Tome IV, page II, n° 6.

TABLEAU SYNOPTIQUE (Suite)

4. W = Surface vue de l'élévation \times Largeur entre parapets. 5. W' = Surface de l'élévation au-dessus des fondations \times Largeur entre parapets.

Pour S_p , W , W' , voir Avertissement, Tome IV, p. III, n° 7 — B.

6. La source S'' ne spécifie pas à quelle vûte s'appliquent ces renseignements.

PONT A PLUSIEURS GRANDES ARCHES SOUS ROUTE

PONT		PROJET																		
		ENSEMBLE		GRANDES VOÛTES																
Date	Symbole	Longueur <i>entre abouts des parapets</i>	Largeurs <i>entre parapets entre tympans sous la plinthe</i>	INTRADOS Portée Montée Surbaissement Rayons	ÉPAISSEURS CORPS ET TÊTES Clef Joints de rupture Retombées	ROTULES <i>Pour les dimensions, rayons, pressions,... voir Tome IV, Livre III.</i>	MATÉRIAUX Mortier Poids, pour 1 ^{me} de sable, de chaux ou de ciment	PRESSIONS en kg / 0 ^m 01 ² Surcharges supposées	ÉVIDEMENT DES TYMPAN 2 ^o DÉCORATION DES TÊTES											
1		2	3	4	5	6	7	8	9											
de Mannheim Grand-Duché de Bade 1905-1908 A ⁿ p ^{te} (≥ 40 ^m) Un arc central en acier de 114 ^m à 2 articulations 2 voûtes de rive en béton, de 59 ^m 50	242 ^m <i>entre culées</i> Au-dessus des voûtes de rive : 27 ^{mm} 14 ^m 35 du sommet de l'arc central au niveau moyen de l'eau	$\left\{ \begin{array}{l} 15^m 00 \\ 15^m 36 \end{array} \right.$ Pas de fruit 0 ^m 25	Arc d'anse de panier Entre appuis : $\left\{ \begin{array}{l} 59^m 30 \\ 5^m 63 \\ \frac{1}{10,56} = 0,095 \end{array} \right.$ Rayons : Clef : 66 ^m Retombées : 74 ^m 42 Entre axes des rotules : $\left\{ \begin{array}{l} 58^m 30 \\ 5^m 52 \\ \frac{1}{10,60} = 0,094 \end{array} \right.$	$\left\{ \begin{array}{l} 1^m 07 \\ 1^m 47 \\ 1^m 42 \end{array} \right.$	Rotules en acier moulé appuyées sur sommiers de granit	Bandeaux : PT ¹ Grès rouge du Palatinat, écaillé aux têtes, plat en douelle Corps : B ¹ Ciment..... 1 ^r Sable..... 4 ^r Pierre cassée.. 3 ^r (Porphyre)	Pressions sous la surcharge : <table><tr><td></td><td>MAX.</td><td>MOY.</td></tr><tr><td>Clef</td><td>37^k</td><td>27^k</td></tr><tr><td>Joints de rupture</td><td>34^k</td><td>31^k</td></tr><tr><td>Retom- bées</td><td>35^k</td><td>31^k</td></tr></table> 400 ^k 1 ^m et 2 rouleaux à vapeur de 25 ^r		MAX.	MOY.	Clef	37 ^k	27 ^k	Joints de rupture	34 ^k	31 ^k	Retom- bées	35 ^k	31 ^k	1 ^o Entre tympans pla plate-form en béton ar de 22 ^m sur pilier en béton ar contrevent par des cornie 2 ^o »
	MAX.	MOY.																		
Clef	37 ^k	27 ^k																		
Joints de rupture	34 ^k	31 ^k																		
Retom- bées	35 ^k	31 ^k																		

1. — Pour le sens de ces abréviations, voir Avertissement, Tome IV, p. II, n° 6.

TABLEAU SYNOPTIQUE (Suite)

4. W = Surface vue de l'élévation \times Largeur entre parapets. 5. W' = Surface de l'élévation au-dessus des fondations \times Largeur entre parapets.
Pour S_p , W , W' , voir Avertissement, Tome IV, p. III, n° 7 - B.

VOÛTES ARTICULÉES ARTICULATIONS ROULANTES
ARCS TRÈS SURBAISSÉS
PONTS A PLUSIEURS GRANDES ARCHES SOUS ROUTE

SÉRIE $\overline{A}^n_{\text{rte}} (\geq 40\text{m})$

MONOGRAPHIES

PONT SUR LA MOSELLE, PRÈS DE MALLING¹

(LORRAINE ALLEMANDE, - Cercle de Thionville)

Route de Fexem à Oberrentgen

1899-1901

$\overline{A}^n_{\text{rte}} (\geq 40\text{m})$ ¹

Φ_1 — aval (S₂)



1. Aspect (S₂). — Il semble qu'il y ait un angle aux sommets des voûtes. Les clefs, en béton plus gras, sont plus foncées. On distingue les tranches de construction par leurs différentes teintes. Elles paraissent avoir été pilonnées parallèlement à la douelle.

1. — en allemand « Mallingen », - station du chemin de fer de Thionville à Trèves, à 12^k5 de Thionville.

On voit, en douelle, les empreintes des planches du cintre.

Les becs des piles coupent durement les retombées des voûtes ; ils portent des pilastres en pierre de taille de grès.

Les tympans sont en moellons équarris à taille plate ; les joints de dilatation sont cachés.

La plinthe est en encorbellement sur consoles de grès rouge.

2. Personnel (S₁).

Projet et Direction des Travaux : Service de la Construction des Routes d'Alsace-Lorraine (Wegebauverwaltung in Elsass-Lothringen).

M. Blumhardt « Regierungs-und Baurat » à Strasbourg.

Entrepreneurs : MM. Windschild et Langelott, de Cossebaude, près de Dresde.

SOURCES :

S₁. — Renseignements gracieusement communiqués par M. Blumhardt, à Strasbourg.

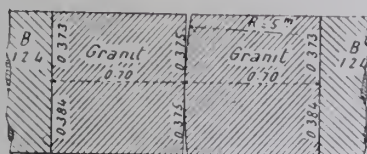
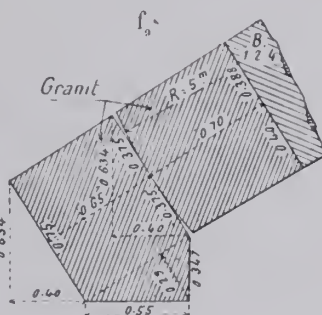
S₂. — Ce que j'ai vu — août 1909.

Route d'Ossweil à Hochberg

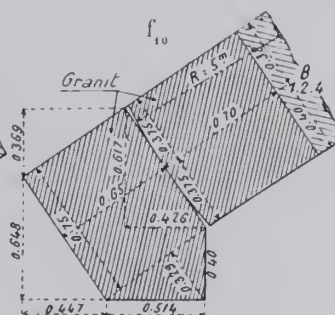
$$\overline{A}^n r^{te} (\geq 4(m))^2$$
$$\Phi, \quad (S''',_i)$$
Goupes — 2^m5

sur la pile

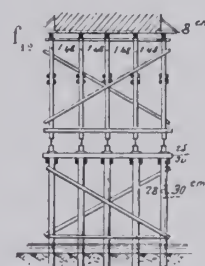
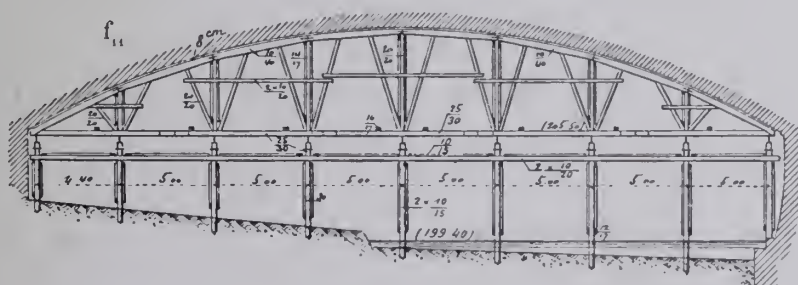
sur les culées

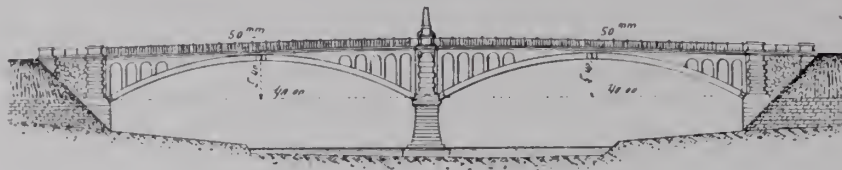
$$f_n = \text{Clef}$$
 f_2 

f

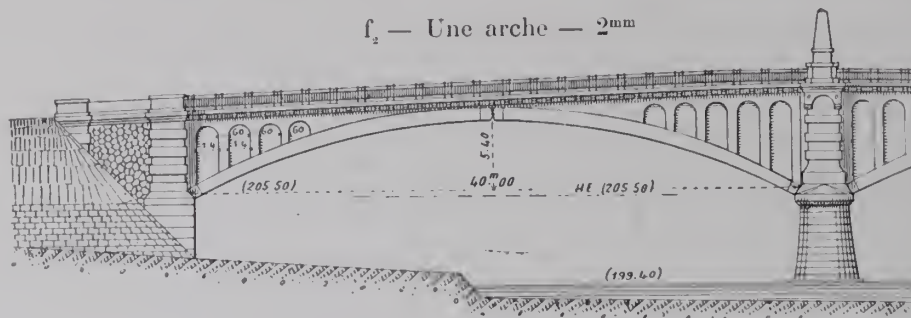


2mm5

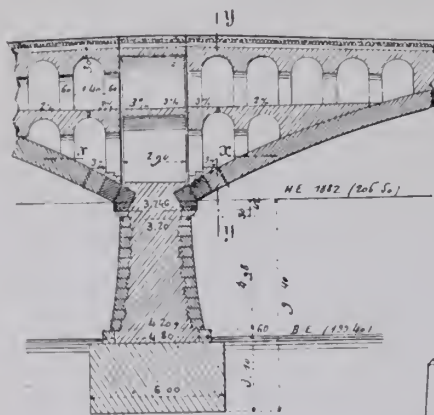
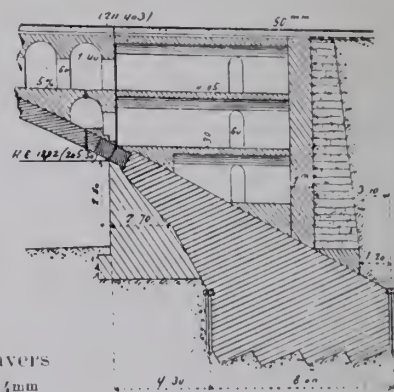


$$f_1 = \text{Ensemble} = 1^{\text{mm}}$$


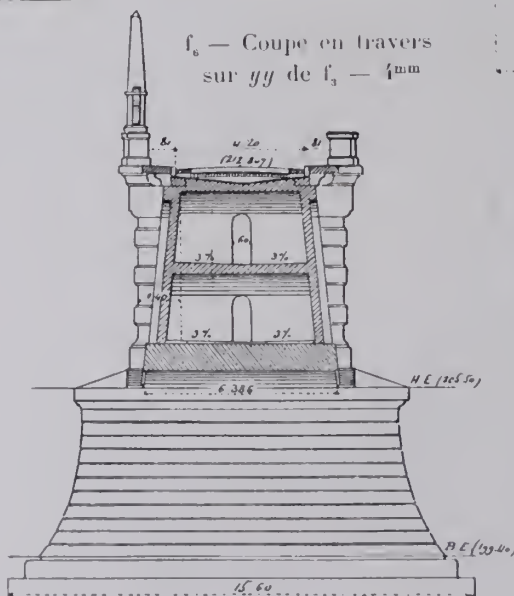
f₂ — Une arche — 2^{mm}



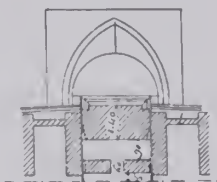
Coupes en long — 3^{mm}

f₃ — Pilef₄ — Culée rive droite

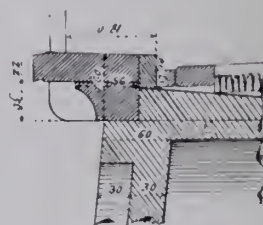
f_6 — Coupe en travers
sur yy de f_3 — f_{mm}



f_5 — Demi-coupe
horizontale sur x,x' de f_3
3mm



f₇ — Couronnement
15mm



3. Dates (S'').

Commencement des travaux.....	octobre 1901
Piles et culées.....	15 nov. 1901 - juin 1902
Cintres et voûtes.....	fin juin - fin septembre
Décintrement.....	mi-novembre
Ouverture à la circulation.....	6 avril 1903

4. Personnel (S').

Ingénieurs : *Projet et Direction des Travaux* : M. von Schaal, « Oberbaurat » ;
M. Kübler, « Strassenbauinspektor ».

Entrepreneurs : MM. Sahlender et Heinze, de Gotha.

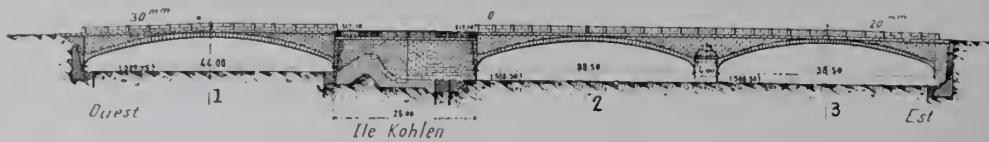
SOURCE :

S_1 . — Dessins d'exécution (S'), renseignements (S''), et photographie (S''') qu'a bien voulu communiquer, sur la gracieuse intervention de M. le Dr Weyrauch, Professeur à l'Ecole Polytechnique de Stuttgart, M. Richard Leibbrand « Vorstand der Ministerialabtheilung für den Strassen-und Wasserbau » à Stuttgart.

PONT CORNÉLIUS, SUR L'ISAR, A MUNICH (BAVIÈRE)

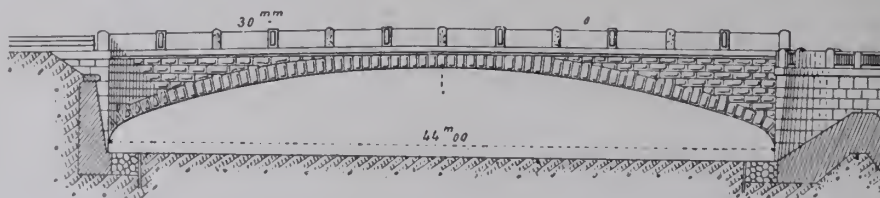
entre la Corneliusstrasse et la Schreierstrasse

1902-1903

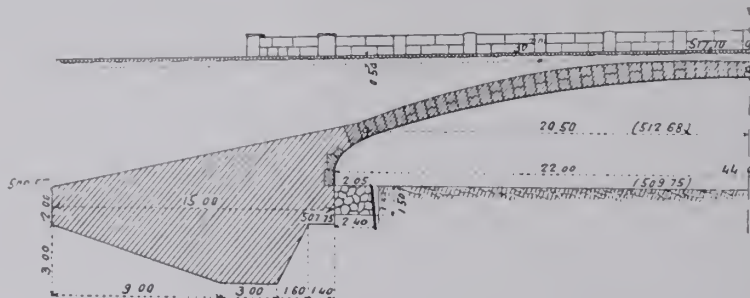
$$\overline{A}^n r^{te} \geq 40m, 3$$
$$f_1 = \text{Ensemble amount} = 0.0075$$


Voûte 1

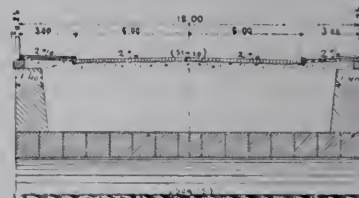
f_s — Élévation — 2mm



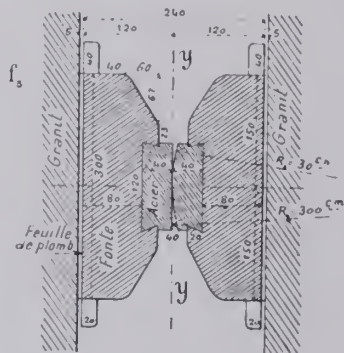
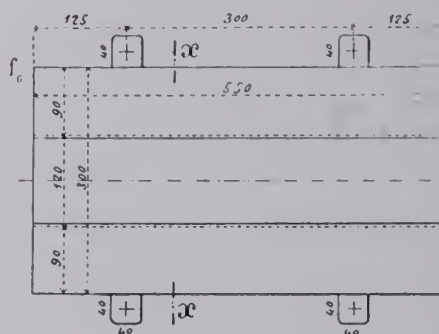
f_3 — Demi-coupe en long — 2^{mm}5



f₄ — Coupe en travers
aux retombées — 2^{mm}5

Roth's — 10th

Coupe sur xx de f_6

Vue sur gg de f ,

1. Aspect. — Sur ces minces voûtes, les tympans en gros appareil sont un peu lourds.

Des figures sculptées du parapet, j'aime mieux ne rien dire.

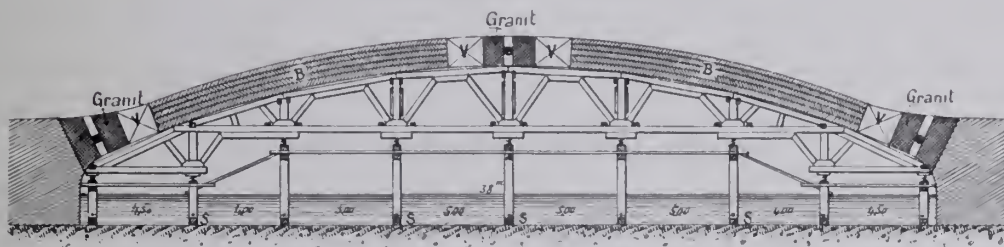
Φ_1 — Voûte 1 — amont (S_3)



2. Accident à la voûte 3 (f_1) (26 août 1902) (S_2).

A. — Description du cintre. — Les cintres des voûtes 2 et 3 étaient en pièces de sapin fort trouées, provenant de démolitions. Les palées portaient sur des semelles transversales s (f_2) en sapin de même provenance, posées sur une plateforme en béton. Elles étaient très légèrement contreventées en long.

f_2 — Voûte 3 — Cintre et Mode d'exécution — 3^{mm} (S_2)



B. — Construction de la voûte. — On posait d'abord les sommiers des articulations et les bandeaux; puis on pilonnait le béton, non, comme d'usage, par tranches isolées, mais par couches superposées¹ de 15^{cm} à 20^{cm}, ce qui trouble le béton dans sa prise. On avait ménagé des vides V (f_1) de 60^{cm} derrière les sommiers des articulations.

1. — « en peaux d'oignon » (nach der Methode der Zwiebelschalen).

C. - Accident. — Le 26 août 1902, le cintre, chargé des sommiers d'articulation, des bandeaux, et de 650^{me} de béton posé dans les 30 dernières heures, s'écroula, tuant 2 hommes et en blessant 35.

Étaient intacts les vérins et les plates-formes en béton sous les semelles.

Ces semelles étaient écrasées. Quelques Ingénieurs y ont vu la cause de l'accident.

3. Personnel (S'').

Projet et Entreprise : MM. Sager et Wærner, de Munich.

Direction des Travaux : M. Schwiening, Directeur des Travaux de la Ville

Architecture : M. le Professeur von Thiersch (S₂).

SOURCES :

S₁. — Dessins d'exécution (S'₁) et renseignements (S''₁), qu'ont bien voulu me remettre MM. Sager et Wærner.

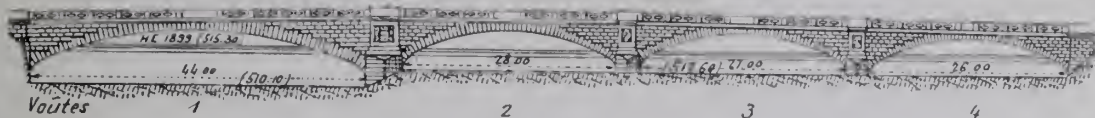
S₂. — Beton und Eisen, 5 Heft 1903, p. 305 à 311 : « *Die Corneliusbrücke und der Einsturz eines Bogens derselben am 26 August 1902* » Dpl. Ing. W. Binswanger.

S₃. — Ce que j'ai vu — août 1908.

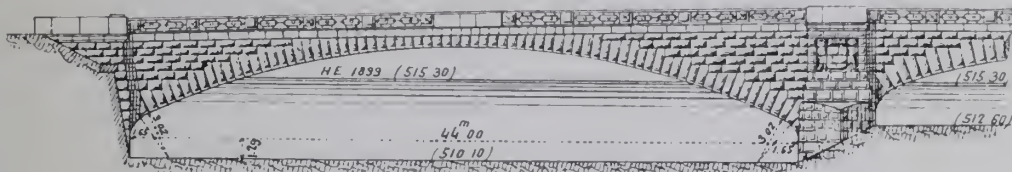
PONT DE REICHENBACH, SUR L'ISAR, A MUNICH (BAVIÈRE)

en prolongement de la Fraunhoferstrasse

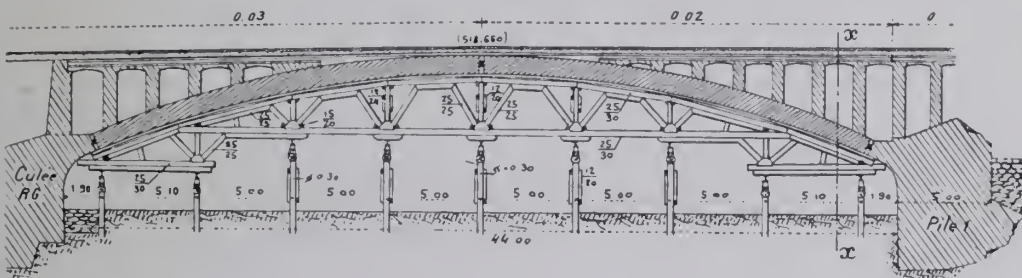
1902-1903

$$\overline{A}^n_{r^{te}} \geq (0_m)'1$$
$$f_1 = \text{Ensemble, amount} = 1^{\text{mm}}$$


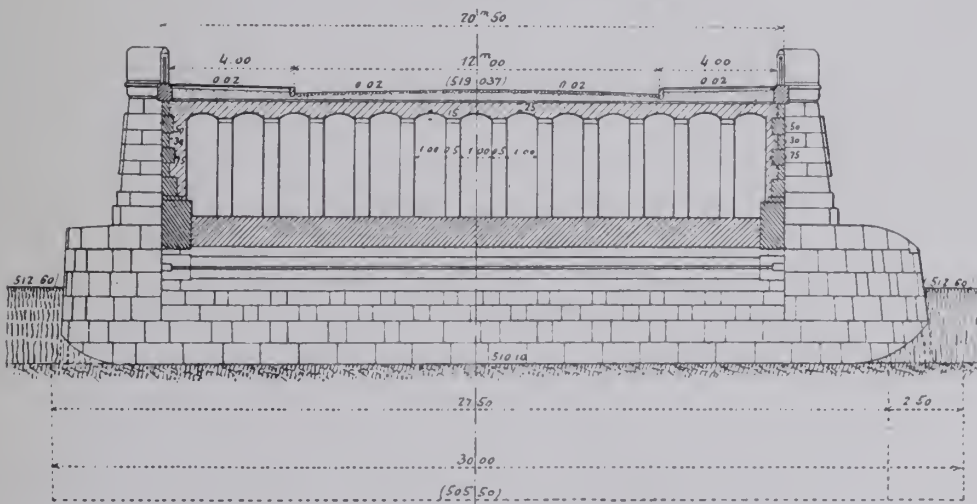
Voûte 1

$$f_3 - \text{Élévation amont} = 2^{\text{mm}}$$


f_3 — Coupe en long et cintre — 2^{mm}5



f_1 — Coupe en travers sur xx de $f_1 = 4^{\text{mm}}$



1. Voûte 1 (f_1 à f_1).

A. - *Tracé*. — La fibre moyenne est la courbe de pression sous le poids propre.

Les épaisseurs de la voûte sont telles que la pression y est à peu près uniforme (25 à 30^k).

B. - *Rotules*. — Les mêmes qu'au pont Cornélius¹.

 Φ_1 — Voûte 1 — amont (S_3)

2. Voûtes 2, 3, 4. — Leurs charnières sont de simples bandes de plomb de 200^{mm} \times 5^{mm} entre deux voussoirs de granit ; elles sont masquées aux têtes.

3. Tympan. — Les tympan en pierre de taille à gros bossages écrasent la voûte (Φ_1).

Entre eux, de minces piliers de béton soutiennent une plate-forme en béton chapée d'asphalte, qui porte la chaussée et les trottoirs (f_1).

4. Chaussée. Trottoirs. — La chaussée est pavée en granit avec joints bourrés d'asphalte. Les trottoirs sont en asphalte.

Sur la chaussée passent des voies de tramway ; sous les trottoirs, des tuyaux.

Les mâts de l'éclairage électrique, qui portent aussi les fils pour le tramway, sont à 0^m80 de la bordure des trottoirs.

1. — $\bar{A}_{(n)}^n$ r^{te} ($\geq 40^m$)³ — (I_3 , f_6), Tome IV.

5. Exécution des voûtes. — On posa à sec, d'abord les sommiers, puis les voussoirs des bandeaux.

Ils sont plus épais aux reins que le corps en béton de la voûte : pendant qu'on les posait, on augmenta le surhaussement des fermes de tête en manœuvrant leurs vérins.

On construisit ensuite le corps en béton, par tranches isolées.

Après la prise du béton, on enlevait les cloisons; on piquait grossièrement les lits pour augmenter l'adhérence avec le nouveau béton; puis on les recouvrait d'une mince couche de mortier de ciment. On pilonnait ensuite dans le vide entre les tranches.

Pendant qu'on bétonnait une tranche, on matait au mortier à 1^{re} 2^{re} les voussoirs de ses bandeaux.

Les rotules avaient été posées en même temps que leurs sommiers. Mais on ne les fixa à leur place que lorsqu'on eut chargé le cintre du poids total des matériaux.

6. Dates de construction (1903) et tassements au décintrement.

Numéro des voûtes	Portée	Bétonnage		Décintrement	Nombre de jours sur cintre	Tassement au décintrement en mm.
		Commencement	Fin			
1 (R. G.)	44 ^m	23 mars	28 mars	12 mai	45 j	20 ^{mm} 2
2	28	29 janvier	6 février	15 avril	68	12
3	27	8 janvier	12 janvier	14 mars	61	6
4 (R. D.)	26	7 janvier	»	14 mars	»	10

7. Mouvements pendant le décintrement de la voûte 4 (rive droite). — Quand on décintra la voûte 4 (rive droite), sa pile s'inclina de 1 à 2^{mm} vers l'arche 3, alors sur cintre. Elle se redressa, quand on décintra l'arche 3.

8. Personnel.

Projet et Entreprise : MM. Sager et Wærner, de Munich.

Direction des Travaux : M. Schwiening, Directeur des Travaux de la Ville;
M. H. Grüb, Ingénieur.

Architecture : M. le Professeur Fr. von Thiersch (S₁).

2. -- Il correspond à peu près à un coefficient d'élasticité moyen : $E \text{ (Kg } \overline{0m0l^2}) = 2 \times 10^5 \text{ (S}_2\text{)}$

SOURCES :

S₁. — Renseignements qu'ont bien voulu me communiquer MM. Sager et Wærner

S₂. — Beton und Eisen, 1904, p. 9 à 17, Pl. II : « *Münchner Brückenbauten* »;
II. « *Die Reichenbachbrücke in München* », E. Burk.

S₃. — Ce que j'ai vu — août 1908.

Ce qui n'est pas spécifié S₁ ou S₃ est de S₂.

PONT SUR LE NECKAR, A NECKARGARTACH¹ (WURTEMBERG)

Route d'Heilbronn à Neckargartach

1903-1905

$\bar{A}^n_{r^{te}} \geq 40m,5$

$\Phi_1 (S_1)$

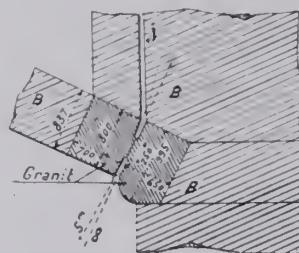
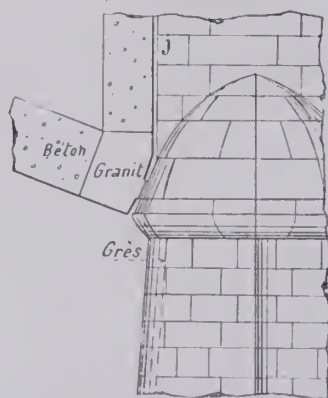


1. Articulations (f_s, f_o). — On a poli à la meule les surfaces de contact (S_2).

Articulation de retombée — 1^{er}

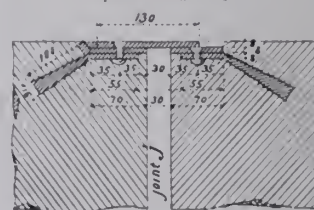
f_s — Élevation

f_o — Coupe



f_{10} — Comment est recouvert le joint de dilatation — 10^m

Coupe en long du pont



2. Joints de dilatation (f_s à f_{10}). — Des rotules de retombées aux parapets, des joints verticaux j coupent les tympans le long des pilastres.

Sur la plate-forme portant la chaussée et sur les trottoirs, ils sont recouverts par des plaques de tôle glissant l'une sur l'autre (f_{10}).

1. — à 3^{km} environ en aval d'Heilbronn (S_2).

f₂ — Arche en rivière — 2^{mm}

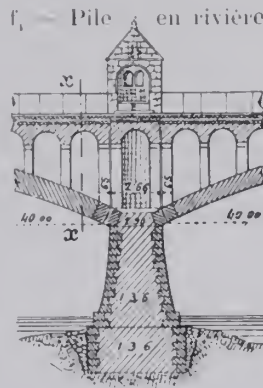
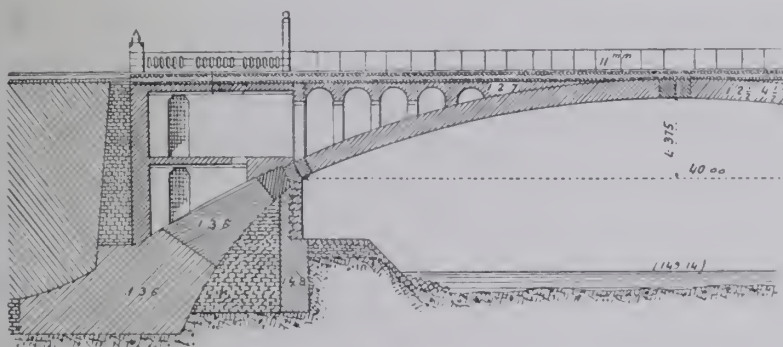
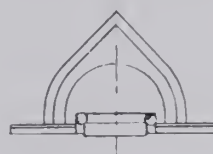
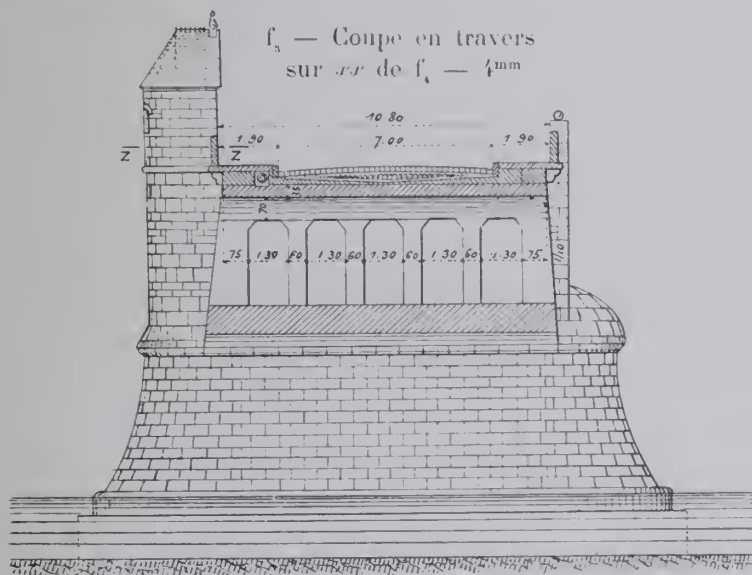
60^m

40^m00

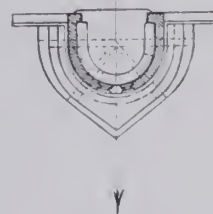
6^m00

(143/14)

f₁ = Pile en rivière.

Becs $\frac{1}{4}$ mmf₆ — Plan par-dessus

f_7 - Coupe sur zz de f_3



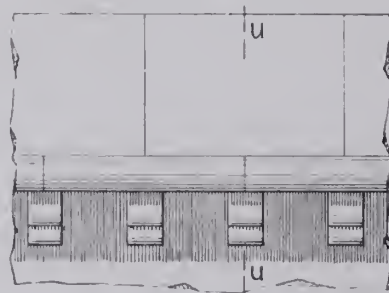
Φ_2 (S_1)

3. Chaussée et trottoirs (S_2). — Les pavés de granit de 17^{cm} reposent sur 6^{cm} de sable et gravier fin.

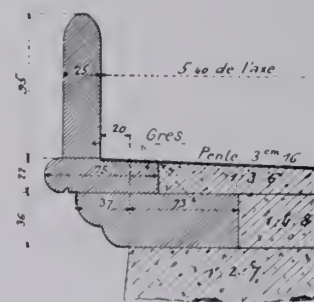
Les trottoirs sont en béton revêtu de ciment ; les bordures, en granit.

Couronnement — 2^m

f_{11} — Élévation



f_{12} — Coupe sur uu de f_{11}



4. Écoulement des eaux (S_2). — Sur le béton sous chaussée, en pente vers l'axe du pont, on a étalé successivement : un enduit lisse de ciment, — de l'« Anthrazin » chaud, — une couche de goudron chaud, — des feuilles de carton de toiture armé de jute, — une épaisse couche de goudron chaud.

Le tout² est recouvert de sable.

2. — « Cette chape s'est jusqu'ici parfaitement comportée » (vorzüglich bewährt) (S_2). Elle revient à 1'30 le m. q., sans l'enduit de ciment (S_1).

Un fer Zorès, dans l'axe du pont, conduit les eaux aux tuyaux traversant les reins des voûtes.

L'eau des rigoles s'écoule hors du pont par des gargouilles en grès (S_1) (Φ_1 , f_2).
L'extrados des voûtes est recouvert de deux couches de « Siderosthen Lubrose ».

5. Matériaux (S_1 , S_2 , S_3).

A. - Composition du béton.

Massifs de fondation et corps des piles et culées. — Trottoirs (sous le revêtement).....

Voûtes ³
Résistance à 2 mois 1 2 : 400^k.
On exigeait des matériaux tout-à-fait propres.

Près des articulations.....

Tympan et plate-forme.....

	Pour 1 ^{vol} de ciment Portland		Poids de ciment par mc. de béton
	Sable	Gravier	
		Quantité	Grosceur
	3 ^v	6 ^v	
	Sable du Mein 1 ^v	Gravier porphyrique 1 ^v 5	8 à 12mm
	Sable porphyrique (2 à 4 ^{mm}) 1 ^v 5	Porphyre cassé 3 ^v	
	id.	Gravier porphyrique 1 ^v 5	
	2 ^v	7 ^v	12 à 15mm
			250 ^k

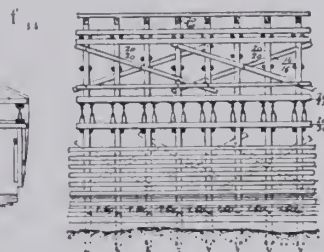
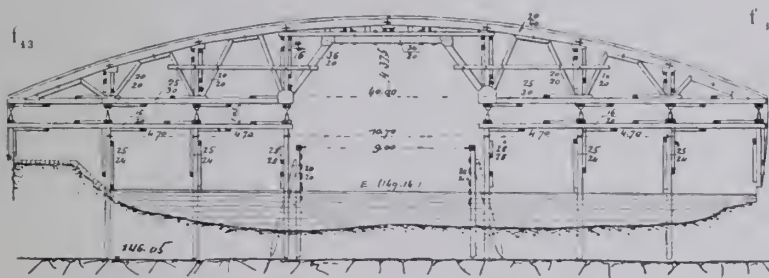
B. - *Maçonnerie* (S_1). — Tous les massifs de fondation sont en béton : celui de la pile en rivière est parementé en moellons de calcaire.

Les parements des piles et culées, les consoles, plinthes, parapets, niche, sont en grès d'Heilbronn.

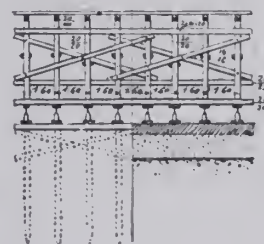
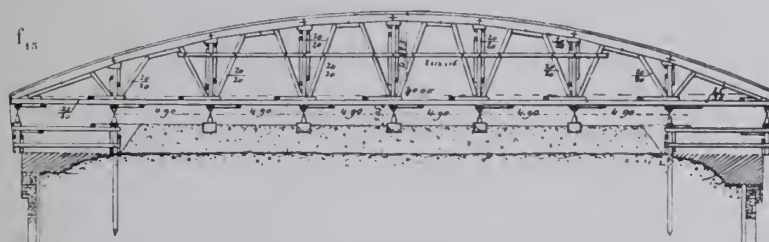
6. Cintres (f_{13} à f_{16}). — On n'a pas taillé d'assemblages.

Les abouts des pièces sont maintenus par des goujons de 8^{cm} de long, de 3^{cm} de diamètre.

Cintres — 2^{mm}5
Arche rive gauche



Arche sur berge



3. — Dosage déterminé après essais à l'usine de Lauffen (S_2). Le béton de tête était plus fin, afin qu'on pût le travailler (S_2).

Les montants et contrefiches portent sur de forts \square en fer, qui empêchent les déplacements latéraux et la pénétration dans les semelles.

On a ménagé sous le cintre de la voûte rive gauche une passe libre de 9^m : les chalands et radeaux y étaient guidés par un remorqueur à pétrole.

7. Fondations (S_2). — A la pile en rivière, on battit une enceinte étanche à 2^m50 de l'emplacement des maçonneries. On épuisa, et on creusa jusqu'au rocher, en laissant en haut une banquette de 1^m.

Les autres fouilles furent descendues de 6^m à 9^m sous le terrain naturel, d'abord sur 3^m en talus, puis par épuisement en fouilles blindées.

8. Exécution des voûtes (S_2). — *A. Construction par tranches.* Elles ont été faites toutes ensemble en 18 jours (S_1).

Le béton était pilonné par couches de 15^{cm} au plus et par tranches symétriques de 1^m18 d'épaisseur (32 par voûte). Chaque tranche, cubant 12 à 14^m3, était faite en 5 ou 6 heures.

On a occupé, en moyenne, 140 ouvriers par jour au bétonnage.

B. Pose des rotules. — Aux retombées, on posa d'abord le bloc inférieur.

Entre ce bloc et la tranche inférieure de la voûte, on a ménagé la place du bloc supérieur avec un jeu de 12^{cm}.

On était assuré que les blocs étaient exactement en place, quand des règles graduées s'enfonçaient de la même quantité au-dessus ou au-dessous de la ligne de contact.

On bourrait de coton les joints d'articulation.

9. Construction des piles des voûtes d'évidement (S''_1).

On l'a conduite de façon que la charge sur les voûtes fût aussi uniforme que possible (S''_1).

10. Décintrement (S_3). — On l'opéra en 3 fois, après qu'on eut construit les piles des voûtes d'évidement (S''_1).

Dates	Nombre de jours après l'achèvement des voûtes	Tassement en mm des clefs des voûtes n ^{os} :					Observations
		1 (R G)	2	3	4	5 (R D)	
1904							
15 octobre	8j	4	4	5	4	4	On abaissa les cintres de quelques millimètres à la clef, - moins vers les retombées : les voûtes ne les quittèrent pas.
21 octobre	14j	2	1	2	2	2	
10 novembre	28j	7	6	1	5	7	On abaissa les cintres jusqu'au décollement complet.
Totaux...		13	11	8	11	13	

On avait prévu un tassement de 24^{mm}.

Les vérins étaient manœuvrés par 80 hommes.

11. Dates (S''_1, S_2).

Fondations	10 août - 16 décembre 1903
Construction des cintres.....	mars 1904
Achèvement des voûtes.....	7 octobre
Piles et voûtes d'évidement.....	10 octobre - 10 novembre
Ouverture \ aux piétons.....	15 juin 1905
/ aux voitures.....	1 ^{er} août

12. Personnel (S''_1, S_2).

Ingénieurs :

Projet et Direction des Travaux : M. von Schaal, « Oberbaurat », à Stuttgart.

Direction immédiate : M. Wegmann, « Regierungsbaumeister ».

Architecture, Décoration : M. le Professeur Theodor Fischer.

Sculpture : M. Jacob Brüllmann, de Stuttgart.

Entrepreneur : M. C. Baresel, de Stuttgart-Untertürkheim.

SOURCES :

S_1 . — Dessins d'exécution (S'_1) et renseignements (S''_1), que m'a gracieusement communiqués M. le « Baudirektor » Richard Leibbrand, « Vorstand der Strassen-und Wasserbauabteilung », du Ministère de l'Intérieur à Stuttgart.

S_2 . — « Bauzeitung für Württemberg, Baden, Hessen, Elsass-Lothringen », 1906 : 1^{er} septembre, p. 275 à 278 ; — 8 septembre, p. 283 à 286 : « Die neue Strassenbrücke bei Neckargartach », nach einem Vortrag des Erbauers, Oberbaurats. v. Schaal, im Württembergischen Verein für Baukunde.

S_3 . — « Strassenbrücke über den Neckar bei Neckargartach », Stuttgart, Strecker et Schröder, 1908.

Cette monographie m'a été gracieusement adressée par M. R. Leibbrand.

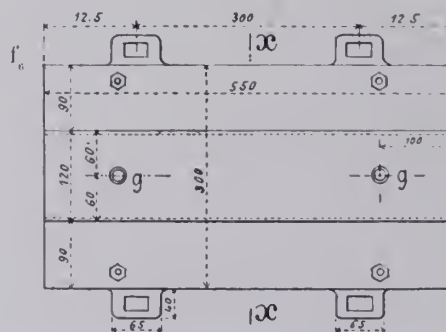
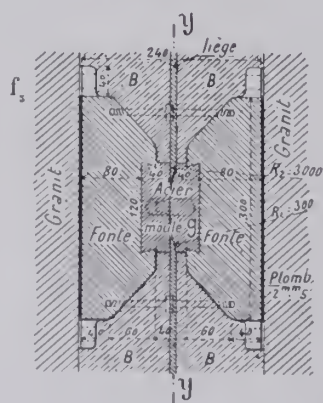
S_4 . — Ce que j'ai vu — septembre 1908.

Les dessins sont réduits de S'_1 , sauf f_9 qui est de S_2 .

$$\Phi_{\lambda}(S_{\lambda})$$


En dépit de ces menues critiques, c'est un fort joli pont.

sur yy de f_3

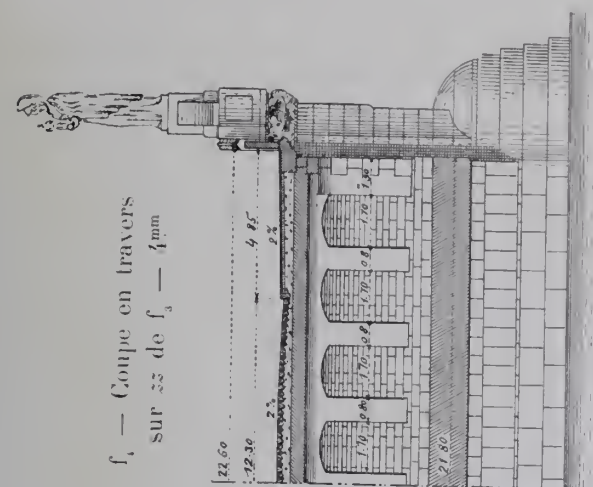


Pendant la construction, les sabots supérieurs se dé-

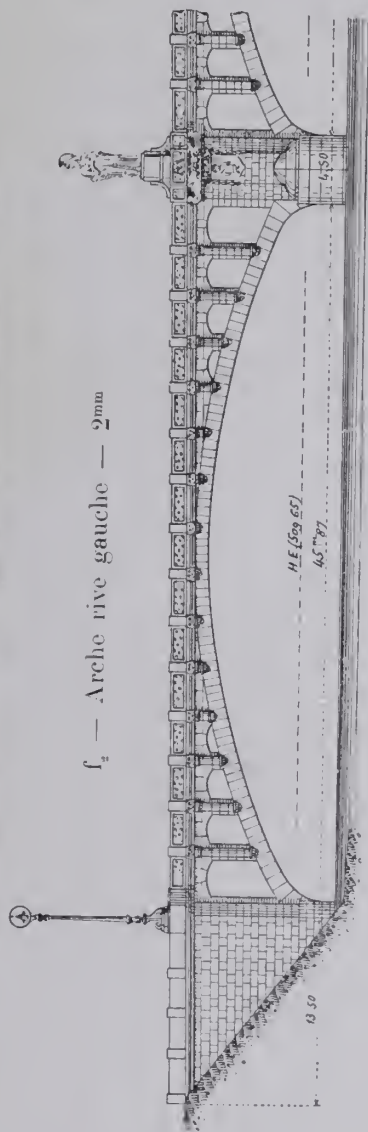
placèrent de 1^{er} au plus: on eut quelque peine à les ramener.

1. — Les goujons g n'ont été mis qu'après l'accident du 27 juin 1904.

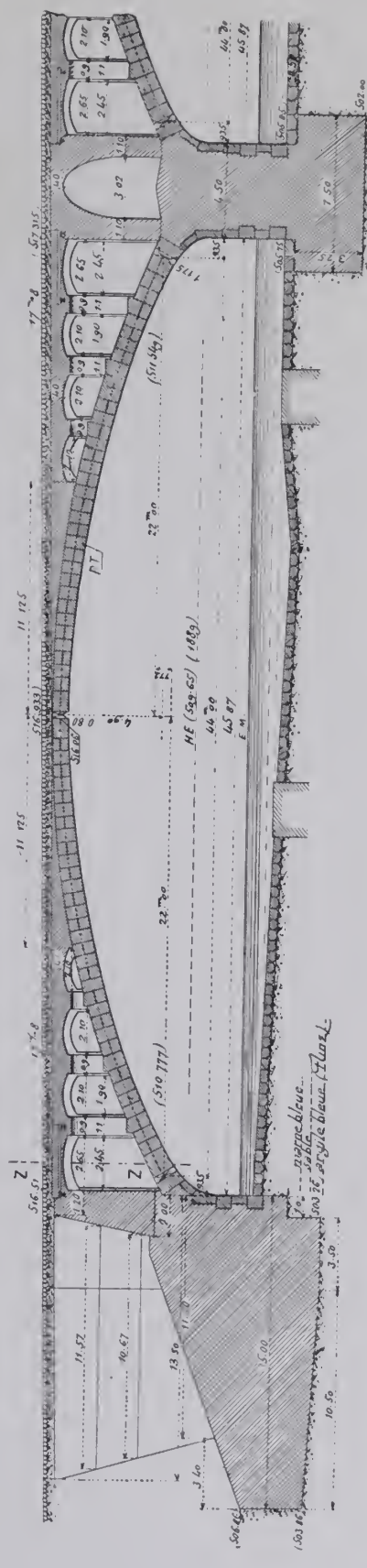
f_i — Coupe en travers
sur z de $f_3 - 4^{\text{mm}}$

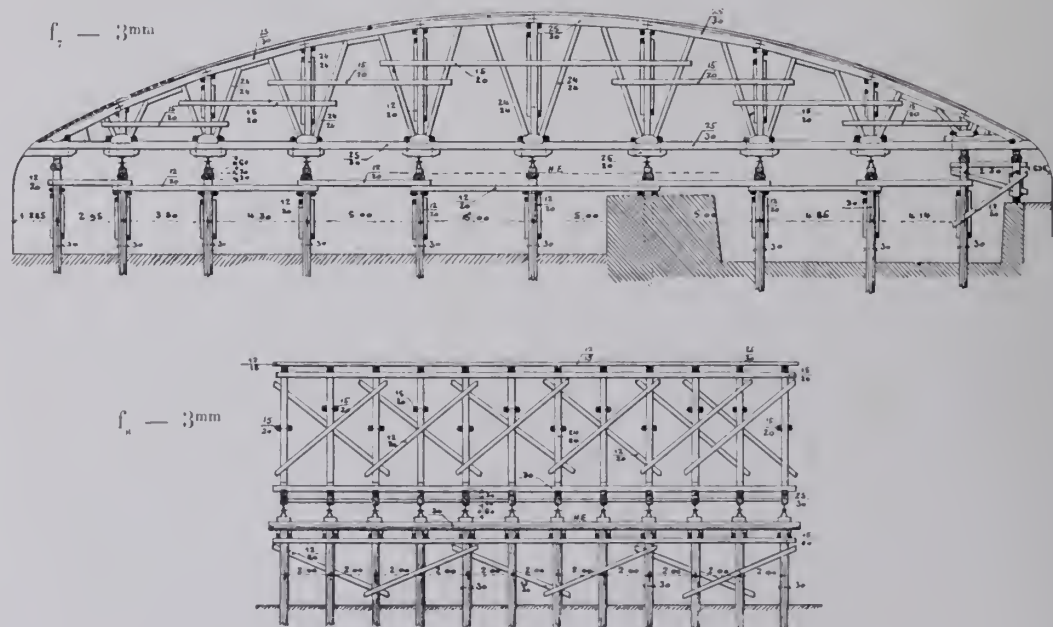


f_2 — Arche rive gauche — 2mm



f_3 — Coupe en long — 3mm

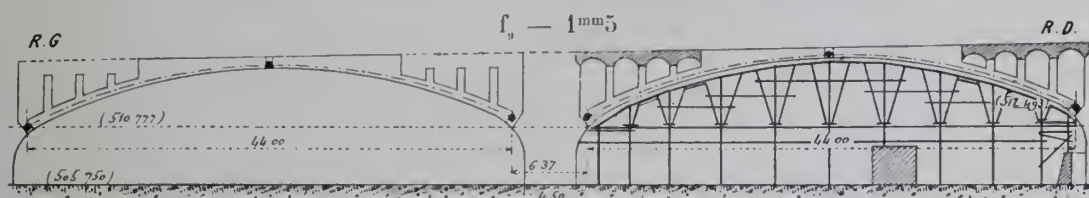


3. Cintre de l'arche rive droite (S_1).

4. Premier décintrement des deux grandes voûtes (13 juin 1904 ; matin 6^h-8^h 2). — Elles portaient à ce moment les piliers des petites arches et le remplissage en béton du cerveau.

5. Chute des grandes voûtes (27 juin 1904) (S₂).

A. - *Etat de l'ouvrage avant l'accident.* — Le croquis f₉ montre l'état de l'ouvrage au moment de l'accident, 14 jours après le décintrement.



Le cintre de rive gauche était enlevé ; celui de rive droite descendu « d'une « largeur de main ».

B. - *Observations faites.*

Matin : 7^h.....

9^h.....

Soir : 1^h.....

1^h1. 2. ...

Arche rive gauche

Arche rive droite

Retombée rive gauche

Clef

Retombée rive droite

Elle s'élève aux têtes de 11^m et 13^m

Glissement de 2^{mm} sur toute la largeur

Glissement uniforme beaucoup plus grand qu'à la retombée rive droite

Glissement de 8^{mm}

Glissement visible à l'œil Chute

Chute aussitôt après celle de l'autre retombée

Les deux retombées tombent aussitôt après la chute de l'arche rive droite.

Secousse qui fit croire à un tremblement de terre (S₂). — Durée de la chute : 0^m4.

C. - *Etat du Pont* (voir f₁₀ à f₁₇)

C₁ - *Voûtes*.....

C₂ - *Cintre*

de rive droite.....

C₃ - *Rotules*

des retombées...

C₄ - *Pile et culées*.....

C₅ - *Piliers des voûtes*

d'élégissement...

Les blocs supérieurs des retombées reposent sur les assises inférieures de granit. Très heureusement, le frottement acier sur granit a arrêté le glissement et prévenu la chute de la voûte.

La voûte porte sur le cintre et sur les assises de granit de la pile et de la culée. — Quelques voussoirs de tête, notamment ceux qui masquent les rotules, sont épaufres. — Quelques voussoirs de granit sont fissurés.

Les semelles transversales sur les vérins sont cassées. — Les fermes portent directement sur eux.

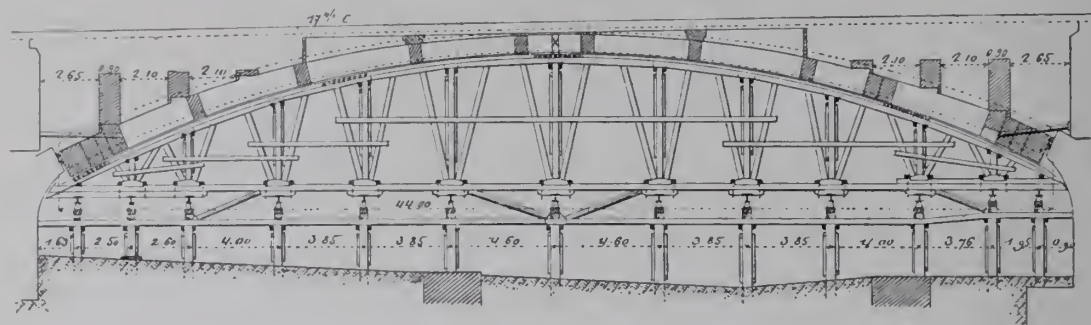
Les sabots supérieurs sont en partie déplacés ; beaucoup sont tombés.

Les parements de tête sont épaufres.

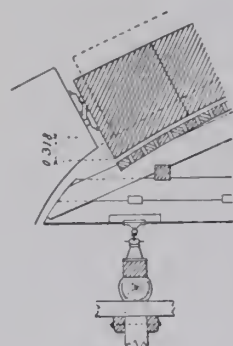
Ils sont pour la plupart déplacés.

Reconstruction des voûtes (S_3)*On a indiqué par des hachures ce qui a été refait*

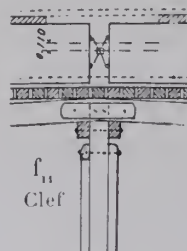
Arche rive gauche

 f_{10} — Etat de la voûte après qu'on eut reconstruit le cintre — 3mm

Détails — 1cm

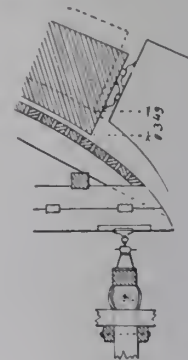


f_{12}
Retombée
rive gauche

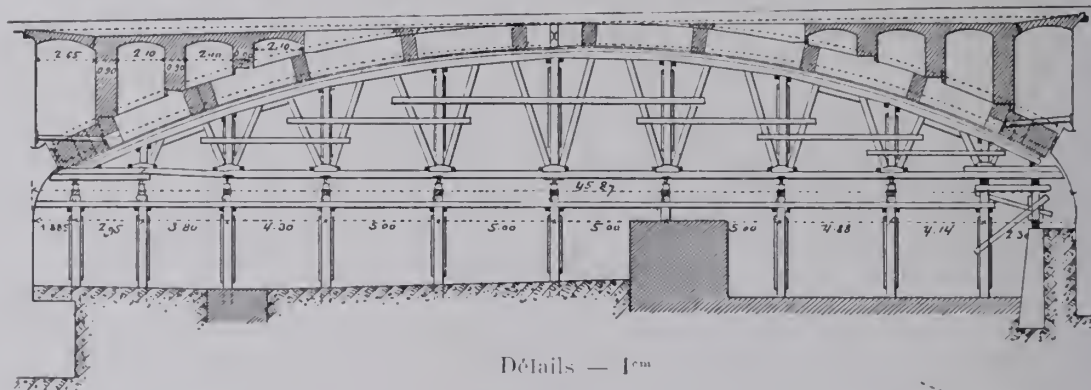


f_{11}
Clef

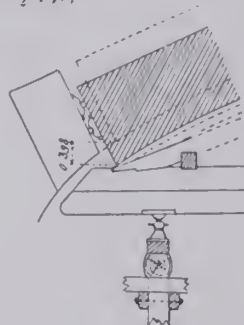
f_{13}
Retombée
rive droite



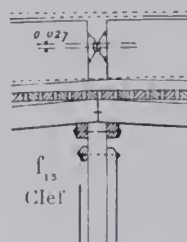
Arche rive droite

 f_{11} — Etat de la voûte après l'accident — 3mm

Détails — 1cm

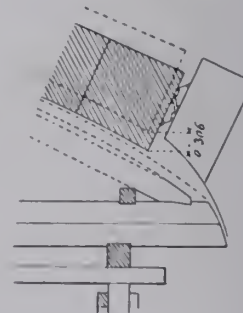


f_{16}
Retombée
rive gauche



f_{15}
Clef

f_{17}
Retombée
rive droite



D. - Causes de l'accident (S₂). — Les surfaces de contact des rotules avaient été polies, puis graissées à la stéarine. Le frottement acier sur acier était ainsi descendu de 0,235-0,216 (sans graissage) à 0,022-0,005 (graissage à la stéarine)².

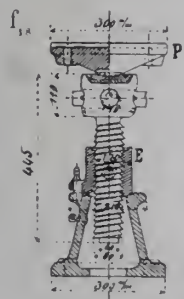
Pour les grandes voûtes nues, les réactions aux retombées sont normales aux surfaces de contact.

Quand le poids des voûtes d'élégissement construites sur la voûte rive droite les eut déviées d'un angle égal à l'angle de frottement des surfaces stéarinées, le glissement s'est produit (il n'y avait pas encore de goujons pour l'arrêter).

Sans graissage à la stéarine, les rotules n'auraient pu glisser que pour une déviation de 12° des réactions : aucune surcharge ne l'eût produite.

6. On reconstruit le cintre de rive gauche, on répare celui de rive droite (S₂). — On boucha provisoirement au mortier de ciment les joints entre les rotules des retombées.

Vérins à plate-forme articulée — 5^m



Sous l'arche rive gauche, on construisit un cintre épousant l'intrados déformé.

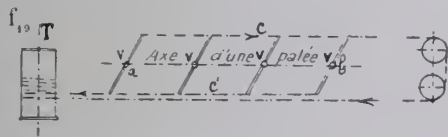
On remplaça les pièces brisées du cintre de rive droite.

Sous les fermes des 2 cintres, on installa des vérins avec plate-forme P, articulée sur un écrou E un peu mobile sur sa base, pour diriger la réaction suivant l'axe (f_{10}).

7. On remonte les 2 voûtes³ (S₃). — On enleva les voussoirs épauprés, plus nombreux aux têtes, et, de plus, quelques assises entières (f_{10} , f_{11}).

Les vérins d'une même file transversale ab (f_{10}) devaient s'élever en même temps de la même quantité.

Manœuvre des vérins — Plan — 5^m



Les extrémités de leurs manivelles étaient mues par deux câbles C et C' s'enroulant autour d'un treuil horizontal T.

On avançait par 1/4 de tour, soit, en hauteur, par 3^{mm}7, jusqu'à l'intrados surhaussé de 40^{mm}.

Le cerveau du cintre fut à hauteur avant les retombées ; on le fixa par des chaînes attachées aux palées et on n'agit plus que sur les vérins des retombées.

8. On répare les 2 voûtes (S₃). — Quand les voûtes furent remontées, on reconstruisit les assises enlevées ; on boucha les joints ouverts ; on plaça les assises d'appui des articulations, puis les rotules. La plupart purent être réemployées. Mais on les munit toutes de 2 goujons de 22^{mm} pour empêcher le glissement.

Les arches refaites furent décintrées en mai 1905.

2. — D'après les expériences de M. Föppl (Voir Tome IV, p. 22).

3. — Cette délicate opération fut habilement conduite par M. Probst, Ingénieur en chef de l'Entreprise.

9. Dates (S₁).

Commencement des travaux	septembre 1903
Construction des grandes voûtes (44 jours).....	16 mars - 9 mai 1904
Ouverture à la circulation.....	9 juin 1905
Achèvement du pont.....	septembre 1905

10. Personnel (S₁).

Projet et Entreprise : MM. Sager et Wærner, de Munich.

Direction des Travaux : M. Schwiening, Directeur des Travaux de la Ville.

SOURCES :

S₁. — Dessins d'exécution (S'₁) et renseignements (S''₁), gracieusement communiqués par MM. Sager et Wærner.

S₁. — Zeitschrift des Vereines deutscher Ingenieure, 1904, II, p. 1407 à 1411 : « *Der Bauunfall der äusseren Maximiliansbrücke in München* », von W. Dietz.

S₁. — Schweizerische Bauzeitung, 13 mai 1905, p. 236 à 239 : « *Die Rekonstruktion der Maximiliansbrücke in München* », von Professor Mörsch, in Zürich.

S₁. — Ce que j'ai vu — août 1908.

PONT DE WITTELSBACH, SUR L'ISAR, A MUNICH (BAVIÈRE)

en prolongement de la Kapuzinerstrasse •

1904-1905

$\overline{A}^n_{1^{te}} (\geq 40m) \overline{I}$

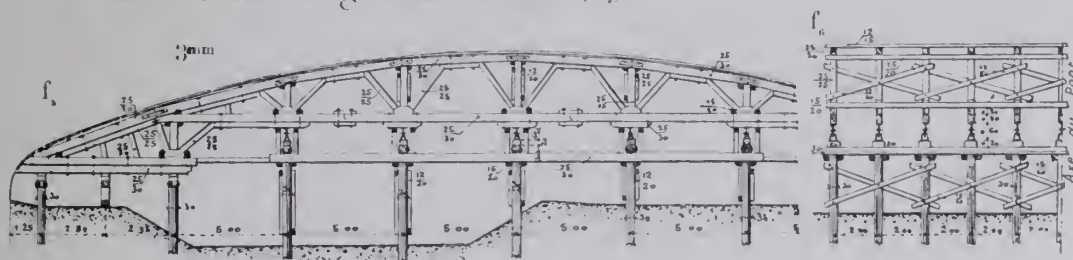
$\Phi_1 (S_1)$



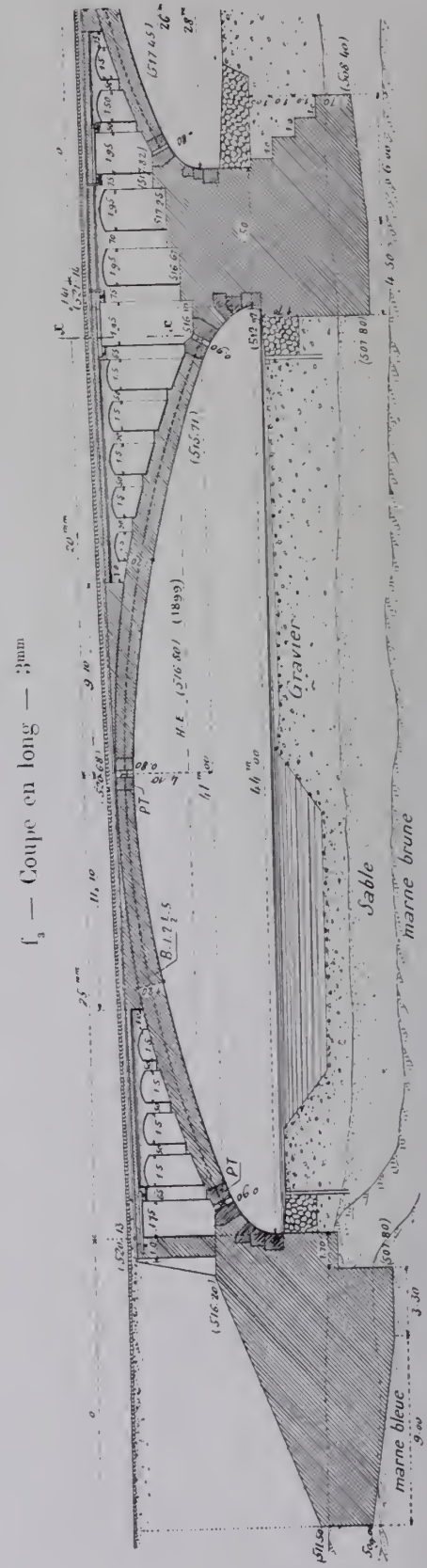
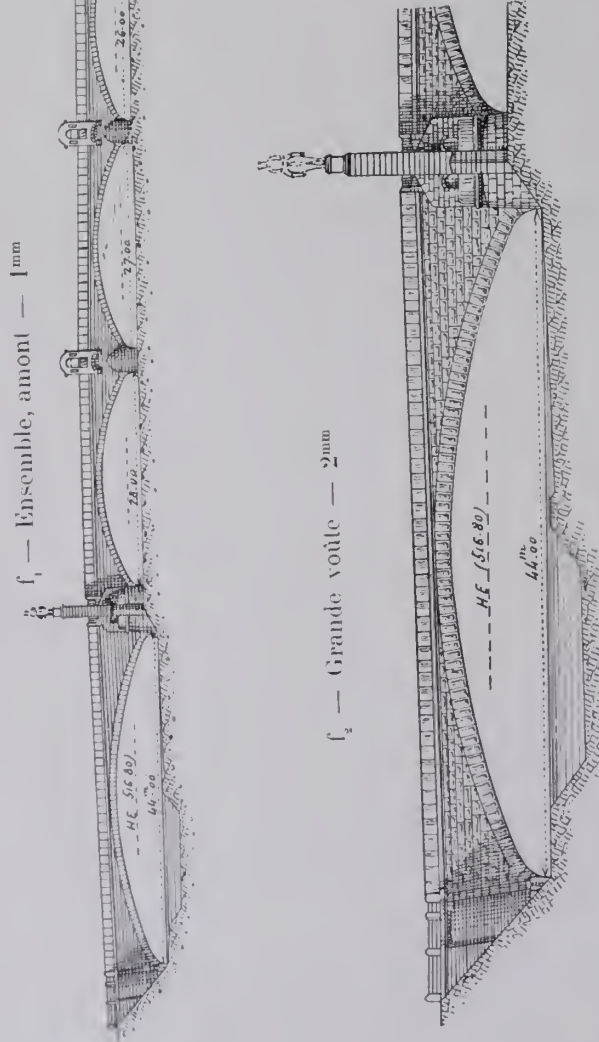
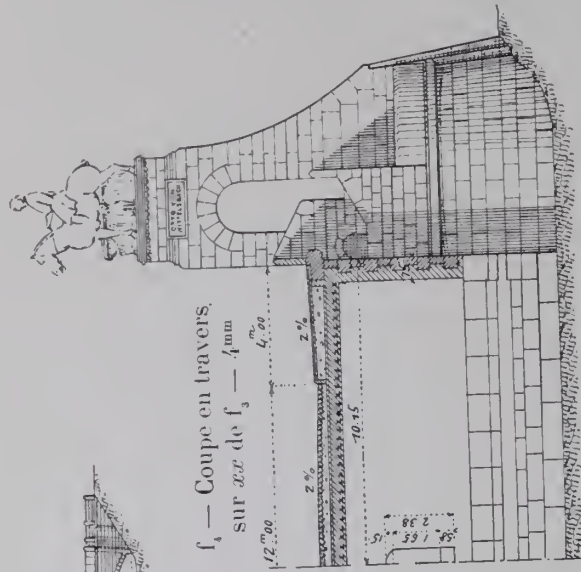
1. Aspect. — Sur l'avant-bec de la pile-culée de rive droite est édifié un piédestal portant la statue équestre d'Otto de Wittelsbach. Ce cheval est juché un peu haut.

2. Articulations. — Les mêmes qu'au pont Maximilien¹.

3. Cintre de la grande voûte (S_1).



1. — $\overline{A}^n_{1^{te}} (\geq 40m) \overline{I}$, f_5 et f_6 . Tome IV, p. 192.



f_2 — Grande voûte — 2^{mm}

f_4 — Coupe en travers
sur xx de f_3 — 4^{mm}

4. Personnel (S_2 , S_3).

Projet et Entreprise : MM. Sager et Wœrner, de Munich.

Direction des Travaux : M. Schwiening, Directeur des Travaux de la Ville.

Architecture : M. le Professeur Th. Fischer (S_3).

SOURCES :

Dessins et renseignements gracieusement communiqués :

S_1 , — par M. Schwiening ;

S_2 , — par MM. Sager et Wœrner.

S_3 . — Schweizerische Bauzeitung, 23 septembre 1905, p. 166 : « *Die Eröffnung der Wittelsbacherbrücke in München* ».

S_4 . — Ce que j'ai vu, - août 1908.

PONT SUR LA MOSELLE, PRÈS DE MOULINS-LEZ-METZ ¹
(LORRAINE ALLEMANDE)

Route de Moulins à Montigny

1904-1905

$\bar{A}_{11}^{n\text{te}} (\geq 40\text{m})^8$

$\Phi_1 (S_1)$



1. Aspect (S_1). — Le dos d'âne est un peu trop accusé (30^{mm}).

Les lourdes culées arrêtent bien ces arcs légers.

Comme à Malling ², les becs des piles coupent durement les retombées des voûtes.

Les bandeaux, tympan, parements en élévation des culées, sont en moellons équarris jaunes, à bossages.

Aux têtes, les articulations ont l'aspect de libages piqués.

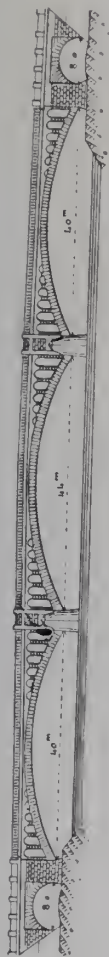
Les voûtes d'élégissement voisines de la clef sont aveuglées par un mur blanc.

Le béton n'apparaît qu'en douelle. Il affleure les retours des bandeaux ; aux voûtes des culées et aux grandes voûtes de rive au-dessus du chemin de halage, il a été piqué, pour effacer l'empreinte des voliges du cintre.

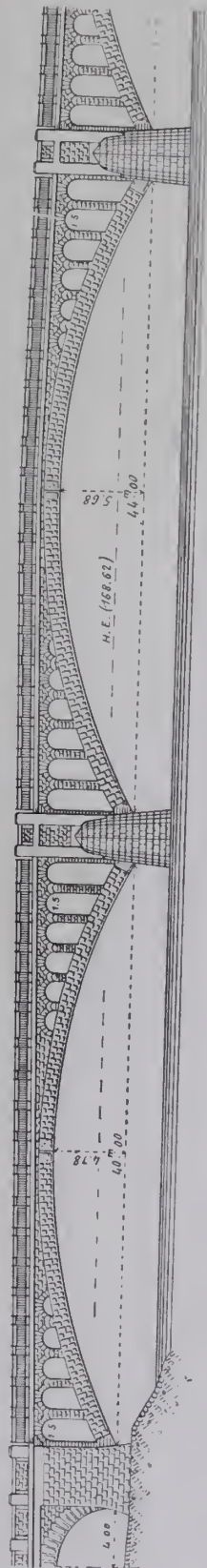
1. — à 6^e en amont de Metz, à 1^e environ de la station de Moulins (Ligne de Metz à Verdun).

2. — $\bar{A}_{11}^{n\text{te}} (\geq 40\text{m})^1$ — Tome IV, p. 175.

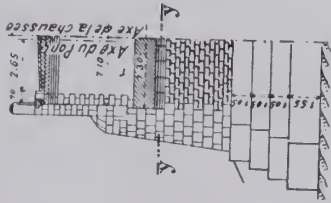
f_1 — Ensemble — 0mm75



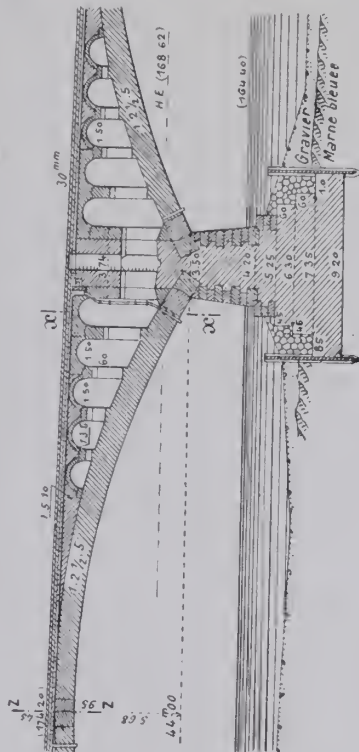
f_2 — Arche centrale et arche de rive — 2mm



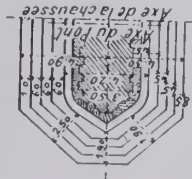
f_6 — Demi-coupe en travers sur xx' de f_3 — 2mm5



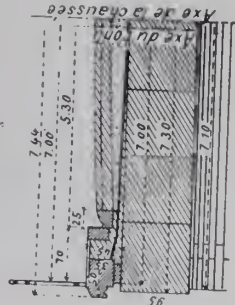
f_3 — Coupe en long au-dessus d'une pile — 2mm5



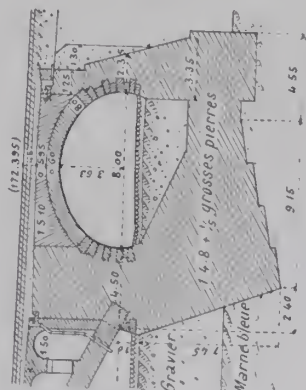
f_7 — Demi-coupe horizontale sur yy' de f_6 — 2mm5



f_5 — Demi-coupe en travers sur zz' de f_3 — 1mm



f_4 — Coupe en long d'une culée — 2mm5



4. Dates d'exécution des voûtes (1905).

	Voûtes		
	de rive	centrale	de rive
Commencement.....	16 mai	2 juin	26 mai
Fin.....	25 mai	9 juin	31 mai
Décintrement des 3 voûtes	29 juillet		

5. Personnel (S₁).

Ingénieur. — *Projet et Direction des Travaux* : M. Blumhardt, « Regierungs- und Baurat » à Strasbourg (Service de la Construction des Routes d'Alsace-Lorraine).

Entrepreneurs : MM. Windschild et Langelott, de Cosselbaude, près Dresde.

SOURCES :

S₁. — Dessins d'exécution (S'₁) et renseignements (S''₁) gracieusement communiqués par M. Blumhardt.

S₂. — Deutsche Bauzeitung, 1908, 23 mai, p. 283 à 288 ; - 3 juin, p. 303 et 307 : « Die Anwendung von Gelenken bei Brückenbauten ». Communication faite au XI^e Congrès du « Deutschen Beton-Vereins » tenu à Berlin en 1908, par M. A. Köhler, Ing. Dipl., Directeur technique de la Maison Windschild et Langelott.

S₃. — Ce que j'ai vu — août 1909.

PONT SUR LE NECKAR, A MANNHEIM (ALLEMAGNE - Grand-Duché de Bade)

Route de Neckarstadt à Mannheim

1905-1908

\bar{A}^n 1^{re} ($\geq 40m$)⁹

Φ_1 (S_3)



1. Voûtes de rive rampantes. — Pour résister à la poussée de l'arc central, les retombées des voûtes de rive sur les culées extrêmes sont à 1^m30 plus bas que leurs retombées sur les piles.

2. Bandeaux. — Les rotules sont cachées aux têtes par des voussoirs de granit, bien distincts des autres voussoirs, qui sont en grès rouge, par leur couleur et la sculpture de leur surface (Φ_1 , Φ_2 , Φ_3).

On voit un peu trop le renflement des reins (S_3).

3. Tympan. — Au droit des articulations des reins, ils sont coupés par un joint vertical ouvert, de 30^{mm}, très apparent (Φ_2 , Φ_3).

Il eût peut-être convenu de bien séparer la partie du tympan mobile avec la voûte, de sa partie fixe avec la pile et la culée, par un appareil différent, par un cadre,... (S_3).

Les tympanes sont, comme les bandeaux et le couronnement, en grès rouge. L'arche centrale, les candélabres, les poteaux de trolley, sont peints en vert. Ces deux couleurs complémentaires se heurtent.

$\Phi_2 (S_4)$



4. Plinthe. — Elle a peu de saillie (S_j).

5. Chaussée. Trottoirs. — La chaussée est, sur chaque arche en béton, en rampe assez forte : 1/37, soit 27^{mm} par mètre.

Les trottoirs sont faits de plaques de béton armé recouvertes d'asphalte.

6. Décintrement. — Au décintrement de l'arche rive droite, sa pile-culée s'inclina vers la rivière; la voûte tassa plus qu'on l'avait prévu, et l'arc d'acier se releva; il reprit son niveau sous une charge de 120 tonnes.

Le décintrement de chaque arche dura 4 heures.

7. Achèvement du pont. — Le tablier achevé, on a rempli au mortier de ciment l'intervalle entre les sommiers de granit des rotules, en maintenant le joint d'articulation par une feuille de feutre asphalté.

8. Épreuves. — On chargea chaque arche, puis tout le pont, d'abord d'un seul côté, puis entièrement, de 400^k de gravier par m. q.

On fit ensuite passer sur la chaussée des voitures de 15 et 20 tonnes.

Les épreuves durèrent 10 jours.

On observa une légère inclinaison des piles et eulées.



9. Personnel.

Projet (primé au Concours) : MM. Grün et Billinger, de Mannheim.

Entreprise : MM. Ph. Holzmann et C^e, de Francfort-sur-le-Mein.

SOURCES :

S₁. — Renseignements qu'ont bien voulu me communiquer MM. Grün et Billinger.

S₂. — Zentralblatt der Bauverwaltung, 20 mai 1908, p. 277 à 279 : « *Strassenbrücke über den Neckar in Mannheim* ».

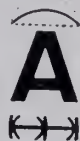
S₃. — Ce que j'ai vu, — août 1908.

Tout ce qui n'est pas spécifié S₁ ou S₃ est de S₂.

VOÛTES ARTICULÉES


ARTICULATIONS ROULANTES ¹

ARCS ASSEZ SURBAISSÉS ²



¹

PONTS A UNE SEULE GRANDE ARCHE
SOUS ROUTE

Série  ¹ r^{te} ($\geq 40^m$) ¹

1. -- Pour le classement des voûtes articulées et le sens des symboles, voir Tome IV, Livre I, p. 28 et 29.

2. — Série placée ici, après les arcs très surbaissés, au lieu de l'être avant. — J'en ai connu trop tard le seul pont.

PONT A UNE SEULE GRANDE ARCHE SOUS ROUTE

PONT	PROJET								ÉVIDEMENTS DES TYMPANS											
	ENSEMBLE		GRANDE VOÛTE					1° 2° DÉCORATION DES TÊTES												
	Longueur <i>entre abouts des parapets</i> Déclivités Hauteur maxima de la chaussée au-dessus du sol ou de l'étiage	Largeurs (entre parapets entre tympans sous la plinthe) Fruit des tympans Revanche de la chaussée sur l'extrados	INTRADOS Portée Montée Surbaissement Rayons	ÉPAISSEURS CORPS ET TÊTES Clef Joints de rupture Retombées	ROTULES <i>Pour les dimensions, rayons, pressions,... voir Tome IV, Livre III.</i>	MATÉRIAUX Mortier Poids, pour 1 ^{mc} de sable, de chaux ou de ciment	PRESSIONS en kg/0 ^m 01 ² Surcharges supposées													
Date	1	2	3	4	5	6	7	8	9											
Symbole																				
de Gräveneck <i>Prusse, - Hesse</i> 1911-1912 $\widehat{A}^1 r^{te} (\geq 40^m)1$	104 ^m 61 15 ^m 15 ^m 19	$\left\{ \begin{array}{l} 5^m 70 \\ 5^m 00 \end{array} \right.$ Pas de fruit 0 ^m 42	Portée entre appuis : 48 ^m 00 Entre les axes des rotules : $\left\{ \begin{array}{l} 48^m 423 \\ 7^m 75 \\ \frac{1}{6,248} = 0,160 \end{array} \right.$ Rayon de courbure à la clef : 36 ^m 85	$\left\{ \begin{array}{l} 0^m 60 \\ 1^m 02 \\ 0^m 75 \end{array} \right.$	Béton armé par des grillages en fers ronds de 8 ^{mm} normaux à la fibre moyenne Surfaces de roulement en mortier Ciment 1 ^r Sable du Rhin 1 ^r 5 Béton : Ciment 1 ^r Sable du Rhin 1 ^r 5 Eclats de basalte de 10 ^{mm} à 15 ^{mm} 2 ^r 5	Béton Ciment..... 1 ^r Sable du Rhin... 2 ^r Pierre de 5 à 20 ^{mm} - 2 ^r 5 ^r cassée de 40 à 50 ^{mm} - 3 ^r Pas de tension 500 ^{kg} /1 ^m 2 et Rouleau à vapeur de 15 ^t 1 6 à 1 7 du poids mort	Pressions maxima : <table><tr><th></th><th>sans surch.</th><th>avec surch.</th></tr><tr><td>Clef</td><td>20^k</td><td>23^k2</td></tr><tr><td>Joints derupt.</td><td>12^k4</td><td>33^k6</td></tr><tr><td>Retom- bées</td><td>19^k4</td><td>22^k5</td></tr></table>		sans surch.	avec surch.	Clef	20 ^k	23 ^k 2	Joints derupt.	12 ^k 4	33 ^k 6	Retom- bées	19 ^k 4	22 ^k 5	1° Plate-forme en béton armé sur piliers carrés de 25 ^m et 30 ^m d'arête 2° »
	sans surch.	avec surch.																		
Clef	20 ^k	23 ^k 2																		
Joints derupt.	12 ^k 4	33 ^k 6																		
Retom- bées	19 ^k 4	22 ^k 5																		

1. — Pour le sens de ces abréviations, voir Avertissement, Tome IV, p. II, n° 6.

SÉRIE \widehat{A}^1 1^{te} ($\geq 40^m$)

TABLEAU SYNOPTIQUE

EXÉCUTION										CUBE DE MAÇONNERIE A MORTIER																			
GRANDE VOÛTE										Q																			
CINTRE										DÉPENSE																			
FERMES										TOTAUX																			
Cube de bois Poids de fer Dépenses										et																			
MODE										par unité																			
DE										de surface utile S_p^2																			
CONSTRUCTION										de volume « utile » W^4																			
ÉTAT d'avancement du pont										Totaux																			
Temps entre le dernier clavage et le décintrément										et																			
Date										par unité																			
TASSEMENTS DE LA CLEF										18																			
sur cintre t_c																													
au décin- trément t_v																													
après t_v																													
10																													
11																													
12																													
13																													
14																													
15																													
16																													
17																													
Gravier, Argile, Blocs de rocher.	Fixe	$\left\{ \begin{array}{l} 5 \\ 18^m \\ 1^m 20 \end{array} \right.$			Par tranches isolées .	Plate-forme bétonnée. Joint vide ménagé entre la clef et chaque retombée	$t_c = 28^{mm}$ $t_v = 14^{mm}$	$Q = 2160^{mc}$ $Q : S_p = 3^{mc} 62$ $Q : W = 0^{mc} 38$	<table><tr><th></th><th>Fon- dations</th><th>Élé- vation</th><th>En- semble</th></tr><tr><td>D</td><td>32084^f</td><td>74040^f</td><td>106124</td></tr><tr><td>D : S_p</td><td>53^f 8</td><td>124^f 2</td><td>178^f 0</td></tr><tr><td>D : W</td><td>5^f 7</td><td>13^f 2</td><td>18^f 9</td></tr><tr><td>D : Q</td><td>»</td><td>»</td><td>49^f 1</td></tr></table>		Fon- dations	Élé- vation	En- semble	D	32084 ^f	74040 ^f	106124	D : S_p	53 ^f 8	124 ^f 2	178 ^f 0	D : W	5 ^f 7	13 ^f 2	18 ^f 9	D : Q	»	»	49 ^f 1
	Fon- dations									Élé- vation	En- semble																		
D	32084 ^f									74040 ^f	106124																		
D : S_p	53 ^f 8	124 ^f 2	178 ^f 0																										
D : W	5 ^f 7	13 ^f 2	18 ^f 9																										
D : Q	»	»	49 ^f 1																										
Pression maxima :	Montants et contrefiches																												
4 ⁵																													
Épuisements sans batardeaux	Boîtes à sable	60 ^{mm}				46 jours																							
						4 janvier																							

2. Pour le calcul de la surface de douelle, voir Avertissement, Tome IV, p. III, n° 7 — A. 3. S_p = Longueur (col. 2) \times Largeur entre parapets (col. 3) — C'est la surface offerte à la circulation.

4. W = Surface vue de l'élévation \times Largeur entre parapets. 5. W' = Surface de l'élévation au-dessus des fondations \times Largeur entre parapets.

Pour S_0 , W , W' , voir Avertissement, Tome IV, p. III, n° 7 — B.

VOÛTES ARTICULÉES ARTICULATIONS ROULANTES
ARCS ASSEZ SURBAISSÉS
PONTS A UNE SEULE GRANDE ARCHE SOUS ROUTE

SÉRIE $\widehat{\mathbf{A}}^1_{\text{rte}} (\geq 40^m)$

MONOGRAPHIES

PONT SUR LA LAHN, A GRÄVENECK (PRUSSE, - Hesse, - Présidence de Wiesbaden)

Route de Wirbelau à Gräveneck

1911-1912

$\widehat{\mathbf{A}}^1_{\text{rte}} (\geq 40^m) 1$

Φ_1 - amont (S'''_1)



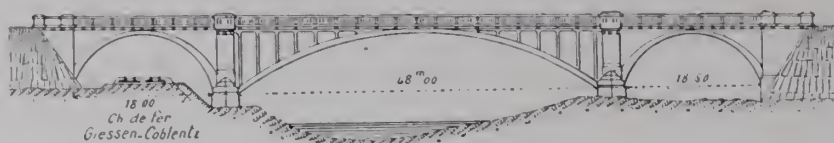
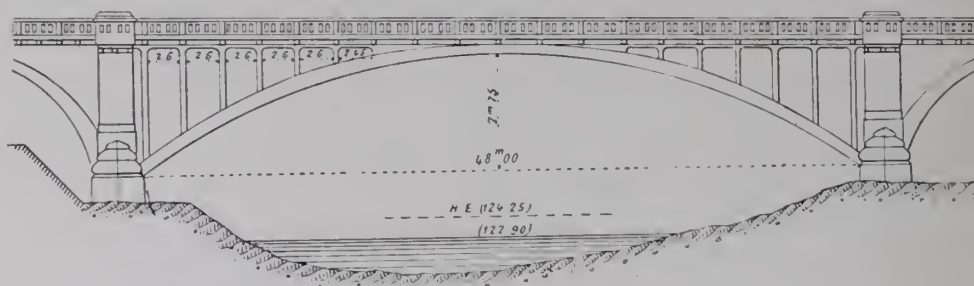
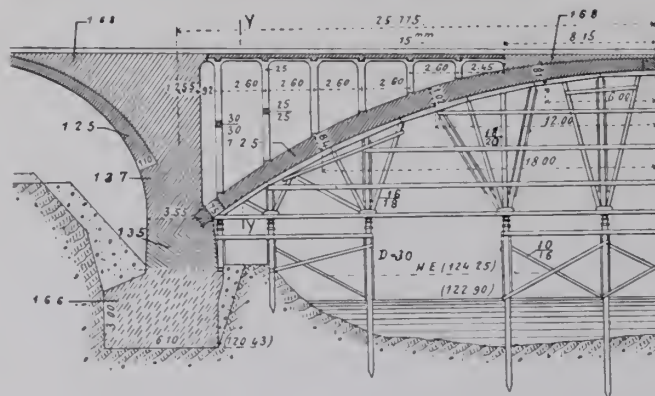
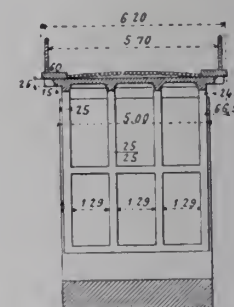
1. Une grande voûte entre deux petites. — Sous l'arche de rive gauche passent deux voies de chemin de fer ; l'arche de rive droite sert de décharge.

Pour qu'elles fissent culées, on les a élargies de 0^m50, et chargées de béton jusqu'à la chaussée (f_1).

2. Pourquoi on a articulé l'arche centrale. — 1° - Parce que cet arc mince, non armé, est soumis à de grands écarts de température ;

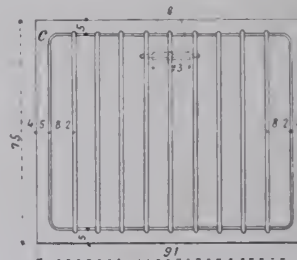
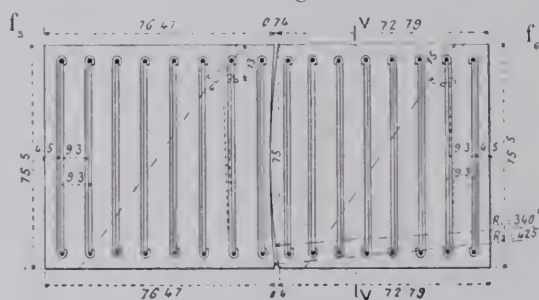
2° - Parce que le sol sous la pile rive gauche est peu résistant.

3. Pourquoi on a fait les rotules en béton armé. — Parce qu'elles sont plus homogènes qu'en pierre.

f_1 — Ensemble, amont — 1^{mm} f_2 — Grande voûte — 2^{mm} f_3 — Demi-coupe en long, et cintre — 2^{mm}5 f_4 — Coupe en travers sur yy de f_3 — 4^{mm}Rotules de retombée — 1^{cm}

Coupes

en long

en travers, sur rr de f_5 

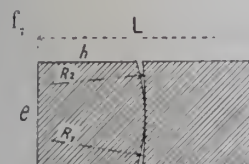
4. Rotules en béton armé. — *A. - Projet.* — Les cadres c (f_6) maintiennent les fers pendant l'exécution, et frettent le béton.
Il n'y a pas de fers dans le sens du pilonnage.

B. - Exécution — Les moules étaient en bois recouvert de tôle; la base, en plâtre très exactement dressé suivant la surface cylindrique de roulement : le plâtre a été remplacé à chaque bloc. On l'enduisait de mortier, puis on pilonnait le béton à l'état de terre humide, par couches de 10^{cm}.

Avant de placer les fers, on les enduisit d'un lait de ciment.

On mit les rotules en place au bout de 2 à 3 mois.

C. - Expériences au Laboratoire mécano-technique de Dresde. — Voici ce qu'ont donné, à un an, des rotules de mêmes dimensions que celles du pont :

		Dimensions en 0 ^m 01		Charge en tonnes par 0 ^m 01 d'arête de contact, provoquant les fissures	Compression, en 0 ^m 001, de la longueur l. (f ₂) sous une charge de 11 ^T par 0 ^m 01 d'arête de contact
		e = h =	R ₁	R ₂	
	Clef	60 ^c	350 ^c	450 ^c	10 ^r 10 11 10 10
	Retombées	75,5	340	425	2 ^{mm} 06 2 45 1 95 1 86 2 01 2 36

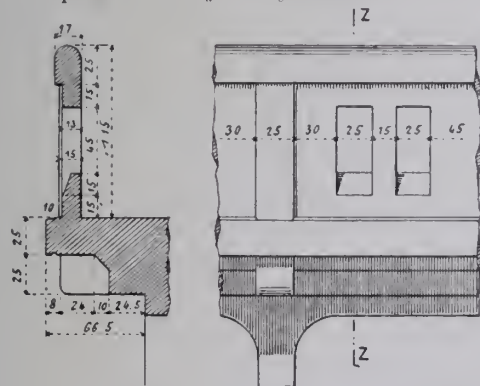
La charge enlevée, les fissures se sont refermées.

Le coefficient de sécurité, par rapport à la charge des premières fissures, est entre 6 et 7.

Les empreintes de contact étaient très irrégulières¹.

Couronnement — 2^{em}

f₉ - Coupe sur z-z de f₈ f₈ - Élévation



5. Joints de dilatation. — Il y en a au-dessus des rotules, puis 2 autres dans la plate-forme, ceux-ci, jusqu'après décintrement.

6. Couronnement (f₈, f₉). — Les bahuts des parapets sont en blocs séparés, longs de 1^m, de béton moulé.

1. — Largeur de contact 2x et pression maxima au contact max p̄, d'après les formules de Hertz et de Barkhausen (S₁) (Voir Tome IV, p. 11 et 13), avec $E = 1,8 \times 10^5$ (Kg/0^m01²) :

	Charge en Kg par 0 ^m 01 d'arête de contact N	2x (en 0 ^m 01) d'après		MAX p̄ (en Kg 0 ^m 01 ²) d'après	
		Hertz	Barkhausen	Hertz	Barkhausen
Clef.....	1394 ^s	10 ^m 8	17 ^m 6	164 ^s	90 ^s
Retombées.	1683	12 1	20 4	177	93

7. Chape. — Sur la plate-forme, on a étalé des feuilles de plomb, puis de l'asphalte, puis du béton ; sur l'extrados, un enduit étanche.

8. Matériaux. — Les arêtes des avant-becs sont en pierre.
Les parements vus sont en béton à grain fin.
En douelle, on a enlevé les empreintes du platelage.

9. Dates (S''_1).

Commencement des travaux.....	20 juin 1911
Grande voûte.....	15-19 novembre
Décintrement.....	4 janvier 1912
Ouverture à la circulation.....	1 ^{er} octobre

10. Personnel. — *Projet (au concours), et Entreprise* : MM. Hüser et C^{ie}, d'Obercassel.

SOURCES :

S'_1 . — Dessins d'exécution (S'_1), renseignements (S''_1) et photographie (S'''_1), gracieusement communiqués par M. Schluckebier, — juillet 1913.

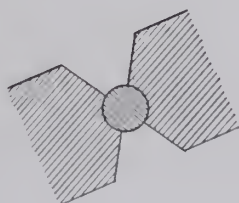
S_2 . — Beton und Eisen, 12 juin 1913, p. 217 à 220 : « *Brücke über die Lahn bei Gräveneck* », von Reg.-Baumeister a. D. Schluckebier, - Obercassel (Siegkr.).

Texte. — Ce qui n'est pas spécifié S''_1 est de S_2 .

Dessins. — Ils sont réduits de S'_1 .

VOÛTES ARTICULÉES

ARTICULATIONS TOURNANTES¹



Symbole : ²



Voir Tome IV, Livre I

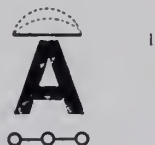
1. — p. 21, pour la définition de l'articulation tournante,
2. — p. 28, pour le sens du symbole.



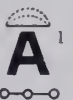
VOÛTES ARTICULÉES

ARTICULATIONS TOURNANTES ¹

ARCS TRÈS SURBAISSÉS ¹



PONTS A UNE SEULE GRANDE ARCHE
SOUS ROUTE

Série  ¹ r^{1^e} ($\geq 40^m$) ¹

1. — Pour le classement des voûtes articulées et le sens des symboles, voir Tome IV, Livre I, p. 28 et 29.

PONT A UNE SEULE GRANDE ARCHE SOUS ROUTE

PONT	PROJET																							
	ENSEMBLE		GRANDE VOÛTE																					
	Longueur <i>entre abouts des parapets</i> Déclivités Hauteur maxima de la chaussée au-dessus du sol ou de l'étiage	Largeurs <i>entre parapets entre tympans sous la plinthe</i> Fruit des tympans Revanche de la chaussée sur l'extrados	INTRADOS Portée Montée Surbaissement Rayons	ÉPAISSEURS CORPS ET TÊTES Clef Joints de rupture Retombées	ROTULES <i>Pour les dimensions, pressions,... voir Tome IV, Livre III.</i>	MATÉRIAUX Mortier Poids, pour 1 ^m de sable, de chaux ou de ciment	PRESSIONS en kg / 0 ^m 01 ² Surcharges supposées	ÉVIDEMENTS DES TYMPANS 2° DÉCORATION DES TÊTES																
Date	1	2	3	4	5	6	7	8	9															
<div><div>d'</div><div>Inzigkofen</div><div>Hohenzollern</div><div>1895</div><div><div>A¹</div><div>1^{re} (≥ 40^m)¹</div></div></div>	<div><div>50^m</div><div><div>25^{mm}</div><div>25^{mm}</div></div><div><div>6^m 60</div><div>étiage</div></div></div>	<div><div>3^m 80</div><div>3^m 60 <i>entre bandeaux à la clef</i></div><div>Fruit de la voûte : 1 8,76</div><div>Tympans à fruit courbe</div><div>»</div></div>	<div>Sur le sol de fondation : 47^m 90 8^m 30 <i>moyenne</i> $\frac{1}{5,771} = 0,190$ Rayon de courbure à la clef : 65^m Entre axes des rotules : 43^m 00 4^m 38 $\frac{1}{9,81} = 0,102$</div>	<div><div>0^m 70</div><div>1^m 10</div><div>0^m 78</div></div>	<div>Tourillons et balanciers en fonte</div>	<div><div>B¹</div><div>fait à la main</div><div>1^{er} Ciment Stuttgarter Zement- fabrik Blaubeuren et</div><table><tr><th>Corps</th><th>Sable</th><th>Gra- vier</th><th>Pierre cassée</th></tr><tr><td>Près des rotules</td><td>2^v 5</td><td>0^v 5</td><td>4^v</td></tr><tr><td>Som- miers</td><td>2</td><td>0.5</td><td>2.5</td></tr><tr><td></td><td>1.5</td><td>0.75</td><td>0.75</td></tr></table></div>	Corps	Sable	Gra- vier	Pierre cassée	Près des rotules	2 ^v 5	0 ^v 5	4 ^v	Som- miers	2	0.5	2.5		1.5	0.75	0.75	<div>Pression maxima : Clef : 43^k 9 Joints de rupture : 37^k 7 Tension = 1^k Retombées : 42^k 9 Dans les autres sections : 37^k 7 400^k / 1^m 2 et Rouleau à vapeur de 15^v</div>	<div>1° Plate-forme en béton sur 3 murs de 0^m 70, espaces de 0^m 675, percés de 14 voûtes transversales vues, en plein cintre de 1^m 15 et 1^m 2 sur piles de 0^m 60 2° Moulures comme d'un arc en fonte</div>
Corps	Sable	Gra- vier	Pierre cassée																					
Près des rotules	2 ^v 5	0 ^v 5	4 ^v																					
Som- miers	2	0.5	2.5																					
	1.5	0.75	0.75																					
<div><div>de</div><div>Neckarhausen</div><div>Hohenzollern</div><div>1899-1900</div><div><div>A¹</div><div>1^{re} (≥ 40^m)²</div></div></div>	<div><div>55^m 50</div><div><div>15^{mm}</div><div>15^{mm}</div></div><div><div>8^m</div><div>étiage</div></div></div>	<div><div>3^m 50</div><div>4^m 80 <i>entre bandeaux à la clef</i></div><div>Voûte à fruit parabolique</div><div>Tympans à fruit courbe</div><div>»</div></div>	<div>Sur le sol de fondation : 59^m 40 12^m 585 <i>moyenne</i> $\frac{1}{4,719} = 0,212$ Rayon de courbure à la clef : 90^m Entre axes des rotules : 50^m 00 4^m 545 $\frac{1}{11} = 0,091$</div>	<div><div>0^m 85</div><div>1^m 20</div><div>0^m 90</div></div>	<div>Tourillons en acier Balanciers en fonte</div>	<div><div>B¹</div><div>Ciment lent..... 1^v Stuttgarter Zement- fabrik Blaubeuren Sable..... 2^v 5 (Porphyre ou calcaire, broyés) Pierre cassée.... 5^v</div></div>	<div>Pression maxima dans la voûte : 39^k 8 Trottoirs: 500^k / 1^m 2 Chaussée: 400^k / 1^m 2 et Rouleau à vapeur de 15^v</div>	<div>1° Plate-forme en béton de 0^m 32 sur 4 murs de 0^m 60, espaces de 0^m 73, percés de 14 voûtes transversales vues, en plein cintre de 1^m 34 sur piles de 0^m 52 2° Moulures comme d'un arc en fonte</div>																

1 — Pour le sens de ces abréviations, voir Avertissement, Tome IV, page II, n° 6.

SÉRIE \bar{A}^1 1^{re} ($\geq 40m$)

TABLEAU SYNOPTIQUE

EXÉCUTION										CUBE DE MAÇONNERIE A MORTIER	
GRANDE VOÛTE										Q	
CINTRE										DÉPENSE	
FERMES										D	
Cube de bois										Totaux	
Poids de fer										et	
Dépenses										de surface utile S _p ³	
Totaux										de volume « utile » W ⁴	
par mq de douelle ²										18	
MODE DE CONSTRUCTION											
DÉCINTREMENT											
État d'avancement du pont											
Temps entre le dernier clavage et le décintrement											
Date											
TASSEMENTS DE LA CLEF											
sur cintre t _c											
au décin- trement t _v											
après t _v											
10											
11											
12											
13											
14											
15											
16											
17											
Ve droite :										Q = 634 ^{mc}	
Rocher										Q : S _p = 3 ^{mc} 33	
Pression										Q : W = 0 ^{mc} 45	
maxima :										D = 32 824 ^f	
28 ^{kg} 6										D : S _p = 172 ^f 8	
»										D : W = 23 ^f 3	
»										D : Q = 51 ^f 8	
Ve gauche :											
Gravier											
»											
Pression											
maxima :											
3 ^{kg} 7											
Quelques											
mises en											
dans											
le cucciato											
de pierre											
palplanches											
Fixe											
4											
Fermes de rive											
16 ^{cm}											
Fermes											
intermédiaires											
18 ^{cm}											
1 ^m 07											
Pin											
Boîtes											
à sable											
153 ^{mm}											
100 ^{mc}										Q = 1440 ^{mc}	
0 ^{mc} 35										Q : S _p = 4 ^{mc} 72	
A pleine										Q : W = 0 ^{mc} 62	
épaisseur,										D = 86 800 ^f	
à partir										D : S _p = 284 ^f 3	
de la clef,										D : W = 37 ^f 2	
par tranches										D : Q = 60 ^f 3	
symétriques											
36 jours											
28 août											
Macure											
homothétique											
Fixe											
4											
18 ^{cm}											
1 ^m 30											
Montants											
et											
contrefiches											
Pin											
200 ^{mm}											
Vérins											
à vis											
Tassements											
en douelle											
blindée											

Sur le calcul de la surface de douelle, voir Avertissement, Tome IV, p. III, n° 7 — A. 3. S_p = Longueur (col. 2) \times Largeur entre parapets (col. 3) — C'est la surface offerte à la circulation.

4. W = Surface vue de l'élévation \times Largeur entre parapets. 5. W' = Surface de l'élévation au-dessus des fondations \times Largeur entre parapets.

Pour S_p , W, W', voir Avertissement, Tome IV, p. III, n° 7 — B.

PONT A UNE SEULE GRANDE ARCHE SOUS ROUTE

PONT	PROJET							
	ENSEMBLE			GRANDE VOÛTE				1°
	Longueur entre abouts des parapets Déclivités Hauteur maxima de la chaussée au-dessus du sol ou de l'étiage	Largeurs entre parapets entre tympans sous la plinthe Fruit des tympans Revanche de la chaussée sur l'extrados	INTRADOS Portée Montée Surbaissement Rayons	ÉPAISSEURS CORPS ET TÊTES Clef Joints de rupture Retombées	ROTULES Pour les dimensions, pressions, ... voir Tome IV, Livre III.	MATÉRIAUX Mortier Poids, pour 1 ^{me} de sable, de chaux ou de ciment	PRESSIONS en kg 0 ^m 01 ² Surcharges supposées	
Date	1	2	3	4	5	6	8	9
Symbole								2° DÉCORAT DES TÊTES
du Prince-Régent à Munich <i>Barrière</i> 1900-1901 $\bar{A}^1 r^{te} (\geq 40^m)^3$	103 ^m Courbe de la chaussée, en profil en long : $\alpha^3 = 2730$ ff Déclivité maxima : 18 ^{mm} 11 ^m 20 étiage	$\left\{ \begin{array}{l} 17^m 20 \\ 17^m 00 \end{array} \right.$ Pas de fruit 0 ^m 46	Arc avec raccord vertical aux retombées Portée entre appuis : 62^m 40 Entre les axes des rotules : 63^m 00 6^m 50 $\frac{1}{9,692} = 0,103$ Rayon de courbure de la fibre moyenne à la clef : 80 ^m	$\left\{ \begin{array}{l} 1^m 00 \\ 1^m 48 \\ 1^m 20 \end{array} \right.$	Tourillons en acier coulé entre balanciers en fonte appuyés sur sommiers en granit	PT 1 Muschelkalk Ciment Portland 700 ^k Fabriques de Karlstadt sur le Mein et Dyckerhoff et fils d'Anöneberg sur le Rhin Sable tamisé Joints de 25 ^{mm}	Pression maxima : Clef : 41 ^k 7 Joints de rupture : 39 ^k Retombées : 43 ^k 500 ^k 1 ^m 2 et Rouleau à vapeur de 20 ^t	1° Entre tympans ple voûtes d'a en lèto sur pile en maçon de 52 x 5 2° A la ch Cartou en bron auc art royales Sur les tympa monogran du Prince-Ré
Max-Joseph à Munich <i>Barrière</i> 1901-1902 $\bar{A}^1 r^{te} (\geq 40^m)^4$	104 ^m 60 20 ^{mm} 20 ^{mm} 11 ^m 50 étiage	$\left\{ \begin{array}{l} 18^m 10 \\ 18^m 60 \end{array} \right.$ Tympans à fruit courbe 0 ^m 475	Arc avec raccord vertical aux retombées Au-dessus des naissances : 64^m 00 8^m 00 $\frac{1}{8} = 0,125$ Entre les axes des rotules : 60^m 00 6^m 00 $\frac{1}{10} = 0,10$ Rayon de courbure de la fibre moyenne à la clef : 67 ^m	$\left\{ \begin{array}{l} 1^m 05 \\ 1^m 40 \\ 1^m 20 \end{array} \right.$	Comme au Pont du Prince- Régent $\bar{A}^1 r^{te} (\geq 40^m)^3$	PT 1 Muschelkalk Ciment Portland Dyckerhoff et fils 700 ^k	Pression maxima (au joint de rupture) 45 ^k 500 ^k 1 ^m 2	1° En trave 10 voûtes vues, en ellip de 2 ^m 53 a en lonz 6 voûte en ellip de 2 ^m 2 Piliers de 90 x 7 Tout en de grav 2° A la ch Cartou en bron auc art de Man

TABLEAU SYNOPTIQUE (Suite)

4. W = Surface vue de l'élévation \times Largeur entre parapets. 5. W' = Surface de l'élévation au-dessus des fondations \times Largeur entre parapets.
Pour S_p , W , W' , voir Avertissement, Tome IV, p. III, n° 7 - B.

VOÛTES ARTICULÉES ARTICULATIONS TOURNANTES
ARCS TRÈS SURBAISSÉS
PONTS A UNE SEULE GRANDE ARCHE SOUS ROUTE

SÉRIE $\bar{A}_{\infty}^1 r^{te} (\approx 40m)$

MONOGRAPHIES

PONT SUR LE DANUBE, A INZIGKOFEN¹ (ALLEMAGNE, - *Hohenzollern*)

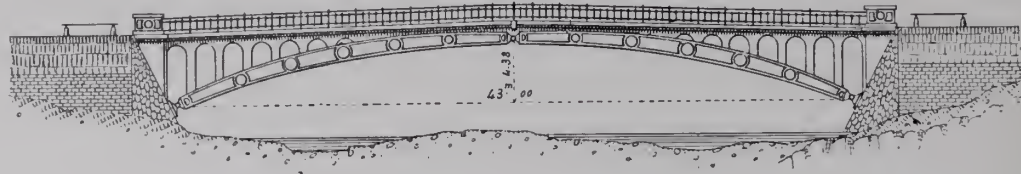
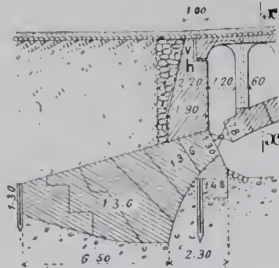
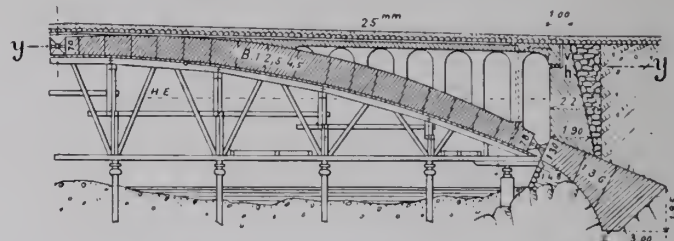
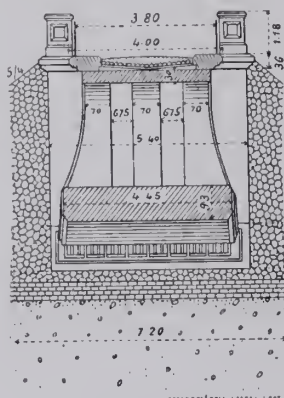
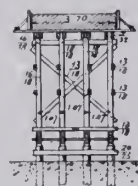
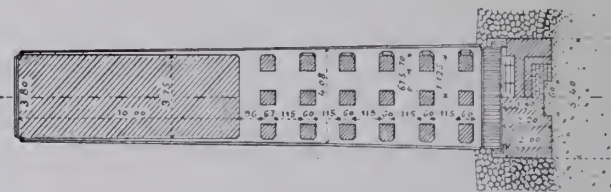
1895

$\bar{A}_{\infty}^1 r^{te} (\approx 40m)$

ϕ_1 — amont (S_2)



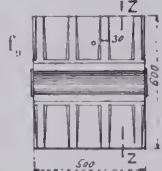
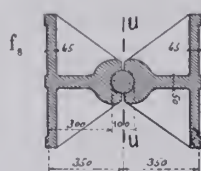
1. — à 6^m en amont de Sigmaringen.

f_1 — Élévation — 2mm f_3 — Culée rive gauche — 3mm f_2 — Coupe en long et cintre, côté rive droite — 3mm f_3 — Coupe en travers sur xx de f_3 — 5mm f_4 — Coupe en travers du cintre — 3mm f_6 — Coupe horizontale sur yy de f_2 — 3mm f_7 — Coupe le long de l'extrados

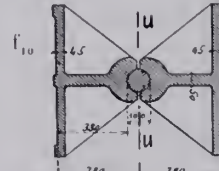
Rotules

Coupes — 3^{em}

à la clef

sur zz de f_8 sur uu de f_8 

aux retombées

sur zz de f_{11} sur uu de f_{10} 

1. Le pont est en béton. — La voûte est un arc en béton à culées perdues, à 3 rotules découvertes, en fonte.

On a tout fait en béton par économie : on avait, à portée, du gravier, du sable, des cailloux, d'excellent ciment.

On voit de suite que c'est un pont moulé : pas de lits, pas de joints ; aux têtes, des ornements comme de métal coulé, des arêtes chanfreinées. On dirait d'un arc en fonte.

2. Joints de dilatation (f_2, f_3). — On a ménagé, au niveau des naissances des dernières voûtes d'élégissement, un joint vide, d'abord horizontal h glissant sur des rouleaux (S_1), puis vertical c jusqu'à la chaussée.

Si les voûtes extrêmes ne portaient plus sur les rouleaux de h , elles seraient tenues par 4 rails de 0^m90.

Le garde-corps en fer est coupé à la clef.

Au-dessus de la clef, la chaussée est soutenue par des fers Zorès.

3. Écoulement des eaux. — La chape est en feutre asphalté de 6^{mm}.

Un fer Zorès dans l'axe du pont conduit l'eau à des gargouilles traversant la voûte près des retombées (f_2, f_3).

4. Chaussée. — Sur la chape, on a étalé successivement 10^{cm} de sable ; puis l'empierrement qui a 6^{cm} aux bords, 10^{cm} au milieu ; puis 8^{cm} de gravier ; enfin, une mince couche de sable.

5. Matériaux.

A. - Ciment.

Durée de la prise : 7 h.

Finesse de mouture : résidu de 1 ° au tamis de 900 mailles par $\overline{0^m01^2}$, - de 18 ° au tamis de 5000 mailles.

Résistance à la traction (mortier à 1 pour 3 de sable normal) :

à 7 jours.....	18 ^k 8
à 28 jours.....	23 ^k 5

B. - Sable.

Par rapport au sable normal, il avait :

42 ° de grains plus fins,

42 ° de grains plus gros,

16 ° de grains de même grosseur.

Avec ce sable, le mortier était de 20 ° plus résistant qu'avec le sable normal.

C. - Béton.

	Composition Pour 1 ^{re} de ciment			Densité	Résistance à la rupture Cubes de 25 ^{cm} d'arête, prélevés au moment de l'emploi	
	Sable	Gravier	Pierre		Age	Charge de rupture
	fin jusqu'à 2 ^{mm}	de 1 ^{cm} à 5 ^{cm} 37 ^o de vides	cassée calcaire de 4 à 6 ^{cm} 46 ^o de vides			
Murs en retour des culées.....	4 ^r	8 ^r				
Fondation de la culée rive gauche (avec 1-4 de blocs calcaires, gros comme le poing)...	3 ^r	6 ^r				
Culée rive droite, piliers et voûtes d'élé- gissement.....	3 ^r	6 ^r		2320 ^k	213 ^j	198 ^k
Corps.....	2 ^r 5	0 ^r 5	4 ^r	2290 ^k	160 ^j	181 ^k
Grande \				Pendant la confection et le durcissement des cubes, il faisait très chaud		
voûte /						
Au voisinage des rotules.....	2 ^r	0 ^r 5	2 ^r 5			
Au contact des rotules.....	1 ^r 5	0 ^r 75	0 ^r 75	2250 ^k	160 ^j	259 ^k
Plate-forme supportant la chaussée.....	2 ^r 5	0 ^r 5	4 ^r			
Tous les parements vus (le ciment était coloré avec 6 % d'ocre jaune).....	2 ^r					
Dalles des trottoirs.....	2 ^r	3 ^r				

Le béton était fait à bras. On variait la quantité d'eau suivant la température (elle a atteint 50°).

6. Calculs.

A. - *Hypothèses.* — On a admis comme surcharge roulante une foule pesant 400^k m. q. et un rouleau à vapeur de 15^r, ayant 2^m de largeur et 2^m775 entre essieux.

B. - *Résultats.* — B₁ - *Courbes de pression.* — On obtient la même courbe de pression, soit en plaçant le rouleau à vapeur dans la position la plus défavorable, soit en étalant sur une demi-voûte une surcharge double.

B₂ - *Efforts.*

		Pressions		Tension
		maxima	minima	
dans la voûte	à la clef (appui des rotules).....	43 ^k 9		1 ^k
	aux joints de rupture.....	37 ^k 7		
	aux retombées..... sans vent..	32 ^k 5		
	(appui des rotules) / avec vent..	42 ^k 9		
sur le sol de fondation	rive gauche (gravier).....	3 ^k 7	2 ^k 1	
	rive droite (rocher).....	7 ^k 7	5 ^k 3	

La culée rive droite a une fois 1-2 la largeur de la voûte à la clef; la culée rive gauche, deux fois.

7. Cintre. — L'espacement des fermes augmentait vers les retombées à cause du fruit.

Le platelage de 6^m débordait pour recevoir les cloisons de tête (f_1).

Les boîtes à sable portaient des coins, avec lesquels on mettait le cintre au niveau voulu.

8. Fondation de la culée rive gauche. — Le fond de la fouille a été soumis à une charge d'épreuve de 3³6, au moyen de plaques de fonte de 22" × 22". Le tassement du gravier fut de 6^{mm} ; il n'augmenta pas en 18 heures.

Le béton, posé à sec, était pilonné par couches horizontales de 15^{cm} au plus, derrière des cloisons sensiblement normales à la courbe de pression (f_2 , f_3).

9. Exécution de la voûte. — Pendant la construction, les conssinets de chaque articulation étaient solidarisés par des boulons, qu'on enleva avant le décintrement.

Les rotules de clef ont été posées sur le platelage ; celles des reins étaient maintenues par des triangles de bois (f_4).

On chargea d'abord de 40 tonnes le cerceau du cintre sur 6^m de long et 3^m de large.

Puis on bétonna, des naissances vers la clef, en ménageant des vides de 25^{cm} derrière les rotules, de 1^m à 1^m20 aux joints de rupture.

En même temps, on enlevait la charge placée au cerceau.

On pilonnait le béton par minces couches horizontales derrière des cloisons transversales en planches, normales à la courbe de pression, et disposées à 1^m ou 1^m30 de distance.

Les cloisons de tête étaient recouvertes de papier fort ; leurs joints avaient été bouchés au plâtre. On y fixait les liteaux et les monles des têtes.

Le crépi de parement était fait avec la voûte.

Le platelage n'était raboté que sur 0^m20 à partir des têtes. Deux liteaux de 2^{cm} d'épaisseur limitaient cette zone.

On clava aux naissances, à la clef, puis aux joints de rupture.

On avait bétonné la voûte en une semaine, soit 36^m par jour.

On y avait employé 11 hommes : 5 pour faire le béton, 3 pour le transporter, 3 pour le pilonner.

10. Décintrement. — On abaissa le sable de 1^m à partir des culées ; la clef remonta d'abord de 2^{mm}5, puis descendit de 5^{mm} ; la voûte se détacha à partir des retombées.

Un nouvel abaissement de 1^m de toutes les boîtes décolla toute la voûte. La clef tassa encore de 2^{mm}5 à l'amont, de 2^{mm}7 à l'aval.

Le décintrement dura 25 minutes.

11. Tassements de la clef.

Dates		Phases de la construction	Tempé- rature moyenne en degrés Cen- tigrades	Abaissements en <i>mm</i>			
				totaux		partiels	
				amont	aval	amont	aval
1895							
Août	15	Achèvement du cintre.....	15°	»	»		
	29	Commencement de la voûte (après char- gement du cintre).....	17°	12	9		
Septembre	7	Clavage	20°	a) 35	a) 34	23	25
	12	15°	49	43	14	9
Octobre	12	Avant décintrement.....	6°	49	43	0	0
	12	Après décintrement.....	6°	56.5	50.7	7.5	7.7
	18	3°	60.5	55.2	4	4.5
	24	6°	65.6	60	5.1	4.8
Novembre	31	0°	69	62.5	3.4	2.5
	4	6°	70	63	1	0.5
	8	12°	71	65	1	2
	15	6°	74	70	3	5
	29	- 1°	80	76	6	6
						
1896							
Janvier	8	- 3°	b) 83	b) 80	3	4
Février	10	+ 2°	83	80	0	0

		amont	aval
Tassement total	brut. (b-a).....	48 ^{mm}	46 ^{mm}
depuis le clavage	en tenant compte de l'abaissement de		
jusqu'au 8 janvier 1896.	température de 20° à - 3°.....	33 ^{mm}	31 ^{mm} 2

12. Épreuves. — Elles furent faites le 1^{er} novembre 1895, 8 semaines après le clavage.

	Mouvements de la clef en <i>mm</i>				
	pendant l'épreuve				permanent
	Relèvement \uparrow		Tassement \downarrow		
Rouleau vide, 3 ^r 5.....	0 ^{mm} 1	rouleau sur le 1 ^{er} 1 3 de la voûte	0 ^{mm} 6	au passage sur la clef	0 ^{mm} 1
Rouleau plein, 6 ^r 5 (2 passages).....	0 1	»	0 9	id.	»
Charge uniforme de 300 ^k m. q.....	»	»	0 6	»	»

2. — Au tassement moyen $t = \frac{33^{mm} + 31^{mm}}{2} = 32^{mm}$ correspondrait un raccourcissement c de l'arc, donné par cette formule :

$$t = \frac{c \times (2a')}{4 b'} \quad (\text{portée entre articulations}) \quad (\text{montée entre articulations}) \quad (S_1)$$

d'où :

$$c = 13^{mm} 03$$

13. Dates.

		1895
Commencement des travaux..		8 juillet
Grande voûte..	Con mancement.....	29 août
	Dernier clavage (joints de rupture).....	7 septembre
	Décintrement.....	12 octobre
Achèvement des travaux.....		8 novembre
Ouverture à la circulation.....		12 novembre

14. Quantités.

	Culées.....	262 ^m	
	Voûte.....	164	
Béton.	Piliers.....	33	634 ^m
	Plate-forme.....	40	
	Trottoirs.....	27	
	Parapets.....	6	
	Murs en retour.....	84	
	Remplissage.....	18	
	Fonte pour rotules.....		15 ^r
	Fer pour garde-corps...		2 ^r

15. Personnel.

Ingénieur. — *Projet et Direction générale des Travaux* : M. Max Leibbrand, « Landesbaurath » à Sigmaringen.

Entrepreneurs : MM. B. Liebold et C^{ie}, d'Holzminden.

Directeur de l'Entreprise : M. Jean Meyer, d'Holzminden.

SOURCES :

S₁. — Zeitschrift für Bauwesen, 1896, p. 279 à 292, Pl. 37 et 38 : « *Donaubrücke bei Inzigkofen in Hohenzollern. — Betonbrücke mit offenen Gelenken* », Sigmaringen, janvier 1896, Max Leibbrand, Landesbaurath.

S₂. — Ce que j'ai vu, — août 1908.

Ce qui n'est pas spécifié S₂ est de S₁.

PONT SUR LE NECKAR, PRÈS DE LA GARE DE NECKARHAUSEN¹

(ALLEMAGNE - Hohenzollern)

1899-1900

\bar{A}_{∞}^1 1^{re} (≥ 40 m)²

Φ_1 (S₂)



1. Grande voûte. — C'est, comme celle d'Inzigkofen², un arc en béton à culées perdues, à 3 articulations apparentes.

La fibre moyenne est la courbe de pression sous le poids propre du pont : les épaisseurs de la voûte sont calculées pour une pression maxima de 40^k.

La largeur en douelle croît comme les ordonnées d'une parabole, de 4^m80 à la clef à 5^m60 aux retombées.

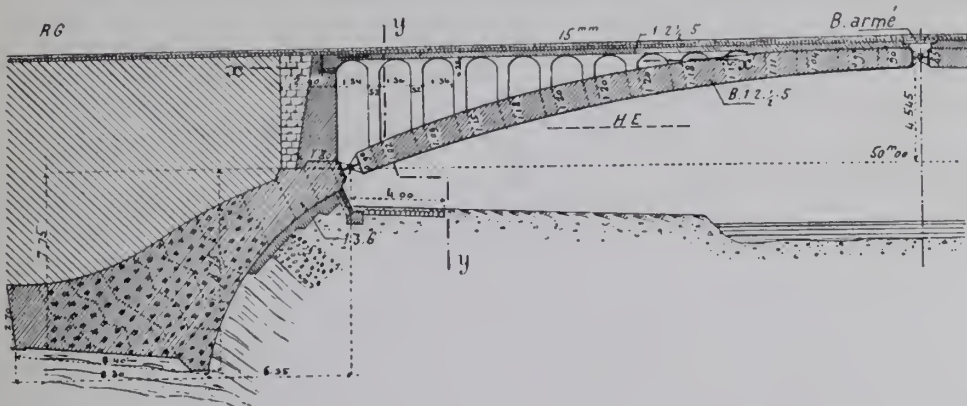
1. — Ligne de Stuttgart à Rottweil, à 73^m de Stuttgart.

2. — \bar{A}_{∞}^1 1^{re} (≥ 40 m)¹, Tome IV, p. 225.

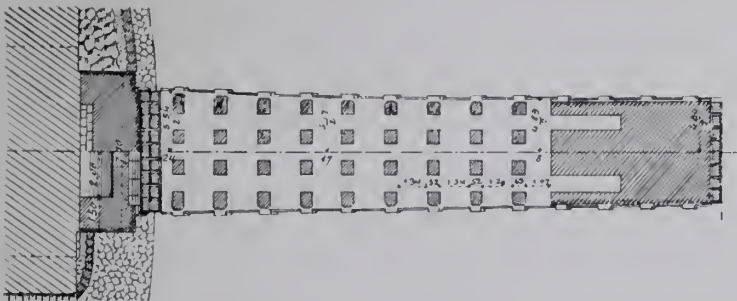
f_1 — Élévation — 2mm



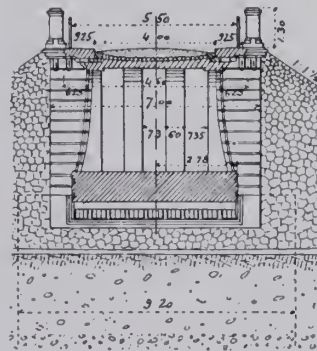
f_2 — Coupe en long — 3mm



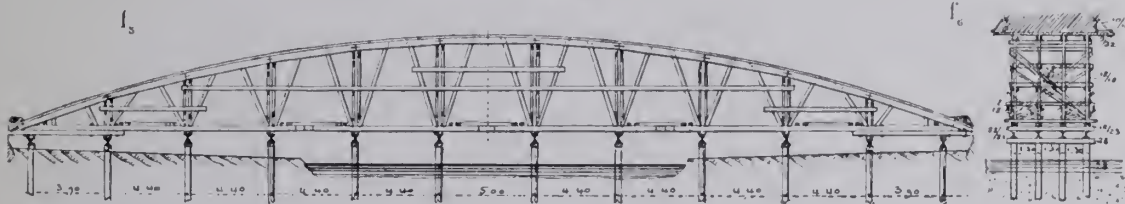
f_3 — Coupe horizontale sur xx de f_2 — 3mm

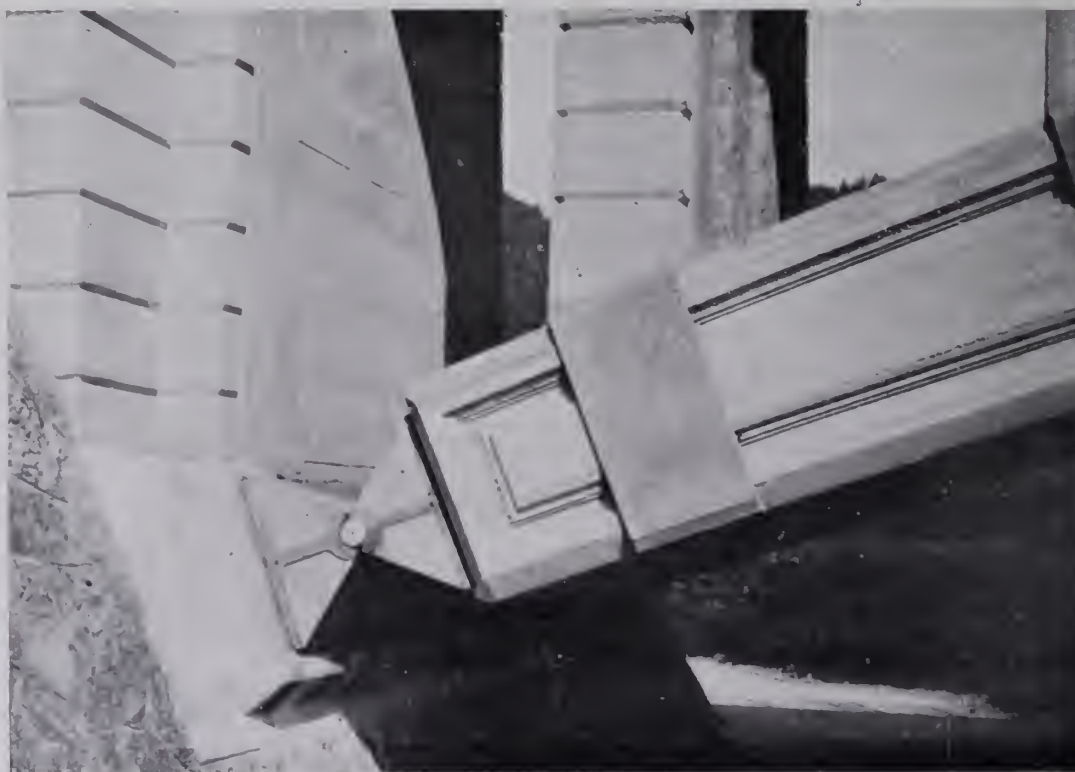


f_4 — Coupe en travers sur yy de f_2 — 4mm



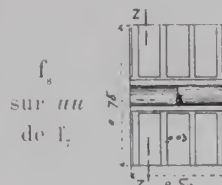
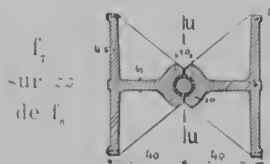
Cintre — 2mm,5



Articulations (S_1) Φ_2 — Clef Φ_2 — Retombée

2. Articulations.

Coupes
2^m5



3. Joints de dilatation (f₃). — Comme au pont d'Inzigkofen³.

4. Culées. — Le sol de fondation est une marne dolomitique résistant assez à la compression, peu au glissement.

Pour résister au renversement, on met les matériaux en profondeur.

Pour résister au glissement, on ne compte pas seulement sur le frottement proprement dit qui, lui, ne dépend que du poids de la culée et non de sa forme, mais, comme on l'a constaté sur un modèle en petit, sur une sorte de bourrelet qui butte le pied de la culée et augmente avec sa largeur : on l'a portée à 9^m20 pour une largeur à la clef de 4^m80.

5. Matériaux. — A. - *Ciment*. — Le ciment lent laissait un résidu de 1 1000 sur le tamis de 900 mailles, de 130 1000 sur le tamis de 4900 mailles.

B. - *Mortier*. — Voici le résultat des expériences faites au Laboratoire d'Essai de l'Ecole Polytechnique de Stuttgart, par M. le Directeur von Bach :

Nombre de jours de prise	Résistance du mortier à 1 3				
	à la traction			à la compression	
	Sable normal	Porphyre broyé	Calcaire broyé	(Cubes de 7 ^m d'arête, à 10 ² , d'eau)	
7 j	21 ^k 2	31 ^k 5	»	218 ^k 2	268 ^k 8
8	22,1	35,3	»	»	»
14	»	35,2	32 ^k 4	»	»
28	24,9	36,0	36,6	»	»
56	26,0	»	40,9	»	»
90	29,1	42,0	»	»	»

Le sable de broyage contient jusqu'à 1 4 de son volume de poussière. D'après les essais que voici, faits à l'usine de Blaubeuren, elle ne diminue pas la résistance :

Nombre de jours de prise	Résistance moyenne (Mortier à 1 3 de porphyre broyé)			
	à la traction		à la compression	
	Sable lavé	Sable non lavé	(Cubes de 5 ^m d'arête)	
7 j	33 ^k 4	33 ^k 4	162 ^k	162 ^k
14	»	36,6	»	189
28	40,0	40,2	222	211
90	»	48,9	»	»

3. — \bar{A}^{1}_{000} r^{te} > 40m)1, Tome IV, p. 225.

C. - Béton (Dosages).

	Pour 1 ^r de ciment		
	Sable	Gravier	Pierre cassée
Massif des fondations.....	3 ^v	6 ^v	»
Voûte.....	2 ^v 5	»	5 ^v
Tablier sous chaussée.....	2 ^v 5	»	5 ^v
Piliers des voûtes d'élégissement, murs en retour....	3 ^v	»	6 ^v
Parements de tête.....	4 ^v	»	»
Blocs moulés (plinthes, consoles, parapets).....	2 ^v	»	4 ^v

On a employé 300 tonnes de ciment pour 1440^{mc} de béton, soit en moyenne 208^k de ciment par m. c. de béton en œuvre.

6. Efforts, en Kg $\overline{0^m01^2}$.*A. - Dans la voûte. — Pas de tension.*

La compression varie entre 38^k2 et 39^k8, sauf sous les balanciers de fonte ; elle atteint là :

	à la clef	aux retombées
sans tenir compte du frottement des tourillons.....	54 ^k 6	46 ^k 2
en tenant compte de ce frottement, avec $f = 0,4$	64 ^k	57 ^k 8

Les moments de flexion dans la voûte, dûs au frottement des tourillons, sont : positifs maxima à la clef ; négatifs maxima aux retombées ; nuls aux joints de rupture.

B. - Dans les articulations. — Le travail maximum des balanciers à la flexion est :

Tension.....	221 ^k 3
Compression.....	346 ^k

Cette fonte résiste à 1735^k à la traction.

C. - Dans les culées.

	Pression maxima		Coefficient de frottement sur la base	
	Rive droite	Rive gauche	Rive droite	Rive gauche
Poids mort et crues.....	5 ^k 5	4 ^k 4	0,41	0,42
Surcharge complète.....	5,6	4,6	0,23	0,28
Ensemble.....	11 ^k 1	9 ^k 0		

7. Cintre. — Pendant le bétonnage, les vérins se sont enfoncés de 3^{cm} dans leurs semelles. La pression par $\overline{0^m01^2}$ était alors : sur les semelles inférieures, 80^k ; sur les supérieures, 45^k.

Pour les sauver, on a installé à côté des vérins, alors que la voûte était aux 2/3 bétonnée, des billots de bois qui arrêterent le tassement.

Au moment de décintrer, on les scia.

8. Fondations. — Le béton, fait à la machine, était pilonné par couches horizontales de 10^m à 15^m, derrière des cloisons normales à la courbe de pression : on les enlevait dès que le béton avait fait prise.

On posait 45^m à 75^m de béton par jour.

9. Exécution de la voûte. — On bétonna, à partir de la clef, par tranches symétriques, d'abord les tranches sous les piliers des voûtes d'élégissement.

Le béton des têtes était fait de pierres de différentes couleurs : on le pilonnait en même temps que le corps de la voûte, derrière des cloisons rabotées et huilées.

La voûte (270^m) fut faite en 9 jours.

On clava d'abord aux articulations, puis aux joints de rupture.

On enleva les cloisons de tête 24 heures après le clavage. Les têtes furent vigoureusement lavées à la brosse : on put ainsi donner aux parements le grain de la pierre.

10. Décintrement. — On décintra 8 semaines après le clavage, après avoir posé les modillons et le couronnement qui est en béton moulé.

On tourna deux fois les vérins, en allant de la clef aux retombées, d'abord d'un 1/4 de tour, puis d'un 1/2 tour.

Il n'y a pas eu, aux retombées, de mouvements appréciables.

11. Tassements de la clef, en mm.

	Amont (Nord)		Aval (Sud)	
	Totaux	Différences	Totaux	Différences
1900				
25 juin (commencement du bétonnage de la voûte)...	0		0	
		57 ^{mm} 1		67 ^{mm} 8
3 juillet (clavage).....	57 ^{mm} 1		67 ^{mm} 8	
		9.6		10.3
28 août (décintrement) {	66.7	12.1	78.1	12.5
	78.8		90.6	
		26.9		31.3
1901				
1 ^{er} avril.....	105.7		121.9	
		— 13		— 13
3 juin ...	92.7		108.9	
		20		29
1902				
30 janvier.....	112.7		137.9	
		— 16		— 13
21 mai.....	96.7		124.9	

12. Épreuves. — Au passage d'un rouleau de 6^m5, en octobre 1900, — de 16^t, en mai 1901, — la voûte fléchit de moins de 1^{mm}, puis revint à sa place.

13. Dates.

Projet.....	1896
Fondations.....	automne 1899 (durée 3 mois)
Ouverture à la circulation.....	23 octobre 1900

14. Quantités et Dépenses.	Quantités	Dépenses	
		totales	par unité (m. c. ou 100 ^h)
Fondations (béton des culées).....	850 ^{mc}	26.420 ^f	31'08
Élévation (béton damé).....	530 ^{mc}	20.419 ^f	38'52
Béton moulé.....	60 ^{mc}	4.363 ^f	72'71
Cloisons de tête.....		2.680 ^s	
Cintre.....		6.125 ^f	
Articulations (pose comprise).....		6.848 ^f	33'32
Garde-corps.....	4700 ^s	2.964 ^f	63'06
Asphalte. — Fers.....		1.571 ^f	
<i>Pont proprement dit.....</i>		71.390 ^f	
<i>Accessoires. — Pont de service.....</i>		9.426 ^f	
<i>Projet. — Direction des Travaux.....</i>		5.984 ^f	
Dépense totale.....		86.800 ^f	

15. Personnel.

Directeur Général, *Projet et Exécution* : M. Max Leibbrand, « Landesbaurat » à Sigmaringen.

Ingénieurs (Regierungs-Baumeister) :

Projet : MM. Karl Bossert et Adolf Göller.

Vérification des Calculs, Direction des Travaux : M. Friedrich Probst.

Entrepreneurs : MM. Weiss et Freytag, de Neustadt-sur-Haardt.

Directeur de l'Entreprise : M. Rössle, « Regierungs-Baumeister ».

SOURCES :

S₁. — Zeitschrift für Bauwesen, 1903, p. 455 à 476, Pl. 54 et 55 : « *Die Neckarbrücke bei Neckarhausen (Hohenzollern)* », Max Leibbrand, Landesbaurat à Sigmaringen, 20 août 1902.

S₂. — Ce que j'ai vu — août 1908.

PONT DU PRINCE-RÉGENT

SUR L'ISAR, A MUNICH (BAVIÈRE)

Prinzregenten Strasse

1900-1901

\bar{A}^1 1^{re} 40m,3

Φ_1 (S₂)

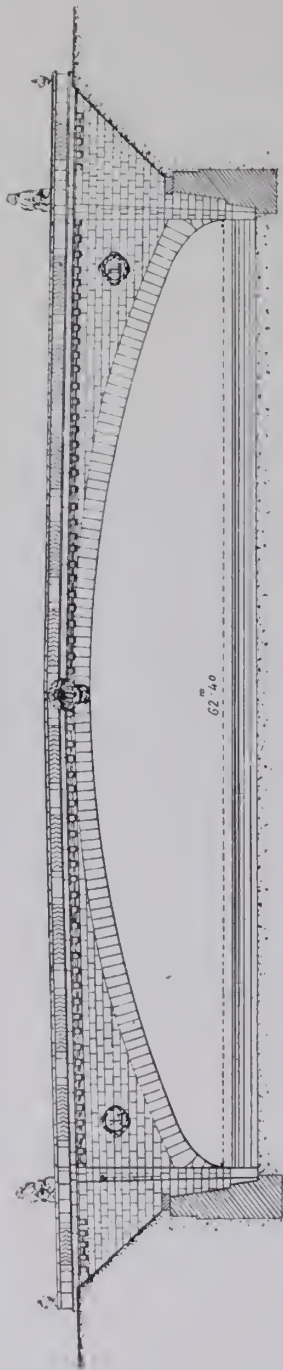
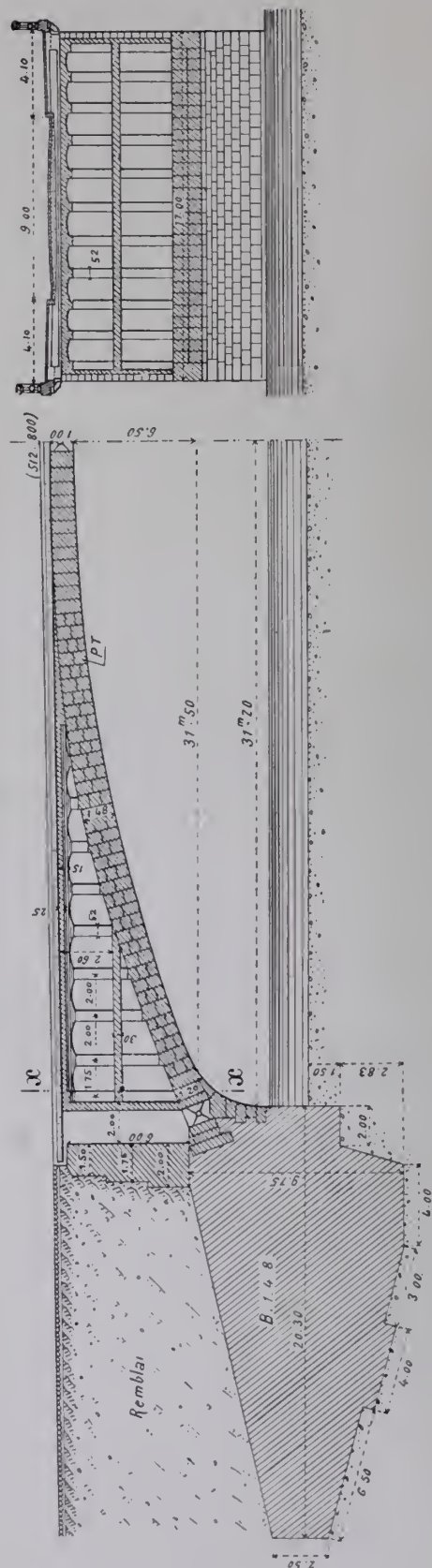
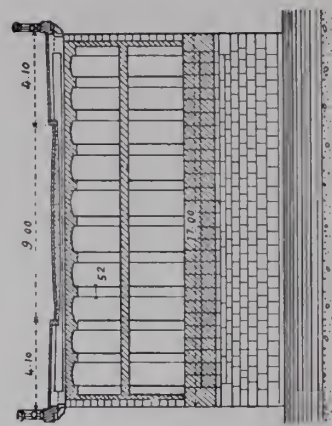


1. Aspect. — La voûte est jetée entre deux grands terre-pleins; elle conduit au monument de la Paix, élevé sur la rive droite de l'Isar.

Le Pont devait être, et a été, traité avec luxe.

2. Culées. — La courbe de pression coupe la base dans le 1/3 central, sous un angle de 72°.

Les culées sont de 20^m plus larges que le pont.

f_1 — Elevation — 2mm f — Demi-coupe en long — 3mm f_2 — Coupe en plan sur xx de f_1 — 3mm

Articulation de clef, masquée ensuite (S_1)
 Φ_2 — Vue de côté



Φ_3 — Vue par-dessus



3. Fondations. — La marne¹ avait été reconnue par des sondages poussés à 27^m.

On déblaya dans chaque fouille 10.000^m³.

Le béton à 1^{re}-4^{re}-8^{re} (S''_2), posé jour et nuit sans interruption, était pilonné par minces couches, normales à la courbe de pression.

En 9 à 10 jours, on bétonna les deux culées (5400^m³ environ).

4. Personnel.

Projet et Entreprise : MM. Sager et Wærner, de Munich.

Collaborateurs techniques : MM. Bernard Wærner et Jean Grüb, Ingénieurs.

Direction des Travaux : M. H. Soergel, Ingénieur en chef au Ministère de l'Intérieur ; — M. Jules Klein, Ingénieur.

Architecture : M. le Professeur Théodore Fischer.

1. — « Merglicher Flinz ».

SOURCES :

S_1 . — Album publié par MM. Sager et Wærner : « *Prinzregenten Brücke, - München* ».

S_2 . — Dessins d'exécution (S'_2) et renseignements (S''_2) que m'ont gracieusement communiqués MM. Sager et Wærner.

S_3 . — Ce que j'ai vu — août 1908.

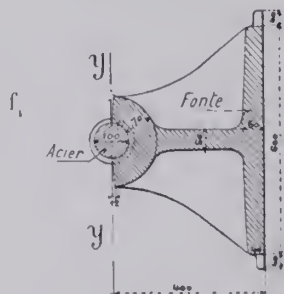
Ce qui n'est pas spécifié S_2 ou S_3 est de S_1 .

Entre le Jardin anglais et le Faubourg de Bogenhausen

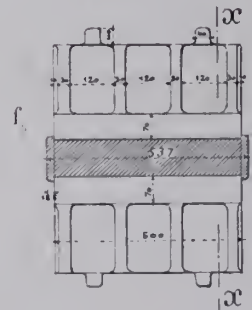
$$\overline{A}^1 \text{ le } (\dots 4(m))'1$$
$$\Phi_i(S_i)$$

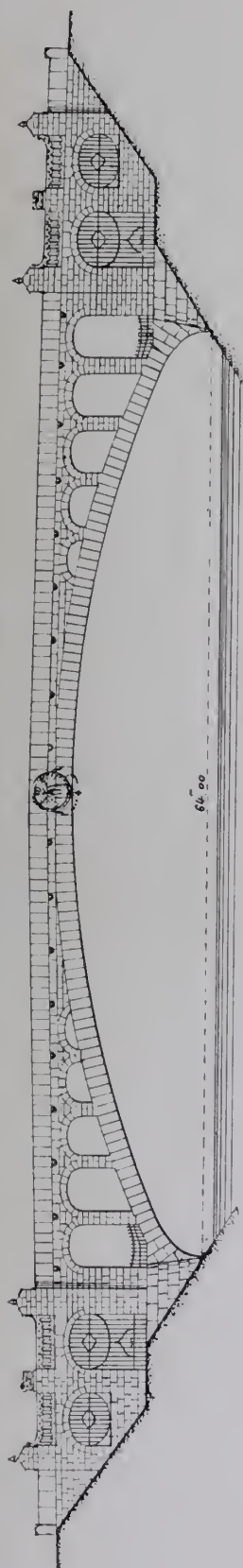

2. Articulations (S_1).

sur X de f_s

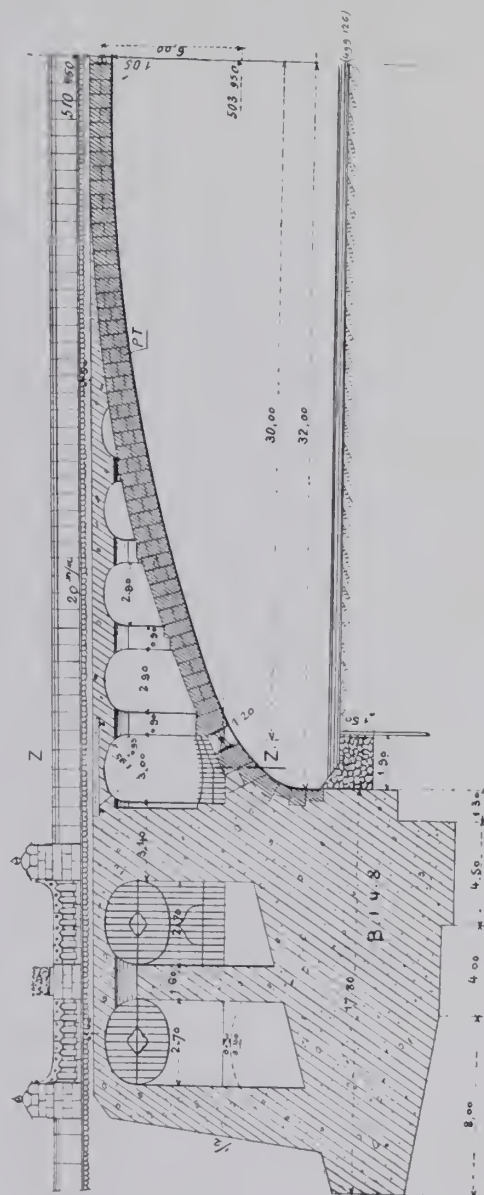


sur yy de f_1

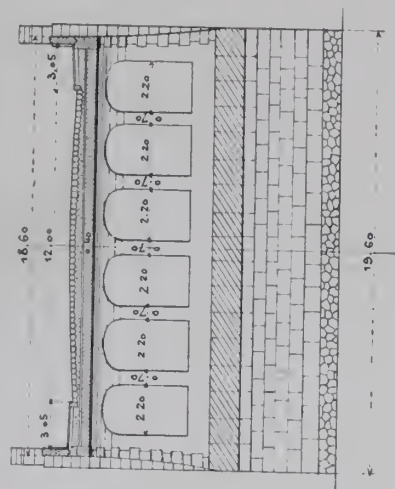


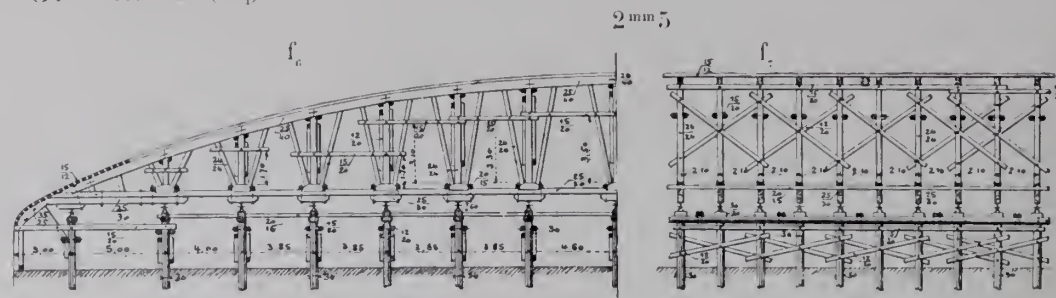


f_2 — Demi-coupe en long — 3mm



f_3 — Coupe en travers sur z_3 de f_3 — 3mm



3. Cintre (S'_1).4. Ouvriers. — On y a occupé jusqu'à 600 ouvriers (S_3).5. Dates (S''_1 , S''_2).

Commencement des travaux.....	4 novembre 1901
Fondations.....	décembre 1901 - mars 1902
Grande voûte.....	24 avril - 14 mai 1902
Ouverture à la circulation.....	août 1902

6. Personnel.

Projet et Entreprise : MM. Sager et Wærner, de Munich.

Direction des Travaux : M. Schwiening, Directeur des Travaux de la Ville.

SOURCES :

S_1 . — Dessins (S'_1) et renseignements (S''_1) gracieusement communiqués par M. Schwiening.

S_2 . — Dessins d'exécution (S'_2) et renseignements (S''_2) qu'ont bien voulu me donner MM. Sager et Wærner.

S_3 . — Centralblatt der Bauverwaltung, 30 août 1902, p. 427 : « Die Max-Joseph Brücke » in München » A. Kling.

S_4 . — Ce que j'ai vu — août 1908.

TABLEAU SYNOPTIQUE GÉNÉRAL

DES PONTS AYANT DES VOÛTES $\geq 40^m$

SEMI-ARTICULÉES

OU

ARTICULÉES

CLASSÉS PAR :


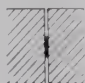


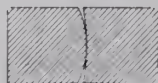
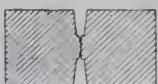


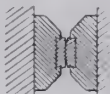

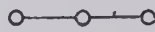
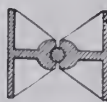
TYPE ET MATIÈRE DES ARTICULATIONS,
INTRADOS, NOMBRE D'ARCHES, VOIE PORTÉE,
MATÉRIAUX DES VOÛTES

VOÛTES SEMI-ARTICULÉES¹ > 40^m

Toutes ces voûtes sont à ciment.

Après la date on a indiqué la portée entre culées, puis, *en italique*, entre (), la portée entre rotules.

ARTICULATIONS

		ARCS TRÈS SURBAISSÉS				Plus grande portée		Nombre		
		UNE SEULE GRANDE ARCHE		PLUSIEURS GDES ARCHES		totale	entre articulations	d'ouvrages	de voûtes > 40 ^m	
		SOUS ROUTE		SOUS CH ^{IN} DE FER A VOIE NORMALE						
		\bar{A}^1 r ^{te}		\bar{A}^1 r ^r						
		EN BÉTON	EN MAÇONNERIE APPAREILLÉE	EN PIERRE DE TAILLE	EN BÉTON					
ARTICULATIONS	SUR PLOMB			Höfen ² 1885 - 41 ^m - (28 ^m) Marbach ³ 18 ⁸⁶ ₈₇ - 43 ^m 50 - (32 ^m) Baiersbronn ² 1889 - 40 ^m - (33 ^m)		43 ^m 50	33 ^m	3	3	
	A GENOU Rotules d'acier prises dans des caissons en tôle			Munderkingen 1893 - 59 ^m - (50 ^m)	Morbegno 19 ⁰² ₀₃ - 70 ^m - (66 ^m)	Coulouvrenière 18 ⁹⁵ ₉₆ - 2 x 40 ^m - (40 ^m)	70 ^m	66 ^m	3	
	EN PIERRE									
	EN BÉTON MOULÉ									
	EN BÉTON ARMÉ									
	EN ACIER	Rotules d'acier prises dans des sabots en fonte								
		Rotules tout entières en acier moulé								
	TOURNANTES									
	Plus grande portée		totale	59 ^m Munderkingen	43 ^m 50 (Marbach) 33 ^m (Baiersbronn)	70 ^m Morbegno	40 ^m Coulouvrenière	70 ^m	66 ^m	
	Nombre		d'ouvrages	1	3	1	1			6
		de voûtes ≥ 40 ^m	1	3	1	2				

1. — Pour la définition des voûtes semi articulées, voir Tome IV, Livre I, p. 28.

2. — En PT^r.

3. — Bandeaux en PT^r, corps en MEV^r.

VOÛTES ARTICULÉES ≥ 40^m

247

ELLIPSES E	ARCS PEU SURBAISSÉS	ARCS ASSEZ SURBAISSÉS	ARCS TRÈS SURBAISSÉS						Plus grande portée		Nombre		
	PLUSIEURS DES ARCHES	UNE SEULE GDE ARCHIE	UNE SEULE GDE ARCHIE	UNE SEULE GRANDE ARCHIE			PLUSIEURS GDES ARCHES			totale	entre articulations	d'ouvrages	de voûtes
				Sous ROUTE		Sous CHEMIN	Sous ROUTE		A ⁿ 1 ^{re}				
				A ¹ 1 ^{re}	DE FER A VOIE NORMALE	A ¹ 1 ^{re}	EN PIERRE DE TAILLE						
E ⁿ 1 ^{re} EN BÉTON	A ¹ 1 ^{re} EN BÉTON	A ¹ 1 ^{re} EN BÉTON	EN BÉTON	EN MAÇONNERIE APPAREILLÉE	A ¹ 1 ^{re} EN BÉTON	EN BÉTON	EN PIERRE DE TAILLE						
Garching 19 ⁰⁷ / ₀₈ 35 - (38 ^m .55)									44 ^m 35	38 ^m .55	1	1	
									Garching				
Chemnitz 1898 1900 - 43 ^m .10			Grasdorf 1899 1900 40 ^m - (40 ^m .39)	Göhren ⁴ 19 ⁰³ / ₀₄ 60 ^m - (60 ^m .56)		Hochberg 19 ⁰¹ / ₀₃ 2 × 39 ^m .40 - (40 ^m)			60 ^m	60 ^m .56	4	5	
									Göhren				
						Neckargartach 19 ⁰³ / ₀₅ 5 × 40 ^m - (40 ^m)			40 ^m	40 ^m	1	5	
									Neckargartach				
						Malling 1899 - 3 × 40 ^m 1901 (40 ^m .50) Moulins-lez-Metz 19 ⁰⁴ / ₀₅ - 2 × 40 ^m - 44 ^m (40 ^m .51) (44 ^m .70)			44 ^m	44 ^m .70	2	6	
									Moulins-lez-Metz				
		Gräveneck 19 ¹¹ / ₁₂ - 48 ^m (48 ^m .425)							48 ^m	48 ^m .425	1	1	
									Gräveneck				
			Élise ⁶ 19 ⁰⁶ / ₀₇ 47 ^m .50 - (43 ^m .50)			Reichenbach ⁶ 19 ⁰² / ₀₃ - 44 ^m - (41 ^m) Wittelsbach ⁶ 19 ⁰⁴ / ₀₅ - 44 ^m - (41 ^m)	Cornélius 19 ⁰² / ₀₃ - 44 ^m - (41 ^m) Maximilien 19 ⁰³ / ₀₅ - 2 × 45 ^m .87 (44 ^m)		47 ^m .50	44 ^m	5	6	
									Elise	Maxi- milien			
	Kempton 1906 64 ^m .50 - (50 ^m .60) 63 ^m .80 - (50 ^m .60)		Wallstrasse 19 ⁰⁴ / ₀₅ 65 ^m .45 - (57 ^m)		Illerbeuren 19 ⁰³ / ₀₄ - 59 ^m (57 ^m .164)	Mannheim ⁶ 19 ⁰⁵ / ₀₈ - 2 × 59 ^m .50 (58 ^m .50)			65 ^m .45	58 ^m .50	6	6	
									Wall- strasse	Mann- heim			
			Inzigkofen 1895 - 47 ^m .90 - (43 ^m) Neckarhausen 1899 1900 - 59 ^m .40 - (50 ^m)	Prince-Régent ⁵ 19 ⁰⁰ / ₀₁ - 62 ^m .40 - (63 ^m) Max-Joseph ⁵ 19 ⁰¹ / ₀₂ - 64 ^m - (60 ^m)				64 ^m	63 ^m	4	4		
									Max- Joseph	Prince- Régent			
35 ^m .55	64 ^m .50 50 ^m .60	48 ^m 48 ^m .425	65 ^m .45 57 ^m	64 ^m Max-Joseph 63 ^m Prince-Régent	59 ^m 57 ^m .164	59 ^m .50 58 ^m .50	45 ^m .87 44 ^m		65 ^m .45	63 ^m			
	Garching	Kempton	Gräveneck	Wallstrasse	Illerbeuren	Mannheim	Maximilien		Wallstrasse	Prince-Régent			
2	3	1	5	3	1	7	2				24		
2	3	1	5	3	1	16	3					34	

En MOV*. 5. — En PT*. 6. — Bandeaux en PT*; corps en B*. 7. — Bandeaux en MEV*; corps en B*. *. — Pour le sens de ces abréviations, voir Avertissement, p. I, n° 6.

VOÛTE ARTICULÉE

QU'ON AURAIT, A TORT, CHERCHÉE

DANS LES SÉRIES DU LIVRE II ¹

Comme on l'a fait pour les routes inarticulées ², on décrit sommairement ici une route articulée en béton peu armé, qu'on aurait pu chercher dans les séries du Livre II.

1. — La « Revista de Obras Públicas » du 25 avril 1901 décrit un pont en béton à 3 articulations de 50^m de portée, 4^m50 de flèche, sur le Rio Nalón, pour la route d'Oviedo à Pola de Lena (Asturies), près de la station de Las Segadas, projeté par M. Eugenio Ribera, Ingénieur au Corps des Ponts, Chaussées et Ports.

Ce projet avait été approuvé, mais l'Entrepreneur général de la Route obtint d'y substituer un pont en fer*.

Il a été indiqué comme exécuté dans quelques périodiques techniques.

* Renseignement gracieusement donné par M. Ribera, — mars 1907.

2. — Tome III, p. 283.

VOÛTE ARTICULÉE > 40^m

PONT	PROJET							
	ENSEMBLE	GRANDE VOÛTE						1°
Date	Longueur <i>entre abouts des parapets</i>	Largeurs <i>entre parapets entre tympans sous la plinthe</i>	INTRADOS	ÉPAISSEURS	COMMENT	MATÉRIAUX	PRESSIONS	ÉVIDEMENTS DES TYMPANS
Symbole	Déclivités	Fruit des tympans	Portée <i>Montée</i> Surbaissement	CORPS ET TÊTES	SONT ARMÉES LES VOÛTES	<i>Mortier</i> <i>Poids, pour 1^{me} de sable, de chaux ou de ciment</i>	en kg / 0 ^m 01 ²	2° DÉCORATION DES TÊTES
<i>En quoi consiste l'ouvrage</i>	Hauteur maxima de la voie au-dessus du sol ou de l'étiage	Revanche de la voie portée sur l'extrados	Rayons <i>de courbure : à la clef aux naissances</i>	<i>Joints de rupture</i> Retombées	ROTULES		Surcharges supposées	
1	2	3	4	5	6	7	8	9
de Sigmaringen <i>Hohenzollern</i> 1907-1909 <i>Arc assez surbaissé, à 3 articulations tournantes, sous chemin de fer à voie normale</i>	60 ^m 50 23 ^m 2	$\left\{ \begin{array}{l} 4^m 30 \\ \text{à} \\ 4^m 97 \\ \\ 4^m 00 \\ \text{à} \\ 6^m 70 \\ \text{à cause} \\ \text{de la courbe} \end{array} \right.$ Fruit courbe 0 ^m 725	Courbe d'intrados d'après la courbe de pression Au-dessus des naissances : $\left\{ \begin{array}{l} 41^m 60 \\ 19^m 245 \\ \frac{1}{3,14} = 0,318 \end{array} \right.$ $\left[\begin{array}{l} 28^m 40 \\ 9^m 00 \end{array} \right.$ Entre axes des rotules : $\left\{ \begin{array}{l} 32^m 00 \\ 5^m 562 \\ \frac{1}{5,753} = 0,173 \end{array} \right.$	Corps : $\left\{ \begin{array}{l} 1^m 25 \\ 1^m 25 \\ 4^m 06 \end{array} \right.$ Têtes : $\left\{ \begin{array}{l} 1^m 20 \\ 1^m 20 \\ 4^m 06 \end{array} \right.$	Fers ronds, en long et en travers. au cerveau à l'intrados, aux reins à l'extrados, au-dessous des rotules — Tourillons en acier Diamètre : 55 ^{mm} Balanciers en fonte Pression maxima : sur les tourillons 585 ^k sur les sommiers en béton 56 ^k	Béton Corps de la voûte : Ciment..... 1 ^r Sable..... 3 ^r Gravier..... 4 ^r Sommiers des articulations : Ciment..... 1 ^r Sable..... 1 ^r 5 Pierre cassée .. 2 ^r 5	Pression avec surcharge : MAX. moy. Clef 13 ^k 8 Joints de rupture 23 ^k 1 13 ^k 2 Retom- bées 10 ^k 3 5 ^k 9 6200 ^k 1 ^{me}	1° Plate-forme en béton armé sur piles en béton de 70 ^{cm} à 90 ^{cm} espacées de 2 ^m 75 à 3 ^m 80 traversées par un couloir de 0 ^m 80. 2° »

EN BÉTON PEU ARMÉ

TABLEAU SYNOPTIQUE

EXÉCUTION								CUBE DE MAÇONNERIE A MORTIER	
GRANDE VOÛTE								Q	
FONDATIONS	CINTRE				MODE DE CONSTRUCTION	DÉCINTREMENT État d'avancement du Pont Temps entre le dernier clavage et le décintrement Date	TASSEMENTS DE LA CLEF sur cintre t_c au décin- tremement t_v après t_v''	DÉPENSE	
Nature du sol	FERMES		Cube de bois Poids de fer Dépenses					D	
Profondeur sous l'étiage	Type	Nombre	Totaux	par mq de douelle 2				Totaux	
Pressions sur le sol en kg. 0 ^m 01 ²	Matière	Épaisseur Écartement d'axe en axe Surhaussement			et				
Procédé	Appareils de décintrement							par unité { de surface utile S_p^3 de volume « utile » W^4	
10	11	12	13	14	15	16	17	18	
Rive gauche :	Fixe	{ 4 22 ^{cm} 1 ^m 24 à 2 ^m 08	{ » 4000 ^k 14808 ^f	{ » 13 ^k 4 49 ^f 6	A pleine épaisseur Tranches isolées de 1 ^m à 1 ^m 50	Piles sur la voûte construites 2 mois environ 20 octobre	$t_c = 24^{mm}$ $t_v = 7^{mm}$ $t_v'' = 2^{mm} 1$	Q = 1 050 ^{mc} Q : $S_p = 3^{mc} 49$ Q : $W = 0^{mc} 29$ D = 92 550 ^f D : $S_p = 307^f 8$ D : $W = 25^f 2$ D : Q = 88 ^f 1	
Rocher et Gravier									
— 4 ^m 75	Montants et contrefiches								
»									
Rive droite :	Pin	80 ^{mm}							
Gravier									
— 3 ^m 50	Vérins à vis								
Epuisements dans des betardeaux									

2. Pour le calcul de la surface de douelle, voir Avertissement, Tome IV, p. III, n° 7 — A. 3. S_p = Longueur (col. 2) \times Largeur entre parapets (col. 3) — C'est la surface offerte à la circulation4. W = Surface vue de l'élévation \times Largeur entre parapets.5. W' = Surface de l'élévation au-dessus des fondations \times Largeur entre parapets.Pour S_p , W , W' , voir Avertissement, Tome IV, p. III, n° 7 — B.

VOÛTE ARTICULÉE — 40^m EN BÉTON PEU ARMÉ

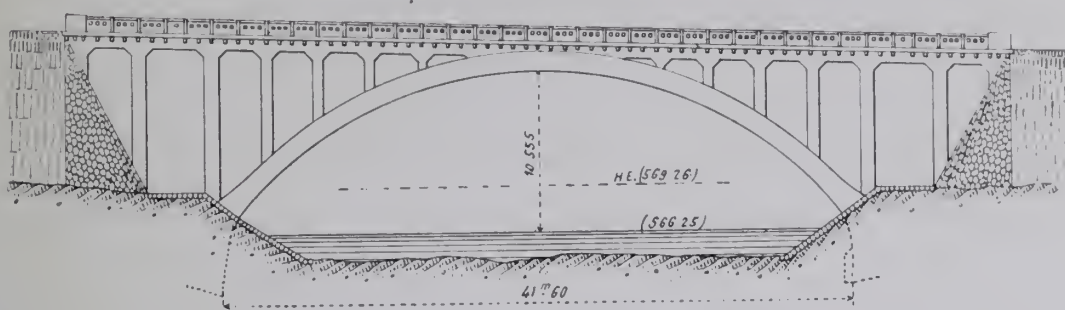
MONOGRAPHIE

PONT SUR LE DANUBE, A SIGMARINGEN (ALLEMAGNE, - Hohenzollern)

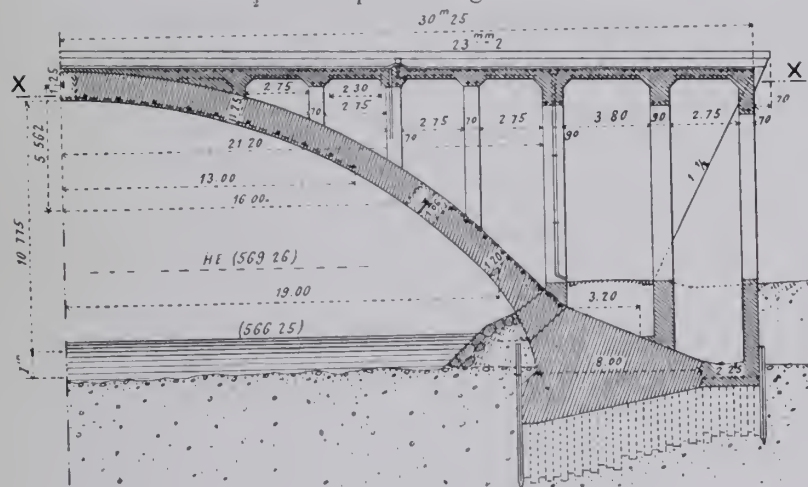
Ligne de Sigmaringen à Gammertingen¹

1907-1909

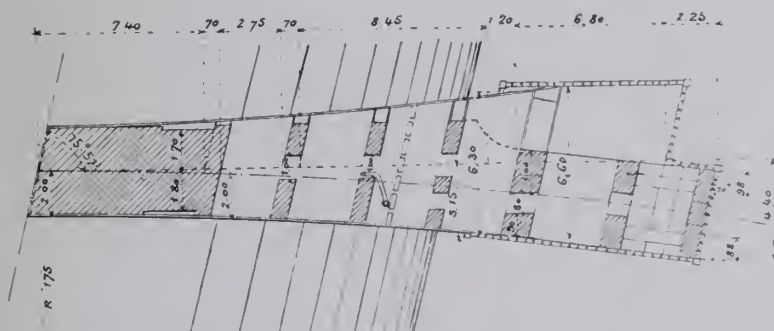
f_1 — Élévation — 2^{mm}



f_2 — Coupe en long — 3^{mm}



f_3 — Coupe horizontale sur xx' de f_2 — 3^{mm}



1. — Au 1^{er} 4^m + 61^m50.

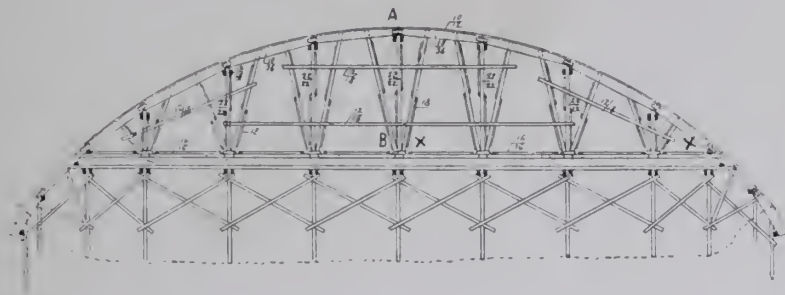
1. Tracé de la voie. — Elle est en rampe de 1/42, en courbe de 175^m, à 75°57' sur le courant.

Pour le prévenir, voici l'ingénieux dispositif² imaginé par M. Max Leibbrand :
Les balanciers portent deux joues J_1, J_2 .

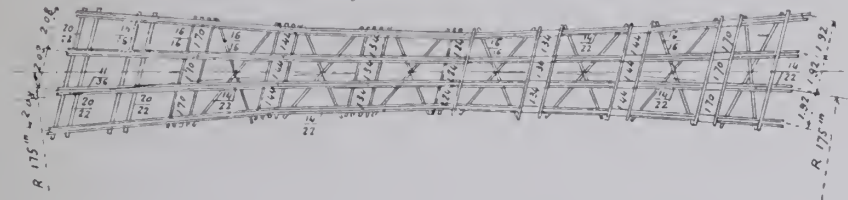
Pendant qu'on met en place les rotules, on solidarise les joues en passant les boulons b (f_1, f_3) par les trous O_1, O_2 (f_6).

3. Cintre.

f_8 — Élévation — 2^m5



f_9 — Plan — 2^m5



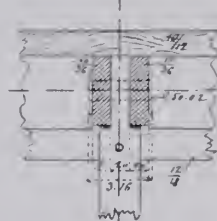
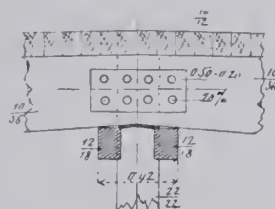
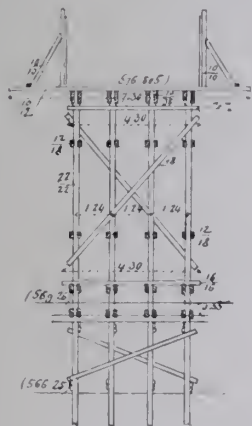
Détails — 2^m5

Nœud A de f_8

f_{11} — Élévation

f_{12} — Coupe en travers

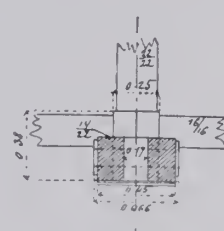
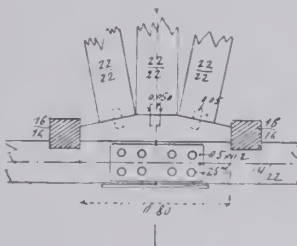
f_{10} — Coupe en travers — 4^m



Nœud B de f_8

f_{13} — Élévation

f_{14} — Coupe en travers



2. — Dispositif breveté — M. Leibbrand a bien voulu m'autoriser à le décrire ici.

4. Dates (S''_1).

Culées	\ automne 1907
	/ printemps 1908
Grande voûte.....	été 1908
Décintrement	20 octobre 1908
Ouverture à la circulation	printemps 1909

5. Personnel (S''_1).

Projet et Direction des Travaux : M. Max Leibbrand, Geheimer Baurat.

Direction Générale des Travaux : M. Rühle, Regierungsbaumeister ;

M. Leibbrand³, Geheimer Baurat.

Entreprise : Westdeutsche Eisenbahngesellschaft.

3. — Père de M. Max Leibbrand (S''_1).

SOURCE :

S_1 . — Dessins d'exécution (S'_1), renseignements (S''_1) et photographie (S'''_1), gracieusement communiqués par M. Max Leibbrand, en 1909.

LIVRE III

CE QUE L'EXPÉRIENCE
ENSEIGNE DE SPÉCIAL
AUX
VOÛTES ARTICULÉES

TITRE I

DISPOSITIONS — DIMENSIONS

AVANTAGES — INCONVÉNIENTS

DE

CHAQUE TYPE D'ARTICULATION

ARTICULATIONS SUR PLOMB



Art. 1. — Épaisseurs et Matériaux des voûtes. — Dimensions et Travail des Bandes de Plomb

Date	Ponts	Pays	Intrados Rang dans les séries ≥ 40m	Voûte			Bandes de plomb								
				Portée totale 2a	Entre articulations Portée basse- ment 2a _r	Épaisseurs en Ø00		Matériaux	Largeur dans le sens du joint en Ø00	Rapports	Épaisseur en Ø00	Pression étalée sur toute la largeur de la bande kg / Ø00 ²			
						à la clef e ₀	aux joints de rupture e'						aux retom- bées e ₁		
1885	de Höfen , sur l'Enz.		$\bar{A}^1 r^{te} (\geq 40m)^1$	41 ^m	28 ^m	1/10	150 ^{cm}	PT ¹ — Grès	35 ^{cm}	50 ^{cm}	0.35	0.33	20 ^{mm}	60 ^k	
1886	de Wildbad ² , sur l'Enz.		»	22.60	15.60	1/4.8	80	PT ¹ — Grès	20	20	0.40	0.25		46	
1886	de Neuneck ² , sur la Glatt.		»	23	17	1/5.66	80	PT ¹ — Grès	10	20	0.25	0.25	36		
1886 ⁸⁶ 87	de Marbach , sur la Murr.		$\bar{A}^1 r^{te} (\geq 40m)^2$	43.50	32	1/10.32	150	PT ¹ Keuper MEV ¹ Muschelkalk	40	50	0.33	0.33	22 ^{mm}	55	
1889	de Baiersbronn , sur la Murr.		$\bar{A}^1 r^{te} (\geq 40m)^3$	40	33	1/10	80	PT ¹ — Grès	17	18	0.28	0.22	115		
1890	de Baiersbronn ³ , sur la For- lach.		$\bar{A}^1 r^{te}$	32	25	1/8.33	80	PT ¹ — Grès	11	13	0.18	0.16	102		
1891	d' Ehingen ³ (l'Passage supér ^r).		$\bar{A}^1 r^{te}$	23	18	1/5	100	PT ¹ Calcaire B ¹ — 1 ^r , 2 ^e , 6 ^r B ¹ — 1 ^r , 2 ^e , 4 ^r	10	10	0.22	0.10	61		
1892	de Rechtenstein ⁴ , sur le Danube.		$\bar{A}^2 r^{te}$	23	23	1/9.2	73	PT ¹ Calcaire B ¹ — 1 ^r , 2 ^e , 5 ^r B ¹ — 1 ^r , 2 ^e , 4 ^r	18	20	0.276	0.222	60		
1895	de Mühlheim ³ , sur le Neckar.		$\bar{A} r^{te}$	29.20	22	1/10	60 65	PT ¹ B ¹ — 1 ^r , 2 ^e , 5 ^r B ¹ — 1 ^r , 2 ^e , 5 ^r	9.3	10.6	0.206	0.176 0.192	20 ^{mm}	100	
1895	sur le Lein ³ .		»	29.60	23.10	1/6.6	80	B ¹ — 1 ^r , 2 ^e , 5 ^r	12	15	0.21	0.188	66		
1895 ⁹⁵ 96	de Gemrigheim ⁵ , sur le Neckar.		$\bar{A} r^{te}$	38	38	1/6.9	90	B ¹ — 1 ^r , 2 ^e , 5 ^r	15	18	0.188	0.20	111		
1897 ⁹⁷ 98	d' Ehingen ⁶ , sur le Danube.		»	(2 de 21 20)				B ¹ — 1 ^r , 2 ^e , 5 ^r B ¹ — 1 ^r , 2 ^e , 5 ^r B ¹ — 1 ^r , 2 ^e , 4 ^r	15	15	0.211		83		
1906 ⁰⁷ 09	de la Vieille-Route , à Lichtensteig ⁷		$\bar{A} r^{te}$	18.50	18.50	1/5.3	90	MEV ¹ MGV ¹	15	20	0.166	0.222			

Art. 2. — Dimensions des bandes de plomb, d'après le tableau précédent.

A. *Largeur j dans le sens du joint.* — Plus sont réduites les largeurs j_0, j_1 (f_1, f_2), mieux est déterminée la courbe de pression, mais plus le plomb travaille.

Largeur des bandes de plomb
 f_1 — Clef f_2 — Retombées



Voici comment ont varié $\frac{j_0}{e_0}, \frac{j_1}{e_1}$:

	Maximum	Minimum	Moyenne
$\frac{j_0}{e_0}$	0.50	0.13	0.237
$\frac{j_1}{e_1}$	0.50	0.10	0.242

B. *Épaisseur.* — Presque toujours 20^{mm}; avec 20^{mm}, on ferme facilement le joint au mortier.

C. *Longueur.* — 1^m à 1^m50, avec intervalles entre les bandes de 10^{cm}; aux têtes, de 5^{cm}.

Art. 3. — Plomb employé. — Travail admis. — On a employé, le plus généralement, le plomb mou ordinaire.

Souvent, on a admis une pression moyenne de 60^k sur toute la largeur de la bande, et supposé que la pression maxima ne dépasse pas 120^k, c'est-à-dire que la résultante se tient dans le 1/3 central de la bande.

ARTICULATIONS ROULANTES

§ 1. — ARTICULATIONS ROULANTES EN ACIER

TABLEAU SYNOPTIQUE

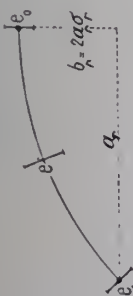
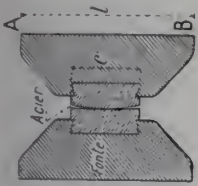
Date	Ponts (Tous sont sous route) Tous sont en Barrière	Symbole	Voûte						Rotules	Efforts ²		Effort MAX. en kg $\frac{\sigma^{rot}}{2}$ le long de AB (f_3)
			Portée totale $2a$	Entre rotules Portée $2a_r$	Surbaisse- ment σ_r	Épaisseurs, en (mm)				Matériaux <i>Les bandeaux sont en</i> PT ¹ — Muschelkalk, <i>les sommiers, en</i> PT ¹ — Granit, <i>sur eux, une feuille de</i> <i>plomb de 5^{mm}</i> Douelle et Queueage		
						à la clef e_0	aux joints de rupture e'	aux retombées e''				
1902-03	Cornélius,	$\bar{A}^n r^{te} (\geq 40^m)^3$	44^m 36	44^m 36	1 12 1 10	80^m 70	120^m 100	PT ¹ — Muschelkalk B ¹	non	287 ^{2k} 3105 ^k	120 ^k	
1902-03	de Reichenbach,	$\bar{A}^n r^{te} (\geq 40^m)^4$	44	44	1 10	80	120	B ¹ — 1 ^v , 2 ^v 5, 5 ^v	non	2160 2340	96	
1903-05	Maximilien,	$\bar{A}^n r^{te} (\geq 40^m)^6$	45.87	44	1 8.979	80	109	PT ¹ — Muschelkalk	oui ³	2460 3241	"	
1904-05	de Wittelsbach,	$\bar{A}^n r^{te} (\geq 40^m)^7$	44	44	1 10	80	120	B ¹ — 1 ^v , 2 ^v 5, 5 ^v	oui	" 2430	"	
1906-07	Elise, sur le Danube, à Neubourg.	$\bar{A}^n r^{te} (\geq 40^m)^4$	47.50	43.50	1 9.88	95	120	B ¹ — 1 ^v , 2 ^v 3, 4 ^v 6	oui	2505 2817	125	

1. — Pour le sens de ces abréviations, voir Avertissement, Tome IV, p. II, n° 6.

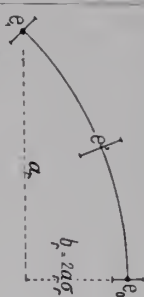
2. — Pour la pression maxima sur la bande de contact, les formules de Lertz (Tome IV, p. 11), donnent de 4700^k à 5600^k par $\frac{\sigma^{\text{rot}}}{2}$.

3. — Après la chute des voûtes.

A. — Rotules d'acier
prises
dans des sabots en fonte
(Voûtes articulées de façon permanente)

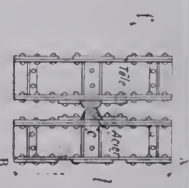


Date	Ponts	Intrados	Voûte						Sommeires ³	Nature de l'acier de l'acier résistant à l'écrasement en kg. σ_{vol}^2	Rotules				Effort en kg par σ_{vol}^2 et σ_{vol}^1		Effort MAX. en $\frac{kg}{cm^2}$ le long de AB (cf. p. 1)
			Rang dans les séries	Pop. lée	Portée	Surbaissément	Épaisseurs en (mm)	aux joints de raccords			Rays en (mm)	Corde de la courbe de roulement	At en mis des joints contre le glissement?	de la largeur de la base	à l'acier	aux raccords	
	On a souligné ceux sous rails		$\geq 40m$	20	20	τ_r	e_0	e'	e_1		R_1	R_2	r	l	N_0	N_1	



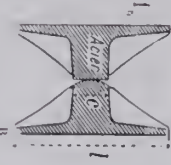
B. — Rotules d'acier prises dans des caissons en tôle

B_r — Voûtes semi-articulées



1910 12	sur la <u>Cecina</u> ² (Italie).	\bar{A}^3 1 ^{re}	30m	30m	1 8,82	100	"	125	B ¹ Ciment... 350 ³ Sable... 6 ³ 5 Gravier... 0 ³ 8 2 10 ³ a 25 1		8m	10m	5m 5	non	Clef 80 R _{vol} 100		
B ₂ — Voûtes articulées de façon permanente																	
1902	de <u>Tarvis</u> , sur la Schlitz ³ (2 ponts) (Autriche-Tyrol).	\bar{A}^1 1 ^{re}	30	30, 40	1 9,8	70	82	70	B ¹ 1 ¹ , 2 ¹ , 3 ¹ caissons en tôle d'acier Martin, de 22mm d'épaisseur	Acier Martin moule (5800 ³ a 5000 ³)	15	17	non	(6)			
1903	de <u>Forst</u> , sur l'Elsch ¹ Autriche (Tyrol).	\bar{A}^1 1 ^{re}	30	30, 40	1 9,8	70		70	B ¹ 1 ¹ , 2 ¹ , 3 ¹								

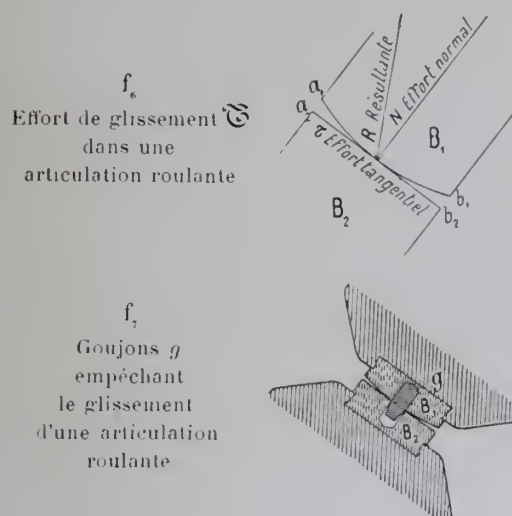
C. — Rotules tout entières en acier moule



1903 04	de <u>Illerbeuren</u> , sur l'Ille ¹ (Belgique).	\bar{A}^1 1 ^{re} ($\geq 40m$)	59	57, 164	1 5,82	110	163	140	$\left. \begin{array}{l} B^1 \text{ moulé} \\ 1^1, 1^1, 5^1, 1^1, 5^1 \\ \text{et feuille} \\ \text{de plomb de } 4^{mm} \end{array} \right\}$	Acier Siemens-Martin surfaces trempées sur 5 ^{mm} 7300 ³	35	200	non	65	2738 ³	2532 ³	68 ³	
1904 05	de la <u>Wallstrasse</u> , à l'Im (Wurtemberg)	\bar{A}^1 1 ^{re} ($\geq 40m$)	65, 45	57	1 9,82	106	160	150	$\left. \begin{array}{l} B^1 \text{ damé} \\ 1^1, 1^1, 3^1, 5^1 \\ 1^1, 1^1, 2^1, 5^1 \end{array} \right\}$	Acier Siemens-Martin surfaces trempées sur 4 ^{mm}	40	55	10	oui	65	4030	4450	
1906	de <u>Kempten</u> , sur l'Ille ¹ (Bavière)	\bar{A}^1 1 ^{re} ($\geq 40m$)	64, 50	50, 60	1 5,50	135	200	185	$\left. \begin{array}{l} B^1 \text{ moulé} \\ 1^1, 2^1, 3^1, 5^1 \\ 1^1, 2^1, 3^1, 2^1 \end{array} \right\}$	Surfaces trempées, Clef sur 10 ^{mm} au moins 5500 ³ (Reliées 60)	50	200	non	Clef 60 R _{vol} 72	3132	4207	66	
1905 08	de <u>Mannheim</u> , sur le Neckar (Grand Duché de Bade)	\bar{A}^0 1 ^{re} ($\geq 40m$)	59, 50	58, 50	1 10,60	107	147	112	$\left. \begin{array}{l} \text{Bandeaux} \\ PPT^1 - 11^1 8^1 \\ \text{Corps :} \\ PPT^1 4^1 11^1 \\ \text{et feuille} \\ \text{de plomb} \\ \text{de } 4^{mm} \end{array} \right\}$	"	30	60	oui				143	

1. — Pour le sens de ces abréviations, voir Avertissement, Tome IV, p. II, n° 6.
2. — Pont à 3 voûtes. — Ligne de Rome à Pise. — 3 arches semi-articulées de 30^m en arc, entre 2 inarticulées de 20^m en ellipse. — Rivista tecnica delle ferrovie italiane, mai 1912. — *Voûte forte des tre bianchi fiume* (canal km 282,071 della linea Roma Pisa 2).
3. — 2 Ponts parcellés sur la Route impériale de Goetz (Goetz Reichstrasse), aux km. 27,375 et 29,415. — Österreichische Wochenschrift für den öffentlichen Bauwesen, 30 mai 1913. p. 344 à 350, Pl. 37 à 41. — *Bauern Fugelknoten unter der Schlitz bei Tarvis* 2, Julius Stauke, K. K. Ober-Ingenieur im Ministerium des Innern).
4. — Pont semblable aux précédents. (Österreichische Wochenschrift für den öffentlichen Bauwesen, 2 juillet 1914. p. 476 à 479, Pl. 63, 64. — *Die neue Brücke über die Elsch bei Forst* 2 C. Halberkalt).
5. — Au Pont de Grünwald sur l'Isar, en amont de Munich (1903-1904). — 2 arcs en béton armé. (R. 20³ ; R. 25³), pressent par l'intermédiaire de lames de plomb de 2³ des sommets en béton armé. (Deutsche Bauzeitung, 1904, I, n° 11, 12, 13. — *Straßenbau über der Isar bei Grünwald oberhalb München* 2, von Direktor Ludwig Zoller, in München).

Art. 2. — Précautions contre le glissement. — Si la surface de roulement $a_2 b_2$ (f_6) est plane, — ou concave avec un très grand rayon, — c'est le frottement seul qui résiste à l'effort tangentiel \mathfrak{S}^6 .



Au pont d'Illerbeuren⁷, les rotules ont glissé au décintrement, de 10^{mm} et 18^{mm}.

Au pont Maximilien⁸, on avait diminué le frottement en lubrifiant les surfaces à la stéarine : les rotules ont glissé, les voûtes sont tombées.

Depuis⁹, dans les articulations métalliques, on a en général prévenu le glissement en encastrant dans le bloc convexe B_1 , sur l'arête théorique de contact, des goujons d'acier g ¹⁰ (f_7).

Art. 3. — Avantages et inconvénients. — Avec l'acier, — le plus dur des matériaux pour rotules, — les rayons des surfaces de roulement sont plus petits, la différence de courbure plus grande, la courbe de pression mieux déterminée. Mais les rotules d'acier craignent la rouille, et on ne peut guère les en défendre¹¹.

6. — Voir, pour la valeur du frottement, les expériences de M. Föppl, Tome IV, p. 22.

7. — \overline{A}^1 Fr ($\geq 40^m$)¹, 1903-04, Tome IV, p. 159.

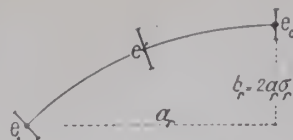
8. — \overline{A}^n Fr ($\geq 40^m$)⁶, 1903-05, Tome IV, p. 192.

9. — Voir les Tableaux synoptiques, p. 263 et 264.

On n'a pas mis de goujons aux Ponts de Kempen, \overline{A}^1 Fr ($\geq 40^m$)^{1, 2, 3} (Tome IV, p. 115), sans doute parce que l'arc articulé est peu surbaissé et que par suite le glissement est moins à craindre.

10. — On les calcule pour résister par cisaillement à l'effort \mathfrak{S} .

11. — Au pont d'Illerbeuren⁷, on a vu sur le sol des taches de rouille sous les rotules.



Art. 1. — Épaisseurs et Matériaux des Voûtes.

Schéma de l'articulation	Date	Ponts On a souligné ceux sous rails	Pays	Intrados Rang dans les séries 40m	Voûte					
					Portée totale 2 a	Entre rotules		Épaisseurs, en (mm)		
						Portée 2 a _r	Surbais- sement τ _r	à la clef e ₀	aux joints de rupture e'	aux reten- bées e ₁
A. - Voûtes semi-articulées										
a) - En Pierre	1880	de <u>Langenhennersdorf</u> ²	Saxe	\overline{A}^n Ir	13 ^m	13 ^m	1 4.33	50 ^{cm}	"	60
	1898-1900	de <u>Chemnitz</u>	Saxe	\overline{E}^n Ir (40m) ¹	43.10 27.90 (4v ^{tes}) 26.65 (6v ^{tes})			110 70 "	150 103 "	125 80
	1899-1900	de <u>Grasdorf</u>	Hanovre	\overline{A}^1 Ir ^{te} (40m) ¹	40	40.39	1 8.93	85	116	90
	1901-03	de <u>Hochberg</u>	Wur- temberg	\overline{A}^n Ir ^{te} (40m) ²	39.40	40	1 7.407	75	104	75
	1902	de <u>Dusseldorf</u> ³	Prusse rhénane	\overline{A}^1 Ir ^{te}	30.13	28.02	1 4.6	65	85	70
	1903-04	de <u>Göhren</u>	Saxe	\overline{A}^1 Ir ^{te} (40m) ²	60	60.56	1 8.89	110	150	120
	1908-10	de <u>Kubel</u> ⁴ , sur la Sitter	Suisse	\overline{C}^n Ir	25	19.04	1 4.327	100	"	126
	1910-11	de <u>Nessiau</u> ⁵ , sur la Thur	Suisse	\overline{A}^1 Ir	24.82	25.66	1 7.265	110	140	140
	1896	d'Imnau ⁶ , sur l'Eych	Hohen- zollern	\overline{A}^1 Ir ^{te}	"	30	1 10	45	80	50
	1903-05	de <u>Neckargartach</u>	Wur- temberg	\overline{A}^n Ir ^{te} (40m) ⁵	40	40	1 7.55 à 1 9.14	75	100 env.	80
B. - Voûtes articulées										
b) - En Béton										
	1894-96	de <u>Dresde</u> ⁷	Saxe	\overline{E}^5 Ir	31.35 (5v ^{tes})					
	"	de <u>Hauconcourt</u> ⁸	Lorraine allemande sur la Moselle	\overline{A}^5 Ir ^{te}	33 (5v ^{tes})	33	1 7.67	65	125	77
	1899-1901	de <u>Malling</u>		\overline{A}^n Ir ^{te} (40m) ¹	40	40.50	1 8.56	88	110	100
	1904-05	de <u>Moulins-lez-Metz</u>		\overline{A}^n Ir ^{te} (40m) ⁸	44 40 (2v ^{tes})	44.70 40.54	1 7.996 1 8.463	95 90	119 112	115 105
	1906-07	de <u>Sauvage</u> ⁹		\overline{A}^1 Ir ^{te}	36 34 (2v ^{tes}) 30	36 34 30	1 7.04 1 7.53 1 7.75	70 70 70	115 100 98	80 80 80
	"	de <u>Halden</u> ¹⁰ , sur la Lenne (arche centrale)	Westphalie	"	"	25	1 9.09	50		50
	1904-05	de <u>Britz</u> ¹¹ , sur le canal de Teltow (au sud de Berlin)	Prusse	\overline{A}^1 Ir ^{te}	39	36.42	1 7.5	75	112	80
	1909-10	de <u>Dennhausen</u> ¹² , sur la Fulda	Prusse, Hesse	\overline{A}^3 Ir ^{te}	38 (3v ^{tes})	36	1 8.93 et 1 9.39	70	92	75
c) - En Béton armé										
	1907	de <u>Rothenburg</u> ¹³ , sur la Neisse	Silésie	\overline{A}^5 Ir	30 (5v ^{tes})	30.50	1 7.26	55	100	70
					39.30 (2v ^{tes}) et 4 v ^{tes} de 36m15 à 28m33	34.10	1 6.9	95		125
	1907-10	de <u>Frédéric-Auguste</u> ¹⁴ , à <u>Dresde</u>	Saxe	\overline{A}^2 Ir ^{te}						
	1911-12	de <u>Graveneck</u>	Prusse, Hesse	\overline{A}^1 Ir ^{te} (40m) ¹	48	48.425	1 6.248	60	102	75

Dimensions et Travail des Rotules.

TABLEAU SYNOPTIQUE

Matériaux	Rotules				Effort en kg par cm^2 d'arête de contact		Pression maxima en kg/cm^2 sur la bande de contact, indiquée par l'auteur du projet	
	Matériaux	Dispositif entre les surfaces de roulement	Rayons, en (mm) des surfaces de roulement		à la clef	aux retombées		
	Résistance à l'écrasement en kg/cm^2		convexe R_1	concave R_2	N_0	N_1		
B B ¹ B ² B ³ B ⁴ MOV ¹ MEV ¹ MEV ² B ¹ B	Grès - 289 ^k		97 ⁷	110 ⁵			31 ^k	
	de façon permanente							
	1 ^v , 4 ^v , 4 ^v 5						3510 ^k	Pr. moyenne 300
	1 ^v , 5 ^v , 6 ^v 5						1830	
	1 ^v , 2 ^v 5, 4 ^v 5	1099 ^k	Clef 185 Retombées 200	270			145	
	1 ^v , 2 ^v 5, 5 ^v 1 ^v , 2 ^v , 4 ^v		500	∞			346	
	1 ^v , 4 ^v , 4 ^v <i>2^{es} à 6 mois</i>		209	275				
	MOV ¹ - Granulite		Clef 985 Retombées 1086	2000	3850 ^k	3960	150	
	MEV ¹		Clef 100 Retombées 240	120 300				
	MEV ²		Clef 325 Retombées 400	385 475	1540	2177	70.5 75.5	
B ¹ B ² B ³ B ⁴ B ⁵ B ⁶ B ⁷ B ⁸ B ⁹ B ¹⁰	1 ^v , 2 ^v 5, 5 ^v	1006 ^k	Bandes de plomb de 5 ^{mm} et 2 feuilles de cuivre	10	10.4	1414	1061	150
	1 ^v , 2 ^v 5, 4 ^v 5 1 ^v , 2 ^v 5, 1 ^v 5			500	∞		3200	538
	1 ^v , 5 ^v , 6 ^v 75 1 ^v , 5 ^v , 5 ^v			250	320	2310		Pr. moyenne 143 à 204
	1 ^v , 3 ^v , 4 ^v 5			235	300	1590	1920	120 (Barkhausen)
	1 ^v , 3 ^v , 6 ^v 1 ^v , 3 ^v , 4 ^v 5		Sur 3 ^{es} à 4 ^{es} , mortier (c ¹ 1 ^v ; sable fin 2 ^v)	280	325	2280		
	1 ^v , 2 ^v 5, 5 ^v 1 ^v , 2 ^v , 4 ^v		Fond des moules en fonte	280	325	2330	2710	
	Bandeaux en PT ¹							
	1 ^v , 2 ^v 5, 5 ^v		Fond des moules en plâtre	250	327		1500	104 (Barkhausen)
	1 ^v , 4 ^v , 6 ^v		Bandes de plomb de 2 ^{mm}	200	313			60
	1 ^v , 5 ^v , 6 ^v 5 1 ^v , 4 ^v , 4 ^v Bandeaux en grès		Sur 10 ^{es} mortier (1 ^v , 2 ^v)	280	325			
B ¹ B ² B ³ B ⁴ B ⁵ B ⁶ B ⁷ B ⁸ B ⁹ B ¹⁰	1 ^v , 3 ^v 5, 3 ^v 5							
	1 ^v , 5 ^v		Sur 10 ^{es} mortier (1 ^v , 2 ^v 5)	200	350			
	Bandeaux en grès							
	1 ^v , 2 ^v , 5 ^v							
	1 ^v , 3 ^v							
	1 ^v , 2 ^v 5, 2 ^v 5							
	1 ^v , 1 ^v 5, 2 ^v 5							
	1 ^v , 2 ^v , 5 ^v							
	1 ^v , 2 ^v , 5 ^v							
	1 ^v , 2 ^v , 5 ^v							
B ¹ B ² B ³ B ⁴ B ⁵ B ⁶ B ⁷ B ⁸ B ⁹ B ¹⁰	1 ^v , 5 ^v		Sur 10 ^{es} mortier (1 ^v , 2 ^v 5)	200	350			
	Bandeaux en grès							
	1 ^v , 2 ^v , 5 ^v							
	1 ^v , 3 ^v							
	1 ^v , 2 ^v 5, 2 ^v 5							
	1 ^v , 1 ^v 5, 2 ^v 5							
	1 ^v , 2 ^v , 5 ^v							
	1 ^v , 2 ^v , 5 ^v							
	1 ^v , 2 ^v , 5 ^v							
	1 ^v , 2 ^v , 5 ^v							
B ¹ B ² B ³ B ⁴ B ⁵ B ⁶ B ⁷ B ⁸ B ⁹ B ¹⁰	1 ^v , 5 ^v		Sur 10 ^{es} mortier (1 ^v , 2 ^v 5)	200	350			
	Bandeaux en grès							
	1 ^v , 2 ^v , 5 ^v							
	1 ^v , 3 ^v							
	1 ^v , 2 ^v 5, 2 ^v 5							
	1 ^v , 1 ^v 5, 2 ^v 5							
	1 ^v , 2 ^v , 5 ^v							
	1 ^v , 2 ^v , 5 ^v							
	1 ^v , 2 ^v , 5 ^v							
	1 ^v , 2 ^v , 5 ^v							

1. — Pour le sens de ces abréviations, voir Avertissement, Tome IV, p. II, n° 6.

2. — Zeitschrift der Architekten-und Ingenieur Vereins zu Hannover, 1888, p. 378 à 380. « Über die Verwendung von drei Gelenken in Steingewölben », von Geh. Finanzrath C. Köpcke, zu Dresden.

3. — Pont construit pour l'Exposition de Dusseldorf, démoli en 1908. (F. von Emperger — Handbuch für Eisenbetonbau, 2^e édition, vol. I, p. 214 à 230).

4. — Viaduc de la ligne Romanshorn-St-Gall-Wattwil, près de St-Gall. Travée centrale de 120^m, avec, de chaque côté, un viaduc d'accès en plein cintre de 25^m. Piles-culées de 85^m et 59^m de haut entre la travée et les arches adjacentes, lesquelles sont articulées. (Schweizerische Bauzeitung, 10 sept. et 29 oct. 1910, « Der Sitterviadukt der Bodensee-Toggenburgbahn ». MM. A. Acatos, L. Lühlinger, A. Ackermann).

5. — Ligne d'Ebnat à Nesslau. — Dessins d'exécution, gracieusement remis par M. Acatos, Ingénieur en chef du Bodensee-Toggenburgbahn.

6. — Zeitschrift für Bauwesen, 1898, p. 187 à 206, Pl. 26.

7. — 4 voies. — 5 voûtes de décharge en anse de panier de 15^m à 31^m, articulées à la clef et à 60°. — Aux plus grandes voûtes, les rotules sont en béton, aux autres, en grès. — (Gewölbe Brücken, Karl von Leibbrand, Leipzig 1897, p. 73 et 74).

8. — Centralblatt der Bauverwaltung, 22 juillet 1908, p. 395, 396. — Dessins d'exécution gracieusement remis par M. Blumhardt, Ingénieur en chef à Strasbourg.

9. — Deutsche Bauzeitung, 1907. — Mitteilungen über Zement-, Beton-, und Eisenbetonbau, n° 18 et 19.

10. — Id., 1905, p. 45, 46. — Arches latérales articulées sur plomb.

11. — Deutsche Bauzeitung, 9 septembre 1905, p. 433 à 436.

12. — F. von Emperger. — Handbuch für Eisenbetonbau, 2^e édition, Vol. VI. Brückenbau, p. 511 et 604.

13. — Deutsche Bauzeitung, 1908. — Mitteilungen über Zement-, Beton-, und Eisenbetonbau, n° 20, p. 101, 102, n° 21, p. 106, 107.





14. — A 3 arches de 17^m60, 22^m, 24^m05, les articulations sont des bandes de plomb occupant le 1/4 central du joint. (Deutsche Bauzeitung, 1910; 8 juin, p. 354, 355, 11 juin, p. 363, 367; 22 juin, p. 383 et 384).

Art. 2. — Avantages et inconvénients des articulations roulantes en pierre, en béton. — En pierre ou en béton, les articulations ne craignent pas l'humidité; elles n'exigent pas d'entretien; mais elles sont lourdes et il est malaisé de les mettre en place ¹⁵.

Il est très difficile de bien dresser les surfaces de roulement.

15. — Pont de Grasdorf $\overline{\mathbf{A}}^1$ r^{te} ($\geq 40^m$)¹, Tome IV, p. 129.

Art. I. — Épaisseurs et Matériaux des voûtes. — Dimensions et Travail des rotules TABLEAU SYNOPTIQUE

Schéma de Particularisation	Date	Ponts Tous sous route	Intrados Rang dans les séries 40m	Voûte				Rotules				Efforts en kg par cm ² de génératrice de contact	Efforts maxima en kg. cm ²		Les rotules sont-elles apparentes ?		
				Portée totale 2a	Entresrotules		Épaisseurs en mm	Matériaux Voûte (V ^o) Sommiers (Somm.)	Tourillon	Balanciers	à la clef N ₀		aux retom- bées N ₁	Tourillon		Balan- ciers	Sommiers
					Portée 2a _r	Surbais- sement σ _r											
	1895	d'Inzigkofen (Hohenzollern)	\overline{A}^1_{∞} 1 ^{re} (40m) ¹	47m90	63m	1/9,81	70	110	78	B ¹ V ¹⁰ : 1 ^o , 2 ^o 5, 4 ^o 5 1 ^o , 2 ^o , 3 ^o Somm. (1 ^o , 1 ^o 5, 1 ^o 5)	Fente ²	Clef 60 Retomb. 68	Clef 232 ^k à 60° 262 44 ^k 43 ^k	Flexion 128 ^k 131		oui	
	1899 1900	de Neckarhausen (Hohenzollern)	\overline{A}^1_{∞} 1 ^{re} (40m) ²	59,40 50	1/11	85	120	90		B ¹ - 1 ^o , 2 ^o 5, 5 ^o Muschelkalk Somm. (PT ¹ - Granit) feuille de plomb de 5 ^{mm}	10	75	Clef 382 à 60° 365 Tension 221 Compr. 346			oui	
	1901 1902	Max-Joseph à Munich.	\overline{A}^1_{∞} 1 ^{re} (40m) ³	62,40 63	1/9,692	100	148	120		Muschelkalk Somm. (PT ¹ - Granit) feuille de plomb de 5 ^{mm}	5					non	
			\overline{A}^1_{∞} 1 ^{re} (40m) ⁴	64	60	1/10	105	140	120	Muschelkalk Somm. (Granit)	6				100		non
	1897	de Burzweiler ⁷ sur la Doller (Alsace)	\overline{A}^1_{∞} 1 ^{re}	34,20 34	1/8,39	75	105	75		B ¹ - 1 ^o , 3 ^o , 4 ^o 5	8					oui	
	1906	de Brookside Park ⁸ sur le Big Creek, à Cleveland (États-Unis, Ohio)	\overline{A}^1_{∞} 1 ^{re}	28,04 26,33	1/16,5	61			91	B ¹ - 1 ^o , 2 ^o 5, 5 ^o	3,8	15,2				non	
	1906	par-dessus la gare d'eau Branla ⁹ sur la Saône, près de Lyon	\overline{A}^1_{∞} 1 ^{re}	25 2 voutes jumeles	1/10	30	30	30		PT ¹ Joints en zinc coulé	7	Acier 30	260			oui	

1. — Pour le sens de ces abréviations, voir Avertissement. Tome IV, p. II, n° 6.
2. — 8 rotules à la clef, 9 aux retombées. — L'ensemble pèse 15^t et coûte 3700^f.
3. — en tenant compte du vent ; sans vent, 12^t1.
4. — en tenant compte du frottement des tourillons.
5. — 30 rotules par articulation.
6. — 1^o Ing. F. von Imberger. — Handbuch für Eisenbetonbau. — Dritter Band. — Berlin, Wilhelm Ernst et fils, p. 22 à 24.
7. — Engineering News, 1^{er} mai 1906, p. 507 et 508. 8. Three hinged concrete arch bridge, Brookside Park, Cleveland, O., H. F. Hackborn.
9. — Annales des Ponts et Chaussées, 1907, V, p. 6 à 59. 10. Pont à arcs de pierre de taille articulés à la clef et aux naissances, avec joints coulés en zinc. — M. Henri Tavernier, Ingénieur en chef des Ponts et Chaussées.

Art. 2. — Avantages et inconvénients des articulations tournantes. — D'après M. Max Leibbrand¹⁰, auteur des ponts d'Inzigkofen¹¹, de Neckarhausen¹², de Sigmaringen¹³, l'articulation tournante serait moins chère, plus sûre, plus facile à poser, que l'articulation roulante.

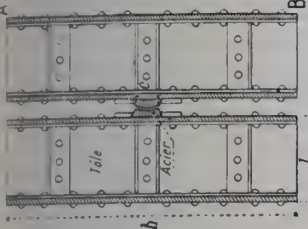
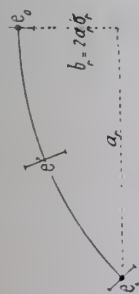
L'expérience ne paraît pas avoir décidé.

10. — Zeitschrift für Bauwesen, 1903, - p. 455 à 476, Pl. 54 et 55 : « Die Neckarbrücke bei Neckarhausen (Hohenzollern) », Max Leibbrand, Landes-Baurat, 20 août 1902.

11. — $\overline{\mathbf{A}}^1_{\infty}$ r^{te} ($\geq 40^m$)¹, Tome IV, p. 225.

12. — $\overline{\mathbf{A}}^1_{\infty}$ r^{te} ($\geq 40^m$)², Tome IV, p. 232.

13. — Tome IV, p. 253.



TABEAU SYNOPTIQUE

Date	Ponts	Pays	Intrados Rang dans les séries $\geq 40m$	Voûte						Rotules d'acier surfaces de roulement	Caissons en tôle	Effort en Kg par σ_{rot}^2 de généatrice de contact	Efforts maxima en $Kg \sigma_{rot}^2$		
				Portée totale $2a$	Entre rotules		Épaisseurs, en (mm)							Matériaux	
					Portée $2a_r$	Surbais- sement σ_r	à la clef e_0	aux joints de rupture e'	aux retom- bées e'_1						
1893	de Munderkingen .	Wurtemberg	$\overline{A}^1 \Gamma^{te} (\geq 40m)^1$	59m	1/10	100 ^r	140	110 ^r	B ¹ - 1 ^r , 2 ^{ve} , 5 ^{ve}	15 ^c	7 ^c	80 ^r	23 ^c	34B ³⁴ 38B ³⁴	au contact 681 ^r
1895-96	de la Coulouvrenière , à Genève.	Suisse	$\overline{A}^n \Gamma^{te} (\geq 40m)^1$	40	1/7.407	100	140	120	B ¹ - 425, 0 ^{me} 5, 0 ^{me} 8	10	5,5	100	28	2014 2357	dans les cais- sons (flexion) 870 sur AB de f_a 59
1901	de Sinigaglia ² , sur le Rosso.	Italie	$\overline{A}^3 \Gamma^r$	»	1/10	80	100	100							au contact 500
1902 03	de Morbegno .	Italie	$\overline{A}^1 \Gamma^r (\geq 40m)^1$	70 environ	1/7	150	220	220	PT ¹ - Granit	25	15	Clef 80 Ret ¹⁴⁸⁵ 110	27.2	5980 5567	dans les caissons Clef 750 ² Ret ¹⁴⁸⁵ 850

1. — Pour le sens de ces abréviations, voir Avertissement, Tome IV, p. II, n° 6.

2. — Ligne de Bologne à Foggia (Genio Civile, septembre 1902).

3. — en tenant compte du mortier de ciment entre les caissons d'une même pile, et en lui attribuant un coefficient d'élasticité $\frac{1}{10}$ de celui de la tôle, sans en tenir compte, la tôle des caissons travaille à 1150^{kg} à la clef, et 1300^{kg} aux retombées (*S^{me}, Tome IV, p. 75*).

CHAPITRE V

DISPOSITIONS DES ARTICULATIONS DANS LES PONTS BIAIS

Aux ponts de Munderkingen ¹ biais à 75°, et Elise ² biais à 81°20', les articulations sont en échelons perpendiculaires à l'axe longitudinal.

Au pont de Sigmaringen ³, biais à 75°57', on a disposé les rotules parallèlement à l'axe transversal du pont, en prévenant le glissement latéral.

Dans les ponts larges très biais, il vaudrait mieux construire la voûte par anneaux indépendants.

1. — $\overline{\mathbf{A}}_{\text{v}}^{\text{I}}$ r^{te} (40m)^I — Tome IV, p. 45.

2. — $\overline{\mathbf{A}}_{\text{v}}^{\text{I}}$ r^{te} (40m)^I — Tome IV, p. 151.

3. — Tome IV, p. 253.

TITRE II

QUELQUES DIMENSIONS ET DISPOSITIONS SPÉCIALES AUX VOÛTES ARTICULÉES

§ 1. — RENFLEMENT AUX « JOINTS DE RUPTURE »

Pour ne pas avoir de tension entre les articulations de clef et des reins, on a souvent renflé la voûte en fuseau, forme désagréable, surtout quand l'arc n'est pas très surbaissé.

Si les tympans sont pleins, on peut le dissimuler; non, s'ils sont évidés.

§ 2. — ÉPAISSEURS

Art. 1. — Les voûtes articulées sont moins épaisses que les inarticulées. — Dans les voûtes à 3 articulations, on est sûr des efforts : comme ils sont, du moins près des articulations, concentrés vers les milieux, les matériaux sont mieux utilisés.

Pour ces deux motifs, les épaisseurs y peuvent être moindres que dans les voûtes inarticulées.

De combien ?

Art. 2. — Formules empiriques provisoires. — Il n'existe pas encore assez de voûtes articulées pour établir des formules empiriques d'épaisseurs auxquelles on se puisse fier.

Voici les timides indications permises.

Entre leurs rotules, les ponts articulés sont toujours en arc, assez ou très surbaissé; pour ces arcs, inarticulés, voici les formules empiriques établies : ¹

$$e_0 \left(\begin{array}{c} \text{épaisseur} \\ \text{à la} \\ \text{clef} \end{array} \right) = z \left(\begin{array}{c} \text{coefficient} \\ \text{numérique} \end{array} \right) \left[1 + \sqrt{2a \text{ (portée)}} \right] \times \frac{4}{3} \left[1 - \sigma \text{ (surbaissement)} + \sigma^2 \right]$$

$$e_1 \left(\begin{array}{c} \text{épaisseur} \\ \text{aux reins} \end{array} \right) = \lambda e_0 = e_0 \times (1 + 12 \sigma^2)$$

Entendons ici par $2a$ la portée, et par σ le surbaissement, entre articulations et non plus entre naissances.

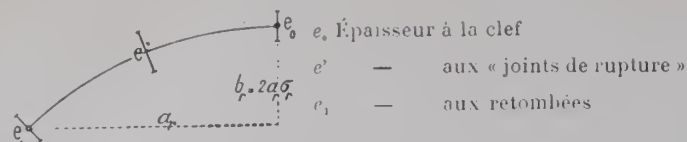
$$\text{Soit } e' \left(\begin{array}{c} \text{épaisseur au « joint de rupture »} \\ \text{c'est-à-dire au joint le plus renflé} \\ \text{entre les articulations de clef et des reins} \end{array} \right) = \lambda' e_0$$

Au tableau suivant, on donne z , λ , λ' , pour 74 voûtes semi-articulées ou articulées.

D'après lui, il semble qu'on puisse provisoirement conserver pour l'épaisseur à la clef des voûtes articulées les formules des voûtes inarticulées, en abaissant le coefficient numérique z , — par exemple pour un pont-route de 0,15 à 0,09 ².

1. — Tome III, Livre II, Titre I, Chapitre III.

2. — z est réduit à 0,095 pour les voûtes articulées en arc très surbaissé de 40^m et plus, de Ziegenhals, Michelau, Schwusen, Kupferhammer (Tome III, p. 208, 209, 213, 214); il descendrait même à 0,075 au pont de Huzenbach (Tome III, p. 206).



Rapports :

$$\alpha_r = \frac{e_0}{\left(1 + \sqrt{2\alpha_r}\right) \frac{4}{3} \left(1 - \alpha_r + \alpha_r^2\right)}$$

Pont de ³	Portée		Ma- tériaux ⁴ du corps de la voûte	α_r	λ	λ'	Pont de ³	Portée		Ma- tériaux ⁴ du corps de la voûte	α_r	λ	λ'
	totale $2a$	entre rotules $2a_r$						totale $2a$	entre rotules $2a_r$				

I. — VOÛTES SEMI-ARTICULÉES

A. — PONTS-ROUTE

Articulations sur plomb

Höfen	41 ^m	28 ^m	PT	0.132	1.5
Wildbad	22.60	15.60		0.090	1.6
Nemcek	23	17		0.068	2
Marbach	43.50	32	MEV	0.118	1.25
Baiersbrunn	40	33	PT	0.071	1.33
sur la Murg					
Baiersbrunn	32	25		0.081	1.33
sur la Forbach					
Rhingen	23	18	B	0.078	2.22
Passage supérieur					
Rechtenstein	23	23		0.093	1.38
Mühlheim	29.20	22		0.066	1.33
sur le Lein	29.60	23.10		0.077	1.60
Gemrigheim	38	38		0.091	1.12
			MAX.	0.118	2.22
			min.	0.068	1.12
			moyenne	0.091	1.51
			sans compter Höfen et Marbach	0.080	»

Articulations à genou

Munderkingen	59	50	B	0.101	1.1	1.4
Conlouvenrière	40	40		0.115	1.2	1.4

B. — PONTS SOUS CHEMIN DE FER

A VOIE NORMALE

Articulations sur plomb

sur la Vieille-Route, à Lichtensteig	18.50	18.50	MOV	0.151	1	»
---	-------	-------	-----	-------	---	---

Articulations roulantes

en pierre

Langenhennersdorf	13	13	»	0.098	1.20	
-------------------	----	----	---	-------	------	--

en acier

sur la Cecina	30	30	B	0.128	1.25	
---------------	----	----	---	-------	------	--

Articulations à genou

Sinigaglia	»	22	»	0.115	1.25	
Morbegno	70	66	PT	0.137	1.47	

II. — VOÛTES ARTICULÉES

DE FAÇON PERMANENTE

A. — PONTS-ROUTE

Articulations sur plomb

Miltenberg	31 ^m 15	30 ^m 60	MOV	0.091	1.14	1.40
	31.20	30.64		0.100	1.13	1.17
Oued Dar-el-Oued	25	21.65	MAV	0.117	1.57	»
Oued Amacin	27	27		0.119	1.29	»
Reichenbach	28-27-26		B		1.14	»
(Voûtes R D)						
Oued Djemaa	29.43	27	MAV	0.126	1.28	»
Altwasser	23.72	22	B	0.080	1.15	1.24
Halden		18.50		0.078	1.30	»
(Arches latérales)						
Durbuy		33	PT	0.121		1.50
			MAX.	0.126	1.57	
			min.	0.078	1.13	
			moy.	0.101	1.25	

Articulations roulantes

en pierre

Grasdorf	40	40.39	B	0.095	1.05	1.30
Hochberg	39.40	40		0.090	1	1.38
Dusseldorf	30.13	28.02		0.083	1.09	1.30
Göhren	60	60.56	MOV	0.101	1.09	1.30
Innau		30	B	0.058	1.11	1.7
Neckargartach	40	40		0.086	1.06	1.3

en béton

Hauconcourt	33	33	B	0.082	1.18	1.9
Malling	40	40.50		0.100	1.13	1.2
Moulins-lez-Metz	44	44.70		0.105	1.21	1.2
	40	40.54		0.102	1.16	1.2
	36	36		0.085		1.0
Sauvage	34	34		0.087	1.14	1.4
	30	30		0.091		1.4
		25		0.070	1	1.3
Halden						
(Arche centrale)						
Britz	39	36.42		0.089	1.06	1.4
Dennhausen	38	36		0.083	1.07	1.3

³ — Pour ces ponts, voir les Tableaux synoptiques, p. 260, 261, 263, 264, 266, 269, 271

⁴ — Pour le sens des abréviations, voir Avertissement, Tome IV, page II, n° 6.

$$\lambda = \frac{e_1}{e_0} \quad \lambda' = \frac{e'}{e_0}$$

TABLEAU SYNOPTIQUE

Pont de ³	Portée		Ma- tériiaux ⁴ du corps de la voûte	α_r	λ	λ'	Pont de ³	Portée		Ma- tériiaux ⁴ du corps de la voûte	α_r	λ	λ'
	totale	entre rotules						totale	entre rotules				
	$2a$	$2a_r$						$2a$	$2a_r$				

II. — VOÛTES ARTICULÉES

DE FAÇON PERMANENTE (Suite)

A. — PONTS-ROUTE (Suite)

Articulations roulantes (Suite)

en béton armé

Frédéric-Auguste, à Dresde	39 ^m 30	34 ^m 10	B	0,120	1,31	
Graveneck	48	48,425		0,065	1,25	

en acier

Cornélius	44	41	PT	0,088	1,12	1,50
	38,50	36	B	0,082	1,14	1,43
Reichenbach	44	41	B	0,090	1,12	1,50
Maximilien	45,87	44	PT	0,087	1,46	1,36
Wittelsbach	44	41		0,090	1,12	1,50
Élise	47,50	43,50		0,103	1,21	1,26
Tarvis				0,090	1,	1,17
Forst	30	30,40	B	0,090	1,	»
Wallstrasse	65,45	57		0,103	1,41	1,51
Mannheim	59,50	58,50		0,102	1,04	1,37

MAX.	0,120	1,46	1,92
min.	0,058	1,	1,17
moy.	0,0895	1,14	1,41

Pour toutes les articulations roulantes

Articulations tournantes

Inzigkofen	47,90	43	B	0,078	1,11	1,57
Neckarhausen	59,40	50		0,086	1,05	1,41
Prince-Régent	62,40	63	PT	0,092	1,2	1,48
Max-Joseph	64	60		0,099	1,14	1,33
Burzweiler	34,20	34	B	0,092	1,	1,40
Brookside Park	28,04	26,33		0,079	1,49	»
Branla	25	25	PT	0,041	1,	»
			MAX.	0,099	1,49	1,57
			min.	0,011	1,	1,33
			moy.	0,081	1,14	1,44

Pour toutes les voûtes articulées, sous route	MAX.	0,118	2,22	1,92
	min.	0,011	1,	1,12
	moy.	0,091	1,16	1,41

B. — PONTS SOUS CHEMIN DE FER

A VOIE NORMALE

Articulations sur plomb

Kempen (Arches latérales)	21 ^m 60	17 ^m 648	B	0,127	1,65	
	44,35	38,55		0,135	1,59	
Garching	33,95	28,90		0,121	1,61	

Articulations roulantes

en pierre

Chemnitz	43,10		B		1,14	1,36
Kubel	25	19,04	MEV	0,169	1,26	
Nesslau	24,82	25,66		0,151	1,27	1,27

en béton armé

Rothenburg	30	30,50	B	0,072	1,27	1,81
------------	----	-------	---	-------	------	------

en acier

Illerbeuren	59	57,164	B	0,112	1,27	
Kempen (Grandes arches)	64,50	50,60		0,148	1,37	1,48
	63,80					

§ 3. — JOINTS DE DILATATION

Au-dessus des voûtes inarticulées, on n'a que très exceptionnellement prévu des joints de dilatation.

Dans les voûtes articulées, les mouvements dûs aux variations de température sont plus grands : les joints de dilatation y sont nécessaires au-dessus des articulations.

Ces joints verticaux qui coupent les tympans sont d'aspect assez fâcheux⁵. On les dissimule, si on le peut.

TITRE III

QUELQUES ÉLÉMENTS DE COMPARAISON
ENTRE LES VOÛTES INARTICULÉES ET ARTICULÉES

§ 1. — PRIX DE REVIENT

Les voûtes articulées coûtent-elles moins que les inarticulées ?

Sans doute, elles sont plus minces. Mais les articulations sont chères, difficiles à placer.

Il n'est guère possible de comparer utilement les unes aux autres : les projets, les matériaux, les conditions locales, les prix des carrières, des ouvriers, les fondations, diffèrent trop.

Si on compare quelques voûtes qui semblent à peu près comparables⁶, on n'a

5. — Voir dans les monographies (Tome IV), les photographies des ponts de : Garching, p. 95, 97 ; Kempten, p. 119 ; Elise, p. 151 ; Illerbeuren, p. 159 ; Hochberg, p. 178 ; Mannheim, p. 207, 208.

6.					Prix	
Pont de :	Symbole	Matériaux	2a	σ	du m. q. en plan	du m. c. du solide circonscrit
VOÛTES ARTICULÉES						
Neckargartach	$\bar{A}^n_{1^{te}} (\geq 40m)^5$	B	5 v ^{tes} de 40m	1 7,75 à 1 9,14	170,1	15,6
Wallstrasse	$\bar{A}^1_{1^{te}} (\geq 40m)^3$	B	65m45	1 5,48	216,4	19,0
Neckarhausen	$\bar{A}^1_{1^{te}} (\geq 40m)^2$	B	59m40	1 11	284,4	37,2
Moulins-l.-Metz	$\bar{A}^n_{1^{te}} (\geq 40m)^8$	Bandeaux en PT Corps en B	44m et 2 v ^{tes} de 40m	1 7,72 et 1 8,37	227,1	24,2
Maximilien	$\bar{A}^n_{1^{te}} (\geq 40m)^6$	PT	2 v ^{tes} de 45m87	1 8,98	431,5	39,0
Illerbeuren	$\bar{A}^1_{1^{te}} Fr (\geq 40m)^1$	B	59m	1 5,82	274,9	21,7
Moyennes.....					267,4	26,1
VOÛTES INARTICULÉES						
Schweich	$\bar{A}^n_{1^{te}} (\geq 40m)^7$	B	3 v ^{tes} de 46m	1 7,45	135,2	13,0
Guggersbach	$\bar{A}^1_{1^{te}} (\geq 40m)^11$	B	50m20	1 6,11	156,6	15,6
Claix	$\bar{A}^1_{1^{te}} (\geq 40m)^5$	PT, MEV, MOV	52m	1 6,46	251,6	26,6
Boucieaut	$\bar{A}^n_{1^{te}} (\geq 40m)^2$	PT, MAV	5 v ^{tes} de 40m	1 8	259,7	21,3
Orléans	$\bar{A}^n_{1^{te}} (\geq 40m)^4$	PT, MAV	7 v ^{tes} de 43m85	1 7,56	482,2	39,2
Gour-Noir	$\bar{A}^1_{1^{te}} Fr (\geq 40m)^6$	PT, MEV	62m	1 3,73	383,2	22,3
Moyennes.....					278,1	23,0

pas l'impression qu'il y ait économie à articuler.

§ 2. — *MOUVEMENTS DE LA CLEF*

AU DÉCINTREMENT, AUX CHANGEMENTS DE TEMPÉRATURE

Dans les voûtes inarticulées, les sections d'appui et de clef restent dans le même plan : elles contrarient les mouvements de la clef.

Dans les voûtes articulées, elles se meuvent librement.

Ces mouvements y devraient être plus grands.

En comparant ce qu'indiquent nos tableaux synoptiques, on ne le constate guère.

Nombre de voûtes inarticulées, très bien faites, en excellents matériaux (par exemple, celles de Valence), ont tassé tout autant qu'un pont articulé d'intrados comparable.

C'est que les tassements dépendent d'une foule de causes qui masquent l'effet de l'articulation : forme de la voûte, — portée totale et entre rotules, — type de rotules, — matériaux (pierre, mortier), — soins dans l'exécution, — mode d'exécution (rouleaux, tranches), temps sur cintre, — époque du décintrement, — écart de température entre le clavage et le décintrement, — sécheresse ou humidité du cintre, de la voûte, — résistance des appuis, etc....

TITRE IV

QUELLES VOÛTES FAUT-IL ARTICULER ?

§ 1. — *LES VOÛTES ARTICULÉES, PLUS SOUPLES, SE PRÊTENT A DES MOUVEMENTS QUI TROUBLENT LES AUTRES. ELLES PEUVENT ÊTRE ACCEPTÉES SUR DES SOLS OU CONTRE DES APPUIS QUI CÈDENT.*

Dans les voûtes à 3 articulations, la courbe de pression est toujours fixée en trois points.

Elles supportent, sans fissures :

pendant la construction, les mouvements du cintre : tassement sous la charge, gonflement des bois par l'humidité, leur contraction par la sécheresse ;

puis, le tassement au décintrement ;

puis, l'ouvrage achevé, les mouvements au passage des surcharges ; — les montées et descentes dues aux élévations ou abaissements de température (mouvements qui n'augmentent pas leur travail) ; — le gonflement des voussoirs à l'imbibition, — leur contraction à la dessiccation ; — un mouvement des appuis

(culées ou piles) dû à un tassement du sol^{7, 8, 9}; — le recul d'une culée trop faible, la courbure élastique d'une culée trop haute¹⁰.

§ 2. — DISTRIBUTION GÉOGRAPHIQUE DES VOÛTES ARTICULÉES

Art. 1. — Pays où l'on n'a articulé que très exceptionnellement les voûtes. — Je connais seulement :

en France¹¹, les deux anneaux de 25^m du pont Branla¹², les 10 voûtes de 25 à 29^m43 des Ponts algériens de l'Oued Dar-el-Oued¹³, de l'Oued Amacin¹⁴, et de l'Oued Djemaï¹⁵;

en Autriche, les voûtes de 30^m des deux ponts de Tarvis¹⁶ et du pont de Forst¹⁷; aux États-Unis, la voûte de 28^m04 du pont de Brookside Park, à Cleveland¹⁸.

On a articulé :

en Italie : au poids mort seulement, la voûte de 70^m du pont de Morbegno¹⁹, les deux voûtes de 22^m du pont de Sinigaglia²⁰;

en Suisse : au poids mort seulement, les deux voûtes de 40^m du pont de la Coulouvrenière²¹ à Genève; la voûte de 18^m50 du pont sur la Vieille-Route à Lichtensteig²²; — et aussi sous les surcharges : les 2 voûtes en plein cintre de 25^m du viaduc sur la Sitter²³, encadrant la travée métallique du milieu; la voûte en arc de 24^m82 du pont de Nesslerau²⁴.

Art. 2. — Allemagne. — C'est en Allemagne qu'on a commencé à articuler les ponts et qu'on en articule le plus.

7. — A un arc de 13°, surbaissé à 1.7,86, à articulations roulantes en béton, la culée rive gauche avait, à la suite d'une inondation, tassé au point que le contact de clef ne se faisait plus qu'à l'arête supérieure.

On consolida la culée en mouvement; on remit la voûte sur cintre; on remplaça les blocs de clef qu'on fit se toucher plus bas qu'au milieu.

Deux ans après, on n'avait pas constaté de nouveau mouvement.

Deutsche Bauzeitung, 1908, 23 mai, p. 283 à 288; — 3 juin, p. 303 à 307 : « Die Anwendung von Gelenken bei Brückenbauten ». Communication faite au XI^e Congrès du « Deutschen Beton Vereins » tenu à Berlin en 1908, par M. l'Ing. dipl. A. Köhler, Directeur technique de la maison Windschild et Langelott, de Cossebaude près Dresde.

8. — Au pont de la Schwimmschule, à Steyr (arc en béton armé de 42^m à 1.16, à 3 articulations) la culée tassa beaucoup au décintrement. — La voûte ne souffrit pas.

Kersten. *Brücken in Eisenbeton*. — II « Bogenbrücken », p. 143.

9. — MM. Dyckerhoff et Widmann ont construit, en 1902, pour l'Exposition de Dusseldorf, un pont en béton à 3 articulations roulantes en granit (Tableau synoptique, p. 266).

Bien que le sol de fondation fût peu résistant, le pont se comporta très bien pendant 6 ans.

Avant de le démolir, en octobre 1908, on l'essaya à outrance, en chargeant une 1/2 voûte.

Des fissures se produisirent sous les efforts de :

196° à la compression dans la 1/2 voûte chargée; 30° à la tension, dans la 1/2 voûte non chargée.

Les articulations de clef seules s'exfolièrent.

On dut faire sauter le pont.

Dr Ing. F. von Emperger. — *Handbuch für Eisenbetonbau*, 2^e édition, vol. I, p. 214 à 230.

10. — Voir Tome III, Livre II, Titre III, chap. IV, § III, art. 4.

11. — M. Mesnager a articulé, en réduisant la section en 3 points, les voûtes en béton armé : 1^e - du Canal Saint-Martin à Paris (Annales des Ponts et Chaussées, 1910, vol. IV, p. 176); 2^e - d'Amélie-les-Bains (arche de 44^m à 1.6,66) (Génie Civil, 27 août 1910).

12 à 24. — Voir, pour ces ponts, les Tableaux synoptiques, Tome IV, pages 261, 264, 266, 269, 271.

Voici, par État, le nombre des voûtes allemandes $\geq 40^m$, articulées ou non :

Voûtes $\geq 40^m$:		articulées				inarticulées				
		Pont de (On a souligné les ponts sous rails)	Matériaux	Nombre d'ou- vrages	de voûtes $\geq 40^m$	Pont de (On a souligné les ponts sous rails)	Matériaux	Nombre d'ou- vrages	de voûtes $\geq 40^m$	
Nord et de l'Est	du	Prusse rhénane				Mehring ²⁵ Schweich Trittenheim Longuich	B	4	13	
		Hesse	Gräveneck	B	1	1				
		Hanovre	Grasdorf	B	1	1				
	Saxe ²⁶	Gohren ²⁷	MOV	2	2	Kleinwolmsdorf	MEV	3	3	
		<u>Chemnitz</u>	B			sur la Chemnitz ²⁷ Plauen ²⁷	MOV			
	de	Silésie				Wengern ²⁷ Ziegenhals Michelau Neuhammer Schwusen Kupferhammer Krappitz Gross-Kunzendorf	MOV	8	8	
	Total			4	4	Total			15	24
	Sud	Lorraine	Malling	B	2	6				
			Moulins-lez-Metz	Band* MEV Corps : B						
Grand Duché de Bade		Mannheim	Band* PT Corps : B	1	2	Weisenbach Gutach Schwändelholzobel Langenbrand	B PT	4	4	
Wurtemberg		Höfen	PT			Teinach ²⁸	PT	2	2	
		Marbach	Band* PT Corps MEV			Hutzenbach				
		Baiersbrunn	PT	7	12					
		Munderkingen								
		Wallstrasse	B							
Hohen- zollern		Inzigkofen	B	2	2					
	Neckarhausen									
Bavière	1 ^{re} de Munich ²⁹	Prince-Régent Max-Joseph Maximilien Cornélius	PT							
		Reichenbach	Bandeaux PT	12	13					
		Wittelsbach	Corps B							
		Elise ²⁹ <u>Garching</u> <u>Kempten</u> <u>Illerbeuren</u>	B							
Total			24	35	Total			6	6	

25. — Projet et Entreprise : MM. Liebold et C^{ie}, d'Holzminden (Brunswick).

26. — C'est en Saxe que Köpcke a pour la 1^{re} fois articulé des voûtes. 27. — Projet et Entreprise : MM. Liebold et C^{ie}, de Langebrück (Saxe).

28. — C'est parce qu'on a observé des fissures au décintrement, qu'on a articulé, depuis, la plupart des grandes voûtes du Wurtemberg.

29. — Projet et Entreprise : MM. Sager et Woerner, de Munich.

§ 3. — QUELLES VOÛTES CONVIENT-IL D'ARTICULER ?

Art. 1. — Voûtes sur appui invariable.

A. - En maçonnerie appareillée : pas d'articulations. — Soit à construire une voûte sur un appui rigoureusement invariable, par exemple sur du rocher.

Dans la construction, on prévient les fissures sur cintre en y ménageant des vides aux bonnes places ; les fissures au décintrement, en matant énergiquement les joints vides et en la laissant longtemps sur cintre.

On n'y a d'ailleurs rien à craindre plus tard des changements de température : on observera, au-dessus des reins, des fentes dans les tympans, le parapet, mais non dans la voûte.

B. - En béton : il est prudent d'articuler au moins les arcs très tendus. Mais, au lieu d'une voûte appareillée, supposons une voûte en béton.

Une voûte en maçonnerie est divisée par ses joints ; les efforts, par conséquent les raccourcissements ou allongements, leur sont à peu près normaux : s'il y a fissure, c'est suivant un joint.

Dans un monolithe en béton, les mouvements ne sont ni localisés ni régulés par l'appareil. Il peut se produire des écrasements, des fissures irrégulières aux angles rentrants, aux changements de forme, — spécialement entre une culée massive et la naissance d'un arc très surbaissé.

On aura évité les fissures sur cintre en construisant par tranches. Mais on n'est pas garanti des fentes au décintrement, aux changements de température.

Sans doute, on a construit sans les articuler de grandes voûtes en béton ; toutefois elles sont récentes, et peu sont très surbaissées³⁰.

On en a articulé de très grandes³⁰, les unes peu surbaissées, — ce n'était guère

30.

VOÛTES EN BÉTON $\geq 40^m$

Date	Pont de :	Pays	Intrados Voie portée	Por- tée	Sur- baisse- ment	Date	Pont de :	Pays	Intrados Voie portée	Por- tée	Sur- baisse- ment
1° INARTICULÉES						2° ARTICULÉES (Suite)					
1870-73	Pont-sur-Yonne	France	E	40 ^m	1 5	1898-1900	Chemnitz	E Fr	43 ^m 10	»	
1885	Weisenbach	Allem ^{em}	A	40	1 8	1899-1900	Neckarhausen			59.40	1 11
1901-03	Big-Muddy	Et ^{re} -Unis	E	42.67	1 4.67	1899-1900	Grasdorf			40	1 8.88
1903-04	Mehring	Allem ^{em}	A	46	1 7.45	1899-1901	Malling	e	A r ^{te}	40	1 8.56
1905-06	Schweich		A			1901-03	Hochberg	n		40	1 7.41
1904-08	Connecticut Av ^r	Et ^{re} -Unis	C	45.72	1 2	1902-03	Reichenbach	cc		44	1 10
1906	Guggersbach	Suisse	A	50.20	1 6.11	1903-04	Illerbeuren	a	A Fr	59	1 5.82
1906-08	Walnut-Lane	Et ^{re} -Unis	AA	70.71	1 3.32	1903-05	Neckargartach			40	1 9.14
1907-08	Trittenheim	Allem ^{em}	A	46	1 7.45	1904-05	Wallstrasse	m		65.45	1 5.48
1908-09	Edmondson Av ^r	Et ^{re} -Unis	E	42.37	1 3.17	1904-05	Wittelsbach	e	A r ^{te}	44	1 10
1908-10	Rocky River		AA	85.34	1 3.46	1904-05	Moulins-L-Metz			40	1 7.72
1909-11	Longuich	Allem ^{em}	A	46	1 7.45	1905-08	Mannheim	l		59.50	1 10.56
				43	1 8.05	1906	Kempton	l	A Fr	64.50	1 2.34
						1906-07	Elise		A r ^{te}	47.50	1 9.88
1893	Munderkingen	Allem ^{em}		59	1 10	1907-08	Garching		E Fr	44.35	1 3.32
1895	Inzigkofen		A	47.90	1 9.81	1911-12	Gräveneck		A r ^{te}	48	1 6.24
1895-96	Coulouvrenière	Suisse		40	1 7.41						

nécessaire, — les autres très surbaissées : pour celles-ci, grandes ou petites, à peine de fissures graves, il le fallait.

Art. 2. — Vôtes sur appui qui peut céder : articuler au moins les très surbaissées. — La grande voûte peut être imposée par motif d'aspect, sur terrain un peu compressible^{31, 32} : d'ailleurs, il y a quelquefois des surprises en fondation.

On peut être forcé d'appuyer contre une haute pile-culée, qui se courbera sous la poussée, les voûtes d'accès à une travée métallique³³, de jeter une voûte plate d'élégissement entre deux grandes voûtes, qui oscilleront sous les variations de température³⁴.

Dans tous les cas où les appuis de la voûte peuvent reculer, s'enfoncer inégalement, il convient vraiment d'articuler.

Une voûte articulée est souple, flexible : il n'est plus nécessaire de l'appareiller : le béton y suffit.

Art. 3. — Réserves sur la durée des articulations métalliques. Les premières grandes voûtes articulées (à partir de 1885) ne l'étaient qu'au poids mort : on condamnait les articulations avant l'ouverture à la circulation, ce qui préservait de la rouille les rotules en fonte, en acier.

C'est seulement de 1895 que datent les premières grandes voûtes articulées de façon permanente.

Il y a donc encore lieu de faire toutes réserves sur la durée et le fonctionnement de tout système d'articulation, — sur la conservation d'articulations métalliques qu'il est très difficile d'entretenir, impossible de remplacer.

31. — Ponts sur pilotis de Vizille, Tome I, p. 93 ; de Turin, Tome III, p. 199.

32. — Pont de Chester, Tome III, p. 29.

33. — Viaduc métallique de Kubel sur la Sitter. — Arches d'accès de 25^m butant contre une pile-culée de 87^m de hauteur. — On les a articulées (Tableau synoptique, Tome IV, p. 266).

34. — Au pont des Amidonniers, Tome I, p. 193, avant d'être chargées de la dalle en béton armé, les voûtes d'élégissement en ellipse de 11^m60 et de 10^m10 au 1/4 s'ouvraient :

	à la clef	aux retombées
en été.....	à l'extrados	à l'intrados
en hiver.....	à l'intrados	à l'extrados

Elles s'étaient articulées elles-mêmes.

PONTS DÉCRITS DANS LE TOME IV

INDEX ALPHABÉTIQUE

PONT	Rivière ou voie traversée	Pays	Symbole dans les séries $\geq 40^m$	Pages	
				Tableau synoptique	Mono- graphie
d'Altwasser, à Neu- bourg	Danube	Bavière	»	261	»
de Baiersbronn	Murg	Wurtemberg	$\bar{A}^1 r^{te} (\geq 40^m)^3$	38	48
de Baiersbronn	Forbach		»	260	»
Branla	Saône	France, -Rhône	»	269	»
de Britz	Canal	Prusse	»	266	»
	de Teltow				
de Brookside Park, à Cleveland	Big Creek	États-Unis, - Ohio	»	269	»
de Burzweiler	Doller	Alsace	»	269	»
sur la Cecina	Cecina	Italie	»	264	»
de Chemnitz	Chemnitz	Saxe	$\bar{E}^n r^{te} (\geq 40^m)^1$	104	107
de Brookside Park, à Cleveland (cité plus haut, sous la lettre B)	Big Creek	Etats-Unis, - Ohio	»	269	»
Cornélius, à Munich.	Isar	Bavière	$\bar{A}^n r^{te} (\geq 40^m)^3$	166	180
de la Coulouvrenière, à Genève	Rhône	Suisse	$\bar{A}^n r^{te} (\geq 40^m)^1$	78	81
de Dennhausen	Fulda	Prusse, Hesse	»	266	»
de Dresde (Chemin de fer)	Elbe	Saxe	»	266	»
Frédéric-Auguste, à Dresde (Route)	Elbe	Saxe	»	266	»
de Durbuy	Ourthe	Luxembourg belge	»	261	»
de Dusseldorf	»	Prusse rhénane	»	266	»
d'Ehingen	Danube	Wurtemberg	»	260	»
d'Ehingen (Passage su- périeur)	»		»	260	»
Élise, à Neubourg	Danube	Bavière	$\bar{A}^1 r^{te} (\geq 40^m)^4$	126	151

PONT	Rivière ou voie traversée	Pays	Symbole dans les séries $\geq 40^m$	Pages	
				Tableau synoptique	Mono- graphie
de Forst	Etsch	Autriche, - <i>Tyrol</i>	»	264	»
Frédéric-Auguste , à Dresde, (<i>cité plus haut, sous la lettre D</i>).....	Elbe	<i>Saxe</i>	»	266	»
de Garching	Alz	<i>Bavière</i>	\bar{E}^n 1 ^{re} ($\geq 40^m$) 1	92	95
de Gemrigheim	Neckar	<i>Wurtemberg</i>	»	260	»
de la Coulouvrenière, à Genève (<i>cité plus haut, sous la lettre C</i>).....	Rhône	<i>Suisse</i>	\bar{A}^n 1 ^{re} ($\geq 40^m$) 1	78	81
de Göhren	Zwickenauer Mulde	<i>Saxe</i>	\bar{A}^1 1 ^{re} ($\geq 40^m$) 2	124	139
de Grasdorf	Leine	<i>Hanovre</i>	\bar{A}^1 1 ^{re} ($\geq 40^m$) 1	124	129
de Gräveneck	Lahn	<i>Prusse, -Hesse</i>	\bar{A}^1 1 ^{re} ($\geq 40^m$) 1	210	213
de Halden \ arches centrales / arches latérales	Lenne	<i>Westphalie</i>	»	266 261	» »
de Hauconcourt	Moselle	<i>Lorraine allemande</i>	»	266	»
de Hochberg	Neckar	<i>Wurtemberg</i>	\bar{A}^n 1 ^{re} ($\geq 40^m$) 2	166	177
de Höfen	Enz	<i>Wurtemberg</i>	\bar{A}^1 1 ^{re} ($\geq 40^m$) 1	38	41
d' Illerbeuren	Iller	<i>Bavière</i>	\bar{A}^1 1 ^{re} ($\geq 40^m$) 1	156	159
d' Imnau	Eyach	<i>Hohenzollern</i>	»	266	»
d' Inzigkofen	Danube	<i>Hohenzollern</i>	\bar{A}^1 1 ^{re} ($\geq 40^m$) 1	220	225
de Kempton \ arches centrales / arches latérales	Iller	<i>Bavière</i>	\bar{A}^1 1 ^{re} ($\geq 40^m$) 1, 2, 3	112 261	115 »
de Kubel	Sitter	<i>Suisse</i>	»	266	»
de Langenhennersdorf	»	<i>Saxe</i>	»	266	»
de Las Segadas	Nalon	<i>Espagne, - Asturies</i>	»	»	249
sur le Lein	Lein	<i>Wurtemberg</i>	»	260	»
sur la Vieille-Route, à Lichtensteig	Vieille-Route	<i>Suisse</i>	»	260	»

PONT	Rivière ou voie traversée	Pays	Symbole dans les séries 40m	Pages	
				Tableau synoptique	Mono- graphie
de Malling	Moselle	<i>Lorraine</i>	$\bar{A}^n_{1-3} r^{te} (\geq 40m)_1$	166	175
de Mannheim	Neckar	<i>Grand Duché de Bade</i>	$\bar{A}^n_{1-3} r^{te} (\geq 40m)_9$	172	206
de Marbach	Murr	<i>Wurtemberg</i>	$\bar{A}^1_{1-5} r^{te} (\geq 40m)_2$	38	45
Maximilien } à Max-Joseph } Munich	Isar	<i>Bavière</i>	$\bar{A}^n_{1-3} r^{te} (\geq 40m)_6$	168	192
			$\bar{A}^1_{0-0} r^{te} (\geq 40m)_4$	222	242
de Miltenberg	Mein	<i>Bavière</i>	»	261	»
de Morbegno	Adda	<i>Italie, - Valtelline</i>	$\bar{A}^1_{1-5} r^{te} (\geq 40m)_1$	62	65
de Moulins-lez-Metz ...	Moselle	<i>Lorraine</i>	$\bar{A}^n_{1-3} r^{te} (\geq 40m)_8$	170	202
de Mühlbach	»	<i>Bavière</i>	»	261	»
de Mühlheim	Neckar	<i>Wurtemberg</i>	»	260	»
de Munderkingen	Danube	<i>Wurtemberg</i>	$\bar{A}^1_{1-5} r^{te} (\geq 40m)_1$	52	55
de Munich { Cornélius... Maximilien... (cités aussi) { Max-Joseph... sous les lettres { Prince-Régent... C, M, P, R, W) { Reichenbach... Wittelsbach... }	Isar	<i>Bavière</i>	$\bar{A}^n_{1-3} r^{te} (\geq 40m)_2$	166	180
			$\bar{A}^n_{1-3} r^{te} (\geq 40m)_6$	168	192
			$\bar{A}^1_{0-0} r^{te} (\geq 40m)_3$	222	242
			$\bar{A}^1_{0-0} r^{te} (\geq 40m)_3$	222	239
			$\bar{A}^n_{1-3} r^{te} (\geq 40m)_4$	168	183
			$\bar{A}^n_{1-3} r^{te} (\geq 40m)_7$	170	199
de Neckargartach	Neckar	<i>Wurtemberg</i>	$\bar{A}^n_{1-3} r^{te} (\geq 40m)_5$	168	186
de Neckarhausen	Danube	<i>Hohenzollern</i>	$\bar{A}^1_{0-0} r^{te} (\geq 40m)_2$	220	232
de Nesslau	Thur	<i>Suisse</i>	»	266	»
d'Altwasser, à Neubourg (citée plus haut, sous la lettre A).....	Danube	<i>Bavière</i>	»	261	»
Elise, à Neubourg (citée plus haut, sous la lettre E).....			$\bar{A}^1_{1-3} r^{te} (\geq 40m)_4$	126	151
de Neuneck	Glatt	<i>Wurtemberg</i>	»	260	»
sur l'Oued Amacin	Oued Amacin		»		
sur l'Oued Dar el Oued ...	Oued Dar el Oued	<i>Algérie, Constantine</i>	»	261	»
sur l'Oued Djemaa	Oued Djemaa		»		

PONT	Rivière ou voie traversée	Pays	Symbole dans les séries $\geq 40^m$	Pages	
				Tableau synoptique	Mono- graphie
du Prince-Régent , à Munich (<i>cité plus haut, sous la lettre M</i>).....	Isar	Bavière	$\bar{A}^1_{\text{oc-o}} r^{te} (\geq 40^m)^3$	222	239
de Rechtenstein	Danube	Wurtemberg	»	260	»
de Reichenbach $\left. \begin{array}{l} \text{Gr}^{\text{de}} \text{ arche} \\ \text{à Munich (cité plus} \\ \text{haut, sous la lettre M)} \end{array} \right\} \begin{array}{l} \\ \text{Pl}^{\text{es}} \text{ arches} \end{array}$	Isar	Bavière	$\bar{A}^n_{\text{t-t}} r^{te} (\geq 40^m)^4$	168 261	183 »
de Rothenburg	Neisse	Silésie	»	266	»
de Sauvage	Moselle	Lorraine allemande	»	266	»
de Sigmaringen	Danube	Hohenzollern	»	250	253
de Sinigaglia	Rosso	Italie	»	271	»
de Kubel, sur la Sitter (<i>cité plus haut, sous la lettre K</i>).....	Sitter	Suisse	»	266	»
de Tarvis	Schlitza	Autriche, - Carinthie	»	264	»
de Nesslerau, sur la Thur (<i>cité plus haut, sous la lettre N</i>).....	Thur	Suisse	»	266	»
de la Wallstrasse, à Ulm	»	Wurtemberg	$\bar{A}^1_{\text{t-t}} r^{te} (\geq 40^m)^3$	124	143
entre Ulm et Neu-Ulm	Danube		»	261	»
de la Wallstrasse , à Ulm (<i>cité plus haut, sous la lettre U</i>).....	»	Wurtemberg	$\bar{A}^1_{\text{t-t}} r^{te} (\geq 40^m)^3$	124	143
de Wildbad	Enz		»	260	»
de Wittelsbach , à Mu- nich (<i>cité plus haut, sous la lettre M</i>).....	Isar	Bavière	$\bar{A}^n_{\text{t-t}} r^{te} (\geq 40^m)^7$	170	199

TABLE DES MATIÈRES

DU TOME IV

AVERTISSEMENT (<i>déjà donné en tête des Tomes I, II, III</i>).....	Pages I
1. Divisions de l'ouvrage. — 2. Classement des Ponts en séries. — 3. Classement dans chaque série par date d'exécution. — 4. Tableaux synoptiques. — Monographies (p. I). — 5. Suite, dans chaque monographie, de figures, planches, photographies, renvois, sources. — 6. Désignation abrégée des matériaux aux tableaux synoptiques et aux dessins (p. II). — 7. Unités adoptées pour comparer les quantités et dépenses. — A. <i>Cintres</i> . — B. <i>Ouvrage</i> (p. III).	

2^{ME} PARTIE. — VOÛTES ARTICULÉES

INTRODUCTION A L'ÉTUDE DES VOÛTES ARTICULÉES.....	3
---	---

LIVRE I. — POURQUOI ET COMMENT ON A ARTICULÉ DES VOÛTES

TYPES D'ARTICULATIONS. — *PRINCIPES*. — *FORMULES*. — *EXPÉRIENCES*
HISTORIQUE. — CLASSEMENT DES VOÛTES ARTICULÉES

TITRE I. — POURQUOI ON A ARTICULÉ DES VOÛTES	7
--	---

TITRE II. — PROPRIÉTÉ DE LA MATIÈRE QUI PERMET LES ARTICULATIONS.....	7
--	---

TITRE III. — COMMENT ON A ARTICULÉ LES VOÛTES : QUATRE TYPES D'ARTICULATIONS	
---	--

CHAPITRE I. — ARTICULATIONS SUR PLOMB

§ 1. PRINCIPE.....	8
§ 2. PROPRIÉTÉS DU PLOMB.....	8
§ 3. COMMENT UNE BANDE DE PLOMB RÉALISE UNE ARTICULATION.....	10

TITRE III. — TYPES D'ARTICULATIONS *(Suite)***CHAPITRE II. — ARTICULATIONS ROULANTES**

	Pages.
§ 1. PRINCIPE.....	10
§ 2. FORMULES THÉORIQUES DONNANT :	
1° LA LARGEUR EN 0°01 DE LA BANDE DE CONTACT ;	
2° LE TRAVAIL MAXIMUM PAR 0°01 ² AU CONTACT.	
Art. 1. Notations et unités, employées dans les formules.....	10
Art. 2. Formules de Hertz.....	11
Art. 3. Formules de Köpcke.....	12
Art. 4. Formules de Barkhausen.....	13
§ 3. EXPÉRIENCES SUR DES ARTICULATIONS ROULANTES EN PIERRE, EN BÉTON.....	14
Art. 1. Expériences de M. Bach sur des blocs de granit et de grès, l'un convexe, l'autre plan, pour vérifier les formules de Hertz.	
A. <i>Ce qui a été observé</i>	14
B. <i>Ce qui résulte des expériences</i>	16
Art. 2. Expériences faites à Berlin et à Dresde sur des rotules en béton.....	17
Art. 3. Expériences de M. Krüger sur des rotules en béton (1906).....	18
Art. 4. Expériences faites au Laboratoire de l'Ecole des Ponts et Chaussées, à Paris, sur des rotules en porphyre, en calcaire, en béton (1911-1912).....	20
Art. 5. Que conclure des formules et des essais de laboratoire pour déterminer les dimensions des sommiers ?.....	21

CHAPITRE III. — ARTICULATIONS TOURNANTES

§ 1. PRINCIPE.....	21
§ 2. CALCULS.	
Art. 1. Diamètre du tourillon.....	21
Art. 2. Dimensions des balanciers.....	22
§ 3. ESSAIS DE M. LE PROFESSEUR FÖPPL, A MUNICH, AU LABORATOIRE D'ESSAIS DE MATÉRIAUX (1901).....	22
§ 4. ROTATIONS AUTOUR DES APPUIS, MOUVEMENTS DE LA CLEF, POUR UN CHANGEMENT DE TEMPÉRATURE ET UN DÉPLACEMENT DES APPUIS.	
Art. 1. Comment change la ligne des 3 articulations.....	23
Art. 2. Conventions pour les signes.....	23
Art. 3. Calcul des rotations.....	23
Art. 4. Mouvements de l'articulation de clef :	
1° vertical, 2° horizontal.....	24
Art. 5. Formules.....	25

CHAPITRE IV. — ARTICULATIONS A GENOU...... 26

TITRE IV. — HISTORIQUE.

ARTICULER LES VOÛTES EST UNE IDÉE FRANÇAISE

	Pages.
§ 1. C'EST DUPUIT QUI A ÉMIS LE PREMIER (EN 1870) L'IDÉE D'ARTICULER LES VOÛTES.....	26
§ 2. APPLICATION EN ALLEMAGNE, APRÈS 1880, DE L'IDÉE DE DUPUIT.....	28

TITRE V. — CLASSEMENT DES VOÛTES ARTICULÉES

§ 1. CLASSEMENT DES VOÛTES ARTICULÉES SUIVANT LE TYPE D'ARTICULATION.....	28
§ 2. DISTINCTION ENTRE LES VOÛTES « SEMI-ARTICULÉES » (C-A-D ARTICULÉES TEMPORAIREMENT, AU POIDS MORT SEULEMENT, LES ARTICULATIONS ÉTANT CONDAMNÉES AVANT L'OUVERTURE À LA CIRCULATION), ET LES VOÛTES « ARTICULÉES » (C-A-D DE FAÇON PERMANENTE, SOUS LE POIDS MORT, LES SURCHARGES, POUR LES VARIATIONS DE TEMPÉRATURE,.....)	28
§ 3. SÉRIES DANS LESQUELLES ONT ÉTÉ CLASSÉES LES VOÛTES ARTICULÉES $\geq 40^m$	29

LIVRE II. — DESCRIPTION DES PONTS QUI ONT OU AVAIENT
DES VOÛTES ARTICULÉES DE 40^m ET PLUS DE PORTÉE.
TABLEAUX SYNOPTIQUES. — MONOGRAPHIES.

1° -- VOÛTES SEMI-ARTICULÉES

ARTICULATIONS SUR PLOMB

ARCS TRÈS SURBAISSÉS

PONTS A UNE SEULE GRANDE ARCHE SOUS ROUTE

SÉRIE $\overline{A}^1_{\frac{1}{2}}$ $r^{te} (\geq 40^m)$

TABLEAU SYNOPTIQUE.....	38
MONOGRAPHIES :	

$\overline{A}^1_{\frac{1}{2}}$ $r^{te} (\geq 40^m)$ 1. — Pont sur l'Enz, près de Hofen (ALLEMAGNE, — Wurtemberg) (1885).....	41
--	----

TEXTE. — 1. Articulations. — 2. Trottoirs (p. 41). — 3. Chape. — 4. Ciment employé. — 5. Cintre. — 6. Fondations. — 7. Exécution de la voûte (p. 42). — 8. Décintrement. — 9. Variation de l'épaisseur des lames de plomb. — 10. Comment on a condamné les articulations (p. 43). — 11. Épreuves. — 12. Dépenses. — 13. Personnel. — Source (p. 44).

DESSINS. — f_1 . Élévation. — f_2 . Coupe en long et cintre. — f_3 . Coupe en travers (p. 41).

VOÛTES SEMI-ARTICULÉES ARTICULATIONS SUR PLOMB

ARCS TRÈS SURBAISSÉS

(Suite)

PONTS A UNE SEULE GRANDE ARCHE SOUS ROUTE

SÉRIE \bar{A}^1 r^{te} ($\geq 40^m$) (Suite)

	Pages
\bar{A}^1 r ^{te} ($\geq 40^m$) ² . — Pont sur la Murr, près de Marbach (ALLEMAGNE, - Wurtemberg) (1886-1887)	45
<i>TEXTE.</i> — 1. Articulations. — 2. Plinthes. — 3. Chape. — 4. Matériaux des culées (p. 45). — 5. Cintre. — 6. Exécution de la voûte. — 7. Décintrement. — 8. Comment on a condamné les articulations (p. 46). — 9. Dépenses. — 10. Personnel. — <i>SOURCE</i> (p. 47).	
<i>DESSINS.</i> — f ₁ . Élévation. — f ₂ . Coupe en long et cintre. — f ₃ . Coupe en travers (p. 45). — f ₄ . Mouvements des joints d'articulation au décintrement (p. 46).	
\bar{A}^1 r ^{te} ($\geq 40^m$) ³ . — Pont sur la Murg, près de Baiersbronn (ALLEMAGNE, - Wurtemberg) (1889)	48
<i>DESSINS.</i> — f ₁ . Élévation. — f ₂ . Coupe en long et cintre. — f ₃ . Coupe en travers (p. 48).	

ARTICULATIONS A GENOU

ARCS TRÈS SURBAISSÉS

PONTS A UNE SEULE GRANDE ARCHE SOUS ROUTE

SÉRIE \bar{A}^1 r^{te} ($\geq 40^m$)

TABEAU SYNOPTIQUE	52
MONOGRAPHIES :	
\bar{A}^1 r ^{te} ($\geq 40^m$) ¹ . — Pont sur le Danube, à Munderkingen (ALLEMAGNE, - Wurtemberg) (1893)	55
<i>TEXTE.</i> — 1. Pourquoi on a fait la voûte en béton. — 2. Courbes d'intrados et d'extrados (p. 55). — 3. Articulations. — 4. Joints de dilatation dans les tympans. — 5. Parements (p. 57). — 6. Chaussée et trottoirs. — 7. Matériaux. — A. <i>Composition du béton.</i> — B. <i>Béton de la voûte.</i> — 8. Fondations (p. 58). — 9. Exécution de la voûte. — 10. Mouvement des rotules des retombées. — II. Tassements de la clef après le clavage (p. 59). — 12. Comment on a condamné les articulations. — 13. Dépenses. — 14. Quelques prix d'unité. — 15. Personnel. — <i>SOURCES</i> (p. 60).	
<i>DESSINS.</i> — f ₁ . Élévation amont. — f ₂ . Demi-coupe en long rive gauche, et cintre. — f ₃ . Culée rive droite. — Coupes en travers : f ₄ . aux retombées, — f ₅ . à la clef — Articulations : f ₆ , f ₇ , f ₈ . Rotule et caisson ; — f ₉ . Rotule (p. 56).	
<i>PHOTOGRAPHIES.</i> — Φ_1 . (p. 55). — Φ_2 . (p. 57).	

VOÛTES SEMI-ARTICULÉES ARTICULATIONS A GENOU

ARCS TRÈS SURBAISSÉS

(Suite)

PONTS A UNE SEULE GRANDE ARCHE
SOUS CHEMIN DE FER A VOIE NORMALESÉRIE $\bar{A}^1 F^r (\geq 40^m)$

Pages.

TABLEAU SYNOPTIQUE.....	62
MONOGRAPHIES :	

$\bar{A}^1 F^r (\geq 40^m)^1$. — Pont sur l'Adda, près de Morbegno (ITALIE, — Valteline) (1902-1903).....	65
--	----

TEXTE. — 1. Pourquoi on a fait une grande voûte (p. 65). — 2. Aspect. — 3. Intrados. — 4. Extradados (p. 67). — 5. Articulations. — 6. Dispositif permettant aux tympans de suivre les mouvements de la grande voûte (p. 68). — 7. Calcul des efforts. — 8. Cintre (p. 70). — 9. Exécution de la voûte. — 10. Décintrement et achèvement. — 11. Épreuves (p. 72). — 12. Effet des changements de température. — A. Mouvements de la voûte (p. 73). — B. Variation du travail par $0^m \overline{OI}^2$. — 13. Personnel (p. 74). — SOURCES (p. 75).

DESSINS. — f_1 . Élévation amont. — f_2 . Coupe en long (p. 66). — Articulations de la grande voûte : f_3 . Clef, — f_4 . Retombées (p. 68). — Articulations des voûtes d'évidement au-dessus des retombées de la grande voûte. Joints vides dans les tympans : f_5 . Élévation, — f_6 . Coupe en long (p. 69). — f_7 . Pressions maxima à l'intrados et à l'extrados (p. 70). — Cintre : f_8 . Élévation, — f_9 . Coupe en travers : — f_{10} , f_{11} . Appuis, — f_{12} . Coins de décintrement (p. 71). — f_{13} . Exécution du 1^{er} rouleau. — f_{14} . Épreuves : Position des appareils (p. 72). — Effet des changements de température : f_{15} , f_{16} . Emplacement des thermomètres, — f_{17} . Graphique des températures, — f_{18} . Variation du niveau du parapet, à la clef (p. 73).

PHOTOGRAPHIES. — Φ_1 . (p. 65). — Φ_2 . (p. 67). — Φ_3 , Φ_4 . Avant qu'on ait condamné les articulations (p. 68). — Φ_5 . Voûtes d'évidement articulées au-dessus des retombées de la grande voûte (p. 69).

PONTS A PLUSIEURS GRANDES ARCHES SOUS ROUTE

SÉRIE $\bar{A}^n F^{te} (\geq 40^m)$

TABLEAU SYNOPTIQUE.....	78
MONOGRAPHIES :	

$\bar{A}^n F^{te} (\geq 40^m)^1$. — Pont de la Coulouvrenière, sur le Rhône, à Genève (SUISSE) (1895-1896).....	81
--	----

TEXTE. — 1. Articulations (p. 81). — 2. Voûtes d'évidement. — 3. Matériaux. — A. Béton. — A_1 . Grandes voûtes. — A_2 . Culées. — B. Parements des têtes. — 4. Fondation de la culée rive gauche. — 5. Voûtes (p. 83). — 6. Décintrement. — A. Grande arche rive droite. — B. Grande arche rive gauche (p. 84). — 7. Épreuves. — 8. Dates. — 9. Quantités (p. 85). — 10. Personnel. — SOURCES (p. 86).

DESSINS. — f_1 . Ensemble, amont. — f_2 . Grande voûte rive droite. — f_3 . Demi-coupe en long et cintre de la grande voûte rive gauche. — f_4 . Demi-coupe en travers aux retombées. — Articulations : f_5 . Rotule et caisson, — f_6 . Rotule (p. 82). — f_7 . Division des grandes voûtes en tranches (p. 83).

PHOTOGRAPHIE. — Φ_1 (p. 81).

2° -- VOÛTES ARTICULÉES (DE FAÇON PERMANENTE)

ARTICULATIONS SUR PLOMB

ELLIPSES

PONTES A PLUSIEURS GRANDES ARCHES
SOUS CHEMIN DE FER A VOIE NORMALESÉRIE $E_{\text{II}}^n \text{Fr}$ ($\geq 40^m$)

TABLEAU SYNOPTIQUE.....	Pages.
MONOGRAPHIES :	92

$E_{\text{II}}^n \text{Fr}$ ($\geq 40^m$) ¹ . — Pont sur l'Alz, à Garching (ALLEMAGNE, — Bavière) (1907-1908).....	95
--	----

TEXTE. — 1. Quelques observations (p. 95). — 2. Articulations sur plomb (p. 97). —
3. Effort limite admis sur les sommiers en béton. — 4. Résistance du béton. —
5. Cintre (p. 98). — 6. Fondations. — 7. Personnel. — SOURCES (p. 99).

DESSINS. — f_1 . Ensemble. — f_2 . Arche centrale. — f_3 . Coupe en long. — f_4 . Coupe
en travers sur l'axe d'une pile. — f_5 . Plan au-dessus d'une pile. — f_6 . Couronne-
ment (p. 96). — Articulations. Bandes de plomb et sommiers : f_7 . Clef, — f_8 . Retom-
bées (p. 97). — Cintre : f_9 . Élévation, — f_{10} . Coupe en travers (p. 98).

PHOTOGRAPHIES. — Φ_1 (p. 95). — Φ_2 (p. 97).

ARTICULATIONS ROULANTES

ELLIPSES

PONTES A PLUSIEURS GRANDES ARCHES
SOUS CHEMIN DE FER A VOIE NORMALESÉRIE $E_{\text{II}}^n \text{Fr}$ ($\geq 40^m$)

TABLEAU SYNOPTIQUE.....	104
MONOGRAPHIES :	

$E_{\text{II}}^n \text{Fr}$ ($\geq 40^m$) ¹ . — Pont sur la Chemnitz, à Chemnitz (ALLEMAGNE, — Saxe) (1898-1900).....	107
---	-----

TEXTE. — 1. Matériaux. — 2. Articulations et joints de dilatation. — 3. Béton.
Composition. Efforts (p. 108). — 4. Cintre. — 5. Épreuve de la grande voûte. —
6. Personnel. — SOURCES (p. 109).

DESSINS. — f_1 . Ensemble (p. 107). — Grande voûte : f_2 . Élévation, — f_3 . Coupe en
long (p. 108). — Cintre : f_4 . Élévation, — f_5 . Coupe en travers (p. 109).

PHOTOGRAPHIE. — Φ_1 (p. 107).

VOÛTES ARTICULÉES ARTICULATIONS ROULANTES (Suite)

ARCS PEU SURBAISSÉS

PONTS A UNE SEULE GRANDE ARCHE
SOUS CHEMIN DE FER A VOIE NORMALESÉRIE \bar{A}^1 r^r ($\geq 40^m$)

Pages.

TABEAU SYNOPTIQUE.....	112
MONOGRAPHIES :	

\bar{A}^1 r ^r ($\geq 40^m$) 1, 2, 3. — 3 Ponts sur l'Iller, près de Kempten (ALLEMAGNE, — Bavière) (1906).....	115
---	-----

TEXTE. — 1. Emplacement des trois ponts. — 2. Dispositions communes (p. 115). — 3. Articulations des grandes voûtes (p. 118). — 4. Joints de dilatation des tympans (p. 119). — 5. Sommiers en béton des rotules. — 6. Articulations sur plomb et joints de dilatation des voûtes latérales (p. 120). — 7. Cintre. — 8. Exécution des grandes voûtes. — 9. Décintrement (p. 121). — 10. Quantités. — 11. Personnel. — *SOURCES* (p. 122).

DESSINS. — f_1 . Plan d'ensemble (p. 115). — Ponts aval : f_2 . Ensemble, — f_3 . Grande voûte (p. 116), — f_4 . Coupe en long et cintre, — f_5 , f_6 , f_7 . Coupes en travers (p. 117). — Articulations des grandes voûtes : f_8 , f_9 . Rotules (p. 118), — f_{10} , f_{11} . Rotules et sommiers (p. 119). — f_{12} . Articulations des voûtes latérales (p. 120). — Construction des grandes voûtes : f_{13} . Ordre d'exécution des tranches, — f_{14} . Bétonnage entre les sommiers d'articulation (p. 121). — f_{15} . Marche du décintrement (p. 122).

PHOTOGRAPHIES. — Φ_1 . Ensemble des 3 Ponts (p. 118). — Φ_2 . Pont amont (p. 119).

ARCS TRÈS SURBAISSÉS

PONTS A UNE SEULE GRANDE ARCHE SOUS ROUTE

SÉRIE \bar{A}^1 r^{te} ($\geq 40^m$)

TABEAU SYNOPTIQUE.....	124
MONOGRAPHIES :	

\bar{A}^1 r ^{te} ($\geq 40^m$) 1. — Pont sur la Leine, près de Grasdorf (ALLEMAGNE, — Hanovre) (1899-1900).....	129
---	-----

TEXTE. — 1. Grande voûte. — 2. Articulations (p. 130). — 3. Joints de dilatation. — 4. Joints mobiles du tuyau de conduite d'eau. — 5. Écoulement des eaux (p. 131). — 6. Chaussée et trottoirs. — 7. Plinthes et dcs. — 8. Parements simulant le granit. — 9. Matériaux. — *A. Ciment.* — *B. Gravier du lit de la Leine.* — *C. Pierre cassée.* — *D. Béton* (p. 132). — *E. Granit des rotules.* — 10. Appareils de décintrement (p. 133). — 11. Fondations. — 12. Exécution de la grande voûte. — *A. Pose des rotules de retombées.* — *A₁. Pose des blocs concaves;* — *A₂. Pose des blocs convexes.* — *B. Bétonnage de la grande voûte* (p. 134). — *C. Clarages.* — *C₁. aux retombées;* — *C₂. à la clef.* — 13. Construction des voûtes d'évidement et de décharge. — 14. Décintrement (p. 136). — 15. Tassements. — 16. Achèvement du pont. — 17. Dates (p. 137). — 18. Dépenses. — 19. Personnel. — *SOURCES* (p. 138).

VOÛTES ARTICULÉES ARTICULATIONS ROULANTES

ARCS TRÈS SURBAISSÉS (Suite)

PONTS A UNE SEULE GRANDE ARCHE SOUS ROUTE

SÉRIE \bar{A}^1 r^{te} ($\geq 40^m$) (Suite)

Pages.

 \bar{A}^1 r^{te} ($\geq 40^m$)¹. — Pont de Grasdorf (Suite).

DESSINS. — f_1 . Élévation. — f_2 . Demi-coupe en long et cintre. — f_3 . Coupe en travers du cintre. — Articulations : f_4 . Clef, — f_5 . Retombées (p. 130). — Joints de dilatation : f_6 . Ensemble, — f_7 . Détail. — f_8 . Joints de la conduite d'eau. — f_9 . Chape au-dessus des joints de dilatation (p. 131). — f_{10} . Coupe en travers à la clef (p. 132). — f_{11} . Appareil de décintrement (p. 133). — f_{12} . Pose des blocs concaves des rotules de retombées. — f_{13} . Pose des blocs convexes des rotules de retombées (p. 134). — Bêtonnage de la grande voûte : f_{14} . Retombée rive gauche, — f_{15} . Retombée rive droite. — f_{16} . Dates d'exécution des différentes parties du pont (p. 135). — f_{17} . Comment doit être l'articulation de clef après décintrement. — f_{18} . Pose du bloc concave de l'articulation de clef (p. 136).

PHOTOGRAPHIE. — Φ_1 . (p. 129).

 \bar{A}^1 r^{te} ($\geq 40^m$)². — Pont sur la Zwickauer Mulde, près de Göhren (ALLEMAGNE, — Saxe) (1903-1904)..... 139

TEXTE. — 1. Articulations (p. 139). — 2. Joints de dilatation au-dessus des articulations des naissances. — 3. Matériaux et exécution de la voûte (p. 141). — 4. Dates. — 5. Cube de maçonnerie. — 6. Personnel. — SOURCES (p. 142).

DESSINS. — f_1 . Élévation. — f_2 . Coupe en long et cintre. — f_3 . Coupe en travers du cintre (p. 140). — Articulations : f_4 . Clef, — f_5 . Retombées (p. 139). — Joint de dilatation : f_6 . Ensemble, — f_7 . Détail (p. 141).

PHOTOGRAPHIES. — Φ_1 . aval (p. 139). — Φ_2 . aval (p. 141).

 \bar{A}^1 r^{te} ($\geq 40^m$)³. — Pont de la Wallstrasse, à Ulm (ALLEMAGNE, — Wurtemberg) (1904-1905)..... 143

TEXTE. — 1. Matériaux employés. — 2. Tracé de la voûte (p. 143). — 3. Articulations. — 4. Élévissement des tympans. — 5. Chape. — 6. Joints de dilatation (p. 145). — 7. Trottoirs. — 8. Parapet. — 9. Culées. — 10. Aspect du pont. — 11. Béton. — A. Pierre cassée. — B. Dosages (p. 146). — C. Essais faits pendant la construction. — D. Mortier des parements. — 12. Cintre. — 13. Fondations (p. 147). — 14. Exécution de la grande voûte. — 15. Pose des rotules (p. 149). — 16. Décintrement. — 17. Mouvements dus à la température. — 18. Dates. — 19. Personnel. — SOURCES (p. 150).

DESSINS. — f_1 . Élévation. — Coupes en long : f_2 . Demi-voûte Nord, — f_3 . Culée Sud. — f_4 . Demi-coupe en travers aux reins (p. 144). — f_5 , f_6 . Rotules. — Joints de dilatation : f_7 , f_8 . Clef, — f_9 , f_{10} , f_{11} . Retombées (p. 145). — Cintre : f_{12} . Élévation, — f_{13} , f_{14} . Platelage et vaux, — f_{15} , f_{16} , f_{17} . Appuis (p. 148). — f_{18} . Ordre d'exécution des tranches de la voûte. — Pose des rotules : f_{19} . Clef, — f_{20} . Retombées (p. 149).

PHOTOGRAPHIE. — Φ_1 (p. 143).

 \bar{A}^1 r^{te} ($\geq 40^m$)⁴. — Pont Élise, sur le bras droit du Danube, à Neubourg (ALLEMAGNE, — Bavière) (1906-1907)..... 151

TEXTE. — 1. Dates (p. 151). — 2. Mouvements de la clef pendant la construction et après (p. 153). — 3. Personnel. — SOURCES (p. 154).

DESSINS. — f_1 . Élévation. — f_2 . Coupe en long. — f_3 . Coupe en travers. — f_4 . Coupe horizontale. — Cintre : f_5 . Élévation, — f_6 . Coupe en travers (p. 152). — f_7 . Mouvements de la clef pendant la construction et après (p. 153).

PHOTOGRAPHIE. — Φ_1 (p. 151).

VOÛTES ARTICULÉES ARTICULATIONS ROULANTES

ARCS TRÈS SURBAISSÉS (Suite)

PONTS A UNE SEULE GRANDE ARCHE
SOUS CHEMIN DE FER A VOIE NORMALESÉRIE \bar{A}^1 \bar{r}^r ($\geq 40^m$)

Pages.

TABEAU SYNOPSIS.....	156
MONOGRAPHIES :	

\bar{A}^1 \bar{r}^r ($\geq 40^m$) ¹ . — Pont sur l'Ille, à Illerbeuren (ALLEMAGNE, — Souabe bavaroise) (1903-1904).....	159
--	-----

TEXTE. — 1. Le pont est en béton (p. 159). — 2. Quelques observations. — 3. Articulations. — 4. Joints de dilatation. — 5. Chapes (p. 161). — 6. Composition et volume des bétons (p. 162). — 7. Cintre. — 8. Fondations. — 9. Exécution de la grande voûte (p. 163). — 10. Décintrement. — 11. Dates. — 12. Épreuves. — 13. Personnel. — SOURCES (p. 164).

DESSINS. — f_1 . Élévation. — f_2 . Demi-coupe en long et cintre. — Coupes en travers : f_3 , à la clef, — f_4 , aux reins (p. 160). — f_5 , f_6 . Rotules. — f_7 , f_8 . Rotules et sommiers (p. 161). — f_9 , f_{10} , f_{11} , f_{12} . Appuis du cintre. — f_{13} . Ordre d'exécution des tranches de la voûte (p. 163).

PHOTOGRAPHIES. — ϕ_1 (p. 159). — ϕ_2 (p. 162).

PONTS A PLUSIEURS GRANDES ARCHES SOUS ROUTE

SÉRIE \bar{A}^n \bar{r}^{te} ($\geq 40^m$)

TABEAU SYNOPSIS.....	166
MONOGRAPHIES :	

\bar{A}^n \bar{r}^{te} ($\geq 40^m$) ¹ . — Pont sur la Moselle, près de Malling (ALLEMAGNE, — Lorraine, — Cercle de Thionville) (1899-1901).....	175
---	-----

TEXTE. — 1. Aspect (p. 175). — 2. Personnel. — SOURCES (p. 176).

PHOTOGRAPHIE. — ϕ_1 - aval (p. 175).

\bar{A}^n \bar{r}^{te} ($\geq 40^m$) ² . — Pont sur le Neckar, à Hochberg (ALLEMAGNE, — Wurtemberg) (1901-1903).....	177
---	-----

TEXTE. — 1. Rotules. — 2. Cintres (p. 177). — 3. Dates. — 4. Personnel. — SOURCE (p. 179).

DESSINS. — f_1 . Ensemble. — f_2 . Une arche. — Coupes en long : f_3 . Pile, — f_4 . Culée rive droite. — f_5 . Coupe horizontale aux retombées. — f_6 . Coupe en travers aux retombées. — f_7 . Couronnement (p. 178). — Rotules : f_8 . Clef, — f_9 , f_{10} . Retombées. — Cintres : f_{11} . Élévation, — f_{12} . Coupe en travers (p. 177).

PHOTOGRAPHIE. — ϕ_1 (p. 177).

\bar{A}^n \bar{r}^{te} ($\geq 40^m$) ³ . — Pont Cornélius, sur l'Isar, à Munich (ALLEMAGNE, — Bavière) (1902-1903).....	180
--	-----

TEXTE. — 1. Aspect. — 2. Accident à la voûte 3. — A. Description du cintre. — B. Construction de la voûte (p. 181). — C. Accident. — 3. Personnel. — SOURCES (p. 182).

VOÛTES ARTICULÉES ARTICULATIONS ROULANTES

ARCS TRÈS SURBAISSÉS (Suite)

PONTS A PLUSIEURS GRANDES ARCHES SOUS ROUTE

SÉRIE \bar{A}^n 1^{re} ($\geq 40^m$) (Suite)

- \bar{A}^n 1^{re} ($\geq 40^m$)³. — **Pont Cornélius, à Munich (Suite).** Pages.
- DESSINS. — f_1 . Ensemble, amont. — Voûte de 44^m (voûte 1) : f_2 . Élévation, — f_3 . Demi-coupe en long, — f_4 . Coupe en travers aux retombées, — f_5, f_6 . Rotules (p. 180). — f_7 . Voûte 3. Cintre et Mode d'exécution (p. 181).
- PHOTOGRAPHIE. — Φ_1 . Voûte 1, amont (p. 181).
- \bar{A}^n 1^{re} ($\geq 40^m$)⁴. — **Pont de Reichenbach, sur l'Isar, à Munich (ALLEMAGNE, — Bavière) (1902-1903).....** 183
- TEXTE. — 1. Voûte de 44^m (voûte 1). — A. Tracé. — B. Rotules. — 2. Voûtes 2, 3, 4. — 3. Tympan. — 4. Chaussée. Trottoirs (p. 184). — 5. Exécution des voûtes. — 6. Dates de construction et tassements au décintrement. — 7. Mouvements pendant le décintrement de la voûte 4 (rive droite). — 8. Personnel. — SOURCES (p. 185).
- DESSINS. — f_1 . Ensemble, amont. — Voûte de 44^m (voûte 1) : f_2 . Élévation amont, — f_3 . Coupe en long et cintre, — f_4 . Coupe en travers (p. 183).
- PHOTOGRAPHIE. — Φ_1 . Voûte 1, amont (p. 184).
- \bar{A}^n 1^{re} ($\geq 40^m$)⁵. — **Pont sur le Neckar, à Neckargartach (ALLEMAGNE, — Wurtemberg) (1903-1905).....** 186
- TEXTE. — 1. Articulations. — 2. Joints de dilatation (p. 186). — 3. Chaussée et trottoirs. — 4. Écoulement des eaux (p. 188). — 5. Matériaux. — A. Composition du béton. — B. Maçonnerie. — 6. Cintres (p. 189). — 7. Fondations. — 8. Exécution des voûtes. — A. Construction par tranches. — B. Pose des rotules. — 9. Construction des piles des voûtes d'évidement. — 10. Décintrement (p. 190). — 11. Dates. — 12. Personnel. — SOURCES (p. 191).
- DESSINS. — f_1 . Ensemble, amont. — f_2 . Arche en rivière. — Coupes en long : f_3 . Demi-voûte de rive, — f_4 . Pile en rivière. — f_5 . Coupe en travers aux retombées. — f_6, f_7 . Becs (p. 187). — Articulation de retombée : f_8 . Élévation, — f_9 . Coupe. — f_{10} . Comment est recouvert le joint de dilatation (p. 186). — Couronnement : f_{11} . Élévation, — f_{12} . Coupe (p. 188). — Cintres : f_{13}, f_{14} . Arche rive gauche, — f_{15}, f_{16} . Arche sur berge (p. 189).
- PHOTOGRAPHIES. — Φ_1 . (p. 186). — Φ_2 . (p. 188).
- \bar{A}^n 1^{re} ($\geq 40^m$)⁶. — **Pont Maximilien, sur le bras droit de l'Isar, à Munich (ALLEMAGNE, — Bavière) (1903-1905).....** 192
- TEXTE. — 1. Aspect. — 2. Articulations (p. 192). — 3. Cintre de l'arche rive droite (p. 194). — 4. Premier décintrement des 2 grandes voûtes (13 juin 1904). — 5. Chute des grandes voûtes (27 juin 1904). — A. État de l'ouvrage avant l'accident. — B. Observations faites. — C. État du Pont. — C_1 . Voûtes. — C_2 . Cintre de rive droite. — C_3 . Rotules des retombées. — C_4 . Pile et culées. — C_5 . Piliers des voûtes d'élégissement (p. 195). — D. Causes de l'accident. — 6. On reconstruit le cintre de rive gauche, on répare celui de rive droite. — 7. On remonte les 2 voûtes. — 8. On répare les 2 voûtes (p. 197). — 9. Dates. — 10. Personnel. — SOURCES (p. 198).

VOÛTES ARTICULÉES ARTICULATIONS ROULANTES

ARCS TRÈS SURBAISSÉS (Suite)

PONTS A PLUSIEURS GRANDES ARCHES SOUS ROUTE

SÉRIE $\overline{\mathbf{A}}^n$ 1^{re} ($\geq 40^m$) (Suite)

Pages.

 $\overline{\mathbf{A}}^n$ 1^{re} ($\geq 40^m$)⁶. — Pont Maximilien, à Munich (Suite).

DESSINS. — f_1 . Ensemble. — f_2 . Arche rive gauche. — f_3 . Coupe en long. — f_4 . Coupe en travers aux retombées (p. 193). — f_5, f_6 . Articulations (p. 192). — Cintre de l'arche rive droite : f_7 . Élévation, — f_8 . Coupe en travers (p. 194). — f_9 . État de l'ouvrage avant l'accident du 27 juin 1904 (p. 195). — Reconstruction des voûtes. — Arche rive gauche : f_{10} . État de la voûte après qu'on eût reconstruit le cintre ; — Détails : f_{11} . Clef, — f_{12}, f_{13} . Retombées. — Arche rive droite : f_{14} . État de la voûte après l'accident ; — Détails : f_{15} . Clef, — f_{16}, f_{17} . Retombées (p. 196). — f_{18} . Vérins à plate-forme articulée. — f_{19} . Manœuvre des vérins (p. 197).

PHOTOGRAPHIES. — Φ_1 . (p. 192). — Φ_2 . (p. 194).

 $\overline{\mathbf{A}}^n$ 1^{re} ($\geq 40^m$)⁷. — Pont de Wittelsbach, sur l'Isar, à Munich (ALLEMAGNE, — Bavière) (1904-1905).....

199

TEXTE. — 1. Aspect. — 2. Articulations. — 3. Cintre de la grande voûte (p. 199). — 4. Personnel. — SOURCES (p. 201).

DESSINS. — f_1 . Ensemble, amont. — f_2 . Grande voûte. — f_3 . Coupe en long. — f_4 . Coupe en travers aux retombées (p. 200). — Cintre de la grande voûte : f_5 . Élévation, — f_6 . Coupe en travers (p. 199).

PHOTOGRAPHIE. — Φ_1 . (p. 199).

 $\overline{\mathbf{A}}^n$ 1^{re} ($\geq 40^m$)⁸. — Pont sur la Moselle, près de Moulins-lez-Metz (ALLEMAGNE, — Lorraine) (1904-1905).....

202

TEXTE. — 1. Aspect (p. 202). — 2. Articulations en béton. — 3. Exécution des grandes voûtes (p. 204). — 4. Dates d'exécution des voûtes. — 5. Personnel. — SOURCES (p. 205).

DESSINS. — f_1 . Ensemble. — f_2 . Arche centrale et arche de rive. — f_3 . Coupe en long au-dessus d'une pile. — f_4 . Coupe en long d'une culée. — f_5, f_6 . Coupes en travers à la clef, aux retombées. — f_7 . Coupe horizontale d'une pile (p. 203). — Articulations en béton. — Arche centrale : f_8 . Clef, — f_9, f_{10} . Retombées ; — Arches de rive : f_{11} . Clef, — f_{12}, f_{13} . Retombées. — f_{14}, f_{15} . Joints des blocs d'articulation parallèles aux têtes. — f_{16} . Ordre d'exécution des tranches des grandes voûtes (p. 204).

PHOTOGRAPHIE. — Φ_1 . (p. 202).

 $\overline{\mathbf{A}}^n$ 1^{re} ($\geq 40^m$)⁹. — Pont sur le Neckar, à Mannheim (ALLEMAGNE, — Grand-Duché de Bade) (1905-1908).....

206

TEXTE. — 1. Voûtes de rive rampantes. — 2. Bandeaux. — 3. Tympan (p. 206). — 4. Plinthe. — 5. Chaussée. Trottoirs. — 6. Décintrement. — 7. Achèvement du pont (p. 207). — 8. Épreuves. — 9. Personnel. — SOURCES (p. 208).

PHOTOGRAPHIES. — Φ_1 . Ensemble (p. 206). — Φ_2 . Une voûte de rive (p. 207). — Φ_3 . Retombée d'une voûte de rive (p. 208).

VOÛTES ARTICULÉES ARTICULATIONS ROULANTES (Suite)

ARCS ASSEZ SURBAISSÉS

PONTS A UNE SEULE GRANDE ARCHE SOUS ROUTE

SÉRIE $\widehat{\mathbf{A}}^1_{\leftrightarrow} r^{te} (\geq 40^m)$

Pages.

TABLEAU SYNOPTIQUE..... 210

MONOGRAPHIES :

$\widehat{\mathbf{A}}^1_{\leftrightarrow} r^{te} (\geq 40^m) 1$. — **Pont** sur la Lahn, à **Gräveneck** (ALLEMAGNE, — Prusse, — Hesse) (1911-1912)..... 213

TEXTE. — 1. Une grande voûte entre deux petites. — 2. Pourquoi on a articulé l'arche centrale. — 3. Pourquoi on a fait les rotules en béton armé (p. 213). — 4. Rotules en béton armé. — A. *Projet* (p. 214). — B. *Exécution*. — C. *Expériences au Laboratoire mécano-technique de Dresde*. — 5. Joints de dilatation. — 6. Couronnement (p. 215). — 7. Chape. — 8. Matériaux. — 9. Dates. — 10. Personnel. — *SOURCES* (p. 216).

DESSINS. — f_1 . Ensemble, amont. — Grande voûte : f_2 . Élévation, — f_3 . Demi-coupe en long et cintre, — f_4 . Coupe en travers aux reins. — f_5, f_6 . Rotules en béton armé (p. 214). — f_7 . Schéma d'une articulation. — f_8, f_9 . Couronnement (p. 215).

PHOTOGRAPHIE. — Φ_1 — amont (p. 213).

ARTICULATIONS TOURNANTES

ARCS TRÈS SURBAISSÉS

PONTS A UNE SEULE GRANDE ARCHE SOUS ROUTE

SÉRIE $\overline{\mathbf{A}}^1_{\infty\infty} r^{te} (\geq 40^m)$

TABLEAU SYNOPTIQUE..... 220

MONOGRAPHIES :

$\overline{\mathbf{A}}^1_{\infty\infty} r^{te} (\geq 40^m) 1$. — **Pont** sur le Danube, à **Inzigkofen** (ALLEMAGNE, — Hohenzollern) (1895)..... 225

TEXTE. — 1. Le pont est en béton. — 2. Joints de dilatation. — 3. Écoulement des eaux. — 4. Chaussée. — 5. Matériaux. — A. *Ciment*. — B. *Sable* (p. 227). — C. *Béton*. — 6. Calculs. — A. *Hypothèses*. — B. *Résultats*. — B₁. *Courbes de pression*. — B₂. *Efforts* (p. 228). — 7. Cintre. — 8. Fondation de la culée rive gauche. — 9. Exécution de la voûte. — 10. Décintrement (p. 229). — 11. Tassements de la clef. — 12. Épreuves (p. 230). — 13. Dates. — 14. Quantités. — 15. Personnel. — *SOURCES* (p. 231).

DESSINS. — f_1 . Élévation. — f_2 . Coupe en long et cintre, coté rive droite. — f_3 . Culée rive gauche. — f_4, f_5 . Coupes en travers, à la clef, aux retombées. — f_6 . Coupe horizontale. — f_7 . Coupe le long de l'extrados. — Rotules : f_8, f_9 . Clef, — f_{10}, f_{11} . Retombées (p. 226).

PHOTOGRAPHIE. — Φ_1 — amont (p. 225).

VOÛTES ARTICULÉES ARTICULATIONS TOURNANTES
ARCS TRÈS SURBAISSÉS (Suite)

PONTS A UNE SEULE GRANDE ARCHE SOUS ROUTE

SÉRIE \bar{A}_{∞}^1 1^{te} ($\geq 40^m$) (Suite)

	Pages.
\bar{A}_{∞}^1 1^{te} ($\geq 40^m$)². — Pont sur le Neckar, près de Neckarhausen (ALLEMAGNE, — Hohenzollern) (1899-1900).....	232

TEXTE. — 1. Grande voûte (p. 232). — 2. Articulations. — 3. Joints de dilatation. — 4. Culées. — 5. Matériaux. *A. Ciment.* — *B. Mortier* (p. 235). — *C. Béton (dosages).* — 6. Efforts. — *A. Dans la voûte.* — *B. Dans les articulations.* — *C. Dans les culées.* — 7. Cintre (p. 236). — 8. Fondations. — 9. Exécution de la voûte. — 10. Décintrement. — 11. Tassements de la clef. — 12. Épreuves. — 13. Dates (p. 237). — 14. Quantités et dépenses. — 15. Personnel. — Sources (p. 238).

DESSINS. — f_1 . Élévation. — f_2 . Coupe en long. — f_3 . Coupe horizontale. — f_4 . Coupe en travers aux retombées. — Cintre : f_5 . Élévation, — f_6 . Coupe en travers (p. 233). — f_7 , f_8 . Articulations (p. 235).

PHOTOGRAPHIES. — Φ_1 (p. 232). — Articulations : Φ_2 . Clef, — Φ_3 . Retombée (p. 234).

\bar{A}_{∞}^1 1^{te} ($\geq 40^m$)³. — Pont du Prince-Régent, sur l'Isar, à Munich (ALLEMAGNE, — Bavière) (1900-1901).....	239
---	------------

TEXTE. — 1. Aspect. — 2. Culées (p. 239). — 3. Fondations. — 4. Personnel. — Sources (p. 241).

DESSINS. — f_1 . Élévation. — f_2 . Coupe en long. — f_3 . Coupe en travers aux retombées (p. 240).

PHOTOGRAPHIES. — Φ_1 (p. 239). — Articulation de clef, masquée ensuite : Φ_2 . Vue de côté, — Φ_3 . Vue par-dessus (p. 241).

\bar{A}_{∞}^1 1^{te} ($\geq 40^m$)⁴. — Pont Max-Joseph, sur l'Isar, à Munich (ALLEMAGNE, — Bavière) (1901-1902).....	242
---	------------

TEXTE. — 1. Matériaux. — 2. Articulations (p. 242). — 3. Cintre. — 4. Ouvriers. — 5. Dates. — 6. Personnel. — Sources (p. 244).

DESSINS. — f_1 . Élévation. — f_2 . Coupe en long. — f_3 . Coupe en travers (p. 243). — f_4 , f_5 . Articulations (p. 242). — Cintre : f_6 . Élévation, — f_7 . Coupe en travers (p. 244).

PHOTOGRAPHIE. — Φ_1 (p. 242).

TABLEAU SYNOPTIQUE GÉNÉRAL DES PONTS	
AYANT DES VOÛTES $\geq 40^m$ SEMI-ARTICULÉES OU ARTICULÉES	246

VOÛTE ARTICULÉE 40^m EN BÉTON PEU ARMÉ

QU'ON AURAIT, A TORT, CHERCHÉE AU LIVRE II

	Pages
TABLEAU SYNOPTIQUE.....	250
MONOGRAPHIE :	
Pont sur le Danube, à Sigmaringen (ALLEMAGNE, - Hohenzollern) (1907-1909)	253
<i>TEXTE.</i> — 1. Tracé de la voie (p. 253). — 2. Articulations (p. 254). — 3. Cintre (p. 255). — 4. Dates. — 5. Personnel. — Source (p. 256).	
<i>DESSINS.</i> — f_1 . Élévation. — f_2 . Coupe en long. — f_3 . Coupe horizontale (p. 253). — f_4 à f_7 . Articulations (p. 254). — Cintre : f_8 . Élévation, — f_9 . Plan, — f_{10} . Coupe en travers, — f_{11} à f_{14} . Détails (p. 255).	
<i>PHOTOGRAPHIE.</i> — Φ_1 (p. 254).	

**LIVRE III. - CE QUE L'EXPÉRIENCE ENSEIGNE
DE SPÉCIAL AUX VOÛTES ARTICULÉES**

**TITRE I - DISPOSITIONS - DIMENSIONS.
AVANTAGES - INCONVÉNIENTS
DE CHAQUE TYPE D'ARTICULATION**

CHAPITRE I. - ARTICULATIONS SUR PLOMB

Art. 1. — Épaisseurs et Matériaux des voûtes. — Dimensions et Travail des bandes de plomb. (<i>Tableau synoptique</i>).	
A. Voûtes semi-articulées.....	260
B. Voûtes articulées de façon permanente.....	261
Art. 2. — Dimensions des bandes de plomb d'après le tableau précédent.	
A. Largeur dans le sens du joint.....	262
B. Épaisseur.....	262
C. Longueur.....	262
Art. 3. — Plomb employé. — Travail admis.....	262

CHAPITRE II. — ARTICULATIONS ROULANTES

Pages.

§ 1. — ARTICULATIONS ROULANTES EN ACIER.Art. 1. — Épaisseurs et Matériaux des voûtes. — Dimensions et Travail des rotules
(*Tableau synoptique*).A. Rotules d'acier prises dans des sabots en fonte (Voûtes articulées de façon
permanente)..... 263

B. Rotules d'acier prises dans des caissons en tôle.

B₁ - Voûtes semi-articulées. — B₂ - Voûtes articulées de façon permanente. 264

C. Rotules tout entières en acier moulé (Voûtes articulées de façon permanente) 264

Art. 2. — Précautions contre le glissement..... 265

Art. 3. — Avantages et inconvénients..... 265

§ 2. — ARTICULATIONS ROULANTES EN PIERRE, EN BÉTON, EN BÉTON ARMÉArt. 1. — Épaisseurs et Matériaux des voûtes. — Dimensions et Travail des rotules
(*Tableau synoptique*).

A. Voûtes semi-articulées. — B. Voûtes articulées de façon permanente..... 266

Art. 2. — Avantages et inconvénients..... 268

CHAPITRE III. — ARTICULATIONS TOURNANTES*Balanciers tournant autour d'un tourillon*Art. 1. — Épaisseurs et Matériaux des voûtes. — Dimensions et Travail des rotules
(*Tableau synoptique*)..... 269

Art. 2. — Avantages et inconvénients..... 270

CHAPITRE IV. — ARTICULATIONS A GENOU

Employées seulement comme articulations provisoires, puis condamnées.

*Rotules d'acier prises dans des caissons en tôle.*Épaisseurs et Matériaux des voûtes. — Dimensions et Travail des rotules (*Tableau
synoptique*)..... 271**CHAPITRE V. — DISPOSITIONS DES ARTICULATIONS****DANS LES PONTS BIAIS..... 272****TITRE II. — QUELQUES DIMENSIONS ET DISPOSITIONS
SPÉCIALES AUX VOÛTES ARTICULÉES**

§ 1. — RENFLEMENT AUX « JOINTS DE RUPTURE »..... 273

§ 2. — ÉPAISSEURS.

Art. 1. — Les voûtes articulées sont moins épaisses que les inarticulées..... 273

Art. 2. — Formules empiriques provisoires..... 273

§ 3. — JOINTS DE DILATATION..... 276

TITRE III. — QUELQUES ÉLÉMENTS DE COMPARAISON ENTRE LES VOÛTES INARTICULÉES ET ARTICULÉES

§ 1. PRIX DE REVIENT.....	276
§ 2. MOUVEMENTS DE LA CLEF : AU DÉCINTREMENT, AUX CHANGEMENTS DE TEMPÉRATURE..	277

TITRE IV. — QUELLES VOÛTES FAUT-IL ARTICULER ?

§ 1. LES VOÛTES ARTICULÉES, PLUS SOUPLES, SE PRÉTENT A DES MOUVEMENTS QUI TROUBLENT LES AUTRES. ELLES PEUVENT ÊTRE ACCEPTÉES SUR DES SOLS OU CONTRE DES APPUIS QUI CÈDENT.....	277
§ 2. DISTRIBUTION GÉOGRAPHIQUE DES VOÛTES ARTICULÉES.	
Art. 1. — Pays où l'on n'a articulé que très exceptionnellement les voûtes.....	278
Art. 2. — Allemagne.....	278
§ 3. QUELLES VOÛTES CONVIENT-IL D'ARTICULER ?	
Art. 1. — Voûtes sur appui invariable.	
A. <i>En maçonnerie appareillée : pas d'articulations</i>	280
B. <i>En béton : il est prudent d'articuler au moins les arcs très tendus</i>	280
Art. 2. — Voûtes sur appui qui peut céder : articuler au moins les très surbaissées.....	281
Art. 3. — Réserves sur la durée des articulations métalliques.....	281

PONTS DÉCRITS DANS LE TOME IV. — Index alphabétique.....	283
--	-----

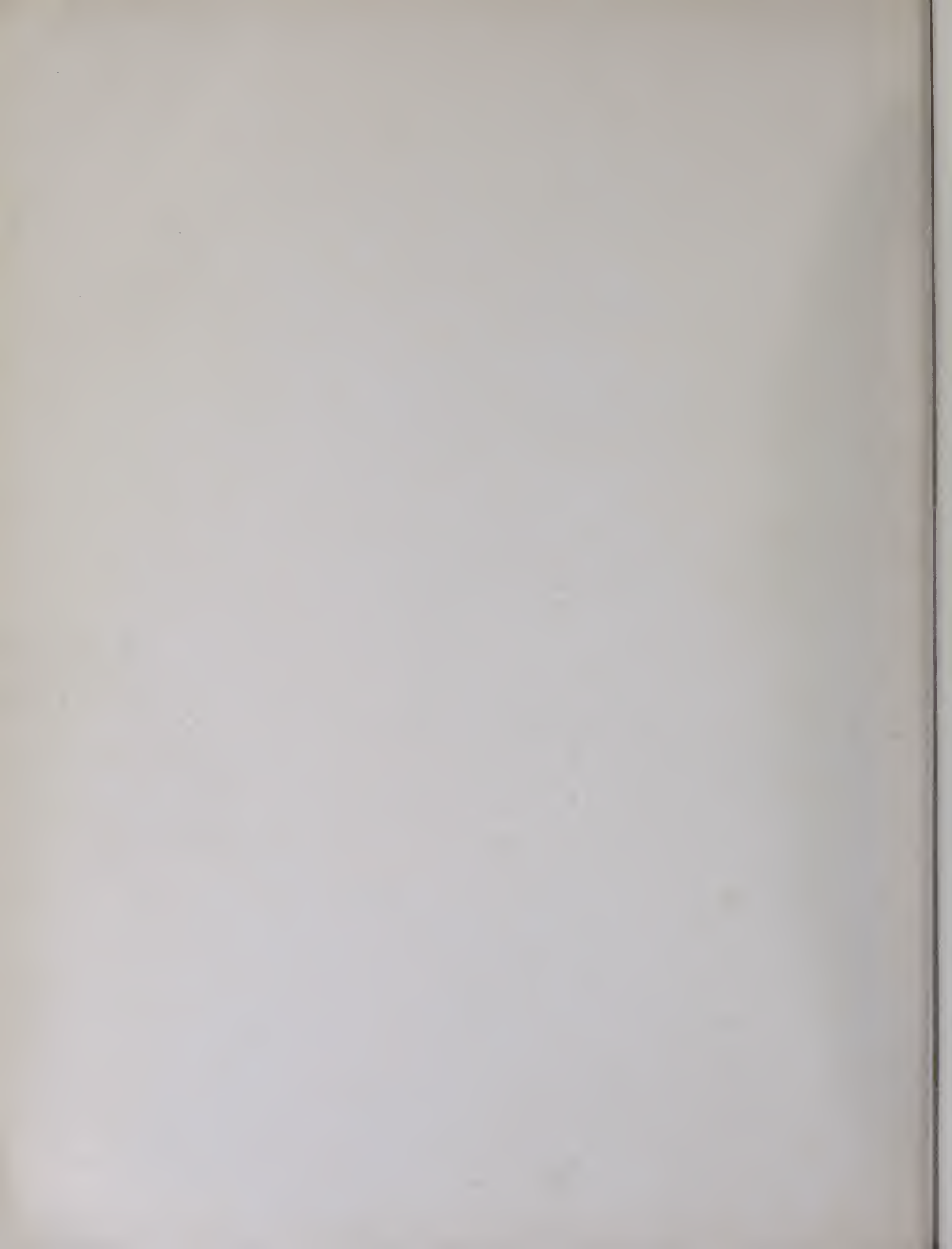
TABLE DES MATIÈRES.....	287
-------------------------	-----

ERRATA
DU TOME IV

Page 143, Monographie $\overline{\mathbf{A}}^1_{\overline{\mathbf{A}}}$ r^{te} ($\geq 40^m$)³, — Titre, — 1^{re} ligne :

au lieu de : *BAVIÈRE*, lire *WURTEMBERG*.

Voir aussi l'**Errata général**, à la fin du Tome V.





94-B16743



GETTY CENTER LIBRARY



3 3125 00722 4344

